

**UNIVERSITATEA „POLITEHNICA” TIMIȘOARA
FACULTATEA DE MECANICĂ
CATEDRA DE REZISTENȚA MATERIALELOR**

Ing. Cornelia MUNTEAN

TEZA DE DOCTORAT

**STUDII ȘI CERCETĂRI PRIVIND ANALIZA
CÂMPURILOR DE TENSIUNI ȘI DEPLASĂRI
ÎN SOLIDE ELASTICE CU DEFECTE**

Conducător științific: Prof. Dr. Ing. Ionel DOBRE

BIBLIOTECA CENTRALĂ
UNIVERSITATEA "POLITEHNICA"
TIMIȘOARA

CUPRINS

CAPITOLUL 1.....	1
STADIUL ACTUAL AL CERCETĂRILOR PRIVIND CALCULUL CÂMPURILOR DE TENSIUNI, DEFORMAȚII ȘI DEPLASĂRI ÎN SOLIDE ELASTICE CU DEFECTE	1
§ 1.1. INTRODUCERE. PREZENTAREA PROBLEMATICII.....	1
§ 1.2. IDEEA ȘI PROBLEMATICA DEFECTELOR ADMISIBILE	2
§ 1.3. ANALIZA TEMATICĂ A BIBLIOGRAFIEI.....	3
1.3.1. Metodele matematice.....	3
1.3.1.1. Metoda ecuațiilor integrale singulare	3
1.3.1.2. Metoda funcțiilor de variabilă complexă	4
1.3.1.3. Metoda transformărilor integrale.....	4
1.3.1.4. Metoda transformărilor conforme	4
1.3.1.5. Dezvoltarea în serie de puteri	4
1.3.1.6. Metoda aproximațiilor asimptotice.....	4
1.3.1.8. Metoda incluziunii echivalente	4
1.3.1.9. Metoda alternantă.....	5
1.3.1.10. Metoda cologației.....	5
1.3.1.11. Metodele numerice: MEF și MEFr.....	5
1.3.2. Cercetarea stării de tensiune și deformație în medii spațiale cu incluziuni.....	10
1.3.3. Mediu omogen plan cu unul sau mai multe orificii.....	16
1.3.3.1. Soluțiile efective ale problemelor la limită pentru domenii dublu conexe. Metoda lui D.I. SHERMAN.	17
1.3.3.2. Plăci cu mai multe orificii. Problema periodică.....	18
1.3.3.3. Planul infinit cu un orificiu necanonic. Transformări conforme.....	21
1.3.4. Mediul parțial omogen. Orificii întărite	23
1.3.4.1. Incluziuni din același material.....	23
1.3.4.2. Incluziuni din diferite materiale	24
1.3.4.3. Întărirea orificiilor cu inele subțiri	24
1.3.5. Mediul omogen continuu. Unele probleme speciale.....	27
1.3.5.1. Plăcile cu contur poligonal.....	27
1.3.5.2. Plăci cu marginile tinzând la infinit.....	28
1.3.6. Probleme mixte și de contact ale teoriei plane a elasticității.....	29
1.3.6.1. Problemele mixte ale teoriei plane elasticității și teoria încovoierii plăcilor.....	30
1.3.6.2. Probleme de contact ale teoriei plane a elasticității	30
§ 1.4. ALTE SUBIECTE TEMATICE DIN BIBLIOGRAFIE	31
1.4.1. Tensiuni termoelastice.....	31
1.4.2. Plăci plane anizotrope. Fisuri la interfața a două materiale diferite	32
1.4.3. Medii vâscoelastice	35
1.4.4. Deformații plastice și tensiuni reziduale	36
1.4.5. Diferite probleme legate de fisura Griffith.....	39
1.4.6. Solicitări de forfecare	40
1.4.7. Unele probleme fundamentale. Ruperi fragile și cvasifragile	41
1.4.8. Efecte neliniare.....	42
1.4.9. Inițierea și propagarea fisurii.....	42
1.4.10. Banda elastică cu defecte.....	44
1.4.11. Discul circular cu defecte.....	45
1.4.12. Solicitări dinamice și oboseală	46
1.4.13. Studii experimentale.....	47

CAPITOLUL 2	49
FORMULĂRI TEORETICE ȘI SOLUȚII ANALITICE. CONTRIBUȚII...	49
§ 2.1. SINTEZA FORMULELOR FUNDAMENTALE DIN TEORIA ELASTICITĂȚII	49
2.1.1. Probleme spațiale	49
2.1.2. Problemele fundamentale ale (T.E.). Formulări	53
2.1.3. Problema plană în coordonate carteziene	54
2.1.3.1. Starea plană de tensiune. Ecuația lui Lévy	54
2.1.3.2. Starea plană de deformație	56
2.1.4. Funcția de tensiune a lui Airy pentru probleme plane	58
§ 2.2. NOTAȚII ȘI UNELE NOȚIUNI GENERALE FUNDAMENTALE	60
2.2.1. Curbe netede pe porțiuni	60
2.2.2. Gradul de continuitate al funcțiilor	62
2.2.3. Câteva notații din „Analiza funcțională”	63
§ 2.3. ELEMENTE FUNDAMENTALE DE MECANICA RUPERII	65
2.3.1. Geneza. Cauzele obiective ale apariției și dezvoltării mecanicii ruperii.....	65
2.3.1.1. Introducere	65
2.3.1.2. Catastrofe „celebre”	66
2.3.1.3. Impactul economic	67
2.3.2. Analiza stării de tensiune la vârful fisurii	68
2.3.2.1. Modele pentru propagarea fisurilor	68
2.3.2.2. Spațiul cu fisură supus forfecării longitudinale	69
2.3.2.3. Spațiul cu fisură solicitat la tracțiune	74
2.3.2.4. Spațiul cu fisură solicitat la forfecare transversală	75
2.3.3. Considerații energetice.....	76
2.3.4. Teorii și criterii de rupere pentru modele elastice și elasto-plastice	79
2.3.4.1. Teoria lui GRIFFITH	80
2.3.4.2. Corecții plastice. Teoria lui IRWIN și OROWAN	81
2.3.4.3. Criteriul lui IRWIN	81
2.3.4.4. Modelul lui G. I. BARENBLATT	82
2.3.4.5. Modelul elasto-plastic al lui DUGDALE D.S. și MUSHELIȘVILI N.I.	83
§ 2.4. PROBLEME TEST („BENCHMARKS”)	85
2.4.1. Problema test Nr. I: Problema KIRSCH	85
2.4.2. Problema test Nr. II: Planul cu orificiu eliptic	91
2.4.2.1. Transformarea conformă. Unele elemente de sinteză	91
2.4.2.2. Coordonate curbilinii	92
2.4.2.3. Componentele unui vector.....	93
2.4.2.4. Transformarea formulelor Kolosov-Mushelișvili	93
2.4.2.5. Observații privind condițiile la limită și transformarea lor conformă	95
2.4.2.6. Planul infinit cu orificiu eliptic. Soluția primei probleme fundamentale	97
2.4.3. Problema test Nr. III: Platbanda cu o fisură centrală	104
2.4.4. Problema test Nr. IV: Semiplanul cu creștătură în V pe o muchie.	112
2.4.5. Problema test Nr. V: Fisură la interfața dintre două materiale diferite.	117
2.4.6. Contribuții la generalizarea problemei creștăturii de interfață în domeniul vâscoelastic.....	123
2.4.6.1. Câteva elemente de vâscoelasticitate liniară.....	123
2.4.6.2. Legi constitutive.....	125

2.4.6.3. Modele mecanice pentru descrierea comportării vâscoelastice	129
2.4.7. Rezolvarea problemei test nr.V pentru materiale vâscoelastice. Soluția autoarei	133
§2.5 CONTRIBUȚII LA STUDIUL SOLIDELOR ELASTICE BIDIMENSIONALE CU DEFECTE MULTIPLE.....	142
2.5.1. Despre integralele de tip Cauchy	142
2.5.2. Teoria ecuațiilor integrale (t.e.i.)	148
2.5.3. Contribuții.....	152
2.5.3.1. Generalități.....	152
2.5.3.2. Planul infinit cu o tăietură rectilinie	155
2.5.3.3. Planul elastic infinit cu defecte multiple	158
2.5.3.4. Planul infinit cu două fisuri rectilinii egale	163

CAPITOLUL 3.....	177
CONTRIBUȚII PRIVIND FORMULAREA ȘI APLICAREA METODELOR NUMERICE LA CALCULUL CÂMPURILOR DE TENSIUNI ȘI DEPLASĂRI ÎN SOLIDE ELASTICE CU DEFECTE	177
§ 3.1. GENERALITĂȚI.....	177
§ 3.2. METODA ELEMENTELOR FINITE (M.E.F.).....	179
3.2.1. Generalități	179
3.2.2. Prezentarea generală a metodei	179
3.2.2.1. Precizări despre forțele nodale	180
3.2.2.2. Etapele de rezolvare a unei probleme cu ajutorul M.E.F.....	181
3.2.3. Bazele teoretice ale analizei stării de tensiune prin M.E.F.....	183
§ 3.3. METODA ELEMENTELOR DE FRONTIERĂ (M.E.Fr.)	189
3.3.1. Generalități	189
3.3.2. Preliminarii matematice	191
3.3.2.1. Metoda reziduurilor ponderate	192
3.3.2.2. Elemente de frontieră. Discretizarea ecuațiilor integrale	197
3.3.3. Formularea directă pentru sistemul de ecuații fundamentale al (T.E.)	205
3.3.3.1. Cazul problemelor tridimensionale	205
3.3.3.2. Cazul problemelor bidimensionale	208
3.3.4. Prezentare a programului de element de frontieră BEASY 8.0.....	208
3.3.4.1. Caracteristici generale	208
3.3.4.2. Etapele de realizare a unui model BEASY	209
3.3.4.3. Câteva noțiuni fundamentale în BEASY	211
3.3.4.4. Exemplu de calcul BEASY pentru placa cu gaură circulară	216
3.3.4.5. Studiu al erorilor introduse de M.E.Fr. pentru diverse variante de discretizare	230
§ 3.4. METODE NUMERICE PENTRU DESCRIEREA ANALITICĂ A FRONTIERELOR ÎN M.E.Fr. CONTRIBUȚII.....	235
3.4.1. Metode și principii de interpolare analitică. Formularea problemei de interpolare.....	235
3.4.2. Polinomul de interpolare Lagrange	236
3.4.3. Polinomul de interpolare Newton de prima speță	237
3.4.4. Polinomul de interpolare Newton de speța a doua	237
3.4.5. Polinomul Gauss de interpolare.....	237
3.4.6. Polinoamele Cebășev de speța întâi	238
3.4.7. Interpolarea prin metoda celor mai mici pătrate.....	239
3.4.8. Utilizarea funcțiilor spline în aproximarea analitică a frontierelor	240
3.4.8.1. Generalități despre funcțiile SPLINE	240
3.4.8.2. Funcții spline cubice	240
3.4.8.3. A doua variantă pentru funcțiile spline cubice	244
3.4.8.4. A treia variantă pentru funcțiile spline cubice. Funcții spline exponențiale.	246
3.4.8.5. Realizare program pentru interpolarea cu funcții spline	248
§ 3.5. CÂTEVA CONSIDERAȚII ȘI OPINII PRIVIND ERORILE ÎN REZOLVAREA CU M.E.Fr. A PROBLEMELOR DE CÂMP	285
§ 3.6. PROBLEMATICA ALGORITMILOR ADAPTIVI	289
3.6.1. Generalități privind algoritmi adaptivi	289
3.6.2. Program adaptiv pentru studiul erorilor în interpolarea cu funcții spline.....	290
3.6.2.1. Algoritmul programului: h-adaptiv	290

3.6.2.2. Studiu al erorilor introduse de aproximarea cu funcții spline	311
§ 3.7. IMPLEMENTAREA FUNCȚIILOR SPLINE ÎN M.E.Fr.	330
3.7.1. Calculul funcțiilor spline.....	330
3.7.2. Implementarea funcțiilor spline într-o problemă de potențial.....	332
3.7.3. Realizare program calculator	335
§ 3.8. PROGRAM DE ELEMENT DE FRONTIERĂ PENTRU PROBLEME BIDIMENSIONALE.....	337

CAPITOLUL 4.....	357
MECANICA PROBABILISTĂ A RUPERII. PROBLEME. PRINCIPII. MODELE. METODE. CONTRIBUȚII.....	357
§ 4.1. PLEDOARIE PENTRU “MECANICA PROBABILISTĂ A RUPERII”.....	357
4.1.1. Introducere.....	357
4.1.2. Mecanica probabilistă a ruperii	358
4.1.3. Organizarea activităților (M.P.R.).....	359
4.1.4. Câteva repere bibliografice.....	360
4.1.5. Concluzii.....	364
§4.2. CÂTEVA NOȚIUNI FUNDAMENTALE DIN TEORIA PROBABILITĂȚILOR ȘI STATISTICA MATEMATICĂ.....	365
4.2.1. Eveniment. Câmpuri de evenimente.....	365
4.2.2. Probabilitate. Câmp de probabilitate	365
4.2.2.1. Definiția clasică a probabilității (definiția statistică).....	365
4.2.2.2. Definiția axiomatică a probabilității (după A.N. Kolmogorov / 1933).....	366
4.2.2.3. Câmp de probabilitate	366
4.2.2.4. Consecințe și proprietăți.....	366
4.2.3. Probabilități condiționate. Independența evenimentelor	367
4.2.4. Variabile aleatoare și legi de repartiție.....	367
4.2.5. Valori tipice ale variabilelor aleatoare	368
4.2.5.1. Tendința centrală de grupare.....	368
4.2.5.2. Împrăștierea sau concentrația (Dispersia).....	370
4.2.5.3. Caracteristici ale formei graficelor de repartiție	372
4.2.6. Legi de repartiție clasice, discrete și continue.....	373
4.2.6.1. Legi de repartiție discrete.....	373
4.2.6.2. Legi de repartiție continue.....	374
4.2.7. Șiruri și serii de variabile aleatoare. Noțiunile de limită și convergență în teoria probabilităților.....	375
4.2.7.1. Convergența în probabilitate.....	375
4.2.7.2. Funcții de repartiție și convergență în probabilitate.....	376
4.2.7.3. Convergența tare (Cantelli). Convergența aproape sigură.....	376
4.2.7.4. Convergența în medie pătratică.....	376
4.2.8. Legea numerelor mari.....	376
4.2.9. Teoria selecției.....	377
4.2.9.1. Enunțul problemei.....	377
4.2.9.2. Calități ale estimațiilor	378
4.2.9.3. Estimarea mediei teoretice. Media de selecție.....	380
4.2.9.4. Estimarea dispersiei teoretice. Dispersia de selecție.....	382
§ 4.3. METODA MONTE-CARLO.....	384
4.3.1. Acul lui BUFFON	384
4.3.2. Numere aleatoare.....	385
4.3.3. Calculul numeric aproximativ al integralelor.....	387
§ 4.4. PROBLEMA FISURILOR MULTIPLE ORIENTATE ALEATOR ÎN ELASTOSTATICA LINIARĂ PLANĂ. O SOLUȚIE NUMERICĂ.....	394
4.4.1. Introducere.....	394
4.4.2. Ecuația integrală Fredholm și modulele elastice efective	394
4.4.3. Prezentarea algoritmului și codul sursă al programului Fortran.....	395

CAPITOLUL 5	425
CERCETĂRI, VERIFICĂRI ȘI VALIDĂRI EXPERIMENTALE	425
§ 5.1. ELEMENTE DE FOTOELASTICIMETRIE.....	425
§ 5.2. PRELUCRAREA DATELOR FOTOELASTICE.....	429
5.2.1. Etalonarea materialului fotoelastic. Ordinul și valoarea benzii	429
5.2.2. Calculul tensiunilor principale din imaginile fotoelastice.....	430
§ 5.3. FOTOELASTICIMETRIA APLICATĂ ÎN MECANICA RUPERII.....	431
5.3.1. Metoda biparametrică a lui IRWIN.....	431
5.3.2. Metoda BRADLEY-KOBAYASHI.....	433
5.3.3. Metoda SCHROEDEL-SMITH	433
5.3.4. Un nou algoritm C.W. SMITH.....	434
5.3.5. Metoda SMITH pentru modul mixt (I+II) de deplasare a flancurilor fisurii	434
5.3.6. Metodele lui CHEN ZENGTAO și WANG DUO	435
5.3.6.1. Prima metodă CHEN ZENGTAO	435
5.3.6.2. Prima metodă a lui CHEN ZENGTAO îmbunătățită.....	436
5.3.6.3. A doua metodă a lui CHEN ZENGTAO [Z5]/1995	437
5.3.7. Metoda CHEN FENG; SUN ZONQI; XU JICHENG [C28]/1997.....	438
5.3.8. Metoda LI XIAN-FANG și FAN TIAN-YOU [L22]/1998	439
5.4. OBSERVAȚII ASUPRA PROBLEMEI TEST NR. 1. GOLUL CIRCULAR ÎNTR-O PLATBANDĂ DE DIMENSIUNI FINITE SOLICITATĂ LA TRACȚIUNE.....	441
§ 5.5. PLANUL CU GOLURI CIRCULARE. O SOLUȚIE NOUĂ.....	444
5.5.1. Cazul a două orificii circulare identice	445
5.5.2. Cazul a trei orificii circulare identice.....	447
5.5.3. Cazul a două orificii de diametre diferite.....	449
§ 5.6. ANALIZA REZULTATELOR EXPERIMENTALE	455
5.6.1. Etalonare.....	455
5.6.2. Platbanda cu un orificiu circular	457
5.6.3. Două orificii circulare inegale.....	464
5.6.4. Trei orificii circulare egale.....	470
5.6.5. Trei orificii circulare inegale.....	479
5.6.6. Platbanda cu două fisuri coliniare egale.....	486
5.6.7. Platbanda cu o creștătură laterală	491
CAPITOLUL 6	499
PRIVIRE DE SINTEZĂ. CONCLUZII. CONTRIBUȚII.....	499

ANEXE	508
<i>ARGUMENTAȚIE</i>	<i>508</i>
<i>ANEXA 1</i>	<i>509</i>
CÂTEVA ELEMENTE DIN „TEORIA POTENȚIALULUI”. FORMULELE LUI GREEN ...	509
<i>ANEXA 2</i>	<i>525</i>
DESPRE FUNCȚIA LUI GREEN	525
<i>ANEXA 3</i>	<i>530</i>
UTILIZAREA FUNCȚIILOR DE VARIABILĂ COMPLEXĂ ÎN REZOLVAREA PROBLEMELOR PLANE DE TEORIA ELASTICITĂȚII. REPREZENTAREA LUI GOURSAT. ECUAȚIILE LUI KOLOSOV-MUSHELISHVILI.....	530
<i>ANEXA 4</i>	<i>542</i>
COORDONATE CURBILINII	542
<i>ANEXA 5</i>	<i>553</i>
SPAȚIUL LINIAR EUCLIDIAN.....	553
<i>ANEXA 6</i>	<i>558</i>
FUNCȚIA δ A LUI DIRAC	558
<i>ANEXA 7</i>	<i>561</i>
OPERATORI DIFERENȚIALI UZUALI.....	561
<i>ANEXA 8</i>	<i>562</i>
PROBLEMA KELVIN. FORȚĂ CONCENTRATĂ ÎNTR-UN MEDIU INFINIT	562
<i>ANEXA 9</i>	<i>563</i>
CÂTEVA SOLUȚII FUNDAMENTALE UTILIZATE ÎN M.E.Fr.	563
<i>ANEXA 10</i>	<i>566</i>
CÂMPURI SCALARE ȘI CÂMPURI VECTORIALE. CÂTEVA FORMULE UTILE.....	566
<i>ANEXA 11</i>	<i>571</i>
EXTRASE DIN PETERSON [P33]	571
<i>ANEXA 12</i>	<i>582</i>
ÎNCERCARE DE REZOLVARE CU PROGRAMUL „MATHEMATICA” A ECUAȚIEI $\sin \alpha \lambda = \lambda \sin \alpha$	582
<i>ANEXA 13</i>	<i>585</i>
SCURTĂ PREZENTARE A PROFESORULUI JOHAN HELSING DIN SUECIA	585
<i>ANEXA 14</i>	<i>591</i>
COD SURSĂ AL PROGRAMULUI DE CALCUL AL INTEGRALELOR DUBLE CU METODA MONTE CARLO.....	591
<i>ANEXA 15</i>	<i>593</i>
COD SURSĂ AL PROGRAMULUI DE CALCUL AL INTEGRALELOR CU METODA DE CUADRATURĂ GAUSS.....	593
BIBLIOGRAFIE	595

P R E F A Ț Ă

Iată că au trecut ca în zbor șase ani de muncă asiduă, cu transpirație și oboseală, de când am început lucrul efectiv la această teză. Acum sunt la finalul ei, dar nu și al studiului și cercetărilor mele în general asupra minunatelor legi ale lui Dumnezeu lăsate spre descoperire, explorare și utilizare oamenilor. Totuși, nu pot să nu fiu de acord cu afirmația unui recunoscut autor creștin, E.G. White, care a spus: „*Cine aprofundează mai mult cercetarea tainelor naturii, va recunoaște că există adâncuri și înălțimi pe care el nu le poate atinge, taine pe care nu le poate pătrunde, că întinse câmpuri ale adevărului stau încă neexplorate înaintea sa.*”

Țin să mulțumesc la acest sfârșit de cale colectivului Catedrei de Rezistența materialelor, care m-a primit cu colegialitate și pe care l-am simțit întotdeauna alături de strădania mea.

Din cadrul acestui colectiv în mod deosebit mulțumesc d-lui Prof. Dr. Ing. Nicolae FAUR, care m-a învățat și m-a ajutat să-mi însușesc metodele de element finit și de frontieră și care cu generozitate mi-a pus la dispoziție programele COSMOS/M 2.5 și BEASY 8.0; d-lui Conf. Dr. Ing. Liviu MARȘAVINA, care de asemenea cu mult altruism m-a ajutat la cercetările de fotoelasticimetrie; d-lui Asist. Ing. Radu NEGRU, care a participat la activitatea de cercetare bibliografică.

Nu în ultimul rând mulțumesc cu multă căldură d-lui Prof. Dr. Ing. Ionel DOBRE, care m-a încurajat nu de puține ori atunci când împotmolindu-mă pe cale eram gata să renunț. Doresc să apreciez în mod deosebit excepționala sa pregătire profesională și ajutorul enorm pe care mi l-a oferit în mod efectiv, muncind chiar mai mult ca mine în descălcirea problemelor matematice care depășeau puterile mele. Îi rămân pentru totdeauna îndatorată pentru sprijinul acordat cu atâta bunăvoință.

Mulțumesc d-lui Conf. Dr. Ing. Romeo RESIGA de la Catedra de Mașini hidraulice, care mi-a dat programul MS Fortran Powerstation, cu care am lucrat la capitolul 4 al tezei.

Mulțumesc membrilor Comisiei de doctorat, distinșilor profesori universitari P.P. TEODORESCU și Nicolae ILIESCU, mari personalități din domeniul mecanicii, membrii ai Academiei de Științe Tehnice, care au avut bunăvoința să-mi analizeze teza de doctorat și să fie de acord cu susținerea ei publică.

Timișoara, 29 mai 2003

Autoarea

CAPITOLUL 1

STADIUL ACTUAL AL CERCETĂRILOR PRIVIND CALCULUL CÂMPURILOR DE TENSIUNI, DEFORMAȚII ȘI DEPLASĂRI ÎN SOLIDE ELASTICE CU DEFECTE

§ 1.1. INTRODUCERE. PREZENTAREA PROBLEMATICII

La ora actuală cercetarea științifică în domeniul mecanicii corpurilor cu fisuri (sau mai general cu defecte) a postulat anumite concluzii rezultate în principal din experiență, considerate ca puncte de plecare în orice analiză de esență a problemei:

- În toate corpurile solide, indiferent de modul de realizare, de modul de solicitare sau de importanța lor în structura de rezistență din care fac parte, **există defecte**, fie că este vorba de microdefecte de tipul dislocațiilor, vacanțelor, etc., fie că este vorba de macrodefecte de tipul golurilor, incluziunilor, fisurilor, crăpăturilor, tăieturilor, rezultate în special în procesul de elaborare a materialelor în sine sau a structurilor în ansamblu.
- Rezistența solidelor elastice deformabile **depinde în mod esențial** de defectele existente în elementele structurii.
- Sub acțiunea sarcinilor exterioare, care pot fi de natură mecanică, termică sau electromagnetică, microfisurile vor crește și, printr-un proces de coalescență, vor conduce la apariția fisurilor, care la rândul lor se vor propaga, putând conduce la distrugerea locală sau totală a corpului. După cum reiese din experiență acest fenomen este caracteristic mai ales pentru cazul ruperilor fragile și cvasifragile;
- Pentru a putea da un răspuns asupra capacității de rezistență a unui solid elastic solicitat, trebuie să cunoaștem natura și dimensiunile defectelor preexistente și să putem calcula starea de tensiune și deformație în imediata lor vecinătate.

Actualmente, în cazul teoriei liniare a elasticității, s-au rezolvat multe probleme referitoare la starea de tensiune și deformație a corpurilor cu fisuri. Majoritatea acestor soluții se referă la corpurile cu o fisură sau cu un sistem de fisuri, ordonate într-un fel determinat, fără să existe o metoda general valabilă de rezolvare. O încercare de rezolvare unitară a problemelor plane cu fisuri este făcută în monografia lui V.V. PANASIUK, M.P. SAVRUK și A.P. LAȚÎNIN-1976, pe baza metodei ecuațiilor integrale singulare aplicate atât la domenii simplu conexe, cât și la domenii multiplu conexe. Apariția calculatoarelor și a programelor specializate pe rezolvarea numerică a ecuațiilor integrale permite obținerea unor rezultate cu un grad de precizie ridicat.

Obiectivul principal al analizei câmpului de tensiuni și deformații în corpurile cu fisuri este de a obține o imagine globală a stării de tensiune și deformație în zona care include vârful sau frontul fisurii, zonă în care apare procesul progresiv de propagare a fisurii până la rupere. Considerând o comportare liniar elastică pentru a face o caracterizare în termenii valorilor K_I ,

K_{II} , K_{III} , este suficientă cunoașterea câmpului de tensiuni, deformații și deplasări în apropierea vârfului fisurii. În acest sens în literatura specifică de mecanica ruperii sunt cunoscute un număr mare de soluții în formă închisă pentru probleme bidimensionale relative la modul I și modul II de deschidere a fisurii. Sub aspect teoretic acestea sunt valabile numai pentru planul infinit, în special pentru cele care se comporta după modul III. Vom face mai târziu o analiză amănunțită a acestei probleme.

§ 1.2. IDEEA ȘI PROBLEMATICA DEFECTELOR ADMISIBILE

Toată munca depusă de-a lungul anilor în domeniul mecanicii ruperii pleacă de la ideea – pe care am postulat-o mai sus – că nu există structuri de rezistență fără defecte, care apar fie în timpul elaborării materialelor, fie în timpul procesului tehnologic de fabricație, fie în timpul exploatării, ca urmare a acțiunii solicitării și a mediilor active. Din aceste motive varietatea defectelor este extrem de mare, cuprinzând clase de incluziuni, porozități, fisuri, goluri, zone cu caracteristici fizico-chimice și de rezistență modificate, cum ar fi zona de influență termică într-o îmbinare sudată, zone cu tenacitate diminuată printr-un efect tenso-termic etc. Această idee s-a cristalizat în timp, pe baza unui enorm material experimental, de la teoria dislocațiilor din rețele cristaline până la incluziunile grosolane din procesele de turnate. Mai mult, existența unor incluziuni din materiale cu alte proprietăți mecanice a devenit o caracteristică fundamentală în alcătuirea materialelor compozite. S-a schimbat însăși concepția despre fenomenul de rupere, care era privit în accepțiunea clasică a teoriilor de rezistență ca un fenomen global de cedare; astăzi studiile la nivel microscopic relevă faptul că ruperea este un proces puternic localizat, dependent de imperfecțiunile microstructurii: dislocații, vacanțe, agregate de impurități etc., care au în general o distribuție și o variație dimensională profund aleatoare.

Mecanica ruperii (M.R.) s-a dezvoltat pentru cazul defectelor de tipul fisurilor de formă plană, considerat ca un caz extrem de acuitate și pericolozitate. La cealaltă extremitate se află defectele volumice (tridimensionale), de forma cvasi-sferică, elipsoidală, cilindrică circulară etc., care în general afectează rezistența structurii numai în măsura în care diminuează secțiunea periculoasă și induc concentrări de tensiune. Cazurile reale se situează între aceste două extreme și se vor adopta metode diferite de calcul, analiză și interpretare, în funcție de tipul defectului: cele care se apropie de modelul fisurilor plane se vor rezolva prin metodele (M.R.), celelalte cu metodele teoriei elasticității.

De multe ori se folosește pentru descrierea unei aglomerări de pori, incluziuni, fisuri, sau chiar a unei zone cu tenacitate scăzută, un **defect conceptual global de formă circulară sau elipsoidală**, care circumscrie această aglomerare. Această metodă de echivalență se bazează pe constatarea că o aglomerare de pori sau incluziuni se transformă într-o rețea de fisuri prin cedarea punților de material, care despart defectele în primul rând în interiorul aglomerării, cedare care se oprește la limita domeniului înscris în golul echivalent.

Într-o estimare globală pur inginerească a mărimii defectelor admisibile pe baza unei metodologii generalizate, este utilă și necesară adoptarea unei relații simple între parametrii stării de tensiune, mărimea defectului și caracteristica de tenacitate corespunzătoare zonei investigate. În acest scop se utilizează relația:

$$K_{Ic} = \sigma \sqrt{\pi \beta a} \quad (1.2.1)$$

care guvernează inițierea ruperii în condițiile unei stări de tensiune elastice, respectiv:

$$\delta_c = \frac{8\sigma_c a}{\pi E} \ln \left[\sec \frac{\pi \sigma}{2\sigma_c} \right] \quad (1.2.2)$$

în condițiile apariției unei deformații plastice limitate.

Mărimea admisibilă a defectului se determină din condiția ca inițierea ruperii să nu survină la nivelul tensiunii admisibile de proiectare:

$$\sigma_{ad} = \frac{\sigma_c}{c} \quad (1.2.3)$$

unde c este un coeficient de siguranță.

Din formulele precedente, considerând că:

$$\sigma_c = E \varepsilon_c \quad (1.2.4)$$

rezultă (v. CIOCLOV [C45]-1977)

$$\sigma_{ad} = \frac{c^2}{\pi \beta^2} \left(\frac{K_{Ic}}{\sigma_c} \right)^2 = C_1 \left(\frac{K_{Ic}}{\sigma_c} \right)^2 \quad (1.2.5)$$

$$\sigma_{ad} = \frac{\pi}{8} \left[\ln \left(\sec \frac{\pi}{2c} \right) \right]^{-1} \frac{\delta_c}{\varepsilon_c} = C_2 \frac{\delta_c}{\varepsilon_c} \quad (1.2.6)$$

De obicei, în condiții normale de proiectare, se adoptă un coeficient de siguranță global $c=1.5$, ceea ce conduce ca din relațiile (1.2.5) și (1.2.6) să avem:

$$C_1 \cong 0.5 \quad \text{și} \quad C_2 = 0.57 \quad (1.2.7)$$

Datorită experienței limitate până în prezent, în interpretarea defectelor pe baza conceptelor (M.R.) nu s-au cristalizat date privind valorile coeficientului de siguranță. Există numai date limitate la anumite cazuri particulare de structuri, de exemplu în cazul vaselor de presiune se poate considera $c_a = 5$ (după BARTHOLOME și DORNER 1971). După IRWIN (1960) și DUFFY (1969) interpretarea defectelor maxime admisibile în cazul vaselor sub presiune se bazează pe ideea că extinderea fisurii are loc după "scurgerea înaintea ruperii"; această condiție presupune că adâncimea critică a fisurii pentru propagarea instabilă este mai mare decât grosimea peretelui vasului. Când se îndeplinește această condiție, fisura se propagă stabil până străpunge peretele vasului, provocând "scurgerea", înainte de atingerea limitei la care se declanșează propagarea instabilă și deci distrugerea intempestivă a vasului.

§ 1.3. ANALIZA TEMATICĂ A BIBLIOGRAFIEI

Este incontestabil că dezvoltarea mecanicii ruperii fragile a pornit de la lucrările lui GRIFFITH, IRWIN și OROWAN. Progresele însemnate au apărut în ultimele decenii, când pentru cercetarea stărilor de tensiune în plăcile slăbite cu sisteme de fisuri s-au luat în considerare și influența temperaturii, comportării vâscoelastice, anizotropia, neomogenitatea și neliniaritatea, ajungând la formularea și rezolvarea acestor probleme pentru materiale compozite.

1.3.1. Metodele matematice

Metodele matematice cele mai utilizate pentru rezolvarea acestor tipuri de probleme sunt următoarele:

1.3.1.1. Metoda ecuațiilor integrale singulare

Această metodă, întâlnită cel mai frecvent în studiile de (M.R.), pleacă de la transformarea ecuațiilor diferențiale în ecuații integrale, care pot fi mult mai ușor rezolvate cu metode de tip Monte Carlo. Ele se formulează de obicei ca ecuații integrale de contur, care constituie și baza

metodei numerice a elementelor de frontieră. Funcțiile de sub integrală se exprimă sub forma produsului dintre funcția căutată și una din soluțiile fundamentale ale ecuației diferențiale omogene corespunzătoare. În calitate de soluție fundamentală, cel mai adesea se utilizează soluția Kelvin-Somigliana; ecuațiile integrale obținute prin această metodă sunt întotdeauna ecuații singulare. Bazele formulării și rezolvării acestor ecuații au fost puse de MIDLIN și dezvoltate de KUPRADZE. În Cap.3 § 3.3 se prezintă detaliat această problemă.

1.3.1.2. Metoda funcțiilor de variabilă complexă

Se bazează pe ecuațiile lui Kolosov – Mushelişvili, care pentru aplicații efective conduc la ecuații integrale cu nuclee de tip Cauchy. Lucrările dezvoltate pe baza acestei teorii sunt deosebit de complexe și foarte numeroase. În general, utilizarea ecuațiilor integrale este destul de complicată și laborioasă. A se vedea **Anexa nr.3**, Cap.2.

1.3.1.3. Metoda transformărilor integrale

De obicei se folosesc transformate Fourier în sinus și cosinus, transformate Laplace, transformate Mellin. Lucrările fundamentale sunt date de SNEDDON (1952), TRANTER (1956), SNEDDON și BERRY (1958). În rezultatele noi pe care le-am obținut la problema test nr. V am utilizat și eu transformata Laplace.

1.3.1.4. Metoda transformărilor conforme

În problemele de solide cu defecte sunt de remarcă lucrările lui MUSHELIŞVILI (1953), ale lui SHIH (1962), BOWIE (1956, 1964), IRWIN (1957), AKAO și KOBAYASHI (1967), BLOOM (1966), RICH și ROBERTS (1967), NEAL (1970).

1.3.1.5. Dezvoltarea în serie de puteri

1.3.1.6. Metoda aproximațiilor asimptotice

ISIDA (1965), FEDDERSEN (1967), FORMAN și KOBAYASHI (1964), SNEDDON și SRI VASTAV (1971), VENTHEM și KOITER (1973)

1.3.1.7. Metoda separării variabilelor

Cu ajutorul acesteia sunt obținute soluții pentru majoritatea problemelor mediilor cu incluziuni de formă canonică. Metoda se bazează pe utilizarea soluțiilor generale de bază ale teoriei elasticității în sisteme de coordonate ortogonale, care permit separarea variabilelor în ecuațiile lui Laplace sau a lui Helmholtz. Având avantaje indiscutabile, această metodă nu este totuși lipsită de limitări esențiale, care sunt urmările faptului că în ecuațiile indicate variabilele se pot separa numai în anumite sisteme de coordonate curbilini ortogonale.

1.3.1.8. Metoda incluziunii echivalente

Este o metodă larg răspândită în cazul problemelor spațiale sau plane cu neomogenități. A fost propusă de ESHELBY.

Se presupune că în interiorul corpului elastic izotrop o incluziune având un volum oarecare V , limitat de suprafața Σ , suferă o schimbare de formă. Aceasta în lipsa materialului înconjurător s-ar fi caracterizat de o deformare cunoscută omogenă ε_{ij}^0 , numită în continuare deformare liberă. Rezistența mediului înconjurător duce la o stare de tensiune interioară. Se arată că deplasările în corp, u_i , sunt egale cu deplasările de la nivelul forțelor volumice repartizate pe suprafața separării mediilor Σ , și care au mărimea $\sigma_{ij} n_j$, unde σ_{ij} are direcția, condiționată de deformarea ε_{ij}^0 și legată de aceasta cu legea lui Hooke, iar n_j este normala exterioară la suprafața Σ . Astfel

$$u_i = \frac{1}{16\pi G(1-\nu)} \sigma_{,jk}^0 \frac{\partial^3 \psi}{\partial x_i \partial x_j \partial x_k} - \frac{1}{4\pi G} \sigma_{ij}^0 \frac{\partial \varphi}{\partial x_k} \quad (1.3.1.1)$$

unde G este modulul de elasticitate transversală și ν coeficientul lui Poisson.

$$\varphi = \int \frac{dU}{|\vec{r}'| - |\vec{r}|} \quad ; \quad \psi = \int |\vec{r}' - \vec{r}''| dU' \quad ; \quad (1.3.1.2)$$

Dificultatea principală în rezolvarea problemelor pe baza acestei metode constă în calculul funcțiilor φ și ψ .

- lucrările legate de „tensorul lui ESHELBY”, care sunt axate pe studiul incluziunilor elipsoidale, sferice, cilindrice etc. În solide liniar elastice (v. [SB5], [SB36], [B70], [J17], [P52], [SB37], [C36], [SB38], [R24]);
- lucrările lui PODILCIUC N.lu. [P43], [P44] și în special o monografie de excepție [SB21];
- amintesc, mai mult cu titlu de excepție, monografia lui A.I. ALEKSANDROV [A13], apărută în 1978, în care se încearcă o extindere a aplicării funcțiilor de variabilă complexă la probleme spațiale. Am citit o recenzie făcută în **P.M.M.** de doi mari academicieni de la Kiev: A.N. GUZI și Iu.N. PODILCIUC, care au un ton destul de rezervat, deși eu consider că este o carte deosebit de valoroasă.

1.3.1.9. Metoda alternantă

Permite să utilizăm cu succes principiul superpoziției. KANTOROVICI și KRYLOV

1.3.1.10. Metoda cologației

BARTA (1937), YULE și KENDAL (1965), KOBAYASHI (1964), ISIDA (1973)

1.3.1.11. Metodele numerice: MEF și MEFr

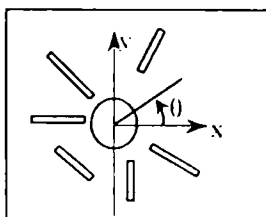
O parte din aceste metode nu sunt comentate în această introducere deoarece au fost prezentate și comentate în cuprinsul lucrării.

Pentru cele două metode numerice fundamentale M.E.F. și M.E.Fr., pe lângă lucrările citate în cuprinsul capitolului 3, voi mai cita:

[G32] L.J.GRAY, A.-V.PHAN, ș.a

- se prezintă o modificare la elementul de vârf de fisură „*sfert-de-punct*” și se utilizează apoi acest element în analiza rupei integrale la limită bidimensională.

[J9] Z.Q.JIANG, A.CHANDRA, Y.HUANG



- se prezintă o tehnică hibridă micro-macro a (M.E.Fr.) cu interacțiuni la scară micro între incluziuni și fisuri.

[A50] M.R. AYATOLLAHI, ș.a

- lucrarea cercetează utilizarea directă a analizei cu element finit pentru calculul tensiunii T pentru încărcări modul I și modul I/II (mixt).

[S74] N. SUKUMAR, ș.a.

- se propune o metodologie pentru a modela găuri arbitrare și incluziuni de material fără a discretiza frontierele interne.

[B36] D.E.BESKOS (Ed). Cap.: „Analiza plăcilor și învelișurilor prin colocația de frontieră”, J.R. Hutchinson

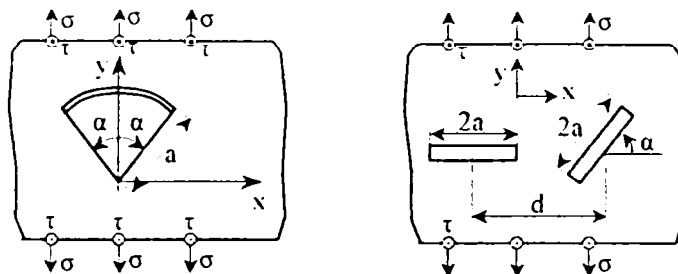
- explică metodologia și trece în revistă cercetările de până acum în ceea ce privește metoda colocației de frontieră aplicată la rezolvarea încovoierii, flambajului și oscilației plăcilor și învelișurilor.

[B16] BARENBLATT

- studiază echilibrul fisurilor care se formează la ruperea fragilă, stabilitatea fisurilor izolate, respectiv legătura cu teoriile energetice.

[P3] ERNIAN PAN

-se prezintă analiza cu M.E.Fr. a (M.R.) linear elastice în solide bidimensionale. Cea mai importantă caracteristică a acestei noi analize este faptul că este o metodă de domeniu-singular, și totuși este foarte precisă, eficientă și versatilă; proprietățile de material pot fi atât anizotrope cât și izotrope; domeniul problemei poate fi finit, infinit sau semi-infinit. Fisurile pot fi multiple, ramificate, interne sau marginale cu o formă dreaptă sau curbă. Încărcarea poate fi plană sau antiplană, și poate fi aplicată de-a lungul frontierei fără fisură sau pe suprafața fisurii.

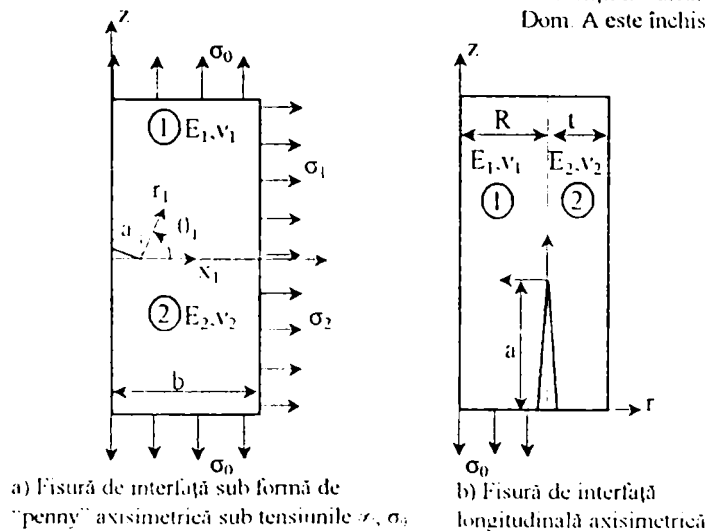
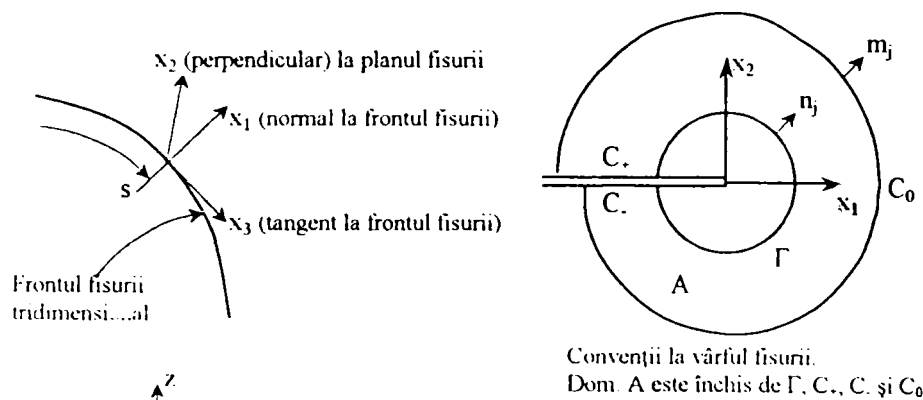


[O2] Y. OCHIAI

Există multe metode automate de generare a rețelei pentru M.E.F. Totuși, pentru cazul complicat al transferului de căldură, trebuiesc adăugate un număr mare de date care depind de poziție. Alte asemenea exemple care necesită adăugarea unor date depinzând de poziție sunt materialele compozite și cele din biomecanică. În lucrare se arată că aceste probleme pot fi rezolvate utilizând o metodă îmbunătățită de elemente de frontieră multiplu reciprocă. În această metodă sunt utilizate linii de contur de distribuție și aceste distribuții sunt presupuse că satisfac aproximativ ecuația lui Poisson.

[N2] R. NAHTA, B. MORAN

- se obțin noi integrale de domeniu pentru probleme de fisuri de interfață axisimetrice.

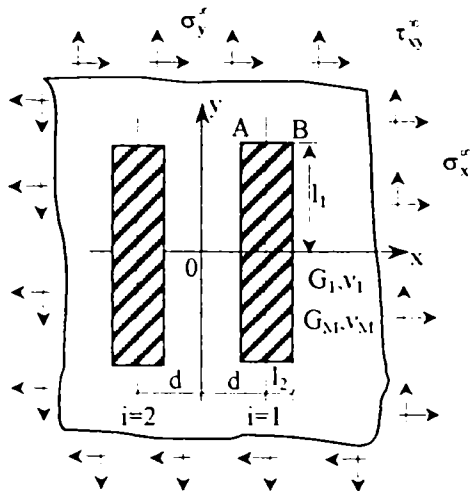


[P24] GLAUCIO H. PAULINO, MUHAMMED T.A. SAIF, S. MUKHERJE

- se prezintă o metodă și o ecuație integrală de frontieră pentru un corp omogen și izotrop liniar elastic și de formă arbitrară, cu o fisură curbă încărcat astfel încât să avem o sollicitare de forfecare antiplană.

[N20] N.A. NODA, Q. WANG, ș.a.

- Lucrarea prezintă soluții numerice a unor ecuații integrale singulare cu singularități de tip Cauchy în probleme de interacțiune a incluziunilor rectangulare sub diferite condiții de încărcare.



[A31] N. ARAVAS

- Este analizat în detaliu un algoritm stabil necondiționat pentru integrarea numerică a relațiilor constitutive elasto-plastice dependente de presiune. Se discută aplicarea metodei la probleme de tensiuni plane, la care componenta de deformare în afara planului nu este definită cinematic.

[A33] D.N. ARNOLD, R.S. FALK

- Propun o nouă formulare variațională mixtă pentru ecuațiile elasticității liniare. Nu necesită tensori simetrici și în consecință e ușor de discretizat adaptând elemente finite mixte dezvoltate pentru ecuații eliptice scalare de ordinul doi.

[E10] KJELL ERIKSSON

- Deduce expresia generală în coordonate curbilini de a unei integrale de arie pentru o fisură cu un front curbat.

[E6] KJELL ERIKSSON

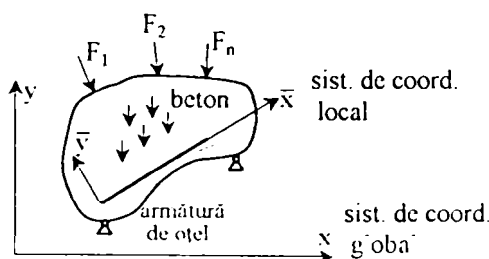
- Se deduce o valoare în puncte a integralei J pentru o fisură axisimetrică plană, care este independentă de cale și se furnizează rata de scădere a energiei din tensorul Eshelby, considerat în coordonate cilindrice.

[E9] KJELL ERIKSSON

- prezintă integrala F, care este expresia generală a forței de extindere a fisurii pentru o fisură curbă în trei dimensiuni, și reprezintă o generalizare a integralei J la fisuri curbe în coordonate curbilini ortogonale.

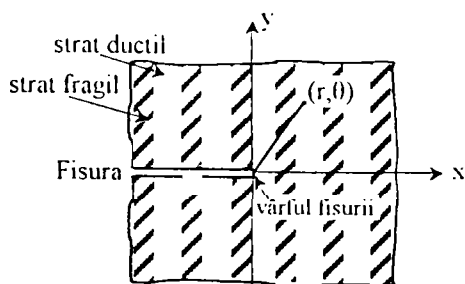
[G29] G. GOSPODINOV

- se propune un model liniar simplu de element de frontieră capabil să trateze problema neomogenității în beton armat plan datorită prezenței armăturii.

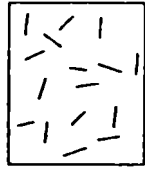


[J6] M. JHA, P.G. CHARALAMBIDES

- se face o analiză cu element finit a tensiunii plane din apropierea vârfului unei fisuri care se termină la și este perpendiculară pe interfață într-un laminat constând din straturi alternative fragile și ductile, sub încărcare modul I.



[H40] Y. HUANG, ș.a.

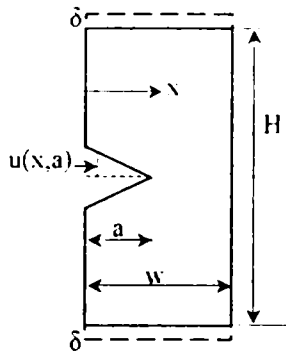


- prezintă o eto. numerică hibridă (M.E.Fr.), împreună cu un model de celulă unitate pentru a evalua modelele efective a solidelor microfisurate.

[I12] A.S.M. ISRAIL, P.K. BANERJEE

- prezintă formularea și implementarea numerică prin M.E.Fr. a elastoplasticității dinamice tranzitorii bidimensionale.

[J14] I.S. JONES



- dezvoltă și verifică o funcție pondere pentru o geometrie cu fisură marginală singulară cu capete de prindere.

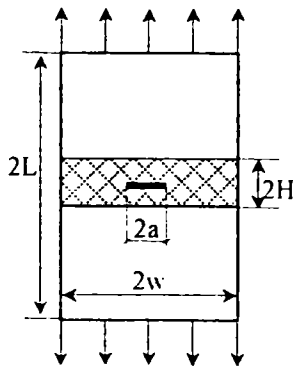
[K40] M. KIKUCHI, ș.a.

- fac o analiză a ruperii pentru materiale compozite metal-matrice utilizând M.E.Fr.

[L17] P. LESAIN, P.A. RAVIART

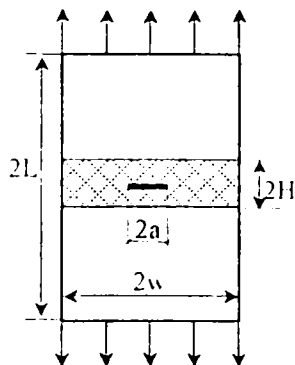
- utilizând metode de element finit și metode de cologație asociate se rezolvă sisteme hiperbolice de ordinul întâi, pozitive în sensul lui Friedrichs.

[L32] G. LIN, Y.-J. KIM, ș.a.



- se studiază, făcând o analiză detaliat de element finit, ruperea ductilă a unei probe de tensiune, constând dintr-o foiță de metal legată între două substraturi elastice, cu o fisură localizată în centrul metalului.

[L31] G. LIU, X.-G. MENG, ș.a.



- prezintă studii numerice cu privire la efectele de dezechilibru a rezistenței în îmbinări sudate.

[S33] J.W. SIMONS, ș.a.

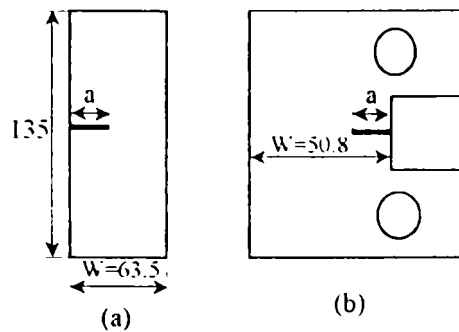
- descrie unele metode de a modela distrugerii de materiale în calculele de M.E.Fr.

[S32] P. SILVESTER

- propune o nouă variantă pentru elemente finite triunghiulare de mare precizie utile pentru soluții numerice a unor probleme de câmp ce implică ecuații Laplace, Poisson, Helmholtz sau ecuații diferențiale parțiale eliptice înrudite în două dimensiuni.

[W12] C.-Y. WANG

- obține soluții explicite pentru funcțiile lui Green elastostatice bidimensionale în solide anizotrope generale (utilizând o tehnică de reprezentare integrală și apoi o aplicare a calculului rezidual).

[Y5] C. YAN, Y.-W. MAI

- fac o analiză amplă de element finit pentru a investiga câmpurile de tensiuni și deformații în fața unei fisuri care crește pentru probe cu tensiune compactă ($a/W=0.5$) și încovoiere în trei puncte ($a/W=0.1$ și 0.5) în condiții de tensiune plană.

[Y4] B. YANG, K. RAVI-CHANDAR

- o structură elastostatică fisurată este divizată artificial în subdomenii de topologie mai simplă astfel încât ecuațiile integrale duale clasice să poată fi aplicate adecvat fiecărui domeniu.

- se dă o formulare de element de frontieră dual pentru domeniu singular, ce încorporează un model de zonă coezivă pentru fisuri elastostatice.

[Z9] N. ZHANG, P.F. JOSEPH

- prezintă o formulare de element finit bazată pe deplasări pentru analiza câmpurilor de tensiuni singulare în materiale călibile sub condițiile deformației plane.

[P53] N. N. V. PRASAD, M. H. ALIABADI, D. P. ROOKE

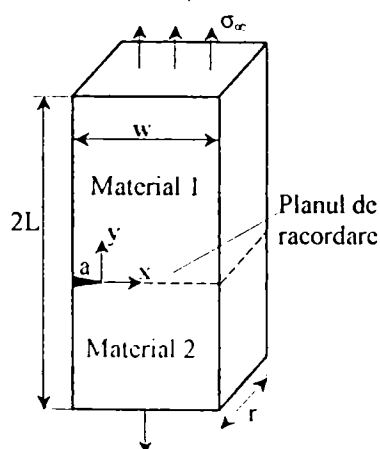
- se prezintă o formulare de element de frontieră bi-dimensională care nu necesită discretizarea domeniului și permite o analiză cu regiune unică, pentru probleme de fisuri termoelastice tranzitorii.

[J8] JIAN NIU, MAO S. WU

- determină numeric factorii de intensitate a tensiunilor pentru fisuri răsucite care interacționează într-un solid și deformațiile generale ale solidului sub tensiune uniaxială la infinit.

[B37] D.E. BESKOS – BEM MECHANICS – cap V: Analiză elastodinamică avansată.

- se prezintă bazele teoretice ale M.E.Fr. în analiza elastodinamică.

[O17] N.P. O'DOWD, P.J. BUDDEN

- În multe aplicații practice apar racorduri între materiale diferite. Efectul acestui amestec de materiale trebuie luat în considerare în aprecierile integrității structurale. În special, aprecierea creșterii fisurii în interfețe trebuie să ia în considerare efectul lui J și, la temperaturi de fluaj, C^* . În lucrare sunt prezentate rezultate de element finit pentru geometrii cilindrice bimateriale în funcție de integrala J pentru domenii în condiții intermediare, (între elastice și condiții total plastice).

1.3.2. Cercetarea stării de tensiune și deformație în medii spațiale cu incluziuni

Pe plan istoric una din primele cercetări a stării de tensiune-deformație a mediilor cu incluziuni a fost cu privire la repartizarea tensiunilor în apropierea orificiilor izolate și a incluziunilor în spațiu nelimitat. Lucrarea lui Goodier a fost destinată studiului concentrării tensiunilor în apropierea incluziunilor sferice sau a orificiilor de aceeași configurație în câmpul tracțiunii monoaxiale. H. Neuber, pe baza funcțiilor armonice a obținut din nou soluțiile problemelor examinate mai sus pentru spațiul cu orificiu sferic.

NEUBER [N10] a rezolvat probleme cu privire la repartizarea tensiunilor în apropierea orificiului sferoidal care se găsește în câmpul tensiunii monoaxiale, a încovoierii pure și a torsiunii. EDWARDS R.N. a utilizat rezultatele lucrării lui GOODIER pentru studiul stării de tensiune în spațiul cu incluziune sferică și cu orificiu sferic. El a determinat de asemenea tensiunile termice care apar la schimbarea temperaturii în mediul component. Problemele cu privire la starea de tensiune-deformație în corpuri cu orificiu sferoidal sau incluziuni s-au examinat cu ajutorul diferitelor metode într-o serie întregă de lucrări. Autorii SHIBATA M. și ONO K. au realizat soluția numerică a metodei Eshelbi pentru rezolvarea problemelor cu privire la incluziunea elastică sferoidală în spațiul infinit. Este prezentat un material grafic bogat pentru ilustrarea schimbării mărimii tensiunilor din incluziune în funcție de forma acesteia. Câmpul tensiunilor în apropierea incluziunilor nu s-a determinat.

Probleme cu privire la tensionarea spațiului nelimitat datorită incluziunilor sub formă de elipsoid de rotație au fost rezolvate de către S.C. DAS. Tot acest autor arată rezultatele analizei numerice pentru incluziuni de formă sferică și de asemenea incluziuni sub formă de sferoidă întinsă și aplanată.

În mai multe lucrări s-a obținut repartizarea tensiunilor în spațiul nelimitat cu orificiu de formă elipsoidală pentru diferite tipuri de încărcare. S-a considerat că direcția tensiunilor aplicate la infinit coincide cu direcția axelor principale ale elipsoidului. Rezolvarea problemelor s-a obținut utilizând sistemele de coordonate carteziane și elipsoidale. Într-un articol al lui ROBINSON K. se dă atenție influenței formei incluziunii asupra energiei elastice a deformației. ESHELBI a arătat că dacă suprafața incluziunii este o elipsoidă, atunci câmpul de tensiuni omogen la infinit produce în incluziune de asemenea un câmp omogen de tensiuni. Mai departe, tot ESHELBI a demonstrat o afirmație mai generală, și anume că: dacă la infinit tensiunea (respectiv deformația) se dă sub formă de polinom de grad oarecare, atunci în interiorul incluziunii de formă elipsoidală tensiunea (respectiv deformația) se vor exprima cu polinoame de același grad.

Posibilitatea determinării câmpului tensiunilor în afara elipsoidului cu metoda incluziunii echivalente este indicată în lucrarea lui ESHELBI [SB5]. Mai multe lucrări sunt destinate analizei stării de tensiune în apropierea incluziunii elipsoidale după metoda lui Eshelbi [R24], [M68], [P44], [C36], [P52], [J17],[B70].

O soluție completă, închisă, pentru incluziunea elastică elipsoidală în mediu nelimitat a fost obținută în lucrările lui PODILCIUK [P43]. Se cercetează câmpul tensiunilor în apropierea incluziunii produsă de o forță arbitrară omogenă la infinit, și de asemenea în cazul când la infinit tensiunile sunt date sub formă de funcție liniară a coordonatelor. Rezolvarea se bazează pe utilizarea metodei lui Fourier și prezentarea soluției ecuațiilor de echilibru sub forma Pankovici-Neuber.

Soluția aproximativă a problemei cu privire la incluziuni elipsoidale au fost obținute de mai mulți autori. S-a cercetat cazul tracțiunii monoaxiale [P14] și al forfecării spațiului la infinit. Rezolvarea problemelor s-a redus la ecuații integrale singulare bidimensionale. În formă închisă sunt date expresiile pentru determinarea tensiunilor în interiorul incluziunii și de asemenea în apropierea acesteia. Pe baza rezultatelor din [P14], autorii SLADEK V. și SLADEK J. au obținut de asemenea ecuații integrale singulare care se propune să fie rezolvate numeric. În acest scop se

elaborează algoritmul soluționării numerice a ecuațiilor integrale de acest tip. Rezultatele arătate aici a analizei numerice pentru incluziuni elipsoidale ilustrează eficiența algoritmului.

Într-o serie de lucrări metoda incluziunii echivalente propusă de Eshelbi pentru materiale izotrope a fost lărgită pentru cazul anizotrop.

Una din primele cercetări destinate problemei de interacțiunii dintre a neomogenitățile spațiale o putem considera ca fiind lucrarea lui E. STERNBERG și M.A. SADOWSKY (v. [P14]), în care s-a examinat problema de axă simetrică cu privire la două orificii sferice în spațiul nelimitat. Alți autori au studiat cazul când sarcina apare pe seama câmpului centrifugal al forțelor de inerție. Ei au obținut soluțiile problemei cu privire la interacțiunea a două orificii sferice în spațiul nelimitat. S-a studiat deasemenea gradul de interacțiune a două incluziuni rigide sferice în corp infinit. S-a cercetat și interacțiunea a două orificii sferice în câmpul torsiunii pure. Problema analoagă pentru două incluziuni rigide sferice a fost examinată de HILL. Aici problema utilizării polinoamelor Legendre se reduce la un sistem infinit de ecuații algebrice liniare, care se rezolvă numeric.

Soluții aproximative a problemei cu privire la concentrarea tensiunilor în apropierea a două incluziuni sferoidale turtite în câmpul tracțiunii monoaxiale s-au obținut în mai multe lucrări. Se examinează cazul situării coplanare și paralele a incluziunilor fine în spațiu.

Ecuația generală pentru cazul numărului arbitrar de incluziuni fine coplanare, limitat de suprafețe netede, care se găsesc în câmpul solicitării simetrice față de plan, a servit ca bază pentru o serie de cercetări privind determinarea concentrării tensiunilor în spațiul cu incluziuni. Sunt examinate variantele deplasării incluziunilor sferoidale în vârful triunghiului și a pătratului, a trei incluziuni de-a-lungul unei drepte și diferite variante de situare periodică a incluziunilor într-un plan a spațiului. În toate cazurile sarcina s-a dat sub formă de întindere monoaxială la infinit. Soluțiile au fost obținute cu metoda asimptotică a parametrului mic [P14].

Există o serie de lucrări destinate studiului influenței graniței corpului asupra concentrației tensiunilor în apropierea incluziunilor. Cea mai simplă clasă dintre acestea tratează problema semispațiului care conține o incluziune. Torsiunea semispațiului cu orificiu sferic cu un moment concentrat în planul graniței a fost examinat în articolul lui S.C. DAS.

Influența suprafeței corpului cilindric asupra concentrației tensiunilor în orificii și incluziuni pentru diferite cazuri de solicitare exterioară a fost studiată în foarte multe lucrări: S-a cercetat starea de tensiune în cadrul torsiunii corpului cilindric cu orificii sferice și incluziuni rigide și de asemenea la torsiunea cilindrului circular cu orificiu sferic și sferoidal; s-a tratat problema cu privire la determinarea tensiunilor în cilindrul circular cu incluziuni sferice clasice la încovoire și întindere; S-a examinat torsiunea cilindrului cu incluziuni sferice și sferoidale, ținând cont de anizotropia proprietăților elastice a materialului.

M.M. STADNIK a construit ecuații integrale pentru soluția aproximativă a problemei teoriei elasticității în cazul corpurilor de dimensiuni finite care sunt limitate cu margini plane și conțin sisteme de incluziuni arbitrar orientate. Tratarea se bazează pe utilizarea condițiilor de interacțiune a mediului cu incluziuni de tipul ipotezei lui Winkler și utilizarea transformărilor integrale ale lui Fourier.

Pentru a încheia informarea bibliografică legată de problemele spațiale, care nu se regăsesc de fapt în cuprinsul tezei, voi cita, pe scurt, următoarele lucrări:

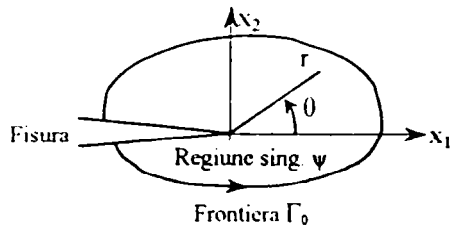
[O11] OSADCIUC V.A.

- face analiza câmpurilor de tensiuni cauzate de fisuri de diferite lungimi într-un înveliș cilindric. Se presupune un înveliș cilindric infinit având și fisuri drepte axiale. Se obține un sistem de 4N ecuații integrale singulare.

[E11] KJELL ERIKSSON

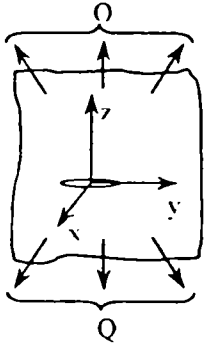
- o expresie integrală independentă de domeniu, care este derivată din principiul lucrului mecanic virtual și care este valabilă în coordonate curbilinii, este utilizată pentru a deduce rata de scădere a energiei pentru o fisură în formă de „penny” într-un solid piezo-electric liniar.

[L18] A.Y.T. LEUNG, R.K.L. SU



- bazat pe ecuațiile lui Navier tridimensionale în coordonate cilindrice se deduc funcțiile generale în deplasări atât pentru fisuri circumferențiale cât și pentru fisuri în formă de „penny” prin metoda dezvoltării după funcțiile proprii.

[P7] PANASIUK V.V.



- rezolvă probleme referitoare la echilibrul corpului fragil infinit, slăbit cu o macrofisură interioară care are în plan o formă apropiată de cerc.

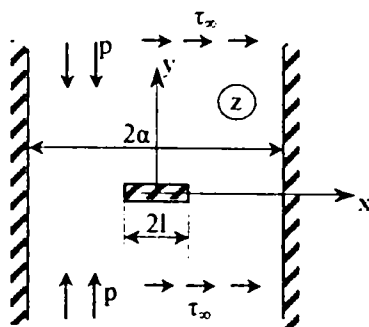
[N9] V.N. NEMIȘ

- examinează problema repartizării tensiunilor în cazul torsionării corpurilor ortotrope de rotație cu orificii cilindrice și cu incluziuni rigide.

[SB47] L.V. RATICI, S. Ia. IAREMA

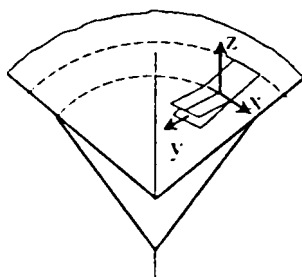
- se descrie efectul (observat experimental) de creștere a rezistenței la torsionare a epruvetelor cilindrice fragile cu concentratori inelari în comparație cu epruvete fără concentratori, și se dă explicația acestui fenomen.

[C9] G.P. CEREPANOV, R.S. KOCIAROV



- se studiază dezvoltarea alunecării într-un metal policristalin și în roci cu fisuri.

[K57] A.V. KRISHNA MURTY, A. NAGAMANI

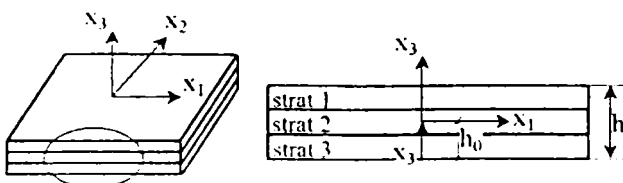


- se studiază efectul de scădere a energiei în raport cu orientarea fisurii, ținând cont de axele de ortotropie.

[U4] UWADIEGWU B.C.O. EJIKE

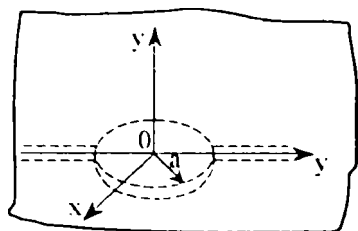
- se consideră problema fisurii circulare plane într-un corp elastic omogen și izotrop sub tensiune uniaxială uniformă normală la planul fisurii și sunt calculați factorii de intensitate a tensiunilor.

[B30] H.C. BEOM, Y.Y. FARMME



- este dezvoltată o nouă metodă de analiză a unei plăci compuse din straturi subțiri de material liniar elastic izotrop.

[P16] K.S. PARIHAR, J.V.S. KRISHNA RAO



Geometria problemei

- se dă o soluție a ecuațiilor de echilibru corespunzătoare încărcării axisimetrice pe fețele unei fisuri plane care acoperă exteriorul unui cerc de rază a într-un corp infinit elastic izotrop.

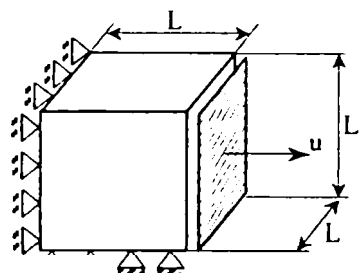
[L44] N. LOUAT

- utilizând conceptul de mediu continuu cu dislocații se studiază fisuri în trei dimensiuni. Dependența spațială a deplasării suprafeței fisurilor este formulată ca o ecuație integrală înrudită cu cea a lui Abel.

[T41] J. TWEED, D.P. ROOKE

- se determină (utilizând teoria transformatei Mellin) factorii de intensitate a tensiunilor și energia de rupere a fisurii unei aranjament simetric de fisuri marginale într-un cilindru circular solicitat la torsiune.

[M57] J. MOSLER, G. MESCHKE



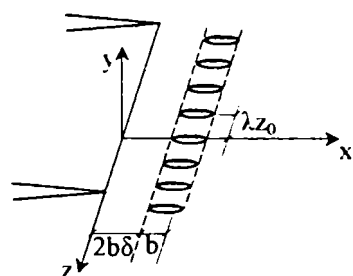
$E = 20.0 \text{ kN/m}^2$
 $H = 4.0 \text{ kN/m}^2$
 $L = 1.0 \text{ m}$
 $\nu = 0.1$
 $\sigma_y = 20.0 \text{ kN/m}^2$

Geometria și parametri de material a barei 3D solicitată la tracțiune

- Lucrarea prezintă o extensie a SDA pentru analiza 3D cu metoda elementului finit a fisurilor în medii elastoplastice. Aplicabilitatea modelului SDA de element finit precum și performanțele sale numerice sunt investigate cu ajutorul unui exemplu 3D academic.

$E = 20.0 \text{ kN/m}^2$
 $H = 4.0 \text{ kN/m}^2$
 $L = 1.0 \text{ m}$
 $\nu = 0.1$
 $\sigma_y = 20.0 \text{ kN/m}^2$

[K29] B.L. KARIHALOO, X. HUANG



- se arată că pentru o anumită configurație de fisuri în mod I de-a lungul marginii unei fisuri a semiplanului datorată deschiderii uneia sau mai multor fisuri coplane în formă de "penny" în apropierea marginii, are aceeași comportare asimptotică logaritmică ca și cea a perechii sale bidimensionale de deformare plană.

[S39] E. SMITH

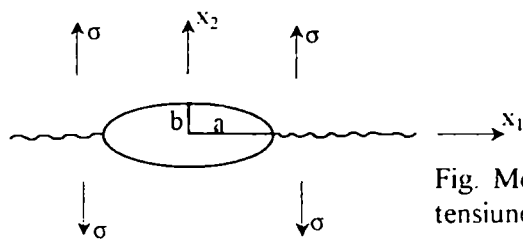


Fig. Modelul unei găuri eliptice într-un solid infinit supus la o tensiune de întindere; există zone coezive la rădăcinile găurii.

- formulează relațiile efectului de mărime asociat cu efectul unei concentrații de tensiuni asupra ruperii unui material cvasi-fragil.

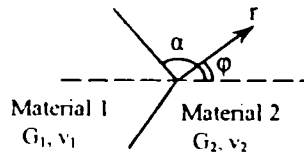
[S10] C.R. SCHULTHEISZ, ș.a.

- se prezintă o comparație între câmpurile de deplasări numerice și experimentale tridimensionale, care înconjoară o creștătură/fisură într-un oțel ductil 4340 testat la încovoiere prin trei puncte.

[O4] Z. OLESIAK

- se pune problema de a determina distribuția de tensiune de suprafață $p(\rho) = -\sigma_{zz}(\rho, 0)$ necesară pentru a menține fisura în formă de „penny” $0 \leq \rho \leq a$, $z = 0$ în forma $u_z(\rho, 0) = w(\rho)$, $0 \leq \rho \leq a$. Utilizând teoria transformatei Hankel și teoria ecuațiilor integrale duale se găsește o soluție într-o formă care implică două integrări simple. Se investighează în detaliu și clasa deplasărilor $w(\rho) = \epsilon(1 - \rho^2/a^2)$.

[P36] CĂTĂLIN R. PICU



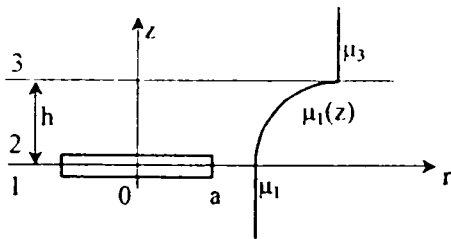
Detalii la un vârf conic

- este analizată problema axisimetrică a singularității de la vârful unei incluziuni conice fixată într-o creștătură conică. Tensiunea de forfecare se consideră că se anulează de-a lungul interfeței în timp ce tensiunea normală este transmisă complet.

[M4] A.C. MAL

- se consideră problema difracției undelor normal incidente longitudinale și torsional elastice pe o fisură în formă de „penny” localizată într-un mediu elastic infinit și izotrop.

[O16] MURAT OZTURK, FAZIL ERDOGAN

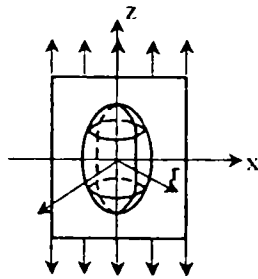


- se consideră problema unei fisuri în formă de „penny” în materiale omogene diferite îmbinate printr-o regiune interfacială cu proprietăți mecanice gradate. Sarcinile aplicate sunt considerate a fi axisimetrice, dar arbitrare în rest.

[F27] W.S. FU, L.M. KEER

- sunt căutate distribuțiile de tensiuni într-un solid elastic infinit când încărcările sunt prescise peste două regiuni circulare coplanare.

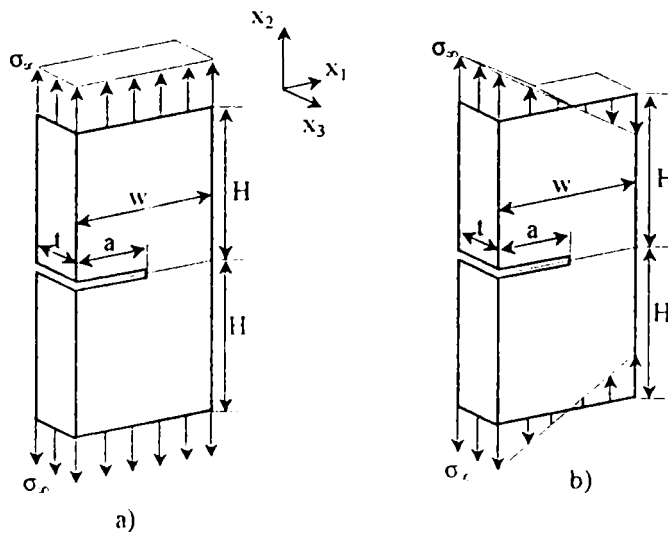
[H11] H. HASEGAWA, K. YOSHIIE



- se ia în discuție problema concentrației tensiunilor unui solid elastic cu o incluziune elastică circulară cilindrică sub tensiune.

[N4] T. NAKAMURA, D. PARKS

- se prezintă o metodă de calcul bazată pe o „integrală de interacțiune” pentru a evalua tensiunea elastică T de-a lungul fronturilor fisurilor tridimensionale. Utilizând această procedură sunt determinate distribuții de tensiuni T pentru unele geometrii tridimensionale, rezultate din calcule de element finit.

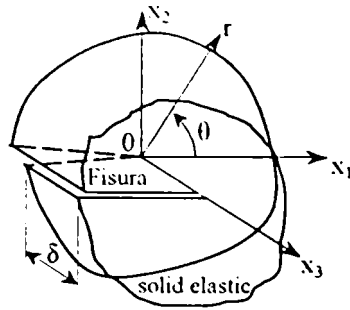


Placă sollicitată la
a) tracțiune
b) încovoiere

[F1] V.I. FABRIKANT

- se descrie o soluție completă la problema unei fisuri circulare externe într-un corp transversal izotrop supus la o forfecare arbitrară.

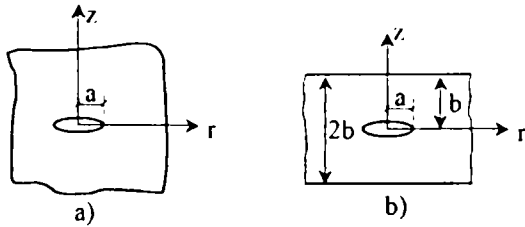
[M25] G. MEDA, T.W. MESSNER, ș.a.



În mecanica ruperii un număr de aplicații reale au în mod intrinsec geometrii de fisură tridimensională, necesitând de aceea extragerea factorilor de intensitate a tensiunilor sub astfel de circumstanțe. În lucrare sunt examinate două metode pentru aceasta:

- 1) o integrală J tridimensională
- 2) integrale H tridimensionale, pentru fiecare nod de dezvoltare a fisurii.

[J5] S.P. JEON, Y. TANIGAWA

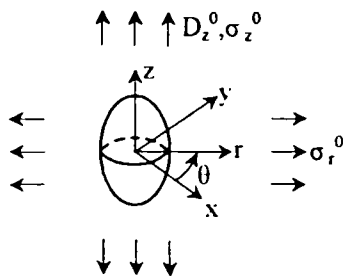


- sunt tratate teoretic comportarea elastică axisimetrică și factorul de intensitate a tensiunilor pentru un mediu neomogen cu o fisură în formă de penny.

[K34] W.D. KEAT, ș.a.

- se prezintă o procedură care se pretează bine pentru identificarea unor fisuri tridimensionale sub-suprafață (subterane) într-un semi-spațiu prin inversiunea deplasărilor de suprafață măsurate.

[K48] L. KOGAN, ș.a.



- obțin soluții sub formă închisă exacte pentru câmpul de tensiune a unei incluziuni sferoidale piezo-electrice într-o matrice infinită piezo-electrică supusă la încărcări mecanice și electrice spațial omogene departe de incluziune.

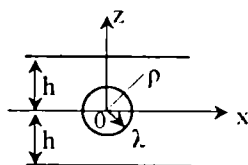
[K64] V.I. KUSHCH

- obține soluția strictă în serie a problemei teoriei elasticității pentru un domeniu nemărginit conținând unele neomogenități sferoidale aliniate sub încărcări uniforme la distanță.

[L40] V.V. LOBODA, A.E. SHEVELEVA

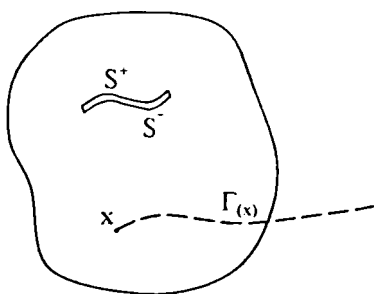
- se examinează o fisură în formă de penny în partea centrală a unui cilindru semiinfiniț, având un capăt fixat.

[L9] DOO-SUNG LEE



- prezintă analiza asimetrică a distribuției de tensiuni care apare într-o dală infinită izotropă cu o cavitate sferică localizată simetric sub o tensiune uniformă unidirecționată.

[S51] SONGSHAN LI, M.E. MEAR



- se aplică o procedură sistematică pentru a dezvolta ecuații integrale reduce la simplități pentru discontinuități de deplasare în medii elastice liniar omogene tridimensionale.

[S10] C.R. SCHULTHEISZ, ș.a.

- fac un studiu detaliat a deformației tridimensionale la vârful unei creștături într-o placă de oțel ductil încărcată la încovoire prin trei puncte.

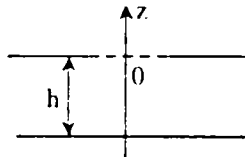
[S56] R.P. SRIVASTAV, D. LEE

- studiază câmpurile de tensiuni într-un mediu infinit omogen și izotrop conținând o cavitate cilindrică și o fisură exterioară care o înconjoară. Se consideră atât eforturi mecanice cât și termice.

[S58] K.N SRIVASTAVA, R.M. PALIYA

- investighează echilibrul termoelastic a unui solid semiinfinit conținând o fisură în formă de penny situată paralel la frontiera liberă.

[S57] K.N. SRIVASTAVA, KRIPAL SINGH



- fac o analiză a distribuției tensiunilor într-un solid elastic semiinfinit când acesta este deformat de aplicarea unei presiuni pe suprafața interioară a unei fisuri în formă de penny situată paralel la frontiera liberă.

[W8] X.M. WANG, S.GAO, Y.H. CHEN

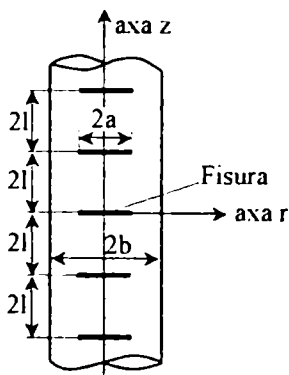
- studiază problema interacțiunii macro/micro-fisură într-un corp izotrop infinit.

[X2] G. XU, A.F. BOWER, M. ORTIZ

- se prezintă o metodă pentru calculul factorilor de intensitate a tensiunilor la vârful unei fisuri tridimensionale ușor ondulată.

[W14] K. WATANABE, A. ATSUMI

- studiază un cilindru circular lung având un rând infinit de fisuri în formă de penny.



[Y16] C.K. YOUNGDAHL

- introduce un set de trei funcții de tensiune care e util în rezolvarea problemelor de electrostatică tridimensională în coordonate cilindrice generale și, în particular, probleme ne-axisimetrice în coordonate cilindrice circulare.

[Y6] Q.S. YANG, Q.H. QIN

- prezintă o nouă tehnică numerică pentru a simula procesul de propagare a fisurilor pentru solide neomogene.

[L3] I. P. LAUȘNIK, M. V. HAI

- studiază problema tridimensională de termoelasticitate pentru corpul cu sistem de fisuri periodice în formă de disc.

1.3.3. Mediu omogen plan cu unul sau mai multe orificii

Metodele cele mai eficiente pentru rezolvarea problemelor de limită în cazul teoriei elasticității plane care folosesc aparatul teoriei funcțiilor cu variabile complexe se bazează pe posibilitatea construirii de funcții sub forma analitică simplă (sub formă de polinom sau de funcție rațională), care realizează reprezentarea conformă, exactă sau aproximativă, a domeniului dat pe un cerc unitate.

Din această cauză metodele teoriei funcțiilor de variabilă complexă sunt încă prea puțin dezvoltate pentru rezolvarea eficientă a problemelor cu domenii multiplu conexe. Totuși pentru unele clase particulare de domenii multiplu conexe se poate construi o soluție suficient de eficientă.

1.3.3.1. Soluțiile efective ale problemelor la limită pentru domenii dublu conexe. Metoda lui D.I. SHERMAN.

În ultimul timp au fost elaborate metode de soluționare a problemelor la limită ale teoriei plane a elasticității pentru o anumită clasă de domenii dublu conexe. De acestea aparțin domenii finite și infinite, limitate de două contururi închise de forme speciale. Pentru a delimita respectiva clasă se ia în considerare domeniul exterior respectiv interior în raport cu una din curbele frontieră, domeniu care conține în interiorul său cealaltă curbă frontieră, și se cere ca problema în cauză să aibă o soluție efectivă pentru acest domeniu dublu conexe.

În acest fel întreaga frontieră a domeniului poate fi compusă din cercuri, elipse, poligoane regulate cu vârfuri rotunjite, etc. Metoda la care ne referim a fost propusă de D.I. SHERMAN [SB6] și a fost folosită în versiunea ei inițială pentru rezolvarea problemelor de torsiune și încovoieră a barelor elastice, fiind ulterior aplicată în cazul problemelor de deformare plană.

În particular, în legătură cu această problemă au fost analizate o serie de probleme concrete asupra planelor (resp. semiplanelor) slăbite datorită a două orificii. Se presupune că orificiile în semiplan sunt situate la o distanță suficient de mare de frontiera rectilinie. În aceste condiții, neglijând așa numitele tensiuni inițiale, se poate neglija satisfacerea exactă a condițiilor la limită a semiplanului. La determinarea unor tensiuni suplimentare, condiționate de prezența orificiilor (concentratorilor), este permis să se înlocuiască semiplanul, fără a deforma starea de tensiune în apropierea orificiilor, prin întregul plan complex.

Metoda Sherman se poate aplica la majoritatea problemelor plane ale teoriei elasticității și a fost ilustrată pentru prima oară într-un caz relativ simplu: semiplan slăbit cu două orificii circulare neegale. În cercetările ulterioare ale aceluiași autor, metoda a fost supusă transformărilor și ca rezultat s-a obținut un grad de simplificare a etapelor intermediare în decursul rezolvării și o scădere a volumului operațiilor, ceea ce a permis ca procesul rezolvării să aibă un caracter de recurență. Ulterior SHERMAN și colaboratorii săi au rezolvat o serie de probleme din teoria plană a elasticității care prezintă interes din punct de vedere al aplicațiilor.

Vom cita câteva din acestea. Însuși SHERMAN este autorul rezolvării problemelor de elasticitate în semiplan slăbit cu două orificii apropiate circulare sau eliptice, sau orificii apropiate circulare așezate periodic, un orificiu eliptic așezat aproape de marginea frontierei rectilinii, precum și alte probleme analoage.

L.N. KISLER a rezolvat problema planului, cu greutate proprie, cu orificii circulare și eliptice, într-o altă ipoteză, când orificiile au fost situate în mod arbitrar unul față de altul. Modificând etapele intermediare de studiu al procesului, autorul a simplificat considerabil schema de calcul. Acest lucru a ușurat calculele numerice și a permis și o analiză amănunțită a câmpului de tensiune pentru câteva cazuri care prezintă interes în ce privește amplasarea orificiilor. Cazul particular a două orificii nesimetrice circulare în raport cu frontiera rectilinie, a fost analizat tot de KISLER. ARAMANOVICI a studiat o problemă care prezintă interes în practică, și anume cazul tensiunilor într-un semiplan elastic cu orificii neadâncite de formă circulară, întărite cu un inel dintr-un alt material. Acțiunea exterioară poate fi diferită, ca de exemplu presiunea normală asupra conturului interior al inelului lipit, întinderea semiplanului cu ajutorul unor forțe paralele cu marginea rectilinie, sarcina concentrată la capătul semiplanului etc. Folosind metodele de mai sus, ARAMANOVICI a construit ecuațiile integrale ale lui Fredholm pe o axă reală, ecuațiile integrale, au fost apoi înlocuite cu un sistem infinit de ecuații liniare algebrice cvasi-regulate pentru orice distanță a orificiului circular față de marginea semiplanului. Din exemplele concrete analizate în aceeași lucrare, elaborate până la capăt și cu

rezultate numerice, prezintă un interes deosebit cazul marginilor situate foarte aproape între ele (informații preluate din MUSHELIȘVILI [M70] Cap.8).

Într-o altă lucrare ARAMANOVICI analizează cazul semiplanului slăbit cu orificii circulare, când pe frontiera rectilinie a mediului sunt date condițiile de tip combinat. Autorul modifică metoda lui Sherman și reduce mai întâi problema la ecuațiile integrale ale lui Fredholm, iar apoi la un sistem infinit de ecuații algebrice liniare cvasi-regulat pentru orice dimensiune relativă a domeniului. Ulterior aceeași metodă a fost folosită de mai multe ori în studiul stării de tensiune a domeniilor dublu conexe finite și infinite pentru considerații mai generale ale frontierelor. Vom aminti de asemenea și alte lucrări referitoare la domeniile dublu conexe care au fost rezolvate prin diferite metode. În lucrările lui SOLOMON ([S]) și DRĂGHICESCU ([D]), precum și SEICA se oferă generalizarea algoritmului lui Schwarz pentru unele domenii finite. În prima din lucrările indicate a fost analizat un pătrat slăbit cu orificii simetrice, tot pătrate, în cazul unei încărcări foarte simple; în a doua lucrare a fost analizată o formă eliptică cu două forțe concentrate opuse aplicate punctelor conturului exterior, paralele cu direcția axei mari a elipsei. În ambele cazuri analiza se bazează pe metodele lui Mushelișvili, folosite pentru rezolvarea problemelor plane pentru domenii interioare și exterioare simplu conexe. În cazul pătratelor se folosește reprezentarea conformă cu ajutorul integralei Cristoffel - Schwarz și integralei tip Cauchy, iar în cazul elipselor reprezentarea pe un inel circular cu aplicarea ulterioară a seriilor de puteri. Pe exemplele concrete au fost efectuate calcule amănunțite.

1.3.3.2. Plăci cu mai multe orificii. Problema periodică.

SHERMAN a propus o variantă îmbunătățită a metodei seriilor de puteri pentru cazul domeniului semiinfinit sau infinit cu două orificii circulare egale. Experiența calculării numerice a problemelor concrete, a arătat că sistemul infinit de ecuații algebrice obținut ca rezultat al folosirii seriilor de puteri direct pentru potențialele complexe φ și ψ , într-o serie de cazuri este incomod ca structură. Seriile de puteri pentru tensiuni sunt de regulă lent convergente. Pentru înlăturarea acestui neajuns SHERMAN a introdus în locul funcției $\psi(z)$ o nouă funcție:

$$\chi(z) = z\varphi'(z) + \psi(z) \quad (1.3.3.1)$$

legată direct de componentele tensiunii paralele cu axa reală. Prin raționamente analoge cu cele pentru construirea ecuației funcționale, funcția nouă introdusă χ se poate elimina.

Ecuația funcțională obținută după dezvoltarea în serie de puteri a funcției φ conduce direct la un sistem de ecuații algebrice liniare. Se constată că sistemul obținut în acest fel este mai comod pentru studii și conduce mai repede la rezultatele dorite. Aceste considerente au fost folosite de SHERMAN pentru studiul problemei periodice în teoria plană a elasticității. Astfel, ne imaginăm un mediu elastic, izotrop, omogen și infinit, slăbit cu ajutorul unei serii de *orificii periodice egale* de formă circulară. Centrele orificiilor le vom considera așezate pe aceeași dreaptă. În cazul semiplanului se consideră că această dreaptă este paralelă cu frontiera semiplanului și se află la o distanță mai mare decât raza orificiilor.

Metoda construirii efective a problemei periodice cu acest aspect a fost propusă încă în 1935 de către HOWLAND. Autorul consideră o placă infinită supusă la infinit unor eforturi de întindere paralele sau normale la linia centrelor orificiilor. În acest caz soluția efectivă se bazează pe un algoritm al aproximărilor succesive, a cărui convergență este demonstrată pentru o valoare mică a raportului dintre raza orificiului și distanța dintre două centre vecine. Calculele numerice s-au făcut în cazul acestui raport $\varepsilon = 0,25$.

SHERMAN, prin metoda aplicată în cazul a două orificii circulare egale, a analizat problema periodică cu orificii circulare pentru un semiplan. Esența acestei metode enunțate mai sus constă în folosirea simultană a reprezentărilor potențialelor complexe în formă de serii de puteri sau ecuație funcțională. Rezolvarea problemei, ca și în cazurile neperiodice de mai sus, a fost redusă la un sistem infinit de ecuații algebrice liniare. Această abordare a permis lui

SHERMAN să urmărească distribuția tensiunilor de-a lungul orificiilor într-o gamă considerabilă de variație a numărului n , ce caracterizează dimensiunile relative ale domeniului, și să efectueze analiza câmpului de tensiuni pentru orificii destul de apropiate între ele. Într-o altă lucrare a lui, SHERMAN analizează un caz mai general al orificiilor periodice necirculare. Orificiile care slăbesc mediul au formă de pătrat curbiliniu unde reprezentarea pe exteriorul unui cerc se dă cu ajutorul unei formule cu doi membri, care conține ζ și ζ^3 . Studiul se bazează pe aceeași metodă care conduce la sistemul de ecuații liniare.

Problema periodică în cazul orificiilor curbilinii de formă mai generală s-a studiat anterior. Pe baza simetriei geometrice și de încărcare, s-a ajuns la unele reprezentări integrale ale funcțiilor periodice căutate de variabile complexe prin alte funcții, dar de argument complex, olomorfe în planul infinit cu un orificiu și care dispar la infinit. Apoi aceste funcții noi introduse se dezvoltă în serii de puteri de parametru mic d/e unde d reprezintă diametrul orificiului și e distanța dintre centrele orificiilor învecinate. Astfel problema se reduce la o serie infinită de probleme plane pentru domeniul simplu conex - plan cu un singur orificiu. Autorii permit în principiu să se aducă soluția până la formula de calcul de fiecare dată, când reprezentarea exteriorului orificiului pe exteriorul unui cerc se realizează cu ajutorul unei funcții raționale. Problema convergenței procesului nu a fost analizată (v. [SB6]).

O analiză asemănătoare, cu calcule numerice, a fost efectuată în cazul orificiilor eliptice egale și având aceeași orientare, când placa a fost întinsă la infinit cu ajutorul eforturilor dirijate sub un anumit unghi α față de axa Ox , care reprezintă linia centrelor orificiilor. Marginile orificiilor se consideră nesolicitate.

La fel până la nivelul rezultatelor numerice a fost analizat cazul când orificiile circulare din placă sunt prevăzute cu niște șaibe rigide lipite la marginea acestora (a doua problemă fundamentală). Toate calculele numerice au fost făcute pentru $\varepsilon=0,15$. După cum se vede din graficele date în lucrare pentru tensiunile maxime, în cazul primei probleme apare pentru $\alpha=0$ (forța de întindere a plăcii paralelă cu linia centrelor) o influență maximă a orificiilor vecine la un raport mic a/b ale semiaxelor elipsei (a fiind semiaxa în direcția axei x). Tensiunea maximă în acest caz în placă se micșorează în comparație cu cazul când mediul are un singur orificiu.

La întindere cu eforturile perpendiculare pe linia centrelor, perturbarea cea mai mare se introduce dimpotrivă în cazul rapoartelor mari a/b , unde tensiunile maxime cresc cu trecerea de la un orificiu la o serie de orificii.

În cazul celei de-a doua probleme se obține un aspect contrar. Aici pentru $\alpha=0$ concentrarea tensiunilor în apropierea orificiilor crește o dată cu trecerea de la un orificiu la o serie de orificii, iar pentru $\alpha=\frac{\pi}{2}$ dimpotrivă se micșorează.

În aceeași privință trebuie să remarcăm lucrările unui grup de savanți chinezi care a analizat problemele concentrării tensiunilor în lanț cu un număr finit de orificii de diferite forme și au fost elaborate unele teze referitoare la posibilitatea folosirii metodei indicate. O bibliografie suficient de completă a acestor lucrări poate fi găsită în lucrarea lui CHEN-LIN-SI.

Cu aceeași metodă au rezolvat PERLIN și TOLCENOV problema simetriei ciclice pentru un inel circular slăbit de două rânduri de orificii circulare, centrele acestor orificii aparținând unuia și aceluiași cerc construit pe inelul respectiv. Pentru orificiile așezate aproape unul de altul KOSMODAMIANSKI utilizează o metoda care se bazează pe metoda lui Bubnov-Galerkin. Legat de aceasta, este util într-o serie de cazuri, atât pentru un număr finit cât și pentru un număr infinit de orificii curbilinii asemănătoare, a se folosi schema practică de calcul bazată pe metoda lui Mushelișvili.

Metodele aproximative de mai sus au fost folosite de KOSMODAMIANSKI în studiul stării de tensiune a plăcii slăbite de un număr finit de orificii de diferite contururi. În cazul orificiilor neegale KOSMODAMIANSKI a folosit metoda aproximărilor succesive. În lucrarea lui BUIVOL s-a studiat starea de tensiune a unui domeniu circular slăbit de un număr finit de orificii egale și egal depărtate între ele a căror centre se află pe un același cerc concentric cu

frontiera. La rezolvarea problemei autorul a folosit ecuația lui Lauricella-Sherman, care pe baza unei proprietăți a simetriei ciclice se transformă într-o relație mai simplă, comodă pentru calculele numerice. Ecuația simplificată se rezolvă apoi prin metode numerice.

În lucrările lui KOITER au fost puse și rezolvate problemele care prezintă interes teoretic și practic referitoare la câmpul tensiunilor într-un corp înfinit elastic slăbit cu un sistem dublu de orificii de formă arbitrară. Studiul problemei de teoria elasticității KOITER l-a precedat cu o lucrare specială cu caracter matematic, în care sunt analizate o serie de proprietăți ale integralei generalizate tip Cauchy. Generalizarea constă în faptul că în locul lui $\frac{1}{t-z}$ se introduce $\zeta(z-t)$,

unde ζ este funcția lui Weierstrass. KOITER a generalizat astfel integralele din formula Sohoțki-Plemelj formulând și demonstrând teorema corespunzătoare asupra valorilor la limită a funcțiilor cvasiperiodice și dublu periodice și pentru cazul când orificiile au formă circulară. KOITER a analizat prima problemă la limită a teoriei elasticității pentru corpul cu un sistem dublu periodic de orificii și a adus-o la problema determinării funcțiilor analitice dublu periodice de forma analizată în lucrarea lui Koiter. Apoi el a demonstrat unicitatea soluției problemei propuse astfel în teoria elasticității și a obținut ecuația funcțională pentru funcția $\phi(z) = \varphi'(z)$, pe care a adus-o la ecuațiile lui Fredholm de speța a-2-a. Această ecuație prezintă generalizarea corespunzătoare pentru cazul domeniului simplu conex. Folosind ecuația integrală Fredholm obținută, și bazându-se pe proprietățile cunoscute ale acestor ecuații, KOITER a arătat existența unei soluții propuse din teoria elasticității, trasând de asemenea un studiu al cazurilor la limită.

Trebuie să observăm că problemele plane din teoria elasticității pentru un corp înfinit constituit dintr-un sistem dublu periodic de orificii circulare a fost pentru prima oară analizat de W.J. NATANSON și ulterior de SAITO, care prin dezvoltare în serie a ambelor potențiale complexe ϕ și ψ au obținut pentru coeficienții dezvoltărilor respective un sistem dublu înfinit de ecuații. Avantajul cercetărilor de mai sus ale lui KOITER constă în caracterul mai general al orificiilor de orice formă, precum și, probabil, în eficacitatea lor mai mare la cercetări teoretice.

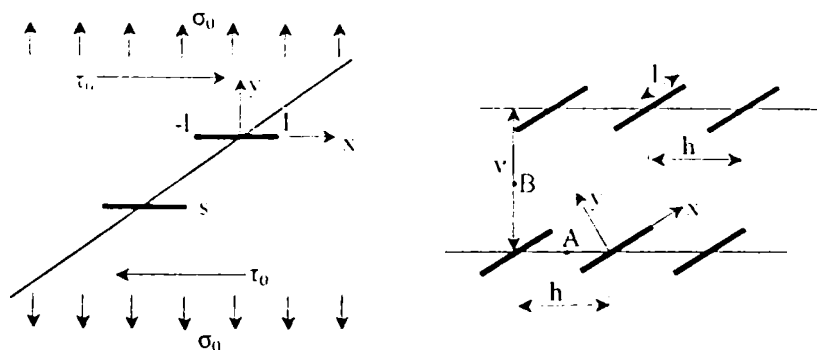
Multe din problemele amintite mai sus, în particular problema echilibrului unui semiplan greu în prezența orificiilor, sunt legate de probleme importante ale stării de tensiune a unui masiv de roci muntoase cu orificii cu forme și dimensiuni diferite. Aceste probleme sunt foarte grele în cazul orificiilor mai multe decât unul, când ca factor principal care determină starea de tensiune a mediului, apare influența orificiilor alăturate. În cazul a două orificii circulare și eliptice precum și a numărului înfinit de orificii periodic amplasate s-a analizat cu atenție caracterul și gradul acestei interacțiuni, a acestei influențe, de către SHERMAN și colaboratorii săi. Vezi și:

[M30] V.A. MERKULOV

- studiază încovoierea plăcii subțiri cu sistem periodic de fisuri curbilinii solificate cu un sistem de forțe și momente autoechilibrate în fiecare fisură.

[F22] R. FREIJ-AYOUB, ș.a.

- se prezintă o metodă simplificată pentru a calcula interacțiunea fisurilor, potrivită (adecvată) pentru aranjamente multifisură.



1.3.3.3. Planul infinit cu un orificiu necanonice. Transformări conforme

Cazul unui orificiu într-un mediu infinit omogen este supus cercetării în foarte multe lucrări. Problema concentrației tensiunilor în acest caz a atras atenția cercetătorilor încă din anii 1930, astfel încât în prezent este suficient de bine cunoscută. Vom da mai jos câteva noțiuni suplimentare.

Dacă funcția care realizează reprezentarea conformă a domeniului exterior al orificiului pe un cerc este rațională, atunci în rezolvarea problemei nu apar greutăți principiale. În cazul unor contururi mai complicate ale orificiilor, când această funcție de transformare nu mai este rațională, se folosește de obicei metoda bazată pe reprezentarea conformă aproximativă. Una din abordările posibile de acest gen a fost făcută de către SAVIN ([SB6]). Vom aminti esența acestei metode.

Vom analiza problema tensiunilor într-un plan infinit slăbit de orificii sub formă de poligon cu laturi drepte. Vom reprezenta domeniul dat cu ajutorul integralei Cristoffel-Schwarz într-un cerc unitar al planului auxiliar ζ , și funcția de transformare o vom reprezenta sub formă de dezvoltare în serie după puterile lui ζ . Menținând numai primii termeni vom obține o reprezentare conformă care transformă cercul într-o curbă apropiată de conturul inițial, cu ajutorul funcției raționale de forma:

$$z = \omega(\zeta) = C \left(\frac{1}{\zeta} + \sum_1^n C_k \zeta^k \right) \quad (1.3.3.2)$$

sau în cazul particular al elipsei prin

$$z = C \left(\frac{1}{\zeta} + m \zeta^n \right) \quad (1.3.3.3)$$

unde C, C_k, n sunt constante arbitrare.

Modificând în formula (1.3.3.2) numărul n și constantele C și C_k se pot obține orificii de diferite forme și dimensiuni. De aici, ca și cazuri particulare, se obțin orificiile care au formă circulară, eliptică, ovală, formă apropiată de dreptunghi, formă de patrulater cu colțuri rotunjite etc. De exemplu, ultima din formele enumerate care prezintă un interes practic mai mare, se obține cu ajutorul reprezentării (1.3.3.2) pentru $n = 3$ și $C_2 = 0$.

Problema plană în cazul unui astfel de orificiu a fost cercetată pentru prima oară de GREENSPAN. Dacă funcția de transformare conformă are forma prezentată mai sus, metoda Mushelișvili conduce imediat la rezultatul scontat.

Cu această metodă SAVIN și colaboratorii săi au analizat un mare număr de probleme concrete în cazul orificiilor curbilinii, pentru diferitele poziții ale acestora față de eforturile exterioare și pentru diferitele rapoarte ale dimensiunilor caracteristice. Soluțiile, aproape în toate exemplele, au fost prezentate sub formă de grafice ale distribuției tensiunilor pe conturul orificiului, de tabele și diagrame.

Metoda lui SAVIN a oferit posibilități largi pentru aplicarea metodelor din teoria funcțiilor la studiul efectiv al unei clase cunoscute de probleme concrete. În rezultatele acestor cercetări stă interesul pentru concentrarea tensiunilor în corpurile slăbite cu orificii și acest interes a crescut considerabil. Sfera problemelor s-a lărgit și a constituit obiectul cercetărilor multor altor autori.

În lucrările referitoare la problema tensiunilor într-un mediu cu orificii, forma conturului orificiilor a fost dată direct prin reprezentări conforme care în majoritatea cazurilor au fost date de segmente finite de serie, din dezvoltarea integralei Cristoffel-Schwarz. Pentru formele, importante din punct de vedere practic, a conturului orificiului, aproximația reprezentării cu ajutorul unor porțiuni de serii cu un număr mic de termeni nu a fost suficientă. Distribuția tensiunilor în apropierea orificiului depinde foarte mult de proprietățile diferențiale ale conturului orificiului și de aceea este foarte important să cunoaștem reprezentări mult mai precise, rămânând totuși în cadrul dificultăților de calcul moderate.

M.I.NEUMANN, în cazul orificiului de forma unui poligon cu colțurile rotunjite, a analizat o serie de polinoame cu coeficienți nedeterminați, paralel cu seriile obținute prin dezvoltarea integralei Cristoffel-Schwarz. Acești coeficienți el i-a determinat din condiția egalității cu zero a curburii în unele puncte ale frontierei și pe această cale a obținut o oarecare îndreptare a laturilor poligonului în comparație cu dezvoltarea integralei Cristoffel-Schwarz. Același autor a analizat și alte forme ale orificiilor și a obținut diferite reprezentări care se pot folosi cu succes în cazul problemei cilindrului circulari slăbiți prin diferite orificii longitudinale. Asemenea reprezentări au fost folosite ulterior și în cazul deformațiilor plane pentru unele profile simple.

O altă abordare a fost propusă de KIKUKAWA. Analizând un mediu elastic infinit cu orificii, acest autor pornește de la reprezentarea aproximativă și de la forme mai simple, de exemplu în cazul unui poligon cu laturi rectilinii și cu vârfurile rotunjite din reprezentarea (1.3.3.2), cu un număr mic de termeni. Această reprezentare, considerată ca inițială, este precizată apoi cu ajutorul formulei cunoscute, a așa-numitei reprezentări apropiate.

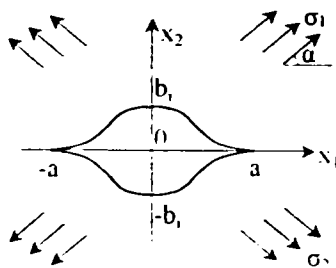
$$\omega(\zeta) = \omega_0(\zeta) + \frac{\zeta \omega_0'(\zeta)}{2\pi i} \int_{\gamma} \frac{\delta n_0(\sigma)}{|\omega_0'(\sigma)|} \frac{\sigma + \zeta}{\sigma - \zeta} \frac{d\sigma}{\sigma} \tag{1.3.3.4}$$

Aici γ este cercul cu rază unitară în planul ζ , $\sigma = e^{i\theta}$ este un punct în acest plan, iar $\delta n_0(\sigma)$ este distanța pe normală între curba dată cu precizie și cea aproximativă care corespunde reprezentării $\omega_0(\zeta)$. Descompunând integrala din partea dreaptă (1.3.3.4) într-o serie de puteri și reținând numai câțiva termeni, autorul găsește o reprezentare cu mult mai precisă decât $\omega_0(\zeta)$. Funcția astfel găsită sub formă explicită $\omega(\zeta)$ este utilizată pentru transformarea conformă. Condițiile de limită inițiale a problemei în coordonate curbilinii stabilite de autor reprezintă ecuațiile de condiție bine cunoscute (ale primei probleme fundamentale) în forma propusă de KOLOSOV. Analiza se încheie cu reducerea la un sistem de ecuații algebrice liniare care se rezolvă cu metode aproximative.

KIKUKAWA a analizat o serie de forme de orificii, și a dat soluții numerice la o serie de probleme practice concrete. În afară de domenii infinite limitate de curbe închise finite, el a inclus în analiză și o clasă de domenii limitate de curbe infinite. După cum rezultă din calculele numerice arătate de autor, termenul auxiliar de corecție din funcția de transformare (1.3.3.4) introduce o schimbare importantă a repartizării tensiunilor în apropierea orificiilor. De exemplu în cazul orificiului care are forma unui romb cu colțuri rotunjite, o influență importantă asupra concentrației de tensiuni o au numai cei doi termeni din descompunerea integralei de corecție. Cu toate acestea, în majoritatea cazurilor, pentru a obține o imagine precisă a stării de tensiune, trebuie să reținem cât mai mulți termeni din descompunere.

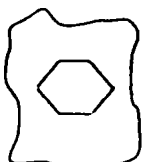
Mai citez:

[Z17] YU QIAO, YOUSHI HONG



- utilizând metoda transformărilor conforme s-a rezolvat problema unei plăci infinite care conține o fisură centrală sub „formă de buză” și e supusă la o încărcare biaxială la distanță.

[N7] Ia. V. NEMIROVSKI, MIRENKOV V. E.



- studiază starea de tensiune în plan cu gură poligonală convexă.

[H42] C. HWU

- bazat pe soluțiile obținute utilizând formalismul lui Stroh, în acest articol se demonstrează o formulă generală și simplificată pentru *găuri poligonale în medii anizotrope*.

[H42] CHYABIN HWU

- bazat pe soluțiile obținute utilizând formalismul lui Stroh se dă o formulă generală simplificată pentru găuri poligonale în medii anizotrope.

1.3.4. Mediul parțial omogen. Orificii întărite

Din punct de vedere al aplicațiilor practice prezintă interes problema privind determinarea a stării de tensiune dintr-un corp compus din piese diferite ca formă și proprietăți elastice, legate între ele cu o metodă sau alta. În mod special vom vorbi despre tensiunea în plăci cu orificii, în care sunt puse miezuri compacte sau la rândul lor cu orificii, și cu o compatibilitate elastică prestabilită. Îmbinarea pieselor în practică se realizează de obicei prin presare în stare caldă sau rece. Se presupune că marginile pieselor elastice legate se ating fără distanțe între ele și că sunt împiedicate să alunece unele față de altele.¹

Granița totală L a corpului compus astfel obținut va consta din conturul exterior al plăcii (dacă aceasta nu se află la infinit), din conturul orificiilor neîntărite și, în sfârșit, din contururile interioare ale miezurilor introduse, dacă acestea există. Corpurile pot să fie supuse acțiunii cauzate de strângere și în afară de aceasta pot să fie solicitate de forțe exterioare oarecare, aplicate în interior și la graniță. Pe granița L obținem pentru solicitări oarecare obișnuitele condiții la limită (totdeauna vom avea în vedere cazul primei probleme de bază). Pe liniile de separare a pieselor în contact *trebuie să fie dat saltul deplasărilor elastice* în funcție de tensiunile exterioare corespunzătoare.

1.3.4.1. Incluziuni din același material

Metoda generală de cercetare a problemei în cazul când placa are un număr finit de orificii și piesele elastice îmbinate între ele sunt confecționate din unul și același material, a fost propusă de către SHERMAN. Această metodă este expusă în paragraful 6.1.4. al cărții lui MUSHELISHVILI, ediția a V-a. Reamintim unele fapte referitoare la aceasta.

Pentru simplitate vom considera că piesele elastice introduse în orificii sunt niște șaibe pline. Atunci, conform metodei amintite mai sus, problema analizată se reduce la o problemă simplă plană pentru componența totală a domeniului ocupat de corpurile compuse (fără nici o condiție la limita de separare). Numărul de legături al domeniului compus este mai mic decât numărul de legături al domeniului ocupat de placa, cu un număr egal cu numărul de șaibe puse în placă. În acest caz, problema nouă ce apare va corespunde deja unor acțiuni exterioare puțin schimbate. Linia de separare poate fi eliminată pe seama unor forțe suplimentare alese corespunzător și care revin asupra sistemului elastic în întregime.

În cazul când incluziunile elastice au formă rotundă termenul de corecție din partea dreaptă a condițiilor limită poate fi dat în formă explicită. Aceasta are o formă foarte simplă în cazul când saltul deplasărilor este dirijat pe direcția normală la de linia de separare și mărimea acestora este constantă.

În final, în cazul incluziunilor rotunde care umplu toate orificiile în placă, metoda Mushelișvili conduce la o soluție închisă, dacă domeniul simplu conex ocupat de corpurile conjugate se transformă conform pe cerc cu ajutorul unei funcții raționale.

¹ În cazul când conturul șaibe în stare nedeformată coincide cu conturul orificiului în placă, vom presupune că șaiba este lipită de-a lungul marginii de placă sau vom presupune existența unei frecări mari între șaibă și placa înconjurătoare. În alte presupuneri, cu excepția unor cazuri foarte particulare de acțiuni exterioare asupra corpului îmbinat, se obține o problemă mixtă a teoriei elasticității.

Cu această metodă au fost găsite soluții sub formă închisă într-o serie de cazuri și s-au calculat rezultate numerice. În afară de probleme cu privire la deformății plane sau în stare de tensiune generalizată (problema plană) s-au analizat probleme similare cu privire la încovoiere transversală a plăcilor subțiri.

1.3.4.2. Incluziuni din diferite materiale

Fixarea rigidă a orificiilor conduce la greutățile la fel de mari în ce privește rezolvarea acestor probleme ca și în cazul unor orificii total nefixate. În primul caz, pe conturul orificiului trebuie să fie respectate condițiile la limită ale problemei a doua de bază, iar în al doilea caz condițiile analoage ale primei probleme. Aceste două cazuri nu diferă în fond unul de altul și de aceea problema cu privire la incluziuni rigide nu o vom analiza separat.

Altfel stă problema cu privire la incluziunile elastice, care diferă de caracteristicile elastice ale plăcii ce le înconjoară; aici problema devine cu mult mai complicată.

Metoda de soluționare, analogă cu cea expusă mai sus, pentru cazul domeniilor dublu conexe, a fost utilizată de SHERMAN în problema calculării tensiunilor în medii parțial omogene, și anume pentru cazul când corpul neomogen ocupă un domeniu limitat (finit) simplu conex, și constă din două părți legate între ele având proprietăți elastice diferite. Orificiul în placa omogenă de dimensiuni finite, limitate de două contururi închise, se umple cu o saibă plină din alt material. Pe granița exterioară a plăcii se dau condițiile obișnuite, ca la prima problemă, iar pe linia de separare a celor două medii se cere egalitatea tensiunilor, iar deplasările elastice trebuie să aibă o valoare de salt cunoscută.

Pentru găsirea funcției ajutoare $\omega(t)$, introdusă în acest caz de granița plăcii, se obține ca și mai înainte sistemul de ecuații integrale a lui Fredholm, care soluționează complet în sens teoretic problema definită inițial. În cazul particular al plăcii circulare cu incluziuni excentrice rotunde, analizată pentru ilustrarea metodei, rezultă în locul sistemului de ecuații integrale un sistem infinit de ecuații algebrice liniare.

Cazul incluziunilor concentrice rotunde în parte, când fiecare din piesele consecutive incluse în orificiu reprezintă un inel concentric rotund, se tratează cu metoda seriilor de puteri.

Metoda seriilor de puteri este aplicabilă și la problema întăririlor inelare a orificiilor și este principial aplicabilă pentru soluționarea efectivă de fiecare dată când domeniul infinit simplu conex ocupat de corpuri conjugate se transformă conform pe exteriorul cercului cu ajutorul funcției raționale și când inelul de fixare devine în acest caz un inel circular concentric. Soluționarea efectivă a problemei în cazul transformării conforme de tipul (1.3.3.3), este dată de ȘEREMETJEV, care a combinat metoda seriilor de puteri cu metoda integralelor de tip Cauchy.

1.3.4.3. Întărirea orificiilor cu inele subțiri

Problemele plane cu privire la întărirea cu inele a orificiilor (ca și problemele anologice cu aceasta, care se referă la încovoierea transversală a plăcilor subțiri) se pot simplifica mult în cazul când inelul de întărire este în plan o bandă subțire curbilinie. Un asemenea inel este considerat de obicei ca și o linie elastică, a cărei stare de tensiune și deformație se descrie cu ecuații elementare din rezistența materialelor.

Eforturile σ_x'' și σ_y'' , care acționează asupra inelului din partea plăcii ce-l înconjoară, le vom considera temporar cunoscute. Pornind de la teoria deformațiilor mici a barelor curbilinii, determinăm starea de tensiune a inelului, sub acțiunea unor forțe exterioare care sunt date pe toate marginile². Apoi, toate mărimile de bază care caracterizează deformația inelului – momentul încovoietor, forțele normale și tangențiale și de asemenea deplasările elastice ale axei

² Se presupune că pe conturul interior al inelului se dau condiții care corespund primei probleme de bază.

inelului – se exprimă în formă elementară prin solicitarea exterioară. Dacă acum expresia găsită pentru deformarea elastică a punctelor conturului exterior al inelului se înlocuiește în condițiile corespunzătoare de îmbinare pe liniile separării mediilor, se obțin două relații complexe pentru funcțiile determinate în domeniul plăcii φ și ψ . În aceste relații intră eforturile necunoscute σ_x'' și σ_y'' . Influența întăririi cu inel subțire se exprimă astfel prin faptul că din condițiile obișnuite a primei și a celei de-a doua probleme pe periferia orificiului, eforturile de contur și deplasările vor conține, în afară de mărimile cunoscute, două funcții reale care trebuie determinate în cursul soluționării problemei. Utilizarea metodelor expuse aici duc la soluționarea efectivă a problemei dacă domeniul în afara conturului întăriturii se transformă conform pe exteriorul cercului cu ajutorul unei funcții raționale.

În mod asemănător s-a studiat această problemă pentru o anumită clasă de orificii cu diferite presupuneri în ce privește caracterul deformației inelului și solicitarea plăcii. Rezultate importante în această direcție au fost obținute în lucrările lui SAVIN, ȘEREMETJEV, RADOK, FLEISCHMANN și alți autori. Ne oprim pe scurt la unele publicații relativ noi.

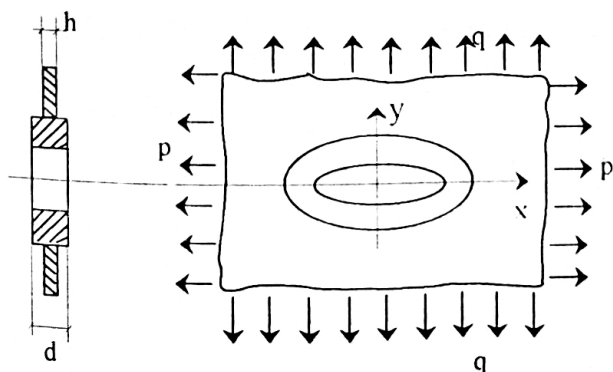
În lucrarea lui ȘEREMETJEV se analizează planul infinit întins în două direcții și având un orificiu întărit. Inelul de întărire are secțiune constantă și este considerat ca o bară curbă plană elastică ce lucrează la încovoiere și tracțiune. Se deduc relațiile cu caracter general care caracterizează deformația unei asemenea bare. În final se formulează problema corespunzător schemei expuse în termenii teoriei funcțiilor de variabilă complexă. Problema obținută se rezolvă pentru cazul orificiului rotund cu metoda dezvoltării în serie de puteri. Trebuie să menționăm că aceeași problemă, cu aceeași complexitate, a fost soluționată mai târziu de RADOK, care probabil nu a cunoscut lucrarea lui ȘEREMETJEV.

În altă lucrare a lui ȘEREMETJEV se studiază încovoierea plăcii infinite subțiri, întărite cu inel de secțiune constantă și solicitată de eforturi normale și momente aplicate la margine. Inelul care întărește marginea orificiului în placă (sau marginea plăcii), este tratat ca și o linie elastică ce nu poate fi întinsă și care este solicitată la încovoiere și torsiune. Metoda soluționării este aici complet analoagă cu cea indicată mai sus pentru cazul stării plane de tensiune. O analiză amănunțită se limitează la cazul orificiului rotund cu câmp de tensiune omogen la infinit, unde la infinit acționează momente de torsiune și de încovoiere repartizate uniform.

Influența întăririi inelare în plăcile încovoiate s-a studiat de asemenea și de către FLEISCHMANN. Pe aceeași bază ca și în lucrările anterioare autorul a simplificat foarte mult soluționarea în cazul orificiului rotund. El a analizat două cazuri pentru încovoierea plăcii nelimitate, și anume cazul acțiunii momentelor de încovoiere unilaterale și cazul acțiunii momentelor de torsiune din toate direcțiile. Pe aceste exemple autorul demonstrează o metodă efectivă de alegere a întăririi optime, la care concentrația tensiunilor se elimină complet sau aproape complet.

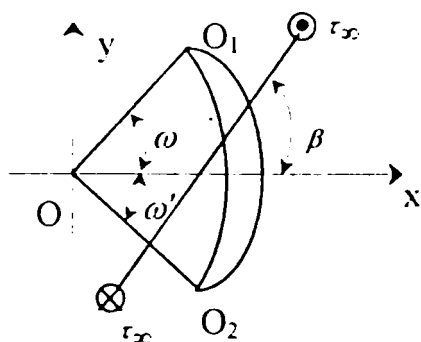
Mai citez:

[A12] ALEKSANDROV A.Iu.



– Analizează placa infinită solicitată la infinit de sarcini de tracțiune uniforme repartizate pe două direcții ortogonale. Orificiul din placă este întărit cu un inel subțire. Se încearcă optimizarea acestuia din condiții de egală rezistență.

[F22] FRENCIKO S.D.



- Studiază deformația antiplană a corpului cu incluziuni subțiri în formă de arc. Utilizează analogia dintre forfecare longitudinală și conductibilitatea termică staționară a corpului cu incluziuni și fisuri. Obține o ecuație integro-diferențială pe care o rezolvă numeric cu metoda Multhopp, utilizând polinoame Cebâșev. Arată că valoarea maximă a factorului de intensitate a tensiunilor se obține la

$$\omega = \frac{\pi}{2} \text{ pentru } \beta = \frac{\pi}{4}, \text{ depinzând și de alți parametri.}$$

[J3] I. JASIUK

- cercetează corespondența între incluziunile rigide poligonale și cavități pe baza așa-numitelor „module elastice efective”. Se obțin rezultate pentru modulele elastice efective ale compozitelor cu o concentrație slabă de incluziuni poligonale rigide, apoi a materialelor cu cavități, respectiv pentru materialele conținând o concentrație finită de incluziuni.

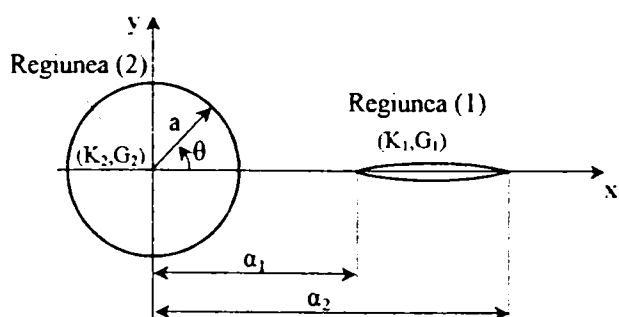
[S31] E.I. ȘIFRIN

- studiază fisuri plane în spațiul elastic când există legături liniare între suprafețele lor

[A19] G. ALESSANDRINI, ș.a.

- se studiază problema determinării unei incluziuni dintr-un material elastic diferit într-un corp elastic izotrop prin măsurători pe frontieră ale tracțiunii și deplasării.

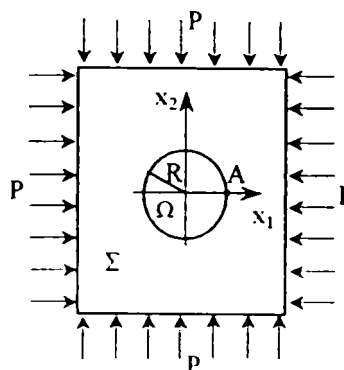
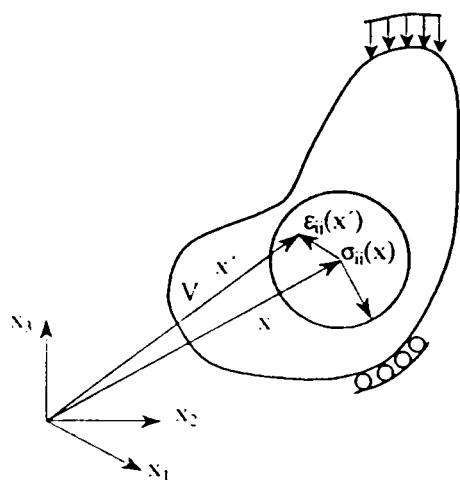
[A39] C. ATKINSON



- utilizând o metodă numerică se calculează factorul de intensitate a tensiunilor pentru o fisură în apropierea unei incluziuni. Se reprezintă grafic rezultatele pentru variația factorului de intensitate a tensiunilor cu distanța vârfului fisurii de incluziune.

[K62] H. KUMASAKA, K. HIRASHIMA

- se descriu relațiile complementare între tensiuni și deplasări pentru elasticitatea nonlocală. Se consideră un plan infinit cu o incluziune circulară supus la o încărcare uniformă de compresiune. Se presupune că efectele nonlocale ale matricii și incluziunii sunt aceleași.

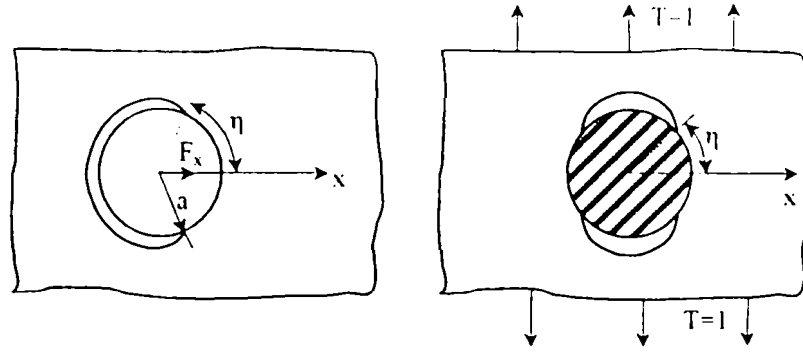


[N17] B. NOBLE

- se obțin soluții exacte pentru anumite serii trigonometrice duale care apar în studiul problemelor mixte de valori la limită cu frontiere circulare în elasticitatea bidimensională. Problemele considerate sunt :

- (i) un corp infinit cu o incluziune circulară netedă pe care se aplică o forță concentrată

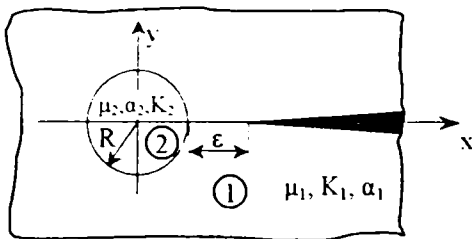
(ii) o incluziune elastică netedă într-un corp înfinit supus la o tensiune uniformă la infinit



[J3] I. JASIUK

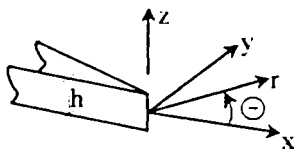
- investighează corespondența dintre incluziuni rigide și cavități, așa cum sunt acestea aplicate în cazul modulelor elastice efective a materialelor cu incluziuni rigide poligonale și cavități

[M59] W.H. MÜLLER



- sunt studiați factorii de intensitate a tensiunilor pentru o fisură semi-infinită în fața unei incluziuni circulare solcitate termic și elastic, bazat pe tehnica **ecuațiilor integrale singulare** și pe o metodă auto-consistentă

[C42] CHUNG-YUEN HUI, ș.a.



- se analizează câmpul de tensiuni în apropierea vârfului unei fisuri într-o placă supusă la încărcări de membrană și de încovoiere și care suferă deflecții mari.

1.3.5. Mediul omogen continuu. Unele probleme speciale

Studiul stării de tensiune în cazul plăcilor elastice s-a concentrat în ultimii ani în primul rând asupra unor piese, care nu sunt în ceea ce privește forma și încărcarea foarte complicate dar sunt destul de dificile pentru analize precise, și care au o importanță deosebită în ce privește aplicabilitatea practică.

O atenție mare s-a dat plăcilor nelimitate slăbite cu incluziuni de diferite forme la granița mediului, plăcilor poligonale și de asemenea plăcilor de diferite forme care sunt supuse unor încărcări discontinue.

1.3.5.1. Plăcile cu contur poligonal

Metodele teoriei funcțiilor de variabile complexe au început să fie utilizate în ultimul timp cu succes la plăcile finite poligonale. Pentru soluționarea problemei, funcțiile care realizează transformarea conformă a domeniului solicitat pe cerc se reprezintă cu ajutorul integralei Cristoffel-Schwarz în formă întreagă, în formă de serie de puteri. În acest caz, mai ales atunci când funcția care exprimă acțiunile pe contur, nu este regulată, adesea se face uz în analiză de ecuațiile funcționale ale lui Mushelișvili. Indicăm unele din lucrările cele mai caracteristice în acest domeniu.

Amintim în primul rând lucrarea lui GRAY. La începutul lucrării autorul descompune în serie de puteri nu funcțiile: $\frac{\omega(\zeta)}{\bar{\omega}(\zeta)}, \varphi(\zeta)$, ca în cartea lui Mushelişvili, ci funcțiile: $\omega(\zeta), \frac{\varphi'(\zeta)}{\omega'(\zeta)}$.

De aceea sistemul obținut de GRAY are ecuațiile algebrice puțin diferite de cele corespunzătoare din cartea lui MUSHELIŞVILI. În lucrare este analizat amănunțit exemplul unui pătrat tracționat de-a lungul diagonalei de forțe concentrate aplicate la vârfurile opuse. Foarte interesant că sistemul de ecuații în acest caz se rezolvă cu ajutorul metodei interațiilor.

În lucrarea lui HOSKIN și RADOK în legătură cu calculul unei aripi sub formă de săgeată se analizează problema tensiunilor într-o placă pătratică supusă unei solicitări complexe: la vârfurile opuse ale pătratului se aplică forțe concentrate având direcție pe diagonală și în afară de aceasta două laturi apropiate sunt supuse unor tensiuni tangențiale repartizate după o lege oarecare. Pătratul analizat solicitat se înlocuiește cu un patrulater curbiliniu cu vârfurile rotunjite, a cărui funcție de transformare conformă constă dintr-o expresie cu cinci termeni. Rezolvarea se face utilizând ecuațiile funcționale ale lui Mushelişvili. În lucrare o atenție deosebită se dă analizei calitative a stării elastice studiate. Se dau rezultate numerice în formă de tabele și grafice la diferite valori ale parametrilor problemei.

În lucrarea lui WINSLOV se analizează placa dreptunghiulară la o solicitare specială când componentele eforturilor exterioare σ_x'', σ_y'' sunt polinoame în x și y .

În lucrarea lui Deveral la plăcile poligonale încovoiate de forțe transversale se utilizează metoda seriilor de puteri. Menținând în funcția de transformare conformă trei sau patru termeni, autorul găsește soluția aproximativă pentru un pătrat, un dreptunghi și un triunghi echilateral, toate sollicitate de forțe uniforme. Se dau calcule numerice care permit o comparație a valorii săgeții maxime în placă cu valorile găsite de alți autori pe altă cale.

Pentru domeniul cu graniță parțial rectilinie G.N. POLOSCHI a studiat a treia problemă de bază a teoriei elasticității, după cum se numește câteodată problema contactului cu profil rigid când pe granița domeniului se dau deplasările normale și tensiunile tangențiale. În condițiile de limită a acestei probleme, după transformarea lor corespunzătoare, la derivatele de ordin superior ale funcțiilor căutate apare un coeficient care conține curbura conturului ca și factor. Datorită acestui fapt, în cazul conturului care constă din porțiuni de drepte problema se simplifică mult și se reduce la două probleme de limită rezolvate consecutiv în teoria funcțiilor analitice. Pe această cale POLOSCHI a obținut soluționarea problemei în cazul când granița domeniului finit sau infinit este un contur poligonal de formă destul de generală. La soluționarea problemei autorul a formulat unele condiții critice care se referă la creșterea tensiunilor în apropierea unghiurilor și care asigură unicitatea soluției.

1.3.5.2. Plăci cu marginile tinzând la infinit

Metoda de rezolvare indicată mai sus în lucrarea lui GRAY, a fost utilizată de același autor la probleme de deformare plană a unei benzi dreptunghiulare încovoiate în planul său de către o solicitare concentrată aplicată într-un punct al marginii sale perpendicular pe liniile de limită.

Sistemul de ecuații obținut în acest caz nu se soluționează cu ajutorul metodei interațiilor, dar se poate aduce la o formă comodă cu ajutorul unor transformări ale sale. După aceasta sistemul se rezolvă numeric și se face o analiză amănunțită a stării de tensiune. Menționăm că forța dată, concentrată pe limita benzii, autorul o înlocuiește cu două sisteme de forțe concentrate aplicate la limită și soluția căutată se prezintă astfel în formă de suprapunere a două probleme particulare pentru aceeași bandă. Una din aceste probleme se poate analiza pe schema autorului destul de simplu. Este vorba de problema de bază, și anume o bandă comprimată de două forțe opuse normale concentrate la graniță, aplicate la părțile opuse ale

graniței. Menționăm că această problemă particulară se rezolvă în formă închisă după diferite metode.

Rezolvarea dată în lucrarea lui SONNTAG se bazează pe reprezentarea conformă a benzii și diferă de rezolvările cunoscute mai înainte printr-o convergență mai rapidă a integralelor improprii conținute în aceasta.

N.S. KURDIN a indicat soluționarea într-o formă închisă pentru exteriorul unei parabole când mediul se supune acțiunii unei solicitări concentrate într-un punct al marginii acesteia.

În lucrarea lui BUCHWALD și TIFFEN se studiază încovoierea transversală a unei plăci infinite subțiri desprinse liber de margini când suprafața medie este un semiplan sau o bandă rectilinie. Condiția reazemului liber pe contur, cum s-a arătat mai sus, se transformă pe porțiunile drepte ale acestuia. Aceasta permite autorilor să găsească soluția pentru cazurile analizate sub forma integralelor de tip Cauchy și Fourier. Analiza autorilor include demonstrația unicității stării elastice în condițiile cunoscute la infinit precum și rezolvarea amănunțită pentru cazul particular al unei solicitări concentrate (în interior).

Unele cazuri de domenii simplu conexe cu limite care tind spre infinit sunt analizate de asemenea în lucrarea lui SEIKA și SHOIYA. În prima din aceste lucrări se analizează problema deformării plane a semiplanului întins cu eforturi uniforme la infinit, când granița dreaptă a acestuia este slăbită cu creștături simetrice sub formă de litera U. Eforturile de tracțiune sunt paralele cu granița liniară a semiplanului $y=0$. Granița mediului elastic este liberă de acțiuni exterioare. Semiplanul cu creștătura dată în formă aproximativă de semioval, este transformată conform cu ajutorul funcției:

$$z = R \left(\zeta + \frac{m}{\zeta} + \frac{n}{\zeta^3} \right), \quad (1.3.5.1)$$

unde R , m , n sunt constante reale, pe semiplanul cu semicercul aruncat la graniță.

După cum se obișnuiește la astfel de probleme, potențialele căutate se reprezintă ca sumă a două funcții, dintre care prima reprezintă starea de tensiune în semiplanul nefisurat în timp ce a doua indică tensiunile ce apar suplimentar datorită creștăturilor. Apoi autorul dezvoltă funcțiile căutate în serii Laurent special alese (fără o motivație satisfăcătoare). Utilizarea seriilor de puteri dă aici posibilitatea de reducere a problemei la un sistem infinit oarecare de ecuații liniare care se rezolvă apoi aproximativ cu metoda perturbațiilor. Ca și parametru de perturbație se iau numerele m și n care intră în formula (1.3.5.1) și care se presupun mici, ele caracterizând forma și dimensiunile creștăturilor.

În lucrarea lui SHOIYA, cu aceeași procedură, se analizează problema despre încovoierea după o axă a semiplanului cu niște creștături semieliptice la graniță.

În ambele lucrări se dau pentru diferiți parametri rezultate numerice, sub formă de tabele, pentru coeficientul de concentrare a tensiunilor și sunt construite graficele tensiunilor și momentelor. Judecând după rezultatele numerice obținute aici, pe această cale pare că se poate obține o imagine a stării de tensiune destul de apropiată de cea reală, dar cu toate acestea tratarea astfel formulată mai trebuie încă justificată [M70].

1.3.6. Probleme mixte și de contact ale teoriei plane a elasticității

Problemele mixte și de contact, cu privire la atingerea corpurilor elastice, fac parte dintre aplicațiile cele mai importante, și constituie desigur cele mai grele probleme a teoriei liniare a elasticității.

Metoda generală de rezolvare a unui tip anumit de probleme mixte și de contact care folosește aparatul teoriei funcțiilor de variabilă complexă, precum și numeroase exemple concrete sunt expuse în capitolul 6 al cărții lui MUSHELIȘVILI, ediția a V-a.

1.3.6.1. Problemele mixte ale teoriei plane elasticității și teoria încovoierii plăcilor.

SHERMAN a dat o metodă de soluționare a problemei mixte din teoria elasticității pentru domeniul multiplu conex. MANDJAVIDZE a cercetat amănunțit ecuațiile integrale singulare ale lui Sherman construite pentru rezolvarea problemei indicate și a rezolvat cu ajutorul lor problema mixtă de încovoiere a unei plăci izotrope subțiri, solicitată după direcție normală, când o parte din marginea plăcii este încastrată iar restul este liberă. Dacă domeniul ocupat de placă îl putem transforma conform pe cerc cu ajutorul unui polinom, atunci această problemă ca și problema mixtă de bază se poate rezolva eficient. Aceasta s-a făcut în articolul lui KARAPETIAN și STĂNESCU [K25], [K26], [K27].

KALANDIYA [K12] a construit un sistem de ecuații integrale singulare pentru rezolvarea problemei generale de încovoiere a unei plăci în cazul când o parte din margine este liberă, iar o parte este încastrată rigid. Același autor a constituit sistemul de ecuații integrale ale lui Fredholm pentru rezolvarea problemei la încovoiere a plăcii când o parte din marginea plăcii este încastrată și o parte este liberă [K12], [K13].

În lucrările lui Kalandiya se propune o metodă care permite găsirea unei soluții aproximative pentru unele probleme de încovoiere a plăcilor subțiri precum și pentru probleme plane a teoriei elasticității când mediul elastic ocupă un semicerc. Problema se rezolvă prin reducerea la o ecuație integrală singulară și prin utilizarea consecutivă a metodei numerice de rezolvare; Kalandiya ia ca exemplu concret problema încovoierii unei plăci în formă de semicerc care este încastrată pe semicerc și este liberă pe diametru.

În lucrarea lui ZORSKI cu ajutorul metodei ecuațiilor integrale și a teoriei conjugării liniare, sunt soluționate problemele de încovoiere a plăcilor când placa are forma unui semiplan, unui pătrat sau unei semibenzi și când se dau condițiile mixte de limită (marginea plăcii parțial încastrată, sau sprijinită sau liberă).

În lucrarea lui SHERMAN* sunt deduse ecuațiile lui Fredholm pentru rezolvarea problemei de contact între conturul unui corp elastic și un profil rigid. Într-o lucrare mai târzie a lui SHERMAN, autorul deduce un sistem mai comod de ecuații Fredholm pentru rezolvarea aceleiași probleme.

1.3.6.2. Probleme de contact ale teoriei plane a elasticității

În lucrarea lui MOSAKOVSKI și SAGUBUȘENKO se rezolvă problema de contact pentru planul infinit elastic slăbit cu o tăietură dreaptă și care se comprimă cu niște forțe dirijate sub un anumit unghi față de linia tăieturii. Lățimea tăieturii în starea nedeformantă se consideră constantă. După deformație marginile opuse se ating în partea de mijloc a tăieturii. Limita porțiunii de închidere se determină din condițiile care privesc caracterul final al tensiunilor pentru punctele marginale.

M.P. ȘEREMETJEV analizează starea de echilibru elastic în planul infinit cu orificiu circular în care s-a pus o șaibă rotundă absolut rigidă sau elastică de aceeași rază. Pentru rezolvare autorul utilizează ecuații integro-diferențiale de tipul ecuației Prandtl a teoriei aripei de dimensiune finită. ȘEREMETJEV a propus o metodă de rezolvare aproximativă a ecuației de tip Prandtl construită în lucrarea sa.

Tot cu ajutorul unei ecuații integro-diferențiale, PANASIUK [P8], [P9], tratează problema de contact a unei șaibe infinite cu un orificiu rotund în care se introduce un disc rigid de aceeași rază, când asupra discului se aplică o forță concentrată.

* Lucrările lui Sherman au apărut în Uniunea Sovietică în jurul anilor 1940; din acest motiv nu am reușit să procur decât lucrarea [SB6]. Comentariile făcute până acum au fost preluate din literatură din lucrările lui MUSHELISHVILI [M70], V.V. PANASIUK [P7], [P12], SAVRUK [S6], HELSING [H21], [H26], [H29], SAVIN G.N. [S5], KALANDIYA [K12].

PANASIUK [P10] a construit ecuații integro-diferențiale care sunt generalizări ale ecuației integro-diferențiale a problemei de contact pentru cazul când ștanța de formă arbitrară (apropiată de cerc) se presează pe un orificiu rotund de-a lungul granițelor lor comune, suprafața de atingere nemaiputându-se considera mică.

KALANDIYA [K12] obține aceleași ecuații printr-o altă metodă; în afară de aceasta în lucrarea mai-sus-numită se construiește ecuația integro-diferențială pentru următoarea problemă de contact: Pe un orificiu rotund în mediul înfinit elastic apasă o șaibă elastică rotundă de aceeași rază dar având în general alte constante elastice.

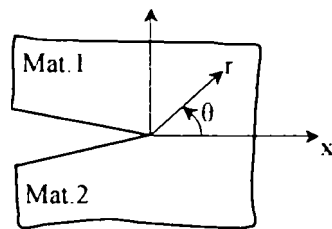
Ecuația integro-diferențială amintită este asemănătoare cu ecuația de tip Prandtl a teoriei aripii de dimensiune finită. Pentru rezolvarea acestor ecuații a fost propusă metoda aproximativă MULTHOPP. În lucrarea lui KALANDIYA se dă justificarea metodei aproximative MULTHOPP și de asemenea se dau unele aplicații ale acestei metode la problemele plane de contact.

KALANDIYA a rezolvat de asemenea problema de contact pentru cazul când în orificiul planului înfinit se pune o șaibă elastică din alt material, șaibă care are inițial o rază puțin mai mică. Vzi și:

[S21] SHAVLAKADSE

- studiază probleme de contact ale teoriei elasticității pentru corpuri cu incluziuni elastice. Problemele sunt reduse la ecuații diferențiale integrale de tip Prandtl cu un coeficient la operatorul singular care are zerouri de ordin mai mare la capetele intervalului de integrare.

[L10] J. LEE, H. GAO

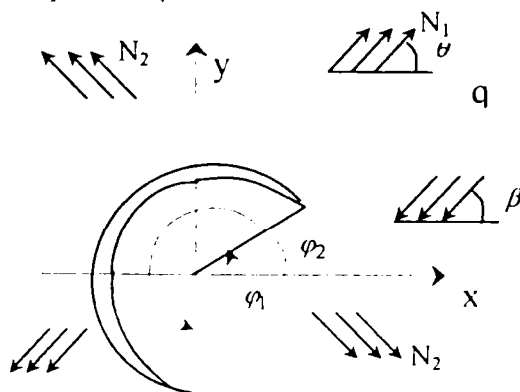


- se presupune un model de contact Comminou generalizat pentru fisuri de interfață în solide elastice anizotrope.

§ 1.4. ALTE SUBIECTE TEMATICE DIN BIBLIOGRAFIE

1.4.1. Tensiuni termoelastice

[K58] KRIVTUN G.M.



- Se determină starea de tensiune a unui plan elastic izotrop care are o fisură curbă descrisă de un contur neted și care este supus la forțe exterioare și la un câmp staționar de temperatură.

[N19] NAOTAKE NODA, ZHI HE JIN

- se studiază o fisură într-o fâșie de material funcțional, cu gradient, modelat matematic printr-un solid neomogen cu temperatura de suprafață prescrisă. Fețele fisurii sunt presupuse a fi complet izolate. Se presupune că toate proprietățile de material depind doar de coordonata y (perpendiculară pe fețele fisurii) astfel încât proprietățile sunt niște funcții exponențiale de y. Utilizând transformatele Fourier, problemele termice și mecanice sunt reduse la două sisteme de ecuații integrale singulare, care sunt rezolvate numeric.

[C19] S.N. CHATERJEE, S.N. PRASAD

- se prezintă o soluție prin dezvoltarea în serie în coordonate cilindrice a problemei de limită a tracțiunii unui strat elastic infinit cu forțe de masă și distribuție de temperatură, arbitrare.

[SB51] BORODACEV A. N.

- propune o metodă generală de rezolvare a problemelor staționare de termoelasticitate pentru un corp nelimitat omogen izotrop care conține o fisură eliptică plană.

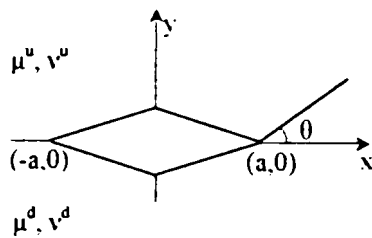
[K31] M. K. KASSIR

- arată cum se construiesc funcțiile armonice din care pot fi apoi obținute tensiunile și deplasările într-un solid infinit care conține o fisură eliptică și conduce căldura în condiții staționare.

1.4.2. Plăci plane anizotrope. Fisuri la interfața a două materiale diferite

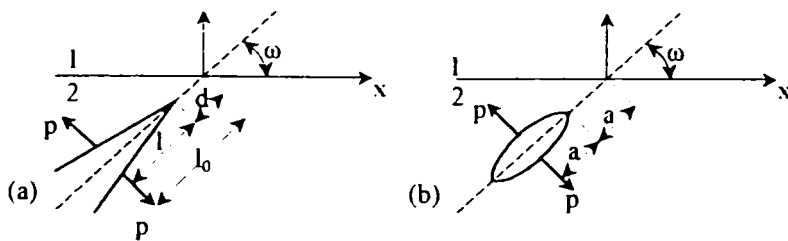
[B32] BEREJNITKII T.L. – Studiază încovoierea unei plăci plane infinite cu anizotropie liniară de tip general, slăbită cu o fisură dreaptă cu marginile neîncărcate.

[B47] B.T. CHEN, C.T. HU, S. LEE



- se investighează dislocațiile marginale în apropierea unei interfațe fisurate alunecătoare.

[C24] B. CHEN, T.J. LARDNER

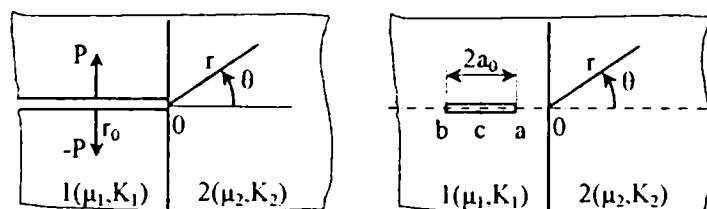


- aduce rezultate numerice suplimentare pentru rata de descărcare a energiei și factorii de intensitate ai tensiunilor la vârful unei fisuri drepte bidimensionale aflată la un anumit unghi față de interfața unui sistem bimaternal.

[P49] POVSTENKO Z. Iu.

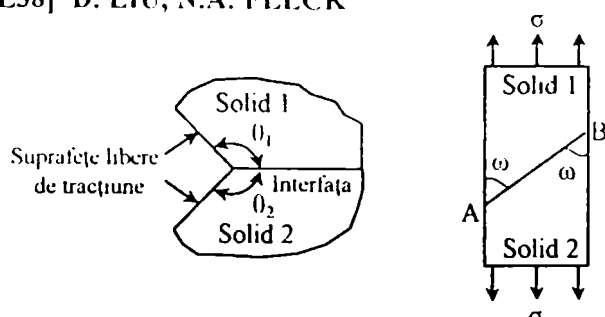
- studiază repartizarea tensiunilor și concentrarea adausurilor în stratul superior pe granița corpului solid, condiționat de schimbarea bruscă a energiei de suprafață.

[C56] T.S.COOK, F.ERDOGAN



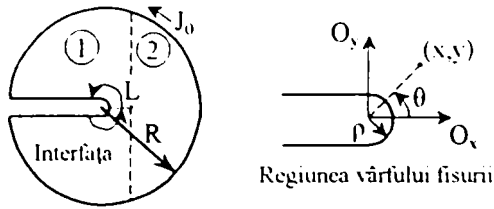
- se consideră problema a două semiplane conectate elastic ce conțin o fisură perpendiculară pe interfață.

[L38] D. LIU, N.A. FLECK



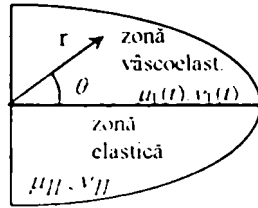
- se analizează câmpul de tensiuni singulare la vârful unei fisuri găurite într-o îmbinare simetrică pentru o platbandă de lățime finită, sub tracțiune și încovoiere la infinit.

[K42] A.S. KIM, J. BESSON, A. PINEAU



- se analizează problema unei fisuri care se apropie perpendicular în interfața unui bimatierial, utilizând aproximații atât globale cât și locale de rupere.

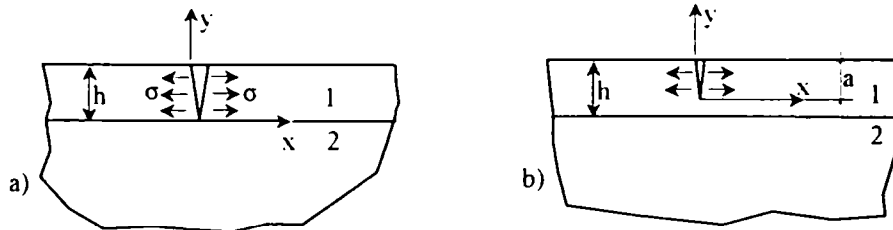
[SB4] S.S. LEE



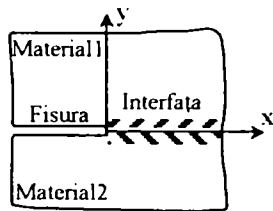
- studiază singularitatea tensiunii la colțul de interfață dintre fibra perfect "mbinat" și matricea unui model laminat bidimensional unidirecțional supus la o deformare de întindere transversală uniformă.

[B39] J.L. BEUTH, JR.

- obține soluții pentru două probleme de deformare plană elastică cu privire la fisurarea unui film subțire conectat la un material de substrat semiinfinite.

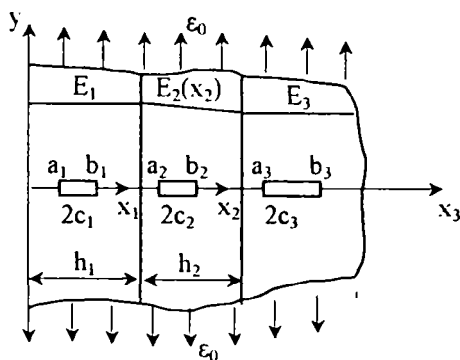


[D9] XIAOMIN DENG



- se studiază asimptotic problema de deformare plană a unei fisuri de interfață staționare între două solide ductile diferite, unde solidele ductile se presupun a fi incompresibile, elastic perfect plastice și ascultă de teoria fluxului J_2 a plasticității

[H44] HYUNG JIP CHOI, ș.a.



- se cercetează problema fisurilor coliniare cuprinse într-un strat simplu conectat. Mediul constă dintr-un strat suprafață și un strat semiinfinite conectate printr-o zonă de interfață neomogenă cu proprietăți gradate.

[D12] M. DIMILLO, M.OSTOJA-STARZEWSKI

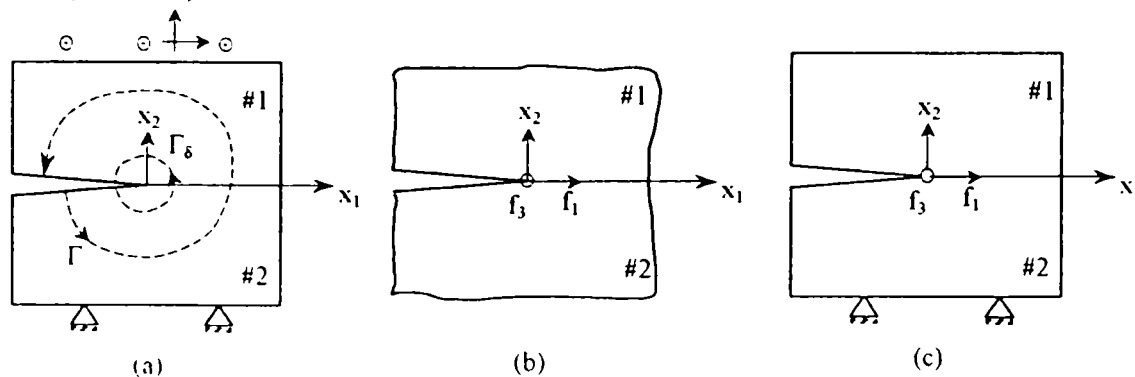
- datorită prezenței unei microstructuri fibroase, dezordonate în hârtie, caracteristicile ei mecanice nu sunt proprietăți de material universale, ci apar mai degrabă ca funcții de mărimea și forma specimenului, cât și a condițiilor de încărcare. Pentru a cuprinde variația statistică și structura de corelare spațială a parametrilor de rezistență și de elasticitate s-a introdus un model de câmp aleator.

[H42] C. HWU

- bazat pe soluțiile obținute utilizând formalismul lui Stroh, în acest articol se demonstrează o formulă generală și simplificată pentru găuri poligonale în medii anizotrope.

[M52] H.J. MOON, Y.Y. EARMME

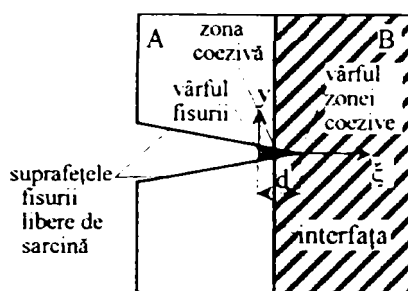
- sunt deduse relațiile între integrala bazată pe J și tensiunea T pentru probleme plane și respectiv antiplane. Integrala mutuală se evaluează fără a rezolva problemele de valoare la limită. Tensiunea T , un parametru util pentru stabilitatea fisurii, este astfel obținută ușor printr-o aplicare adecvată a conceptului „integralei de conservare”. Ca un exemplu, pentru a arăta aceasta, sunt prezentate problemele fundamentale de fisură la interfață pentru un solid finit diferit și două fâșii infinite.



[W9] T.C. WANG, C.F. SHIH, Z. SUO

- se analizează câmpurile singulare la vârful unei fisuri de interfață în solide anizotrope, punând accent pe stabilirea unui cadru pentru a cuantifica rezistența la rupere sub condițiile modului mixt.

[W13] D. WÄPPLING, ș.a.



- se examinează creșterea fisurii pe o interfață dintre materiale cu rezistențe diferite utilizând un model de zonă coeziv.

[C33] Y.H. CHEN, H. ZUO

- este dedusă o soluție generală pentru problema plană a unor microfisuri multiple în apropierea vârfului zonei de procesare a unei macrofisuri semiinfinite într-un solid elastic anizotrop.

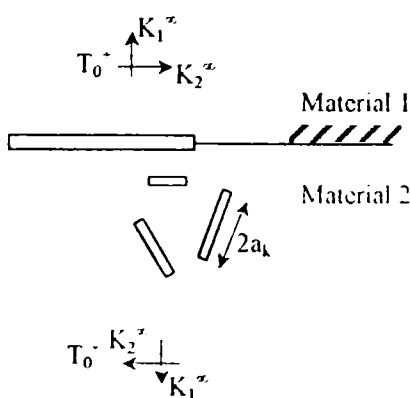
[S25] E. I. SHIFRIN, B. BRANK, G. SURACE

- se dă soluția analitică-numerică a problemei fisurii de interfață eliptice, localizată între două semispații elastice diferite îmbinate.

[E4] F. ERDOGAN, K. ARIN

- se consideră problema elasto-statică axial simetrică pentru un strat legat la un semispațiu cu proprietăți de materiale diferite. Se presupune că interfața bimaterială conține o fisură în formă de „penny” ale cărei suprafețe sunt supuse la tracțiuni cunoscute.

[L30] LI-GUO ZHAO, Y.-H. CHEN



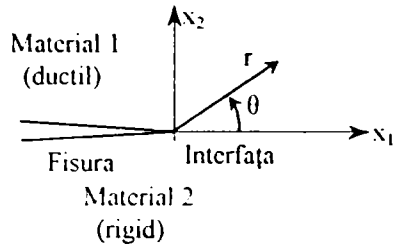
- se determină tensiunea T a unei macrofisuri de interfață indusă de microfisuri de sub interfață din apropierea vârfului.

1.4.3. Medii vâscoelastice

[SB52] V.G. KARNAUHOV

- stabilește teoria termomecanică a vâscoelasticității pentru un material izotrop necomprimabil simplu generalizat termoreologic.

[D10] XIAOMIN DENG



- se studiază câmpul de tensiuni plane la vârful fisurii în jurul unei fisuri de interfață ductil/rigid care crește rapid

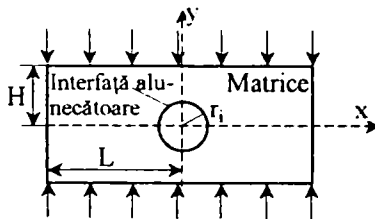
[A11] J. B. ALBLAS, M. KUIPERS

- tratează problema unui strat vâscoelastic de grosime finită, care este încărcat în efort plan de o ștanță circulară. Aceasta rulează peste suprafața stratului cu o viteză constantă care este așa de mică încât efectele inerției pot fi neglijate.

[Y18] YUEGUANG WEI, J.W. HUTCHINSON

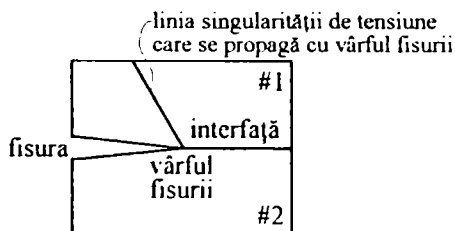
- sunt examinate două modele mecanice de continuu privind ruperea de interfață pentru materiale de legătură a interfețelor la care cel puțin unul suferă o deformare plastică.

[H9] V.M. HARIK, R.A. CAIRNCROSS



- prezice formarea și evoluția cavitațiilor interfaciale pentru flaxuri de compresiune ale unui solid vâscos în jurul unei incluziuni cilindrice rigide.

[H39] Y. HUANG, C. LIU, A.J. ROSAKIS

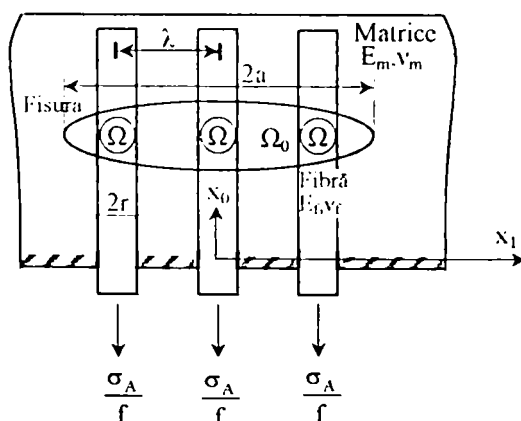


- analizează creșterea fisurilor interfaciale în sisteme bimateriale și câmpul asimptotic din jurul vârfului fisurii care se propagă.

[L50] H. LU, T.J. LARDNER

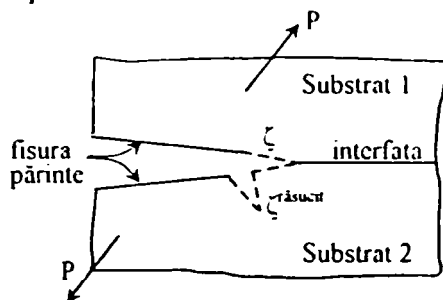
- se examinează fisuri finite bidimensionale în apropierea interfeței unui bimaterial.

[S29] SHUH-HUEI LI, ș.a.



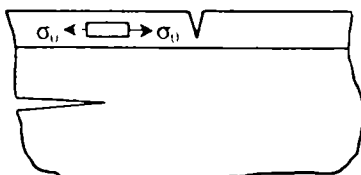
- s-a studiat ca acitatea de efort crescută în tim ul fisurării matriciale multiple în compozite fragile armate cu fibre continue supuse la tensiune uniaxială.

[W5] C.H. WANG



- se analizează problema unei fisuri incluse într-un strat dintre doi aderenți elastici care justifică amestecul influenței proprietăților de material asupra deformației plastice la vârful fisurii care este conținută în strat.

[X3] YANJIANG XU, J.A BLUME



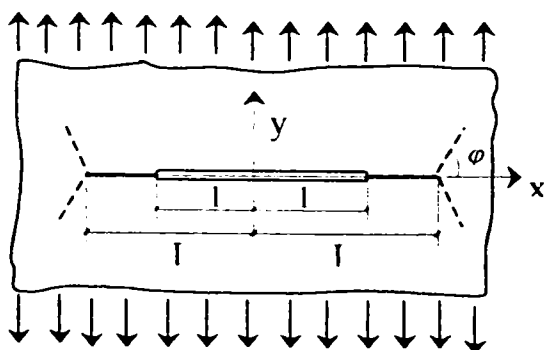
- investighează stabilitatea configurațională a unei fisuri semiinfinite în substratul unui film liniar elastic izotrop/sistem substrat sub tensiune reziduală în filmul subțire. Fisura înaintează paralel cu interfața film/substrat.

[Y15] C. YOON, D.H. ALLEN

- introduc o zonă coezivă în fața vârfului unei fisuri pentru a evita singularitatea la vârful fisurii.
- se analizează comportarea constitutivă dependentă de distrugere și rata de scădere a energiei pentru o zonă coezivă într-un solid termovâscoelastic.

1.4.4. Deformații plastice și tensiuni reziduale

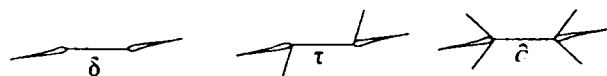
[SB22] RUSINKO N.K.



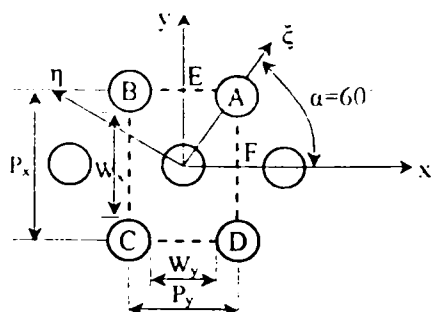
- Lucrarea cercetează deformațiile elasto-plastice într-o placă subțire, nelimitată, cu o tăietură dreaptă de lungime $2l$, sollicitată la tracțiune. Se admite criteriul de plasticitate formulat în cadrul macrotensiunilor.

[SB48] S. Ia. IAREMA

- continuă cercetarea legilor de dezvoltare a benzilor de plasticitate la întinderea epruvetelor plane cu concentratori sub formă de fisură
- se arată dependențele între mărimi obținute experimental și cantitativ și dependențele între mărimile care caracterizează procesul de deformație a plăcii.



[F26] F.K. CHEN, Y.-C. LEE

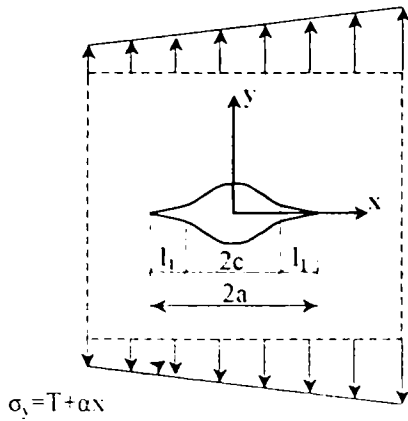


- se face analiza deformațiilor plastice a unor foi perforate cu găuri circulare aranjate într-un model triunghiular. Foaia perforată e considerată ca fiind un material omogen compresibil, anizotrop, cu proprietăți mecanice echivalente.

[T17] P.S. THEOCARIS, C.B. DEMAKOS

- se studiază efectul de ecruisare prin deformare asupra ruperii cu ajutorul criteriului T, utilizând câmpuri de tensiune HRR, în jurul vârfului fisurii, într-un material ecruisabil după o funcție de putere.

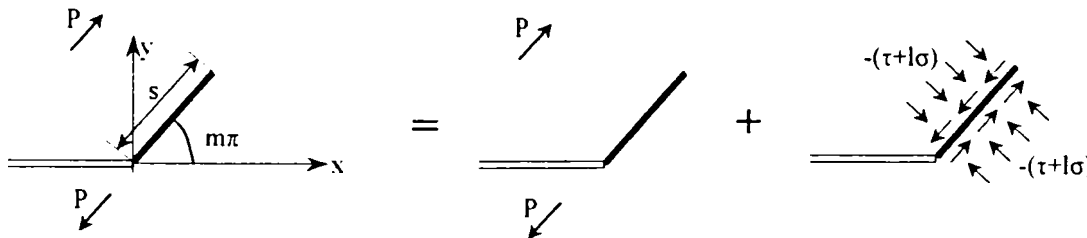
[K22] F.KANNINEN



- un model de fisură Dugdale a fost extins pentru a include efectele unei încărcări de întindere ce variază liniar.

[L21] J. LI

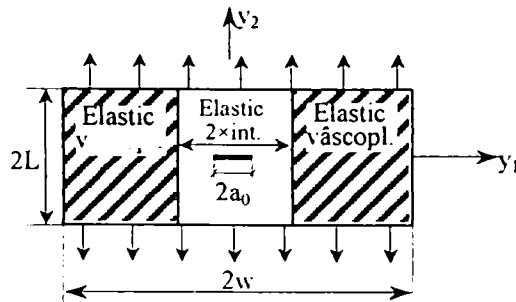
- face un studiu elasto-plastic pentru o fisură semi-infinită sub acțiunea unor forțe concentrate în modul mixt, utilizând modelul Dugdale.



[P2] VINCENZO PALAZZO, LUCIANO ROSATI și NUNZIANTE VALOROSO

- se ilustrează o strategie de rezolvare recent propusă pentru elastoplasticitate cu suprafețe de curgere care depind de toți cei 3 invarianți ai tensorului de tensiune. Sunt demonstrate performanțele numerice a celor două strategii făcându-se referință la o problemă tipică de „benchmark”

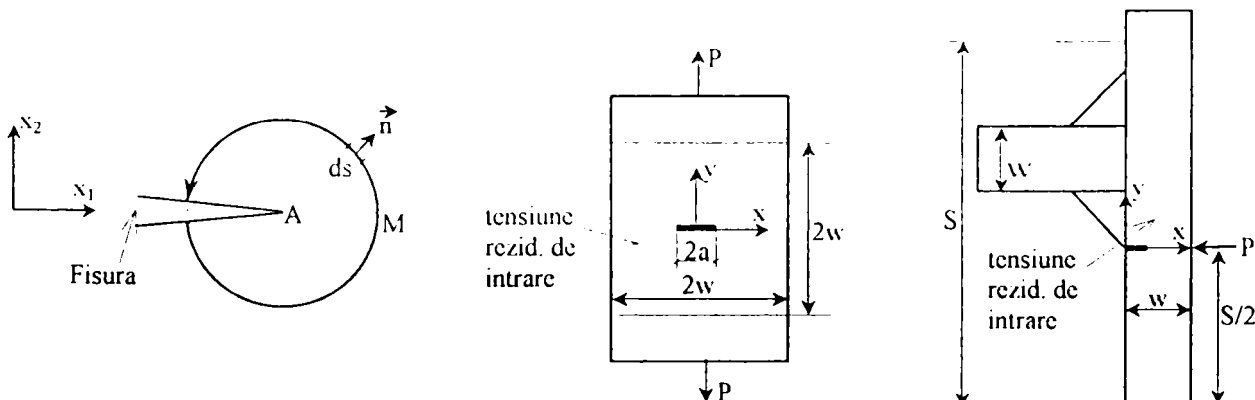
[A30] J.J.M. ARATA, A. NEEDLEMAN



- Se analizează numeric efectul plasticității asupra creșterii unei fisuri care ia naștere într-un solid elastic pe o interfață cu un solid elastic-vâscoplastic.

[023] N.P. O'DOWD, Y. LEI, G.A. WEBSTER

- se utilizează o integrală J modificată, care să ia în considerare prezența tensiunilor reziduale. Comportarea la rupere este interpretată utilizând această integrala J modificată. S-au făcut simulări de elemente finite pentru o placă fisurată central și o geometrie de placă în T, ce conține câmpuri de tensiuni reziduale.



[A36] P.F. ARTHUR, W.S. BLACKBURN

- determină distribuția tensiunilor pentru o încărcare uniformă la infinit a unui material elasto-plastic de călire conținând fie două fisuri coliniare egale fie o singură fisură dar conținând și dislocații.

[A35] P.F. ARTHUR, W.S. BLACKBURN

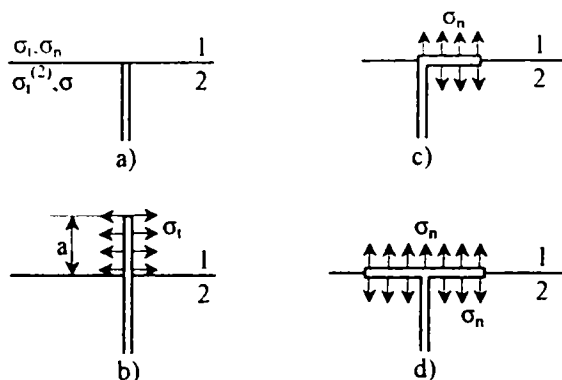
- se consideră o singură fisură într-un material elasto-plastic de călire sub efort antiplan datorat unei tensiunii de forfecare. Pentru diferite distribuții de tensiune coezive la vârful fisurii, sunt determinate tensiunile și deplasările pentru cazul când plasticitatea este limitată la planul fisurii.

[G5] Y.C. GAO, H.D. BUI

- se investighează câmpul de distrugere plastică în apropierea unui vârf de fisură staționară. Comportarea tensiunilor și deformărilor în apropierea vârfului fisurii este descrisă analitic.

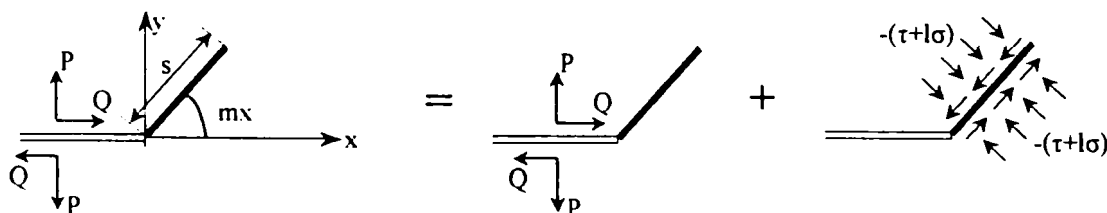
[M39] MING YUAN HE, ANTHONY G. EVANS, J.W. HUTCHINSON

- analizează rolul tensiunilor reziduale în cazul deflecției unei fisuri la interfața dintre două materiale elastice diferite.



[J7] LI JIA

- elaborează un modul Dugdale-Barenblatt în modul mixt pentru o fisură semiinfinită într-o placă subțire ideal elasto-plastică încărcată cu o pereche de forțe concentrate auto-echilibrante la bazele fisurii.



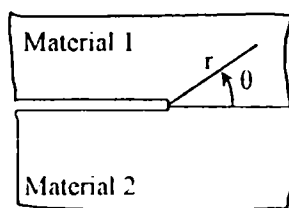
[Z6] A. ZERVOS, ș.a.

- prezintă un model de elastoplasticitate cu gradient, extinzând ideea de plasticitate cu gradient, presupunând că elasticitatea fundamentală este de asemenea de tip gradient.

- se dă o formulare în deplasări de element finit pentru elastoplasticitatea cu gradient.

[Y11] YONG-LI WU, ș.a.

- prezintă o analiză asimptotică pentru o fisură care se află la interfața unui material plastic distrus și a unui material elastic liniar.

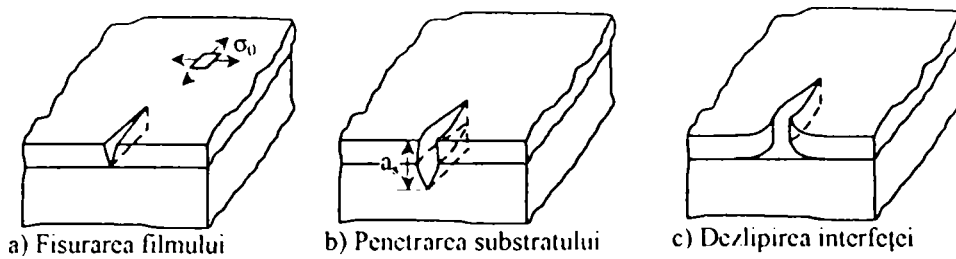


[SB49] B. ATZORI, P. LAZZARIN, R. ZAMBARDI

- prezintă o metodă comună pentru analiză, în condiții elasto-plastice a câmpurilor de tensiune din apropierea vârfului unor creștături în V ascuțite, supuse la încărcări modul I, II și III.

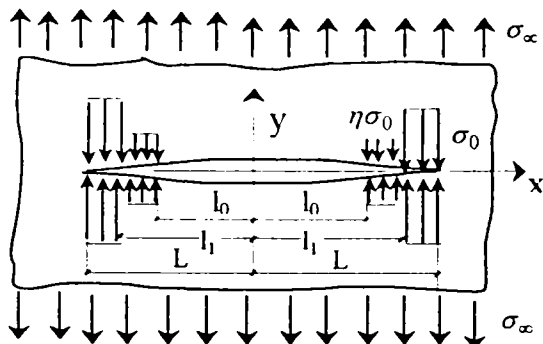
[Y8] T.YE, Z. SUO, A.G. EVANS

- examinează fisurile în filme subțiri cauzate de tensiuni reziduale. Se focalizează atenția asupra fisurarea filmului, supus fie la dezlipirea interfeței sau fisurarea substratului.



1.4.5. Diferite probleme legate de fisura Griffith

[SB23] ONĂȘKO V.L.

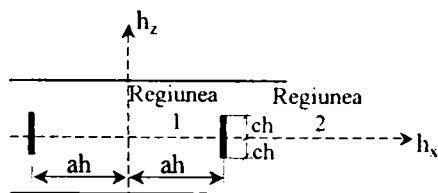


- Spațiul infinit cu comportare fragilă sollicitat la întindere monoaxială cu tensiunea σ_x perpendiculară pe planul orificiului. Marginile fisurii sollicitate la tensiunea σ_0 variind în trepte. Se arată că pentru macrofisuri tensiunea critică se exprimă cu formula lui Griffith.

[F8] THEO FETT, D.MUNZ

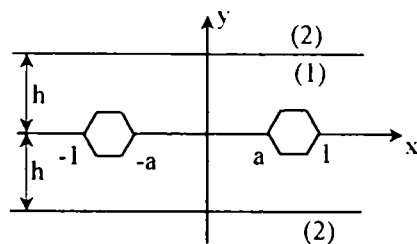
- se fac comentarii asupra problemei cum poate fi utilizat câmpul de tensiune a unei fisuri Griffith într-un câmp infinit, pentru a estima tensiunile într-o placă fisurată central de lățime finită.

[C20] S.N.CHATERJEE, SHYAM N.PRASAD



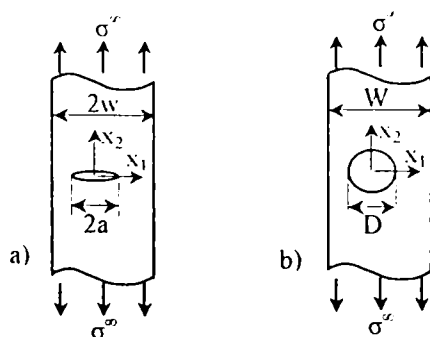
- discută problema a două fisuri Griffith paralele necoplanare localizate simetric într-o platbandă, presupunând condiții de deformare plană.

[D5] S. DAS, ș.a.



- rezolvă problema introducând condiții de simetrie în regim staționar a două fisuri Griffith coliniare localizate într-un strat elastic ortotrop de grosime finită 2h aflat între două semiplane ortotrope identice.

[C25] C. CHEN, N.A. FLECK, T.J.LU

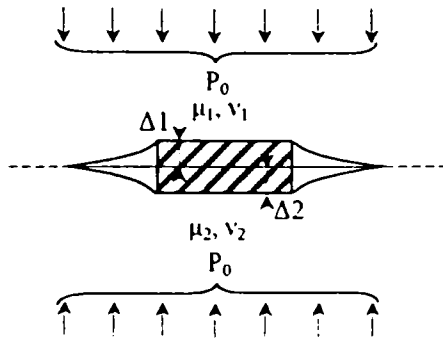


- se prezice rezistența la mărirea fisurilor în modul I (curba R), utilizând un model de zonă coezivă de tip Dugdale.

[Z3] ZENG TAO CHEN, ș.a.

- se rezolvă problema unei fisuri Griffith antiplane care înaintează de-a lungul interfeței unor materiale piezoelectrice diferite, utilizând metoda transformărilor integrale.

[G18] G.M.L. GLADWELL



- se consideră problema elasto-plastică în care contactul între două semispații elastice diferite comprimate este perturbat de incluziuni disc de grosimi constant diferite, și de forme arbitrare.

[S42] SNEDDON I.N.

- determină distribuția tensiunilor de suprafață $p(x) = -\sigma_{yy}(x,0)$ necesare pentru a menține o fisură Griffith $|x| \leq 1, y=0$ în forma $u_y(x,0) = w(x), |x| < 1$.

[W23] T.-S. WU, Y.C. PAO, Y.P. CHIU

- se analizează un strat elastic finit ce conține o fisură Griffith.

[SB50] RANJIT S. DAHALIWAL

- se determină factorii de intensitate a tensiunilor și energia fisurii într-o platbandă elastică de lungime infinită ce conține două fisuri Griffith coplanare.

[H36] C. HWU, WEN Y. YEN

- se rezolvă problema unei găuri eliptice continuă într-o placă bidimensională anizotropă dezvoltând funcția lui Green.

[L47] M. LOWENGRUB, I. N. SNEDDON

- se determină câmpurile de tensiunii și deplasări în vecinătatea unei fisuri Griffith localizată la interfața a două semiplane elastice diferite îmbinate.

1.4.6. Solicitări de forfecare

[K55] KOSTROV

- studiază problema pregătirii fisurii de forfecare longitudinale pentru cazul plan, când deplasările sunt paralele cu marginea fisurii și viteza de propagare a fisurii este variabilă arbitrar.

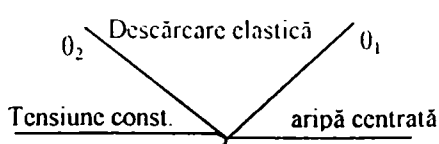
[M5] A.C. MAL

- se consideră problema difracției undelor normal incidente longitudinale și antiplane de forfecare pe o fisură Griffith localizată într-un mediu elastic infinit izotrop și elastic. În fiecare caz se obține o ecuație integrală Fredholm de speța a doua pentru determinarea câmpului de tensiuni.

[P27] PELEH, LAZKO, MAHNIŢKI

- se studiază concentrarea tensiunilor în apropierea găurii circulare în plăci ortotrope, ținând cont de deformația de forfecare.

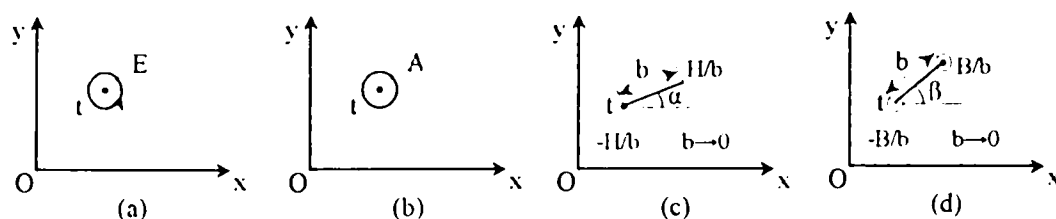
[P31] SHOUKANG PENG, HAO PAN



- lucrarea face o analiză asimptotică a câmpurilor din apropierea fisurii pentru modul III, fisuri care cresc cvasi-statistic pentru unele materiale de călire.

[C34] Y.Z. CHEN

- calculează potențialele complexe pentru patru situații în elasticitatea antiplană: a) o dislocare punctuală; b) o forță concentrată; c) un cuplu de dislocare; d) un cuplu de forță concentrată. Utilizând potențialele complexe obținute se introduce o ecuație integrală singulară pentru problema fisurii curbe.

**[F1] V.I. FABRIKANT**

- se descrie o soluție completă la problema unei fisuri circulare externe într-un corp transversal izotrop supus la o forfecare arbitrară

[S40] E. SMITH

- examinează anumite probleme de deformare antiplană în ce privește extensia unor fisuri ce se află de-a lungul unei interfețe circulare care separă două materiale cu module de forfecare diferite.

[Z27] L. ZHANG, ș.a.

- se obțin soluțiile de câmp asimptotic în apropierea vârfului și soluția câmpului complet pentru o fisură modul III într-un material elastic cu efecte de gradient de deformare.

1.4.7. Unele probleme fundamentale. Ruperi fragile și cvasifragile

[F3] EPIFANOV, FAUSTOV

- se pune problema de a aprecia eficiența secțiunii efective a fisurilor care apar în diferite etape de deformare a gheții policristaline la comprimare monoaxială.

[B79] BUGAKOV I.I.

- studiază experimental ruperea cvasifragilă a epruvetelor plane cu tăieturi în formă de „scobitură”.

[B16] BARENBLATT

- studiază echilibrul fisurilor care se formează la ruperea fragilă, stabilitatea fisurilor izolate, respectiv legătura cu teoriile energetice.

[B14] BARENBLATT

- o interesantă lucrare de sinteză care face o prezentare generală a teoriei matematice a ruperii fragile.

[A49] H. AWAJI

- criteriul de energie Griffith pentru ruperea fragilă este extins la ruperea în modul II.

[E7] KJELL ERIKSSON

- se prezintă o metodă generală de determinare a forței de extensie a fisurii F în raport cu un element finit al unei fisuri curbe.

[L1] R.S. LAKES

- prezintă un studiu al implicațiilor unui coeficient Poisson negativ în proiectarea unor componente supuse la tensiune.

[O19] N.P. O'DOWD

- s-au introdus metode cu doi parametri în (M.R.) elasto-plastică pentru a înlătura unele conservatorisme inerente în metoda cu un parametru bazată pe integrala J , și pentru a explica „efectele de mărime” observate cu privire la rezistența la rupere.

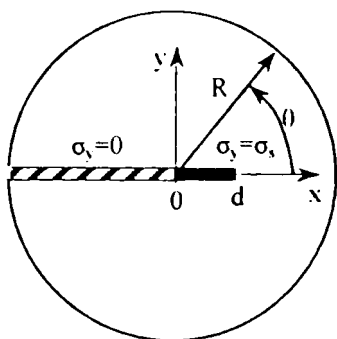
[N14] T. NISHIOKA

- lucrarea prezintă o trecere în revistă a cercetărilor în domeniul (M.R.) dinamice computaționale. Sunt incluse:

- (i) aspecte fundamentale ale (M.R) dinamice computaționale
- (ii) tipuri de simulare a ruperii
- (iii) modele computaționale a propagării dinamice a fisurilor

(iv) utilizarea integralei J dinamice în modelele computaționale

[C6] CEREPANOV – „Despre ruperea cvasifragilă”



- lucrarea demonstrează că mărimea raportului dintre energia de suprafață adevărată și lucrul mecanic ireversibil al deformațiilor plastice de ordinul σ_S / E unde σ_S - limita de curgere la întindere, E- modulul lui Young. Se examinează problema elasto-plastică a unor plăci subțiri cu fisură arbitrară de rupere normală supusă acțiunii forțelor de întindere.

[E16] ERȘOV, IVLEV

- sunt examinate diferite condiții de limită pentru o serie de modele ale corpului solid deformabil, ca și condiții de rupere cvasifragilă.

[L52] H.A. LUO, Q. WANG

- studiază redistribuirea tensiunilor într-o foaie compozită hibridă la întindere, datorită ruperii unei fibre cu modul înalt.

[Y14] Z. YONG, M.T. HANSON

- dau noi rezultate pentru factorii de intensitate ai tensiunilor în cazul încărcării normale arbitrare a unei fisuri înelare într-un mediu izotrop neomogen.

[L46] M. LOWENGRUB

- se determină câmpul de tensiuni într-un mediu elastic semi-infinit îmbinat cu o fundație rigidă și conținând o fisură la interfață.

[K2] M. KACHANOV

- se studiază solide cu fisuri și pori non-sferici și se discută parametrii adecvați densității de defect și proprietățile elastice efective.

1.4.8. Efecte neliniare

[L27] LIEBOWITZ, JONES

- fac o cercetare a efectelor neliniare ale mecanicii ruperii

[P40] POBEDRIA E., HOLMATOV T.

- se dă o tratare nouă în tensiuni, variațională, a problemei cvasistatice a mecanicii neliniare a corpului solid deformabil.

[K28] B.L. KARIHALOO

- se studiază efectul de mărime pe o geometrie structurată particulară ce conține o fisură care poate fi relativ puțin adâncă sau adâncă.

1.4.9. Inițierea și propagarea fisurii

[D8] ISMAIL DEMIR, ș.a.

- se cercetează interacțiunea fisurii elastice cu defecte interne, ca microfisuri, goluri și incluziuni rigide, pentru a analiza propagarea fisurii.

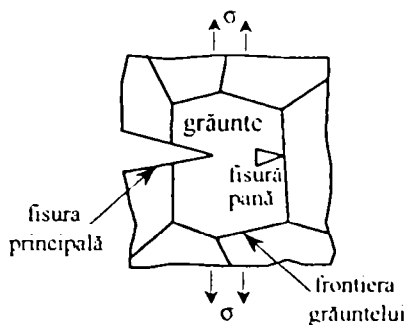
[L12] D. LEGUILLON

- se studiază criteriul de nucleare a fisurilor la o crestătură în materiale omogene.

[G19] J. GIOVANOLA, S.W. KIRKPATRICK

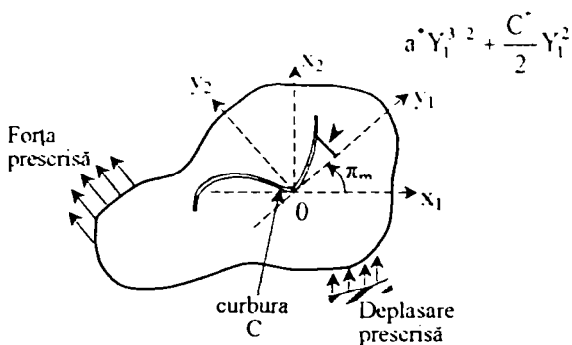
- utilizând un model local se prezice ruperea ductilă în structuri geometrice similare de diferite mărimi, care conțin fie fisuri ascuțite sau concentratori de tensiune neascuțiți (tociți).

[N5] T. NAKAMURA, K. SAITO, S. ARAKI



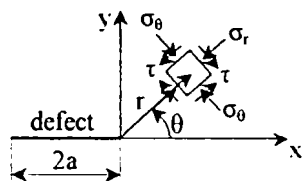
- se dă o soluție exactă la problema modelului de interacțiune fisură principală-microdefect, bazat pe metoda teoriei dislocațiilor continuu distribuite - se obțin funcțiile de distribuție atât pentru fisura principală cât și pentru microdefect.

[A23] M. AMESTOY, J.B. LEBLOND



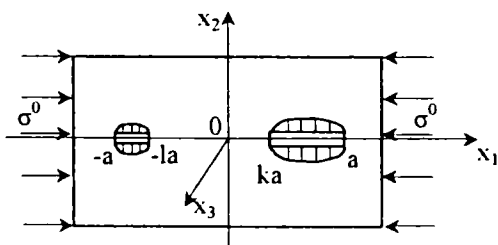
- se studiază o fisură care se propagă într-un corp bidimensional de-a lungul unei căi curbe arbitrare răsucite.

[B55] A. BOBET, H.H. EINSTEIN



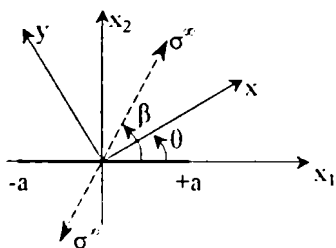
- prezintă metoda numerică și criteriul de inițiere a ruperii dezvoltat pentru a modela modelele de fisuri examinate de Bobet și Einstein (1996, 1998) și Bobet (1997) în probe de gips cu ruperi și defecte preexistente.

[C70] E.M. CRĂCIUN, E. SOOS



- se consideră un material elastic ortotrop care este pretensionat și conține două fisuri colineare de lungimi diferite. Fețele fisurilor sunt acționate de tensiuni incrementale normale constante simetric distribuite. Se determină valorile critice ale tensiunilor incrementale aplicate pentru care vârful fisurilor încep să se propage, și se analizează interacțiunea fisurilor ca funcție de lungimile lor și de distanța dintre fisuri.

[A51] ABBAS AZHDARI, SIA NEMAT-NASSER



- se analizează buclarea fisurilor într-un plan infinit liniar elastic omogen și anizotrop, care conține o fisură centrală principală. Pentru aceasta se definesc doi factori de intensitate ai tensiunilor:

HSIF (sau $K_{\omega\omega}$) - factorul de intensitate a tensiunilor înclare

SSIF (sau $K_{r\omega}$) - factorul de intensitate a tensiunilor de forfecare.

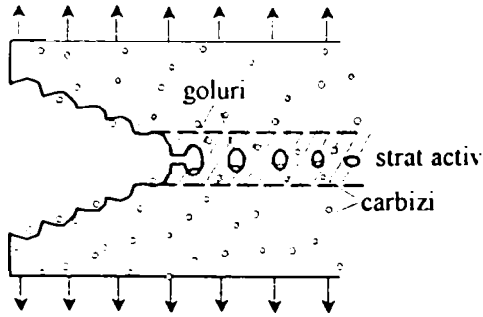
[H7] S. HALLSTROM, J.L. GRENESTEDT

- analizează ruperea inițială de către o fisură ascuțită sau o creștătură în formă de pană într-un material omogen, supus la încărcare diferită.

[K27] E.N. KARAPETIAN, M.T. HANSON

- dau o evaluare a deplasărilor de deschidere a fisurilor și a factorilor de intensitate a tensiunilor în termenii unor funcții elementare pentru problema unei sarcini concentrate în afara unei fisuri circulare.

[G42] A.S. GULLERUD, ș.a.



- explorează chestiuni de calcul – cheie (de bază) care afectează analiza, utilizând metodologia calculului de calcul pentru a prezice creșterea fisurii în metale ductile cauzate de creșterea golurilor și coalescențe.

[K26] E. KARAPETIAN, M. KACHANOV

- sunt derivate soluții exacte în funcții elementare pentru factorii de intensitate a tensiunilor unei fisuri circulare care interacționează cu diferite surse de tensiune: dipoli, momente, centre de dilatare și rotație. Astfel de surse de tensiune pot modela defecte ca vacanțe, particule străine, dislocații.

[L25] X. LI, L.M. KEER

- se analizează creșterea gradată a fisurilor semiplane și sub formă de penny între bariere a căror rezistență la rupere este mai mare decât cea a zonei de rupere.

[L37] C. LIU, W.G. KNAUSS, A.J. ROSAKIS

- se analizează creșterea marcată determinată experimental a factorului de intensitate a tensiunii, necesară pentru a iniția propagarea fisurii în solide fragile supuse la încărcări puternic variabile.

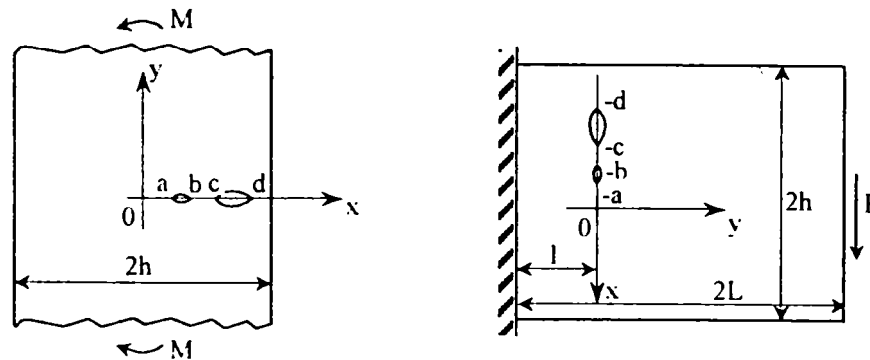
[L24] X. LI, L.M. KEER – partea I + partea a II-a (două lucrări)

- propun o metodă directă, bazată pe metoda ecuației elementelor de frontieră, pentru a rezolva probleme de creștere a fisurilor la întindere pentru sarcini arbitrar distribuite. În partea a II-a metoda este extinsă pentru a rezolva probleme de creștere a fisurii sub o încărcare de forfecare arbitrară.

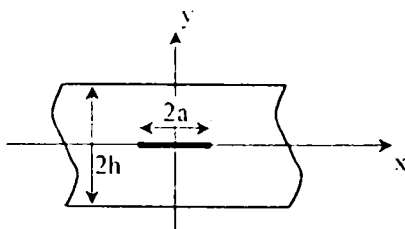
1.4.10. Banda elastică cu defecte

[P8] V.V. PANASIUK, LOZOVOI

- determină sarcina limită la încovoiera benzii cu două fisuri inegale, situate în zona tensiunilor de întindere și dirijate de-a lungul dreptei perpendiculare pe axa benzii, când în planul median al benzii acționează sarcini exterioare.



[K51] Y. KONISHI, A. ATSUMI



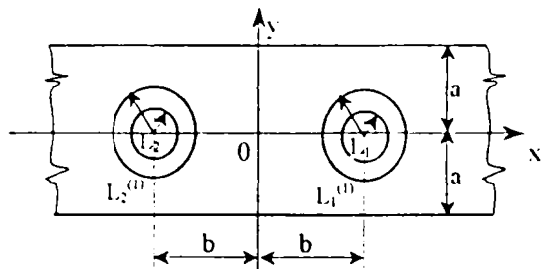
- presupunând o deformare plană și utilizând metoda transformatei Fourier se rezolvă ecuațiile de echilibru exprimate în funcție de deplasări și se dau soluții pentru problema fisurii paralele cu marginile într-o platbandă.

[C21] S.N.CHATTERJEE, S.N.PRASAD

- utilizând funcții proprii Papkovich-Fadle se studiază o clasă de probleme de fisuri ale unei platbenzi elastice.

[M41] N.I. MIRONENKO

- cercetează starea de tensiune a benzii cu una sau două găuri circulare fixate cu inele elastice



[L7] P. LAZZARIN, R. TOVO, S. FILIPPI

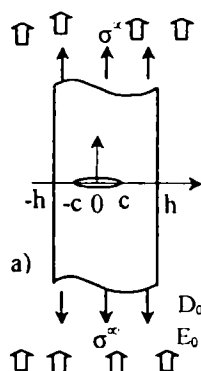
- studiază distribuția tensiunilor elastice în plăci de dimensiuni finite cu creștături marginale (pe muchii).

[S26] SHILANG XU, H.W. REINHARDT – Partea a II-a

- se determină parametrii de rupere K-dubli K_{Ic}^{III} și K_{Ic}^{III} utilizând grinzi crestate la încovoierea în trei puncte.

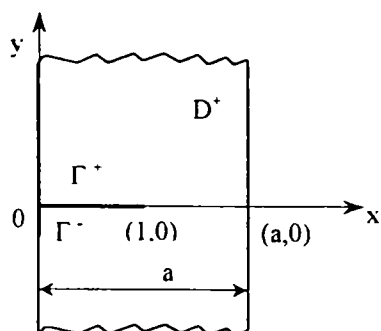
[S27] Y. SHINDO, K. WATANABE, F. NARITA

- rezolvă problema electroelastică de deformare plană a unei platbenzi ceramice piezoelectrice ortotropice cu o fisură centrală, care e situată simetric și orientată într-o direcție normală la muchiile platbenzii.



[U5] UWADIEGWU B. C. O. EJIKE

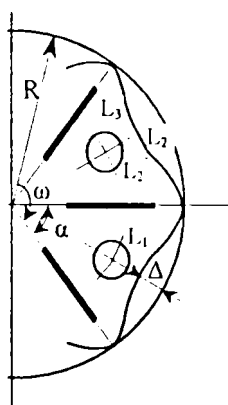
- se cercetează problema determinării distribuției tensiunilor și deformațiilor unei platbenzi lungi dintr-un material elastic, slăbită cu o fisură normală la muchia platbenzii.



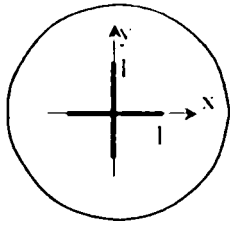
1.4.11. Discul circular cu defecte

[V24] N.I.VOLKOV, L.A.FILTINSKI

- se examinează starea de tensiune a discului slăbit cu găuri și fisuri și întărit cu întărituri rigide în câmpul forțelor centrifuge.

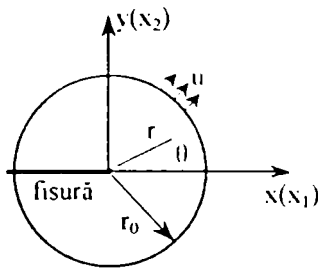


[S61] M.P. STALLY BRASS



- obține o soluție exactă pentru o fisură linie de forma unei cruci localizată într-un mediu elastic, atunci când brațele fisurii sunt supuse la o distribuție de presiuni egale, dar aleatoare.

[P4] J. PAN, C.F. SHIM



- sunt investigate în contextul ipotezei micilor deformații, câmpuri combinate modul I, II și III în apropierea vârfului fisurii, staționare în materiale de călire. Se utilizează o tehnică de element finit pentru a obține soluții în tensiuni asimptotice pentru modurile combinate I și II perturbate de modul III.

1.4.12. Solicitări dinamice și oboseală

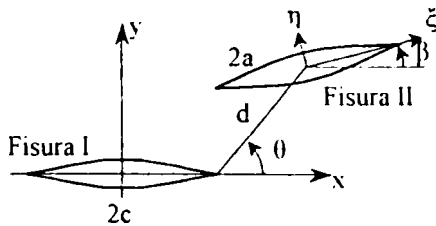
[N3] K. NAITO, T. FUJII

- Se examinează suprafețele rupte la oboseală în cazul unor adezivi Epoxi și fractali sub încărcări ciclice pentru modul I.

[M34] O. MILLER, N.B. FREUND, A. NEEDLEMAN

- Lucrarea prezintă două modele de fragmentare dinamică bazate pe echilibrul energetic și se compară predicțiile lor, cu privire la mărimea fragmentelor, cu rezultatele simulărilor numerice.

[M27] S.A. MEGUID, X.D. WANG



- Se examinează interacțiunea dinamică între două fisuri localizate într-un mediu prizmatric sub forfecare antiplană.

[M27] S.A. MEGUID, X.D. WANG

- Se dă o tratare teoretică cuprinzătoare a interacțiunii dinamice între o fisură principală și o microfisură arbitrar localizată și orientată în apropierea vârfului ei sub încărcare antiplană. Formulările teoretice se bazează pe utilizarea tehnicilor de transformări integrale și un procedeu adecvat de suprapunere. Ecuațiile integrale singulare rezultante sunt rezolvate numeric utilizând polinoame Cebășev, pentru a furniza factorul de intensitate a tensiunilor dinamic în fisura principală la diferite frecvențe de încărcare.

[A4] J. D. ACHENBACH

- Se investighează difracția unei unde plane printr-o fisură de lungime finită, utilizând o reprezentare integrală a deplasării pentru probleme de propagare tranzitorie a unor unde de forfecare orizontal polarizate.

[X1] XIAO HUA ZHAO, HUICAI XIE

- se investighează factorii de intensitate ai tensiunilor dinamice pentru o fisură semiinfinită într-un corp elastic nemărginit pe de altă parte. Fisura este supusă la o pereche de sarcini punctuale de forfecare brusc aplicate pe fețele ei la o distanță l de vârful fisurii.

[W15] D. WEBB, C. ATKINSON

- Se obține soluția pentru problema unei fisuri în formă de „penny” ce se extinde cu viteză uniformă sub o anumită presiune internă neuniformă într-un mediu elastic izotrop omogen.

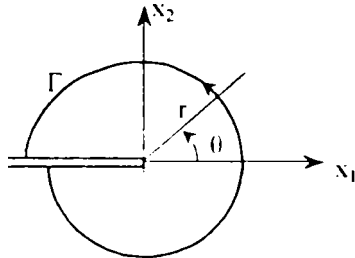
[I14] S. ITOU

- prezintă problema dinamică pentru un mediu Cosserat elastic infinit slăbit printr-o fisură finită unde sistemul autoechilibrat de presiune variază armonic în timp.

[L52] F. LUND

- propune o metodologie universală pentru instabilitatea dinamică a unor fisuri ce se propagă rapid în materiale fragile subțiri.

[Z11] Z. ZHOU, B. WANG, S. DU



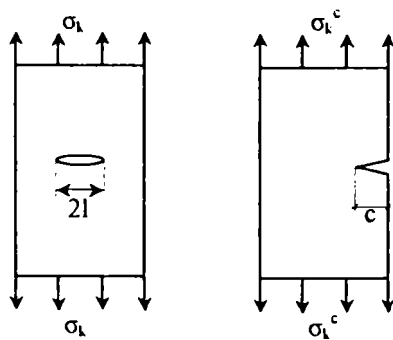
- studiază în răștierea undelor antiplane de forfecare armonic elastice de către o fisură finită utilizând teoria non-locală.

1.4.13. Studii experimentale

[M21] G.B. MAY, A.S. KOBAYASHI

- utilizând interferometria Moiré cu densități de linii de 1200 și 40 linii/mm s-au determinat cele două deplasări ortogonale ce înconjoară o fisură ce se extinde stabil într-un aliaj de aluminiu 2024-T3.

[SB53] KOVCIK C.E.



- se descriu rezultatele experimentale a încercării de întindere a epruvetelor din sticlă în formă de plăci cu fisuri.

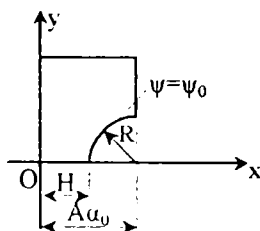
[D17] DÎȘELI M.Ș.

- prezintă rezultatele cercetării experimentale în privința pierderii stabilității plăcii cu fisuri

[B61] R.J. BONENBERGER, J.W. DALLY

- se descrie o nouă probă pentru a determina rezistența la rupere într-o modalitate mai eficientă.

[A20] S.E. ALEXANDROV, R.V. GOLDSTEIN



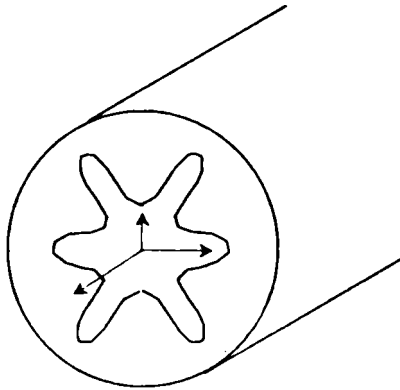
- determină tensiunile și deformațiile plastice la secțiunea transversală minimă a unei probe (epruvete) crestate supusă la întindere.

[O15] D. M. OWEN, S. ZHUANG, A.J. ROSAKIS, G. RAVICHANDRAN

- s-a realizat o investigație experimentală pentru a determina caracteristicile dinamice de rupere ale unor folii subțiri de aluminiu 2024-T3 cu grosimi între 1.63-2.54 mm. S-a determinat factorul de intensitate a tensiunilor dinamice critic K_c^d pe o zonă largă de domenii de încărcare.

[M51] A. MOLINARI, M. EL MOUDEN

- lucrarea determină proprietățile generale și tensiunile locale ale unui material compozit. Materialul constă din incluziuni elastice elipsoidale suspendate într-o matrice elastică omogenă.

[L39] C.T. LIU, C.W. SMITH, L. WANG

- prezintă rezultatele unui studiu fotoelastic de tensiuni „înghețate”, a creșterii și distribuțiilor factorilor de intensitate ai tensiunilor pentru defecte de suprafață care emană de la vârful unei nervuri (aripioare de răcire) în modele de motor.

[Y7] YAOWU SHI, ZHUNG XIANG HAN, JIANQIN FU

- s-au studiat efectele nepotrivirii rezistenței de sudură la rezistența la rupere a unei zone afectate termic într-un oțel slab aliat cu rezistența de rupere 800MPa.

[S41] D.J. SMITH, ș.a.

- au examinat ruperea fragilă și ductilă a unui oțel de rotor de putere mare la temperatura camerei utilizând probe crestate la margine singulare.

[S26] SHILANG XU, H.W. REINHARDT – Partea a II-a

- se prezintă în detaliu rezultatele investigațiilor experimentale utilizând interferometria cu particule laser pe grinzi crestate, mici încovoiate prin trei puncte și utilizând de asemenea acoperirea fotoelastică.

[S26] X SHILANG XU, H.W. REINHARDT – Partea a III-a

- arată cum pot fi determinați parametri de rupere K-dubli K_{Ic}^{mi} și K_{Ic}^{um} pentru beton utilizând probe CT divizate cu pene.

CAPITOLUL 2

FORMULĂRI TEORETICE ȘI SOLUȚII ANALITICE. CONTRIBUȚII

§ 2.1. SINTEZA FORMULELOR FUNDAMENTALE DIN TEORIA ELASTICITĂȚII

2.1.1. Probleme spațiale

1. Din motive legate de continuitatea expunerii, de unificarea soluțiilor și de coerența structurală a conținutului lucrării, am considerat util să prezint o sinteză a formulelor fundamentale din (T.E.) fără demonstrații și cu minim de explicații. Acesta este un domeniu în care literatura științifică românească are multe monografii excelente, în care se găsesc explicații complete și demonstrații riguroase. Citez în mod deosebit volumele domnului profesor P.P. TEODORESCU [T12] [T13] [T14] despre care domnul profesor I. DOBRE scria în cartea [D26]:

„Credem că un moment de cotitură în modul de înțelegere și abordare a problemelor de Rezistența materialelor l-a constituit apariția cărților de Teoria elasticității ale profesorului P.P. Teodorescu (patru volume, aprox. 2500 de pagini!) ca și excepționala monografie în trei volume a lui P.P. Teodorescu și V. Ilie: „Teoria elasticității și introducerea în mecanica solidelor deformabile” Editura Dacia, Cluj-Napoca, 1976”.

Sunt de semnalat de asemenea monografiile L. SOLOMON [S50], M. HAIMOVICI [H5], L. DRAGOȘ [D35], W. KECS [K36], M. SOARE [S45], I. DOBRE vol. II [D19] și traducerile din limba rusă: N. FILONENCO-BORODICI [F17], N.I. BEZUHOV [B40].

2. Se știe că problema fundamentală a (T.E.) constă în cunoașterea stării de tensiune și a stării de deformație a unui corp solid deformabil în fiecare punct al său în funcție de solicitările la care este supus, de modul de rezemare și de o serie întreagă de alți parametri: viteza de solicitare, timp, temperatură, material, mediu de lucru etc.

Pentru un mediu omogen și izotrop, liniar elastic, *sub aspect local*, problema este descrisă de un sistem de 15 ecuații diferențiale cu 15 necunoscute care sunt:

$\sigma_x, \sigma_y, \sigma_z$ - trei tensiuni normale;

$\tau_{xy}, \tau_{yz}, \tau_{zx}$ - trei tensiuni tangențiale care satisfac *principiul dualității sau parității*:

$$\tau_{ij} = \tau_{ji} \quad (i, j = x, y, z);$$

$\varepsilon_x, \varepsilon_y, \varepsilon_z$ - trei deformații specifice liniare;

$\gamma_{xy}, \gamma_{yz}, \gamma_{zx}$ - trei deformații specifice unghiulare ($\gamma_{ij} = \gamma_{ji}$);

u, v, w - trei funcții de deplasare după cele trei direcții x, y, z .

Astfel în fiecare punct al corpului starea de solicitare este descrisă de:

- tensorul stării de tensiune:

$$T_\sigma = \begin{bmatrix} \sigma_x & \tau_{yx} & \tau_{zx} \\ \tau_{xy} & \sigma_y & \tau_{zy} \\ \tau_{xz} & \tau_{yz} & \sigma_z \end{bmatrix}$$

un tensor simetric de ordinul doi

- tensorul stării de deformație:

$$T_\epsilon = \begin{bmatrix} \epsilon_x & \frac{1}{2}\gamma_{yx} & \frac{1}{2}\gamma_{zx} \\ \frac{1}{2}\gamma_{xy} & \epsilon_y & \frac{1}{2}\gamma_{zy} \\ \frac{1}{2}\gamma_{xz} & \frac{1}{2}\gamma_{yz} & \epsilon_z \end{bmatrix}$$

de asemenea un tensor simetric de ordin doi (afin ortogonal)

- vectorul coloană al deplasărilor:

$$\Delta = \begin{Bmatrix} u \\ v \\ w \end{Bmatrix} = \{u \quad v \quad w\}^T$$

Cele 15 ecuații care descriu local starea de solicitare a corpului, sunt (în sinteză), în coordonate carteziene rectilinii triortogonale următoarele:

I. Ecuațiile diferențiale de echilibru static și/sau dinamic ale lui NAVIER-CAUCHY

$$\begin{aligned} \frac{\partial \sigma_x}{\partial x} + \frac{\partial \tau_{yx}}{\partial y} + \frac{\partial \tau_{zx}}{\partial z} + \rho X &= 0 \quad (= -\rho \ddot{u}) \\ \frac{\partial \tau_{xy}}{\partial x} + \frac{\partial \sigma_y}{\partial y} + \frac{\partial \tau_{zy}}{\partial z} + \rho Y &= 0 \quad (= -\rho \ddot{v}) \\ \frac{\partial \tau_{xz}}{\partial x} + \frac{\partial \tau_{yz}}{\partial y} + \frac{\partial \sigma_z}{\partial z} + \rho Z &= 0 \quad (= -\rho \ddot{w}) \end{aligned} \tag{2.1.1.1}$$

Aceste ecuații trebuie să fie satisfăcute în orice punct al solidului elastic atât în interiorul lui, cât și pe suprafața sa. De aceea în punctele situate pe suprafața corpului tensiunile trebuie să fie în echilibru cu forțele exterioare date. Acest echilibru se exprimă prin așa-numitele *condiții pe contur* sau *condiții pe suprafață* care se atașează obligatoriu ecuațiilor (2.1.1.1), și care exprimate în tensiuni au forma:

$$\begin{aligned} q_{nx} &= \sigma_x \cos(\vec{n}, \vec{x}) + \tau_{yx} \cos(\vec{n}, \vec{y}) + \tau_{zx} \cos(\vec{n}, \vec{z}) = \sigma_x \cos \alpha + \tau_{yx} \cos \beta + \tau_{zx} \cos \gamma \\ q_{ny} &= \tau_{xy} \cos(\vec{n}, \vec{x}) + \sigma_y \cos(\vec{n}, \vec{y}) + \tau_{zy} \cos(\vec{n}, \vec{z}) = \tau_{xy} \cos \alpha + \sigma_y \cos \beta + \tau_{zy} \cos \gamma \tag{2.1.1.2.} \\ q_{nz} &= \tau_{xz} \cos(\vec{n}, \vec{x}) + \tau_{yz} \cos(\vec{n}, \vec{y}) + \sigma_z \cos(\vec{n}, \vec{z}) = \tau_{xz} \cos \alpha + \tau_{yz} \cos \beta + \sigma_z \cos \gamma \end{aligned}$$

II. Ecuațiile diferențiale geometrice ale lui CAUCHY

Forma liniară

Forma neliniară

$$\left. \begin{aligned}
 \varepsilon_x &= \frac{\partial u}{\partial x} \\
 \varepsilon_y &= \frac{\partial v}{\partial y} \\
 \varepsilon_z &= \frac{\partial w}{\partial z} \\
 \gamma_{xy} &= \frac{\partial u}{\partial y} + \frac{\partial v}{\partial x} \\
 \gamma_{yz} &= \frac{\partial v}{\partial z} + \frac{\partial w}{\partial y} \\
 \gamma_{zx} &= \frac{\partial w}{\partial x} + \frac{\partial u}{\partial z}
 \end{aligned} \right\} (2.1.1.3)$$

$$\left. \begin{aligned}
 \varepsilon_x &= \frac{\partial u}{\partial x} + \frac{1}{2} \left[\left(\frac{\partial u}{\partial x} \right)^2 + \left(\frac{\partial v}{\partial x} \right)^2 + \left(\frac{\partial w}{\partial x} \right)^2 \right] \\
 \varepsilon_y &= \frac{\partial u}{\partial y} + \frac{1}{2} \left[\left(\frac{\partial u}{\partial y} \right)^2 + \left(\frac{\partial v}{\partial y} \right)^2 + \left(\frac{\partial w}{\partial y} \right)^2 \right] \\
 \varepsilon_z &= \frac{\partial w}{\partial z} + \frac{1}{2} \left[\left(\frac{\partial u}{\partial z} \right)^2 + \left(\frac{\partial v}{\partial z} \right)^2 + \left(\frac{\partial w}{\partial z} \right)^2 \right] \\
 \gamma_{xy} &= \frac{\partial u}{\partial y} + \frac{\partial u}{\partial x} + \frac{\partial u}{\partial x} \cdot \frac{\partial u}{\partial y} + \frac{\partial v}{\partial x} \cdot \frac{\partial v}{\partial y} + \frac{\partial w}{\partial x} \cdot \frac{\partial w}{\partial y} \\
 \gamma_{yz} &= \frac{\partial u}{\partial z} + \frac{\partial u}{\partial y} + \frac{\partial u}{\partial y} \cdot \frac{\partial u}{\partial z} + \frac{\partial v}{\partial y} \cdot \frac{\partial v}{\partial z} + \frac{\partial w}{\partial y} \cdot \frac{\partial w}{\partial z} \\
 \gamma_{zx} &= \frac{\partial u}{\partial x} + \frac{\partial u}{\partial z} + \frac{\partial u}{\partial x} \cdot \frac{\partial u}{\partial z} + \frac{\partial v}{\partial x} \cdot \frac{\partial v}{\partial z} + \frac{\partial w}{\partial x} \cdot \frac{\partial w}{\partial z}
 \end{aligned} \right\} (2.1.1.4)$$

Acestor ecuații li se atașează „condițiile de compatibilitate” sau de continuitate ale lui SAINT-VENANT:

$$\begin{aligned}
 \frac{\partial^2 \varepsilon_x}{\partial y^2} + \frac{\partial^2 \varepsilon_y}{\partial x^2} &= \frac{\partial^2 \gamma_{xy}}{\partial x \partial y} & \frac{\partial}{\partial z} \left(\frac{\partial \gamma_{yz}}{\partial x} + \frac{\partial \gamma_{zx}}{\partial y} - \frac{\partial \gamma_{xy}}{\partial z} \right) &= 2 \frac{\partial^2 \varepsilon_z}{\partial x \partial y} \\
 \frac{\partial^2 \varepsilon_y}{\partial z^2} + \frac{\partial^2 \varepsilon_z}{\partial y^2} &= \frac{\partial^2 \gamma_{yz}}{\partial y \partial z} & \frac{\partial}{\partial x} \left(\frac{\partial \gamma_{zx}}{\partial y} + \frac{\partial \gamma_{xy}}{\partial z} - \frac{\partial \gamma_{yz}}{\partial x} \right) &= 2 \frac{\partial^2 \varepsilon_x}{\partial y \partial z} \\
 \frac{\partial^2 \varepsilon_z}{\partial x^2} + \frac{\partial^2 \varepsilon_x}{\partial z^2} &= \frac{\partial^2 \gamma_{zx}}{\partial z \partial x} & \frac{\partial}{\partial y} \left(\frac{\partial \gamma_{xy}}{\partial z} + \frac{\partial \gamma_{yz}}{\partial x} - \frac{\partial \gamma_{zx}}{\partial y} \right) &= 2 \frac{\partial^2 \varepsilon_y}{\partial z \partial x}
 \end{aligned}$$

III. Ecuațiile constitutive, ecuațiile fizice sau ecuațiile de material numite și „legea lui Hooke generalizată” -se prezintă sub diverse forme, dintre care cele mai frecvente sunt:

$$\left. \begin{aligned}
 \text{Forma 1} \\
 \varepsilon_x &= \frac{1}{E} [\sigma_x - \nu(\sigma_y + \sigma_z)] \\
 \varepsilon_y &= \frac{1}{E} [\sigma_y - \nu(\sigma_z + \sigma_x)] \\
 \varepsilon_z &= \frac{1}{E} [\sigma_z - \nu(\sigma_x + \sigma_y)] \\
 \gamma_{xy} &= \frac{\tau_{xy}}{G} = \frac{2(1+\nu)}{E} \tau_{xy} \\
 \gamma_{yz} &= \frac{\tau_{yz}}{G} = \frac{2(1+\nu)}{E} \tau_{yz} \\
 \gamma_{zx} &= \frac{\tau_{zx}}{G} = \frac{2(1+\nu)}{E} \tau_{zx}
 \end{aligned} \right\} (2.1.1.6)$$

$$\left. \begin{aligned}
 \text{Forma 2} \\
 \sigma_x &= 2G\varepsilon_x + \lambda\varepsilon_v \\
 \sigma_y &= 2G\varepsilon_y + \lambda\varepsilon_v \\
 \sigma_z &= 2G\varepsilon_z + \lambda\varepsilon_v \\
 \tau_{xy} &= G\gamma_{xy} = \frac{E}{2(1+\nu)} \gamma_{xy} \\
 \tau_{yz} &= G\gamma_{yz} = \frac{E}{2(1+\nu)} \gamma_{yz} \\
 \tau_{zx} &= G\gamma_{zx} = \frac{E}{2(1+\nu)} \gamma_{zx}
 \end{aligned} \right\} (2.1.1.7)$$

unde: E – modulul de elasticitate longitudinal (sau modulul lui Young);
 G – modulul de elasticitate transversal (sau modulul de forfecare);
 ν – coeficientul de contracție transversală (sau coeficientul lui Poisson),
 pentru oțel $\nu = 0.3$;

$$\left. \begin{aligned} G &= \frac{E}{2(1+\nu)} \\ \lambda &= \frac{\nu E}{(1+\nu)(1-2\nu)} \end{aligned} \right\} \text{- coeficienții lui Lamé sau constantele elastice ale lui Lamé} \quad (2.1.1.8)$$

$$\varepsilon_{I'} = \varepsilon_x + \varepsilon_y + \varepsilon_z = \frac{\partial u}{\partial x} + \frac{\partial v}{\partial y} + \frac{\partial w}{\partial z} = I_{1\varepsilon} = \text{const.} - \text{deformația specifică volumică sau primul invariant al deformațiilor.}$$

Alte forme de prezentare, întâlnite în literatură, sunt:

$$I_{1\sigma} = E^* I_{1\varepsilon} \quad \text{sau} \quad \sigma_m = E^* \varepsilon_m \quad (2.1.1.9)$$

cunoscute sub numele *legea lui Hooke în forma lui Lamé*, unde:

$$\sigma_m = \frac{\sigma_x + \sigma_y + \sigma_z}{3} = \frac{I_{1\sigma}}{3} \quad \text{- valoarea medie a tensiunilor}$$

$$I_{1\sigma} = \sigma_x + \sigma_y + \sigma_z = \text{const.} - \text{primul invariant al tensiunilor}$$

$$\varepsilon_m = \frac{\varepsilon_x + \varepsilon_y + \varepsilon_z}{3} = \frac{I_{1\varepsilon}}{3} \quad \text{- valoarea medie a deformațiilor specifice liniare}$$

$$E^* = \frac{E}{1-2\nu} \quad \text{- modulul de elasticitate redus}$$

O ultimă formă utilizată mult în teoria deformațiilor plastice:

$$\begin{aligned} \sigma_x - \sigma_m &= 2G(\varepsilon_x - \varepsilon_m) & \tau_{xy} &= 2G \cdot \frac{1}{2} \gamma_{xy} \\ \sigma_y - \sigma_m &= 2G(\varepsilon_y - \varepsilon_m) & \tau_{yz} &= 2G \cdot \frac{1}{2} \gamma_{yz} \\ \sigma_z - \sigma_m &= 2G(\varepsilon_z - \varepsilon_m) & \tau_{xz} &= 2G \cdot \frac{1}{2} \gamma_{xz} \end{aligned} \quad (2.1.1.10)$$

Scrierea indicială. Se folosesc sisteme de axe triortogonale cu una din notațiile (Fig. 2.1.1.1) privind versorii și axele.

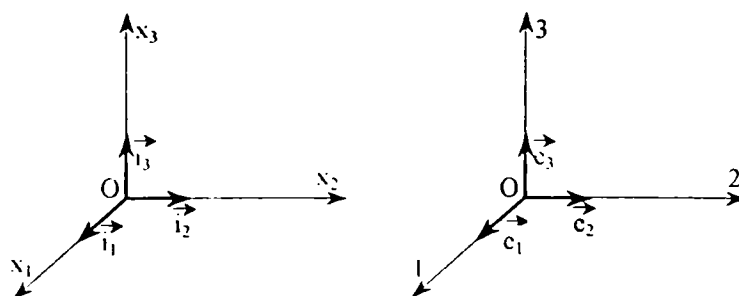


Fig. 2.1.1.1

În acest caz scrierea este deosebit de condensată. Mai mult, pentru a scurta scrierea formulelor, derivatele parțiale se vor nota cu virgulă.

$$\frac{\partial F}{\partial x_i} = F_{,i} \quad \frac{\partial^2 F}{\partial x_i \partial x_k} = F_{,ik} \quad \text{etc.} \quad (2.1.1.11)$$

Sistemul complet de ecuații al (T.E.) va fi:

$$\begin{cases} \sigma_{ij,j} + F_i = 0 & (i, j = 1, 2, 3), \quad j - \text{indice mut}; \quad i - \text{indice liber} \\ \varepsilon_{ij} = \frac{1}{2}(u_{i,j} + u_{j,i}) \therefore \tilde{\varepsilon}_{ij} = \frac{1}{2}(u_{i,j} + u_{j,i}) + \frac{1}{2}u_{k,j} \cdot u_{k,i} \\ \sigma_{ij} = C_{ij}^{hk} \varepsilon_{hk} \therefore \varepsilon_{ij} = C_{ij}^{hk} \sigma_{hk} \end{cases} \quad (2.1.1.12)$$

Condițiile de continuitate:

$$\varepsilon_{ik,jh} - \varepsilon_{jk,ih} = \varepsilon_{ih,jk} - \varepsilon_{jh,ik} \quad (2.1.1.13)$$

2.1.2. Problemele fundamentale ale (T.E.). Formulări

Rezolvarea directă a sistemului complet de ecuații al (T.E.) este dificilă, deoarece sunt prea multe necunoscute de natură diferită: tensiuni, deformații specifice, deplasări. De aceea, de obicei, acest sistem se reduce la alte sisteme cu un număr mai mic de necunoscute și ecuații, obținând așa numitele „*formulări*”. Astfel vom avea:

1° Formularea în deplasări

Se aleg drept necunoscute fundamentale ale problemei *deplasările* punctelor corpului elastic; în acest caz în orice punct al corpului (de coordonate x, y, z) vom avea trei funcții necunoscute:

$$u = f_1(x, y, z), \quad v = f_2(x, y, z), \quad w = f_3(x, y, z)$$

Se ajunge la ecuațiile de sinteză în *deplasări*, numite *ecuațiile lui Lamé*:

$$\begin{cases} (\lambda + G) \frac{\partial \varepsilon_V}{\partial x} + G \nabla^2 u + \rho X = 0 & (= \rho \frac{\partial^2 u}{\partial t^2}) \\ (\lambda + G) \frac{\partial \varepsilon_V}{\partial y} + G \nabla^2 v + \rho Y = 0 & (= \rho \frac{\partial^2 v}{\partial t^2}) \\ (\lambda + G) \frac{\partial \varepsilon_V}{\partial z} + G \nabla^2 w + \rho Z = 0 & (= \rho \frac{\partial^2 w}{\partial t^2}) \end{cases} \quad (2.1.2.1)$$

Acestor ecuații li se atașează condițiile pe suprafață care pot fi scrise de asemenea în deplasări. Această situație, când se presupun cunoscute (date) deplasările în toate punctele de pe suprafața corpului, este numită „*a doua problemă fundamentală a elasticității*”.

2° Formularea în tensiuni

Se aleg drept necunoscute fundamentale ale problemei *tensiunile*, ceea ce înseamnă că în fiecare punct din corp vom avea șase necunoscute:

$$\begin{cases} \sigma_x = \sigma_x(x, y, z), & \sigma_y = \sigma_y(x, y, z), & \sigma_z = \sigma_z(x, y, z) \\ \tau_{xy} = \tau_{xy}(x, y, z), & \tau_{yz} = \tau_{yz}(x, y, z), & \tau_{zx} = \tau_{zx}(x, y, z) \end{cases}$$

Se obțin în final ecuațiile în tensiuni, numite „*ecuațiile Beltrami-Mitchell*”:

$$\begin{aligned}
(1-\nu)\nabla^2\sigma_x + \frac{\partial^2 I_{1\sigma}}{\partial x^2} &= 0 & (1+\nu)\nabla^2\tau_{xy} + \frac{\partial^2 I_{1\sigma}}{\partial x\partial y} &= 0 \\
(1-\nu)\nabla^2\sigma_y + \frac{\partial^2 I_{1\sigma}}{\partial y^2} &= 0 & (1+\nu)\nabla^2\tau_{yz} + \frac{\partial^2 I_{1\sigma}}{\partial y\partial z} &= 0 \\
(1-\nu)\nabla^2\sigma_z + \frac{\partial^2 I_{1\sigma}}{\partial z^2} &= 0 & (1+\nu)\nabla^2\tau_{zx} + \frac{\partial^2 I_{1\sigma}}{\partial z\partial x} &= 0
\end{aligned} \tag{2.1.2.2}$$

Acestui sistem i se atașează de asemenea niște condiții la limită exprimate în tensiuni (vezi 2.1.1.2). Sub alt aspect, această situație când se cunosc (sunt date) tensiunile pe suprafața exterioară a corpului, reprezintă ceea ce numim „*prima problemă fundamentală a elasticității*”.

3° Formularea mixtă

Evident că se poate imagina și o *formulare mixtă* când se aleg ca necunoscute principale anumite deplasări și anumite tensiuni. Acestea sunt cazuri particulare, speciale.

În privința procedeeleor de rezolvare matematică a sistemelor de ecuații obținute, se folosesc trei metode principale:

- I. **Metoda directă**, care constă în integrarea directă a ecuațiilor (T.E.) prezentate într-una din formele de mai sus.
- II. **Metoda inversă (sau procedeul indirect)** conform căreia se aleg – de exemplu – deplasările ca funcții de punct; de aici se determină deformațiile specifice, apoi tensiunile. Mărimile astfel obținute trebuie să verifice ecuațiile de echilibru, condițiile de suprafață și condițiile de compatibilitate; din aceste verificări rezultă constantele introduse inițial în expresiile analitice ale deplasărilor. Aplicarea acestei metode este ușurată și îmbunătățită prin utilizarea aproximațiilor succesive.
- III. **Metoda semiinversă (sau semiindirectă)** a lui Saint-Venant, care alege ca necunoscute o parte din forțele exterioare, considerate ca tensiuni date, și o parte din deplasări, celelalte tensiuni și deplasări rezultând din satisfacerea ecuațiilor de echilibru, condițiilor la limită și de compatibilitate.

2.1.3. Problema plană în coordonate carteziene

2.1.3.1. Starea plană de tensiune. Ecuația lui Lévy

Când vorbim despre *stări plane*, în funcție de mărimile care *sunt nule sau se neglijează*, vom distinge două situații fundamentale diferite, și anume:

- *Stări plane de tensiune*, care apar în situațiile când una din tensiunile normale este nulă ($\sigma_z = 0$); să notăm încă de pe acum că starea de deformare a corpului este însă triaxială ($\varepsilon_z \neq 0$).
- *Stări plane de deformare* care apar în situația când una din componentele deplasării este nulă ($w = 0$); în acest caz starea de tensiune este triaxială ($\sigma_z \neq 0$).

În final rezultă că pentru problema plană starea de tensiune este descrisă de funcțiile:

$$\begin{aligned}
 \sigma_x &= f_1(x, y) & \sigma_z &= 0 \\
 \sigma_y &= f_2(x, y) & \tau_{zx} = \tau_{xz} &= 0 \\
 \tau_{xy} &= f_3(x, y) & \tau_{zy} = \tau_{yz} &= 0
 \end{aligned}
 \Leftrightarrow T_\sigma = \begin{bmatrix} \sigma_x & \tau_{xy} & 0 \\ \tau_{xy} & \sigma_y & 0 \\ 0 & 0 & 0 \end{bmatrix} \quad (2.1.3.1)$$

Cele 15 ecuații fundamentale ale (T.E) se transformă în consecință; vom considera situația cea mai frecventă, când forțele de masă sunt reprezentate numai de greutatea proprie, adică $X = Z = 0$; $Y\rho = -q$ (q – greutatea unității de volum). Atunci:

I. **Ecuațiile diferențiale de echilibru** (2.1.1.1) devin:

$$\frac{\partial \sigma_x}{\partial x} - \frac{\partial \tau_{yx}}{\partial y} = 0; \quad \frac{\partial \tau_{xy}}{\partial x} + \frac{\partial \sigma_z}{\partial y} - q = 0 \quad (2.1.3.2)$$

II. **Condițiile pe contur** (2.1.1.2) devin:

$$\begin{aligned}
 q_{nx} &= \sigma_x \cos(\vec{n}, \vec{x}) + \tau_{yx} \cos(\vec{n}, \vec{y}) = \sigma_x \cos \alpha + \tau_{yx} \cos \beta \\
 q_{ny} &= \tau_{xy} \cos(\vec{n}, \vec{x}) + \sigma_y \cos(\vec{n}, \vec{y}) = \tau_{xy} \cos \alpha + \sigma_y \cos \beta
 \end{aligned} \quad (2.1.3.3)$$

III. **Ecuațiile geometrice** (2.1.1.3) devin:

$$\varepsilon_x = \frac{\partial u}{\partial x}; \quad \varepsilon_y = \frac{\partial v}{\partial y}; \quad \gamma_{xy} = \frac{\partial v}{\partial x} + \frac{\partial u}{\partial y} \quad (2.1.3.4)$$

IV. **Ecuațiile fizice** (2.1.1.6) devin:

$$\begin{aligned}
 \varepsilon_x &= \frac{1}{E}(\sigma_x - \nu \sigma_y) & \sigma_x &= \frac{E}{1 - \nu^2}(\varepsilon_x + \nu \varepsilon_y) \\
 \varepsilon_y &= \frac{1}{E}(\sigma_y - \nu \sigma_x) & \sigma_y &= \frac{E}{1 - \nu^2}(\varepsilon_y + \nu \varepsilon_x) \\
 \gamma_{xy} &= \frac{1}{G} \tau_{xy} = \frac{2(1 + \nu)}{E} \tau_{xy} & \tau_{xy} &= \frac{E}{2(1 + \nu)} \gamma_{xy}
 \end{aligned} \quad (2.1.3.5)$$

V. **Condițiile de compatibilitate** (2.1.1.5) se reduc la una singură:

$$\frac{\partial^2 \varepsilon_x}{\partial y^2} + \frac{\partial^2 \varepsilon_y}{\partial x^2} = \frac{\partial^2 \gamma_{xy}}{\partial x \partial y} \quad (2.1.3.6)$$

Obținem în final un sistem de 8 ecuații diferențiale cu 8 necunoscute ($\sigma_x, \sigma_y, \tau_{xy}, \varepsilon_x, \varepsilon_y, \gamma_{xy}, u, v$) care poate fi transformat în alte sisteme echivalente, utilizând formulările amintite.

Putem arăta cu ușurință că starea de deformație este spațială.

Din

$$\varepsilon_z = \frac{1}{E}[\sigma_z - \nu(\sigma_y + \sigma_x)] \quad \text{cu} \quad \sigma_z = 0 \Rightarrow \varepsilon_z = -\frac{\nu}{E}(\sigma_x + \sigma_y) \neq 0$$

sau din:

$$\sigma_x = \frac{E}{1-\nu^2}(\varepsilon_x + \nu\varepsilon_y); \quad \sigma_y = \frac{E}{1-\nu^2}(\varepsilon_y + \nu\varepsilon_x) \Rightarrow \varepsilon_z = -\frac{\nu}{1-\nu}(\varepsilon_x + \varepsilon_y) \neq 0$$

$$\Rightarrow T_\varepsilon = \begin{bmatrix} \varepsilon_x & \frac{1}{2}\gamma_{yx} & 0 \\ \frac{1}{2}\gamma_{xy} & \varepsilon_y & 0 \\ 0 & 0 & \varepsilon_z \end{bmatrix} \quad (2.1.3.7)$$

Ecuția lui Lévy reprezintă așa-numita „*formulare în tensiuni*”; înseamnă că se aleg ca necunoscute fundamentale ale problemei tensiunile și se reduce sistemul inițial de 8 ecuații la un sistem de trei ecuații cu trei necunoscute. Se transformă ecuația de continuitate (2.1.3.6) utilizând legea lui Hooke (2.1.3.5) și se obține:

$$\frac{\partial^2}{\partial x^2}(\sigma_x + \sigma_y) + \frac{\partial^2}{\partial y^2}(\sigma_x + \sigma_y) = 0 \Leftrightarrow \nabla^2(\sigma_x + \sigma_y) = 0 \quad (2.1.3.8)$$

Ecuția obținută este numită *ecuația lui Lévy sau condiția lui Lévy*. Așadar, în cadrul stării plane de tensiune, când forțele de volum sunt reprezentate numai de greutatea proprie, grupul de ecuații fundamentale al (T.E.) se reduce la sistemul:

$$\begin{cases} \frac{\partial \sigma_x}{\partial x} + \frac{\partial \tau_{yx}}{\partial y} = 0 \\ \frac{\partial \tau_{xy}}{\partial x} + \frac{\partial \sigma_y}{\partial y} - q = 0 \\ \nabla^2(\sigma_x + \sigma_y) = 0 \end{cases} \quad (2.1.3.9)$$

S-a obținut un rezultat interesant cu o mare aplicabilitate practică, observând că în ecuațiile de mai sus nu intervin constantele elastice de material. Aceasta înseamnă că *starea de tensiune într-o problemă plană nu depinde de natura materialului*.

Această concluzie stă la baza „*fotoelasticimetriei*” – o metodă experimentală optică de studiere a stărilor de tensiune cu ajutorul luminii polarizate, utilizând modele din materiale transparente optic active, cu proprietăți de birefrință accidentală (v. Cap. 5).

2.1.3.2. Starea plană de deformație

Zicem că avem *o stare plană de deformație* dacă deplasările tuturor punctelor unui corp solid deformabil se pot produce numai după două direcții. O asemenea stare de solicitare este caracterizată pentru toate punctele corpului,

- de deplasările $u = f_1(x, y); \quad v = f_2(x, y); \quad w = 0$

- de deformațiile specifice $\varepsilon_z = 0; \quad \gamma_{zx} = 0; \quad \gamma_{zy} = 0$

$$\varepsilon_x = \varphi_1(x, y); \quad \varepsilon_y = \varphi_2(x, y); \quad \gamma_{xy} = \varphi_3(x, y) \quad (2.1.3.10)$$

Sintetic, în acest caz avem:

$$\begin{aligned}
 & \text{- tensorul deformațiilor specifice } T_\varepsilon = \begin{bmatrix} \varepsilon_x & \frac{1}{2}\gamma_{yx} & 0 \\ \frac{1}{2}\gamma_{xy} & \varepsilon_y & 0 \\ 0 & 0 & \varepsilon_z \end{bmatrix} \\
 & \text{- tensorul tensiunilor } T_\sigma = \begin{bmatrix} \sigma_x & \tau_{yx} & 0 \\ \tau_{xy} & \sigma_y & 0 \\ 0 & 0 & 0 \end{bmatrix}
 \end{aligned}$$

Aceste ecuații ne arată că toate deplasările și deformațiile au loc exclusiv în planul xOy; în toate secțiunile corpului paralele planului xOy ($\forall z = z_0 = const$) deplasările și deformațiile sunt aceleași. De aceea deformațiile de acest gen se numesc *deformații plane*. Ca o consecință a dispariției componentei ε_z vor apare tensiuni normale σ_z care din legea lui Hooke vor fi:

$$\varepsilon_z = \frac{1}{E} [\sigma_z - \nu(\sigma_x + \sigma_y)] = 0 \Rightarrow \sigma_z = -\nu(\sigma_x + \sigma_y) \neq 0 \quad (2.1.3.11)$$

Rezultă că într-o stare plană de deformație *starea de tensiune este spațială*. Pentru starea plană de deformație, ecuațiile de echilibru static (2.1.3.2), ecuațiile geometrice (2.1.3.4) și condițiile de limită (2.1.3.3) rămân în forma stabilită la starea plană de tensiune. Se modifică numai ecuațiile fizice, care pentru σ_z stabilit mai sus, obțin forme noi:

$$\begin{aligned}
 \varepsilon_x &= \frac{1}{E} [\sigma_x - \nu\sigma_y - \nu^2(\sigma_x + \sigma_y)] = \frac{1}{E} [(1 - \nu^2)\sigma_x - \nu(1 + \nu)\sigma_y] \\
 \varepsilon_y &= \frac{1}{E} [\sigma_y - \nu\sigma_x - \nu^2(\sigma_x + \sigma_y)] = \frac{1}{E} [(1 - \nu^2)\sigma_y - \nu(1 + \nu)\sigma_x] \\
 \gamma_{xy} &= \frac{2(1 + \nu)}{E} \tau_{xy}
 \end{aligned} \quad (2.1.3.12)$$

Ecuația de continuitate – procedând analog ca mai sus – devine:

$$\left(\frac{\partial^2}{\partial x^2} + \frac{\partial^2}{\partial y^2} \right) (\sigma_x - \sigma_y) = -\frac{\rho}{1 - \nu} \left(\frac{\partial X}{\partial x} + \frac{\partial Y}{\partial y} \right)$$

care pentru forțe masice constante se transformă de asemenea în condiția lui Lévy:

$$\nabla^2(\sigma_x + \sigma_y) = 0$$

În concluzie, pentru rezolvarea problemei stării de deformație plane trebuie să găsim în fond aceleași funcții ca și în cazul stării de tensiune plane, sistemul de ecuații fundamentale fiind același; diferă numai relațiile fizice, în care se face de fapt o simplă înlocuire de constante elastice. Deci cele două probleme plane sunt identice din punct de vedere matematic, cu excepția determinării lui ε_z (în cazul stării plane de tensiune) și a lui σ_z (în cazul stării plane de deformație).

2.1.4. Funcția de tensiune a lui Airy pentru probleme plane

Am văzut că în cazul în care forțele de volum sunt constante și sunt reprezentate numai de greutatea proprie, soluția problemei plane – în tensiuni – se obține prin integrarea unui sistem de trei ecuații diferențiale cu trei necunoscute.

$$\begin{cases} \frac{\partial \sigma_x}{\partial x} + \frac{\partial \tau_{yx}}{\partial y} = 0 \\ \frac{\partial \tau_{xy}}{\partial x} + \frac{\partial \sigma_y}{\partial y} = q \\ \nabla^2(\sigma_x + \sigma_y) = 0 \end{cases} \quad (2.1.4.1)$$

la care se adaugă condițiile de graniță.

Astronomul englez G.B. Airy, în 1862 a arătat că această problemă poate fi simplificată și mai mult, dacă în loc de a căuta trei funcții continue de punct $(\sigma_x, \sigma_y, \tau_{xy})$, se caută una singură, $F(x, y)$, cu ajutorul căreia toate tensiunile se pot calcula prin simple operații de derivare:

$$\sigma_x = \frac{\partial^2 F}{\partial y^2}; \quad \sigma_y = \frac{\partial^2 F}{\partial x^2}; \quad \tau_{xy} = -\frac{\partial^2 F}{\partial x \partial y} + q \cdot x \quad (2.1.4.2)$$

în care $F=F(x, y)$ este o funcție arbitrară de punct, continuă și derivabilă de câte ori este necesar, determinată abstracție făcând de o funcție liniară care ne dă o stare de tensiune nulă.

Rămâne o singură ecuație din (2.1.4.1) – condiția lui Lévy – care se exprimă ușor în funcție de F :

$$\Delta \Delta F = \nabla^2 [\nabla^2 F] = \nabla^4 F = 0 \quad (2.1.4.3)$$

Scrisă dezvoltat această ecuație are forma:

$$\frac{\partial^2}{\partial x^2} \left(\frac{\partial^2 F}{\partial x^2} + \frac{\partial^2 F}{\partial y^2} \right) + \frac{\partial^2}{\partial y^2} \left(\frac{\partial^2 F}{\partial x^2} + \frac{\partial^2 F}{\partial y^2} \right) = \frac{\partial^4 F}{\partial x^4} + 2 \frac{\partial^4 F}{\partial x^2 \partial y^2} + \frac{\partial^4 F}{\partial y^4} = 0 \quad (2.1.4.4)$$

În felul acesta soluția problemei plane, în cazul când forța de volum o constituie greutatea corpului, se reduce la aflarea soluției ecuației biarmonice (2.1.4.4) care să satisfacă și condițiile pe graniță. Această ecuație (reamintindu-ne de unde am plecat) reprezintă de fapt ecuația de continuitate exprimată prin funcția de tensiune $F(x, y)$.

Funcția $F(x, y)$ este denumită în literatură *funcția lui Airy* (sau *funcția de tensiune*). Funcțiile care satisfac niște ecuații diferențiale de tipul (2.1.4.4) se numesc *funcții biarmonice*; funcția lui Airy este deci o funcție biarmonică.

Cunoscând această funcție, cu relațiile (2.1.4.2) tensiunile se pot calcula prin operații simple de diferențiere; evident că funcția de tensiune trebuie să satisfacă condițiile la limită.

Notă. În general funcțiile armonice și biarmonice au o importanță excepțională în teoria elasticității. Această afirmație se justifică arătând că de fapt toate mărimile caracteristice stării de tensiune și de deformare trebuie să aparțină acestei categorii de funcții.

Astfel se arată că dacă forțele de masă lipsesc sau sunt constante în toate punctele corpului, adică:

$$\frac{\partial X}{\partial x} = \frac{\partial Y}{\partial y} = \dots = \frac{\partial Z}{\partial z} = 0 \quad (2.1.4.5)$$

atunci:

$$\Delta \varepsilon_v = 0 \quad (2.1.4.6)$$

Deformația specifică volumică satisface ecuația lui Laplace, adică este o funcție armonică.

Avem de asemenea:

$$\begin{aligned} \Delta \Delta u &= \nabla^4 u = 0 \\ \Delta \Delta v &= \nabla^4 v = 0 \\ \Delta \Delta w &= \nabla^4 w = 0 \end{aligned} \quad (2.1.4.7)$$

\Rightarrow *componentele deplasărilor elastice sunt funcții biarmonice.*

În mod cu totul similar, dacă aplicăm operatorul biarmonic asupra ambilor membri ai celor șase formule care exprimă legea generalizată a lui Hooke, obținem:

$$\Delta \Delta \sigma_x = \Delta \Delta \sigma_y = \Delta \Delta \sigma_z = \Delta \Delta \tau_{xy} = \Delta \Delta \tau_{yz} = \Delta \Delta \tau_{zx} = 0 \quad (2.1.4.8)$$

ceea ce ne arată că și *componentele stării de tensiune sunt funcții biarmonice.*

§ 2.2. NOTAȚII ȘI UNELE NOȚIUNI GENERALE FUNDAMENTALE

2.2.1. Curbe netede pe porțiuni

Una din dificultățile pe care le întâmpini citind diverse cărți de Teoria Elasticității este legată de notații, care sunt derutant de diverse. Cu titlu de curiozitate amintesc că multe cărți notează modulul de elasticitate transversal cu μ , dar toate cărțile ingineresti de Rezistența materialelor sau Mecanica solidului deformabil notează această mărime cu G . Iată ce spune despre această notație L. SOLOMON în celebra sa monografie de „Elasticitate liniară” [S50] la p.89: „În literatura de specialitate ea se notează adesea cu G - ceea ce dă totuși un aspect dezagreabil formulelor”!. La pag.91 spune: „mărimea ν se numește coeficientul lui Poisson; pentru această mărime se folosește uneori notația σ - care pretează însă la confuzie; dar și mai puțin corectă este notația cu μ ”!. Există însă tot atâtea cărți, poate și mai clebre, care folosesc notațiile dezavuate de L. SOLOMON. De exemplu: M.P. SAVRUK [S6], PANASIUK [P7], S.D. PONOMARIOV [P47], HÜTTE [***], P.P.TEODORESCU [T12],[T13],[T14].

De aceea îmi voi preciza de la început câteva din notațiile fundamentale:

- 1). Caracteristicile elastice de material: E ; G ; ν ; Λ (când nu intervin confuzii se folosește λ).
- 2). Când voi analiza probleme spațiale, domeniul ocupat de corp îl voi nota cu Ω , iar frontiera domeniului care este o suprafață considerată de obicei o suprafață Leapunov – o voi nota cu Σ .
- 3). Când voi analiza probleme plane, domeniul plan analizat îl voi nota cu D , iar frontiera sa, care este o curbă plană oarecare în sensul lui Jordan – o voi nota cu Γ .
- 4). Vom defini câteva elemente caracteristice acestor curbe plane. Să considerăm planul raportat la un sistem de coordonate carteziene ortogonale x_1, x_2 și fie date funcțiile:

$$\begin{cases} x_1 = x_1(r) \\ x_2 = x_2(r) \end{cases} \quad r \in [a, b] \quad (2.2.1.1)$$

Aceste relații reprezintă ecuația parametrică a unei curbe plane.

Dacă funcțiile (2.2.1.1) sunt **uniforme și continue**, atunci mulțimea de puncte (x_1, x_2) parcurse în sensul definit de sensul de creștere al lui r se numește **curbă jordaniană**. În general vom considera **curbe jordaniene simple**, care nu prezintă puncte multiple ($\forall r', r'' \in (a, b)$ astfel încât $x_1(r') = x_1(r''), x_2(r') = x_2(r'') \Rightarrow r' = r''$). Orice curbă jordaniană simplă închisă Γ (împarte planul în două domenii disjuncte, ea însăși constituind frontiera lor comună: unul din aceste domenii este mărginit și simplu conex, iar celălalt este nemărginit și dublu conex. Se notează cu indicele „+” domeniile mărginite și cu „-”, domeniile nemărginite. Urmărind Fig.2.2.1.1, domeniul mărginit de curba simplă închisă jordaniană Γ se va nota cu D^+ , domeniul nemărginit exterior acestei curbe se va nota cu D^- .

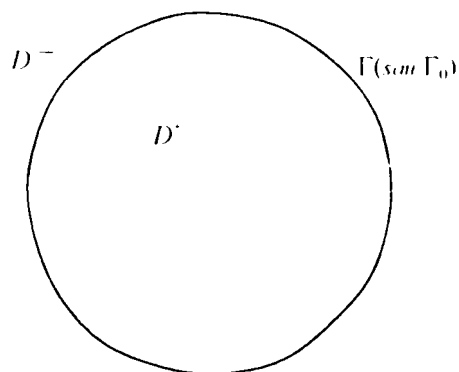


Fig. 2.2.1.1

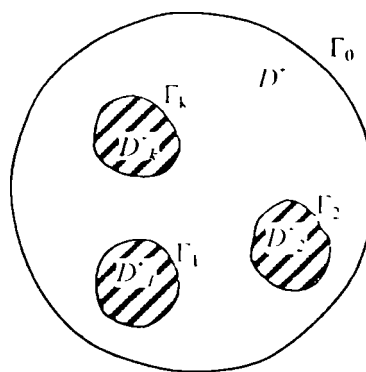


Fig. 2.2.1.2

În Fig. 2.2.1.2 am reprezentat un domeniu multiplu conex (de $K+1$ ori) a cărui frontieră este compusă din curba simplă închisă Γ_0 și K curbe simple închise $\Gamma_1, \Gamma_2, \dots, \Gamma_K$ interioare curbei Γ_0 și exterioare una în raport cu celelalte; domeniul interior se va nota cu

$$D^+ \Rightarrow D^* = D_0^+ \cap \left(\bigcap_{j=1}^K D_j^- \right) \quad (2.2.1.2)$$

Dacă fiecare frontieră Γ este compusă din curbe închise (v. Fig.2.2.1.2), orice punct de frontieră poate fi unit cu orice punct exterior sau interior printr-o curbă jordaniană care nu are puncte comune cu frontiera, exceptând punctul inițial considerat. Astfel de puncte se numesc **accesibile** și proprietatea este echivalentă cu afirmația că orice punct frontieră este accesibil atât din interior cât și din exterior. ([S50]) - Fig.2.2.1.3 -.

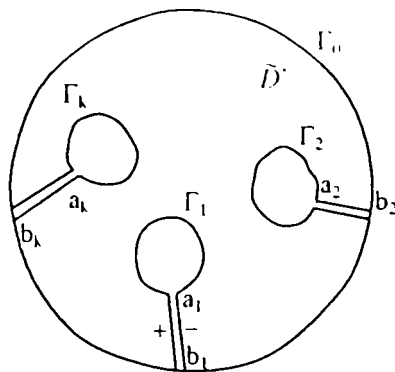


Fig. 2.2.1.3

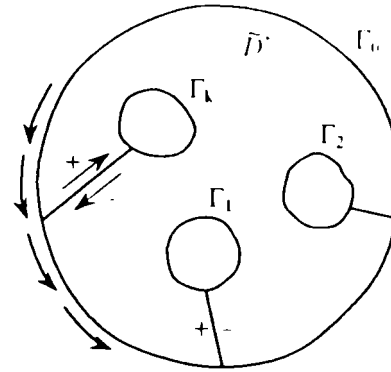


Fig. 2.2.1.4

Orice curbă jordaniană interioară unui domeniu și care unește două puncte de frontieră ale acestuia se numește **tăietură**. Punctele care aparțin tăieturilor trebuie privite ca **ansamblul a două puncte geometrice confundate**, dar situate pe borduri (marginii) diferite ale tăieturii. O tăietură nu poate fi traversată. Bordurile ei se pot nota cu \pm , în așa fel încât Γ_0 să fie parcurs în sens trigonometric când trecem de la bordul $-$ la bordul $+$ (v. Fig. 2.2.1.4).

- 5). Dacă funcțiile (2.2.1.1) care definesc frontiera sunt cu **variația mărginită**, atunci D are arie iar curba frontieră este **rectificabilă**, adică pe ea are sens noțiunea de **lungime a arcului de curbă**; în acest caz locul parametrului r îl poate lua lungimea arcului notată cu s sau cu l . În cadrul tezei voi **considera numai domenii mărginite de curbe jordaniene rectificabile**. Uneori vom admite în alcătuirea lui Γ și curbe Γ_i deschise care corespund situației când orificiul interior se reduce la o fisură interioară a corpului.
- 6). Dacă curba (2.2.1.1) este o curbă jordaniană dar cu derivatele $x'_1(s), x'_2(s)$ continui, ea se va numi **curbă netedă**. Un ansamblu finit de curbe jordaniene netede, deschise, cu capete comune două câte două și care nu se intersectează reciproc se numește **curbă netedă pe porțiuni**; ea are deci un număr finit de puncte de discontinuitate pentru direcția tangentei (puncte unghiulare) Dacă funcțiile (2.2.1.1) sunt desfășurabile în serie după puterile parametrului, curba se numește **analitică**.
- 7). Cel mai adesea este suficient să ne limităm la așa numitele **curbe Leapunov**, care satisfac următoarele condiții:
 - a). Sunt netede pe porțiuni; această condiție arată că aceste curbe Leapunov au tangentă ce variază continuu pe porțiuni;
 - b). Există un număr d astfel încât dreptele paralele cu normala la curbă într-un punct x intersectează cel mult o dată acea porțiune a curbei care e situată în interiorul cercului

S (s,d). Această condiție mai poate fi interpretată și ca o **condiție suficientă** pentru a putea scrie ecuațiile (2.2.1.1) sub forma $x_2 = f(x_1)$.

c). Există o constantă $H > 0$ și o constantă $0 \leq \mu \leq 1$ care nu depind de punct a.î. pentru normalele \mathbf{n}, \mathbf{n}_0 în două puncte x_1, x_0 să avem:

$$(\widehat{\mathbf{n}_1, \mathbf{n}_0}) \leq H|x - x_0|^\mu \tag{2.2.1.3}$$

Aceasta este de fapt o **condiție de marginire uniformă** a variației direcției normalei (sau tangentei).

Dacă aceste proprietăți relative la curbele Leapunov se generalizează la spațiul euclidian E_3 , se obțin **suprafețele Leapunov**.

2.2.2. Gradul de continuitate al funcțiilor

La aplicarea **metodei reziduurilor ponderate** se impune ca funcția de aproximare u (a soluției necunoscute a problemei), funcția pondere w , cât și derivatele lor până la un anumit ordin, să satisfacă diferite condiții de continuitate. Pentru a stabili aceste condiții este necesar să introducem o clasificare a „**gradului de continuitate a funcțiilor**”.

Presupunem că funcția „generică” f prezintă discontinuități în unele puncte, dar este totuși finită pe întreg domeniul de definiție. Aceasta înseamnă că avem de-a face cu discontinuități finite sau așa numitele **discontinuități de speța întâi** (v. Fig. 2.2.2.1). Transpusă analitic rezultă că norma acestei funcții satisface următoarea condiție:

$$\int f^2 dx < \infty \tag{2.2.2.1}$$

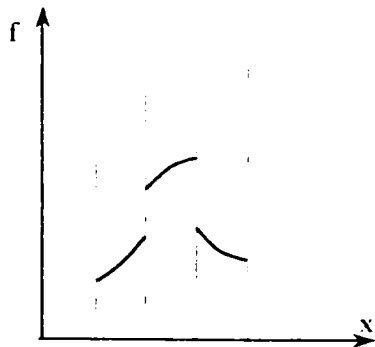


Fig. 2.2.2.1

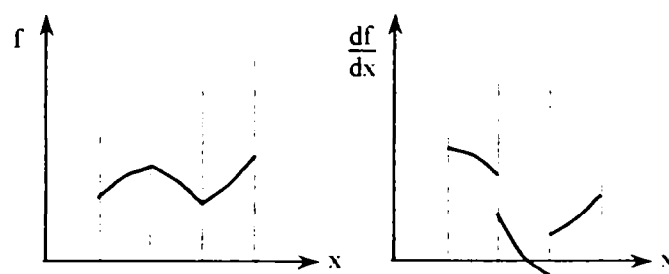


Fig. 2.2.2.2

Asemenea funcții se vor numi **funcții de pătrat sumabil** sau de **pătrat integrabil**. Dar o asemenea condiție se poate introduce și pentru prima derivată. De exemplu, putem avea o funcție perfect continuă, dar care prezintă discontinuități finite pentru prima derivată. (v. Fig. 2.2.2.2).

Deci, și în acest caz putem scrie:

$$\int \left[f^2 + \left(\frac{df}{dx} \right)^2 \right] dx < \infty \tag{2.2.2.2}$$

Spunem că atât funcția cât și prima ei derivată sunt de pătrat integrabil.

Evident că asemenea cerințe se pot impune și pentru derivatele de ordin superior; de exemplu, pentru derivata de ordinul doi putem avea situația din Fig. 2.2.2.3, unde derivata de ordinul doi poate avea discontinuități finite, dar să fie de pătrat integrabil.

Se poate deci scrie:

$$\int \left[f^2 + \left(\frac{df}{dx} \right)^2 + \left(\frac{d^2f}{dx^2} \right)^2 \right] dx < \infty \quad (2.2.2.3)$$

Conchidem în final că funcția de aproximație u trebuie să fie din ultima categorie, adică să fie de pătrat integrabil odată cu prima și cea de-a doua derivată, iar funcția pondere w este suficient să fie numai de pătrat integrabil.

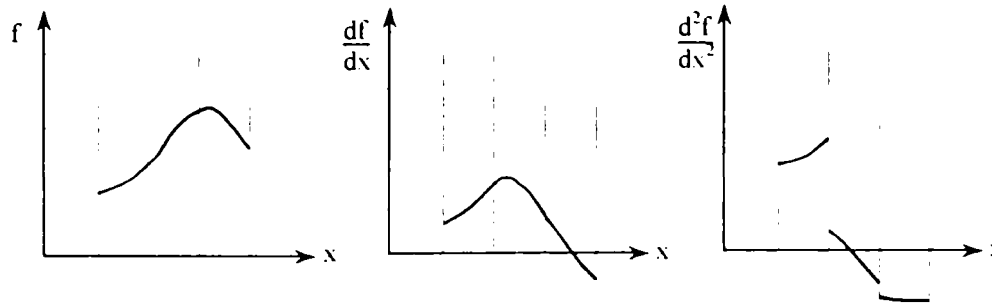


Fig. 2.2.2.3

În multe cazuri este preferabil să se micșoreze gradul de continuitate al funcției u care este destul de sever, ceea ce se poate face pe calea integrării prin părți. În urma acestei operații ambele funcții u și w trebuie să fie continue și de pătrat integrabil împreună cu prima derivată.

2.2.3. Câteva notații din „Analiza funcțională”

În continuare, vom introduce și defini unele noțiuni și notații de „Analiză funcțională” care sunt larg răspândite în literatura actuală relativ la metodele numerice: [C79], [C80], [G16], [K23], [M23], [P54], [V18], [T11].

Pentru a descrie comportarea funcției $f(x)$ pentru $x \rightarrow x_0$, în termenii unei funcții date $\phi(x)$, se utilizează unele notații datorate lui LANDAU [L2],[I1], [V21]:

a). Dacă $\lim_{x \rightarrow x_0} \frac{f(x)}{\phi(x)} = 1$ vom scrie $f(x) \sim \phi(x)$ pentru $x \rightarrow x_0$ și vom spune că cele două funcții sunt **asimptotic echivalente** sau **asimptotic egale** pentru $x \rightarrow x_0$.

b). Vom spune că funcția $f(x)$ are în punctul x_0 **un ordin mai mic decât** funcția $\phi(x)$ și vom scrie: $f(x) = o(\phi(x))$ pentru $x \rightarrow x_0$ (citit „zero mic”) dacă $\lim_{x \rightarrow x_0} \frac{f(x)}{\phi(x)} = 0$.

c). Vom scrie $f(x) = O(\phi(x))$ pentru $x \rightarrow x_0$ (citit „zero mare”) și vom spune că cele două funcții au același ordin pentru $x \rightarrow x_0$, dacă $\lim_{x \rightarrow x_0} \frac{|f(x)|}{|\phi(x)|} = K > 0$, $K < +\infty$

Această notație, legată de fapt de dezvoltarea asimptotică a unei funcții, o putem introduce și defini și altfel. Fie $\varphi(h): D_\varphi \rightarrow \mathbf{R}$ o funcție oarecare de variabilă h reală în domeniul finit de definiție D_φ ; pe semiaxa $h > 0$, $h \in D_\varphi$, h se poate considera oricât de mic. Atunci, dacă există numerele pozitive h, c, k , care pentru $\forall h \in D_\varphi$ ce îndeplinește condiția $0 < h < h_0$, se satisface inegalitatea:

$$|\varphi(h)| \leq ch^k$$

se scrie:

$$\varphi(h) = O(h^k)$$

și se spune:

$\varphi(h)$ tinde la O (zero mare) ca și h^k .

Conform acestei definiții au loc următoarele proprietăți evidente:

- dacă $\varphi(h) = O(h^k)$, $\psi(h) = O(h^k)$ iar $D_\varphi = D_\psi$ atunci:

$$\varphi(h) + \psi(h) = O(h^k) \text{ sau } O(h^k) + O(h^k) = O(h^k)$$

- dacă $k > m > 0$, atunci $O(h^k)$ este în același timp $O(h^m)$
- dacă $\varphi(h) = O(h^k)$, atunci $a\varphi(h) = O(h^k)$, unde a este o constantă care nu depinde de h .

De exemplu $\sin^2 2h = O(h^2)$ deoarece $\sin^2 2h \leq 4h^2, \forall h \in D_\varphi$.

Să mai notăm că ordinul O (zero mare) este mai important decât o (zero mic) întrucât dă mai multă informație asupra funcției $f(x)$. Astfel, $\sin x = x + o(x^2)$ arată că funcția $f(x) = \sin x - x$ converge la zero mai repede decât x^2 , pe când funcția $\sin x = x + O(x^3)$ indică faptul că aceeași funcție $f(x)$ converge la zero la fel de repede ca x^3 .

Prezentăm în continuare altă serie de operații valabile în cazul relațiilor de ordine. Astfel, dacă $f = O(g)$, atunci vom avea:

$$O(o(f)) = o(O(f)) = o(g)$$

$$O(f) \cdot O(g) = O(f \cdot g)$$

$$O(f) \cdot o(g) = o(f \cdot g)$$

$$|f|^\alpha = O(|g|^\alpha) \text{ pentru } \alpha > 0.$$

Dacă $f_i = O(g_i)$, $i = 1, 2, \dots, n$, iar a_1, a_2, \dots, a_n sunt numere reale, atunci avem:

$$\sum_{i=1}^n a_i f_i = O\left(\sum_{i=1}^n |a_i| |g_i|\right)$$

$$\prod_{i=1}^n f_i = O\left(\prod_{i=1}^n g_i\right)$$

Se folosește destul de frecvent relația:

$$O(e^{-cx}) = o(x^{-n}) \text{ pentru } x \rightarrow \infty \text{ (} c > 0, n \in \mathbb{N} \text{)}$$

(demonstrația în [II] vol.III, p.50)

Să presupunem acum că este dată funcția $\varphi(h, t)$ de două argumente pozitive h, t , care pot fi considerate că au valori cât se poate de mici. Dacă există asemenea numere pozitive h_0, t_0, c, k, m , astfel încât pentru toate valorile lui h și t care îndeplinesc condițiile $0 \leq h \leq h_0, 0 \leq t \leq t_0$, atunci are loc inegalitatea:

$$|\varphi(h, t)| \leq c(h^k + t^m)$$

și acest lucru se scrie astfel:

$$\varphi(h, t) = O(h^k + t^m)$$

și vom zice că $\varphi(h, t)$ tinde la O („zero mare”) ca și $h^k + t^m$ (la $h \rightarrow 0, t \rightarrow 0$).

§ 2.3. ELEMENTE FUNDAMENTALE DE MECANICA RUPERII

2.3.1. Geneza. Cauzele obiective ale apariției și dezvoltării mecanicii ruperii

2.3.1.1. Introducere

MECANICA SOLIDULUI DEFORMABIL (M.S.D.) reprezintă unul dintre cele mai moderne și mai explozive domenii de cercetare în profil mecanic; ea cuprinde două mari categorii de discipline științifice:

- **Discipline preponderent matematice** – teoria elasticității; teoria plasticității; termoelasticitatea; elastovâscoplasticitatea; termovâscoplasticitatea, atât pentru materiale omogene și izotrope cât și pentru materiale neomogene și anizotrope (materiale compozite). Toate acestea sunt domenii de știință fundamentale, care formulează și desăvârșesc bazele generale matematice ale ramurii considerate.
- **Discipline tehnice**, cu caracter ingineresc, aplicativ, cum ar fi: rezistența materialelor, oboseala materialelor, fluajul și relaxarea, stabilitatea echilibrului elastic, teoria solicitărilor de contact, statica și dinamica structurilor din bare și plăci, încercările de materiale, fiabilitatea și siguranța structurilor etc. Este adevărat că multe dintre acestea sunt astăzi ramuri de știință de-sine-stătătoare.

Cu toate rezultatele remarcabile acumulate în toate aceste domenii, încă de pe vremea lui Galileo Galilei și Robert Hooke, în tot secolul trecut (și chiar în zilele noastre) au avut loc o serie de „catastrofe celebre” care au surprins comunitatea oamenilor de știință și a inginerilor prin lipsa explicației și a suportului științific justificator. Au apărut astfel probleme noi care au cerut soluții noi, concepte de proiectare și de analiză a siguranței structurilor de rezistență de asemenea fundamental noi. Răspunzând la aceste cerințe a apărut o nouă disciplină, unanim recunoscută astăzi, denumită „MECANICA RUPERII” (M.R.). Considerăm că patru momente fundamentale au constituit începuturile acestei noi ramuri a (M.S.D.):

- Calculele efectuate de Kirsch în 1898 privind starea de tensiune dintr-o platbandă solicitată la tracțiune, având gaură circulară centrală; s-a demonstrat astfel analitic efectul de concentrare a tensiunilor în zona cu discontinuități geometrice acute, deși efectul nociv al concentratorilor era semnalat încă din 1843 de Rankine în legătură cu ruperea organelor de mașini rotative.
- Încercările lui August Wöhler, începute încă din 1847, care au condus la definirea conceptului de durabilitate în cazul tensiunilor variabile în timp prin intermediul celebrei „curbe Wöhler” (σ_{\max} -N) publicată prima oară în 1905;
- Încercările de reziliență pe epruvete tip Charpy V (sau U) legate de ruperea fragilă, care au pus în evidență temperatura de tranziție de la ruperea ductilă la cea fragilă. În anul 2001 s-a sărbătorit cu mare fast în Franța 100 de ani de la apariția epruvetei Charpy.
- În sfârșit, problemele de (M.R.) au intrat efectiv în atenția cercetătorilor începând cu anii 1920-25, odată cu binecunoscutele, astăzi, lucrări ale lui Griffith. El a introdus ideea că un material fragil conține o mulțime de fisuri care produc o concentrare de tensiuni suficient de mare ca în anumite zone să se atingă valoarea rezistenței la rupere.

Dar activitatea științifică masivă, susținută, orientată, începe după 1950, odată cu dezvoltarea noilor tehnici de vârf în domeniul nuclear, aerospațial, naval, chimic, petrolier etc. Până în perioada anilor 1970 s-au introdus mărimi și concepte noi: factorul de intensitate al tensiunilor (Westergard 1940, Irwin, Paris 1961), integrala J (Rice 1968) etc., s-au definitivat

procedee noi de încercare și caracterizare a materialelor ținând cont de existența defectelor micro- sau macrostructurale (dislocații, vacanțe, incluziuni, goluri, fisuri etc.), de influența temperaturilor scăzute, de variația în timp a tensiunilor etc. Tot în acest timp s-au pus bazele matematice ale calculării câmpurilor de tensiuni și deformații în corpuri elastice cu defecte de tipul fisurilor, golurilor, incluziunilor. Dificultățile au fost mari datorită necesității adoptării și folosirii unui aparataj matematic foarte elevat: ecuații integrale singulare, funcții complexe și transformări conforme, teoria potențialului, metode variaționale funcționale etc. Din acest motiv foarte târziu s-au concretizat metodele de calcul și s-au obținut rezultate credibile și concludente, dar numai pentru defecte unice sau grupuri de defecte cu anumite simetrii și periodicități.

2.3.1.2. Catastrofe „celebre”

În secolul trecut, și chiar în zilele noastre, au avut loc o serie de mari catastrofe provocate de ruperea brutală, intempestivă a unor construcții metalice mari: poduri, nave, platforme marine, avioane, rezervoare, conducte etc. Voi cita numai câteva dintre aceste catastrofe, dintre cele care au fost reținute și au intrat în istoria mecanicii ruperii:

- 1919 are loc ruperea unui rezervor de melasă de 15 m înălțime și un diametru de 27 m care a deversat în râul Boston (SUA) 7,5 milioane de litri de melasă, producând moartea a 12 oameni.
- 1938 martie, ruperea fragilă la temperaturi scăzute a podului metalic Vierendeel din Belgia; de altfel în deceniul 1930-40 se semnalează numeroase ruperi ale grinzilor principale de la podurile metalice - celebru fiind podul Silver din Ohio.
- 1943 ianuarie – este citată ruperea efectivă în două bucăți a petrolierului Schenectady, realizat în construcție sudată.
- Exemplul cel mai citat în literatură se referă la navele Liberty, asamblate prin sudură, care făceau prin oceanul înghețat de Nord aprovizionarea cu combustibil, armament și hrană, de către SUA a armatei URSS în război cu Germania. Din cele 2500 de vase maritime Liberty lansate la apă în timpul războiului al doilea mondial, 10 s-au rupt fragil, în mod spectaculos în două bucăți și alte 700 au suferit avarii serioase. Încep deja să se incrimineze două cauze fundamentale: 1) existența inevitabilă a defectelor care apar în suduri și a concentratorilor de tensiune datorăți geometriei inadecvate a structurii și 2) modificarea temperaturii de tranziție ductil-fragil.
- Tot la începutul secolului apar numeroase ruperi la echipamentele de material rulant: osii și roți de vagoane, șine de cale ferată - ruperi aparent inexplicabile. Se inițiază astfel celebrele cercetări experimentale ale lui August Wöhler, care în 1905 publică prima curbă de oboseală din istoria rezistenței materialelor și declanșează cercetări de anvergură privind fenomenul de oboseală, care și astăzi este în plină actualitate.
- De asemenea „celebre” sunt ruperile prin oboseală descoperite la autobuzele Grumman din New-York City, care au condus la retragerea din circulație a 637 dintre ele.
- 1950 – două avioane Comet s-au rupt în timpul zborului la mare altitudine, datorită apariției fisurilor prin oboseală din zona hublourilor, inițiate sub efectul de concentrare al unor găuri de nit.
- 1967 – ruperea fragilă a podului metalic Point Pleasant din Virginia (SUA), care a provocat moartea a peste 40 de oameni.
- 1984 – ruperea unei nave marine Glomar Java; ruperea platformei marine Statfjord A.
- 1988 – ruperea unui avion Boeing 737 al companiei Aloha Air din Hawai datorită coroziunii aliajului de aluminiu folosit la construcție: s-a produs o fisură de oboseală care a declanșat pierderea bruscă a carlingii superioare. Mai cităm ruperea unui alt Boeing 747 Japan Air Line datorită fisurării prin oboseală a batardolei.

Evident că situațiile sunt mult mai numeroase:

- au apărut fisuri la conductele de reactori nucleari;
- multe fisuri și ruperi parțiale au fost găsite în cazuri de obicei nedate publicității.

Toate aceste catastrofe care au produs pagube imense, au declanșat în mod justificat un efort uriaș de cercetare printre matematicieni și ingineri: mecanici, metalurghi, constructori, aerospațiali. *Acesta a fost primul motiv care a impus apariția și dezvoltarea impetuoasă a Mecanicii Ruperii.*

2.3.1.3. Impactul economic

Adevărata dimensiune a problemei a apărut în momentul când s-au făcut calcule care să arate mărimea efortului economic pe care trebuie să-l suporte societatea, provocat de catastrofe, de defecțiuni și remedierea lor.

Astfel, în 1982, Biroul Național de Standarde al SUA a apreciat că s-au cheltuit 119 miliarde de dolari pentru prevenirea ruperilor și a pagubelor produse când acestea au avut loc (suma reprezintă circa 4% din PIB). În aceste calcule s-au luat în considerare cheltuielile suplimentare necesitate de prevenirea ruperilor, proiectarea mai laborioasă, adoptarea de materiale și tehnologii speciale de fabricație, efectuarea de controale planificate, de expertize tehnice ca și cheltuielile de judecată și despăgubiri.

Trebuie subliniat că din punct de vedere tehnic, 80% din ruperile produse se datoresc oboselii materialelor, fenomen care se amorsează datorită existenței inevitabile, obiective, a micro- sau macrodefectelor în orice construcție metalică. Structurile de rezistență cele mai afectate sunt cele ale materialului rulant și vehiculelor, construcțiilor aerospațiale, podurile, navele maritime, mașinile de ridicat. Studiul efectuat în SUA afirmă că aceste cheltuieli ar putea fi evitate în proporție de:

47% prin aplicarea în proiectare, execuție și exploatare a cunoștințelor actuale;

24% prin lucrări de cercetare-dezvoltare;

în 29% din cazuri sunt necesare noi deschideri în știință.

Un studiu similar s-a efectuat și în Europa în 1991 de către Comunitatea Economică Europeană, care a regăsit aceeași proporție de 4% din PIB.

Sursele ruperilor au fost clasificate după cum urmează:

	Variația%	Media%	Reducere posibilă până la (%)
1) Proiectare	10...40	15	10
2) Fabricație	7...12	10	}8
3) Defecte ascunse de material	3...8	5	
4) Reparații defectuoase	3...7	3	3
5) Erori în exploatare	15...54	25	10
6) Mentenanță defectuoasă	18...31	20	10
7) Asamblare, montaj general	2...20	12	10
8) Cauze necunoscute	2...20	10	10

Reducerea de cheltuieli pot fi obținute prin:

- Perfecționarea codurilor, standardelor și regulilor de proiectare
- Pregătirea și perfecționarea proiectanților și specialiștilor
- Transferul informațiilor existente de la cercetare spre proiectare și producție
- Introducerea în fabrici a regulilor de calitate care să conducă la un indice TQ ridicat (Total Quality).

Aplicarea acestor criterii ar putea conduce la o reducere de până la 60%.

Mai trebuie reținută o apreciere interesantă a acestui studiu: o investiție de 2 miliarde de ECU pe timp de 10 ani în cercetare și dezvoltare ar conduce la economii de 5 ori mai mari.

Acesta a fost al doilea motiv major care a condus la nașterea și dezvoltarea Mecanicii Ruperii.

2.3.2. Analiza stării de tensiune la vârful fisurii

Primele cărți de (M.R.) apărute în limba română sunt cele ale lui PANĂ T. [P5]/1974, D. CIOCLOV [C45]/1977 și I. DOBRE [B57]/1978. În literatura mondială au fost publicate numeroase monografii din care eu am studiat: [A25], [B53], [C10], [G47], [K7], [K11], [M32], [N10], [P7], [P12], [P30], [P39], [S4], [S6], [S43], [T1]. Mai nou au apărut în limba română [D41], [M15], [P6], [T28].

Am dezvoltat acest paragraf după capitolul III din cartea [B57] redactat de I. DOBRE cu acordul domnului profesor – deoarece este cea mai clară prezentare (în stilul său caracteristic)!

2.3.2.1. Modele pentru propagarea fisurilor

Fisura este o fantă îngustă care există sau se formează într-un corp întrerupând regularitatea structurală a acestuia. Ea schimbă esențial starea de tensiune a corpului în zona învecinată, care devine triaxială chiar în condițiile unor solicitări simple. Analiza completă a acestor stări de tensiune din vecinătatea vârfului fisurii în condițiile apariției unor deformații mari dincolo de limita de elasticitate, incumbă serioase dificultăți matematice. De aceea s-au studiat numai probleme relativ simple, în special probleme plane cu orificii sau cu fisuri care imită tăieturile ideale infinite de subțiri. Dintre acestea cele mai importante se referă la corpurile nelimitate sollicitate la infinit cu o stare de tensiune omogenă, iar problemele tipice sunt legate de modelele acceptate pentru propagarea fisurilor. În funcție de mișcarea relativă pe care o au cele două suprafețe ale fisurii, se acceptă că tipul de rupere și propagarea acesteia se face în trei moduri fundamentale și anume:

I. Ruperea normală sau prin separare. La acest model fisura se extinde prin deschidere. Este cazul prezentat în Fig.2.3.2.1. al fisurii într-un câmp de tracțiune, omogen la infinit, în condițiile deformației plane, când:

$$u = u(x, y), \quad v = v(x, y), \quad w = 0. \quad (2.3.2.1)$$

Deplasările punctelor de pe frontul fisurii sunt perpendiculare pe planul în care se extinde fisura.

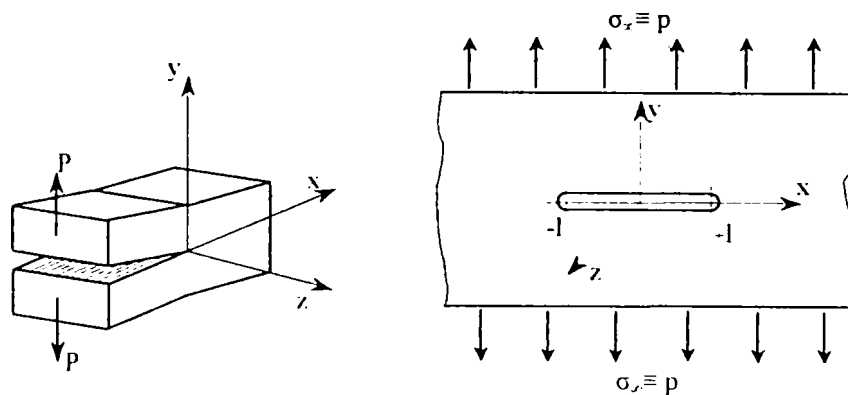


Fig.2.3.2.1.

II. Ruperea prin alunecare ca urmare a unei forfecări transversale. Deplasările punctelor de pe frontul fisurii se fac în planul fisurii perpendicular pe marginea acesteia în sensul de avans al ei. În Fig.2.3.2.2. este arătată fisura în condițiile deformațiilor plane la forfecarea în planul xy:

$$u = u(x, y), \quad v = 0, \quad w = 0. \quad (2.3.2.2)$$

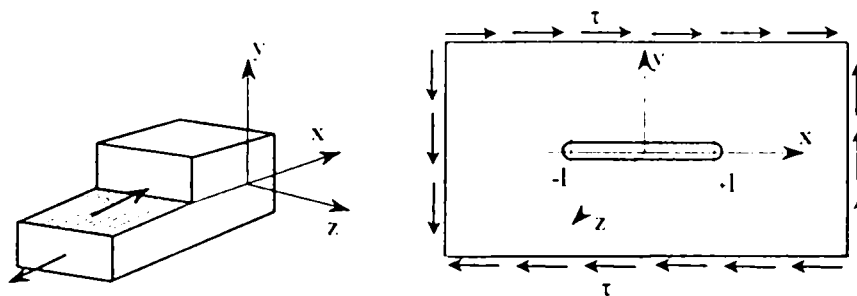


Fig. 2.3.2.2

III. Ruperea prin alunecare ca urmare a unei forfecări longitudinale. Acesta este cazul așa-zisei deformații antiplane, pentru care componentele deplasării sunt:

$$u = 0, v = 0, w = w(x, y) \tag{2.3.2.3}$$

Deplasările punctelor fisurii se fac în planul în care se extinde fisura, paralel cu frontul acesteia. Părțile opuse ale fisurii alunecă una față de cealaltă în direcția axei z, ca urmare a câmpului omogen de tensiuni tangențiale τ date la infinit (Fig.2.3.2.3).

Oricare alt mod de propagare a fisurii se poate obține ca o combinație a celor precedente, prin suprapunerea de efecte. De aceea, mărimile specifice acestor moduri de propagare vor purta indicii I, II, respectiv III.

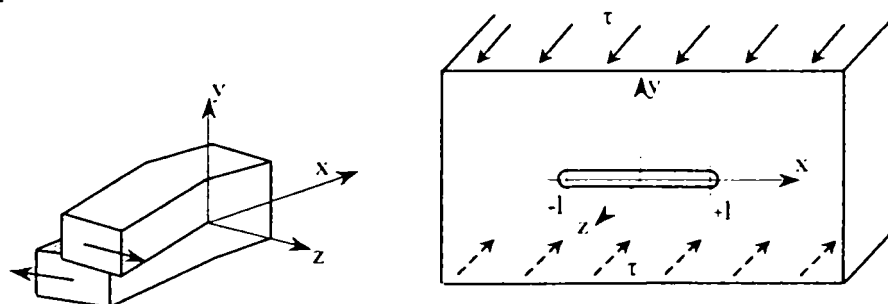


Fig. 2.3.2.3

2.3.2.2. Spațiul cu fisură supus forfecării longitudinale

Este cel mai simplu dintre cazurile enumerate la § 2.3.2.1. Deoarece diferită de zero este numai deplasarea $w = w(x, y)$, deformațiile specifice unghiulare sunt egale cu :

$$\gamma_{xz} = \frac{\partial w}{\partial x}, \gamma_{yz} = \frac{\partial w}{\partial y} \tag{2.3.2.4}$$

și deci componentele corespunzătoare ale tensiunilor vor fi, după legea lui Hooke :

$$\tau_{xz} = G \frac{\partial w}{\partial x}, \tau_{yz} = G \frac{\partial w}{\partial y} \tag{2.3.2.5}$$

Se analizează ecuațiile diferențiale de echilibru Navier-Cauchy; primele două sunt satisfăcute identic, iar cea de-a treia devine:

$$\frac{\partial \tau_{xz}}{\partial x} + \frac{\partial \tau_{yz}}{\partial y} = 0 \Rightarrow \frac{\partial^2 w}{\partial x^2} + \frac{\partial^2 w}{\partial y^2} = 0$$

adică deplasarea w este o funcție armonică :

$$\Delta w = 0. \tag{2.3.2.6}$$

Rezolvarea problemei se poate face prin suprapunerea unui câmp de forfecare omogen:

$$\tau_{xz} = 0, \tau_{yz} = \tau, w = \frac{\tau}{G} \cdot y \tag{2.3.2.7}$$

peste starea creată de tensiunile tangențiale :

$$\tau_{xz} = 0, \tau_{yz} = -\tau, \quad (2.3.2.8)$$

care acționează la marginile tăieturii, astfel că în acest caz tensiunile și deplasările la infinit sunt nule.

Se analizează pentru început cea de-a doua stare de tensiune, într-o formulare mai generală, când tensiunile tangențiale date pe tăietură sunt funcții de x , adică :

$$\tau_{xz} = 0, \tau_{yz} = -\tau(x), \quad |x| \leq \ell. \quad (2.3.2.9)$$

Problema se reduce la a construi o funcție armonică univocă $w(x, y)$, cunoscând derivata $\frac{\partial w}{\partial y}$ la marginea tăieturii $(-\ell, \ell)$ și satisfăcând condițiile de zero la infinit.

Rezolvarea acestei probleme poate fi făcută cu diferite metode. În particular, se pot folosi metodele funcțiilor de variabilă complexă. Pentru aceasta se notează cu w^* funcția armonic conjugată a funcției w (atenție! nu este vorba de funcția conjugată), se introduce potențialul complex:

$$\varphi(z) = w(z) + i w^*(z) \quad (z = x + iy), \quad (2.3.2.10)$$

a cărui parte reală este tocmai deplasarea w , adică:

$$w = \text{Re}[\varphi(z)]. \quad (2.3.2.11)$$

Cu ajutorul formulelor (2.3.2.5) și relației Cauchy-Riemann se găsește că

$$\varphi'(z_0) = \frac{\partial w}{\partial x_0} + i \frac{\partial w^*}{\partial x_0} \quad ; \quad \varphi'(z_0) = \frac{\partial w^*}{\partial y_0} - i \frac{\partial w}{\partial y_0},$$

dar:

$$\frac{\partial w}{\partial x} = \frac{\partial w^*}{\partial y} \quad ; \quad \frac{\partial w}{\partial y} = -\frac{\partial w^*}{\partial x}$$

$$\varphi'(z) = \frac{\partial w}{\partial x} - i \frac{\partial w}{\partial y}$$

și deci:

$$\tau_{xz} - i \tau_{yz} = G \varphi'(z). \quad (2.3.2.12)$$

Este deci necesar să se găsească o funcție olomorfă $\varphi'(z)$ care să satisfacă următoarele condiții:

- pe marginile tăieturii sunt date valorile părții imaginare a funcției $\varphi'(z)$, iar partea reală este nulă - conform (2.3.2.12) ;
- deoarece deplasarea w tinde spre zero la infinit, funcția $\varphi'(z)$, pentru valori mari ale lui $|z|$, trebuie să scadă mai repede sau cel puțin ca z^{-2} . Această condiție va rezulta ulterior în mod firesc pe măsura construirii funcției căutate, din necesitatea ca punctul de la infinit să nu fie un punct singular ;
- pe marginile tăieturii $\varphi'(z)$ poate avea singularități.

Asemenea probleme de margine sunt cazuri parțiale ale problemei limită a lui Hilbert, ale cărei metode de rezolvare sunt bine elaborate. Cazul analizat este însă o situație particulară care poate fi rezolvată cu metode mai simple (SEDOV L.) [S11], KACIANOV [K7], CEREPANOV [C10].

Pentru moment, se părăsesc notațiile de până acum și se tratează problema într-o formă mai generală. Se presupune că pe marginile tăieturii: $y = 0, |x| \leq \ell$, este dată valoarea limită $f_2(x, 0)$ a unei funcții armonice $f_2(x, y)$; funcția armonică conjugată $f_1(x, y)$ se transformă în zero pe axa reală conform (2.3.2.12).

Se consideră o funcție complexă :

$$F(z) = f_1 - i f_2 \tag{2.3.2.13}$$

care trebuie să scadă la infinit, cel puțin ca și z^{-2} .

Alegerea funcției $F(z)$ sub această formă este dictată de forma funcției căutate $\varphi'(z)$ (v.(2.3.2.12)); semnul minus în fața părții imaginare atrage câteva considerații suplimentare legate în special de sensul de parcurs pe conturul care înconjoară tăietura.

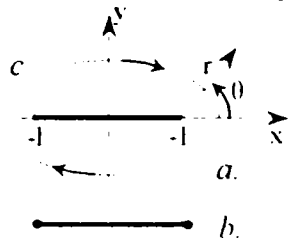


Fig.2.3.2.4.

Fiindcă pe marginile de sus și de jos ale tăieturii, funcția $f_2(x,y)$ are una și aceeași valoare $f_2(x,0)$, înseamnă că ea este pară în raport cu y , adică $f_2(x,y) = f_2(x,-y)$.

Atunci, din condițiile Cauchy-Riemann se stabilește că funcția conjugată $f_1(x,y)$ este impară în raport cu y .

Trebuie să considerăm acum o funcție olomorfă care

să aibă punctele $\pm \ell$ ca puncte singulare. O asemenea funcție poate fi de tipul $\sqrt{z^2 - \ell^2}$. Dacă se unesc cele două puncte $+\ell$ și $-\ell$ cu o tăietură (în particular segmentul din Fig.2.3.2.4), atunci funcția $\sqrt{z^2 - \ell^2}$ va fi olomorfă în afara tăieturii, iar pe marginile tăieturii va fi pur imaginară având valoarea $+i\sqrt{\ell^2 - x^2}$ pe marginea de sus și $-i\sqrt{\ell^2 - x^2}$ pe marginea de jos.

Se consideră încă o funcție ajutătoare:

$$\Phi(z) = F(z) \cdot \sqrt{z^2 - \ell^2} \tag{2.3.2.14}$$

formată din produsul celor două funcții introduse până acum, care este de asemenea olomorfă în afara tăieturii. Deoarece funcția $\sqrt{z^2 - \ell^2}$ are și punctul de la infinit ca punct singular, de aceea s-a impus condiția ca funcția $F(z)$ să tindă la infinit spre zero, cel puțin ca z^{-2} , astfel ca noua funcție $\Phi(z)$ să nu mai creeze nici un fel de "dificultăți" la infinit.

Se presupune acum că tăietura $(-\ell, +\ell)$ se înconjoară cu un contur (C) pe care sensul pozitiv de parcurs este cel orar (din cauza semnelui - din (2.3.2.12)).

Se mai consideră o altă funcție ajutătoare de forma:

$$\frac{\Phi(\xi)}{\xi - z} \tag{2.3.2.15}$$

sugerată de necesitatea aplicării formulei integrale a lui Cauchy. Aici z este un punct în afara conturului (C). Această funcție are în afara lui (C) un singur punct special $\xi = z$, cu reziduul $\Phi(z)$. De aceea funcția $\Phi(z)$ se poate reprezenta prin valoarea acesteia pe conturul (C) cu formula lui Cauchy.

$$\Phi(z) = \frac{1}{2\pi i} \oint_{(C)} \frac{\Phi(\xi)}{\xi - z} d\xi \tag{2.3.2.16}$$

Dacă se strânge conturul (C) în jurul tăieturii se observă că pe cele două margini ale tăieturii:

$$\Phi_+(\xi) = [f_1(\xi, +0) - i f_2(\xi, +0)] i \sqrt{\ell^2 - \xi^2} \tag{2.3.2.17}$$

$$\Phi_-(\xi) = [f_1(\xi, -0) - i f_2(\xi, -0)] (-i \sqrt{\ell^2 - \xi^2})$$

Dar:

$$f_1(\xi, +0) = f_1(\xi, -0) = 0 \quad (2.3.2.18)$$

$$f_1(\xi, +0) = f_{21}(\xi, -0) = f_2(\xi)$$

Fiindcă $\Phi(\xi)$ este limitată la marginile tăieturii și integralele după cercurile mici tind spre zero la limită, atunci :

$$\Phi(z) = \frac{1}{\pi i} \int_{-\ell}^{\ell} \frac{f_2(\xi)}{\xi - z} \sqrt{\ell^2 - \xi^2} d\xi \quad (2.3.2.19)$$

Astfel, funcția căutată $F(z)$ se obține sub forma (din (2.3.14)) :

$$F(z) = \frac{\Phi(z)}{\sqrt{z^2 - \ell^2}} = \frac{1}{\pi i \sqrt{z^2 - \ell^2}} \int_{-\ell}^{\ell} \frac{f_2(\xi)}{\xi - z} \sqrt{\ell^2 - \xi^2} d\xi. \quad (2.3.2.20)$$

Se verifică ușor că această funcție satisface condițiile impuse la infinit și la vârfurile tăieturii.

Revenind la problema inițială se poate scrie soluția :

$$G \cdot \varphi'(z) = \frac{1}{\pi i \sqrt{z^2 - \ell^2}} \int_{-\ell}^{\ell} \frac{\tau(\xi) \sqrt{\ell^2 - \xi^2}}{z - \xi} d\xi. \quad (2.3.2.21)$$

Pentru mecanica ruperii sunt interesante două probleme : singulritățile din vârful fisurii și energia care se eliberează la formarea fisurii.

Pentru a clarifica comportarea tensiunilor în apropierea vârfului fisurii se analizează comportarea asimptotică a funcției (2.3.2.21) în condițiile în care se tinde la limită după r . Trecând la coordonate polare, cu polul în vârful fisurii (Fig.2.3.2.4.) :

$$z - \ell = r e^{i\theta} \quad (2.3.2.22)$$

se poate scrie :

$$G \cdot \varphi'(z) = - \frac{i}{\sqrt{2\pi(z-\ell)}} \int_{-\ell}^{\ell} \frac{\sqrt{2} \tau(\xi) \sqrt{\ell^2 - \xi^2}}{\sqrt{\pi} \sqrt{z+\ell} (z-\xi)} d\xi. \quad (2.3.2.23)$$

Se notează :

$$\begin{aligned} K_{III} &= \lim_{r \rightarrow 0} \int_{-\ell}^{\ell} \frac{\sqrt{2} \tau(\xi) \sqrt{\ell^2 - \xi^2}}{\sqrt{\pi} \cdot \sqrt{2\ell + r e^{i\theta}} (\ell + r e^{i\theta} - \xi)} d\xi = \\ &= \int_{-\ell}^{\ell} \frac{\sqrt{2} \tau(\xi) \sqrt{\ell + \xi} \cdot \sqrt{\ell - \xi}}{\sqrt{\pi} \sqrt{2\ell} (\ell - \xi)} d\xi = \frac{1}{\sqrt{\pi \ell}} \int_{-\ell}^{\ell} \tau(\xi) \sqrt{\frac{\ell + \xi}{\ell - \xi}} d\xi. \end{aligned} \quad (2.3.2.24)$$

Deci:

$$G \varphi'(z) = - \frac{i K_{III}}{\sqrt{2\pi(z-\ell)}} + \dots \quad (2.3.2.25)$$

unde s-au neglijat o serie de termeni care în mod normal apar prin dezvoltarea în serie a funcției de sub integrală în jurul lui $r = 0$ și care au valori finite în vecinătatea vârfului.

Deci:

$$\begin{aligned} \tau_{xz} - i \tau_{yz} &= G \varphi'(z) = - \frac{i K_{III}}{\sqrt{2\pi(z-\ell)}} = - \frac{i K_{III}}{\sqrt{2\pi r}} e^{-i\frac{\theta}{2}} = - \frac{i K_{III}}{\sqrt{2\pi r}} \left(\cos \frac{\theta}{2} - i \sin \frac{\theta}{2} \right) \\ \tau_{xz} - i \tau_{yz} &= - \frac{K_{III}}{\sqrt{2\pi r}} \sin \frac{\theta}{2} - i \frac{K_{III}}{\sqrt{2\pi r}} \cos \frac{\theta}{2}. \end{aligned}$$

Din egalarea părților reale și imaginare se obține:

$$\begin{cases} \tau_{xz} = -\frac{K_{III}}{\sqrt{2\pi r}} \sin \frac{\theta}{2} \\ \tau_{yz} = \frac{K_{III}}{\sqrt{2\pi r}} \cos \frac{\theta}{2} \end{cases} \quad (2.3.2.26)$$

Se găsește de asemenea:

$$\begin{aligned} \varphi(z) &= -\frac{iK_{III}}{G\sqrt{2\pi}} 2\sqrt{z-\ell} = -\frac{iK_{III}}{G} \sqrt{\frac{2}{\pi}} \sqrt{r} e^{i\theta} = \\ &= -\frac{iK_{III}}{G} \sqrt{\frac{2r}{\pi}} \left(\cos \frac{\theta}{2} + i \sin \frac{\theta}{2} \right). \end{aligned} \quad (2.3.2.27)$$

Deci (2.3.2.11)

$$w(z) = \operatorname{Re}[\varphi(z)] = \frac{K_{III}}{G} \sqrt{\frac{2r}{\pi}} \sin \frac{\theta}{2} \quad (2.3.2.27 \text{ bis})$$

Mărimea K_{III} (indicele III indică cazul forfecării longitudinale) se numește **coeficient de intensitate a tensiunilor**, reprezentând o caracteristică a distribuției tensiunilor în vecinătatea vârfului fisurii în timpul propagării acesteia, de aceea nu trebuie confundat cu factorii asemănători care au fost introduși la studiul concentratorilor de tensiune.

Pentru o piesă cu geometria dată, coeficientul K_{III} depinde de tensiunea tangențială dată $\tau(\zeta)$. Dacă aceasta este constantă, de exemplu $\tau(\zeta) = \tau = \text{const.}$ se obține :

$$K_{III} = \frac{\tau}{\sqrt{\pi\ell}} \int_{-\ell}^{\ell} \sqrt{\frac{\ell+\zeta}{\ell-\zeta}} d\zeta \quad (2.3.2.28)$$

Calculul acestei integrale cu o singularitate în punctul $\xi = \ell$, se face printr-o trecere la limită. Demonstrația este următoarea (aparține autoarei):

Se face substituția :

$$\frac{\ell+\zeta}{\ell-\zeta} = t^2 \Rightarrow \zeta = \ell \frac{t^2-1}{t^2+1} ; \quad d\zeta = \frac{4\ell t}{(t^2+1)^2} dt.$$

Deci:

$$I = \int_{-\ell}^{\ell} \sqrt{\frac{\ell+\zeta}{\ell-\zeta}} d\zeta = \lim_{\varepsilon \rightarrow 0} \int_0^{\sqrt{\frac{2\ell-\varepsilon}{\varepsilon}}} \frac{4\ell t^2}{(t^2+1)^2} dt = 4\ell \lim_{\varepsilon \rightarrow 0} \left[\int_0^{\sqrt{\frac{2\ell-\varepsilon}{\varepsilon}}} \frac{1}{t^2+1} dt - \int_0^{\sqrt{\frac{2\ell-\varepsilon}{\varepsilon}}} \frac{1}{(t^2+1)^2} dt \right]$$

$$\int \frac{1}{t^2+1} dt = \operatorname{arctg} t + C$$

$$\int \frac{1}{(t^2+1)^2} dt = \frac{1}{2} \left(\frac{t}{t^2+1} + \operatorname{arctg} t \right) + C$$

$$I = 2\ell \lim_{\varepsilon \rightarrow 0} \left(\operatorname{arctg} \sqrt{\frac{2\ell-\varepsilon}{\varepsilon}} \right) = 2\ell \frac{\pi}{2} = \pi\ell.$$

Deci :

$$K_{III} = \tau \sqrt{\pi\ell} . \quad (2.3.2.29)$$

2.3.2.3. Spațiul cu fisură sollicitat la tracțiune

După cum s-a arătat în Anexa 1 tensiunile și deplasările pentru starea plană generalizată de deformare sau de tensiune se pot exprima prin două funcții de variabilă complexă $\varphi(z)$, $\psi(z)$ după formulele lui Kolosov-Mushelișvili [M69]:

$$\left. \begin{aligned} \sigma_x + \sigma_y &= 4 \operatorname{Re} [\varphi'(z)] \\ \sigma_y - \sigma_x + 2i\tau_{xy} &= 2 \left[\bar{z} \varphi''(z) + \psi'(z) \right] \\ 2G(u + iv) &= \Lambda \varphi(z) - z \bar{\varphi}'(z) - \bar{\psi}(z) \end{aligned} \right\} \quad (2.3.2.30)$$

unde:

$\Lambda = 3 - 4\nu$ - pentru starea plană de deformare,

$\Lambda = \frac{3 - \nu}{1 + \nu}$ - pentru starea plană de tensiune.

Rezolvarea problemei se face, similar cu cazul precedent: peste câmpul tracțiunii omogene $\sigma_y = \sigma_x = p$ se suprapune o stare de tensiune $\tau_{xy} = 0$, $\sigma_y = -p$ aplicată pe marginile fisurii (mai general, $\sigma_y = -p(x)$).

Din considerente de simetrie, tensiunea tangențială τ_{xy} este egală cu zero pe toată axa x și este impară în raport cu y , iar tensiunile normale σ_x , σ_y sunt pare; de aceea se încearcă soluții de forma:

$$\left. \begin{aligned} \varphi'(z) = \Phi(z) &= \frac{1}{2} Z_1'(z) \\ \psi(z) = \Psi(z) &= -\frac{1}{2} z Z_1'(z) \end{aligned} \right\} \quad (2.3.2.31)$$

Din relațiile (2.3.2.30) cu aceste notații se obțin:

$$\left. \begin{aligned} \sigma_x &= \operatorname{Re} Z_1' - y \operatorname{Im} Z_1'' \\ \sigma_y &= \operatorname{Re} Z_1' + y \operatorname{Im} Z_1'' \\ \tau_{xy} &= -y \operatorname{Re} Z_1'' \end{aligned} \right\} \quad (2.3.2.32)$$

$$\left. \begin{aligned} 2Gu &= \frac{\Lambda + 1}{2} \operatorname{Re} \tilde{Z}_1 - y \operatorname{Im} Z_1' \\ 2Gv &= \frac{\Lambda + 1}{2} \operatorname{Im} \tilde{Z}_1 - y \operatorname{Re} Z_1' \end{aligned} \right\} \quad (2.3.2.33)$$

unde \tilde{Z}_1 - este primitiva funcției Z_1' .

Spre deosebire de cazul precedent aici este necesar să se construiască o funcție olomorfă în afara tăieturii, Z_1 după valorile părții ei reale date pe ambele margini ale tăieturii:

$$\operatorname{Re} Z_1' = -p(x) \quad \text{la} \quad |x| \leq \ell, \quad y = 0, \quad (2.3.2.34)$$

care să tindă la zero pentru $|z| \rightarrow \infty$ cel puțin ca z^{-2} . Soluția problemei are o formă analoagă :

$$Z_1 = \frac{1}{\pi \sqrt{z^2 - \ell^2}} \int_{-\ell}^{\ell} \frac{p(\zeta) \sqrt{\ell^2 - \zeta^2}}{z - \zeta} d\zeta. \quad (2.3.2.35)$$

Pentru $z - \ell = r e^{i\theta}$ cu $r \ll \ell$, se obține :

$$Z_1 = \frac{K_1}{\sqrt{2\pi(z-\ell)}} + \dots \text{ unde } K_1 = \frac{1}{\sqrt{\pi\ell}} \int_{-\ell}^{\ell} p(\zeta) \sqrt{\frac{1+\zeta}{1-\zeta}} d\zeta \quad (2.3.2.36)$$

Dacă:

$$p(\zeta) = p = \text{const.} \Rightarrow K_1 = p\sqrt{\pi\ell}. \quad (2.3.2.37)$$

Din formulele (2.3.2.32) și (2.3.2.33), se găsește cu ușurință :

$$\left. \begin{aligned} \sigma_x &= K_1 \frac{\cos \frac{\theta}{2}}{\sqrt{2\pi r}} \left(1 - \sin \frac{\theta}{2} \sin \frac{3\theta}{2} \right) \\ \sigma_y &= K_1 \frac{\cos \frac{\theta}{2}}{\sqrt{2\pi r}} \left(1 + \sin \frac{\theta}{2} \sin \frac{3\theta}{2} \right) \\ \tau_{xy} &= K_1 \frac{\cos \frac{\theta}{2}}{\sqrt{2\pi r}} \sin \frac{\theta}{2} \sin \frac{3\theta}{2} \end{aligned} \right\} \quad (2.3.2.38)$$

$$\left. \begin{aligned} u &= \frac{K_1}{G} \sqrt{\frac{r}{2\pi}} \cos \frac{\theta}{2} \left(\frac{\Lambda - 1}{2} + \sin^2 \frac{\theta}{2} \right) \\ v &= \frac{K_1}{G} \sqrt{\frac{r}{2\pi}} \sin \frac{\theta}{2} \left(\frac{\Lambda + 1}{2} - \cos^2 \frac{\theta}{2} \right) \end{aligned} \right\} \quad (2.3.2.39)$$

Analiza atentă a relațiilor precedente arată că în formulele (2.3.2.38) sunt neglijați termenii care au valori finite în vârful fisurii, iar în cazul deformației plane starea de tensiune la vârful fisurii este destul de apropiată – în general – de câmpul de tensiuni din cazul tracțiunii hidrostatice, ceea ce favorizează ruperea fragilă.

2.3.2.4. Spațiul cu fisură sollicitat la forfecare transversală

Este cazul modului II de propagare a fisurii care se poate rezolva suprapunând peste un câmp de forfecare omogenă starea produsă de acționarea pe marginea fisurii a tensiunilor:

$$\sigma_y = 0 \quad \text{și} \quad \tau_{xy} = -\tau,$$

sau mai general : $\tau_{xy} = -\tau(x)$.

Presupunând că σ_y devine zero pe axa x , se caută soluția sub forma:

$$\Phi(z) = -\frac{i}{2} Z_2(z), \quad \psi(z) = \frac{i}{2} (2Z_2(z) + z Z_2'(z)), \quad (2.3.2.40)$$

unde Z_2 este funcția căutată. Forma funcției Z_2 este dictată de condițiile la limită pe marginea fisurii: $\text{Re } Z_2 = -\tau(x)$ pentru $x \leq \ell, y = 0$ și de faptul că la infinit deplasările sunt nule. Rezultă o formă analoagă cu cele anterioare:

$$Z_2 = \frac{1}{\pi \sqrt{z^2 - \ell^2}} \int_{-\ell}^{\ell} \frac{\tau(\zeta) \sqrt{\ell^2 - \zeta^2}}{z - \zeta} d\zeta, \quad (2.3.2.41)$$

care în vecinătatea vârfului fisurii obține o dezvoltare asimptotică:

$$Z_2 = \frac{K_{II}}{\sqrt{2\pi(z-\ell)}} + \dots$$

unde s-a notat factorul de intensitate a tensiunilor:

$$K_{II} = \frac{1}{\sqrt{\pi \ell}} \int_{-\ell}^{\ell} \tau(\zeta) \sqrt{\frac{\ell + \zeta}{\ell - \zeta}} d\zeta . \quad (2.3.2.42)$$

Dacă se cunoaște Z_2 , atunci:

$$\left. \begin{aligned} \sigma_x &= 2 \operatorname{Im} Z_2 + y \operatorname{Re} Z_2' \\ \sigma_y &= -y \operatorname{Re} Z_2' \\ \tau_{xy} &= \operatorname{Re} Z_2 - y \operatorname{Im} Z_2' \end{aligned} \right\} \quad (2.3.2.43)$$

$$\left. \begin{aligned} 2Gu &= \frac{\Lambda + 1}{2} \operatorname{Im} \tilde{Z}_2 + y \operatorname{Re} Z_2 \\ 2Gv &= -(\Lambda + 1) \operatorname{Re} \tilde{Z}_2 - y \operatorname{Im} Z_2 \end{aligned} \right\} \quad (2.3.2.44)$$

De aici, într-o vecinătate mică a vârfului fisurii, $r \ll \ell$, se obține:

$$\left. \begin{aligned} \sigma_x &= -\frac{K_{II}}{\sqrt{2\pi r}} \sin \frac{\theta}{2} \left(2 + \cos \frac{\theta}{2} \cos \frac{3\theta}{2} \right) \\ \sigma_y &= \frac{K_{II}}{\sqrt{2\pi r}} \sin \frac{\theta}{2} \cos \frac{\theta}{2} \cos \frac{3\theta}{2} \\ \tau_{xy} &= \frac{K_{II}}{\sqrt{2\pi r}} \cos \frac{\theta}{2} \left(1 - \sin \frac{\theta}{2} \sin \frac{3\theta}{2} \right) \end{aligned} \right\} \quad (2.3.2.45)$$

$$\left. \begin{aligned} u &= \frac{K_{II}}{G} \sqrt{\frac{r}{2\pi}} \sin \frac{\theta}{2} \left(\frac{\Lambda + 1}{2} + \cos^2 \frac{\theta}{2} \right) \\ v &= \frac{K_{II}}{G} \sqrt{\frac{r}{2\pi}} \cos \frac{\theta}{2} \left(\frac{\Lambda - 1}{2} + \sin^2 \frac{\theta}{2} \right) \end{aligned} \right\} . \quad (2.3.2.46)$$

În problemele analizate tensiunile în apropierea vârfului fisurii au singularități de forma $K_i / \sqrt{2\pi r}$, iar deplasările tind spre zero, ca și $\frac{K_i}{G} \sqrt{\frac{r}{2\pi}}$, unde prin K_i ($i = I, II, III$) s-a notat coeficientul de intensitate a tensiunilor dependent de sarcină care *caracterizează fluxul de energie spre vârf ce se eliberează la desfacerea fisurii*. Soluțiile obținute s-au referit la fisurile dreptunghiulare în corpuri infinite.

În schimb relațiile deduse vor caracteriza comportarea tensiunilor și deplasărilor în apropierea marginilor unor cavități de orice formă, dacă prin r vom înțelege distanța pe normala la conturul fisurii.

2.3.3. Considerații energetice

Studiul condițiilor de echilibru energetic lămurește într-un context mai general problema propagării fisurilor. De aceea se vor prezenta o parte din rezultatele obținute de J.RICE și D.DRUCKER, L.KACIANOV [K7], CEREPANOV [C10], NOVOJILOV [N25] etc., în sistematizarea dată în [B57].

Se consideră un corp elastic de volum V limitat de suprafața exterioară $S = S_u + S_F$; în starea inițială 1 pe S_u sunt date deplasările u_i^0 , iar pe S_F sunt date forțele X_{ni}^0 ; tensiunile și deformațiile specifice sunt $\sigma_{ij}^0, \varepsilon_{ij}^0$. Corpul prezintă cavități interioare, care în particular pot fi și fisuri ale căror suprafețe Σ sunt libere de solicitări.

Prin trecerea de la starea 1 la starea 2 (v. Fig.2.3.3.1), volumul cavităților V va crește cu ΔV , suprafețele se vor modifica cu $\Delta \Sigma$, iar ecuația echilibrului energetic are forma :

$$\Delta U + \Delta K = \Delta A + \Delta Q - \Delta \pi^* , \quad (2.3.3.1)$$

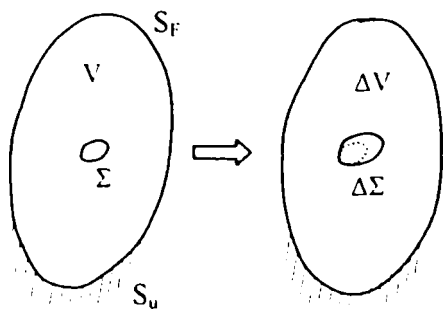


Fig. 2.3.3.1

în care ΔU reprezintă variația energiei elastice ; ΔK – variația energiei cinetice ; ΔA – variația lucrului mecanic al forțelor exterioare ; ΔQ – fluxul de căldură ; $\Delta \pi$ – fluxul de energie de altă proveniență, din care se va considera numai energia cheltuită pentru rupere.

În ipoteza micilor deplasări (cvasistatice) se poate neglija variația energiei cinetice și a fluxului de căldură deci :

$$\Delta U - \Delta A = - \Delta \pi \quad (2.3.3.2)$$

De obicei diferența $U - A = W$ definește energia potențială a corpului și deci relația precedentă devine:

$$\Delta W = - \Delta \pi . \quad (2.3.3.3)$$

Este deci necesar să se calculeze variația energiei potențiale a corpului în procesul de creștere a fisurii.

Energia potențială a corpului în cele două stări va fi:

$$W^0 = \int_V w(\varepsilon_{ij}^0) dV - \int_{S_F} X_{ni}^0 u_i^0 dS \quad (2.3.3.4)$$

$$W^0 + \Delta W = \int_{V + \Delta V} w(\varepsilon_{ij}^0 + \Delta \varepsilon_{ij}) dV - \int_{S_F} X_{ni}^0 (u_i^0 + \Delta u_i) dS . \quad (2.3.3.5)$$

Aici $w(\varepsilon_{ij})$ este energia specifică de deformație care pentru corpul liniar elastic este o formă pătratică omogenă pozitiv definită:

$$w(\varepsilon_{ij}) = \int_0^{\varepsilon_{ij}} \sigma_{kl} d\varepsilon_{kl} . \quad (2.3.3.6)$$

Lucrul mecanic al forțelor exterioare a fost calculat numai pe suprafața S_F , deoarece punctele de pe S_u la trecerea de la starea 1 la starea 2 nu se deplasează.

Rezultă imediat:

$$- \Delta W = \int_V w(\varepsilon_{ij}^0) dV - \int_{V + \Delta V} w(\varepsilon_{ij}^0 + \Delta \varepsilon_{ij}) dV + \int_{S_F} X_{ni}^0 \Delta u_i \cdot dS . \quad (2.3.3.7)$$

Din considerente de calcul, ultima integrală se transformă observând că pe S_F avem $\Delta X_{ni} = 0$; pe S_u , $\Delta u_i = 0$, iar pe $\Sigma + \Delta \Sigma$, $X_{ni} + \Delta X_{ni} = 0$, deci :

$$\int_{S_F} X_{ni}^0 \Delta u_i dS = \int_{S + \Sigma + \Delta \Sigma} (X_{ni}^0 + \Delta X_{ni}) \Delta u_i dS . \quad (2.3.3.8)$$

Cu ajutorul teoremei lucrului mecanic virtual, integrala pe suprafața corpului $S + \Sigma + \Delta \Sigma$ se poate transforma într-o integrală pe volumul corpului $V + \Delta V$:

* În toate aceste relații $\Delta()$ reprezintă o variație a mărimii respective; nu trebuie confundat cu operatorul lui Laplace.

$$\int_{S_f} X_{ni}^0 \Delta u_i dS = \int_{V - \Delta V} (\sigma_{ni}^0 + \Delta \sigma_{ni}) \Delta \varepsilon_{ij} dV \quad (2.3.3.9)$$

Deci:

$$-\Delta W = \int_{\Delta V} w(\varepsilon_{ij}^0) dV + \int_{V - \Delta V} \left\{ (\sigma_{ij}^0 + \Delta \sigma_{ij}) \Delta \varepsilon_{ij} - [w(\varepsilon_{ij}^0 + \Delta \varepsilon_{ij}) - w(\varepsilon_{ij}^0)] \right\} dV \quad (2.3.3.10)$$

Pentru corpurile liniar elastice expresia de sub integrala a doua este $\frac{1}{2} \Delta \sigma_{ij} \Delta \varepsilon_{ij}$ și folosind teorema lucrului mecanic virtual, pe baza condițiilor la limită se obține:

$$\frac{1}{2} \int_{V - \Delta V} \Delta \sigma_{ij} \Delta \varepsilon_{ij} dV = \frac{1}{2} \int_{S - \Sigma + \Delta \Sigma} \Delta X_{ni} u_i dS = \frac{1}{2} \int_{\Delta \Sigma} \Delta X_{ni} \Delta u_i dS. \quad (2.3.3.11)$$

Deci:

$$-\Delta W = \int_{\Delta V} w(\varepsilon_{ij}^0) dV - \frac{1}{2} \int_{\Delta \Sigma} X_{ni}^0 \Delta u_i dS. \quad (2.3.3.12)$$

deoarece pe suprafața nouă $\Delta \Sigma$ avem $\Delta X_{ni} = -\sigma_{ij}^0 n_j \equiv -X_{ni}^0$ (n_j – normala la $\Delta \Sigma$).

În cazul fisurilor, privite sub aspect matematic ca niște tăieturi ideale, se poate considera $\Delta V \equiv 0$ și deci:

$$-\Delta W = \frac{1}{2} \int_{\Delta \Sigma} X_{ni}^0 \cdot \Delta u_i dS. \quad (2.3.3.13)$$

Dacă se notează cu $\Delta \Sigma_+$ și $\Delta \Sigma_-$ cele două margini ale suprafeței fisurii pe care $X_{ni}^{0+} = -X_{ni}^{0-}$, se poate scrie:

$$-\Delta W = \frac{1}{2} \int_{\Delta \Sigma_+} X_{ni}^{0-} [\Delta u_i] dS, \quad (2.3.3.14)$$

unde :

$$[u_i] = \Delta u_i^+ - \Delta u_i^-. \quad (2.3.3.15)$$

Pentru cazul bidimensional, presupunând că fisura de lungime ℓ este orientată după axa x (Fig. 2.3.2.4), notând prin W energia potențială a corpului pe unitatea de lungime în direcția axei z , se poate scrie:

$$\Delta W = -\frac{1}{2} \int_0^{\Delta \ell} \left[\tau_{xy} (u_x^+ - u_x^-) + \sigma_y (u_y^+ - u_y^-) \right] dx. \quad (2.3.3.16)$$

Deoarece, din condiții de simetrie $u_x^+ = -u_x^-$, $u_y^+ = -u_y^-$, rezultă :

$$\Delta W = -\int_0^{\Delta \ell} (\tau_{xy} u_x + \sigma_y u_y) dx. \quad (2.3.3.17)$$

Dacă $\Delta \ell$ se consideră la limită infinit de mic, atunci pentru calcularea energiei totale a corpului este suficient să se folosească reprezentările asimptotice ale tensiunilor și deplasărilor în apropierea vârfului fisurii, înlocuind θ cu π și $r = \Delta \ell - x = \Delta \ell(1 - \xi)$. Atunci se obține :

- pentru tracțiunea planului cu fantă (v. (2.3.2.39)) :

$$\Delta W_I = -\frac{K_I^2}{4\pi G} (\Lambda + 1) \Delta \ell \int_0^1 \sqrt{\frac{1-\xi}{\xi}} d\xi = -\frac{K_I^2}{8G} (\Lambda + 1) \Delta \ell. \quad (2.3.3.18)$$

- pentru forfecarea transversală (v. (2.3.2.46)):

$$\Delta W_{II} = -\frac{K_{II}^2}{8G}(\Lambda + 1)\Lambda \ell \quad (2.3.3.19)$$

- pentru forfecarea longitudinală (v. 2.3.2.27 bis):

$$\Delta W_{III} = -\frac{K_{III}^2}{2G} \Delta \ell . \quad (2.3.3.20)$$

Se poate trage concluzia că derivata $dW/d\ell$ are o valoare finită determinată de coeficientul de intensitate a tensiunilor.

Pentru creșterea fisurii este necesar să se învingă forțele de legătură dintre particulele materialului. Conform lui Griffith [C45],[P6],[C10], energia de distrugere este egală cu:

$$\Delta \pi = \gamma \cdot \Delta \Sigma , \quad (2.3.3.21)$$

unde $\gamma > 0$ este *energia necesară pentru formarea unității de suprafață*. Relația precedentă devine pentru fisuri:

$$d\pi = 2\gamma \cdot d\ell . \quad (2.3.3.22)$$

Cu aceste considerații, ecuația balanței energetice (2.3.49) devine pentru cele trei cazuri studiate:

$$\frac{K_I^2}{8G}(\Lambda + 1) = 2\gamma \quad ; \quad \frac{K_{II}^2}{8G}(\Lambda + 1) = 2\gamma \quad ; \quad \frac{K_{III}^2}{2G} = 2\gamma . \quad (2.3.3.23)$$

Pentru $p(\zeta) = p = const \Rightarrow K_I = p\sqrt{\pi\ell}$ și din relația precedentă se obține așa-numita **“formulă a lui Griffith”** :

$$p^2 = \frac{2E\gamma}{\pi(1-\nu^2)} . \quad (2.3.3.24)$$

Trebuie subliniat că schimbarea energiei potențiale a întregului corp, dW se calculează după starea de tensiune-deformație din vârful fisurii care are acolo o singularitate. Astfel, se poate considera că prin vârful fisurii se scurge energia din sistem care se consumă în această zonă pentru distrugerea materialului. Dar, în vârful fisurii condițiile de *“deformație mică”* și legea lui Hooke nu sunt satisfăcute. Se consideră însă că în urma caracterului global al ecuației energetice aceste incorectitudini nu au o influență mare asupra concluziilor finale.

2.3.4. Teorii și criterii de rupere pentru modele elastice și elasto-plactice

Teoria ruperii fragile a apărut de mai bine de 80 de ani, în urma lucrărilor clasice ale lui Griffith [1921]. Ea a fost privită inițial mai mult ca un tip de problemă singulară din teoria elasticității, fără aplicabilitate, deoarece materialele care în condiții normale se rup după mecanismul fragil sunt relativ rare. În ultimele decenii, interesul pentru echilibrul și propagarea fisurilor s-a amplificat considerabil deoarece s-a clarificat că la temperaturi scăzute sau ridicate multe construcții se rup după mecanismul cvazifragil, deși sunt confecționate din materiale de largă întrebuințare care la încercările standard de tracțiune se comportă ca ideal plastice. Asemenea ruperi cvazifragile care presupun existența unui domeniu plastic foarte mic și concentrat în imediata apropiere a suprafeței fisurii pot fi tratate – așa cum au arătat IRWIN și OROWAN [C10] [C45] – cu ajutorul legilor obținute pentru ruperea pur fragilă dacă se ia în considerare și lucrul mecanic al deformațiilor plastice cheltuit pentru formarea unității de suprafață. A fost necesară în felul acesta crearea unor modele noi mai complete, care să țină cont de complexitatea fenomenului și să apropie rezultatele teoretice de cele experimentale.

Cercetările efectuate în ultimii 30 de ani, asupra staticii și dinamicii corpurilor elastice cu fisuri au permis o formulare corectă a problemelor de bază ale teoriei matematice a ruperii fragile, într-o formă generală, care își propune determinarea analitică a rezistenței la rupere fragilă a unui corp cu anumite defecte (de tipul fisurilor) pentru solicitări și condiții ambientale

date. Specificul acestor probleme este dictat de faptul că forma suprafeței fisurilor inițiale din corp nu este dată, circumstanță care face ca teoria fisurilor să aibă un pronunțat caracter neliniar; de aceea, actualmente nu există soluție analitică efectivă decât numai pentru câteva probleme particulare. Dealtfel rezolvarea problemei despre echilibrul corpului cu fisuri conține mult mai multe informații decât sunt necesare în practică. Cunoașterea câmpului tensiunilor și deformațiilor și a dimensiunilor fisurilor nu este prea interesantă deoarece din punct de vedere practic este important să se știe dacă corpul la o solicitare dată are sau nu capacitate portantă. Răspunsul la această problemă are evident un caracter esențial integral și nu poate fi determinat de structura locală a stării de tensiune într-un punct oarecare al corpului.

Sub acest aspect s-a considerat ca o limită importantă faptul că teoria nu cuprinde procesul de apariție a fisurilor, iar criteriile de rezistență obținute depind de dimensiunile inițiale ale fisurilor existente în corp. Aceste idei au la bază o imagine incorectă despre evoluția ruperii, considerând că dezvoltarea fisurilor are imediat un caracter catastrofal. În realitate, în construcțiile proiectate și dimensionate corect dezvoltarea fisurilor are la început un caracter stabil, dimensiunile fisurilor crescând continuu odată cu creșterea solicitărilor. Asta înseamnă că dacă în intervalul de variație a solicitărilor se asigură o dezvoltare stabilă a fisurilor, caracteristica de rezistență a corpului nu depinde de fapt de dimensiunile inițiale ale fisurilor.

2.3.4.1. Teoria lui GRIFFITH

([C10], [C45], [P6],[B9], [B10], [B11])

Se propune drept criteriu pentru extensia unei fisuri, egalitatea dintre variația de energie a câmpului de tensiuni elastice și energia superficială a suprafețelor libere create prin avansarea fisurii. Lucrul mecanic necesar pentru formarea unității de suprafață liberă se notează cu γ și se numește *densitatea de energie superficială* (sau energia superficială specifică); această mărime poate fi privită ca o constantă caracteristică pentru un material în condiții ambientale date. Ea poate fi apreciată folosind reprezentarea aproximativă ($\sigma = \sigma_r \sin 2\pi \frac{r-r_0}{r_0}$ [B57]), presupunând că $\sigma = 0$ la $r \geq 1,5 r_0$ – din cauza micșorării rapide a forțelor de aderență :

$$2\gamma = \int_{r_1}^{\infty} \sigma dr \approx \int_{\frac{1}{4}}^{\frac{1}{2}} \sigma_r \sin 2\pi \varepsilon \cdot r_0 d\varepsilon = \frac{\sigma_r \cdot r_0}{2\pi} \approx 0,01 E r_0. \quad (2.3.4.1)$$

Din condiția echilibrului energetic aleasă drept criteriu de extensie a fisurii :

$$dW = -d\pi \Rightarrow \frac{\partial}{\partial l}(W + \pi) = 0, \quad (2.3.4.2)$$

pentru cazul tracțiunii uniforme a planului cu tensiunea p când :

$$W = -\left(1 - \nu^2\right) \frac{\pi \ell^2 p^2}{E} ; \quad \pi = 4\ell\gamma \quad (2.3.4.3)$$

se obține formula lui Griffith.

Din această relație, pentru o lungime ℓ dată se poate determina tensiunea critică $p = p_c$ care duce la creșterea fisurii. Dar odată cu creșterea lungimii ℓ tensiunea critică scade, deci mai departe se produce o propagare intempestivă a fisurii (asemenea fisuri se numesc neechilibrate). Din (2.3.3.24) rezultă că pentru un material dat:

$$p\sqrt{\pi\ell} = \sqrt{\frac{2E\gamma}{1-\nu^2}} = \text{const.} \quad (2.3.4.4)$$

Pentru materialele fragile această dependență de tipul $p_c \approx 1/\sqrt{l}$ este confirmată experimental (v. experiențele cu epruvete din sticlă ale lui Griffith ([B57])). Dar în cazul în care ruperea este însoțită de apariția unor deformații plastice, abaterile cantitative sunt relativ mari.

În felul acesta *criteriul energetic al lui Griffith* are următoarea formulare: *ruperea se dezvoltă dacă intensitatea energetică care se eliberează atinge valoarea critică.*

2.3.4.2. Corecții plastice. Teoria lui IRWIN și OROWAN

([C6], [C10], [C45], [B10], [B14])

Experimental s-a constatat că la suprafața fisurii este aderent un strat subțire de metal deformat plastic care atinge câteodată 0,2... 2,4 mm. În acest caz lucrul mecanic consumat pentru deformarea plastică a unității de suprafață a acestui strat este cu câteva ordine de mărime mai mare decât energia specifică superficială γ a ruperii ideal-fragile.

După cum au propus în 1952 Orowan și Irwin, se poate ține cont de lucrul mecanic plastic în cadrul aceleiași scheme a lui Griffith dacă se atribuie energiei superficiale un sens mai larg, considerând că este formată din energia de suprafață a ruperii fragile γ și lucrul mecanic al deformațiilor plastice γ_p . Atunci formula lui Griffith are forma:

$$p^2 = \frac{2E(\gamma + \gamma_p)}{\pi(1 - \nu^2)l} \quad (2.3.4.5)$$

Este interesant de a sublinia că pentru metale $\gamma_p \gg \gamma$ (de exemplu pentru oțel $\gamma_p \approx 10^3 \cdot \gamma$), ceea ce explică rezistența sporită a metalelor față de ruperea fragilă. În felul acesta lărgirea teoriei permite să se includă într-o formă unitară și ruperile denumite cvazifragile sau fragile-vâscoase.

Discutarea amănunțită a limitelor de utilizare a acestui model se poate găsi în lucrările lui V.V. NOVOJLOV [N22], [N23], [N24].

2.3.4.3. Criteriul lui IRWIN

([K6], [K7], [B60])

Unei relații de tipul:

$$dW = \frac{1}{2} \int_{d\Sigma_+} X_{ni}^+ [\Delta u_i] dS$$

se poate da o formă structurală de tipul

$$dW = - \mathcal{F} \cdot d\Sigma_+ \quad (2.3.4.6)$$

unde factorul \mathcal{F} este finit și depinde de dimensiunile fisurii, de forma corpului, de condițiile la limită și de constantele elastice. De exemplu, din formula (2.3.64) se poate deduce că :

$$\mathcal{F} = \frac{K_I^2}{4G} (\Lambda + 1) \quad (2.3.4.7)$$

sau din (2.3.3.19) \Rightarrow

$$\mathcal{F} = \frac{K_{II}^2}{4G} (\Lambda + 1) ; \text{ etc.} \quad (2.3.4.8)$$

Pentru cazul unei fisuri simetrice care se propagă în ambele părți, din faptul că $d\pi = 4\gamma d\ell$ se găsește condiția lui Griffith pentru propagarea fisurii sub forma :

$$\frac{\partial W}{\partial \ell} = - 4\gamma . \quad (2.3.4.9)$$

Cu notația $d\Sigma_+ = 2d\ell$ condiția precedentă se scrie sub forma :

$$\mathcal{F} = 2\gamma . \quad (2.3.4.10)$$

Pe de altă parte soluțiile prezentate în § 2.3.2. arată că factorul \mathcal{F} are structura:

$$\mathcal{F} = cK^2 , \quad (2.3.4.11)$$

unde K este coeficientul de intensitate a tensiunilor, iar c depinde numai de constantele elastice.

Din (2.3.4.10) și (2.3.4.11) reiese imediat că :

$$K = \sqrt{\frac{2\gamma}{c}} = K_c . \quad (2.3.4.12)$$

Aceasta este cunoscuta **formulă a lui Irwin**, care înlocuiește criteriul energetic global al lui Griffith cu niște condiții “*de forță*” la vârful fisurii. În felul acesta raportul K^2 / G se poate trata ca și o forță de extensie a fisurii. Fisura începe să se propage atunci când forța K atinge valoarea critică K_c , caracteristică pentru materialul dat, criteriul de rupere având în acest caz un caracter local. În fond, condiția lui Griffith și criteriul lui Irwin sunt echivalente; ultimul este mai comod în aplicații deoarece analiza se face într-o vecinătate a vârfului fisurii și se poate astfel aprecia pericolul de rupere după intensitatea corespunzătoare a stării de tensiune. *Deși experimental nu se confirmă că K_c este o caracteristică riguros constantă de material, criteriul lui Irwin este mai bun decât alți parametri care caracterizează tenacitatea ruperii, respectiv sensibilitatea materialului la concentrația tensiunilor.*

Valoarea critică K_c care caracterizează o stare periculoasă în vârful fisurii poate fi determinată experimental pe epruvete speciale cu creștături, în funcție de diferiți factori: temperatură, viteză de solicitare, mediu ambiant etc. De obicei se încearcă epruvete plate care au o fisură centrală la care în regim subcritic se măsoară creșterea lungimii cu creșterea solicitării. Aceste date permit determinarea lui K_c . Se precizează însă că în cazul deformațiilor plastice mari în vârful fisurii, obținerea unor valori corecte pentru K_c este destul de greoaie.

Detalii asupra cercetărilor experimentale și a utilizării acestor rezultate se dau în [C45] și STAS 9760-84. Se pot cerceta de asemenea și STAS E 12803-90, ASTM E 813-87, ASTM E 1290-89.

2.3.4.4. Modelul lui G. I. BARENBLATT

([B9], [B10], ..., [B18])

Dacă se analizează problema tracțiunii planului cu fisură, atunci imaginea deplasărilor v (la $\theta = \pm\pi$) depinde esențial de semnul lui K_I . De exemplu, în Fig. 2.3.4.1 s-au reprezentat marginile fisurii după deformație. Pentru $K_I = 0$ tensiunile sunt finite și marginile fisurii formează un vârf. Dacă $K_I > 0$, tensiunile sunt finite și după solicitare, capătul fisurii are o formă netedă; cazul $K_I < 0$ nu are sens fizic.

Trebuie să se sublinieze că aceste rezultate sunt o consecință a utilizării teoriei liniare a elasticității în epicentrul deformațiilor mari și nu sunt în concordanță cu tabloul fizic real din vârful fisurii. Încă Griffith în 1920 a presupus că imaginile fisurii sub influența forțelor mari de aderență, de ordinul rezistenței teoretice, trebuie să se închidă perfect, formând un vârf (cazul a, Fig. 2.3.4.1).

Mai mult, în materialele reale imaginea frontului fisurii este foarte complicată din cauza unor defecte diferite, unele dintre ele aflându-se chiar în punctele de propagare.

De aceea modelul propus de Barenblatt încearcă să țină cont de forțele de aderență, rămânând însă în cadrul teoriei liniare a elasticității. Se presupune că într-o zonă mică de lungime a ($a \ll l$) de la vârful fisurii (Fig. 2.3.4.2) acționează forțele de aderență $Q(x)$ a căror distribuție în general nu este cunoscută. Se mai postulează că în starea limită configurația frontului fisurii nu depinde de sarcinile date și pentru un material dat, în condiții de experimentare date, este totdeauna aceeași. Fisurile au forma din Fig. 2.3.4.1.a), tensiunile din

vârful fisurii sunt finite, iar noul coeficient de intensitate a tensiunilor este $K_I' = 0$. Deci, în formula (2.3.36) $p(\xi)$ este de forma:

$$\begin{cases} p(\zeta) & , \text{dacă } 0 \leq |\zeta| < l-a \\ p(\zeta) - Q(\zeta) & , \text{dacă } l-a \leq |\zeta| < l \end{cases} \quad (2.3.4.13)$$

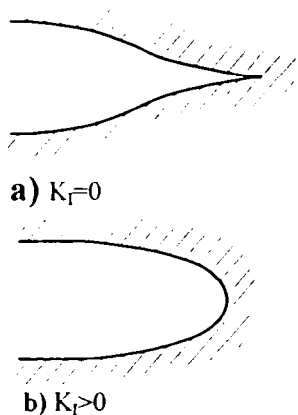


Fig.2.3.4.1

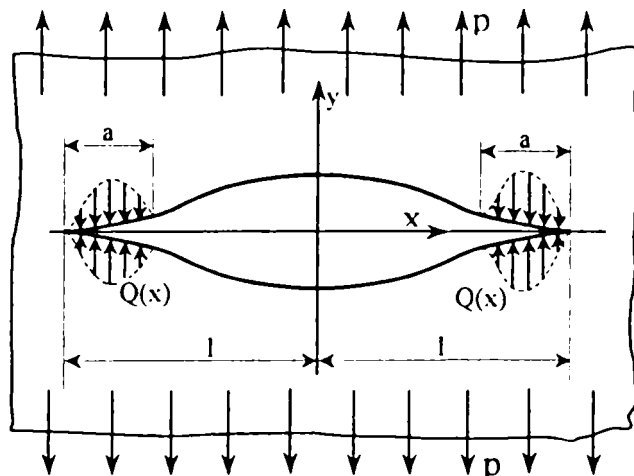


Fig. 2.3.4.2

Condiția $K_I' = 0$ are următoarea formă desfășurată:

$$\int_{-l}^l p(\zeta) \sqrt{\frac{l+\zeta}{l-\zeta}} d\zeta - \int_{l-a}^l Q(\zeta) \sqrt{\frac{l+\zeta}{l-\zeta}} d\zeta - \int_{-l}^{-l+a} Q(\zeta) \sqrt{\frac{l+\zeta}{l-\zeta}} d\zeta = 0 \quad (2.3.4.14)$$

Prima integrală a fost calculată și este egală cu $K_I \sqrt{\pi l}$. A doua integrală, dacă se înlocuiește $l - \zeta = \xi$ și $l + \zeta \cong 2l$, va avea formula:

$$\sqrt{2l} \int_0^a \frac{Q(l-\xi)}{\sqrt{\xi}} d\xi = \sqrt{2l} K \quad (2.3.4.15)$$

Mărimea K se numește **coeficient de aderență** și poate fi considerată ca o constantă de material.

A treia integrală este mică în comparație cu celelalte două și se neglijează. Rezultă:

$$K = \sqrt{\frac{\pi}{2}} K_I \quad (2.3.4.16)$$

Deci, în cadrul teoriei liniare a elasticității în ipoteza $a \ll l$ modelul lui Barenblatt formal este echivalent cu criteriul lui Irwin. Pentru corpurile elastice este preferată schema lui Irwin, deoarece utilizează o caracteristică stabilă și nu introduce ipoteze suplimentare despre condiții locale în domenii de limită. Utilitatea modelului lui Barenblatt constă în posibilitățile de analiză mai detaliată a stării din vârful fisurii, în particular la analiza proceselor variabile.

2.3.4.5. Modelul elasto-plastic al lui DUGDALE D.S. și MUSHELIȘVILI N.I. ([D38], [D39], [M70])

Puținele date experimentale și soluții analitice care există în acest domeniu atestă faptul că zonele plastice au în general o configurație foarte complicată.

Cu toate acestea pentru aplicații sunt utile soluțiile obținute prin schematizarea domeniului elasto-plastic cu zonele plastice degenerate de diverse forme.

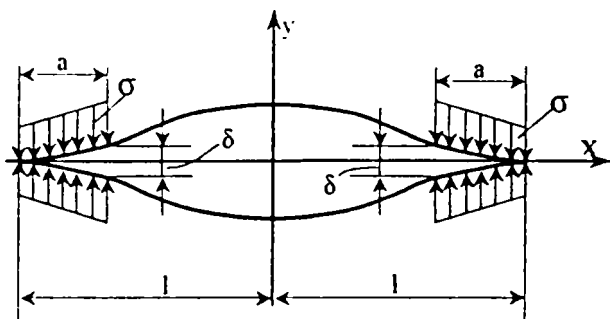


Fig. 2.3.4.3

As fel, modelul propus 'e Dug'a'e, utilizând ecuațiile lui Mushelişvili, admite că în domeniul de capăt al fisurii se poate considera o zonă îngustă plastică de lungime a (Fig.2.3.4.3).

Tensiunea σ_y în această zonă este constantă și egală cu limita de curgere σ_c (conform condiției de plasticitate a lui Tresca).

În acest context problema se reduce la construirea soluției pentru planul cu fisură cu zone de capăt determinate solicitate de tensiunile constante $\sigma_y = \sigma_c$.

O problemă mult mai generală de același tip a fost rezolvată în paragraful precedent. Aici, considerând $Q(\xi) = \sigma_c$, se obține:

$$\sqrt{\pi \ell} K_I - \sigma_c \int_{-a}^{\ell} \sqrt{\frac{\ell + \xi}{\ell - \xi}} d\xi - \sigma_c \int_{-\ell}^{-a} \sqrt{\frac{\ell + \xi}{\ell - \xi}} d\xi = 0, \quad (2.3.4.17)$$

de unde:

$$\sqrt{\pi \ell} K_I - 2\sigma_c \ell \arccos\left(1 - \frac{a}{\ell}\right) = 0, \quad (2.3.4.18)$$

care determină lungimea a a zonei plastice. De exemplu, pentru placa solicitată la tracțiune la infinit uniform cu $p(\xi) = p = \text{const.}$ cu $K_I = p\sqrt{\pi \ell}$ se obține:

$$\frac{a}{\ell} = 1 - \cos \frac{\pi p}{2\sigma_c}. \quad (2.3.4.19)$$

Experiențele au confirmat formarea unei asemenea zone plastice înguste pentru metalele care au o limită de curgere pronunțată, iar măsurătorile pentru zonele plastice făcute de Dugdale ș.a sunt în concordanță cu calculele.

Deplasarea verticală pentru $y = 0$ și $x = \ell - a$ se poate calcula cu formulele din paragrafele precedente:

$$2v = \frac{\Lambda + 1}{2G} (\text{Im } \tilde{Z}_1)_{y=0, x=\ell-a}. \quad (2.3.4.20)$$

De aici se poate calcula distanța dintre marginile fisurii, la începutul zonei plastice ("deschiderea" δ , v. Fig.2.3.4.3). Efectuând calculele se obține:

$$\delta = \frac{(\Lambda + 1)\ell \sigma_c}{\pi G} \left(1 - \frac{a}{\ell}\right) \ln\left(1 - \frac{a}{\ell}\right)^{-1} \quad (2.3.4.21)$$

Această deschidere δ se alege de obicei în calitate de criteriu de producere a ruperii: fisura crește și conduce la rupere când deschiderea atinge valoarea critică δ_c ; ea devine astfel o caracteristică de rezistență a materialului.

La fisuri de lungime mare, cu tensiuni relativ mici, pentru :

$$\bar{\delta} = \delta / [(\Lambda + 1) \cdot \ell \sigma_c / \pi G] \ll 1, \quad p / \sigma_c \ll 1$$

se obține $a / \ell \ll 1$. Dacă se dezvoltă în serie relația (2.3.4.21) și se rețin numai primii termeni, presupunând $\delta = \delta_c$ se obține :

$$p \sqrt{\pi \ell} = \sqrt{E \sigma_c \delta_c}, \quad (2.3.4.22)$$

complet analoagă cu criteriul lui Irwin. Astfel noua caracteristică de material δ_c se reduce la cea anterioară K_c .

În literatură se găsesc și alte modele: WELLS, LEONOV și PANASIUK [P7],[P12],[P15].

§ 2.4. PROBLEME TEST („BENCHMARKS”)

Pentru a putea verifica o serie de programe noi sau de generalizări a unor rezultate parțiale, voi prezenta în continuare unele probleme clasice – pe care le-am denumit “*probleme test*” – pentru care se poate da o soluție analitică completă. La unele din aceste probleme am dat mai multe metode de rezolvare iar *pe altele le-am generalizat obținând rezultate noi, originale.*

2.4.1. Problema test Nr. I: Problema KIRSCH*

Așa numita “*problemă Kirsch*” se ocupă cu cercetarea influenței pe care un orificiu circular de diametru $2a$ o are asupra distribuției tensiunilor din zona slăbită în cazul unei plăci dreptunghiulare (teoretic infinită) solicitată la tracțiune de o tensiune uniform distribuită la infinit σ_0 (notată uneori și σ_∞ sau p). (v. Fig. 2.4.1.1). Particularitatea acestei probleme constă în faptul că în zonele îndepărtate de orificiu (“teoretic la infinit”) condițiile de frontieră privind câmpul de tensiuni sunt mai bine exprimate în coordonate carteziene, pe când cele din jurul orificiului trebuie scrise în coordonate polare.

Să presupunem că avem o placă teoretic infinită de secțiune dreptunghiulară constantă A , solicitată la tracțiune de o tensiune uniform distribuită pe fețele ei de capăt, de valoare σ_0 (v. Fig. 2.4.1.1a).

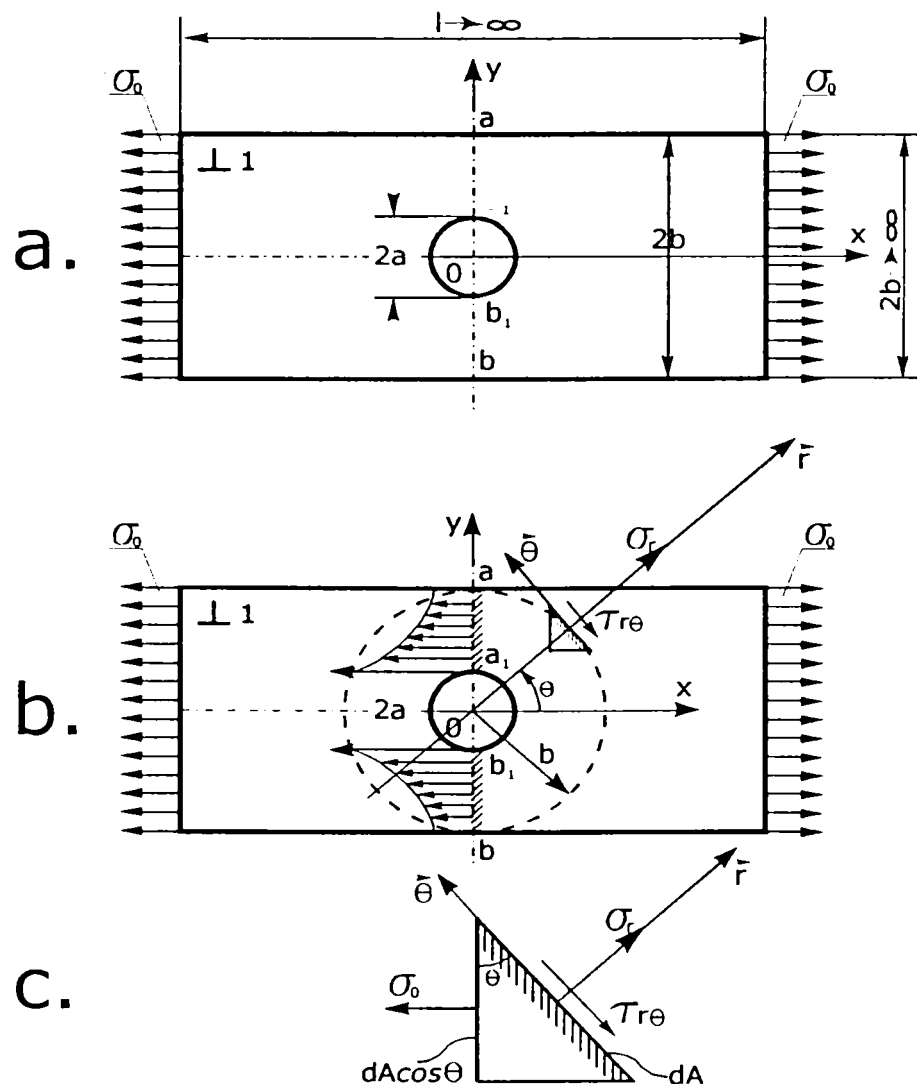


Fig. 2.4.1.1

* KIRSCH în “Zeitschr.d.Ver.d.Ing., 1898.

Pe axa Ox placa are un orificiu circular de diametru $2a \ll 2b$. Existența acestui orificiu va influența distribuția tensiunilor din zonă, astfel încât în secțiunea $a-b$ tensiunile vor fi distribuite neuniform, având loc o concentrare pronunțată în punctele $a_1 - b_1$.

Rezolvarea problemei o vom face printr-un mic artificiu de calcul. Astfel, vom decupa (vom izola) din placă un corp cilindric, cu ajutorul unei suprafețe cilindrice concentrice cu orificiul, având raza exterioară egală cu b . În continuare vom examina starea de tensiune a acestui corp, independent de restul plăcii. În felul acesta în loc să calculăm placa, am redus problema la calculul unui inel cu pereți groși (cu lățimea egală cu grosimea plăcii și egală eventual cu unitatea), problemă rezolvată în literatură, la "Calculul tuburilor cu pereți groși" [D19] [P47] [P48]. Pentru început trebuie să stabilim solicitările exterioare care lucrează pe fețele acestui inel. Aici vom aplica principiul lui Saint-Venant și vom considera că dacă dimensiunea b este mult mai mare decât a atunci tensiunile care lucrează pe suprafața cilindrică exterioară de rază b vor fi foarte puțin diferite de cele care ar apărea dacă placa nu ar avea nici un orificiu. În acest caz, acceptând această ipoteză, tensiunile de pe suprafața exterioară se pot calcula cu formulele de la tracțiunea monoaxială când s-au determinat tensiunile de pe o suprafață înclinată. Utilizând notațiile din Fig. 2.4.1.1.c) se obține, prin simple ecuații de proiecții:

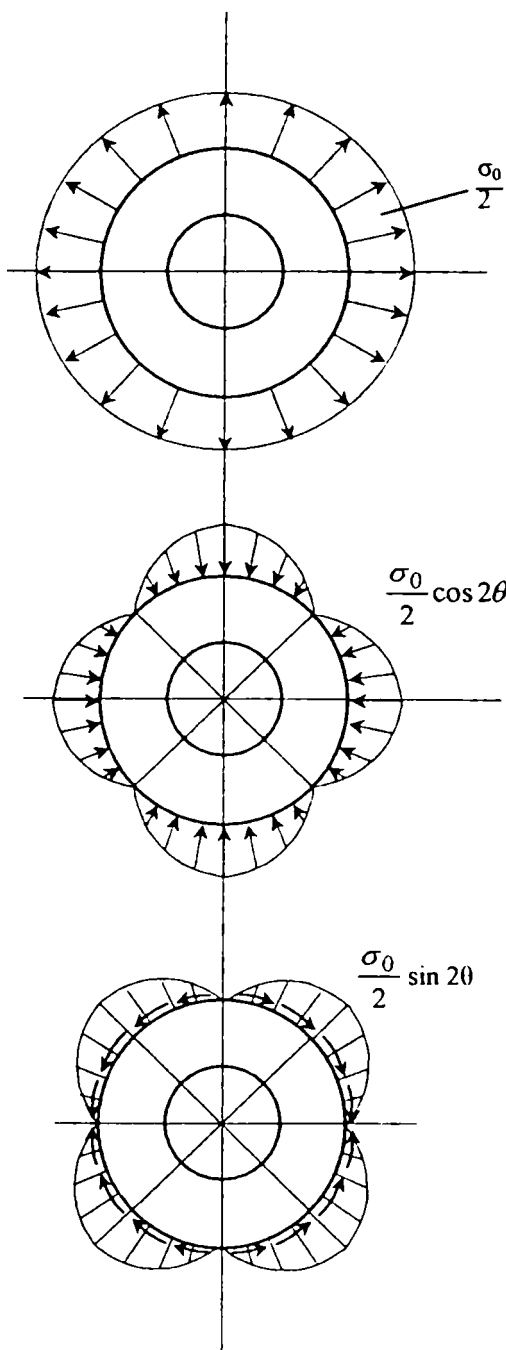


Fig. 2.4.1.2

$$\begin{cases} \sigma_r = \sigma_0 \cos^2 \theta = \frac{\sigma_0}{2} + \frac{\sigma_0}{2} \cos 2\theta \\ \sigma_\theta = \sigma_0 \sin^2 \theta = \frac{\sigma_0}{2} - \frac{\sigma_0}{2} \cos 2\theta \\ \tau_{r,\theta} = -\sigma_\theta \sin \theta \cos \theta = -\frac{\sigma_0}{2} \sin 2\theta \end{cases} \quad (2.4.1.1)$$

În acest caz condițiile la limită care se pot pune pentru inelul astfel decupat, sunt evidente:

- pentru $r = R_i = a \Rightarrow \sigma_r = 0, \tau_{r,\theta} = 0$
(fața interioară este nesolicitată)

- pentru $r = R_e = b \Rightarrow$

$$\sigma_r = \frac{1}{2} \sigma_0 (1 + \cos 2\theta), \quad \tau_{r,\theta} = -\frac{\sigma_0}{2} \sin 2\theta.$$

Mergem mai departe cu artificii, regroupând tensiunile exterioare și vom considera că pe suprafața exterioară a inelului forțele pot fi descompuse în două părți: prima – datorită acțiunii componentei constante pe întregul perimetru exterior egală cu $\sigma_0/2$; a doua formată din componentele normale

$$\sigma_r = \frac{\sigma_0}{2} \cos 2\theta \text{ și tangențiale } \tau_{r,\theta} = -\frac{\sigma_0}{2} \sin 2\theta.$$

O schemă simbolică pentru aceste regroupări este dată în Fig. 2.4.1.2.

Primul caz este rezolvat la studiul tuburilor cu pereți groși solicitați la presiune exterioară (v. I. DOBRE [D19] p.225). S-au obținut tensiunile:

$$\begin{cases} \sigma_r = \frac{\sigma_0}{2} \frac{R_e^2}{R_e^2 - R_i^2} \left(1 - \frac{R_i^2}{r^2}\right) = \frac{\sigma_0}{2} \frac{b^2}{b^2 - a^2} \left(1 - \frac{a^2}{r^2}\right) \\ \sigma_\theta = \frac{\sigma_0}{2} \frac{R_e^2}{R_e^2 - R_i^2} \left(1 + \frac{R_i^2}{r^2}\right) = \frac{\sigma_0}{2} \frac{b^2}{b^2 - a^2} \left(1 + \frac{a^2}{r^2}\right) \\ \tau_{r\theta} = 0 \end{cases} \quad (2.4.1.2)$$

Tensiunile produse de cel de-al doilea caz de încărcare trebuie să le determinăm. Pentru aceasta vom utiliza metoda generală a separării variabilelor, alegând o funcție Airy de forma:

$$F(r, \theta) = f(r) \cdot \cos 2\theta \quad (2.4.1.3)$$

căreia îi impunem condiția ca să satisfacă ecuația de continuitate. Forma acestei funcții de tensiune, este sugerată de rezultatele generale obținute în "Fizica matematică" la studiul ecuației lui Laplace, dacă se rețin numai termenii ce conțin ca factor pe $\cos 2\theta$, factor care apare în mod constant în expresiile tensiunilor.

Calculând derivatele parțiale necesare, obținem:

$$\begin{cases} \frac{\partial F}{\partial r} = f'(r) \cdot \cos 2\theta ; \\ \frac{\partial^2 F}{\partial r^2} = f''(r) \cdot \cos 2\theta ; \\ \frac{\partial^3 F}{\partial r^3} = f'''(r) \cdot \cos 2\theta ; \\ \frac{\partial^4 F}{\partial r^4} = f^{IV}(r) \cdot \cos 2\theta \end{cases} \quad \begin{cases} \frac{\partial F}{\partial \theta} = -2f(r) \cdot \sin 2\theta ; \\ \frac{\partial^2 F}{\partial \theta^2} = -4f(r) \cdot \cos 2\theta ; \\ \frac{\partial^3 F}{\partial \theta^3} = 8f(r) \cdot \sin 2\theta ; \\ \frac{\partial^4 F}{\partial \theta^4} = 16f(r) \cdot \cos 2\theta ; \end{cases} \quad (2.4.1.4)$$

$$\begin{cases} \frac{\partial^3 F}{\partial r^2 \partial \theta} = -2f''(r) \cdot \sin 2\theta ; \\ \frac{\partial^3 F}{\partial r \partial \theta^2} = -4f'(r) \cdot \cos 2\theta \end{cases} \quad \frac{\partial^4 F}{\partial r^2 \partial \theta^2} = -4f''(r) \cdot \cos 2\theta$$

Ecuția de continuitate devine:

$$f^{IV}(r) + \frac{2}{r} f'''(r) - \frac{9}{r^2} f''(r) + \frac{9}{r^3} f'(r) = 0 \quad (2.4.1.5)$$

Făcând schimbarea de variabilă $r = e^t \Rightarrow t = \ln r$ ecuația precedentă obține forma:

$$\frac{d^4 f}{dt^4} - 4 \frac{d^3 f}{dt^3} - 4 \frac{d^2 f}{dt^2} + 16 \frac{df}{dt} = 0 \quad (2.4.1.6)$$

Ecuția caracteristică $\lambda^4 - 4\lambda^3 - 4\lambda^2 + 16\lambda = 0$ are rădăcinile: $\lambda_1 = 0$; $\lambda_2 = 4$; $\lambda_3 = 2$; $\lambda_4 = -2$. Deci:

$$f(t) = Ae^{4t} + Be^{2t} + Ce^{0t} + De^{-2t}$$

sau, revenind la variabila r :

$$f(r) = Ar^4 + Br^2 + C + \frac{D}{r^2} \quad (2.4.1.7)$$

Funcția lui Airy este atunci de forma:

$$F(r, \theta) = \left(Ar^4 + Br^2 + C + \frac{D}{r^2} \right) \cos 2\theta \quad (2.4.1.8)$$

Se pot acum calcula tensiunile care, exprimate cu ajutorul funcției Airy, au forma :

$$\sigma_r = \frac{1}{r} \cdot \frac{\partial F}{\partial r} + \frac{1}{r^2} \cdot \frac{\partial^2 F}{\partial \theta^2} \quad ; \quad \sigma_\theta = \frac{\partial^2 F}{\partial r^2} \quad ; \quad \tau_{r\theta} = -\frac{\partial}{\partial r} \left(\frac{1}{r} \frac{\partial F}{\partial \theta} \right) \quad (2.4.1.9)$$

Rezultă :

$$\left. \begin{aligned} \sigma_r &= -2 \left(B + \frac{2C}{r^2} + \frac{3D}{r^4} \right) \cos 2\theta \\ \sigma_\theta &= 2 \left(6Ar^2 + B + \frac{3D}{r^4} \right) \cos 2\theta \\ \tau_{r\theta} &= 2 \left(3Ar^2 + B - \frac{C}{r^2} - \frac{3D}{r^4} \right) \sin 2\theta \end{aligned} \right\} \quad (2.4.1.10)$$

Cele patru constante de integrare se determină din condițiile la limită, care explicitate au forma:

$$\begin{aligned} \text{I. pentru } r = a, \sigma_r = 0 \quad (\forall \theta \in [0, 2\pi]) &\Rightarrow B + \frac{2C}{a^2} + \frac{3D}{a^4} = 0 \\ \text{II. pentru } r = b \text{ și } \theta = 0 &\Rightarrow \sigma_r = \frac{\sigma_0}{2} \Rightarrow B + \frac{2C}{b^2} + \frac{3D}{b^4} = -\frac{\sigma_0}{4} \quad (2.4.1.11) \\ \text{III. pentru } r = a, \tau_{r\theta} = 0 \quad (\forall \theta \in [0, 2\pi]) &\Rightarrow 3Aa^2 + B - \frac{C}{a^2} - \frac{3D}{a^4} = 0 \\ \text{IV. pentru } r = b \text{ și } \theta = \frac{\pi}{4} &\Rightarrow \tau_{r\theta} = -\frac{\sigma_0}{2} \Rightarrow 3Ab^2 + B - \frac{C}{b^2} - \frac{3D}{b^4} = -\frac{\sigma_0}{4} \end{aligned}$$

Sistemul (2.4.1.11) se rezolvă imediat dacă vom ține cont că b este foarte mare, teoretic $b \rightarrow \infty$ (de altfel în cărțile de elasticitate (v. BEZUHOV [B40]), se impune inițial ca $\frac{a}{b} \rightarrow 0$). În acest caz din ecuația a doua rezultă $B = -\sigma_0/4$ iar din ultima ecuație $A = 0$. Sistemul (2.4.1.11) devine:

$$\left\{ \begin{aligned} \frac{2C}{a^2} + \frac{3D}{a^4} &= \frac{\sigma_0}{4} \\ -\frac{C}{a^2} - \frac{3D}{a^4} &= \frac{\sigma_0}{4} \end{aligned} \right. \Rightarrow \left\{ \begin{aligned} C &= \frac{\sigma_0}{2} a^2 \\ D &= -\frac{\sigma_0}{4} a^4 \end{aligned} \right. \quad (2.4.1.12)$$

Înlocuind aceste constante în (2.4.1.10) se obțin valorile căutate ale tensiunilor, pentru cel de-al doilea caz de încărcare studiat:

$$\left. \begin{aligned} \sigma_r &= \frac{\sigma_0}{2} \left(1 - 4\frac{a^2}{r^2} + 3\frac{a^4}{r^4} \right) \cos 2\theta \\ \sigma_\theta &= -\frac{\sigma_0}{2} \left(1 + 3\frac{a^4}{r^4} \right) \cos 2\theta \\ \tau_{r\theta} &= -\frac{\sigma_0}{2} \left(1 + 2\frac{a^2}{r^2} - 3\frac{a^4}{r^4} \right) \sin 2\theta \end{aligned} \right\} \quad (2.4.1.13)$$

Să ne întoarcem la expresiile tensiunilor (2.4.1.2) produse de tracțiunea uniformă $\sigma_0/2$; dacă facem $b \rightarrow \infty$, ele devin :

$$\sigma_r = \frac{\sigma_0}{2} \left(1 - \frac{a^2}{r^2} \right) \quad ; \quad \sigma_\theta = \frac{\sigma_0}{2} \left(1 + \frac{a^2}{r^2} \right) \quad ; \quad \tau_{r\theta} = 0 \quad (2.4.1.14)$$

Prin suprapunerea celor două soluții, (2.4.1.13) și (2.4.1.14), se obține distribuția tensiunilor în placă (*soluția problemei Kirsch în coordonate polare*):

$$\left. \begin{aligned} \sigma_r &= \frac{\sigma_0}{2} \left(1 - \frac{a^2}{r^2} \right) + \frac{\sigma_0}{2} \left(1 - 4 \frac{a^2}{r^2} + 3 \frac{a^4}{r^4} \right) \cos 2\theta \\ \sigma_\theta &= \frac{\sigma_0}{1} \left(1 + \frac{a^2}{r^2} \right) - \frac{\sigma_0}{2} \left(1 + 3 \frac{a^4}{r^4} \right) \cos 2\theta \\ \tau_{r\theta} &= -\frac{\sigma_0}{2} \left(1 + 2 \frac{a^2}{r^2} - 3 \frac{a^4}{r^4} \right) \sin 2\theta \end{aligned} \right\} \quad (2.4.1.15)$$

Reprezentarea grafică a relațiilor (2.4.1.15) ilustrează variația tensiunilor în placă.

a) Variația tensiunii normale radiale σ_r

În lungul axei Ox (pentru $\theta = 0$) tensiunea σ_r devine:

$$\sigma_r = \sigma_0 \left(1 - \frac{5a^2}{2r^2} + \frac{3a^4}{2r^4} \right) \quad (2.4.1.16)$$

Pe conturul orificiului în punctul $r = a$ (pct. 1, Fig.2.4.1.2) $\sigma_{r(1)} = \sigma_0 \left(1 - \frac{5}{2} + \frac{3}{2} \right) = 0$. În punctul 2 de pe axa Ox, foarte îndepărtat de orificiu ($r \rightarrow \infty$) obținem: $\sigma_{r(2)} = \sigma_0 (1 - 0 + 0) = \sigma_0$. Reprezentarea grafică este făcută în Fig.2.4.1.3; atenție însă, în această reprezentare se dă numai variația mărimii tensiunii pentru $\theta=0$, pe măsură ce ne îndepărtăm de gaură; sensul tensiunii este cel indicat pe elementul de volum desenat deasupra diagramei, ea fiind orientată după axa Ox.

În lungul axei Oy (pentru $\theta = \frac{\pi}{2}$) vom avea :

$$\sigma_r = \frac{3\sigma_0}{2} \cdot \frac{a^2}{r^2} \left(1 - \frac{a^2}{r^2} \right) \quad (2.4.1.17)$$

În punctul 3, pentru $r = a \Rightarrow \sigma_{r(3)} = 0$; analog în punctul 4, pentru $r \rightarrow \infty \Rightarrow \sigma_{r(4)} = 0$. Valoarea maximă se obține anulând derivata de ordinul întâi:

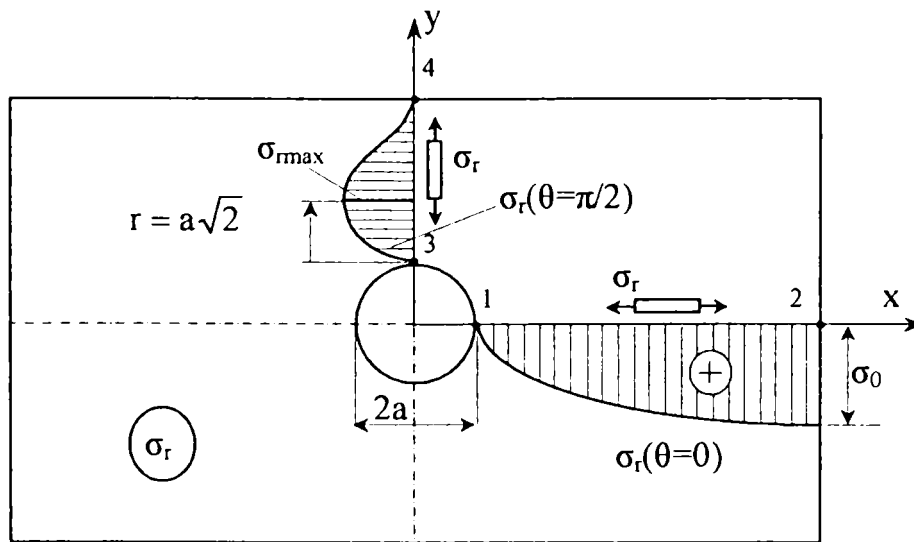


Fig. 2.4.1.3

$$\frac{d\sigma_r}{dr} = \frac{3\sigma_0 a^2}{2} \left(-\frac{2}{r^3} + \frac{4a^2}{r^5} \right) = 0 \Rightarrow r = a\sqrt{2}$$

$$\sigma_{r_{\max}} = \frac{3\sigma_0}{2} \cdot \frac{a^2}{2a^2} \left(1 - \frac{a^2}{2a^2} \right) = \frac{3}{8}\sigma_0 \quad (2.4.1.18)$$

b) Variația tensiunii normale circumferențiale (σ_θ)

În lungul axei x ($\theta = 0$):

$$\sigma_\theta = \frac{\sigma_0}{2} \cdot \frac{a^2}{r^2} \left(1 - 3 \frac{a^2}{r^2} \right) \quad (2.4.1.19)$$

- punctul 1 (Fig. 2.4.1.4) $r = a, \Rightarrow \sigma_{\theta(1)} = -\sigma_0$

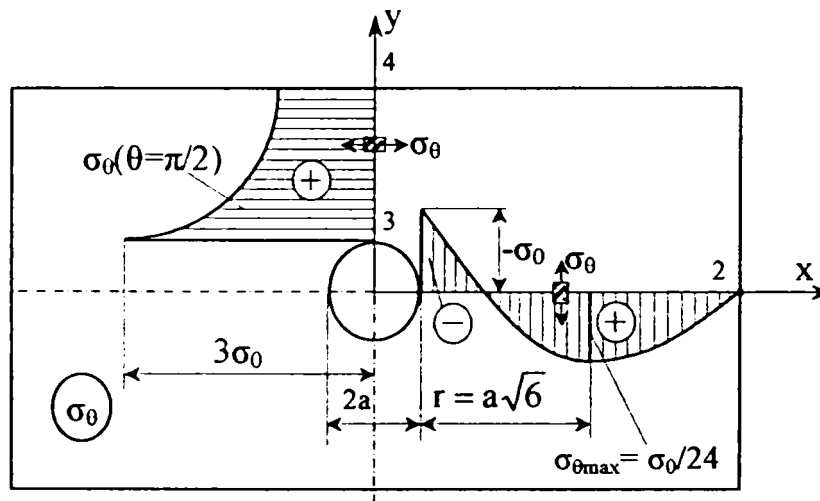


Fig. 2.4.1.4

- punctul 2, $r \rightarrow \infty \Rightarrow \sigma_{\theta(2)} = 0$

Tensiunea maximă se găsește analog, anulând derivata:

$$\frac{d\sigma_\theta}{dr} = \frac{\sigma_0 a^2}{2} \left(-\frac{2}{r^3} + \frac{3a^2 \cdot 4r^3}{r^8} \right) = 0 \Rightarrow r = a\sqrt{6}$$

$$\sigma_{\theta_{\max}} = \frac{\sigma_0}{2} \cdot \frac{a^2}{6a^2} \left(1 - 3 \frac{a^2}{6a^2} \right) = \frac{\sigma_0}{24} \quad (2.4.1.20)$$

În lungul axei y ($\theta = \frac{\pi}{2}$):

$$\sigma_\theta = \sigma_0 \left(1 + \frac{a^2}{2r^2} + \frac{3a^4}{2r^4} \right) \quad (2.4.1.21)$$

- punctul 3, $r = a \Rightarrow \sigma_{\theta(3)} = 3\sigma_0$ (cea mai mare valoare a tensiunilor care apar în placă);
- punctul 4, $r \rightarrow \infty \Rightarrow \sigma_{\theta(4)} = \sigma_0$.

Deci, pe conturul orificiului pentru $r = a$ (punctul 3 din Fig. 2.4.1.4), tensiunea σ_θ este de trei ori mai mare decât tensiunea medie σ_0 din placă. Expresia lui σ_θ arată că el descrește rapid și tinde către σ_0 , imediat ce se îndepărtează de marginea orificiului pe axa Oy.

Rezultatele obținute prezintă o importanță teoretică și practică deosebită, ele ilustrând și caracterizând cantitativ efectul de concentrare a tensiunilor pe marginea orificiului din placă; se justifică astfel necesitatea practică a consolidării marginilor acestor orificii.

Verificarea numerică și experimentală a acestor rezultate va fi făcută în capitolele 3 și 5.

2.4.2. Problema test Nr. II: Planul cu orificiu eliptic

Este una dintre cele mai cunoscute probleme din literatura de (M.R.), deoarece, dacă semi-axa mică a elipsei tinde la zero, se obține planul cu fisură – o problemă tipică pentru definirea conceptelor fundamentale ale acestei ramuri moderne a solidului deformabil. De-a lungul timpului această problemă a primit tot felul de soluții și a contribuit decisiv la dezvoltarea cercetărilor moderne de (M.R.), și astăzi existând numeroase lucrări științifice consacrate acestei probleme. Prima soluție a fost dată de Kolosov în 1909, apoi Inglis în 1913 – folosind coordonate curbilinii elipsoidale, Muskhelișvili în 1919 – utilizând transformarea conformă, Westergaard în 1939 cu o metodă originală în complex și Irwin în 1957 – care se ocupă în fapt de problema fisurii și introduce conceptul fundamental de „factor de intensitate a tensiunilor”.

SOLUȚIA LUI MUSHELIȘVILI (1919)

2.4.2.1. Transformarea conformă. Unele elemente de sinteză*

Fie z și ζ două variabile complexe legate între ele prin relația:

$$z = \omega(\zeta) \quad (2.4.2.1)$$

unde $\omega(\zeta)$ este o funcție uniformă și analitică într-un domeniu Ω oarecare din planul variabilei ζ . Prin această relație se pun în corespondență biunivocă punctele domeniului Ω din planul ζ cu punctele domeniului \mathcal{D} din planul z (v. Fig. 2.4.2.1); dacă această transformare realizează invarianța unghiurilor ea se numește **transformare conformă**. Se demonstrează că o funcție olomorfa cu derivata nenulă definește o transformare conformă.

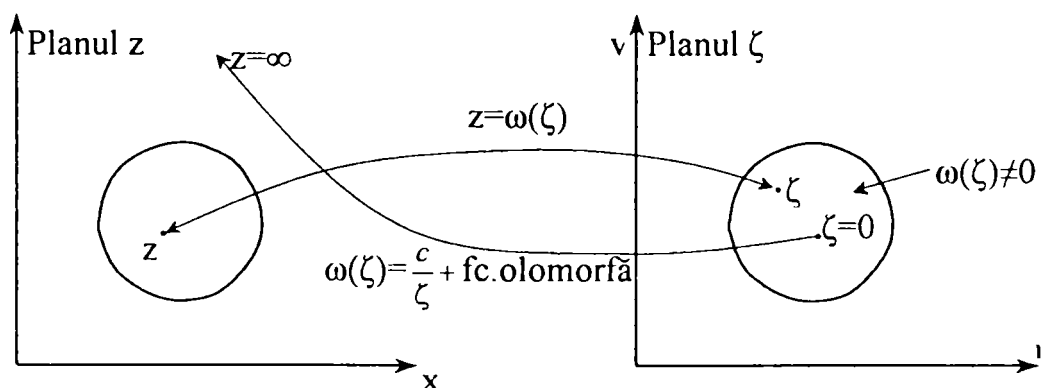


Fig. 2.4.2.1

Domeniile Ω și \mathcal{D} pot fi atât mărginite cât și nemărginite. Dacă, de exemplu, domeniul Ω este marginit iar domeniul \mathcal{D} nemărginit, atunci funcția $\omega(\zeta)$ trebuie să ia valoarea infinit pentru un punct din domeniul Ω , ceea ce înseamnă că funcția $\omega(\zeta)$ trebuie să aibă în acest punct un pol simplu. În particular, dacă punctului $z = \infty$ îi corespunde punctul $\zeta = 0$, funcția $\omega(\zeta)$ va trebui să fie de forma:

* O prezentare amănunțită a problemei se poate găsi în: V.I. SMIRNOV Vol. III, partea a II-a (p. 137-243)[S38]; D. HOMETCOVSCHI p. 167-211 [H34]; MUSHELIȘVILI [M69]

$$\omega(\zeta) = \frac{c}{\zeta} + \text{o funcție olomorfă}, \quad c = \text{const} \quad (2.4.2.1)$$

Alte singularități nu mai pot apărea în domeniul Ω deoarece corespondența nu ar mai fi univocă.

Întrebarea fundamentală care se pune este următoarea: Fiind date două domenii arbitrare Ω și \mathcal{D} se poate găsi totdeauna o funcție $\omega(\zeta)$ în așa fel încât relația (2.4.2.1) să fie tocmai reprezentarea lui \mathcal{D} pe Ω și reciproc? Răspunsul este pozitiv pentru foarte multe situații. De exemplu, să presupunem că domeniul Ω este un cerc de rază 1 cu centrul în origine, circumferința lui o vom nota cu γ . Așadar pe γ vom avea $|\zeta| = 1$. În cele ce urmează vom presupune că funcția $\omega(\zeta)$ este continuă împreună cu derivatele de ordinul întâi și doi.

$$\omega'(s) = \frac{d\omega(s)}{ds} \neq 0 \text{ peste tot pe } \gamma; \quad s = 1 \cdot e^{i\theta}$$

$$\omega''(s) = \frac{d\omega'(s)}{ds} \neq 0 \text{ peste tot în } \gamma \text{ și pe } \gamma$$

2.4.2.2. Coordonate curbilinii

Vom folosi reprezentarea conformă a domeniului dat \mathcal{D} din planul z pe un domeniu Ω din planul ζ care este fie un cerc, fie o coroană circulară, fie un plan infinit cu un orificiu circular; întotdeauna originea $\zeta = 0$ va fi luată în originea axelor de coordonate. În toate aceste cazuri este natural să introducem coordonatele polare (ρ, θ) în planul ζ notând $\zeta = \rho e^{i\theta}$. Dacă \mathcal{D} este un domeniu finit, mărginit de un contur închis L , iar Ω cercul de rază $\rho = 1$ cu centrul în punctul $\zeta = 0$ din planul ζ , atunci putem considera că punctele $z=0$ și $\zeta = 0$ se corespund prin aplicația ω (v. Fig. 2.4.2.2).

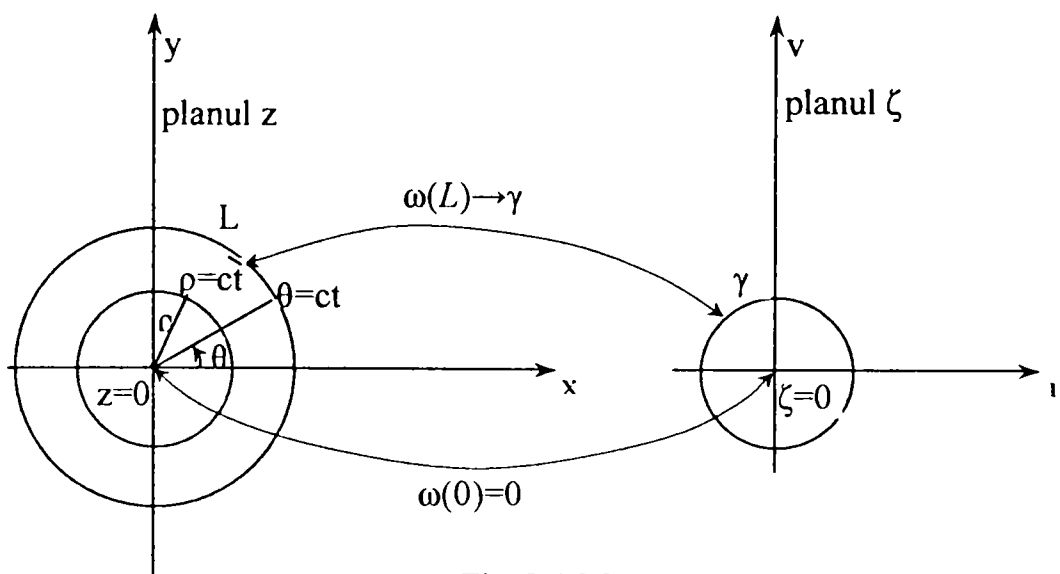


Fig. 2.4.2.2

În planul z curbele $\rho = \text{const.}$ sunt niște cercuri care înconjoară punctul $z=0$, iar curbele $\theta = \text{const.}$ sunt niște drepte radiale care ies toate din punctul $z=0$ și se termină pe conturul L . Conturul L însuși corespunde cercului γ cu $\rho = 1$ din planul ζ . Aceste familii de curbe sunt ortogonale. Mărimile ρ și θ pot fi considerate drept coordonate curbilinii ale punctelor (x,y) din planul z și corelația dintre ele este:

$$z = x + iy = \omega(\zeta) = \omega(\rho e^{i\theta}) \quad (2.4.2.3)$$

2.4.2.3. Componentele unui vector

Să considerăm un punct arbitrar în planul z ; prin punctul z ducem două curbe ortogonale care fac parte din familia de coordonate curbilinii. Notăm cu ρ vectorul tangent în z la curba $\theta = \text{const.}$; notăm cu $\bar{\theta}$ vectorul tangent în z la curba $\rho = \text{const.}$ Ambii vectori sunt dirijați în sensul creșterii coordonatelor respective.

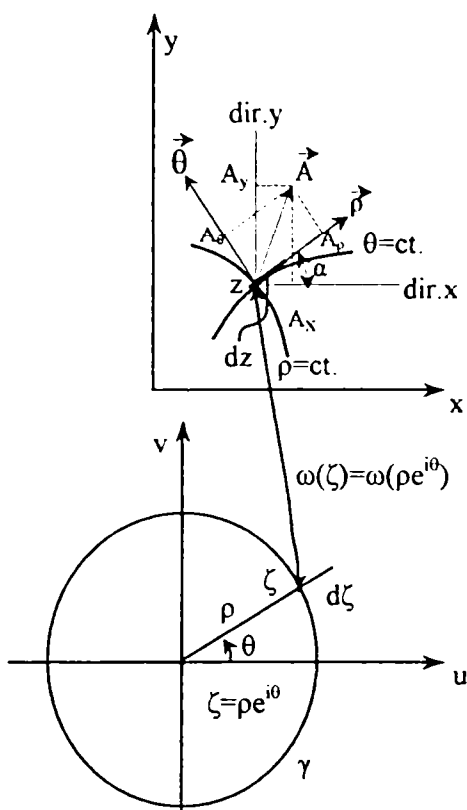


Fig. 2.4.2.3

Să considerăm în planul z un vector \vec{A} (v. Fig. 2.4.2.3) cu originea în punctul $z = \omega(\rho e^{i\theta})$. Componentele lui în cele două sisteme de coordonate sunt: $A(x, y)$ și $A(\rho, \theta)$. Legătura dintre ele este imediată:

$$A_\rho + iA_\theta = e^{-i\alpha} (A_x + iA_y) \quad (2.4.4.4)$$

unde α este unghiul pe care-l face vectorul \vec{A} cu axa Ox , considerat pozitiv în sens trigonometric. Pentru a calcula pe $e^{i\alpha}$ vom proceda astfel: Vom da punctului z o deplasare dz în sensul tangentei $\vec{\rho}$; atunci punctul corespunzător ζ va avea o deplasare radială $d\zeta$.

Prin urmare avem: $dz = e^{i\alpha} |dz|$; $d\zeta = e^{i\theta} |d\rho|$ de unde:

$$e^{i\alpha} = \frac{dz}{|dz|} = \frac{\omega'(\zeta) d\zeta}{|\omega'(\zeta)| |d\rho|} = e^{i\theta} \frac{\omega'(\zeta)}{|\omega'(\zeta)|} = \frac{\zeta}{\rho} \cdot \frac{\omega'(\zeta)}{|\omega'(\zeta)|} \quad (2.4.2.4)$$

$$e^{-i\alpha} = e^{-i\theta} \frac{\overline{\omega'(\zeta)}}{|\omega'(\zeta)|} = \frac{\bar{\zeta}}{\rho} \cdot \frac{\overline{\omega'(\zeta)}}{|\omega'(\zeta)|} \quad (2.4.2.6)$$

$$\Rightarrow A_\rho + iA_\theta = \frac{\bar{\zeta}}{\rho} \cdot \frac{\overline{\omega'(\zeta)}}{|\omega'(\zeta)|} (A_x + iA_y) \quad (2.4.2.7)$$

2.4.2.4. Transformarea formulelor Kolosov-Mushelișvili

Pentru transformarea formulelor lui Kolosov-Mushelișvili în funcție de noua variabilă ζ introdusă prin relația $z = \omega(\zeta)$, vom nota:

$$\varphi(\zeta) = \varphi[\omega(\zeta)]; \quad \psi(\zeta) = \psi[\omega(\zeta)] \quad (2.4.2.8)$$

Atunci

$$\varphi'(z) = \frac{d\varphi(\zeta)}{d\zeta} \frac{d\zeta}{dz} = \varphi'(\zeta) \cdot \frac{1}{\omega'(\zeta)} \quad (2.4.2.9)$$

$$\Rightarrow \phi(\zeta) = \frac{\varphi'(\zeta)}{\omega'(\zeta)}; \quad \Psi(\zeta) = \frac{\psi'(\zeta)}{\omega'(\zeta)} \quad (2.4.2.10)$$

$$\frac{\partial U}{\partial x} + i \frac{\partial U}{\partial y} = \varphi(\zeta) + \omega(\zeta) \frac{\overline{\varphi'(\zeta)}}{\omega'(\zeta)} + \overline{\psi(\zeta)} \quad (2.4.2.11)$$

În aceste condiții vom avea în final:

$$2G(u + iv) = \chi\varphi(\zeta) - \frac{\omega(\zeta)}{\omega'(\zeta)} \overline{\varphi'(\zeta)} - \overline{\psi(\zeta)} \quad |\zeta| \leq 1 \quad (2.4.2.12)$$

Pe baza relațiilor precedente (2.4.2.4), (2.4.2.5), (2.4.2.7) putem calcula componentele vectorului deplasare în coordonatele (ρ, θ) :

$$2G(u_\rho + iv_\theta) = \left[\frac{\zeta}{\rho} \frac{\overline{\omega'(\zeta)}}{|\omega'(\zeta)|} (u + iv) \right]$$

$$2G|\omega'(\zeta)|(u_\rho + iv_\theta) = \frac{\zeta}{\rho} \overline{\omega'(\zeta)} \left\{ \chi\varphi(\zeta) - \frac{\omega(\zeta)}{\omega'(\zeta)} \overline{\varphi'(\zeta)} - \overline{\psi(\zeta)} \right\} \quad (2.4.2.13)$$

Componentele tensiunilor, în coordonatele curbilinii considerate, se pot obține plecând de la formele cunoscute privind rotația sistemului de axe (x, y) cu unghiul α , astfel încât noua axă x' să coincidă cu axa $\bar{\rho}$, iar axa ortogonală y' să coincidă cu axa $\bar{\theta}$. Atunci, deoarece:

$$e^{2ix} = \frac{\zeta^2 [\omega'(\zeta)]^2}{\rho^2 |\omega'(\zeta)|^2} = \frac{\zeta^2 [\omega'(\zeta)]^2}{\rho^2 \omega'(\zeta) \cdot \overline{\omega'(\zeta)}} = \frac{\zeta^2 \omega'(\zeta)}{\rho^2 \overline{\omega'(\zeta)}} \quad (2.4.2.14)$$

se obține:

$$\sigma_{\rho\rho} + \sigma_{\theta\theta} = 2[\phi(\zeta) + \overline{\phi(\zeta)}] = 4 \operatorname{Re} \phi(\zeta) \quad (2.4.2.15)$$

$$\sigma_{\theta\theta} - \sigma_{\rho\rho} + 2i\tau_{r\theta} = \frac{2\zeta^2}{\rho^2 \overline{\omega'(\zeta)}} [\overline{\omega(\zeta)}\phi'(\zeta) + \omega'(\zeta)\Psi(\zeta)] \quad (2.4.2.16)$$

Prin scăderea relațiilor precedente obținem încă o formulă:

$$\sigma_{\rho\rho} - i\tau_{r\theta} = \phi(\zeta) + \overline{\phi(\zeta)} - \frac{\zeta^2}{\rho^2 \overline{\omega'(\zeta)}} [\overline{\omega(\zeta)}\phi'(\zeta) + \omega'(\zeta)\Psi(\zeta)] \quad (2.4.2.17)$$

care exprimă tensiunile ce acționează asupra conturului $\rho = \text{const.}$ produse de către domeniul exterior.

Notățiile sunt cele obișnuite (v. Anexa 3):

$$\varphi'(z) = \phi(z) \quad \Psi(z) = \psi'(z) \quad (2.4.2.18)$$

Să presupunem că avem de-a face cu domenii infinite: domeniul infinit \mathcal{D} reprezentat conform pe domeniul infinit Ω în așa fel încât punctului $\zeta = \infty$ să-i corespundă punctul $z = \infty$.

Atunci în [M69] p.251 se demonstrează că funcția de transformare conformă are forma:

$$z = \omega(\zeta) = R\zeta + \sum_{n=0}^{\infty} \frac{K_n}{\zeta^n}$$

$$\varphi(\zeta) = -\frac{X + iY}{2\pi(1 + \gamma)} \ln \zeta + R\Gamma \zeta + \varphi_0(\zeta) \quad (2.4.2.19)$$

$$\psi(\zeta) = \frac{\lambda - i\gamma}{2\pi(1 + \chi)} \ln \zeta + R\Gamma' \zeta + \psi'_0(\zeta) \tag{2.4.2.20}$$

unde:

$\Gamma = B + iC$, $\Gamma' = B' + iC'$ - sunt niște constante, în general complexe;

$\varphi_0(z)$, $\psi_0(z)$ -sunt niște funcții olomorfe inclusiv în punctul de la infinit, adică pentru $|z|$ suficient de mare ele au dezvoltări în serie de forma:

$$\varphi_0(z) = a_0 + \frac{a_1}{z} + \frac{a_2}{z^2} + \dots \tag{2.4.2.21}$$

$$\psi_0(z) = a'_0 + \frac{a'_1}{z} + \frac{a'_2}{z^2} + \dots \tag{2.4.2.22}$$

Fără a modifica starea de tensiune putem lua $a_0 = a'_0 = 0 \Leftrightarrow \varphi_0(\infty) = \psi_0(\infty) = 0$.

2.4.2.5. Observații privind condițiile la limită și transformarea lor conformă

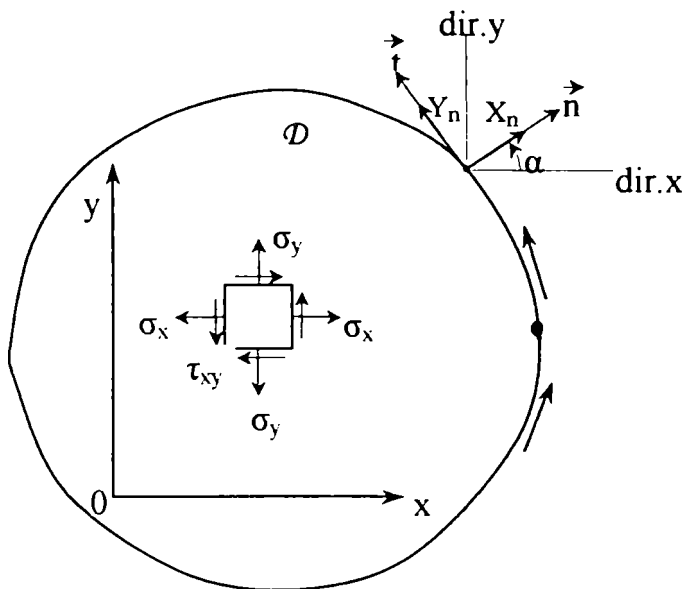
a) Domenii simplu conexe

Se știe că la rezolvarea problemelor plane, în funcție de condițiile la limită, întâlnim trei situații numite *probleme de bază sau probleme fundamentale*.

Prima problemă fundamentală

Pe conturul L al domeniului \mathcal{D} (v. Fig. 2.4.2.4) sunt date forțele exterioare X_n și Y_n (n indică normala exterioară la contur în punctul considerat).

Condițiile de frontieră se scriu sub forma:



$$\left. \begin{aligned} \sigma_x \cos(\vec{n}, x) + \tau_{xy} \cos(\vec{n}, y) &= X_n \\ \tau_{xy} \cos(\vec{n}, x) + \sigma_y \cos(\vec{n}, y) &= Y_n \end{aligned} \right\} \tag{2.4.2.23}$$

Se mai zice că avem de-a face cu o *problemă tip Dirichlet*.

Fig. 2.4.2.4

A doua problemă fundamentală

Pe conturul L al domeniului \mathcal{D} sunt date deplasările u și v . În acest caz condițiile la limită (pe frontieră) se scriu sub forma:

$$u = g_1(s), \quad v = g_2(s) \tag{2.4.2.24}$$

unde $g_1(s)$ și $g_2(s)$ sunt niște funcții date de arcul s al conturului măsurat de la un punct arbitrar al acestuia. Se mai zice că avem de-a face cu o *problemă de tip Neumann*.

A treia problemă fundamentală sau problema mixtă

Are loc atunci când pe o parte a conturului L sunt date tensiunile iar pe restul conturului sunt date deplasările. În Anexa 1 am arătat că în loc să studiem expresiile lui $\frac{\partial U}{\partial x}$ și $\frac{\partial U}{\partial y}$ separat ($U(x,z)$, funcția Airy) este mai comod să cercetăm combinația complexă (Mushelișvili p.153):

$$f(x,y) = \frac{\partial U}{\partial x} + i \frac{\partial U}{\partial y} = \varphi(z) + z\overline{\varphi'(z)} + \overline{\psi(z)} \tag{2.4.2.25}$$

Să revenim la prima problemă fundamentală, relațiile (2.4.2.19), exprimând tensiunile cu ajutorul funcției Airy:

$$\begin{cases} X_n = \frac{\partial^2 U}{\partial y^2} \cos(n,x) - \frac{\partial^2 U}{\partial x \partial y} \cos(n,y) \\ Y_n = \frac{\partial^2 U}{\partial x^2} \cos(n,y) - \frac{\partial^2 U}{\partial x \partial y} \cos(n,x) \end{cases} \tag{2.4.2.26}$$

Dar (v. Fig. 2.4.2.4):

$$\cos(n,x) = \cos(t,y) = \frac{dy}{ds}; \quad \cos(n,y) = -\cos(t,x) = -\frac{dx}{ds} \tag{2.4.2.27}$$

$$\Rightarrow X_n = \frac{\partial^2 U}{\partial y^2} \cdot \frac{dy}{ds} + \frac{\partial^2 U}{\partial x \partial y} \cdot \frac{dx}{ds} = \frac{d}{ds} \left(\frac{\partial U}{\partial y} \right) \tag{2.4.2.28}$$

$$Y_n = -\frac{\partial^2 U}{\partial x^2} \cdot \frac{dx}{ds} - \frac{\partial^2 U}{\partial x \partial y} \cdot \frac{dy}{ds} = -\frac{d}{ds} \left(\frac{\partial U}{\partial x} \right) \tag{2.4.2.29}$$

Sub formă complexă:

$$X_n + iY_n = \frac{d}{ds} \left(\frac{\partial U}{\partial y} - i \frac{\partial U}{\partial x} \right) = -i \frac{d}{ds} \left(\frac{\partial U}{\partial x} + i \frac{\partial U}{\partial y} \right) \tag{2.4.2.30}$$

sau

$$(X_n + iY_n)ds = -id \left(\frac{\partial U}{\partial x} + i \frac{\partial U}{\partial y} \right) \tag{2.4.2.31}$$

Vom cerceta semnificația mecanică a funcției $f(x,y)$ (2.4.2.25) deoarece avem nevoie de ea la explicitarea condițiilor pe frontieră. Să considerăm un element de arc AB de pe conturul L al domeniului \mathcal{D} . Să considerăm eforturile care acționează asupra elementului de arc AB dinspre dreapta dacă ne deplasăm de la A spre B ; sau, altfel spus, eforturile ce acționează din partea normalei pozitive \vec{n} . Să calculăm rezultanta acestor eforturi aplicate pe arcul AB ; să notăm (X,Y) vectorul rezultat. Vom deduce:

$$X + iY = \int_{AB} (X_n + iY_n)ds = -i \left[\frac{\partial U}{\partial x} + i \frac{\partial U}{\partial y} \right]_A^B = -i \left[\varphi(z) + z\overline{\varphi'(z)} + \overline{\psi(z)} \right]_A^B \tag{2.4.2.32}$$

unde simbolul $\left[\right]_A^B$ reprezintă creșterea expresiei din paranteză la o deplasare pe arcul AB de la A până în B . Dacă în această formulă vom considera punctul A fix iar punctul B variabil, de afix $z = x + iy$, vom avea:

$$f(x, y) = \varphi(z) + z\overline{\varphi'(z)} + \overline{\psi(z)} = i \int_{AB} (X'_n + iY'_n) ds + const = i(X + iY) + const = f_1 + if_2 + const \quad (2.4.2.33)$$

Astfel, în cadrul primei probleme fundamentale, relația (2.4.2.29) stabilește legătura dintre funcțiile φ și ψ , care rezolvă complet problema plană și forțele aplicate pe conturul L al corpului solicitat.

Pe baza unor considerente similare se poate stabili o formulă analoagă cu (2.4.2.29) și pentru momentul rezultat M_0 al eforturilor de pe contur în raport cu originea axelor de coordonate.

$$M_0 = \int_{AB} (XY'_n - YX'_n) ds = \text{Re}[\chi(z) - z\psi(z) - z\bar{z}\overline{\varphi'(z)}]_{L_1}^B \quad (2.4.2.34)$$

b) Domenii multiplu conexe

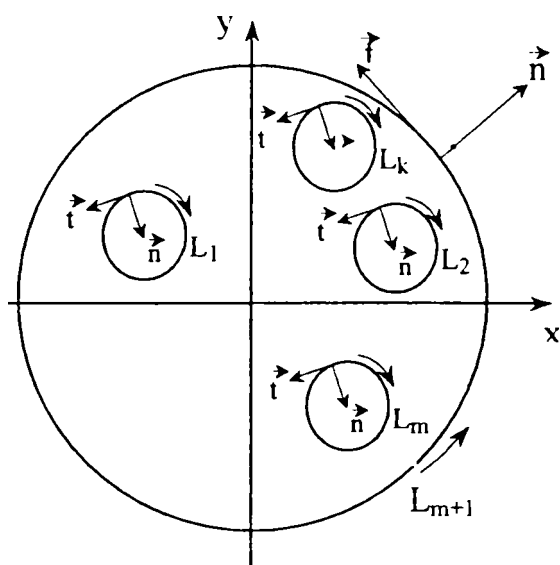


Fig. 2.4.2.5

Ne imaginăm o placă plană cu mai multe goluri care nu au puncte comune. Deci, domeniul \mathcal{D} ocupat de corp este multiplu conex; el este mărginit de un contur L_{m+1} și de m conture simple închise (Fig. 2.4.2.5).

Prin ipoteză tensiunile și deplasările sunt funcții uniforme. Cu toate acestea funcțiile φ și ψ pot să fie funcții multiforme. Mushelișvili [M69] p.167 stabilește că aceste funcții au forma:

$$\varphi(z) = -\frac{1}{2\pi(1-\chi)} \sum_{k=1}^m (X_k + iY_k) \ln(z - z_k) + \varphi_0(z) \quad (2.4.2.35)$$

$$\psi(z) = -\frac{\chi}{2\pi(1-\chi)} \sum_{k=1}^m (X_k - iY_k) \ln(z - z_k) + \psi_0(z) \quad (2.4.2.36)$$

unde:

X_k, Y_k - sunt componentele vectorului rezultat al forțelor exterioare aplicate pe conturul L_k ;

z_k - un punct arbitrar inclus în domeniul simplu conex mărginit de conturul L_k ;

$\varphi_0(z), \psi_0(z)$ - funcții analitice și uniforme în tot domeniul \mathcal{D} .

2.4.2.6. Planul infinit cu orificiu eliptic. Soluția primei probleme fundamentale

Vom rezolva această problemă prin explicitarea funcțiilor φ și ψ care prin intermediul relațiilor Kolosov-Mushelișvili determină complet starea de tensiune și deplasarea în zona adiacentă orificiului eliptic. Vom considera că în planul infinit z există un orificiu de formă eliptică cu semiaxele a și b care reprezintă domeniul \mathcal{D} simplu conex, având frontiera L, și vom face transformarea conformă a acesteia pe domeniul $|\zeta| > 1$, adică pe planul infinit (planul ζ) cu un orificiul circular de rază $\rho = 1$, (v. Fig. 2.4.2.6) având conturul γ de ecuație $s = e^{i\theta}$. Funcția care realizează această transformare conformă este (v. [M69], [C45], [S4], [S6], [L49], [R3]):

$$z = \omega(\zeta) = R \left(\zeta + \frac{m}{\zeta} \right) \quad \text{cu} \quad R > 0, \quad 0 \leq m < 1 \quad (2.4.2.37)$$

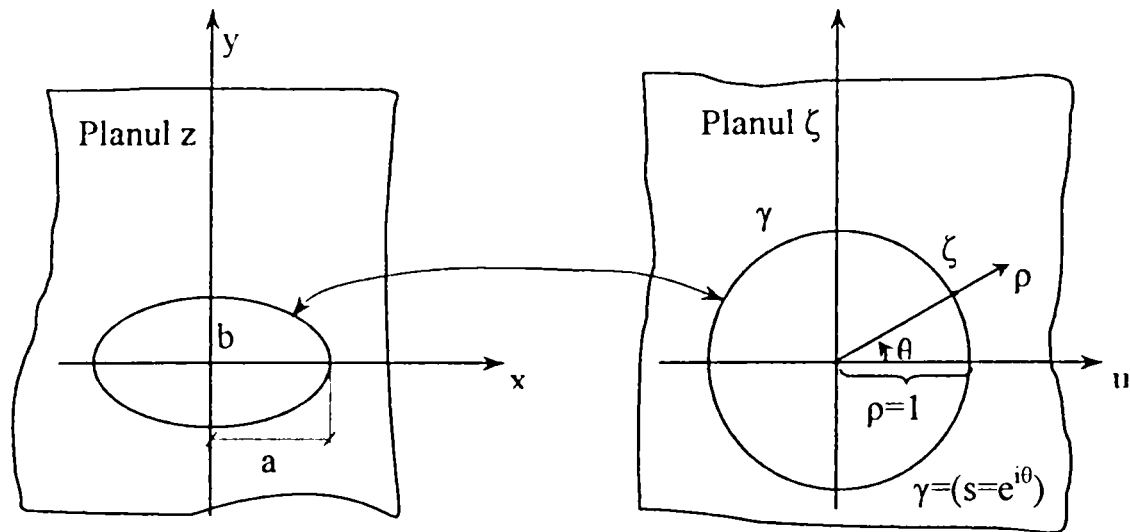


Fig. 2.4.2.6

În felul acesta cercului $|\zeta|=1$ îi corespunde elipsa L în planul fizic z cu centrul în originea axelor de coordonate și cu semiaxele:

$$a = R(1+m); \quad b = R(1-m) \tag{2.4.2.38}$$

Alegând în mod potrivit pe R și m putem obține o elipsă de orice dimensiune și formă. De exemplu, dacă $m=0$, elipsa se reduce la un cerc (problema Kirsch); cazul limită când $m=1$, elipsa degenerază într-un segment de pe axa Ox, de lungime 4R, cuprins între punctele $x = \pm 2R$, astfel că avem o altă cunoscută problemă a planului infinit cu o fantă sau o fisură rectilinie (v. Probl. test Nr.III).

Condițiile pe contur pe cercul unitate $|\zeta|=1$ se exprimă prin relația (2.4.2.19) particularizată pentru valorile pe conturul γ al cercului $s = e^{i\theta}$ și pentru valorile rapoartelor:

$$\frac{\omega(s)}{\omega'(s)} = \frac{1}{s} \cdot \frac{s^2 + m}{1 - ms^2}; \quad \frac{\overline{\omega(s)}}{\omega'(s)} = s \frac{1 + ms^2}{s^2 - m} \tag{2.4.2.39}$$

obținute din conjuncția cu relația (2.4.2.36).

Condiția la limită obține forma:

$$\varphi(s) + \frac{1}{s} \cdot \frac{s^2 + m}{1 - ms^2} \cdot \overline{\varphi'(s)} + \overline{\psi(s)} = f \tag{2.4.2.40}$$

sau trecând la valorile complexe conjugate:

$$\overline{\varphi(s)} + s \cdot \frac{1 + ms^2}{s^2 - m} \cdot \varphi'(s) + \psi(s) = \overline{f} \tag{2.4.2.41}$$

Să presupunem pentru început că rezultanta forțelor exterioare aplicate pe conturul L este nulă și că tensiunile și rotația la infinit se anulează; vom avea deci:

$$X = Y = 0, \quad B = C = B' = C' = 0$$

Atunci funcțiile $\varphi(\zeta)$ și $\psi(\zeta)$ vor fi olomorfe în exteriorul cercului unitate γ inclusiv în punctele de la infinit; de asemenea se poate presupune că $\varphi(\infty) = 0$.

Se știe din teoria integralelor de tip Cauchy că o condiție necesară și suficientă ca o funcție $\psi(s)$ continuă pe cercul unitate γ , să fie o valoare limită a unei funcții olomorfe în afara lui γ este:

$$\frac{1}{2\pi i} \int_{\gamma} \frac{\overline{\psi(s)} ds}{s - \zeta} = 0 \quad (2.4.2.42)$$

unde ζ este un punct arbitrar în afara lui γ .

Aplicând această condiție relației (2.4.2.39) avem:

$$\frac{1}{2\pi i} \int_{\gamma} \frac{f ds}{s - \zeta} - \frac{1}{2\pi i} \int_{\gamma} \frac{\varphi(s) ds}{s - \zeta} - \frac{1}{2\pi i} \int_{\gamma} \frac{1}{s} \frac{s^2 + m}{1 - ms^2} \overline{\varphi'(s)} \frac{ds}{s - \zeta} = 0 \quad (2.4.2.43)$$

Pe baza formulei Cauchy pentru domenii infinite:

$$\frac{1}{2\pi i} \int_{\gamma} \frac{\varphi(s) ds}{s - \zeta} = -\varphi(\zeta) + \varphi(\infty) = -\varphi(\zeta) \quad (2.4.2.44)$$

obținem în final:

$$-\varphi(\zeta) + \frac{1}{2\pi i} \int_{\gamma} \frac{1}{s} \cdot \frac{s^2 - m}{1 - ms^2} \cdot \overline{\varphi'(s)} \frac{ds}{s - \zeta} = \frac{1}{2\pi i} \int_{\gamma} \frac{f ds}{s - \zeta} \quad (2.4.2.45)$$

Se mai poate arăta că expresia: $\frac{1}{s} \cdot \frac{s^2 - m}{1 - ms^2} \cdot \overline{\varphi'(s)}$ este valoarea limită a funcției:

$\frac{1}{\zeta} \cdot \frac{\zeta^2 - m}{1 - m\zeta^2} \cdot \overline{\varphi'\left(\frac{1}{\zeta}\right)}$ olomorfa în interiorul lui γ , (pentru demonstrație v. MUSHELIȘVILI [M69] p. 438).

În aceste condiții integrala din membrul stâng din relația (2.4.2.44) se anulează și obținem expresia generală a funcției ζ :

$$\varphi(\zeta) = -\frac{1}{2\pi i} \int_{\gamma} \frac{f ds}{s - \zeta} \quad (2.4.2.46)$$

Expresia funcției $\psi(s)$ se determină din condiția de contur (2.4.2.40) ca valoare limită a funcției $\psi(\zeta)$, care se exprimă prin formula integrală a lui Cauchy pentru domenii infinite:

$$\psi(\zeta) = -\frac{1}{2\pi i} \int_{\gamma} \frac{\psi(s) ds}{s - \zeta} + \psi(\infty) \quad (2.4.2.47)$$

Introducem în (2.4.2.46) expresia lui $\psi(s)$ din (2.4.2.40) și ținem cont că:

$$\frac{1}{2\pi i} \int_{\gamma} \frac{\overline{\varphi(s)} ds}{s - \zeta} = 0 \quad (2.4.2.48)$$

$$\frac{1}{2\pi i} \int_{\gamma} s \cdot \frac{1 + ms^2}{s^2 - m} \overline{\varphi'(s)} \frac{ds}{s - \zeta} = -\zeta \cdot \frac{1 + m\zeta^2}{\zeta^2 - m} \overline{\varphi'(\zeta)} \quad (2.4.2.49)$$

Obținem în final (renunțând la constanta $\psi(\infty)$, care nu influențează repartiția tensiunilor):

$$\psi(\zeta) = -\frac{1}{2\pi i} \int_{\gamma} \frac{\bar{f} \cdot ds}{s - \zeta} - \zeta \frac{1 + m\zeta^2}{\zeta^2 - m} \overline{\varphi'(\zeta)} \quad (2.4.2.50)$$

Vom considera în continuare cazul general pentru prima problemă fundamentală; componentele forțelor exterioare aplicate pe contur sunt (X, Y) diferite de zero, iar la infinit tensiunile sunt mărginite și rotațiile sunt nule. În aceste condiții, structura funcțiilor φ și ψ este dată de relațiile (2.4.2.19), (2.4.2.20), în care:

- Condiția de anulare a rotațiilor la infinit implică:

$$B + iC = B - iC; \quad B' + iC' = B' - iC' \Leftrightarrow B + iC = B' + iC'$$

- $\varphi_0(\zeta)$ și $\psi_0(\zeta)$ sunt analitice pentru $|\zeta| > 1$;
- $\varphi_0(\infty) = 0$.

Introducând această condiție în (2.4.2.9) se observă că $\varphi_0(\zeta)$ și $\psi_0(\zeta)$ satisfac exact aceleași condiții la limită, cu deosebirea că în locul lui f trebuie pusă expresia f_0 :

$$f_0 = f - (B + iC)R \left[s + \frac{s^2 + m}{s(1 - ms^2)} \right] - \frac{B' + iC'}{s} R + \frac{X + iY}{2\pi} \ln s + \frac{X - iY}{2\pi(1 + \chi)} \cdot \frac{s^2 + m}{1 - ms^2} \quad (2.4.2.51)$$

Expresiile funcțiilor $\varphi_0(\zeta)$ și $\psi_0(\zeta)$ rezultă din introducerea relației (2.4.2.51) în (2.4.2.46) și (2.4.2.50):

$$\varphi_0(\zeta) = -\frac{1}{2\pi i} \int_{\gamma} \frac{f_0 ds}{s - \zeta} \quad (2.4.2.52)$$

$$\psi_0(\zeta) = -\frac{1}{2\pi i} \int_{\gamma} \frac{\overline{f_0} ds}{s - \zeta} - \zeta \frac{1 + m\zeta^2}{\zeta^2 - m} \varphi_0'(\zeta) \quad (2.4.2.53)$$

Ca o aplicație concretă (particulară) a teoriei expuse, să considerăm cazul unei plăci (v. Fig. 2.4.2.7) care are un gol eliptic; placa este solicitată la infinit la tracțiune de tensiunea uniformă $\sigma_{x_1}^{\infty} = p$ care acționează după o direcție x_1 ce face unghiul α cu axa Ox (axa mare a elipsei); celelalte tensiuni la infinit sunt nule: $\sigma_{y_1}^{\infty} = 0$, $\tau_{x_1 y_1}^{\infty} = 0$; conturul orificiului eliptic nu este solicitat de forțe exterioare, deci $X=Y=0$. Din relația (2.4.2.29) rezultă $f=0$.

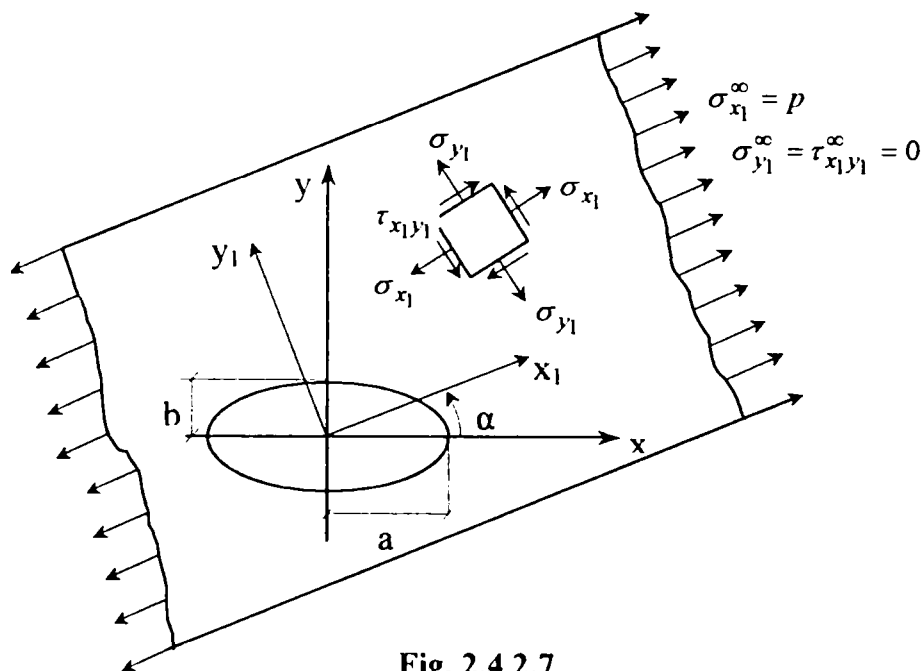


Fig. 2.4.2.7

Din condiții de echilibru cunoscute rezultă:

$$\sigma_{xx}^{\infty} = p \cos^2 \alpha$$

$$\sigma_{yy}^{\infty} = p \sin^2 \alpha$$

$$\tau_{xy}^{\infty} = p \sin \alpha \cos \alpha$$

Din relațiile (2.4.2.20), (2.4.2.51) obținem valoarea constantelor B, B' și C' :

$$B = \frac{P}{4}, \quad B' + iC' = -\frac{P}{2} e^{-2i\alpha} \quad (2.4.2.54)$$

Din formula (2.4.2.51) obținem:

$$f_0 = -p \frac{R}{4} \left[s + \frac{s^2 + m}{s(1 - ms^2)} \right] + \frac{pRe^{2i\alpha}}{2s} \quad (2.4.2.55)$$

$$\overline{f_0} = -p \frac{R}{4} \left(\frac{1}{s} + s \cdot \frac{1 + ms^2}{s^2 - m} \right) + p \frac{Re^{-2i\alpha}}{2} s \quad (2.4.2.56)$$

Funcția $\frac{\zeta^2 + m}{\zeta(1 - m\zeta^2)}$ este olomorfă în interiorul cercului γ , cu excepția punctului $\zeta = 0$, unde are un pol cu partea principală $\frac{m}{\zeta}$. Funcția $\zeta \frac{1 + m^2\zeta}{\zeta^2 - m}$ este olomorfă în afara lui γ , cu excepția punctului $\zeta = \infty$ unde are forma: $m\zeta + O\left(\frac{1}{\zeta}\right)$.

Prin aplicarea formulelor integrale ale lui Cauchy vom avea:

$$\frac{1}{2\pi i} \int_{\gamma} \frac{s^2 + m}{s(1 - ms^2)} \cdot \frac{ds}{s - \zeta} = -\frac{m}{\zeta} \quad (2.4.2.57)$$

$$\frac{1}{2\pi i} \int_{\gamma} s \frac{1 + ms^2}{s^2 - m} \cdot \frac{ds}{s - \zeta} = -\zeta \frac{1 + m\zeta^2}{\zeta^2 - m} + m\zeta = -\frac{(1 + m^2)\zeta}{\zeta^2 - m} \quad (2.4.2.58)$$

$$\frac{1}{2\pi i} \int_{\gamma} \frac{s ds}{s - \zeta} = 0; \quad \frac{1}{2\pi i} \int_{\gamma} \frac{ds}{s(s - \zeta)} = -\frac{1}{\zeta} \quad (2.4.2.59)$$

Din (2.4.2.51) și (2.4.2.52), (2.4.2.53) obținem expresiile funcțiilor:

$$\varphi_0(\zeta) = -\frac{mpR}{4\zeta} + \frac{pRe^{2i\alpha}}{2\zeta} = \frac{pR(2e^{2i\alpha} - m)}{4\zeta} \quad (2.4.2.60)$$

$$\psi_0(\zeta) = -\frac{pR}{4\zeta} - \frac{pR(1 + m^2)\zeta}{4(\zeta^2 - m)} - \zeta \frac{1 + m\zeta^2}{\zeta^2 - m} \varphi_0'(\zeta) \quad (2.4.2.61)$$

În sfârșit în baza relațiilor (2.4.2.46), (2.4.2.47) se obține:

$$\varphi(\zeta) = \frac{p^2}{4} \left(\zeta + \frac{2e^{2i\alpha} - m}{\zeta} \right) \quad (2.4.2.62)$$

$$\psi(\zeta) = -\frac{pR}{2} \left[e^{-2i\alpha} \zeta + \frac{e^{2i\alpha}}{m\zeta} - \frac{(1+m^2)(e^{2i\alpha} - m)}{m} \cdot \frac{\zeta}{\zeta^2 - m} \right] \quad (2.4.2.63)$$

În continuare calculul tensiunilor și deplasărilor nu prezintă dificultăți. Să calculăm suma: $\sigma_{rr} + \sigma_{\theta\theta} = 4 \operatorname{Re} \phi(\zeta)$.

$$4\phi(\zeta) = 4 \frac{\phi'(\zeta)}{\omega'(\zeta)} = p \frac{\zeta^2 + m - 2e^{2i\alpha}}{\zeta^2 - m} = p \frac{\rho^2 e^{2i\theta} + m - 2e^{2i\alpha}}{\rho^2 e^{2i\theta} - m} \cdot \frac{\rho^2 e^{2i\theta} - m}{\rho^2 e^{-2i\theta} - m}$$

Numitorul acestei expresii este o cantitate reală: $\rho^4 - 2m\rho^2 \cos 2\theta + m^2$.

Separând partea reală de cea complexă obținem:

$$\sigma_{rr} + \sigma_{\theta\theta} = p \frac{\rho^4 - 2\rho^2 \cos 2(\theta - \alpha) - m^2 + 2m \cos 2\alpha}{\rho^4 - 2m\rho^2 \cos 2\theta + m^2}$$

Pe conturul găurii avem $\rho = 1$ și $\sigma_{rr} = 0$. De aceea valorile lui $\sigma_{\theta\theta}$ pe conturul găurii vor fi date de:

$$\sigma_{\theta\theta} = p \cdot \frac{1 - m^2 + 2m \cos 2\alpha - 2 \cos 2(\theta - \alpha)}{1 - 2m \cos 2\theta + m^2} \quad (2.4.2.64)$$

Comentarii privind factorul de intensitate a tensiunilor în cazul golurilor eliptice

Factorul de intensitate a tensiunilor K_I pentru fisura eliptică, considerând o solicitare uniformă sau chiar polinomială, a fost introdus de KASSIR și SIH în 1975 sub forma:

$$K_I(\phi) = p \frac{\sqrt{\pi(b/a)}}{E(k)} (a^2 \sin^2 \phi + b^2 \cos^2 \phi)^{\frac{1}{4}} \quad (2.4.2.65)$$

unde $p = \sigma^\infty$ - sarcina normală uniformă;

ϕ - coordonata polară care fixează un punct de pe conturul fisurii;

$E(k)$ - integrala eliptică de speța a doua de argument $k = \sqrt{1 - \left(\frac{b}{a}\right)^2}$;

a, b - semiaxele elipsei (Fig. 2.4.2.8)

$$E(\varphi, k) = \int_0^\varphi \sqrt{1 - k^2 \sin^2 \alpha} d\alpha = \int_0^{\sin \varphi} \frac{\sqrt{1 - k^2 x^2}}{\sqrt{1 - x^2}} dx, \quad \varphi \in \left[0, \frac{\pi}{2}\right] \quad (2.4.2.66)$$

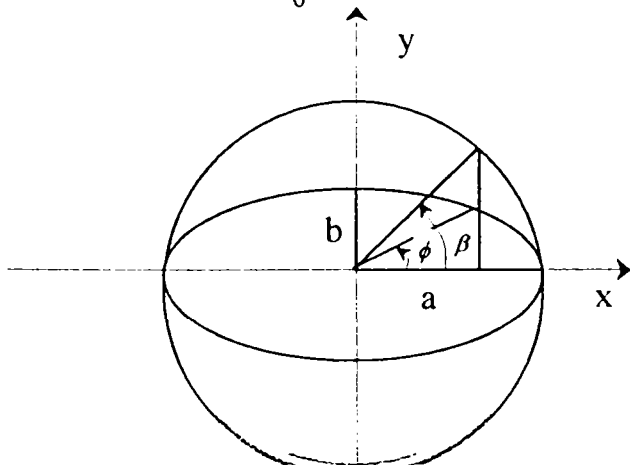


Fig. 2.4.2.8.

Este surprinzător faptul că soluția lui KASSIR și SIH, doi savanți recunoscuți în domeniul mecanicii ruperii, este greșită și încă se mai lucrează cu ea în această formă.

Cauza acestei erori este o identificare incorectă a parametrului unghiului ϕ care caracterizează poziția unui punct pe fisura a elipsei. FABRIKANT (1987) a sesizat această eroare și a indicat soluția: în expresia (2.4.2.65) unghiul ϕ trebuie înlocuit cu unghiul β (Fig. 2.4.2.8) care parametrizează un punct pe fisură.

Analitic corecția se face punând în loc de ϕ unghiul $\arctg\left(\frac{a}{b}\operatorname{tg}\phi\right)$.

Astfel, păstrând notația cu ϕ expresia corectă este:

$$K_I(\phi) = p \frac{\sqrt{\pi(b/a)}}{E(k)} \cdot \left(\frac{a^4 \sin^2 \phi + b^4 \cos^2 \phi}{a^2 \sin^2 \phi + b^2 \cos^2 \phi} \right)^{1/4} \quad (2.4.2.67)$$

Cele două expresii coincid pentru unghiuri $\phi = 0$ și $\frac{\pi}{2}$, precum și atunci când $a=b$ (cazul unui cerc), oricare ar fi unghiul ϕ . Totuși, atunci când $a \neq b$, pentru unghiuri $\phi \neq 0$ și $\phi \neq \frac{\pi}{2}$ diferența între valorile K_I date de cele două formule (2.4.2.65) și (2.4.2.67) devin foarte mari și cresc odată cu creșterea excentricității elipsei.

Să considerăm cazul particular al unei elipse foarte alungite, (Fig. 2.4.2.9), luând $a/b=100$ ca exemplu numeric. Factorul de intensitate a tensiunilor pe aproape toată partea de margine a fisurii eliptice va trebui să fie aproape de valoarea factorului de intensitate a tensiunilor pentru o configurație 2D a unei fisuri „tunel” de lățime $2b$, adică:

$$K_I = p\sqrt{\pi b} \quad (2.4.2.68)$$

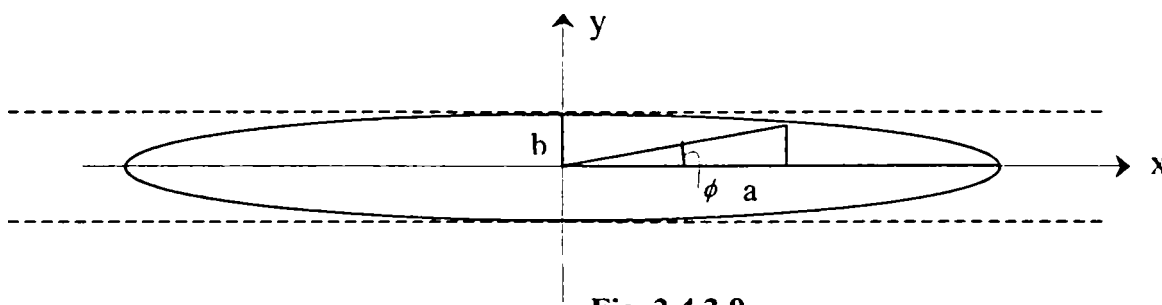


Fig. 2.4.2.9

Într-adevăr, formula lui FABRIKANT (2.4.2.67) la un raport a/b așa de mare conduce la un factor de intensitate a tensiunilor K_I care este aproape constant de-a lungul fisurii eliptice și este foarte apropiat de rezultatul obținut cu expresia (2.4.2.68) pentru fisura „tunel” pentru unghiuri ϕ luând valori de la $\frac{\pi}{2}$ la valori destul de mici: Raportul soluțiilor obținute cu expresiile (2.4.2.67) și (2.4.2.68.) se modifică de la 1 pentru $\phi = \frac{\pi}{2}$ la 0.99997 pentru $\phi = \frac{\pi}{4}$ și la 0.9968 pentru $\phi = 5^\circ$. (Ca o justificare în plus a cerinței ca factorul de intensitate a tensiunilor să fie aproape de (2.4.2.68) pentru fisura „tunel”, observăm că schimbarea în lățime a fisurii eliptice în intervalul $5^\circ \leq \phi \leq \frac{\pi}{2}$ este aproape neglijabilă: de la $0.9935b$ la b).

Pe de altă parte, rezultatul incorect (2.4.2.65) nu este apropiat de cel dat de expresia (2.4.2.68). La unghiul $\phi = \frac{\pi}{2}$ de exemplu, formula (2.4.2.65) prezice $K_I/p\sqrt{\pi b} = 0.8409$, iar la un unghi $\phi = 10^\circ$ ea prezice $K_I/p\sqrt{\pi b} = 0.4169$.

În concluzie, în cazul limită a unei fisurii eliptice foarte alungite rezultatul lui FABRIKANT (2.4.2.67) aproximează foarte bine soluția (2.4.2.68) pentru fisura „tunel”, în timp ce rezultatul lui KASSIR și SIH diferă substanțial de (2.4.2.68).

2.4.3. Problema test Nr. III: Plătbanda cu o fisură centrală

Cea mai cercetată problemă de (M.R.) este reprezentată de „plătbanda cu o fisură centrală de dimensiune $2a$ ” solicitată la tracțiune de o tensiune uniform repartizată la infinit σ^∞ (v.Fig.2.4.3.1). Este cazul clasic al modului I de deplasare a flancurilor fisurii (modul I de extindere a fisurii). Se definește și se calculează factorul de intensitate al tensiunilor:

$$K_I = \sigma^\infty \sqrt{\pi a} F\left(\frac{a}{b}\right) \quad (2.4.3.1)$$

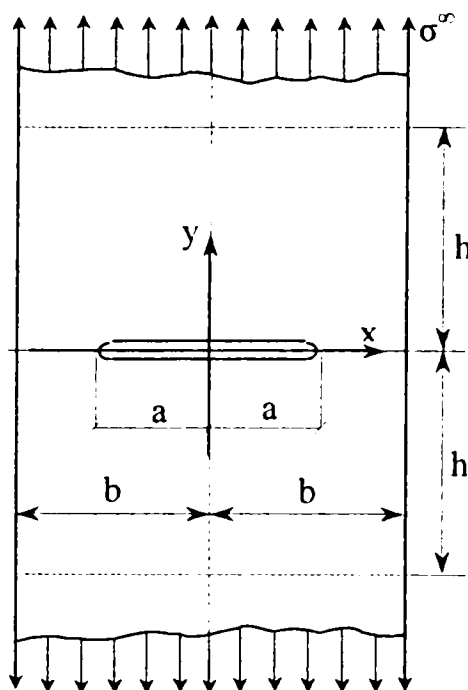


Fig. 2.4.3.1

O parte din rezultatele obținute până acum sunt prezentate în celebra monografie de sinteză a lui TADA, PARIS, IRWIN [T1]:

1). IRWIN (1957)

Propune o formulă semiempirică cu dezvoltare asimptotică:

$$F\left(\frac{a}{b}\right) = \sqrt{\frac{2b}{\pi a} \operatorname{tg} \frac{\pi a}{2b}} \quad (2.4.3.2)$$

Erori mai mari de 5% pentru $\frac{a}{b} \leq 0,5$

2). BROWN (1966)

Propune tot o formulă empirică:

$$F\left(\frac{a}{b}\right) = 1 + 0,128\left(\frac{a}{b}\right) - 0,288\left(\frac{a}{b}\right)^2 + 1,525\left(\frac{a}{b}\right)^3 \quad (2.4.3.3)$$

Erori de 0,5% pentru $\frac{a}{b} \leq 0,7$

Abateră medie pătratică se potrivește cu rezultatele lui ISIDA.

3). FEDDERSEN (1966)

Formulă empirică bazată pe rezultatele lui ISIDA:

$$F\left(\frac{a}{b}\right) = \sqrt{\sec \frac{\pi a}{2b}} \quad (2.4.3.4)$$

Erori: 0,3% pentru $\frac{a}{b} \leq 0,7$; 1% pentru $\frac{a}{b} = 0,8$

4). KOITER (1965)

Aproximarea asimptotică:

$$F\left(\frac{a}{b}\right) = \frac{1 - 0,5\left(\frac{a}{b}\right) + 0,326\left(\frac{a}{b}\right)^2}{\sqrt{1 - \frac{a}{b}}} \quad (2.4.3.5)$$

Erori de 1% pentru orice a/b .

5). TADA (1973)

Modificarea formulei lui Koiter:

$$F\left(\frac{a}{b}\right) = \frac{1 - 0.5\left(\frac{a}{b}\right) + 0.370\left(\frac{a}{b}\right)^2 - 0.044\left(\frac{a}{b}\right)^3}{\sqrt{1 - \frac{a}{b}}} \quad (2.4.3.6)$$

Erori de 0,3% pentru orice a/b .

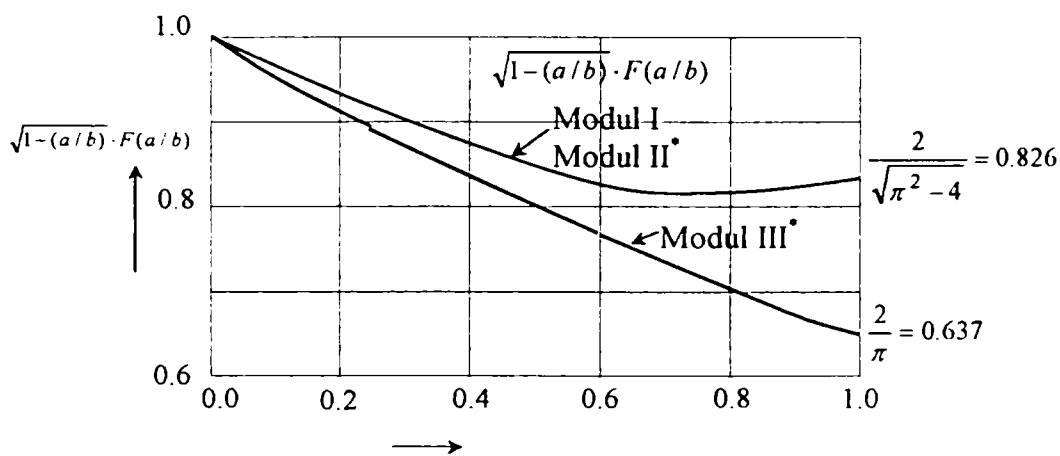
6). TADA (1973)

Modificarea formulei lui FEDDERSEN:

$$F\left(\frac{a}{b}\right) = \left[1 - 0,025\left(\frac{a}{b}\right)^2 + 0,06\left(\frac{a}{b}\right)^4 \right] \cdot \sqrt{\sec \frac{2\pi}{2b}} \quad (2.4.3.7)$$

7). ISIDA (1962, 1965, 1973)

Stabilește potențialul complex în tensiuni pe care-l dezvoltă în serie Laurent în funcție de $\left(\frac{a}{b}\right)^2$, din care reține 36 de termeni. Valorile numerice sunt date în graficul și tabelul alăturat (Fig. 2.4.3.2).



a/b	F(a/b)
0.0	1.0000
0.1	1.0060
0.2	1.0246
0.3	1.0577
0.4	1.1094
0.5	1.1867
0.6	1.3033
0.7	1.4882
0.8	1.8160
0.9	2.5776
1.0	$\frac{2}{\sqrt{\pi^2-4}} \cdot \frac{1}{\sqrt{1-a/b}}$

Fig. 2.4.3.2

În Fig.2.4.3.2 s-au reprezentat și factorii de corecție pentru modurile II și III (Fig.2.4.3.3):

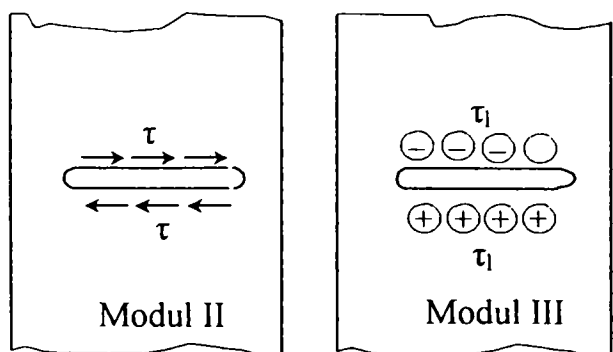


Fig. 2.4.3.3

$$K_{II} = \tau \sqrt{\pi a} F\left(\frac{a}{b}\right) \quad (2.4.3.8)$$

$$K_{III} = \tau_1 \sqrt{\pi a} \sqrt{\frac{2b}{\pi a}} \operatorname{tg} \frac{\pi a}{2b} \quad (2.4.3.9)$$

(formula exactă)

În literatură se întâlnesc multe alte rezultate obținute prin toate metodele posibile, cum ar fi:

- metoda complianței: FORMAN, 1964;
- utilizarea transformatelor Fourier și a ecuațiilor integrale: SNEDDON, 1971;

- metoda elementelor finite: MENDELSON, 1972, YAMAMOTO, 1972;
- metoda cologației de frontieră: BOWIE, 1970;
- ecuații integrale combinate cu o metodă de relaxare a tensiunilor: TADA, 1971, 1972.

Studii mai amănunțite iau în considerare și dimensiunea finită a platbenzii prin raportul h/b .

În Fig. 2.4.3.4 se prezintă rezultatele obținute de ISIDA (1971) și de KOBAYASHI (1974) utilizând metoda potențialelor de tensiune complexe combinată cu metoda cologației de frontieră.

În Fig. 2.4.3.5 se prezintă cazul platbenzii infinite cu fisura excentrică, obținute de ISIDA (1965) utilizând dezvoltarea în serie Laurent a funcțiilor complexe de potențial.

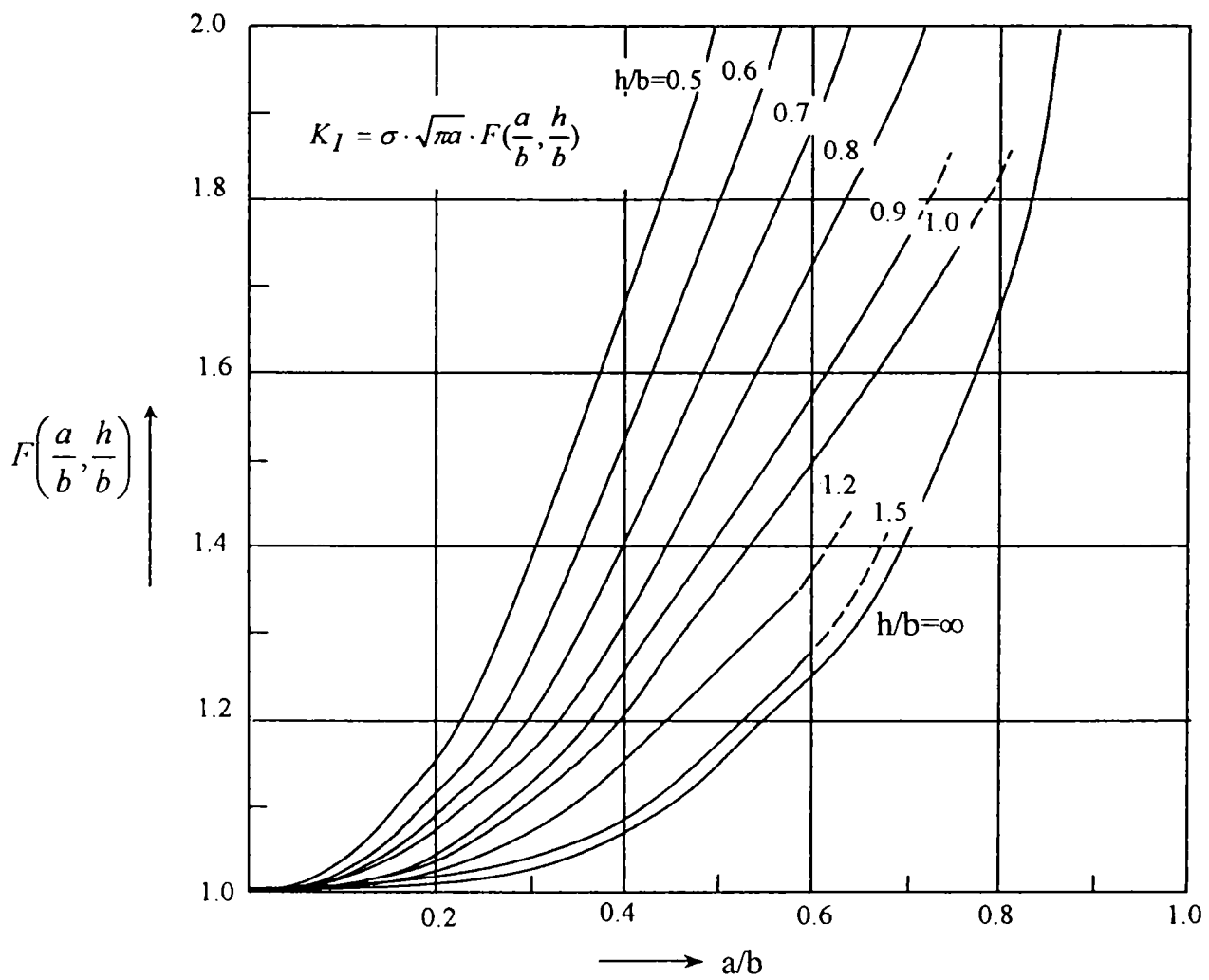
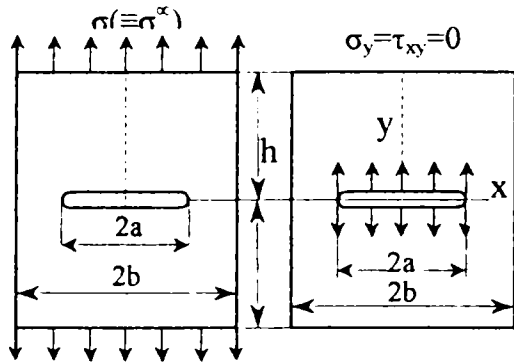


Fig. 2.4.3.4

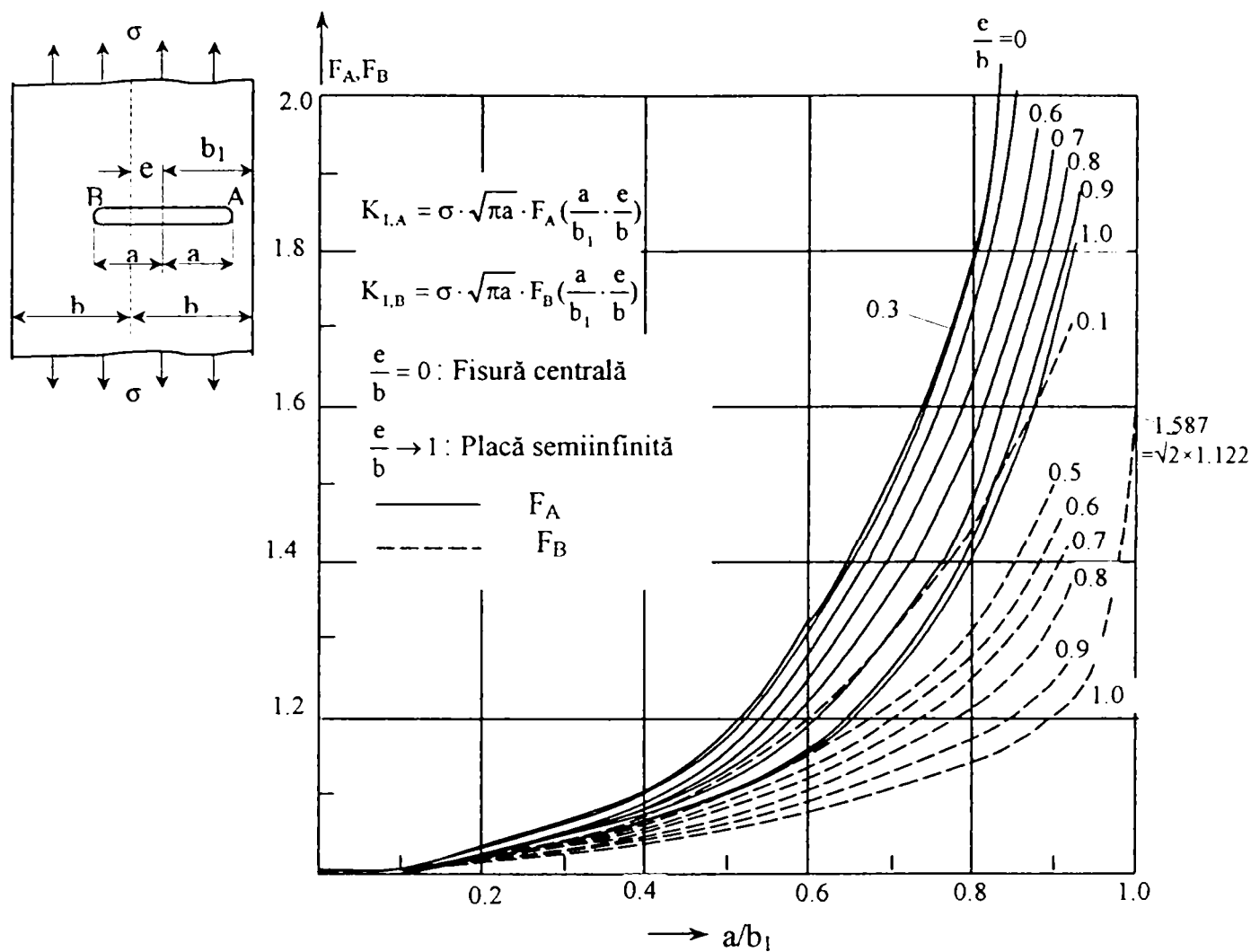


Fig. 2.4.3.5

Soluția WESTERGAARD (1939)

Pentru planul cu orificiu eliptic există trei soluții obținute independent de KOLOSOV (1909), INGLISH (1913), MUSHELIȘVILI (1919). Tot astfel pentru planul sau platbanda cu fisură există două soluții: prima dată de WESTERGAARD în 1939 și a doua dată mult mai târziu, în 1952, de WILLIAMS. În cadrul acestui paragraf voi prezenta soluția lui WESTERGAARD, ceva mai simplă; în paragraful următor – problema test nr. IV – voi prezenta soluția lui WILLIAMS extinsă la cazul semiplanului din două materiale diferite cu creștătură marginală în V în zona de joncțiune a celor două materiale.

Se știe (v. Anexa 1) că rezolvarea problemelor plane se poate face cu ajutorul a două funcții analitice de variabilă complexă, numite și *potențialele lui Mushelișvili*. Westergaard a arătat că poate rezolva aceleași probleme utilizând o singură funcție complexă notată $Z(z)$, care poate fi corelată cu funcțiile $\varphi(z)$ și $\psi(z)$ introduse de Mushelișvili. În cele ce urmează se notează:

$$Z'(z) = \frac{dZ(z)}{dz}; \quad Z''(z) = \frac{d^2Z(z)}{dz^2}; \quad \bar{Z}(z) = \int Z(z) dz; \quad \bar{\bar{Z}} = \int \bar{Z}(z) dz \quad (2.4.3.10)$$

Să considerăm o placă infinită, solicitată de o tensiune biaxială $\sigma_{xx} = \beta\sigma_0$, (unde β reprezintă un coeficient numeric); $\sigma_{yy} = \sigma_0$. Placa prezintă o fisură de dimensiune $2a$ orientată față de sistemul de axe de coordonate ca în Fig. 2.4.3.6. Atunci, pe marginile fisurii, ($y=0$), sunt îndeplinite condițiile:

$$\sigma_{xx} = \sigma_{yy}; \quad \tau_{xy} = 0 \quad (2.4.3.11)$$

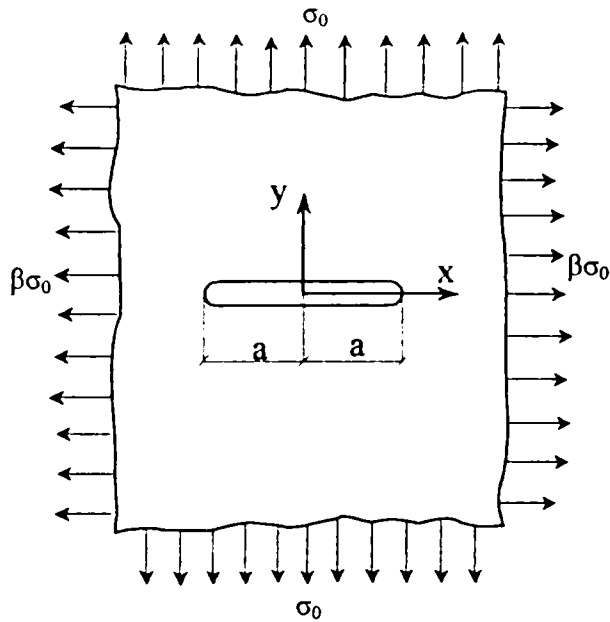


Fig. 2.4.3.6

La demonstrarea formulelor Kolosov-Mushelișvili am găsit:

$$\begin{aligned} \sigma_{xx} + i\tau_{xy} &= \varphi'(z) + \bar{\varphi}'(z) - z\bar{\varphi}''(z) - \bar{\psi}'(z) \\ \sigma_{yy} + i\tau_{xy} &= \varphi'(z) + \bar{\varphi}'(z) + z\bar{\varphi}''(z) + \bar{\psi}'(z) \end{aligned} \quad (2.4.3.12)$$

Dacă scădem cele două relații obținem:

$$\sigma_{xx} - \sigma_{yy} + 2i\tau_{xy} = -2[z\bar{\varphi}''(z) + \bar{\psi}'(z)]$$

sau:

$$\begin{aligned} \sigma_{xx} - \sigma_{yy} + 2i\tau_{xy} &= \\ &= -2\text{Re}[\bar{z}\varphi''(z) + \psi'(z)] + 2i\text{Im}[\bar{z}\varphi''(z) + \psi'(z)] \end{aligned} \quad (2.4.3.13)$$

Condiția $\tau_{xy} = 0$ la $y = 0$ ne conduce la:

$$\text{Im}[\bar{z}\varphi''(z) + \psi'(z)] = 0$$

Această condiție este satisfăcută dacă:

$$\bar{z}\varphi''(z) + \psi'(z) = A \quad (2.4.3.14)$$

unde A este o constantă reală care depinde de modul de încărcare al plăcii:

Dacă se integrează relația (2.4.3.14) se obține:

$$\bar{z}\varphi'(z) - \varphi(z) + \psi(z) = Az + B \quad (2.4.3.15)$$

Constanta reală B poate fi luată egală cu zero, deoarece ea caracterizează mișcarea de solid rigid. Se vede din relația (2.4.3.15) că funcția $\psi(z)$ se poate exprima prin funcția $\varphi(z)$ și a derivatelor sale. În aceste condiții și formula pentru calculul deplasărilor devine:

$$2G(u+iv) = \chi\varphi(z) - \bar{\varphi}(z) + (\bar{z} - z)\bar{\varphi}'(z) - A\bar{z} \quad (2.4.3.16)$$

Se introduce funcția $Z(z)$ definită prin relația:

$$\varphi(z) = \frac{1}{2} \int Z dz \quad (2.4.3.17)$$

Se poate arăta că atât tensiunile cât și deplasările se pot exprima numai prin intermediul funcției $Z(z)$. De exemplu din (2.4.3.14) și (2.4.3.15) vom avea:

$$\psi'(z) = A - \frac{1}{2} z Z' \quad (2.4.3.18)$$

Se obțin rezultatele:

$$\left. \begin{aligned} \sigma_{xx} &= \text{Re} Z - y \text{Im} Z' - A \\ \sigma_{yy} &= \text{Re} Z + y \text{Im} Z' + A \\ \tau_{xy} &= -y \text{Re} Z' \\ 2Gu &= \frac{\chi-1}{2} \text{Re} \int Z dz - y \text{Im} Z - Ax \\ 2Gv &= \frac{\chi+1}{2} \text{Im} \int Z dz - y \text{Re} Z + Ay \end{aligned} \right\} \quad (2.4.3.19)$$

Condițiile la limită:

$$|z| \rightarrow \infty \Rightarrow \sigma_{xx} = \beta\sigma_0; \quad \sigma_{yy} = \sigma_0; \quad \tau_{xy} = 0 \quad (2.4.3.20)$$

$$-a < x < a, \quad y = 0 \Rightarrow \sigma_{yy} = 0; \quad \tau_{xy} = 0 \quad (2.4.3.21)$$

Rezultă:

$$A = -\operatorname{Re} Z \quad (2.4.3.22)$$

În conformitate cu tehnologia metodei semiinverse se alege pentru Z expresia:

$$Z = \frac{g(z)}{\sqrt{z^2 - a^2}} - A \quad (2.4.3.23)$$

unde $g(z)$ este o funcție analitică în domeniul de definiție astfel încât pe conturul fisurii să avem $\operatorname{Im}[g(z)] \equiv 0$ pentru a satisface (2.4.3.22). Din conjuncția relațiilor (2.4.3.20) și (2.4.3.19) obținem:

$$(1 - \beta)\sigma_0 = (\bar{z} - z)Z' + 2A \quad (2.4.3.24)$$

Dar funcția Z este analitică în tot domeniul de definiție, inclusiv punctul de la infinit; rezultă că este continuă în jurul acestui punct, deci pentru $|z| \rightarrow \infty \Rightarrow$

$$Z \rightarrow \frac{g(z)}{z} - A \quad (2.4.3.25)$$

și

$$Z' \rightarrow \frac{g'(z)}{z} - \frac{g(z)}{z^2} \quad (2.4.3.26)$$

Introducând aceste rezultate în (2.4.3.24) avem:

$$(1 - \beta)\sigma_0 = (\bar{z} - z) \left(\frac{g'(z)}{z} - \frac{g(z)}{z^2} \right) + 2A$$

Această relație poate fi nesatisfăcută identic numai dacă:

$$g(z) = \sigma_0 \cdot z; \quad A = \frac{(1 - \beta)\sigma_0}{2}$$

În final vom avea:

$$Z(z) = \frac{\sigma_0 z}{\sqrt{z^2 - a^2}} - (1 - \beta) \frac{\sigma_0}{2} \quad (2.4.3.27)$$

Putem particulariza relația precedentă:

- pentru tracțiune monoaxială, uniformă la infinit: $\beta = 0 \Rightarrow A = \frac{\sigma_0}{2}$
- pentru tracțiune biaxială uniformă: $\beta = 1 \Rightarrow A = 0$

Notă: Soluția originală a lui Westergaard a fost dată cu $A=0$ în relația (2.4.3.23), ceea ce s-ar părea că nu influențează prea mult rezultatele, deoarece constanta A depinde numai de geometria piesei și de modul de încărcare; mai mult, se poate demonstra că expresiile lui σ_{yy} și τ_{xy} rămân neschimbate. Dar tensiunea σ_{yy} este mărimea determinantă în stabilirea criteriilor de rezistență în (M.R.). Deoarece, de-a lungul anilor, soluția originală a lui Westergaard a fost larg utilizată în formularea și fundamentarea conceptelor de bază ale mecanicii ruperilor, (v. Irwin, 1957), vom analiza care este gradul de inacuratețe pe care-l introduce neglijarea constantei A , justificând afirmația făcută mai sus în privința stării de tensiune. Vom nota, pornind de la (2.4.3.23):

$$Z^* = Z + A$$

funcția propusă de Westergaard. Atunci relațiile (2.4.3.19) vor deveni:

$$\left. \begin{aligned} \sigma_{xx} &= \operatorname{Re} Z^* - y \operatorname{Im}(Z^*)' - 2A \\ \sigma_{yy} &= \operatorname{Re} Z^* + y \operatorname{Im}(Z^*)' \\ \tau_{xy} &= -y \operatorname{Re} Z^* \\ 2Gu &= \frac{\chi-1}{2} \operatorname{Re} \int Z^* dz - y \operatorname{Im} Z^* - \frac{\chi+1}{2} Ax \\ 2Gv &= \frac{\chi+1}{2} \operatorname{Im} \int Z^* dz - y \operatorname{Re} Z^* + \frac{3-\chi}{2} Ay \end{aligned} \right\} \quad (2.4.3.28)$$

Se observă că în adevăr componentele tensiunilor σ_{yy} și τ_{xy} nu se modifică, deci rezultatele sunt aceleași fie că utilizăm funcția Z , fie Z^* . Expresii ale funcției Z^* se găsesc în literatură ([C45], [P6], [P12], [M69]).

Aproximarea după IRWIN (1957)

Se știe că, în cazul fisurii analizate, soluția elastică este singulară în punctul care marchează vârful fisurii: $x \rightarrow a \Rightarrow \sigma_{yy} \rightarrow \infty$ (v. și soluția Westergaard de mai sus).

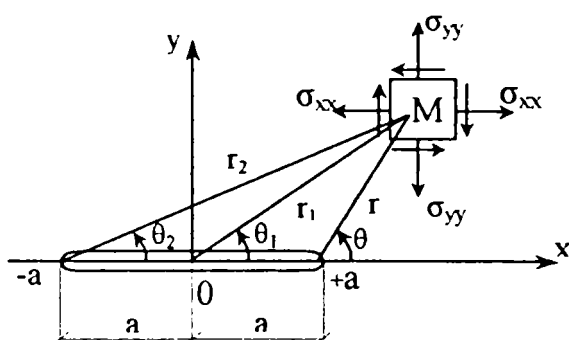


Fig. 2.4.3.7

Irwin a avut inspirația să evite această singularitate, calculând starea de tensiune într-un domeniu foarte apropiat de vârful fisurii, plecând tot de la soluția lui Westergaard exprimată în coordonate polare (v. Fig. 2.4.3.7). Astfel, considerând placa infinită cu fisură, vom considera starea de tensiune complexă din punctul M; punctul M are coordonata complexă $z = x + iy$, sau în sistemul de coordonate polare în Fig. 2.4.3.7: $z = r_1 e^{i\theta_1}$.

Din Fig. 2.4.3.7 avem relațiile evidente:

$$z - a = r e^{i\theta} \quad ; \quad z + a = r_2 e^{i\theta_2} \quad (2.4.3.29)$$

Vom considera solicitarea plăcii la infinit, biaxială omogenă ($\beta = 1; A = 0$), σ_0 .

Funcția de tensiune Z va fi:

$$Z = \frac{\sigma_0}{\sqrt{1 - \left(\frac{a}{z}\right)^2}} \Rightarrow Z = \frac{\sigma_0 r_1}{\sqrt{r r_2}} e^{i\left(\theta_1 - \frac{\theta + \theta_2}{2}\right)} \quad (2.4.3.30)$$

Derivata:

$$Z' = -\frac{\sigma_0 a^2}{\sqrt{(r r_2)^3}} e^{-\frac{3}{2}i(\theta + \theta_2)} \quad (2.4.3.31)$$

Cu aceste rezultate, relațiile (2.4.3.19) devin:

$$\sigma_{xx}, \sigma_{yy} = \sigma_0 \left[\frac{r_1}{\sqrt{r r_2}} \cos\left(\theta_1 - \frac{\theta + \theta_2}{2}\right) \pm \frac{r a^2}{\sqrt{(r r_2)^3}} \sin \theta_1 \sin \frac{3}{2}(\theta + \theta_2) \right] \quad (2.4.3.32)$$

$$\tau_{xy} = \sigma_0 \frac{r_1 a^2}{\sqrt{(rr_2)^3}} \sin \theta_1 \cdot \cos \frac{3}{2}(\theta + \theta_2) \quad (2.4.3.33)$$

Facem niște considerații geometrice evidente, pentru a introduce niște aproximații.

$$r_1 \sin \theta_1 = r \sin \theta \Rightarrow \frac{\sin \theta_1}{\sin \theta} = \frac{r}{r_1} \cong \frac{r}{a} \quad (2.4.3.34)$$

$$r_2 \sin \theta_2 = r \sin \theta \Rightarrow \frac{\sin \theta_2}{\sin \theta} = \frac{r}{r_2} \cong \frac{r}{a} \quad (2.4.3.35)$$

În relațiile precedente s-au făcut niște aproximații care sunt valabile numai dacă ne limităm la domenii suficient de apropiate de vârful fisurii. Astfel, dacă $r \ll a$ putem presupune că $r_1 \cong a$ și $r_2 \cong 2a$. În aceste condiții unghiurile θ_1 și θ_2 sunt suficient de mici pentru a face aproximarea:

$$\sin \theta_1 \cong \theta_1 = \frac{r}{a} \sin \theta; \quad \sin \theta_2 \cong \theta_2 = \frac{b}{2a} \sin \theta \quad (2.4.3.36)$$

Înlocuind aceste relații aproximative în (2.4.3.32) și (2.4.3.33) vom obține:

$$\sigma_{xx} = \sigma_0 \sqrt{\frac{a}{2r}} \cos \frac{\theta}{2} \left(1 - \sin \frac{\theta}{2} \sin \frac{3\theta}{2} \right) \quad (2.4.3.37)$$

$$\sigma_{yy} = \sigma_0 \sqrt{\frac{a}{2r}} \cos \frac{\theta}{2} \left(1 + \sin \frac{\theta}{2} \sin \frac{3\theta}{2} \right) \quad (2.4.3.38)$$

$$\tau_{xy} = \frac{\sigma_0}{2} \sqrt{\frac{a}{2r}} \sin \theta \cos \frac{3\theta}{2} \quad (2.4.3.39)$$

S-a obținut un rezultat remarcabil: Deși starea de tensiune la vârful fisurii are un caracter singular, în imediata vecinătate a sa ea se poate exprima ca produsul dintre un factor constant $K = \sigma_0 \sqrt{a}$, care conține intensitatea solicitării și dimensiunea fisurii, un factor singular $1/\sqrt{2r}$ și trei funcții de unghi: $f_{xx}(\theta)$, $f_{yy}(\theta)$ și $f_{xy}(\theta)$, astfel încât relațiile (2.4.3.37), (2.4.3.38) și (2.4.3.39) se pot scrie:

$$\sigma_{xx} = \frac{K}{\sqrt{2r}} f_{xx}(\theta) = \frac{K}{\sqrt{2r}} \cos \frac{\theta}{2} \left(1 - \sin \frac{\theta}{2} \sin \frac{3\theta}{2} \right) \quad (2.4.3.40)$$

$$\sigma_{yy} = \frac{K}{\sqrt{2r}} f_{yy}(\theta) = \frac{K}{\sqrt{2r}} \cos \frac{\theta}{2} \left(1 + \sin \frac{\theta}{2} \sin \frac{3\theta}{2} \right) \quad (2.4.3.41)$$

$$\tau_{xy} = \frac{K}{\sqrt{2r}} f_{xy}(\theta) = \frac{K}{\sqrt{2r}} \cos \frac{\theta}{2} \sin \frac{\theta}{2} \cos \frac{3\theta}{2} \quad (2.4.3.42)$$

Se obișnuiește să se amplifice cu $\sqrt{\pi}$ și să se noteze:

$$\mathbf{K} = \sqrt{\pi} K$$

Deci vom avea:

$$\sigma_{xx} = \frac{\mathbf{K}}{\sqrt{2\pi r}} f_{xx}(\theta), \quad \sigma_{yy} = \frac{\mathbf{K}}{\sqrt{2\pi r}} f_{yy}(\theta), \quad \tau_{xy} = \frac{\mathbf{K}}{\sqrt{2\pi r}} f_{xy}(\theta) \quad (2.4.3.43)$$

În mod similar se obțin formulele și pentru deplasări.

Făcând un calcul comparativ se constată că pentru $r/a \leq 0.01$ eroarea introdusă de aproximația Irwin este sub 1%; pentru $r/a=0.1$, eroarea este de 7.4%.

**2.4.4. Problema test Nr. IV: Semiplanul cu creștătură în V pe o muchie.
Calculul tensiunilor și deplasărilor. Soluția WILLIAMS (1952); (1957)**

Să considerăm că o placă semi-infinită de grosime unitară, modelată matematic de așa numitul “*semiplan elastic*”, prezintă o creștătură laterală în formă de V, având dimensiunile de calcul prezentate în Fig.2.4.4.1.

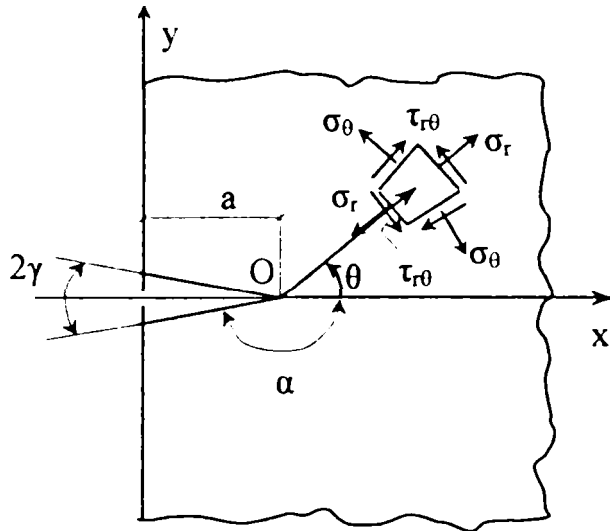


Fig. 2.4.4.1

Problema a fost rezolvată în coordonate polare de WILLIAMS în 1952 utilizând metoda separării variabilelor.

Formulele fundamentale ale problemei plane în coordonate polare se găsesc în toate cărțile de Rezistența materialelor și Teoria elasticității. Vom folosi prezentarea din cursul „Dobre [D19] vol. II”, p.203, în care găsim:

- **ecuațiile diferențiale de echilibru :**

$$\left. \begin{aligned} \frac{\partial \sigma_r}{\partial r} + \frac{1}{r} \frac{\partial \tau_{r\theta}}{\partial \theta} + \frac{\sigma_r - \sigma_\theta}{r} &= 0 \\ \frac{\partial \tau_{r\theta}}{\partial r} + \frac{\partial \sigma_\theta}{r \partial \theta} + \frac{2\tau_{r\theta}}{r} &= 0 \end{aligned} \right\} \quad (2.4.4.1)$$

- **ecuațiile geometrice ale lui Cauchy :**

$$\varepsilon_r = \frac{\partial u}{\partial r} \quad ; \quad \varepsilon_\theta = \frac{u}{r} + \frac{1}{r} \frac{\partial v}{\partial \theta} \quad ; \quad \gamma_{r\theta} = \frac{\partial v}{\partial r} - \frac{v}{r} + \frac{1}{r} \frac{\partial u}{\partial \theta} \quad (2.4.4.2)$$

- **expresia operatorului lui Laplace în coordonate polare :**

$$\Delta U = \nabla^2 U = \frac{\partial^2 U}{\partial r^2} + \frac{1}{r} \frac{\partial U}{\partial r} + \frac{1}{r^2} \frac{\partial^2 U}{\partial \theta^2} \quad (2.4.4.3)$$

- **ecuația biarmonică a funcției de tensiune Airy (F(r, θ)) :**

$$\nabla^2 \nabla^2 F(r, \theta) = 0$$

$$\frac{\partial^4 F}{\partial r^4} + \frac{2}{r} \frac{\partial^3 F}{\partial r^3} - \frac{1}{r^2} \frac{\partial^2 F}{\partial r^2} + \frac{1}{r^3} \frac{\partial F}{\partial r} + \frac{4}{r^4} \frac{\partial^2 F}{\partial \theta^2} - \frac{2}{r^3} \frac{\partial^3 F}{\partial \theta^2 \partial r} + \frac{2}{r^2} \frac{\partial^4 F}{\partial r^2 \partial \theta^2} + \frac{1}{r^4} \frac{\partial^4 F}{\partial \theta^4} = 0 \quad (2.4.4.4)$$

- **expresiile tensiunilor cu ajutorul funcției de tensiune Airy :**

$$\left. \begin{aligned} \sigma_r &= \frac{1}{r} \frac{\partial F}{\partial r} + \frac{1}{r^2} \frac{\partial^2 F}{\partial \theta^2} \\ \sigma_\theta &= \frac{\partial^2 F}{\partial r^2} \\ \tau_{r\theta} &= -\frac{1}{r} \frac{\partial^2 F}{\partial r \partial \theta} + \frac{1}{r^2} \frac{\partial F}{\partial \theta} \end{aligned} \right\} \quad (2.4.4.5)$$

- **legea lui Hooke :**

$$\varepsilon_r = \frac{1}{E} (\sigma_r - \nu \sigma_\theta) \quad ; \quad \varepsilon_\theta = \frac{1}{E} (\sigma_\theta - \nu \sigma_r) \quad ; \quad \gamma_{r\theta} = \frac{\tau_{r\theta}}{G} = \frac{2(1+\nu)}{E} \tau_{r\theta} \quad (2.4.4.6)$$

Pentru aplicarea metodei separării variabilelor, se consideră funcția de tensiune de forma:

$$F(r, \theta) = r^{\lambda+1} \phi(\theta, \lambda) \quad (2.4.4.7a)$$

unde:

$$\phi(\theta, \lambda) = e^{\varphi(\lambda)\theta} \quad (2.4.4.7b)$$

iar funcția $\varphi(\lambda)$ se va determina din ecuația biarmonică (2.4.4.4). Avem evident:

$$\begin{aligned} \frac{\partial F}{\partial r} &= (\lambda+1)r^\lambda \phi(\theta, \lambda) & \frac{\partial^k F}{\partial \theta^k} &= r^{\lambda+1} \frac{\partial^k \phi(\theta, \lambda)}{\partial \theta^k} \quad k=1,2,3,4. \\ \frac{\partial^2 F}{\partial r^2} &= (\lambda+1) \cdot \lambda \cdot r^{\lambda-1} \phi(\theta, \lambda) & \frac{\partial^2 F}{\partial r \partial \theta} &= (\lambda+1) \cdot r^\lambda \frac{\partial \phi(\theta, \lambda)}{\partial \theta} \\ \frac{\partial^3 F}{\partial r^3} &= (\lambda+1) \cdot \lambda \cdot (\lambda-1) r^{\lambda-2} \phi(\theta, \lambda) & \frac{\partial^3 F}{\partial r^2 \partial \theta} &= (\lambda+1) \cdot \lambda \cdot r^{\lambda-1} \frac{\partial \phi(\theta, \lambda)}{\partial \theta} \\ \frac{\partial^4 F}{\partial r^4} &= (\lambda+1) \cdot \lambda \cdot (\lambda-1)(\lambda-2) r^{\lambda-3} \phi(\theta, \lambda) & \frac{\partial^4 F}{\partial r^2 \partial \theta^2} &= (\lambda+1) \cdot \lambda \cdot r^{\lambda-1} \frac{\partial^2 \phi(\theta, \lambda)}{\partial \theta^2} \end{aligned}$$

Înlocuind aceste rezultate în ecuația biarmonică (2.4.4.4), obținem:

$$\frac{\partial^4 \phi(\theta, \lambda)}{\partial \theta^4} + 2(\lambda^2 + 1) \frac{\partial^2 \phi(\theta, \lambda)}{\partial \theta^2} + (\lambda^2 - 1)^2 \phi(\theta, \lambda) = 0 \quad (2.4.4.8)$$

Ținând cont că $\phi(\theta, \lambda)$ este dat de (2.4.4.7), avem:

$$\frac{\partial^2 \phi}{\partial \theta^2} = \varphi(\lambda)^2 e^{\varphi(\lambda)\theta} \quad ; \quad \frac{\partial^4 \phi}{\partial \theta^4} = \varphi^4(\lambda) e^{\varphi(\lambda)\theta}$$

astfel că ecuația (2.4.4.8) devine:

$$\varphi(\lambda)^4 + 2(\lambda^2 + 1)\varphi^2(\lambda) + (\lambda^2 - 1)^2 = 0.$$

Avem o ecuație bipătrată în $\varphi(\lambda)$ care ne dă:

$$\varphi(\lambda)^2 = -(\lambda^2 + 1) \pm 2\lambda \begin{cases} \varphi^2(\lambda) = -(\lambda - 1)^2 & \Rightarrow \varphi(\lambda) = \pm i(\lambda - 1) \\ \varphi^2(\lambda) = -(\lambda + 1)^2 & \Rightarrow \varphi(\lambda) = \pm i(\lambda + 1) \end{cases} \quad (2.4.4.9)$$

Deoarece $\phi(\theta, \lambda)$ este o funcție reală, iar soluțiile ecuației diferențiale (2.4.4.4) trebuie să fie de asemenea funcții reale, vom selecta următoarele soluții:

$$\begin{aligned} \phi_1(\theta, \lambda) &= \cos(\lambda - 1)\theta \\ \phi_2(\theta, \lambda) &= \cos(\lambda + 1)\theta \\ \phi_3(\theta, \lambda) &= \sin(\lambda - 1)\theta \\ \phi_4(\theta, \lambda) &= \sin(\lambda + 1)\theta \end{aligned} \quad (2.4.4.10)$$

Evident că soluția finală a ecuației (2.4.4.8) va fi o combinație liniară a soluțiilor (2.4.4.10):

$$\phi(\theta, \lambda) = A \cos(\lambda - 1)\theta + B \cos(\lambda + 1)\theta + C \sin(\lambda - 1)\theta + D \sin(\lambda + 1)\theta \quad (2.4.4.11)$$

A, B, C, D fiind constante care vor fi determinate din condițiile la limită în tensiuni.

Relația (2.4.4.11) combinată cu (2.4.4.7) se introduce în relațiile (2.4.4.9) și obținem:

$$\begin{cases} \sigma_r = r^{\lambda-1} [\phi''(\theta) + (\lambda+1)\phi(\theta)] & (a) \\ \sigma_\theta = r^{\lambda-1} \cdot \lambda(\lambda+1)\phi(\theta) & (b) \\ \tau_{r\theta} = -r^{\lambda-1} \cdot \lambda \cdot \phi'(\theta) & (c) \end{cases} \quad (2.4.4.12)$$

Condițiile de frontieră exprimă faptul că pe muchiile creștăturii, pentru $\theta = \pm \alpha$, avem $\sigma_\theta = 0$ și $\tau_{r\theta} = 0$, de aceea vom dezvolta numai ultimele două relații din (2.4.4.12) :

$$\begin{cases} \sigma_\theta = r^{\lambda-1} \cdot \lambda(\lambda+1)[A \cos(\lambda-1)\theta + B \cos(\lambda+1)\theta + C \sin(\lambda-1)\theta + D \sin(\lambda+1)\theta] & (2.4.4.13) \\ \tau_{r\theta} = -r^{\lambda-1} \cdot \lambda [-A(\lambda-1)\sin(\lambda-1)\theta - B(\lambda+1)\sin(\lambda+1)\theta + \\ \quad + C(\lambda-1)\cos(\lambda-1)\theta + D(\lambda+1)\cos(\lambda+1)\theta] & (2.4.4.14) \end{cases}$$

Condițiile de frontieră sunt evidente :

$$\theta = \pm \alpha \Rightarrow \sigma_\theta|_{\theta=\pm\alpha} = 0 \quad ; \quad \tau_{r\theta}|_{\theta=\pm\alpha} = 0 \quad (2.4.4.15)$$

Introducem notația :

$$\omega = \frac{\lambda-1}{\lambda+1} \quad (2.4.4.16)$$

Atunci expresia lui $\tau_{r\theta}$ va fi :

$$\tau_{r\theta} = r^{\lambda-1} \cdot \lambda(\lambda+1)[A\omega \sin(\lambda-1)\theta + B\sin(\lambda+1)\theta - C\omega \cos(\lambda-1)\theta - D\cos(\lambda+1)\theta]$$

Impunând condițiile la limită vom avea:

$$\left. \begin{aligned} \theta = \alpha \rightarrow \sigma_\theta = 0 &\Rightarrow A \cos(\lambda-1)\alpha + B \cos(\lambda+1)\alpha + C \sin(\lambda-1)\alpha + D \sin(\lambda+1)\alpha = 0 \\ \theta = -\alpha \rightarrow \sigma_\theta = 0 &\Rightarrow A \cos(\lambda-1)\alpha + B \cos(\lambda+1)\alpha - C \sin(\lambda-1)\alpha - D \sin(\lambda+1)\alpha = 0 \\ \theta = \alpha \rightarrow \tau_{r\theta} = 0 &\Rightarrow A\omega \sin(\lambda-1)\alpha + B\sin(\lambda+1)\alpha - C\omega \cos(\lambda-1)\alpha - D\cos(\lambda+1)\alpha = 0 \\ \theta = -\alpha \rightarrow \tau_{r\theta} = 0 &\Rightarrow -A\omega \sin(\lambda-1)\alpha - B\sin(\lambda+1)\alpha - C\omega \cos(\lambda-1)\alpha - D\cos(\lambda+1)\alpha = 0 \end{aligned} \right\} \quad (2.4.4.17)$$

Prin adunări și scăderi ale ecuațiilor de mai sus, putem scrie sistemul obținut sub o formă matricială convenabilă, matricea coeficienților fiind o matrice bloc-diagonală.

$$\begin{bmatrix} \cos(\lambda-1)\alpha & \cos(\lambda+1)\alpha & 0 & 0 \\ \omega \sin(\lambda-1)\alpha & \sin(\lambda+1)\alpha & 0 & 0 \\ 0 & 0 & \sin(\lambda-1)\alpha & \sin(\lambda+1)\alpha \\ 0 & 0 & \omega \cos(\lambda-1)\alpha & \cos(\lambda+1)\alpha \end{bmatrix} \cdot \begin{bmatrix} A \\ B \\ C \\ D \end{bmatrix} = \begin{bmatrix} 0 \\ 0 \\ 0 \\ 0 \end{bmatrix} \quad (2.4.4.18)$$

Am obținut în felul acesta o primă concluzie interesantă, observând că A și B sunt independente de C și D, ceea ce înseamnă că în ecuația (2.4.4.11) coeficienții A și B corespund unor sarcini simetrice (modul I) iar coeficienții C și D unor sarcini antisimetrice (modul II).

Sistemul de ecuații algebrice (2.4.4.18) este un sistem liniar și omogen, care pentru a avea o soluție diferită de soluția banală, trebuie să aibă determinantul principal egal cu zero. Această condiție revine la a scrie:

$$\begin{cases} \sin(\lambda+1)\alpha \cdot \cos(\lambda-1)\alpha - \omega \cos(\lambda+1)\alpha \cdot \sin(\lambda-1)\alpha = 0 & (2.4.4.19) \\ \sin(\lambda-1)\alpha \cdot \cos(\lambda+1)\alpha - \omega \cos(\lambda-1)\alpha \cdot \sin(\lambda+1)\alpha = 0 & (2.4.4.20) \end{cases}$$

Înlocuind $\omega = \frac{\lambda - 1}{\lambda + 1}$, grupând termenii și utilizând relații cunoscute din trigonometrie, ecuațiile de mai sus se reduc la:

$$\sin 2\lambda\alpha \pm \lambda \sin 2\alpha = 0 \tag{2.4.4.21}$$

Aceasta este o ecuație trigonometrică transcendentă, mult studiată în literatură (v. PARTON [P20] vol.I, p.334). Voi reveni asupra ei.

Voi nota în continuare cu λ_n valorile proprii ale lui λ care sunt soluții ale ecuației (2.4.4.21) în cazul sarcinilor simetrice și cu ξ_n în cazul sarcinilor antisimetrice:

$$\begin{cases} \sin 2\xi_n\alpha - \xi_n \sin 2\alpha = 0 & (2.4.4.21a) \\ \sin 2\lambda_n\alpha + \lambda_n \sin 2\alpha = 0 & (2.4.4.21b) \end{cases}$$

Valoarea particulară $\alpha = \pi$ - ne conduce la un caz practic deosebit de important: **cazul fisurii**. Ecuațiile caracteristice vor fi:

$$\sin(2\pi\lambda_n) = 0 \tag{2.4.4.22a}$$

$$\sin(2\pi\xi_n) = 0 \tag{2.4.4.22b}$$

cu soluțiile :

$$\lambda_n = \frac{n}{2} \quad \text{cu } n=1,3,4,\dots$$

Din șirul valorilor lui n se elimină $n = 2$, care corespunde unei mișcări de solid rigid și soluția banală $n = 0$. Introducând rezultatul obținut în (2.4.4.11), vom avea:

$$\phi(\theta, \lambda) = A_n \cos\left(\frac{n}{2} - 1\right)\theta + B_n \cos\left(\frac{n}{2} + 1\right)\theta + C_n \sin\left(\frac{n}{2} - 1\right)\theta + D_n \sin\left(\frac{n}{2} + 1\right)\theta \tag{2.4.4.23}$$

Revenim la sistemul de ecuații (2.4.4.18) în care vom introduce valorile proprii λ_n și ξ_n și vom obține :

- **pentru sarcini simetrice :**

$$\begin{cases} A_n \cos(\lambda_n - 1)\alpha + B_n \cos(\lambda_n + 1)\alpha = 0 & (2.4.4.24a) \\ A_n \omega \sin(\lambda_n - 1)\alpha + B_n \sin(\lambda_n + 1)\alpha = 0 & (2.4.4.24b) \end{cases}$$

- **pentru sarcini antisimetrice :**

$$\begin{cases} C_n \sin(\lambda_n - 1)\alpha + D_n \sin(\lambda_n + 1)\alpha = 0 & (2.4.4.25a) \\ C_n \omega \cos(\lambda_n - 1)\alpha + D_n \cos(\lambda_n + 1)\alpha = 0 & (2.4.4.25b) \end{cases}$$

Notând : $\frac{A_n}{B_n} = a_n$; $\frac{C_n}{D_n} = c_n$ relațiile precedente devin :

$$\begin{cases} a_n \cos(\lambda_n - 1)\alpha + \cos(\lambda_n + 1)\alpha = 0 \\ a_n \omega \sin(\lambda_n - 1)\alpha + \sin(\lambda_n + 1)\alpha = 0 \end{cases}$$

$$\begin{cases} c_n \sin(\lambda_n - 1)\alpha + \sin(\lambda_n + 1)\alpha = 0 \\ c_n \omega \cos(\lambda_n - 1)\alpha + \cos(\lambda_n + 1)\alpha = 0 \end{cases}$$

Notă: Pentru necesități ulterioare de calcul vom stabili și expresiile deplasărilor în coordonate polare. Pornim de la relațiile cunoscute, prezentate mai sus, (2.4.4.2) și (2.4.4.6):

$$\varepsilon_r = \frac{\partial u}{\partial r} \quad ; \quad \varepsilon_\theta = \frac{u}{r} + \frac{1}{r} \frac{\partial v}{\partial \theta}$$

$$\varepsilon_r = \frac{1}{E} (\sigma_r - \nu \sigma_\theta)$$

$$G = \frac{E}{2(1+\nu)} \Rightarrow E = 2G(1+\nu)$$

$$\varepsilon_\theta = \frac{1}{E} (\sigma_\theta - \nu \sigma_r)$$

$$\begin{cases} \sigma_r = r^{\lambda-1} [\phi''(\theta) + (\lambda+1)\phi(\theta)] \\ \sigma_\theta = r^{\lambda-1} \lambda(\lambda+1)\phi(\theta) \\ \tau_{r\theta} = -r^{\lambda-1} \lambda\phi'(\theta) \end{cases}$$

$$\Rightarrow 2Gu = \frac{r^\lambda}{\lambda(1+\nu)} [\phi''(\theta) + (\lambda+1)\phi(\theta) - \nu\lambda(\lambda+1)\phi(\theta)]$$

$$\begin{cases} \phi(\theta, \lambda) = A \cos(\lambda-1)\theta + B \cos(\lambda+1)\theta + C \sin(\lambda-1)\theta + D \sin(\lambda+1)\theta \\ \phi'(\theta, \lambda) = -A(\lambda-1)\sin(\lambda-1)\theta - B(\lambda+1)\sin(\lambda+1)\theta + \\ \quad + C(\lambda-1)\cos(\lambda-1)\theta + D(\lambda+1)\cos(\lambda+1)\theta \\ \phi''(\theta, \lambda) = -A(\lambda-1)^2 \cos(\lambda-1)\theta - B(\lambda+1)^2 \cos(\lambda+1)\theta - \\ \quad - C(\lambda-1)^2 \sin(\lambda-1)\theta - D(\lambda+1)^2 \sin(\lambda+1)\theta \end{cases}$$

$$\begin{aligned} 2Gu = \frac{r^\lambda}{\lambda(1+\nu)} \{ & A(\lambda-1)^2 \cos(\lambda-1)\theta - B(\lambda+1)^2 \cos(\lambda+1)\theta - \\ & - C(\lambda-1)^2 \sin(\lambda-1)\theta - D(\lambda+1)^2 \sin(\lambda+1)\theta + A(\lambda+1)\cos(\lambda-1)\theta + \\ & + B(\lambda+1)\cos(\lambda+1)\theta + C(\lambda+1)\sin(\lambda-1)\theta + D(\lambda+1)\sin(\lambda+1)\theta - \\ & - \nu\lambda [A(\lambda+1)\cos(\lambda-1)\theta + B(\lambda+1)\cos(\lambda+1)\theta + \\ & + C(\lambda+1)\sin(\lambda-1)\theta + D(\lambda+1)\sin(\lambda+1)\theta] \} \end{aligned}$$

Pentru o grupare convenabilă a termenilor, vom face un mic artificiu: Adunăm și scădem:

$$+ A(\lambda-1)\cos(\lambda-1)\theta ; -A(\lambda-1)\cos(\lambda-1)\theta ; C(\lambda-1)\sin(\lambda-1)\theta ; -C(\lambda-1)\sin(\lambda-1)\theta$$

Grupând convenabil termenii, vom avea :

$$\begin{aligned} 2Gu = \frac{r^\lambda}{\lambda(1+\nu)} \{ & -A\lambda(\lambda-1)\cos(\lambda-1)\theta - B\lambda(\lambda+1)\cos(\lambda+1)\theta - \\ & - C\lambda(\lambda-1)\sin(\lambda-1)\theta - D\lambda(\lambda+1)\sin(\lambda+1)\theta + 2\lambda A \cos(\lambda-1)\theta + 2\lambda C \sin(\lambda-1)\theta \\ & - \nu\lambda [A(\lambda+1)\cos(\lambda-1)\theta + B(\lambda+1)\cos(\lambda+1)\theta + C(\lambda+1)\sin(\lambda-1)\theta + D(\lambda+1)\sin(\lambda+1)\theta] \} \\ & + A(\lambda+1)\cos(\lambda-1)\theta \quad + C(\lambda+1)\sin(\lambda-1)\theta \\ & - A(\lambda+1)\cos(\lambda-1)\theta \quad - C(\lambda+1)\sin(\lambda-1)\theta \end{aligned}$$

Grupăm iarăși convenabil, făcând să apară factorul $(1+\nu)$:

$$\begin{aligned} 2Gu = \frac{r^\lambda}{1+\nu} \{ & -(1+\nu)(\lambda+1)A \cos(\lambda-1)\theta - (1+\nu)(\lambda+1)B \cos(\lambda+1)\theta - \\ & - (1+\nu)(\lambda+1)C \sin(\lambda-1)\theta - (1+\nu)(\lambda+1)D \sin(\lambda+1)\theta + \\ & + 4A \cos(\lambda-1)\theta + 4C \sin(\lambda-1)\theta \} \end{aligned}$$

În final:

$$2Gu = r^\lambda \left\{ -(\lambda+1)\phi(\theta) + 4(1+\nu)^{-1} [A \cos(\lambda-1)\theta + C \sin(\lambda-1)\theta] \right\}$$

În mod absolut analog se obține:

$$2Gv = r^\lambda \left\{ \phi'(\theta) - 4(1+\nu)^{-1} [-A \sin(\lambda-1)\theta + C \cos(\lambda-1)\theta] \right\}$$

2.4.5. Problema test Nr. V: Fisură la interfața dintre două materiale diferite. Soluția ZAK și WILLIAMS (1963)

Considerăm că la interfața dintre două materiale diferite, omogene și izotrope, există o fisură. Se cere să se calculeze câmpul de tensiuni și deformații în jurul vârfului fisurii.

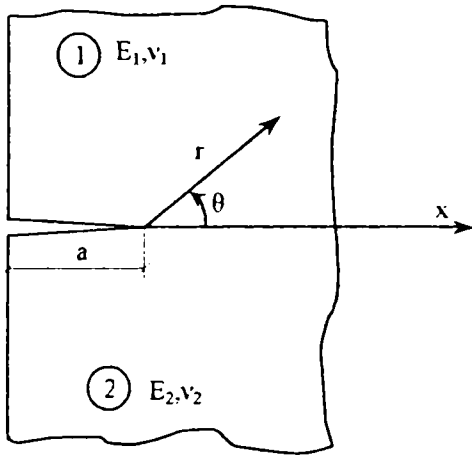


Fig. 2.4.5.1

Și această problemă a fost rezolvată de WILLIAMS în 1959 și definitivată de ZAK și WILLIAMS în 1963. Ne folosim tot de metoda separării variabilelor.

$$F_K(r, \theta) = r^{\lambda+1} \Phi_K(\theta, \lambda), \quad K = 1, 2 \quad (2.4.5.1)$$

unde

$$\Phi_K(\theta, \lambda) = e^{\varphi_K(\lambda)\theta} \quad (2.4.5.2)$$

Urmând calculele prezentate în detaliu la problema test IV, găsim soluția:

$$\phi_K(\theta, \lambda) = A_K \cos(\lambda-1)\theta + B_K \cos(\lambda+1)\theta + C_K \sin(\lambda-1)\theta + D_K \sin(\lambda+1)\theta \quad (2.4.5.3)$$

unde dacă: $K = 1$ – ne referim la materialul 1 ; $K = 2$ – ne referim la materialul 2.

Condițiile la limită pentru această problemă sunt mult mai multe, comparativ cu testul precedent.

- Pentru $\theta = \pm \pi \Rightarrow \sigma_\theta^{(K)} = 0$ (folosim relația (2.4.4.12a) de la problema test nr.IV)

$$\left\{ \begin{array}{l} \theta = +\pi \Rightarrow \sigma_\theta^{(1)} = r^{\lambda-1} \lambda(\lambda+1) [A_1 \cos(\lambda-1)\pi + B_1 \cos(\lambda+1)\pi + C_1 \sin(\lambda-1)\pi + \\ (K=1) \hspace{15em} + D_1 \sin(\lambda+1)\pi] = 0 \end{array} \right. \quad (2.4.5.4)$$

$$\left\{ \begin{array}{l} \theta = -\pi \Rightarrow \sigma_\theta^{(2)} = r^{\lambda-1} \lambda(\lambda+1) [A_2 \cos(\lambda-1)\pi + B_2 \cos(\lambda+1)\pi - C_2 \sin(\lambda-1)\pi - \\ (K=2) \hspace{15em} + D_2 \sin(\lambda+1)\pi] = 0 \end{array} \right. \quad (2.4.5.5)$$

echivalent cu a scrie $\phi_1(\pi) = \phi_2(-\pi) = 0$

- Pentru $\theta = \pm \pi \Rightarrow \tau_{r\theta}^{(K)} = 0$ (folosim relația (2.4.4.12b) de la problema test nr.IV)

$$\left\{ \begin{array}{l} \theta = \pi \Rightarrow \tau_{r\theta}^{(1)} = -r^{\lambda-1} \lambda [-A_1(\lambda-1)\sin(\lambda-1)\pi - B_1(\lambda+1)\sin(\lambda+1)\pi + \\ (K=1) \hspace{15em} + C_1(\lambda-1)\cos(\lambda-1)\pi + D_1(\lambda+1)\cos(\lambda+1)\pi] = 0 \end{array} \right. \quad (2.4.5.6)$$

$$\left\{ \begin{array}{l} \theta = -\pi \Rightarrow \tau_{r\theta}^{(2)} = -r^{\lambda-1} \lambda [A_2(\lambda-1)\sin(\lambda-1)\pi + B_2(\lambda+1)\sin(\lambda+1)\pi + \\ (K=2) \hspace{15em} + C_2(\lambda-1)\cos(\lambda-1)\pi + D_2(\lambda+1)\cos(\lambda+1)\pi] = 0 \end{array} \right. \quad (2.4.5.7)$$

- Continuitatea tensiunilor $\sigma_\theta^{(K)}$ în zona de trecere de la un material la celălalt:

$$\theta = 0 \Rightarrow \sigma_\theta^{(K)} \Big|_{K=1} = \sigma_\theta^{(K)} \Big|_{K=2}$$

Din relațiile precedente (2.4.5.4) și (2.4.5.5) în care în loc de $\theta = \pm \pi$ vom pune $\theta = 0$, obținem imediat:

$$A_1 + B_1 = A_2 + B_2 \quad (2.4.5.8)$$

- Continuitatea tensiunilor tangențiale $\tau_{r\theta}^{(K)}$ în zona de trecere de la un material la celălalt :

$$\theta = 0 \Rightarrow \tau_{r\theta}^{(1)} \Big|_{K=1} = \tau_{r\theta}^{(2)} \Big|_{K=2}$$

Folosind relația (2.4.4.14) de la problema test nr.IV sau relațiile (2.4.5.6) și (2.4.5.7) de mai sus, avem:

$$C_1(\lambda - 1) + D_1(\lambda + 1) = C_2(\lambda - 1) + D_2(\lambda + 1) \quad (2.4.5.9)$$

- În sfârșit, o ultimă condiție exprimă continuitatea deplasărilor pe muchia de separație a celor două materiale.

$$\theta = 0 \Rightarrow \begin{cases} u_r^1 = u_r^2 \\ u_\theta^1 = u_\theta^2 \end{cases} \quad (\text{v. Nota de la problema test nr. IV})$$

unde:

$$\begin{aligned} u_r^K &= \frac{1}{2G_K} r^\lambda \left\{ (\lambda + 1)\phi_K(\theta) + 4(1 + \nu_K)^{-1} [A_K \cos(\lambda - 1)\theta + C_K \sin(\lambda - 1)\theta] \right\} \\ u_\theta^K &= \frac{1}{2G_K} r^\lambda \left\{ \phi'_K(\theta) - 4(1 + \nu_K)^{-1} [-A_K \sin(\lambda - 1)\theta + C_K \cos(\lambda - 1)\theta] \right\} \quad K = 1, 2 \\ \left. \begin{aligned} \frac{1}{2G_1} [-(\lambda + 1)\phi_1(0) + 4(1 + \nu_1)^{-1} \cdot A_1] &= \frac{1}{2G_2} [-(\lambda + 1)\phi_2(0) + 4(1 + \nu_2)^{-1} A_2] \\ \frac{1}{2G_1} [-\phi'_1(0) - 4(1 + \nu_1)^{-1} \cdot C_1] &= \frac{1}{2G_2} [-\phi'_2(0) - 4(1 + \nu_2)^{-1} C_2] \end{aligned} \right\} \quad (2.4.5.10) \end{aligned}$$

Am obținut în final un sistem de opt ecuații liniare omogene cu opt necunoscute: $A_1, B_1, C_1, D_1, A_2, B_2, C_2, D_2$. Dacă ținem cont că avem:

$$\begin{aligned} \phi_1(0) &= A_1 + B_1 & \phi'_1(0) &= C_1(\lambda - 1) + D_1(\lambda + 1) \\ \phi_2(0) &= A_2 + B_2 & \phi'_2(0) &= C_2(\lambda - 1) + D_2(\lambda + 1) \end{aligned} \quad (2.4.5.11)$$

vom obține sistemul final de ecuații algebrice:

$$\left. \begin{aligned} A_1 \cos(\lambda - 1)\pi + B_1 \cos(\lambda + 1)\pi + C_1 \sin(\lambda - 1)\pi + D_1 \sin(\lambda + 1)\pi &= 0 \\ A_2 \cos(\lambda - 1)\pi + B_2 \cos(\lambda + 1)\pi - C_2 \sin(\lambda - 1)\pi - D_2 \sin(\lambda + 1)\pi &= 0 \\ -A_1(\lambda - 1)\sin(\lambda - 1)\pi - B_1(\lambda + 1)\sin(\lambda + 1)\pi + C_1(\lambda - 1)\cos(\lambda - 1)\pi + D_1(\lambda + 1)\cos(\lambda + 1)\pi &= 0 \\ A_2(\lambda - 1)\sin(\lambda - 1)\pi + B_2(\lambda + 1)\sin(\lambda + 1)\pi + C_2(\lambda - 1)\cos(\lambda - 1)\pi + D_2(\lambda + 1)\cos(\lambda + 1)\pi &= 0 \\ A_1 - A_2 + B_1 - B_2 &= 0 \\ C_1(\lambda - 1) - C_2(\lambda - 1) + D_1(\lambda + 1) - D_2(\lambda + 1) &= 0 \\ \left[4(1 + \nu_1)^{-1} - (\lambda + 1) \right] A_1 + \left[K(\lambda + 1) - 4K(1 + \nu_2)^{-1} \right] A_2 - (\lambda + 1)B_1 + K(\lambda + 1)B_2 &= 0 \\ - \left[(\lambda - 1) + 4(1 + \nu_1)^{-1} \right] C_1 + \left[K(\lambda - 1) + 4K(1 + \nu_2)^{-1} \right] C_2 - (\lambda + 1)D_1 + K(\lambda + 1)D_2 &= 0 \end{aligned} \right\} \quad (2.4.5.12)$$

Pentru ca sistemul să aibă o soluție diferită de soluția banală este necesar ca determinantul principal al sistemului să fie nul:

$$\Delta_{pr} = \begin{vmatrix} \cos(\lambda-1)\pi & \cos(\lambda+1)\pi & \sin(\lambda-1)\pi & \sin(\lambda+1)\pi & 0 & 0 & 0 & 0 \\ 0 & 0 & 0 & 0 & \cos(\lambda-1)\pi & \cos(\lambda+1)\pi & -\sin(\lambda-1)\pi & -\sin(\lambda+1)\pi \\ -(\lambda-1)\sin(\lambda-1)\pi & -(\lambda+1)\sin(\lambda+1)\pi & (\lambda-1)\cos(\lambda-1)\pi & (\lambda+1)\cos(\lambda+1)\pi & 0 & 0 & 0 & 0 \\ 0 & 0 & 0 & 0 & (\lambda-1)\sin(\lambda-1)\pi & (\lambda+1)\sin(\lambda+1)\pi & (\lambda-1)\cos(\lambda-1)\pi & (\lambda+1)\cos(\lambda+1)\pi \\ 1 & 1 & 0 & 0 & -1 & -1 & 0 & 0 \\ 0 & 0 & (\lambda-1) & (\lambda+1) & 0 & 0 & -(\lambda-1) & -(\lambda+1) \\ \frac{4}{1+\nu_1}-(\lambda+1) & -(\lambda+1) & 0 & 0 & K(\lambda+1)-\frac{4K}{1+\nu_2} & K(\lambda+1) & 0 & 0 \\ 0 & 0 & -(\lambda-1)-\frac{4}{1+\nu_1} & -(\lambda+1) & 0 & 0 & K\left[(\lambda-1)+\frac{4}{1+\nu_2}\right] & +K(\lambda+1) \end{vmatrix} \quad (2.4.5.13)$$

Am notat : $K = \frac{G_1}{G_2}$.

Dezvoltând acest determinant, după calcule algebrice elementare (dar obositoare), obținem ecuația:

$$\operatorname{ctg}^2 \lambda \pi + \left[\frac{2K(1+\nu_2)^{-1} - 2(1+\nu_1)^{-1} - (K-1)}{2K(1+\nu_2)^{-1} + 2(1+\nu_1)^{-1}} \right]^2 = 0 \quad (2.4.5.14)$$

Se introduce notația:

$$\beta = \frac{2K(1+\nu_2)^{-1} - 2(1+\nu_1)^{-1} - (K-1)}{2K(1+\nu_2)^{-1} + 2(1+\nu_1)^{-1}} \quad (2.4.5.15)$$

Ecuația (2.4.5.14) devine:

$$\operatorname{ctg}^2 \lambda \pi = -\beta^2$$

de unde rezultă imediat:

$$\operatorname{ctg} \lambda \pi = \pm i \beta \quad (2.4.5.16)$$

Pentru a nu exclude valorile complexe ale lui λ , vom considera:

$$\lambda = \lambda_r + i \lambda_j \quad (i = \sqrt{-1}) \quad (2.4.5.17)$$

Vom mai introduce niște notații, (care nu au nimic de-a face cu componentele deplasărilor):

$$\begin{cases} u = \operatorname{tg} \lambda_r \pi \\ v = \operatorname{th} \lambda_j \pi \end{cases} \quad (2.4.5.18)$$

Scriind funcțiile trigonometrice cu ajutorul tangentei de jumătatea argumentului avem:

$$\left. \begin{aligned} \sin 2 \lambda_r \pi &= \frac{2 \operatorname{tg} \lambda_r \pi}{1 + \operatorname{tg}^2 \lambda_r \pi} = \frac{2u}{1 + u^2} \\ \cos 2 \lambda_r \pi &= \frac{1 - \operatorname{tg}^2 \lambda_r \pi}{1 + \operatorname{tg}^2 \lambda_r \pi} = \frac{1 - u^2}{1 + u^2} \\ \operatorname{sh} 2 \lambda_j \pi &= \frac{2 \operatorname{th} \lambda_j \pi}{1 - \operatorname{th}^2 \lambda_j \pi} = \frac{2v}{1 - v^2} \\ \operatorname{ch} 2 \lambda_j \pi &= \frac{1 + \operatorname{th}^2 \lambda_j \pi}{1 - \operatorname{th}^2 \lambda_j \pi} = \frac{1 + v^2}{1 - v^2} \end{aligned} \right\} \quad (2.4.5.19)$$

Din memoratoare pe baza unor relații clasice vom calcula:

$$\operatorname{ctg} z = \frac{\sin 2x - i \operatorname{sh} 2y}{\operatorname{ch} 2y - \cos 2x} \quad (2.4.5.20)$$

Înlocuind relațiile (2.4.5.19) în (2.4.5.20), obținem:

$$\operatorname{ctg} \lambda \pi = \frac{u(1-v^2) - iv(1+u^2)}{u^2 + v^2} = \frac{\operatorname{tg} \lambda_r \pi (1 - \operatorname{th}^2 \lambda_j \pi)}{\operatorname{tg}^2 \lambda_r \pi + \operatorname{th}^2 \lambda_j \pi} - i \frac{(\operatorname{tg}^2 \lambda_r \pi + 1) \operatorname{th} \lambda_j \pi}{\operatorname{tg}^2 \lambda_r \pi + \operatorname{th}^2 \lambda_j \pi} \quad (2.4.5.21)$$

$\underbrace{\hspace{10em}}_{\operatorname{Re}(\operatorname{ctg} \lambda \pi) = 0} \quad \underbrace{\hspace{10em}}_{\operatorname{Im}(\operatorname{ctg} \lambda \pi) = \pm \beta}$

Prin aceste transferări ecuația (2.4.5.14) se reduce în final la:

$$\operatorname{Re}(\operatorname{ctg} \lambda \pi) = 0 \quad (2.4.5.22)$$

$$\operatorname{Im}(\operatorname{ctg} \lambda \pi) = \pm \beta \quad (2.4.5.23)$$

Ne trebuie soluția comună a celor două ecuații. Sunt posibile două situații:

Cazul I: $\operatorname{Re}(\operatorname{ctg} \lambda \pi) = 0 \Rightarrow \operatorname{tg} \lambda_r \pi = 0 \Rightarrow \lambda_r = n = 0, 1, 2, 3, \dots$ (2.4.5.24)

Din această ecuație, relația (2.4.5.23) scrisă cu ajutorul lui (2.4.5.21) ne dă:

$$\frac{1}{\operatorname{th} \lambda_j \pi} = \pm \beta \Rightarrow \operatorname{cth} \lambda_j \pi = \pm \beta \Rightarrow \lambda_j = \pm \frac{1}{\pi} \operatorname{arch} \beta \quad (2.4.5.25)$$

Cazul II: $\operatorname{tg} \lambda_r \pi = \infty \Rightarrow \lambda_r = \frac{2n+1}{2} \quad n = 0, 1, 2, 3, \dots$ (2.4.5.26)

ceea ce conduce la:

$$\operatorname{th} \lambda_j \pi = \pm \beta \Rightarrow \lambda_j = \pm \frac{1}{\pi} \operatorname{arch} \beta = \frac{1}{2\pi} \ln \left[\frac{\beta + 1}{\beta - 1} \right] \quad (2.4.5.27)$$

Se vede că dacă: $v_1 = v_2 \Rightarrow K = 1 \Rightarrow \beta = 0 \Rightarrow \lambda_j = 0$.

În continuare, după ce am calculat valorile lui λ , ne reîntoarcem la calculul câmpului de tensiuni din jurul fisurii. Formula (2.4.5.1) o vom scrie astfel:

$$F(r, \theta) = r^{\lambda+1} \phi(\theta, \lambda) = G(r) \phi(\theta, \lambda) \quad (2.4.5.28)$$

cu notația evidentă $G(r) = r^{\lambda+1}$.

Tensiunile au forma cunoscută (v. problema test nr. IV):

$$\left. \begin{aligned} \sigma_r &= \frac{1}{r^2} \frac{\partial^2 F}{\partial \theta^2} + \frac{1}{r} \frac{\partial F}{\partial r} = r^{-2} G(r) \phi''(\theta) + r^{-1} G'(r) \phi(\theta) \\ \sigma_\theta &= \frac{\partial^2 F}{\partial r^2} = G''(r) \phi(\theta) \\ \tau_{r\theta} &= \frac{1}{r^2} \frac{\partial F}{\partial \theta} - \frac{1}{r} \frac{\partial^2 F}{\partial r \partial \theta} = r^{-2} G(r) \phi'(\theta) - r^{-1} G'(r) \phi'(\theta) \end{aligned} \right\} \quad (2.4.5.29)$$

La calculul derivatelor din relațiile precedente trebuie să ținem cont de forma complexă a lui λ : $\lambda = \lambda_r + i \lambda_j$

$$\begin{aligned} G(r) &= r^{\lambda+1} = r^{(\lambda_r+1) + i \lambda_j} = r^{\lambda_r+1} \cdot r^{i \lambda_j} \\ r^{i \lambda_j} &= e^{i \lambda_j \ln r} \end{aligned} \quad (2.4.5.30)$$

Dar : $\ln r = \ln r + i 2 K \pi$, $K = 0, \pm 1, \pm 2, \dots$

Atunci : $r^{i\lambda_j} = e^{i\lambda_j \ln r} = e^{-2K\pi\lambda_j} e^{i\lambda_j \ln r} = e^{-2K\pi\lambda_j} [\cos(\lambda_j \ln r) + i \sin(\lambda_j \ln r)]$

Pentru $K = 0$ rezultă:

$$r^{i\lambda_j} = \cos(\lambda_j \ln r) + i \sin(\lambda_j \ln r) \quad (2.4.5.31)$$

Cu acest rezultat ecuația (2.4.5.30) devine:

$$G(r) = r^{\lambda_r + 1} [\cos(\lambda_j \ln r) + i \sin(\lambda_j \ln r)] \quad (2.4.5.32)$$

care pentru $\lambda_r = \frac{1}{2}$ ne conduce la :

$$G(r) = r^{\frac{3}{2}} [\cos(\lambda_j \ln r) + i \sin(\lambda_j \ln r)] \quad \text{cu} \quad \operatorname{Re} G(r) = r^{\frac{3}{2}} \cos(\lambda_j \ln r) \quad (2.4.5.33)$$

\Rightarrow

$$[\operatorname{Re} G(r)] = r^{\frac{1}{2}} \left[\frac{3}{2} \cos(\lambda_j \ln r) - \lambda_j \sin(\lambda_j \ln r) \right] \quad (2.4.5.34)$$

$$[\operatorname{Re} G(r)] = r^{-\frac{1}{2}} \left[\left(\frac{3}{2} - \lambda_j^2 \right) \cos(\lambda_j \ln r) - \left(\frac{3}{2} + \frac{\lambda_j}{2} \right) \sin(\lambda_j \ln r) \right] \quad (2.4.5.35)$$

Revenim la soluția (2.4.5.11) de la problema test nr.IV:

$$\phi(\theta, \lambda) = A \cos(\lambda - 1)\theta + B \cos(\lambda + 1)\theta + C \sin(\lambda - 1)\theta + D \sin(\lambda + 1)\theta \quad (2.4.5.36)$$

unde vom înlocui $\lambda = \lambda_r + i \lambda_j$ și vom ține cont de formulele cunoscute:

$$\begin{aligned} \sin(x + iy) &= \sin x \cosh y - i \cos x \sinh y \\ \cos(x + iy) &= \cos x \cosh y + i \sin x \sinh y \end{aligned} \quad (2.4.5.37)$$

Vom avea:

$$\operatorname{Re} \{ \sin [(\lambda_r \pm 1) + i \lambda_j] \theta \} = \sin(\lambda_r \pm 1)\theta \cosh \lambda_j \theta \quad (2.4.5.38)$$

$$\operatorname{Re} \{ \cos [(\lambda_r \pm 1) + i \lambda_j] \theta \} = \cos(\lambda_r \pm 1)\theta \cosh \lambda_j \theta \quad (2.4.5.39)$$

Introducem aceste rezultate în (2.4.5.36) și separăm partea reală:

$$\operatorname{Re} [\phi(\theta)] = \cosh \lambda_j \theta [A \cos(\lambda_r - 1)\theta + B \cos(\lambda_r + 1)\theta + C \sin(\lambda_r - 1)\theta + D \sin(\lambda_r + 1)\theta] \quad (2.4.5.40)$$

$$\begin{aligned} \operatorname{Re} [F(r, \theta)] &= r^{\lambda_r + 1} \cos(\lambda_j \ln r) \cosh \lambda_j \theta [A \cos(\lambda_r - 1)\theta + B \cos(\lambda_r + 1)\theta + \\ &+ C \sin(\lambda_r - 1)\theta + D \sin(\lambda_r + 1)\theta] \end{aligned} \quad (2.4.5.41)$$

Dacă facem:

$$\lambda_r = \frac{1}{2} \Rightarrow \operatorname{Re} [\phi(\theta)] = \cosh \lambda_j \theta \left[A \cos \frac{\theta}{2} + B \cos \frac{3\theta}{2} - C \sin \frac{\theta}{2} + D \sin \frac{3\theta}{2} \right]$$

Pentru calculele ulterioare vom descompune:

* Știm că $\ln(z) = \ln|z| + i \arg z$, unde $|z| = \sqrt{x^2 + y^2} = \sqrt{r^2} = r$

$$\operatorname{Re}[\phi(\theta)] = f(\theta) \cdot g(\theta) \text{ unde: } \begin{cases} f(\theta) = \cosh \lambda_j \theta \\ g(\theta) = A \cos \frac{\theta}{2} + B \cos \frac{3\theta}{2} - C \sin \frac{\theta}{2} + D \sin \frac{3\theta}{2} \end{cases} \quad (2.4.5.42)$$

Impunem condițiile la limită:

- pentru $\theta = \pm \pi \Rightarrow \sigma_\theta = 0$. Din relația (42) $f(+\pi) = f(-\pi) \neq 0 \Rightarrow$

$$g_1(\pi) = -C - D = 0 \Rightarrow C = -D = -a$$

$$g_2(-\pi) = C + D = 0 \Rightarrow C = -D$$

- pentru $\theta = \pm \pi \Rightarrow \tau_{r,\theta} = 0$

Calcululele elementare ne arată că pentru a satisface condițiile de mai sus trebuie să avem:

$$g'_1(\pi) = g'_2(-\pi).$$

Din (2.4.5.43) rezultă:

$$g'(\theta) = -\frac{A}{2} \sin \frac{\theta}{2} - \frac{3B}{2} \sin \frac{3\theta}{2} - \frac{C}{2} \cos \frac{\theta}{2} + \frac{3D}{2} \cos \frac{3\theta}{2}$$

Relația de mai sus ne dă:

$$A = 3B = b$$

Din (2.4.5.42) obținem:

$$g(\theta) = a \left(\sin \frac{\theta}{2} + \sin \frac{3\theta}{2} \right) + b \left(\frac{1}{3} \cos \frac{\theta}{2} + \cos \frac{3\theta}{2} \right)$$

Avem succesiv:

$$f'(\theta) = \lambda_j \operatorname{sh} \lambda_j \theta$$

$$g'(\theta) = a \left(\frac{1}{2} \cos \frac{\theta}{2} + \frac{3}{2} \cos \frac{3\theta}{2} \right) - b \left(\frac{1}{6} \sin \frac{\theta}{2} + \frac{3}{2} \sin \frac{3\theta}{2} \right)$$

$$\phi'(\theta) = f'(\theta)g(\theta) + f(\theta)g'(\theta) =$$

$$= a \left[\operatorname{ch} \lambda_j \theta \left(\frac{1}{2} \cos \frac{\theta}{2} + \frac{3}{2} \cos \frac{3\theta}{2} \right) + \lambda_j \operatorname{sh} \lambda_j \theta \left(\sin \frac{\theta}{2} + \sin \frac{3\theta}{2} \right) \right] +$$

$$+ b \left[\operatorname{ch} \lambda_j \theta \left(-\frac{1}{6} \sin \frac{\theta}{2} - \frac{3}{2} \sin \frac{3\theta}{2} \right) + \lambda_j \operatorname{sh} \lambda_j \theta \left(\frac{1}{3} \cos \frac{\theta}{2} + \cos \frac{3\theta}{2} \right) \right]$$

$$\phi''(\theta) = f''(\theta)g(\theta) + 2f'(\theta)g'(\theta) + f(\theta)g''(\theta) =$$

$$= a \left\{ \operatorname{ch} \lambda_j \theta \left[-\frac{1}{2} \sin \frac{\theta}{2} - \frac{9}{4} \sin \frac{3\theta}{2} \right] + 2\lambda_j \operatorname{sh} \lambda_j \theta \left[\frac{1}{2} \cos \frac{\theta}{2} + \frac{3}{2} \cos \frac{3\theta}{2} \right] + \right.$$

$$\left. + \lambda_j^2 \operatorname{ch}^2 \lambda_j \theta \left[\sin \frac{\theta}{2} + \sin \frac{3\theta}{2} \right] \right\} +$$

$$+ b \left\{ \operatorname{ch} \lambda_j \theta \left[-\frac{3}{4} \cos \frac{\theta}{2} - \frac{9}{4} \cos \frac{3\theta}{2} \right] + 2\lambda_j \operatorname{sh} \lambda_j \theta \left[-\frac{3}{2} \sin \frac{\theta}{2} - \frac{3}{2} \sin \frac{3\theta}{2} \right] + \right.$$

$$\left. + \lambda_j^2 \operatorname{ch}^2 \lambda_j \theta \left[\frac{1}{3} \cos \frac{\theta}{2} + \cos \frac{3\theta}{2} \right] \right\}$$

Cu aceste rezultate expresiile tensiunilor vor deveni:

$$\sigma_r = r^{-\frac{1}{2}} \cos(\lambda_j \ln r) \phi''(\theta) + r^{-\frac{1}{2}} \left[\frac{3}{2} \cos(\lambda_j \ln r) + \lambda_j \sin(\lambda_j \ln r) \right] \phi(\theta)$$

$$\sigma_\theta = r^{-\frac{1}{2}} \left[\left(\frac{3}{4} - \lambda_j^2 \right) \cos(\lambda_j \ln r) + \left(\frac{3}{2} + \frac{\lambda_j}{2} \right) \sin(\lambda_j \ln r) \right] \phi(\theta)$$

$$\tau_{r\theta} = r^{-\frac{1}{2}} \left\{ \left[\cos(\lambda_j \ln r) \right] \phi'(\theta) + \left[\frac{3}{2} \cos(\lambda_j \ln r) + \lambda_j \sin(\lambda_j \ln r) \right] \phi'(\theta) \right\}$$

2.4.6. Contribuții la generalizarea problemei creștăturii de interfață în domeniul vâscoelastic

Am pornit de la ideea că cele două materiale care alcătuiesc semiplanul cu fisură interfacială de la problema test nr.V, ar putea avea o comportare vâscoelastică, manifestându-se fie fenomene de fluaj, fie fenomene de relaxare. Privind această comportare sub alt aspect, putem spune că atât tensiunile, cât și deplasările sunt funcții de timp. Evident că m-am gândit încă de la început că, pentru a elimina factorul timp, trebuie să utilizăm transformate Laplace. Voi detalia această problemă în continuare. *Ea se constituie într-o contribuție teoretică relativă la acest tip de probleme.*

2.4.6.1. Câteva elemente de vâscoelasticitate liniară

Solidele vâscoelastice având capacitatea de a acumula și de a disipa energia mecanică, manifestă simultan proprietățile solidului elastic și ale fluidului vâscos. De aceea ele reprezintă așa-numitele „corpuri cu memorie” deoarece starea de tensiune din momentul considerat t depinde de întreaga „istorie” a deformației, adică de stările de deformație de pe intervalul $(-\infty, t]$.

Cele două fenomene fundamentale care se desfășoară într-un corp din material vâscoelastic sunt: fenomenul de fluaj și fenomenul de relaxare, destul de bine-cunoscute și studiate amândouă. Considerând că materialele posedă proprietăți vâscoelastice facem o ipoteză mult mai apropiată de realitate decât toate cele făcute până acum.

I. Fenomenul de fluaj – reprezintă procesul variației deformației unui corp în funcție de timp în

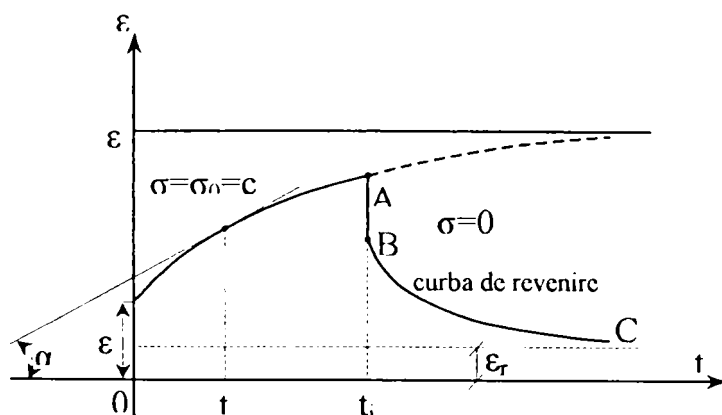


Fig. 2.4.6.1.

condițiile menținerii constante a tensiunii și a temperaturii. Graficul care descrie comportarea la fluaj $\varepsilon = \varepsilon(t)$ are forma din Fig.2.4.6.1. El se obține urmărind creșterea deformației specifice (ε) în timp, la o bară dreaptă de secțiune constantă supusă la întindere sub acțiunea unei tensiuni σ_0 aplicată brusc și menținută constantă. Prin aplicarea instantanee a tensiunii σ_0 la momentul inițial $t=0$, apare deformația specifică instantanee ε_0 dependentă de σ_0 , anume:

$$\sigma_0 = E \varepsilon_0 \tag{2.4.6.1}$$

unde E reprezintă modulul dinamic de elasticitate. Se va constata experimental că deși tensiunea σ_0 este menținută constantă, are loc o creștere a deformației specifice ε în raport cu timpul, creștere care poate fi mărginită, ceea ce înseamnă că graficul $\varepsilon(t)$ admite o asimptotă orizontală $\varepsilon = \varepsilon_1$ (ca în Fig. 2.4.6.2) sau creșterea lui ε poate fi continuă până la rupere: se spune că materialul cercetat are proprietățile unui lichid vâscos. O prezentare sintetică și completă a problemelor de reologie se găsește în Radu VOINEA [V21] Cap.46, p.687.

Pentru caracterizarea proprietăților mecanice ale materialelor aflate în condiții de fluaj se definește așa-numita funcție de fluaj $\varphi(\sigma_0, t)$ astfel:

$$\varphi(\sigma_0, t) = \frac{\varepsilon(t)}{\sigma_0}, \quad t \geq 0, \quad T^\circ C = \text{const} \quad (2.4.6.2)$$

unde
$$\lim_{t \rightarrow +0} \varepsilon(t) = \varepsilon(+0) = \varepsilon_0 = \frac{\sigma_0}{E} \quad (2.4.6.3)$$

Deducem de aici că la aplicarea bruscă a sarcinilor corpul posedă proprietăți elastice. De pe grafic se vede că viteza de deformație $\dot{\varepsilon} = \frac{d\varepsilon}{dt} = \text{tg}\alpha$ descreește în raport cu timpul, deci

$$\ddot{\varepsilon} = \frac{d^2\varepsilon}{dt^2} < 0.$$

Dacă la un anumit moment t_i se suprimă brusc încărcarea și se continuă observarea variației deformației specifice ε , curba va avea forma ABC din Fig. 2.4.6.1: o scădere bruscă AB datorită deformației elastice, apoi o scădere progresivă din ce în ce mai lentă, până la o asimptotă orizontală, care definește deformația reziduală (permanentă) ε_r . Curba BC pentru $t \geq t_i$ se numește curbă de fluaj invers sau curbă de revenire. Dacă $\varepsilon_r = 0$ spunem că avem un corp cu elasticitate întârziată.

Printre materialele cu comportare vâscoasă sunt și acelea care au capacitatea să înmagazineze o parte din energia mecanică consumată de forțele exterioare pentru deformarea lor și să difuzeze (să împrăștie) o parte din această energie. Se știe că așa numitul lichid vâscos newtonian, caracterizat prin legea lui Newton

$$\sigma = \eta \frac{d\varepsilon}{dt} \quad (2.4.6.4)$$

unde $\eta \left[\frac{N \cdot s}{m^2} \right]$ este coeficientul dinamic de vâscozitate, are proprietatea de a împrăștia energie mecanică dar nu și de a o înmagazina. Pentru un asemenea lichid vâscos s-a imaginat un corespondent mecanic reprezentat de amortizorul pneumatic liniar. Acesta constă dintr-un piston perforat care se poate deplasa fără frecare într-un cilindru în care se găsește un lichid vâscos.

II. Fenomenul de relaxare. Să presupunem că la momentul $t=0$ am produs în epruveta încercată o tensiune σ_0 care a dat naștere la deformația

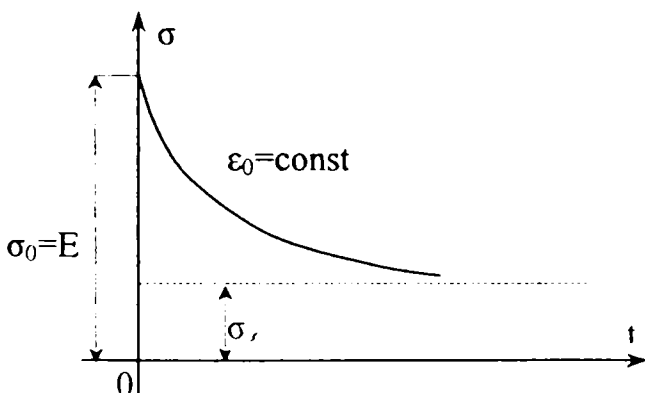


Fig .2.4.6.2.

elastică instantanee $\varepsilon_0 = \frac{\sigma_0}{E}$. Să mai presupunem că printr-un procedeu oarecare menținem constantă deformația ε_0 . Atunci vom constata că tensiunea σ din bară scade în timp în mod continuu de la o valoare σ_0 la o valoare asimptotică $\sigma_\infty = E_\infty \cdot \varepsilon_0$.

Fenomenul descris de această experiență și ilustrat grafic în Fig. 2.4.6.2 se numește **fenomen de relaxare**. Pentru a caracteriza comportarea corpului studiat din punct de vedere al fenomenului de relaxare se definește **funcția de relaxare**.

$$r(\varepsilon_0, t) = \frac{\sigma(t)}{\varepsilon_0} \quad (2.4.6.5)$$

Se observă că $\sigma \geq 0$, $\dot{\sigma} \leq 0$, $\ddot{\sigma} \geq 0$, deci funcția de relaxare are proprietățile:

$$r \geq 0, \quad \dot{r} \leq 0, \quad \ddot{r} \geq 0 \quad (2.4.6.6)$$

Cu ajutorul funcțiilor de fluaj și relaxare putem studia proprietățile mecanice ale corpurilor vâscoase.

2.4.6.2. Legi constitutive

a). Solide elastice

Reamintim (vezi §2.2) că proprietățile elastice ale unui material omogen, izotrop și liniar elastic sunt caracterizate prin trei constante elastice de material E , G , ν , din care numai două sunt independente, deoarece:

$$G = \frac{E}{2(1+\nu)} \quad (2.4.6.7)$$

Se mai definesc:

- constanta elastică a lui Lamé (notată și λ):

$$\Lambda = \frac{E\nu}{(1+\nu)(1-2\nu)} = \frac{2G\nu}{1-2\nu} \quad (2.4.6.8)$$

- deformația specifică volumică (numită și dilatarea cubică):

$$\varepsilon_V = \theta = \varepsilon_x + \varepsilon_y + \varepsilon_z = \varepsilon_1 + \varepsilon_2 + \varepsilon_3 = \text{const.}$$

- modulul de compresibilitate hidrostatică sau modulul volumetric:

$$K = \Lambda + \frac{2}{3}\nu \quad (2.4.6.9)$$

- valorile medii:

$$\sigma_m = \frac{\sigma_1 + \sigma_2 + \sigma_3}{3} = \frac{I_1\sigma}{3}; \quad \varepsilon_m = \frac{\varepsilon_{11} + \varepsilon_{22} + \varepsilon_{33}}{3} = \frac{\theta}{3} = \frac{\varepsilon_V}{3} \quad (2.4.6.10)$$

Cu valorile medii se definesc tensorii sferici și tensorii deviatori:

$$\begin{aligned} \sigma_{ij} &= \sigma_{ij}^s + \sigma_{ij}^d \\ \varepsilon_{ij} &= \varepsilon_{ij}^s + \varepsilon_{ij}^d \end{aligned} \quad \text{unde: } \sigma_{ij}^s = \frac{\sigma_{kk}}{3} \delta_{ij}; \quad \varepsilon_{ij}^s = \frac{\varepsilon_{kk}}{3} \delta_{ij} \quad i, j, k = 1, 2, 3 \quad (2.4.6.11)$$

O serie de legi amintite în § 2.1. se scriu astfel:

$$\sigma_{ij} = 2G\varepsilon_{ij} + \lambda\theta\delta_{ij} \quad (\text{Lamé}) \quad (2.4.6.12)$$

$$E\varepsilon_{ij} = (1+\nu)\sigma_{ij} - \nu \left(\sum_k \sigma_{kk} \right) \delta_{ij} \quad (\text{Hooke}) \quad (2.4.6.13)$$

$$\sigma_m = 3K\varepsilon_m \quad (2.4.6.14)$$

$$\sigma_{ij}^d = 2G\varepsilon_{ij}^d \quad (2.4.6.15)$$

b). Fluidul lui Newton (corpuri vâscoase)

La lichidele newtoniene în mișcare, deformațiile sunt însoțite de tensiuni tangențiale care se opun mișcării, modificând repartiția vitezelor. Legea lui Newton (2.4.6.4) este valabilă numai

pentru fluidele newtoniene în regim de scurgere laminară. Ea are aceeași formă și pentru componentele tensorilor T_σ și T_ϵ :

$$\sigma_{ij}^s = A \cdot \dot{\epsilon}_{ij}^s \quad ; \quad \sigma_{ij}^d = B \cdot \dot{\epsilon}_{ij}^d \quad (2.4.6.16)$$

unde: A – vâscozitatea dinamică de volum; B – vâscozitatea dinamică de formă.

În starea de repaus tensorul tensiunilor se reduce numai la un tensor sferic al unei compresiuni hidrostatice p :

$$\sigma_{ij}^s = -p\delta_{ij} \quad (2.4.6.17)$$

Deoarece în timpul deplasării în fiecare moment starea de tensiune și deformație se schimbă, în relații trebuie introduse vitezele de deformații. De exemplu viteza de deformație cubică $\dot{\theta}$:

$$\dot{\theta} = \sum_i \epsilon_{ij} = \sum_i \frac{\partial v_i}{\partial x_i} \quad \Rightarrow \quad d\theta = \dot{\epsilon}_{ij}^s dt \quad (2.4.6.18)$$

În aceste condiții, pentru fluide vâscoase, ecuațiile lui Lamé au forma:

$$\sigma_{ij} = -p\delta_{ij} + \bar{\lambda}\dot{\theta}\delta_{ij} + 2\bar{\eta}\dot{\epsilon}_{ij} \quad (2.4.6.19)$$

unde $\bar{\lambda}$ și $\bar{\eta}$ sunt caracteristici de vâscozitate și se numesc *coeficienții lui Navier*. Se observă că în aceste relații a apărut o necunoscută în plus: presiunea p , în repaus.

c). Corpuri bolzmaniene

Corpuri la care se aplică principiul lui Boltzmann al suprapunerii efectelor se numesc corpuri bolzmaniene sau corpuri care posedă vâscozitate liniară. Vom analiza pe scurt curbele de fluaj și relaxare pentru materialele bolzmaniene.

Curba de fluaj: Presupunem că aplicăm o tensiune care este funcție de timp $\sigma = \sigma(t)$.

Dacă notăm $\frac{d\sigma}{dt} = \sigma'(t)$ obținem în final:

$$\epsilon(t) = \int_{-\infty}^t \sigma'(\tau) f(t-\tau) d\tau \quad (2.4.6.20)$$

Aceasta este o ecuație integrală de tip VOLTERRA.

Dacă pentru $\tau < 0 \Rightarrow \sigma = 0$, iar pentru $\tau > 0$, $\sigma = \sigma_0$, putem scrie:

$$\epsilon(t) = \sigma_0 K_0 + \int_0^t \sigma_0 f'(t-\tau) d\tau \quad (2.4.6.21)$$

unde $f'(t-\tau)$ este numită **funcție de memorie**.

Dacă se integrează vom avea:

$$\epsilon(t) = \sigma_0 K_0 + \sigma_0 [f(t) - f(0)] \quad (2.4.6.22)$$

Se alege $f(0) = K_0 \Rightarrow \epsilon(t) = \sigma_0 f(t)$.

Primitiva funcției de memorie este tocmai funcția de fluaj.

Curba de relaxare. Introducând o funcție de memorie $r'(t-\tau)$, tensiunea totală va fi:

$$\sigma(t) = \epsilon(t)G_0 + \int_{-\infty}^t \epsilon(\tau)r'(t-\tau) d\tau \quad (2.4.6.23)$$

Punând $r(0) = G_0$, se găsește

$$\sigma(t) = \eta_0 \varepsilon(t) + \int_0^t \varepsilon'(\tau) r(t-\tau) d\tau \quad (2.4.6.24)$$

d). Solide vâscoelastice izotrope

Fie $\sigma(\mathbf{r}, t)$ și $\varepsilon(\mathbf{r}, t)$, $(\mathbf{r}, t) \in \Omega \times \mathbf{R} \subset \mathbf{R}^3 \times \mathbf{R}$ câmpurile tensoriale ale tensiunii și deformației specifice ale căror componente admitem că sunt funcții de clasă $C^{0,0}(\Omega \times \mathbf{R})$ și satisfac condițiile:

$$\sigma_{ij} = 0, \varepsilon_{ij} = 0 \quad \text{pentru } t \leq 0, \forall (\mathbf{r})(x_h) \in \Omega \subset \mathbf{R}^3$$

care corespund stării naturale a solidului înainte de $t = 0$.

Într-o reprezentare funcțională legătura dintre cele două câmpuri se poate scrie:

$$\sigma_{ij}(\mathbf{r}, t) = L_{ij}(\varepsilon_{kl}) \quad k, l = 1, 2, 3 \quad (2.4.6.25)$$

Dacă și \mathbf{r} și t sunt variabile L_{ij} reprezintă un operator, astfel că relația precedentă se poate scrie condensat:

$$\sigma = L\varepsilon \quad (2.4.6.26)$$

$$L: C^{0,0}(\Omega, \mathbf{R}) \rightarrow \mathbf{R}; \quad \varepsilon_{kl} = 0 \text{ pentru } t < 0.$$

În mod riguros, vom numi **solid liniar vâscoelastic** un solid deformabil cu deformații liniarizate (gradientul deplasării $u_{i,j} \ll 1$) la care legea constitutivă are forma $\sigma = L\varepsilon$ și verifică următoarele condiții:

- $\forall \varepsilon', \varepsilon'' \in C^{0,0}(\Omega \times \mathbf{R})$, pentru $t < 0 \Rightarrow \varepsilon' = \varepsilon'' = 0$
- $\forall \alpha', \alpha'' \in \mathbf{R} \Rightarrow L(\alpha' \varepsilon' + \alpha'' \varepsilon'') = \alpha' L(\varepsilon') + \alpha'' L(\varepsilon'')$
- $\forall t, \tau \in \mathbf{R}$ avem $\varepsilon'(\mathbf{r}, t) = \varepsilon(\mathbf{r}, t - \tau) \Rightarrow \sigma(\mathbf{r}, t) = L(\varepsilon'(\mathbf{r}, t)) = \sigma(\mathbf{r}, t - \tau)$
- $\forall t \in \mathbf{R}, \forall \mathbf{r} \in \Omega$ fixați $\exists \mu_t > 0$ astfel încât:

$$|L(\varepsilon(\mathbf{r}, t))| \leq \mu_t \|\varepsilon(\mathbf{r}, t)\|$$

unde:

$$\|\varepsilon(\mathbf{r}, t)\| = \max_{\tau \in [0, t]} \left\{ |\varepsilon_{ij}(\mathbf{r}, t)| \right\}$$

Condițiile impuse funcționalei L au următoarea interpretare mecanică:

- \rightarrow exprimă liniaritatea funcționalei L iar din punct de vedere mecanic asigură aplicarea principiului suprapunerii efectelor al lui Boltzmann privind solidele liniar vâscoelastice;
- \rightarrow arată independența față de originea de măsurare a timpului, pentru L ;
- \rightarrow arată că L este mărginită, și împreună cu b) asigură continuitatea ei.

Pe componente se poate scrie:

$$\sigma_{ij}(\mathbf{r}, t) = L_{ijkl} \varepsilon_{kl}(\mathbf{r}, t) \quad (i, j, k, l = 1, 2, 3)$$

Această lege constitutivă se poate reprezenta cu ajutorul **integralei Stieltjes** în baza unei teoreme a lui **F. Riesz** astfel:

$$\sigma_{ij}(\mathbf{r}, t) = \int_0^t \varepsilon_{kl}(\mathbf{r}, t - \tau) d\Psi_{ijkl}(\mathbf{r}, t) = \int_0^\infty \varepsilon_{kl}(\mathbf{r}, t - \tau) d\Psi_{ijkl}(\mathbf{r}, t) \quad (2.4.6.27)$$

unde Ψ_{ijkl} sunt funcții cu variație mărginită în raport cu $t \in \mathbf{R}$, pe orice interval $[a, b] \subset \mathbf{R}$ și nule pentru $t \leq 0$. Funcțiile Ψ_{ijkl} se numesc **funcții de relaxare** și sunt componentele unui tensor de

ordinul patru simetric în raport cu indicii (i,j) și (k,l); cele 36 de componente distincte caracterizează complet solidul vâscoelastic liniar anizotrop.

Pe baza unor proprietăți ale integralei Stieltjes, legea constitutivă are forma:

$$\sigma_{ij}(\mathbf{r}, t) = \varepsilon_{kl}(\mathbf{r}, t) \Psi_{ijkl}(\mathbf{r}, 0+) + \int_0^t \varepsilon_{kl}(\mathbf{r}, t - \tau) \frac{\partial \tilde{\Psi}_{ijkl}(\mathbf{r}, \tau)}{\partial \tau} d\tau \quad (2.4.6.28)$$

Dacă aceste mărimi fundamentale admit o transformată Laplace, legea constitutivă se poate scrie:

$$\tilde{\sigma}_{ij}(\mathbf{r}, p) = \tilde{\varepsilon}_{kl}(\mathbf{r}, p) p \tilde{\Psi}_{ijkl}(\mathbf{r}, p) \quad (2.4.6.29)$$

Astfel legile din domeniul elastic se pot transpune în domeniul vâscoelastic dacă se stabilesc următoarele corespondențe:

$$\begin{aligned} \sigma_{ij}(\mathbf{r}, t) &\leftrightarrow \tilde{\sigma}_{ij}(\mathbf{r}, p) \\ C_{ijkl} &\leftrightarrow p \tilde{\Psi}_{ijkl}(\mathbf{r}, p) \end{aligned} \quad (2.4.6.30)$$

Ca exemplu să transpunem legea constitutivă a solidelor vâscoelastice izotrope:

$$\tilde{\sigma}_{ij}(\mathbf{r}, p) = \tilde{\lambda}(\mathbf{r}, p) \delta_{ij} \tilde{\varepsilon}(\mathbf{r}, p) + 2\tilde{\mu}(\mathbf{r}, p) \tilde{\varepsilon}_{ij}(\mathbf{r}, p) \quad (2.4.6.31)$$

și analog:

$$\left. \begin{aligned} \tilde{\sigma}_{ij}^d(\mathbf{r}, p) &= 2\tilde{\mu}(\mathbf{r}, p) \tilde{\varepsilon}_{ij}^d(\mathbf{r}, p) \\ \tilde{\sigma}_{ij}^s(\mathbf{r}, p) &= 3\tilde{K}(\mathbf{r}, p) \tilde{\varepsilon}_{ij}^s(\mathbf{r}, p) \\ \tilde{K}(\mathbf{r}, p) &= \tilde{\lambda}(\mathbf{r}, p) + \frac{2}{3}\tilde{\mu}(\mathbf{r}, p) \end{aligned} \right\} \quad (2.4.6.32)$$

Distribuția μ se numește **modulul de relaxare la alunecare** și K se numește **modulul de relaxare la dilatare volumetrică**.

Reținem de aici faptul că problemele fundamentale formulate pentru solidul elastic vor fi identice și pentru solidul vâscoelastic, deoarece deosebirea dintre ele este dată numai de legea constitutivă. Între legile constitutive ale celor două modele de solide există o dependență specifică constând în faptul că imaginea Laplace (sau Fourier) în distribuții a legii constitutive a solidului vâscoelastic coincide ca structură matematică cu legea lui Hooke de la solidele elastice unde variabila complexă p a transformatei Laplace joacă rol de parametru ca și $\mathbf{r} \in \Omega \subset \mathbf{R}^3$. Pornind de la această idee, V. Volterra a arătat că rezolvarea problemelor vâscoelasticității se reduce în esență la probleme ale teoriei elasticității. Astfel T. ALFREY și E. H. LEE au formulat o metodă de rezolvare a problemelor de vâscoelasticitate numită **principiul corespondenței** sau **principiul lui Volterra**.

Aplicând transformata Laplace în distribuții obținem:

- **Ecuatii de echilibru static:**

$$\tilde{\sigma}_{ij,j}(\mathbf{r}, p) + \tilde{X}_i(\mathbf{r}, p) = 0 \quad (2.4.6.33)$$

- **Ecuatii geometrice:**

$$\tilde{\varepsilon}_{ij}(\mathbf{r}, p) = \frac{1}{2}(\tilde{u}_{i,j} + \tilde{u}_{j,i}) \quad (2.4.6.34)$$

- **Condițiile de frontieră:**

$$\left. \begin{aligned} \tilde{\sigma}_{ij}(\mathbf{r}, p) \cdot n_j(\mathbf{r}) &= \tilde{p}_i^*(\mathbf{r}, p) \quad \text{pe } S_\sigma \\ \tilde{u}_i \tilde{\sigma}_{ij}(\mathbf{r}, p) &= \tilde{u}_i^*(\mathbf{r}, p) \quad \text{pe } S_u \end{aligned} \right\} \quad (2.4.6.35)$$

- Legi constitutive:

$$\left. \begin{aligned} 2\tilde{\sigma}_{ij}^d(\mathbf{r}, p) &= 2\tilde{\mu}^*(\mathbf{r}, p)\tilde{\varepsilon}_{ij}^d(\mathbf{r}, p) \\ \tilde{\sigma}_{ij}^s(\mathbf{r}, p) &= 3\tilde{K}^*(\mathbf{r}, p)\tilde{\varepsilon}_{ij}^s(\mathbf{r}, p) \end{aligned} \right\} \quad (2.4.6.36)$$

- Ecuații de compatibilitate:

$$\tilde{\varepsilon}_{ij,kl}(\mathbf{r}, p) + \tilde{\varepsilon}_{lk,ij}(\mathbf{r}, p) = \tilde{\varepsilon}_{jk,il}(\mathbf{r}, p) + \tilde{\varepsilon}_{il,kj}(\mathbf{r}, p) \quad (2.4.6.37)$$

2.4.6.3. Modele mecanice pentru descrierea comportării vâscoelastice

Se utilizează de obicei patru modele mecanice simple (sau fundamentale): resortul, amortizorul, patina și regulatorul.

Resortul (Fig.2.4.6.3) – simbolizează un corp dotat cu o elasticitate totală și instantanee, având masa neglijabilă, numit corpul lui Hooke.

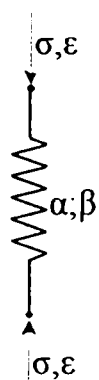


Fig. 2.4.6.3

$$\left. \begin{aligned} \sigma_{ij}^s &= \alpha \varepsilon_{ij}^s \\ \sigma_{ij}^d &= \beta \varepsilon_{ij}^d \end{aligned} \right\} \quad (2.4.6.38)$$

Proportionalitatea dintre tensorii sferici și deviatori introduce două constante elastice independente α, β , care în funcție de natura solicitării iau diferite denumiri. De exemplu, pentru forfecare pură $\alpha = \beta = G$ - modulul de elasticitate transversal.

Amortizorul (Fig. 2.4.6.4) – este reprezentat printr-un piston perforat, care se deplasează fără frecare solidă într-un cilindru în care se găsește un fluid newtonian. Relațiile între tensorii sferici și deviatori sunt:

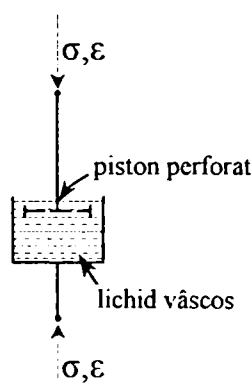


Fig. 2.4.6.4

$$\left. \begin{aligned} \sigma_{ij}^s &= A \dot{\varepsilon}_{ij}^s \\ \sigma_{ij}^d &= B \dot{\varepsilon}_{ij}^d \end{aligned} \right\} \quad (2.4.6.39)$$

Patina (Fig. 2.4.6.5) – simbolizează frecarea solidă. Creșterea tensiunilor are efect numai când s-a ajuns la limita de curgere, după care tensiunea rămâne constantă.

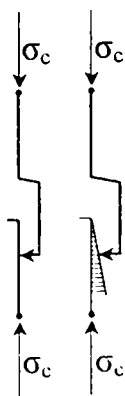


Fig. 2.4.6.5

-pentru materialele ideal plastice.

$$-\sigma_c \leq \sigma \leq \sigma_c$$

La limită există relația:

$$\sigma = \sigma_c \cdot \frac{\dot{\varepsilon}}{|\dot{\varepsilon}|} \quad (2.4.6.40)$$

În cazul materialelor cu consolidare se folosește o patină înclinată (patina lui Képès) care simbolizează sporul de rezistență după atingerea limitei de curgere, domeniu în care frecarea este proporțională cu deformația.

$$\sigma = K \left| \varepsilon \right| \frac{\dot{\varepsilon}}{|\dot{\varepsilon}|} \tag{2.4.6.41}$$

Regulatorul (Fig. 2.4.6.6) – simbolizează corpurile care până la o anumită viteză de deformare $\dot{\varepsilon}_c$ nu opun nici o rezistență la deformare, dar nici nu permit să se depășească niciodată această viteză de deformare.

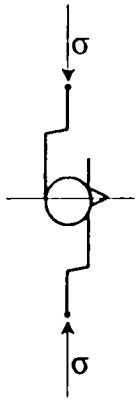


Fig. 2.4.6.6

$$-\dot{\varepsilon}_c \leq \dot{\varepsilon} \leq \dot{\varepsilon}_c \tag{2.4.6.42}$$

Gruparea modelelor mecanice elementare

Modelul KELVIN-VOIGT (Fig. 2.4.6.7) este alcătuit din legarea în paralel a unui resort cu un amortizor; aceasta înseamnă că ambele elemente vor avea aceeași deformare iar tensiunea rezultantă este egală cu suma tensiunilor elementelor:

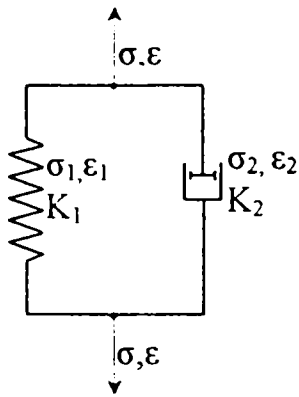


Fig. 2.4.6.7

$$\begin{aligned} \sigma &= \sigma_1 + \sigma_2 = K_1 \varepsilon_1 + K_2 \dot{\varepsilon}_2 \\ \varepsilon &= \varepsilon_1 = \varepsilon_2 \end{aligned}$$

Aceasta este ecuația de stare la momentul t , care scrisă mai explicit este:

$$\frac{d\varepsilon}{dt} + \frac{K_1}{K_2} \varepsilon = \frac{1}{K_2} \sigma(t)$$

Prin integrare rezultă:

$$\varepsilon(t) = e^{-\frac{K_1}{K_2} t} \left(\frac{1}{K_2} \int_0^t \sigma(t) e^{\frac{K_1}{K_2} t} dt + \varepsilon_0 \right) \tag{2.4.6.43}$$

Ecuția diagramei de fluaj se obține considerând $\sigma = \sigma_0 = const$

$$\varepsilon(t) = e^{-\frac{K_1}{K_2} t} \varepsilon_0 + \frac{\sigma_0}{K_1} \left(1 - e^{-\frac{K_1}{K_2} t} \right) \tag{2.4.6.44}$$

Dacă se consideră că la $t = 0 \Rightarrow \varepsilon_0 = 0$ rezultă

$$\varepsilon(t) = \frac{\sigma_0}{K_1} \left(1 - e^{-\frac{K_1}{K_2} t} \right) \tag{2.4.6.45}$$

De aici rezultă expresia funcției de fluaj:

$$f(t) = \frac{\varepsilon(t)}{\sigma_0} = \frac{1}{K_1} \left(1 - e^{-\frac{K_1}{K_2} t} \right) \tag{2.4.6.46}$$

Pentru solicitări monoaxiale $K_1 = E$; $K_2 = \eta$; nu există fenomene de relaxare. Pentru $t \leq 0$, luăm $\sigma(0) = \varepsilon(0) = 0$. La $t = 0 +$ aplicăm o încărcare variabilă:

$$\sigma(t) = \left(K_1 + K_2 \frac{\partial}{\partial t} \right) \varepsilon(t) \quad | \cdot e^{-pt} \tag{2.4.6.47}$$

$$\underbrace{\int_0^\infty \sigma(t) e^{-pt} dt}_{\tilde{\sigma}(p)} = K_1 \underbrace{\int_0^\infty \varepsilon(t) e^{-pt} dt}_{\tilde{\varepsilon}(p)} + K_2 \underbrace{\int_0^\infty \frac{\partial \varepsilon(t)}{\partial t} e^{-pt} dt}_{p\tilde{\varepsilon}(p) - \varepsilon(0)} \tag{2.4.6.48}$$

$$\tilde{\sigma}(p) = K_1 \tilde{\varepsilon}(p) + K_2 [p\tilde{\varepsilon}(p) - \varepsilon(0)] \quad \varepsilon(0) = 0$$

$$\tilde{\varepsilon}(p) = \frac{\tilde{\sigma}(p)}{K_1 + pK_2} = \frac{\tilde{\sigma}(p)}{K_2 \left(p + \frac{K_1}{K_2} \right)} \tag{2.4.6.49}$$

Revenim în domeniul timpului aplicând transformata Laplace inversă:

$$f_1(p) = \tilde{\sigma}(p) \Rightarrow f_1(t) = \mathcal{L}^{-1}(\tilde{\sigma}(p)) = \sigma(t)$$

$$f_2(p) = \frac{1}{K_2 \left(p + \frac{K_1}{K_2} \right)} \Rightarrow f_2(t) = \mathcal{L}^{-1} \left[\frac{1}{K_2 \left(p + \frac{K_1}{K_2} \right)} \right] = \frac{1}{K_2} e^{-\frac{K_1}{K_2} t} \tag{2.4.6.50}$$

$$\mathcal{L}[\varepsilon(t)] = \tilde{\varepsilon}(p) = f_1(p) \cdot f_2(p)$$

Conform teoremei convoluției:

$$\varepsilon(t) = \int_0^t f_1(\tau) f_2(t - \tau) d\tau = \frac{1}{K_2} \int_0^t \sigma(\tau) e^{-\frac{K_1}{K_2}(t-\tau)} dt \tag{2.4.6.51}$$

Modelul MAXWELL (Fig. 2.4.6.8) – se obține prin legarea în serie a unui resort cu un amortizor. Ecuația de stare este imediată:

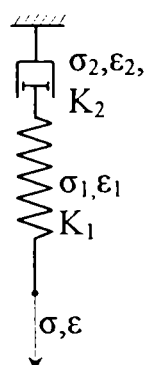


Fig. 2.4.6.8

$$\sigma = \sigma_1 = \sigma_2$$

$$\varepsilon = \varepsilon_1 + \varepsilon_2$$

$$\varepsilon_1 = \frac{\sigma_1}{K_1}; \quad \dot{\varepsilon}_2 = \frac{\sigma_2}{K_2}$$

$$\dot{\varepsilon} = \dot{\varepsilon}_1 + \dot{\varepsilon}_2 = \frac{\dot{\sigma}}{K_1} + \frac{\sigma}{K_2} \Leftrightarrow \dot{\sigma} + \frac{K_1}{K_2} \sigma = K_1 \dot{\varepsilon}$$

$$\sigma(t) = e^{-\frac{K_1}{K_2} t} \cdot \sigma_0 + K_1 \int \dot{\varepsilon} \cdot e^{\frac{K_1}{K_2} t} dt \tag{2.4.6.52}$$

$$\mathcal{L}^{-1} \left(\frac{1}{p+a} \right) = e^{-at}$$

$$f(t) = \frac{1}{K_1} \left(1 + \frac{K_1}{K_2} t \right) ; \quad r(t) = K_1 e^{-\frac{K_1}{K_2} t} \quad (2.4.6.53)$$

Raportul $\tau_r = \frac{K_2}{K_1}$ se numește **timp de relaxare** .

Modelul ZENER (Fig. 2.4.6.9) – este format din legarea în paralel a unui corp Maxwell cu un resort. Se pot scrie relațiile evidente:

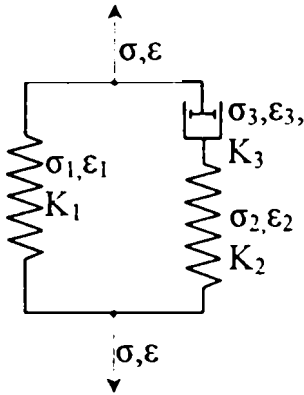


Fig. 2.4.6.9

$$\begin{cases} \sigma = \sigma_1 + \sigma_2 \\ \epsilon = \epsilon_1 = \epsilon_2 + \epsilon_3 \end{cases}$$

unde $\sigma_1 = K_1 \epsilon_1 = K_1 \epsilon$; $\sigma_2 = K_2 \epsilon_2 = K_3 \dot{\epsilon}_3$

Pentru a găsi ecuația reologică a corpului trebuie să găsim o relație între tensiunile și deformațiile specifice ale întregului model și derivatele lor – $f(\sigma, \epsilon, \dot{\sigma}, \dot{\epsilon})$.

După calcule elementare găsim:

$$\left(\lambda + \frac{K_1}{K_2} \right) \dot{\epsilon}(t) + \frac{K_1}{K_3} \epsilon(t) = \frac{1}{K_2} \dot{\sigma}(t) + \frac{1}{K_3} \sigma(t) \quad (2.4.6.54)$$

Modelul BÜRGER (Fig. 2.4.6.10). – este alcătuit dintr-un model Maxwell legat în serie cu un model Kelvin. Rezultă că tensiunea din cele două corpuri este aceeași (σ) în timp ce deformațiile vor diferi. Vom nota cu σ_M și ϵ_M - tensiunea, respectiv deformația specifică în corpul Maxwell,

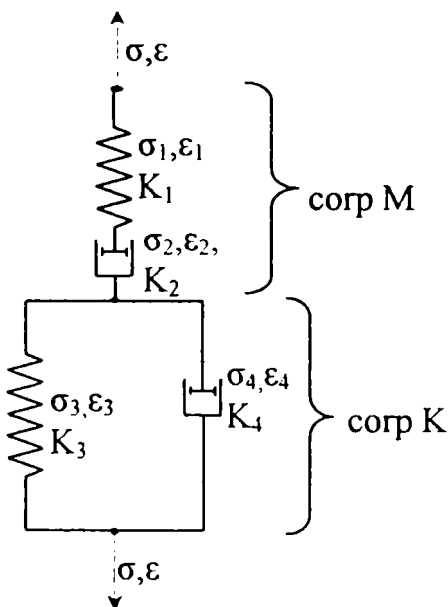


Fig. 2.4.6.10

și cu σ_K, ϵ_K tensiunea și deformația specifică în corpul Kelvin.

$$\begin{cases} \sigma(t) = \sigma_M = \sigma_K \\ \epsilon(t) = \epsilon_M + \epsilon_K \end{cases}$$

Înlocuind datele cunoscute anterior se obține ecuația de stare a corpului Bürger:

$$\dot{\epsilon}(t) = \frac{\dot{\sigma}(t)}{K_1} + \frac{\sigma(t)}{K_2} + \frac{d}{dt} \left[e^{-\frac{K_3}{K_4} t} \left(\epsilon_0 + \frac{1}{K_4} \int_0^t \sigma(t) e^{\frac{K_3}{K_4} t} dt \right) \right] \quad (2.4.6.55)$$

Dacă vom considera că $\sigma(t) = \sigma_0 = const \Rightarrow \dot{\sigma} = 0$ și integrăm în raport cu timpul obținând ecuația diagramei de fluaj:

$$\epsilon(t) = \frac{\sigma_0 t}{K_2} + \epsilon_0 e^{-\frac{K_3}{K_4} t} + \frac{\sigma_0}{K_3} \left(1 - e^{-\frac{K_3}{K_4} t} \right) \quad (2.4.6.56)$$

Modelul KELVIN-VOIGT generalizat (Fig. 2.4.6.11) – se compune dintr-un resort legat în serie cu n modele Kelvin. Fiind legate în serie

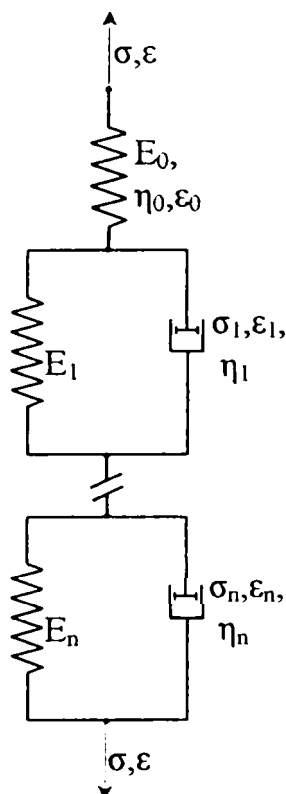


Fig.2.4.6.11

că tensiunea totală este egală cu tensiunea din fiecare element, iar deformația totală este egală cu suma deformațiilor fiecărui element. În aceste condiții avem:

$$\varepsilon(t) = \varepsilon_0 + \sum_{i=1}^n \varepsilon_i(t)$$

$$\sigma(t) = E_0 \varepsilon_0 + \left(E_i + \eta_i \frac{\partial}{\partial t} \right) \varepsilon_i(t)$$

În final

$$\varepsilon(t) = \sigma_0 \left[\frac{1}{E_0} + \sum_{i=1}^n \frac{1}{E_i} \left(1 - e^{-\frac{E_i t}{\eta_i}} \right) \right] \tag{2.4.6.57}$$

Modelul MAXWELL generalizat (Fig.2.4.6.12) – este alcătuit din n elemente Maxwell legate în paralel. În acest caz deformația totală a modelului este egală cu deformația fiecărui element iar tensiunea totală este egală cu suma tensiunilor în fiecare element.

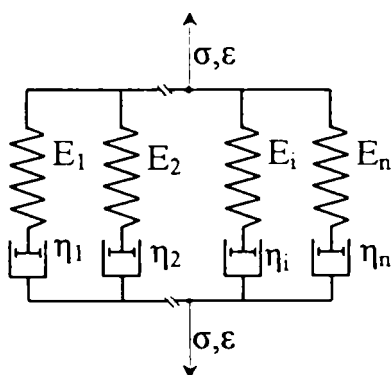


Fig.2.4.6.12

În acest caz deformația totală a modelului este egală cu deformația fiecărui element iar tensiunea totală este egală cu suma tensiunilor în fiecare element.

$$\varepsilon(t) = \varepsilon_i \quad i = 1, 2, \dots, n$$

$$\sigma(t) = \sum_{i=1}^n \sigma_i$$

În final se obține:

$$\sigma(t) = \int_0^t \frac{\partial \varepsilon(\tau)}{\partial \tau} r(t - \tau) d\tau \tag{2.4.6.58}$$

Cu funcția de relaxare:

$$r(t) = \sum_{i=1}^n E_i e^{-\frac{E_i t}{\eta_i}} \tag{2.4.6.59}$$

2.4.7. Rezolvarea problemei test nr.V pentru materiale vâscoelastice. Soluția autoarei.

Revenim la problema test nr.V. Deoarece toate mărimile care intervin în studiu sunt acum funcții de timp, pentru a elimina dependența de acest parametru vom aplica transformata Laplace tuturor ecuațiilor care guvernează fenomenul, cunoscute din (T.E.). Această idee și această posibilitate se bazează pe principiul lui Voltera, sau principiul corespondenței, enunțat mai sus.

Evident că odată demonstrat și acceptat acest principiu au apărut numeroase lucrări bazate pe transformata Laplace și Fourier, cu atât mai mult cu cât diferența de la un caz la celălalt este dată în principal numai de ecuația constitutivă. Voi cita numai câteva dintre lucrările mai noi pe care le-am studiat efectiv. Ample detalii în acest sens se găsesc în excelenta

monografie a lui W.KECS [K36], în care însă problema este tratată numai în distribuții. Tot dintre lucrările mai ample, de sinteză, citez monografia lui PARTON [P20], care are capitolul V dedicat numai problemei fisurilor în medii vâscoelastice și care rezolvă problemele pe baza unui principiu variațional integral. Dintre articole citez N.KAY /2002 [K32], lucrare pe care am primit-o de la unul dintre autori: E.MADENCI, care cu multă amabilitate a răspuns la solicitările mele de informare bibliografică, trimițându-mi zeci de articole însumând câteva sute de pagini. Lucrarea folosește transformata lui Laplace și conduce problema până la rezolvarea numerică cu element de frontieră; C. ATKINSON/1990 [A41], folosește o dublă corespondență, transformata Laplace de timp și transformata subsecventă Mellin pe coordonata radială r ; KAMINSKI /1980 [K18] se ocupă cu creșterea subcritică a fisurilor în materiale vâscoelastice cu îmbătrânire; J.P. SHI [S23]/1997 studiază tot o fisură interfacială într-o placă finită bimaterială; F.J. LOCKETT [L41] /1969 se ocupă de relațiile constitutive în materiale vâscoelastice neliniare; G.A.C. GRAHAM /1973 [G30] se ocupă în mod esențial de principiul corespondenței în vâscoelasticitatea liniară.

În acest context informațional, precizez condițiile generale în care voi rezolva problema:

- mediul este liniar vâscoelastic în fiecare punct al său;
- nu apar deformații plastice pe marginile fisurii și nici chiar pe frontul fisurii;
- începerea creșterii rapide a fisurii (starea critică) apare la un anumit timp t^* după aplicarea sarcinii.

Vom nota transformatele Laplace de parametru p cu o „bară” ondulată deasupra (tilda).

$$\left. \begin{aligned} \tilde{\sigma}_{lm}^{(k)}(r, \theta, p) &= \int_0^\infty \sigma_{lm}^{(k)}(r, \theta, t) e^{-pt} dt \\ \tilde{\varepsilon}_{lm}^{(k)}(r, \theta, p) &= \int_0^\infty \varepsilon_{lm}^{(k)}(r, \theta, t) e^{-pt} dt \\ \tilde{u}_{lm}^{(k)}(r, \theta, p) &= \int_0^\infty u_{lm}^{(k)}(r, \theta, t) e^{-pt} dt \end{aligned} \right\} \quad (2.4.7.1)$$

Vom utiliza următoarele definiții și notații:

- Transformata Laplace directă:

$$\tilde{f}(\mathbf{x}, p) = L\{f(\mathbf{x}, t), t \rightarrow p\} = \int_0^\infty f(\mathbf{x}, t) e^{-pt} dt \quad (2.4.7.2)$$

- Transformata Laplace inversă:

$$f(\mathbf{x}, t) = L^{-1}\{\tilde{f}(\mathbf{x}, p): p \rightarrow t\} \quad (2.4.7.3)$$

Ecuțiile diferențiale care descriu starea de tensiune și deformație locală în coordonate polare, precum și transformatele lor Laplace, în conformitate cu principiul lui Volterra, vor fi:

- **Ecuțiile de echilibru static**

$$\left\{ \begin{aligned} \frac{\partial \sigma_r^{(k)}}{\partial r} + \frac{1}{r} \frac{\partial \tau_{r\theta}^{(k)}}{\partial \theta} + \frac{1}{r} (\sigma_r^{(k)} - \sigma_\theta^{(k)}) &= 0 \\ \frac{\partial \tau_{r\theta}^{(k)}}{\partial r} + \frac{1}{r} \frac{\partial \sigma_\theta^{(k)}}{\partial \theta} + \frac{2}{r} \tau_{r\theta}^{(k)} &= 0 \end{aligned} \right. \Rightarrow \left\{ \begin{aligned} \tilde{\sigma}_{rr,r}^{(k)} + \frac{1}{r} \tilde{\sigma}_{r\theta,\theta}^{(k)} + \frac{1}{r} (\tilde{\sigma}_{rr}^{(k)} - \tilde{\sigma}_{\theta\theta}^{(k)}) &= 0 \\ \tilde{\sigma}_{r\theta,r}^{(k)} + \frac{1}{r} \tilde{\sigma}_{\theta\theta,\theta}^{(k)} + \frac{2}{r} \tilde{\sigma}_{r\theta}^{(k)} &= 0 \end{aligned} \right. \quad (2.4.7.4)$$

- **Ecuția de continuitate (Lévy)**

$$\nabla^2 I_{1\sigma} = 0 \Rightarrow \left(\frac{\partial^2}{\partial r^2} + \frac{1}{r} \frac{\partial}{\partial r} + \frac{1}{r^2} \frac{\partial^2}{\partial \theta^2} \right) (\tilde{\sigma}_{rr}^{(k)} + \tilde{\sigma}_{\theta\theta}^{(k)}) = 0 \quad (2.4.7.5)$$

În relațiile de mai sus, în spațiul imaginilor Laplace, am trecut la scrierea cu doi indici: $\sigma_r \rightarrow \sigma_{rr}$; $\tau_{r\theta} \rightarrow \sigma_{r\theta}$ etc. și la folosirea virgulei în reprezentarea derivatei: $\frac{\partial \sigma_r}{\partial r} = \sigma_{rr,r}$; $\frac{\partial \tau_{r\theta}}{\partial \theta} = \sigma_{r\theta,\theta}$ etc., datorită generalității acestei scrieri.

• **Ecuatii constitutive (legi de material)**

Legile constitutive, adică acele relații care leagă între ele tensiunile cu deformațiile specifice cu ajutorul unor caracteristici de material, sunt cele care fac să se deosebească între ele solidele deformabile.

Legi constitutive foarte generale pentru materiale vâscoelastice găsim în monografia lui W. KECS [K36], ca de exemplu:

$$\sigma_{ij}(\mathbf{r}, t) = \varepsilon_{kl}(\mathbf{r}, t) \psi_{ijkl}(\mathbf{r}, 0+) + \int_0^t \varepsilon_{kl}(\mathbf{r}, t - \tau) \frac{\tilde{\partial} \psi_{ijkl}(\mathbf{r}, t)}{\partial \tau} d\tau \quad (2.4.7.6)$$

unde $\frac{\tilde{\partial}}{\partial \tau}$ reprezintă derivata în sens obișnuit.

Scrișă cu ajutorul produsului de convoluție în spațiul distribuțiilor în raport cu variabila t , vom avea:

$$\sigma_{ij}(\mathbf{r}, t) = \varepsilon_{kl}(\mathbf{r}, t) *_{(t)} \frac{\partial \psi_{ijkl}(\mathbf{r}, t)}{\partial t} \quad (2.4.7.7)$$

sau sub formă echivalentă:

$$\varepsilon_{ij}(\mathbf{r}, t) = \sigma_{kl}(\mathbf{r}, t) *_{(t)} \frac{\partial \varphi_{ijkl}}{\partial t} = \frac{\partial \sigma_{kl}(\mathbf{r}, t)}{\partial t} *_{(t)} \varphi_{ijkl}(\mathbf{r}, t) \quad (2.4.7.8)$$

unde $\varphi = (\varphi_{ijkl})$ reprezintă **tensorul de fluaj** având componentele sale distribuții din K'_+ .

Pentru solide vâscoelastice omogene și izotrope se scrie o lege analoagă legii lui Hooke:

$$\sigma_{ij}(\mathbf{r}, t) = \lambda(\mathbf{r}, t) \delta_{ij} *_{(t)} \varepsilon(\mathbf{r}, t) + 2G(\mathbf{r}, t) *_{(t)} \varepsilon_{ij}(\mathbf{r}, t) \quad (2.4.7.9)$$

a cărei transformată Laplace este:

$$\tilde{\sigma}_{ij}(\mathbf{r}, p) = \tilde{\lambda}(\mathbf{r}, p) \delta_{ij} \tilde{\varepsilon}(\mathbf{r}, p) + 2\tilde{G}(\mathbf{r}, p) \tilde{\varepsilon}_{ij}(\mathbf{r}, p) \quad (2.4.7.10)$$

sau alte forme echivalente:

$$\sigma_{ij}^d = 2G\varepsilon_{ij}^d \Rightarrow \tilde{\sigma}_{ij}^d(\mathbf{r}, p) = 2\tilde{G}(\mathbf{r}, p) \varepsilon_{ij}^d(\mathbf{r}, p) \quad (2.4.7.11)$$

$$\sigma = 3\varepsilon K \Rightarrow \tilde{\sigma}(\mathbf{r}, p) = 3\tilde{K}(\mathbf{r}, p) \tilde{\varepsilon}(\mathbf{r}, p) \quad (2.4.7.12)$$

unde:

$$\sigma = \sigma_{kk} = I_{1\sigma}; \quad \varepsilon = \varepsilon_{kk} = \varepsilon_V = \theta$$

$$\sigma_{ij} = \sigma_{ij}^s + \sigma_{ij}^d \rightarrow \sigma_{ij}^s = \frac{\sigma}{3} \delta_{ij} \quad (2.4.7.13)$$

$$\varepsilon_{ij} = \varepsilon_{ij}^s + \varepsilon_{ij}^d \rightarrow \varepsilon_{ij}^s = \frac{\varepsilon}{3} \delta_{ij}$$

$$K = \lambda + \frac{2}{3}G \Rightarrow \tilde{K}(\mathbf{r}, p) = \tilde{\lambda}(\mathbf{r}, p) + \frac{2}{3}\tilde{G}(\mathbf{r}, p)$$

N, KAY ș.a. [K32], dau următoarele forme:

$$\sigma_{lm}^{(k)}(t) = \int_{-\infty}^{\infty} \left[K_k(t-\tau) \frac{\partial \varepsilon_{lm}^{(k)}(\tau)}{\partial \tau} \delta_{lm} + 2G_k(t-\tau) \left(\frac{\partial \varepsilon_{lm}^{(k)}(\tau)}{\partial \tau} - \frac{1}{2} \frac{\partial \varepsilon_{nn}^{(k)}(\tau)}{\partial \tau} \delta_{lm} \right) \right] d\tau \quad (2.4.7.14)$$

sau, transformata Laplace:

$$\tilde{\sigma}_{lm}^{(k)}(p) = p\tilde{K}_k(p)\tilde{\varepsilon}_{nn}^{(k)}(p)\delta_{lm} + 2p\tilde{G}_k(p) \left(\tilde{\varepsilon}_{lm}^{(k)}(p) - \frac{1}{2}\tilde{\varepsilon}_{nn}^{(k)}(p) \right) \quad (2.4.7.15)$$

unde:

$$\begin{aligned} \tilde{G}_k(p) &= \int_0^{\infty} G_k(t)e^{-pt} dt \\ \tilde{K}_k(p) &= \int_0^{\infty} K_k(t)e^{-pt} dt \Rightarrow \tilde{K}_k(p) = \frac{\tilde{G}_k(p)}{1-2\nu_k} \end{aligned} \quad (2.4.7.16)$$

După G.A.C. GRAHAM [G30]:

$$s_{ij}(\mathbf{x}, t) = \left\{ G_1^* de_{ij} \right\}(\mathbf{x}, t) \quad (2.4.7.17)$$

$$\sigma_{kk}(\mathbf{x}, t) = \left\{ G_2^* d[\varepsilon_{kk} - 3\alpha T] \right\}(\mathbf{x}, t) \quad (2.4.7.18)$$

unde

$$e_{ij}(\mathbf{x}, t) = \varepsilon_{ij}(\mathbf{x}, t) - \frac{1}{3}\delta_{ij}\varepsilon_{kk}(\mathbf{x}, t) - \text{deviatorul stării de deformație} \quad (2.4.7.19)$$

$$s_{ij}(\mathbf{x}, t) = \sigma_{ij}(\mathbf{x}, t) - \frac{1}{3}\delta_{ij}\sigma_{kk}(\mathbf{x}, t) - \text{deviatorul stării de tensiune} \quad (2.4.7.20)$$

G_1, G_2 – sunt niște funcții de timp $0 \leq t \leq \infty$, numite **funcții de relaxare** ale materialului la forfecare, respectiv la compresiune hidrostatică.

Rezolvarea problemei în continuare în domeniul imaginii Laplace se face utilizând descompunerea în serii cu variabile separabile, în forma:

$$\tilde{\sigma}_{lm}^{(k)}(r, \theta; p) = \sum_{n=0}^{\infty} r^{\lambda_n} \tilde{\phi}_{lm}^{(k)}(\theta; p, \lambda_n) \quad (2.4.7.21)$$

unde $l, m = r, \theta; \quad k = 1, 2; \quad \lambda_0 = 0; \quad \lambda_n \neq 0; \quad n = 1, 2, \dots, N$.

$$\tilde{u}_{\beta}^k(r, \theta; p) = \sum_{n=0}^{\infty} r^{\lambda_n+1} \tilde{U}_{\beta}^{(k)}(\theta; p, \lambda_n) \quad (2.4.7.22)$$

Aceste funcții trebuie să satisfacă ecuațiile de echilibru și compatibilitate și vor avea forma:

$$\tilde{\phi}_{rr}^{(k)}(\theta; p, \lambda_n) = \frac{2-\lambda_n}{4} \left[\tilde{A}_n^{(k)} \cos \lambda_n \theta + \tilde{B}_n^{(k)} \sin \lambda_n \theta \right] - \left[\tilde{C}_n^{(k)} \cos(\lambda_n + 2)\theta + \tilde{D}_n^{(k)} \sin(\lambda_n + 2)\theta \right]$$

$$\tilde{\phi}_{\theta\theta}^{(k)}(\theta; p, \lambda_n) = \frac{2+\lambda_n}{4} \left[\tilde{A}_n^{(k)} \cos \lambda_n \theta + \tilde{B}_n^{(k)} \sin \lambda_n \theta \right] + \left[\tilde{C}_n^{(k)} \cos(\lambda_n + 2)\theta + \tilde{D}_n^{(k)} \sin(\lambda_n + 2)\theta \right]$$

$$\tilde{\phi}_{r\theta}^{(k)}(\theta; p, \lambda_n) = \frac{\lambda_n}{4} \left[\tilde{A}_n^{(k)} \sin \lambda_n \theta - \tilde{B}_n^{(k)} \cos \lambda_n \theta \right] - \left[\tilde{C}_n^{(k)} \sin(\lambda_n + 2)\theta - \tilde{D}_n^{(k)} \cos(\lambda_n + 2)\theta \right]$$

$$\tilde{U}_r^{(k)}(\theta; p, \lambda_n) = \frac{1}{\lambda_n + 1} \left\{ \frac{4(1 - \nu_k) - (2 + \lambda_n)}{8p\tilde{G}_k} [\tilde{A}_n^{(k)} \cos \lambda_n \theta + \tilde{B}_n^{(k)} \sin \lambda_n \theta] - \frac{1}{2p\tilde{G}_k} [\tilde{C}_n^{(k)} \cos(\lambda_n + 2)\theta + \tilde{D}_n^{(k)} \sin(\lambda_n + 2)\theta] \right\}$$

$$\tilde{U}_\theta^{(k)}(\theta; p, \lambda_n) = \frac{1}{\lambda_n + 1} \left\{ \frac{4(1 - \nu_k) + \lambda_n}{8p\tilde{G}_k} [\tilde{A}_n^{(k)} \sin \lambda_n \theta - \tilde{B}_n^{(k)} \cos \lambda_n \theta] + \frac{1}{2p\tilde{G}_k} [\tilde{C}_n^{(k)} \sin(\lambda_n + 2)\theta - \tilde{D}_n^{(k)} \cos(\lambda_n + 2)\theta] \right\}$$

Coeficienții necunoscuți din expresiile precedente se vor determina impunând condițiile la limită, care sunt evidente:

- pentru $\theta = \pm\pi \Rightarrow \tilde{\sigma}_{\theta\theta}^{(k)} = 0$; $\tilde{\tau}_{r\theta}^{(k)} = 0$

Aceste condiții exprimă faptul că cele două fețe ale fisurii sunt libere de sarcini:

- pentru $\theta = 0 \Rightarrow \tilde{\sigma}_\theta^{(1)} = \tilde{\sigma}_\theta^{(2)}$; $\tilde{\tau}_{r\theta}^{(1)} = \tilde{\tau}_{r\theta}^{(2)}$; $U_r^{(1)} = U_r^{(2)}$; $U_\theta^{(1)} = U_\theta^{(2)}$.

Aceste condiții exprimă faptul că îmbinarea dintre cele două materiale este perfectă și în zona joncțiunii se asigură continuitatea tensiunilor și deplasărilor.

Vom explicita aceste condiții:

- $\theta = +\pi, (k=1) \Rightarrow \tilde{\sigma}_{\theta\theta}^{(1)} = 0$

$$\frac{2 + \lambda_n}{4} [\tilde{A}_n^1 \cos \lambda_n \pi + \tilde{B}_n^1 \sin \lambda_n \pi] + [\tilde{C}_n^1 \cos(\lambda_n + 2)\pi + \tilde{D}_n^1 \sin(\lambda_n + 2)\pi] = 0$$

- $\theta = -\pi, (k=2) \Rightarrow \tilde{\sigma}_{\theta\theta}^{(2)} = 0$

$$\frac{2 + \lambda_n}{4} [\tilde{A}_n^2 \cos \lambda_n \pi - \tilde{B}_n^2 \sin \lambda_n \pi] + [\tilde{C}_n^2 \cos(\lambda_n + 2)\pi - \tilde{D}_n^2 \sin(\lambda_n + 2)\pi] = 0$$

- $\theta = \pi, (k=1) \Rightarrow \tilde{\tau}_{r\theta}^{(1)} = 0$

$$\frac{\lambda_n}{4} [\tilde{A}_n^1 \sin \lambda_n \pi - \tilde{B}_n^1 \cos \lambda_n \pi] + [\tilde{C}_n^1 \sin(\lambda_n + 2)\pi - \tilde{D}_n^1 \cos(\lambda_n + 2)\pi] = 0$$

- $\theta = -\pi, (k=2) \Rightarrow \tilde{\tau}_{r\theta}^{(2)} = 0$

$$\frac{\lambda_n}{4} [-\tilde{A}_n^2 \sin \lambda_n \pi - \tilde{B}_n^2 \cos \lambda_n \pi] + [-\tilde{C}_n^2 \sin(\lambda_n + 2)\pi - \tilde{D}_n^2 \cos(\lambda_n + 2)\pi] = 0$$

- $\theta = 0 \Rightarrow \tilde{\sigma}_\theta^{(1)} = \tilde{\sigma}_\theta^{(2)}$

$$\frac{2 + \lambda_n}{4} \tilde{A}_n^1 + \tilde{C}_n^1 = \frac{2 + \lambda_n}{4} \tilde{A}_n^2 + \tilde{C}_n^2$$

• $\theta = 0 \Rightarrow \tilde{\tau}_{r\theta}^{(1)} = \tilde{\tau}_{r\theta}^{(2)}$

$$-\frac{\lambda_n}{4} \tilde{B}_n^1 - \tilde{D}_n^1 = -\frac{\lambda_n}{4} \tilde{B}_n^2 - \tilde{D}_n^2$$

• $\theta = 0 \Rightarrow \tilde{U}_r^{(1)} = \tilde{U}_r^{(2)}$

$$\frac{4(1-\nu_1)-(2+\lambda_n)}{8p\tilde{G}_1} \tilde{A}_n^1 - \frac{1}{2p\tilde{G}_1} \tilde{C}_n^1 = \frac{4(1-\nu_2)-(2+\lambda_n)}{8p\tilde{G}_2} \tilde{A}_n^2 - \frac{1}{2p\tilde{G}_2} \tilde{C}_n^2$$

• $\theta = 0 \Rightarrow \tilde{U}_\theta^{(1)} = \tilde{U}_\theta^{(2)}$

$$\frac{4(1-\nu_1)+\lambda_n}{8p\tilde{G}_1} \tilde{B}_n^1 + \frac{1}{2p\tilde{G}_1} \tilde{D}_n^1 = \frac{4(1-\nu_2)-(2+\lambda_n)}{8p\tilde{G}_2} \tilde{B}_n^2 + \frac{1}{2p\tilde{G}_2} \tilde{D}_n^2$$

Se vede că dacă ordonăm relațiile obținute, obținem un sistem algebric linear și omogen. Se știe că pentru ca un astfel de sistem să admită o soluție diferită de soluția banală este necesar și suficient ca determinantul principal al sistemului să fie nul.

$\frac{(2+\lambda_n)}{4} \cos \lambda_n \pi$	$\frac{(2+\lambda_n)}{4} \sin \lambda_n \pi$	$\cos(\lambda_n+2)\pi$	$\sin(\lambda_n+2)\pi$	0	0	0	0
0	0	0	0	$\frac{(2+\lambda_n)}{4} \cos \lambda_n \pi$	$-\frac{(2+\lambda_n)}{4} \sin \lambda_n \pi$	$\cos(\lambda_n+2)\pi$	$-\sin(\lambda_n+2)\pi$
$\frac{\lambda_n}{4} \sin \lambda_n \pi$	$-\frac{\lambda_n}{4} \cos \lambda_n \pi$	$\sin(\lambda_n+2)\pi$	$-\cos(\lambda_n+2)\pi$	0	0	0	0
0	0	0	0	$-\frac{\lambda_n}{4} \sin \lambda_n \pi$	$-\frac{\lambda_n}{4} \cos \lambda_n \pi$	$-\sin(\lambda_n+2)\pi$	$-\cos(\lambda_n+2)\pi$
$\frac{2+\lambda_n}{4}$	0	1	0	$-\frac{2+\lambda_n}{4}$	0	-1	0
0	$-\frac{\lambda_n}{4}$	0	-1	0	$\frac{\lambda_n}{4}$	0	1
$\frac{4(1-\nu_1)-(2+\lambda_n)}{8p\tilde{G}_1}$	0	$-\frac{1}{2p\tilde{G}_1}$	0	$-\frac{4(1-\nu_2)-(2+\lambda_n)}{8p\tilde{G}_2}$	0	$\frac{1}{2p\tilde{G}_2}$	0
0	$\frac{4(1-\nu_1)+\lambda_n}{8p\tilde{G}_1}$	0	$\frac{1}{2p\tilde{G}_1}$	0	$-\frac{4(1-\nu_2)+\lambda_n}{8p\tilde{G}_2}$	0	$-\frac{1}{2p\tilde{G}_2}$

= 0

(2.4.7.23)

Pentru a ușura efortul de calcul și a micșora sursele de erori, vom face unele transformări neesențiale și vom nota:

$$\alpha_1 = 2 - 4\nu_1; \quad \alpha_3 = 4(1 - \nu_1) \quad ; \quad K = \frac{\tilde{G}_1}{\tilde{G}_2}$$

$$\alpha_2 = 2 - 4\nu_2; \quad \alpha_4 = 4(1 - \nu_2)$$

$$\sin(\lambda_n + 2)\pi = \sin(\lambda_n \pi + 2\pi) = \sin \lambda_n \pi$$

$$\cos(\lambda_n + 2)\pi = \cos(\lambda_n \pi + 2\pi) = \cos \lambda_n \pi$$

Cu aceste notații și transformări determinantul sistemului devine:

$(2+\lambda_n) \cos \lambda_n \pi$	$(2+\lambda_n) \sin \lambda_n \pi$	$4 \cos \lambda_n \pi$	$4 \sin \lambda_n \pi$	0	0	0	0
0	0	0	0	$(2+\lambda_n) \cos \lambda_n \pi$	$-(2+\lambda_n) \sin \lambda_n \pi$	$4 \cos \lambda_n \pi$	$-4 \sin \lambda_n \pi$
$\lambda_n \sin \lambda_n \pi$	$-\lambda_n \cos \lambda_n \pi$	$4 \sin \lambda_n \pi$	$-4 \cos \lambda_n \pi$	0	0	0	0
0	0	0	0	$\lambda_n \sin \lambda_n \pi$	$\lambda_n \cos \lambda_n \pi$	$4 \sin \lambda_n \pi$	$4 \cos \lambda_n \pi$
$2+\lambda_n$	0	4	0	$-(2+\lambda_n)$	0	-4	0
0	$-\lambda_n$	0	-4	0	λ_n	0	4
$\alpha_1 - \lambda_n$	0	-4	0	$-(\alpha_2 - \lambda_n)K$	0	$4K$	0
0	$\alpha_3 + \lambda_n$	0	4	0	$-(\alpha_4 + \lambda_n)K$	0	$-4K$

= 0

(2.4.4.24)

Prin dezvoltarea acestui determinant se obține o ecuație trigonometrică reprezentând **ecuația caracteristică** a problemei, ale cărei soluții sunt **valorile proprii**.

Utilizând un program matematic “**Mathematica**” obținem pentru ecuația caracteristică următoarea formă:

$$\begin{aligned} & 2048\alpha_3 \cos^2[\pi\lambda_n] \sin^2[\pi\lambda_n] + 1024\alpha_1\alpha_3 \cos^2[\pi\lambda_n] \cdot \sin^2[\pi\lambda_n] + 2048\alpha_3 K \cos^2[\pi\lambda_n] \sin^2[\pi\lambda_n] + \\ & 1024\alpha_2\alpha_3 K \cos^2[\pi\lambda_n] \sin^2[\pi\lambda_n] + 2048\alpha_4 K \cos^2[\pi\lambda_n] \sin^2[\pi\lambda_n] + \\ & + 1024\alpha_1\alpha_4 K \cos^2[\pi\lambda_n] \sin^2[\pi\lambda_n] + 2048\alpha_4 K^2 \cos^2[\pi\lambda_n] \sin^2[\pi\lambda_n] + \\ & 1024\alpha_2\alpha_4 K^2 \cos^2[\pi\lambda_n] \sin^2[\pi\lambda_n] - 2048\alpha_1 \sin^4[\pi\lambda_n] + 1024\alpha_1\alpha_3 \sin^4[\pi\lambda_n] + \\ & + 2048\alpha_1 K \sin^4[\pi\lambda_n] + 2048\alpha_2 K \sin^4[\pi\lambda_n] - 1024\alpha_2\alpha_3 K \sin^4[\pi\lambda_n] - 1024\alpha_1\alpha_4 K \sin^4[\pi\lambda_n] - \\ & - 2048\alpha_2 K^2 \sin^4[\pi\lambda_n] + 1024\alpha_2\alpha_4 K^2 \sin^4[\pi\lambda_n] = 0 \end{aligned}$$

Simplificând această ecuație obținem:

$$\begin{aligned} & 1024[\alpha_3 + \alpha_2 K + \alpha_3 K + \alpha_4 K - \alpha_2 K^2 + \alpha_4 K^2 + \alpha_2\alpha_4 K^2 + \alpha_1(\alpha_3 - 1 + K) + \\ & (\alpha_1 + \alpha_3 - \alpha_1 K - \alpha_2 K + \alpha_3 K + \alpha_2\alpha_3 K + \alpha_4 K + \alpha_1\alpha_4 K + \alpha_2 K^2 + \alpha_4 K^2) \cdot \\ & \cdot \cos(2\pi\lambda_n)] \cdot \sin^2(\pi\lambda_n) = 0 \end{aligned}$$

soluțiile fiind:

$$\begin{aligned} \lambda_{n1} &= \frac{1}{2\pi} \cdot \arccos \left[\frac{\alpha_1 - \alpha_3 - \alpha_1\alpha_3 - \alpha_1 K - \alpha_2 K - \alpha_3 K - \alpha_4 K + \alpha_2 K^2 - \alpha_4 K^2 - \alpha_2\alpha_4 K^2}{\alpha_1 + \alpha_3 - \alpha_1 K - \alpha_2 K + \alpha_3 K + \alpha_2\alpha_3 K + \alpha_4 K + \alpha_1\alpha_4 K + \alpha_2 K^2 + \alpha_4 K^2} \right] \\ \lambda_{n2} &= -\frac{1}{2\pi} \cdot \arccos \left[\frac{\alpha_1 - \alpha_3 - \alpha_1\alpha_3 - \alpha_1 K - \alpha_2 K - \alpha_3 K - \alpha_4 K + \alpha_2 K^2 - \alpha_4 K^2 - \alpha_2\alpha_4 K^2}{\alpha_1 + \alpha_3 - \alpha_1 K - \alpha_2 K + \alpha_3 K + \alpha_2\alpha_3 K + \alpha_4 K + \alpha_1\alpha_4 K + \alpha_2 K^2 + \alpha_4 K^2} \right] \end{aligned}$$

Transformăm în continuare soluția:

$$\lambda_n = \frac{1}{2\pi} \arccos \frac{A_1 + B_1 K + C_1 K^2}{A_2 + B_2 K + C_2 K^2} = \frac{1}{2\pi} \arccos \frac{A_1 \tilde{G}_2^2 + B_1 \tilde{G}_1 \tilde{G}_2 + C_1 \tilde{G}_1^2}{A_2 \tilde{G}_2^2 + B_2 \tilde{G}_1 \tilde{G}_2 + C_2 \tilde{G}_1^2}$$

unde:

$$\begin{aligned} A_1 &= -2(5 - 12\nu_1 + 8\nu_1^2) & ; & \quad A_2 = 6 - 8\nu_1 \\ B_1 &= -4(3 - 2\nu_1 - 2\nu_2) & ; & \quad B_2 = 4 \\ C_1 &= -2(5 - 12\nu_2 + 8\nu_2^2) & ; & \quad C_2 = 6 - 8\nu_2 \end{aligned}$$

Observăm că G_k^0 , G_k^∞ și τ_k sunt mărimi constante și cunoscute. Mai putem să notăm:

$$\begin{aligned} a_1 &= G_1^\infty; & b_1 &= G_1^0 - G_1^\infty; & c_1 &= \frac{1}{\tau_1}; \\ a_2 &= G_2^\infty; & b_2 &= G_2^0 - G_2^\infty; & c_2 &= \frac{1}{\tau_2}; \\ M_1 &= A_1 a_2^2 + B_1 a_1 a_2 + C_1 a_1^2 & ; & \quad N_1 = A_2 a_2^2 + B_2 a_1 a_2 + C_2 a_1^2 \\ M_2 &= C_1 b_1^2 & ; & \quad N_2 = C_2 b_1^2 \end{aligned}$$

$$\begin{aligned} M_3 &= A_1 b_2^2 & ; & \quad N_3 = A_2 b_2^2 \\ M_4 &= B_1 a_2 b_1 + 2C_1 a_1 b_1 & ; & \quad N_4 = B_2 a_2 b_1 + 2C_2 a_1 b_1 \\ M_5 &= 2A_1 a_2 b_2 + B_1 a_1 b_2 & ; & \quad N_5 = 2A_2 a_2 b_2 + B_2 a_1 b_2 \\ M_6 &= B_1 b_1 b_2 & ; & \quad N_6 = B_2 b_1 b_2 \end{aligned}$$

Astfel că:

$$\lambda_n = \frac{1}{2\pi} \cdot \arccos \left[\frac{\frac{M_1}{p^2} + \frac{M_2}{(p+C_1)^2} + \frac{M_3}{(p+C_2)^2} + \frac{M_4}{p(p+C_1)} + \frac{M_5}{p(p+C_2)} + \frac{M_6}{(p+C_1)(p+C_2)}}{\frac{N_1}{p^2} + \frac{N_2}{(p+C_1)^2} + \frac{N_3}{(p+C_2)^2} + \frac{N_4}{p(p+C_1)} + \frac{N_5}{p(p+C_2)} + \frac{N_6}{(p+C_1)(p+C_2)}} \right]$$

Se mai fac unele transformări, notații și se aduce soluția la forma raportului a două polinoame de gradul patru în p :

$$\cos 2\pi\lambda_n = \frac{K_4^{(1)} p^4 + K_3 p^3 + K_2 p^2 + K_1 p + K_0}{K_4^{(2)} p^4 + K_3 p^3 + K_2 p^2 + K_1 p + K_0}$$

unde am notat:

$$K_4^{(1)} = \sum_{i=1}^6 M_i \quad ; \quad K_2^{(1)} = K_2^{(2)} = K_2 = 3(c_1^2 + 3c_1 c_2 + c_2^2)$$

$$K_4^{(2)} = \sum_{j=1}^6 N_j \quad ; \quad K_1^{(1)} = K_1^{(2)} = K_1 = 3c_1 c_2 (c_1 + c_2)$$

$$K_3^{(1)} = K_3^{(2)} = K_3 = 8(c_1 + c_2) \quad ; \quad K_0^{(1)} = K_0^{(2)} = K_0 = c_1^2 c_2^2$$

Folosim una din teoremele de dezvoltare care ne spune că dacă:

$$F(p) = \frac{A(p)}{B(p)} \text{ cu } A \text{ și } B \text{ polinoame, cu următoarele proprietăți:}$$

- 1) $\text{gr}\{A\} < \text{gr}\{B\}$;
 - 2) $B(p)$ are toate rădăcinile simple; fie acestea p_1, p_2, p_3, p_4 ;
- atunci F este imaginea funcției f , de valori:

$$f(t) = \sum_{k=1}^4 \frac{A(p_k)}{B'(p_k)} e^{p_k t}.$$

În cazul nostru:

$$F(p) = \frac{K_4^{(1)} p^4 + K_3 p^3 + K_2 p^2 + K_1 p + K_0}{K_4^{(2)} p^4 + K_3 p^3 + K_2 p^2 + K_1 p + K_0} = \frac{K_4^{(1)}}{K_4^{(2)}} + \frac{\alpha(K_3 p^3 + K_2 p^2 + K_1 p + K_0)}{K_4^{(2)} p^4 + K_3 p^3 + K_2 p^2 + K_1 p + K_0}$$

unde $\alpha = 1 - \frac{K_4^{(1)}}{K_4^{(2)}}$.

Presupunem că (identificăm notațiile):

$$B(p) = K_4^{(2)}(p - p_1)(p - p_2)(p - p_3)(p - p_4)$$

$$B'(p) = K_4^{(2)} \left[(p - p_2)(p - p_3)(p - p_4) + (p - p_1)(p - p_3)(p - p_4) + \right. \\ \left. + (p - p_1)(p - p_2)(p - p_4) + (p - p_1)(p - p_2)(p - p_3) \right]$$

Atunci:

$$f(t) = \frac{K_4^{(1)}}{K_4^{(2)}} \delta(t) + \frac{\alpha(K_3 p_1^3 + K_2 p_1^2 + K_1 p_1 + K_0)}{K_4^{(2)}(p_1 - p_2)(p_1 - p_3)(p_1 - p_4)} e^{p_1 t} + \\ \frac{\alpha(K_3 p_2^3 + K_2 p_2^2 + K_1 p_2 + K_0)}{K_4^{(2)}(p_2 - p_1)(p_2 - p_3)(p_2 - p_4)} e^{p_2 t} + \frac{\alpha(K_3 p_3^3 + K_2 p_3^2 + K_1 p_3 + K_0)}{K_4^{(2)}(p_3 - p_1)(p_3 - p_2)(p_3 - p_4)} e^{p_3 t} + \\ \frac{\alpha(K_3 p_4^3 + K_2 p_4^2 + K_1 p_4 + K_0)}{K_4^{(2)}(p_4 - p_1)(p_4 - p_2)(p_4 - p_3)} e^{p_4 t},$$

unde $\delta(t)$ este funcția lui Dirac.

Evident că se mai pot comenta și celelalte cazuri care apar de obicei la descompunerea în fracții raționale cunoscute din literatură. Ele nu aduc însă elemente noi și nici nu contribuie la obținerea unei soluții finale; de aceea nu le-am mai prezentat.

Concluzii:

Se observă că rezultatul obținut atât în planul imaginilor Laplace cât și în domeniul funcțiilor original are o formă deosebit de complicată, care nu mai poate fi dezvoltată sub aspect literal. Așa se explică faptul că în literatura cercetată se dau numai soluții numerice, utilizând formulări cu metoda cologației. De aceea și eu sugerez că rezolvarea finală a acestor tipuri de probleme se poate face numai cu o metodă numerică.

§2.5 CONTRIBUȚII LA STUDIUL SOLIDELOR ELASTICE BIDIMENSIONALE CU DEFECTE MULTIPLE

Din cele prezentate până acum se desprinde o concluzie importantă, care a constituit impulsul necesar pentru investigația din acest paragraf: planul infinit cu un singur defect, fie că este vorba de un gol circular sau o incluziune circulară, de un gol sau o incluziune eliptică, de o fisură (tăietură) liniară sau curbă, pentru toate tipurile de solicitări, pentru materiale omogene izotrope sau anizotrope, a fost studiat cu toate metodele matematice posibile. În marea majoritate a cazurilor ele au primit confirmări experimentale și au fost validate prin diverse metode numerice. Deci în esență, acest domeniu se poate considera închis.

Realitatea, legată de construcțiile sudate, de materialele compozite a postulat ideea că toate elementele de rezistență au defecte multiple atât la nivelul microscopic cât și macroscopic. De aceea, în ultimele decenii, marea majoritate a lucrărilor publicate se ocupă cu formularea unor algoritmi de calcul pentru planul finit sau infinit cu defecte multiple. Ca o dominantă a acestor cercetări este utilizarea funcțiilor de variabilă complexă care conduc la ecuații integrale singulare cu nuclee de tip Cauchy. Pornind de la această constatare am considerat necesar să reamintesc câteva noțiuni fundamentale din teoria integralelor de tip Cauchy și a ecuațiilor integrale singulare (deosebit de sumar).

2.5.1. Despre integralele de tip Cauchy

Problema este bine cunoscută și amplu tratată în literatura de specialitate. Evident că cele mai complete și cu accent pe problemele de (M:R) sunt cărțile lui MUSHELIȘVILI [M69], [M70]; vol.III din monografia lui C. IACOB [I1]; monografia lui L. SOLOMON [S50], monografia specifică V.V.PANASIUK [P7], [P12], și SAVRUK [S6], celebra monografie a lui SMIRNOV [S38].

Să presupunem că Γ este frontiera de tip Leapunov a unui domeniu simplu conex; fie $f(t) = f_1(t) + if_2(t)$ o funcție oarecare, în general complexă, dată pe Γ , absolut integrabilă în sens riemannian. Atunci integrala:

$$F(z) = \frac{1}{2\pi i} \int_{\Gamma} \frac{f(t)dt}{t-z} \tag{2.5.1.1}$$

este o funcție analitică pe tot planul variabilei complexe $z = x + iy$ cu excepția punctelor conturului Γ . Aceste integrale de obicei se numesc **integrale de tip CAUCHY**, funcția $f(t)$ se numește „densitate”, iar expresia $1/(t-z)$ se numește „nucleu”.

Dacă funcția $f(t)$ satisface pe Γ condiția lui Hölder (pe scurt condiția H sau $H(\mu)$), ceea ce înseamnă că pentru oricare două puncte ale conturului Γ se satisface inegalitatea:

$$|f(t_2) - f(t_1)| \leq A|t_2 - t_1|^\mu, \quad A > 0, \quad 0 < \mu \leq 1 \tag{2.5.1.2}$$

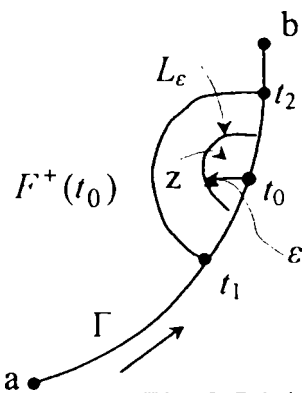


Fig. 2.5.1.1

atunci integrala (2.5.1.1.) are valoare limită $F^+(t_0)$ și $F^-(t_0)$ în toate punctele t_0 ale conturului Γ , care nu coincid cu capetele acestuia, când $z \rightarrow t_0$ corespunzător din stânga (+) sau dreapta (-) față de direcția pozitivă aleasă (v. Fig. 2.5.1.1). Aceste valori limită de asemenea satisfac condiția $H(\mu)$ și se determină cu formulele lui SOHOȚKI-PLEMELJ.

$$F^+(t_0) = \frac{1}{2} f(t_0) + \frac{1}{2\pi i} \int_{\Gamma} \frac{f(t)dt}{t-t_0} \tag{2.5.1.3}$$

$$F^-(t_0) = -\frac{1}{2}f(t_0) + \frac{1}{2\pi i} \int_{\Gamma} \frac{f(t)dt}{t-t_0}, \quad t_0 \in \Gamma \tag{2.5.1.4}$$

Formulele (2.5.1.3.) și (2.5.1.4.) pot fi înlocuite prin formulele echivalente lor:

$$F^+(t_0) - F^-(t_0) = f(t_0)$$

$$F^+(t_0) + F^-(t_0) = \frac{1}{\pi i} \int_{\Gamma} \frac{f(t)dt}{t-t_0}$$

Integrala din partea dreaptă se înțelege în sensul **valorii principale după CAUCHY**, adică:

$$\int_{\Gamma} \frac{f(t)dt}{t-t_0} = \lim_{\epsilon \rightarrow 0} \int_{\Gamma-L_{\epsilon}} \frac{f(t)dt}{t-t_0}, \quad t_0 \in \Gamma \tag{2.5.1.5}$$

unde L_{ϵ} este partea curbei Γ care cade în cercul $|z-t_0| < \epsilon$, infinit mic construit în jurul lui t_0 . Integralele de forma (2.5.1.5) se numesc „**singulare**”; sau, altfel spus, valoarea principală a integralei (2.5.1.1.) există dacă funcția $f(t)$ satisface condiția $H(\mu)$ în vecinătatea punctului t_0 .

Dacă Γ constă dintr-un singur arc de curbă \widehat{ab} , se demonstrează ([M69]):

$$\frac{1}{2\pi i} \int_{ab} \frac{f(t)dt}{t-t_0} = \frac{1}{2}f(t_0) + \frac{1}{2\pi i} f(t_0) \ln \frac{b-t_0}{a-t_0} + \frac{1}{2\pi i} \int_{ab} \frac{f(t)-f(t_0)}{t-t_0} dt \tag{2.5.1.6}$$

Derivarea integralelor lui Cauchy

Derivatele de orice ordin ale funcției $F(z)$ dată de (2.5.1.1) se obțin diferențiind pur și simplu integrala din membrul drept în raport cu parametrul z :

$$F(z) = \frac{1}{2\pi i} \int_{\Gamma} \frac{f(t)dt}{t-z} \Rightarrow F^{(k)}(z) = \frac{k!}{2\pi i} \int_{\Gamma} \frac{f(t)dt}{(t-z)^{k+1}} \tag{2.5.1.7}$$

Dacă vom determina poziția punctului t pe \widehat{ab} cu ajutorul lungimii s a arcului măsurată în sens pozitiv de la un punct fix oarecare pe Γ (de exemplu, de la punctul a) avem evident:

$$\frac{df(t)}{ds} = \frac{df(t)}{dt} \cdot \frac{dt}{ds} = f'(t) \frac{dt}{ds} = e^{i\alpha} f'(t) \Rightarrow f'(t) = e^{-i\alpha} \frac{df(t)}{ds} \tag{2.5.1.8}$$

$$\frac{d^2 f(t)}{ds^2} = f''(t) \left(\frac{dt}{ds}\right)^2 + f'(t) \frac{d^2 t}{ds^2} = e^{2i\alpha} f''(t) + ie^{i\alpha} \frac{d\alpha}{ds} f'(t) \tag{2.5.1.9}$$

etc.

Calculul integralelor de tip Cauchy

Vom aminti unele formule care ușurează calculul integralelor de tip Cauchy. Să considerăm în planul infinit un contur închis de tip Leapunov Γ care delimitează un domeniu finit \mathcal{D}^+ . Vom nota cu \mathcal{D}^- partea infinită a planului compusă din punctele din afara lui Γ (v. Fig.2.5.1.2).

I. Dacă $f(z)$ este o funcție olomorvă în \mathcal{D}^+ și continuă pe $\mathcal{D}^+ \cup \Gamma$, atunci:

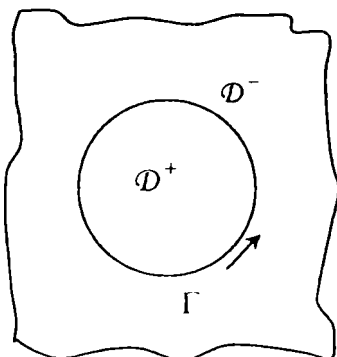


Fig. 2.5.1.2

$$\frac{1}{2\pi i} \int_{\Gamma} \frac{f(t)dt}{t-z} = f(z), \text{ dacă } z \in \mathcal{D}^+ \tag{2.5.1.10}$$

$$\frac{1}{2\pi i} \int_{\Gamma} \frac{f(t)dt}{t-z} = 0, \text{ dacă } z \in \mathcal{D}^- \tag{2.5.1.11}$$

II. Fie $f(z)$ o funcție olomorvă în \mathcal{D}^- inclusiv punctul de la infinit al planului, și continuă în $\mathcal{D}^- \cup \Gamma$. Atunci:

$$\frac{1}{2\pi i} \int_{\Gamma} \frac{f(t)dt}{t-z} = -f(z) + f(\infty), \quad \text{pentru } z \in \mathcal{D}^- \quad (2.5.1.12)$$

$$\frac{1}{2\pi i} \int_{\Gamma} \frac{f(t)dt}{t-z} = f(\infty) \quad , \quad \text{pentru } z \in \mathcal{D}^+ \quad (2.5.1.13)$$

Formula (2.5.1.12) se numește **formula lui Cauchy pentru domeniul infinit** \mathcal{D}^- . Condițiile impuse ne spun că pentru $|z|$ destul de mare, are loc dezvoltarea în serie:

$$f(z) = c_0 + \frac{c_1}{z} + \frac{c_2}{z^2} + \dots \quad (2.5.1.14)$$

unde

$$c_0 = f(\infty)$$

Generalizarea formulelor precedente

Fie a un punct arbitrar din planul z , la distanță finită. Să presupunem că într-o vecinătate a acestui punct funcția $f(z)$ are forma:

$$f(z) = G(z) + f_0(z) \quad (2.5.1.15)$$

unde $f_0(z)$ este o funcție olomorvă în vecinătatea punctului a , iar

$$G(z) = \frac{A_1}{z-a} + \frac{A_2}{(z-a)^2} + \dots + \frac{A_k}{(z-a)^k} \quad (2.5.1.16)$$

unde A_1, A_2, \dots, A_k sunt niște constante complexe.

În aceste condiții se spune că $f(z)$ are în punctul a un pol de ordinul k cu partea principală $G(z)$.

În mod analog, dacă în vecinătatea punctului $z = \infty$ are loc formula (2.5.1.15), unde de data aceasta $f_0(z)$ este o funcție olomorvă în vecinătatea punctului $z = \infty$ și care se anulează în acest punct, iar:

$$G(z) = A_0 + A_1 z + A_2 z^2 + \dots + A_k z^k \quad (2.5.1.17)$$

atunci vom spune că $f(z)$ are în punctul de la infinit un pol de ordinul k cu partea principală $G(z)$.

III. Fie deci funcția $f(z)$ olomorvă în \mathcal{D}^+ , continuă în $\mathcal{D}^+ \cup \Gamma$, eventual cu excepția punctelor a_1, a_2, \dots, a_n în care are poli cu părțile principale $G_1(z), G_2(z), \dots, G_n(z)$. Atunci:

$$\frac{1}{2\pi i} \int_{\Gamma} \frac{f(t)dt}{t-z} = \begin{cases} f(z) - \sum_{j=1}^n G_j(z), & \text{daca } z \in \mathcal{D}^+ \\ - \sum_{j=1}^n G_j(z), & \text{daca } z \in \mathcal{D}^- \end{cases} \quad (2.5.1.18)$$

IV. Dacă funcția $f(z)$ este olomorvă în \mathcal{D}^- și continuă în $\mathcal{D}^- \cup \Gamma$ cu excepția eventual a punctelor a_1, a_2, \dots, a_n din acest domeniu precum și a punctului $z = \infty$, unde are poli cu părțile principale $G_1(z), G_2(z), \dots, G_n(z)$, atunci:

$$\frac{1}{2\pi i} \int_{\Gamma} \frac{f(t)dt}{t-z} = \begin{cases} \sum_{j=1}^n G_j(z), & \text{daca } z \in \mathcal{D}^+ \\ -f(z) + \sum_{j=1}^n G_j(z), & \text{daca } z \in \mathcal{D}^- \end{cases} \quad (2.5.1.19)$$

V. Cu ajutorul datelor de mai sus vom putea calcula integrale singulare de tipul:

$$I(x) = \int_{-l}^l \frac{\sqrt{l^2 - \xi} \varphi(\xi)}{\xi - x} d\xi \quad (2.5.1.20)$$

unde $\varphi(\xi)$ este o funcție rațională cunoscută pe segmentul de integrare.

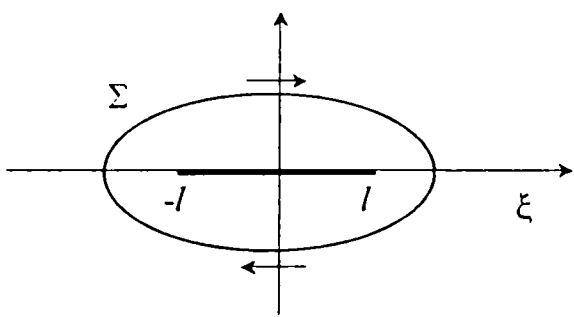


Fig. 2.5.1.3

Vom înconjura segmentul de integrare cu un contur Σ ca în Fig. 2.5.1.3 și vom folosi integrala ajutătoare:

$$\int_{\Sigma} \frac{\sqrt{l^2 - \zeta^2} \varphi(\zeta)}{\zeta - z} d\zeta \tag{2.5.1.21}$$

Vom considera că la valori mari ale lui $|z|$ avem:

$$\sqrt{l^2 - z^2} = -i\sqrt{z^2 - l^2} = -iz \left(1 - \frac{l^2}{2z^2} + \dots \right) \tag{2.5.1.22}$$

Apropiind conturul de integrare Σ până pe tăietura liniară

$$|\zeta| = |\xi + i0| \leq l$$

pe baza relațiilor (2.5.1.18) și (2.5.1.22) vom găsi:

$$J(z) = \int_{-l}^l \frac{\sqrt{l^2 - \xi^2} \varphi(\xi)}{\xi - z} d\xi = \pi \left[\sqrt{z^2 - l^2} \varphi(z) - \sum_j G_j(z) \right] \tag{2.5.1.23}$$

unde $G_j(z)$ - este partea principală a funcției $\sqrt{z^2 - l^2} \varphi(z)$ relativă la polii săi. Pe baza formulelor Sohoți - Plemelj (2.5.1.3) și (2.5.1.4) obținem valoarea integralelor singulare (2.5.1.20).

$$\int_{-l}^l \frac{\sqrt{l^2 - \xi^2} \varphi(\xi)}{\xi - x} d\xi = \frac{1}{2} [J^+(x) + J^-(x)] \tag{2.5.1.24}$$

Dar funcția $\sqrt{l^2 - z^2}$ va avea semne diferite pe marginea de sus și de jos a tăieturii, astfel încât din (2.5.1.23) și (2.5.1.24) pentru $|x| < l$ vom obține:

$$\int_{-l}^l \frac{\sqrt{l^2 - \xi^2} \varphi(\xi)}{\xi - x} d\xi = -\pi \sum_j G_j(x), \quad |x| < l \tag{2.5.1.25}$$

VI. În mod analog găsim valoarea integralei de tip Cauchy:

$$\int_{-l}^l \frac{\varphi(\xi) d\xi}{\sqrt{l^2 - \xi^2} (\xi - z)} = -\pi \left[\frac{\varphi(z)}{\sqrt{z^2 - l^2}} - \sum_j G_j(z) \right] \tag{2.5.1.26}$$

VII. Tot așa obținem și integrala singulară:

$$\int_{-l}^l \frac{\varphi(\xi) d\xi}{\sqrt{l^2 - \xi^2} (\xi - x)} = \pi \sum_j G_j(x), \quad |x| < l \tag{2.5.1.27}$$

VIII. Aplicând același artificiu (cu conturul de integrare Σ) se rezolvă o serie de integrale de tipul:

$$\int_{-l}^l \frac{\varphi(\xi) d\xi}{\sqrt{l^2 - \xi^2}} \tag{2.5.1.28}$$

Aplicând metoda reziduurilor și ținând cont de (2.5.1.22) obținem:

$$\int_{\Sigma} \frac{\varphi(\zeta) d\zeta}{\sqrt{l^2 - \zeta^2}} = -2\pi \sum_k \operatorname{rez} \left\{ \frac{\varphi(z)}{\sqrt{z^2 - l^2}} \right\}_{z=a_k} \tag{2.5.1.29}$$

unde a_k – sunt polii funcției $\varphi(z)/\sqrt{z^2 - l^2}$ în exteriorul conturului Σ , inclusiv punctul de la infinit al planului. De aici, reducând conturul Σ la fisură avem:

$$\int_{-l}^l \frac{\varphi(\xi)d\xi}{\sqrt{l^2 - \xi^2}} = -\pi \sum_k \operatorname{rez} \left\{ \frac{\varphi(z)}{\sqrt{z^2 - l^2}} \right\}_{z=a_k} \quad (2.5.1.30)$$

Problemele conjugării liniare (Mushelișvili)

Vom considera planul infinit cu fisura L pe axa x , $|x| \leq l$, $y = 0$. Vom nota cu $\phi(z)$ o funcție analitică univocă, determinată pe tot planul complex z ; vom zice că este olomorfe pe porțiuni dacă are valoarea limită $\phi^+(x)$ și $\phi^-(x)$ pe marginea superioară și inferioară a tăieturii, iar în punctele $x = \pm l$ are loc inegalitatea:

$$|\phi(z)| < A_1 |z \mp l|^{-\alpha_1}, \quad A_1 > 0, \quad 0 \leq \alpha_1 < 1 \quad (2.5.1.31)$$

Prima problemă a conjugării liniare este determinarea funcției parțial olomorfe $\phi(z)$ după saltul dat pe punctul ℓ :

$$\phi^+(x) - \phi^-(x) = \varphi(x), \quad |x| < l \quad (2.5.1.32)$$

unde $\varphi(x)$ - o funcție dată care satisface condiția $H(\mu)$: (2.5.1.2).

Pe baza relațiilor (2.5.1.3), (2.5.1.4) se poate deduce că soluția limitată la infinit a acestei probleme este dată de:

$$\phi(z) = \frac{1}{2\pi i} \int_{-l}^l \frac{\varphi(x)dx}{x - z} + C \quad (2.5.1.33)$$

unde C este o constantă arbitrară. Soluția nulă la infinit se obține pentru $C=0$.

A doua problemă a conjugării liniare. Se cere determinarea funcției parțial olomorfe $F(z)$ care să satisfacă următoarele condiții pe conturul L :

$$F^+(x) + F^-(x) = f(x), \quad |x| < l \quad (2.5.1.34)$$

unde $f(x)$ este o funcție cunoscută ce satisface condițiile $H(\mu)$.

Să considerăm, de exemplu, funcția:

$$X(z) = \frac{1}{\sqrt{z^2 - l^2}} \quad (2.5.1.35)$$

analitică în afara conturului L , care pentru $|z|$ foarte mare se poate scrie:

$$X(z) = \frac{1}{z} + \frac{l^2}{2z^3} + \dots \quad (2.5.1.36)$$

Ținând cont că:

$$\sqrt{z^2 - l^2} = \begin{cases} \sqrt{x^2 - l^2}, & y \rightarrow \pm 0, \quad x \geq l \\ -\sqrt{x^2 - l^2}, & y \rightarrow \pm 0, \quad x \leq -l \\ \pm i\sqrt{l^2 - x^2}, & y \rightarrow \pm 0, \quad |x| \leq l \end{cases} \quad (2.5.1.37)$$

se demonstrează că la trecerea prin conturul L funcția $X(z)$ schimbă semnul:

$$X^+(x) + X^-(x) = 0, \quad |x| < l \quad (2.5.1.38)$$

Condițiile de graniță (2.5.1.34) se pot scrie acum sub forma:

$$\left[\frac{F(x)}{X(x)} \right]^+ - \left[\frac{F(x)}{X(x)} \right]^- = \frac{f(x)}{X^+(x)}, \quad |x| < l$$

Ajungem tot la prima problemă a conjugării (2.5.1.32), care în cazul dat are soluția:

$$F(z) = \frac{X(z)}{2\pi i} \int_{-l}^l \frac{f(x)dx}{X^+(x)(x-z)} + CX(z) \quad (2.5.1.39)$$

Transformarea integralei tip CAUCHY

Să considerăm următoarea ecuație integrală:

$$\int_{-l}^l \frac{\varphi(t)dt}{t-x} = \pi f(x), \quad |x| < l \quad (2.5.1.40)$$

unde integrala se înțelege în sensul valorii principale a lui Cauchy, iar funcția $f(x)$ satisface condiția $H(\mu)$ (2.5.1.2).

Introducem funcția:

$$\phi(z) = \frac{1}{2\pi i} \int_{-l}^l \frac{\varphi(t)dt}{t-z} \quad (2.5.1.41)$$

Pe baza formulelor Sohoțki-Plemelj, putem scrie pentru această funcție:

$$\phi^+(x) + \phi^-(x) = \frac{1}{\pi i} \int_{-l}^l \frac{\varphi(t)dt}{t-x}, \quad |x| < l \quad (2.5.1.42)$$

Rezultă atunci că ecuația (2.5.1.40) este echivalentă cu problema conjugării tratată mai sus:

$$\phi^+(x) + \phi^-(x) = -if(x), \quad |x| < l \quad (2.5.1.43)$$

deci putem determina pe $\phi(z)$ după o formulă de tipul (2.5.1.39)

$$\phi(z) = -\frac{X(z)}{2\pi} \int_{-l}^l \frac{f(t)dt}{X^+(t)(t-z)} + CX(z) \quad (2.5.1.44)$$

Soluția ecuației (2.5.1.40) se poate scrie:

$$\varphi(x) = \phi^+(x) - \phi^-(x) \quad (2.5.1.45)$$

Dar:

$$X^+(x) = \frac{1}{i\sqrt{l^2-x^2}}; \quad X^-(x) = -\frac{l}{i\sqrt{l^2-x^2}}, \quad |x| < l \quad (2.5.1.46)$$

$$\Rightarrow \varphi(x) = \frac{1}{\pi\sqrt{l^2-x^2}} \left[-\int_{-l}^l \frac{\sqrt{l^2-t^2} f(t)dt}{t-x} + C_1 \right] \quad (2.5.1.47)$$

De obicei $\varphi(x)$ este cunoscută, și atunci:

$$C_1 = \int_{-l}^l \varphi(x)dx \quad (2.5.1.48)$$

Dacă ținem cont că:

$$\frac{1}{\pi} \int_{-l}^l \frac{dt}{\sqrt{l^2-t^2}(t-x)} = \begin{cases} 0, & |x| < l \\ -\frac{\text{sign } x}{\sqrt{x^2-l^2}}, & |x| > l \end{cases} \quad (2.5.1.49)$$

atunci:

$$\varphi(x) = \frac{1}{\pi} \sqrt{\frac{l-x}{l+x}} \int_{-l}^l \sqrt{\frac{l+t}{l-t}} \cdot \frac{f(t)dt}{t-x} \quad (2.5.1.50)$$

Impunând condiția suplimentară:

$$\int_{-l}^l \frac{f(t)dt}{\sqrt{l^2-t^2}} = 0 \quad (2.5.1.51)$$

obținem în final:

$$\varphi(x) = -\frac{\sqrt{l^2-x^2}}{\pi} \int_{-l}^l \frac{f(t)dt}{\sqrt{l^2-t^2}(t-x)}, \quad |x| \leq l \quad (2.5.1.52)$$

2.5.2. Teoria ecuațiilor integrale (t.e.i.) *

În literatura de specialitate românească, (t.e.i) este relativ puțin abordată și reprezentată. Exceptând celebra monografie a lui Traian Lalescu (pe care cu părere de rău nu am studiat-o!) m-am folosit de următoarele lucrări:

- cartea coordonată de CAIUS IACOB: „Matematici clasice și moderne”, vol.III, în care cap.XIV scris de Paul COCĂRLAN (p.178-307) se ocupă de „Ecuatii integrale și elemente de analiză funcțională” [I1];
- excelenta monografie a lui V.I. SMIRNOV [S38] – traducere din limba rusă – care în vol. IV, dedică (t.e.i) Cap.I (p.5-210).

Ambele cărți sunt scrise de matematicieni pentru matematicieni: utile dar dificile. Am apelat mai mult la:

- monografiile lui V.PARTON și P.PERLINE [P20] „Methodes de la théorie mathématique de l'élasticité” (1981); [P19] „Equation intégrales de la théorie de l'élasticité” (1983).
- Evident ca mi-a fost de un real folos cartea lui N.I. MUSHELISVILI [M70] „Singular Integral Equations” (1972), una dintre cele mai citate cărți din literatura specifică.
- Am utilizat de asemenea notele de la cursul ținut de MARC BONNET la Universitatea din București în mai 1993: „Equations intégrales et éléments de frontière en Mécanique des Solides: Théorie, mise en oeuvre, applications” [B62].
- Mai amintesc și teza de doctorat a lui Patrick DANGLA [D3]/1990: „Couplage Éléments finis équations intégrales en élastodynamique et interaction sol-structure”, care utilizează foarte mult (t.e.i.) și funcțiile Green. Lucrarea a făcut parte dintr-un program național extins pe perioada 1985-1990, privind: „Methodes d'équations intégrales appliquées aus sols”.
- Merită evidențiată și cartea autorilor Robert DAUTRAY și Jacques Louis LIONS: „Mathematical Analysis and Numerical Methods for Science and Tehnology, Vol.4: „Integral Equations and Numerical Methods”, Springer Verlag, 1990 [D6].

În literatura modernă, cu ajutorul nucleului ecuației integrale, se definește un **operator integral** astfel că ecuațiile integrale se scriu sub o formă prescurtată, „operatorială” și sunt încadrate în teoria generală a operatorilor ca un capitol de Analiză funcțională. Cărțile utilizate de mine au fost:

- L.V.KANTOROVICI [K23]; N. TEODORESCU [T11]; A. HAIMOVICI [H4] și care dau evident o formă foarte modernă și generală acestei probleme.

1. Într-un sens foarte general, se numește „*ecuație integrală*” (e.i.) o ecuație în care funcția necunoscută $\varphi(x)$ apare și sub semnul integral. Sub aspect matematic o asemenea ecuație se prezintă într-o formă intrinsecă astfel:

$$F\left(x, \varphi(x), \int_{a(x)}^{b(x)} K(x, \xi)\varphi(\xi)d\xi\right) = 0 \quad (2.5.2.1)$$

unde $\varphi(x)$ este funcția necunoscută, iar funcțiile F , K , a , b sunt presupuse cunoscute, mulțimile pe care acestea sunt definite precum și mulțimile în care iau valori se precizează de la caz la caz.

Vom deosebi următoarele tipuri mai importante:

I. ECUAȚII INTEGRALE LINIARE

a). de tip VOLTERA

- de speța întâi (conțin funcția necunoscută φ numai sub semnul integral):

$$\int_a^x K(x, \xi)\varphi(\xi)d\xi + f(x) = 0 \quad (2.5.2.2)$$

* Prima ecuație integrală a fost considerată de N.Abél (1828), iar teoria acestora a fost dezvoltată de Volterra (1896) și E.Fredholm (1900-1902). Matematicianul român Traian I.alescu a scris prima monografie consistentă din lume cu acest subiect. „Introduction à la théorie des équations intégrales” în 1912.

- de speța a doua:

$$\varphi(x) + \lambda \int_a^x K(x, \xi) \varphi(\xi) d\xi + f(x) = 0 \quad (2.5.2.3)$$

b). de tip FREDHOLM

- de speța întâia

$$\int_a^b K(x, \xi) \varphi(\xi) d\xi + f(x) = 0 \quad (2.5.2.4)$$

- de speța a doua

$$\varphi(x) + \lambda \int_a^b K(x, \xi) \varphi(\xi) d\xi + f(x) = 0 \quad (2.5.2.5)$$

Formal cele două tipuri de (e.i) seamănă. Diferența esențială este legată de faptul că la ecuația Fredholm limita superioară a integralei este o constantă, pe când la ecuațiile Volterra este variabilă.

În aceste ecuații funcția K se numește „nucleul (sau sâmburele) ecuației integrale” și cu ajutorul ei se definește operatorul integral K :

$$K\varphi = \int_a^b K(x, \xi) \varphi(\xi) d\xi \quad (2.5.2.6)$$

Ecuațiile integrale de mai sus se pot scrie acum într-o formă operațională:

$$\varphi = \lambda K\varphi + f \quad (2.5.2.7)$$

și se tratează sub aspect foarte general și abstract în cărțile de Analiză funcțională și Teoria operatorilor [C38], [C79], [C80], [G11], [G16], [I13], [K35], [S38], [T11].

În ecuațiile precedente dacă $f(x) = 0$, zicem că avem o **ecuație omogenă**.

II. ECUAȚII INTEGRALE NELINIARE

Nu există o clasificare a lor datorită marii diversități în care sunt întâlnite în literatură. Voi enumera numai câteva tipuri, cu importanță aplicativă:

- **Ecuația lui HAMMMERSTEIN**

$$\varphi(x) = \int_a^b K(x, \xi) F(\xi, \varphi(\xi)) d\xi \quad (2.5.2.8)$$

- **Ecuația neliniară a lui VOLTERRA**

$$\varphi(x) = \int_a^x F(x, \xi, \varphi(\xi)) d\xi \quad (2.5.2.9)$$

III. ECUAȚII INTEGRALE SINGULARE

Au o teorie specială deoarece operatorul integral nu mai poate fi definit cu ajutorul unei integrale obișnuite în sensul lui Riemann sau Lebesgue – ci trebuie definit în valoare principală, în sensul lui Cauchy.

2. Facem unele precizări. Fie $I = [a, b] \subset \mathbf{R}$ și $\Delta = I \times I$. Vom considera că funcțiile: $f: I \rightarrow \mathbf{R}$ sau \mathbf{C} ; $K: \Delta \rightarrow \mathbf{R}$ sau \mathbf{C} ; funcția necunoscută φ , cu valori reale sau complexe, se caută în mulțimea funcțiilor integrabile Riemann pe $I = [a, b]$.

3. Vom analiza pe scurt ecuația integrală Volterra de speța a doua pe care o vom scrie sub forma:

$$\varphi(x) = \lambda \int_a^x K(x, \xi) \varphi(\xi) d\xi + f(x) \quad (2.5.2.10)$$

unde λ este un parametru cu valori reale sau complexe.

Soluțiile ecuației (2.5.2.10) se caută sub forma seriei de funcții:

$$\varphi(x) = \varphi_0(x) + \lambda\varphi_1(x) + \dots + \lambda^n\varphi_n(x) + \dots \tag{2.5.2.11}$$

unde $\varphi_n(x)$ sunt funcții continue pe I care urmează să fie determinate. Din (2.5.2.10) rezultă:

$$\sum_{n=0}^{\infty} \lambda^n \varphi_n(x) = f(x) + \sum_{n=0}^{\infty} \lambda^{n+1} \int_a^x K(x, \xi) \varphi_n(\xi) d\xi \tag{2.5.2.12}$$

Această identitate este verificată pentru orice $\lambda \in \mathbf{R}$ (sau \mathbf{C}) dacă:

$$\begin{aligned} \varphi_0(x) &= f(x) \\ \varphi_1(x) &= \int_a^x K(x, \xi) \varphi_0(\xi) d\xi \end{aligned} \tag{2.5.2.13}$$

$$\varphi_n(x) = \int_a^x K(x, \xi) \varphi_{n-1}(\xi) d\xi$$

Se demonstrează că seria (2.5.2.12) este absolut și uniform convergentă pe $I = [a, b]$ $\forall \lambda \in \mathbf{C}$, iar soluția construită mai sus este unică.

4. Ecuațiile lui FREDHOLM

Analizăm sumar numai ecuația de speța a doua. În literatură se demonstrează continuitatea soluției φ și unicitatea care are loc numai dacă:

$$|\lambda| < \frac{1}{M(b-a)} \tag{2.5.2.14}$$

unde $M = \sup |K(x, \xi)|, (x, \xi) \in \Delta$

În aceste condiții soluția ecuației se poate obține prin metoda aproximațiilor succesive a lui Picard. Astfel, pornim de la o funcție $\varphi_0 \in C_I^0$ arbitrară, se construiește sirul $\{\varphi_n\}_{n \in \mathbf{N}}$ cu $\varphi_n = A\varphi_{n-1}$ soluția φ este limita acestui șir. Se poate lua $\varphi_0 = f$ și avem:

$$\varphi_n(x) = f(x) + \lambda \int_a^b K(x, \xi) \varphi_{n-1}(\xi) d\xi \quad n = 1, 2, \dots$$

Termenii acestei serii se obțin din aproape în aproape, pentru fiecare fiind necesară cunoașterea termenului precedent. Pentru a scrie soluția φ sub o formă mai convenabilă, se notează:

$$\left. \begin{aligned} K_1(x, \xi) &= K(x, \xi) \\ \dots\dots\dots \\ K_p(x, \xi) &= \int_a^b K(x, \eta) K_{p-1}(\eta, \xi) d\eta \quad p = 2, 3, \dots \end{aligned} \right\} \tag{2.5.2.15}$$

dacă se notează:

$$K(x, \xi, \lambda) = \sum_{p=1}^{\infty} \lambda^{p-1} K_p(x, \xi) \tag{2.5.2.16}$$

atunci:

$$\varphi(x) = f(x) + \lambda \int_a^b K(x, \xi, \lambda) f(\xi) d\xi \tag{2.5.2.17}$$

Determinarea soluției ecuației (2.5.2.5) pentru valorile lui λ care satisfac (2.5.2.14) revine în principal la determinarea funcției K care se numește **nucleul rezolvant** al ecuației (2.5.2.6). Funcțiile K_p se numesc **nucleu iterate** ale acestei ecuații.

5. Ecuații cu nucleu degenerat. Dacă nucleul ecuației integrale Fredholm se poate scrie sub forma:

$$K(x, \xi) = \sum_{i=1}^p a_i(x) b_i(\xi) \tag{2.5.2.18}$$

se zice că este un **nucleu degenerat**, iar ecuația este o (e.i.) cu nucleu degenerat. În acest caz se demonstrează că determinarea soluțiilor poate fi redusă la un sistem algebric liniar, în felul următor:

$$\varphi(x) = f(x) + \lambda \sum_{i=1}^p a_i(x) \underbrace{\int_a^b b_i(\xi) \varphi(\xi) d\xi}_{C_i} = f(x) + \lambda \sum_{i=1}^p C_i a_i(x)$$

$$C_i = \int_a^b b_i(\xi) \left[f(\xi) + \lambda \sum_{k=1}^p C_k a_k(\xi) \right] d\xi$$

cu notațiile:

$$f_i = \int_a^b b_i(\xi) f(\xi) d\xi; \quad K_{ki} = \int_a^b a_k(\xi) b_i(\xi) d\xi \Rightarrow C_i = \lambda \sum_{k=1}^p K_{ki} C_k + f_i, \quad i = 1, 2, \dots, p$$

6. Ecuații integrale singulare, care sunt numite ecuații integrale liniare nefredholmiene și sunt caracterizate prin următoarele două fenomene:

1^o apariția punctelor de acumulare finite ale mulțimii valorilor caracteristice sau chiar a *spectrelor continue*.

2^o apariția valorilor caracteristice de multiplicitate infinită, adică a valorilor caracteristice cărora le corespund o infinitate de funcții proprii liniar independente. Dintre acestea voi aminti:

7. Ecuații integrale singulare cu nucleu de tip Cauchy

Se poate arăta că ecuația integrală Fredholm cu nucleul de forma:

$$K(x, \xi) = \frac{K_1(x, \xi)}{|x - \xi|^\alpha} \quad (0 < \alpha < 1)$$

poate fi transformată într-o ecuație de tipul Fredholm cu nucleul mărginit. Dacă $\alpha < 1$, nucleul $K(x, \xi)$ are o singularitate neintegrabilă iar operatorul integral corespunzător nu mai poate fi definit cu ajutorul unei integrale obișnuite în sensul lui Reimann sau Lebesgue. Integrala respectivă există, în anumite condiții impuse funcției $K_1(x, \xi)$, în valoare principală în sensul lui Cauchy.

Fie $f: [a, b] \rightarrow \mathbf{R}$ o funcție nemărginită în vecinătatea punctului $c \in (a, b)$. Limita următoare, în ipoteza că există și este finită, :

$$\lim_{\varepsilon \rightarrow 0} \left[\int_a^{c-\varepsilon} f(x) dx + \int_{c+\varepsilon}^b f(x) dx \right], \quad 0 < \varepsilon < \min(c - a, b - c)$$

se numește **valoarea principală în sensul lui Cauchy a integralei funcției f pe intervalul $[a, b]$** și se notează:

$$\text{v.p.} \int_a^b f(x) dx, \quad \int_a^{b_1} f(x) dx \text{ sau } \left| \int_a^b f(x) dx \right|$$

Integralele în valoare principală se mai numesc și **singulare**.

Se pune problema: ce condiții trebuie impuse funcției $f(x)$ pentru ca limita de mai sus să existe? Se demonstrează că dacă $f(x)$ verifică pe intervalul (a, b) condiția lui Hölder:

$$|f(x) - f(y)| \leq C|x - y|^\alpha \quad \forall (x, y) \in [a, b]^*$$

unde C și α sunt constante iar $0 < \alpha \leq 1$, atunci pentru orice $y \in [a, b]$ integrala singulară $\int_a^b \frac{f(x)}{x - y} dx$ există în valoare principală în sensul lui Cauchy.

2.5.3. Contribuții

2.5.3.1. Generalități

Se știe că (v. Anexa 3), utilizând două funcții de variabilă complexă $\varphi(z)$ și $\psi(z)$, Kolosov și Mushelișvili [M69] au reușit să exprime tensiunile și deplasările pentru o problemă plană cu ajutorul relațiilor (36) din Anexa 3, numite ecuațiile Kosolov-Mushelișvili.

$$\begin{cases} \sigma_x + \sigma_y = 2[\varphi'(z) + \bar{\varphi}'(z)] = 4 \operatorname{Re}[\varphi'(z)] \\ \sigma_y - \sigma_x + 2i\tau_{xy} = 2[\bar{z}\varphi''(z) + \psi'(z)] \\ 2G(u + iv) = \chi\varphi(z) - z\bar{\varphi}'(z) - \bar{\psi}(z) \end{cases} \quad (2.5.3.1)$$

unde

$$\chi = \frac{\lambda + 3G}{\lambda + G} = \begin{cases} 3 - 4\nu & \text{– pentru starea plană de deformatie} \\ \frac{3 - \nu}{1 + \nu} & \text{– pentru starea plană de tensiune} \end{cases} \quad (2.5.3.2)$$

Se obișnuiește să se introducă funcțiile notate cu litere mari.

$$\Phi(z) = \varphi'(z) \Rightarrow \Phi'(z) = \varphi''(z), \quad \Psi(z) = \psi'(z) \quad (2.5.3.3)$$

astfel încât relațiile (2.5.3.1) se scriu:

$$\begin{cases} \sigma_x + \sigma_y = 2[\Phi(z) + \bar{\Phi}(z)] = 4 \operatorname{Re}[\Phi(z)] \\ \sigma_y - \sigma_x + 2i\tau_{xy} = 2[\bar{z}\Phi'(z) + \Psi(z)] \\ 2G(u + iv) = \chi\varphi(z) - z\bar{\Phi}(z) - \bar{\psi}(z) \end{cases} \quad (2.5.3.4)$$

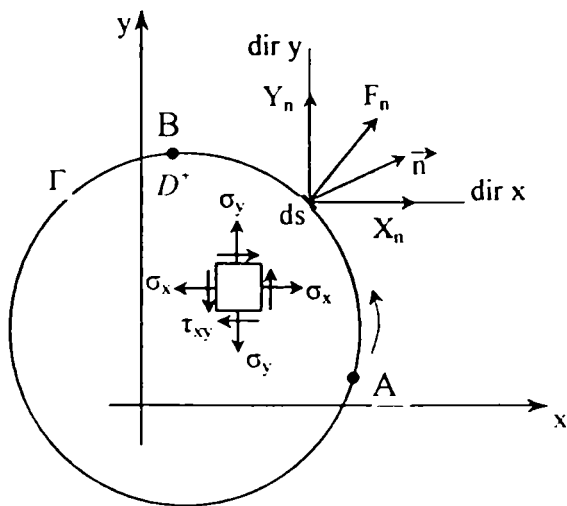


Fig. 2.5.3.1

Să considerăm dat un domeniu plan D^+ cu frontiera Γ (curbă Leapunov). Pe elementul de arc ds acționează forțele exterioare date $X_n ds$ și $Y_n ds$.

Se demonstrează (v. Mushelișvili [M69], p.155):

$$X_n + iY_n = -id\{\varphi(z) + z\bar{\varphi}'(z) + \bar{\psi}(z)\} = -id[-\mu(z)] \quad (2.5.3.5)$$

Vectorul rezultat al forțelor exterioare care acționează pe un arc AB este:

$$X + iY = \int_A^B (X_n + iY_n) ds = -i[\varphi(z) + z\bar{\varphi}'(z) + \bar{\psi}(z)]_A^B = -i[\mu(z)]_A^B \quad (2.5.3.6)$$

* pentru $\alpha = 1$, avem condiția lui Lipschitz

unde se notează simbolic $\left[\int_A^B \right]$ creșterea expresiei din paranteză după o deplasare pe arcul AB de la A la B.

Momentul rezultat al acestor forțe:

$$M = \int_{AB} (xY_n - yX_n) ds = -\operatorname{Re} \int_A^B \bar{z} \mu'(z) dz \quad (2.5.3.7)$$

unde

$$\mu(z) = \varphi(z) + z\bar{\varphi}'(z) + \bar{\psi}(z) \quad (2.5.3.8)$$

Transformări de coordonate

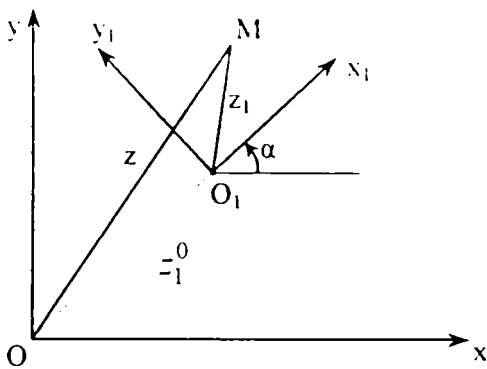


Fig. 2.5.3.2

La înlocuirea sistemului de coordonate carteziene funcțiile $\Phi(z)$ și $\Psi(z)$ nu sunt invariante. Dacă noul sistem de coordonate $x_1O_1y_1$ este legat de vechiul sistem de coordonate xOy prin relația:

$$z = z_1^0 + z_1 e^{i\alpha} \quad (2.5.3.9)$$

atunci funcțiile $\Phi_1(z_1)$ și $\Psi_1(z_1)$ joacă același rol în sistemul $x_1O_1y_1$ ca și funcțiile $\Phi(z)$ și $\Psi(z)$ în sistemul xOy . Legătura dintre funcții este evidentă:

$$\Phi_1(z_1) = \Phi(z_1 e^{i\alpha} + z_1^0) \quad (2.5.3.10)$$

$$\Psi_1(z_1) = e^{2i\alpha} \left[\Psi(z_1 e^{i\alpha} + z_1^0) + \bar{z}_1^0 \Phi'(z_1 e^{i\alpha} + z_1^0) \right] \quad (2.5.3.11)$$

unde:

$$\begin{aligned} z_1 &= x_1 + iy_1; \\ z_1^0 &= x_1^0 + iy_1^0 \sim (x_1^0, y_1^0) \quad - \text{coordonatele originii } O_1 \text{ în sistemul } xOy. \end{aligned}$$

Coordonate polare

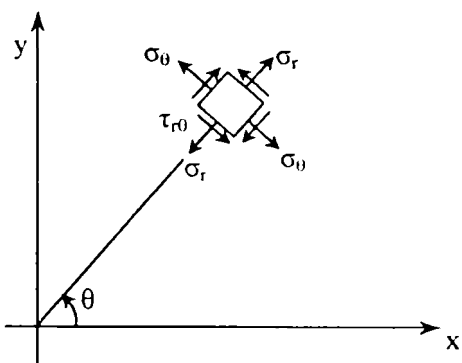


Fig. 2.5.3.3

Componentele tensiunilor $\sigma_r, \sigma_\theta, \tau_{r\theta}$ și ale deplasărilor u_r, u_θ , într-un sistem de coordonate polare sunt legate de componentele tensiunilor $\sigma_x, \sigma_y, \tau_{xy}$ și deplasărilor u, v din sistemul cartezian xOy , cu aceeași origine, prin relațiile:

$$\left. \begin{aligned} \sigma_r + \sigma_\theta &= \sigma_x + \sigma_y \quad (\text{primul invariant}) \\ \sigma_\theta - \sigma_r + 2i\tau_{r\theta} &= e^{2i\theta} (\sigma_y - \sigma_x + 2i\tau_{xy}) \\ u_r + iu_\theta &= e^{-i\theta} (u + iv) \end{aligned} \right\} \quad (2.5.3.12)$$

Mai dăm din [P12] încă două formule utile în aplicații:

$$\sigma_y - i\tau_{xy} = \Phi(z) + \bar{\Phi}(z) + z\bar{\Phi}'(z) + \bar{\Psi}(z) \quad (2.5.3.13)$$

$$\sigma_r - i\tau_{r\theta} = \Phi(z) + \bar{\Phi}(z) - e^{2i\theta} [\bar{z}\Phi'(z) + \Psi(z)] \quad (2.5.3.14)$$

Probleme fundamentale și condiții de graniță (în complex)

Se întâlnesc trei tipuri de probleme fundamentale (clasice):

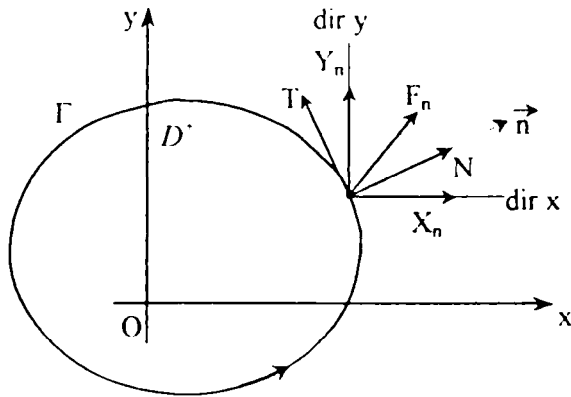


Fig. 2.5.3.4

- prima problemă fundamentală: pe conturul Γ sunt date tensiunile exterioare.

Condițiile pe frontieră, utilizând relația (2.5.3.14), se scriu:

$$\Phi(t) + \bar{\Phi}(t) - e^{2i\alpha} [\bar{t}\Phi'(t) + \Psi(t)] = N - iT, \quad t \in \Gamma \quad (2.5.3.15)$$

unde:

- t – punctul variabil pe contur;
- N, T – componentele date – normală și tangențială -- ale forțelor exterioare ce acționează pe contur.

- a doua problemă fundamentală: pe frontiera Γ sunt date deplasările; condițiile pe graniță se obțin din (2.5.3.1) prin trecerea la limită ($z \rightarrow t$):

$$\chi\phi(t) - i\bar{\phi}(t) - \psi(t) = 2G[u(t) + iv(t)], \quad t \in \Gamma \quad (2.5.3.16)$$

Aici, $u(t)$ și $v(t)$ sunt funcții cunoscute pe Γ .

Calculul tensiunilor în planul infinit solicitat local

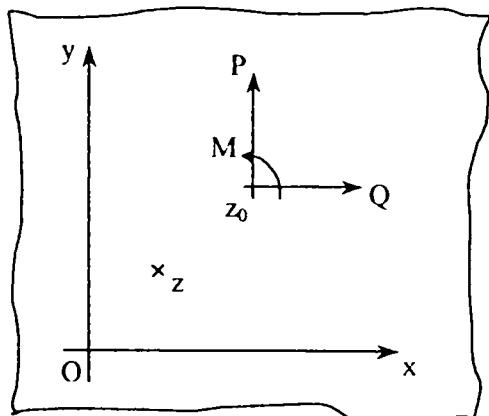


Fig. 2.5.3.5

Presupunem că în punctul dat z_0 acționează sarcinile P, Q, M cu sensurile pozitive ca în Fig. 2.5.3.5. Potențialii complecși ai tensiunilor au forma dată de Mushelișvili [M69], [M70]:

$$\Phi_0(z) = -\frac{Q + iP}{2\pi(1 + \chi)} \cdot \frac{1}{z - z_0} \quad (2.5.3.17)$$

$$\psi_0(z) = \frac{\chi(Q - iP)}{2\pi(1 + \chi)} \cdot \frac{1}{z - z_0}$$

$$-\frac{(Q + iP)\bar{z}_0 + i(1 + \chi)M}{2\pi(1 + \chi)} \cdot \frac{1}{(z - z_0)^2} \quad (2.5.3.18)$$

Dacă introducem (2.5.3.17) și (2.5.3.18) în (2.5.3.13) obținem combinația tensiunilor $\sigma_x - i\tau_{xy}$ pe axa x, sub forma:

$$\sigma_x - i\tau_{xy} = -\frac{1}{2\pi(1 + \chi)}$$

$$\left[\frac{z + iP}{x - z_0} - \frac{Q + iP}{x - \bar{z}_0} - \frac{(Q - iP)(\bar{z}_0 - z_0) + i(1 + \chi)M}{(x - \bar{z}_0)^2} \right] \quad (2.5.3.19)$$

Dacă problema este mai complicată se aplică principiul suprapunerii efectelor.

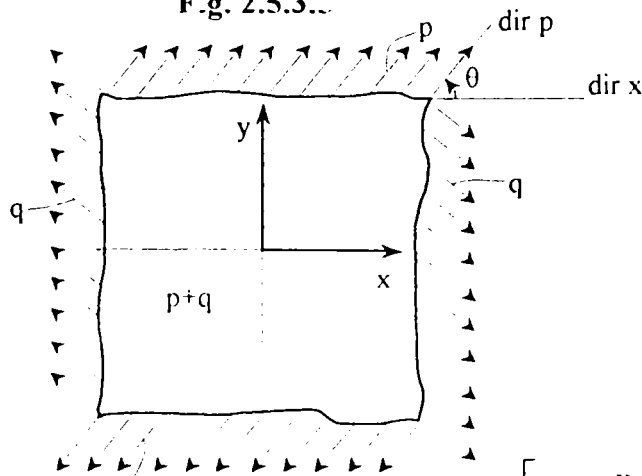


Fig. 2.5.3.6

Să presupunem planul elastic solicitat la infinit de forțele de tracțiune uniform repartizate p și q ortogonale ca direcție și înclinate cu unghiul α față de axa Ox (v. Fig. 2.5.3.6). Atunci vom avea:

$$\Phi(z) = \frac{1}{4}(p+q), \quad \Psi(z) = -\frac{1}{2}(p-q)e^{-2i\alpha} \quad (2.5.3.20)$$

Tensiunile σ_y și τ_{xy} , pe axa x , vor rezulta din (2.5.3.1):

$$\sigma_y - i\tau_{xy} = \frac{1}{2}[(p+q) - (p-q)e^{2i\alpha}] \quad (2.5.3.21)$$

2.5.3.2. Planul infinit* cu o tăietură rectilinie

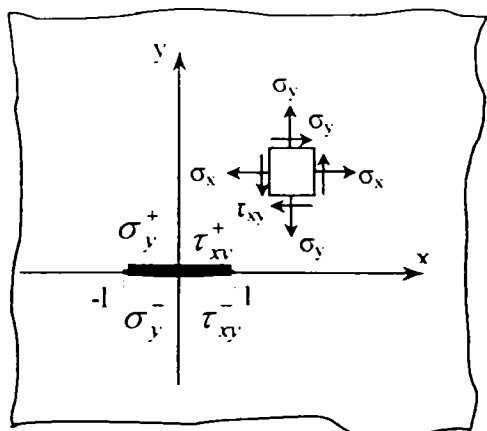


Fig.2.5.3.7

Date inițiale. Presupunem că în planul complex există o tăietură de grosime nulă, orientată după axa Ox :

$$|x| \leq l, \quad y = 0$$

• Presupunem că tensiunile la infinit sunt nule, dar pe marginile tăieturii acționează tensiunile σ_y^+ , τ_{xy}^+ (pe marginea de sus) și σ_y^- și τ_{xy}^- (pe marginea de jos).

În aceste condiții vom considera că avem:

$$\sigma_y^+(x,0) - i\tau_{xy}^+(x,0) = p(x + iq'x), \quad |x| < l \quad (2.5.3.22)$$

unde $p(x)$ și $q(x)$ sunt funcții cunoscute (date):

$$p(x) = \frac{1}{2}(\sigma_y^+ + \sigma_y^-) - \frac{i}{2}(\tau_{xy}^+ + \tau_{xy}^-) \quad (2.5.3.23)$$

$$q(x) = \frac{1}{2}(\sigma_y^+ - \sigma_y^-) - \frac{i}{2}(\tau_{xy}^+ - \tau_{xy}^-) \quad (2.5.3.24)$$

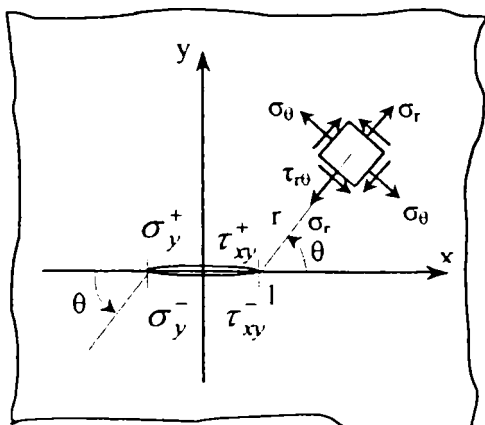


Fig.2.5.3.8

Pentru înce, ut vom rezolva o problemă auxiliară, considerând că pe marginile tăieturii sunt date **salturile tensiunilor și ale derivatelor deplasărilor**:

$$\sigma_y^+ - \sigma_y^- - i(\tau_{xy}^+ - \tau_{xy}^-) = 2q(x) \quad (2.5.3.25)$$

$$\frac{\partial}{\partial x} [u^+ - u^- + i(v^+ - v^-)] = \frac{2(\chi+1)}{2G} g'(x) \quad (2.5.3.26)$$

iar pe vârfurile tăieturii, saltul deplasărilor să fie nul:

$$g(-l) = g(l) = 0 \quad (2.5.3.27)$$

Introducem o funcție ajutătoare:

* Deși sunt conștientă că a spune „planul infinit” constituie un pleonasm, deoarece planul nu poate fi decât infinit, voi persista în utilizarea acestei formulări pentru a elimina orice confuzie cu placa plană.

$$\Omega(z) = \bar{\Phi}(z) + z\bar{\Phi}'(z) + \bar{\Psi}(z) \quad (2.5.3.28)$$

prin intermediul căreia tensiunile și deplasările din relațiile (2.5.3.4), (2.5.3.13) se scriu:

$$\sigma_x + \sigma_y = 2[\Phi(z) + \bar{\Phi}(z)] \quad (2.5.3.29)$$

$$\sigma_y - i\tau_{xy} = \Phi(z) + \Omega(\bar{z}) + (z - \bar{z})\bar{\Phi}'(z) \quad (2.5.3.30)$$

$$2G(u' + iv') = \chi\Phi(z) - \Omega(z) - (z - \bar{z})\bar{\Phi}'(z) \quad (2.5.3.31)$$

unde $u' = \frac{\partial u}{\partial x}$, $v' = \frac{\partial v}{\partial x}$, iar pentru $|x| < l$ vom avea:

$$\lim_{z \rightarrow x} (z - \bar{z})\bar{\Phi}'(z) = 0 \quad (2.5.3.32)$$

Pe baza relațiilor (2.5.3.30), (2.5.3.31), condițiile de frontieră (2.5.3.25) și (2.5.3.26) se scriu:

$$\Phi^+(x) + \Omega^-(x) - \Phi^-(x) - \Omega^+(x) = 2q(x), \quad |x| < l \quad (2.5.3.33)$$

$$\chi\Phi^+(x) - \Omega^-(x) - \chi\Phi^-(x) + \Omega^+(x) = i(\chi + 1)g'(x) \quad |x| < l \quad (2.5.3.34)$$

Suma relațiilor (2.5.3.33) și (2.5.3.34) ne dă:

$$\Phi^+(x) - \Phi^-(x) = i \left[g'(x) - i \frac{2q(x)}{\chi + 1} \right] = iQ(x), \quad |x| < l \quad (2.5.3.35)$$

Înmulțim ecuația (2.5.3.33) cu χ și din ea scădem (2.5.3.34)

$$\Omega^+(x) - \Omega^-(x) = i[Q(x) + 2iq(x)], \quad |x| < l \quad (2.5.3.36)$$

Din relațiile (2.5.3.35) și (2.5.3.36), ținând cont de integrala Cauchy, găsim:

$$\Phi(z) = \frac{1}{2\pi} \int_{-l}^l \frac{Q(t)}{t - z} dt \quad (2.5.3.37)$$

$$\Omega(z) = \frac{1}{2\pi} \int_{-l}^l \frac{Q(t) + 2iq(t)}{t - z} dt \quad (2.5.3.38)$$

$$\Psi(z) = \bar{\Omega}(z) - \Phi(z) - z\bar{\Phi}'(z) = \frac{1}{2\pi} \int_{-l}^l \left[\frac{\bar{Q}(t) - 2i\bar{q}(t)}{t - z} - \frac{tQ(t)}{(t - z)^2} \right] dt \quad (2.5.3.39)$$

Am găsit astfel potențialii complecși Kolosov-Mushelișvili pentru problema de limită (2.5.3.25) și (2.5.3.26).

Vom considera o altă problemă limită, când sunt date tensiunile pe marginile fisurii după (2.5.3.1), dar nu mai sunt date salturile deplasărilor la vârful fisurii- ceea ce înseamnă că funcția $g(x)$ este necunoscută.

Vom scrie condițiile pe frontieră sub forma (v. (2.5.3.23)):

$$\left[\sigma_y^+(x,0) + \sigma_y^-(x,0) \right] - i \left[\tau_{xy}^+(x,0) + \tau_{xy}^-(x,0) \right] = 2p(x), \quad |x| < l \quad (2.5.3.40)$$

Ecuția integrală singulară a problemei astfel formulate este:

$$\int_{-l}^l \frac{Q(t) + iq(t)}{t-x} dt = \pi p(x), \quad |x| < l \quad (2.5.3.41)$$

Din conjuncția relației (2.5.3.27) cu (2.5.3.47) și (2.5.3.48) condiția de univocitate a deplasărilor se scrie sub forma:

$$\int_{-l}^l g'(t) \chi dt = 0 \quad (2.5.3.42)$$

și se explicitează astfel:

$$g'(x) = -i \frac{\chi-1}{\chi+1} q(x) + \frac{1}{\pi \sqrt{l^2-x^2}} \left[- \int_{-l}^l \frac{\sqrt{l^2-t^2}}{t-x} p(t) \chi dt + iR \right] \quad (2.5.3.43)$$

unde

$$R = \frac{\chi-1}{\chi+1} \int_{-l}^l q(t) dt \quad (2.5.3.44)$$

Mai știm că:

$$\int_{-l}^l \frac{dt}{(t-z)\sqrt{l^2-t^2}} = -\frac{\pi}{\sqrt{z^2-l^2}}, \quad z \notin [-l, l] \quad (2.5.3.45)$$

Relațiile (2.5.3.37), (2.5.3.38) conduc la soluția totală a problemei

$$\Phi(z) = \frac{1}{2\pi \sqrt{z^2-l^2}} \int_{-l}^l \frac{\sqrt{l^2-t^2} p(t) dt}{t-z} + \frac{1}{2\pi i} \left[\int_{-l}^l \frac{q(t) dt}{t-z} + \frac{R}{\sqrt{z^2-l^2}} \right] \quad (2.5.3.46)$$

$$\Omega(z) = \frac{1}{2\pi \sqrt{z^2-l^2}} \int_{-l}^l \frac{\sqrt{l^2-t^2} p(t) dt}{t-z} + \frac{1}{2\pi i} \left[- \int_{-l}^l \frac{q(t) dt}{t-z} + \frac{R}{\sqrt{z^2-l^2}} \right] \quad (2.5.3.47)$$

Ne propunem să studiem distribuția de tensiuni în jurul vârfului fisurii. Pentru aceasta trecem la sistemul de coordonate polare cu originea în vârful fisurii $z_{10}=l$ (Fig. 2.5.3.7) ceea ce se face înlocuind:

$$z_1 = re^{i\theta} \Rightarrow z = \pm(z_1 + l) \quad (2.5.3.48)$$

Atunci potențialele complexe vor fi:

$$\Phi_1(z_1) = \Phi(\pm z_1 \pm l) \quad (2.5.3.49)$$

$$\Omega_1(z_1) = \Omega(\pm z_1 \pm l)$$

Pentru aceste funcții de potențial, vom avea explicit:

$$\Phi_1(z_1) = \pm \frac{1}{2\pi \sqrt{z_1(z_1+2l)}} \int_{-l}^l \frac{\sqrt{l^2-t^2} p(t) dt}{t \mp z_1 \mp l} + \frac{1}{2\pi i} \left[\int_{-l}^l \frac{q(t) dt}{t \mp z_1 \mp l} \pm \frac{R}{\sqrt{z_1(z_1+2l)}} \right] \quad (2.5.3.50)$$

$$\Omega_1(z_1) = \pm \frac{1}{2\pi \sqrt{z_1(z_1+2l)}} \int_{-l}^l \frac{\sqrt{l^2-t^2} p(t) dt}{t \mp z_1 \mp l} + \frac{1}{2\pi} \left[- \int_{-l}^l \frac{q(t) dt}{t \mp z_1 \mp l} \pm \frac{R}{\sqrt{z_1(z_1+2l)}} \right] \quad (2.5.3.51)$$

Pentru valori $z_1 \ll l$, deci în vecinătatea vârfului fisurii, se obține o dezvoltare asimptotică a funcțiilor $\Phi_1(z_1)$ și $\Omega_1(z_1)$, astfel:

$$\Phi_1(z_1) = \frac{K_1^\pm - iK_2^\pm}{2\sqrt{2z_1}} + O(1), \quad \Omega_1(z_1) = \frac{K_1^\pm - iK_2^\pm}{2\sqrt{2z_1}} + O(1) \quad (2.5.3.52)$$

unde: $O(1)$ cuprinde termenii finiți când $|z_1| \rightarrow 0$;

K_1^\pm, K_2^\pm - mărimi reale (semnul + se referă la partea dreaptă a vârfului fisurii, semnul - se referă la partea stângă)

Rezultă:

$$K_1^\pm - iK_2^\pm = -\frac{1}{\pi\sqrt{l}} \left[\int_{-l}^l \frac{\sqrt{l \pm t}}{\sqrt{l \pm t}} p(t) dt \pm i \frac{\chi - 1}{\chi + 1} \int_{-l}^l q(t) dt \right] \quad (2.5.3.53)$$

Revenind la calculul tensiunilor și deplasărilor, se obține următoarea distribuție asimptotică a acestora:

$$\begin{Bmatrix} \sigma_y \\ \sigma_x \\ \tau_{xy} \end{Bmatrix} = \frac{K_1^\pm}{4\sqrt{2r}} \begin{Bmatrix} 5 \cos \frac{\theta}{2} - \cos \frac{5\theta}{2} \\ 3 \cos \frac{\theta}{2} + \cos \frac{5\theta}{2} \\ -\sin \frac{\theta}{2} + \sin \frac{5\theta}{2} \end{Bmatrix} + \frac{K_2^\pm}{4\sqrt{2r}} \begin{Bmatrix} -\sin \frac{\theta}{2} + \sin \frac{5\theta}{2} \\ -7 \sin \frac{\theta}{2} - \sin \frac{5\theta}{2} \\ 3 \cos \frac{\theta}{2} + \cos \frac{5\theta}{2} \end{Bmatrix} + O(r^0) \quad (2.5.3.54)$$

$$4G \begin{Bmatrix} u \\ v \end{Bmatrix} = \pm K_1^\pm \sqrt{\frac{r}{2}} \begin{Bmatrix} (2\chi - 1) \cos \frac{\theta}{2} - \cos \frac{3\theta}{2} \\ (2\chi + 1) \sin \frac{\theta}{2} - \sin \frac{3\theta}{2} \end{Bmatrix} + K_2^\pm \sqrt{\frac{r}{2}} \begin{Bmatrix} (2\chi + 3) \sin \frac{\theta}{2} + \sin \frac{3\theta}{2} \\ -(2\chi - 3) \cos \frac{\theta}{2} - \cos \frac{3\theta}{2} \end{Bmatrix} + O\left(r^{\frac{3}{2}}\right) \quad (2.5.3.55)$$

2.5.3.3. Planul elastic infinit cu defecte multiple

a) Câteva repere bibliografice

Aceasta este problema teoretică fundamentală care apropie (M.R.) de situațiile reale întâlnite în structurile de rezistență și care a constituit încă de la început obiectul preocupărilor mele; este, de altfel, o etapă intermediară obligatorie în abordarea problemelor din mecanica probabilistă a rupei. Bibliografia aferentă acestor probleme este mult mai bogată decât am crezut inițial.

Trebuie să amintesc de la început câteva monografii fundamentale:

- Cartea lui V.V. PANASIUK; M.P. SAVRUK și A.P. DATIȘIN [P12] apărută în 1975 la Kiev, autorii fiind mari personalități ale celebrei „Școli de la Kiev” în mecanica solidului deformabil. Utilizează în mod constant metoda potențialilor complecși ai lui Kosolov-Mushelișvili, integralele de tip Cauchy, reducând problemele abordate la ecuații integrale singulare. Are un nivel matematic greu abordabil.
- A doua monografie este cea a lui M.P. SAVRUK [S6] apărută - în 1982, destul de asemănătoare cu prima, la care a fost coautor și M.P. SAVRUK.
- Trebuie amintită cartea lui JIAN-KE LU de metode complexe în elasticitatea plană [L49], apărută în 1995 și care are Cap.V (p.151-182) dedicat solidelor elastice cu defecte multiple.
- O altă monografie de excepție este cea a lui G.N. SAVIN [SB24] privind distribuția tensiunilor în jurul găurilor, apărută tot la Kiev în 1968 (887 pagini!) și care este una din lucrările cele mai complete în domeniu.
- Nu trebuie uitată celebra monografie a lui G.P. CEREPANOV [C10] „Mecanica rupei fragile”, (640 pagini) apărută în aceeași editură „NAUKA” - Moscova 1974.
- Dintre articole, lucrarea lui GUZ și SAVIN [G51] care tratează, tot în complex, problema planului infinit slăbit cu găuri circulare.

- Voi cita lucrările lui J. HELSING (v. Anexa). De exemplu [H21] și [G34] pleacă tot de la funcțiile potențial ale lui Kosolov-Mushelişvili, pe care le reprezintă cu ajutorul integralelor de tip Cauchy și ajunge la ecuații integrale noi, abordate inițial de SHERMAN, dar care se încadrează tot în categoria ecuațiilor integrale de tip Fredholm (v. §2.5.3.2) de speța a doua. În lucrările sale J. HELSING prezintă un algoritm rapid pentru calculul câmpurilor elastostatice în materiale compozite local izotrope cu defecte multiple. Combină ecuația integrală dată de Sherman cu o metodă multipol rapidă și cu o tehnică de cuadratură adecvată. În [H29], HELSING și JONSON, utilizând o ecuație integrală singulară de tip Mushelişvili pentru domenii multiple conexe, rezolvă o placă pătrată cu 4096 găuri și fisuri. În [H23] rezolvă cazul spațiului cu o incluziune elastică și 19 fisuri radiale, pornind tot de o ecuație Fredholm de speța a doua.

b). Formularea problemei

Să presupunem că în planul elastic omogen și izotrop, raportat la un sistem cartezian de coordonate, există N fisuri drepte orientate arbitrar, de lungimi arbitrare, aflate în puncte arbitrare ale planului (Fig. 2.5.3.9).

Ne vom fixa atenția asupra a două fisuri arbitrare.

Notații:

- Coordonatele centrelor fisurilor O_j și O_k în sistemul de axe global xOy :

$$z_j^0 = x_j^0 + iy_j^0; \quad z_k^0 = x_k^0 + iy_k^0 \quad (2.5.3.56)$$

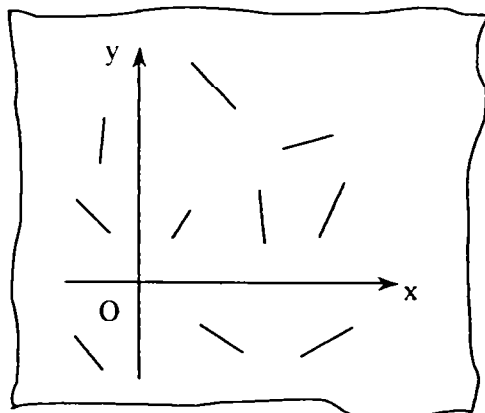


Fig.2.5.3.9

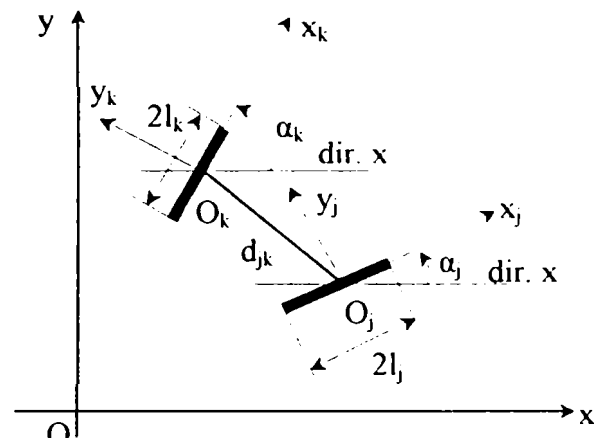


Fig. 2.5.3.10

- lungimea fisurii $2l_j \quad j=1,2, \dots, k, \dots, N$
- sistemul de coordonate locale: $x_jO_jy_j$ cu axa O_jx_j orientată după direcția fisurii, cu centrul O_j la mijlocul lungimii fisurii;
- direcția fisurii determinată de unghiul α_j dintre axa O_jx_j și axa Ox ;
- d_{jk} – distanța între centrele fisurilor $O_j \rightarrow O_k$

Ipoteze:

- Vom presupune că fiecare fisură este parcursă în sensul pozitiv al axei O_jx_j , astfel încât mărimile ce acționează pe partea stângă vor purta indicele plus, cele de pe partea dreaptă semnul minus.
- Întocmai ca în subparagraful precedent, vom accepta că pe marginile fisurilor acționează sarcinile:

$$\sigma_j^\pm - i\tau_j^\pm = p_j(x_j) \pm q_j(x_j), \quad |x_j| < l_j; \quad g_j = 0 \quad (j = 1,2, \dots, N) \quad (2.5.3.57)$$

Tensiunile σ_j și τ_j sunt date în sistemul local de coordonate.

- Presupunem de asemenea că la vârfurile tăieturii sunt date *salturile tensiunilor și deplasărilor*.

În sistemul de coordonate locale problema a fost rezolvată mai sus, unde s-au stabilit funcțiile de potențial (2.5.3.37) și (2.5.3.39), pe care acum le scriem astfel:

$$\begin{aligned}\Phi(z_j) &= \frac{1}{2\pi} \int_{-l_j}^{l_j} \frac{Q_j(t)}{t - z_j} dt \\ \Psi(z_j) &= \frac{1}{2\pi} \int_{-l_j}^{l_j} \left[\frac{\bar{Q}_j(t) - 2i\bar{q}_j(t)}{t - z_j} - \frac{tQ_j(t)}{(t - z_j)^2} \right] dt\end{aligned}\quad (2.5.3.59)$$

unde:

$$\begin{aligned}z_j &= x_j + iy_j; \quad Q_j(x) = g'_j(x) - i \frac{2q_j(x)}{\chi + 1} \\ g_j(x) &= (u^+ - u^-) + i(v^+ - v^-) - \text{saltul deplasărilor} \\ q_j(x) &= \frac{1}{2} [(\sigma_y^+ - \sigma_y^-) - i(\tau_{xy}^+ - \tau_{xy}^-)] - \text{saltul tensiunilor}\end{aligned}\quad (2.5.3.60)$$

Toate rezultatele obținute în continuare se bazează pe o ipoteză fundamentală că funcțiile de potențial sunt funcții liniare, și pentru întregul spațiu se obțin prin însumare:

$$\Phi(z) = \frac{1}{2\pi} \sum_{j=1}^N \int_{-l_j}^{l_j} \frac{Q_j(t)}{t - z_j} dt \quad (2.5.3.61)$$

$$\Psi(z) = \frac{1}{2\pi} \sum_{j=1}^N e^{-2i\alpha_j} \int_{-l_j}^{l_j} \left[\frac{\bar{Q}_j(t) - 2i\bar{q}_j(t)}{t - z_j} - \frac{\bar{T}_j e^{i\alpha_j}}{(t - z_j)^2} Q_j(t) \right] dt \quad (2.5.3.62)$$

unde:

$$T_j = te^{i\alpha_j} + z_j^0; \quad z_j = e^{-i\alpha_j} (z - z_j^0)$$

Să considerăm cazul când condițiile la limită au forma:

$$(\sigma_k^+ + \sigma_k^-) - i(\tau_k^+ + \tau_k^-) = 2p_k(x_k), \quad |x_k| < l_k, \quad k = 1, 2, \dots, N \quad (2.5.3.63)$$

Utilizând formulele de transformare la trecerea într-un nou sistem de coordonate (2.5.3.10), (2.5.3.11), scriem potențialii complecși în sistemele de coordonate $x_k O_k y_k$ sub forma:

$$\Phi_k(z_k) = \frac{1}{2\pi} \sum_{j=1}^N \int_{-l_j}^{l_j} \frac{Q_j(t)}{t - z_j} dt \quad (2.5.3.64)$$

$$\Psi_k(z_k) = \frac{1}{2\pi} \sum_{j=1}^N \int_{-l_j}^{l_j} \left[\frac{\bar{Q}_j(t) - 2i\bar{q}_j(t)}{t - z_j} - \frac{(\bar{T}_j - \bar{z}_k^0) e^{i\alpha_j}}{(t - z_j)^2} Q_j(t) \right] dt \quad (2.5.3.65)$$

unde:

$$z_j = e^{-i\alpha_j} (z_k e^{i\alpha_k} + z_k^0 - z_j^0); \quad \alpha_{kj} = \alpha_k - \alpha_j$$

Dacă utilizând formulele (2.5.3.13), vom determina tensiunile pe axa Ox, pe care le vom introduce în condițiile de graniță (2.5.3.63) și vom obține un sistem de N ecuații integrale singulare ca soluție a problemei puse:

$$\sum_{j=1}^N \int_{-l_j}^{l_j} \left[Q_j(t)K_{kj}(t,x) + \bar{Q}_j(t)L_{kj}(t,x) + \frac{iq_j(t)}{\bar{T}_j - \bar{X}_k} e^{i(\alpha_j - 2\alpha_k)} \right] dt = \bar{U}p_n(x), \quad |x| < l_k, \quad k = 1, 2, \dots, N \quad (2.5.3.66)$$

unde:

$$K_{kj}(t,x) = \frac{e^{i\alpha_j}}{2} \left(\frac{1}{\bar{T}_j - \bar{X}_k} + \frac{e^{-2i\alpha_k}}{(\bar{T}_j - \bar{X}_k)^2} \right) \quad (2.5.3.67)$$

$$L_{kj}(t,x) = \frac{e^{-i\alpha_j}}{2} \left(\frac{1}{\bar{T}_j - \bar{X}_k} - \frac{\bar{T}_j - \bar{X}_k}{(\bar{T}_j - \bar{X}_k)^2} \cdot e^{-2i\alpha_k} \right) \quad (2.5.3.68)$$

$$X_k = xe^{i\alpha_k} + z_k^0$$

Nucleele (2.5.3.67) și (2.5.3.68) sistemului de ecuații obținute sunt funcții regulate cu excepția cazului $k=j$, când $K_{kj}(t,x)$ devine miez singular Cauchy, iar $L_{kj} = 0$. Sistemul (2.5.3.66) se poate scrie în acest caz:

$$\begin{aligned} & \int_{-l_k}^{l_k} \frac{g'_k(t)dt}{t-x} + \sum_{j \neq k} \int_{-l_j}^{l_j} [g_j^0(t)K_{kj}(t,\alpha) + \bar{g}'_j(t)L_{kj}(t,\alpha)] dt = \\ & = \pi p_k(x) + \frac{2i}{\chi+1} \sum_{j=1}^N \int_{-l_j}^{l_j} \left\{ q_j(t) \left[K_{kj}(t,x) - \frac{\chi+1}{2(\bar{T}_k - \bar{X}_k)} e^{i(\alpha_j - 2\alpha_k)} \right] - \bar{q}_j(t)L_{kj}(t,x) \right\} dt \\ & \quad |x| < l_k, \quad k = 1, 2, \dots, N \end{aligned} \quad (2.5.3.69)$$

Dacă pe marginea fisurii este aplicată o sarcină autoechilibrată, condițiile de margine vor avea forma:

$$\sigma_j^+ - i\tau_j^+ = \sigma_j^- - i\tau_j^- = p_j(x_j), \quad |x_j| < l_j, \quad j = 1, 2, \dots, N \quad (2.5.3.70)$$

iar sistemul de ecuații integrale va avea o formă mai simplă:

$$\int_{-l_k}^{l_k} \frac{g'_k(t)dt}{t-x} + \sum_{j \neq k} \int_{-l_j}^{l_j} [g'_j(t)K_{kj}(t,x) + \bar{g}'_j(t)L_{kj}(t,x)] dt = \pi p_k(x) \quad k = 1, 2, \dots, N \quad (2.5.3.71)$$

În cazul fisurilor coliniare: $\alpha_j = 0, \quad y_j^0 = 0, \quad j = 1, 2, \dots, N$, sistemul (2.5.3.66) are forma:

$$\sum_{j=1}^N \int_{-l_j}^{l_j} \frac{R_j(t)dt}{t-x+x_j^0-x_k^0} = \pi p_k \quad |x| < l_k, \quad k = 1, 2, \dots, N \quad (2.5.3.72)$$

unde:

$$R_j(t) = g'_j(x) + i \frac{\chi-1}{\chi+1} q_j(x) \quad (2.5.3.73)$$

Impunând condiția:

$$\int_{-l_k}^{l_k} g_k'(t) dt = 0 \quad k = 1, 2, \dots, N \quad (2.5.3.74)$$

sistemul (2.5.3.71) devine un sistem de ecuații Fredholm de speța a doua:

$$g_k'(x) = \frac{1}{\pi \sqrt{l_k^2 - x^2}} \left\{ - \int_{-l_k}^{l_k} \frac{\sqrt{l_k^2 - t^2} p_k(t)}{t - x} dt + \sum_{j \neq k} \int_{-l_j}^{l_j} [g_j'(t) M_{kj}(t, x) + \bar{g}_j'(t) N_{kj}(t, \alpha)] dt \right\}$$

$$|x| < l_k, \quad k = 1, 2, \dots, N \quad (2.5.3.75)$$

unde:

$$M_{kj}(t, x) = \frac{1}{\pi} \int_{-l_k}^{l_k} \frac{\sqrt{l_k^2 - \xi^2} K_{kj}(t, \xi)}{\xi - x} d\xi \quad (2.5.3.76)$$

$$N_{kj}(t, x) = \frac{1}{\pi} \int_{-l_k}^{l_k} \frac{\sqrt{l_k^2 - \xi^2} L_{kj}(t, \xi)}{\xi - x} d\xi \quad (2.5.3.77)$$

Expresiile (2.5.3.76) și (2.5.3.77) sunt integrale singulare cu miezul de tip Cauchy, care pot fi calculate în formă închisă; pentru a efectua integrarea le scriem mai dezvoltat:

$$M_{kj}(t, x) = -\frac{e^{i\alpha_{jk}}}{2\pi} \int_{-l_k}^{l_k} \frac{\sqrt{l_k^2 - \xi^2}}{\xi - x} \left(\frac{1}{\xi - T_{kj}} + \frac{1}{\xi - \bar{T}_{kj}} \right) d\xi \quad (2.5.3.78)$$

$$N_{kj}(t, x) = \frac{e^{i\alpha_{kj}}}{2\pi} \int_{-l_k}^{l_k} \frac{\sqrt{l_k^2 - \xi^2}}{\xi - x} \left(-\frac{1}{\xi - T_{kj}} + \frac{\xi - \bar{T}_{kj}}{(\xi - \bar{T}_{kj})^2} \right) d\xi \quad (2.5.3.79)$$

unde:

$$T_{kj} = e^{i\alpha_{kj}} [t - d_{kj} e^{i(\alpha_j - \beta_{kj})}] \quad (2.5.3.80)$$

$$d_{kj} = e^{i\beta_{kj}} = z_k^0 - z_j^0 \quad (2.5.3.81)$$

Utilizăm soluțiile unor integrale existente în literatură.

$$\int_{-l_k}^{l_k} \frac{\sqrt{l_k^2 - \xi^2}}{(\xi - x)(\xi - T_{kj})} d\xi = -\pi \left(1 + \frac{\sqrt{T_{kj}^2 - l_k^2}}{x - T_{kj}} \right) \quad (2.5.3.82)$$

$$\int_{-l_k}^{l_k} \frac{\sqrt{l_k^2 - \xi^2} (\xi - \bar{T}_{kj})}{(\xi - x)(\xi - T_{kj})^2} d\xi = \pi \left[\frac{(\bar{T}_{kj} - T_{kj}) \sqrt{T_{kj}^2 - l_k^2}}{(x - T_{kj})^2} + \frac{l_k^2 - 2T_{kj}^2 + T_{kj} \bar{T}_{kj}}{(x - T_{kj}) \sqrt{T_{kj}^2 - l_k^2}} \right] \quad (\dots)$$

Cu aceste rezultate, mărimile (2.5.3.76) și (2.5.3.77) devin:

$$M_{kj}(t, x) = \frac{e^{i\alpha_{jk}}}{2} \left(2 + \frac{\sqrt{T_{kj}^2 - l_k^2}}{x - T_{kj}} - \frac{\sqrt{\bar{T}_{kj}^2 - l_k^2}}{x - \bar{T}_{kj}} \right) \quad (2.5.3.84)$$

$$N_{kj}(t, x) = \frac{1}{2} e^{i\alpha_{kj}} \frac{\bar{T}_{kj} - T_{kj}}{x - T_{kj}} \left(\frac{T_{kj}}{\sqrt{T_{kj}^2 - l_k^2}} + \frac{\sqrt{T_{kj}^2 - l_k^2}}{x - T_{kj}} \right) \quad (2.5.3.85)$$

În felul acesta problema planului înfinit având N fisuri drepte, străpunse, situate arbitrar, care nu se întretaie, se reduce la sistemul de ecuații integrale singulare (2.5.3.71), cu condițiile de graniță (2.5.3.70); la rândul său acest sistem se reduce la sistemul de ecuații integrale de tip Fredholm de speța a doua (2.5.3.75).

În concluzie, dacă se cunosc funcțiile $g'_k(x)$, întocmai ca în cazul unei singure fisuri, prin trecere la limită, putem calcula coeficienții de intensitate a tensiunilor la vârful oricărei fisuri:

$$K_{1k}^{\pm} - iK_{2k}^{\pm} = \mp \lim_{x_k \rightarrow \pm l_k} \left[\sqrt{\frac{l_k^2 - x_k^2}{l_k}} g'_k(x_k) \right] \quad k = 1, 2, \dots, N \quad (2.5.3.86)$$

2.5.3.4. Planul înfinit cu două fisuri rectilinii egale

Pentru a verifica exactitatea celor prezentate până aici, mă voi opri asupra cazului

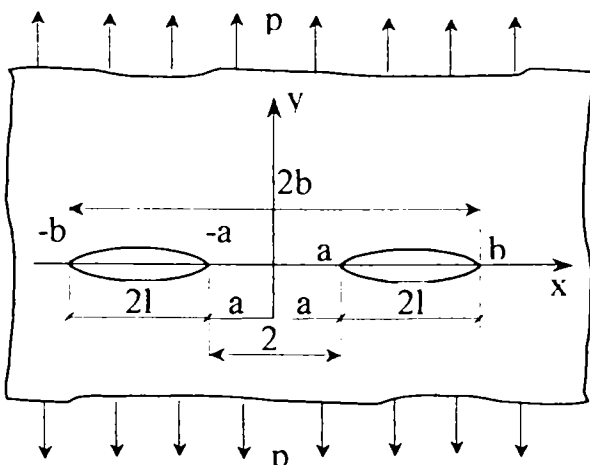


Fig. 2.5.3.11

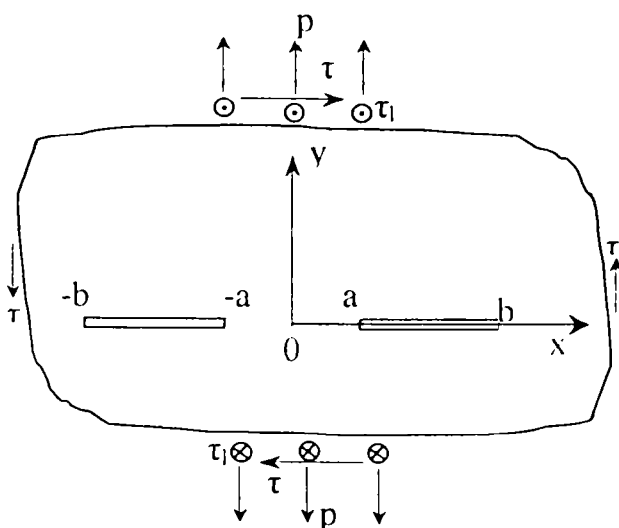


Fig. 2.5.3.12

particular al planului elastic omogen și izotrop, care prezintă două fisuri rectilinii, coliniare și egale; planul este solicitat la înfinit de sarcina p uniform distribuită având direcția perpendiculară pe linia fisurilor, aleasă drept axa x . Evident că problema se găsește rezolvată în literatură, dar toate lucrările cercetate de mine utilizează metoda funcțiilor de variabilă complexă și pleacă de la ecuațiile Kolosov-Mushelișvili (2.5.3.4) și (2.5.3.12), (2.5.3.13), (2.5.3.14). Soluții finale unanim acceptate sunt date în cunoscutul HANDBOOK al lui TADA, PARIS, IRWIN [T1], rezultate pe care le prezint în copie în Fig. 2.5.3.12 și Fig. 2.5.3.13. Se vede din aceste pagini că bibliografia de referință este reprezentată de lucrările lui BARENBLATT 1962, ERDOGAN 1962, SIH 1914 – lucrări pe care din păcate eu nu le-am avut la dispoziție. Dar ele se găsesc ca și cazuri particulare în cadrul unei teorii generale prezentate în monografiile [P12], [S6], [L49], de care nu mă mai ocup. În aceste condiții voi prezenta alte variante și voi încerca o soluție nouă, prin suprapunere de efecte.

$$\left\{ \begin{array}{l} \left\{ \begin{array}{l} K_I \\ K_{II} \\ K_{III} \end{array} \right\}_{\pm a} = \left\{ \begin{array}{l} p \\ \tau \\ \tau_I \end{array} \right\} \sqrt{\pi a} \frac{b^2 \frac{E(k)}{K(k)} - a^2}{a\sqrt{b^2 - a^2}} \\ \\ \left\{ \begin{array}{l} K_I \\ K_{II} \\ K_{III} \end{array} \right\}_{\pm b} = \left\{ \begin{array}{l} p \\ \tau \\ \tau_I \end{array} \right\} \sqrt{\pi b} \frac{1}{k} \left\{ 1 - \frac{E(k)}{K(k)} \right\} \end{array} \right. \quad \text{unde} \quad \begin{array}{l} k = \sqrt{1 - \frac{a^2}{b^2}} \\ K(k) = \int_0^{\frac{\pi}{2}} \frac{d\varphi}{\sqrt{1 - k^2 \sin^2 \varphi}} \\ E(k) = \int_0^{\frac{\pi}{2}} \sqrt{1 - k^2 \sin^2 \varphi} d\varphi \end{array}$$

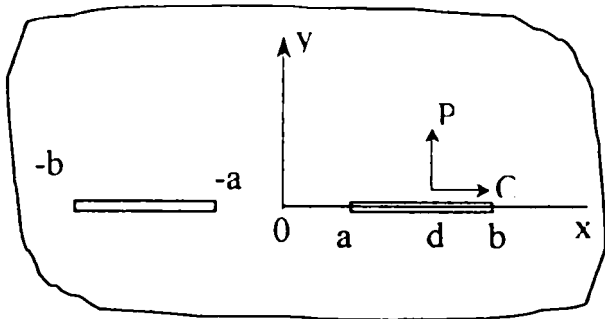


Fig. 2.5.3.13

$$K_{I\pm b} = \frac{1}{2\sqrt{\pi b}\sqrt{b^2 - a^2}} \cdot \left\{ P\sqrt{d^2 - a^2} \sqrt{\frac{b \pm d}{b \mp d}} + \left(\frac{x-1}{x+1} \right) \left(1 \pm \frac{\pi}{2K(k)} \right) Qb \mp \frac{Pb}{K(k)} [E(k)F(\theta, k) - K(k)E(\theta, k)] \right\}$$

$$K_{II\pm b} = \frac{1}{2\sqrt{\pi b}\sqrt{b^2 - a^2}} \cdot \left\{ Q\sqrt{d^2 - a^2} \sqrt{\frac{b \pm d}{b \mp d}} + \left(\frac{x-1}{x+1} \right) \left(1 \pm \frac{\pi}{2K(k)} \right) Pb \mp \frac{Qb}{K(k)} [E(k)F(\theta, k) - K(k)E(\theta, k)] \right\}$$

$$K_{I\pm a} = \frac{1}{2\sqrt{\pi a}\sqrt{b^2 - a^2}} \cdot \left\{ P\sqrt{b^2 - d^2} \sqrt{\frac{d \pm a}{d \mp a}} - \left(\frac{x-1}{x+1} \right) Q \left(a \pm \frac{\pi}{2K(k)} b \right) \pm \frac{Pb}{K(k)} [E(k)F(\theta, k) - K(k)E(\theta, k)] \right\}$$

$$K_{II\pm a} = \frac{1}{2\sqrt{\pi a}\sqrt{b^2 - a^2}} \cdot \left\{ Q\sqrt{b^2 - d^2} \sqrt{\frac{d \pm a}{d \mp a}} - \left(\frac{x-1}{x+1} \right) P \left(a \pm \frac{\pi}{2K(k)} b \right) \pm \frac{Qb}{K(k)} [E(k)F(\theta, k) - K(k)E(\theta, k)] \right\}$$

unde $k = \sqrt{1 - \frac{a^2}{b^2}}$, $\theta = \sqrt{\frac{b^2 - d^2}{b^2 - a^2}}$

$$K(k) = \int_0^{\frac{\pi}{2}} \frac{d\varphi}{\sqrt{1-k^2 \sin^2 \varphi}}, \quad E(k) = \int_0^{\frac{\pi}{2}} \sqrt{1-k^2 \sin^2 \varphi} d\varphi$$

$$F(\theta, k) = \int_0^{\theta} \frac{d\varphi}{\sqrt{1-k^2 \sin^2 \varphi}}, \quad E(\theta, k) = \int_0^{\theta} \sqrt{1-k^2 \sin^2 \varphi} d\varphi$$

A. Soluția lui Y. Z. CHEN [C35]/ 1997

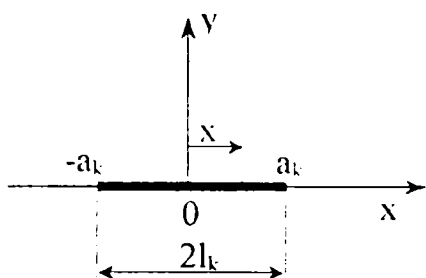


Fig. 2.5.3.14

Este în mare parte similară cu cea ce am prezentat în § 2.5.3 reducând problema la o ecuație hipersingulară de tipul (2.5.3.71) cu mici diferențe de notație și de încărcare; vom nota cu M numărul fisurilor.

$$\frac{1}{\pi} \text{v.p.} \int_{-a_k}^{a_k} \frac{g_k(t) dt}{(t-x_k)^2} + \frac{1}{\pi} \sum_{j=1}^M * \int_{-a_j}^{a_j} [M_{jk}(x_j, x_k) g_j(x_j) + L_{jk}(x_j, x_k) \overline{g_j(x_j)}] ds_j =$$

$$= N_k(x_k) + iT_k(x_k); \quad |x_k| < a_k; \quad k = 1, 2, \dots, M \quad (2.5.3.87)$$

unde:

$$M_{jk}(x_j, x_k) = \frac{1}{2} \left[\frac{1}{(x_j - T_{jk})^2} + e^{2i(\alpha_j - \alpha_k)} \cdot \frac{1}{(x_j - \bar{T}_{jk})^2} \right] \quad (2.5.3.88)$$

$$L_{jk}(x_j, x_k) = \frac{1}{2} \left[\left(1 + e^{2i(\alpha_j - \alpha_k)} \right) \frac{1}{(x_j - \bar{T}_{jk})^2} + e^{2i(\alpha_j - \alpha_k)} \cdot \frac{2(x_j - T_{jk})}{(x_j - \bar{T}_{jk})^3} \right] \quad (2.5.3.89)$$

$$T_{jk} = e^{-\alpha_j} \left(z_k^0 - z_j^0 + x_k e^{i\alpha_k} \right) \quad (2.5.3.90)$$

\sum^* - notează faptul că termenul corespunzător lui $j = k$ trebuie exclus din însumare;

v.p. – integrala trebuie luată în valoarea principală în sensul lui Cauchy

$N_k(x_k) + iT_k(x_k)$ - reprezintă tracțiunile date pe marginea fisurii cu numărul k

$g_k(t)$ - funcție care poate fi exprimată sub forma:

$$g_k(t) = \sqrt{a_k^2 - t^2} G_k(t) \quad , \quad |t| < a_k, \quad k = 1, 2, \dots, M \quad (2.5.3.91)$$

După ce ecuația (2.5.3.87) a fost rezolvată, factorii de intensitate a tensiunilor la cele două vârfuri (sau extremități) ale fisurii cu numărul j vor fi:

$$\begin{aligned} (K_1 - iK_2)_j &= \sqrt{\pi a_j} G(-a_j) \\ (K_1 - iK_2)_j &= \sqrt{\pi a_j} G(a_j) \end{aligned} \quad j = 1, 2, \dots, M \quad (2.5.3.92)$$

Aspectul dificil al problemei este legat de rezolvarea ecuației (2.5.3.87) pentru care autorul propune o soluție de cuadratură numerică cu utilizarea polinoamelor Cebâșev [B2], [B31], [R11].

$$U_n(t) = \frac{\sin[(n+1) \arccos t]}{\sin(\arccos t)} \quad |t| < 1 \quad (2.5.3.93)$$

(v.[R11] / p.410)

Se va introduce o nouă funcție:

$$h(s) = \sqrt{h^2 - s^2} H(s) \quad , \quad |s| < a \quad (2.5.3.94)$$

Funcția H(s) poate fi aproximată cu polinoame Cebâșev astfel:

$$H(s) \approx \sum_{n=0}^N c_n U_n(s/a) \quad , \quad |s| < a \quad (2.5.3.95)$$

unde:

$$c_n = \frac{2}{N+2} \sum_{k=1}^{N+1} \sin\left(\frac{k\pi}{N+2}\right) \sin\left(\frac{(n+1)k\pi}{N+2}\right) H(s_k) \quad (2.5.3.96)$$

$$s_k = a \cos \frac{k\pi}{N+2} \quad (2.5.3.97)$$

Vom folosi acum următoarea regulă de cuadratură:

$$\frac{1}{\pi} \text{v.p.} \int_{-a}^a \frac{h(s) ds}{(s-t)^2} = \frac{1}{\pi} \text{v.p.} \int_{-a}^a \frac{\sqrt{a^2 - s^2} H(s) ds}{(s-t)^2} = \sum_{k=1}^{N+1} W_k(t) H(s_k) \quad (2.5.3.98)$$

unde:

$$W_k(t) = \sum \frac{2(n+1)}{N+2} \sin \frac{k\pi}{N+2} \sin \left[\frac{(n+1)k\pi}{N+2} U_n(t/a) \right] \quad (2.5.3.99)$$

Chiar și pentru integrala obișnuită, regulată, vom da o regulă de cuadratură:

$$\frac{1}{\pi} \int_{-a}^a h(s) L(s,t) ds = \frac{1}{\pi} \int_{-a}^a \sqrt{a^2 - s^2} H(s) L(s,t) ds = \sum_{k=1}^{N+1} V_k(t) H(s_k) \quad (2.5.3.100)$$

unde:

$$V_k(t) = \frac{a^2 - s_k^2}{N+2} L(s_k, t) \quad (2.5.3.101)$$

$L(s,t)$ – o funcție ce depinde de argumentele s, t .

Utilizând ecuațiile (2.5.3.98) și (2.5.3.100) ecuația hipersingulară (2.5.3.87) se poate rezolva numeric.

B. Soluția lui Y. KONISHI [K50]/1972

KONISHI rezolvă aceeași problemă a două fisuri coplanare în planul infinit omogen și izotrop transversal, utilizând formularea în deplasări a problemei plane. Pentru generalitate ecuațiile constitutive se scriu sub forma:

$$\begin{Bmatrix} \sigma_x \\ \sigma_y \\ \tau_{xy} \end{Bmatrix} = \begin{bmatrix} c_{11} & c_{12} & 0 \\ c_{12} & c_{22} & 0 \\ 0 & 0 & c_{66} \end{bmatrix} \begin{Bmatrix} \varepsilon_x \\ \varepsilon_y \\ \gamma_{xy} \end{Bmatrix} \quad (2.5.3.102)$$

unde c_{ij} sunt constante elastice.

În absența forțelor de masă, ecuațiile de echilibru exprimate numai prin deplasări, au forma:

$$\begin{cases} c_{11} u_{,xx} + c_{66} u_{,yy} + (c_{12} + c_{66}) v_{,xy} = 0 \\ c_{66} v_{,xx} + c_{22} v_{,yy} + (c_{12} + c_{66}) u_{,xy} = 0 \end{cases} \quad (2.5.3.103)$$

Utilizând transformata Fourier, expresiile deplasărilor vor fi:

$$\bar{u}(\xi, y) = \int_{-\infty}^{\infty} u(x, y) e^{i x \xi} dx \Leftrightarrow u(x, y) = \frac{1}{2\pi} \int \bar{u}(\xi, y) e^{-i x \xi} d\xi$$

Ecuațiile (2.5.3.103) se scriu în urma aplicării transformatei Fourier:

$$\begin{cases} -c_{11} \xi^2 \bar{u} + c_{66} \bar{u}_{,yy} - i \xi (c_{12} + c_{66}) \bar{v}_{,y} = 0 \\ -c_{66} \xi^2 \bar{v} + c_{22} \bar{v}_{,yy} - i \xi (c_{12} + c_{66}) \bar{u}_{,y} = 0 \end{cases} \quad (2.5.3.104)$$

Eliminând componenta \bar{u} între aceste ecuații, se obține o ecuație diferențială de ordinul patru:

$$\bar{v}_{,yyyy} - 2B_1 \bar{v}_{,yy} + B_2 \bar{v} = 0 \quad (2.5.3.105)$$

unde:

$$2B_1 = \frac{1}{c_{22} c_{66}} [c_{66}^2 + c_{11} c_{22} - (c_{12} + c_{66})^2] \xi^2$$

$$B_2 = \frac{c_{11}}{c_{22}} \xi^4 \quad (2.5.3.106)$$

Vom căuta pentru ecuația (2.5.3.105) o soluție de forma:

$$\bar{v} \cong e^{\lambda y} \quad (2.5.3.107)$$

Înlocuind (2.5.3.107) în (2.5.3.105) se obține o ecuație bipătrată:

$$\lambda^4 - 2B_1 \lambda^2 + B_2 = 0 \quad (2.5.3.108)$$

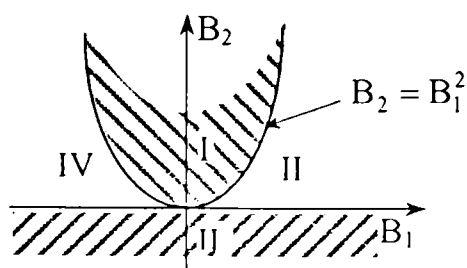


Fig. 2.5.3.15

Studiul amănunțit al acestei ecuații în funcție de raportul valoric între B_1 și B_2 , împarte planul în patru regiuni prin dreapta $B_2 = 0$ și prin parabola $B_2 = B_1^2$; în fiecare domeniu valoarea proprie λ , rezultată ca soluție a ecuației (2.5.3.108) este dată ca una din relațiile (2.5.3.109):

$$I. \quad \lambda = \pm \sqrt{\frac{1}{2}(\sqrt{B_2} + B_1)} \pm i \sqrt{\frac{1}{2}(\sqrt{B_2} - B_1)}$$

$$II. \quad \lambda = \pm \sqrt{B_1 \pm \sqrt{B_1^2 - B_2}}$$

$$\begin{aligned}
III. \quad \lambda &= \pm \sqrt{B_1 + \sqrt{B_1^2 - B_2}} \pm i \sqrt{-B_1 + \sqrt{B_1^2 - B_2}} \\
IV. \quad \lambda &= \pm i \sqrt{-B_1 \pm \sqrt{B_1^2 - B_2}}
\end{aligned}
\tag{2.5.3.109}$$

Din aceste relații se vede clar că λ este o funcție de două variabile, pe care pentru ușurința scrierii le vom nota cu α și β . Utilizând transformata Fourier inversă, vom exprima tensiunile și deplasările cu ajutorul lui \bar{v} .

$$\begin{aligned}
\sigma_x &= \frac{1}{2\pi} \cdot \frac{1}{c_{12} + c_{66}} \int_{-\infty}^{\infty} \left[\left(c_{11} c_{66} \xi^2 \int \bar{v} dy \right) - (c_{22} c_{11} - c_{12}^2 - c_{66} c_{12}) \bar{v}_{,y} \right] \cdot e^{-ix\xi} d\xi \\
\sigma_y &= \frac{1}{2\pi} \cdot \frac{c_{66}}{c_{12} + c_{66}} \int_{-\infty}^{\infty} \left[\left(c_{12} \xi^2 \int \bar{v} dy \right) + c_{22} \bar{v}_{,y} \right] \cdot e^{-ix\xi} d\xi \\
\tau_{xy} &= -\frac{1}{2\pi} \cdot \frac{c_{66}}{c_{12} + c_{66}} \int_{-\infty}^{\infty} \frac{1}{\xi} \left(c_{22} \bar{v}_{,yy} + c_{12} \xi^2 \bar{v} \right) \cdot e^{-ix\xi} d\xi \\
u &= \frac{1}{2\pi} \cdot \frac{1}{c_{12} + c_{66}} \int_{-\infty}^{\infty} \frac{i}{\xi} \left[\left(c_{66} \xi^2 \int \bar{v} dy \right) - c_{22} \bar{v}_{,y} \right] \cdot e^{-ix\xi} d\xi
\end{aligned}
\tag{2.5.3.110}$$

Pentru cazul prezentat în Fig. 2.5.3.11 este convenabil să alegem pentru \bar{v} , expresia:

$$\bar{v} = A(\xi) e^{-\alpha y} + B(\xi) e^{-\beta y} \tag{2.5.3.111}$$

unde “constantele” A și B sunt funcții de ξ și vor fi determinate din condițiile de frontieră care pot fi de diverse forme. Varianta prezentată de KONISHI este:

$$\begin{aligned}
\sigma_y(x,0) &= -E p_0(x) \quad , \quad a < |x| < b \\
v(x,0) &= 0 \quad , \quad |x| < a, |x| > b \\
\tau_{xy}(x,0) &= 0 \quad , \quad \forall x \in \mathbf{R}
\end{aligned}
\tag{2.5.3.112}$$

Ținând cont de (2.5.3.110) și (2.5.3.111) aceste condiții devin:

$$\begin{aligned}
\frac{2}{\pi} \cdot \frac{c_{66}}{c_{12} + c_{66}} \int_0^{\infty} \left[\frac{1}{\alpha} \left(c_{12} \xi^2 + c_{22} \alpha^2 \right) A + \frac{1}{\beta} \left(c_{12} \xi^2 + c_{22} \beta^2 \right) B \right] \cdot \cos \xi x dx = \\
= E p_0(x) \quad , \quad a < x < b \\
\int_0^{\infty} (A + B) \cos \xi x d\xi = 0 \quad , \quad 0 \leq x < a, x > b
\end{aligned}
\tag{2.5.3.113}$$

unde:

$$A(\xi) = -\frac{c_{22} \beta^2 + c_{12} \xi^2}{c_{22} \alpha^2 + c_{12} \xi^2} B(\xi) \tag{2.5.3.114}$$

Fără a mai detalia calculele, pentru $p_0(x) = p_0 = \text{const.}$ se obține:

$$\phi(t^2) = \frac{c_{12} + c_{66}}{c_{66}} \cdot \frac{E}{K} P_0 \frac{(t^2 - b^2)(E/F)}{\sqrt{(t^2 - a^2)(b^2 - t^2)}} \quad (2.5.3.115)$$

$$f(\xi) = \frac{1}{\xi} \int_a^b \phi(t^2) \sin t \xi dt = \frac{c_{22}(\alpha^2 - \beta^2)}{c_{22}\alpha^2 + c_{12}\xi^2} \beta(\xi) \quad (2.5.3.116)$$

$$K = \frac{1}{\alpha\beta} \cdot \frac{1}{\alpha + \beta} \left(c_{22}\alpha^2 + c_{12}\xi^2 \right) \left(c_{22}\beta^2 + c_{12}\xi^2 \right) \frac{1}{\xi c_{22}} \quad (2.5.3.117)$$

unde E, F sunt integrale eliptice de ordinul doi și unu (v.[R11]).

C. O soluție nouă

Urmărind numeroasele lucrări dedicate acestei probleme, unele prezentate în exemplele de mai sus, voi formula în continuare o soluție nouă, sugerată de o metodologie simplă, de suprapunere de efecte, pornind de la probleme cunoscute, idee întâlnită din ce în ce mai frecvent în literatură.

Raționamentul de bază este următorul:

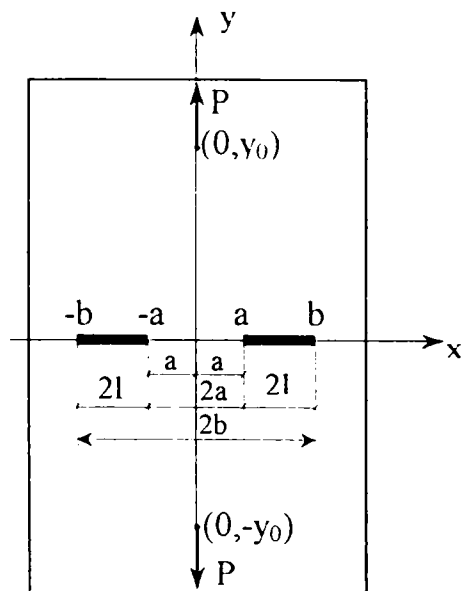


Fig. 2.5.3.15

- Voi considera planul încărcat numai cu forțele de tracțiune P , considerând că nu există fisuri, și voi calcula după metoda lui Mushelișvili care sunt tensiunile care apar pe o linie imaginară care urmează traseul fisurilor reale (vezi Fig. 2.5.3.15). Problema este deci cunoscută și rezolvată.

- Voi considera din nou planul dar fără solicitări, care are două fisuri (ca în Fig. 2.5.3.15), de data acesta încărcate cu un sistem de tensiuni pe cele două margini, egale și de semn contrar cu cele determinate în primul caz; și acest caz este cunoscut și a fost prezentat mai sus, la § 2.5.3.2.

Prin suprapunere de efecte se obține starea finală de tensiune în vecinătatea fisurilor. Voi studia cazul prezentat în Fig. 2.5.3.15 când planul este încărcat cu două forțe concentrate care-l solicită la tracțiune, deoarece pentru acest caz am obținut și rezultate experimentale.

În primul caz funcțiile potențial ale lui Mushelișvili sunt:

$$\Phi(z) = \frac{y_0 P}{\pi(1 + \chi)} \cdot \frac{1}{z^2 + y_0^2} \quad (2.5.3.118)$$

$$\Psi(z) = \frac{\chi y_0 P}{\pi(1 + \chi)} \cdot \frac{1}{z^2 + y_0^2} - \frac{y_0 P}{\pi(1 + \chi)} \cdot \frac{z^2 - y_0^2}{z^2 + y_0^2} \quad (2.5.3.119)$$

unde:

$$z = x + iy$$

χ = constanta lui Mushelișvili

$$\chi = \begin{cases} \frac{3 - \nu}{1 + \nu} & \text{pentru starea plană de tensiune} \\ 3 - 4\nu & \text{pentru starea plană de deformatie} \end{cases}$$

Din cunoscutele ecuații ale lui Kolosov-Mushelișvili rezultă:

$$\sigma_y^{(1)}(x,0) = \frac{y_0 P}{\pi(1+\chi)} \left[\frac{\chi-1}{x^2+y^2} + \frac{4y_0^2}{(x^2+y^2)^2} \right] \quad (2.5.3.120)$$

Pentru determinarea tensiunilor $\sigma_y^{(2)}(x,0)$ din cea de a doua situație de încărcare, când pe marginile fisurilor acționează $\sigma_y^{(1)}(x,0)$, se folosesc tot formulele lui Mushelișvili.

Dacă se notează:

$$\begin{aligned} Q(z) &= \sqrt{(z^2 - a^2)(z^2 - b^2)} \\ P_n(z) &= c_0 z^2 + c_1 z + c_2 \end{aligned} \quad (2.5.3.121)$$

atunci funcțiile complexe de potențial se pot scrie:

$$\begin{aligned} \Phi(z) &= \frac{P_n(z)}{Q(z)} + \Phi_0(z) \\ \Psi(z) &= \Phi(z) + z\Phi'(z) \end{aligned} \quad (2.5.3.122)$$

unde:

$$\Phi_0(z) = \frac{1}{2\pi i Q(z)} \int_L \frac{Q(x) \cdot \sigma_y^{(1)}(x,0)}{x-z} dx \quad (2.5.3.123)$$

Constanta c_0 se va determina din condiția că la infinit tensiunile sunt nule. Rezultă $c_0 = 0$. Constantele c_1 și c_2 se deduc din sistemul de ecuații:

$$2(\chi+1) \int_{L_k} \frac{P_n(x)}{Q(x)} dx + \chi \int_{L_k} [\Phi^+(x) - \Phi^-(x)] dx = 0 \quad (2.5.3.124)$$

Introducând (2.5.3.120) în (2.5.3.123) se obține:

$$\begin{aligned} \Phi_0(z) &= \frac{y_0 P}{2\pi(1+\chi)} \left\{ (\chi-1) \left[\frac{1}{z^2+y_0^2} - \frac{1}{Q(z)} \left(-\frac{\Delta}{z^2+y_0^2} - 1 \right) \right] + \frac{4y_0^2}{(z^2+y_0^2)^2} + \right. \\ &\quad \left. + \frac{2}{(z^2+y_0^2)Q(z)} \left[\Delta_1 + \frac{\Delta(z^2-y_0^2)}{z^2+y_0^2} \right] \right\} \end{aligned} \quad (2.5.3.125)$$

$$\Delta = \sqrt{(y_0^2 + a^2)(y_0^2 + b^2)} \quad , \quad \Delta_1 = \frac{y_0^4 - a^2 b^2}{\Delta} \quad (2.5.3.126)$$

Facem în (2.5.3.125) $y = 0$ și introducem rezultatul în (2.5.3.124); obținem un sistem de două ecuații pentru determinarea lui c_1 și c_2 .

$$\begin{aligned} c_1 \int_a^b \frac{\chi dx}{\sqrt{(x^2 - a^2)(x^2 - b^2)}} + c_2 \int_a^b \frac{dx}{\sqrt{(x^2 - a^2)(x^2 - b^2)}} &= -\frac{1}{2} \int_a^b [\Phi^+(x) - \Phi^-(x)] dx \\ -c_1 \int_a^b \frac{\chi dx}{\sqrt{(x^2 - a^2)(x^2 - b^2)}} + c_2 \int_a^b \frac{dx}{\sqrt{(x^2 - a^2)(x^2 - b^2)}} &= -\frac{1}{2} \int_a^b [\Phi^+(x) - \Phi^-(x)] dx \end{aligned} \quad (2.5.3.127)$$

Scăzând cele două ecuații, obținem:

$$2c_1 \int_a^b \frac{\chi dx}{\sqrt{(x^2 - a^2)(x^2 - b^2)}} = 0 \quad \Rightarrow \quad c_1 = 0 \quad (2.5.3.128)$$

Din (2.5.3.127) în care punem $c = 0$ obținem pe c :

$$c_2 = \frac{y_0 P}{2\pi(1+\chi)} c_2^* \\ c_2^* = \frac{1}{F} \left\{ (\chi - 1) \left[\frac{\Delta}{h} \Pi + F \right] - \frac{2\delta}{h} \Pi + \right. \\ \left. + 4\Delta y_0^2 \frac{\left[q^2 + 2qh(1+k^2) + 3k^2 h^2 \right] \frac{1}{h} \Pi - hk^2 F - q(F - E)}{2h(q+h)(q+hk^2)} \right\} \quad (2.5.3.129)$$

unde:

$$k^2 = \frac{b^2 - a^2}{b^2} \quad ; \quad q = -(b^2 - a^2) \quad h = b^2 + y_0^2 \\ \Delta = \sqrt{(y_0^2 + a^2)(y_0^2 + b^2)} \quad ; \quad \delta = \frac{2y_0^4 + (a^2 + b^2)y_0^2}{\Delta} \quad (2.5.3.130)$$

$$F = F\left(\frac{\pi}{2}; k\right) \quad ; \quad E = E\left(\frac{\pi}{2}; k\right) \quad ; \quad \Pi = \Pi\left(\frac{\pi}{2}; \frac{q}{h}; k\right) \quad (2.5.3.131)$$

sunt integrale eliptice complete de speța întâi, respectiv de speța a doua și a treia.

Din combinarea formulelor precedente putem obține funcția $\Phi(z)$:

$$\Phi(z) = \frac{y_0 P}{2\pi(1+\chi)} \left\{ (\chi - 1) \left[\frac{1}{z^2 + y_0^2} + \frac{1}{Q(z)} \left(\frac{\Delta}{z^2 + y_0^2} + 1 \right) \right] + \frac{4y_0^2}{(z^2 + y_0^2)^2} + \right. \\ \left. + \frac{1}{Q(z)} \left[\frac{2\delta}{z^2 + y_0^2} - \frac{4\Delta y_0^2}{(z^2 + y_0^2)^2} + c_2^* \right] \right\} \quad (2.5.3.132)$$

Rezultă acum expresia tensiunii σ_y pe axa x , pentru valori ale lui x care se află în afara fisurilor:

$$\sigma_y^{(2)}(x, 0) = \frac{y_0 P}{2\pi(1+\chi)} \left\{ (\chi - 1) \left[\frac{1}{x^2 + y_0^2} + \frac{1}{\sqrt{(x^2 - a^2)(x^2 - b^2)}} \left(\frac{\Delta}{x^2 + y_0^2} + 1 \right) \right] + \right. \\ \left. + \frac{4y_0^2}{(x^2 + y_0^2)^2} + \frac{1}{\sqrt{(x^2 - a^2)(x^2 - b^2)}} \left[\frac{2\delta}{x^2 + y_0^2} - \frac{4\Delta y_0^2}{(x^2 + y_0^2)^2} + c_2^* \right] \right\} \quad (2.5.3.133)$$

Dau în continuare soluția numerică, obținută cu programul „Mathematica”, pentru cazul concret al unei plăci cu două fisuri ca cele din Fig. 2.5.3.15, având:

$a=10\text{mm}$, $b=30\text{mm}$, $P=998\text{ N}$, $y_0=95\text{ mm}$, $\nu=0.33$ (este cazul verificat și fotoelastic în capitolul 5). Prin program s-a reprezentat grafic variația lui $\sigma_y^{(2)}$ pe axa x în afara fisurilor.

Se observă că la vârful fisurilor tensiunea este infinită, scăzând spre marginile plăcii la 12.62 N/mm^2 și între fisuri, la $x=0$, la 63.4855 N/mm^2 .

Programul cu reprezentările grafice aferente (Fig. 2.5.3.16, Fig. 2.5.3.17 și Fig. 2.5.3.18) sunt pe paginile următoare:

$$\text{In[1]}:= c_2 = \frac{1}{EF} \left((\chi - 1) \left(\frac{\Delta}{h} EPI + EF \right) - \frac{2\delta}{h} EPI + \right. \\ \left. 4 \Delta y_0^2 \frac{(q^2 + 2qh(1+m) + 3mh^2) \frac{1}{h} EPI - hmEF - q(EF - EE)}{2h(q+h)(q+hm)} \right)$$

$$\text{Out[1]}= \frac{2(-EFhm - (EF - EE)q + \frac{EPI(3mh^2 + 2(m+1)qh + q^2)}{h}) \Delta y_0^2}{h(h+q)(hm+q)} - \frac{2EPI\delta}{h} + (EF + \frac{EPI\Delta}{h})(\chi - 1)$$

$$\text{In[2]}:= \text{SigmaY}[x_] := \frac{y_0 P}{2\pi(1+\chi)} \left((\chi - 1) \left(\frac{1}{x^2 + y_0^2} + \frac{\frac{\Delta}{x^2 + y_0^2} + 1}{\sqrt{(x^2 - a^2)(x^2 - b^2)}} \right) + \right. \\ \left. \frac{4y_0^2}{(x^2 + y_0^2)^2} + \frac{1}{\sqrt{(x^2 - a^2)(x^2 - b^2)}} \left(\frac{2\delta}{x^2 + y_0^2} - \frac{4\Delta y_0^2}{(x^2 + y_0^2)^2} + c_2 \right) \right)$$

$$\text{In[3]}:= \chi = \frac{3 - \nu}{1 + \nu}$$

$$\text{Out[3]}= \frac{3 - \nu}{\nu + 1}$$

$$\text{In[4]}:= \delta = \frac{2y_0^4 + (a^2 + b^2)y_0^2}{\Delta}$$

$$\text{Out[4]}= \frac{2y_0^4 + (a^2 + b^2)y_0^2}{\Delta}$$

$$\text{In[5]}:= \Delta = \sqrt{(y_0^2 + a^2)(y_0^2 + b^2)}$$

$$\text{Out[5]}= \sqrt{(a^2 + y_0^2)(b^2 + y_0^2)}$$

$$\text{In[6]}:= n = \frac{q}{h}$$

$$\text{Out[6]}= \frac{q}{h}$$

$$\text{In[7]}:= h = b^2 + y_0^2$$

$$\text{Out[7]}= b^2 + y_0^2$$

$$\text{In[8]}:= q = -(b^2 - a^2)$$

$$\text{Out[8]}= a^2 - b^2$$

$$\text{In[9]}:= m = \frac{b^2 - a^2}{b^2}$$

$$\text{Out[9]}= \frac{b^2 - a^2}{b^2}$$

$$\text{In[10]}:= P = 998$$

$$\text{Out[10]}= 998$$

$$\text{In[11]}:= a = 10$$

$$\text{Out[11]}= 10$$


```
In[12] = b = 30
```

```
Out[12] = 30
```

```
In[13] = y0 = 95
```

```
Out[13] = 95
```

```
In[14] = r = 0.33
```

```
Out[14] = 0.33
```

```
In[15] = m
```

```
Out[15] =  $\frac{8}{9}$ 
```

```
In[16] = EF = EllipticF[ $\frac{\pi}{2}$ , m] // N
```

```
Out[16] = 2.52863
```

```
In[17] = EE = EllipticE[m] // N
```

```
Out[17] = 1.11374
```

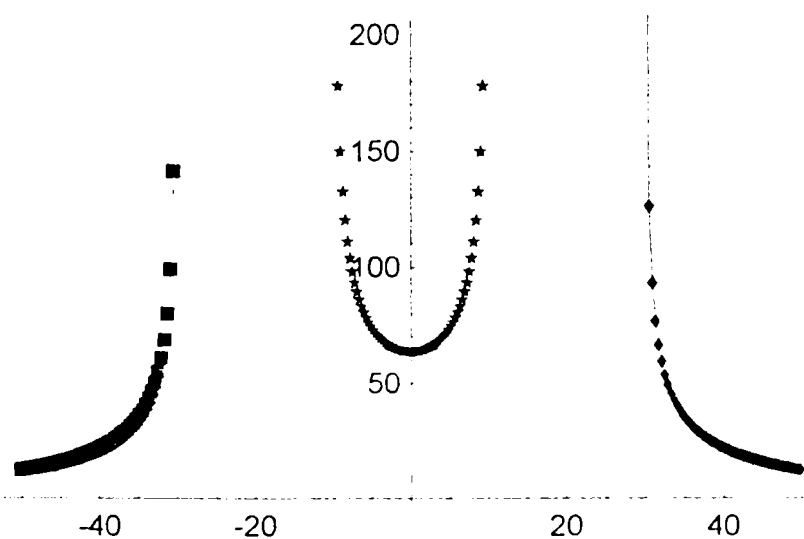
```
In[18] = EPI = EllipticPi[n, m] // N
```

```
Out[18] = 2.40825
```

```
In[19] = << Graphics`MultipleListPlot`
```

```
In[20] = (list1 = Table[{x, SigmaY[x]},
  {x, 30.1, 50, 0.4}];
  list2 = Table[{x, SigmaY[x]},
  {x, -9.9, 9.9, 0.3}];
  list3 = Table[{x, SigmaY[x]},
  {x, -50, -30.1, 0.4}];)
```

```
In[21] = MultipleListPlot[list1, list2, list3, PlotJoined -> True]
```



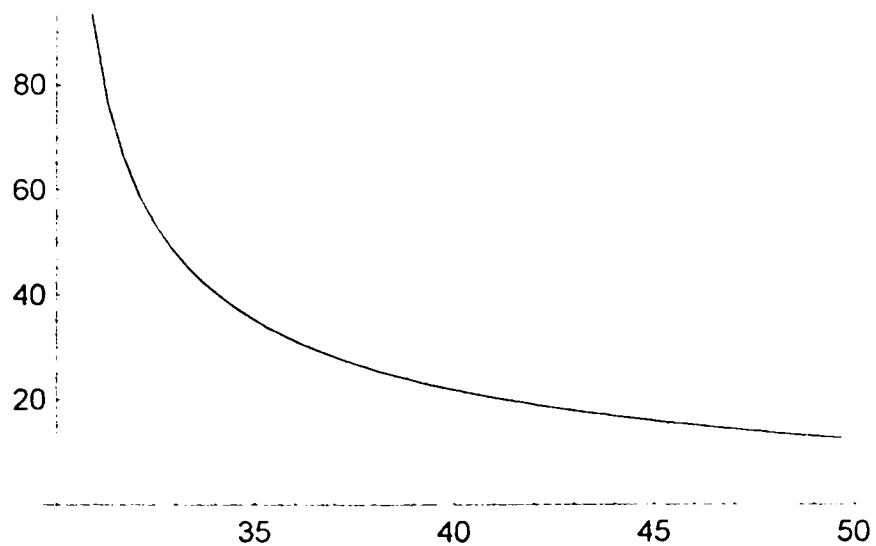
```
Out[21] = - Graphics -
```

Fig. 2.5.3.16

```
In[22]:= list1 = Table[{x, SigmaY[x]},  
                    {x, 30.1, 50, 0.4}]
```

```
Out[22]= {30.1 283.623  
30.5 126.048  
30.9 93.0345  
31.3 76.5803  
31.7 66.2227  
32.1 58.9092  
32.5 53.3768  
32.9 48.995  
33.3 45.4086  
33.7 42.4001  
34.1 39.8276  
34.5 37.594  
34.9 35.6304  
35.3 33.886  
35.7 32.3228  
36.1 30.9113  
36.5 29.6286  
36.9 28.4562  
37.3 27.3793  
37.7 26.3858  
38.1 25.4654  
38.5 24.6098  
38.9 23.8119  
39.3 23.0655  
39.7 22.3655  
40.1 21.7073  
40.5 21.0871  
40.9 20.5015  
41.3 19.9473  
41.7 19.4221  
42.1 18.9235  
42.5 18.4493  
42.9 17.9977  
43.3 17.567  
43.7 17.1558  
44.1 16.7627  
44.5 16.3863  
44.9 16.0257  
45.3 15.6798  
45.7 15.3477  
46.1 15.0285  
46.5 14.7215  
46.9 14.4259  
47.3 14.141  
47.7 13.8664  
48.1 13.6013  
48.5 13.3454  
48.9 13.098  
49.3 12.8588  
49.7 12.6274}
```

```
In[23]:= ListPlot[list1, PlotJoined -> True]
```



```
Out[23]= - Graphics -
```

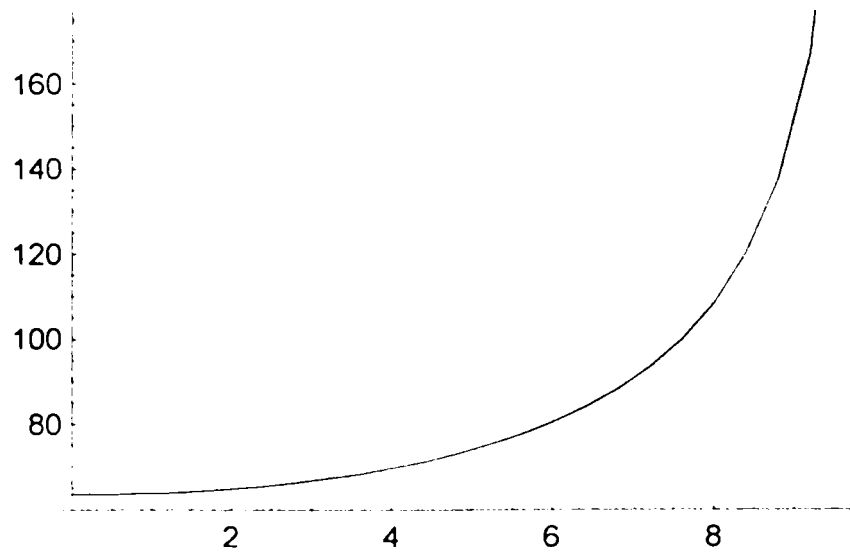
Fig. 2.5.3.17

```
In[24]:= list2 = Table[{x, SigmaY[x]},  
  {x, 0., 9.99, 0.4}]
```

```
Out[24]=
```

0.	63.4855
0.4	63.5404
0.8	63.706
1.2	63.9845
1.6	64.3801
2.	64.8986
2.4	65.548
2.8	66.3387
3.2	67.2841
3.6	68.4014
4.	69.7122
4.4	71.2442
4.8	73.0333
5.2	75.1259
5.6	77.5837
6.	80.4899
6.4	83.96
6.8	88.1591
7.2	93.3327
7.6	99.8653
8.	108.399
8.4	120.112
8.8	137.467
9.2	166.849
9.6	233.678

```
In[25]= ListPlot[list2, PlotJoined -> True]
```

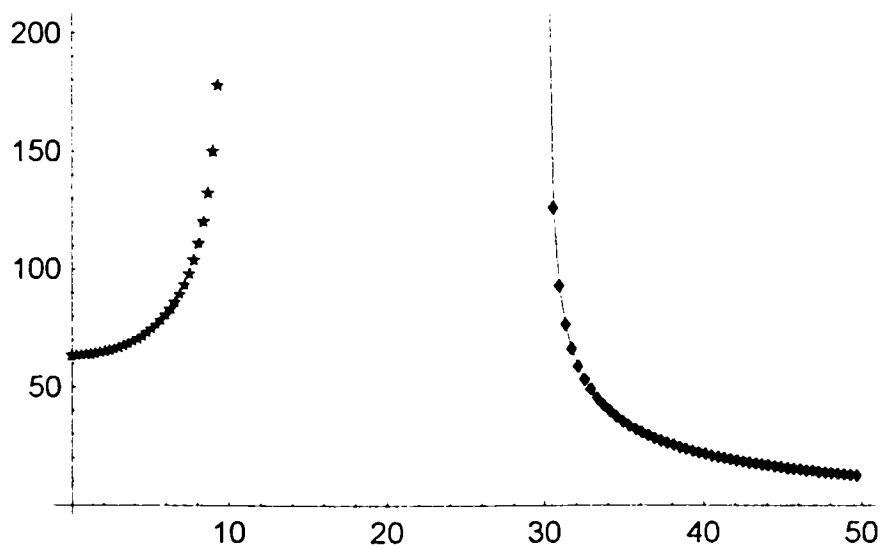


```
Out[25]= - Graphics -
```

Fig. 2.5.3.18.

```
In[26]= (list1 = Table[{x, SigmaY[x]},
  {x, 30.1, 50, 0.4}];
list2 = Table[{x, SigmaY[x]},
  {x, 0, 9.9, 0.3}]);
```

```
In[27]= MultipleListPlot[list1, list2, PlotJoined -> True]
```



```
Out[27]= - Graphics -
```

Fig. 2.5.3.19

CAPITOLUL 3

CONTRIBUȚII PRIVIND FORMULAREA ȘI APLICAREA METODELOR NUMERICE LA CALCULUL CÂMPURILOR DE TENSIUNI ȘI DEPLASĂRI ÎN SOLIDE ELASTICE CU DEFECTE

§ 3.1. GENERALITĂȚI

Cea mai mare parte din problemele formulate de Mecanica Solidului Deformabil (MSD) nu se poate rezolva pe cale analitică utilizând binecunoscutele tehnici de determinare a soluțiilor exacte: separarea variabilelor, transformările integrale etc. (v. cap. 1 și 2). De aceea problemele de interes practic care sunt formulate în general pe domenii cu o geometrie complicată, pe elemente de rezistență cu **defecte interioare existente obiectiv**, nu se pot rezolva decât în mod aproximativ cu ajutorul metodelor numerice. Evident că formidabila dezvoltare a calculatoarelor, a vitezei și posibilităților lor de calcul a făcut ca opinia privind soluția aproximativă numerică să se schimbe deoarece, pe de o parte, erorile pot fi reduse până la valori insignifiante, iar pe de altă parte, existența programelor mari de firmă fac abordabilă orice problemă.

După cum se știe metodele numerice cele mai utilizate sunt:

- Metoda diferențelor finite (M.D.F.)
- Metoda elementelor finite (M.E.F.)
- Metoda elementelor de frontieră (M.E.Fr.)

M.D.F., numită și *metoda rețelelor*, bazată pe ideea înlocuirii derivatelor prin diferențe finite (ceea ce înseamnă de fapt utilizarea unor serii Taylor trunchiate) este cea mai simplă și cea mai veche metodă de rezolvare numerică aproximativă a ecuațiilor și sistemelor de ecuații diferențiale. Precizia de aproximare a soluției **conține** prin valorile sale în nodurile unei rețele de discretizare a domeniului de câmp, depinde de forma și pasul rețelei, de expresia de discretizare a derivatelor parțiale prin diferențe finite, de modul de aproximare a condițiilor la limită și de procedeele de calcul utilizate. Deoarece nu o vom folosi în cadrul acestei teze, nu ne mai ocupăm de ea. Detalii se pot găsi în lucrările [B57], [M38], [S46] etc.

M.E.F. este actualmente cea mai utilizată metodă pentru rezolvarea unei game largi de probleme din domeniul (M.S.D.). Este tot o metodă de discretizare a mediului continuu în elemente foarte mici numite *elemente finite* pe care funcția necunoscută care guvernează fenomenul fizic studiat poate fi aproximată în fel și chip. Ecuația diferențială va fi satisfăcută într-un sens global – „*in medie*” – pe fiecare element de diviziune. Deoarece o voi folosi pe parcursul lucrării, atât pentru verificarea și validarea unor rezultate teoretice cât și în cuplare cu M.E.Fr., îi voi acorda un paragraf special (§3.2).

În esență cele două metode (M.D.F. și M.E.F.) sunt de fapt niște cazuri particulare ale metodei reziduurilor ponderate. Ambele metode reduc mediul continuu cu un număr infinit de

grade de libertate la o mulțime finită, aproximând sistemul de ecuații diferențiale de domeniu, pe fiecare element de discretizare, cu legi mai simple, alegând ca necunoscute fundamentale ale problemei valorile acestora în noduri. Problema se reduce în final la rezolvarea unor sisteme liniare de ecuații algebrice, astfel elaborate încât să cuprindă și condițiile de limită impuse (date).

M.E.Fr. – deși istoric a apărut înaintea M.E.F., bazele matematice fiind formulate încă din 1886 odată cu stabilirea identității integrale a lui Somigliana și cu apariția teoriei ecuațiilor integrale Voltera (1896) și Fredholm (1902), dezvoltarea și mai ales aplicarea M.E.Fr. este de dată mult mai recentă, începând cu anul 1970.

În esență și aceasta este o metodă de rezolvare aproximativă a problemelor de limită care se bazează pe transformarea ecuației diferențiale de domeniu într-o ecuație integrală pe frontiera domeniului, utilizând ca **funcție pondere** o soluție a ecuației omogene asociate sau o **soluție fundamentală** a ecuației date. Aceasta este o dificultate intimă a metodei care retrânge sfera de aplicabilitate la operatori diferențiali cu coeficienți constanți. Odată obținută ecuația integrală de frontieră, aceasta se rezolvă de obicei numeric, ceea ce necesită discretizarea doar a frontierei, reducând în felul acesta cu o unitate dimensiunea problemei și micșorând numărul ecuațiilor sistemului algebric rezultat și numărul datelor de intrare și ieșire.

Deoarece cea mai mare parte a preocupărilor mele în cadrul acestui capitol vor fi legate de aplicarea M.E.Fr., voi rezerva acestei probleme un paragraf special (§ 3.3).

§ 3.2. METODA ELEMENTELOR FINITE (M.E.F.)

3.2.1. Generalități

Deoarece în literatura științifică românească s-au publicat foarte multe monografii de certă valoare consacrate M.E.F., dintre care amintesc: C.AVRAM [A44]/1984, C.BRĂȚIANU [B71]/1983, T.PETRILA [P34]/1987, C.PACOSTE [P1]/1988, I.N.CONSTANTINESCU [C58] [C57]/1989, D.GĂRBEA [G7]/1990, M.GAFIȚEANU [G1]/1987, D.STEMATIU [S64]/1988, M.BLUMENFELD [B54]/1995, N.FAUR [F3]/2002, N.G.OLTEANU [O6]/1978, nu voi face decât o sumară prezentare de principiu a acestei metode. Cu atât mai mult cu cât la noi în țară există numeroase programe profesionale de element finit (programe de firmă) cu posibilități enorme de calcul, cum ar fi: COSMOS/M, ANSYS, ADINA, NASTRAN-PATRAN, ABAQUS, SAMCEF etc, și am convingerea că, de unul singur, nu se mai poate face nimic în acest domeniu în care lucrează mari firme specializate pe probleme de soft. Mai mult, la noi în țară există din 1992 Societatea de Inginerie Asistată de Calculator (S.I.A.C.*), care organizează din doi în doi ani conferințe naționale cu participare internațională specializate pe teoria și practica M.E.F., sub numele ELFIN (în 2003 are loc ELFIN 6 la Timișoara – unde și eu am înscris în program două lucrări). Pe lângă toate acestea se găsesc în bibliotecile din România cele mai celebre monografii din lume privind M.E.F., cum ar fi: ZIENKIEWICS O.C. [Z13], K.J.BATHE [B21]/1982, DANGLA P. [D3]/1990, GALLANGER H.P. [G4]/1975, H.D. NORRIE [N21]/1978, N.SUKUMAR [S75]/1999 etc

În aceste condiții M.E.F. s-a bucurat de o cunoaștere profundă și de o largă aplicare aproape în toate domeniile (la noi în țară) – de aceea am limitat la maxim informațiile cu caracter general.

Intenția mea inițială a fost să mă ocup numai de metoda elementului de frontieră (M.E.Fr.), o metodă care intră în actualitate datorită unor avantaje certe față de M.E.F. A fost însă nevoie să folosesc și M.E.F. (drept pentru care am scris acest paragraf) din mai multe motive:

- a trebuit să verific pe „problemele test” unele rezultate obținute cu M.E.Fr.;
- există numeroase situații când cuplarea M.E.Fr. cu M.E.F. conduce la rezultate mult mai bune și cu un efort de calcul mult mai mic; această metodologie devine absolut necesară în condițiile unei probleme extinse pe regiuni cu proprietăți mecanice diferite. De altfel, cercetările actuale de vârf se ocupă de cuprinderea celor două metode într-o teorie unitară
- marea majoritate a rezultatelor teoretice obținute până acum în mecanica ruperii au fost verificate cu M.E.F.; o analiză interesantă a acestei probleme este făcută de L. MARȘAVINA [M15]/1988.
- Utilizarea M.E.F. în mecanica ruperii este de dată relativ recentă (după 1980), aplicațiile și programele de firmă fiind foarte rare la noi în țară (vezi §3.3).

* * *

Schema generală a M.E.F. apare pentru prima dată într-o lucrare a lui COURANT în 1943 referitoare la soluționarea problemei torsiunii barelor necirculare. Prima etapă importantă a fost realizată de ARGYRIS care a dat formularea matricială a metodei deplasărilor în calculul structurilor din bare. Noțiunea de discretizare a mediului continuu prin elemente finite este introdusă de TURNER, CLOUGH, MARTIN și TOPP (P1), care în 1996 soluționează ecuațiile problemei plane a teoriei elasticității utilizând elemente finite triunghiulare și dreptunghiulare. Ulterior au urmat perfecționări atât în ceea ce privește formularea matricială cât și a unor noi variante în diverse sisteme de coordonate etc. Sinteza cea mai completă este făcută în cartea lui ZIENKIEWICS, cea mai cunoscută lucrare și cea mai citită în literatura de specialitate

3.2.2. Prezentarea generală a metodei

M.E.F. este în esență un procedeu de rezolvare aproximativă a problemelor de câmp, adică de determinarea într-un domeniu dat a uneia sau a mai multor funcții necunoscute caracteristice naturii fizice a câmpului cercetat (de exemplu câmpurile tensiunilor, deformațiilor și deplasărilor în M.S.D.) atunci când nu putem rezolva analitic ecuațiile diferențiale și/sau integro-diferențiale care guvernează fenomenul.

Ideea fundamentală o constituie înlocuirea corpului deformabil printr-un sistem structural articulată ale cărui subregiuni sunt numite **elemente finite**; ele au în principiu dimensiuni mici și forme regulate și sunt legate între ele articulată în diverse puncte numite **noduri** sau **puncte nodale**. Dar, pentru a exista **echivalență** – *din punct de vedere al stării de deformație și tensiune* – între corpul real și structura articulată înlocuitoare formată din elemente finite, este necesară formularea unor condiții de continuitate, de obicei în deplasări, care să asigure această echivalență cel puțin în nodurile rețelei.

* Autoarea tezei este membră S.I.A.C.

Pentru rezolvarea acestor probleme M.E.F. folosește de cele mai multe ori un **principiu variațional**. Potrivit calculului variațional rezolvarea unei ecuații diferențiale într-un anumit domeniu și în anumite condiții la limită, este echivalentă cu *minimizarea în acel domeniu a unei mărimi funcționale corespunzătoare ecuațiilor diferențiale și condițiilor la limită date*. Specific M.E.F. este faptul că minimizarea se face pe subdomeniile reprezentate de elementele finite. Acest lucru permite ca funcțiile necunoscute căutate, continue pe întreg domeniul, să fie approximate printr-un set de funcții convenționale numite **funcții coordonate** sau **triale**, liniar independente, *continue numai pe cuprinsul elementelor finite*. Atunci, ca urmare a minimizării funcționalei în toate elementele finite și a asamblării pe tot domeniul a efectelor obținute, rezultă un sistem de ecuații algebrice prin a cărui rezolvare se determină valorile funcțiilor căutate în noduri. Pentru a răspunde acestui raționament, elementului finit trebuie să i se asigure niște proprietăți formulate în mod adecvat, astfel încât el să aibă o funcționalitate dependentă evident de restricțiile impuse corpului real din care face parte. Formularea acestor proprietăți ale elementelor finite ca o parte a unui întreg constituie punctul de plecare în rezolvarea problemei. Aceste proprietăți se bazează pe:

- cunoașterea precisă a caracteristicilor geometrice și mecanice a fiecărui element în parte;
- evaluarea printr-un calcul separat a forțelor nodale pentru fiecare element în parte.

3.2.2.1. Precizări despre forțele nodale

Sub această denumire intră două categorii distincte de forțe, și anume:

- **Forțe concentrate preluate de către noduri** și transmise elementului; ele reprezintă acțiunea restului corpului asupra elementului finit considerat. Se prezintă de obicei sub forma unui vector coloană $\{F\}_e$.
- **Forțe transmise în noduri** de către elementul însuși, fiind cauzate de sarcinile existente pe element; ele se reprezintă prin matricea $\{F\}_p$.

Admițând o comportare elastică a elementului, ecuația de echilibru a acestuia se scrie sub forma:

$$\{F\}_e + \{F\}_p + \{F\}_T + \{F\}_{\sigma_0} = [K]_e \{\delta\}_e \quad (3.2.1)$$

S-au mai introdus notațiile:

$\{F\}_T$ - matricea forțelor nodale cauzate de variații de temperatură și de inexactitățile de montaj;

$\{F\}_{\sigma_0}$ - matricea forțelor nodale datorate tensiunilor remanente și altor cauze;

$[K]_e$ - matricea de rigiditate a elementului;

$\{\delta\}_e$ - vectorul deplasărilor nodale ale elementului.

Prin asamblarea tuturor elementelor finite, ecuația (3.2.1) devine:

$$\sum_{n=1}^m (\{F\}_{e,n} + \{F\}_{p,n} + \{F\}_{T,n} + \{F\}_{\sigma_0,n}) = \left(\sum_{n=1}^m [K]_{e,n} \right) \{\delta\} \quad (3.2.2)$$

$$\Leftrightarrow \{F\} = [K] \cdot \{\delta\} \quad (3.2.3)$$

notațiile fiind evidente.

La scrierea ecuației precedente am presupus în mod tacit că toate matricile au fost extinse la dimensiunea structurii întregi, proces în care termenii au fost rearanjați în așa fel încât să corespundă cu termenii din matricea $\{\delta\}$ a deplasărilor nodale.

În rezolvarea problemelor din M.S.D. cu M.E.F. se pot urma în principiu trei căi:

- **prima cale** este cea schițată până aici, cunoscută sub numele de **metoda deplasărilor**, deoarece drept necunoscute principale ale problemei sunt alese **deplasările nodale**. În această metodă sunt utilizate trei concepte fundamentale:
 - deplasările nodale;
 - forțele nodale;
 - matricea de rigiditate a elementului.
- **a doua cale** alege drept necunoscute principale **tensiunile** și în acest caz se vorbește despre o metodă de echilibru, cunoscută și sub numele de **metoda forțelor**.
- **a treia cale** este evident o combinație a primelor două, numită **metoda mixtă**.

3.2.2.2. Etapele de rezolvare a unei probleme cu ajutorul M.E.F.

În principiu la rezolvarea unei probleme de câmp cu M.E.F. se parcurg o serie de etape specifice:

Etapa I.: Împărțirea domeniului de analiză în elemente finite

În această etapă analistul alege tipul sau tipurile de elemente finite adecvate problemei de rezolvat, apoi împarte structura în elemente finite. Această operație, care se numește „discretizare” poate fi făcută și cu ajutorul calculatorului. Alegerea tipului de element finit are mare importanță pentru necesarul de memorie internă, efortul de calcul impus calculatorului și pentru calitatea rezultatelor.

De exemplu, trebuie să determinăm funcția necunoscută $\phi(x, y)$ definită pe un domeniu plan D (v. Fig. 3.2.1. a)),

$$\phi(x, y): D \rightarrow \mathbf{R}$$

Pe acest domeniu funcția necunoscută descrie o suprafață curbă în spațiu. Domeniul de definiție plan se împarte în elemente finite plane, în cazul desenat – „patrulater” Pe fiecare element finit, funcția necunoscută ϕ este aproximată printr-o funcție $\tilde{\phi}$ numită funcție de aproximare sau funcție de interpolare, care de obicei este o funcție polinomială, cea mai convenabilă din punct de vedere calculatoriu.

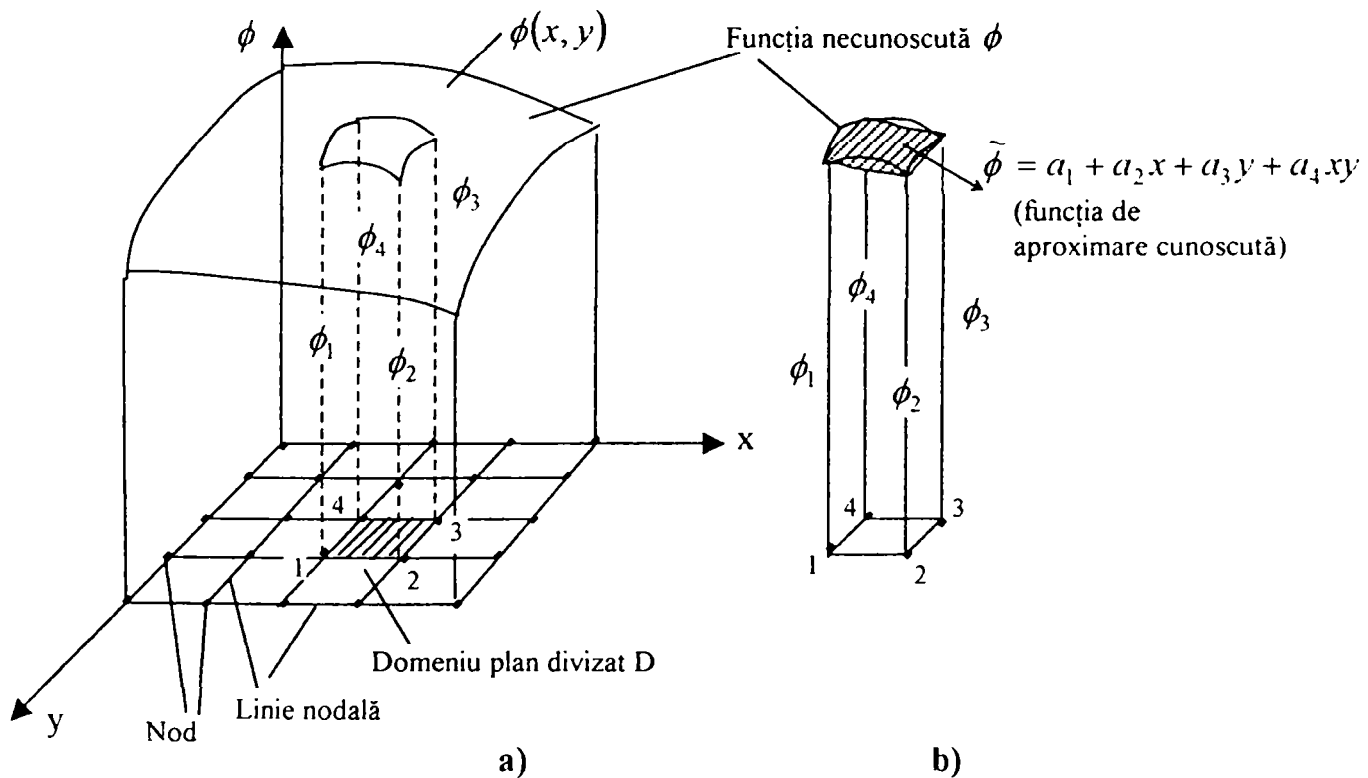


Fig. 3.2.1

De exemplu, în cazul analizat funcția de interpolare ar putea avea forma (desenul din Fig.1 b) este grăitor în privința metodei de raționament):

$$\tilde{\phi} = a_1 + a_2x + a_3y + a_4xy \tag{3.2.4}$$

în care a_i sunt coeficienți necunoscuți care se determină impunând condiția ca în nodurile elementului finit funcția să capete valorile din noduri, notate cu $\phi_1, \phi_2, \phi_3, \phi_4$.

$$\begin{cases} \phi_1 = a_1 + a_2x_1 + a_3y_1 + a_4x_1y_1 \\ \phi_2 = a_1 + a_2x_2 + a_3y_2 + a_4x_2y_2 \\ \phi_3 = a_1 + a_2x_3 + a_3y_3 + a_4x_3y_3 \\ \phi_4 = a_1 + a_2x_4 + a_3y_4 + a_4x_4y_4 \end{cases} \Rightarrow a_1, a_2, a_3, a_4 \tag{3.2.5}$$

Deci în acest fel funcția de aproximare se poate scrie sub forma:

$$\tilde{\phi} = N_1\phi_1 + N_2\phi_2 + N_3\phi_3 + N_4\phi_4 = [N_1 \ N_2 \ N_3 \ N_4] \cdot \begin{Bmatrix} \phi_1 \\ \phi_2 \\ \phi_3 \\ \phi_4 \end{Bmatrix} = [N] \{\phi_e\} \quad (3.2.6)$$

în care:

- N_i se numesc **funcții de formă** iar $[N]$ matricea funcțiilor de formă;
- Vectorul $\{\phi\}_e$ se numește **vectorul funcțiilor nodale** și cuprinde valorile *necunoscute* ale funcției în noduri, care devin **necunoscutele fundamentale ale problemei**.

Dacă pe același domeniu plan D avem definite mai multe funcții necunoscute, atunci pentru fiecare din ele se scriu ecuații de forma de mai sus; aceste funcții necunoscute se numesc și **grade de libertate** și dacă ele sunt, de exemplu, în număr de trei, se spune că fiecare nod are trei grade de libertate; elementul finit are atunci $3 \times 4 = 12$ grade de libertate.

Etapa II.: *Constituirea ecuațiilor elementelor finite*

Proprietățile fizice și comportarea mediului în cuprinsul elementului este descrisă de ecuațiile finite, denumite și **ecuații elementale**; numărul acestor ecuații este egal cu numărul gradelor de libertate pe element și se stabilește cu o metodă variațională (de exemplu metoda Rayleigh – Ritz) obținându-se un sistem de ecuații de forma:

$$[K]_e \{\phi\}_e = \{f\}_e \quad (3.2.7)$$

în care:

- $[K]_e$ - este o matrice a caracteristicilor fizico-geometrice ale materialului elementului finit. Ea se numește „**matricea de rigiditate**”, preluând o denumire din mecanica structurilor;
- $\{\phi\}_e$ - vectorul funcțiilor nodale necunoscute pe element;
- $\{f\}_e$ - vectorul încărcărilor mecanice, termice etc. pe elementul finit considerat.

Programele de calcul alcătuiesc astfel de sisteme de ecuații pentru fiecare element finit în care a fost divizată structura.

Etapa III.: *Asamblarea ecuațiilor elementale*

Pentru aceasta se impune ca în nodurile *comune elementelor*, funcția sau funcțiile necunoscute să aibă aceeași valoare. Asamblarea ecuațiilor constă în asamblarea matricilor de rigiditate $[K]_e$ ale elementelor finite în așa-numita matrice de rigiditate a structurii, $[K]_{n \times n}$, și a vectorului încărcării pe elemente $\{f\}_e$ în vectorul încărcării pe toată structura $\{F\}$.

Se obține un sistem algebric liniar:

$$\underbrace{[K]}_{n \times n} \cdot \underbrace{\{\phi\}}_{n \times 1} = \underbrace{\{F\}}_{n \times 1} \quad (3.2.8)$$

în care:

- $[K]_{n \times n}$ - se numește și matricea coeficienților, în care intervin și caracteristicile fizico-geometrice ale câmpului studiat; ea este o matrice pătrată, pozitiv definită și rară sau slab populară, ceea ce constituie un avantaj enorm, deoarece poate fi transcrisă într-o matrice de tip bandă.
- $\{\phi\}_{n \times 1}$ - matricea coloană a valorilor necunoscute;
- $\{F\}_{n \times 1}$ - matricea coloană a termenilor liberi, care conține *informații referitoare la funcțiile de sursă elementale*, precum și la condițiile la limită neomogene.

Am subînțeles că în scopul asigurării convergenței soluției aproximative spre soluția reală a problemei de câmp, pe măsură ce se micșorează talia elementelor finite și se sporește numărul lor în domeniul de câmp, funcțiile de interpolare trebuie să îndeplinească două condiții fundamentale:

- a). La frontiera comună a două elemente vecine, funcția necunoscută și toate derivatele sale parțiale trebuie să fie contunui; aceasta constituie **condiția de compatibilitate**. De obicei se satisface numai o condiție de compatibilitate în **clasa C⁰ de continuitate**, adică se asigură la granițele interelementale numai continuitatea funcției, nu și a derivatelor.
- b). În interiorul fiecărui element funcția necunoscută și derivatele sale trebuie să fie de asemenea contunui; aceasta este **condiția de completitudine**.

3.2.3. Bazele teoretice ale analizei stării de tensiune prin M.E.F.

Pentru a face o prezentare cât mai clară, dar și elementară, voi prezenta sumar numai **elementul finit triunghiular** pentru o stare plană de solicitare.

Se consideră o structură plană oarecare (placă plană) aflată în echilibru sub acțiunea unui sistem de forțe date, și al cărui mod de rezemare este cunoscut. Vom alege drept element finit așa-numitul **element finit triunghiular**, adică vom diviza structura în triunghiuri, care se constituie drept elementele finite ale acesteia. Altfel spus vom trasa pe suprafața plăcii considerate o rețea de triunghiuri de diverse dimensiuni impuse de geometria plăcii, cu cât această rețea este mai fină, cu atât rezultatele sunt mai exacte.

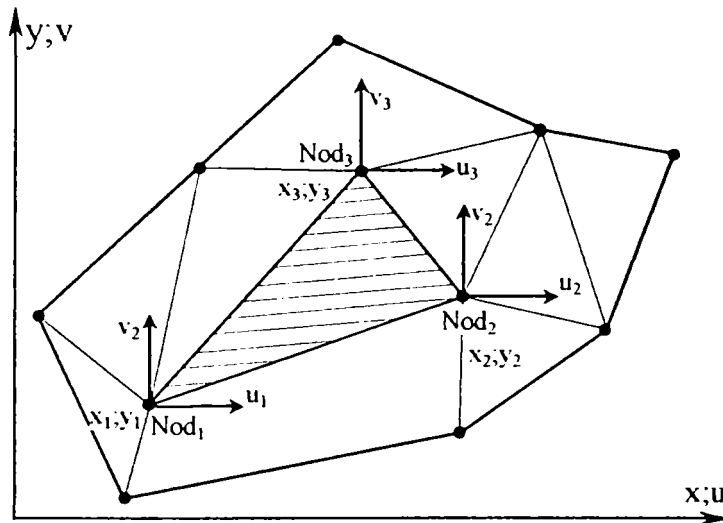


Fig. 3.2.2

În Fig. 3.2.2 am arătat o astfel de structură plană divizată în triunghiuri. Am ales un sistem de referință inițial, **fix**, (x,y) în care se cunosc coordonatele fiecărui nod (x_i, y_i), i=1,2 ... ,n.

Pe de altă parte fiecare nod are două grade de libertate sau două **deplasări nodale** (u_i,v_i), astfel încât **fiecare element finit triunghiular are șase grade de libertate**.

Matricea deplasărilor {δ} pentru un element finit arbitrar este alcătuită din necunoscutele problemei (**deplasările nodale**) și se reprezintă sub forma unui vector coloană:

$$\{\delta\} = \begin{Bmatrix} \delta_1 \\ \delta_2 \\ \delta_3 \end{Bmatrix} = \begin{Bmatrix} u_1 \\ v_1 \\ u_2 \\ v_2 \\ u_3 \\ v_3 \end{Bmatrix} \tag{3.2.9}$$

în care cu litera *u* convenim să notăm deplasările în direcția axei x iar cu *v* deplasările în direcția axei y.

În acest moment al raționamentului apare prima idee interesantă a metodei: **presupunând cunoscute deplasările nodale trebuie să exprimăm în funcție de acestea câmpul {f} al deplasărilor oricărui punct aparținând elementului finit!** Există numeroase soluții pentru aceasta; considerând însă elementul de dimensiuni mici, cea mai convenabilă formulare este cea liniară, adică vom presupune că deplasările oricărui punct din interiorul elementului sunt funcții liniare de coordonatele punctului:

$$\begin{cases} u = a_1 + a_2x + a_3y \\ v = a_4 + a_5x + a_6y \end{cases} \tag{3.2.10}$$

În transcrierea matricială **deplasarea unui punct arbitrar al elementului, de componente u și v** , este:

$$\{f\} = \begin{Bmatrix} u \\ v \end{Bmatrix} = \begin{Bmatrix} a_1 + a_2x + a_3y \\ a_4 + a_5x + a_6y \end{Bmatrix} = \begin{bmatrix} 1 & x & y & 0 & 0 & 0 \\ 0 & 0 & 0 & 1 & x & y \end{bmatrix} \begin{Bmatrix} a_1 \\ a_2 \\ a_3 \\ a_4 \\ a_5 \\ a_6 \end{Bmatrix} = [N] \cdot \{\delta\} \quad (3.2.11)$$

unde **am corelat deplasările unui punct curent din interiorul elementului cu deplasările nodurilor**.

În această scriere mărimile „ a ” sunt niște constante momentan necunoscute, iar cu $[N]$ am notat o matrice care definește natura câmpului deplasărilor, aceste elemente urmează să le explicităm în continuare.

Matricea $[N]$ are 2 linii (câte deplasări are punctul arbitrar din câmp) și 6 coloane (câte grade de libertate are elementul). Aceste matrici se numesc **funcții de formă**; ele trebuie astfel alese încât să existe o continuitate a deplasărilor între elemente. Rezultă că prin matricea $[N]$ se face legătura între deplasările nodale ale elementului – presupuse cunoscute – și deplasările unui punct arbitrar din interiorul elementului.

Valorile constantelor a_1, a_2, \dots, a_6 le vom determina impunând condiții la limită, adică deplasările câmpului trebuie să fie egale cu deplasările nodale **când punctul arbitrar se află în nod**, adică pentru

$$\begin{cases} x = x_i \\ y = y_i \end{cases} \Rightarrow \begin{cases} u = u_i \\ v = v_i \end{cases} \quad (3.2.12)$$

Rezultă că aceste mărimi se află prin rezolvarea următorului sistem liniar de șase ecuații cu șase necunoscute:

$$\begin{Bmatrix} u_1 \\ u_2 \\ u_3 \end{Bmatrix} = \begin{bmatrix} 1 & x_1 & y_1 \\ 1 & x_2 & y_2 \\ 1 & x_3 & y_3 \end{bmatrix} \cdot \begin{Bmatrix} a_1 \\ a_2 \\ a_3 \end{Bmatrix}; \quad \begin{Bmatrix} v_1 \\ v_2 \\ v_3 \end{Bmatrix} = \begin{bmatrix} 1 & x_1 & y_1 \\ 1 & x_2 & y_2 \\ 1 & x_3 & y_3 \end{bmatrix} \begin{Bmatrix} a_4 \\ a_5 \\ a_6 \end{Bmatrix} \quad (3.2.13)$$

Se introduce notația:

$$[A] = \begin{bmatrix} 1 & x_1 & y_1 \\ 1 & x_2 & y_2 \\ 1 & x_3 & y_3 \end{bmatrix} \quad (3.2.14)$$

unde $\det [A] = 2A$ (A fiind aria triunghiului 1-2-3).

Expresiile deplasărilor nodale se pot scrie condensat sub forma:

$$\begin{cases} \{u_e\} = [A] \cdot \{a_u\} \\ \{v_e\} = [A] \cdot \{a_v\} \end{cases} \quad (3.2.15)$$

Obținem coeficienții căutați a , prin inversiunea relațiilor (3.2.15):

$$\begin{cases} \{a_u\} = [A]^{-1} \cdot \{u_e\} \\ \{a_v\} = [A]^{-1} \cdot \{v_e\} \end{cases} \quad (3.2.16)$$

După ce se calculează A^{-1} , cu metode elementare cunoscute, se rearanjează aceste rezultate parțiale într-o formă matricială globală dictată de corespondența dintre matricea coeficienților $\{a\}$ și matricea deplasărilor $\{\delta\}$.

$$\begin{Bmatrix} a_1 \\ a_2 \\ a_3 \\ a_4 \\ a_5 \\ a_6 \end{Bmatrix} = \frac{1}{|A|} \begin{bmatrix} x_2 y_3 - x_3 y_2 & 0 & x_3 y_1 - x_1 y_3 & 0 & x_1 y_2 - x_2 y_1 & 0 \\ y_2 - y_3 & 0 & y_3 - y_1 & 0 & y_1 - y_2 & 0 \\ x_3 - x_2 & 0 & x_1 - x_3 & 0 & x_2 - x_1 & 0 \\ 0 & x_2 y_3 - x_3 y_2 & 0 & x_3 y_1 - x_1 y_3 & 0 & x_1 y_2 - x_2 y_1 \\ 0 & y_2 - y_3 & 0 & y_3 - y_1 & 0 & y_1 - y_2 \\ 0 & x_3 - x_2 & 0 & x_1 - x_3 & 0 & x_2 - x_1 \end{bmatrix} \begin{Bmatrix} u_1 \\ v_1 \\ u_2 \\ v_2 \\ u_3 \\ v_3 \end{Bmatrix} \quad (3.2.17)$$

$$\{a\} = \frac{1}{|A|} \cdot [D] \cdot \{\delta\} \quad (3.2.18)$$

Dacă relația (3.2.18) o înmulțim la stânga în ambii membrii cu matricea $\begin{bmatrix} 1 & x & y & 0 & 0 & 0 \\ 0 & 0 & 0 & 1 & x & y \end{bmatrix}$, obținem matricea $[N]$, adică:

$$\begin{bmatrix} 1 & x & y & 0 & 0 & 0 \\ 0 & 0 & 0 & 1 & x & y \end{bmatrix} \begin{Bmatrix} a_1 \\ a_2 \\ a_3 \\ a_4 \\ a_5 \\ a_6 \end{Bmatrix} = \begin{bmatrix} 1 & x & y & 0 & 0 & 0 \\ 0 & 0 & 0 & 1 & x & y \end{bmatrix} \cdot \frac{1}{|A|} \cdot [D] \begin{Bmatrix} u_1 \\ v_1 \\ u_2 \\ v_2 \\ u_3 \\ v_3 \end{Bmatrix}$$

Deci

$$[N] = \begin{bmatrix} 1 & x & y & 0 & 0 & 0 \\ 0 & 0 & 0 & 1 & x & y \end{bmatrix} \cdot \frac{1}{|A|} \cdot [D] \quad (3.2.19)$$

$$\Rightarrow \begin{Bmatrix} u \\ v \end{Bmatrix} = [N] \cdot \{\delta\} \quad (3.2.20)$$

Funcțiile $[N]$ pentru diferite tipuri de elemente și formulări ale proprietăților acestora, au rol cheie în analiza tensiunilor prin elemente finite. Acestea se numesc „**funcții de modelare**” definind fie modelul ales pentru câmpul deplasărilor, fie geometria elementului adoptat, fie atât câmpul deplasărilor cât și geometria elementului în cazul opțiunii pentru așa-numitele **elemente finite izoparametrice**.

În cazul problemei bidimensionale de care ne ocupăm, deformațiile specifice sunt date de relațiile geometrice cunoscute din teoria elasticității:

$$\left. \begin{aligned} \varepsilon_x &= \frac{\partial u}{\partial x}; & \varepsilon_y &= \frac{\partial v}{\partial y}; & \gamma_{xy} &= \frac{\partial u}{\partial y} + \frac{\partial v}{\partial x} \\ \text{Dar } \begin{cases} u = a_1 + a_2 x + a_3 y \\ v = a_4 + a_5 x + a_6 y \end{cases} & \Rightarrow \varepsilon_x = a_2; & \varepsilon_y &= a_6; & \gamma_{xy} &= a_3 + a_5 \end{aligned} \right\} \quad (3.2.21)$$

Se poate observa că deformațiile specifice sunt independente de valorile constantelor a_1 și a_4 , cât și de coordonatele locului în care se calculează (nu depind de x și y), ceea ce justifică denumirea dată uneori acestui tip de element finit de „**element cu deformații constante**”.

Trecând la o scrie matricială vom avea:

$$\{\varepsilon\} = \begin{Bmatrix} \varepsilon_x \\ \varepsilon_y \\ \varepsilon_z \end{Bmatrix} = \begin{bmatrix} \frac{\partial}{\partial x} & 0 \\ 0 & \frac{\partial}{\partial y} \\ \frac{\partial}{\partial y} & \frac{\partial}{\partial x} \end{bmatrix} \begin{Bmatrix} u \\ v \end{Bmatrix} = \begin{bmatrix} \frac{\partial}{\partial x} & 0 \\ 0 & \frac{\partial}{\partial y} \\ \frac{\partial}{\partial y} & \frac{\partial}{\partial x} \end{bmatrix} \cdot [N] \cdot \begin{Bmatrix} u_1 \\ v_1 \\ u_2 \\ v_2 \\ u_3 \\ v_3 \end{Bmatrix} = [B] \cdot \{\delta\} \quad (3.2.22)$$

Am definit astfel o matrice foarte importantă:

$$[B] = \begin{bmatrix} \frac{\partial}{\partial x} & 0 \\ 0 & \frac{\partial}{\partial y} \\ \frac{\partial}{\partial y} & \frac{\partial}{\partial x} \end{bmatrix} \cdot [N] = \begin{bmatrix} 0 & 1 & 0 & 0 & 0 & 0 \\ 0 & 0 & 0 & 0 & 0 & 1 \\ 0 & 0 & 1 & 0 & 1 & 0 \end{bmatrix} \cdot \frac{1}{|A|} \cdot [D]$$

sau efectuând calculele mai amănunțit:

$$[B] = \frac{1}{2A} \begin{bmatrix} y_2 - y_3 & 0 & y_3 - y_1 & 0 & y_1 - y_2 & 0 \\ 0 & x_3 - x_2 & 0 & x_1 - x_3 & 0 & x_2 - x_1 \\ x_3 - x_2 & y_2 - y_3 & x_1 - x_3 & y_3 - y_1 & x_2 - x_1 & y_1 - y_2 \end{bmatrix} \quad (3.2.23)$$

unde cu A s-a notat aria triunghiului 1-2-3.

Matricea $[B]$, denumită „matricea de deformații-deplasări” are un rol cheie în evaluarea matricii de rigiditate a elementului.

Ecuatiile fizice:

$$\begin{cases} \varepsilon_x = \frac{1}{E}(\sigma_x - \nu\sigma_y) \\ \varepsilon_y = \frac{1}{E}(\sigma_y - \nu\sigma_x) \\ \gamma_{xy} = \frac{1}{G}\tau_{xy} = \frac{2(1+\nu)}{E}\tau_{xy} \end{cases} \Leftrightarrow \begin{cases} \sigma_x = \frac{E}{1-\nu^2}(\varepsilon_x + \nu\varepsilon_y) \\ \sigma_y = \frac{E}{1-\nu^2}(\varepsilon_y + \nu\varepsilon_x) \\ \tau_{xy} = \frac{E}{2(1+\nu)}\gamma_{xy} \end{cases} \quad (3.2.24)$$

Relațiile (3.2.24) dacă le transcriem matricial vom avea:

$$\begin{Bmatrix} \sigma_x \\ \sigma_y \\ \tau_{xy} \end{Bmatrix} = \frac{E}{1-\nu^2} \begin{bmatrix} 1 & \nu & 0 \\ \nu & 1 & 0 \\ 0 & 0 & \frac{1-\nu}{2} \end{bmatrix} \begin{Bmatrix} \varepsilon_x \\ \varepsilon_y \\ \gamma_{xy} \end{Bmatrix}$$

sau condensat:

$$\{\sigma\} = [E] \cdot \{\varepsilon\} \quad (3.2.25)$$

unde cu $[E]$ am notat așa-numita matrice de elasticitate:

$$[E] = \frac{E}{1-\nu^2} \begin{bmatrix} 1 & \nu & 0 \\ \nu & 1 & 0 \\ 0 & 0 & \frac{1-\nu}{2} \end{bmatrix} \quad (3.2.26)$$

în care: E – modulul de elasticitate longitudinal al materialului (modulul lui Young);

ν - coeficientul lui Poisson;

Se poate acum observa că tensiunile se pot de asemenea exprima cu ajutorul matricei $[B]$ folosind (3.2.22):

$$\{\sigma\} = [E] \cdot \{\varepsilon\} = [E] \cdot [B] \cdot \{\delta\} \quad (3.2.27)$$

Valorile deplasărilor nodale $\{\delta\}$ care intră în expresiile deformațiilor specifice (3.2.22) și respectiv în ale tensiunilor (3.2.27) se calculează cu relația (3.2.9), adică:

$$\{\delta\} = [K]^{-1} \cdot \{R\} \quad (3.2.28)$$

Întrucât matricea de rigiditate structurală $[K]$ reprezintă o suprapunere a matricilor de rigiditate $[k]_e$ a elementelor, în cele ce urmează ne vom referi la matricea $[k]_e$ și respectiv la forțele din nodurile elementului $\{F\}_e$.

Expresia matricii de rigiditate a elementului $[k]_e$ o vom obține pornind de la principiul conservării energiei, considerând că elementului i se asociază deplasări nodale virtuale $d\{\delta\}_e$. În acest caz lucrul mecanic al forțelor nodale corespunzătoare este:

$$dL_e = (d\{\delta\}_e)^T \cdot \{F\}_e \quad (3.2.29)$$

Lucrul mecanic specific al forțelor interioare (sau energia specifică de deformație) va fi de forma:

$$dU_S = (d\{\varepsilon\})^T \cdot \{\sigma\} \quad (3.2.30)$$

în care s-a considerat că elementului i se aplică doar sarcini concentrate în noduri și că nu există sarcini distribuite, deformații inițiale sau tensiuni remanente. Expresia (3.2.30) se transformă ținând cont de (3.2.22) și (3.2.27), astfel:

$$dU_S = ([B] \cdot d\{\delta\}_e)^T \cdot [E] \cdot [B] \cdot \{\delta\}_e \quad (3.2.31)$$

care pentru întregul volum al elementului devine:

$$U_d = \int_{(V)} (d\{\delta\}_e)^T \cdot [B]^T \cdot [E] \cdot [B] \cdot \{\delta\}_e \cdot dV \quad (3.2.32)$$

Din egalitatea lucrului mecanic al forțelor nodale cu energia de deformație rezultă:

$$(d\{\delta\}_e)^T \cdot \{F\}_e = (d\{\delta\}_e)^T \cdot \left(\int_{(V)} [B]^T \cdot [E] \cdot [B] \cdot dV \right) \{\delta\}_e \quad (3.2.33)$$

de unde:

$$\{F\}_e = [k]_e \cdot \{\delta\}_e, \text{ în care } [k]_e = \int_{(V)} [B]^T \cdot [E] \cdot [B] \cdot dV \quad (3.2.34)$$

Pentru generalizarea relației (3.2.34), se consideră că pe element acționează sarcini distribuite p , ale căror valori reduse în noduri sunt date de:

$$\{p\} = \{p_1 \ p_2 \ p_3\} \quad (3.2.35)$$

și că elementul este supus unor deformații termice inițiale:

$$\{\varepsilon_0\} = \{\alpha T \ \alpha T \ 0\} \quad (3.2.36)$$

în care α este coeficientul de dilatare termică liniară.

Incluzând și eventualele tensiuni remanente inițiale $\{\sigma_0\}$, expresia generală a tensiunilor din relația (3.2.30) are forma:

$$\{\sigma\} = [E] \cdot (\{\varepsilon\} - \{\varepsilon_0\}) + \{\sigma_0\} \quad (3.2.37)$$

Cu aceste precizări, relația (3.2.34) devine:

$$U_d = (\delta\{e\})^T \left(\int_{(V)} [B]^T \cdot [E] \cdot [B] \cdot dV \right) \{e\} - \int_{(V)} [B]^T [E] \cdot \{\varepsilon_0\} dV + \int_{(V)} [B]^T \cdot \{\sigma_0\} dV - \int_{(V)} [N]^T \cdot \{p\} dV \quad (3.2.38)$$

Introducând acest rezultat în locul membrului drept din (3.2.33) se obține:

$$\{F\}_e + \int_{(V)} [N]^T \cdot \{p\} \cdot dV + \int_{(V)} [B]^T \cdot [E] \cdot \{\varepsilon_0\} dV - \int_{(V)} [B]^T \cdot \{\sigma_0\} dV = [k]_e \cdot \{\delta\}_e \quad (3.2.39)$$

în care se poate recunoaște ușor că:

$$\left. \begin{aligned} \{F\}_p &= \int_{(V)} [N]^T \cdot \{p\} dV \\ \{F\}_T &= \int_{(V)} [B]^T [E] \{\varepsilon_0\} dV \\ \{F\}_{\sigma_0} &= - \int_{(V)} [B]^T \{\sigma_0\} dV \end{aligned} \right\} \quad (3.2.40)$$

* * *

§ 3.3. METODA ELEMENTELOR DE FRONTIERĂ (M.E.Fr.)

3.3.1. Generalități

Printre primele lucrări care au pus – în mod indirect - bazele matematice ale M.E.Fr. sunt considerate cele ale lui George GREEN, care a formulat ecuațiile integrale ale teoriei potențialului. Dar FREDHOLM este cel care a utilizat primul teoria potențialului și teoria ecuațiilor integrale la rezolvarea problemelor elasticității liniare a corpurilor omogene când pe frontiera corpului sunt date deplasările. Mult mai târziu O.D. KUPRADZE, tot cu ajutorul teoriei potențialului și a teoriei ecuațiilor integrale singulare a demonstrat existența soluției și a dezvoltat relații aproximative atât pentru probleme statice, cât și pentru probleme dinamice în medii omogene pe porțiuni. Intuind repartizarea hiperbolică de suprafață a resurselor, Kupradze a formulat legătura dintre deplasări și tensiuni pe frontiera mediului elastic, ceea ce a stimulat rezolvarea problemelor de bază ale (T.E.). Tot el a dezvoltat atât formularea directă cât și formularea indirectă, punând în evidență echivalența acestora și marile posibilități ale metodei ecuațiilor integrale de frontieră. Trebuie să amintim și rezultatele obținute în jurul anilor 1920 de I.G. BUBNOV și B.G. GALĚRKIN, utilizate astăzi pe scară mare în rezolvarea numerică a problemelor de potențial (v. [F20]). Tot printre lucrările de fundamentare matematică trebuie amintite cele ale lui MUSHELIȘVILI [M69] și MIKHLIN [M33]. *Cu toate acestea o teorie matematică unitară a M.E.Fr. nu este încă elaborată deoarece integralele care intervin în aplicațiile M.E.Fr. depășesc cu mult clasa ecuațiilor integrale ale lui Fredholm și Volterra.* Actualmente M.E.Fr. este studiată în cadrul așa-numitor „**operatori pseudo-diferențiali**” de către W.L. WENDLENDT și colaboratorii săi, de unde se așteaptă rezultate noi. Prezentarea pe care o voi face în continuare se bazează pe lucrările lui C.A. BREBBIA și colaboratorii săi, făcând parte din așa-numita „*Scoală de la Southampton*” [B72], [B62], [B36], [B37].

Dezvoltarea explozivă a M.E.Fr este de dată recentă, după 1970, odată cu dezvoltarea calculatoarelor; de altfel denumirea de „**element de frontieră**” a fost introdusă de Brebbia în 1978. În termenii aplicațiilor inginerești, formularea directă (de care s-a ocupat și Kupradze) a fost pentru prima dată introdusă de RIZZO F.J. în 1967, plecând de la egalitatea lui Somigliana. Lucrările de pionerat au fost făcute de RIZZO F.J., JASWON M.A., CRUSE T.A. (1967-68). În privința formulării indirecte trebuie amintiți MASSONNET și OLIVEIRA. De altfel în literatură [P50] se arată că fiecare dintre ecuațiile integrale și integro-diferențiale de tip Rizzo corespunde unei ecuații funcționale de tip Kupradze. Contrar ecuațiilor integrale de tip Rizzo, ecuațiile funcționale de tip Kupradze au nuclee regulate, integranzii au întotdeauna valori finite iar integralele nu trebuie să fie definite în sensul valorii principale Cauchy. De aceea, la prima vedere ecuațiile funcționale Kupradze par să fie preferabile ecuațiilor integrale din cauza aplicabilității lor mai simple. Însă, o investigație mai detaliată indică serioase dificultăți privind **stabilitatea numerică**. Discretizarea ecuațiilor funcționale Kupradze conduce la niște sisteme de ecuații algebrice rău condiționate.

În literatura de specialitate românească, M.E.Fr. este – comparativ cu M.E.F. – destul de puțin reprezentată, mai ales în partea aplicativă. Din bibliografia studiată de mine, am constatat că preocupări concrete și eficiente în acest domeniu sunt în special la Iași și Cluj-Napoca. De la Iași, remarc cărțile foarte complexe și cu un suport matematic remarcabil ale lui V.F. POTERAȘU și N. MIHALACHE [P50]/1992, [G1]/1997; de la Cluj-Napoca semnez cartea lui T. PETRILA și C. IGHEORGHIU [P34] remarcabil de bine redactată (urmând cărțile lui Brebbia), cartea lui GH. MÎNDRU și M.M. RĂDULESCU [M38]/1986 – dedicată analizei câmpului electromagnetic, și relativ noua carte a lui I. LAZĂR din 1997 [L6] care urmărește de asemenea cărțile lui Brebbia.

Pe plan mondial însă, are loc o activitate atât de intensă încât copleșește orice încercare de informare și sistematizare. Nu este totuși lipsit de interes să arătăm că domeniul M.E.Fr. este încă în fază de dezvoltare, căutându-se noi formulări și noi soluții fundamentale. De exemplu: P.M. QUILAN și O'CALLAGHAM M.J.A. în 1987 au propus „metoda funcțiilor de muchie” (The Edge - Function Method) bine adaptată pentru fisuri, cavități și frontiere curbe; în cadrul metodei au fost alese funcții speciale care să se potrivească fiecărei muchii a frontierei, iar soluțiile generale finale au fost obținute ca o suprapunere pentru fiecare segment. O altă formulare a fost dată în perioada 1986-97 de către GHOSH N., RAJIYAH H., MUKHERJEE S., care au ales ca variabile ale stării de bază **tracțiunile și gradientii deplasărilor tangențiale pe frontieră**. Această formulare are avantajul de a furniza tensiuni de mare acuratețe aproape de sau pe graniță. O altă formulare nouă se bazează pe utilizarea variabilelor complexe pentru elementul de frontieră – metodă cu rezultate deosebite pentru probleme bidimensionale. Și, în sfârșit, începe să se contureze metoda elementelor de frontieră stohastice cu aplicații la problemele de defecte multiple.

Pentru soluțiile fundamentale, pe lângă celebrele soluții Kelvin, se mai utilizează soluțiile fundamentale ale lui Mindlin propuse de Telles și Brebbia și soluțiile fundamentale speciale propuse de Snyder M.D. și Cruse T.A.

Pentru a ilustra amploarea pe care a luat-o dezvoltarea M.E.Fr. între anii 1980-1990, voi cita câteva din culegerile de lucrări de la congresele special dedicate acestei metode, editate de obicei de către C.A.BREBBIA. De altfel, pe Internet acestei probleme îi sunt dedicate zeci de mii de titluri, încât orice sinteză rezonabilă este aproape imposibilă.

- 1). BREBBIA C.A. (ed.), „Recent Advances in Boundary Element Methods”, Proc. 1st Int. Conf. BEM, Southampton, Pentach Press, 1978.
- 2). BREBBIA C.A. (ed.), „New Development in Boundary Element Methods”, Proc. 2nd Int. Seminar, CML Publications, 1980.
- 3). BREBBIA C.A. (ed.), „Boundary Element Methods”, Proc. 3rd Int. Seminar, California, USA, CML Publications, 1981.
- 4). BREBBIA C.A. (ed.), „Boundary Element Methods in Engineering”, Proc. 4th Int. Seminar, Southampton, CML Publications, 1982.
- 5). BREBBIA C.A., FUTAGAMI T., TANAKA M. (ed.), „Boundary Elements”, Proc. 5th Int. Conf., Japan, CML Publications, 1983.
- 6). BREBBIA C.A. (ed.), „Boundary Elements”, Proc. 6th Int. Conf., The Queen Elisabeth 2, CML Publications, 1984.
- 7). BREBBIA C.A., MAIER G. (ed.), „Boundary Elements”, Proc. 7th Int. Conf, Italy, 1985.
- 8). TANAKA M., BREBBIA C.A. (ed.), „Boundary Elements”, Proc. 8th Int. Conf., Japan, CML Publications, 1986.
- 9). BREBBIA C.A., WENDLAND W.L., KUHN G. (ed.), „Boundary Elements”, Proc. 9th Int. Conf., Stuttgart, Germany, CML Publications, 1987.
- 10). BREBBIA C.A. (ed.), „Boundary Elements”, Proc. 10th Int. Conf., Southampton, CML Publications, 1988.
- 11). BREBBIA C.A., CONNER J.J. (ed.), „Boundary Elements”, Proc. 11th Int. Conf., Boston, USA, CML Publications, 1989.
- 12). BREBBIA C.A., NOYE B.J. (ed.), „BETECH 85”, Proc. 1st BETECH Conf., Adelaide, Australia, CML Publications, 1985.
- 13). CONNER J.J., BREBBIA C.A. (ed.), „BETECH 86”, Proc. 2nd BETECH Conf., Cambridge USA, CML Publications, 1986.
- 14). BREBBIA C.A., VENTURINI W.S. (ed.), „Boundary Element Techniques”, Proc. 3rd BETECH Conf., Brazil, CML Publications, 1987.
- 15). CRUSE T.A. (ed.), „IUTAM Symposium on Advanced Boundary Element Method”, Springer Verlag, 1987.

- 16). BREBBIA C.A., ZAMANA N.G. (ed.), „*Boundary Element Techniques: Applications in Engineering*”, Proc. 5th BETECH Conf., Windsor, CANADA, CML Publications, 1989.

Informațiile mele sunt incomplete, evident, dar și această simplă enumerare a acestor prestigioase conferințe internaționale arată importanța care se acordă actualmente M.E.Fr. De aici și opțiunea mea spre aplicarea cu predilecție a acestei metode.

Data fiind importanța și eficacitatea M.E.Fr., nu au întârziat să apară zeci de programe specializate (de firmă) aproape în toate țările din lume. POTERAȘU (1992) [P56] citează 75 astfel de programe. Voi aminti numai câteva din programele care au facilități de rezolvare a problemelor de Mecanica ruperilor:

- programul **ABIEQ, EBIEQ (Anglia)** – rezolvă probleme de elasticitate plană liniară, cu condiții de contur neliniare, folosind elemente de contur segmente de dreaptă și curbe liniare, pătratice și de ordin superior. Este adaptat calculatoarelor CDC600, T600, VAX11. Rezolvă de asemenea probleme de contact și de potențial în regim static sau dinamic staționar.
- programul **BEM 3D (S.U.A.)** – rezolvă probleme de Elastostatică liniară în regim static și dinamic, de (M.R.), cu cele mai diverse condiții de frontieră și toate tipurile de elemente de contur. Are și parte grafică, de substructurare, și poate lucra în regim interactiv (calculator VAX11/70).
- programul **BIECRX, programul FRACTURE-CORNELL, programul IOWA**, toate elaborate în SUA, și având, în mare, aceleași facilități legate de rezolvarea problemelor de elasticitate plană pentru medii omogene, liniar elastice cu fisuri, goluri sau incluziuni.
- alte programe elaborate în Anglia: **BIEQD, BIE3D-UK, MAINEXE, SAI5, BEANS, BIEAXI, NPL**
- programe elaborate în Belgia: **BEMAC, BIEP**
- programe elaborate în Japonia: **BEM, BE2TE**
- programul **BECOP (Franța)**

Evident că în realitate, numărul lor este mult mai mare; am citat numai o parte dintre programe, neavând acces la o informare mai amplă.

Eu am utilizat programul **BEASY**, adus la Catedra de Rezistența materialelor – în cadrul unui grant – de dl. Prof.dr. ing. NICOLAE FAUR. O prezentare mai amănunțită a acestuia va urma în paragraful 3.3.4.

În paralel însă am elaborat programe proprii verificate pe problemele test (v. §3.8). Această acțiune nu este inutilă, deoarece așa-numitele „*programe mici, specializate*”, dedicate rezolvării numai unei anumite clase de probleme, sunt mult mai eficiente și mai rapide. În activitatea de programare asistată de calculator de obicei aceste miniprograme sunt necesare. De altfel, această activitate se încadrează în ramura modernă de știință numită „*Computational Fracture Mechanics*”, care se ocupă cu modelarea și analiza numerică a problemelor de determinare a câmpului de tensiuni și deformații și a parametrilor specifici de mecanica ruperilor în solide elastice cu defecte: dislocații, fisuri, goluri, incluziuni etc.

3.3.2. Preliminarii matematice

Fundamentele matematice ale M.E.Fr. sunt destul de dificile, conținând multe elemente din teoria potențialului, din teoria formulelor și funcțiilor Green, din teoria ecuațiilor integrale și integrale singulare, din teoria transformărilor integrale și conforme, din teoria integralelor de tip Cauchy etc. Deoarece majoritatea acestor probleme nu fac parte din activitatea curentă a inginerilor – indiferent de profilul lor – pentru a fixa noțiunile și formulele de bază, pentru a stabili notații uniforme și pentru a nu aglomera textul de bază cu date cunoscute preluate din

literatură, am prezentat multe din aceste noțiuni în **Anexele** lucrării. Deși relativ voluminoase, ele sunt indispensabile.

3.3.2.1. Metoda reziduurilor ponderate

A). FORMULAREA DIRECTĂ

M.E.Fr. cunoaște două tipuri de metode sau formulări, care sunt de altfel valabile pentru toate problemele de (T.E.):

- **Metoda directă** care formulează probleme în funcție de niște variabile care au un sens fizic precis și care pot fi: „funcții de deplasări” sau „funcții de tensiuni” după cum se pleacă de la ecuațiile fundamentale ale (T.E.) formulate în deplasări (ecuațiile lui Lamé) sau în tensiuni (ecuațiile lui Beltrami-Mitchell). În mod global ele se numesc **funcții de potențial**, iar în „metoda potențialului direct” ele sunt deplasările și tracțiunile pe frontieră.
- **Metoda indirectă** care folosește variabile ale căror sens fizic nu este totdeauna evident; de exemplu formulările cu ajutorul potențialului de simplu sau de dublu strat conduc la metoda indirectă. După ce aceste necunoscute fictive au fost calculate, deplasările și tensiunile reale pot fi obținute prin integrarea pe frontieră a necunoscutelor fictive.

În principiu tehnica de rezolvare constă în transformarea ecuațiilor cu derivate parțiale care descriu comportarea câmpului necunoscut în interiorul și pe frontiera domeniului într-o ecuație integrală (de obicei de tip Fredholm de speța a doua) cu valori numai pe frontiera domeniului, care este în continuare discretizată și transformată într-un sistem de ecuații algebrice. Obținerea acestor ecuații integrale pe frontieră se poate face cu diferite metode: principiul lucrului mecanic virtual, teoremele lui Green, identitatea lui Somigliana și teoremele lui Betti și metoda reziduurilor ponderate – cea mai generală și mai eficientă. Ecuația integrală de frontieră micșorează astfel cu o unitate dimensiunea problemei încorporând în structura ei și condițiile la limită asociate, pentru care nu mai sunt necesare soluții speciale. În schimb este necesară construcția explicită a unei soluții a ecuației omogene sau a unei **soluții fundamentale**, ceea ce este în general o problemă dificilă. Actualmente există ca și o bază de date, tabele cu soluții fundamentale la cele mai diferite probleme (v. **Anexa 9**). Mai menționăm că deși cele două formulări sunt bazate pe același principiu de transformare a condițiilor de domeniu în ecuații integrale pe frontieră, procedurile de rezolvare sunt diferite. Formularea directă are avantajul de a fi mai simplă conceptual și mai ușor de implementat.

Se știe că într-o formă foarte generală, orice sistem fizic poate fi caracterizat printr-o mulțime de variabile care sunt funcții de coordonatele spațiale $\mathbf{x}(x_1, x_2, x_3)$ și de timpul t (daca $t=0$, sistemul este **staționar**, dacă $t \neq 0$, sistemul este **nestaționar**). Din această mulțime de variabile, unele pot fi prestabilite: proprietățile fizico-mecanice ale materialelor, forma și dimensiunile geometrice, forțele exterioare aplicate, condițiile la limită sau de margine, etc. Restul variabilelor, notate generic cu litera u – care pot fi deplasări, tensiuni, temperaturi, viteze, etc. – constituie necunoscutele problemei. Dacă se stabilește o relație între mărimile date și variabilele necunoscute pe baza legilor fizice caracteristice sistemului, se zice că s-a realizat un model matematic al sistemului, descris de obicei de un ansamblu de ecuații cu derivate parțiale de un anumit ordin, liniare sau neliniare, pe care-l vom scrie simbolic

$$\mathbf{L}(u) = b \quad (3.3.1)$$

unde \mathbf{L} este un *operator diferențial* definit pe un anumit spațiu de funcții (v. **Fig. 3.3.1**).

La aceste ecuații se atașează un sistem de condiții la limită (sau condiții pe frontieră). Funcția necunoscută u , cât și funcția dată b sunt definite pe același domeniu spațial Ω de frontieră Σ și trebuie să satisfacă simultan ambele tipuri de ecuații. Pentru a formula metoda reziduurilor ponderate (MRP), vom considera ecuația omogenă

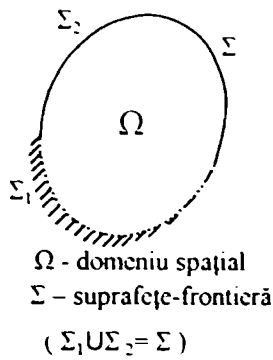


Fig. 3.3.1

$$L(u) = 0 \tag{3.3.2}$$

și alegând o funcție de pondere w vom face produsul interior sau scalar cu operatorul $L(u)$, și vom avea:

$$\langle L(u)w \rangle \equiv \int_{\Omega} L(u)w \cdot d\Omega = 0 \tag{3.3.3}$$

Acum în ecuația de mai sus, putem efectua o integrare prin părți până ce toate derivatele funcției u sunt eliminate și vom obține o așa-numită „formă transpusă” a produsului interior care are următorul aspect:

$$\int_{\Omega} L(u)w d\Omega = \int_{\Omega} u L^*(w) d\Omega + \int_{\Sigma} [S^*(w)j(u) - G^*(w)S(u)] d\Sigma \tag{3.3.4}$$

Acum putem să ne explicăm introducerea funcției pondere w . Numai așa putem să integrăm prin părți și să „scăpăm” de derivatele funcției necunoscute u .

În procesul de integrare prin părți s-au introdus noi operatori. De exemplu operatorul L^* numit **operator adjunct sau conjugat** cu L , care se aplică funcției pondere w . S-au mai introdus alți doi operatori S, G , care sunt legați de condițiile de frontieră. Astfel:

- dacă operatorul $S(u)$ este dat numai în anumite puncte sau zone ale suprafeței Σ , atunci în acele zone avem **condiții de frontieră esențiale**;
- dacă operatorul $G(u)$ este dat în alte puncte ale frontierei se zice că în punctele respective se generează **condiții pe frontieră neesențiale sau naturale**.

Ne întoarcem la ecuația (3.3.1). Să notăm cu u_0 soluția exactă a problemei pe care în general nu o cunoaștem.

Vom avea

$$L(u_0) = b \text{ în domeniul } \Omega \tag{3.3.5}$$

cu condițiile de frontieră:

$$S(u_0) = s \text{ pe porțiunea } \Sigma_1 \text{ a frontierei, } (\Sigma_1 \cup \Sigma_2 = \Sigma)$$

$$G(u_0) = g \text{ pe porțiunea } \Sigma_2 \text{ a frontierei}$$

Să notăm cu u o **soluție aproximativă** oarecare a problemei. Atunci această funcție satisface aproximativ ecuația dată, *deci apare o eroare sau un reziduu*; vorbim de obicei de „o **funcție reziduu**” exprimată prin relația diferențială:

$$R = L(u) - b \neq 0 \tag{3.3.6}$$

Acest lucru este într-adevăr așa, deoarece în ecuația (3.3.5) rezultă că b este valoarea exactă a operatorului L pentru u_0 , pe când $L(u)$ este o valoare aproximativă; diferența lor este tocmai eroarea sau reziduu.

Dacă în plus funcția u nu satisface toate celelalte condiții de frontieră, obținem încă două tipuri de funcții reziduu:

$$R_1 = S(u) - s \neq 0 \text{ pe o porțiune } \Sigma_1 \text{ a frontierei, reprezentând eroarea legată de satisfacerea condițiilor de limită } \mathbf{esențiale}.$$

$$R_2 = G(u) - g \neq 0 \text{ pe o porțiune } \Sigma_2 \text{ a frontierei reprezentând eroarea legată de satisfacerea condițiilor de limită } \mathbf{naturale}.$$

Metodele de aproximare urmăresc să minimizeze aceste reziduuri. În funcție de maniera în care se rezolvă acest lucru avem diferite tipuri de metode de aproximare:

a) Metoda reziduurilor ponderate.

Presupunem că funcția u a fost aleasă astfel încât să satisfacă de la început toate condițiile la limită, ($R_1=0, R_2=0$). Atunci vom alege o funcție pondere w astfel încât:

$$\langle R, w \rangle = \int_{\Omega} R w d\Omega = 0 \quad (3.3.7)$$

ceea ce înseamnă că ecuația dată va fi satisfăcută **în medie** în raport cu ponderea w .

b) Metoda cologației.

Are loc atunci când vom pretinde ca reziduul R să fie nul numai în anumite puncte date sau numai pe anumite subdomenii din Ω .

c) Metoda reziduurilor ponderate generalizată

Are loc când se impun condiții asemănătoare de satisfacere **în medie** și pentru condițiile pe frontieră. Atunci în locul problemei inițiale se consideră o **ecuație ponderată unică**:

$$\langle R, w \rangle = - \langle R_1, G(u) \rangle + \langle R_2, w \rangle \quad (3.3.8)$$

ecuație sinonimă cu impunerea pentru aproximarea u a condițiilor $u = \bar{u}$ pe Σ_1 și $q = \bar{q}$ pe Σ_2 .

De exemplu, putem alege funcția w ca o combinație liniară a unui sistem de funcții liniar independente $\{\Psi_k\}$ care pot satisface aprioric condițiile omogene de graniță:

$$w = \beta_1 \Psi_1 + \beta_2 \Psi_2 + \dots + \beta_n \Psi_n \quad (3.3.9)$$

unde β_i sunt coeficienți nedeterminați.

Presupunând că funcția u satisface toate condițiile de graniță ($R_1=R_2=0$), atunci

$$\langle R, w \rangle = \int_{\Omega} R w d\Omega = 0 \quad (3.3.10)$$

Deoarece coeficienții β_i sunt arbitrari, egalitatea precedentă devine:

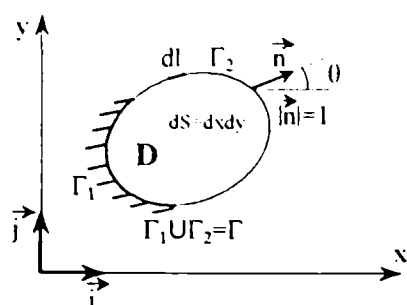
$$\int_{\Omega} R(\beta_1 \Psi_1 + \beta_2 \Psi_2 + \dots) d\Omega = 0 \Leftrightarrow \int_{\Omega} R \Psi_i d\Omega = 0 \quad i = 1, 2, \dots, n \quad (3.3.11)$$

ceea ce revine la o satisfacere în medie a ecuației inițiale în raport cu ponderea w .

Dacă în calitate de funcție pondere Ψ_i vom folosi **funcția $\delta(x - x_i)$ a lui Dirac** (v. **Anexa 6**) care se bucură de proprietatea de filtrare, vom defini metoda cologației:

$$\int_{\Omega} R w d\Omega = 0, \quad \text{unde } w = \beta_1 \delta_1 + \beta_2 \delta_2 + \dots + \beta_k \delta_k \quad (3.3.12)$$

Să ilustrăm cele spuse mai sus pe o ecuație de tip Poisson frecvent întâlnită în aplicații din (M.S.D.) (v. Fig. 3.3.2).



D – domeniu plan
 Γ - conturul frontierei (curbă plană Liapunov)

Fig. 3.3.2

$$n_x = \vec{n} \cdot \vec{i} = \cos \theta$$

$$n_y = \vec{n} \cdot \vec{j} = \sin \theta$$

$$\frac{\partial}{\partial n} = n_x \frac{\partial}{\partial x} + n_y \frac{\partial}{\partial y}$$

$$dx = n_y dl ; dy = n_x dl'$$

$$dS = dx \cdot dy \text{ (elementul de arie din } D)$$

$$\nabla^2 u = b \Leftrightarrow \frac{\partial^2 u}{\partial x^2} + \frac{\partial^2 u}{\partial y^2} = b \quad \text{în } D \tag{3.3.13}$$

cu condițiile la limită:

$u = \bar{u}$ pe Γ_1 condiții tip Dirichlet (sau **condiții esențiale**)

$$\left. \frac{\partial u}{\partial n} + \alpha u \right|_{\Gamma_2} = f_{\Gamma_2} \text{ condiții de tip Cauchy (sau Rodin)} \tag{3.3.14}$$

pentru $\alpha = 0 \Rightarrow q = \frac{\partial u}{\partial n} = \bar{q}$ pe Γ_2 condiții de tip Neuman (sau **condiții naturale**)

Aplicând metoda reziduuului ponderat (3.3.8), ecuația integrală caracteristică ecuației lui Poisson are forma:

$$\iint_D (\nabla^2 u - b) w dS + \int_{\Gamma_1} (u - \bar{u}) \frac{\partial w}{\partial n} d\Gamma - \int_{\Gamma_2} (q - \bar{q}) w d\Gamma = 0 \tag{3.3.15}$$

Dacă se integrează de două ori prin părți prima integrală din (3.3.2.15) se obține **ecuația integrală pe contur** pe care o căutăm:

$$\int_D u \nabla^2 w dS - \int_D b w dS + \int_{\Gamma_2} \bar{q} w dl + \int_{\Gamma_1} q w dl \cong \int_{\Gamma_2} u \frac{\partial w}{\partial n} dl + \int_{\Gamma_1} \bar{u} \frac{\partial w}{\partial n} dl \tag{3.3.16}$$

Să observăm că prin această integrare prin părți sub operatorul ∇^2 se schimbă locul funcției u necunoscute cu funcția w , presupusă cunoscută („*comută*” u cu w).

Suntem acum în situația de a alege funcția pondere w ; în formularea directă se alege funcția w ca fiind **soluția fundamentală** a ecuației lui Laplace, care în majoritatea lucrărilor se notează cu u^* :

$$\frac{\partial^2 u^*}{\partial x^2} + \frac{\partial^2 u^*}{\partial y^2} = \delta(x - \xi_i) \tag{3.3.17}$$

În felul acesta eliminăm din ecuația (3.3.16) prima integrală pe domeniul D , care ne deranjează, scopul nostru fiind să avem numai integrale pe contur.

Presupunând că $w = u^*$ se cunoaște (v. **Anexa 9**) și ținând cont de proprietatea de filtraj a funcției lui Dirac $\delta(x - \xi_i)$ - v. **Anexa 6**, ecuația (3.3.16) devine:

$$u_i - \int_D b u^* dS + \int_{\Gamma_2} \bar{q} u^* dl + \int_{\Gamma_1} q u^* dl = \int_{\Gamma_2} u q^* dl + \int_{\Gamma_1} \bar{u} q^* dl \tag{3.3.18}$$

unde: ξ_i este punctul de aplicație a potențialului unitar,

x este punctul curent de observație de pe contur,

$u^* = -\frac{1}{2\pi} \ln \frac{1}{r}$ soluția ecuației (3.3.17) pentru cazul bidimensional de care ne ocupăm,

cunoscută din (T.E.) – soluția fundamentală -

$r = |x - \xi_i|$, distanța dintre punctele x și ξ_i ,

$$q^*(\xi_i, x) = \frac{\partial u^*(\xi_i, x)}{\partial n(x)}$$

Calculul derivatei soluției fundamentale după direcția normalei exterioare este imediat:

$$q^*(\xi_i, x) = \frac{\partial u^*(\xi_i, x)}{\partial n} = \frac{\partial u^*}{\partial r} \cdot \frac{\partial r}{\partial n} = \frac{\partial u^*}{\partial r} \left(\frac{\partial r}{\partial x} \cdot \frac{\partial x}{\partial n} + \frac{\partial r}{\partial y} \cdot \frac{\partial y}{\partial n} \right)$$

unde $\frac{\partial x}{\partial n} = n_x$; $\frac{\partial y}{\partial n} = n_y$ sunt componentele vectorului unitar normal exterior la frontieră, \vec{n} (cu $|\vec{n}| = 1$) în punctul curent x .

Ecuația obținută (3.3.18) furnizează o legătură între funcțiile u și q de pe frontiera Γ și potențialul din punctul ξ_i , legătură care exprimă și o condiție de compatibilitate a datelor pe frontieră. Să observăm că soluția fundamentală u^* este **singulară** în punctul $r = \xi_i$. Este posibil ca punctul ξ_i să fie în interiorul domeniului, exterior domeniului sau pe frontieră. Se demonstrează în literatură că în final ecuația integrală de contur are forma [B36], [B72], [F3], [P34], [P50]:

$$\int_{\Gamma} u q^* d\Gamma - \int_{\Gamma} q u^* d\Gamma + \int_D b u^* dS = u_i \begin{cases} 1 \\ 0 \\ c_i \end{cases} \quad \begin{cases} \text{daca } \xi_i \in D, \xi_i \notin \Gamma \\ \text{daca } \xi_i \notin D, \xi_i \notin \Gamma \\ \text{daca } \xi_i \in \Gamma \end{cases} \quad (3.3.19)$$

Coeficientul c_i va fi egal cu π dacă ξ_i este un punct care aparține unei porțiuni netede a lui Γ și este egal cu $\pi + (\alpha_1 - \alpha_2)$ dacă el este un punct unghiular încadrat de porțiunile netede Γ_s și Γ_d ale frontierei Γ a căror normală exterioară furnizează unghiurile α_1 respectiv α_2 cu axa Ox_1 ([P34], [P50]).

B). FORMULAREA INDIRECTĂ

Ecuația Poisson (3.3.13) împreună cu condițiile la limită (3.3.14) se zice că se rezolvă cu „metoda indirectă” dacă valorile lui u^* se distribuie pe frontieră și formează așa-numita distribuție de surse și asemănător se distribuie și valorile lui $q^* = \frac{\partial u^*}{\partial n}$ realizând așa-numita distribuție de dipoli; densitățile acestor distribuții satisfac ecuația dată, pe contur.

Pornind de la formularea directă în domeniul D' , exteriorul lui $(D \cup \Gamma)$, se definește o funcție de potențial necunoscută u' pentru care metoda rezidului ponderat se scrie sub forma:

$$\int_{\Gamma} u' q^* d\Gamma - \int_{\Gamma} q' u^* d\Gamma = u_i \begin{cases} -1 \\ 0 \\ -c_i \end{cases} \quad \begin{cases} \text{pentru } \xi_i \in D' \\ \text{pentru } \xi_i \in D \\ \text{pentru } \xi_i \in \Gamma \end{cases} \quad (3.3.20)$$

Din relațiile (3.3.19) și (3.3.20) se obține:

$$u_i \int_{\Gamma} (u - u') q^* d\Gamma - \int_{\Gamma} (q - q') u^* d\Gamma + \int_D b u^* dS \quad (3.3.21)$$

Pe conturul (frontiera) Γ se impune condiția $u = u'$ și se notează $\sigma_q(\Gamma) = q - q'$; ecuația (3.3.2.21) devine:

$$u_i = - \int_{\Gamma} \sigma_q u^* d\Gamma + \int_D b u^* dS \quad (3.3.22)$$

Această ecuație definește o formulare sursă indirectă cu necunoscuta $\sigma_q(\Gamma)$ care se determină impunând condițiile pe contur:

$$\bar{u}_i = u_i = - \int_{\Gamma_1} \sigma_q u^* d\Gamma + \int_D b u^* dS \quad \text{pe } \Gamma_1 \quad (3.3.23)$$

$$\bar{q}_i = q_i = c_i \sigma_{q_i} - \int_{\Gamma} \sigma_q q^* d\Gamma + \int_D b q^* dS \quad \text{pe } \Gamma_2 \quad (3.3.24)$$

Există și alternativa de a impune pe contur condiția de echilibru $q' = q$ și a introduce distribuția de dipoli necunoscută $\mu_u = u - u'$. Se obține în final:

$$u_i = c_i \mu_{u_i} + \int_{\Gamma} \mu_u q^* d\Gamma + \int_D b u^* dS \quad (3.3.25)$$

$$q_i = \frac{\partial u_i}{\partial n} = \int_{\Gamma} \mu_n \frac{\partial^2 u^*}{\partial n^2} d\Gamma + \int_D b q^* dS \quad (3.3.26)$$

În final, densitatea se determină impunând condițiile la limită:

$$\bar{u}_i = u_i; \quad \bar{q}_i = q_i;$$

unde u_i și q_i sunt date de relațiile (3.3.25) și (3.3.26).

3.3.2.2. Elemente de frontieră. Discretizarea ecuațiilor integrale

În ecuația integrală de frontieră stabilită trebuie să efectuăm numeric anumite integrale, care de obicei nu le putem efectua analitic. Pentru aceasta frontieră Γ a domeniului D , care este o curbă plană oarecare, se împarte în elemente de lungime relativ mici numite **elemente de frontieră** pe care se poate face o evaluare numerică a integralelor cu una dintre metodele de cuadratură cunoscute, acceptând și anumite ipoteze simplificatoare. Aceste elemente de frontieră pot fi segmente de dreaptă sau porțiuni de curbe plane. Rezultatele oricărui program de element de frontieră depind în mod esențial de modul de aproximare a frontierei și de evaluare a integralelor pe fiecare element. Fiecărui element de frontieră i se asociază unul sau mai multe puncte numite **noduri** în care se presupun cunoscute sau nu cele două variabile care apar în problemă: potențialul u și gradientul potențialului q . Dacă N este numărul de elemente în care este discretizată frontiera, iar n este numărul total de noduri vom avea $2n$ variabile nodale. Pentru a putea obține o soluție unică, o parte dintre acestea trebuie cunoscute și ele sunt date sub forma condițiilor pe frontieră în fiecare nod $(\bar{u}; \bar{q})$.

Descrierea geometriei fiecărui element de frontieră ca și stabilirea legilor de variație a mărimilor necunoscute u și q de pe frontieră se face cu ajutorul unor **funcții de interpolare** sau **funcții de formă**, care pot fi constante, liniare, pătratice, cubice etc. Ele pot avea același grad sau grade diferite pentru cele două elemente approximate: mărimile geometrice și mărimile fizice

(u, q) . Dacă se folosesc funcții de același grad pentru ambele categorii de mărimi se zice că se folosesc **elemente de frontieră izoparametrice**.

În practica utilizării M.E.Fr. se întâlnesc:

- **Elemente de frontieră constante (Fig. 3.3.3)**

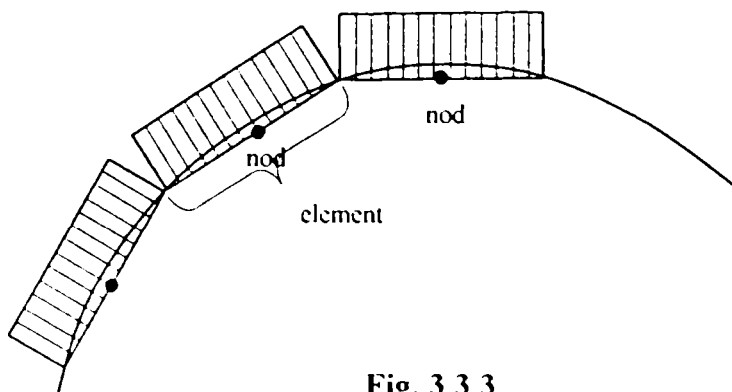


Fig. 3.3.3

Frontiera este aproximată prin segmente de dreaptă, extremitățile segmentelor nu sunt considerate ca noduri. Elementul are un singur nod, la mijlocul lungimii sale, deci numărul de noduri este e_{al} cu numărul de elemente. Pe fiecare element se consideră că valorile lui u și q sunt constante și egale cu valorile lor în nodul din mijlocul elementului.

- **Elemente de frontieră liniare (Fig. 3.3.4)**

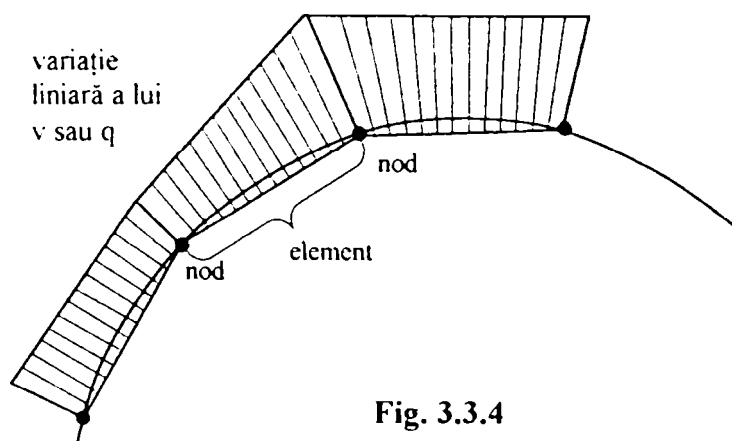


Fig. 3.3.4

Frontiera din punct de vedere geometric, este aproximată tot prin segmente de dreaptă, dar extremitățile acestor segmente se consideră drept noduri ale elementului de frontieră. Pe fiecare element vom accepta ca funcțiile u și q au o variație liniară.

- **Elemente de frontieră pătratică (Fig. 3.3.5)**

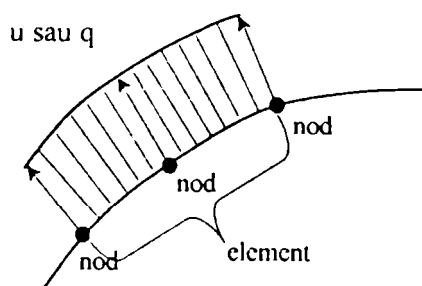


Fig. 3.3.5

În acest caz elementul de frontieră are trei noduri și este descris de o curbă care trece prin cele trei puncte cu ajutorul unei funcții polinomiale sau de altă natură. O funcție de același tip descrie și legile de variație ale mărimilor fizice u și q . Generalizarea acestor elemente este imediată, deoarece se pot lua oricâte noduri interioare dorim pe fiecare element. Evident că pentru aceste elemente de ordin superior cresc dificultățile de calcul și timpul de calculator.

A. ELEMENTE DE FRONTIERĂ CONSTANTE

Voi încerca să prezint în amănunt modul de discretizare a ecuației integrale de frontieră și transformarea ei într-un sistem de ecuații algebrice pentru cazul cel mai simplu când se ucrează cu elemente de frontieră constante.

Considerăm că frontiera reprezentată de o curbă plană oarecare, a fost discretizată în N segmente de dreaptă înscrise, din care $N_1 \in \Gamma_1$ și $N_2 \in \Gamma_2$. Ne vom ocupa de ecuația integrală pe frontieră a metodei directe:

$$\int_{\Gamma} uq^* d\Gamma - \int_{\Gamma} qu^* d\Gamma + \int_D bu^* dS = u_i \begin{Bmatrix} 1 \\ 0 \\ c_i \end{Bmatrix} \tag{3.3.27}$$

Dacă avem N elemente, avem $n = N$ noduri și în fiecare nod două mărimi fizice variabile (u și q); ar rezulta că avem $2n$ necunoscute. Pentru a obține un sistem compatibil determinat cu soluție unică vom considera că pe fiecare element valoarea uneia dintre cele două variabile u sau q este cunoscută:

$$\begin{aligned} u &= \bar{u} \quad \text{pe } N_1 \text{ elemente} \\ q &= \bar{q} \quad \text{pe } N_2 \text{ elemente, } (N_1 + N_2 = N) \end{aligned}$$

Obținem atunci un sistem algebric liniar de n ecuații cu n necunoscute. Soluția fundamentală a ecuației Laplace, respectiv potențialul unitar este aplicat în ξ_i și $u(\xi_i) = u_i$. Dacă în ecuația (3.3.27) facem $b=0$ obținem ecuația lui Laplace:

$$c_i u_i + \int_{\Gamma} uq^* d\Gamma = \int_{\Gamma} qu^* d\Gamma \tag{3.3.28}$$

unde $u^* = \frac{1}{2\pi} \ln \frac{1}{r}$ iar $c_i = \frac{1}{2}$ datorită „netezimii” elementului respectiv.

Dar în condițiile noastre ecuația de mai sus se poate discretiza sub forma:

$$\frac{1}{2} u_i + \sum_{j=1}^N \int_{\Gamma_j} uq^* d\Gamma = \sum_{j=1}^N \int_{\Gamma_j} u^* q d\Gamma \tag{3.3.2.29}$$

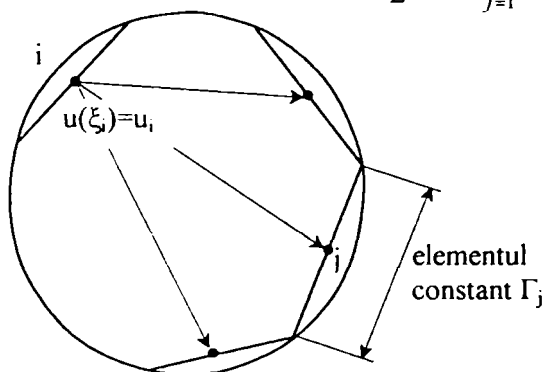


Fig. 3.3.6

unde Γ_j este lungimea elementului j . Această ecuație reprezintă relația dintre nodul i în care se aplică potențialul unitar și toate elementele j de pe contur. Dar, ținem cont de tipul elementului folosit, pe care am presupus că u și q sunt constante (egale cu u_j sau q_j pe fiecare element j). Aceste mărimi se pot scoate deci de sub semn l integral și avem:

$$\frac{1}{2} u_i + \sum_{j=1}^N u_j \int_{\Gamma_j} q^* d\Gamma = \sum_{j=1}^N q_j \int_{\Gamma_j} u^* d\Gamma \tag{3.3.30}$$

Pentru o scriere mai condensată, introducem niște notații:

$$\int_{\Gamma_j} q^* d\Gamma = \hat{H}_{ij}; \quad \int_{\Gamma_j} u^* d\Gamma = G_{ij} \tag{3.3.31}$$

Ecuația (3.3.30) devine:

$$\frac{1}{2} u_i + \sum_{j=1}^N \hat{H}_{ij} u_j = \sum_{j=1}^N G_{ij} q_j \tag{3.3.32}$$

În cazul în care se mai face o notație:

$$H_{ij} = \begin{cases} \hat{H}_{ij} & \text{pentru } i \neq j \\ \hat{H}_{ij} + \frac{1}{2} & \text{pentru } i = j \end{cases}$$

ecuația (3.3.32) obține o formă foarte simplă și elegantă:

$$\sum_{j=1}^N H_{ij} u_j = \sum_{j=1}^N G_{ij} q_j \quad (3.3.33)$$

sau într-o scriere matricială condensată:

$$[H] \cdot \{U\} = [G] \cdot \{Q\} \quad (3.3.34)$$

Cele N_1 valori ale lui u și cele N_2 valori ale lui q sunt necunoscutele problemei pe Γ .

A rezultat un sistem algebric liniar cu N necunoscute care se ordonează trecând toate necunoscutele în membrul stâng și aranjând sistemul în formă canonică

$$[A] \cdot \{X\} = \{F\} \quad (3.3.35)$$

unde:

$\{X\}$ este o matrice coloană care conține toate cele N necunoscute u_i și q_i (vectorul necunoscut);

$\{F\}$ este tot o matrice coloană care conține toate cele N mărimi de graniță cunoscute: potențialele \bar{u}_i și fluxurile \bar{q}_i ;

$[A]$ este o matrice pătrată de tipul $N \times N$ în întregime populată formată cu integralele H_{ij} și G_{ij} . În limbaj de calculator H_{ij} și G_{ij} pot fi direct asamblate în A astfel încât ecuația anterioară (3.3.34) nu mai trebuie formată.

După rezolvarea acestui sistem (3.3.35) vom cunoaște toate valorile potențialului u și fluxului q pe contur; rezultă atunci valorile acestor mărimi în orice punct interior al domeniului:

$$u_i = \int_{\Gamma} q u^* d\Gamma - \int_{\Gamma} q^* u d\Gamma \Leftrightarrow u_i = \sum_{j=1}^N q_j G_{ij} - \sum_{j=1}^N u_j \hat{H}_{ij} \quad (3.3.36)$$

În cazul particular al elementelor de contur constante, integralele \hat{H}_{ij} și G_{ij} pot fi calculate analitic; dacă nu, se utilizează *regula de cuadratură numerică Gauss*, pentru care sunt suficiente patru puncte de integrare Gauss. De exemplu:

$$\hat{H}_{ii} = \int_{\Gamma_i} q^* d\Gamma = \int_{\Gamma_i} \text{grad } u^* \cdot \bar{n} \cdot d\Gamma \equiv 0 \quad \text{deoarece } u^* = \text{const.} \quad (3.3.37)$$

utilizând coordonate omogene:

$$G_{ii} = \int_{\Gamma_i} u^* d\Gamma = \frac{1}{2\pi} \int_{\Gamma_i} \ln\left(\frac{1}{r}\right) d\Gamma = \frac{1}{\pi} \int_{(0)}^{(2)} \ln\left(\frac{1}{r}\right) dr = \frac{|r_1|}{\pi} \left[\ln\left(\frac{1}{|r_1|} + 1\right) \right] \quad (3.3.38)$$

B. ELEMENTE DE FRONTIERĂ LINIARE

Elementul de frontieră este tot un segment de dreaptă, care are însă două noduri ce se identifică cu punctele de intersecție ale segmentelor frontieră (vârfurile poligonului înscris) –v. Fig. 3.3.7.-; vom accepta însă că funcțiile u și q au o variație liniară pe fiecare element.

Plecăm tot de la ecuația formulării directe, discretizată (3.3.28):

$$c_i u_i + \sum_{j=1}^N \int_{\Gamma_i} u q^* d\Gamma = \sum_{j=1}^N \int_{\Gamma_j} q u^* d\Gamma \quad (3.3.39)$$

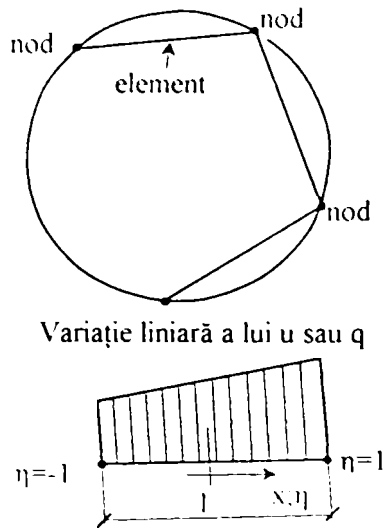


Fig. 3.3.7

(unde coeficientul c_i nu mai este constant). Acum integralele pe elementele Γ_j , care intervin în ecuația (3.3.2.39) sunt mult mai dificil de calculat tocmai datorită variației liniare a lui u și q pe fiecare element. Valorile lui u și q în orice punct al unui element vor fi definite cu ajutorul valorilor lor la nodurile elementului:

$$u(x) = \varphi_1 u_1 + \varphi_2 u_2 = [\varphi_1 \varphi_2] \begin{Bmatrix} u_1 \\ u_2 \end{Bmatrix}$$

$$q(x) = \varphi_1 q_1 + \varphi_2 q_2 = [\varphi_1 \varphi_2] \begin{Bmatrix} q_1 \\ q_2 \end{Bmatrix}$$

În unele cărți funcțiile φ_1 și φ_2 se notează cu N_1 și N_2 ca la (M.E.F.) și seamănă cu funcțiile de formă de acolo:

$$u = N_1 u_1 + N_2 u_2 = [N_1 N_2] \begin{Bmatrix} u_1 \\ u_2 \end{Bmatrix} = [N]^T \{U\}$$

$$q = N_1 q_1 + N_2 q_2 = [N_1 N_2] \begin{Bmatrix} q_1 \\ q_2 \end{Bmatrix} = [N]^T \{Q\}$$

Se introduce pe fiecare element așa-numita **coordonată adimensională** (omogenă):

$$\eta = \frac{x}{l/2}, \quad l \text{ fiind lungimea elementului.}$$

Atunci funcțiile de interpolare (sau „de formă”) vor fi:

$$\varphi_1 = \frac{1}{2}(1 - \eta) \quad \varphi_2 = \frac{1}{2}(1 + \eta) \tag{3.3.40}$$

Integrala pe un element de frontieră j (segmentul de dreaptă Γ_j) devine:

$$\int_{\Gamma_j} u q^* d\Gamma = \int_{\Gamma_j} [\varphi_1 \varphi_2] h^* d\Gamma \begin{Bmatrix} u_1 \\ u_2 \end{Bmatrix} = [h_{ij}^1 h_{ij}^2] \begin{Bmatrix} u_1 \\ u_2 \end{Bmatrix} \tag{3.3.41}$$

$$\int_{\Gamma_j} q u^* d\Gamma = \int_{\Gamma_j} [\varphi_1 \varphi_2] u^* d\Gamma \begin{Bmatrix} q_1 \\ q_2 \end{Bmatrix} = [g_{ij}^1 g_{ij}^2] \begin{Bmatrix} q_1 \\ q_2 \end{Bmatrix} \tag{3.3.42}$$

unde:

$$h_{ij}^1 = \int_{\Gamma_j} \varphi_1 q^* d\Gamma, \quad h_{ij}^2 = \int_{\Gamma_j} \varphi_2 q^* d\Gamma, \tag{3.3.43}$$

$$g_{ij}^1 = \int_{\Gamma_j} \varphi_1 u^* d\Gamma, \quad g_{ij}^2 = \int_{\Gamma_j} \varphi_2 u^* d\Gamma, \tag{3.3.44}$$

În principiu deci **coeficienții de influență** h_{ij}^k definesc interacțiunea dintre **punctul i** considerat și **nodul k** al elementului j .

Observăm că pentru a scrie ecuația discretă corepsunzătoare nodului i , va trebui să însumăm într-un singur termen contribuțiile celor două elemente de frontieră alăturate ($j-1$) și j , obținând astfel coeficientul nodal. Aceasta va conduce la următoarea formă a ecuației globale discrete:

$$c_i u_i + \left[\hat{H}_{i1} \hat{H}_{i2} \dots \hat{H}_{iN} \right] \begin{Bmatrix} u_1 \\ u_2 \\ \vdots \\ u_N \end{Bmatrix} = \left[G_{i1} G_{i2} \dots G_{iN} \right] \begin{Bmatrix} q_1 \\ q_2 \\ \vdots \\ q_N \end{Bmatrix} \quad (3.3.45)$$

unde fiecare coeficient \hat{H}_{ij} este egal cu termenul h_{ij}^2 al elementului $j-1$, însumat cu termenul h_{ij}^1 al elementului j , pentru o numerotare orară. Analog pentru G_{ij} .

Reprezentarea de mai sus fiind deja ecuația asamblată pentru nodul i vom avea:

$$c_i u_i + \sum_{j=1}^N \hat{H}_{ij} u_j = \sum_{j=1}^N G_{ij} q_j \quad (3.3.46)$$

$$\Leftrightarrow \sum_{j=1}^N \hat{H}_{ij} u_j = \sum_{j=1}^N G_{ij} q_j \quad (3.3.47)$$

unde am notat

$$H_{ij} = \begin{cases} \hat{H}_{ij} & \text{pt. } i \neq j \\ \hat{H}_{ij} + c_i & \text{pt. } i = j \end{cases} \quad (3.3.48)$$

exprimare echivalentă ecuației matriceale:

$$[H] \{U\} = [G] \{Q\} \quad (3.3.49)$$

Prin aplicarea condițiilor la limită ecuația matriceală precedentă se reordonează astfel încât să aibă forma:

$$[A] \{X\} = \{F\} \quad (3.3.50)$$

Matricea $[A]$ este formată direct de calculator.

C. ELEMENTE DE FRONTIERĂ PĂTRATICE ȘI DE ORDIN SUPERIOR

Aceste tipuri de elemente sunt frecvent utilizate pentru o aproximare mai bună atât a geometriei frontierei cât și a funcțiilor necunoscute u și q . Ele nu prezintă dificultăți deosebite de calcul, dar pentru aplicarea lor este necesară transformarea coordonatelor carteziene în coordonate curbilinii (mai exact coordonata curbilinie adimensională locală η). În acest sens pe fiecare element pătratic (Fig. 3.3.8) funcțiile u și q vor fi approximate cu ajutorul valorilor nodale pe un ansamblu de trei noduri, (1), (2), (3), și a unor funcții de interpolare pătratice $\varphi_1, \varphi_2, \varphi_3$ astfel:

$$u(\eta) = \varphi_1 u_1 + \varphi_2 u_2 + \varphi_3 u_3 = [\varphi_1 \quad \varphi_2 \quad \varphi_3] \begin{Bmatrix} u_1 \\ u_2 \\ u_3 \end{Bmatrix} = [\varphi]^T \{U\} \quad (3.3.51)$$

$$q(\eta) = \varphi_1 q_1 + \varphi_2 q_2 + \varphi_3 q_3 = [\varphi_1 \quad \varphi_2 \quad \varphi_3] \begin{Bmatrix} q_1 \\ q_2 \\ q_3 \end{Bmatrix} = [\varphi]^T \{Q\} \quad (3.3.52)$$

în care funcțiile φ_i satisfacând condiția:

$$\varphi_i(\eta_j) = \delta_{ij}$$

sunt date de:

$$\varphi_1 = \frac{1}{2}\eta(\eta - 1), \quad \varphi_2 = \frac{1}{2}\eta(1 + \eta), \quad \varphi_3 = (1 - \eta)(1 + \eta) \quad (3.3.53)$$

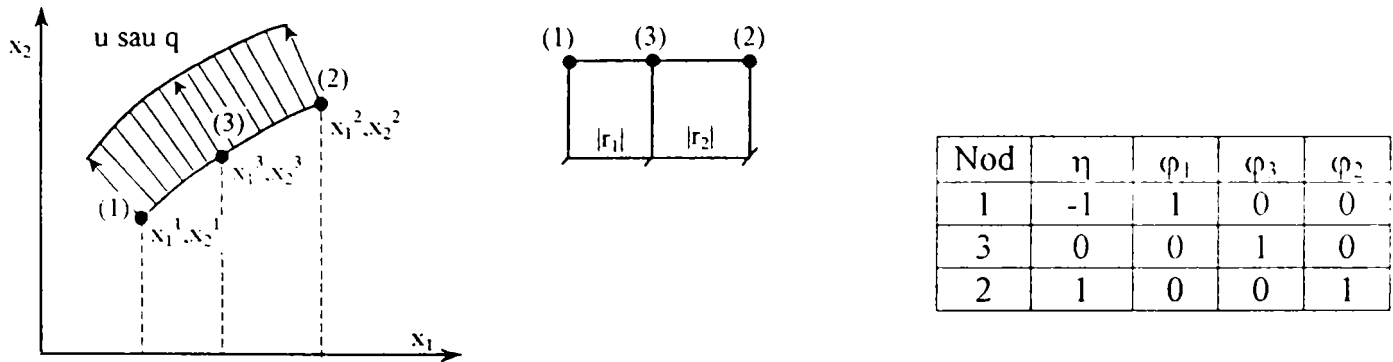


Fig. 3.3.8

Vom avea aceeași ecuație discretizată:

$$c_i u_i = \sum_{j=1}^N \int_{\Gamma_j} u q^* d\Gamma = \sum_{j=1}^N \int_{\Gamma_j} q u^* d\Gamma$$

iar integralele de-a lungul elementelor Γ_j vor fi similare cu cele de la elementele liniare. Astfel, integralele pentru u vor fi de forma:

$$\int_{\Gamma_j} u(\eta) q^* d\Gamma = \int_{\Gamma_j} [\varphi_1 \quad \varphi_2 \quad \varphi_3] q^* d\Gamma \begin{Bmatrix} u_1 \\ u_2 \\ u_3 \end{Bmatrix} = [h_{ij}^1 \quad h_{ij}^2 \quad h_{ij}^3] \begin{Bmatrix} u_1 \\ u_2 \\ u_3 \end{Bmatrix} \quad (3.3.54)$$

similar și pentru integralele în q .

Evaluarea acestor integrale se va face numeric după ce în prealabil s-a exprimat elementul de arc $d\Gamma$ prin variabila η , ceea ce cere ca jacobianul transformării să fie $\neq 0$. Relațiile de transformare sunt:

$$\int_{\Gamma_j} u(\eta) q^* d\Gamma = \int_{(1)}^{(2)} u(\eta) q^* |J| d\eta \quad (3.3.55)$$

și

$$\int_{\Gamma_j} q(\eta) u^* d\Gamma = \int_{(1)}^{(2)} q(\eta) u^* |J| d\eta$$

unde: $|J|$ este jacobianul transformării de coordonate efectuate ($d\Gamma = |J| d\eta$).

De exemplu pentru o problemă bidimensională, jacobianul este:

$$|J| = \sqrt{\left(\frac{dx}{d\eta}\right)^2 + \left(\frac{dy}{d\eta}\right)^2} \Rightarrow d\Gamma = |J|d\eta$$

Este evident că pentru calculul lui $|J|$ este necesară cunoașterea variației pe frontieră a lui x_1 și x_2 (sau y) în raport cu η . Aceasta se poate face scriind pe x_1 și x_2 cu ajutorul funcțiilor de interpolare φ_i și a coordonatelor nodale x_1^i și x_2^i în sistemul coordonate globale, adică:

$$\begin{cases} x_1 = \varphi_1 x_1^1 + \varphi_2 x_1^2 + \varphi_3 x_1^3 \\ x_2 = \varphi_1 x_2^1 + \varphi_2 x_2^2 + \varphi_3 x_2^3 \end{cases}$$

În ceea ce privește elementele de frontieră de ordin superior, ele sunt generalizări imediate. De exemplu, elementele cubice vor pretinde câte 4 noduri pe element (v. Fig. 3.3.9), funcțiile de interpolare având o variație cubică!

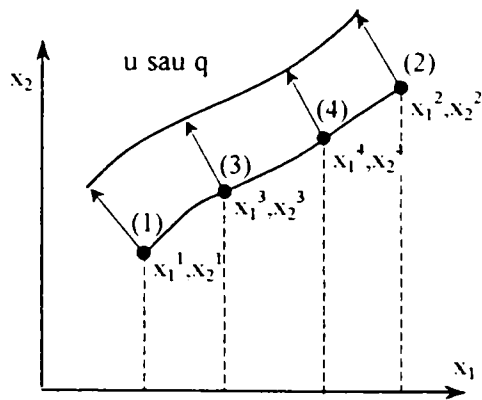


Fig. 3.3.9

$$\begin{cases} u(\eta) = \varphi_1 u_1 + \varphi_2 u_2 + \varphi_3 u_3 + \varphi_4 u_4 \\ q(\eta) = \varphi_1 q_1 + \varphi_2 q_2 + \varphi_3 q_3 + \varphi_4 q_4 \end{cases}$$

unde:

$$\varphi_1 = \frac{1}{16}(1 + \eta)[-10 + 9(\eta^2 + 1)]$$

$$\varphi_2 = \frac{1}{16}(1 + \eta)[-10 + 9(\eta^2 + 1)]$$

$$\varphi_3 = \frac{9}{16}(1 - \eta^2)(1 - 3\eta)$$

$$\varphi_4 = \frac{9}{16}(1 - \eta^2)(1 + 3\eta)$$

Notă: Vom exemplifica modul în care se determină funcțiile de formă pentru un element cu 5 noduri, care nu se găsește de altfel în literatură.

Utilizând coordonata adimensională $\eta = \frac{x}{l}$, unde l este lungimea elementului de frontieră considerat, funcția de interpolare trebuie să fie un polinom de gradul 4 care trebuie să satisfacă condițiile din tabelul alăturat:

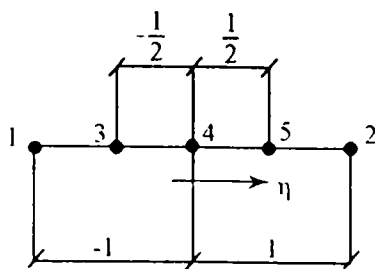


Fig. 3.3.10

Nod	η	φ_1	φ_3	φ_4	φ_5	φ_2
1	-1	1	0	0	0	0
3	-1/2	0	1	0	0	0
4	0	0	0	1	0	0
5	1/2	0	0	0	1	0
2	1	0	0	0	0	1

$$\varphi_i(\eta) = a\eta^4 + b\eta^3 + c\eta^2 + d\eta + e$$

$i=1$

$$\varphi_1(\eta_1) = \varphi_1(-1) = 1 \Rightarrow a - b + c - d + e = 1$$

$$\varphi_1(\eta_3) = \varphi_1\left(-\frac{1}{2}\right) = 0 \Rightarrow \frac{1}{16}a - \frac{1}{8}b + \frac{1}{4}c - \frac{1}{2}d + e = 0$$

$$\varphi_1(\eta_4) = \varphi_1(0) = 0 \Rightarrow e = 0$$

$$\varphi_1(\eta_5) = \varphi_1\left(\frac{1}{2}\right) = 0 \Rightarrow \frac{1}{16}a + \frac{1}{8}b + \frac{1}{4}c + \frac{1}{2}d + e = 0$$

$$\varphi_1(\eta_2) = \varphi_1(1) = 0 \Rightarrow a + b + c + d + e = 0$$

Rezolvarea este imediată și se obține:

$$\varphi_1 = \frac{2}{3}\eta^4 - \frac{2}{3}\eta^3 - \frac{1}{6}\eta^2 + \frac{1}{6}\eta = \frac{1}{6}\eta(\eta-1)(2\eta-1)(2\eta+1)$$

 $i=2$

$$\varphi_2(\eta_1) = \varphi_2(-1) = 0 \Rightarrow a - b + c - d + e = 0$$

$$\varphi_2(\eta_3) = \varphi_2\left(-\frac{1}{2}\right) = 0 \Rightarrow \frac{1}{16}a - \frac{1}{8}b + \frac{1}{4}c - \frac{1}{2}d + e = 0$$

$$\varphi_2(\eta_4) = \varphi_2(0) = 0 \Rightarrow e = 0$$

$$\varphi_2(\eta_5) = \varphi_2\left(\frac{1}{2}\right) = 0 \Rightarrow \frac{1}{16}a + \frac{1}{8}b + \frac{1}{4}c + \frac{1}{2}d + e = 0$$

$$\varphi_2(\eta_2) = \varphi_2(1) = 0 \Rightarrow a + b + c + d + e = 1$$

$$\Rightarrow \varphi_2 = \frac{2}{3}\eta^4 + \frac{2}{3}\eta^3 - \frac{1}{6}\eta^2 - \frac{1}{6}\eta = \frac{1}{6}\eta(\eta+1)(2\eta+1)(2\eta-1)$$

Procedeul se repetă pentru $i=3,4,5$ și se obține setul complet de funcții formă:

$$\varphi_3 = \frac{4}{3}\eta(1-2\eta)(\eta-1)(\eta+1)$$

$$\varphi_4 = \frac{1}{12}(\eta-1)(\eta+1)(2\eta-1)(2\eta+3)$$

$$\varphi_5 = \frac{4}{3}\eta(1-\eta^2)(1-2\eta)$$

3.3.3. Formularea directă pentru sistemul de ecuații fundamentale al (T.E.)

3.3.3.1. Cazul problemelor tridimensionale

Am arătat în Cap.2 că problema fundamentală a (T.E.) este descrisă complet de un sistem de 15 ecuații cu 15 necunoscute, destul de dificil și incomod de utilizat. De aceea el se reformulează de obicei în două moduri distincte:

1") Se aleg ca necunoscute principale numai deplasările și se elimină prin operații simple celelalte necunoscute; se obține un sistem de ecuații diferențiale de ordinul doi, de trei ecuații cu trei necunoscute, numite ecuațiile lui Lamé (sau chiar ecuațiile lui Navier), care este de forma:

$$Gu_{j,kk} + \frac{G}{1-2\nu}u_{k,kj} + F_j = 0 \quad (3.3.56)$$

2") Se aleg ca necunoscute principale numai tensiunile și se elimină celelalte necunoscute; se obține un sistem de 6 ecuații diferențiale cu 6 necunoscute numite ecuațiile lui Beltrami – Mitchell.

Ne vom ocupa în continuare numai de ecuația (3.3.56) care este extrem de convenabilă atunci când condițiile la limită atașate problemei sunt date în deplasări și au forma:

$$\frac{2G\nu}{1-2\nu}u_{k,k}n_i + G(u_{i,j} + u_{j,i})n_j = p_i \quad (3.3.57)$$

unde n_j - sunt componentele vectorului unitar, normal pe frontiera corpului, $|\vec{n}| = 1$ (cosinușii directori ai normalei);

$p_i = \sigma_{ji}n_j$ - sunt componentele tensiunii totale pe un element de suprafață care trece prin punctul considerat, având normala \vec{n} .

Pentru obținerea ecuațiilor integrale pe frontieră în cazul general pe care l-am abordat, se pot aplica diverse metode:

- se poate pleca de la teorema reciprocității energiei de deformare a lui Betti;
- se poate pleca de la una din identitățile lui Green;
- se poate folosi metoda reziduurilor ponderate și identitatea lui Somigliana.

Fiindcă despre aceste lucruri am mai vorbit, vom folosi ultimul procedeu. În acest caz ecuația generală a reziduurilor ponderate se poate scrie sub forma:

$$\int_{\Omega} (\sigma_{jk,j} + F_k)u_k^* d\Omega = \int_{\Sigma_2} (p_k - \bar{p}_k)u_k^* d\Sigma + \int_{\Sigma_1} (\bar{u}_k - u_k)p_k^* d\Sigma \quad (3.3.58)$$

Acestei ecuații i se atașează condițiile de frontieră:

- $p_i = \sigma_{ji}n_j = \bar{p}_i$ pe suprafața Σ_2 a frontierei, unde \bar{p}_i sunt tensiuni date (cunoscute) pe frontieră;
- $u_i = \bar{u}_i$ pe suprafața Σ_1 a frontierei, unde \bar{u}_i sunt deplasări cunoscute (date) pe Σ_1 ;
- u^* și p^* sunt funcții pondere, deplasări și tracțiuni, aparținând unui câmp pondere încă neprecizat căruia îi aparțin și tensorii simetrici σ_{jk}^* și ε_{jk}^* legați între ei prin aceleași ecuații și relații ca și σ_{jk} , ε_{jk} , u_k , p_k . (v. Cap.2).
- $p_k^* = n_j \sigma_{jk}^*$

Integrând prin părți de două ori prima componentă a integralei din membrul stâng, vom obține:

$$-\int_{\Omega} \sigma_{jk}\varepsilon_{jk}^* d\Omega + \int_{\Omega} F_k u_k^* d\Omega = -\int_{\Sigma_2} \bar{p}_k u_k^* d\Sigma - \int_{\Sigma_1} p_k u_k^* d\Sigma + \int_{\Sigma_1} (\bar{u}_k - u_k)p_k^* d\Sigma \quad (3.3.59)$$

Vom accepta valabilitatea legii lui Hooke:

$$\sigma_{jk} = C_{jklh}\varepsilon_{lh} \quad (3.3.60)$$

unde tensorul de elasticitate se bucură de proprietățile de simetrie:

$$C_{jklh} = C_{hklj} \quad (3.3.61)$$

Ținând cont și de teorema de reciprocitate:

$$\int_{\Omega} \sigma_{jk}\varepsilon_{jk}^* d\Omega = \int_{\Omega} \varepsilon_{jk}\sigma_{jk}^* d\Omega \quad (3.3.62)$$

relația (3.3.60) devine:

$$\int_{\Omega} \sigma_{jk,j}^* u_k^* d\Omega + \int_{\Omega} F_k^* u_k^* d\Omega = - \int_{\Sigma_2} \bar{p}_k u_k^* d\Sigma - \int_{\Sigma_1} p_k u_k^* d\Sigma + \int_{\Sigma_1} \bar{u}_k p_k^* d\Sigma + \int_{\Sigma_2} u_k p_k^* d\Sigma \quad (3.3.63)$$

Deoarece forțele mecanice F_k sunt funcții cunoscute, integrala a doua din membrul stâng al relației (3.3.63) nu introduce necunoscute sau dificultăți suplimentare. În schimb prima integrală, care conține deplasările necunoscute din domeniul Ω (funcțiile u_k) trebuie eliminată, ceea ce se realizează printr-o alegere convenabilă a funcțiilor câmpului pondere. De obicei pentru rezolvarea acestei probleme se folosesc două noțiuni noi: identitatea lui Somigliana și problema Kelvin.

• **Identitatea lui Somigliana pentru deplasări**

$$u_i(\xi) = \int_{\Sigma} u_{ij}^*(\xi, x) p_j(x) d\Sigma(x) - \int_{\Sigma} p_{ij}^*(\xi, x) u_j(x) d\Sigma(x) + \int_{\Sigma} u_{ij}^*(\xi, x) F_j(x) d\Sigma(x) \quad (3.3.64)$$

Dacă se cunosc deplasările și tensiunile pe frontiera domeniului studiat precum și forțele masice, relația (3.3.64) ne dă o reprezentare continuă a deplasărilor în orice punct $\xi \in \Omega$.

• **Problema Kelvin**

Vom considera că forța volumică este reprezentată de o forță egală cu unitatea care acționează în punctul $\xi \in \Omega$ după fiecare dintre cele trei direcții ortogonale date de vectorii \bar{e}_j :

$$F_j^* = \delta(x - \xi) e_j \quad (3.3.65)$$

și atunci soluțiile fundamentale luate ca funcții pondere se obțin din ecuația (3.3.56) a lui Navier:

$$G u_{j,kk}^* + \frac{G}{1-2\nu} u_{k,kj}^* + \delta(x - \xi) e_j = 0 \quad (3.3.66)$$

În privința soluțiilor fundamentale, trebuie precizat că există mai multe clase de astfel de soluții, în metodologia adoptată vom considera numai soluțiile fundamentale ale lui Kelvin, considerând că domeniul Ω examinat de noi face parte dintr-un mediu infinit. În acest caz avem:

$$u_{ij}^*(\xi, x) = \frac{1}{16\pi(1-\nu)Gr} [(3-4\nu)\delta_{ij} + r_i \cdot r_j] \text{ - cazul tridimensional} \quad (3.3.67)$$

$$u_{ij}^*(\xi, x) = \frac{-1}{8\pi(1-\nu)G} [\delta_{ij}(3-4\nu)\ln r - r_i \cdot r_j] \text{ - cazul bidimensional} \quad (3.3.68)$$

$$p_{ij}^*(\xi, x) = \frac{-1}{4\alpha\pi(1-\nu)r^\alpha} \left\{ [\delta_{ij}(1-2\nu) + \beta r_i \cdot r_j] \frac{\partial r}{\partial n} - (1-2\nu)(r_i \eta_j - r_j \eta_i) \right\} \quad (3.3.69)$$

unde: $\alpha = 2, \beta = 3$ - pentru cazul tridimensional;
 $\alpha = 1, \beta = 2$ - pentru cazul bidimensional.

S-a notat:

$r = r(\xi, x)$ distanța dintre punctul fixat („punctul sursă”) și punctul curent x ;

$$r = (r_i r_i)^{1/2} \quad ; \quad r_i = x_i(x) - x_i(\xi) \quad \text{și} \quad r_i = \frac{\partial r}{\partial x_i(x)} = \frac{r_i}{r} \quad (3.3.70)$$

Pentru a obține în sfârșit ecuațiile integrale pe frontieră – punctul de plecare în M.E. Fr.- va fi suficient ca în identitatea lui Somigliana să facem pe ξ să tindă către un punct al frontierei. Se obține:

$$c_{ij}(\xi) u_j(\xi) + \int_{\Sigma} p_{ij}^*(\xi, x) u_j(x) d\Sigma(x) = \int_{\Sigma} u_{ij}^*(\xi, x) p_j(x) d\Sigma(x) + \int_{\Omega} u_{ij}^*(\xi, x) F_j(x) d\Omega(x) \quad (3.3.71)$$

unde:

$$c_{ij} = \left\{ \delta_{ij} + \lim_{\varepsilon \rightarrow 0} \int_{\bar{\Sigma}_\varepsilon} p_{ij}^*(\xi, x) d\Sigma(x) \right\} \quad (3.3.72)$$

Comentarii suplimentare se găsesc în [B36], [B72], [G1], [L6], [P34], [P50].

3.3.3.2. Cazul problemelor bidimensionale

Soluția fundamentală se găsește din ecuația:

$$\sigma_{jk,j}^* + \delta(\xi, x) e_j = 0 \quad j = 1, 2; \quad k = 1, 2 \quad (3.3.73)$$

și are o formă cunoscută din literatură. Pentru starea plană de deformare:

$$u_{ik}^* = \frac{1}{8\pi(1-\nu)} \left[(3-4\nu) \ln \frac{1}{r} \delta_{ik} + r_{,l} r_{,k} \right] \quad (3.3.74)$$

$$p_{lk}^* = \frac{-1}{4\pi(1-\nu)r} \left\{ \frac{\partial r}{\partial n} [(1-2\nu)\delta_{lk} + 2r_{,l} r_{,k}] - (1-2\nu)(r_{,l} n_k - r_{,k} n_l) \right\} \quad (3.3.75)$$

unde u_{ik}^* , p_{lk}^* sunt respectiv deplasările și tensiunile în direcția k produse de o forță unitară acționând în direcția l . Mărimile u_{ik}^* , p_{lk}^* se pot scrie pe componente sub formă de matrici:

$$u^* = \begin{bmatrix} u_{11}^* & u_{12}^* \\ u_{21}^* & u_{22}^* \end{bmatrix} \quad ; \quad p^* = \begin{bmatrix} p_{11}^* & p_{12}^* \\ p_{21}^* & p_{22}^* \end{bmatrix} \quad (3.3.76)$$

În mod cunoscut deplasările și tensiunile pe graniță ca și forțele de volum se pot scrie ca vectori coloană:

$$u = \begin{Bmatrix} u_1 \\ u_2 \end{Bmatrix} \quad ; \quad p = \begin{Bmatrix} p_1 \\ p_2 \end{Bmatrix} \quad ; \quad b = \begin{Bmatrix} b_1 \\ b_2 \end{Bmatrix} \quad (3.3.77)$$

Rezultatele sunt similare cu cele de la cazul tridimensional, numai că aici integralele de suprafață se reduc la integrale de contur, iar integralele de volum în care apar forțele de masă se reduc la integrale pe suprafață.

3.3.4. Prezentare a programului de element de frontieră BEASY 8.0

3.3.4.1. Caracteristici generale

Versiunea 8.0 a programului BEASY, care aduce multe noutăți și îmbunătățiri față de versiunea anterioară, a fost lansat pe piață în iunie 2002 de către firma Computational Mechanics Inc. din SUA.

Făcând o comparație cu versiunile anterioare, BEASY 8.0 dă timpi de soluționare mult mai buni a problemelor complexe, datorită îmbunătățirii tehnologiei BEASY de rezolvare a ecuațiilor. De asemenea BEASY poate rula acum pe orice versiune de sistem de operare Windows sau UNIX, inclusiv Windows NT, XP, incluzând de asemenea procesoare Pentium și Athlon și punând la dispoziție o documentație electronică de aproape 10000 de pagini.

Pentru a rula bine, programul BEASY necesită un monitor color de înaltă rezoluție, deoarece oferă și o parte grafică foarte bine pusă la punct; de asemenea necesită un minim de 16MB RAM, cu toate că ideal este să existe câteva sute de MB memorie RAM pentru a îmbunătăți performanțele în cazul modelelor complexe. Codul aplicației BEASY împreună cu fișierele de resurse atașate ocupă aproximativ 45MB. Alți 77MB ocupă programele demonstrative și exemplele, iar fișierele documentație necesită încă 206MB de memorie pe disc.

3.3.4.2. Etapele de realizare a unui model BEASY

În continuare vor fi prezentate pe scurt **etapele de realizare a unui model utilizând BEASY** sub Windows. Unele din aceste etape (de exemplu 3, 4, 5, 6) pot fi însă omise, funcție de modelul concret care se dorește a fi realizat.

1) Începerea unui nou model

- se selectează comanda **New** din meniul **File** (Fig.3.3.4.1) și din fereastra care apare (Fig.3.3.4.2) se selectează tipul de geometrie dorit;

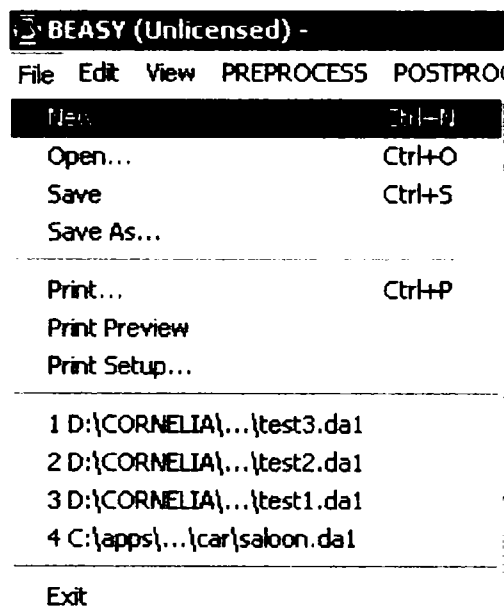


Fig. 3.3.4.1

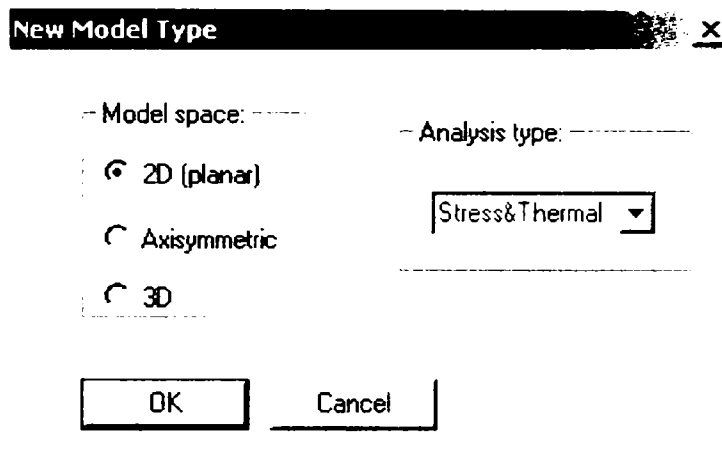


Fig. 3.3.4.2

- este util ca în această etapă să se salveze numele modelului utilizând comanda **Save** sau **Save As** din meniul **File**; oricum înainte de a trece la faza de rezolvare (analiză) a modelului (notată cu **8**), salvarea modelului este obligatorie; în caz că salvarea se face doar după faza de analiză sau de vizualizare a rezultatelor, nu vor mai putea fi aduse modificări ulterioare modelului în ceea ce privește crearea modelului (geometria sa, proprietățile de material, încărcarea sa).

2) Crearea modelului (faza de preprocesare)

- comenzile de generare a modelului sunt conținute în meniul **PREPROCESS** (Fig.3.3.4.3).

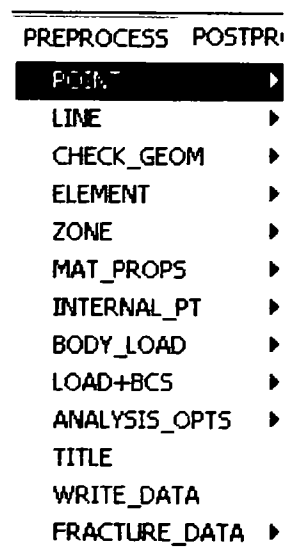


Fig. 3.3.4.3.

Pentru crearea modelului va trebui în mod simplu să urmărim opțiunile din meniul din figura alăturată pentru a crea puncte, linii, elemente, zone, a defini constantele de material, punctele interioare, condițiile de încărcare și de graniță etc.

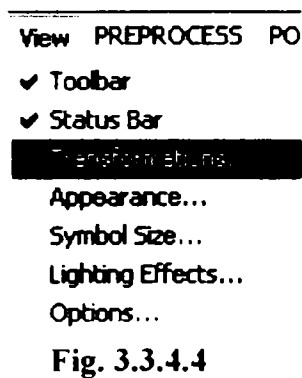
Totuși, ordinea de definire a entităților de mai sus nu este impusă, ci poate fi aleasă după dorință.

3) Redesenarea modelului

După fiecare modificare modelul poate fi redesenat utilizând comanda **REDRAW** din meniul **Global**.

4) Rotiri, mărimi/micșorări, zooming, panoramare

Modelul poate fi rotit dinamic, translatat panoramic etc., utilizând uneltele din panoul de transformări. Pentru a afișa acest panou se selectează comanda **Transformations** din meniul **View**(Fig.3.3.4.4) și apare fereastra din Fig.3.3.4.5.



De exemplu, pentru a mări doar o anumită parte a modelului se face uz alternativ de opțiunile **Zoom** și **Pan**, selectându-se cu mouse-ul zona de mărit (când e activă comanda **Zoom**), respectiv trăgând cu mouse-ul pentru o panoramare adecvată (când e activă comanda **Pan**). Sau se poate roti cu mouse-ul modelul, atunci când e activă opțiunea **Rotate**.

Utilizând iconurile din a doua jumătate a ferestrei **View Transform** se pot alege vederi specifice: de exemplu se poate face ca modelul să se potrivească mărimii ecranului, dacă se dă click pe icon-ul **Fit screen** (ultimul icon din panou)

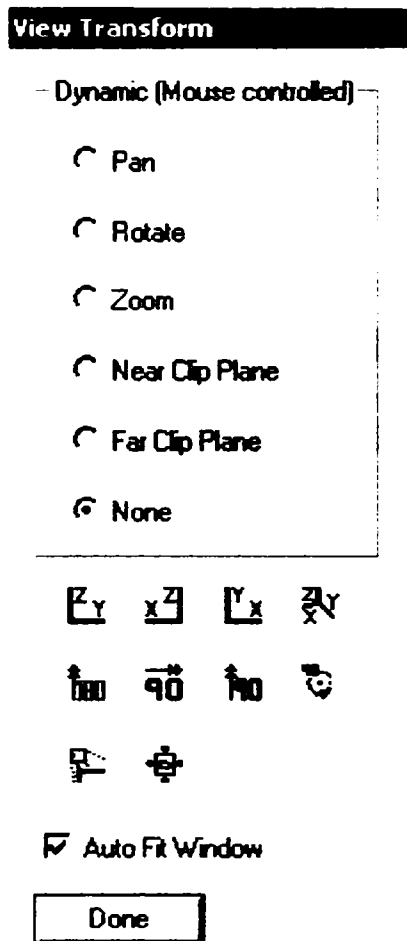


Fig. 3.3.4.5

Comanda **Appearance** din meniul **View** controlează care entități sunt afișate (Fig.3.3.4.6).

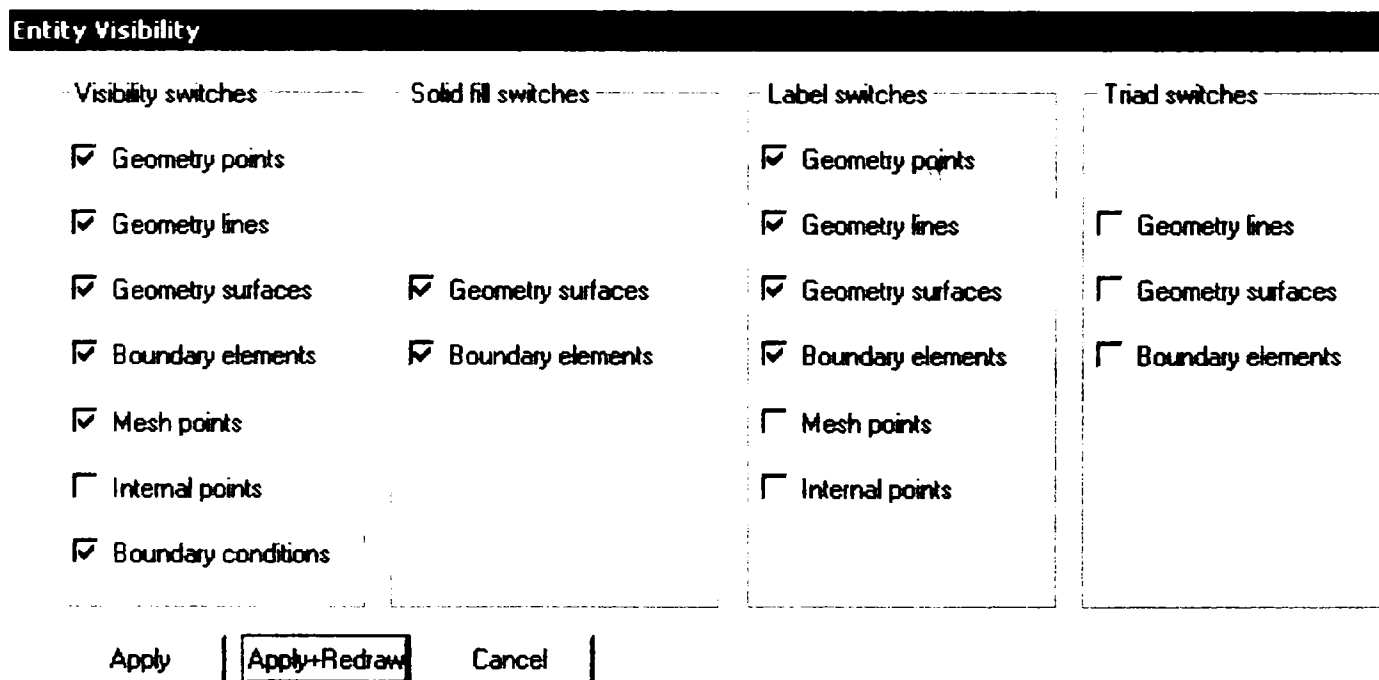


Fig.3.3.4.6

Inițial, pentru a vizualiza un model complicat, este recomandat ca toate entitățile să fie deselectate cu excepția elementelor, liniilor și suprafețelor. Când pe desenul modelului apar și

punctele interne, și cele de discretizare, și toate etichetele tuturor entităților, desenul devine prea încărcat și astfel prea greu și dificil de urmărit.

Observație: Pentru a vedea efectul oricărei modificări făcute setărilor pe această formă va trebui să se utilizeze comanda **REDRAW** din meniul **Global**.

5) Utilizarea mouse-ului pentru a manipula puncte, linii sau conexiuni

Există posibilitatea de a introduce/manipula date prin intermediul tastaturii sau utilizând mouse-ul, implicit fiind modul de lucru cu tastatura. Comutarea între cele două moduri de lucru se face prin intermediul comenzii **DATA_SOURCE** din meniul **Global**.

6) Crearea grupurilor

Grupurile pot fi utilizate pentru a simplifica informația afișată pe ecran. Meniul **GROUP** furnizează comenzi pentru a crea grupuri de elemente, linii de conectare etc. Grupul poate fi apoi selectat în vederea afișării, când se construiește modelul sau se afișează rezultatele

7) Salvarea modelului

- modelul se salvează utilizând comenzile **Save** sau **Save As** (când se dorește salvarea sub o altă denumire) din meniul **File**.

8) Rezolvarea modelului (faza de analiză)

Odată ce modelul este complet trebuie creat fișierul de date utilizând comanda **Write Data** din meniul **Interface**. Apoi se activează rezolvitorul utilizând comanda **Solve...** din meniul **Solve**. Această etapă creează un fișier având numele modelului dar extensia **.log**, fișier care conține mesajele generate de rezolvitor în urma analizei. Acest fișier, de tip text, se poate vizualiza cu comanda **View LogFile** din meniul **Solve**, și el conține eventualele avertizări, mesaje de eroare sau erorile fatale care au dus la eventuala întrerupere a rezolvării problemei.

9) Vizualizarea rezultatelor (faza de postprocesare)

Având rezolvată problema, se pot vizualiza rezultatele. Pentru a „citi” rezultatele se selectează comanda **READ_SOL’N** din meniul **INTERFACE**. Apoi se pot afișa rezultatele care interesează utilizând meniul **POSTPROCESS** (Fig. 3.3.4.7).

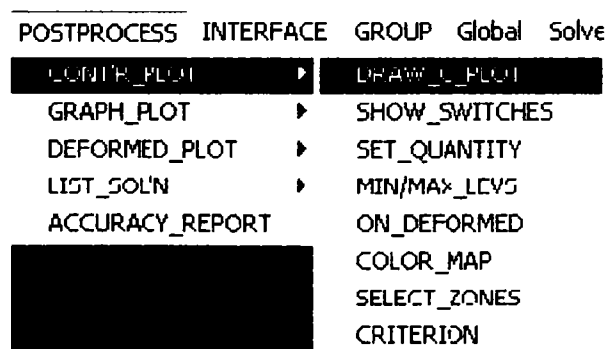


Fig. 3.3.4.7.

3.3.4.3. Câteva noțiuni fundamentale în BEASY

A. Elementele de frontieră

Elementele trebuie plasate pe toate frontierele externe și pe toate suprafețele de interfață sau liniile între subregiunile modelului. Acest paragraf ia în discuție diferitele tipuri de elemente disponibile în sistemul BEASY. Ca și în alte tehnici de analiză bazate pe elemente, este necesar a avea mai multe noduri sau elemente în părțile modelului în care condițiile și geometria se modifică rapid. De exemplu, într-o regiune de concentrație a tensiunilor elementele trebuie să fie mici. Elementele pot fi apoi gradate la dimensiuni mai mari în părți ale modelului în care comportarea este mai stabilă.

Numărul de elemente care ar trebui utilizate este o chestiune care necesită experiență din partea utilizatorului programului BEASY. Această alegere poate fi însă ghidată de către estimatorii de eroare furnizați de BEASY. Fiecare problemă este diferită, iar utilizatorii pot, având un pic de experiență, să decidă câte elemente să utilizeze pentru a avea un bilanț avantajos atât în ceea ce privește precizia, cât și timpul de execuție.

B. Tipuri de elemente pentru probleme 2D și axisimetrice

Pentru probleme 2D și axisimetrice, elementele de frontieră sunt linii. Acestea pot fi curbe. Fiecare element reprezintă comportarea de potențial sau tensiune a unei mici secțiuni a frontierei. Cu toate că toate elementele 2D și axisimetrice sunt la fel în această privință există un număr de tipuri de elemente diferite, dintre care utilizatorul poate alege. Toate elementele linie au trei puncte de discretizare rețea (în limba engleză „*mesh points*”), adică cele trei puncte geometrice definesc poziția și curbura elementului linie. Deoarece sunt trei puncte de discretizare rețea, geometria elementului poate fi pătratică. Acest lucru este adevărat chiar și pentru elementele de ordin mai redus (de exemplu liniare) – ele totuși au trei puncte de discretizare rețea astfel încât geometria poate fi curbă. Fiecare punct de discretizare rețea are un număr unic de identificare și poziția sa este definită prin coordonatele x,y,z în fișierul de date BEASY (*.DAT), care este citit în faza de analiza BEASY.

Fiecare element are de asemenea un număr de noduri. Acestea sunt pozițiile în care se calculează valoarea variabilelor problemei (de exemplu deplasarea după direcția x , temperatura, presiunea acustică). Numărul de noduri a unui element depinde de ordinul elementului. De exemplu un element liniar va avea două noduri, în apropierea fiecărui capăt al elementului. Valorile variabilelor în orice punct pe un element liniar sunt găsite prin interpolare liniară între aceste două puncte. Poziționarea nodală este calculată intern de către analiza BEASY. Pozițiile nodale sunt difinite de continuitatea elementelor. În majoritatea cazurilor nodurile și punctele de rețea de discretizare vor avea aceeași poziție, dar în anumite circumstanțe unde există o discontinuitate (de exemplu un vârf de fisură) locul lor va fi diferit.

Nodurile nu au numere de identificare unice, dar sunt referite printr-un sistem de numerotare local pentru fiecare element.

De exemplu un element linie pătratic are 3 noduri care sunt identificate simplu ca nodurile 1,2 și 3 pentru un element.

Nodurile nu apar în fișierul *.DAT. Tipurile de elemente 2D sunt cele prezentate în tabelul de mai jos (Tab. 3.3.1.1).

Elemente linie 2D și axisimetrice în BEASY

Ordinul elementului	Numele în fișierul *.DAT	Numărul de puncte de discretizare rețea	Numărul de noduri
Constant	L1	3	1
Liniar	L2	3	2
Pătratic	L3	3	3



Tab. 3.3.1.1.

Utilizatorul trebuie, în mod normal, să aleagă doar ordinul elementului, adică dacă elementul este constant, liniar sau pătratic. (Alegerea cu privire la continuitatea sau discontinuitatea unui nod o face BEASY automat.)

C. Zone

Zonele sunt grupuri de elemente care pot fi considerate ca substructuri ale componentei. Toate problemele vor avea minim o zonă. Zonele sunt separate de elementele de interfață. Acestea sunt create în exact același mod ca și elementele de frontieră, dar sunt în interiorul materialului. De definiția zonelor dintr-un model se ține cont în etapa de preprocesare în construirea unui model.

În ceea ce privește modelul de analiză, informația de zonă conținută în fișierul *.DAT definește:

- elementele care aparțin zonei
- eventuala simetrie care se aplică zonei
- eventualele puncte interne din zonă
- proprietățile de material ale zonei
- tipul zonei (adică infinită, semi-infinită, sau complet mărginită)

Fiecare zonă este tratată ca un model de element de frontieră de-sine-stătător pentru prima parte a analizei. Pentru fiecare zonă se generează un set de ecuații care descriu complet comportarea zonei. Aceste seturi de ecuații separate sunt îmbinate înainte de a fi rezolvate pentru a impune cuplajul între zone. Cuplajul poate lua o varietate de forme, depinzând de condițiile de interfață care au fost aplicate.

Câteva motive pentru a împărți un model în zone:

1. modelul constă din mai multe materiale diferite;

Fiecare zonă poate să aibe doar un singur set de proprietăți de material. Pentru a face calculul unor probleme ce conțin mai multe materiale, va fi necesar să se definească mai multe zone. Această caracteristică s-a utilizat cu succes și în cazul analizei problemelor cu anumite neliniarități în proprietățile lor de material. Un exemplu tipic este în proiectarea unor motoare sau altor componente care operează la temperaturi înalte. Pe un domeniu larg de variație a temperaturii, efectul temperaturii asupra modulului lui Young poate deveni considerabil în comportamentul tensiunii componentei. Programul BEASY suportă unele proprietăți de material dependente de temperatură și acest lucru va permite, de exemplu, ca modulul Young (E) să fie modificat la diferite valori în diferite zone ale modelului, depinzând de temperatura acelei zone a modelului. Temperatura fiecărei zone a modelului poate fi sau predefinită în analiză, sau calculată utilizând o analiză de potențial BEASY. Atunci valoarea adecvată a modulului lui Young poate fi utilizată pentru fiecare zonă a modelului.

2. modelul constă din regiuni de grosimi diferite;

În analiza 2D, grosimea zonei este definită ca o proprietate de material, grosimea fiind o constantă pentru întreaga zonă. Astfel, problemele care implică grosimi diferite pot fi simulate prin „spargerea” adecvată a modelului într-un număr corespunzător de zone.

3. geometria problemei este lungă și subțire;

Rezultatele elementelor de frontieră încep să se deterioreze în ceea ce privește calitatea atunci când raportul lățime/înălțime a zonelor din model devine excesiv de mare. Pentru a evita acest tip de problemă numerică, utilizatorii sunt sfătuiți să se asigure de faptul că zonele lor nu au raportul lățime/înălțime mai mari de 7/1. Dacă părți ale problemei sunt lungi și subțiri s-ar putea să fie necesar să se „spargă” modelul în zone cu un raport lățime/înălțime mai acceptabil.

4. pentru a evita existența elementelor apropiate spate-n-spate în aceeași zonă;

Din motive de calcul numeric nu este de dorit ca elementele de frontieră să stea față-n față vizavi de un mic gol dacă ele sunt în aceeași zonă. Această problemă poate fi de obicei foarte ușor depășită prin crearea de zone. Să considerăm ca exemplu un model BEASY pentru o placă

dreptunghiulară cu o creștătură ascuțită. Cu toate că acesta este un model de element de frontieră valid, el ar putea produce unele inadverențe locale datorită elementelor aflate pe ambele părți ale fisurii de creștătură și care se găsesc față-n față vizavi de un foarte mic gol. Modelul va trebui să utilizeze împărțirea în zone pentru a evita problema. Există și probleme la care grosimea golului mic se reduce la zero. Acest lucru se întâmplă adesea în aplicații de rupere, în care fisurile linie sunt adesea modelate. În aceste cazuri elementele ce modelează cele două suprafețe ale fisurii se află actualmente una peste alta. Cum condițiile de graniță acționează în sensul de a deschide fisura, nu va fi nevoie să se utilizeze elemente de contact neliniare, ci elemente de frontieră linie normale vor fi suficiente. Dacă problema nu este tratată ca o problemă bi-zonală, faptul că două elemente din aceeași zonă ocupă aceeași locație va cauza probleme grave, și aproape sigur programul se va opri din execuție înainte de vreme. Dacă modelul se va „sparge” în două zone, problema va fi complet rezolvată.

5. pentru a beneficia de avantajul facilității de ștergere a unor zone în programul BEASY;

Programul BEASY permite ca anumite zone să fie șterse din model. Această facilitate de ștergere zonă permite ca o analiză de tensiune să fie efectuată pe o parte a problemei pentru care s-a efectuat o analiză termică. Privind la modelul unui cilindru izolat putem observa că, cu toate că este esențial ca stratul izolant să fie modelat pentru a obține distribuția termică corectă, aceasta însă nu va juca nici un rol în determinarea tensiunilor termice care apar în cilindru. Astfel, dacă materialul izolant este modelat în analiza de tensiune, aceasta va conduce la un timp de calcul mai mare decât este necesar. Acest lucru este evitat în mod simplu dând comanda prin programul BEASY ca zona care corespunde stratului izolant să nu fie inclusă atunci când se efectuează analiza de tensiune.

6. pentru a aplica o condiție de interfață ca de ex. un resort sau un gol inițial;

Condițiile de interfață sunt simple condiții de frontieră care sunt aplicate elementelor pe interfețele zonelor. Dacă există vreo caracteristică de proiectare interioară materialului, atunci ar putea fi eficient să se „spargă” modelul în zone, pur și simplu pentru a crea un element într-o locație particulară adecvat pentru aplicarea unei condiții de interfață pentru modelarea caracteristicii. Un exemplu ar putea fi în proiectarea unei probleme de rotor de turbină. În acest exemplu există o conductă de răcire la latura de ieșire a paletei de turbină. În timp ce aceasta ar putea fi modelată ca o sursă de rezistență negativă, sursa linie poate primi doar o condiție de flux prescrisă, în timp ce unui element de interfață i se poate da o condiție de convecție. Astfel, este foarte eficient pentru această problemă a „sparge” modelul în zone pentru a aplica această condiție de interfață. (De notat faptul că acest model este de dorit a se „sparge” în zone și din motive geometrice).

7. pentru a reduce timpul de procesare și de memorare pe disc pentru probleme complexe.

Deoarece crearea de mai multe zone pentru un model BEASY adaugă elemente de interfață la model, și în consecință adaugă grade de libertate modelului, cineva ar putea gândi că acest lucru ar mări timpul de execuție și ar cere un spațiu mai mare de memorare. Însă practic se întâmplă exact opusul. O caracteristică utilă în „spargerea” unui model în zone este faptul că, în general, timpul de procesare necesitat de BEASY pentru a analiza problema se va reduce. De asemenea și spațiul de memorare pe disc se va micșora considerabil. Motivele pentru acest fapt sunt că matricile elementelor de frontieră se formează zonă cu zonă, astfel încât pentru fiecare zonă se formează un set de ecuații care descriu comportarea zonei ca și cum n-ar fi cuplată cu celelalte zone (astfel se explică cum funcționează facilitatea de ștergere a zonelor). Spațiul de memorare necesitat pentru a păstra în memorie matricile de zonă este mai mic decât dacă problema ar fi rezolvată ca fiind o singură zonă. În formarea matricilor de elemente de frontieră,

sunt efectuate integrări între *fiecare pereche* de elemente, cu scopul de a calcula influența unui element asupra altuia. Astfel numărul de operații de calcul necesitate pentru a efectua aceste integrări pentru o zonă este proporțională cu pătratul numărului de elemente din zonă. Să considerăm de exemplu un model uni-zonal având 10 elemente. Timpul de procesare al unității centrale pentru a efectua integrările pe această zonă este de 100 de unități. Să spargem acum modelul în două zone. Deoarece prin aceasta se adaugă elemente de interfață, să presupunem că acum fiecare zonă constă din 6 elemente. Pentru fiecare zonă timpul de procesare al unității centrale va fi de 36 de unități, rezultând un total de 72 de unități de timp de procesare. S-a realizat deci o economie de timp de 28%. Astfel, împărțirea în zone din acest motiv este foarte importantă pentru modele de tensiune mari 3D.

D. Simetria

Simetria este definită ca proprietate a zonei. Utilizarea simetriei poate să reducă foarte mult atât timpul de pregătire a datelor cât și timpul necesar execuției analizei BEASY. Simetria se poate utiliza dacă:

- pentru probleme 3D, geometria este simetrică cu privire la unul sau mai multe din planele de coordonate $x=0$, $y=0$ și $z=0$;
- pentru probleme 2D, geometria este simetrică cu privire la unul sau mai multe din planele de coordonate $x=0$ și $y=0$;
- pentru probleme axisimetrice, geometria este simetrică cu privire la planul de coordonate $z=0$;
- încărcarea este de asemenea simetrică;

În aceste cazuri doar 1/2, 1/4 sau 1/8 din geometrie trebuie definită (depinzând de numărul de plane de simetrie utilizat). În plus, planul de simetrie *nu ar trebui definit cu elemente*. Astfel nu este nevoie de elemente linie (și elemente de suprafață în 3D) pe planele de simetrie.

Dacă există simetrie, toate coordonatele trebuie să fie *pozitive*. Faptul că simetria poate fi definită doar în jurul planelor de coordonate $x=0$, $y=0$ și $z=0$ trebuie avut în vedere la începutul creării geometriei modelului, pentru că atunci trebuie decis unde se află originea și care direcții ale modelului vor fi reprezentate prin x , y , și z .

Modelele axisimetrice pot avea doar o simetrie în jurul planului $z=0$. Orice altă simetrie nu-și are sensul într-un sistem de coordonate (r, θ, z) . Modelele 3D pot avea până la 3 plane de simetrie. Pentru problemele 3D de tensiune este posibil a se defini o condiție *antisimetrică*, în care geometria este total simetrică, dar încărcările sunt oglindite în jurul planului de simetrie intervenind însă direcția lor. Această condiție e utilă pentru analiza unor probleme de torsiune și de încovoiere.

Definirea simetriei în BEASY se face *implicit*, adică atunci când nu sunt definite elemente în planul simetric și când programului BEASY i se spune că problema e simetrică.

Totuși, se permite și a defini *explicit* simetria, definind elemente pe planul de simetrie și aplicând condiții de frontieră de tip deplasare acelor elemente. În acest caz utilizatorul *nu* trebuie să spună programului BEASY că problema e simetrică, și problema trebuie tratată în același fel ca un model nesimetric cu un set specific de condiții de graniță. Simetria este simulată utilizând condiții de graniță pe acele elemente (de exemplu într-o analiză de tensiuni se utilizează impunerea deplasării normale nule). E bine a se utiliza această simetrie „explicită” atunci când ar implica adăugarea doar a unui mic număr de elemente în planul de simetrie în comparație cu numărul de elemente din restul modelului. Acesta deoarece definirea simetriei implicite a programului BEASY cauzează unele calcule adiționale și deci timp de execuție suplimentar.

E. Punctele interne

Acestea sunt puncte care se află în interiorul materialului care se analizează, puncte în care BEASY găsește rezultatele de potențial sau tensiuni, de exemplu la sfârșitul analizei

efectuate. Ele sunt entități de zonă deoarece aparțin zonei în care au fost localizate fizic. Ele sunt utilizate din două motive generale:

- pentru a găsi rezultatele BEASY într-un anumit punct sau linie de puncte în interiorul materialului. Acest mod de utilizare al punctelor interne permite utilizatorului să investigheze comportarea internă a componentelor fără a fi asaltat cu informații din toate părțile modelului.
- Pentru a face graficele de contur cu rezultate mai netede și mai precise pentru aplicațiile 2D și cele axisimetrice. În acest scop este indicat a împrăștia câteva puncte interne în regiune, concentrându-le în zonele cu o foarte mare variație a rezultatelor.

Observație: Este foarte important ca punctele interne să nu fie plasate pe frontieră. Ele nu trebuie plasate de asemenea nici pe elemente de interfață. Totuși, ele pot fi definite aproape de frontieră. Trebuie avut în vedere că punctele interne sunt proprietăți de zonă. Dacă un punct intern nu se află efectiv în zona în care este definit, atunci se vor produce rezultate incorecte pentru acel punct.

F. Reguli cu privire la condițiile de graniță

Prima zonă (această fiind prima zonă creată, care nu este în mod necesar cea cu numărul de identificare 1) trebuie întotdeauna să aibe impuse condiții care să împiedice mișcarea de solid rigid. Acest lucru înseamnă că pentru prima zonă:

- într-o analiză de transfer de căldură trebuie dată cel puțin o valoare de potențial sau o condiție convectivă. Nu este suficient să dăm doar condiții de frontieră de densitate a fluxului, deoarece atunci vor fi un număr infinit de soluții pentru acea problemă.
- într-o analiză de tensiune, modelul nu are voie să fie liber să se miște în nici o direcție. Astfel, pentru un model axisimetric, zona trebuie restricționată pe direcția z , un model 2D trebuie restricționat pe direcția x și y și un model 3D trebuie restricționat pe direcțiile x , y și z . Aceste restricții trebuie aplicate chiar dacă nu este nici o încărcare în acea direcție, și pot fi aplicate utilizând fie condiții de deplasări, fie condiții de arcuire elastică.

Dacă modelul are un plan de simetrie, acest lucru va furniza o condiție în una din direcțiile de coordonate, deoarece mișcarea de solid rigid nu poate avea loc perpendicular pe planul de simetrie. În acest caz nu este necesar a se mai da nici o altă restricție în această direcție. O situație similară există pentru plane de antisimetrie, cu excepția faptului că aici deplasarea nu poate avea loc paralel cu planul. (A se observa de asemenea faptul că pentru antisimetrie nu este nici o condiție în direcția perpendiculară pe plan.) În plus, este de asemenea necesar a se verifica faptul ca modelul să nu sufere o rotație în jurul unei axe oarecare. BEASY efectuează întotdeauna o verificare pentru a determina dacă există o astfel de rotație, și este posibil să apară mesaje de avertizare cu privire la efectele de solid rigid în fișierul *.log*, generat în urma etapei de analiză BEASY (inițiată de comanda **Solve...** din meniul **Solve**).

3.3.4.4. Exemplu de calcul BEASY pentru placa cu gaură circulară

În continuare voi prezenta în detaliu rezolvarea cu programul BEASY a unei platbenzi dreptunghiulare având în centru un orificiu circular de diametru $2a$, platbandă solicitată simetric la tracțiune axială de către o forță concentrată F (este situația problemei test nr.I, numit, în cazul plăcilor infinite “problema Kirsch”).

În mod concret voi considera următoarea geometrie (Fig. 3.3.4.8), care va fi analizată și fotoelastic în capitolul 5, §5.6.2. - cazul 2:

- grosimea plăcii: 6 mm
- lățimea $h=70$ mm
- lungimea $l=212$ mm
- distanța dintre punctele de aplicație a forței $d=188$ mm
- modulul de elasticitate longitudinală $E=2850$ N/mm²

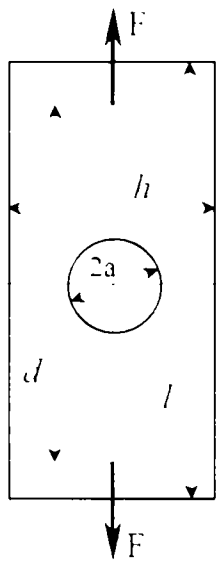


Fig. 3.3.4.8

- coeficientul lui Poisson $\nu = 0.33$
- forța de tracțiune $F = 300$ N (cazul apariției franjei a 2-a)
- diametrul găurii $2a = 35$ mm

Pentru a descrie această geometrie, care este simetrică atât față de axa Ox cât și față de axa Oy , este suficient a crea în BEASY un model pentru un sfert din această placă, utilizând simetria explicită.

Faza de preprocesare se va începe cu definirea coordonatelor punctelor pentru sfertul de placă, conform cu Fig. 3.3.4.9., utilizând comanda **PREPROCESS** → **POINT** → **POSITION** și introducând de la tastatură coordonatele x și y ale fiecărui punct.

Imediat după definirea punctelor se poate trece la legarea acestora prin linii și respectiv arc de cerc, utilizând comenzile **PREPROCESS** → **LINE** → **END_PTS** (și introducând pentru fiecare linie identificatorul punctului de început și identificatorul punctului de sfârșit de linie), respectiv

comanda **PREPROCESS** → **LINE** → **CIRCULAR_ARC** (și introducând pe lângă cei doi identificatori ai punctelor de început și sfârșit de arc și identificatorul punctului care este centrul cercului din care face parte arcul).

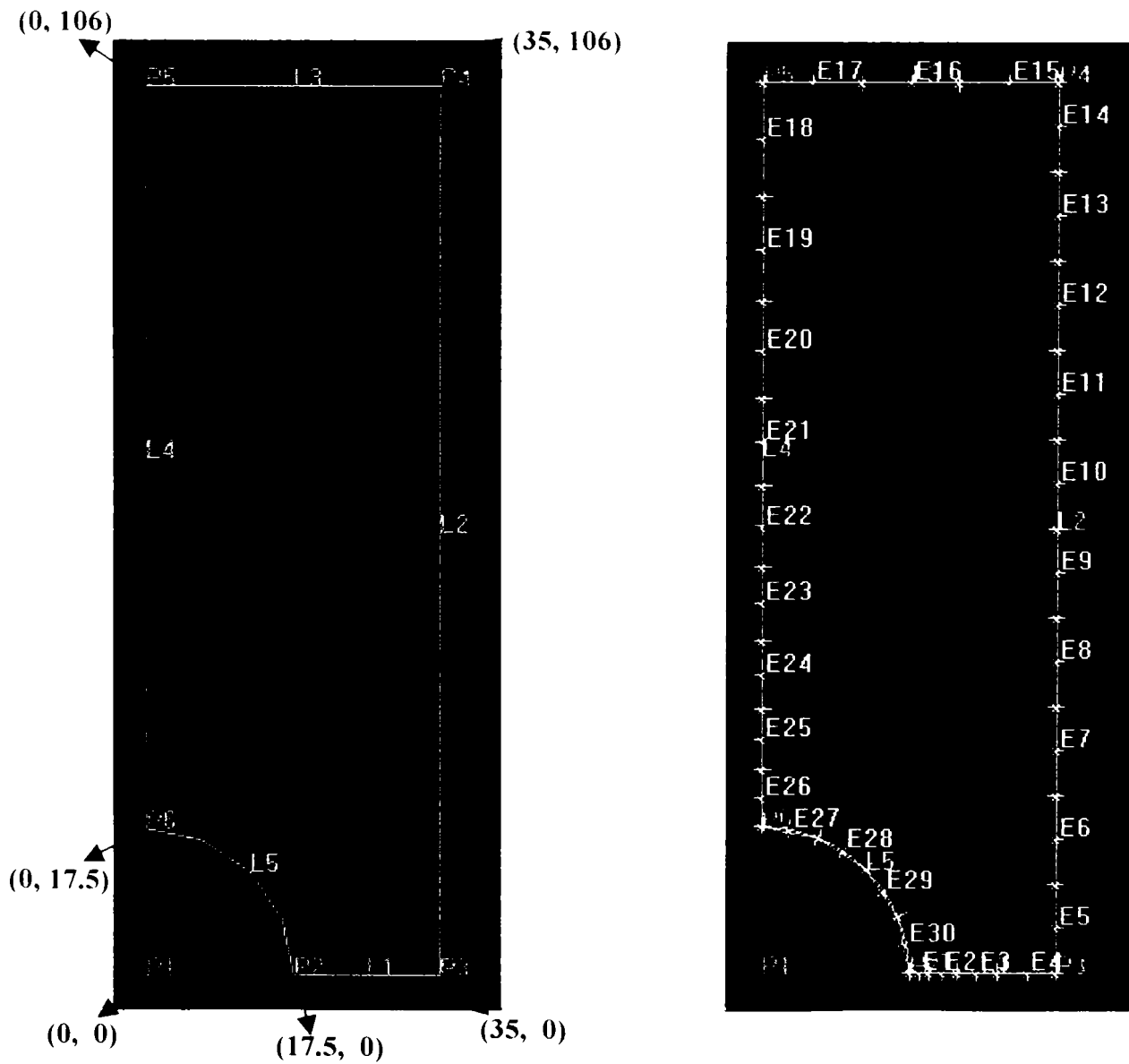


Fig. 3.3.4.9

Fig.3.3.4.10

Observație: Este foarte important ca atunci când se definesc liniile ele să aibă ca sens de parcurgere (punct de început → punct de sfârșit) acel sens în care în partea stângă a liniei materialul este plin (aparține modelului), iar în partea dreaptă a liniei nu este material. Aceasta în cazul în care liniile sunt linii de frontieră, și nu doar linii care să despartă între ele două zone ale aceluiași model. În acest ultim caz vor trebui definite liniile externe și cele interne materialului cu comenzile **PREPROCESS → ZONE → OUTWARD_LINE** respectiv **PREPROCESS → ZONE → INWARD_LINE**.

Pasul următor îl constituie discretizarea frontierei în elemente de frontieră. Aceasta se face cu ajutorul comenzii **PREPROCESS → ELEMENT → MANUAL_MESH**. Deoarece este indicat ca în zonele critice, cu concentratori de tensiune sau cu schimbări bruște ale geometriei, să se aleagă elemente de frontieră mai mici, iar pentru restul modelului elemente de frontieră de dimensiuni mai mari (v. Fig. 3.3.4.10), s-a ales ca pe liniile L2 și L3 și L5 să se definească elemente de frontieră de lungime constantă, (dând pentru fiecare linie identificatorul ei și numărul de elemente egale în care să se împarte respectiva linie) și pentru L1 și L4 să se definească elemente de frontieră cu lungime variabilă, astfel:

```
1 -204
2 10
3 3
4 209
5 4
```

În codificarea de mai sus s-a arătat modul de introducere de la tastatură a datelor necesare discretizării celor cinci linii, L1, L2, ..., L5. Primul număr reprezintă identificatorul liniei (1, 2, 3, 4 sau 5), iar cel de-al doilea, dacă este format din maxim două cifre, reprezintă numărul de elemente de frontieră de dimensiune egală în care să fie discretizată linia, respectiv dacă acest număr conține mai mult de două cifre atunci:

- ultimele două cifre vor indica numărul de elemente în care să fie discretizată linia;
- prima/primele cifre reprezintă de câte ori primul element al liniei să fie mai mare decât ultimul element al liniei – dacă numărul e pozitiv, respectiv de câte ori primul element al liniei să fie mai mic decât ultimul element al liniei – dacă numărul e negativ.

În cazul de față numărul -204 indică faptul că pe linia 1 s-au ales 4 elemente, din care primul e de două ori mai mic decât ultimul, adică mărimea elementelor va crește dinspre gaură spre marginea platbenzii.

Analog numărul 209 indică faptul că pe linia 4 s-au ales 9 elemente din care primul e de două ori mai mare decât ultimul, adică mărimea elementelor va descrește dinspre extremitatea platbenzii către gaură.

După terminarea creării elementelor e bine să se elimine punctele de discretizare rețea care coincid, și acest lucru se face utilizând comanda **PREPROCESS → ELEMENT → MERGE_MP**, urmată de o valoare minimă pentru distanța între două puncte de discretizare pentru ca acestea să fie considerate că se suprapun (coincid). Punctele de discretizare rețea sunt pozițiile care definesc forma elementelor, și la capetele liniilor (sau la marginile elementelor de suprafață în 3D) s-au creat cu siguranță puncte de discretizare multiple. A nu elimina aceste dubluri nu este o eroare fatală, (singurul efect fiind lungirea timpului de rezolvare a problemei), dar este mai bine a se proceda după cum s-a arătat mai sus. În cazul problemei noastre s-a ales pentru această distanță critică valoarea 0.5.

Pasul următor este definirea constantelor de material. Aceasta se face cu comanda **PREPROCESS → MAT_PROPS → YOUNG'S_MODULUS**, pentru a introduce valoarea de 2850 pentru modulul de elasticitate longitudinală E, comanda **PREPROCESS → MAT_PROPS → POISSON_RATIO**, pentru a introduce valoarea de 0.33 pentru coeficientul lui Poisson, și comanda **PREPROCESS → MAT_PROPS → THICKNESS** pentru a introduce valoarea 6 ca grosime a plăcii.

Urmează faza de definire a punctelor interne (v. Fig. 3.3.4.11 și 3.3.4.12).

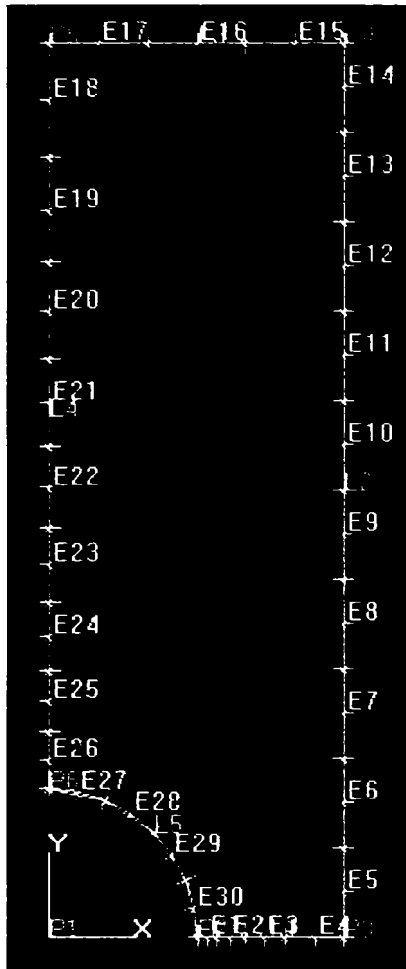


Fig. 3.3.4.11

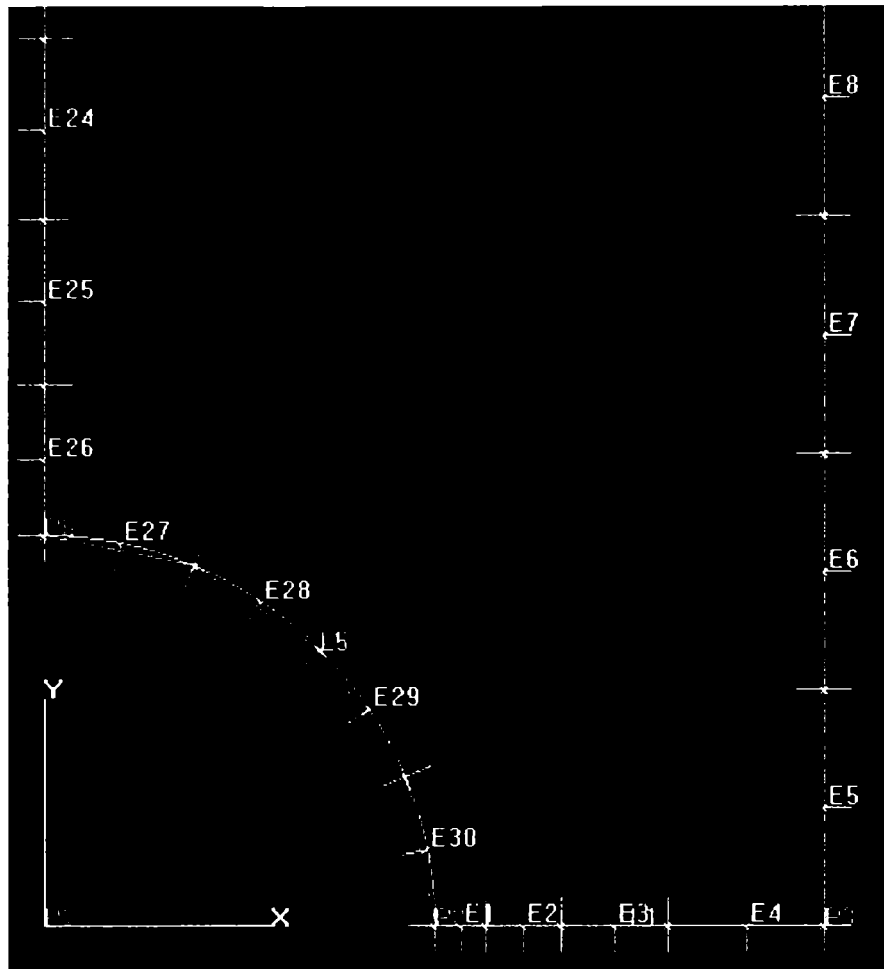


Fig. 3.3.4.12

Deoarece punctele interne le utilizăm doar pentru a rafina și egaliza aspectul graficelor pe curbe de nivel, nu este important să cunoaștem cu precizie coordonatele acestor puncte. De aceea e mai simplu a împrăști doar aceste puncte cu mouse-ul în interiorul zonei de interes. Pentru aceasta se comută controlul de la tastatură la mouse utilizând comanda **Global** → **DATA_SOURCE** și se setează faptul că se dorește ca punctele interne să fie vizibile pe desen prin bifarea opțiunii **Internal Points** din cheneară **Visibility switches** care apare după alegerea comenzii **View** → **Appearance...** Apoi se alege comanda de generare a punctelor interne **PREPROCESS** → **INTERNAL_PT** → **POSITION** și se execută clickuri de mouse în punctele care se doresc a fi puncte interne (Fig. 3.3.4.11). Deoarece în preajma găurii tensiunile și deformațiile vor fi mai mari, se mărește un pic zona din apropierea găurii (cu **View** → **Transformations...** opțiunea **Zoom** și eventual **Pan**) și din nou se dă comanda de generare puncte interne și se dau clickuri de mouse în această zonă, măbind densitatea punctelor interne din jurul găurii (v. Fig. 3.3.4.12).

Deoarece vom dori în final să aflăm tensiunile în câteva din punctele cele mai apropiate de gaură din jurul celor două axe, x și y, va trebui să ne notăm etichetele acelor puncte interioare, în care, ulterior printr-un grafic vom afla tensiunile.

De aceea mărim și mai mult zona de interes și setăm tot prin **View** → **Appearance...**, de data aceasta opțiunea **Internal Points** din cheneară **Label switches**, pentru a obține imaginile din Fig. 3.3.4.13 și Fig. 3.3.4.14 și a ne nota etichetele punctelor interne de interes (de exemplu 148, 130, 147 și 128 pentru cele din apropierea axei Ox și 94, 144 și 145 pentru cele din apropierea axei Oy). Numărul acestor etichete îl vom necesita mai târziu, când vom dori afișarea tensiunilor σ_{xx} și σ_{yy} în aceste puncte.

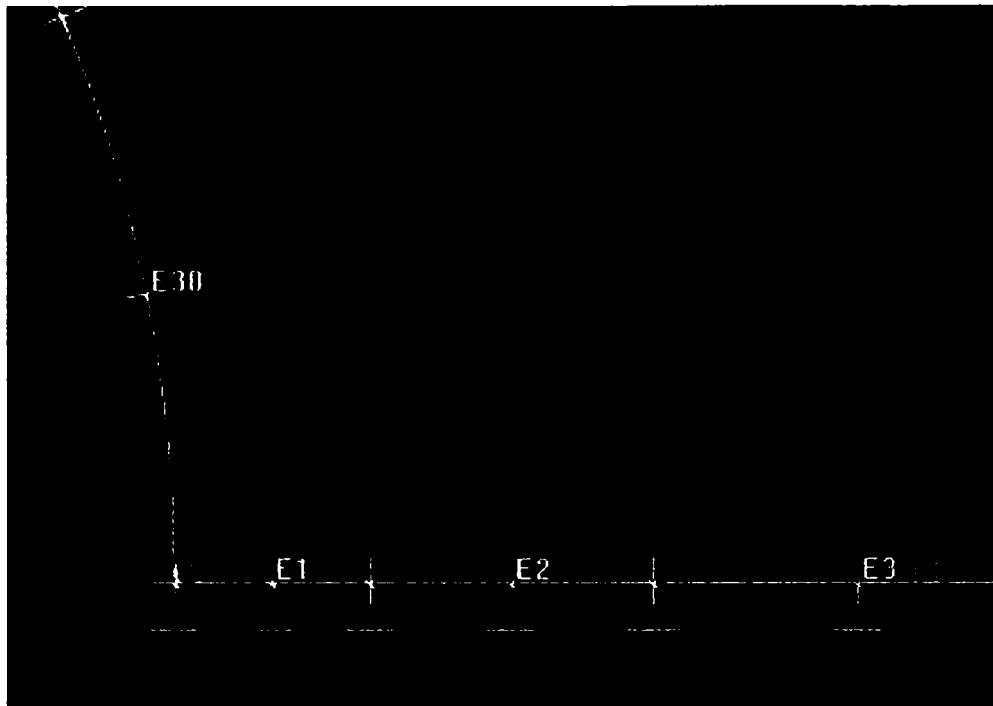


Fig. 3.3.4.13

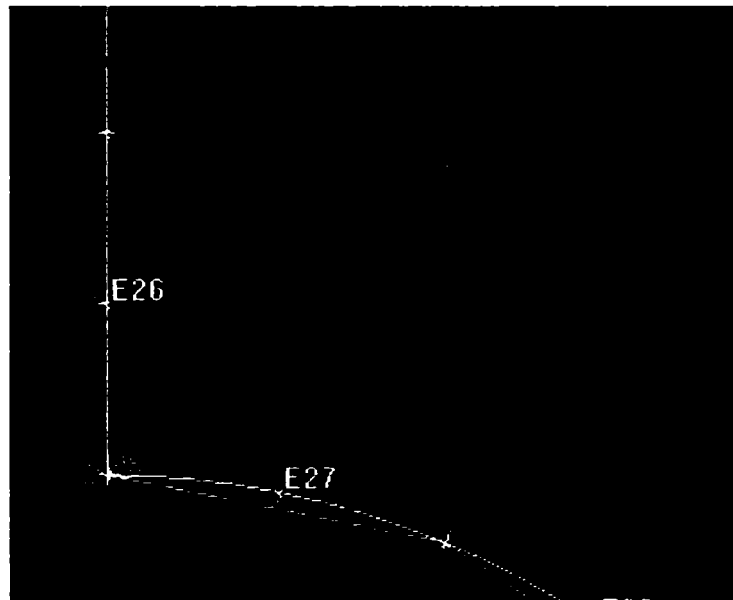


Fig. 3.3.4.14

În continuare vom stabili încărcarea modelului. Pentru aceasta va trebui mai întâi să definim punctul de aplicare al forței de tracțiune. Acest lucru se face numai după alegerea comenzii **Global** → **LOAD_GEOM**, și anume tot cu comanda **PREPROCESS** → **POINT** → **POSITION** și introducând de la tastatură coordonatele (x,y), în cazul nostru 0 și 94 pentru punctul de aplicație al forței. Pe desen se generează punctul LP1 (notat cu galben – v. Fig. 3.3.4.15).

Pentru a defini forța de tracțiune se alege acum comanda **PREPROCESS** → **BODY_LOAD** → **PT_FORCE** și se introduce de la tastatură 1 2 300, ceea ce reprezintă:
 1 – identificatorul punctului aplicare a sarcinii (LP1)
 2 – direcția y în care acționează forța (ar fi fost 1 pentru direcția x)
 300 – valoarea forței în Newton

Pe desen (Fig. 3.3.4.15) apare săgeata galbenă de la punctul LP1 în sus, care reprezintă forța F.

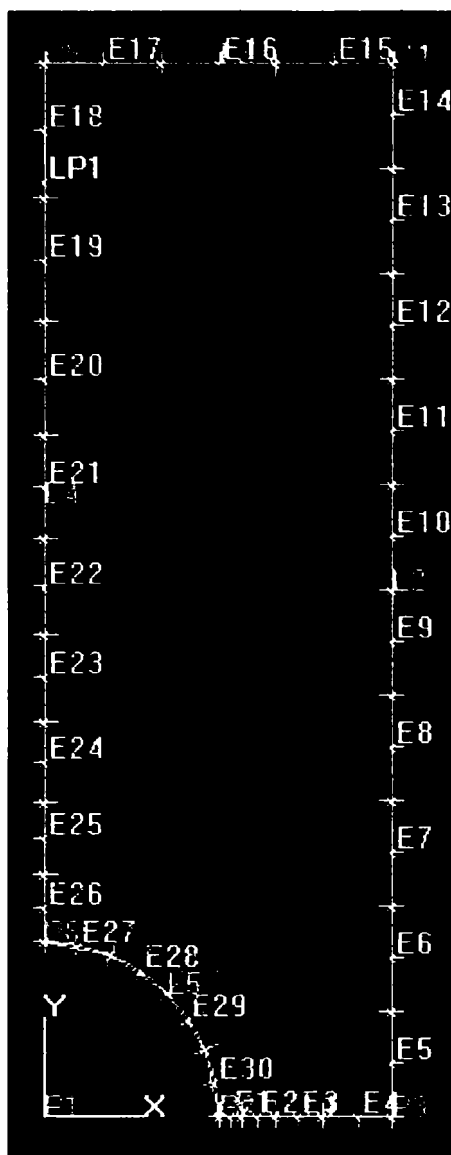


Fig. 3.3.4.15

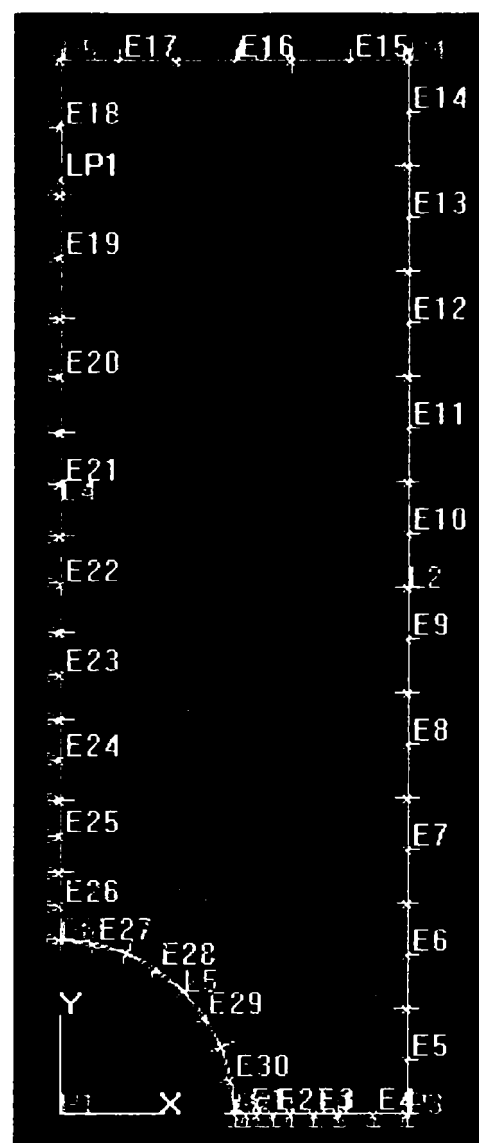


Fig. 3.3.4.16

Urmează impunerea condițiilor de frontieră. Deoarece în cazul de față alegerea simetriei explicite ar implica adăugarea doar a unui mic număr de elemente în planul de simetrie în comparație cu numărul de elemente din restul modelului, am ales-o pe aceasta în locul simetriei implicite, în care ar fi trebuit să spunem programului BEASY că problema e simetrică. Astfel câștigăm puțin timp de execuție, dar trebuie să punem condiții de graniță după direcțiile x și y. În cazul de față este suficient să impunem ca pe liniile de simetrie L1 (axa Ox) și respectiv L4 (axa Oy) deplasările să fie nule pe direcția perpendiculară pe linia respectivă. Practic se realizează o rezemare simplă pe cele două linii (v. Fig. 3.3.1.16).

Comenzile prin care se realizează cele prezentate mai sus sunt **PREPROCESS** → **LOAD+BCS** → **LINE_STRESS_BC** → **DISPLACEMENT**, după care se introduce de la tastatură: $1 \ y \ 0$ (însemnând că pentru linia L1 se impune ca deplasarea după direcția y să fie 0) și $4 \ x \ 0$ (însemnând că pentru linia L4 se impune ca deplasarea după direcția x să fie 0)

Ca urmare pe desenul modelului apar rezămele de culoare verde din Fig. 3.3.4.16.

În clipa aceasta faza de preprocesare se poate considera încheiată și e bine să salvăm modelul în această fază (cu comenzile **File** → **Save** sau **File** → **Save As**). Dacă ulterior fazei de analiză sau postprocesare se mai doresc modificări asupra geometriei sau încărcării modelului, aceste modificări se vor putea efectua încărcând din nou modelul salvat în această fază, de dinainte de analiză și postprocesare. Dacă ulterior analizei și postprocesării se salvează din nou modelul sub vechea denumire (cu comanda **Save** în loc de **Save As**), nu vor mai putea fi făcute modificări care țin de faza de preprocesare.

În continuare se trece la faza de rezolvare a problemei (numită și de analiză). Pentru aceasta trebuie creat fișierul de date utilizând comanda **Write Data** din meniul **Interface**. Apoi se activează rezolvitorul utilizând comanda **Solve...** din meniul **Solve**. Această etapă creează un fișier având numele modelului dar extensia **.log**, fișier care conține mesajele generate de rezolvitor în urma analizei. Acest fișier, de tip text, se poate vizualiza cu comanda **View LogFile** din meniul **Solve**, și el conține eventualele avertizări, mesaje de eroare sau erorile fatale care au dus la eventuala întrerupere a rezolvării problemei.

Pentru a vizualiza rezultatele trebuie mai întâi „citite” rezultatele cu comanda **READ_SOL'N** din meniul **INTERFACE**. Apoi, în ultima fază, cea de postprocesare, se afișează rezultatele care interesează utilizând meniul **POSTPROCESS**, astfel: cu comanda **POSTPROCESS** → **CONTR_PLOT** → **SET_QUANTITY** se alege (din nou codificat!) mărimea ce urmează să o afișăm grafic, iar cu comanda **POSTPROCESS** → **CONTR_PLOT** → **DRAW_C_PLOT** apare pe ecran graficul conținând curbe de nivel pentru modelul studiat.

De exemplu, dacă în urma comenzii **SET_QUANTITY**, se alege una din următoarele mărimi codificate astfel:

Tracțiune	6	1/2 (1=x,2=y)	Deplasări relative	12	1/2
Deplasare	7	1/2 (1=x,2=y)			(1=x,2=y)
Tensiuni normale	8	1/2,4 (1=SIG-xx,2=SIG-yy,4=SIG-zz)	Deplasare rezultantă relativă	13	
Tensiunea tangențială	9	1 (1=TOR-xy)	Tensiune hidrostatică	14	
Tensiuni principale	10	1/2,4 (1=MIN,2=MAX,4=Intermed.)	($\text{Sqrt}(S1**2+S2**2+S3**2)/3$)		
		(-ve=algebraic,-ve=absolute)	Amplitudinea deplasării rezultante	17	
Tensiuni efective	11	1/2 (1=Von Mises,2=Tresca)	Norma erorii de tensiune	19	

și se dă apoi comanda **DRAW_C_PLOT**, se obține, funcție de mărimea aleasă unul din graficele de mai jos (**Fig. 3.3.4.17**, **Fig.3.3.4.18**, ..., **Fig.3.3.4.27**).

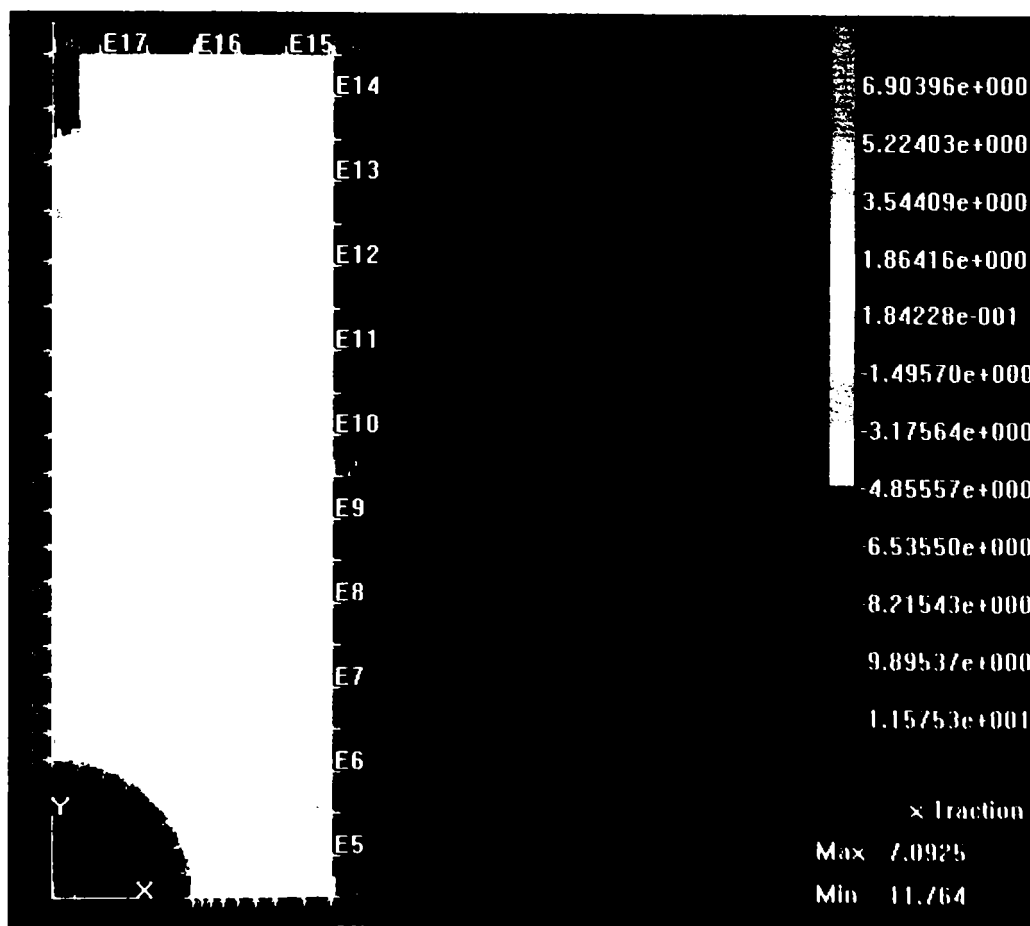


Fig. 3.3.4.17 Tracțiunea după direcția x

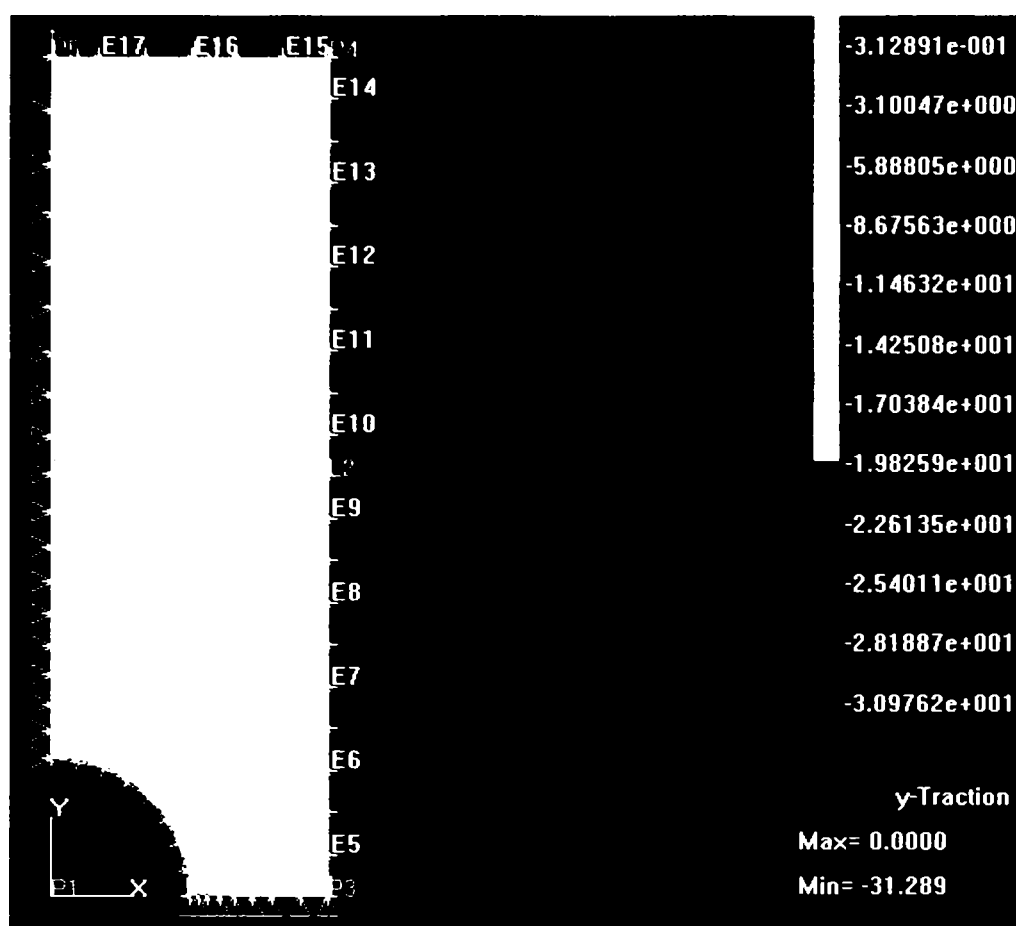


Fig.3.3.4.18 Tracțiunea după direcția y

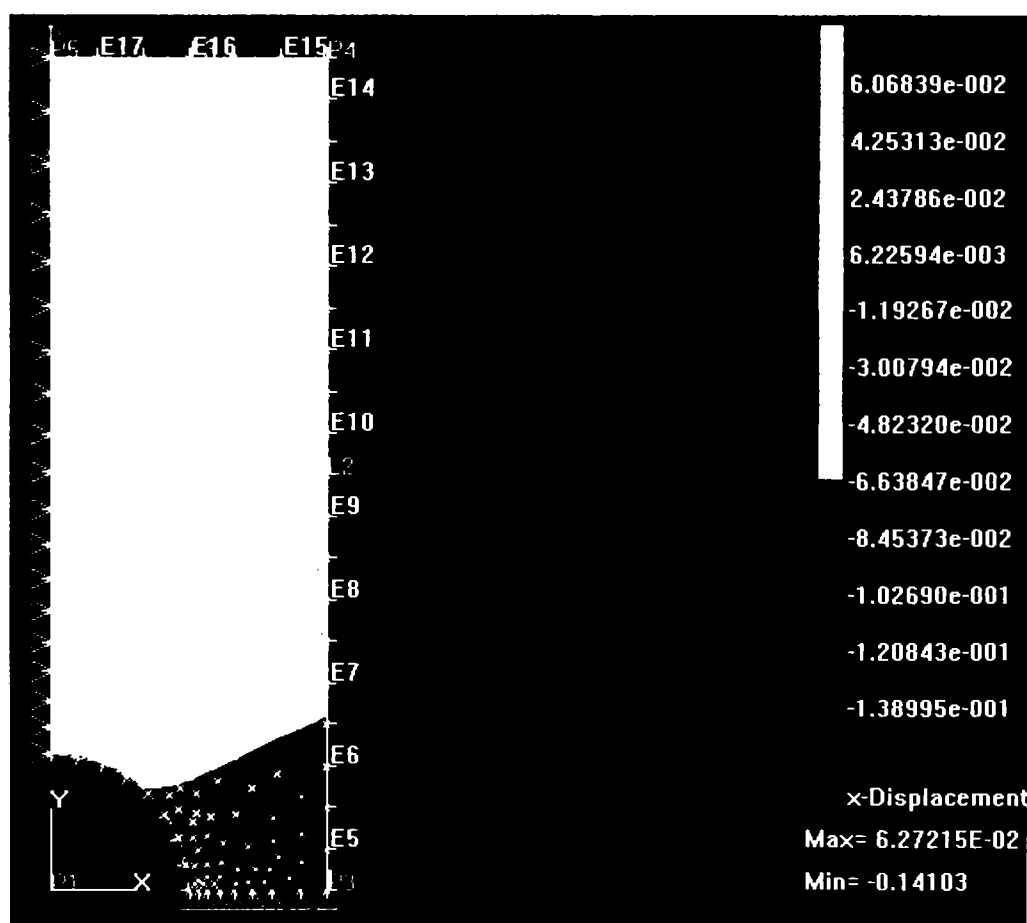


Fig.3.3.4.19 Deplasarea după direcția x

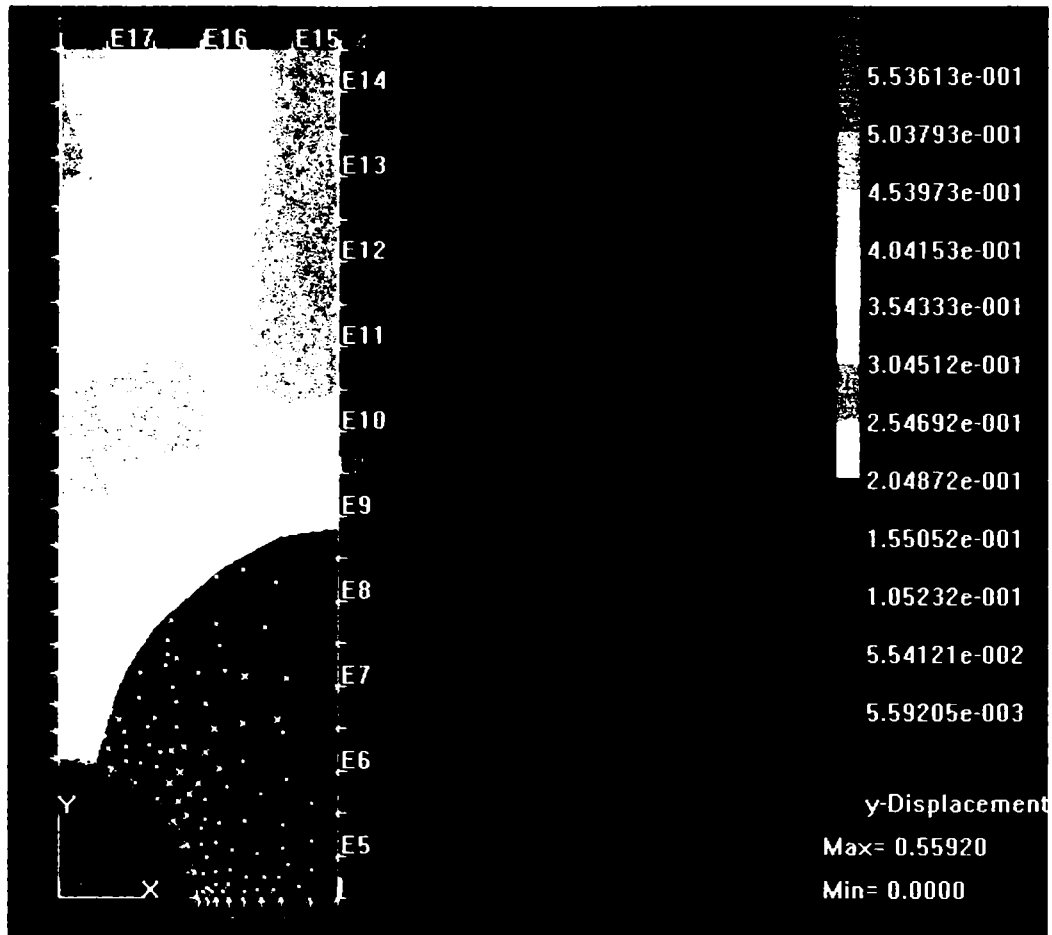


Fig.3.3.4.20 Deplasarea după direcția y

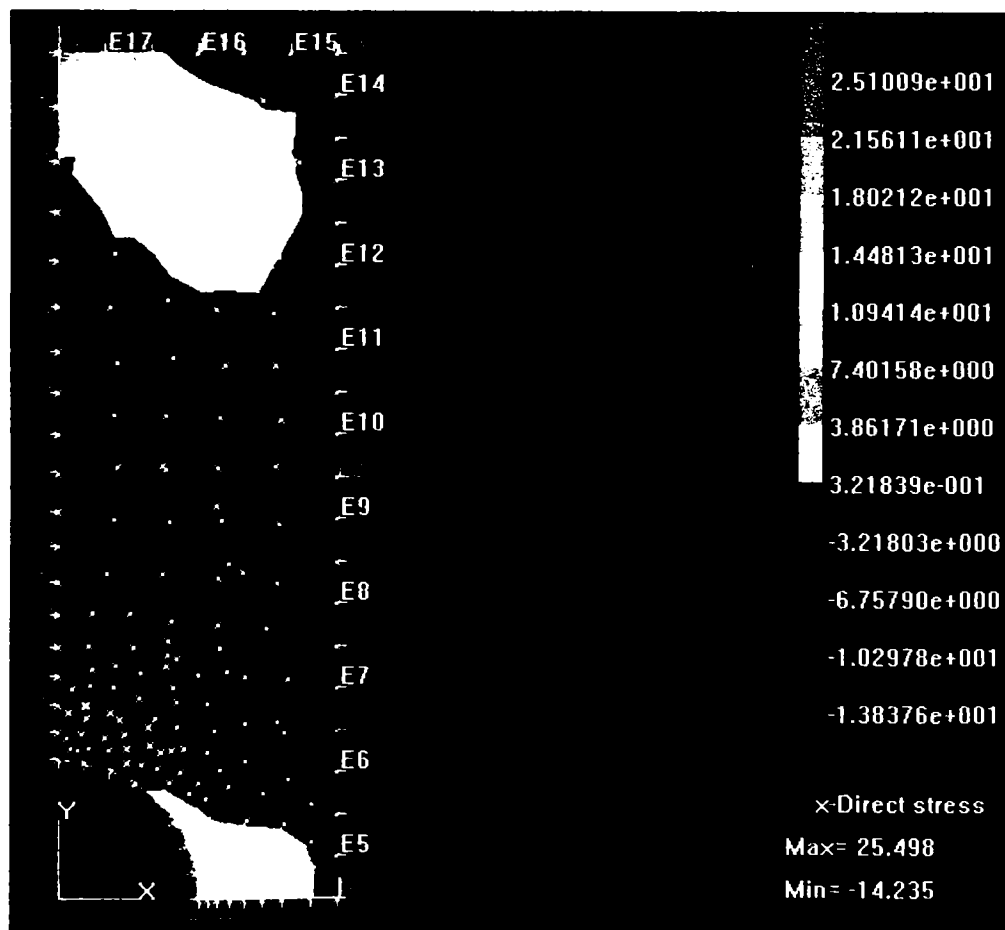


Fig.3.3.4.21 Tensiunea σ_{xx}

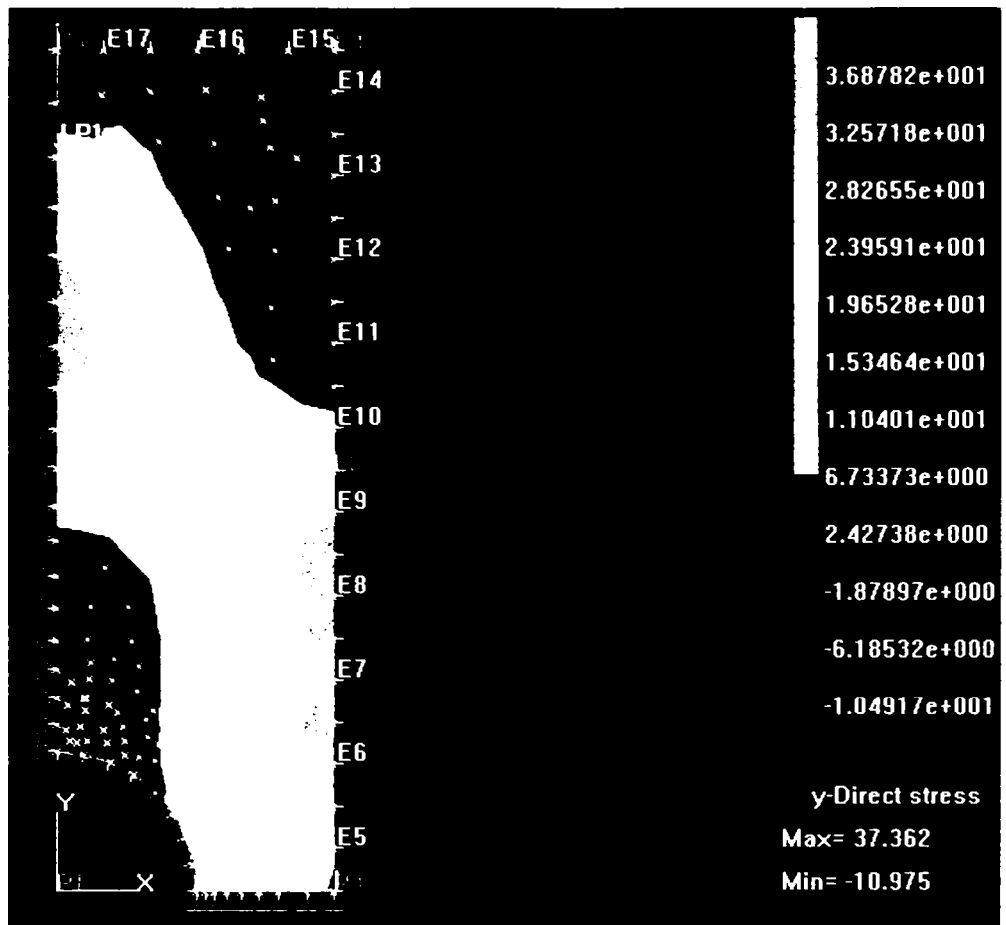


Fig.3.3.4.22 Tensiunea σ_{yy}

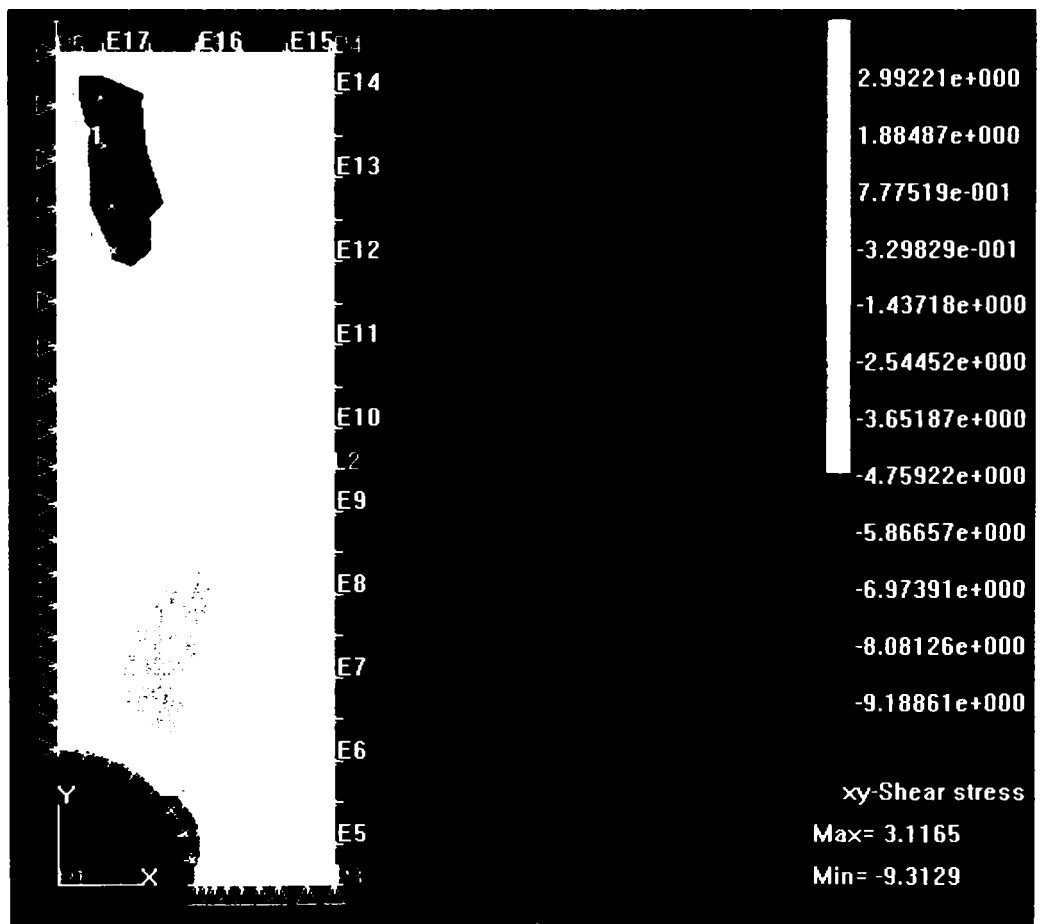


Fig.3.3.4.23 Tensiunea τ_{xy}

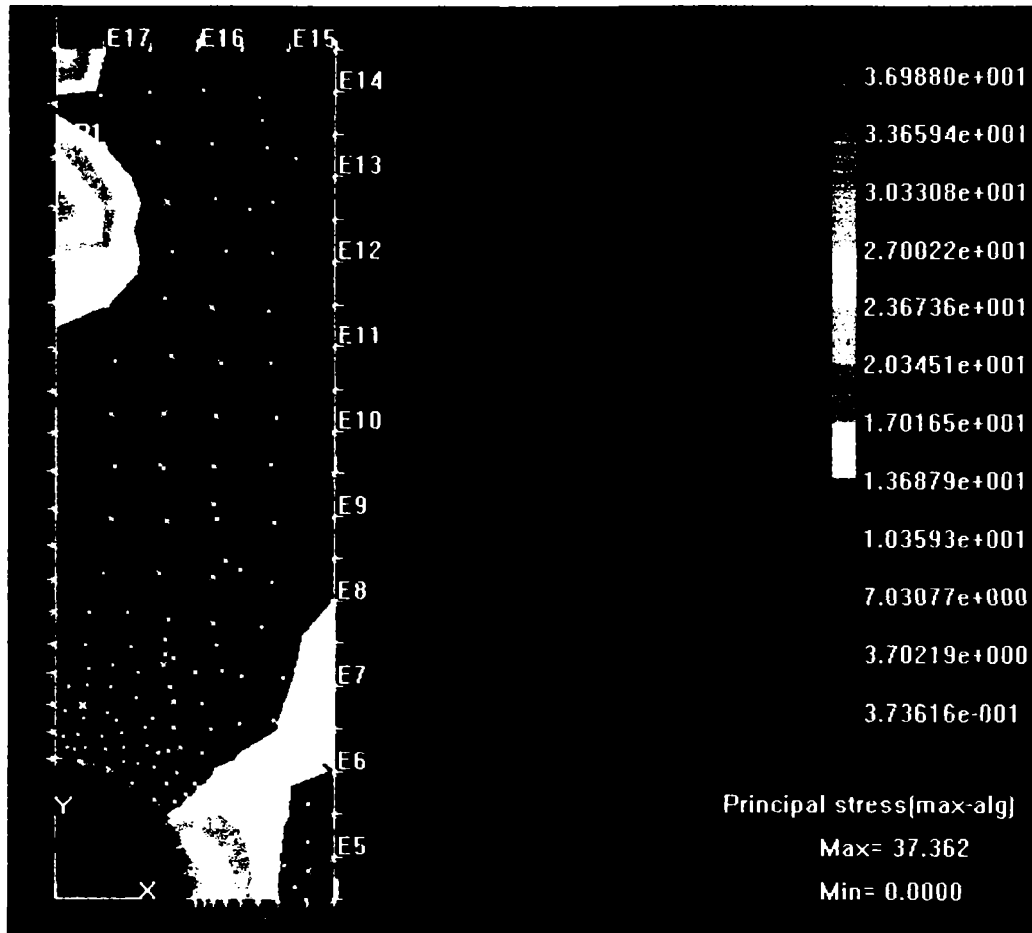


Fig.3.3.4.24 Tensiunea principală maximă

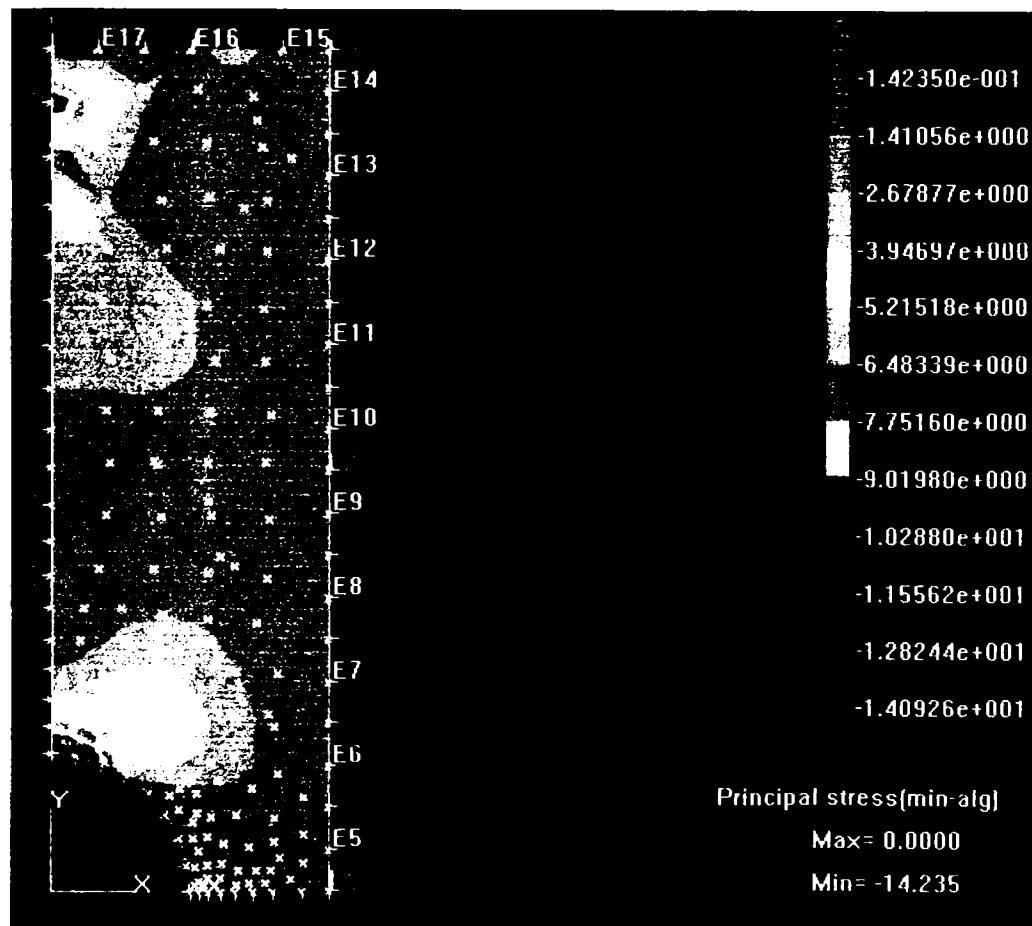


Fig.3.3.4.25 Tensiunea principală minimă

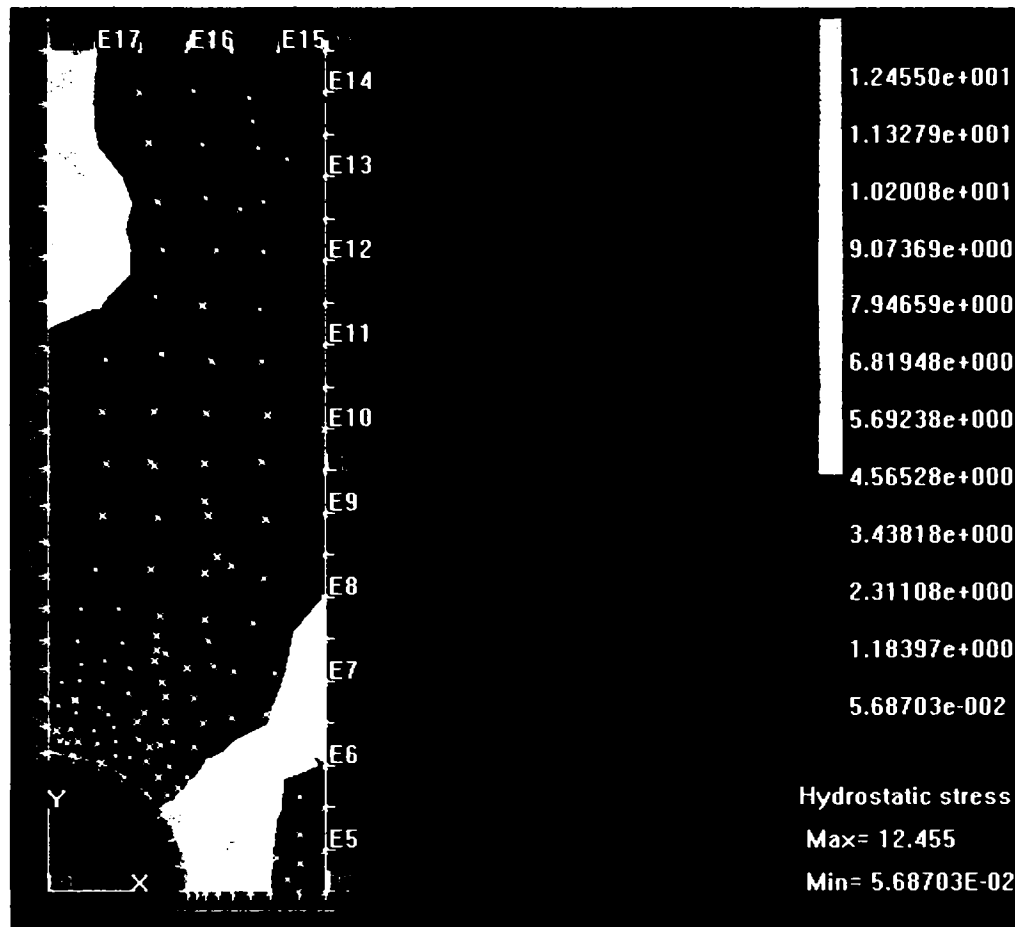


Fig.3.3.4.26 Tensiunea hidrostatică

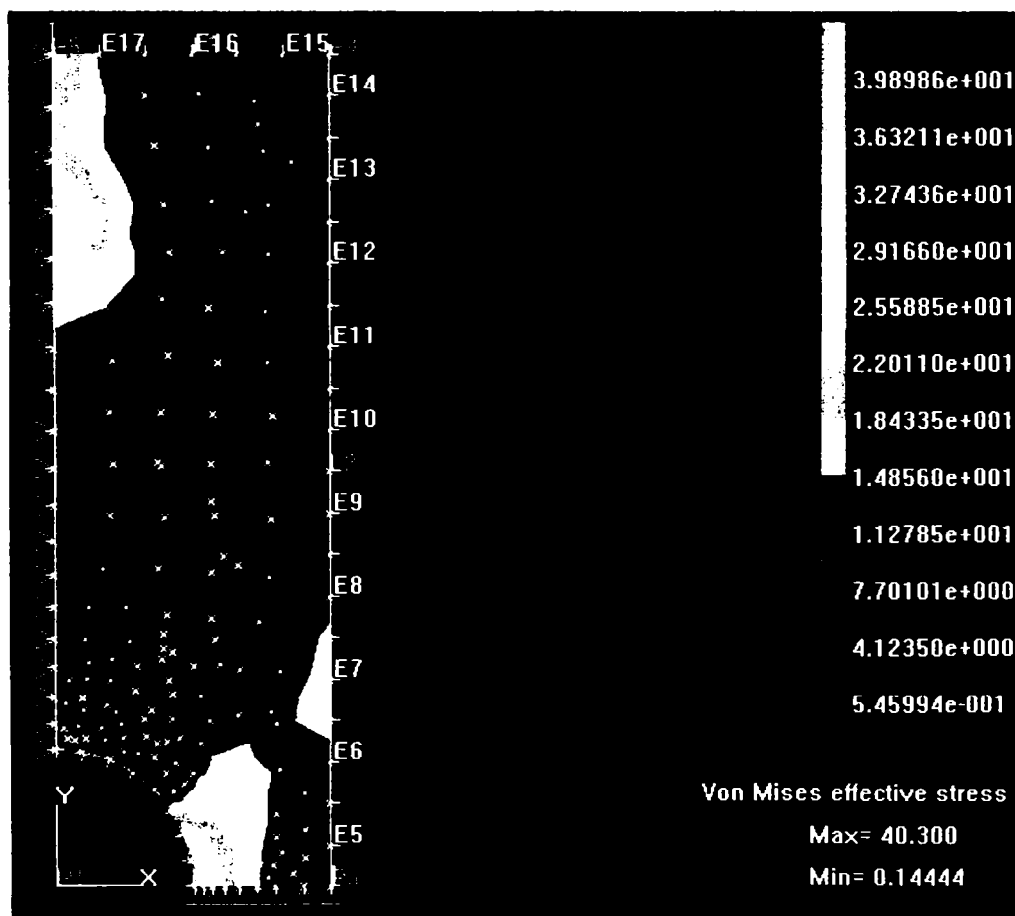


Fig.3.3.4.27 Tensiunea efectivă von Mises

Pentru a afișa graficul anumitor mărimi (ca cele de mai sus) în anumite puncte interioare, puncte de discretizare sau pe un anumit element, se va proceda după cum urmează:

- cu comanda **POSTPROCESS → GRAPH_PLOT → SET_QUANTITY** se alege (la fel ca mai sus!) mărimea ce urmează să o afișăm grafic, apoi se alege una din comenzile:

- **POSTPROCESS → GRAPH_PLOT → INT_PT_SOL'N** (pentru soluții în anumite puncte interne).
- **POSTPROCESS → GRAPH_PLOT → MESH_PT_SOL'N** (pentru soluții în anumite puncte de discretizare)
- sau **POSTPROCESS → GRAPH_PLOT → ELEMENT_SOL'N** (pentru soluții pe anumite elemente de frontieră)

- apoi cu comanda **POSTPROCESS → GRAPH_PLOT → DRAW_GRAPH** apare pe ecran graficul conținând curbele de valori ale mărimii solicitate pentru punctele interioare cerute, sau cele de discretizare cerute sau elementul cerut, după caz.

De exemplu, pentru cele patru puncte interioare din imediata apropiere a găurii și a axei Ox, având etichetele 148, 130, 147 și 128, pe care ne-am propus din faza de preprocesare să le studiem, și pentru cele 3 puncte interioare din imediata apropiere a găurii și a axei Oy, având etichetele 94, 144 și 145, am obținut graficele din Fig. 3.3.4.28, Fig.3.3.4.29, Fig.3.3.4.30, și Fig.3.3.4.31 pentru tensiunile σ_{xx} și σ_{yy} .

Utilizând **POSTPROCESS → GRAPH_PLOT → ELEMENT_SOL'N** s-a realizat graficul din Fig.3.3.4.32 reprezentându-se σ_{yy} pe elementele E1, E2 și E3 (v. Fig. 3.3.4.10).

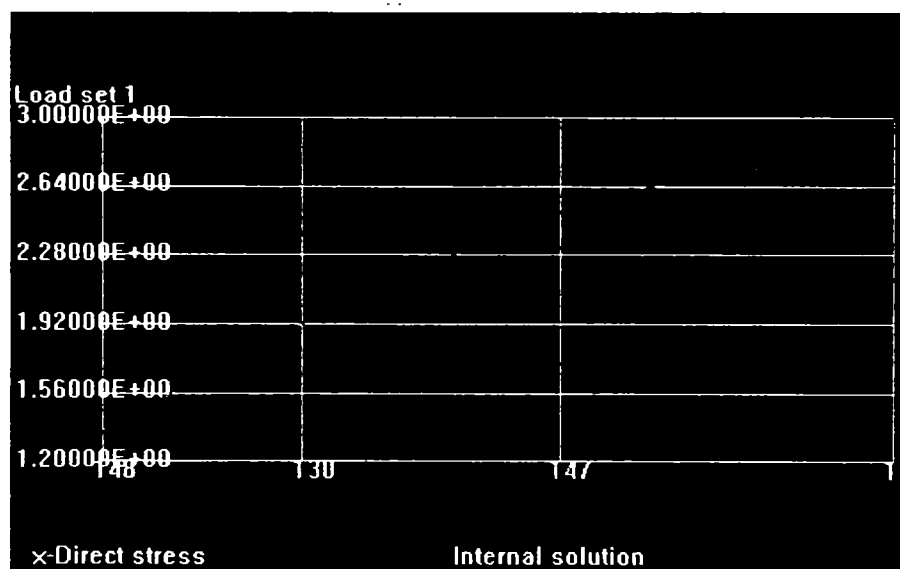


Fig. 3.3.4.28 Tensiunea σ_{xx} în cele 4 puncte interne alese aproape de gaură și Ox

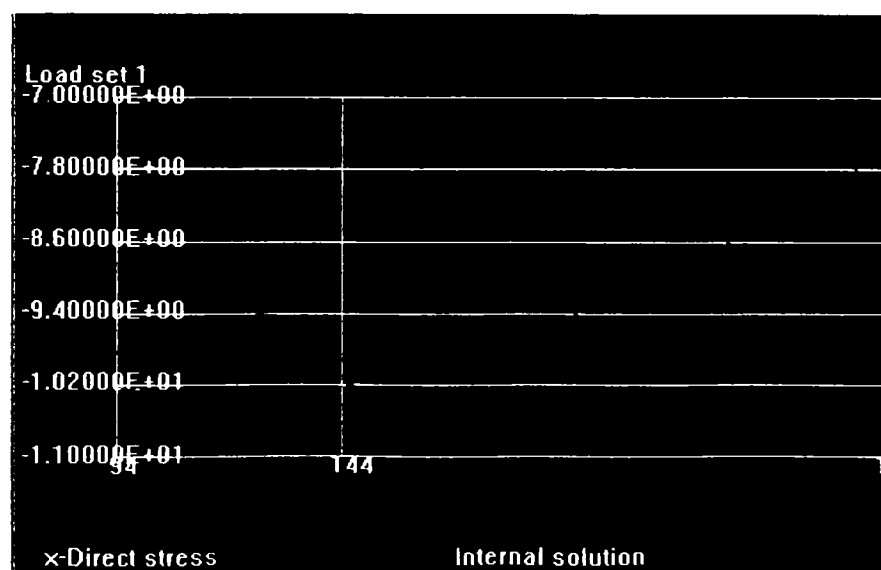


Fig. 3.3.4.29 Tensiunea σ_{yy} în cele 3 puncte interne alese aproape de gaură și Oy

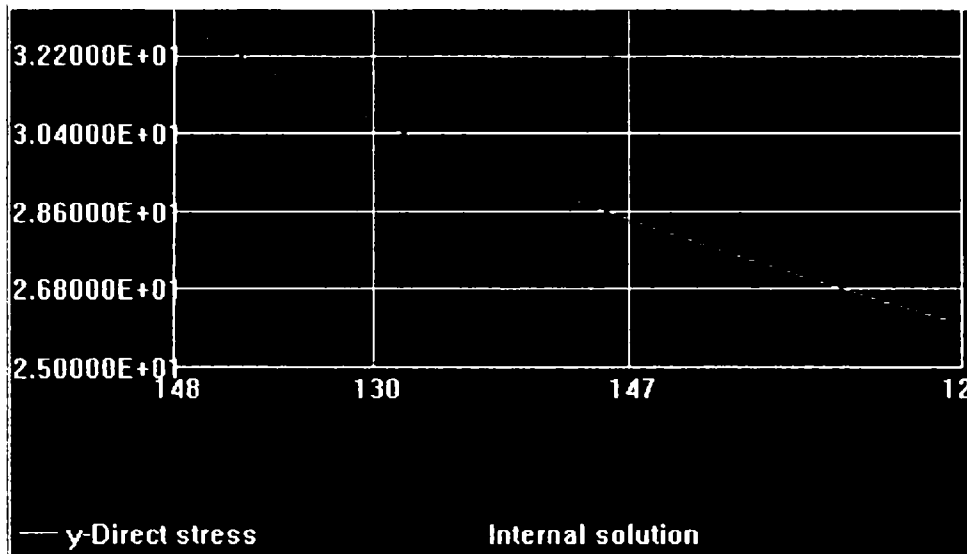


Fig. 3.3.4.30 Tensiunea σ_{11} în cele 4 puncte interne alese aproape de gaură și Ox

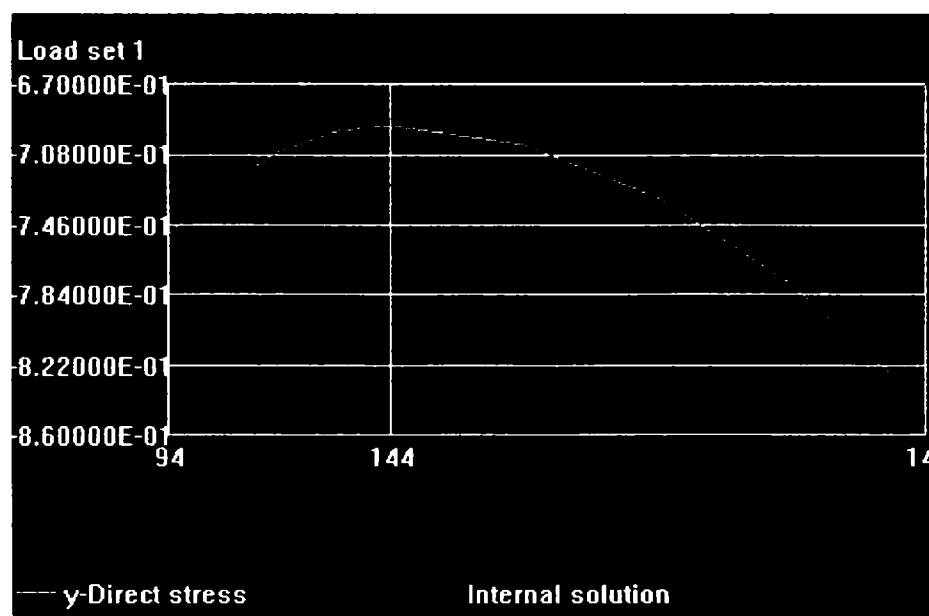


Fig. 3.3.4.31 Tensiunea σ_{yy} în cele 3 puncte interne alese aproape de gaură și Oy

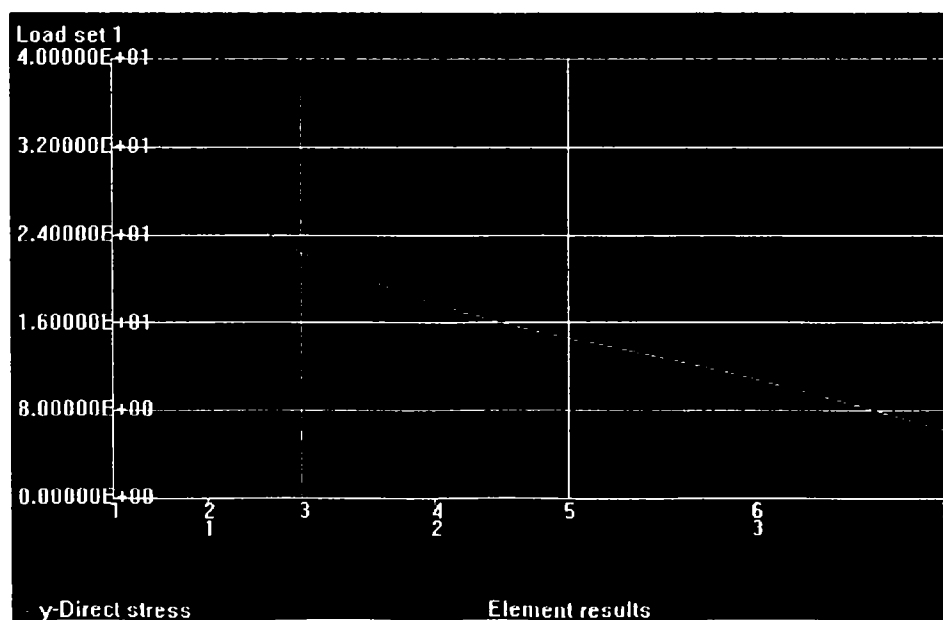
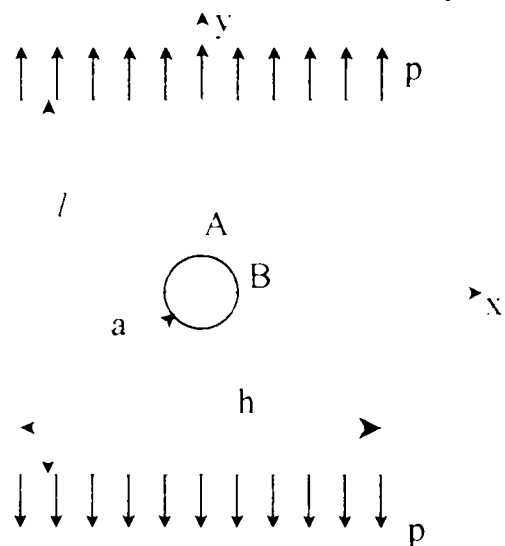


Fig. 3.3.4.32 Tensiunea σ_{yy} pe elementele de frontieră 1, 2 și 3

3.3.4.5. Studiu al erorilor introduse de M.E.Fr. pentru diverse variante de discretizare

În vederea evaluării cantitative a efectului pe care îl are finețea discretizării asupra preciziei cu care se determină valoarea tensiunii maxime din zona unui concentrator, se prezintă modelul de calcul tot a unei plăci dreptunghiulare cu un orificiu circular, dar solicitată la întindere de o forță uniform distribuită p , ca în Fig. 3.3.4.33.



Lungimea plăcii $l = 305$ mm
 Lățimea plăcii $h = 254$ mm
 Grosimea plăcii $g = 25.4$ mm
 Raza orificiului circular $a = 25.4$ mm
 Forța de întindere uniform distribuită:
 $p = 100 \text{ N/mm}^2$
 Modulul de elasticitate longitudinală:
 $E = 210\,000 \text{ N/mm}^2$
 Coeficientul lui Poisson
 $\nu = 0.25$

Fig. 3.3.4.33

S-au realizat trei variante BEASY pentru modelul de calcul, și anume cu 2, 4, respectiv 8 puncte de discretizare rețea pe un sfert din conturul orificiului. Astfel s-au ales în cele trei cazuri:

- I. un singur element de frontieră de tip pătratic pe sfertul de cerc;
- II. două elemente de frontieră pe sfertul de cerc;
- III. patru elemente de frontieră pe sfertul de cerc;

Ținând cont de faptul că orice element linie 2D și axisimetric în BEASY are trei puncte de discretizare rețea (v. Tab. 3.3.1.1), unul din aceste puncte suprapunându-se desigur cu punctul de discretizare învecinat al elementului următor, rezultă cele 2, 4, respectiv 8 puncte de discretizare rețea de care am amintit anterior, și a căror imagine am captat-o în figurile 3.3.4.34, 3.3.4.35 și 3.3.4.36.

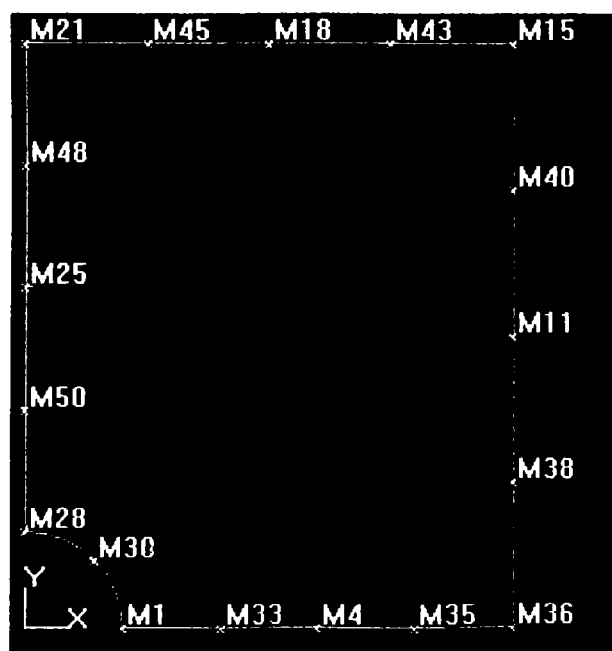


Fig. 3.3.4.34 Cazul I

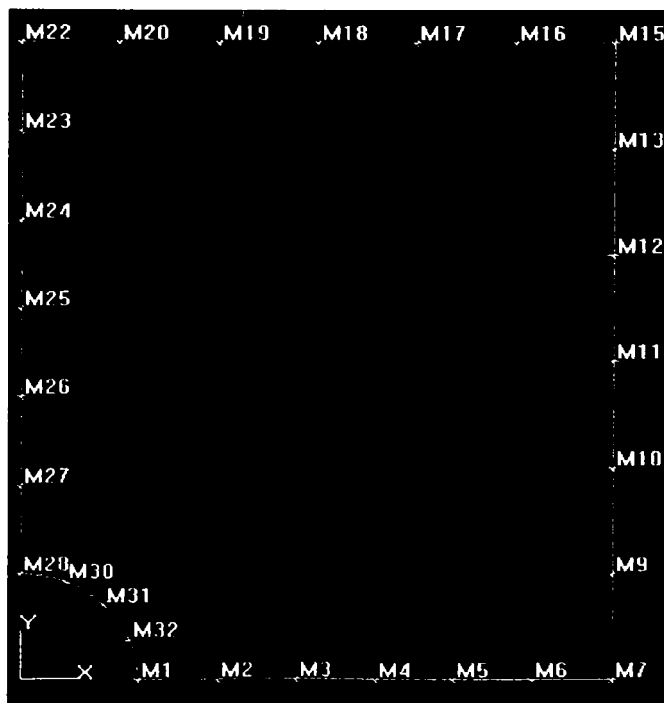


Fig. 3.3.4.35 Cazul II

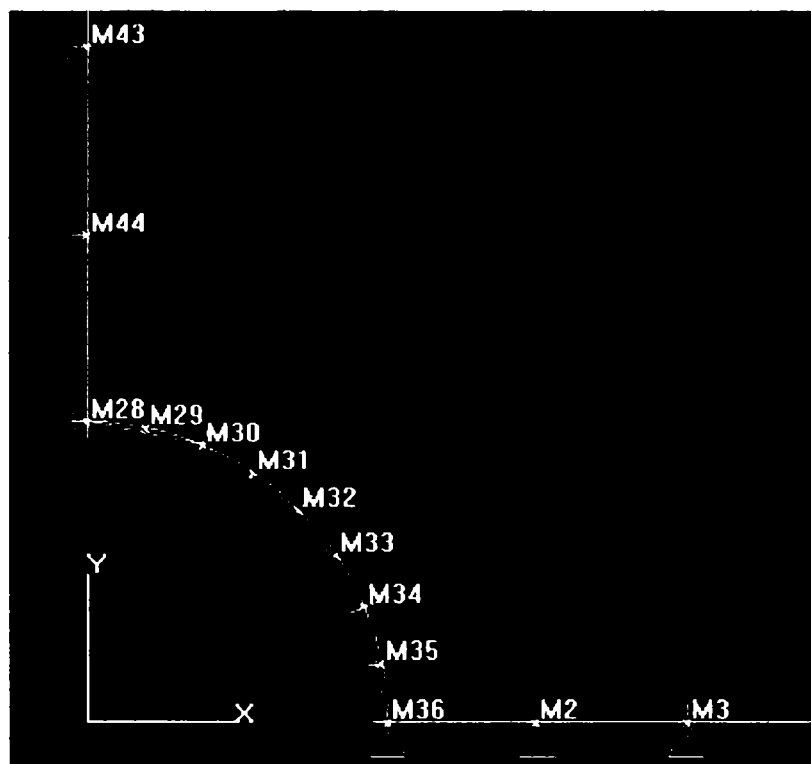


Fig. 3.3.4.36 Cazul III

Valorile tensiunilor adimensionale σ_{xx} p din punctele A, respectiv σ_{yy} p din punctele B ale plăcii și erorile acestora față de valorile exacte, cunoscute din teorie, se dau în Tab. 3.3.4.1. Valorile tensiunilor σ_{xx} și σ_{yy} s-au citit de fiecare dată din graficele variației tensiunilor respective funcție de numărul punctului de discretizare rețea din lungul sfertului de cerc. Redau mai jos, în figurile 3.3.4.37, 3.3.4.38, 3.3.4.39, 3.3.4.40, 3.3.4.41 și 3.3.4.42 aceste grafice obținute cu programul BEASY.

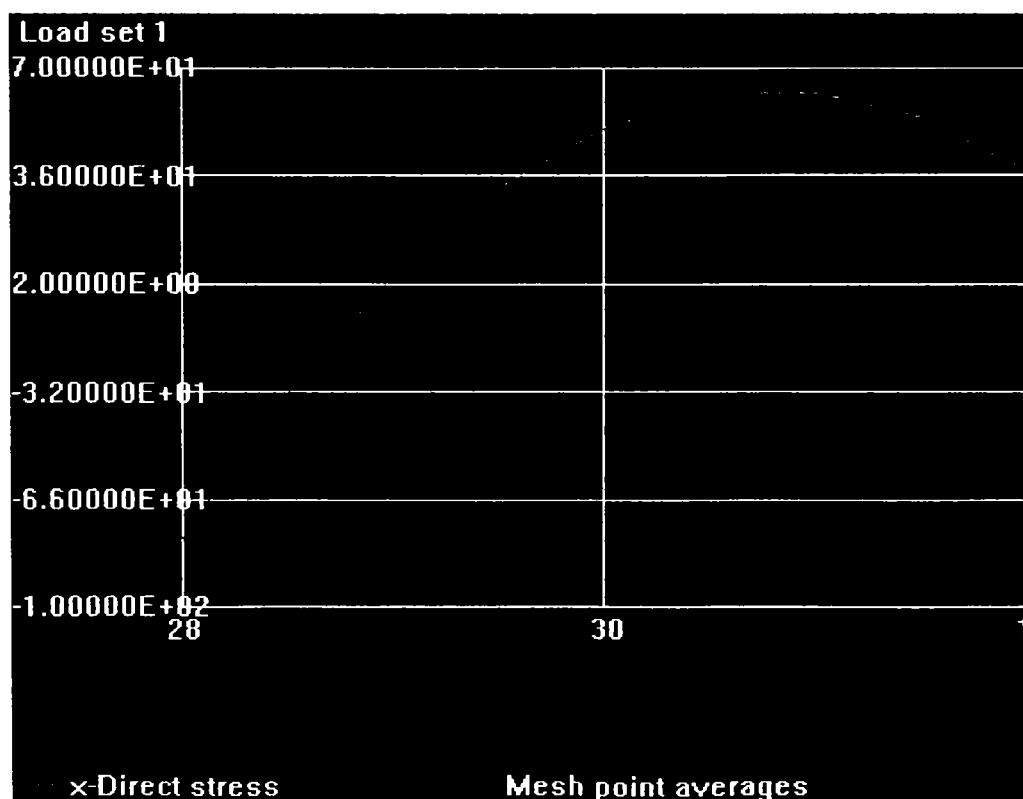


Fig. 3.3.4.37 Tensiunea σ_{xx} în cazul I pe sfertul de contur al orificiului (pentru punctul A se citește în dreptul punctului 28 $\sigma_{xx} = -80 \text{ N/mm}^2$)

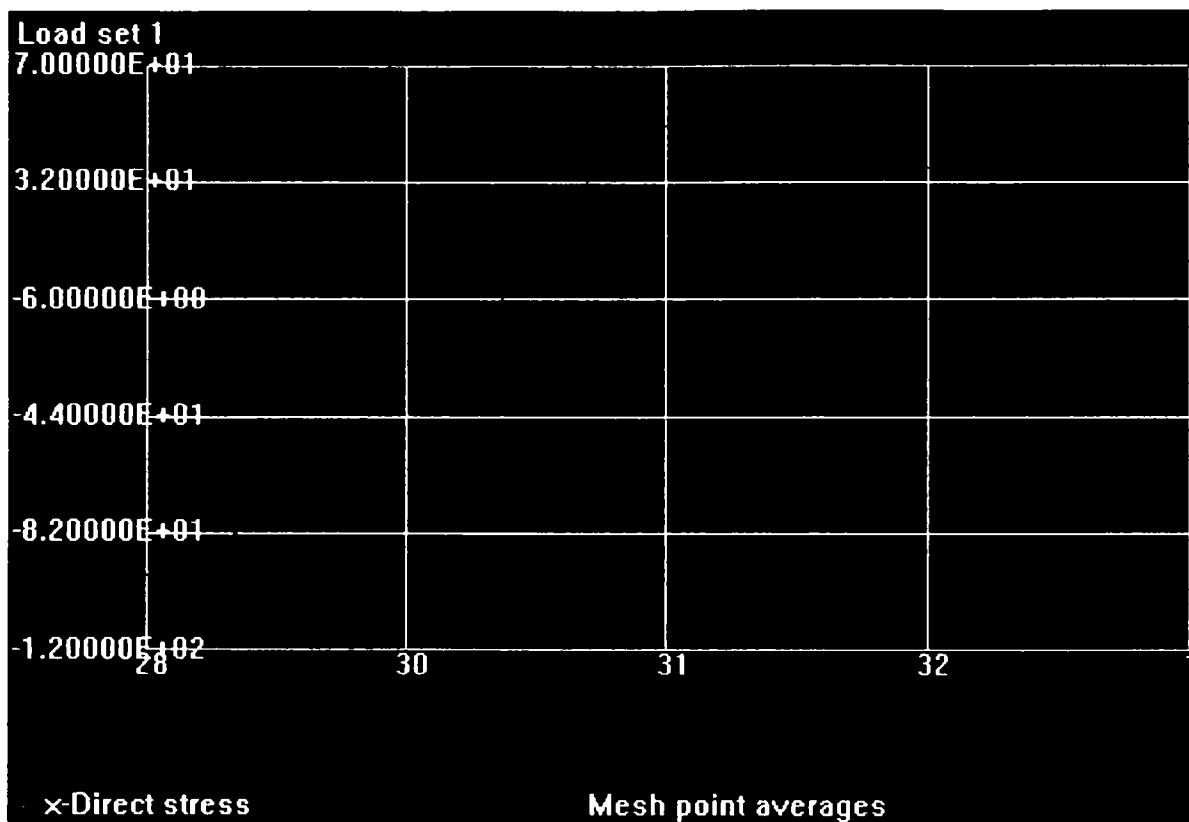


Fig. 3.3.4.38 Tensiunea σ_{xx} în cazul II pe sfertul de contur al orificiului (pentru punctul A se citește în dreptul punctului 28 $\sigma_{xx} = -95 \text{ N/mm}^2$)

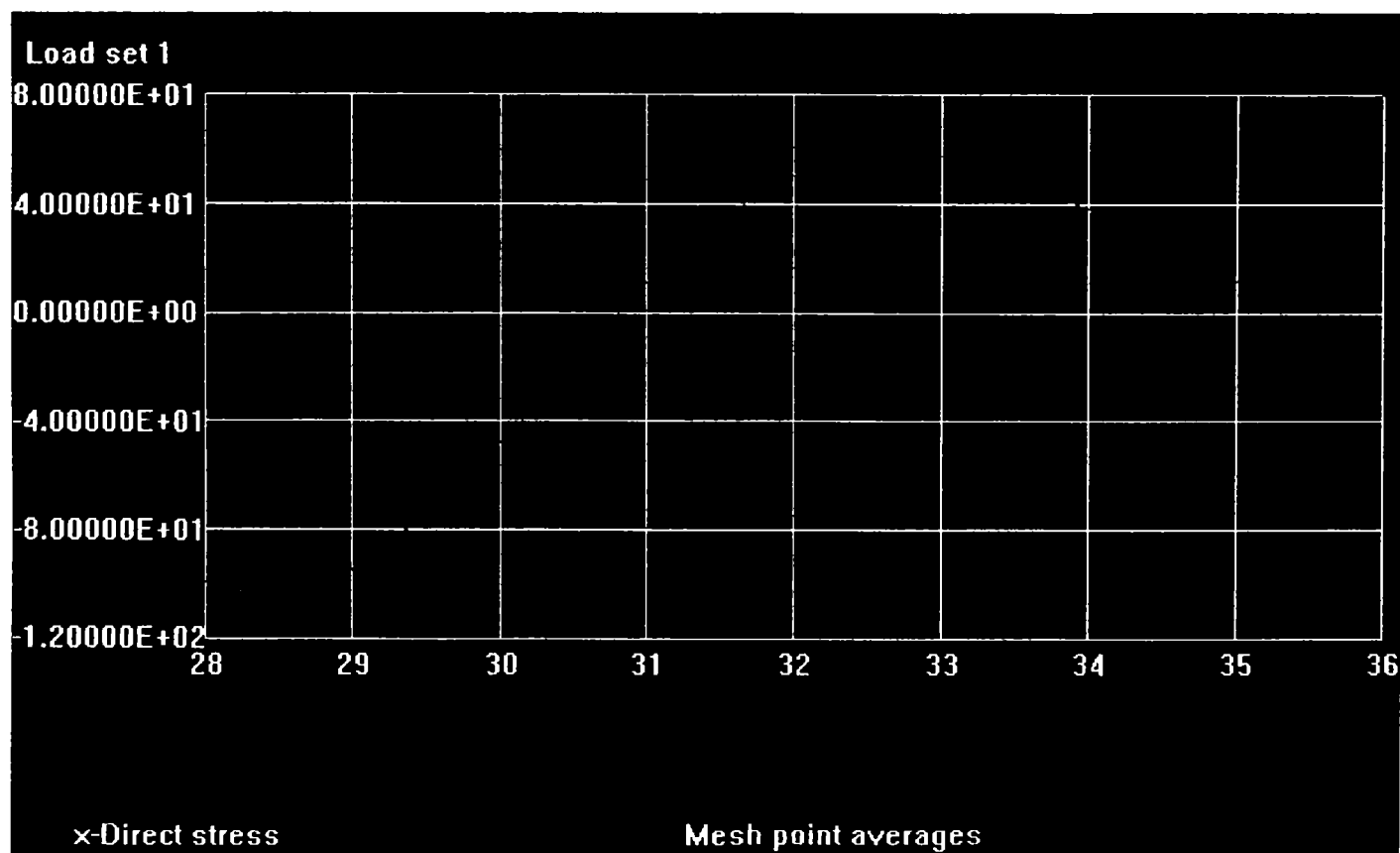


Fig. 3.3.4.39 Tensiunea σ_{xx} în cazul III pe sfertul de contur al orificiului (pentru punctul A se citește în dreptul punctului 28 $\sigma_{xx} = -100 \text{ N/mm}^2$)

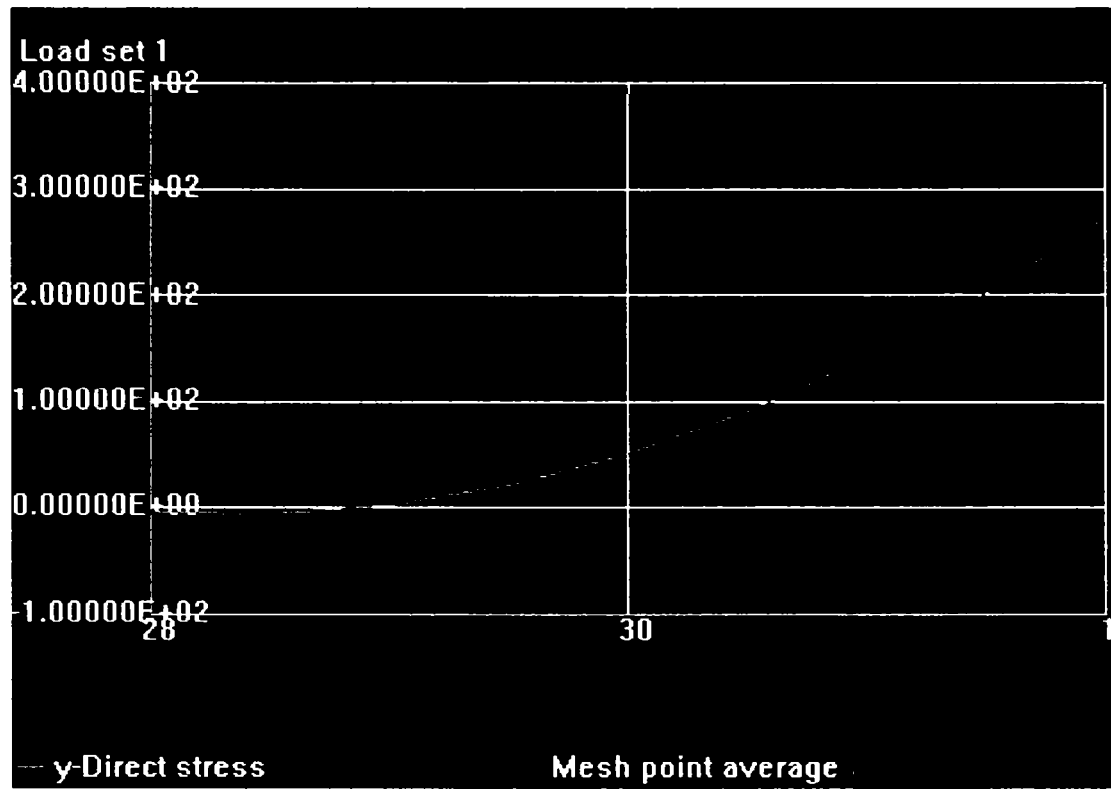


Fig. 3.3.4.40 Tensiunea σ_{yy} în cazul I pe sfertul de contur al orificiului
(pentru punctul B se citește în dreptul punctului 1 $\sigma_{yy} = 270 \text{ N/mm}^2$)

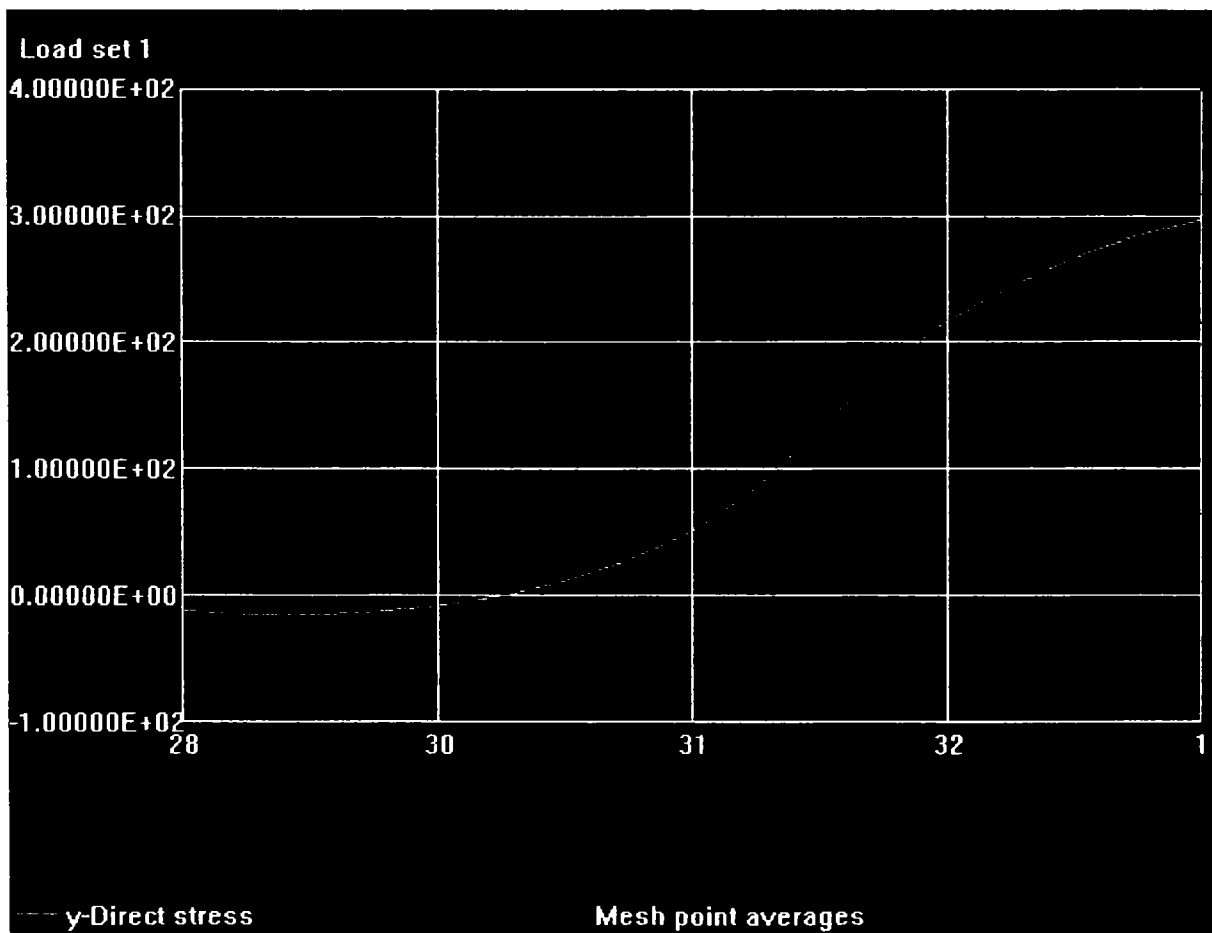


Fig. 3.3.4.41 Tensiunea σ_{yy} în cazul II pe sfertul de contur al orificiului
(pentru punctul B se citește în dreptul punctului 1 $\sigma_{yy} = 300 \text{ N/mm}^2$)

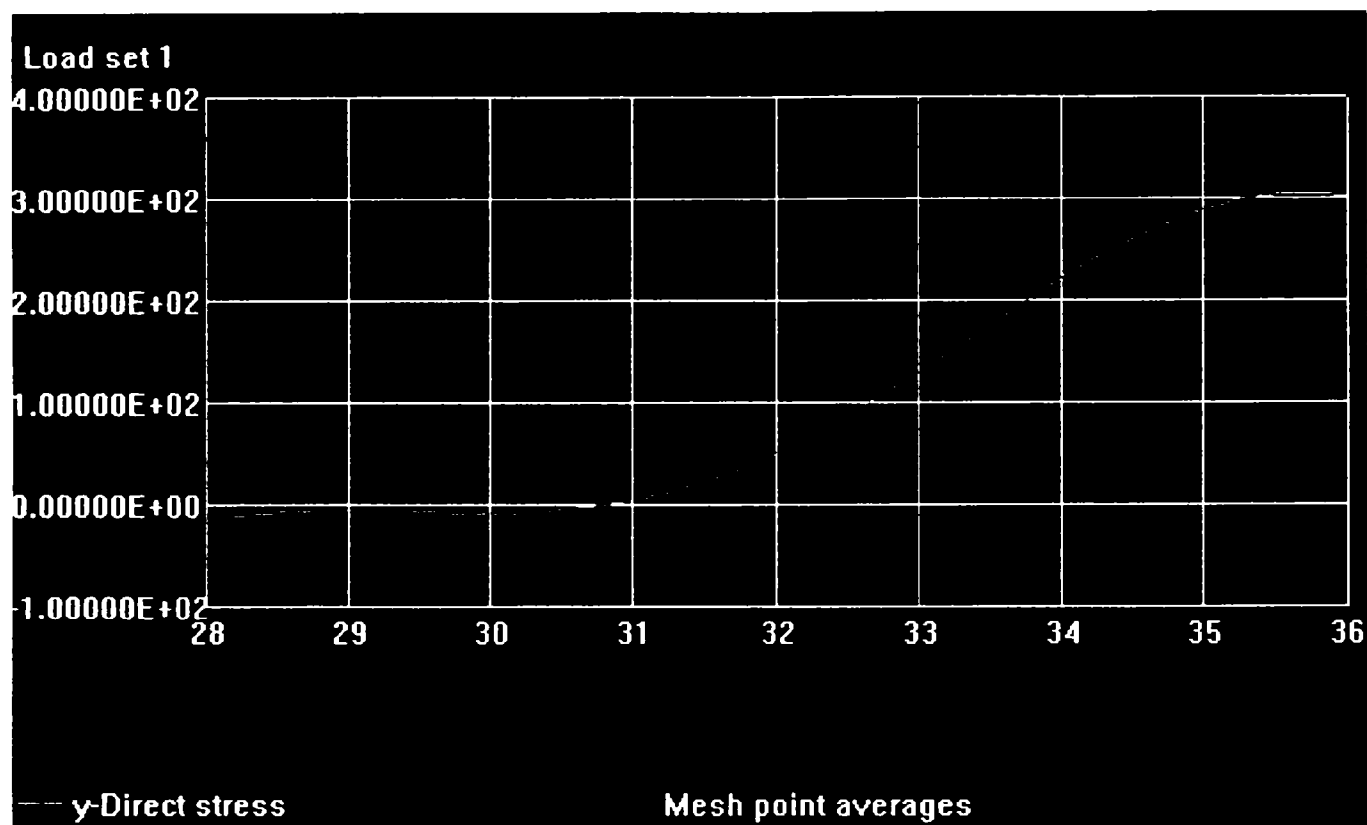


Fig. 3.3.4.42 Tensiunea σ_{yy} în cazul III pe sfertul de contur al orificiului (pentru punctul B se citește în dreptul punctului 28 $\sigma_{yy} = 305 \text{ N. mm}^2$)

Varianta Nr.	Nr. de noduri pe 1/4 din conturul orificiului	Tensiuni în punctul A		Tensiuni în punctul B	
		$\sigma_{xx} \cdot p$	Eroarea relativă %	$\sigma_{yy} \cdot p$	Eroarea relativă %
I	2	-0.80	36	2.70	15.09
II	4	-0.95	24	3.00	5.66
III	8	-1.00	20	3.05	4.08
Teoria exactă		-1.25		3.18	

Tab. 3.3.4.1

Se remarcă faptul că erorile tensiunilor calculate cu programul BEASY față de valorile exacte sunt destul de mari, în special în punctul A. Erorile se pot reduce dacă se utilizează elemente de frontieră de ordin superior sau se utilizează o discretizare mai fină.

§ 3.4. METODE NUMERICE PENTRU DESCRIEREA ANALITICĂ A FRONTIERELOR ÎN M.E.Fr. CONTRIBUȚII

În aplicarea M.E.Fr. apare evident faptul că un rol special îl joacă **frontiera domeniului de definiție**, deoarece la nivelul ei se descriu condițiile de unicitate ale problemei și ea este suportul discretizării în „*elemente de frontieră*”, cu ajutorul cărora se rezolvă în mod propriu-zis problema. De aceea în acest paragraf am abordat problema generală a interpolării, deoarece – în fond – descrierea curbei Γ a frontierei domeniului plan D și acceptarea unei anumite legi de distribuție a funcției potențial căutată pe acest contur, revine la a avea la dispoziție un număr oarecare de puncte prin care trebuie să ducem o curbă, **exprimată analitic**, și *care să aproximeze cel mai bine conturul real*.

Încercarea de a exprima analitic o dependență funcțională dată prin valori discrete este foarte veche și constituie o preocupare fundamentală a problemelor de interpolare din *Analiza numerică*. Problema s-a dezvoltat și s-a fundamentat prin lucrările unor matematicieni iluștri: NEWTON, LAGRANGE, GAUSS, EULER, HERMITE, CEBĂȘEV, WEIERSTRASS, BERNSTEIN, etc.

Dacă la început era mai mult o preocupare pur matematică, actualmente ea a devenit o necesitate, fiind indispensabilă oricărui program de proiectare asistată de calculator. Această afirmație, care justifică preocupările prezentate în acest capitol, este susținută și de apariția în literatura de specialitate din ultimii ani a numeroase lucrări științifice dedicate acestei probleme.

3.4.1. Metode și principii de interpolare analitică. Formularea problemei de interpolare

Această problemă este deosebit de bine cunoscută și amplu prezentată în literatura matematică de specialitate ([B2], [B31], [B76], [C84], [I1], [M11], [T7], [V19]); de aceea voi trece doar foarte sumar în revistă principalele formule de interpolare, mai ales pentru a arăta deficiențele acestor metode și a justifica trecerea la utilizarea funcțiilor „*spline*”.

Situațiile în care apare necesitatea aproximării funcțiilor de o variabilă sunt în mod frecvent următoarele:

- Din măsurătorile făcute în cadrul unor experimente se cunosc valorile funcției căutate pe o mulțime discretă și finită de puncte numite „*noduri*”.
- Trebuie să înlocuim o funcție dată, mult prea complicată ca structură, cu o altă funcție mai simplă, și deci mai ușor de folosit, în cadrul unui șir de operații de derivare, integrare etc., unde urmează să fie utilizată.
- În cadrul problemelor de mecanica ruperii, apar situații frecvente în care pentru domeniul studiat se cunoaște forma grafică a conturului care, având un aspect necanonic pentru a putea fi introdusă în ecuații, trebuie exprimată analitic.

În toate aceste probleme este necesar să ne alegem un **criteriu de aproximare**. Cele mai utilizate criterii sunt:

- **Criteriul de interpolare.** Dacă funcția necunoscută $f(x): [a, b] \rightarrow \mathbf{R}$ este dată numai în n puncte distincte $\{x_i\}_1^n$, numite noduri, (cunosc $f(x_i) = y_i$, pentru o diviziune $a = x_1 < x_2 < \dots < x_n = b$), atunci se va căuta o funcție $I(x)$ care să aproximeze funcția $f(x)$, astfel încât în noduri cele două funcții să aibă aceleași valori:

$$I(x_i) = f(x_i) = y_i = f_i, \quad i = \overline{1, n}$$

- **Criteriul mini-max.** Acest criteriu impune o condiție de minimizare a abaterii dintre cele două funcții, măsurată prin modulul diferenței valorilor lor, pe fiecare interval:

$$\max_{x \in [a,b]} |f(x) - F(x)| = \min \Leftrightarrow \max_{i \in \{1, n\}} |y_i - F(x_i)| = \min$$

- **Criteriul abaterii pătratice minime.** În situația când n este un număr prea mare, deci sunt necesare calcule anevoioase, sau când valorile $f(x_i)$ nu sunt exacte și nu se cunoaște valoarea exactă a funcției $f(x)$ în nici un punct de pe $[a, b]$, nu are sens să i se determine o aproximație uniformă pe acest interval.

În aceste situații se poate utiliza o funcție $F(x)$, nu neapărat continuă, care trece printre punctele $f(x_i) = y_i$, astfel încât abaterea ei față de $f(x)$, măsurată prin numărul (numit abatere pătratică):

$$\sqrt{\int_a^b |f(x) - F(x)|^2 dx} \Leftrightarrow \sum_{i=1}^n |y_i - F(x_i)|^2 = \min$$

să aibă valoarea minimă. Aceasta este „metoda celor mai mici pătrate”.

Este interesant să subliniem evoluția modului de abordare a problemelor de interpolare odată cu apariția și dezvoltarea calculatoarelor. Mulțimea tipurilor de polinoame de interpolare cunoscute (Lagrange, Newton etc.) constituiau elementul principal pentru evaluarea unei funcții într-un punct, cunoscând valorile ei tabelare (discrete). Problema având o mare importanță aplicativă atât în știință cât și în tehnică, a constituit o preocupare îndelungată a multor matematicieni celebri.

Dar analiza numerică modernă a renunțat la acest mod de interpolare, care de multe ori conduce la erori grosolane, constatând că aproximarea uniformă, efectuată cu deosebit succes de calculatoarele electronice, este mult mai eficientă și mai corectă. Polinoamele de interpolare se utilizează în continuare, îndeosebi în problemele de derivare și de integrare numerică. Vom aminti pe scurt cele mai cunoscute polinoame de interpolare; acestea de obicei realizează ceea ce se numește o **interpolare globală** în sensul că se folosește un singur polinom pe tot intervalul $[a, b]$.

3.4.2. Polinomul de interpolare Lagrange

Se consideră $n+1$ puncte distincte $x_i, i = 1, 2, \dots, n$ pe un interval I al axei reale. Aceste puncte se numesc **noduri**. Fie $f: I \rightarrow \mathbf{R}$ o funcție pentru care cunoaștem numai valorile ei în noduri, $f(x_i) = f_i = y_i$. Se cere să determinăm un polinom de grad cel mult egal cu n care să coincidă cu funcția f pe nodurile date sau, altfel spus, să treacă prin punctele $(x_i, f_i), i = 0, 1, \dots, n$.

De obicei se folosesc niște funcții l_{nj} numite **polinoamele fundamentale de interpolare Lagrange**, de forma:

$$l_{nj}(x) = \frac{(x - x_0) \dots (x - x_{j-1})(x - x_{j+1}) \dots (x - x_n)}{(x_j - x_0) \dots (x_j - x_{j-1})(x_j - x_{j+1}) \dots (x_j - x_n)} \quad 0 \leq j \leq n$$

care se bucură de proprietatea:

$$l_{ij}(x_j) = \delta_{ij} = \begin{cases} 1, & i = j \\ 0, & i \neq j \end{cases}$$

Atunci polinomul lui Lagrange va fi:

$$P_n(x) = \sum_{j=1}^n f_j l_{nj}(x) = \sum_{j=1}^n f(x_j) \prod_{j \neq i} \frac{x - x_i}{x_j - x_i}$$

Nu voi mai insista asupra estimării erorii de interpolare cu polinomul lui Lagrange și asupra altor proprietăți: ele se găsesc amplu rezolvate în literatura citată.

3.4.3. Polinomul de interpolare Newton de prima speță

Fie $f : [a, b] \rightarrow \mathbf{R}$, pentru care se cunosc valorile $f(x_i) = y_i = f_i$ în punctele diviziunii uniforme $d_{[a,b]} = (x_0, x_1, x_2, \dots, x_n)$ cu pasul de interpolare de mărime h : $x_i = x_0 + ih, i=1, 2, \dots, n$. Se cere determinarea unui polinom de gradul n care să aibă în punctele x_i aceleași valori ca funcția $f(x)$. Se introduc unele noțiuni noi:

- **Noțiunea de diferență finită.** Dacă $h = \Delta x$ este pasul de interpolare constant, atunci diferența $\Delta f(x) = f(x + \Delta x) - f(x)$ se numește **diferență finită de ordinul întâi**. Relația $\Delta^n f(x) = \Delta(\Delta^{n-1} f(x))$ definește procedeul determinării diferențelor finite de ordin superior, operatorul Δ fiind un operator liniar. Pornind de la orice valoare $f(x_i) = y_i$, poate fi construit tabelul diferențelor după formula:

$$\Delta^p y_i = \sum_{k=0}^p (-1)^k C_p^k (1 + \Delta)^{p-k} y_i = y_{i+p} - C_p^1 y_{i+p-1} + C_p^2 y_{i+p-2} + \dots + (-1)^p y_i$$

- **Noțiunea de putere generalizată.** Produsul $x^{[n]} = x(x-h)(x-2h)\dots(x-(n-1)h)$, $h > 0$ se numește **putere generalizată a lui x** ; dacă $h \rightarrow 0$, atunci $x^{[n]} \rightarrow x^n$.

Cu aceste notații, polinomul Newton de prima speță, având coeficienții exprimați prin diferențe finite, are forma:

$$P_n(x) = y_0 + \frac{\Delta y_0}{h!} (x - x_0)^{[1]} + \dots + \frac{\Delta^k y_0}{h^k k!} (x - x_0)^{[k]} + \dots + \frac{\Delta^n y_0}{h^n \cdot n!} (x - x_0)^{[n]}$$

Pentru $h \rightarrow 0$, $P_n(x)$ devine polinom Taylor al funcției $y = f(x)$.

Acest polinom se recomandă pentru $x \in V(x_0)$ - pentru capătul din stânga al intervalului de interpolare.

3.4.4. Polinomul de interpolare Newton de speța a doua

În aceleași condiții ca mai sus se găsește:

$$P_n(x) = y_n + \frac{\Delta y_{n-1}}{h \cdot 1!} (x - x_n)^{[1]} + \frac{\Delta^2 y_{n-2}}{h^2 \cdot 2!} (x - x_{n-1})^{[2]} + \dots + \frac{\Delta^n y_0}{h^n \cdot n!} (x - x_1)^{[n]}$$

Acest polinom se recomandă pentru capătul din dreapta al intervalului de interpolare.

3.4.5. Polinomul Gauss de interpolare

Se construiește un polinom de interpolare pornind de la un punct x_0 interior diviziunii $d_{[a,b]}$. Numerotarea nodurilor devine: $x_{-n}, x_{-n+1}, \dots, x_{-2}, x_{-1}, x_0, x_1, x_2, \dots, x_n$

Printr-o asemenea alegere se obține eroarea minimă de interpolare pentru $x \in V(x_0)$. După calcule obișnuite se obține următoarea formă generală a polinomului Gauss de interpolare:

$$P(x) = y_0 + \frac{\Delta y_0}{h \cdot 1!} (x - x_0)^{[1]} + \frac{\Delta^2 y_{-1}}{h^2 \cdot 2!} (x - x_0)^{[2]} + \frac{\Delta^3 y_2}{h^3 \cdot 3!} (x - x_1)^{[3]} + \dots +$$

$$+ \frac{\Delta^{2n-1} y_{-n+1}}{h^{2n-1} (2n-1)!} (x - x_{-n+1})^{[2n-1]} + \frac{\Delta^{2n} y_{-n}}{h^{2n} \cdot (2n)!} (x - x_{-n+1})^{[2n]}$$

Observații.

1°. Polinomul de interpolare scris mai sus, care se numește **prima formulă de interpolare a lui Gauss**, folosește diferențe finite de forma:

$$\Delta y_0, \Delta^2 y_{-1}, \Delta^3 y_{-1}, \Delta^4 y_{-2}, \Delta^5 y_{-2}, \Delta^6 y_{-3}, \dots$$

Dacă se folosesc diferențe finite de forma:

$$\Delta y_{-1}, \Delta^2 y_{-1}, \Delta^3 y_{-2}, \Delta^4 y_{-2}, \Delta^5 y_{-3}, \Delta^6 y_{-3}, \dots$$

se obține **a doua formulă de interpolare a lui Gauss**.

2°. Dacă se folosește media aritmetică a celor două formule de interpolare Gauss, se obține **formula lui Stirling de interpolare**.

3.4.6. Polinoamele Cebâșev de speța întâi.

Pentru $x \in [-1, 1]$ și $n \geq 0$ se definesc **polinoamele lui Cebâșev de speța întâi**¹:

$$T_n(x) = \cos(n \arccos x)$$

- Se demonstrează prin inducție că $T_n(x)$ este un polinom de gradul n ; pentru $n \geq 5$ coeficientul lui x^n este 2^{n-1} . Așadar:

$$T_n(x) = 2^{n-1} x^n + \dots \quad n \geq 5$$

- Se demonstrează relația de recurență:

$$T_{n+1}(x) = 2xT_n(x) - T_{n-1}(x) \quad n \geq 1$$

- Se demonstrează că:

$$\int_{-1}^1 T_m(x) T_n(x) \frac{1}{\sqrt{1-x^2}} dx = 0, \quad m \neq n$$

Rezultă că polinoamele Cebâșev de speța întâi sunt ortogonale pe intervalul $[-1, 1]$ cu ponderea $\frac{1}{\sqrt{1-x^2}}$.

- Se mai definește polinomul $\bar{T}_n(x) = 2^{1-n} T_n(x)$; aceasta are coeficientul lui x^n egal cu unitatea. Polinoamele care au coeficientul termenului de grad maxim egal cu 1 se

¹ De multe ori este util să trecem de la intervalul de definiție $[a, b]$ la un interval canonic $[-1, 1]$. Acest lucru se realizează printr-o transformare de scară evidentă:

$$x = z \frac{b-a}{2} + \frac{b+a}{2} \Rightarrow \begin{cases} x = a \Rightarrow z = -1 \\ x = b \Rightarrow z = 1 \end{cases}$$

Problema se poate formula și reciproc.

numesc **polinoame monice**. Se demonstrează că dintre toate polinoamele monice de grad n fixat, $T_n(x)$ are cea mai mică margine în valoare absolută pe intervalul $[-1,1]$. Deci polinoamele Cebășev sunt mai eficiente în descrierea variațiilor unei funcții pe $[-1,1]$ decât monoamele x^k .

- Definiția polinoamelor Cebășev se mai poate face și cu ajutorul unei relații echivalente:

$$T_{n+1}(x) = \frac{\left(x + \sqrt{x^2 - 1}\right)^{n+1} + \left(x - \sqrt{x^2 - 1}\right)^{n+1}}{2^{n+1}}$$

3.4.7. Interpolarea prin metoda celor mai mici pătrate

Deși metodele de interpolare sunt mult mai numeroase, voi încheia amintind o metodă foarte frecvent întâlnită în activitățile ingineresti de prelucrare a datelor experimentale.

În principiu se pune problema aproximării unei funcții $f(x)$ continue pe intervalul $[a,b]$ printr-un polinom $P_n(x)$ de grad $\leq n$ în așa fel ca norma e_2 dată prin:

$$\|P_n - f\|_2 = \left\{ \int_a^b (P_n(x) - f(x))^2 dx \right\}^{1/2}$$

să fie minimă pentru toate polinoamele $P_n(x)$ de grad $\leq n$. În locul intervalului continuu $a \leq x \leq b$ se va considera o mulțime de puncte $M: x_1, x_2, \dots, x_n$ și se urmărește minimizarea normei e_2 :

$$S = \|P_n - f\|_2 = \left[\sum_{i=1}^N (P_n(x_i) - f(x_i))^2 \right]^{1/2} = \min \tag{*}$$

Și acest criteriu minimizează o eroare care însă este scrisă ca o sumă de pătrate. Pentru calcul este convenabil ca aproximanta $P_n(x)$ să se scrie sub forma:

$$P_n(x) = \sum_{j=1}^n a_j p_j(x)$$

unde $p_j(x)$ sunt funcții cunoscute, liniar independente, iar a_j ($j = 1, 2, \dots, n$) parametri nedeterminați. (Avem evident $n < N$).

Condiția de extrem a sumei (*) cere ca:

$$\frac{\partial S}{\partial a_j} = 0, \quad j = 1, n$$

Folosind o funcție pondere $W(x)$ pozitivă, continuă, definită pe $[0,1]$, care să ia în considerație unele distincții privind importanța valorilor luate în noduri, putem calcula:

$$S^2 = \sum_{i=1}^N W(x_i) [P_n(x_i) - f(x_i)]^2$$

Folosind notațiile precedente ultima relație se poate scrie:

$$\sum_{j=1}^n a_j \left(\sum_{i=1}^N W(x_i) p_k(x_i) p_j(x_i) \right) = \sum_{i=1}^N y_k W(x_k) p_j(x_k) \quad j = \overline{1, n}$$

Se obține un sistem de n ecuații algebrice liniare pentru determinarea celor n parametri a_j , $j = 1, n$.

3.4.8. Utilizarea funcțiilor spline în aproximarea analitică a frontierelor

3.4.8.1. Generalități despre funcțiile SPLINE*

Funcțiile spline sunt niște funcții segmentar polinomiale, descrise de polinoame pe subintervale adiacente, care în nodurile unde se racordează asigură nu numai continuitatea funcției ci și continuitatea unor derivate ale acesteia. Ideea și utilizarea lor este foarte veche, chiar de pe vremea grecilor antici, fiind folosite într-o formă elementară și de J. Bernoulli și L. Euler care utilizau liniile poligonale pentru a aproxima soluțiile ecuațiilor diferențiale; ele au însă o dezvoltare impresionantă numai după 1964, când I.J. Schoenberg (cel care le-a dat numele) a descoperit relația dintre funcțiile spline de interpolare și cele mai bune formule de aproximare în sensul lui Sard. Esențial este faptul că noțiunea se generalizează pe un spațiu Hilbert în care se formulează o problemă variațională de minim a cărei soluție se numește „spline”. Pornind de aici s-au putut defini clase noi de funcții spline utilizând funcții trigonometrice, exponențiale, Cebîșev etc. Ele și-au dovedit marea utilitate la rezolvarea numerică a unor clase de ecuații diferențiale și integrale, ecuații cu derivate parțiale, la aproximarea optimală a unor funcționale liniare, la procesele de interpolare etc. Datorită acestui câmp larg de aplicații, după 1968 s-au creat adevărate școli de funcții Spline: MADISON (SUA); GRENOBLE (Franța); NOVOSIBIRSK (Rusia); MÜNSTER-FREIBURG-KARLSRUHE (Germania); CLUJ-NAPOCA (România).

Din cauza caracterului polinomial pe intervale mici funcțiile spline prezintă, din punct de vedere aplicativ, avantajul de a permite ducerea până la capăt a calculelor, programarea algoritmilor la calculator făcându-se fără dificultate.

Urmărind diversele tipuri de polinoame de interpolare, prezentate în §3.4.1-3.4.7 s-a constatat, în procesul utilizării lor practice, că se poate întâmpla ca diferența dintre valorile funcției $f(x)$ și ale polinomului de interpolare, în afara nodurilor $\{x_i\}$ să fie foarte mare. Construcția unei rețele mai dese și a unui polinom de grad mai mare, nu rezolvă problema. Exemple celebre: RUNGE (1901), BERNSTEIN (1912), precum și teorema fundamentală a lui FABER (1914), au arătat că polinoamele nu sunt cele mai potrivite funcții de aproximare pentru o funcție dată. Așa au apărut **funcțiile spline**, care sunt funcții **segmentar polinomiale** care se racordează în noduri împreună cu un anumit număr de derivate ale lor.

3.4.8.2. Funcții spline cubice

Voi prezenta în continuare funcțiile spline de ordinul trei sau cubice. Este forma cea mai utilizată din mulțimea funcțiilor spline existente la ora actuală, deoarece se racordează în noduri astfel încât să aibă derivate continue până la ordinul doi inclusiv, ceea ce permite și calculul razei de curbură. Acest mod de definire îi asigură proprietăți remarcabile de convergență, spre deosebire de rezultatele negative care se obțin cu celelalte polinoame de interpolare prezentate mai sus. Mai mult, utilizarea lor este legată și de proprietățile lor de extrem descoperite mult mai târziu, care arată că ele sunt singurele funcții de interpolare care satisfac o anumită condiție de minim definită de funcționala:

$$f \rightarrow \left(\int_a^b (D^2 f)^2 dx \right)^{1/2}$$

* Literatura de specialitate din țara noastră a preluat și utilizează termenul englezesc deoarece – din păcate – nu s-a găsit un echivalent corespunzător în limba română; de altfel nu i s-a găsit un echivalent în nici o altă limbă și în toate țările lumii acest cuvânt nu a fost tradus ci a fost preluat „ad litteram”. Voi prezenta generalitățile din acest paragraf – necesare pentru continuitatea expunerii – după excelenta monografie a lui Gh. Micula ([M31]); am mai folosit T. Vladislav ([V19]), C. Berbente ([B31]), G. Marchouk ([M9]), ș.a.

În continuare voi prezenta o modalitate de a construi polinomul spline de interpolare de ordinul trei, printr-o demonstrație completă față de cele existente în literatura de specialitate [B2], [B31], [B76], [M11], [M31], pentru a ușura scrierea unui program de calcul.

Fie $f(x): [a, b] \rightarrow \mathbb{R}$ funcția continuă necunoscută care trebuie aproximată. Fie Δ o diviziune a intervalului $[a, b] \subset \mathbb{R}$: $\Delta: a = x_1 < x_2 < x_3 < \dots < x_{n-1} < x_n = b$

Considerăm date (cunoscute, printr-un procedeu oarecare) valorile funcției f în nodurile rețelei de discretizare $\Delta: f(x_i) = f_i = y_i, i = \overline{1, n}$. Mulțimea acestor valori vom zice că formează vectorul dat $Y \in \mathbb{R}^n, Y = (y_1, y_2, \dots, y_n)^T$. Vom mai nota $I_i \equiv (x_i, x_{i+1})$ și $h_i = x_{i+1} - x_i, i = 1, 2, \dots, n-1$ (v. Fig.3.4.8.1).

Atunci prin definiție funcția $S_{\Delta, Y}^{(3)}: [a, b] \rightarrow \mathbb{R}$ se numește **funcție spline cubică de interpolare** pentru vectorul Y pe diviziunea Δ , dacă satisface următoarele două condiții:

$$S_{\Delta, Y}^{(3)}|_{I_i} \in P_3(x_i, x_{i+1}), \quad i = 1, 2, \dots, n-1 \tag{3.4.8.1}$$

$$S_{\Delta, Y}^{(3)} \in C^2[a, b] \tag{3.4.8.2}$$

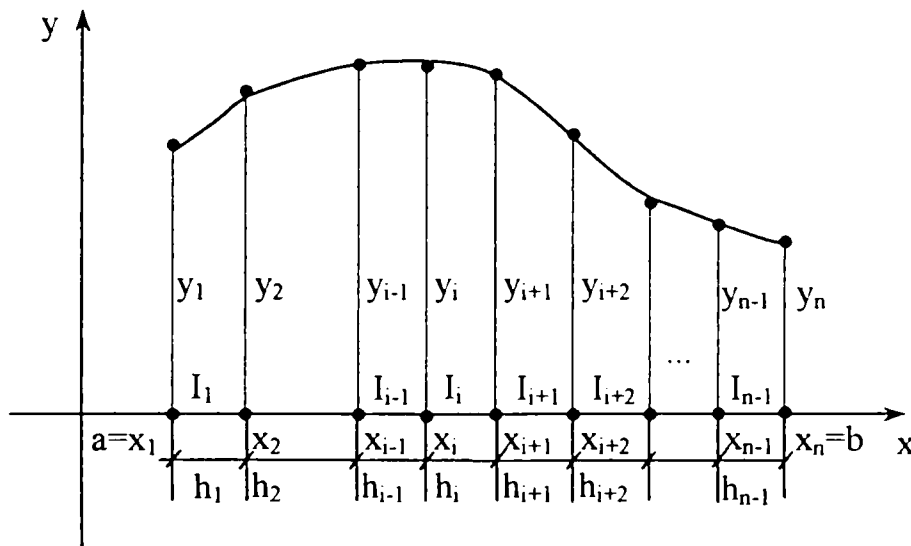


Fig. 3.4.8.1.

Dacă nu sunt confuzii vom nota simplu $S_f^{(3)}$ - funcția spline cubică de interpolare pentru funcția f (sau pentru intervalul $I_i \rightarrow S_i$).

Prima condiție (3.4.8.1) ne spune că funcția spline căutată trebuie să fie un polinom de gradul trei pe fiecare interval $I_i = (x_i, x_{i+1})$.

A doua condiție (3.4.8.2) cere ca funcția spline căutată să aibă derivate de ordinul întâi și de ordinul doi conține pe tot intervalul de definiție, inclusiv în noduri (sau mai ales în noduri).

Pe două intervale alăturate $I_i = [x_i, x_{i+1}]$ și $I_{i+1} = [x_{i+1}, x_{i+2}]$ vom căuta funcția spline de interpolare sub forma unor polinoame de gradul trei:

$$x \in [x_i, x_{i+1}] \Rightarrow \begin{cases} S_i(x) = a_i + b_i(x - x_i) + c_i(x - x_i)^2 + d_i(x - x_i)^3 & (3.4.8.3) \\ DS_i(x) = S_i'(x) = b_i + 2c_i(x - x_i) + 3d_i(x - x_i)^2 & (3.4.8.4) \\ D^2S_i(x) = S_i''(x) = 2c_i + 6d_i(x - x_i) & (3.4.8.5) \end{cases}$$

$$x \in [x_{i+1}, x_{i+2}] \Rightarrow \begin{cases} S_{i+1}(x) = a_{i+1} + b_{i+1}(x - x_{i+1}) + c_{i+1}(x - x_{i+1})^2 + d_{i+1}(x - x_{i+1})^3 & (3.4.8.6) \\ DS_{i+1}(x) = S'_{i+1}(x) = b_{i+1} + 2c_{i+1}(x - x_{i+1}) + 3d_{i+1}(x - x_{i+1})^2 & (3.4.8.7) \\ D^2 S_{i+1}(x) = S''_{i+1}(x) = 2c_{i+1} + 6d_{i+1}(x - x_{i+1}) & (3.4.8.8) \end{cases}$$

unde am notat operatorii de derivare $D = \frac{d(\cdot)}{dx}$; $D^2 = \frac{d^2(\cdot)}{dx^2}$

Pentru calculul coeficienților necunoscuți vom impune condițiile de continuitate în noduri pentru funcție și derivate.

$$\text{- pentru } x = x_i, \quad S_i(x_i) = y_i; \quad \text{din (3.4.8.3)} \Rightarrow a_i = y_i \quad (3.4.8.9)$$

$$\text{- pentru } x = x_{i+1}, \quad S_i(x_{i+1}) = y_{i+1}; \quad \text{din (3.4.8.3)} \Rightarrow a_i + b_i h_i + c_i h_i^2 + d_i h_i^3 = y_{i+1} \quad (3.4.8.10)$$

$$\text{- pentru } x = x_i, \quad S'_i(x_i) = m_i; \quad \text{din (3.4.8.4)} \Rightarrow b_i = m_i \quad (3.4.8.11)$$

$$\text{- pentru } x = x_{i+1}, \quad S'_i(x_{i+1}) = m_{i+1}; \quad \text{din (3.4.8.4)} \Rightarrow b_i + 2c_i h_i + 3d_i h_i^2 = m_{i+1} \quad (3.4.8.12)$$

Am introdus o notație nouă: m_i reprezentând panta la graficul funcției de interpolare în nodul x_i ; asemănător m_{i+1} este panta pe nodul x_{i+1} . Aceste pante vor fi noile necunoscute ale problemei. Atunci ecuațiile (3.4.8.10) și (3.4.8.12) se scriu:

$$\begin{cases} y_i + m_i h_i + c_i h_i^2 + d_i h_i^3 = y_{i+1} \\ m_i + 2c_i h_i + 3d_i h_i^2 = m_{i+1} \end{cases}$$

Din rezolvarea acestui sistem rezultă imediat:

$$\begin{cases} c_i = 3 \frac{y_{i+1} - y_i}{h_i^2} - \frac{m_{i+1} + 2m_i}{h_i} \\ d_i = -2 \frac{y_{i+1} - y_i}{h_i^3} + \frac{m_{i+1} + m_i}{h_i^2} \end{cases} \quad (3.4.8.13)$$

Utilizând rezultatele obținute în noile necunoscute, expresia (3) devine:

$$S_i(x) = y_i + m_i(x - x_i) + \left(3 \frac{y_{i+1} - y_i}{h_i^2} - \frac{m_{i+1} + 2m_i}{h_i} \right) (x - x_i)^2 + \left(-2 \frac{y_{i+1} - y_i}{h_i^3} + \frac{m_{i+1} + m_i}{h_i^2} \right) (x - x_i)^3 \quad (3.4.8.14)$$

Evident că pe intervalul următor $I_{i+1} = (x_{i+1}, x_{i+2})$ vom obține o expresie absolut similară, cu indicele i mărit cu o unitate.

$$S_{i+1}(x) = y_{i+1} + m_{i+1}(x - x_{i+1}) + \left(3 \frac{y_{i+2} - y_{i+1}}{h_{i+1}^2} - \frac{m_{i+2} + 2m_{i+1}}{h_{i+1}} \right) (x - x_{i+1})^2 + \left(-2 \frac{y_{i+2} - y_{i+1}}{h_{i+1}^3} + \frac{m_{i+2} + m_{i+1}}{h_{i+1}^2} \right) (x - x_{i+1})^3 \quad (3.4.8.15)$$

Dacă vom scrie condiția de continuitate a derivației de ordinul doi în nodul x_{i+1} , din (3.4.8.14) și (3.4.8.15) calculând $S''_i(x_{i+1}) = S''_{i+1}(x_{i+1})$ obținem:

$$2\left(3\frac{y_{i+1}-y_i}{h_i^2} - \frac{m_{i+1}+2m_i}{h_i}\right) + 6\left(-2\frac{y_{i+1}-y_i}{h_i^3} + \frac{m_{i+1}+m_i}{h_i^2}\right)h_i = 2\left(3\frac{y_{i+2}-y_{i+1}}{h_{i+1}^2} - \frac{m_{i+2}+2m_{i+1}}{h_{i+1}}\right)$$

Simplificând și ordonând obținem

$$\frac{m_i}{h_i} + 2m_{i+1}\left(\frac{1}{h_i} + \frac{1}{h_{i+1}}\right) + \frac{m_{i+2}}{h_{i+1}} = 3\left(\frac{y_{i+2}-y_{i+1}}{h_{i+1}^2} + \frac{y_{i+1}-y_i}{h_i^2}\right) \quad (3.4.8.16)$$

Se înmulțește cu $\frac{h_i h_{i+1}}{h_i + h_{i+1}} > 0$ și se mai adoptă niște notații consacrate în literatură ([M11], [B31]):

$$\rho_{i+1} = \frac{h_{i+1}}{h_i + h_{i+1}}; \quad \lambda_{i+1} = 1 - \rho_{i+1} = \frac{h_i}{h_i + h_{i+1}}, \quad (i = 1, 2, \dots, n-2) \quad (3.4.8.17)$$

$$\beta_{i+1} = \frac{3h_i h_{i+1}}{h_i + h_{i+1}} \left(\frac{y_{i+2}-y_{i+1}}{h_{i+1}^2} + \frac{y_{i+1}-y_i}{h_i^2} \right), \quad (i = 1, 2, \dots, n-2)$$

Se obține sistemul:

$$\rho_{i+1}m_i + 2m_{i+1} + \lambda_{i+1}m_{i+2} = \beta_{i+1}, \quad (i = 1, 2, \dots, n-2) \quad (3.4.8.18)$$

Să observăm că avem n necunoscute m_i și numai $(n-2)$ ecuații, datorită sistemului de condiții impuse, care lasă două grade de libertate. Este necesară deci adăugarea a două condiții suplimentare la limită; aceasta se face de obicei prin precizarea pantelor la capetele intervalului de definiție $(m_1; m_n)$, care se leagă prin relații liniare cu pantele vecine, astfel:

$$\begin{cases} i = 0 \Rightarrow & 2m_1 + \lambda_1 m_2 = \beta_1 \\ i = n-1 \Rightarrow & \rho_n m_{n-1} + 2m_n = \beta_n \end{cases} \quad (3.4.8.19)$$

În aceste relații coeficienții $\lambda_1, \beta_1, \rho_n, \beta_n$ sunt aleși de noi prin natura condițiilor puse la capetele intervalului; ei nu pot fi deduși din relațiile (3.4.8.17) care nu sunt definite pentru $i=1$ și $i=n$.

$$\text{De exemplu, dacă luăm } \lambda_1 = 0, \rho_n = 0 \Rightarrow \begin{cases} \beta_1 = 2m_1 \\ \beta_n = 2m_n \end{cases}$$

Întâlnim în literatură un caz particular important de funcții spline cubice care definesc condițiile de capete astfel:

$$S_1''(x_1) = S_{n-1}''(x_n) = 0$$

ceea ce ne conduce la:

$$\begin{cases} 2m_1 + m_2 = 3\frac{y_2 - y_1}{h_1} \\ m_{n-1} + 2m_n = 3\frac{y_n - y_{n-1}}{h_{n-1}} \end{cases} \quad (3.4.8.20)$$

Identificând (3.4.8.19) cu (3.4.8.20) vom avea:

$$\lambda_1 = 1; \beta_1 = 3(y_2 - y_1)/h_1; \rho_n = 1; \beta_n = 3(y_n - y_{n-1})/h_{n-1} \quad (3.4.8.21)$$

Acestea sunt numite **funcții spline cubice naturale**. Se poate demonstra că impunerea acestor condiții de capăt minimizează integrala:

$$I = \int_{x_1}^{x_n} [f''(x)]^2 dx \tag{3.4.8.22}$$

unde $f(x)$ este funcția exactă, necunoscută, de clasă $C^2[a,b]$.

Minimizarea acestei integrale (3.4.8.22) prin impunerea condițiilor naturale (3.4.8.20) conduce la cea mai netedă interpolare spline, cubică. În absența unor informații precise asupra pantelor de la capetele intervalului de definiție (m_1, m_n) se recomandă folosirea condițiilor naturale care conduc de regulă la minimizarea erorii de interpolare. ([B31]).

Sistemul de ecuații algebrice liniare (3.4.8.18), completat cu condițiile de margine (3.4.8.19) se poate scrie matriceal astfel ([M31]):

$$\begin{bmatrix} 2 & \lambda_1 & 0 & 0 & 0 & 0 & 0 & 0 \\ \rho_2 & 2 & \lambda_2 & 0 & 0 & 0 & 0 & 0 \\ 0 & \rho_3 & 2 & \lambda_3 & 0 & 0 & 0 & 0 \\ \dots & \dots & \dots & \dots & \dots & \dots & \dots & \dots \\ 0 & 0 & 0 & 0 & 0 & \rho_{n-1} & 2 & \lambda_{n-1} \\ 0 & 0 & 0 & 0 & 0 & 0 & \rho_n & 2 \end{bmatrix} \begin{bmatrix} m_1 \\ m_2 \\ m_3 \\ \vdots \\ m_{n-1} \\ m_n \end{bmatrix} = \begin{bmatrix} \beta_1 \\ \beta_2 \\ \beta_3 \\ \vdots \\ \beta_{n-1} \\ \beta_n \end{bmatrix} \tag{3.4.8.23}$$

Se demonstrează că sistemul (3.4.8.23) are soluție unică dacă $|\lambda_1| < 2, |\rho_n| < 2$, deoarece în acest caz matricea sistemului este diagonal dominantă; practic problema este rezolvabilă dacă impunem condiții necontradictorii și distincte. Din acest punct de vedere funcțiile spline cubice pot fi privite ca fiind definite formal în sens Hermite pe porțiuni.

Observații:

1. Funcțiile spline cubice descrise mai sus, pot avea abateri în zonele cu pante mari; de aceea în vecinătatea nodurilor cu pante mari, $m_i \geq 5$, se recomandă verificări mai atente.
2. Funcțiile spline pe I_i nu trebuie să fie obligatoriu polinoame; se pot racorda tot felul de funcții dictate și de geometria frontierei: cercuri, elipse, parabole cu polinoame etc. Astfel de combinații pot rezolva problemele în cazul subdomeniilor cu pante mari.

3.4.8.3. A doua variantă pentru funcțiile spline cubice

Vom alege ca necunoscute ale problemei derivatele de ordinul doi ale funcției spline $S_i(x)$ pe fiecare nod. Fie

$$M_i = S_i''(x_i), \quad (i = 0, 1, 2, \dots, n) \tag{3.4.8.24}$$

Deoarece restricția funcției spline pe fiecare interval $[x_{i-1}, x_i]$, notată $S_i(x)$, este o funcție polinomială de gradul trei, atunci derivata sa de ordinul doi va fi o funcție liniară care are expresia analitică evidentă:

$$S_i''(x) = M_{i-1} \frac{x_i - x}{h_i} + M_i \frac{x - x_{i-1}}{h_i}, \quad (i = 1, 2, \dots, n) \tag{3.4.8.25}$$

unde

$$h_i = x_i - x_{i-1}, \quad i = 1, 2, \dots, n \tag{3.4.8.26}$$

Prin două integrări succesive se obține:

$$S_i(x) = M_{i-1} \frac{(x_i - x)^3}{6h_i} + M_i \frac{(x - x_{i-1})^3}{6h_i} + C_i x + D_i \tag{3.4.8.27}$$

unde

$$x \in [x_{i-1}, x_i], \quad (i = 1, 2, \dots, n)$$

Constantele de integrare C_i și D_i se determină impunând condițiile de continuitate în nodul i :

$$S(x_i) = f_i \quad (i = 1, 2, \dots, n) \quad (3.4.8.28)$$

$$\Rightarrow \begin{cases} S_i(x_{i-1}) = M_{i-1} \frac{h_i^2}{6} + C_i \cdot x_{i-1} + D_i = f_{i-1} \\ S_i(x_i) = M_i \frac{h_i^2}{6} + C_i x_i + D_i = f_i \end{cases} \quad (3.4.8.29)$$

$$(3.4.8.30)$$

Cu aceste rezultate relația (3.4.8.27) se scrie:

$$S_i(x) = M_{i-1} \frac{(x_i - x)^3}{6h_i} + M_i \frac{(x - x_{i-1})^3}{6h_i} + \left(f_{i-1} - M_{i-1} \frac{h_i^2}{6} \right) \frac{x_i - x}{h_i} + \left(f_i - M_i \frac{h_i^2}{6} \right) \frac{x - x_{i-1}}{h_i} \quad (3.4.8.31)$$

Mai trebuie să asigurăm și continuitatea derivatei de ordinul întâi pe fiecare nod, despre care n-am spus încă nimic. Avem imediat:

$$S'_i(x) = -M_{i-1} \frac{(x_i - x)^2}{2h_i} + M_i \frac{(x - x_{i-1})^2}{2h_i} + \frac{f_i - f_{i-1}}{h_i} - \frac{M_i - M_{i-1}}{6} h_i \quad (3.4.8.32)$$

Funcția (8) aplicată pe fiecare interval din diviziunea domeniului de definiție, ne conduce la o funcție de interpolare $S(x)$ continuă pe $[a, b]$ deoarece în toate punctele x_i avem $S_i(x_i) = f_i$, $i=1, 2, \dots, n$. Atunci condiția de continuitate a derivatei de ordinul întâi:

$$S'_i(x_i - 0) = S'_i(x_i + 0) \approx S'_i(x_i) = S'_{i+1}(x_i) \quad i = 1, 2, \dots, (n-1) \quad (3.4.8.33)$$

ne conduce la:

$$\frac{h_i}{6} M_{i-1} + \frac{h_i + h_{i+1}}{3} M_i + \frac{h_{i+1}}{6} M_{i+1} = \frac{f_{i+1} - f_i}{h_{i+1}} - \frac{f_i - f_{i-1}}{h_i} \quad i = 1, 2, \dots, (n-1) \quad (3.4.8.34)$$

Se vede că am obținut un sistem de $(n-1)$ ecuații liniare cu $(n+1)$ necunoscute: M_0, M_1, \dots, M_n ; un astfel de sistem este nedeterminat și putem găsi o infinitate de funcții spline de interpolare $S(x)$ pentru funcția căutată $f(x)$ și diviziunea dată. Ca să avem o problemă cu soluție unică, mai trebuie să impunem două condiții suplimentare. Deși această problemă nu este complet lămurită în literatură, se obișnuiește să se impună două categorii de condiții:

- I. **Prima categorie de condiții se referă la derivatele de ordinul doi pe nodurile marginale: $M_0 = M_n = 0$.** Acestea s-au numit *condițiile naturale*. Atunci, din prima ecuație (3.4.8.34) dispare primul termen, iar din ultima ecuație (3.4.8.34) dispare termenul care-l conține pe M_n . Se ajunge astfel la un sistem de $(n-1)$ ecuații cu $(n-1)$ necunoscute, tridiagonal, cu diagonala principală dominantă, care se știe că are o soluție unică.
- II. **A doua categorie de condiții se referă la derivatele de ordinul întâi tot pe nodurile extreme ale intervalului de definiție. Se presupune că sunt cunoscute valorile $f'_0 = f'(x_0)$ și $f'_n = f'(x_n)$.** Vom scrie atunci condițiile pentru polinomul de interpolare:

$$S'(x_0) = f'_0; \quad S'(x_n) = f'_n \quad (3.4.8.35)$$

Din relațiile (3.4.8.34) obținem:

$$\left. \begin{aligned} i = 0 &\Rightarrow M_0 \frac{h_1}{3} + M_1 \frac{h_1}{6} = \frac{f_1 - f_0}{h_1} - f'_0 \\ i = n &\Rightarrow M_{n-1} \frac{h_n}{6} + M_n \frac{h_n}{3} = f'_n - \frac{f_n - f_{n-1}}{h_n} \end{aligned} \right\} \quad (3.4.8.36)$$

În sistemul (3.4.8.34) înmulțim cu $\frac{6}{h_i + h_{i+1}}$ și avem:

$$\frac{h_i}{h_i + h_{i+1}} M_{i-1} + 2M_i + \frac{h_{i+1}}{h_i + h_{i+1}} M_{i+1} = \frac{6}{h_i + h_{i+1}} \left(\frac{f_{i+1} - f_i}{h_{i+1}} - \frac{f_i - f_{i-1}}{h_i} \right) \quad (3.4.8.37)$$

Vom nota coeficienții:

$$A_i = \frac{h_i}{h_i + h_{i+1}}; B_i = 2 \quad \forall i = 1, 2, \dots, n-1; C_i = \frac{h_{i+1}}{h_i + h_{i+1}}; D_i = \frac{6}{h_i + h_{i+1}} \left(\frac{f_{i+1} - f_i}{h_{i+1}} - \frac{f_i - f_{i-1}}{h_i} \right) \quad (3.4.8.38)$$

În final vom avea sistemul (din (3.4.8.36) și (3.4.8.37)):

$$\begin{cases} 2M_0 + M_1 = \frac{6}{h_1} \left(\frac{f_1 - f_0}{h_1} - f'_0 \right) \\ A_i M_{i-1} + 2M_i + C_i M_{i+1} = D_i \\ M_{n-1} + 2M_n = \frac{6}{h_n} \left(f'_n - \frac{f_n - f_{n-1}}{h_n} \right) \end{cases} \quad (3.4.8.39)$$

Avem acum un sistem de $(n+1)$ ecuații cu $(n+1)$ necunoscute, care se rezolvă după un algoritm similar cu primul caz analizat, în ipoteza că se cunosc f'_0 și f'_n - valori care de obicei nu se cunosc a priori.

3.4.8.4. A treia variantă pentru funcțiile spline cubice. Funcții spline exponențiale.

În cazul funcțiilor spline cubice, analizate până acum, chiar dacă polinomul de gradul trei care intră în structura lor, este definit pe un interval foarte mic, apar adeseori oscilații, care influențează calitatea interpolării. De aceea, pentru a evita aceste neajunsuri, s-au introdus așa-numitele **funcții spline exponențiale** care înlocuiesc polinomul algebric de gradul trei de pe fiecare interval $[x_{i-1}, x_i]$ cu o combinație liniară a următoarelor patru funcții: $1, x, e^{\alpha_i x}, e^{-\alpha_i x}$. Pentru calculele numerice se preferă introducerea unei coordonate adimensionale $t = (x - x_{i-1})/h_i$ și înlocuirea funcțiilor exponențiale cu funcții trigonometrice hiperbolice, astfel încât în literatură ([11]) se găsește următoarea formă analitică de reprezentare a elementului local $S_i(x)$:

$$S_i(x) = f_i t + f_{i-1} (1-t) + \frac{M_i}{\alpha_i^2} \left[\frac{sh \beta_i t}{sh \beta_i} - t \right] + \frac{M_{i-1}}{\alpha_i^2} \left[\frac{sh \beta_i (1-t)}{sh \beta_i} - (1-t) \right] \quad (3.4.8.40)$$

$$x \in [x_{i-1}, x_i]; \quad t = \frac{x - x_{i-1}}{h_i}; \quad \beta_i = \alpha_i h_i \quad (3.4.8.41)$$

$$h_i = x_i - x_{i-1}; \quad \begin{cases} S_i(x_{i-1}) = f_{i-1}; & S_i(x_i) = f_i \\ S_i'(x_{i-1}) = M_{i-1}; & S_i'(x_i) = M_i \end{cases} \quad (3.4.8.42)$$

Se vede că relația (3.4.8.40) este o combinație liniară a sistemului fundamental de funcții care asigură continuitatea funcției de interpolare pe $[a, b]$ (v. relația (3.4.8.42)). Întocmai ca la punctul precedent am ales ca necunoscute derivatele de ordinul doi în nodurile rețelei de discretizare.

Mai trebuie să punem condiții de continuitate în noduri și pentru derivatele de ordinul întâi. Pentru aceasta vom calcula derivata de ordinul întâi a funcției $S_i(x)$, ținând cont că ea depinde de x prin intermediul lui t . Obținem:

$$S_i'(x) = \frac{f_i - f_{i-1}}{h_i} + M_{i-1} \frac{sh\beta_i - \beta_i ch\beta_i(1-t)}{\beta_i^2 sh\beta_i} h_i + M_i \frac{\beta_i ch\beta_i t - sh\beta_i}{\beta_i^2 sh\beta_i} h_i, \quad i = 1, 2, \dots, n \quad (3.4.8.43)$$

Impunem condiția ca:

$$S_i'(x_i) = S_{i+1}'(x_i) \quad (3.4.8.44)$$

Trebuie să ținem cont de următoarele situații:

- dacă $x \in [x_{i-1}, x_i]$, $t = \frac{x - x_{i-1}}{h_i}$; pentru $x = x_i \Rightarrow t = 1$ (se introduce în $S_i'(x_i)$)
- dacă $x \in [x_i, x_{i+1}]$, $t = \frac{x - x_i}{h_{i+1}}$; pentru $x = x_i \Rightarrow t = 0$ (se introduce în $S_{i+1}'(x_i)$)

După calcule algebrice simple vom obține:

$$\begin{aligned} M_{i-1} \frac{sh\beta_i - \beta_i}{\beta_i^2 sh\beta_i} h_i + M_i \left[\frac{\beta_i ch\beta_i - sh\beta_i}{\beta_i^2 sh\beta_i} h_i + \frac{\beta_{i+1} ch\beta_{i+1} - sh\beta_{i+1}}{\beta_{i+1}^2 sh\beta_{i+1}} h_{i+1} \right] + M_{i+1} \frac{sh\beta_{i+1} - \beta_{i+1}}{\beta_{i+1}^2 sh\beta_{i+1}} h_{i+1} = \\ = \frac{f_{i+1} - f_i}{h_{i+1}} - \frac{f_i - f_{i-1}}{h_i} \end{aligned} \quad (3.4.8.45)$$

Se introduc niște notații fără vreo semnificație aparte, numai pentru condensarea scrierii:

$$\begin{aligned} A_{i-1} = \frac{sh\beta_i - \beta_i}{\beta_i^2 sh\beta_i} h_i; \quad B_i = \frac{\beta_i ch\beta_i - sh\beta_i}{\beta_i^2 sh\beta_i} h_i; \quad B_{i+1} = \frac{\beta_{i+1} ch\beta_{i+1} - sh\beta_{i+1}}{\beta_{i+1}^2 sh\beta_{i+1}} h_{i+1}; \\ C_i = \frac{sh\beta_{i+1} - \beta_{i+1}}{\beta_{i+1}^2 sh\beta_{i+1}} h_{i+1}; \quad D_i = \frac{f_{i+1} - f_i}{h_{i+1}} - \frac{f_i - f_{i-1}}{h_i} \end{aligned} \quad (3.4.8.46)$$

Ecuția (3.4.8.45) devine:

$$A_{i-1}M_{i-1} + (B_i + B_{i+1})M_i + C_iM_{i+1} = D_i; \quad (i = 1, 2, \dots, n-1) \quad (3.4.8.47)$$

Această relație reprezintă un sistem de $(n-1)$ ecuații cu $(n+1)$ necunoscute (M_0, M_1, \dots, M_n). Condițiile de înlăturare a nedeterminării sunt aceleași ca la paragraful precedent:

- I. $M_0 = 0; M_n = 0$. Se obține un sistem de $(n-1)$ ecuații cu $(n-1)$ necunoscute: M_1, M_2, \dots, M_{n-1}
- II. $S_1'(x_0) = f'_0$; $S_n'(x_n) = f'_n$, mărimi presupuse date.

Obținem sistemul:

$$\begin{cases} B_1 M_0 + C_0 M_1 = D_0 \\ A_{i-1} M_{i-1} + (B_i + B_{i+1}) M_i + C_i M_{i+1} = D_i \quad (i=1,2,\dots,(n-1)) \\ A_{n-1} M_{n-1} + B_n M_n = D_n \end{cases}$$

unde

$$D_0 = \frac{f_1 - f_0}{h_1} - f'_0, \quad D_n = f'_n - \frac{f_n - f_{n-1}}{h_n}$$

De data aceasta avem un sistem de $(n+1)$ ecuații cu $(n+1)$ necunoscute, care se rezolvă după același algoritm.

Observații: Au rămas totuși unele aspecte destul de neclare.

De exemplu:

- Ce valori pot lua parametrii? Aceasta este încă o problemă nerezolvată și este deschisă cercetării ([11]). S-a constatat că pentru valori mici ale lui α_i , funcțiile spline exponențiale se comportă asemănător cu funcțiile spline cubice, adică vom avea oscilații nedorite în unele cazuri, pentru valori mari vor apărea puncte unghiulare caracteristice funcțiilor spline liniare. De aceea, într-o singură bibliografie se recomandă $\alpha_i \in [4,15]$ ([11]).
- De asemenea se presupune că f'_0 și f'_n sunt cunoscute, ceea ce de obicei nu se întâmplă.

De aceste motive am făcut în continuare un studiu al influenței acestor parametri asupra erorii maxime relative.

3.4.8.5. Realizare program pentru interpolarea cu funcții spline

Cu fiecare din metodele descrise mai sus am realizat câte un program de calcul al aproximărilor cu funcții spline pentru cazul unui semicerc (Fig. 3.4.8.2), resp. pentru cazul unei semielipse (Fig. 3.4.8.3); deoarece pentru aceste cazuri soluțiile exacte se cunosc, putem să apreciem erorile introduse de aproximarea prin funcții spline.

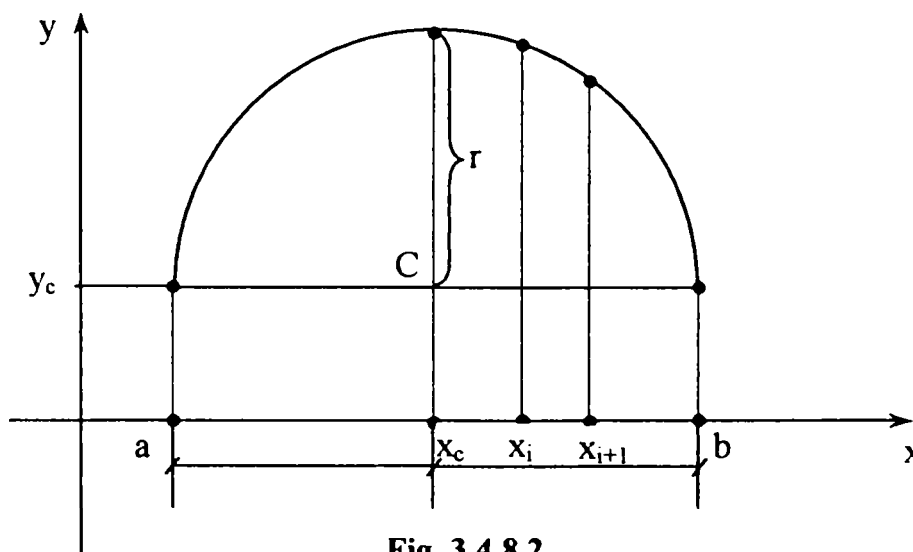


Fig. 3.4.8.2

S-a considerat într-o primă variantă pasul rețelei de discretizare ($h_i = x_{i+1} - x_i$) ca fiind constant, iar într-o a doua variantă (v. Fig. 3.4.8.4 și Fig. 3.4.8.5) s-a efectuat o discretizare după unghiuri egale măsurate din centrul semicercului, resp. din centrul semielipsei. Prin program sunt date ca valori cunoscute coordonatele centrului cercului (x_c, y_c) și raza cercului r , respectiv coordonatele centrului elipsei (x_c, y_c) și raza mare (R) și mică (r) a elipsei.

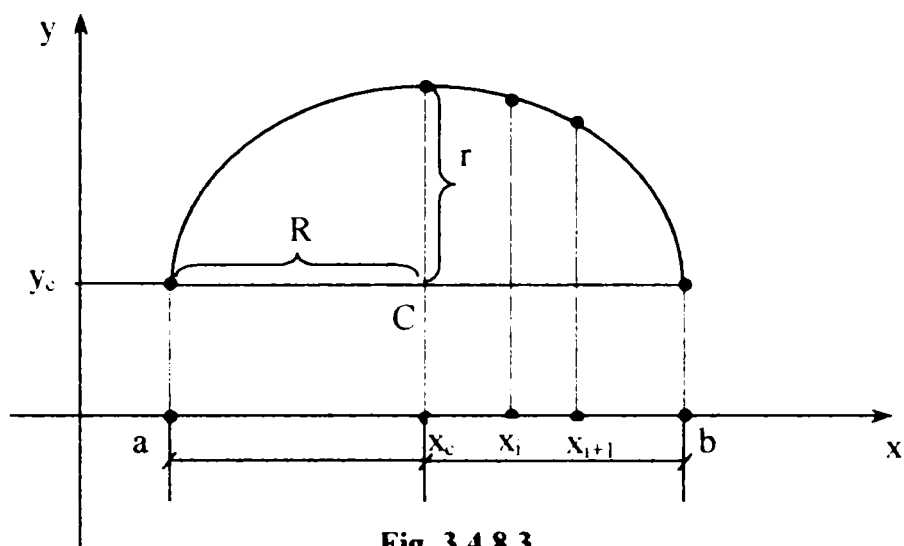


Fig. 3.4.8.3

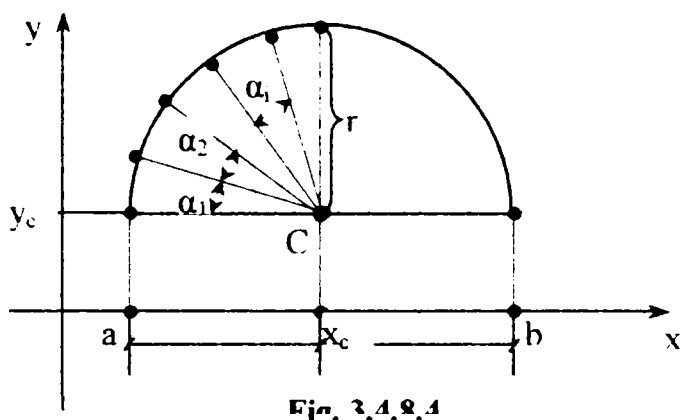


Fig. 3.4.8.4

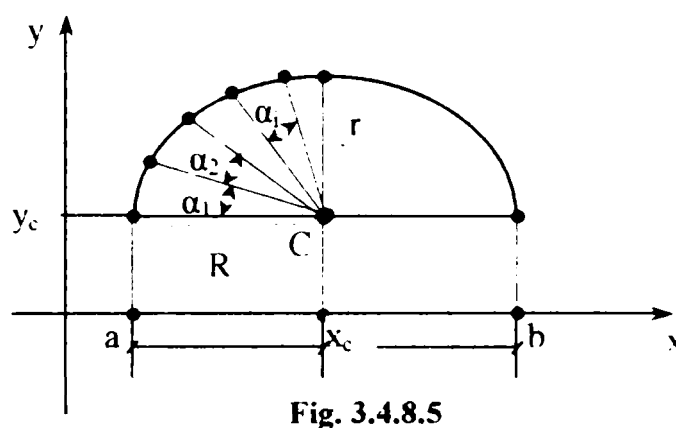


Fig. 3.4.8.5

Voi prezenta în continuare **algoritmul programului de implementare a funcțiilor spline cubice naturale, varianta I-a, pentru aproximarea unui semicerc utilizând o eșantionare în arce egale** (cazul din Fig. 3.4.8.4); celelalte variante de program sunt similare, codurile lor sursă fiind date la sfârșitul acestui paragraf.

La pornirea programului apare o fereastră mesaj cu titlul problemei pe care o rezolvă programul (v. Fig. 3.4.8.6). De asemenea a se deschide fișierul text "lesire.txt", în care se vor memora rezultatele.

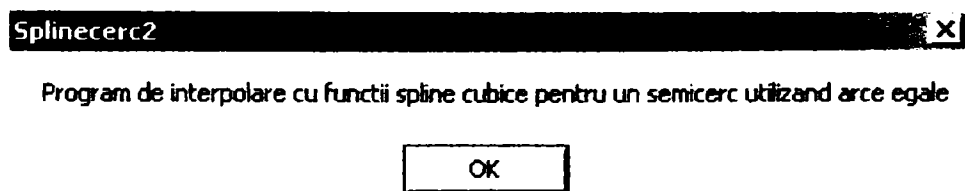


Fig.3.4.8.6

Citirea datelor de intrare se face cu ajutorul formei **Fr** din Fig. 3.4.8.7. Aici se dau coordonatele centrului semicercului, care se vor memora în variabilele x_c și y_c , raza semicercului r , precum și numărul de puncte de eșantionare în arce egale, n , în care va fi discretizat acest semicerc. După clic pe butonul de comandă **OK** are loc calculul mai multor vectori:

- vectorul *unghi*, de n elemente, ce conține unghiurile la centru a celor n puncte de discretizare;
- vectorul *x*, de n elemente, ce conține coordonatele corespunzătoare axei x a celor n puncte de discretizare;
- vectorul *y*, de n elemente, ce conține coordonatele corespunzătoare axei y a celor n puncte de discretizare;

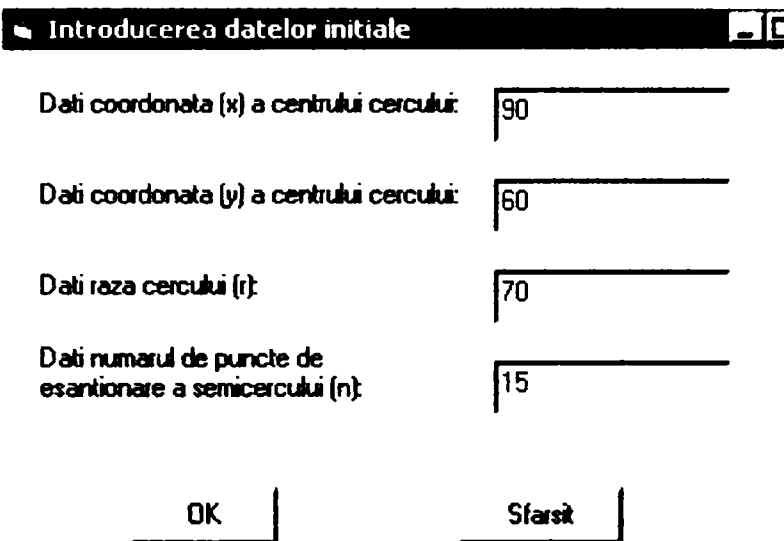


Fig. 3.4.8.7

- vectorul λ , de $n-1$ elemente, calculat cu formulele (3.4.8.17), resp. din condiții naturale $\lambda_1 = 0$, conform relațiilor (3.4.8.21);

$$unghi = \left\{ \begin{array}{l} unghi_1 = 0 \\ unghi_2 = unghi_1 + \pi / (n - 1) \\ \dots \\ unghi_i = unghi_{i-1} + \pi / (n - 1) \\ \dots \\ unghi_n = unghi_{n-1} + \pi / (n - 1) \end{array} \right\}, \quad x = \left\{ \begin{array}{l} x_1 = x_c - r \cos(unghi_1) \\ x_2 = x_c - r \cos(unghi_2) \\ \dots \\ x_i = x_c - r \cos(unghi_i) \\ \dots \\ x_n = x_c - r \cos(unghi_n) \end{array} \right\},$$

$$y = \left\{ \begin{array}{l} y_1 = y_c + \sqrt{r^2 - (x_1 - x_c)^2} \\ y_2 = y_c + \sqrt{r^2 - (x_2 - x_c)^2} \\ \dots \\ y_i = y_c + \sqrt{r^2 - (x_i - x_c)^2} \\ \dots \\ y_n = y_c + \sqrt{r^2 - (x_n - x_c)^2} \end{array} \right\}, \quad \lambda = \left\{ \begin{array}{l} \lambda_1 = 1 \\ \lambda_2 = \frac{h_1}{h_1 + h_2} \\ \dots \\ \lambda_i = \frac{h_{i-1}}{h_{i-1} + h_i} \\ \dots \\ \lambda_{n-1} = \frac{h_{n-2}}{h_{n-2} + h_{n-1}} \end{array} \right\},$$

$$\rho = \left\{ \begin{array}{l} \rho_2 = \frac{h_2}{h_1 + h_2} \\ \dots \\ \rho_i = \frac{h_i}{h_{i-1} + h_i} \\ \dots \\ \rho_{n-1} = \frac{h_{n-1}}{h_{n-2} + h_{n-1}} \\ \rho_n = 1 \end{array} \right\}, \quad \beta = \left\{ \begin{array}{l} \beta_1 = 3 \frac{y_2 - y_1}{h_1} \\ \beta_2 = \frac{3h_1 h_2}{h_1 + h_2} \left(\frac{y_3 - y_2}{h_2^2} + \frac{y_2 - y_1}{h_1^2} \right) \\ \dots \\ \beta_i = \frac{3h_{i-1} h_i}{h_{i-1} + h_i} \left(\frac{y_{i+1} - y_i}{h_i^2} + \frac{y_i - y_{i-1}}{h_{i-1}^2} \right) \\ \dots \\ \beta_n = 3 \frac{y_n - y_{n-1}}{h_{n-1}} \end{array} \right\}.$$

(3.4.8.49)

- vectorul ρ , de $n-1$ elemente, calculat cu formulele (3.4.8.17), resp. din condiții naturale $\rho_n = 1$, conform relațiilor (3.4.8.21);
- vectorul β , de n elemente, calculat cu formulele (3.4.8.17'), resp. din condiții naturale β_1 și β_n , conform relațiilor (3.4.8.21);

După calculul tuturor elementelor vectorilor de mai sus apare pe ecran forma **Frmafis** din Fig. 3.4.8.8.

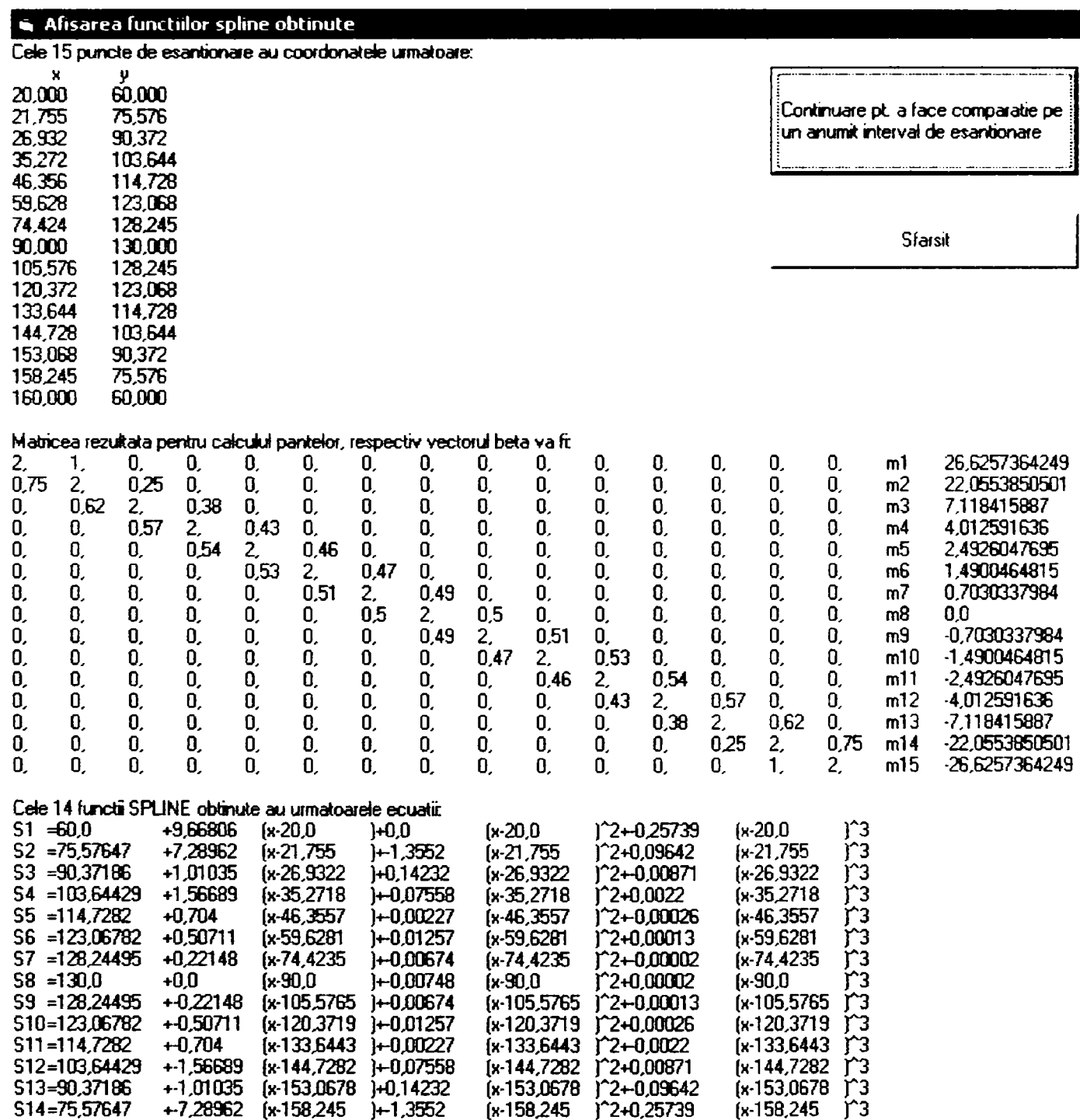


Fig.3.4.8.8

în care se afișează:

- coordonatele celor n puncte de eșantionare (în exemplul dat $n=15$), date de elementele vectorilor x și y determinate mai sus;
- matricea rezultată pentru calculul pantelor m_1, m_2, \dots, m_n , respectiv vectorul β , de forma (3.4.8.23);

- cele $n-1$ (în acest caz 14) ecuații ale funcțiilor spline obținute pe fiecare din cele $n-1$ intervale de discretizare a frontierei, conform relațiilor (3.4.8.14).

Tot ce apare afișat în această formă va fi memorat de asemenea și în fișierul text „*Jesire.txt*”.

Pentru aceste afișări a fost necesar să se formeze mai întâi matricea mat , de $n \times n$ elemente, a coeficienților necunoscutelor m_1, m_2, \dots, m_n :

$$mat = \begin{bmatrix} 2 & \lambda_1 & 0 & 0 & 0 & 0 & 0 & 0 \\ \rho_2 & 2 & \lambda_2 & 0 & 0 & 0 & 0 & 0 \\ 0 & \rho_3 & 2 & \lambda_3 & 0 & 0 & 0 & 0 \\ \dots & \dots & \dots & \dots & \dots & \dots & \dots & \dots \\ 0 & 0 & 0 & 0 & 0 & \rho_{n-1} & 2 & \lambda_{n-1} \\ 0 & 0 & 0 & 0 & 0 & 0 & \rho_n & 2 \end{bmatrix} \quad (3.4.8.50)$$

după care, utilizând metoda Gauss a eliminării se rezolvă sistemul de n ecuații cu n necunoscute rezultat (v. ecuația (3.4.8.14)).

În continuare, pentru a afișa cele $n-1$ ecuații de forma (3.4.8.3), a funcțiilor spline pentru fiecare interval de eșantionare, s-au calculat vectorii a, b, c, d , cu $n-1$ elemente, care formează coeficienții polinoamelor de interpolare spline:

$$a = \begin{Bmatrix} a_1 = y_1 \\ a_2 = y_2 \\ \dots \\ a_i = y_i \\ \dots \\ a_{n-1} = y_{n-1} \end{Bmatrix}, \quad b = \begin{Bmatrix} b_1 = m_1 \\ b_2 = m_2 \\ \dots \\ b_i = m_i \\ \dots \\ b_n = m_n \end{Bmatrix}, \quad c = \begin{Bmatrix} c_1 = 3 \frac{y_2 - y_1}{h_1^2} - \frac{m_2 + 2m_1}{h_1} \\ c_2 = 3 \frac{y_3 - y_2}{h_2^2} - \frac{m_3 + 2m_2}{h_2} \\ \dots \\ c_i = 3 \frac{y_{i+1} - y_i}{h_i^2} - \frac{m_{i+1} + 2m_i}{h_i} \\ \dots \\ c_{n-1} = 3 \frac{y_n - y_{n-1}}{h_{n-1}^2} - \frac{m_n + 2m_{n-1}}{h_{n-1}} \end{Bmatrix},$$

$$d = \begin{Bmatrix} d_1 = -2 \frac{y_2 - y_1}{h_1^3} + \frac{m_2 + m_1}{h_1^2} \\ d_2 = -2 \frac{y_3 - y_2}{h_2^3} + \frac{m_3 + m_2}{h_2^2} \\ \dots \\ d_i = -2 \frac{y_{i+1} - y_i}{h_i^3} + \frac{m_{i+1} + m_i}{h_i^2} \\ \dots \\ d_{n-1} = -2 \frac{y_n - y_{n-1}}{h_{n-1}^3} + \frac{m_n + m_{n-1}}{h_{n-1}^2} \end{Bmatrix}. \quad (3.4.8.51)$$

La clic pe butonul *Continuare pt. a face comparație pe un anumit interval de esantionare*, va apare pe ecran forma **Frmcontcompar**, prezentată în Fig. 3.4.8.9, în care se cere numărul intervalului, k , care se dorește a fi studiat și numărul de puncte, n_{rp} , în care acest interval să fie discretizat cu pas orizontal constant, puncte în care să se determine eroarea dintre valoarea reală a funcției și cea aproximată cu funcțiile spline cubice.

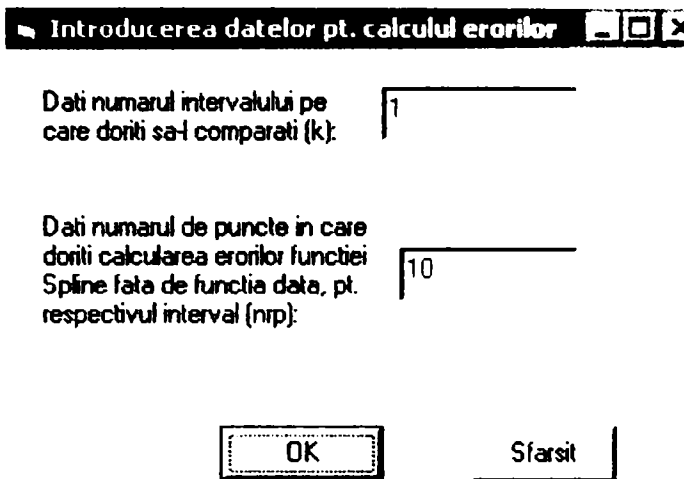


Fig. 3.4.8.9

După ce se tastează un număr de interval la alegere cuprins între 1 și $n-1$ și un număr arbitrar (cuprins între 3 și 30 de exemplu) de puncte de calcul al erorii în acel interval, la clic pe butonul de comandă *OK* se calculează:

- vectorii $x1$ și $y1$ de câte nrp elemente, ce reprezintă coordonatele punctelor de discretizare a intervalului k de pe semicerc, respectiv

$$x1 = \left\{ \begin{array}{l} x1_1 = x_k \\ x1_2 = x1_1 + h1 \\ \dots \\ x1_i = x1_{i-1} + h1 \\ \dots \\ x1_{nrp} = x1_{nrp-1} + h1 \end{array} \right\}, \quad y1 = \left\{ \begin{array}{l} y1_1 = y_c + \sqrt{r^2 - (x1_1 - x_c)^2} \\ y1_2 = y_c + \sqrt{r^2 - (x1_2 - x_c)^2} \\ \dots \\ y1_i = y_c + \sqrt{r^2 - (x1_i - x_c)^2} \\ \dots \\ y1_{nrp} = y_c + \sqrt{r^2 - (x1_{nrp} - x_c)^2} \end{array} \right\} \quad (3.4.8.52)$$

unde $h1$ reprezintă pasul constant de discretizare pe orizontală a intervalului ales k , adică:

$$h1 = \frac{pas}{nrp - 1} \quad (3.4.8.53)$$

- vectorul sk , de nrp elemente, ce conține valorile returnate de funcția spline pentru acele puncte;

$$sk = \left\{ \begin{array}{l} sk_1 = a_k + b_k(x1_1 - x_k) + c_k(x1_1 - x_k)^2 + d_k(x1_1 - x_k)^3 \\ sk_2 = a_k + b_k(x1_2 - x_k) + c_k(x1_2 - x_k)^2 + d_k(x1_2 - x_k)^3 \\ \dots \\ sk_i = a_k + b_k(x1_i - x_k) + c_k(x1_i - x_k)^2 + d_k(x1_i - x_k)^3 \\ \dots \\ sk_{nrp} = a_k + b_k(x1_{nrp} - x_k) + c_k(x1_{nrp} - x_k)^2 + d_k(x1_{nrp} - x_k)^3 \end{array} \right\} \quad (3.4.8.54)$$

În continuare pe ecran apare o nouă formă, **Frmafis2**, în care sunt afișate rezultatele obținute (v. Fig. 3.4.8.10). De asemenea tot ce apare afișat în această fereastră este memorat în același timp și în fișierul text „*Jesire.txt*”. Pe această formă se pune întrebarea dacă se dorește să se repete procedura pentru un alt interval dintre cele $n-1$ intervale de discretizare în arce egale a semicercului.

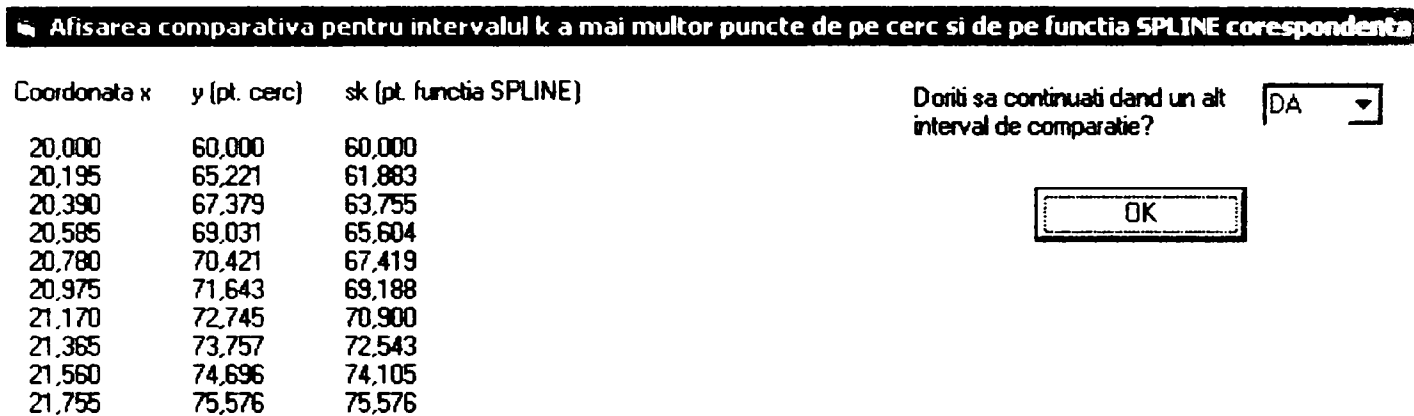


Fig.3.4.8.10

Dacă se alege răspunsul *DA*, programul ne întoarce la forma *Frmcontcompar*, unde putem alege un alt interval de discretizare *k*, și/sau, eventual, un alt număr de puncte în care să fie discretizat intervalul *k* – vezi Fig. 3.4.8.11.

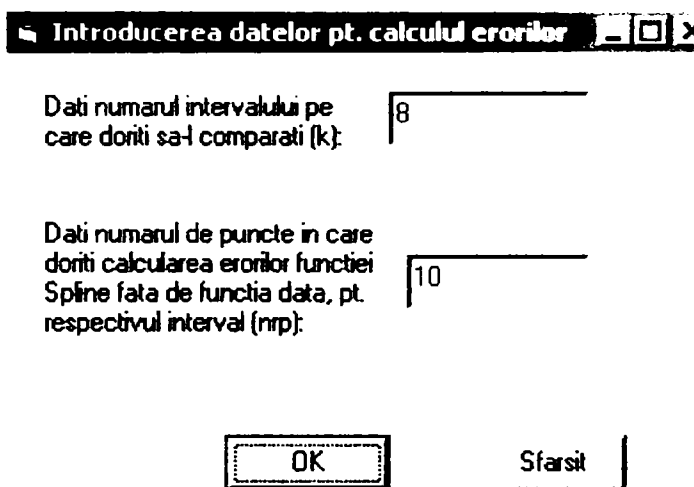


Fig. 3.4.8.11

Se repetă aceleași calcule și se afișează noile rezultate (v. Fig. 3.4.8.12), observându-se faptul că pentru intervale care se află cât mai aproape de unghiul de 90° față de axa Ox (cum este cel cu numărul *k=8*), diferența între funcția reală și aproximarea dată de funcția spline este minimă.

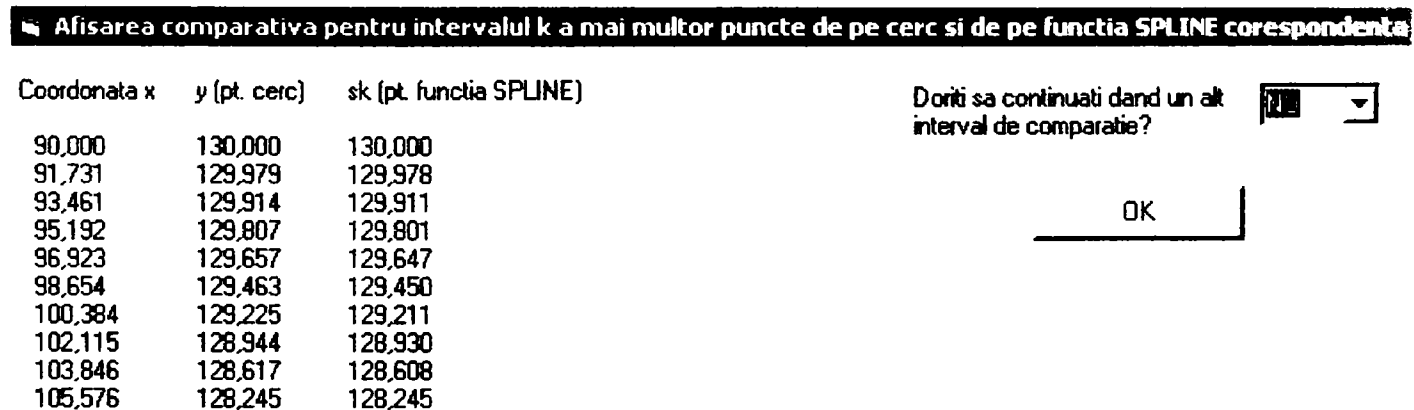


Fig. 3.4.8.12

La alegerea răspunsului *NU* la întrebarea de continuare de mai sus programul se încheie. O variantă mai completă a acestor programe, adăugite cu un algoritm adaptiv, respectiv un studiu mai detaliat al erorilor cu proceduri grafice pentru reprezentarea acestor erori, se va prezenta la paragraful 3.6.2.

În continuare prezint codurile sursă a programelor descrise în acest paragraf:

Cod sursă al programului de interpolare cu funcții spline varianta I-a cu condiții naturale pentru cazul unui semicerc cu discretizare în arce egale

Module 1:

```
Public n, k, nrp As Integer
Public xc, yc, r, pas, h1, z As Single
Public h(), x(), y(), panta(), lambda(), ro(), beta(), m() As Single
Public mat(), a(), b(), c(), d() As Single
Public x1(), y1(), sk() As Single
```

Sub main()

```
MsgBox ("Program de interpolare cu functii spline cubice pentru un semicerc utilizand arce egale")
Frmintro.Show
End Sub
```

Frmintro:

Private Sub cmdok_Click()

```
xc = Val(txtcentx.Text)
yc = Val(Txtcenty.Text)
r = Val(Txtr.Text)
n = Val(Txtn.Text)
ReDim h(1 To n - 1), unghi(1 To n), x(1 To n), y(1 To n), lambda(1 To n - 1), ro(2 To n), beta(1 To n), m(1 To n)
As Single
ReDim mat(1 To n, 1 To n), a(1 To n - 1), b(1 To n - 1), c(1 To n - 1), d(1 To n - 1) As Single
unghi(1) = 0
For i = 2 To n
    unghi(i) = unghi(i - 1) + 4 * Atn(1) / (n - 1)
Next i
For i = 1 To n
    x(i) = xc - r * Cos(unghi(i))
Next i
For i = 1 To n
    y(i) = yc + Sqr(r ^ 2 - (x(i) - xc) ^ 2)
Next i
For i = 1 To n - 1
    h(i) = x(i + 1) - x(i)
Next i
lambda(1) = 1
For i = 2 To n - 1
```

```

lambda(i) = h(i - 1) / (h(i - 1) + h(i))
Next i
For i = 2 To n - 1
    ro(i) = h(i) / (h(i - 1) + h(i))
Next i
ro(n) = 1
beta(1) = 3 * (y(2) - y(1)) / h(1)
For i = 2 To n - 1
    beta(i) = 3 * h(i - 1) * h(i) / (h(i - 1) + h(i)) * ((y(i + 1) - y(i)) / h(i) ^ 2 + (y(i) - y(i - 1)) / h(i - 1) ^ 2)
Next i
beta(n) = 3 * (y(n) - y(n - 1)) / h(n - 1)
Frmintro.Hide
Frmafis.Show
End Sub

```

```

Private Sub cmdsf_Click()

```

```

    End
End Sub

```

```

Private Sub Txtn_Validate(Cancel As Boolean)

```

```

n = Val(Txtn.Text)
If n <= 2 Then
    MsgBox ("n trebuie sa fie natural si >=3!")
    Cancel = True
End If
End Sub

```

```

Private Sub Txtr_Validate(Cancel As Boolean)

```

```

r = Val(Txtr.Text)
If r <= 0 Then
    MsgBox ("r trebuie sa fie >=0!")
    Cancel = True
End If
End Sub

```

```

Frmafis:

```

☛ Afisarea functiilor spline obtinute

Continuare pt. a face comparatie pe un anumit interval de esantionare

Sfarsit

```

Private Sub Cmdcont_Click()

```

```

Frmafis.Hide
Frmcontcompar.Show
End Sub

```

```

Private Sub cmdsf_Click()

```

```

    End
End Sub

```


Private Sub Form_Activate()

```

Cls
Open "Iesire.txt" For Output As #1
Print "Cele " & n & " puncte de esantionare au coordonatele urmatoare:"
Print "    x    y"
Print #1, "Cele " & n & " puncte de esantionare au coordonatele urmatoare:"
Print #1, "    x    y"
For i = 1 To n
    Print Format(x(i), "#####0.000"); Tab(13); Format(y(i), "#####0.000")
    Print #1, Format(x(i), "#####0.000"); Tab(13); Format(y(i), "#####0.000")
Next i
mat(1, 1) = 2: mat(1, 2) = lambda(1)
For i = 1 To n - 2
    mat(1, i + 2) = 0
Next i
For i = 2 To n - 1
    For j = 1 To i - 2
        mat(i, j) = 0
    Next j
    mat(i, j) = ro(i): mat(i, j + 1) = 2: mat(i, j + 2) = lambda(i)
    j = j + 2
    For k = j To n - 1
        mat(i, k + 1) = 0
    Next k
Next i
For i = 1 To n - 2
    mat(n, i) = 0
Next i
mat(n, n - 1) = ro(n): mat(n, n) = 2
Print
Print "Matricea rezultata pentru calculul pantelor, respectiv vectorul beta va fi:"
Print #1, ""
Print #1, "Matricea rezultata pentru calculul pantelor, respectiv vectorul beta va fi:"
For i = 1 To n
    For j = 1 To n
        Print Tab(1 + (j - 1) * 7); Format(mat(i, j), "###0.##");
        Print #1, Tab(1 + (j - 1) * 7); Format(mat(i, j), "###0.##");
    Next j
    Print Tab(1 + n * 7); "m" & i; Tab(8 + n * 7); Format(beta(i), "#####0.0#####")
    Print #1, Tab(1 + n * 7); "m" & i; Tab(8 + n * 7); Format(beta(i), "#####0.0#####")
Next i
n1 = n - 1
For i = 1 To n1
    i1 = i
    For i2 = i To n
        If Abs(mat(i1, i)) < Abs(mat(i2, i)) Then i1 = i2
    Next i2
    If mat(i1, i) <> 0 Then
        If i1 <> 1 Then
            For j = 1 To n
                z = mat(i, j)
                mat(i, j) = mat(i1, j)
                mat(i1, j) = z
            Next j
            z = beta(i)
            beta(i) = beta(i1)
            beta(i1) = z
        End If
        z = mat(i, i)
        For j = 1 To n
            mat(i, j) = mat(i, j) / z
        Next j
    End If
Next i

```

```

beta(i) = beta(i) / z
il = i + 1
For j = il To n
  If mat(j, i) <> 0 Then
    z = mat(j, i)
    For k = i To n
      mat(j, k) = mat(j, k) - z * mat(i, k)
    Next k
    beta(j) = beta(j) - beta(i) * z
  End If
Next j
Else
  MsgBox ("Sistem incompatibil sau nedeterminat!")
End
End If
Next i
If mat(n, n) <> 0 Then
  m(n) = beta(n) / mat(n, n)
  For i = 1 To n-1
    m(n - i) = beta(n - i)
    For k = 1 To i
      m(n - i) = m(n - i) - mat(n - i, n - i + k) * m(n - i + k)
    Next k
  Next i
Else
  MsgBox ("Sistem incompatibil sau nedeterminat")
End
End If
For i = 1 To n - 1
  a(i) = y(i)
  b(i) = m(i)
  c(i) = 3 * (y(i + 1) - y(i)) / h(i) ^ 2 - (m(i + 1) + 2 * m(i)) / h(i)
  d(i) = -2 * (y(i + 1) - y(i)) / h(i) ^ 3 + (m(i + 1) + m(i)) / h(i) ^ 2
Next i
Print
Print "Cele " & n - 1 & " funcții SPLINE obtinute au urmatoarele ecuatii:"
Print #1, ""
Print #1, "Cele " & n - 1 & " funcții SPLINE obtinute au urmatoarele ecuatii:"
For i = 1 To n - 1
  Print "S" & i; Tab(5); "="; Format(a(i), "#####0.0#####"); Tab(19); "+"; Format(b(i), "#####0.0#####"); Tab(31);
  "(x-"; Format(x(i), "#####0.0####"); Tab(44); "+"; Format(c(i), "#####0.0#####"); Tab(58); "(x-"; Format(x(i),
  "#####0.0####"); Tab(71); ")^2+"; Format(d(i), "#####0.0#####"); Tab(88); "(x-"; Format(x(i), "#####0.0####");
  Tab(101); ")^3"
  Print #1, "S" & i; Tab(5); "="; Format(a(i), "#####0.0#####"); Tab(19); "+"; Format(b(i), "#####0.0#####");
  Tab(31); "(x-"; Format(x(i), "#####0.0####"); Tab(44); "+"; Format(c(i), "#####0.0#####"); Tab(58); "(x-";
  Format(x(i), "#####0.0####"); Tab(71); ")^2+"; Format(d(i), "#####0.0#####"); Tab(88); "(x-"; Format(x(i),
  "#####0.0####"); Tab(101); ")^3"
Next i
End Sub

```

Frmcontcompar:

```
Private Sub cmdok_Click()
```

```
k = Val(txtk.Text)
```

```
nrp = Val(txtnrp.Text)
```

```
h1 = h(k) / (nrp - 1)
```

```
ReDim x1(1 To nrp), y1(1 To nrp), sk(1 To nrp)
```

```
x1(1) = x(k)
```

```
For i = 2 To nrp
```

```
  x1(i) = x1(i - 1) + h1
```

```
Next i
```

```
For i = 1 To nrp
```

```
  y1(i) = yc + Sqr(r * r - (x1(i) - xc) ^ 2)
```

```
  sk(i) = a(k) + b(k) * (x1(i) - x(k)) + c(k) * (x1(i) - x(k)) ^ 2 + d(k) * (x1(i) - x(k)) ^ 3
```

```
Next i
```

```
Frmcontcompar.Hide
```

```
frmafis2.Show
```

```
End Sub
```

```
Private Sub cmdsf_Click()
```

```
Close #1
```

```
End
```

```
End Sub
```

```
Private Sub txtk_Validate(Cancel As Boolean)
```

```
k = Val(txtk.Text)
```

```
If k < 1 Or k > n - 1 Then
```

```
  Cancel = True
```

```
  MsgBox ("k trebuie sa ia valori intregi intre 1 si" & n - 1)
```

```
End If
```

```
End Sub
```

```
Private Sub txtnrp_Validate(Cancel As Boolean)
```

```
nrp = Val(txtnrp.Text)
```

```
If nrp < 3 Or nrp > 10 Then
```

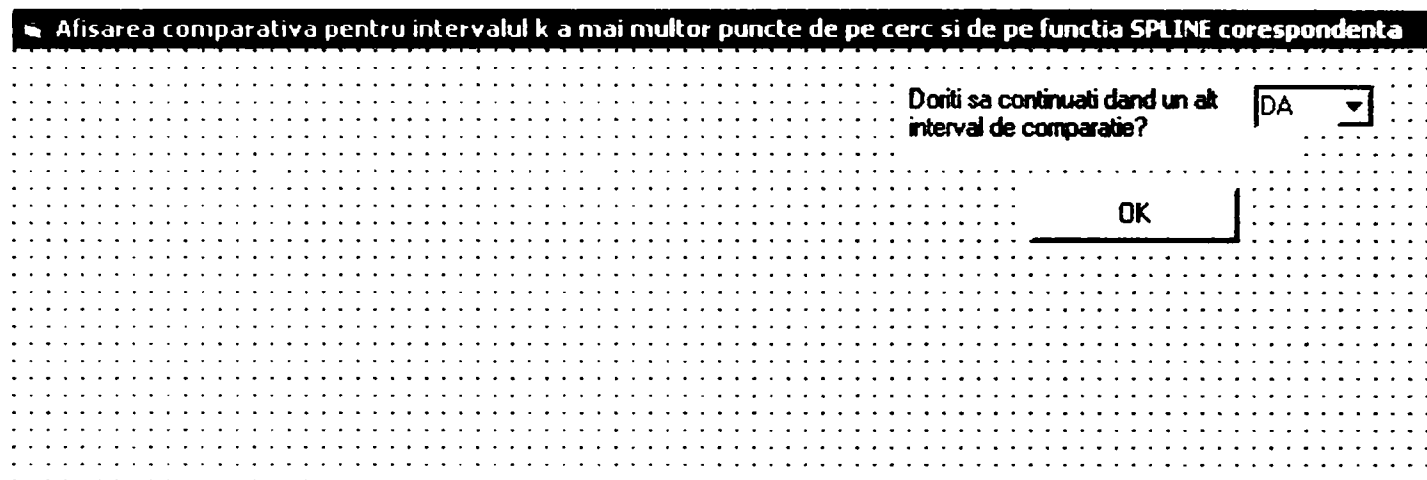
```
  Cancel = True
```

```
  MsgBox ("nrp trebuie sa ia valori intregi intre 3 si" & 10)
```

```
End If
```

```
End Sub
```

Frmafis2:



```

Private Sub cmdok_Click()
If UCase(Cbocont.Text) = "DA" Then
    frmafis2.Hide
    Frmcontcompar.Show
Else
    Close #1
End
End If
End Sub

```

```

Private Sub Form_Activate()
Cls
Print #1, ""
Print #1, "Intervalul care se compara:" & k
Print #1, "Numarul de puncte de comparatie din cadrul respectivului interval:" & nrp
Print
Print " Coordonata x"; Tab(18); "y (pt. cerc)"; Tab(32); "sk (pt. functia SPLINE)"
Print
Print #1, ""
Print #1, " Coordonata x"; Tab(18); "y (pt. cerc)"; Tab(32); "sk (pt. functia SPLINE)"
Print #1, ""
For i = 1 To nrp
    Print Tab(3); Format(x1(i), "#####0.000"); Tab(18); Format(y1(i), "#####0.000"); Tab(32); Format(sk(i),
"#####0.000")
    Print #1, Tab(3); Format(x1(i), "#####0.000"); Tab(18); Format(y1(i), "#####0.000"); Tab(32); Format(sk(i),
"#####0.000")
Next i
End Sub

```

Fișierul text "Iesire.txt"

Cele 15 puncte de esantionare au coordonatele urmatoare:

x	y
20,000	60,000
21,755	75,576
26,932	90,372
35,272	103,644
46,356	114,728
59,628	123,068
74,424	128,245
90,000	130,000
105,576	128,245
120,372	123,068
133,644	114,728
144,728	103,644
153,068	90,372
158,245	75,576
160,000	60,000

Matricea rezultata pentru calculul pantelor, respectiv vectorul beta va fi:

2,	1,	0,	0,	0,	0,	0,	0,	0,	0,	0,	0,	0,	0,
0,	m1	26,6257364249											
0,75	2,	0,25	0,	0,	0,	0,	0,	0,	0,	0,	0,	0,	0,
0,	m2	22,0553850501											
0,	0,62	2,	0,38	0,	0,	0,	0,	0,	0,	0,	0,	0,	0,
0,	m3	7,118415887											
0,	0,	0,57	2,	0,43	0,	0,	0,	0,	0,	0,	0,	0,	0,
0,	m4	4,012591636											
0,	0,	0,	0,54	2,	0,46	0,	0,	0,	0,	0,	0,	0,	0,
0,	m5	2,4926047695											
0,	0,	0,	0,	0,53	2,	0,47	0,	0,	0,	0,	0,	0,	0,
0,	m6	1,4900464815											
0,	0,	0,	0,	0,	0,51	2,	0,49	0,	0,	0,	0,	0,	0,
0,	m7	0,7030337984											
0,	0,	0,	0,	0,	0,	0,5	2,	0,5	0,	0,	0,	0,	0,
0,	m8	0,0											
0,	0,	0,	0,	0,	0,	0,	0,49	2,	0,51	0,	0,	0,	0,
0,	m9	-0,7030337984											
0,	0,	0,	0,	0,	0,	0,	0,	0,47	2,	0,53	0,	0,	0,
0,	m10	-1,4900464815											
0,	0,	0,	0,	0,	0,	0,	0,	0,	0,46	2,	0,54	0,	0,
0,	m11	-2,4926047695											
0,	0,	0,	0,	0,	0,	0,	0,	0,	0,	0,43	2,	0,57	0,
0,	m12	-4,012591636											
0,	0,	0,	0,	0,	0,	0,	0,	0,	0,	0,	0,38	2,	0,62
0,	m13	-7,118415887											
0,	0,	0,	0,	0,	0,	0,	0,	0,	0,	0,	0,	0,25	2,
0,75	m14	-22,0553850501											
0,	0,	0,	0,	0,	0,	0,	0,	0,	0,	0,	0,	0,	1,
2,	m15	-26,6257364249											

Cele 14 functii SPLINE obtinute au urmatoarele ecuatii:

S1 =60,0	+9,66806	(x-20,0)^3	+0,0	(x-20,0)^2	+0,25739	(x-20,0
S2 =75,57647	+7,28962	(x-21,755)^3	+ -1,3552	(x-21,755)^2	+0,09642	(x-21,755
S3 =90,37186	+1,01035	(x-26,9322)^3	+0,14232	(x-26,9322)^2	+ -0,00871	(x-26,9322
S4 =103,64429	+1,56689	(x-35,2718)^3	+ -0,07558	(x-35,2718)^2	+0,0022	(x-35,2718
S5 =114,7282	+0,704	(x-46,3557)^3	+ -0,00227	(x-46,3557)^2	+ -0,00026	(x-46,3557
S6 =123,06782	+0,50711	(x-59,6281)^3	+ -0,01257	(x-59,6281)^2	+0,00013	(x-59,6281
S7 =128,24495	+0,22148	(x-74,4235)^3	+ -0,00674	(x-74,4235)^2	+ -0,00002	(x-74,4235
S8 =130,0	+0,0	(x-90,0)^3	+ -0,00748	(x-90,0)^2	+0,00002	(x-90,0
S9 =128,24495	+ -0,22148	(x-105,5765)^3	+ -0,00674	(x-105,5765)^2	+ -0,00013	(x-
S10 =123,06782	+ -0,50711	(x-120,3719)^3	+ -0,01257	(x-120,3719)^2	+0,00026	(x-
S11 =114,7282	+ -0,704	(x-133,6443)^3	+ -0,00227	(x-133,6443)^2	+ -0,0022	(x-
S12 =103,64429	+ -1,56689	(x-144,7282)^3	+ -0,07558	(x-144,7282)^2	+0,00871	(x-
S13 =90,37186	+ -1,01035	(x-153,0678)^3	+0,14232	(x-153,0678)^2	+ -0,09642	(x-
S14 =75,57647	+ -7,28962	(x-158,245)^3	+ -1,3552	(x-158,245)^2	+0,25739	(x-158,245

Intervalul care se compara:1

Numarul de puncte de comparatie din cadrul respectivului interval:10

Coordonata x	y (pt. cerc)	sk (pt. functia SPLINE)
20,000	60,000	60,000
20,195	65,221	61,883
20,390	67,379	63,755
20,585	69,031	65,604
20,780	70,421	67,419
20,975	71,643	69,188
21,170	72,745	70,900
21,365	73,757	72,543
21,560	74,696	74,105
21,755	75,576	75,576

Intervalul care se compara:1
 Numarul de puncte de comparatie din cadrul respectivului interval:10

Coordonata x	y (pt. cerc)	sk (pt. functia SPLINE)
20,000	60,000	60,000
20,195	65,221	61,883
20,390	67,379	63,755
20,585	69,031	65,604
20,780	70,421	67,419
20,975	71,643	69,188
21,170	72,745	70,900
21,365	73,757	72,543
21,560	74,696	74,105
21,755	75,576	75,576

Intervalul care se compara:8
 Numarul de puncte de comparatie din cadrul respectivului interval:10

Coordonata x	y (pt. cerc)	sk (pt. functia SPLINE)
90,000	130,000	130,000
91,731	129,979	129,978
93,461	129,914	129,911
95,192	129,807	129,801
96,923	129,657	129,647
98,654	129,463	129,450
100,384	129,225	129,211
102,115	128,944	128,930
103,846	128,617	128,608
105,576	128,245	128,245

Intervalul care se compara:8
 Numarul de puncte de comparatie din cadrul respectivului interval:10

Coordonata x	y (pt. cerc)	sk (pt. functia SPLINE)
90,000	130,000	130,000
91,731	129,979	129,978
93,461	129,914	129,911
95,192	129,807	129,801
96,923	129,657	129,647
98,654	129,463	129,450
100,384	129,225	129,211
102,115	128,944	128,930
103,846	128,617	128,608
105,576	128,245	128,245

Cod sursă al programului de interpolare cu funcții spline varianta II-a cu a doua categorie de condiții (deci f'_0 și f'_n presupuse date) pentru cazul unui semicerc discretizare cu pas constant în direcție orizontală

Module 1:

```
Public n, k, nrp As Integer
Public xc, yc, r, pas, h1, z, f0prim, fnprim As Single
Public h(), x(), f(), beta(), m(), ml() As Single
Public mat(), a(), b(), c(), d(), mat1(), beta1() As Single
Public x1(), y1(), sk() As Single
```

Sub main()

```
MsgBox ("Program de interpolare cu functii spline cubice pentru un semicerc varianta a II-a cu impunerea derivatelor de ordinul I in nodurile extreme")
Frmintro.Show
End Sub
```

Frmintro.

```
Private Sub cmdok_Click()
```

```
xc = Val(txtcentx.Text)
```

```
yc = Val(Txtcenty.Text)
```

```
r = Val(Txtr.Text)
```

```
n = Val(Txtn.Text)
```

```
ReDim h(1 To n), x(0 To n), f(0 To n), ro(1 To n), lambda(0 To n - 1), beta(0 To n), m(0 To n)
```

```
ReDim mat(0 To n, 0 To n), a(1 To n), b(1 To n), c(1 To n), d(1 To n)
```

```
ReDim mat1(1 To n + 1, 1 To n + 1), betal(1 To n + 1), ml(1 To n + 1)
```

```
Open "Iesire.txt" For Output As #1
```

```
pas = 2 * r / n
```

```
x(0) = xc - r
```

```
f(0) = yc + Sqr(r * r - (x(0) - xc) ^ 2)
```

```
For i = 1 To n
```

```
    x(i) = x(i - 1) + pas
```

```
    f(i) = yc + Sqr(r * r - (x(i) - xc) ^ 2)
```

```
Next i
```

```
For i = 1 To n
```

```
    h(i) = pas
```

```
Next i
```

```
Frmintro.Hide
```

```
frmconditii.Show
```

```
End Sub
```

```
Private Sub cmdsf_Click()
```

```
    End
```

```
End Sub
```

```
Private Sub Txtn_Validate(Cancel As Boolean)
```

```
n = Val(Txtn.Text)
```

```
If n <= 2 Then
```

```
    MsgBox ("n trebuie sa fie natural si >=3!")
```

```
    Cancel = True
```

```
End If
```

```
End Sub
```

```
Private Sub Txtr_Validate(Cancel As Boolean)
```

```
r = Val(Txtr.Text)
```

```
If r <= 0 Then
```

```
    MsgBox ("r trebuie sa fie >=0!")
```

```
    Cancel = True
```

```
End If
```

```
End Sub
```


Frmconditii

Alegerea condițiilor pt. nodurile extreme

Dati valoarea derivatei de ord. l pt. nodul 0:

Dati valoarea derivatei de ord. l pt. nodul n:

OK Sfarsit

Private Sub cmdcancel_Click()

```
txtf0prim.Text = ""
txtnprim.Text = ""
txtfoprim.SetFocus
End Sub
```

Private Sub cmdok_Click()

```
f0prim = Val(txtf0prim.Text)
fnprim = Val(txtnprim.Text)
beta(0) = 6 / h(1) * ((f(1) - f(0)) / h(1) - f0prim)
For i = 1 To n - 1
    beta(i) = 6 / (h(i + 1) + h(i)) * ((f(i + 1) - f(i)) / h(i + 1) - (f(i) - f(i - 1)) / h(i))
Next i
beta(n) = 6 / h(n) * (fnprim - (f(n) - f(n - 1)) / h(n))
frmconditii.Hide
Frmafis.Show
End Sub
```

Private Sub cmdsfarsit_Click()

```
Close #1
End
End Sub
```

Frmafis:

Afisarea functiilor spline obtinute

Continuare pt. a face comparatie pe un anumit interval de esantionare

Sfarsit

Private Sub Cmdcont_Click()

```
Frmafis.Hide
Frmcontcompar.Show
End Sub
```

Private Sub cmdsf_Click()

```
Close #1
End
End Sub
```

Private Sub Form_Activate()

```
Cls
Print "Cele " & n + 1 & " puncte de esantionare au coordonatele urmatoare:"
Print "    x        y"
Print #1, "Cele " & n + 1 & " puncte de esantionare au coordonatele urmatoare:"
Print #1, "    x        y"
For i = 0 To n
    Print Format(x(i), "#####0.000"); Tab(13); Format(f(i), "#####0.000")
    Print #1, Format(x(i), "#####0.000"); Tab(13); Format(f(i), "#####0.000")
Next i
mat(0, 0) = 2: mat(0, 1) = 1
For j = 2 To n
    mat(0, j) = 0
Next j
For i = 1 To n - 1
    For j = 0 To i - 2
        mat(i, j) = 0
    Next j
    mat(i, j) = h(i) / (h(i) + h(i + 1)): mat(i, j + 1) = 2: mat(i, j + 2) = h(i + 1) / (h(i) + h(i + 1))
    j = j + 3
    For k = j To n
        mat(i, k) = 0
    Next k
Next i
For i = 0 To n - 2
    mat(n, i) = 0
Next i
mat(n, n - 1) = 1: mat(n, n) = 2
Print
Print "Matricea rezultata pentru calculul pantelor, respectiv vectorul beta va fi:"
Print #1, ""
Print #1, "Matricea rezultata pentru calculul pantelor, respectiv vectorul beta va fi:"
For i = 0 To n
    For j = 0 To n
        Print Tab(1 + j * 7); Format(mat(i, j), "###0.##");
        Print #1, Tab(1 + j * 7); Format(mat(i, j), "###0.##");
    Next j
    Print Tab(1 + (n + 1) * 7); "m" & i; Tab(8 + (n + 1) * 7); Format(beta(i), "#####0.0#####")
    Print #1, Tab(1 + (n + 1) * 7); "m" & i; Tab(8 + (n + 1) * 7); Format(beta(i), "#####0.0#####")
Next i
For i = 1 To n + 1
    For j = 1 To n + 1
        mat1(i, j) = mat(i - 1, j - 1)
        betal(i) = beta(i - 1)
    Next j
Next i
n = n + 1
n1 = n - 1
For i = 1 To n1
    i1 = i
    For i2 = i To n
        If Abs(mat1(i1, i)) < Abs(mat1(i2, i)) Then i1 = i2
    Next i2
    If mat1(i1, i) < 0 Then
        If i1 < 1 Then
            For j = 1 To n
```

```

    z = mat1(i, j)
    mat1(i, j) = mat1(i1, j)
    mat1(i1, j) = z
  Next j
  z = beta1(i)
  beta1(i) = beta1(i1)
  beta1(i1) = z
End If
z = mat1(i, i)
For j = 1 To n
  mat1(i, j) = mat1(i, j) / z
Next j
beta1(i) = beta1(i) / z
i1 = i + 1
For j = i1 To n
  If mat1(j, i) <> 0 Then
    z = mat1(j, i)
    For k = i To n
      mat1(j, k) = mat1(j, k) - z * mat1(i, k)
    Next k
    beta1(j) = beta1(j) - beta1(i) * z
  End If
Next j
Else
  MsgBox ("Sistem incompatibil sau nedeterminat!")
End
End If
Next i
If mat1(n, n) <> 0 Then
  m1(n) = beta1(n) / mat1(n, n)
  For i = 1 To n1
    m1(n - i) = beta1(n - i)
    For k = 1 To i
      m1(n - i) = m1(n - i) - mat1(n - i, n - i + k) * m1(n - i + k)
    Next k
  Next i
Else
  MsgBox ("Sistem incompatibil sau nedeterminat")
End
End If
n = n - 1
For i = 0 To n
  m(i) = m1(i + 1)
Next i
For i = 1 To n
  a(i) = m(i - 1) / 6 / h(i)
  b(i) = m(i) / 6 / h(i)
  c(i) = (f(i - 1) - m(i - 1) * h(i) ^ 2 / 6) / h(i)
  d(i) = (f(i) - m(i) * h(i) ^ 2 / 6) / h(i)
Next i
Print
Print "Cele " & n & " functii SPLINE obtinute au urmatoarele ecuatii:"
Print #1, ""
Print #1, "Cele " & n & " functii SPLINE obtinute au urmatoarele ecuatii:"
For i = 1 To n
  Print "S" & i; Tab(5); "=", Format(a(i), "#####0.0###"); Tab(17); "(", Format(x(i), "#####0.0##"); Tab(27); "-
x)^3+"; Format(b(i), "#####0.0###"); Tab(43); "(x-"; Format(x(i - 1), "#####0.0##"); Tab(56); ")^3+"; Format(c(i),
"#####0.0###"); Tab(70); "(", Format(x(i), "####.0##"); Tab(80); "-x)+"; Format(d(i), "#####0.0###"); Tab(95); "(x-
"; Format(x(i - 1), "#####0.0##"); Tab(107); ")"
  Print #1, "S" & i; Tab(5); "=", Format(a(i), "#####0.0###"); Tab(17); "(", Format(x(i), "#####0.0##"); Tab(27); "-
x)^3+"; Format(b(i), "#####0.0###"); Tab(43); "(x-"; Format(x(i - 1), "#####0.0##"); Tab(56); ")^3+"; Format(c(i),

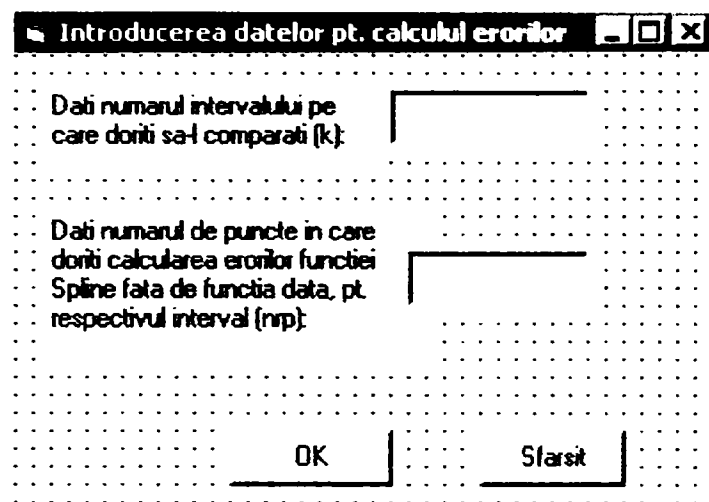
```

```

"####0.0###"); Tab(70); "("; Format(x(i), "####.0###"); Tab(80); "-x)"; Format(d(i), "####0.0###"); Tab(95); "(x-
": Format(x(i - 1), "####0.0###"); Tab(107); ")"
Next i
End Sub

```

Frmcontcompar:



```
Private Sub cmdok_Click()
```

```

k = Val(txtk.Text)
nrp = Val(txtnrp.Text)
h1 = pas / (nrp - 1)
ReDim x1(1 To nrp), y1(1 To nrp), sk(1 To nrp)
x1(1) = x(k - 1)
For i = 2 To nrp
    x1(i) = x1(i - 1) + h1
Next i
For i = 1 To nrp
    y1(i) = yc + Sqr(r * r - (x1(i) - xc) ^ 2)
    sk(i) = a(k) * (x(k) - x1(i)) ^ 3 + b(k) * (x1(i) - x(k - 1)) ^ 3 + c(k) * (x(k) - x1(i)) + d(k) * (x1(i) - x(k - 1))
Next i
Frmcontcompar.Hide
frmafis2.Show
End Sub

```

```
Private Sub cmdsf_Click()
```

```

Close #1
End
End Sub

```

```
Private Sub txtk_Validate(Cancel As Boolean)
```

```

k = Val(txtk.Text)
If k < 1 Or k > n - 1 Then
    Cancel = True
    MsgBox ("k trebuie sa ia valori intregi intre 1 si" & n - 1)
End If
End Sub

```

```
Private Sub txtnrp_Validate(Cancel As Boolean)
```

```

nrp = Val(txtnrp.Text)
If nrp < 3 Or k > 10 Then
    Cancel = True
    MsgBox ("nrp trebuie sa ia valori intregi intre 3 si" & 10)
End If
End Sub

```

Frmafis2:

Alfisaarea comparativa pentru intervalul k a mai multor puncte de pe cerc si de pe functia SPLINE corespondenta

Doniti sa continuati dand un alt interval de comparatie?

DA

OK

Private Sub cmdok_Click()

```
If UCase(Cbocont.Text) = "DA" Then
    frmafis2.Hide
    Frmcontcompar.Show
Else
    frmafis2.Hide
    frmconditii.Show
End If
End Sub
```

Private Sub Form_Activate()

```
Cls
Print #1, ""
Print #1, "Intervalul care se compara:" & k
Print #1, "Numarul de puncte de comparatie din cadrul respectivului interval:" & nrp
Print
Print " Coordonata x"; Tab(18); "y (pt. cerc)"; Tab(32); "sk (pt. functia SPLINE)"
Print
Print #1, ""
Print #1, " Coordonata x"; Tab(18); "y (pt. cerc)"; Tab(32); "sk (pt. functia SPLINE)"
Print #1, ""
For i = 1 To nrp
    Print Tab(3); Format(x1(i), "#####0.000"); Tab(18); Format(y1(i), "#####0.000"); Tab(32); Format(sk(i),
"#####0.000")
    Print #1, Tab(3); Format(x1(i), "#####0.000"); Tab(18); Format(y1(i), "#####0.000"); Tab(32); Format(sk(i),
"#####0.000")
Next i
End Sub
```

Fișierul text Iesire.txt

Cele 15 puncte de esantionare au coordonatele urmatoare:

x	y
20,000	60,000
30,000	96,056
40,000	108,990
50,000	117,446
60,000	123,246
70,000	127,082
80,000	129,282
90,000	130,000
100,000	129,282
110,000	127,082
120,000	123,246
130,000	117,446
140,000	108,990
150,000	96,056
160,000	60,000

Matricea rezultata pentru calculul pantelor, respectiv vectorul beta va fi:

2,	1,	0,	0,	0,	0,	0,	0,	0,	0,	0,	0,	0,	0,
0,	m0	0,9633307653											
0,5	2,	0,5	0,	0,	0,	0,	0,	0,	0,	0,	0,	0,	0,
0,	m1	-0,6936369196											
0,	0,5	2,	0,5	0,	0,	0,	0,	0,	0,	0,	0,	0,	0,
0,	m2	-0,1343535147											
0,	0,	0,5	2,	0,5	0,	0,	0,	0,	0,	0,	0,	0,	0,
0,	m3	-0,0796771462											
0,	0,	0,	0,5	2,	0,5	0,	0,	0,	0,	0,	0,	0,	0,
0,	m4	-0,0589032185											
0,	0,	0,	0,	0,5	2,	0,5	0,	0,	0,	0,	0,	0,	0,
0,	m5	-0,0490947943											
0,	0,	0,	0,	0,	0,5	2,	0,5	0,	0,	0,	0,	0,	0,
0,	m6	-0,0444607584											
0,	0,	0,	0,	0,	0,	0,5	2,	0,5	0,	0,	0,	0,	0,
0,	m7	-0,0430780618											
0,	0,	0,	0,	0,	0,	0,	0,5	2,	0,5	0,	0,	0,	0,
0,	m8	-0,0444607584											
0,	0,	0,	0,	0,	0,	0,	0,	0,5	2,	0,5	0,	0,	0,
0,	m9	-0,0490947943											
0,	0,	0,	0,	0,	0,	0,	0,	0,	0,5	2,	0,5	0,	0,
0,	m10	-0,0589032185											
0,	0,	0,	0,	0,	0,	0,	0,	0,	0,	0,5	2,	0,5	0,
0,	m11	-0,0796771462											
0,	0,	0,	0,	0,	0,	0,	0,	0,	0,	0,	0,5	2,	0,5
0,	m12	-0,1343535147											
0,	0,	0,	0,	0,	0,	0,	0,	0,	0,	0,	0,	0,5	2,
0,5	m13	-0,6936369196											
0,	0,	0,	0,	0,	0,	0,	0,	0,	0,	0,	0,	0,	1,
2,	m14	3,9633307653											

Cele 14 functii SPLINE obtinute au urmatoarele ecuatii:

S1 =0,0127	(30,0	-x)^3+-0,0093	(x-20,0)^3+4,7314	(30,0	-x)+10,5371	(x-
20,0)						
S2 =-0,0093	(40,0	-x)^3+0,0015	(x-30,0)^3+10,5371	(40,0	-x)+10,7534	(x-
30,0)						
S3 =0,0015	(50,0	-x)^3+-0,001	(x-40,0)^3+10,7534	(50,0	-x)+11,8432	(x-
40,0)						
S4 =-0,001	(60,0	-x)^3+-0,0002	(x-50,0)^3+11,8432	(60,0	-x)+12,3413	(x-
50,0)						
S5 =-0,0002	(70,0	-x)^3+-0,0003	(x-60,0)^3+12,3413	(70,0	-x)+12,7391	(x-
60,0)						
S6 =-0,0003	(80,0	-x)^3+-0,0002	(x-70,0)^3+12,7391	(80,0	-x)+12,9514	(x-
70,0)						
S7 =-0,0002	(90,0	-x)^3+-0,0002	(x-80,0)^3+12,9514	(90,0	-x)+13,0246	(x-
80,0)						
S8 =-0,0002	(100,0	-x)^3+-0,0002	(x-90,0)^3+13,0246	(100,0	-x)+12,9504	(x-
90,0)						
S9 =-0,0002	(110,0	-x)^3+-0,0003	(x-100,0)^3+12,9504	(110,0	-x)+12,7431	(x-
100,0)						
S10 =-0,0003	(120,0	-x)^3+0,0	(x-110,0)^3+12,7431	(120,0	-x)+12,3264	(x-
110,0)						
S11 =0,0	(130,0	-x)^3+-0,0015	(x-120,0)^3+12,3264	(130,0	-x)+11,8987	(x-
120,0)						
S12 =-0,0015	(140,0	-x)^3+0,0035	(x-130,0)^3+11,8987	(140,0	-x)+10,5461	(x-
130,0)						
S13 =0,0035	(150,0	-x)^3+-0,0171	(x-140,0)^3+10,5461	(150,0	-x)+11,3106	(x-
140,0)						
S14 =-0,0171	(160,0	-x)^3+0,0416	(x-150,0)^3+11,3106	(160,0	-x)+1,8447	(x-
150,0)						

Intervalul care se compara:4

Numarul de puncte de comparatie din cadrul respectivului interval:10

Coordonata x	y (pt. cerc)	sk (pt. functia SPLINE)
50,000	117,446	117,446
51,111	118,204	118,292
52,222	118,931	119,073
53,333	119,628	119,794
54,444	120,298	120,462
55,556	120,939	121,084
56,667	121,554	121,666
57,778	122,143	122,216
58,889	122,706	122,741
60,000	123,246	123,246

Cod sursă al programului de interpolare cu funcții spline varianta I-a cu condiții naturale pentru cazul unei semielipse cu pasul h de discretizare pe orizontală constant

Module 1:

```
Public n, k, nrp As Integer
Public xc, yc, r1, r2, pas, h1 As Single
Public h(), x(), y(), lambda(), ro(), beta(), m() As Single
Public mat(), a(), b(), c(), d() As Single
Public x1(), y1(), sk() As Single
```

Sub main()

```
MsgBox ("Program de interpolare cu functii spline cubice pentru o semielipsa")
Frmintro.Show
End Sub
```

Frmintro:

Private Sub cmdok_Click()

```
xc = Val(txtcentx.Text)
yc = Val(Txtcenty.Text)
r1 = Val(Txtr1.Text)
r2 = Val(txtr2.Text)
n = Val(Txtn.Text)
ReDim h(1 To n), x(1 To n), y(1 To n), lambda(1 To n - 1), ro(2 To n), beta(1 To n), m(1 To n) As Single
ReDim mat(1 To n, 1 To n), a(1 To n - 1), b(1 To n - 1), c(1 To n - 1), d(1 To n - 1) As Single
pas = 2 * r1 / (n - 1)
For i = 1 To n - 1
    h(i) = pas
Next i
x(1) = xc - r1
y(1) = yc + Sqr(r2 ^ 2 * (1 - (x(1) - xc) ^ 2 / r1 ^ 2))
For i = 2 To n
    x(i) = x(i - 1) + h(i - 1)
    y(i) = yc + Sqr(r2 ^ 2 * (1 - (x(i) - xc) ^ 2 / r1 ^ 2))
Next i
lambda(1) = 1
For i = 2 To n - 1
    lambda(i) = h(i - 1) / (h(i - 1) + h(i))
Next i
For i = 2 To n - 1
```



```

    ro(i) = h(i) / (h(i - 1) + h(i))
Next i
ro(n) = 1
beta(1) = 3 * (y(2) - y(1)) / h(1)
For i = 2 To n - 1
    beta(i) = 3 * h(i - 1) * h(i) / (h(i - 1) + h(i)) * ((y(i + 1) - y(i)) / h(i) ^ 2 + (y(i) - y(i - 1)) / h(i - 1) ^ 2)
Next i
beta(n) = 3 * (y(n) - y(n - 1)) / h(n - 1)
Frmintro.Hide
Frmafis.Show
End Sub

```

Private Sub cmdsf_Click()

```

    End
End Sub

```

Private Sub Txtn_Validate(Cancel As Boolean)

```

n = Val(Txn.Text)
If n <= 2 Then
    MsgBox ("n trebuie sa fie natural si >=3!")
    Cancel = True
End If
End Sub

```

Private Sub Txtr1_Validate(Cancel As Boolean)

```

r1 = Val(Txtr1.Text)
If r1 <= 0 Then
    MsgBox ("r1 trebuie sa fie >0!")
    Cancel = True
End If
End Sub

```

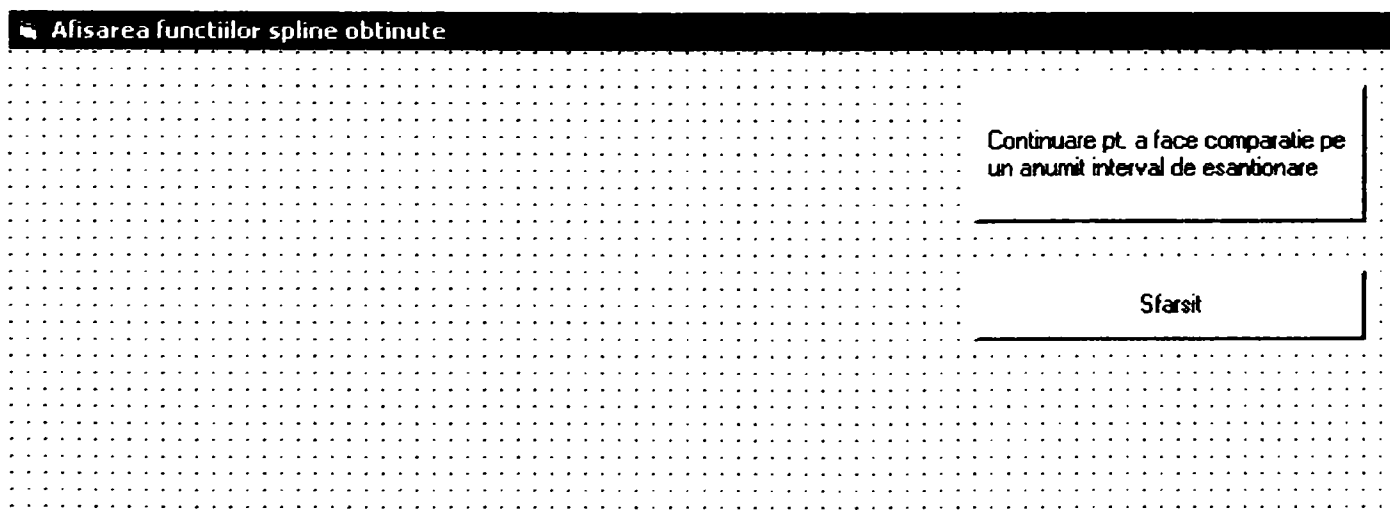
Private Sub txtr2_Validate(Cancel As Boolean)

```

r2 = Val(txtr2.Text)
If r2 <= 0 Then
    MsgBox ("r2 trebuie sa fie >0!")
    Cancel = True
End If
End Sub

```

Frmafis:



Private Sub Cmdcont_Click()

```

Frmafis.Hide
Frmcontcompar.Show
End Sub

```

```
Private Sub cmdsf_Click()
```

```
End
```

```
End Sub
```

```
Private Sub Form_Activate()
```

```
Cls
```

```
Open "Iesire.txt" For Output As #1
```

```
Print "Cele " & n & " puncte de esantionare au coordonatele urmatoare:"
```

```
Print "    x        y"
```

```
Print #1, "Cele " & n & " puncte de esantionare au coordonatele urmatoare:"
```

```
Print #1, "    x        y"
```

```
For i = 1 To n
```

```
    Print Format(x(i), "#####0.000"); Tab(13); Format(y(i), "#####0.000")
```

```
    Print #1, Format(x(i), "#####0.000"); Tab(13); Format(y(i), "#####0.000")
```

```
Next i
```

```
mat(1, 1) = 2: mat(1, 2) = lambda(1)
```

```
For i = 1 To n - 2
```

```
    mat(1, i + 2) = 0
```

```
Next i
```

```
For i = 2 To n - 1
```

```
    For j = 1 To i - 2
```

```
        mat(i, j) = 0
```

```
    Next j
```

```
    mat(i, j) = ro(i): mat(i, j + 1) = 2: mat(i, j + 2) = lambda(i)
```

```
    j = j + 2
```

```
    For k = j To n - 1
```

```
        mat(i, k + 1) = 0
```

```
    Next k
```

```
Next i
```

```
For i = 1 To n - 2
```

```
    mat(n, i) = 0
```

```
Next i
```

```
mat(n, n - 1) = ro(n): mat(n, n) = 2
```

```
Print
```

```
Print "Matricea rezultata pentru calculul pantelor, respectiv vectorul beta va fi:"
```

```
Print #1, ""
```

```
Print #1, "Matricea rezultata pentru calculul pantelor, respectiv vectorul beta va fi:"
```

```
For i = 1 To n
```

```
    For j = 1 To n
```

```
        Print Tab(1 + (j - 1) * 7); Format(mat(i, j), "###0.##");
```

```
        Print #1, Tab(1 + (j - 1) * 7); Format(mat(i, j), "###0.##");
```

```
    Next j
```

```
    Print Tab(1 + n * 7); "m" & i; Tab(8 + n * 7); Format(beta(i), "#####0.0#####")
```

```
    Print #1, Tab(1 + n * 7); "m" & i; Tab(8 + n * 7); Format(beta(i), "#####0.0#####")
```

```
Next i
```

```
n1 = n - 1
```

```
For i = 1 To n1
```

```
    i1 = i
```

```
    For i2 = i To n
```

```
        If Abs(mat(i1, i)) < Abs(mat(i2, i)) Then i1 = i2
```

```
    Next i2
```

```
    If mat(i1, i) <> 0 Then
```

```
        If i1 <> 1 Then
```

```
            For j = 1 To n
```

```
                z = mat(i, j)
```

```
                mat(i, j) = mat(i1, j)
```

```
                mat(i1, j) = z
```

```
            Next j
```

```
            z = beta(i)
```

```
            beta(i) = beta(i1)
```

```
            beta(i1) = z
```

```

End If
z = mat(i, i)
For j = 1 To n
  mat(i, j) = mat(i, j) / z
Next j
beta(i) = beta(i) / z
i1 = i + 1
For j = i1 To n
  If mat(j, i) <> 0 Then
    z = mat(j, i)
    For k = i To n
      mat(j, k) = mat(j, k) - z * mat(i, k)
    Next k
    beta(j) = beta(j) - beta(i) * z
  End If
Next j
Else
  MsgBox ("Sistem incompatibil sau nedeterminat!")
End
End If
Next i
If mat(n, n) <> 0 Then
  m(n) = beta(n) / mat(n, n)
  For i = 1 To n1
    m(n - i) = beta(n - i)
    For k = 1 To i
      m(n - i) = m(n - i) - mat(n - i, n - i + k) * m(n - i + k)
    Next k
  Next i
Else
  MsgBox ("Sistem incompatibil sau nedeterminat")
End
End If
For i = 1 To n - 1
  a(i) = y(i)
  b(i) = m(i)
  c(i) = 3 * (y(i + 1) - y(i)) / h(i) ^ 2 - (m(i + 1) + 2 * m(i)) / h(i)
  d(i) = -2 * (y(i + 1) - y(i)) / h(i) ^ 3 + (m(i + 1) + m(i)) / h(i) ^ 2
Next i
Print
Print "Cele " & n - 1 & " functii SPLINE obtinute au urmatoarele ecuatii:"
Print #1, ""
Print #1, "Cele " & n - 1 & " functii SPLINE obtinute au urmatoarele ecuatii:"
For i = 1 To n - 1
  Print "S" & i, Tab(5); "=", Format(a(i), "#####0.0#####"); Tab(18); "+"; Format(b(i), "#####0.0#####"); Tab(30);
  "(x-"; Format(x(i), "#####0.0####"); Tab(43); ")+"; Format(c(i), "#####0.0#####"); Tab(56); "(x-"; Format(x(i),
  "#####0.0####"); Tab(69); ")^2+"; Format(d(i), "#####0.0#####"); Tab(85); "(x-"; Format(x(i), "#####0.0####");
  Tab(99); ")^3"
  Print #1, "S" & i, Tab(5); "=", Format(a(i), "#####0.0#####"); Tab(18); "+"; Format(b(i), "#####0.0#####");
  Tab(30); "(x-"; Format(x(i), "#####0.0####"); Tab(43); ")+"; Format(c(i), "#####0.0#####"); Tab(56); "(x-";
  Format(x(i), "#####0.0####"); Tab(69); ")^2+"; Format(d(i), "#####0.0#####"); Tab(85); "(x-"; Format(x(i),
  "#####0.0####"); Tab(99); ")^3"
Next i
End Sub

```

Frmcontcompar:

```
Private Sub cmdok_Click()
```

```
k = Val(txtk.Text)
```

```
nrp = Val(txtnrp.Text)
```

```
h1 = pas / (nrp - 1)
```

```
ReDim x1(1 To nrp), y1(1 To nrp), sk(1 To nrp)
```

```
x1(1) = x(k)
```

```
For i = 2 To nrp
```

```
  x1(i) = x1(i - 1) + h1
```

```
Next i
```

```
For i = 1 To nrp
```

```
  y1(i) = yc + Sqr(r2 ^ 2 * (1 - (x1(i) - xc) ^ 2 / r1 ^ 2))
```

```
  sk(i) = a(k) + b(k) * (x1(i) - x(k)) + c(k) * (x1(i) - x(k)) ^ 2 + d(k) * (x1(i) - x(k)) ^ 3
```

```
Next i
```

```
Frmcontcompar.Hide
```

```
frmafis2.Show
```

```
End Sub
```

```
Private Sub cmdsf_Click()
```

```
Close #1
```

```
End
```

```
End Sub
```

```
Private Sub txtk_Validate(Cancel As Boolean)
```

```
k = Val(txtk.Text)
```

```
If k < 1 Or k > n - 1 Then
```

```
  Cancel = True
```

```
  MsgBox ("k trebuie sa ia valori intregi intre 1 si" & n - 1)
```

```
End If
```

```
End Sub
```

```
Private Sub txtnrp_Validate(Cancel As Boolean)
```

```
nrp = Val(txtnrp.Text)
```

```
If nrp < 3 Or k > 10 Then
```

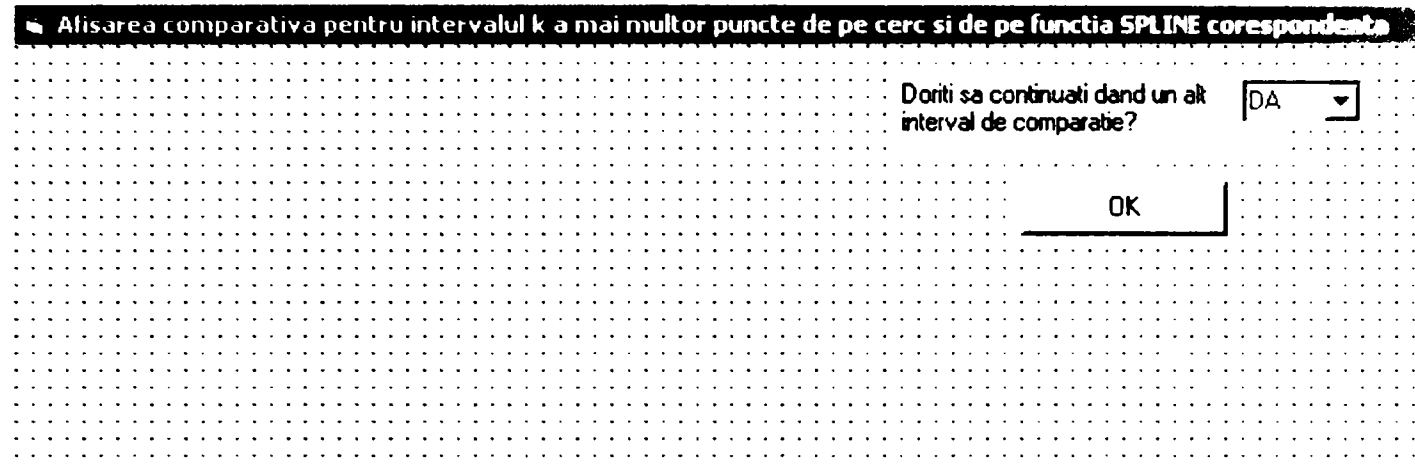
```
  Cancel = True
```

```
  MsgBox ("nrp trebuie sa ia valori intregi intre 3 si" & 10)
```

```
End If
```

```
End Sub
```

Frmafis2:



```

Private Sub cmdok_Click()
If UCase(Cbocont.Text) = "DA" Then
frmafis2.Hide
Frmcontcompar.Show
Else
Close #1
End
End If
End Sub

```

```

Private Sub Form_Activate()
Cls
Print #1, ""
Print #1, "Intervalul care se compara:" & k
Print #1, "Numarul de puncte de comparatie din cadrul respectivului interval:" & nrp
Print
Print " Coordonata x"; Tab(18); "y (pt. elipsa)"; Tab(32); "sk (pt. functia SPLINE)"
Print
Print #1, ""
Print #1, " Coordonata x"; Tab(18); "y (pt. elipsa)"; Tab(32); "sk (pt. functia SPLINE)"
Print #1, ""
For i = 1 To nrp
Print Tab(3); Format(x1(i), "#####0.000"); Tab(18); Format(y1(i), "#####0.000"); Tab(32); Format(sk(i),
"#####0.000")
Print #1, Tab(3); Format(x1(i), "#####0.000"); Tab(18); Format(y1(i), "#####0.000"); Tab(32); Format(sk(i),
"#####0.000")
Next i
End Sub

```

Fișierul text "Iesire.txt"

Cele 10 puncte de esantionare au coordonatele urmatoare:

x	y
10,000	60,000
27,778	91,427
45,556	101,574
63,333	107,140
81,111	109,690
98,889	109,690
116,667	107,140
134,444	101,574
152,222	91,427
170,000	60,000

Matricea rezultata pentru calculul pantelor, respectiv vectorul beta va fi:

2,	1,	0,	0,	0,	0,	0,	0,	0,	0,	m1	5,3033008589
0,5	2,	0,5	0,	0,	0,	0,	0,	0,	0,	m2	3,5078038001
0,	0,5	2,	0,5	0,	0,	0,	0,	0,	0,	m3	1,3258252147

0,	0,	0,5	2,	0,5	0,	0,	0,	0,	0,	m4	0,6848236577
0,	0,	0,	0,5	2,	0,5	0,	0,	0,	0,	m5	0,2151518136
0,	0,	0,	0,	0,5	2,	0,5	0,	0,	0,	m6	-0,2151518136
0,	0,	0,	0,	0,	0,5	2,	0,5	0,	0,	m7	-0,6848236577
0,	0,	0,	0,	0,	0,	0,5	2,	0,5	0,	m8	-1,3258252147
0,	0,	0,	0,	0,	0,	0,	0,5	2,	0,5	m9	-3,5078036912
0,	0,	0,	0,	0,	0,	0,	0,	1,	2,	m10	-5,3033006411

Cele 9 functii SPLINE obtinute au urmatoarele ecuatii:

S1 =60,0	+2,07266	(x-10,0)	+0,0	(x-10,0)	^2	-0,00096	(x-10,0)	^3
S2 =91,42697	+1,15798	(x-27,7778)	+0,05145	(x-27,7778)	^2	+0,00104	(x-27,7778)	^3
S3 =101,57397	+0,31102	(x-45,5556)	+0,00381	(x-45,5556)	^2	-0,00021	(x-45,5556)	^3
S4 =107,14045	+0,2496	(x-63,3333)	+0,00726	(x-63,3333)	^2	+0,00007	(x-63,3333)	^3
S5 =109,6904	+0,06023	(x-81,1111)	+0,00339	(x-81,1111)	^2	+0,0	(x-81,1111)	^3
S6 =109,6904	+0,06023	(x-98,8889)	+0,00339	(x-98,8889)	^2	-0,00007	(x-98,8889)	^3
S7 =107,14045	+0,2496	(x-116,6667)	+0,00726	(x-116,6667)	^2	+0,00021	(x-116,6667)	^3
S8 =101,57397	+0,31102	(x-134,4444)	+0,00381	(x-134,4444)	^2	-0,00104	(x-134,4444)	^3
S9 =91,42697	+1,15798	(x-152,2222)	+0,05145	(x-152,2222)	^2	+0,00096	(x-152,2222)	^3

Intervalul care se compara:1

Numarul de puncte de comparatie din cadrul respectivului interval:10

Coordonata x y (pt. elipsa)sk (pt. functia SPLINE)

10,000	60,000	60,000
11,975	71,042	64,087
13,951	75,518	68,129
15,926	78,885	72,082
17,901	81,667	75,901
19,877	84,066	79,541
21,852	86,189	82,959
23,827	88,098	86,109
25,802	89,835	88,946
27,778	91,427	91,427

Intervalul care se compara:2

Numarul de puncte de comparatie din cadrul respectivului interval:10

Coordonata x y (pt. elipsa)sk (pt. functia SPLINE)

27,778	91,427	91,427
29,753	92,896	93,522
31,728	94,258	95,263
33,704	95,525	96,698
35,679	96,706	97,876
37,654	97,811	98,843
39,630	98,845	99,649
41,605	99,814	100,341
43,580	100,722	100,967
45,556	101,574	101,574

Intervalul care se compara:3

Numarul de puncte de comparatie din cadrul respectivului interval:10

Coordonata x y (pt. elipsa)sk (pt. functia SPLINE)

45,556	101,574	101,574
47,531	102,373	102,202
49,506	103,122	102,849
51,481	103,823	103,508
53,457	104,479	104,167
55,432	105,091	104,817
57,407	105,662	105,450
59,383	106,193	106,054
61,358	106,686	106,621
63,333	107,140	107,140

Cod sursă al programului de interpolare cu funcții spline varianta I-a cu condiții naturale pentru cazul unei semielipse cu discretizare în unghiuri la centrul elipsei egale

Module 1:

```
Public n, k, nrp As Integer
Public xc, yc, r1, r2, pas, h1 As Single
Public h(), x(), y(), lambda(), ro(), beta(), m() As Single
Public mat(), a(), b(), c(), d() As Single
Public x1(), y1(), sk() As Single
```

Sub main()

```
MsgBox ("Program de interpolare cu functii spline cubice pentru o semielipsa")
Frmintro.Show
End Sub
```

Frmintro:

Private Sub cmdok_Click()

```
xc = Val(txtcentx.Text)
yc = Val(Txtcenty.Text)
r1 = Val(Txtr1.Text)
r2 = Val(txtr2.Text)
n = Val(Txtn.Text)
ReDim h(1 To n), panta(1 To n), x(1 To n), y(1 To n), lambda(1 To n - 1), ro(2 To n), beta(1 To n), m(1 To n) As Single
ReDim mat(1 To n, 1 To n), a(1 To n - 1), b(1 To n - 1), c(1 To n - 1), d(1 To n - 1) As Single
panta(1) = Tan(0)
For i = 2 To n
    panta(i) = Tan((n - i) / (n - 1) * 4 * Atn(1))
Next i
If n Mod 2 = 0 Then
    For i = 1 To n / 2
        x(i) = xc - r2 / Sqr(r2 ^ 2 / r1 ^ 2 + panta(i) ^ 2)
    Next i
    For i = n / 2 + 1 To n
        x(i) = xc + r2 / Sqr(r2 ^ 2 / r1 ^ 2 + panta(i) ^ 2)
    Next i
Else
    For i = 1 To n / 2 - 1 / 2
```



```

    x(i) = xc - r2 / Sqr(r2 ^ 2 / r1 ^ 2 + panta(i) ^ 2)
Next i
x(n / 2 + 1 / 2) = xc
For i = n / 2 + 3 / 2 To n
    x(i) = xc + r2 / Sqr(r2 ^ 2 / r1 ^ 2 + panta(i) ^ 2)
Next i
End If
For i = 1 To n
    y(i) = yc + Sqr(r2 ^ 2 * (1 - (x(i) - xc) ^ 2 / r1 ^ 2))
Next i
For i = 1 To n - 1
    h(i) = x(i + 1) - x(i)
Next i
lambda(1) = 1
For i = 2 To n - 1
    lambda(i) = h(i - 1) / (h(i - 1) + h(i))
Next i
For i = 2 To n - 1
    ro(i) = h(i) / (h(i - 1) + h(i))
Next i
ro(n) = 1
beta(1) = 3 * (y(2) - y(1)) / h(1)
For i = 2 To n - 1
    beta(i) = 3 * h(i - 1) * h(i) / (h(i - 1) + h(i)) * ((y(i + 1) - y(i)) / h(i) ^ 2 + (y(i) - y(i - 1)) / h(i - 1) ^ 2)
Next i
beta(n) = 3 * (y(n) - y(n - 1)) / h(n - 1)
Frmintr.Hide
Frmafis.Show
End Sub

```

Private Sub cmdsf_Click()

```

    End
End Sub

```

Private Sub Txtn_Validate(Cancel As Boolean)

```

n = Val(Txtn.Text)
If n <= 2 Then
    MsgBox ("n trebuie sa fie natural si >=3!")
    Cancel = True
End If
End Sub

```

Private Sub Txtr1_Validate(Cancel As Boolean)

```

r1 = Val(Txtr1.Text)
If r1 <= 0 Then
    MsgBox ("r1 trebuie sa fie >0!")
    Cancel = True
End If
End Sub

```

Private Sub txtr2_Validate(Cancel As Boolean)

```

r2 = Val(txtr2.Text)
If r2 <= 0 Then
    MsgBox ("r2 trebuie sa fie >0!")
    Cancel = True
End If
End Sub

```

Frmafis:

Alisarea funcțiilor spline obtinute

Continuare pt. a face comparatie pe
un anumit interval de esantionare

Sfarsit

Private Sub Cmdcont_Click()

```
Frmafis.Hide
Frmcontcompar.Show
End Sub
```

Private Sub cmdsf_Click()

```
End
End Sub
```

Private Sub Form_Activate()

```
Cls
Open "Iesire.txt" For Output As #1
Print "Cele " & n & " puncte de esantionare au coordonatele urmatoare:"
Print "    x    y"
Print #1, "Cele " & n & " puncte de esantionare au coordonatele urmatoare:"
Print #1, "    x    y"
For i = 1 To n
    Print Format(x(i), "#####0.000"); Tab(13); Format(y(i), "#####0.000")
    Print #1, Format(x(i), "#####0.000"); Tab(13); Format(y(i), "#####0.000")
Next i
mat(1, 1) = 2: mat(1, 2) = lambda(1)
For i = 1 To n - 2
    mat(1, i + 2) = 0
Next i
For i = 2 To n - 1
    For j = 1 To i - 2
        mat(i, j) = 0
    Next j
    mat(i, j) = ro(i): mat(i, j + 1) = 2: mat(i, j + 2) = lambda(i)
    j = j + 2
    For k = j To n - 1
        mat(i, k + 1) = 0
    Next k
Next i
For i = 1 To n - 2
    mat(n, i) = 0
Next i
mat(n, n - 1) = ro(n): mat(n, n) = 2
Print
Print "Matricea rezultata pentru calculul pantelor, respectiv vectorul beta va fi:"
Print #1, ""
Print #1, "Matricea rezultata pentru calculul pantelor, respectiv vectorul beta va fi:"
For i = 1 To n
```

```

For j = 1 To n
  Print Tab(1 + (j - 1) * 7); Format(mat(i, j), "###0.##");
  Print #1, Tab(1 + (j - 1) * 7); Format(mat(i, j), "###0.##");
Next j
Print Tab(1 + n * 7); "m" & i; Tab(8 + n * 7); Format(beta(i), "####0.0#####")
Print #1, Tab(1 + n * 7); "m" & i; Tab(8 + n * 7); Format(beta(i), "####0.0#####")
Next i
n1 = n - 1
For i = 1 To n1
  i1 = i
  For i2 = i To n
    If Abs(mat(i1, i)) < Abs(mat(i2, i)) Then i1 = i2
  Next i2
  If mat(i1, i) <> 0 Then
    If i1 <> 1 Then
      For j = 1 To n
        z = mat(i, j)
        mat(i, j) = mat(i1, j)
        mat(i1, j) = z
      Next j
      z = beta(i)
      beta(i) = beta(i1)
      beta(i1) = z
    End If
    z = mat(i, i)
    For j = 1 To n
      mat(i, j) = mat(i, j) / z
    Next j
    beta(i) = beta(i) / z
    i1 = i + 1
    For j = i1 To n
      If mat(j, i) <> 0 Then
        z = mat(j, i)
        For k = i To n
          mat(j, k) = mat(j, k) - z * mat(i, k)
        Next k
        beta(j) = beta(j) - beta(i) * z
      End If
    Next j
  Else
    MsgBox ("Sistem incompatibil sau nedeterminat!")
  End
End If
Next i
If mat(n, n) <> 0 Then
  m(n) = beta(n) / mat(n, n)
  For i = 1 To n1
    m(n - i) = beta(n - i)
    For k = 1 To i
      m(n - i) = m(n - i) - mat(n - i, n - i + k) * m(n - i + k)
    Next k
  Next i
Else
  MsgBox ("Sistem incompatibil sau nedeterminat")
End
End If
For i = 1 To n - 1
  a(i) = y(i)
  b(i) = m(i)
  c(i) = 3 * (y(i + 1) - y(i)) / h(i) ^ 2 - (m(i + 1) + 2 * m(i)) / h(i)
  d(i) = -2 * (y(i + 1) - y(i)) / h(i) ^ 3 + (m(i + 1) + m(i)) / h(i) ^ 2
Next i

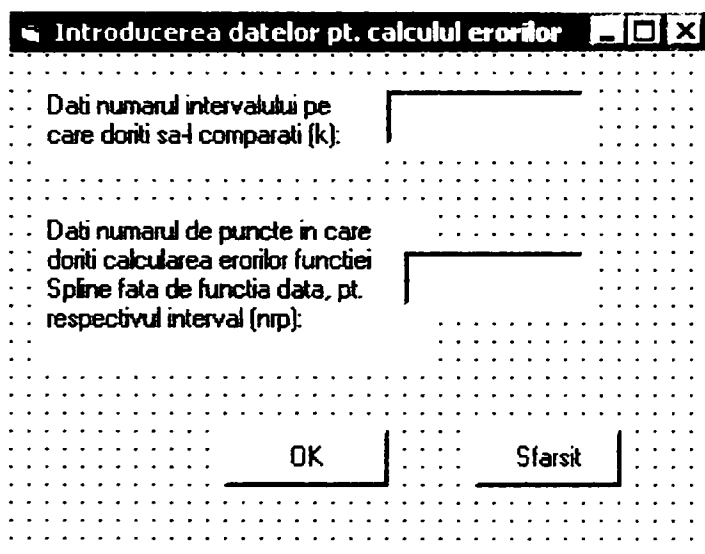
```

```

Print
Print "Cele " & n - 1 & " functii SPLINE obtinute au urmatoarele ecuatii:"
Print #1, ""
Print #1, "Cele " & n - 1 & " functii SPLINE obtinute au urmatoarele ecuatii:"
For i = 1 To n - 1
  Print "S" & i, Tab(5); "=", Format(a(i), "#####0.0#####"); Tab(18); "+"; Format(b(i), "#####0.0#####"); Tab(30);
  "(x-"; Format(x(i), "#####0.0###"); Tab(43); "+"; Format(c(i), "#####0.0#####"); Tab(56); "(x-"; Format(x(i),
  "#####0.0###"); Tab(69); ")^2+"; Format(d(i), "#####0.0#####"); Tab(85); "(x-"; Format(x(i), "#####0.0###");
  Tab(99); ")^3"
  Print #1, "S" & i, Tab(5); "=", Format(a(i), "#####0.0#####"); Tab(18); "+"; Format(b(i), "#####0.0#####");
  Tab(30); "(x-"; Format(x(i), "#####0.0###"); Tab(43); "+"; Format(c(i), "#####0.0#####"); Tab(56); "(x-";
  Format(x(i), "#####0.0###"); Tab(69); ")^2+"; Format(d(i), "#####0.0#####"); Tab(85); "(x-"; Format(x(i),
  "#####0.0###"); Tab(99); ")^3"
Next i
End Sub

```

Frmcontcompar:



Private Sub cmdok_Click()

```

k = Val(txtk.Text)
nrp = Val(txtnrp.Text)
h1 = h(k) / (nrp - 1)
ReDim x1(1 To nrp), y1(1 To nrp), sk(1 To nrp)
x1(1) = x(k)
For i = 2 To nrp
  x1(i) = x1(i - 1) + h1
Next i
For i = 1 To nrp
  y1(i) = yc + Sqr(r2 ^ 2 * (1 - (x1(i) - xc) ^ 2 / r1 ^ 2))
  sk(i) = a(k) + b(k) * (x1(i) - x(k)) + c(k) * (x1(i) - x(k)) ^ 2 + d(k) * (x1(i) - x(k)) ^ 3
Next i
Frmcontcompar.Hide
frmafis2.Show
End Sub

```

Private Sub cmdsf_Click()

```

Close #1
End
End Sub

```

Private Sub txtk_Validate(Cancel As Boolean)

```

k = Val(txtk.Text)
If k < 1 Or k > n - 1 Then
  Cancel = True

```

```

MsgBox ("k trebuie sa ia valori intregi intre 1 si" & n - 1)
End If
End Sub

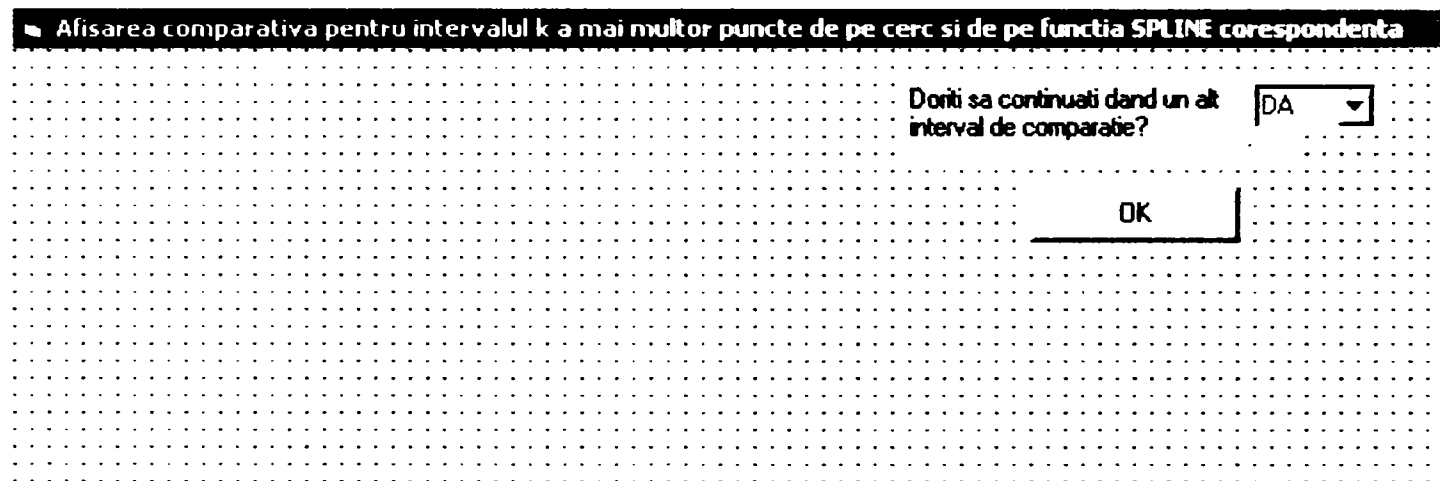
```

```

Private Sub txtnrp_Validate(Cancel As Boolean)
nrp = Val(txtnrp.Text)
If nrp < 3 Or k > 10 Then
    Cancel = True
    MsgBox ("nrp trebuie sa ia valori intregi intre 3 si" & 10)
End If
End Sub

```

Frmafis2:



```

Private Sub cmdok_Click()
If UCase(Cbocont.Text) = "DA" Then
    frmafis2.Hide
    Frmcontcompar.Show
Else
    Close #1
End
End If
End Sub

```

```

Private Sub Form_Activate()
Cls
Print #1, ""
Print #1, "Intervalul care se compara." & k
Print #1, "Numarul de puncte de comparatie din cadrul respectivului interval:" & nrp
Print
Print " Coordonata x"; Tab(18); "y (pt. elipsa)"; Tab(32); "sk (pt. functia SPLINE)"
Print
Print #1, ""
Print #1, " Coordonata x"; Tab(18); "y (pt. elipsa)"; Tab(32); "sk (pt. functia SPLINE)"
Print #1, ""
For i = 1 To nrp
    Print Tab(3); Format(x1(i), "#####0.000"); Tab(18); Format(y1(i), "#####0.000"); Tab(32); Format(sk(i),
"#####0.000")
    Print #1, Tab(3); Format(x1(i), "#####0.000"); Tab(18); Format(y1(i), "#####0.000"); Tab(32); Format(sk(i),
"#####0.000")
Next i
End Sub

```

Fișierul text "Iesire.txt"

Cele 20 puncte de esantionare au coordonatele urmatoare:

x	y
20,000	60,000
24,770	70,885
35,367	78,756
46,542	83,518
56,236	86,279
64,310	87,907
71,126	88,889
77,067	89,484
82,447	89,825
87,516	89,981
92,484	89,981
97,553	89,825
102,933	89,484
108,874	88,889
115,690	87,907
123,764	86,279
133,458	83,518
144,633	78,756
155,230	70,885
160,000	60,000

Matricea rezultata pentru calculul pantelor, respectiv vectorul beta va fi:

2,	1,	0,	0,	0,	0,	0,	0,	0,	0,	0,	0,	0,	0,
0,	0,	0,	0,	0,	0,	m1	6,8456448794						
0,69	2,	0,31	0,	0,	0,	0,	0,	0,	0,	0,	0,	0,	0,
0,	0,	0,	0,	0,	0,	m2	5,4123153818						
0,	0,51	2,	0,49	0,	0,	0,	0,	0,	0,	0,	0,	0,	0,
0,	0,	0,	0,	0,	0,	m3	1,7660366563						
0,	0,	0,46	2,	0,54	0,	0,	0,	0,	0,	0,	0,	0,	0,
0,	0,	0,	0,	0,	0,	m4	1,0514752318						
0,	0,	0,	0,45	2,	0,55	0,	0,	0,	0,	0,	0,	0,	0,
0,	0,	0,	0,	0,	0,	m5	0,7181370433						
0,	0,	0,	0,	0,46	2,	0,54	0,	0,	0,	0,	0,	0,	0,
0,	0,	0,	0,	0,	0,	m6	0,511192182						
0,	0,	0,	0,	0,	0,47	2,	0,53	0,	0,	0,	0,	0,	0,
0,	0,	0,	0,	0,	0,	m7	0,3617719534						
0,	0,	0,	0,	0,	0,	0,48	2,	0,52	0,	0,	0,	0,	0,
0,	0,	0,	0,	0,	0,	m8	0,2425606156						
0,	0,	0,	0,	0,	0,	0,	0,49	2,	0,51	0,	0,	0,	0,
0,	0,	0,	0,	0,	0,	m9	0,1399408795						
0,	0,	0,	0,	0,	0,	0,	0,	0,5	2,	0,5	0,	0,	0,
0,	0,	0,	0,	0,	0,	m10	0,0457781292						
0,	0,	0,	0,	0,	0,	0,	0,	0,	0,5	2,	0,5	0,	0,
0,	0,	0,	0,	0,	0,	m11	-0,0457781292						
0,	0,	0,	0,	0,	0,	0,	0,	0,	0,51	2,	0,49	0,	
0,	0,	0,	0,	0,	0,	m12	-0,1399408795						
0,	0,	0,	0,	0,	0,	0,	0,	0,	0,	0,52	2,	0,48	
0,	0,	0,	0,	0,	0,	m13	-0,2425606156						
0,	0,	0,	0,	0,	0,	0,	0,	0,	0,	0,	0,53	2,	
0,47	0,	0,	0,	0,	0,	m14	-0,3617719534						
0,	0,	0,	0,	0,	0,	0,	0,	0,	0,	0,	0,	0,	0,54
2,	0,46	0,	0,	0,	0,	m15	-0,511192182						
0,	0,	0,	0,	0,	0,	0,	0,	0,	0,	0,	0,	0,	0,
0,55	2,	0,45	0,	0,	0,	m16	-0,7181370433						
0,	0,	0,	0,	0,	0,	0,	0,	0,	0,	0,	0,	0,	0,
0,	0,54	2,	0,46	0,	0,	m17	-1,0514752318						
0,	0,	0,	0,	0,	0,	0,	0,	0,	0,	0,	0,	0,	0,
0,	0,	0,49	2,	0,51	0,	m18	-1,7660366563						
0,	0,	0,	0,	0,	0,	0,	0,	0,	0,	0,	0,	0,	0,
0,	0,	0,	0,31	2,	0,69	m19	-5,4123153818						
0,	0,	0,	0,	0,	0,	0,	0,	0,	0,	0,	0,	0,	0,
0,	0,	0,	0,	1,	2,	m20	-6,8456448794						

Cele 19 functii SPLINE obtinute au urmatoarele ecuatii:

S1 =60,0	+2,53193	(x-20,0) +0,0	(x-20,0) ^2 + -0,01099	(x-20,0) ^3
S2 =70,88494	+1,78179	(x-24,7702) + -0,15726	(x-24,7702) ^2 + 0,00559	(x-24,7702) ^3
S3 =78,75562	+0,33109	(x-35,3668) + 0,02036	(x-35,3668) ^2 + -0,00106	(x-35,3668) ^3
S4 =83,51835	+0,38893	(x-46,5419) + -0,01518	(x-46,5419) ^2 + 0,00046	(x-46,5419) ^3
S5 =86,2795	+0,22377	(x-56,2361) + -0,00186	(x-56,2361) ^2 + -0,00011	(x-56,2361) ^3

S6	=87,90665	+0,17205	(x-64,3101)	+ -0,00455	(x-64,3101)	² +0,00007	(x-64,3101)
							³
S7	=88,88892	+0,11925	(x-71,1259)	+ -0,0032	(x-71,1259)	² +0,0	(x-71,1259)
							³
S8	=89,48355	+0,08076	(x-77,0673)	+ -0,00328	(x-77,0673)	² +0,00001	(x-77,0673)
							³
S9	=89,82487	+0,04646	(x-82,4473)	+ -0,00309	(x-82,4473)	² +0,0	(x-82,4473)
							³
S10	=89,9811	+0,01524	(x-87,5157)	+ -0,00307	(x-87,5157)	² +0,0	(x-87,5157)
							³
S11	=89,9811	+ -0,01524	(x-92,4843)	+ -0,00307	(x-92,4843)	² +0,0	(x-92,4843)
							³
S12	=89,82487	+ -0,04646	(x-97,5527)	+ -0,00309	(x-97,5527)	² + -0,00001	(x-97,5527)
							³
S13	=89,48355	+ -0,08076	(x-102,9327)	+ -0,00328	(x-102,9327)	² +0,0	(x-102,9327)
							³
S14	=88,88892	+ -0,11925	(x-108,8741)	+ -0,0032	(x-108,8741)	² + -0,00007	(x-108,8741)
							³
S15	=87,90665	+ -0,17205	(x-115,6899)	+ -0,00455	(x-115,6899)	² +0,00011	(x-115,6899)
							³
S16	=86,2795	+ -0,22377	(x-123,7639)	+ -0,00186	(x-123,7639)	² + -0,00046	(x-123,7639)
							³
S17	=83,51835	+ -0,38893	(x-133,4581)	+ -0,01518	(x-133,4581)	² +0,00106	(x-133,4581)
							³
S18	=78,75562	+ -0,33109	(x-144,6332)	+0,02036	(x-144,6332)	² + -0,00559	(x-144,6332)
							³
S19	=70,88494	+ -1,78179	(x-155,2298)	+ -0,15726	(x-155,2298)	² +0,01099	(x-155,2298)
							³

Intervalul care se compara:1

Numarul de puncte de comparatie din cadrul respectivului interval:10

Coordonata x	y (pt. elipsa)	sk (pt. functia SPLINE)
20,000	60,000	60,000
20,530	63,685	61,340
21,060	65,201	62,671
21,590	66,358	63,982
22,120	67,327	65,263
22,650	68,177	66,505
23,180	68,940	67,698
23,710	69,637	68,833
24,240	70,283	69,898
24,770	70,885	70,885

Intervalul care se compara:2

Numarul de puncte de comparatie din cadrul respectivului interval:10

Coordonata x	y (pt. elipsa)	sk (pt. functia SPLINE)
24,770	70,885	70,885
25,948	72,101	72,774
27,125	73,187	74,282
28,302	74,171	75,463
29,480	75,075	76,372
30,657	75,912	77,064
31,835	76,691	77,594
33,012	77,421	78,016
34,189	78,108	78,385
35,367	78,756	78,756

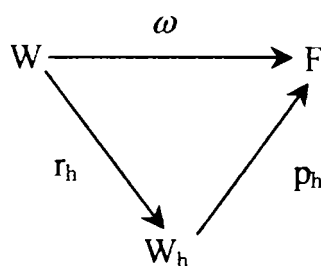
§ 3.5. CÂTEVA CONSIDERAȚII ȘI OPINII PRIVIND ERORILE ÎN REZOLVAREA CU M.E.Fr. A PROBLEMELOR DE CÂMP

Ca orice metodă numerică, și M.E.Fr., deși este foarte performantă, introduce erori, care dacă nu sunt controlate pot conduce la rezultate profund incorecte.

Cu toată literatura deosebit de bogată legată de calculul erorilor în analiza numerică, noțiunea de „eroare” nu este încă suficient de bine clarificată și nu este încă acceptată o definiție generală a ei. Vom da în continuare câteva definiții din literatura specifică domeniului, pentru a sublinia criteriile de definiție și diversitatea lor, deoarece intenționăm să facem, un studiu al erorilor introduse de algoritmul M.E.Fr.

I. Cea mai generală definiție și mai riguros matematic este definiția funcțională prezentată de R. TEMAM [T7] în contextul aproximării externe în spații vectoriale normate:

Se numește **aproximație externă** a unui spațiu vectorial normat W , mulțimea formată din:



i) un spațiu vectorial normat F și un izomorfism ω a lui W în F

ii) o familie de triplete $\{W_h, p_h, r_h\}_{h \in H}$ în care pentru

$\forall h \in H$ (H o familie de indici):

- W_h este un spațiu vectorial normat;

- p_h este o aplicație liniară continuă a lui W_h în F ;

- r_h este o aplicație (posibil neliniară) a lui W în W_h (vezi schema de alături)

Cazurile cele mai interesante sunt acelea în care W_h are dimensiune finită; deseori operatorii p_h sunt injectivi, iar operatorii r_h – surjectivi. Ei se numesc **operatori de prelungire** și respectiv **operatori de trunchiere**.

Dacă W și W_h sunt spații Hilbert, atunci aproximarea se spune că este de tip Hilbert.

În aceste condiții abstracte, dar foarte generale, se introduce noțiunea de eroare pentru a se putea evalua calitatea aproximării, -operatorii p_h și r_h fiind cunoscuți- astfel:

„Pentru un h dat, dacă $u \in W_h$ se spune că:

- a). $\|\omega_u - p_h u_h\|_F$ - reprezintă eroarea dintre u și u_h
 - b). $\|u_h - r_h u\|_{W_h}$ - reprezintă eroarea discretă dintre u și u_h
 - c). $\|\omega_u - p_h r_h u\|_F$ - reprezintă eroarea de trunchiere”
- (3.5.1)

Deși definițiile de mai sus sunt riguroase, aplicabilitatea lor practică este limitată, deoarece în cazul M.E.Fr. definirea și descrierea operatorilor de prelungire și restricție este greu de realizat. Chiar și mulțimea de indici H este greu de stabilit; ea se construiește introducând o corespondență între mulțimea numerelor naturale și mărimea elementelor de frontieră evaluate într-o măsură convenabil aleasă.

II. I. PĂVĂLOIU [P] evită introducerea noțiunii de eroare, utilizând pentru compararea relativă a soluțiilor numerice și exacte, așa-numita ε **aproximare**.

Fie X un spațiu Banach și fie X' un subspațiu al său. Fie $\varepsilon \geq 0$ un număr real nenegativ dat. Spunem că elementul x din spațiul X este ε aproximat de elementul x' din spațiul X' (cu $x' \neq x$) dacă există $x' \in X'$ astfel încât:

$$\|x - x'\| \leq \varepsilon \|x\| \tag{3.5.2}$$

Deși acest mod de raționament este mult mai flexibil și mai precis totuși nu rezolvă problema estimării erorii în sens relativ. Mai mult, în cazul elementului nul, concluziile sunt derutante. Astfel dacă 0 este elementul nul din X , din definiție rezultă:

$$\|x\| \leq \varepsilon \|0\| = 0 \quad (3.5.3)$$

ceea ce contrazice faptul că $x \neq x'$. Rezultă de aici că elementul nul nu poate fi aproximat. Dar în problemele de care ne ocupăm, apar frecvent situații când pe frontiera domeniului de definiție mărimile necunoscute (deplasări și tensiuni) sunt nule.

III. C.M. BUCUR în [B76] procedează în modul următor:

Presupunem că sistemul fizic studiat Ω , conduce la o problemă P formulată corect matematic prin $x = \Lambda(a)$ unde Λ este un operator. Pentru a utiliza o metodă numerică de rezolvare a problemei P se presupune că $\Lambda: A \rightarrow B$ este o aplicație surjectivă. O metodă numerică implică înlocuirea mulțimii A prin A^* , $\Lambda(a)$ prin $x = \Lambda^*(a)$. $\Lambda^*(a)$ determină valoriale lui x cu condițiile:

$$\Lambda^*: A^* \rightarrow B^*, \quad A^*, B^* \text{ mulțimi finite } A^* \subset A, \quad B^* \subset B.$$

Aplicația $\Lambda^*: A^* \rightarrow B^*$ determină o problemă P_1 diferită de problema P. Soluția problemei P_1 este considerată, în anumite condiții, ca fiind o aproximare a soluției problemei P.

Problema P_1 este corect pusă dacă:

$$\Lambda^*: A^* \rightarrow B^*$$

este surjectivă, iar

$$\rho(\Lambda^*(a), \Lambda(a)) < \varepsilon \quad (*)$$

unde ε este suficient de mic.

Mulțimile A și B se presupun spații metrice complete iar $\rho(x, y)$ este funcția distanță sau **metrica** definită pe spațiile respective.

Relația (*) caracterizează eroarea făcută prin trecerea de la problema P la problema P_1 . Această eroare se compune din eroarea inițială (înlocuirea lui A prin A^*) și eroarea metodei (trecerea de la $\Lambda(a)$ la $\Lambda^*(a)$).

Deși face legătura cu metoda numerică propriu-zisă acoperind noțiunea de eroare de metodă și eroare de calcul, și definiția propusă are mai mult un caracter calitativ.

IV. Evident că majoritatea autorilor rămân la definițiile clasice: MARCHOUK [M9], BAKHALOV [B2], MICULA [M31], BERBENTE [B31], C.M. BUCUR [B76], GH. MARINESCU [M11] ș.a.

Rezolvarea problemei P prin metode numerice presupune satisfacerea anumitor restricții (condiții de existență, condiții la limită, condiții inițiale etc). Printre altele, soluția este funcție și de datele inițiale: Dacă acestea sunt rezultatul unor măsurări sau soluții aproximative ale altor probleme, atunci în rezolvarea problemei P se introduce o eroare, numită **eroare inițială**. Eroare inițială nu poate fi influențată de metoda de rezolvare a problemei P. Însă erorile incluse în datele inițiale necesită un **studiu probabilistic**. Ele nu pot fi înlăturate prin perfecționarea procesului de calcul, însă este necesar un studiu al modului în care se propagă de-a lungul calculului. Astfel, există procese calculatorii bine condiționate, la care rezultatele finale sunt puțin influențate de erorile din datele inițiale, și procese calculatorii rău condiționate, la care erori mici în datele inițiale conduc la erori mari în rezultate. Erorile incluse în datele inițiale au un rol important în interpolarea datelor experimentale și la soluționarea numerică a sistemelor de ecuații liniare.

Prin folosirea unei metode numerice în rezolvarea problemei P (se înlocuiește P prin P_1) se introduce o nouă eroare numită **eroarea metodei**. Eroarea metodei poate fi micșorată prin alegerea metodei celei mai adecvate pentru rezolvarea problemei P^* .

Se știe că proprietățile constructive ale calculatorului impun restricții asupra numărului zecimalelor semnificative; de asemenea, prin metoda rotunjirii la numerele ce intervin în calcule, se reține un număr finit de cifre semnificative. Aceste restricții conduc la apariția **erorii de calcul**. În eroarea de calcul vom cuprinde **erorile de trunchiere** și **erorile de rotunjire** care apar în procesul de calcul. Propagarea erorilor de rotunjire poate fi controlată prin extinderea tehnicilor de programare. Protecția contra erorilor de rotunjire poate fi obținută prin folosirea preciziei duble în anumite etape ale algoritmului de calcul. De asemenea, în cadrul unei rutine de evaluare scrise pentru virgulă mobilă, se pot folosi calcule în virgulă fixă pentru etape intermediare, deoarece precizia în virgulă fixă pentru unele calculatoare este mai bună decât în virgulă mobilă de simplă precizie.

Eroarea de trunchiere în general nu poate fi determinată și de aceea ne mulțumim cu stabilirea unor limite între care este cuprinsă aceasta. O caracteristică a erorii de trunchiere este faptul că ea poate fi făcută oricât de mică, luând în considerare („însușind”) un număr suficient de mare de termeni.

Cu toate acestea **eroarea totală**, care este suma tuturor acestor erori, nu poate fi coborâtă sub o anumită limită. Creșterea numărului termenilor însumați face să crească erorile datorate pseudooperațiilor, ajungându-se la un moment dat ca acestea să domine eroarea totală. Algoritmii optimi va fi acela care realizează un echilibru între cele două tipuri de erori.

Mai facem câteva precizări. Dacă x este valoarea adevărată a unei mărimi și x^* este o valoare aproximativă a lui x rezultată în urma unei măsurători, observații, sau a unui calcul numeric, atunci:

$$\delta_x = x - x^* \quad - \text{se numește eroare} \quad (3.5.4)$$

$$|\delta_x| = |x - x^*| \quad - \text{eroare absolută} \quad (3.5.5)$$

$$\delta_r = \frac{|x - x^*|}{|x|} = \frac{|\delta_x|}{|x|} \quad - \text{eroare relativă} \quad (3.5.6)$$

În cazul aproximării funcțiilor prin polinoame sau funcții raționale, analiza erorilor se face cu ajutorul „funcției de eroare”. Astfel, dacă $F(x)$ este aproximata lui $f(x)$, atunci **funcțiile eroare absolută și eroare relativă** sunt:

$$|\delta_a(x)| = |F(x) - f(x)|, \quad (3.5.7)$$

$$\delta_r(x) = \frac{|F(x) - f(x)|}{|F(x)|} \quad (3.5.8)$$

V. În cazul utilizării funcțiilor spline cubice s-a reușit să se stabilească o evaluare a erorii de interpolare în sensul exprimării analitice a unui majorant [I1] [M31] pe intervalul de definiție. Astfel, dacă notăm:

$f(x) \in C^2[a, b]$ - funcția original care trebuie determinată

$S_{(x)}$ - funcția spline de interpolare pentru funcția $f(x)$

* Alegerea metodei de rezolvare este o problemă foarte importantă și dificilă. De exemplu, dacă alegem să rezolvăm un sistem algebric liniar cu regula lui Cramer, pentru $n=20$ (numărul de necunoscute), atunci numărul operațiilor algebrice elementare este de aproximativ 16×10^{19} ; aceasta înseamnă că un calculator modern, capabil să execute $2 \cdot 10^6$ operații pe secundă, va trebui să ruleze continuu la această problemă $2 \cdot 10^6$ ani! În plus, la un asemenea număr de operații, acumularea erorilor de rotunjire poate conduce la rezultate absurde.

$\Delta: a = x_0 < x_1 < \dots < x_n = b$ - o diviziune a intervalului $[a, b]$

construită în condițiile:

I. $M_0 = M_1 = 0$; II. $f'_0 = f'(x_0)$, $f'_n = f'(x_n)$ cunoscute

$h = \max(x_i - x_{i-1}), \quad i = 1, 2, \dots, n$

atunci vom avea:

$$\|f'(x) - S'(x)\| \leq \|f''\|_2 \sqrt{h} \quad (3.5.9)$$

$$\|f(x) - S(x)\| \leq \|f''\|_2 h^{3/2} \quad (3.5.10)$$

unde prin definiție:

$$\|g(x)\|_2 = \left\{ \int_a^b g^2(x) dx \right\}^{1/2} \quad (3.5.11)$$

este norma naturală din $L^2(a, b)$.

Dacă funcția $f(x)$ are un grad de regularitate mai ridicat decât $C^2[a, b]$, pot fi obținute estimări mai puternice ale erorii de interpolare decât cele date mai sus. Astfel, în cazul în care $f(x) \in C^4[a, b]$ se demonstrează că:

$$\|f'(x) - S'(x)\| \leq \frac{1}{20} \|f^{(4)}(x)\| h^3 \quad (3.5.12)$$

$$\|f(x) - S(x)\| \leq \frac{5}{384} \|f^{(4)}(x)\| h^4 \quad (3.5.13)$$

§ 3.6. PROBLEMATICA ALGORITMILOR ADAPTIVI

3.6.1. Generalități privind algoritmi adaptivi

Una dintre deficiențele majore ale M.E.Fr., în condiții concrete de aplicare, constă în faptul că precizia rezultatelor aproximative nu poate fi evaluată „*a priori*”, aceasta depinzând în mod esențial de modul în care se face discretizarea frontierei în obiectele fizico-geometrice pe care le-am numit **elemente de frontieră**.

Pentru a elimina acest minus al metodei s-au imaginat așa-numiții **algoritmi adaptivi** care au ca obiect să determine în mod automat o **rețea de discretizare optimă** din punctul de vedere al minimizării erorilor.

Termenul de **adaptiv** definește interacțiunea reciprocă dintre **eroarea calculată a posteriori** și refacerea discretizării inițiale. Această „*refacere*” a rețelei de frontieră în vederea obținerii unei soluții mai exacte pentru problema studiată se numește „**rafinare**”. În prezent există trei modalități de a realiza această rafinare în algoritmi de frontieră adaptivi.

- **rafinarea h** - este cea mai frecventă și se realizează prin creșterea numărului elementelor de frontieră (în cazul 3D, implicit prin micșorarea suprafeței medii a acestora). Este un procedeu ușor de programat, conduce la soluții foarte bune, dar de multe ori solicită un necesar de memorie și un timp de calcul foarte mare. După numai trei iterații, în funcție de algoritmul utilizat și de precizia cerută, numărul de elemente poate crește de peste 20-30 de ori.
- **rafinarea p** - nu se referă la aspectul geometric al rețelei de frontieră ci la modul de aproximare pentru funcția necunoscută; în această tehnică numărul și forma elementelor de frontieră rămân constante, crescându-se doar gradul polinomului de aproximare. Rafinarea p conduce la soluții foarte precise cu un necesar de memorie de calculator comparabil cu rafinarea h.
- **rafinarea r** - (cunoscută și ca **metoda adaptivă r**) – este o tehnică diferită de celelalte două, unii autori neconsiderând-o ca o tehnică propriu-zisă de rafinare; numărul elementelor de frontieră, precum și gradul polinomului de aproximare rămânând constante, modificându-se doar poziția nodurilor și a elementelor de frontieră. Rafinarea r nu a fost studiată și nici utilizată atât de intens cum au fost celelalte două, pentru că, desigur, convergența către soluția exactă a problemei nu se poate obține doar prin rearanjarea punctelor nodale.

Evident că la ora actuală există tehnici de algoritmi adaptivi care combină cele trei metode de rafinare.

În principiu schema logică de lucru a unui algoritm adaptiv este evidentă (v. Fig. 3.5.1).

Se vede că într-un program de analiză asistată de calculator după ideea prezentată, etapele iterative ale algoritmului adaptiv sunt transparente pentru utilizator: el nu trebuie decât să furnizeze datele unei rețele inițiale cu care se stabilesc configurațiile geometrice și mecanice ale problemei și o valoare pentru limita maximă a erorii admisibile. Programul care implementează algoritmul va prelucra aceste date constituind o rețea de frontieră optimă și oferind soluția căutată.

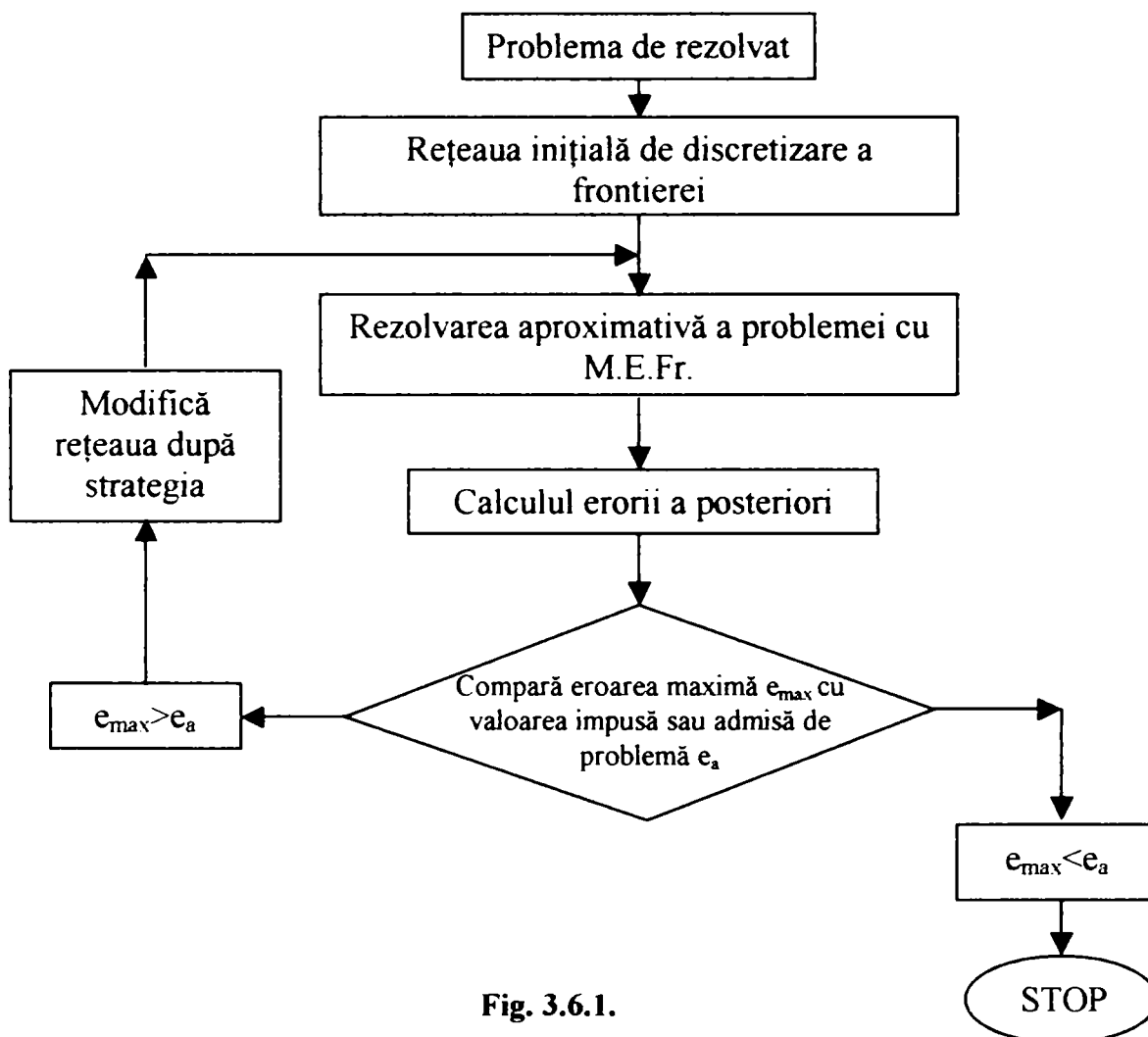


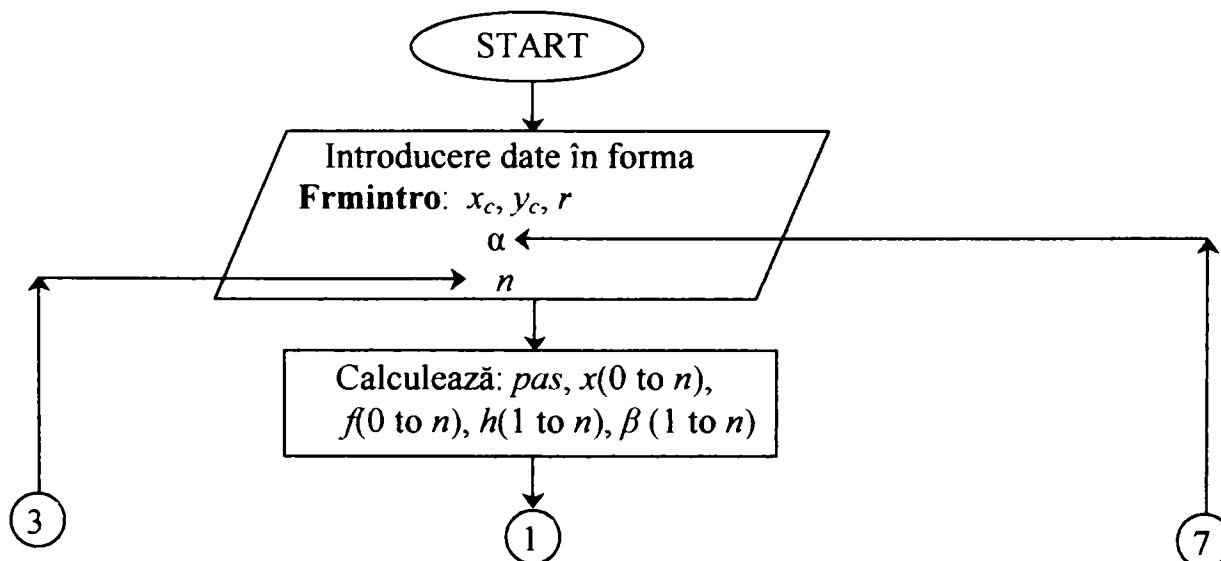
Fig. 3.6.1.

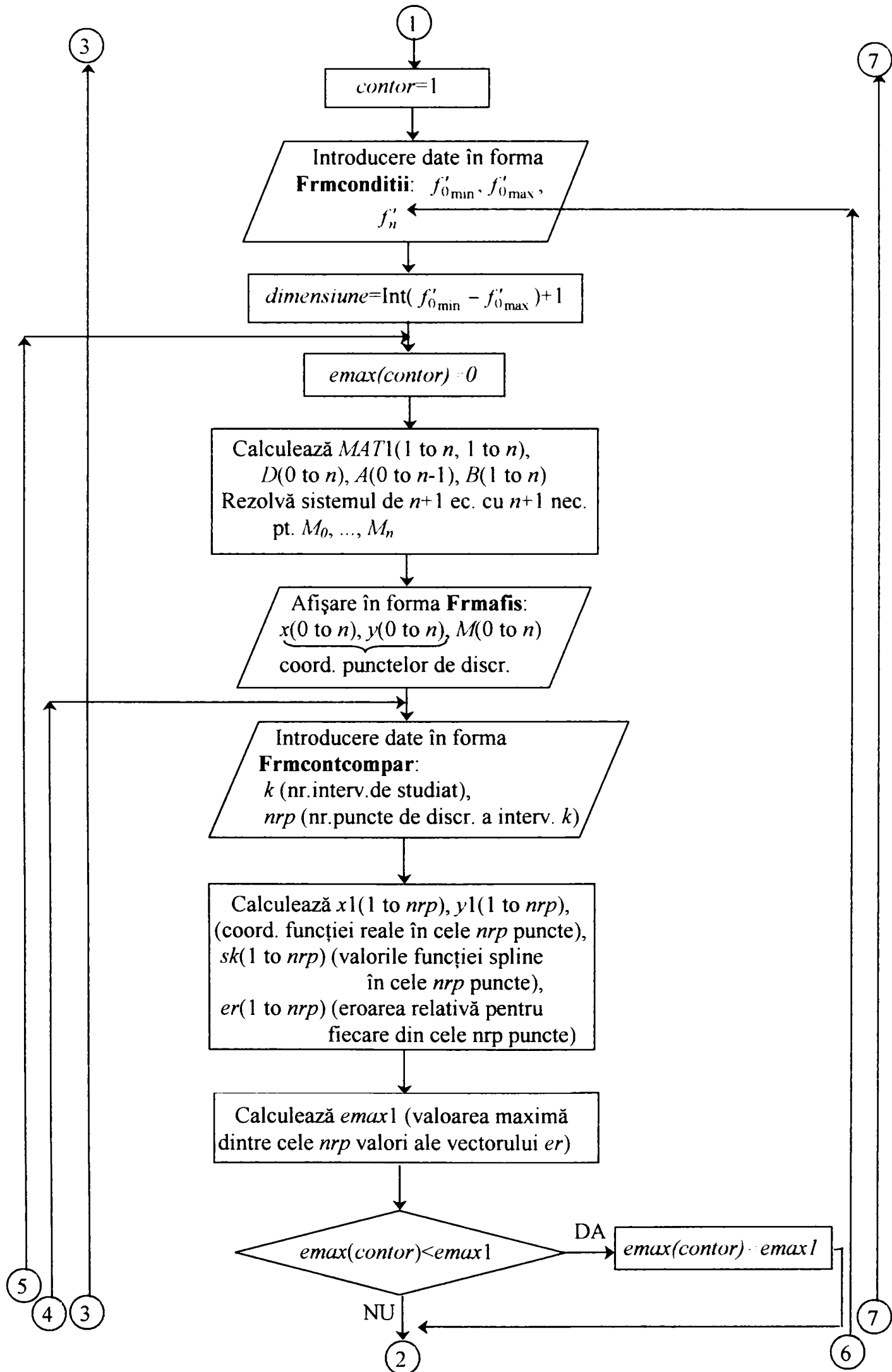
3.6.2. Program adaptiv pentru studiul erorilor în interpolarea cu funcții spline

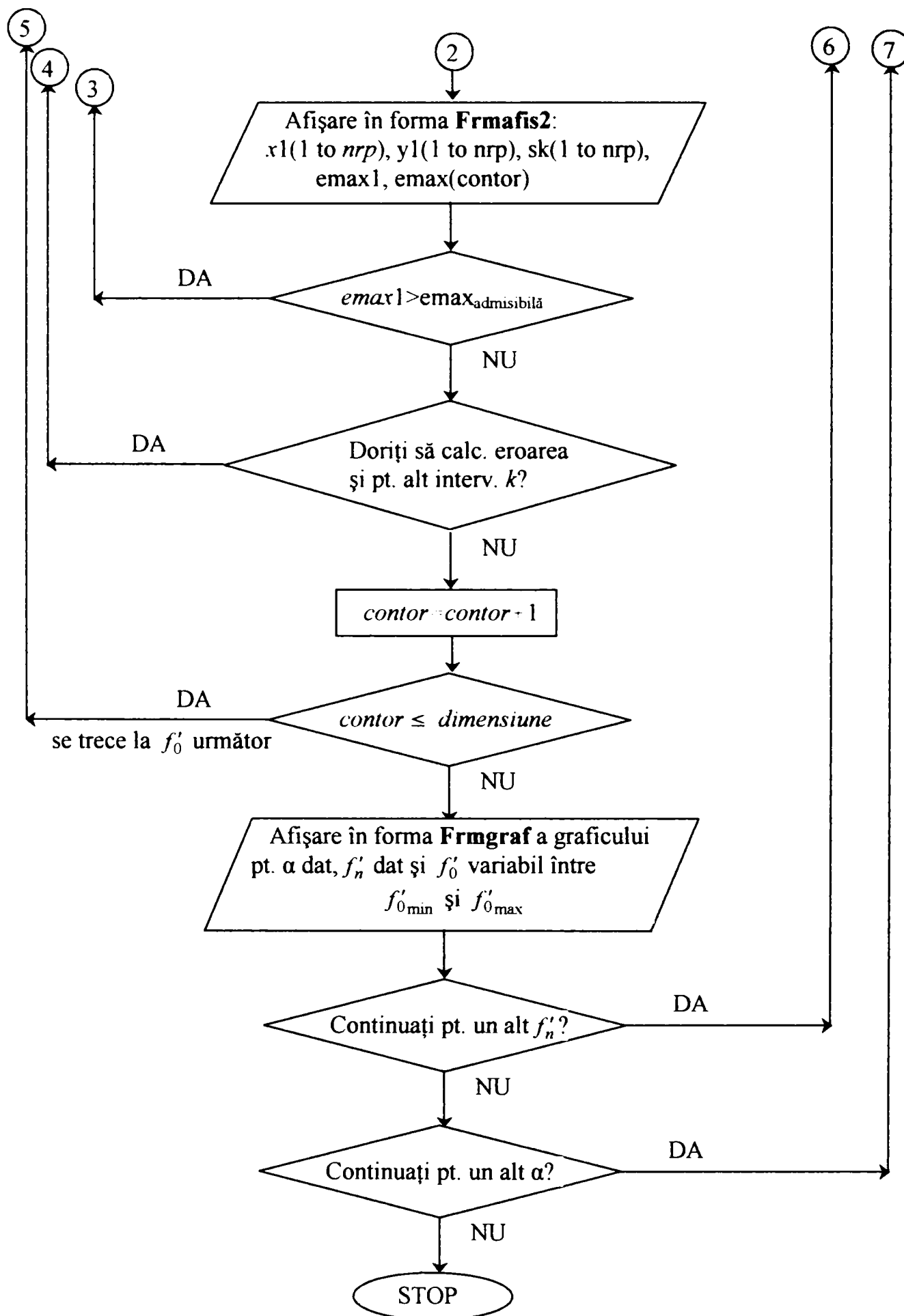
Programele prezentate în paragraful 3.4.8. au fost completate cu un algoritm adaptiv cu rafinare h a rețelei de discretizare și cu proceduri grafice care să releve variația erorii dată de aproximarea cu funcții spline față de funcția adevărată. Rafinarea h s-a utilizat deoarece s-a impus ca eroarea relativă maximă pentru întregul contur să i-a valori mai mici decât o anumită valoare admisibilă considerată.

3.6.2.1. Algoritm programului h -adaptiv

Schema logică a programului h -adaptiv realizat este redată mai jos.







Voi prezenta în continuare în detaliu **algoritmul programului de interpolare cu funcții spline exponențiale pentru un semicerc în varianta a III-a, cu specificarea derivatelor de ordinul I pentru nodurile extreme**. Celelalte variante de program, pentru elipsă sau discretizarea după unghiuri egale la centru, sunt similare cu acesta.

Se va analiza deci cazul prezentat în Fig. 3.4.8.2. Codul sursă complet al programului, precum și imaginile formelor, resp. o mostră de fișier de ieșire, sunt date la sfârșitul acestui paragraf.

La lansarea aplicației din programul principal **Sub Main()** va apare mai întâi un mesaj cu titlul problemei (v. Fig. 3.6.2), după care se deschide fișierul text "Ieșire.txt" pregătit pentru a memora rezultatele. Controlul se dă apoi formei de introducere a datelor de intrare, **Frmintr0**, (v. Fig. 3.6.3), în care se introduc de la tastatură coordonatele centrului semicercului, x_c, y_c , și raza acestuia r , respectiv numărul de intervale egale de eșantionare și valoarea α , din relația (3.4.8.41), valoare care apare în expresia funcției spline locale $S_i(x)$, prin intermediul lui β_i din argumentul funcției hiperbolice. La această formă se va reveni mai târziu pentru modificarea valorii parametrului α_i în vederea studiului erorii relative maxime funcție de valorile lui α_i .

var3_cat2_graf

Program de interpolare cu funcții spline cubice pentru un semicerc varianta a III-a cu specificarea derivatelor de ordinul întâi pentru nodurile extreme

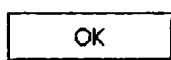


Fig. 3.6.2

Introducerea datelor initiale

Dati coordonata (x) a centrului cercului:

Dati coordonata (y) a centrului cercului:

Dati raza cercului (r):

Dati numarul de intervale de esantionare a semicercului (n):

Dati o valoare pentru alfa:

Fig. 3.6.3

La clic pe butonul de comandă OK se calculează $pas = \frac{2r}{n}$, se formează vectorii

$$x = \begin{cases} x_0 = x_c - r \\ x_1 = x_0 + pas \\ x_2 = x_1 + pas \\ \dots \\ x_i = x_{i-1} + pas \\ \dots \\ x_n = x_{n-1} + pas \end{cases}, f = \begin{cases} f_0 = y_c - \sqrt{r^2 - (x_0 - x_c)^2} \\ f_1 = y_c - \sqrt{r^2 - (x_1 - x_c)^2} \\ f_2 = y_c - \sqrt{r^2 - (x_2 - x_c)^2} \\ \dots \\ f_i = y_c - \sqrt{r^2 - (x_i - x_c)^2} \\ \dots \\ f_n = y_c - \sqrt{r^2 - (x_n - x_c)^2} \end{cases}, h = \begin{cases} h_1 = pas \\ h_2 = pas \\ h_3 = pas \\ \dots \\ h_i = pas \\ \dots \\ h_n = pas \end{cases}, \beta = \begin{cases} \beta_1 = ah_1 \\ \beta_2 = ah_2 \\ \beta_3 = ah_3 \\ \dots \\ \beta_i = ah_i \\ \dots \\ \beta_n = ah_n \end{cases}$$

(3.6.1)

În continuarea apare forma **Frmconditii** (v. Fig. 3.6.4) pentru a citi de la tastatură condițiile în punctele de capăt ale intervalului $[a,b]$ pentru derivatele de ordinul întâi. Deoarece se dorește obținerea unor grafice cu variația erorii relative maxime pentru diverși f'_n când f'_0 variază într-un anumit interval (v. Fig. 3.6.14), se va citi pentru f'_0 o valoare minimă și una maximă:

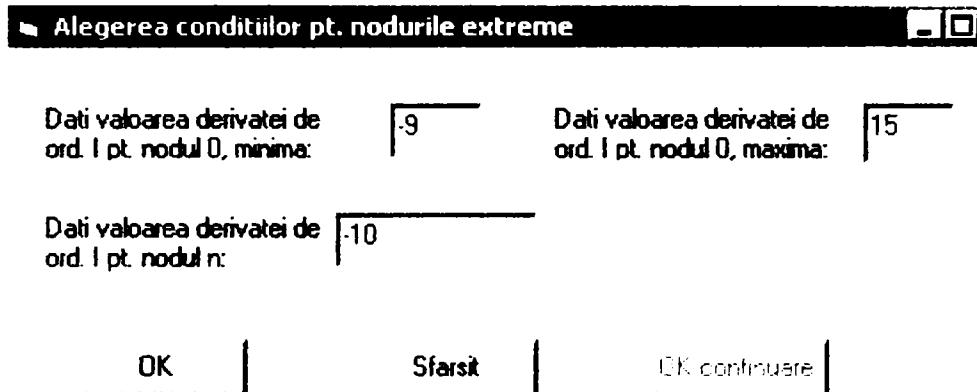


Fig. 3.6.4

La clic pe butonul *OK* au loc o serie de calcule. Mai întâi însă va fi poziționată o variabilă cu numele *contor* pe 1, variabilă care va număra fiecare caz în parte, pentru f'_0 luând toate valorile întregi între $f'_{0\min}$ și $f'_{0\max}$. Pentru aceasta se declară un vector cu numele f'_0 , având un număr de *dimensiune* elemente, unde:

$$dimensiune = Int(f'_{0\max} - f'_{0\min}) + 1 \tag{3.6.2}$$

Int fiind simbolul funcției care extrage partea întreagă a numărului dat ca argument între paranteze. Elementele vectorului f'_0 vor fi:

$$f'_0 = \left\{ \begin{array}{l} f'_{0_1} = Int(f'_{0\min}) \\ \dots \\ f'_{0_i} = Int(f'_{0\min}) + (i - 1) \\ \dots \\ f'_{0_{dimensiune}} = Int(f'_{0\min}) + (dimensiune - 1) \end{array} \right\} \tag{3.6.3}$$

Tot acum se declară un vector *emax* de *dimensiune* elemente, în care se vor memora erorile relative maxime pentru fiecare valoare a lui f'_0 , cuprinsă între f'_{0_1} și $f'_{0_{dimensiune}}$:

$$emax = \left\{ \begin{array}{l} emax_1 \\ \dots \\ emax_i \\ \dots \\ emax_{dimensiune} \end{array} \right\} \tag{3.6.4}$$

Pentru început se presupune $emax_1=0$, pentru valoarea variabilei $contor=1$, dar această valoare va fi modificată imediat după calculul erorii relative maxime în acest prim caz, adică pentru f'_{0_1} .

Revenim acum la calculul necunoscutelor M_0, M_1, \dots, M_n din sistemul (3.4.8.48), pentru care va trebui să stabilim mai întâi vectorii *D*, *A* și *B*:

$$D = \underbrace{\left\{ \begin{array}{l} D_0 = \frac{f_1 - f_0}{h_1} - f'_{01} \\ \dots \\ D_i = \frac{f_{i+1} - f_i}{h_{i+1}} - \frac{f_i - f_{i-1}}{h_i} \\ \dots \\ D_n = f'_n - \frac{f_n - f_{n-1}}{h_n} \end{array} \right\}}_{n+1 \text{ elemente}}, \quad (3.6.5)$$

$$A = \underbrace{\left\{ \begin{array}{l} A_0 = \frac{sh \beta_1 - \beta_1}{\beta_1^2 sh \beta_1} h_1 \\ \dots \\ A_{i-1} = \frac{sh \beta_i - \beta_i}{\beta_i^2 sh \beta_i} h_i \\ \dots \\ A_{n-1} = \frac{sh \beta_n - \beta_n}{\beta_n^2 sh \beta_n} h_n \end{array} \right\}}_{n \text{ elemente}}, \quad B = \underbrace{\left\{ \begin{array}{l} B_1 = \frac{\beta_1 ch \beta_1 - sh \beta_1}{\beta_1^2 sh \beta_1} h_1 \\ \dots \\ B_{i+1} = \frac{\beta_{i+1} ch \beta_{i+1} - sh \beta_{i+1}}{\beta_{i+1}^2 sh \beta_{i+1}} h_{i+1} \\ \dots \\ B_n = \frac{\beta_n ch \beta_n - sh \beta_n}{\beta_n^2 sh \beta_n} h_n \end{array} \right\}}_{n \text{ elemente}}, \quad (3.6.6)$$

cu ajutorul cărora se formează matricea MAT1:

$$MAT1 = \underbrace{\left[\begin{array}{cccccccc} B_1 & A_0 & 0 & 0 & 0 & & & 0 \\ A_0 & B_1 + B_2 & A_1 & 0 & 0 & & & 0 \\ 0 & A_1 & B_2 + B_3 & A_2 & 0 & & & 0 \\ \dots & \dots & \dots & \dots & \dots & & & \dots \\ 0 & 0 & 0 & 0 & 0 & A_{i-1} & B_i + B_{i+1} & A_i & 0 \\ 0 & 0 & 0 & 0 & 0 & 0 & A_{n-2} & B_{n-1} + B_n & A_{n-1} \\ 0 & 0 & 0 & 0 & \dots & 0 & 0 & A_{n-1} & B_n \end{array} \right]}_{(n+1) \times (n+1) \text{ elemente}} \quad (3.6.7)$$

Observație: Valoarea f'_{01} care apare în expresia primului element al vectorului D (relația 3.6.5) reprezintă prima valoare întregă mai mare sau egală cu $f'_{0\min}$, conform vectorului definit de (3.6.3). Toate calculele care se fac sunt deci pentru primul f'_0 deocamdată, calcule ce se vor repeta după incrementarea variabilei *contor*, care ia valori de la 1 la *dimensiune*.

În continuare se rezolvă sistemul de $n+1$ ecuații cu $n+1$ necunoscute (3.4.8.48), care cu notațiile din program este:

$$[MAT1] \times \{M\} = \{D\} \quad (3.6.8)$$

sau mai detaliat:

$$\underbrace{\begin{bmatrix} B_1 & A_0 & 0 & 0 & 0 & 0 & 0 & 0 & 0 & 0 \\ A_0 & B_1 + B_2 & A_1 & 0 & 0 & 0 & 0 & 0 & 0 & 0 \\ 0 & A_1 & B_2 + B_3 & A_2 & 0 & 0 & 0 & 0 & 0 & 0 \\ \dots & & & & & & & & & \\ 0 & 0 & 0 & 0 & A_{i-1} & B_i + B_{i+1} & A_i & 0 & 0 & 0 \\ 0 & 0 & 0 & 0 & 0 & A_{n-2} & B_{n-1} + B_n & A_{n-1} & 0 & 0 \\ 0 & 0 & 0 & 0 & \dots & 0 & 0 & A_{n-1} & B_n & 0 \end{bmatrix}}_{(n+1) \times (n+1)} \times \begin{bmatrix} M_0 \\ M_1 \\ M_2 \\ \dots \\ M_i \\ \dots \\ M_n \end{bmatrix} = \begin{bmatrix} D_0 \\ D_1 \\ D_2 \\ \dots \\ D_i \\ \dots \\ D_n \end{bmatrix} \tag{3.6.9}$$

unde necunoscutele sunt M_i , $i = 0, 1, \dots, n$, și care reprezintă de fapt derivatele de ordinul doi ale funcției spline în punctul x_i , deci $S_i''(x_i)$. Ca metodă de rezolvare a sistemului s-a ales metoda eliminării lui Gauss, al cărei algoritm nu-l mai prezint, deoarece este ușor de găsit în literatura de specialitate.

În urma efectuării tuturor acestor calcule pe ecran apare forma **Frmafis** din Fig. 3.6.5:

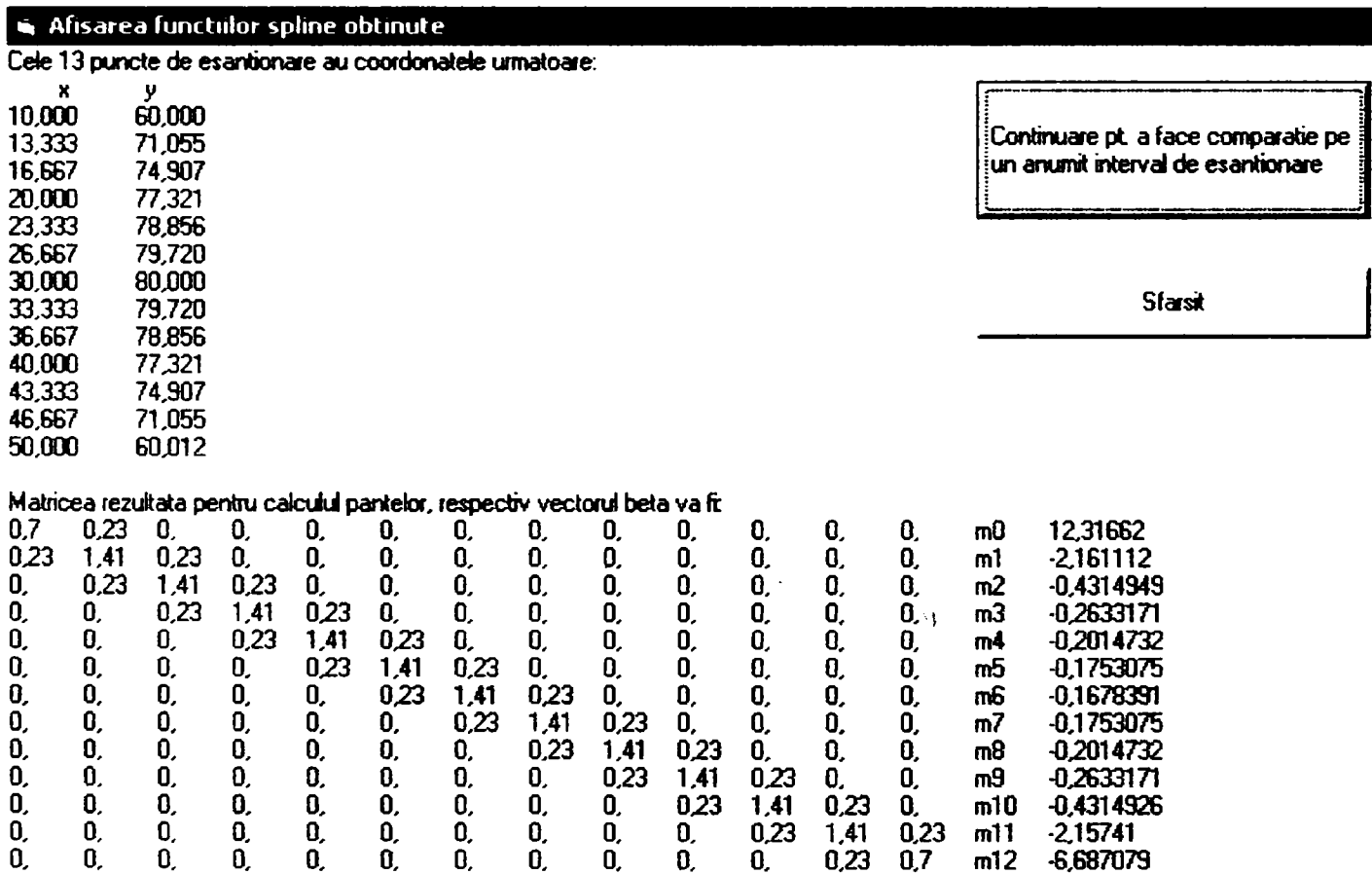


Fig. 3.6.5

Practic, în forma de mai sus am afișat doar coordonatele punctelor de eșantionare obținute și sistemul (3.6.9) care s-a rezolvat, fără a afișa literal forma celor 12 funcții spline obținute în acest caz – vezi expresia funcțiilor spline (3.4.8.40). Acestea se vor calcula numeric puțin mai târziu, când, pentru diferite intervale la alegere, se va calcula eroarea față de valoarea reală a funcției pentru un număr de puncte în care se divizează respectivul interval.

Astfel, la clic pe butonul *Continuare pt. a face comparație pe un anumit interval de eșantionare* (v. Fig.3.6.5) va apărea pe ecran forma **Frmcontcompar** din Fig. 3.6.6.

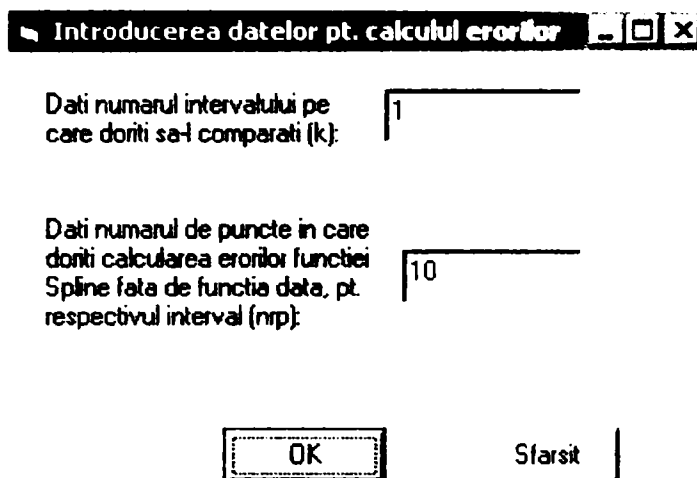


Fig. 3.6.6

La clic pe butonul *OK* se citește:

- în variabila k un număr între 1 și n care este intervalul care se dorește a fi eșantionat din nou și pentru care se calculează eroarea maximă a aproximării spline față de funcția exactă;
- în variabila nrp un număr după dorință, cuprins între 3 și o valoare maximă (pe care am considerat-o 30) și care reprezintă numărul de puncte în care se va diviza intervalul k și în care se vor calcula valoarea exactă și valoarea aproximativă dată de funcția spline și se va calcula eroarea maximă dată de aceste nrp situații.

Pentru calculul erorii maxime se calculează la clic pe *OK*:

- vectorii $x1$ și $y1$ de câte nrp elemente, ce reprezintă coordonatele punctelor de discretizare a intervalului k de pe semicerc, respectiv

$$x1 = \left\{ \begin{matrix} x1_1 = x_k \\ x1_2 = x1_1 + h1 \\ \dots \\ x1_i = x1_{i-1} + h1 \\ \dots \\ x1_{nrp} = x1_{nrp-1} + h1 \end{matrix} \right\}, y1 = \left\{ \begin{matrix} y1_1 = y_c + \sqrt{r^2 - (x1_1 - x_c)^2} \\ y1_2 = y_c + \sqrt{r^2 - (x1_2 - x_c)^2} \\ \dots \\ y1_i = y_c + \sqrt{r^2 - (x1_i - x_c)^2} \\ \dots \\ y1_{nrp} = y_c + \sqrt{r^2 - (x1_{nrp} - x_c)^2} \end{matrix} \right\} \quad (3.6.10)$$

relații identice cu cele din varianta de program prezentată în paragraful 3.4.8, respectiv relațiile (3.4.8.52), unde $h1$ reprezintă pasul constant de discretizare pe orizontală a intervalului ales k , adică:

$$h1 = \frac{pas}{nrp - 1} \quad (3.6.11)$$

- vectorul sk , de nrp elemente, ce conține valorile returnate de funcția spline pentru acele puncte;

$$sk = \left\{ \begin{array}{l} sk_1 = f_k t_1 + f_{k-1} (1 - t_1) + \frac{M_k}{\alpha^2} \left(\frac{sh \beta_k t_1}{sh \beta_k} - t_1 \right) + \frac{M_{k-1}}{\alpha^2} \left(\frac{sh \beta_k (1 - t_1)}{sh \beta_k} - (1 - t_1) \right) \\ sk_2 = f_k t_2 + f_{k-1} (1 - t_2) + \frac{M_k}{\alpha^2} \left(\frac{sh \beta_k t_2}{sh \beta_k} - t_2 \right) + \frac{M_{k-1}}{\alpha^2} \left(\frac{sh \beta_k (1 - t_2)}{sh \beta_k} - (1 - t_2) \right) \\ \dots \\ sk_i = f_k t_i + f_{k-1} (1 - t_i) + \frac{M_k}{\alpha^2} \left(\frac{sh \beta_k t_i}{sh \beta_k} - t_i \right) + \frac{M_{k-1}}{\alpha^2} \left(\frac{sh \beta_k (1 - t_i)}{sh \beta_k} - (1 - t_i) \right) \\ \dots \\ sk_{nrp} = f_k t_{nrp} + f_{k-1} (1 - t_{nrp}) + \frac{M_k}{\alpha^2} \left(\frac{sh \beta_k t_{nrp}}{sh \beta_k} - t_{nrp} \right) + \frac{M_{k-1}}{\alpha^2} \left(\frac{sh \beta_k (1 - t_{nrp})}{sh \beta_k} - (1 - t_{nrp}) \right) \end{array} \right. \quad (3.6.12)$$

unde

$$t_i = \frac{x_{1i} - x_{k-1}}{h_k} \quad (3.6.13)$$

relații care rezultă din expresiile (3.4.8.40) și (3.4.8.41).

În continuare pe ecran apare o nouă formă, **Frmafis2**, în care sunt afișate comparativ rezultatele obținute pentru intervalul k a funcției reale și a aproximării cu funcții spline - v. Fig. 3.6.7).

Afisarea comparativa pentru intervalul k a mai multor puncte de pe curba...

Coordonata x	y (pt. cerc)	sk (pt. functia SPLINE)
10,000	60,000	60,000
10,370	63,831	57,824
10,741	65,393	57,454
11,111	66,573	58,302
11,481	67,554	59,948
11,852	68,405	62,084
12,222	69,162	64,469
12,593	69,848	66,896
12,963	70,476	69,166
13,333	71,055	71,055

emax1=12,425102
emax(1)=12,425102

Doriti sa continuati dand un alt interval de comparatie?

var3_cat2_graf [X]

Trebuie sa mariti nr. de intervale de esantionare pentru a micaeroa eroarea de aproximare!

Fig. 3.6.7

Tot pe această formă se calculează eroarea relativă maximă în procente, $emax1$, ca fiind maximul dintre cele n_{rp} erori relative obținute cu formula (3.5.8), (dar înmulțite cu 100, pentru a obține rezultatele în procente). Se va calcula deci maximul dintre valorile vectorului er de n_{rp} elemente:

$$er = \left\{ \begin{array}{l} er_1 = \frac{|y1_1 - sk_1|}{|y1_1|} \cdot 100 \\ \dots \\ er_i = \frac{|y1_i - sk_i|}{|y1_i|} \cdot 100 \\ \dots \\ er_{nrp} = \frac{|y1_{nrp} - sk_{nrp}|}{|y1_{nrp}|} \cdot 100 \end{array} \right. \quad (3.6.13)$$

Acest maxim, notat $emax_1$, îl compar cu $emax_{contor}$ (cu $emax_1$ fiind vorba de cazul pentru f'_{0_1}) și în caz că este mai mare decât $emax_{contor}$, în $emax_{contor}$ voi reține valoarea lui $emax_1$. Cu alte cuvinte, doresc ca în $emax_{contor}$ să rețin valoarea maximă a erorii relative pentru o anumită valoare a variabilei $contor$, variabilă care ia toate valorile întregi între $f'_{0_{min}}$ și $f'_{0_{max}}$.

Prin program am considerat o valoare maximă admisibilă a erorii relative egală cu 7%. Dacă $emax_1$ calculat depășește această valoare admisibilă, pe ecran apare mesajul: *Trebuie să măriți nr. de intervale de eșantionare pentru a micșora eroarea!* - v. Fig. 3.6.7, și va trebui să acționez butonul *OK*, măresc nr. de intervale, care mă conduce înapoi la forma **Frmintro** (Fig. 3.6.8), unde însă nu voi putea modifica altceva decât valoarea lui n .

Introducerea datelor initiale

Dati coordonata (x) a centrului cercului:

Dati coordonata (y) a centrului cercului:

Dati raza cercului (r):

Dati numarul de intervale de esantionare a semicercului (n):

Dati o valoare pentru alfa:

Fig.3.6.8

Cu noul n se refac calculele până în acest punct, când apare din nou forma **Frmafis2** care afișează erorile obținute de această dată. Dacă discretizarea aleasă, (de exemplu pentru $n=35$) conduce la erori mai mici decât eroarea admisibilă impusă, nu va mai apărea mesajul cu privire la mărirea numărului de intervale de eșantionare (v. Fig. 3.6.9), și programul va continua prin răspunsul utilizatorului la întrebarea: *Doriți să continuați dând un alt interval de comparație?* Dacă se alege răspunsul *DA* și se dă clic pe butonul de comandă *OK*, vom obține din nou forma **Frmcontcompar** (v. Fig. 3.6.10) și calculele se vor repeta, afișând din nou rezultatele din forma **Frmafis2** (v. Fig. 3.6.11). Aici valoarea $emax_1$ afișată reprezintă eroarea relativă maximă în procente pentru acest al ultim ($k=2$) interval ales, iar $emax_{(1)}$ reprezintă eroarea relativă maximă de până acum pentru cazul $f'_0 = f'_{0_1}$, (respectiv $emax_{(contor)}$ va reprezenta în cele ce urmează eroarea relativă maximă până la momentul respectiv pentru cazul $f'_0 = f'_{0_{contor}}$).

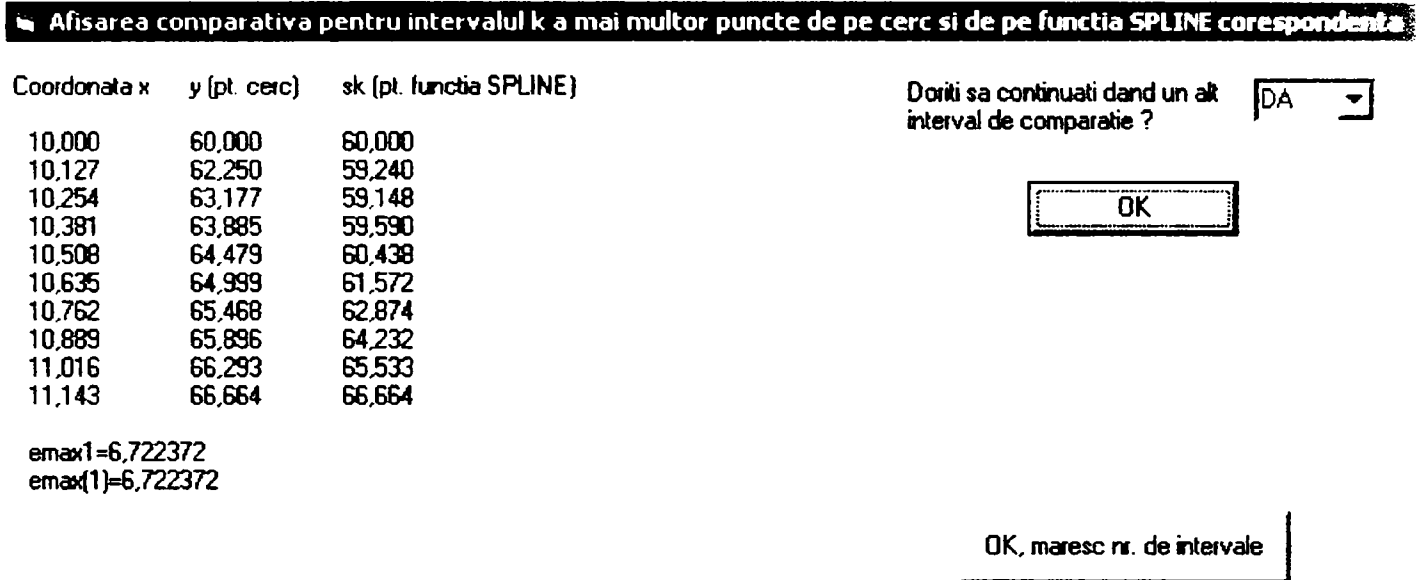


Fig. 3.6.9

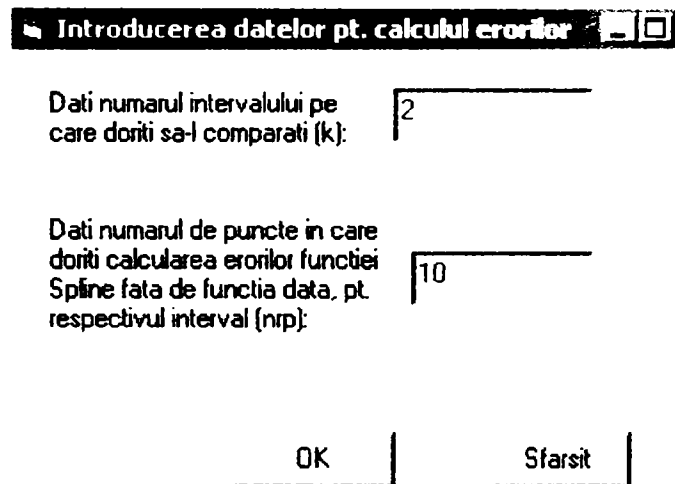


Fig. 3.6.10

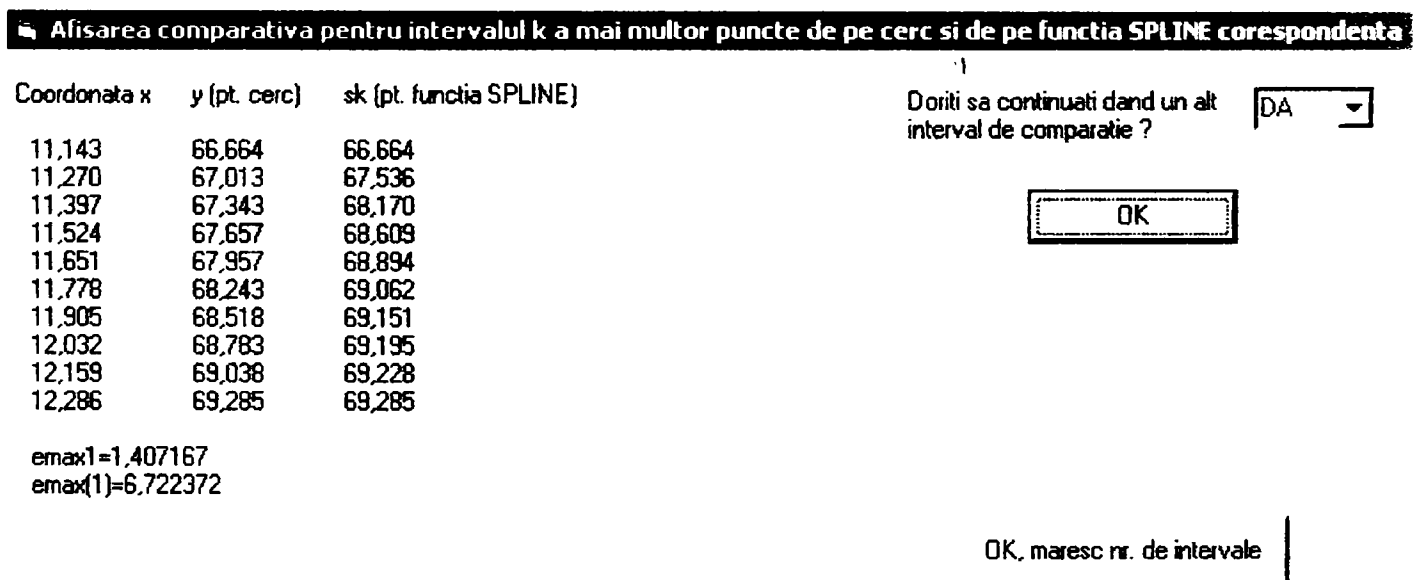


Fig. 3.6.11

Dacă răspund la întrebarea *Doriti să continuați dând un alt interval de comparație?* cu *NU*, atunci variabila *contor* se incrementează, iar dacă valoarea aceasta incrementată a contorului

nu depășește valoarea lui *dimensiune* apare mesajul: *Dati clic pe OK continuare pentru a efectua calculele pentru f'0 urmator!* (v. Fig. 3.6.12).

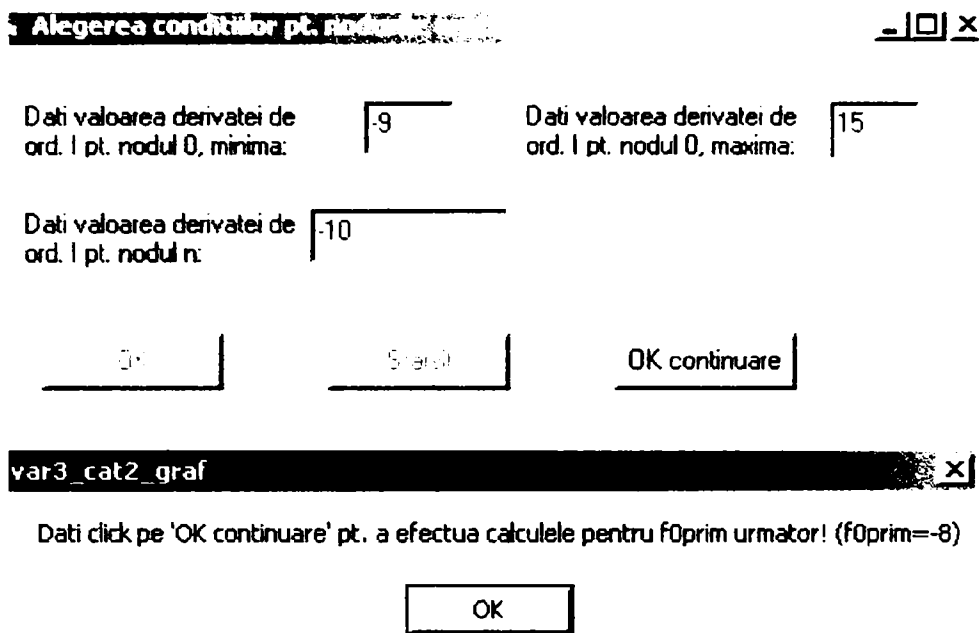


Fig. 3.6.12

La clic pe butonul OK al ferestrei mesaj devine activă din nou fereastra **Frmcondiții**, în care nu se pot însă modifica vechile date ci doar se dă clic pe butonul *OK continuare*, fapt care provoacă reinițializarea cu zero a variabilei $emax_{(contor)}$, recalcularea vectorului D cu f'_{02} (v. relația (3.6.5) și reluarea tuturor etapelor din acest punct începând.

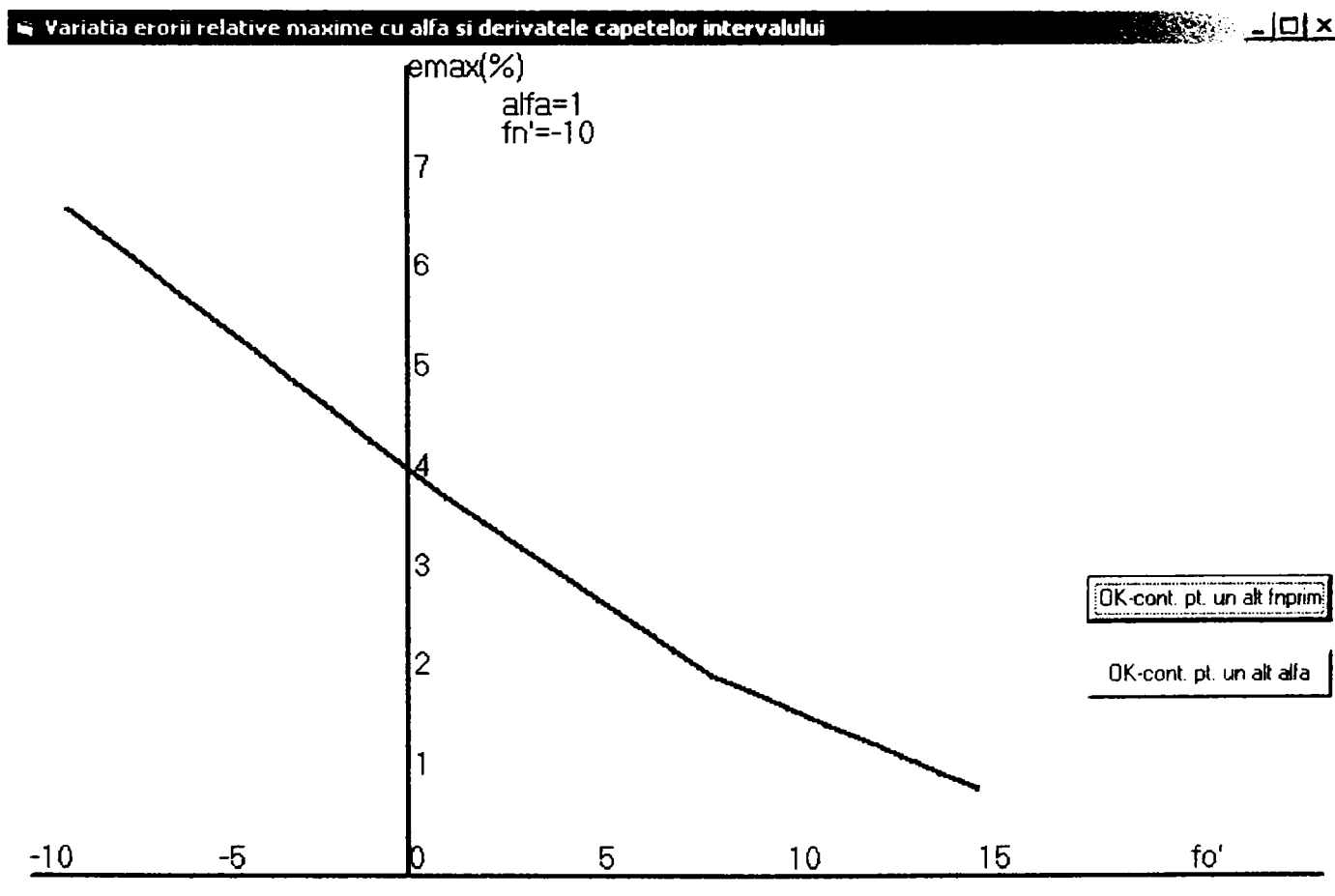


Fig.3.6.13

Dacă s-a trecut în felul acesta prin toate cazurile de f'_0 întregi între $f'_{0\min}$ și $f'_{0\max}$ se realizează reprezentarea grafică a erorii relative maxime pentru α dat și f'_n dat cu variația lui f'_0 între $f'_{0\min}$ și $f'_{0\max}$. Astfel se obține reprezentarea din Fig. 3.6.13.

La clic pe buutonul *OK - continuare pt. un alt fnprim*, se revine la forma **Frmconditii**, unde se va putea modifica doar valoarea lui f'_n și calculele se reiau până în punctul acesta pentru noul f'_n dat. Se observă că orice valori am da lui f'_n , graficul erorii nu se va modifica funcție de acesta – v. Fig. 3.6.14.

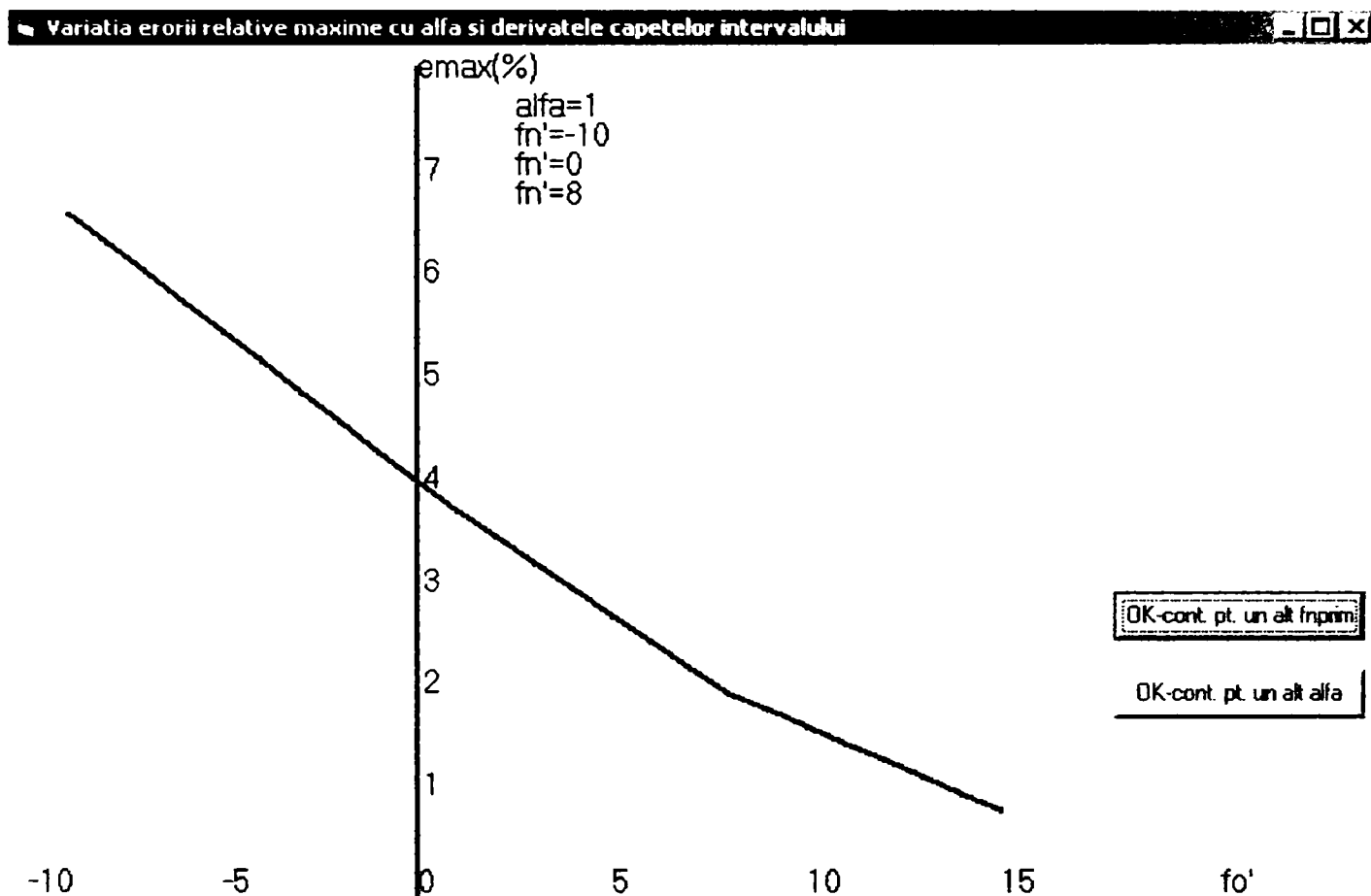


Fig. 3.6.14

Dacă se dă clic pe buutonul *OK - continuare pentru un alt alfa*, programul ne va întoarce la forma **Frmintro**, unde nu vom putea schimba decât valoarea lui α , calculele fiind refăcute din acest punct până la reprezentarea grafică. Astfel vom obține pe același grafic variația erorii relative maxime pentru un alt α și una sau mai multe valori ale lui f'_n , v. Fig. 3.6.15.

În Fig. 3.6.16 se prezintă pentru șase valori diferite ale lui α cele șase curbe de eroare relativă maximă obținute.

Cod sursă al programului de interpolare cu funcții spline varianta III-a cu a doua categorie de condiții – pentru cazul unui semicerc cu pasul h de discretizare pe orizontală constant – varianta prezentată în paragraful 3.6.2.1.

Module 1:

```
Public i, n, k, jj, nrp, prima As Integer
Public xc As Single, yc As Single, r As Single, pas As Single, h1 As Single, alfa, Max, CX, CY, pozx, pozy As Single
Public h() As Single, x() As Single, f() As Single, beta() As Single, m() As Single, bet() As Single
Public Ai(), Bi()
Public f0prim(), emax(), f0primmin, f0primmax, fnprim
```

```
Public mat() As Single, mat1() As Single, beta1() As Single, m1() As Single
```

```
Public x1(), y1(), sk() As Single
```

```
Public contor, dimensiune As Integer
```

```
Sub main()
```

```
MsgBox ("Program de interpolare cu functii spline cubice pentru un semicerc varianta a III-a cu specificarea derivatelor de ordinul intai pentru nodurile extreme")
```

```
Open "Iesire.txt" For Output As #1
```

```
Frmintr0.Show
```

```
prima = 0
```

```
End Sub
```

```
Sub rezolv_sist(n As Integer, a() As Single, b() As Single, x() As Single)
```

```
n1 = n - 1
```

```
For i = 1 To n1
```

```
  i1 = i
```

```
  For i2 = i To n
```

```
    If Abs(a(i1, i)) < Abs(a(i2, i)) Then i1 = i2
```

```
  Next i2
```

```
  If a(i1, i) <> 0 Then
```

```
    If i1 <> 1 Then
```

```
      For j = 1 To n
```

```
        y = a(i, j)
```

```
        a(i, j) = a(i1, j)
```

```
        a(i1, j) = y
```

```
      Next j
```

```
      y = b(i)
```

```
      b(i) = b(i1)
```

```
      b(i1) = y
```

```
    End If
```

```
    y = a(i, i)
```

```
    For j = 1 To n
```

```
      a(i, j) = a(i, j) / y
```

```
    Next j
```

```
    b(i) = b(i) / y
```

```
    i1 = i + 1
```

```
    For j = i1 To n
```

```
      If a(j, i) <> 0 Then
```

```
        y = a(j, i)
```

```
        For k = i To n
```

```
          a(j, k) = a(j, k) - y * a(i, k)
```

```
        Next k
```

```
        b(j) = b(j) - b(i) * y
```

```
      End If
```

```
    Next j
```

```
  Else
```

```
    MsgBox ("Sistem incompatibil sau nedeterminat!")
```

```
  End
```

```
  End If
```

```
Next i
```

```
If a(n, n) <> 0 Then
```

```
  x(n) = b(n) / a(n, n)
```

```
  For i = 1 To n1
```

```
    x(n - i) = b(n - i)
```

```
    For k = 1 To i
```

```
      x(n - i) = x(n - i) - a(n - i, n - i + k) * x(n - i + k)
```

```
    Next k
```

```
  Next i
```

```
Else
```

```
  MsgBox ("Sistem incompatibil sau nedeterminat!")
```

```
  End
```

```
End If
```

```
End Sub
```

Function hsin(x As Single)

```
hsin = (Exp(x) - Exp(-x)) / 2
End Function
```

Function hcos(x As Single)

```
hcos = (Exp(x) + Exp(-x)) / 2
End Function
```

Sub calcule()

```
emax(contor) = 0
beta(0) = (f(1) - f(0)) / h(1) - f0prim(contor)
For i = 1 To n - 1
    beta(i) = (f(i + 1) - f(i)) / h(i + 1) - (f(i) - f(i - 1)) / h(i)
Next i
beta(n) = fnprim - (f(n) - f(n - 1)) / h(n)
End Sub
```

Frmintro:
Private Sub cmdok_Click()

```
xc = Val(txtcentx.Text)
yc = Val(Txtcenty.Text)
r = Val(Txtr.Text)
n = Val(Txtn.Text)
alfa = Val(txtalfa.Text)
contor = 1
jj = 0
ReDim h(1 To n), x(0 To n), f(0 To n), beta(0 To n), m(0 To n), bet(1 To n)
ReDim mat(0 To n, 0 To n), mat1(1 To n + 1, 1 To n + 1), betal(1 To n + 1), ml(1 To n + 1)
ReDim Ai(0 To n - 1), Bi(1 To n)
pas = 2 * r / n
x(0) = xc - r
f(0) = yc + Sqr(r * r - (x(0) - xc) ^ 2)
For i = 1 To n
    x(i) = x(i - 1) + pas
    f(i) = yc + Sqr(Abs(r * r - (x(i) - xc) ^ 2))
Next i
For i = 1 To n
    h(i) = pas
Next i
For i = 1 To n
    bet(i) = alfa * h(i)
```

```
Next i
Frmintro.Hide
frmconditii.Show
End Sub
```

Private Sub cmdsf_Click()

```
Close #1
End
End Sub
```

Private Sub Txtn_Validate(Cancel As Boolean)

```
n = Val(Txtn.Text)
If n < 2 Then
    MsgBox ("n trebuie sa fie natural si >=2!")
    Cancel = True
End If
End Sub
```

Private Sub Txtr_Validate(Cancel As Boolean)

```
r = Val(Txtr.Text)
If r <= 0 Then
    MsgBox ("r trebuie sa fie >=0!")
    Cancel = True
End If
End Sub
```

Frmconditii:

Alegerea conditiilor pt. nodurile extreme

Dati valoarea derivatei de ord. l pt. nodul 0, minima:

Dati valoarea derivatei de ord. l pt. nodul 0, maxima:

Dati valoarea derivatei de ord. l pt. nodul n:

OK Sfarsit OK continuare

Private Sub cmdcancel_Click()

```
txtf0primmin.Text = ""
txtf0primmax.Text = ""
txtfnprim.Text = ""
txtf0primmin.SetFocus
End Sub
```

Private Sub cmdok_Click()

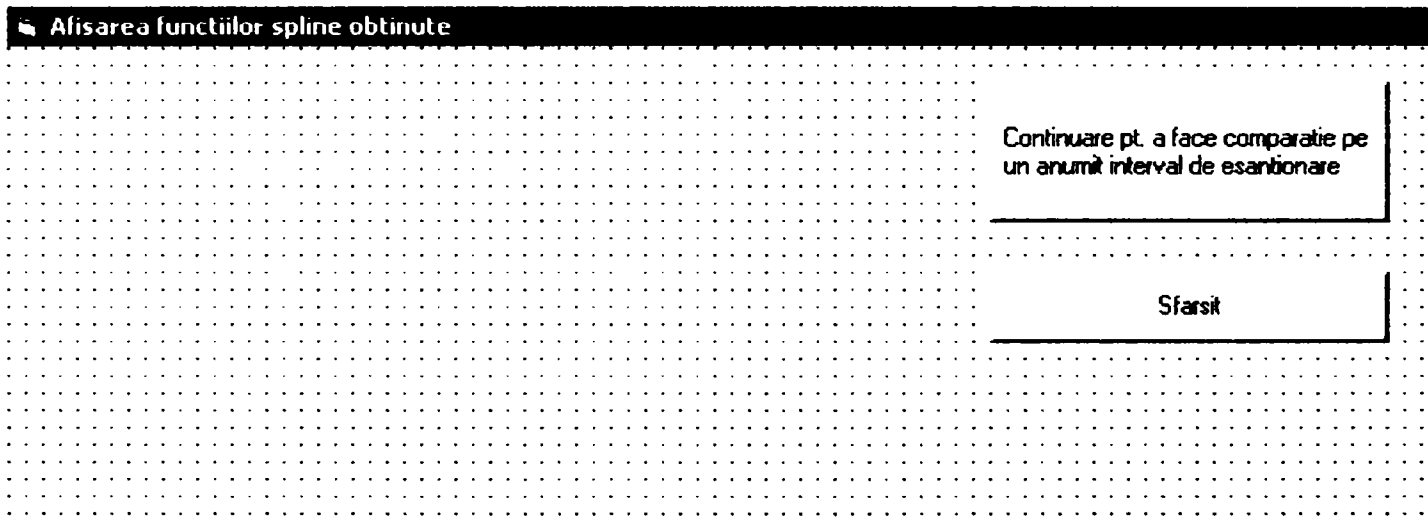
```
f0primmin = Val(txtf0primmin.Text)
f0primmax = Val(txtf0primmax.Text)
dimensiune = Int(f0primmax - f0primmin) + 1
ReDim f0prim(1 To dimensiune), emax(1 To dimensiune)
fnprim = Val(txtfnprim.Text)
f0prim(contor) = Int(f0primmin)
calcule
frmconditii.Hide
Frmafis.Show
End Sub
```


Private Sub cmdsfarsit_Click()

```
Close #1
End
End Sub
```

Private Sub OKcont_Click()

```
f0prim(contor) = f0prim(contor - 1) + 1
calcule
frmconditii.Hide
Frmafis.Show
End Sub
```

Frmafis:**Private Sub Cmdcont_Click()**

```
Frmafis.Hide
Frmcontcompar.Show
End Sub
```

Private Sub cmdsf_Click()

```
Close #1
End
End Sub
```

Private Sub Form_Activate()

```
Cls
Print "Cele " & n + 1 & " puncte de esantionare au coordonatele urmatoare:"
Print "    x    y"
Print #1, "Cele " & n + 1 & " puncte de esantionare au coordonatele urmatoare:"
Print #1, "    x    y"
For i = 0 To n
    Print Format(x(i), "#####0.000"); Tab(13); Format(f(i), "#####0.000")
    Print #1, Format(x(i), "#####0.000"); Tab(13); Format(f(i), "#####0.000")
Next i
Ai(0) = (hsin(bet(1)) - bet(1)) / (bet(1) ^ 2 * hsin(bet(1))) * h(1)
For i = 1 To n - 1
    Ai(i) = (hsin(bet(i + 1)) - bet(i + 1)) / (bet(i + 1) ^ 2 * hsin(bet(i + 1))) * h(i + 1)
    Bi(i) = (bet(i) * hcos(bet(i)) - hsin(bet(i))) / (bet(i) ^ 2 * hsin(bet(i))) * h(i)
Next i
Bi(n) = (bet(n) * hcos(bet(n)) - hsin(bet(n))) / (bet(n) ^ 2 * hsin(bet(n))) * h(n)
mat(0, 0) = Bi(1): mat(0, 1) = Ai(0)
For j = 2 To n - 1
    mat(0, j) = 0
Next j
For i = 1 To n - 1
```

```

For j = 0 To i - 2
  mat(i, j) = 0
Next j
mat(i, j) = Ai(i - 1): mat(i, j + 1) = Bi(i) + Bi(i + 1): mat(i, j + 2) = Ai(i)
j = j + 3
For k = j To n
  mat(i, k) = 0
Next k
Next i
For i = 0 To n - 2
  mat(n, i) = 0
Next i
mat(n, n - 1) = Ai(n - 1): mat(n, n) = Bi(n)
Print
Print "Matricea rezultata pentru calculul pantelor, respectiv vectorul beta va fi:"
Print #1, ""
Print #1, "Matricea rezultata pentru calculul pantelor, respectiv vectorul beta va fi:"
For i = 0 To n
  For j = 0 To n
    Print Tab(1 + j * 7); Format(mat(i, j), "###0.##");
    Print #1, Tab(1 + j * 7); Format(mat(i, j), "###0.##");
  Next j
  Print Tab(1 + (n + 1) * 7); "m" & i; Tab(8 + (n + 1) * 7); Format(beta(i), "#####0.0#####")
  Print #1, Tab(1 + (n + 1) * 7); "m" & i; Tab(8 + (n + 1) * 7); Format(beta(i), "#####0.0#####")
Next i
For i = 1 To n + 1
  For j = 1 To n + 1
    mat1(i, j) = mat(i - 1, j - 1)
  Next j
  betal(i) = beta(i - 1)
  m1(i) = m(i - 1)
Next i
rezolv_sist n + 1, mat1(), betal(), m1()
For i = 0 To n
  For j = 0 To n
    mat(i, j) = mat1(i + 1, j + 1)
  Next j
  beta(i) = betal(i + 1)
  m(i) = m1(i + 1)
Next i
End Sub

```

Frmcontcompar:

Introducerea datelor pt. calculul erorilor

Dati numarul intervalului pe care doriti sa-l comparati (k):

Dati numarul de puncte in care doriti calcularea erorilor functiei Spline fata de functia data, pt. respectivul interval (nnp):

OK Sfarsit

Private Sub cmdok_Click()

```

k = Val(txtk.Text)
nrp = Val(txtnrp.Text)
h1 = pas / (nrp - 1)
ReDim x1(1 To nrp), y1(1 To nrp), sk(1 To nrp)
x1(1) = x(k - 1)
For i = 2 To nrp
  x1(i) = x1(i - 1) + h1
Next i
For i = 1 To nrp
  y1(i) = yc + Sqr(r * r - (x1(i) - xc) ^ 2)
  t = (x1(i) - x(k - 1)) / h(k)
  t1 = f(k) * t
  t2 = f(k - 1) * (1 - t)
  t3 = m(k) / alfa ^ 2 * (hsin(bet(k) * t) / hsin(bet(k)) - t)
  t4 = m(k - 1) / alfa ^ 2 * (hsin(bet(k) * (1 - t)) / hsin(bet(k)) - (1 - t))
  sk(i) = t1 + t2 + t3 + t4
Next i
Frmcontcompar.Hide
frmafis2.Show
End Sub

```

Private Sub cmdsf_Click()

```

End
End Sub

```

Private Sub txtk_Validate(Cancel As Boolean)

```

k = Val(txtk.Text)
If k < 1 Or k > n Then
  Cancel = True
  MsgBox ("k trebuie sa ia valori intregi intre 1 si" & n)
End If
End Sub

```

Private Sub txtnrp_Validate(Cancel As Boolean)

```

nrp = Val(txtnrp.Text)
If nrp < 3 Or k > 30 Then
  Cancel = True
  MsgBox ("nrp trebuie sa ia valori intregi intre 3 si 30")
End If
End Sub

```

Frmafis2:

■ Afisarea comparativa pentru intervalul k a mai multor puncte de pe cerc si de pe functia SPLINE corespondenta

Don't sa continuti dand un alt interval de comparatie?

Private Sub cmdok_Click()

```

If UCCase(Cbocont.Text) = "DA" Then
    frmafis2.Hide
    Frmcontcompar.Show
Else
    contor = contor + 1
    If contor <= dimensiune Then
        frmafis2.Hide
        frmconditii.Show
        frmconditii.OKcont.Enabled = True
        frmconditii.cmdok.Enabled = False
        frmconditii.cmdsfarsit.Enabled = False
        MsgBox "Dati click pe 'OK continuare' pt. a efectua calculele pentru f0prim urmator! (f0prim=" & f0prim(contor
- 1) + 1 & ")"
    Else
        If prima = 0 And jj = 0 Then
            frmafis2.Hide
            Frmgraf.Show
        Else
            frmafis2.Hide
            Frmgraf.AutoRedraw = False
        End If
    End If
End If
End Sub

```

Private Sub Cmdschimb_Click()

```

frmafis2.Hide
Frmintro.Show
Frmintro.Txtn.SetFocus
End Sub

```

Private Sub Form_Activate()

```

Cls
Print #1, ""
Print #1, "Intervalul care se compara:" & k
Print #1, "Numarul de puncte de comparatie din cadrul respectivului interval:" & nrp
Print
Print " Coordonata x"; Tab(18); "y (pt. cerc)"; Tab(32); "sk (pt. functia SPLINE)"
Print
Print #1, ""
Print #1, " Coordonata x"; Tab(18); "y (pt. cerc)"; Tab(32); "sk (pt. functia SPLINE)"
Print #1, ""
emax1 = Abs(y1(1) - sk(1)) / Abs(y1(1)) * 100
semnal = 0
For i = 1 To nrp
    Print Tab(3); Format(x1(i), "#####0.000"); Tab(18); Format(y1(i), "#####0.000"); Tab(32); Format(sk(i),
"#####0.000")
    Print #1, Tab(3); Format(x1(i), "#####0.000"); Tab(18); Format(y1(i), "#####0.000"); Tab(32); Format(sk(i),
"#####0.000")
    emaxcurent = Abs(y1(i) - sk(i)) / Abs(y1(i)) * 100
    If emaxcurent > 7 Then semnal = 1
    If emax1 < emaxcurent Then emax1 = emaxcurent
Next i
If emax(contor) < emax1 Then emax(contor) = emax1
Print
Print Tab(3); "emax1="; Format(emax1, "#####0.000000")
Print #1, Tab(3); "emax1="; Format(emax1, "#####0.000000")
Print Tab(3); "emax(" & contor & ")="; Format(emax(contor), "#####0.000000")
Print #1, Tab(3); "emax(" & contor & ")="; Format(emax(contor), "#####0.000000")
If semnal = 1 Then

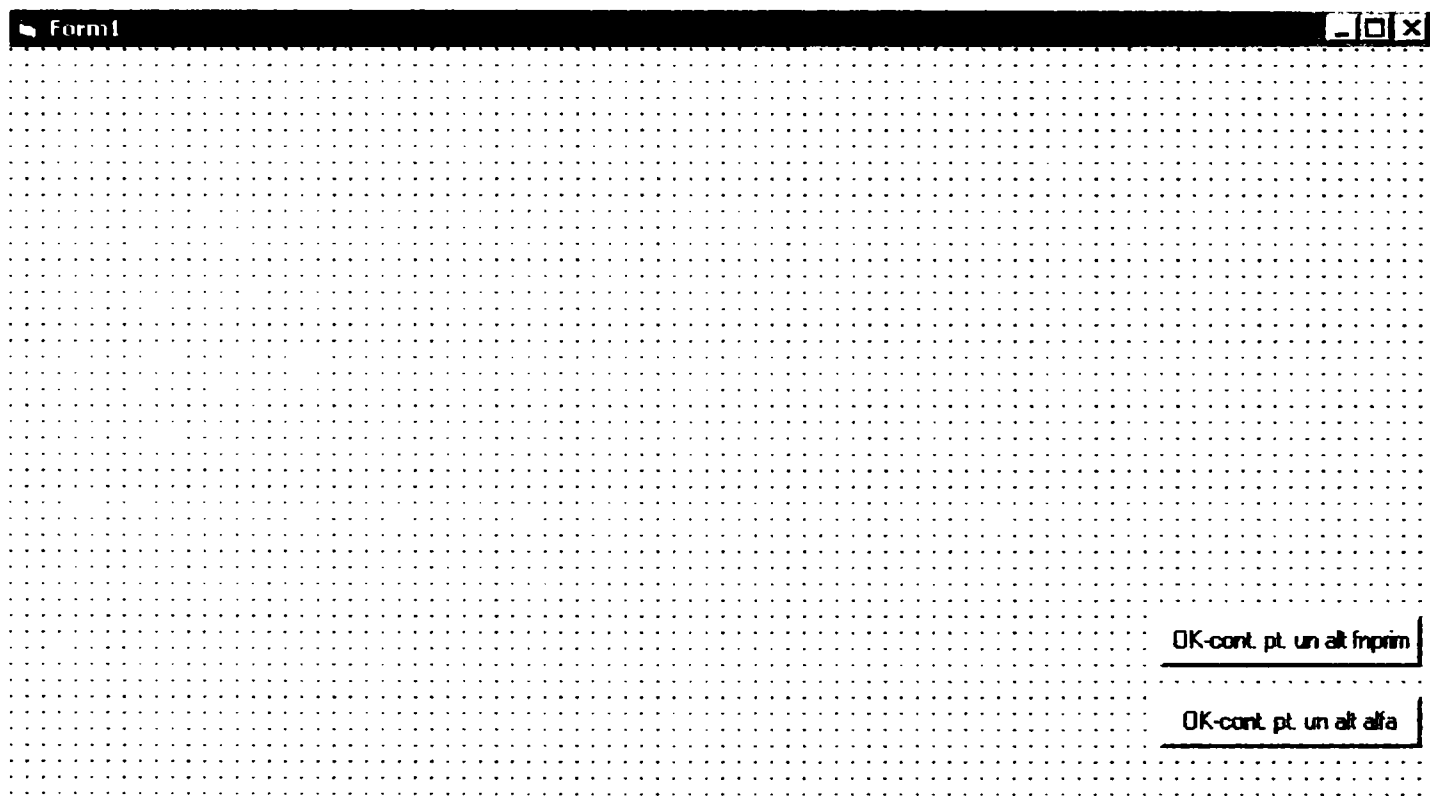
```

```

MsgBox ("Trebuie sa mariti nr. de intervale de esantionare pentru a micsora eroarea de aproximare!")
Cmdschimb.SetFocus
Else
cmdok.SetFocus
End If
End Sub

```

Frmgraf:



```

Private Sub cmdok_Click()
frmconditii.Show
contor = 1
MsgBox ("Dati o alta valoare pt. fnprim!")
jj = jj + 1
frmconditii.OKcont.Enabled = False
frmconditii.txtf0primmax.Enabled = False
frmconditii.txtf0primmin.Enabled = False
frmconditii.cmdok.Enabled = True
frmconditii.cmdsfarsit.Enabled = True
End Sub

```

```

Private Sub cmdokalfa_Click()
prima = prima + 1
Frmintro.Show
MsgBox ("Dati o alta valoare pt. alfa!")
Frmintro.txtcentx.Enabled = False
Frmintro.Txtcenty.Enabled = False
Frmintro.Txtr.Enabled = False
Frmintro.Txtn.Enabled = False
frmconditii.OKcont.Enabled = False
frmconditii.txtf0primmax.Enabled = False
frmconditii.txtf0primmin.Enabled = False
frmconditii.cmdok.Enabled = True
frmconditii.cmdsfarsit.Enabled = True
End Sub

```

```

Private Sub Form_Paint()
Frmgraf.AutoRedraw = True

```

```

If prima = 0 And jj = 0 Then
  Dim Msg, XPos(30), YPos(30) ' Declare variables.
  ScaleMode = 3 ' Set ScaleMode to pixels.
  DrawWidth = 2 ' Set DrawWidth.
  ForeColor = QBColor(prima)
  Line (10, ScaleHeight - 10)-(ScaleWidth - 10, ScaleHeight - 10)
  Line (210, ScaleHeight - 10)-(210, 10)
  FontSize = 13 ' Set point size.
  CX = ScaleWidth / 2 ' Get horizontal center.
  CY = ScaleHeight / 2 ' Get vertical center.
  Msg = "fo": CurrentX = 9 * 2 * CX / 10 - TextWidth(Msg) / 2: CurrentY = ScaleHeight - 30: Print Msg
  Msg = "emax(%)": CurrentX = 210: CurrentY = 0: Print Msg
  Msg = "-10": CurrentX = 10: CurrentY = ScaleHeight - 30: Print Msg
  Msg = "0": CurrentX = 210: CurrentY = ScaleHeight - 30: Print Msg
  Msg = "10": CurrentX = 10 + 20 * 20: CurrentY = ScaleHeight - 30: Print Msg
  Msg = "alfa=" & alfa: CurrentX = 260: CurrentY = 20: pozx = CurrentX: pozy = CurrentY: Print Msg
  Max = emax(1)
  For i = 1 To dimensiune
    If Max < emax(i) Then Max = emax(i)
  Next i
  Msg = Round(Max, 2): CurrentX = 205: CurrentY = 70: Print Msg
Else
  If jj = 0 Then
    ForeColor = QBColor(prima)
    Msg = "alfa=" & alfa: CurrentX = 260 + prima * 80: CurrentY = 20: pozx = CurrentX: pozy = CurrentY: Print
  Msg
End If
End If
ForeColor = QBColor(prima)
Msg = "fn=" & fnprim
pozx = pozx ' Horizontal position.
pozy = pozy + 15 ' Vertical position
CurrentX = pozx
CurrentY = pozy
Print Msg ' Print message.
For i = 1 To dimensiune
  XPos(i) = 210 + f0prim(i) * 15 ' Get horizontal position.
  YPos(i) = (ScaleHeight - 10) - ((ScaleHeight - 80) / Max * emax(i)) ' Get vertical position.
  PSet (XPos(i), YPos(i)), QBColor(1)
  'DoEvents ' Yield to other
Next i
For i = 1 To dimensiune - 1
  Line (XPos(i), YPos(i))-(XPos(i + 1), YPos(i + 1))
Next i
End Sub

```

3.6.2.2. Studiu al erorilor introduse de aproximarea cu funcții spline

A) Studiu al erorii relative maxime pe intervale de discretizare

Din acest studiu dorim să rezulte care este influența asupra erorii a poziției intervalului față de centrul semicercului sau elipsei, utilizând cele trei variante de funcții spline descrise la paragraful 3.4.8.

Pentru cazul concret când $x_c = 90$, $y_c = 60$, și $r = 70$ și se ia număr de 30 puncte de discretizare (deci 29 de intervale egale pe direcția axei x) s-au obținut comparativ rezultatele din coloanele **tabelului 1** pentru eroarea relativă maximă funcție de numărul intervalului, și anume:

- **Coloana 1** s-a obținut din rularea programului pentru *aproximarea cu funcții spline cubice în prima variantă cu condiții naturale*;

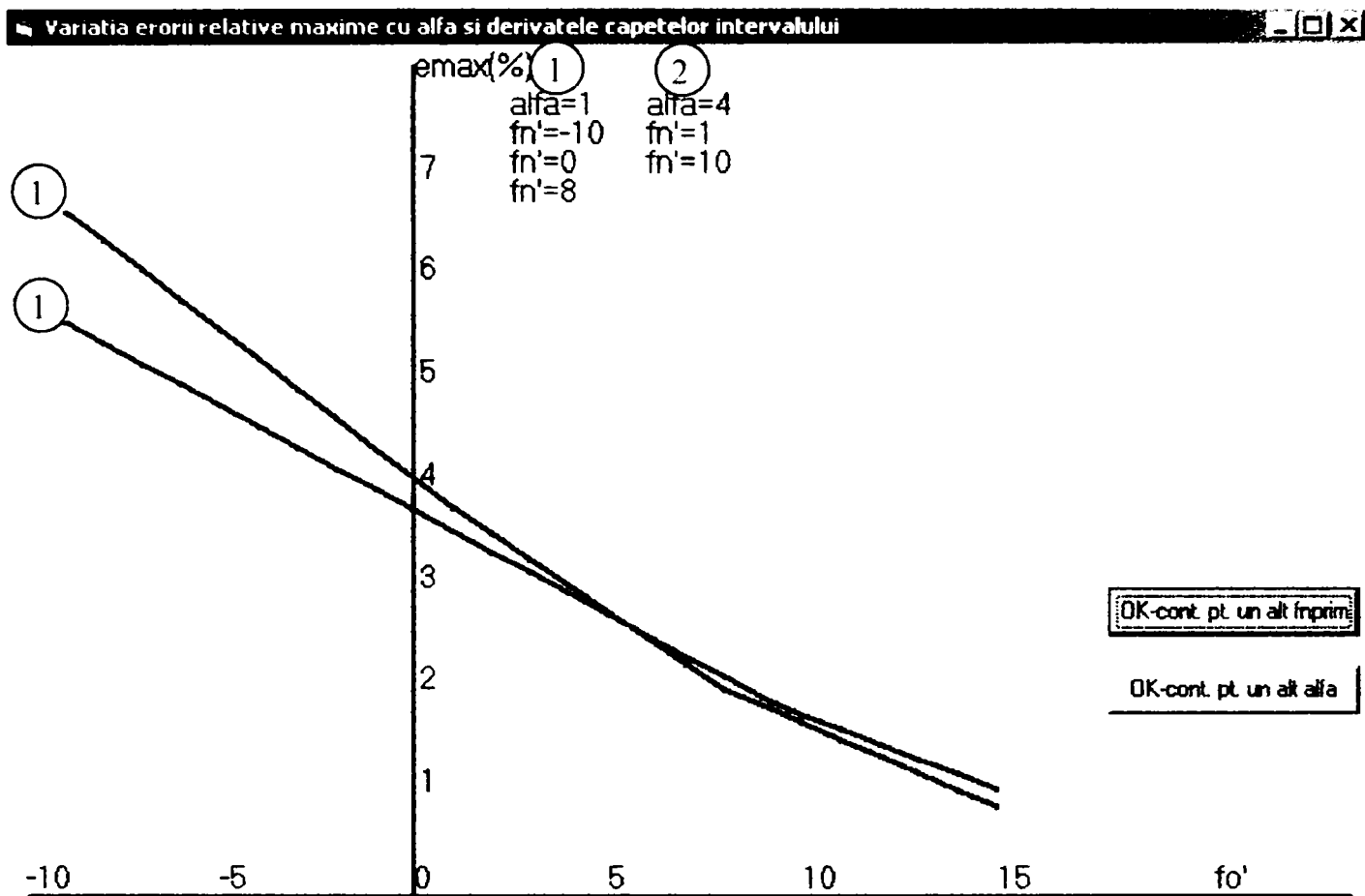


Fig. 3.6.15

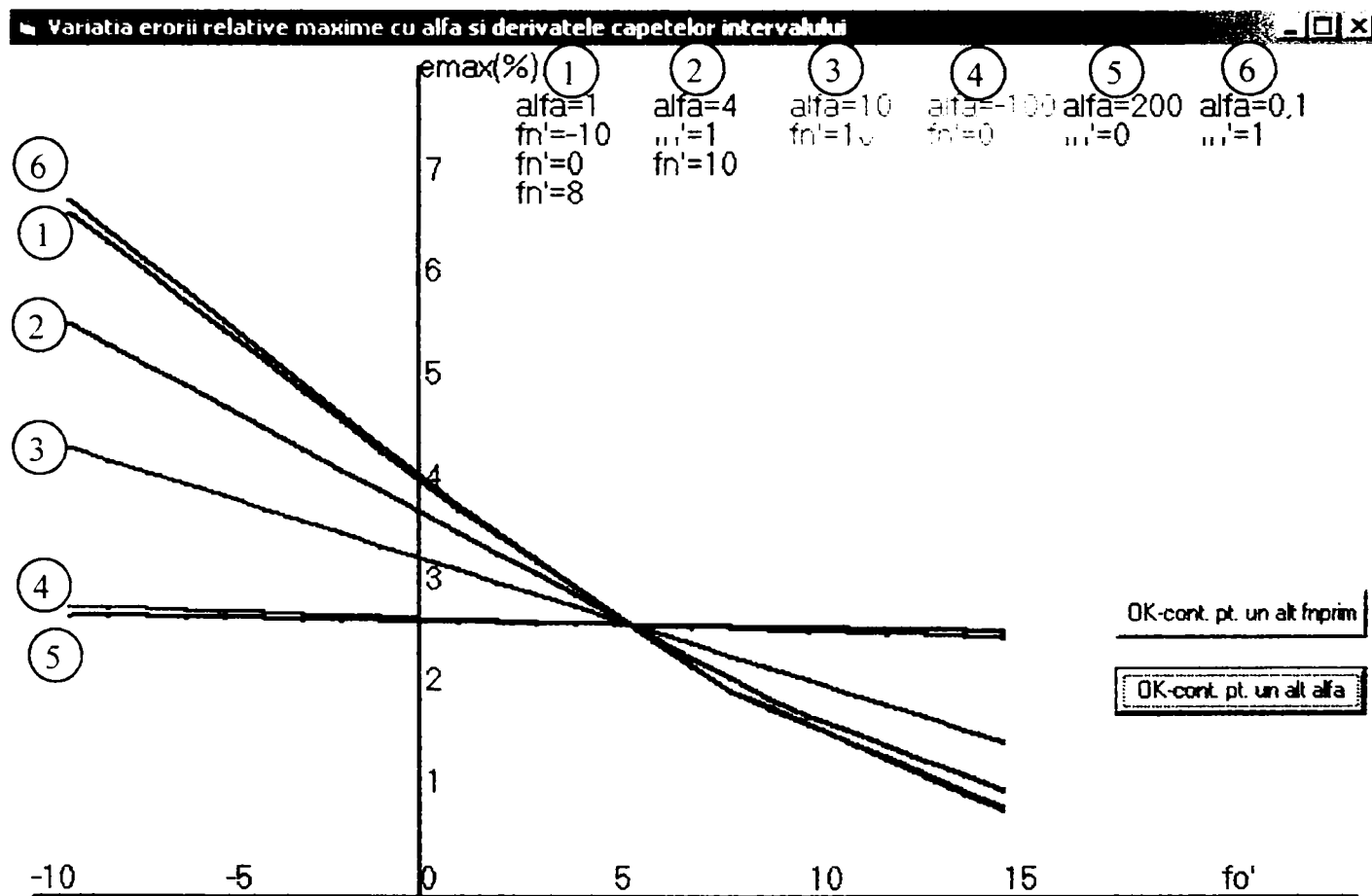


Fig. 3.6.16

Se observă faptul că eroarea relativă maximă este de 7.87% în acest caz, și ea se obține la intervalele de capăt, respectiv 1 și 29, scăzând spectaculos spre intervalele de mijloc, 14,15 și 16, unde are valori de ordinul 10^{-5} , respectiv 10^{-6} procente.

- **Coloana 2** s-a obținut din rularea programului pentru *aproximarea cu funcții spline cubice în a doua variantă cu condiții naturale*,

În acest caz se observă de asemenea un maxim al erorii relative pe intervalele de capăt, dar mult mai accentuată este totuși eroarea din capătul stâng (primul interval). Restul intervalelor prezintă de asemenea valori foarte mici, asemănătoare cu cele din coloana 1, și mai ales în intervalele de mijloc.

- **Coloana 3** s-a obținut din rularea programului pentru *aproximarea cu funcții spline exponențiale (variantele a treia) cu a doua categorie de condiții*, respectiv considerând date mărimile f'_0 , f'_n și α_i (v. relațiile (40) și (41)), și anume: $\alpha_i = 15$, $f'_0 = -5$ și $f'_n = 5$.

Intervalul care se compară	Eroarea relativă maximă pentru aproximarea cu funcții spline		
	cubice în prima variantă cu condiții naturale	cubice în a doua variantă cu condiții naturale	exponențiale cu a doua categorie de condiții
Coloana 0	Coloana 1	Coloana 2	Coloana 3
1	7,87223756086777	7,76022496920264	10,6693056371636
2	1,00038936478074	0,988423845495557	0,464248942970218
3	0,244150793459215	0,241408670333209	0,221513010020889
4	6,18115610714704E-02	0,061133462582622	0,131940007818739
5	1,55162544616565E-02	1,53465106391004E-02	9,11537796071938E-02
6	4,1371147616899E-03	4,08770638727776E-03	6,88601735417646E-02
7	9,95051135797718E-04	9,88002908456708E-04	5,52711066332365E-02
8	3,13767254990702E-04	3,08466331690711E-04	4,63869066703149E-02
9	4,82741933772075E-05	4,90550153104369E-05	4,03046638681338E-02
10	4,25627823808989E-05	4,05613799009367E-05	3,60134550009417E-02
11	1,10409232265651E-05	1,19124801128483E-05	3,29569303529166E-02
12	1,60163434598186E-05	1,7917602780349E-05	3,07880651546668E-02
13	1,34299000876311E-05	1,31094950996387E-05	0,029300191058267
14	8,04478169260229E-06	1,14201429056989E-05	2,83681088984605E-02
15	1,24028756580974E-05	1,37169559804496E-05	0,02791202137751
16	8,04478169260229E-06	1,37169559804496E-05	0,02791202137751
17	1,34299000876311E-05	1,14201429056989E-05	2,83681088984605E-02
18	1,60163434598186E-05	1,43440665419084E-05	0,029300191058267
19	1,10409232377366E-05	1,56448823063748E-05	3,07880651546446E-02
20	4,25627823922126E-05	9,33083927244663E-06	3,29569303529053E-02
21	4,82741933656871E-05	3,65574853489834E-05	3,60134550009303E-02
22	3,13767255014161E-04	4,90550152872254E-05	4,03046638681222E-02
23	9,95051135749481E-04	3,08466331714303E-04	4,63869066702913E-02
24	4,13711476173966E-03	9,81489495329964E-04	5,52711066332486E-02
25	1,55162544616177E-02	4,08770638725273E-03	6,88601735417646E-02
26	6,18115610714976E-02	1,53465106391394E-02	9,11537796072068E-02
27	0,244150793459215	6,11334625825673E-02	0,131940007818766
28	1,00038936478073	0,241408670333297	0,221513010020947
29	7,87223756086801	0,988423845495412	0,464248942970314

Tab.1.

Desigur că în acest caz eroarea relativă maximă nu va depinde doar de poziția intervalului în cadrul curbei studiate, ci și (sau mai ales) de alegerea celor trei parametri f'_0 , f'_n și α_i . Un studiu mai detaliat al influenței acestora asupra erorii relative maxime s-a realizat în paragraful

următor. Oricum se observă că valoarea erorii relative maxime se obține din nou pentru primul interval.

B) Studiu al influenței parametrilor α_i , respectiv f'_0 și f'_n asupra erorii relative maxime.

În cele ce urmează vom încerca să răspundem la întrebarea: Ce valori pot lua parametrii α_i ? Aceasta este încă o problemă nerezolvată și este deschisă cercetării. S-a constatat că pentru valori mici ale lui α_i , funcțiile spline exponențiale se comportă asemănător cu funcțiile spline cubice, adică vom avea oscilații nedorite în unele cazuri, pentru valori mari vor apărea puncte unghiulare caracteristice funcțiilor spline liniare. De aceea, într-o singură bibliografie se recomandă $\alpha_i \in [4, 15]$. Totuși, programele de calculator testate de autoare arată că α_i poate lua un spectru mult mai larg de valori (v. Fig. 3.6.17, 3.6.18 și 3.6.19).

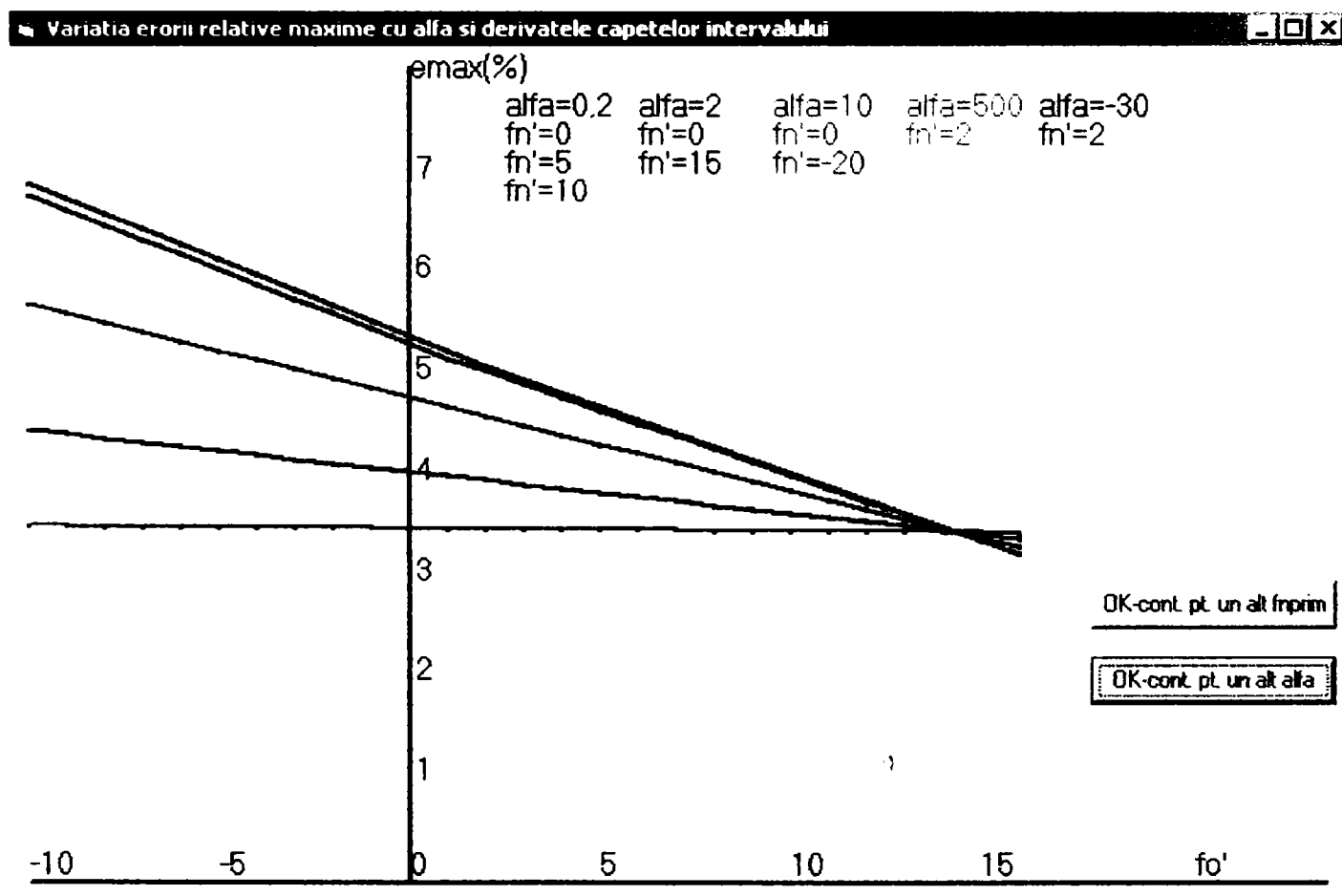


Fig. 3.6.17: Cazul semicercului $x_c = 90$, $y_c = 60$, și $r = 70$, și necesitând 238 de intervale de eșanționare pentru primul $\alpha_i = 0.2$

- $\alpha_i = 0$ dă eroare prin împărțire la zero, deci nu se va putea utiliza, în schimb pot fi utilizate valori subunitare, atât pozitive, cât și negative, precum și valori supraunitare pozitive și negative până la aproximativ 700-800, sau chiar 900;
- Se observă că pentru aceeași valoare absolută a lui α_i , curbele erorii relative maxime funcție de f'_0 și f'_n sunt identice;
- De asemenea se constată că eroarea relativă maximă crește cu descreșterea în modul a valorilor lor lui α_i și scade pe măsură ce α_i crește în modul spre ordinul sutelor.

Metoda presupune de asemenea că f'_0 și f'_n sunt cunoscute, fapt care de obicei nu se întâmplă. De aceea am făcut prin program un studiu al influenței acestor parametrii asupra erorii

maxime relative. Graficele rezultate relevă încă un fapt interesant, și anume că pentru un α_i dat, eroarea relativă maximă depinde doar de f_0' , (deci orice valoare s-ar da lui f_n' curbele de eroare se suprapun pe grafic).

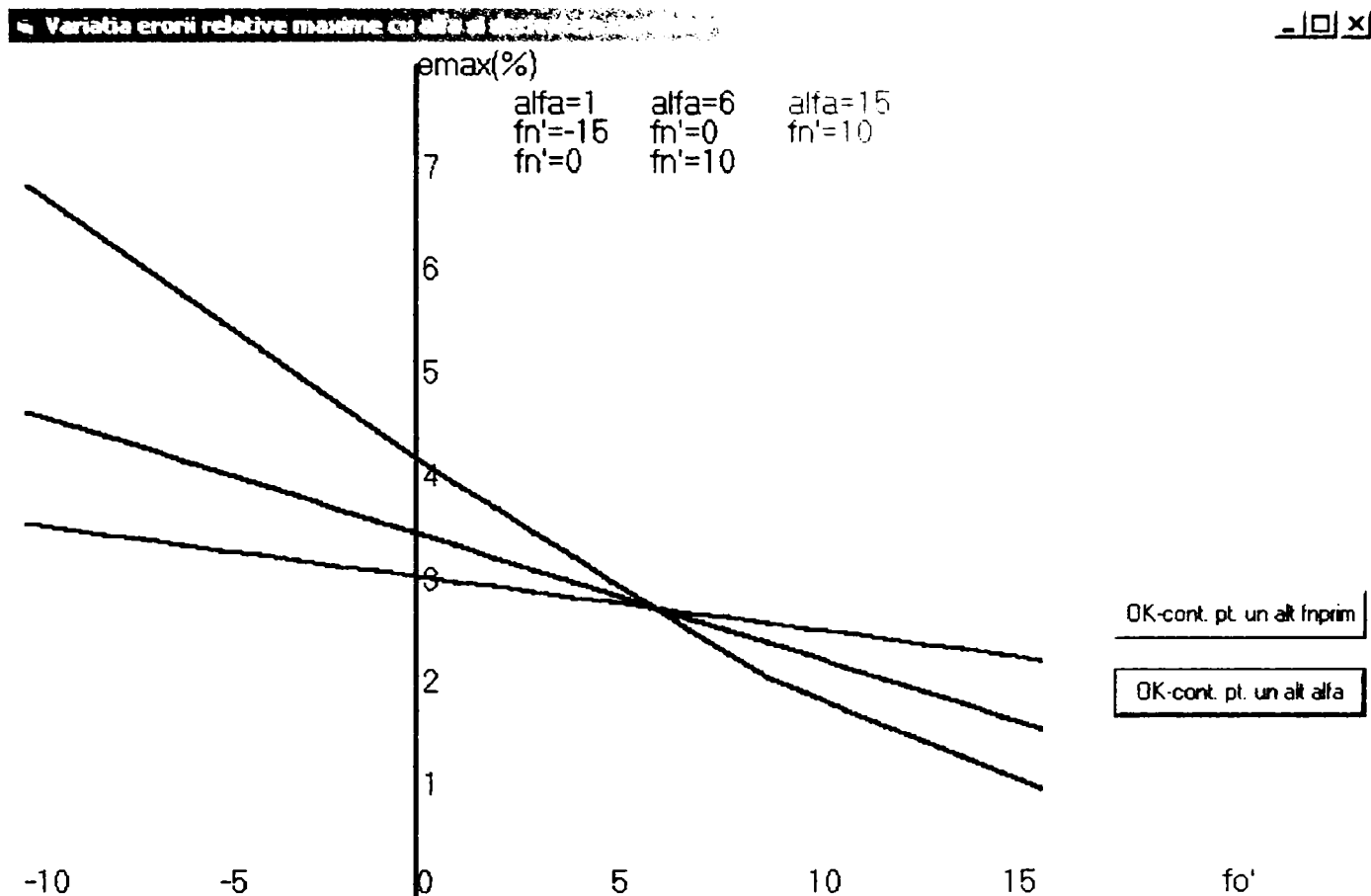


Fig. 3.6.18: Cazul semicercului $x_c = 50$, $y_c = 100$, și $r = 30$, și necesitând 44 de intervale de eșantionare pentru primul $\alpha_i = 1$

Deoarece s-a dorit ca eroarea relativă maximă pentru întregul contur să ia valori mai mici decât o anumită valoare admisibilă considerată, în programul de calcul al aproximărilor cu funcții spline cubice s-a prevăzut și un algoritm adaptiv, care să ceară rafinarea rețelei de discretizare în cazul nerealizării erorii admisibile respective. Pentru aceasta s-a utilizat așa-numita **rafinare h**, care este cea mai frecventă modalitate de rafinare și care se realizează prin creșterea numărului elementelor de frontieră (în cazul 3D, implicit prin micșorarea suprafeței medii a acesteia). Este un procedeu ușor de programat, conduce la soluții foarte bune, dar de multe ori solicită un necesar de memorie și un timp de calcul foarte mare. După numai trei iterații, în funcție de algoritmul utilizat și de precizia cerută, numărul de elemente poate crește de peste 20-30 de ori.

Din cele trei cazuri concrete considerate se observă ceea ce era de așteptat, și anume că: Dacă se lucrează cu eroarea relativă definită clasic ca fiind:

$$\delta y = \frac{|A - y|}{A}, \quad (3.6.14)$$

unde A este un număr real exact și y este o aproximare a sa, va rezulta că pentru $A \rightarrow 0$ eroarea relativă $\delta y \rightarrow \infty$, adică:

- Atunci când arcul în formă de semicerc este situat foarte aproape de axa Ox, eroarea relativă maximă va fi mare și deci va fi necesar să intervină algoritmul adaptiv și să rafineze rețeaua. Astfel pentru frontiera din Fig. 3.6.19 au fost necesare 856 de intervale de

eșantionare cu toate că raza era mică, doar datorită faptului că valorile funcției semicerc erau foarte mici.

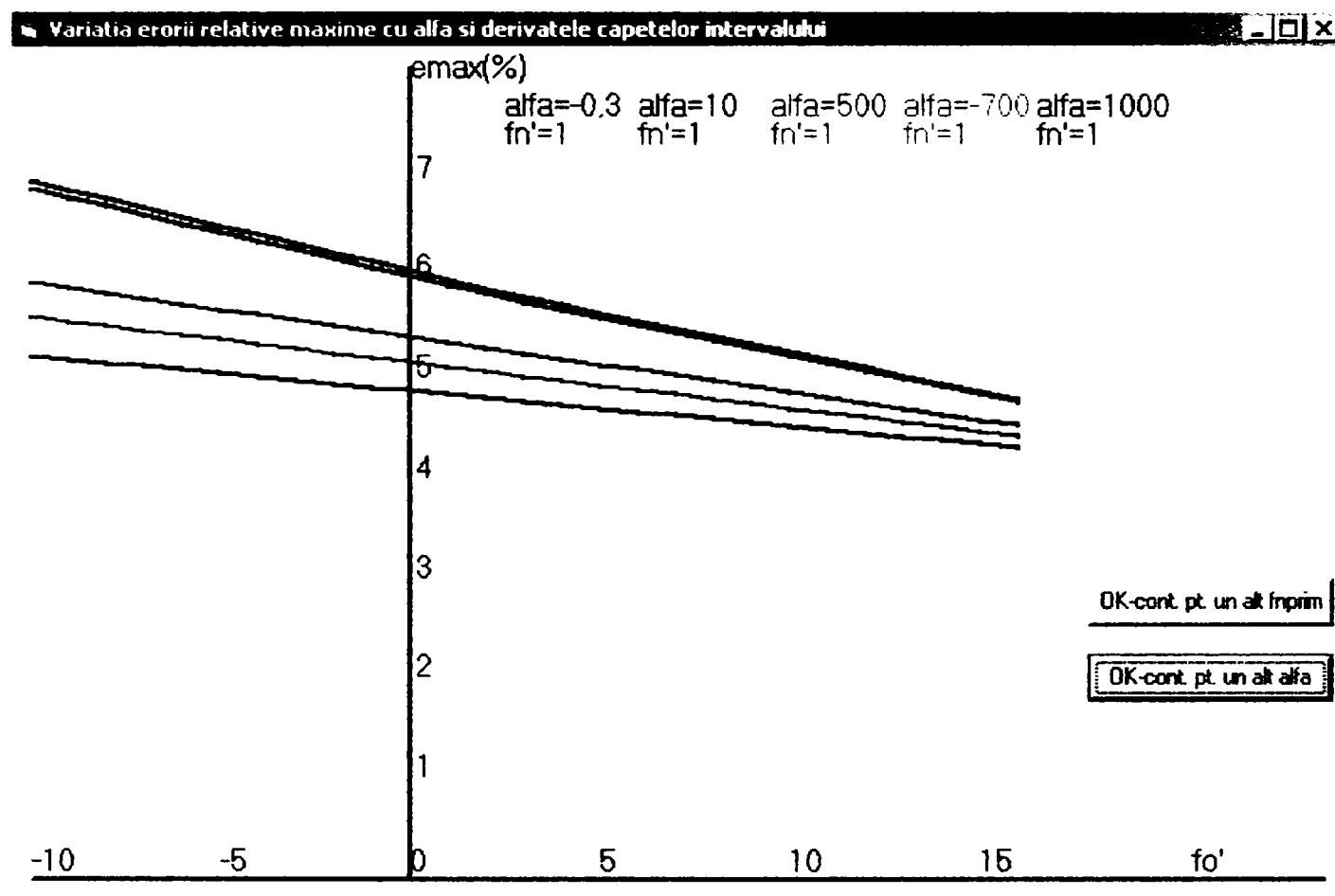


Fig. 3.6.19: Cazul semicercului $x_c = 300$, $y_c = 2$, și $r = 5$, și necesitând 856 de intervale de eșantionare pentru primul $\alpha_i = -0,3$

- Atunci când arcul în formă de semicerc este situat foarte departe de axa Ox eroarea relativă maximă va fi mică și deci nu va fi necesar să intervină algoritmul adaptiv și să rafineze rețeaua. Astfel pentru frontiera din Fig. 3.6.18 au fost necesare doar 44 de intervale de eșantionare cu toate că raza era mult mai mare decât în cazul anterior, doar datorită faptului că valorile funcției semicerc erau foarte mari.

Observație: Totuși, aceste valori relativ mari pentru numărul de intervale de eșantionare necesare (856, dar chiar și 44!) se datorează și faptului că s-a dat ca primă valoare α_i de calcul o valoare mică în modul (0.2 resp. -0.3), iar anterior am arătat că eroarea relativă crește foarte mult cu descreșterea modului lui α_i .

Deoarece această definiție a erorii relative nu oferă o imagine corectă a erorii de calcul mai ales în porțiunea în care valoarea funcției de aproximat tinde la zero sau este chiar nulă, am studiat și cazul utilizării unei erori relative mărginite, definite după cum urmează:

Definiție. Funcția $e : D \subseteq \mathbf{R}^2 \rightarrow \mathbf{R}$ se numește eroare relativă L -mărginită pentru $A \in \mathbf{R}$ dacă:

- $e(A, x) = 0$ dacă și numai dacă $A = x$;
- dacă $x, y \in \mathbf{R}$ astfel încât $|x - A| > |y - A|$, următoarea inegalitate este adevărată:

$$|e(A, x)| > |e(A, y)|;$$

- există o valoare $L \in (0, +\infty)$ astfel încât pentru orice $(A, y) \in D$ este adevărată inegalitatea:

$$|e(A, y) \leq l|. \tag{3.6.15}$$

Funcțiile eroare absolută $\Delta y = |A - y|$ și eroare relativă $\delta y = \frac{\Delta y}{|A|}$, definite în sens clasic, verifică i) și ii).

Funcții eroare relativă l -mărginite $e(A, y)$, care îndeplinesc toate cele trei condiții de mai sus, pot fi găsite mai multe, dintre care am ales una care ia valori cuprinse în intervalul $[-1, 1]$ și conduce la evaluări rezonabile ale erorii, chiar în cazul în care $A=0$:

$$e(A, y) = \frac{2}{\pi} \arctg(A - y) \tag{3.6.16}$$

În cazul nostru A reprezintă valoarea exactă a funcției semicerc, iar y este valoarea dată de aproximarea spline. Exemplificăm în Fig. 3.6.20, 3.6.21 și 3.6.22 rezultatele obținute prin program utilizând definiția erorii mărginite dată de relația (3.6.16).

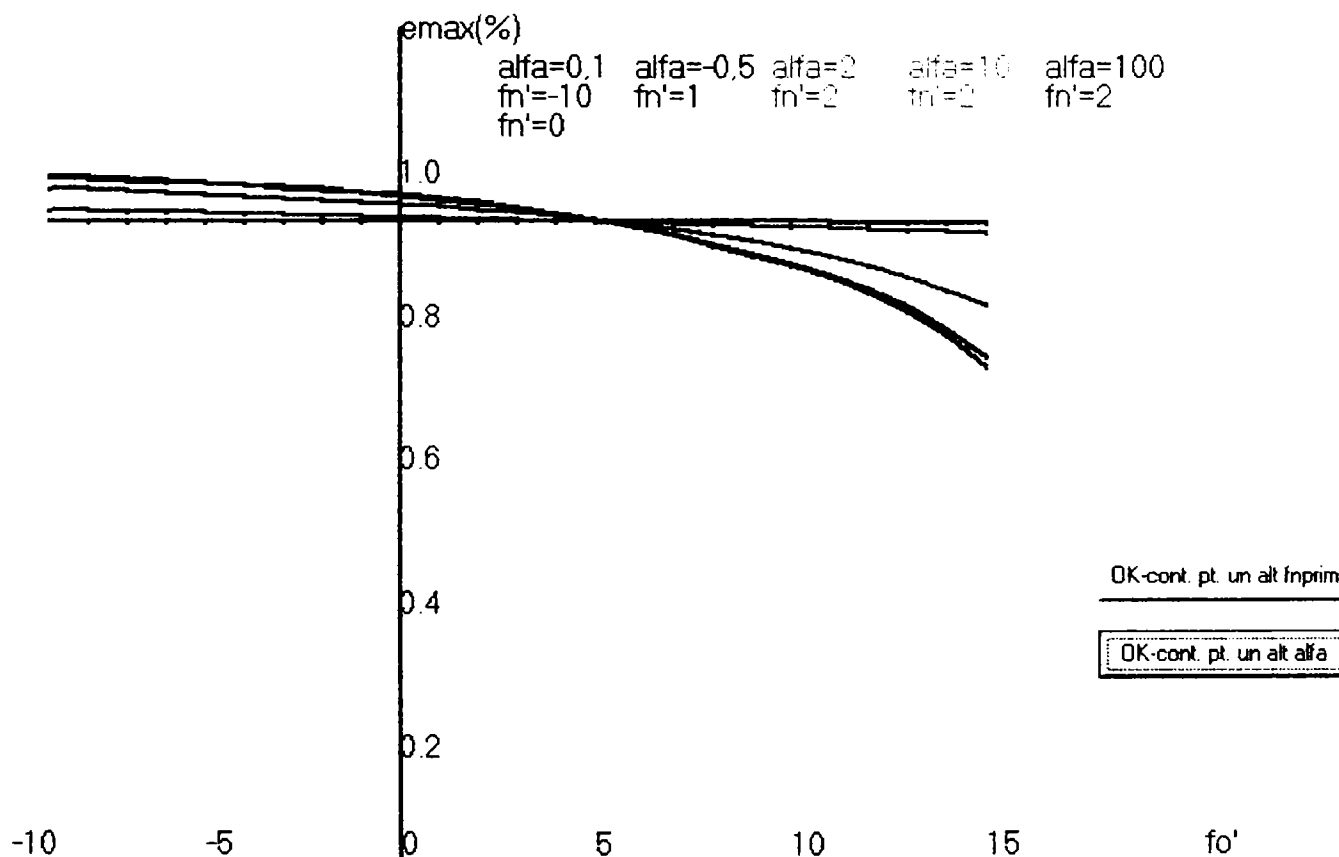


Fig. 3.6.20: Cazul semicercului $x_c = 90$, $y_c = 60$, și $r = 70$, și necesitând 35 de intervale de eșanționare pentru primul $\alpha_i = 0.1$

După cum se observă, s-a ales și cazul (v. Fig.3.6.21) când centrul semicercului se află pe axa Ox, deci valorile de capăt ale funcției semicerc sunt nule, iar eroarea relativă definită clasic ar fi condus la valori infinite. Utilizând funcția eroare relativă mărginită dată de relația (3.6.16) s-au obținut însă rezultatele din Fig. 3.6.21 pentru diferitele valori ale lui α_i . De altfel se observă că la fel ca în cazul erorii relative definită clasic, și eroarea relativă mărginită scade cu creșterea în modul a lui α_i , respectiv crește tinzând către unu când α_i tinde spre zero, iar pentru un α_i dat nu depinde de f'_n .

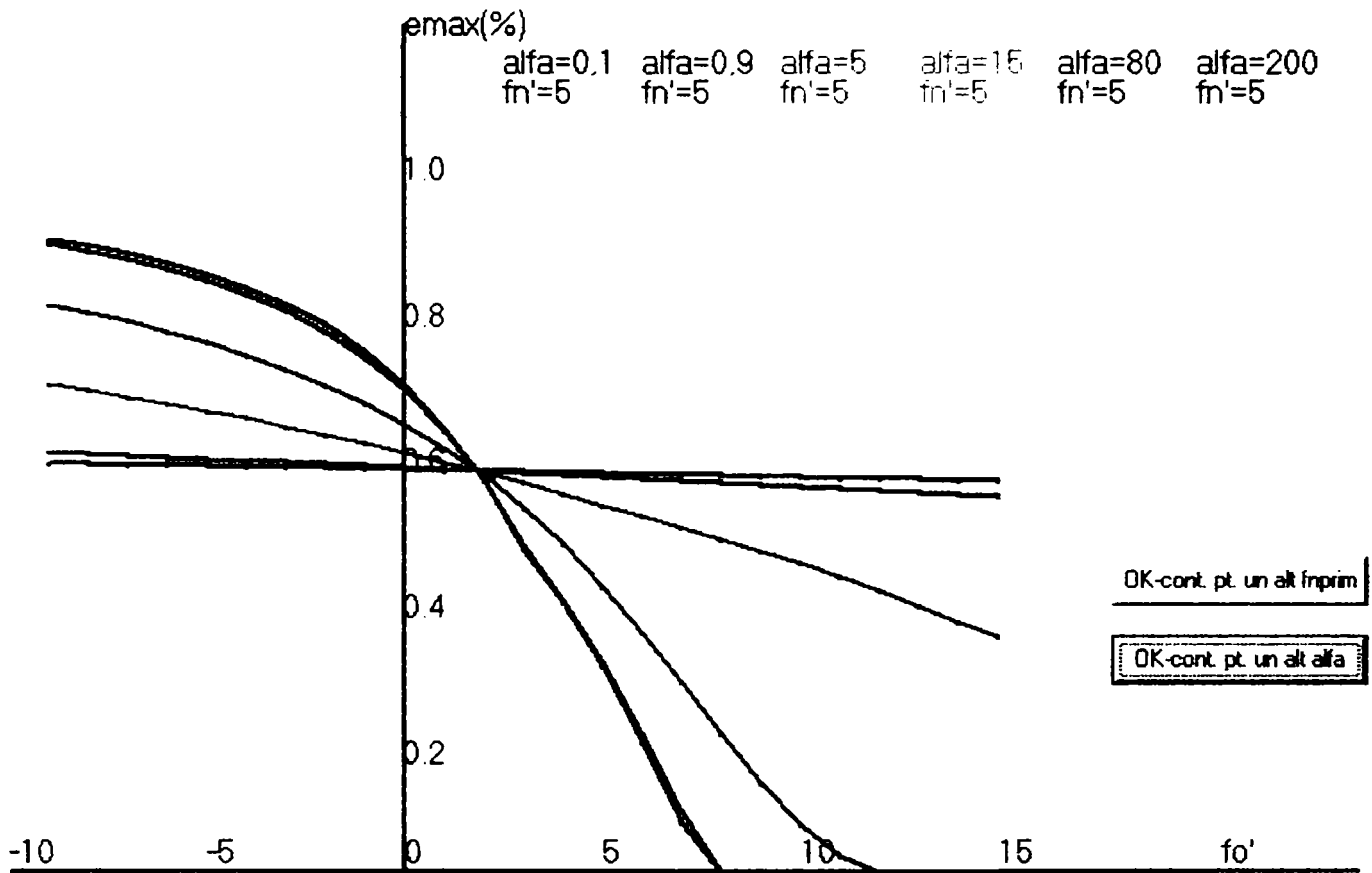


Fig. 3.6.21: Cazul semicercului $x_c = 80$, $y_c = 0$, și $r = 5$, și alegând 5 intervale de eșanționare pentru primul $\alpha_i = 0.1$

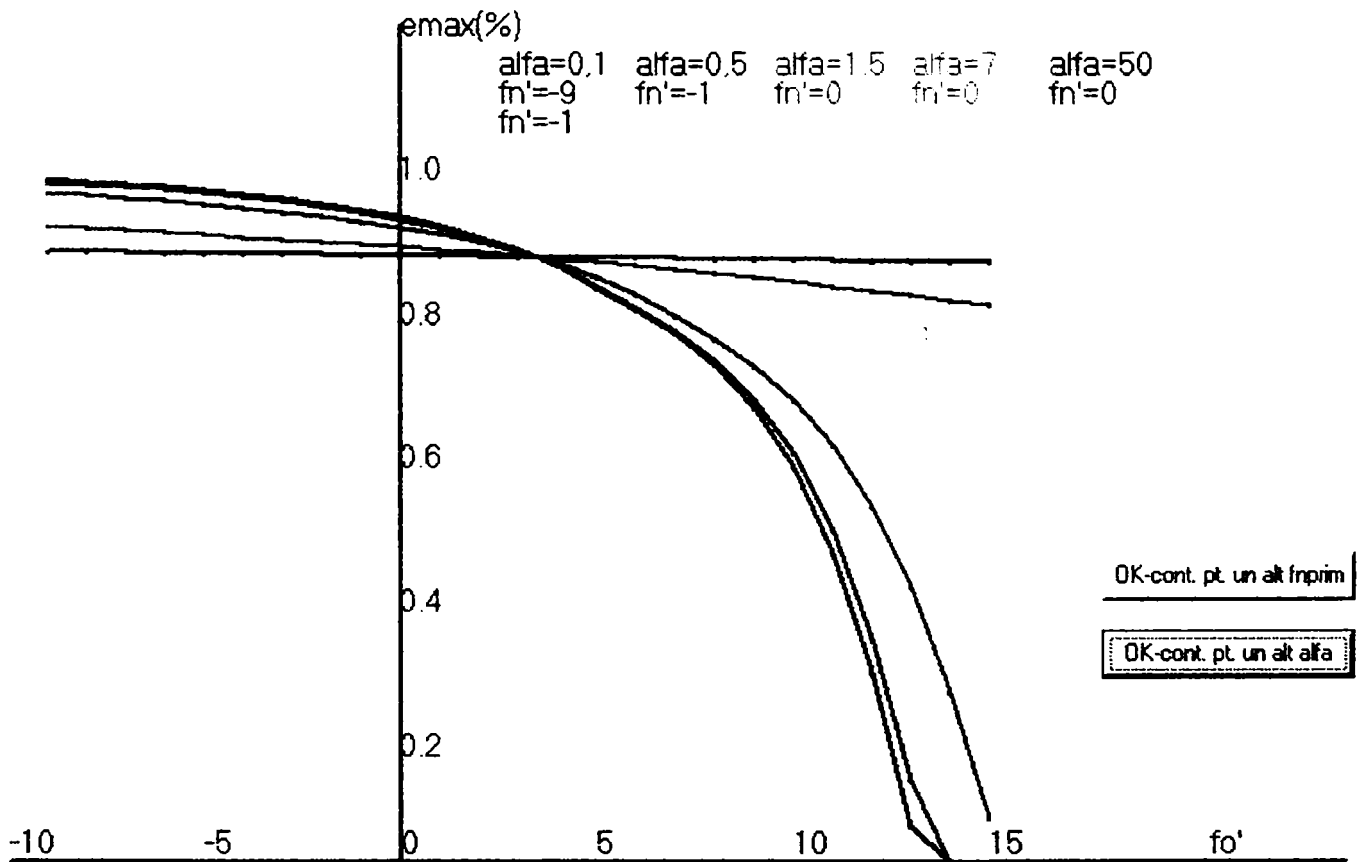


Fig. 3.6.22: Cazul semicercului $x_c = 50$, $y_c = 100$, și $r = 30$, și alegând 15 intervale de eșanționare pentru primul $\alpha_i = 0.1$

Cod sursă al programului de interpolare cu funcții spline varianta III-a cu a doua categorie de condiții – pentru cazul unui semicerc cu pasul h de discretizare pe orizontală constant – varianta cu funcția de eroare dată de formula (3.6.16) prezentată în paragraful 3.6.2.2.

Module 1:

```
Public i As Integer, n As Integer, k As Integer, jj As Integer, nrp As Integer, prima As Integer
Public xc As Double, yc As Double, r As Double, pas As Single, h1 As Single, alfa, Max, CX, CY, pozx, pozy As Single
Public h() As Single, x() As Double, f() As Double, beta() As Single, m() As Single, bet() As Single
Public Ai(), Bi()
Public f0prim(), emax(), f0primmin, f0primmax, fnprim
Public mat() As Single, mat1() As Single, beta1() As Single, m1() As Single
Public x1(), y1(), sk() As Single
Public contor, dimensiune As Integer
Public pi
```

Sub main()

```
pi = 4 * Atn(1)
MsgBox ("Program de interpolare cu functii spline cubice pentru un semicerc varianta a III-a cu specificarea
derivatelor de ordinul intai pentru nodurile extreme")
Open "Iesire.txt" For Output As #1
Frmintro.Show
prima = 0
End Sub
```

Sub rezolv_sist(n As Integer, a() As Single, b() As Single, x() As Single)

```
n1 = n - 1
For i = 1 To n1
  i1 = i
  For i2 = i To n
    If Abs(a(i1, i)) < Abs(a(i2, i)) Then i1 = i2
  Next i2
  If a(i1, i) <> 0 Then
    If i1 <> 1 Then
      For j = 1 To n
        y = a(i, j)
        a(i, j) = a(i1, j)
        a(i1, j) = y
      Next j
      y = b(i)
      b(i) = b(i1)
      b(i1) = y
    End If
    y = a(i, i)
    For j = 1 To n
      a(i, j) = a(i, j) / y
    Next j
    b(i) = b(i) / y
    i1 = i + 1
    For j = i1 To n
      If a(j, i) <> 0 Then
        y = a(j, i)
        For k = i To n
          a(j, k) = a(j, k) - y * a(i, k)
        Next k
        b(j) = b(j) - b(i) * y
      End If
    Next j
  Else
    MsgBox ("Sistem incompatibil sau nedeterminat!")
```



```

End
End If
Next i
If a(n, n) <> 0 Then
x(n) = b(n) / a(n, n)
For i = 1 To n1
x(n - i) = b(n - i)
For k = 1 To i
x(n - i) = x(n - i) - a(n - i, n - i + k) * x(n - i + k)
Next k
Next i
Else
MsgBox ("Sistem incompatibil sau nedeterminat")
End
End If
End Sub

```

Function hsin(x As Single)

```

hsin = (Exp(x) - Exp(-x)) / 2
End Function

```

Function hcos(x As Single)

```

hcos = (Exp(x) + Exp(-x)) / 2
End Function

```

Sub calcule()

```

emax(contor) = 0
beta(0) = (f(1) - f(0)) / h(1) - f0prim(contor)
For i = 1 To n - 1
beta(i) = (f(i + 1) - f(i)) / h(i + 1) - (f(i) - f(i - 1)) / h(i)
Next i
beta(n) = fnprim - (f(n) - f(n - 1)) / h(n)
End Sub

```

Frmintro:
Private Sub cmdok_Click()

```

xc = Val(txtcentx.Text)
yc = Val(Txtcenty.Text)
r = Val(Txtr.Text)
n = Val(Txtn.Text)
alfa = Val(txtalfa.Text)

```

```

contor = 1
jj = 0
ReDim h(1 To n), x(0 To n), f(0 To n), beta(0 To n), m(0 To n), bet(1 To n)
ReDim mat(0 To n, 0 To n), mat1(1 To n + 1, 1 To n + 1), beta1(1 To n + 1), m1(1 To n + 1)
ReDim Ai(0 To n - 1), Bi(1 To n)
pas = 2 * r / n
x(0) = xc - r
f(0) = yc + Sqr(r * r - (x(0) - xc) ^ 2)
For i = 1 To n
  x(i) = x(i - 1) + pas
  f(i) = yc + Sqr(Abs(r * r - (x(i) - xc) ^ 2))
  MsgBox ("x" & i & "=" & x(i) & " si f" & i & "=" & f(i))
Next i
For i = 1 To n
  h(i) = pas
Next i
For i = 1 To n
  bet(i) = alfa * h(i)
Next i
Frmintro.Hide
frmconditii.Show
End Sub

```

Private Sub cmdsf_Click()

```

Close #1
End
End Sub

```

Private Sub Txtn_Validate(Cancel As Boolean)

```

n = Val(Txtn.Text)
If n < 2 Then
  MsgBox ("n trebuie sa fie natural si >=2!")
  Cancel = True
End If
End Sub

```

Private Sub Txtr_Validate(Cancel As Boolean)

```

r = Val(Txtr.Text)
If r <= 0 Then
  MsgBox ("r trebuie sa fie >=0!")
  Cancel = True
End If
End Sub

```

Frmconditii:

Alegerea conditiilor pt. nodurile extreme

Dati valoarea derivatei de ord. l pt. nodul 0, minima:

Dati valoarea derivatei de ord. l pt. nodul 0, maxima:

Dati valoarea derivatei de ord. l pt. nodul n:

OK Sfarsit OK continuare

```

Private Sub cmdok_Click()
f0primmin = Val(txtf0primmin.Text)
f0primmax = Val(txtf0primmax.Text)
dimensiune = Int(f0primmax - f0primmin) + 1
ReDim f0prim(1 To dimensiune), emax(1 To dimensiune)
fnprim = Val(txtfnprim.Text)
f0prim(contor) = Int(f0primmin)
calcule
frmconditii.Hide
Ai(0) = (hsin(bet(1)) - bet(1)) / (bet(1) ^ 2 * hsin(bet(1))) * h(1)
For i = 1 To n - 1
  Ai(i) = (hsin(bet(i + 1)) - bet(i + 1)) / (bet(i + 1) ^ 2 * hsin(bet(i + 1))) * h(i + 1)
  Bi(i) = (bet(i) * hcos(bet(i)) - hsin(bet(i))) / (bet(i) ^ 2 * hsin(bet(i))) * h(i)
Next i
Bi(n) = (bet(n) * hcos(bet(n)) - hsin(bet(n))) / (bet(n) ^ 2 * hsin(bet(n))) * h(n)
mat(0, 0) = Bi(1): mat(0, 1) = Ai(0)
For j = 2 To n - 1
  mat(0, j) = 0
Next j
For i = 1 To n - 1
  For j = 0 To i - 2
    mat(i, j) = 0
  Next j
  mat(i, j) = Ai(i - 1): mat(i, j + 1) = Bi(i) + Bi(i + 1): mat(i, j + 2) = Ai(i)
  j = j + 3
  For k = j To n
    mat(i, k) = 0
  Next k
Next i
For i = 0 To n - 2
  mat(n, i) = 0
Next i
mat(n, n - 1) = Ai(n - 1): mat(n, n) = Bi(n)
For i = 1 To n + 1
  For j = 1 To n + 1
    mat1(i, j) = mat(i - 1, j - 1)
  Next j
  beta1(i) = beta(i - 1)
  m1(i) = m(i - 1)
Next i
rezolv_sist n + 1, mat1(), beta1(), m1()
For i = 0 To n
  For j = 0 To n
    mat(i, j) = mat1(i + 1, j + 1)
  Next j
  beta(i) = beta1(i + 1)
  m(i) = m1(i + 1)
Next i
k = 1
nrp = 10
h1 = pas / (nrp - 1)
ReDim x1(1 To nrp), y1(1 To nrp), sk(1 To nrp)
x1(1) = x(k - 1)
For i = 2 To nrp
  x1(i) = x1(i - 1) + h1
Next i
For i = 1 To nrp
  y1(i) = yc + Sqr(r * r - (x1(i) - xc) ^ 2)
  t = (x1(i) - x(k - 1)) / h(k)
  t1 = f(k) * t
  t2 = f(k - 1) * (1 - t)
  t3 = m(k) / alfa ^ 2 * (hsin(bet(k) * t) / hsin(bet(k)) - t)

```

```

t4 = m(k - 1) / alfa ^ 2 * (hsin(bet(k) * (1 - t)) / hsin(bet(k)) - (1 - t))
sk(i) = t1 + t2 + t3 + t4
Next i
frmafis2.Show
End Sub

Private Sub cmdsfarsit_Click()
Close #1
End
End Sub

Private Sub OKcont_Click()
f0prim(contor) = f0prim(contor - 1) + 1
calcule
frmconditii.Hide
Ai(0) = (hsin(bet(1)) - bet(1)) / (bet(1) ^ 2 * hsin(bet(1))) * h(1)
For i = 1 To n - 1
  Ai(i) = (hsin(bet(i + 1)) - bet(i + 1)) / (bet(i + 1) ^ 2 * hsin(bet(i + 1))) * h(i + 1)
  Bi(i) = (bet(i) * hcos(bet(i)) - hsin(bet(i))) / (bet(i) ^ 2 * hsin(bet(i))) * h(i)
Next i
Bi(n) = (bet(n) * hcos(bet(n)) - hsin(bet(n))) / (bet(n) ^ 2 * hsin(bet(n))) * h(n)
mat(0, 0) = Bi(1): mat(0, 1) = Ai(0)
For j = 2 To n - 1
  mat(0, j) = 0
Next j
For i = 1 To n - 1
  For j = 0 To i - 2
    mat(i, j) = 0
  Next j
  mat(i, j) = Ai(i - 1): mat(i, j + 1) = Bi(i) + Bi(i + 1): mat(i, j + 2) = Ai(i)
  j = j + 3
  For k = j To n
    mat(i, k) = 0
  Next k
Next i
For i = 0 To n - 2
  mat(n, i) = 0
Next i
mat(n, n - 1) = Ai(n - 1): mat(n, n) = Bi(n)
For i = 1 To n + 1
  For j = 1 To n + 1
    mat1(i, j) = mat(i - 1, j - 1)
  Next j
  betal(i) = beta(i - 1)
  m1(i) = m(i - 1)
Next i
rezolv_sist n + 1, mat1(), betal(), m1()
For i = 0 To n
  For j = 0 To n
    mat(i, j) = mat1(i + 1, j + 1)
  Next j
  beta(i) = betal(i + 1)
  m(i) = m1(i + 1)
Next i
k = 1
nrp = 10
h1 = pas / (nrp - 1)
ReDim x1(1 To nrp), y1(1 To nrp), sk(1 To nrp)
x1(1) = x(k - 1)
For i = 2 To nrp
  x1(i) = x1(i - 1) + h1
Next i

```

```

For i = 1 To nrp
yl(i) = yc + Sqr(r * r - (xl(i) - xc) ^ 2)
t = (xl(i) - x(k - 1)) / h(k)
t1 = f(k) * t
t2 = f(k - 1) * (1 - t)
t3 = m(k) / alfa ^ 2 * (hsin(bet(k) * t) / hsin(bet(k)) - t)
t4 = m(k - 1) / alfa ^ 2 * (hsin(bet(k) * (1 - t)) / hsin(bet(k)) - (1 - t))
sk(i) = t1 + t2 + t3 + t4
Next i
frmafis2.Show
End Sub

```

Frmafis:

Alisarea functiilor spline obtinute

Continuare pt. a face comparatie pe un anumit interval de esantionare

Sfarsit

Private Sub Cmdcont_Click()

```

Frmafis.Hide
Frmcontcompar.Show
End Sub

```

Private Sub cmdsf_Click()

```

Close #1
End
End Sub

```

Private Sub Form_Activate()

```

'Cls
'Print "Cele " & n + 1 & " puncte de esantionare au coordonatele urmatoare:"
'Print "      x      y"
'Print #1, "Cele " & n + 1 & " puncte de esantionare au coordonatele urmatoare:"
'Print #1, "      x      y"
'For i = 0 To n
' Print Format(x(i), "#####0.000"); Tab(13); Format(f(i), "#####0.000")
' Print #1, Format(x(i), "#####0.000"); Tab(13); Format(f(i), "#####0.000")
'Next i
Ai(0) = (hsin(bet(1)) - bet(1)) / (bet(1) ^ 2 * hsin(bet(1))) * h(1)
For i = 1 To n - 1
  Ai(i) = (hsin(bet(i + 1)) - bet(i + 1)) / (bet(i + 1) ^ 2 * hsin(bet(i + 1))) * h(i + 1)
  Bi(i) = (bet(i) * hcos(bet(i)) - hsin(bet(i))) / (bet(i) ^ 2 * hsin(bet(i))) * h(i)
Next i
Bi(n) = (bet(n) * hcos(bet(n)) - hsin(bet(n))) / (bet(n) ^ 2 * hsin(bet(n))) * h(n)
mat(0, 0) = Bi(1); mat(0, 1) = Ai(0)
For j = 2 To n - 1
  mat(0, j) = 0
Next j
For i = 1 To n - 1

```

```

For j = 0 To i - 2
  mat(i, j) = 0
Next j
mat(i, j) = Ai(i - 1): mat(i, j + 1) = Bi(i) + Bi(i + 1): mat(i, j + 2) = Ai(i)
j = j + 3
For k = j To n
  mat(i, k) = 0
Next k
Next i
For i = 0 To n - 2
  mat(n, i) = 0
Next i
mat(n, n - 1) = Ai(n - 1): mat(n, n) = Bi(n)
Print
Print "Matricea rezultata pentru calculul pantelor, respectiv vectorul beta va fi:"
Print #1, ""
Print #1, "Matricea rezultata pentru calculul pantelor, respectiv vectorul beta va fi:"
For i = 0 To n
  For j = 0 To n
    Print Tab(1 + j * 7); Format(mat(i, j), "###0.##");
    Print #1, Tab(1 + j * 7); Format(mat(i, j), "###0.##");
  Next j
  Print Tab(1 + (n + 1) * 7); "m" & i; Tab(8 + (n + 1) * 7); Format(beta(i), "#####0.0#####")
  Print #1, Tab(1 + (n + 1) * 7); "m" & i; Tab(8 + (n + 1) * 7); Format(beta(i), "#####0.0#####")
Next i
For i = 1 To n + 1
  For j = 1 To n + 1
    mat1(i, j) = mat(i - 1, j - 1)
  Next j
  betal(i) = beta(i - 1)
  m1(i) = m(i - 1)
Next i
rezolv_sist n + 1, mat1(), betal(), m1()
For i = 0 To n
  For j = 0 To n
    mat(i, j) = mat1(i + 1, j + 1)
  Next j
  beta(i) = betal(i + 1)
  m(i) = m1(i + 1)
Next i
k = 1
nrp = 10
h1 = pas / (nrp - 1)
ReDim x1(1 To nrp), y1(1 To nrp), sk(1 To nrp)
x1(1) = x(k - 1)
For i = 2 To nrp
  x1(i) = x1(i - 1) + h1
Next i
For i = 1 To nrp
  y1(i) = yc + Sqr(r * r - (x1(i) - xc) ^ 2)
  t = (x1(i) - x(k - 1)) / h(k)
  t1 = f(k) * t
  t2 = f(k - 1) * (1 - t)
  t3 = m(k) / alfa ^ 2 * (hsin(bet(k) * t) / hsin(bet(k)) - t)
  t4 = m(k - 1) / alfa ^ 2 * (hsin(bet(k) * (1 - t)) / hsin(bet(k)) - (1 - t))
  sk(i) = t1 + t2 + t3 + t4
Next i
frmafis2.Show
End Sub

```

Frmcontcompar:

Private Sub cmdok_Click()

```

k = Val(txtk.Text)
nrp = Val(txtnrp.Text)
h1 = pas / (nrp - 1)
ReDim x1(1 To nrp), y1(1 To nrp), sk(1 To nrp)
x1(1) = x(k - 1)
For i = 2 To nrp
  x1(i) = x1(i - 1) + h1
Next i
For i = 1 To nrp
  y1(i) = yc + Sqr(r * r - (x1(i) - xc) ^ 2)
  t = (x1(i) - x(k - 1)) / h(k)
  t1 = f(k) * t
  t2 = f(k - 1) * (1 - t)
  t3 = m(k) / alfa ^ 2 * (hsin(bet(k) * t) / hsin(bet(k)) - t)
  t4 = m(k - 1) / alfa ^ 2 * (hsin(bet(k) * (1 - t)) / hsin(bet(k)) - (1 - t))
  sk(i) = t1 + t2 + t3 + t4
Next i
Frmcontcompar.Hide
frmafis2.Show
End Sub

```

Private Sub cmdsf_Click()

```

End
End Sub

```

Private Sub txtk_Validate(Cancel As Boolean)

```

k = Val(txtk.Text)
If k < 1 Or k > n Then
  Cancel = True
  MsgBox ("k trebuie sa ia valori intregi intre 1 si" & n)
End If
End Sub

```

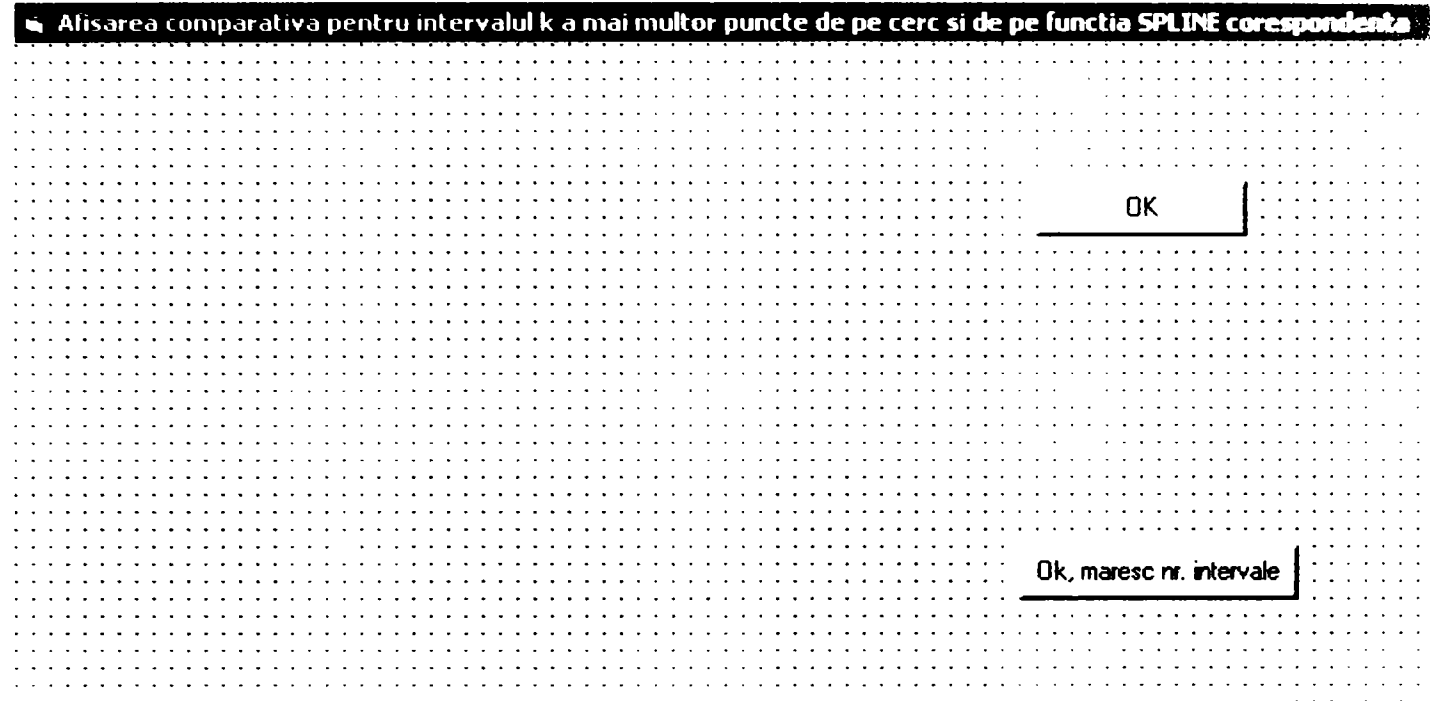
Private Sub txtnrp_Validate(Cancel As Boolean)

```

nrp = Val(txtnrp.Text)
If nrp < 3 Or nrp > 30 Then
  Cancel = True
  MsgBox ("nrp trebuie sa ia valori intregi intre 3 si 30")
End If
End Sub

```


Frmafis2:



```
Private Sub cmdok_Click()
```

```
contor = contor + 1
```

```
If contor <= dimensiune Then
```

```
    frmafis2.Hide
```

```
    frmconditii.Show
```

```
    frmconditii.OKcont.Enabled = True
```

```
    frmconditii.cmdok.Enabled = False
```

```
    frmconditii.cmdsfarsit.Enabled = False
```

```
    MsgBox "Dati click pe 'OK continuare' pt. a efectua calculele pentru f0prim urmator! (f0prim=" & f0prim(contor - 1) + 1 & ")"
```

```
    frmconditii.OKcont.SetFocus
```

```
Else
```

```
    If prima = 0 And jj = 0 Then
```

```
        frmafis2.Hide
```

```
        Frmgraf.Show
```

```
    Else
```

```
        frmafis2.Hide
```

```
        Frmgraf.AutoRedraw = False
```

```
    End If
```

```
End If
```

```
End Sub
```

```
Private Sub cmdschimb_Click()
```

```
    frmafis2.Hide
```

```
    Frmintro.Show
```

```
    Frmintro.Txtn.SetFocus
```

```
End Sub
```

```
Private Sub Form_Activate()
```

```
    Cls
```

```
    Print #1, ""
```

```
    Print #1, "Intervalul care se compara:" & k
```

```
    Print #1, "Numarul de puncte de comparatie din cadrul respectivului interval:" & nrp
```

```
    Print
```

```
    Print " Coordonata x"; Tab(18); "y (pt. cerc)"; Tab(32); "sk (pt. functia SPLINE)"
```

```
    Print
```

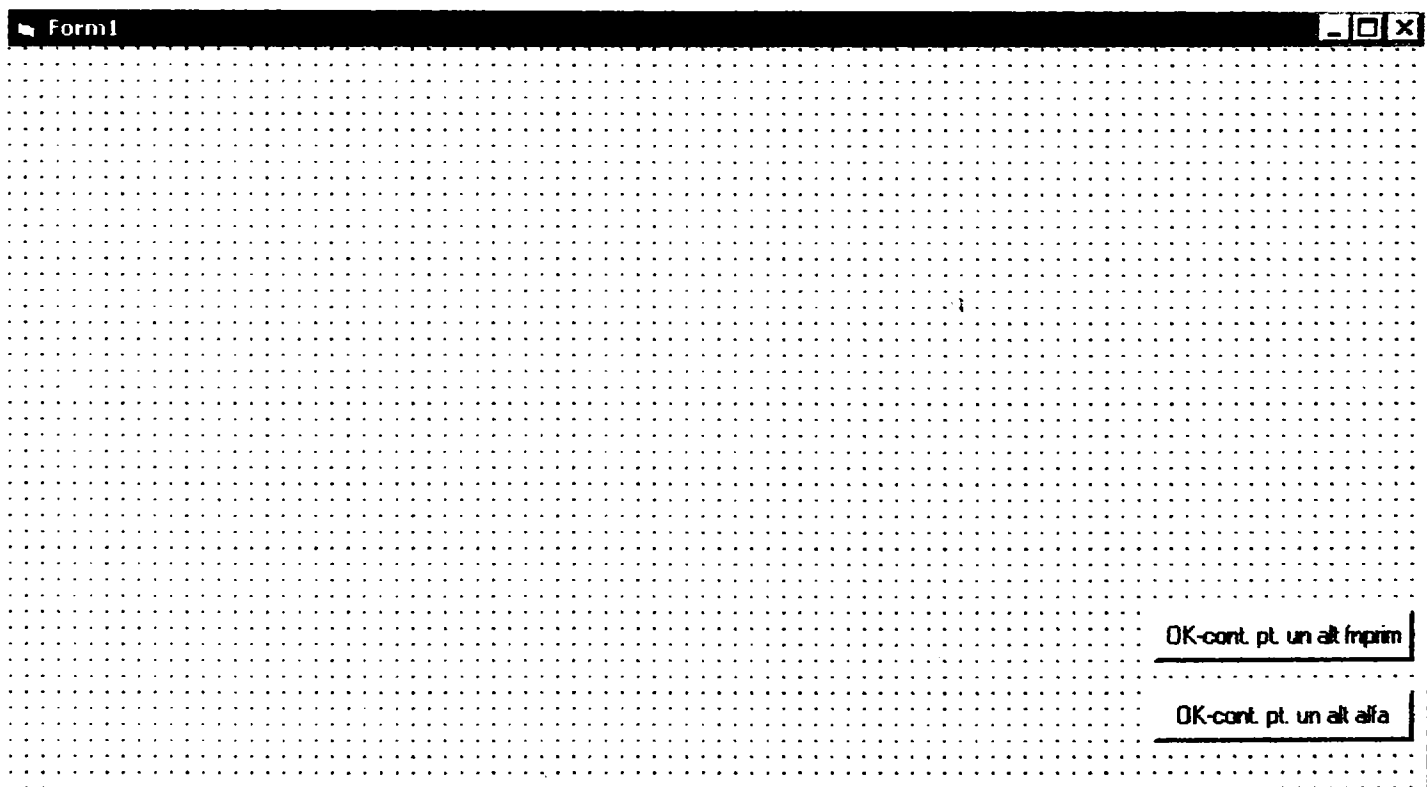
```
    Print #1, ""
```

```
    Print #1, " Coordonata x"; Tab(18); "y (pt. cerc)"; Tab(32); "sk (pt. functia SPLINE)"
```

```

Print #1, ""
'emax1 = Abs(y1(1) - sk(1)) / Abs(y1(1)) * 100
emax1 = 2 / pi * Atn(y1(1) - sk(1))
semnal = 0
For i = 1 To nrp
  Print Tab(3); Format(x1(i), "#####0.000"); Tab(18); Format(y1(i), "#####0.000"); Tab(32); Format(sk(i),
"#####0.000")
  Print #1, Tab(3); Format(x1(i), "#####0.000"); Tab(18); Format(y1(i), "#####0.000"); Tab(32); Format(sk(i),
"#####0.000")
  'emaxcurent = Abs(y1(i) - sk(i)) / Abs(y1(i)) * 100
  emaxcurent = 2 / pi * Atn(y1(i) - sk(i))
  If emaxcurent > 0.96 Then semnal = 1
  If emax1 < emaxcurent Then emax1 = emaxcurent
Next i
If emax(contor) < emax1 Then emax(contor) = emax1
Print
Print Tab(3); "emax1="; Format(emax1, "#####0.000000")
Print #1, Tab(3); "emax1="; Format(emax1, "#####0.000000")
Print Tab(3); "emax(" & contor & ")="; Format(emax(contor), "#####0.000000")
Print #1, Tab(3); "emax(" & contor & ")="; Format(emax(contor), "#####0.000000")
If semnal = 1 Then
  MsgBox ("Trebuie sa dati un numar mai mare de intervale de esantionare pentru a micsora eroarea de
aproximare!")
  cmdschimb.SetFocus
Else
  cmdok.SetFocus
End If
End Sub

```

Frmgraf:

```

Private Sub cmdok_Click()
  frmconditii.Show
  contor = 1
  MsgBox ("Dati o alta valoare pt. fnprim!")
  jj = jj + 1
  frmconditii.OKcont.Enabled = False
  frmconditii.txtf0primmax.Enabled = False

```

```

frmconditii.txtf0primmin.Enabled = False
frmconditii.cmdok.Enabled = True
frmconditii.cmdsfarsit.Enabled = True
End Sub

```

Private Sub cmdokalfa_Click()

```

prima = prima + 1
Frmintro.Show
MsgBox ("Dati o alta valoare pt. alfa!")
Frmintro.txtcentx.Enabled = False
Frmintro.Txtcenty.Enabled = False
Frmintro.Txtr.Enabled = False
Frmintro.Txtn.Enabled = False
frmconditii.OKcont.Enabled = False
frmconditii.txtf0primmax.Enabled = False
frmconditii.txtf0primmin.Enabled = False
frmconditii.cmdok.Enabled = True
frmconditii.cmdsfarsit.Enabled = True
End Sub

```

Private Sub Form_Paint()

```

Frmgraf.AutoRedraw = True
If prima = 0 And jj = 0 Then
  Dim Msg, XPos(30), YPos(30) ' Declare variables.
  ScaleMode = 3 ' Set ScaleMode to pixels.
  DrawWidth = 2 ' Set DrawWidth.
  ForeColor = QBColor(prima)
  Line (10, ScaleHeight - 10)-(ScaleWidth - 10, ScaleHeight - 10)
  Line (210, ScaleHeight - 10)-(210, 10)
  FontSize = 13 ' Set point size.
  CX = ScaleWidth / 2 ' Get horizontal center.
  CY = ScaleHeight / 2 ' Get vertical center.
  Msg = "fo": CurrentX = 9 * 2 * CX / 10 - TextWidth(Msg) / 2: CurrentY = ScaleHeight - 30: Print Msg
  Msg = "emax(%)": CurrentX = 210: CurrentY = 0: Print Msg
  Msg = "-10": CurrentX = 10: CurrentY = ScaleHeight - 30: Print Msg
  Msg = "-5": CurrentX = 110: CurrentY = ScaleHeight - 30: Print Msg
  Msg = "0": CurrentX = 210: CurrentY = ScaleHeight - 30: Print Msg
  Msg = "5": CurrentX = 310: CurrentY = ScaleHeight - 30: Print Msg
  Msg = "10": CurrentX = 10 + 20 * 20: CurrentY = ScaleHeight - 30: Print Msg
  Msg = "15": CurrentX = 510: CurrentY = ScaleHeight - 30: Print Msg
  Msg = "alfa=" & alfa: CurrentX = 260: CurrentY = 20: pozx = CurrentX: pozy = CurrentY: Print Msg
  For i = 1 To 5
    Select Case i
      Case 1
        Msg = "1.0"
      Case 2
        Msg = "0.8"
      Case 3
        Msg = "0.6"
      Case 4
        Msg = "0.4"
      Case 5
        Msg = "0.2"
    End Select
    CurrentX = 209: CurrentY = (ScaleHeight - 80) / 5 * i: Print Msg
  Next i
Else
  If jj = 0 Then
    ForeColor = QBColor(prima)
    Msg = "alfa=" & alfa: CurrentX = 260 + prima * 70: CurrentY = 20: pozx = CurrentX: pozy = CurrentY: Print
  End If
End Sub

```

```

End If
ForeColor = QBColor(prima)
Msg = "fn'" & fnprim
pozX = pozX ' Horizontal position.
pozY = pozY + 15 ' Vertical position
CurrentX = pozX
CurrentY = pozY
Print Msg ' Print message.
For i = 1 To dimensiune
  XPos(i) = 210 + f0prim(i) * 20 ' Get horizontal position.
  YPos(i) = (ScaleHeight - 10) - ((ScaleHeight - 80) * emax(i)) ' Get vertical position.
  PSet (XPos(i), YPos(i)), QBColor(1)
  'DoEvents ' Yield to other
Next i
For i = 1 To dimensiune - 1
  Line (XPos(i), YPos(i))-(XPos(i + 1), YPos(i + 1))
Next i
End Sub

```

§ 3.7. IMPLEMENTAREA FUNCȚIILOR SPLINE ÎN M.E.Fr.

3.7.1. Calculul funcțiilor spline

Din literatura de specialitate [P50], [M31] se cunoaște teoria funcțiilor spline care sunt niște funcții segmentar polinomiale, descrise de polinoame pe subintervale adiacente, care în nodurile unde se racordează asigură nu numai continuitatea funcției, ci și continuitatea unor derivate ale acesteia.

Fie $f(x): [a, b] \rightarrow \mathbb{R}$ funcția continuă necunoscută care trebuie aproximată. Fie Δ o diviziune a intervalului $[a, b] \subset \mathbb{R}$:

$$\Delta: a = x_0 < x_1 < x_2 < x_3 < \dots < x_{n-1} < x_n = b.$$

Considerăm cunoscute valorile funcției f în nodurile rețelei de discretizare $\Delta: f(x_i) = f_i = y_i, i = \overline{1, n}$.

Vom nota $I_i = [x_{i-1}, x_i]$ și $h_i = x_i - x_{i-1}$. Alegem ca necunoscute ale problemei derivatele de ordinul doi ale funcției spline $S_i(x)$ pe fiecare nod:

$$M_i = S_i''(x_i) \quad i=0, 1, 2, \dots, n \quad (3.7.1)$$

Restricția funcției spline pe fiecare interval $[x_{i-1}, x_i]$ se notează cu $S_i(x)$ și este o funcție polinomială de gradul trei. Se poate arăta că:

$$S_i(x) = M_{i-1} \frac{(x_i - x)^3}{6h_i} + M_i \frac{(x - x_{i-1})^3}{6h_i} + \left(f_{i-1} - M_{i-1} \frac{h_i^2}{6} \right) \frac{x_i - x}{h_i} + \left(f_i - M_i \frac{h_i^2}{6} \right) \frac{x - x_{i-1}}{h_i} \quad (3.7.2)$$

$$f(x) = \frac{M_{i-1}}{6} \left[\frac{(x_i - x)^3}{x_i - x_{i-1}} - (x_i - x)(x_i - x_{i-1}) \right] + \frac{M_i}{6} \left[\frac{(x - x_{i-1})^3}{x_i - x_{i-1}} - (x - x_{i-1})(x_i - x_{i-1}) \right] + f_{i-1} \frac{x_i - x}{x_i - x_{i-1}} + f_i \frac{x - x_{i-1}}{x_i - x_{i-1}}, \quad x_{i-1} \leq x \leq x_i, \quad i=1, 2, \dots, n \quad (3.7.3)$$

Asigurând și continuitatea derivatei de ordinul întâi pe fiecare nod, vom obține:

$$\frac{h_i}{6}M_{i-1} + \frac{h_i + h_{i+1}}{3}M_i + \frac{h_{i+1}}{6}M_{i+1} = \frac{f_{i+1} - f_i}{h_{i+1}} - \frac{f_i - f_{i-1}}{h_i} \quad (3.7.4)$$

Se vede că am obținut un sistem de (n-1) ecuații liniare cu (n+1) necunoscute: M_0, M_1, \dots, M_n . Ca să avem o problemă cu o soluție unică, mai trebuie să impunem două condiții suplimentare. *Deși această problemă nu este complet lămurită în literatură* (v.[B31], [M9]), se obișnuiește să se impună două categorii de condiții:

condițiile naturale: $M_0 = M_n = 0$. Se ajunge la un sistem de (n-1) ecuații cu (n-1) necunoscute tridiagonal, cu diagonala principală dominantă, care se știe că are o soluție unică.

În acest caz putem scrie matricial:

$$[A]\{M\} = [H]\{f\} \quad (3.7.5)$$

unde:

$$\{M\}^T = \{M_1 \ M_2 \ \dots \ M_{n-1}\}, \quad \{f\}^T = \{f_1 \ f_2 \ \dots \ f_{n-1}\} \quad (3.7.6)$$

$$[A] = \begin{bmatrix} \frac{h_1 + h_2}{3} & \frac{h_2}{6} & 0 & 0 & 0 & 0 & 0 \\ \frac{h_2}{6} & \frac{h_2 + h_3}{3} & \frac{h_3}{6} & 0 & 0 & 0 & 0 \\ \dots & \dots & \dots & \dots & \dots & \dots & \dots \\ 0 & 0 & 0 & 0 & 0 & \frac{h_{n-1}}{6} & \frac{h_{n-1} + h_n}{3} \end{bmatrix} \quad (3.7.7)$$

$$[H] = \begin{bmatrix} \left(-\frac{1}{h_1} - \frac{1}{h_2}\right) & \frac{1}{h_2} & 0 & 0 & 0 & 0 & 0 \\ \frac{1}{h_2} & \left(-\frac{1}{h_2} - \frac{1}{h_3}\right) & \frac{1}{h_3} & 0 & 0 & 0 & 0 \\ \dots & \dots & \dots & \dots & \dots & \dots & \dots \\ 0 & 0 & 0 & 0 & 0 & \left(-\frac{1}{h_{n-1}} - \frac{1}{h_n}\right) & \frac{1}{h_n} \end{bmatrix} \quad (3.7.8)$$

$$\Rightarrow \{M\} = [A]^{-1}[H]\{f\} \quad (3.7.9)$$

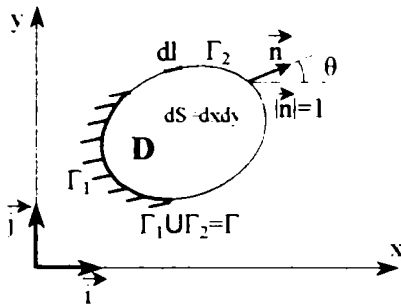
Se presupun cunoscute $S'(x_0) = f'_0$ și $S'(x_n) = f'_n$. În acest caz se ajunge la următorul sistem de (n+1) ecuații cu (n+1) necunoscute:

$$\begin{cases} 2M_0 + M_1 = \frac{6}{h_1} \left(\frac{f_1 - f_0}{h_1} - f'_0 \right) \\ A_i M_{i-1} + 2M_i + C_i M_{i+1} = D_i \\ M_{n-1} + 2M_n = \frac{6}{h_n} \left(f'_n - \frac{f_n - f_{n-1}}{h_n} \right) \end{cases} \quad (3.7.10)$$

unde

$$A_i = \frac{h_i}{h_i + h_{i+1}}; \quad C_i = \frac{h_{i+1}}{h_i + h_{i+1}}; \quad D_i = \frac{6}{h_i + h_{i+1}} \left(\frac{f_{i+1} - f_i}{h_{i+1}} - \frac{f_i - f_{i-1}}{h_i} \right); \quad \forall i = 1, 2, \dots, n-1; \quad (3.7.11)$$

3.7.2. Implementarea funcțiilor spline într-o problemă de potențial



D - domeniu plan
 Γ - conturul frontierei (curbă plană Liapunov)

Fig. 3.7.1

Să considerăm o ecuație diferențială tip Laplace într-un domeniu bidimensional D cu granița Γ:

$$\frac{\partial^2 u}{\partial x^2} + \frac{\partial^2 u}{\partial y^2} = 0 \Leftrightarrow \nabla^2 u = 0 \quad (3.7.12)$$

căreia i se atașează două tipuri de condiții de frontieră (Fig. 3.7.1):

$$u = \bar{u} \text{ pe } \Gamma_1 \quad (\text{condiții tip Dirichlet})$$

$$q = \frac{\partial u}{\partial n} = \bar{q} \text{ pe } \Gamma_2 \quad (\text{condiții tip Neumann})$$

Aici \bar{u} sunt valorile cunoscute ale funcției de potențial u pe porțiunea Γ_1 a frontierei și \bar{q} este valoarea cunoscută pe frontieră a derivatei normale a funcției de potențial u .

Soluția ecuației lui Laplace

$$\nabla^2 U^* = \delta(x - \xi_i) \quad (3.7.13)$$

o vom nota cu u^* deoarece este așa-numita soluție fundamentală, esențială în formularea (M.E.Fr.). Ea se cunoaște din literatură ([P50], [P34]) și

$$u^*(\xi_i, x) = -\frac{1}{2\pi} \ln \frac{1}{r(\xi_i, x)} \quad (3.7.14)$$

unde: $\delta(x - \xi_i)$ este funcția δ a lui Dirac;

ξ_i este punctul sursă unde se aplică potențialul unitar;

x este punctul curent de pe frontieră;

$r(\xi_i, x) = |x - \xi_i|$ este distanța dintre cele două puncte.

Derivata normală a lui u^* o vom nota tot cu un asterisc și ea este:

$$q^*(\xi_i, x) = \frac{\partial u^*(\xi_i, x)}{\partial n} \quad (3.7.15)$$

Se știe de asemenea că formularea (M.E.Fr.) se poate face în foarte multe moduri [B72], [P34]. De exemplu, putem porni de la cea de-a doua identitate a lui Green și să discretizăm relația:

$$\int_{\Gamma} \left(\frac{u}{r} \frac{\partial r}{\partial n} - \ln r \frac{\partial u}{\partial n} \right) dr = 0 \quad (3.7.16)$$

care conduce, prin discretizare pe elemente finite la o ecuație matricială de forma:

$$[H]\{u\} = [G]\left\{ \frac{\partial u}{\partial n} \right\} \quad (3.7.17)$$

unde $[H]$ și $[G]$ depind numai de geometria frontierei.

În paragraful precedent am arătat că frontiera domeniului poate fi descrisă de ecuația (3.7.4), care poate fi scrisă matricial sub forma (3.7.5) și de aici (3.7.9). Ecuația matricială (3.7.9) ne determină derivatele de ordinul doi pe fiecare nod și ea mai poate fi scrisă sub forma:

$$f_j^n = \sum_{k=1}^n q_{ik} f_k \quad i = 1, 2, \dots, n \quad (3.7.18)$$

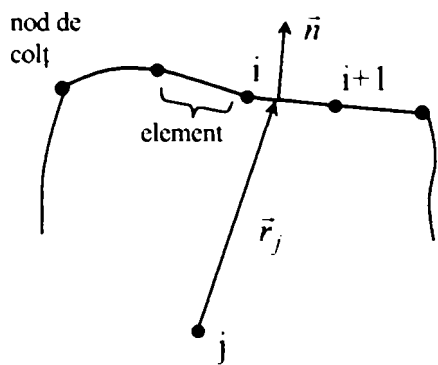


Fig. 3.7.2

unde q_{ik} reprezintă un element din $[A]^{-1}[H]$. Ecuația (3.7.17) este utilizată pentru a înlocui derivatele de ordinul doi din (3.7.3), ceea ce conduce la forma finală a funcției spline cubice de interpolare, deoarece toți coeficienții puterilor lui x depind numai de geometria conturului și de modul de discretizare. Folosind nodul j ca „punct de observație” și integrând între nodurile i și $i+1$ (Fig.3.7.2), integralele din ecuația (3.7.16) luate pe un singur element devin:

$$h_{ji} = \int_i^{i+1} \left\{ \frac{1}{6} \sum_{k=1}^N q_{ik} \frac{u_k}{r_j} \frac{\partial r_j}{\partial n} \left[\frac{(x_i - x)^3}{x_{i+1} - x_i} - (x_{i+1} - x)(x_{i+1} - x_i) \right] + \frac{1}{6} \sum_{k=1}^N q_{i+1,k} \frac{u_k}{r_j} \frac{\partial r_j}{\partial n} \cdot \left[\frac{(x - x_i)^3}{x_{i+1} - x_i} - (x - x_i)(x_{i+1} - x_i) \right] + \frac{u_i}{r_j} \frac{\partial r_j}{\partial n} \cdot \frac{x_{i+1} - x}{x_{i+1} - x_i} + \frac{u_{i+1}}{r_j} \frac{\partial r_j}{\partial n} \frac{x - x_i}{x_{i+1} - x_i} \right\} ds \quad (3.7.19)$$

$$g_{ji} = \int_i^{i+1} \left\{ \frac{1}{6} \sum_{k=1}^N q_{ik} \left(\frac{\partial u}{\partial n} \right)_k \ln r_j \left[\frac{(x_{i+1} - x)^3}{x_{i+1} - x_i} - (x_{i+1} - x)(x_{i+1} - x_i) \right] + \frac{1}{6} \sum_{k=1}^N q_{i+1,k} \left(\frac{\partial u}{\partial n} \right)_k \ln r_j \cdot \left[\frac{(x - x_i)^3}{x_{i+1} - x_i} - (x - x_i)(x_{i+1} - x_i) \right] + \left(\frac{\partial u}{\partial n} \right)_k \ln r_j \frac{x_{i+1} - x}{x_{i+1} - x_i} + \left(\frac{\partial u}{\partial n} \right)_k \ln r_j \frac{x - x_i}{x_{i+1} - x_i} \right\} ds \quad (3.7.20)$$

În felul acesta ecuația integrală (3.7.16) se transformă într-un sistem de ecuații algebrice:

$$\sum_{j=1}^n h_{ji} - \sum_{j=1}^n g_{ji} = 0, \quad i=1,2,\dots, N \quad (3.7.21)$$

unde N este numărul de elemente și n este numărul de noduri.

Să analizăm relațiile (3.7.19) și (3.7.20). Deoarece în integrale apar numai u și $\partial u / \partial n$ cu valori în noduri, acestea pot fi scoase în afara integralelor și apar ca niște coeficienți în ecuațiile pentru h_{ji} și g_{ji} . În mod asemănător factorii q_{ik} și x_i depind numai de geometrie și de aceea sunt priviți ca niște constante sub integrală. Rezultă că numai r_j și x variază pe element, deci se integrează. Dar aceste variabile care depind și de geometrie se integrează fără a se ține cont de repartiția lui u și $\partial u / \partial n$.

Observație: În relațiile (3.7.19) și (3.7.20) funcția spline cubică este exprimată în funcție de x în timp ce integrala este luată de-a lungul unui element curb $(i,i+1)$ de ecuație $y=y(x)$; pe acest element curb diferențiala elementului de arc este:

$$ds = \sqrt{1 + (y')^2} dx \quad (3.7.22)$$

unde y' rezultă din (3.7.2) prin derivare ($y=f=S$; $y_i = f_i$; $y_{i+1} = f_{i+1}$). Derivatele f_i'' și f_{i+1}'' (sau y_i'' și y_{i+1}'') sunt date de ecuația (3.7.2). În practică sistemul global de coordonate (x,y) se deplasează și se rotește până când axa x devine noua axă ξ care trece prin nodurile i și $i+1$ și

face unghiul α cu axa x . Relațiile (3.7.19) și (3.7.20) conțin distanța r_j de la punctul de observație j până la punctul $x \in (i, i+1)$, care în sistemul global de coordonate este:

$$r_j = \sqrt{(x - x_j)^2 + (y - y_j)^2} \quad (3.7.23)$$

Folosind interpolarea spline cubică pentru y_j se obține:

$$r_j = r_j(x, y) = r_j[x, y(x)] \quad (3.7.24)$$

Înlocuind expresiile lui r_j (3.7.24) și ds (3.7.22) în (3.7.19) și (3.7.20) ajungem la niște integrale care conțin numai variabila x și care pot fi calculate numeric pentru o geometrie dată.

Dacă punctul j coincide cu extremitatea unui element, în relațiile (3.7.19) există o singularitate aparentă; în acest caz integrarea se realizează în sistemul local de coordonate (ξ, η) .

Sunt doi factori de care trebuie să ne ocupăm în mod special:

Factorul $\frac{1}{r_j} \frac{\partial r_j}{\partial n}$. Se poate arăta că acest factor, atunci când punctul j se află în nodul i ,

nu reprezintă o singularitate și poate fi integrat în mod obișnuit.

Factorul $\ln r_j$. Utilizând sistemele de coordonate din Fig. 3.7.3, se poate arăta că:

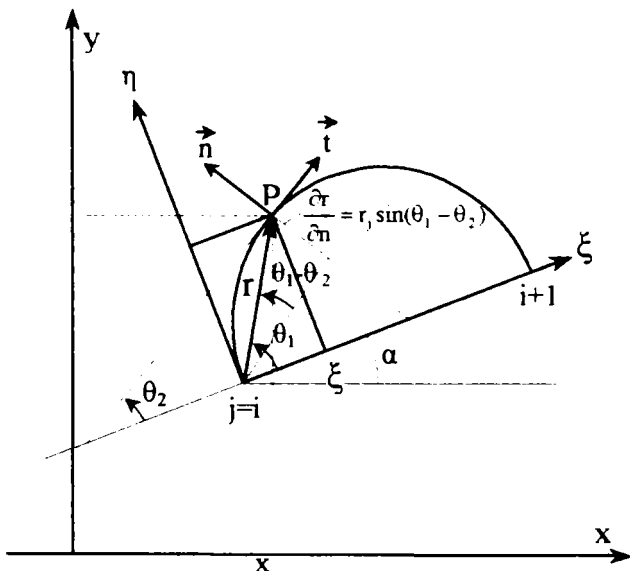


Fig. 3.7.3

$$\ln r_j = \ln \xi + h(\xi) \quad (3.7.25)$$

unde:

$$h(\xi) = \ln \left\{ 1 + \left[\frac{\eta_i''}{6} \left(3\xi - \frac{\xi^2}{\xi_{i+1}} - 2\xi_{i+1} \right) + \frac{\eta_{i+1}''}{6} \left(\frac{\xi^2}{\xi_{i+1}} - \xi_{i+1} \right) \right]^2 \right\}^{1/2} \quad (3.7.26)$$

Pentru $\xi \rightarrow 0$ rezultă că numai termenul $\ln \xi$ este singular, și el intervine în integralele care compun expresia lui g_{ji} (3.7.20), pe care o vom descompune, utilizând (3.7.25), într-o sumă de două integrale.

$$g_{ji} = \int_0^{i+1} \ln \xi \cdot \varphi_l(\xi) d\xi + \int_0^{i+1} h(\xi) \cdot \varphi_l(\xi) d\xi \quad (3.7.27)$$

$$\begin{aligned} g_{ij} = & \int_0^{i+1} \left\{ \frac{1}{6} \sum_{k=1}^N q_{ik} \left(\frac{\partial u}{\partial n} \right)_k \ln \xi \left[\frac{(x_{i+1} - x)^3}{x_{i+1} - x_i} - (x - x_i)(x_{i+1} - x_i) \right] \left[1 + (\eta')^2 \right]^{1/2} d\xi + \right. \\ & + \int_0^{i+1} \left\{ \frac{1}{6} \sum_{k=1}^N q_{i+1,k} \left(\frac{\partial u}{\partial n} \right)_k \ln \xi \left[\frac{(x - x_i)^3}{x_{i+1} - x_i} - (x - x_i)(x_{i+1} - x_i) \right] \left[1 + (\eta')^2 \right]^{1/2} d\xi + \right. \\ & \left. + \int_0^{i+1} \left(\frac{\partial u}{\partial n} \right)_i \ln \xi \frac{x_{i+1} - x}{x_{i+1} - x_i} \left[1 + (\eta')^2 \right]^{1/2} d\xi + \int_0^{i+1} \left(\frac{\partial u}{\partial n} \right)_{i+1} \ln \xi \frac{x - x_i}{x_{i+1} - x_i} \left[1 + (\eta')^2 \right]^{1/2} d\xi + \right. \end{aligned}$$

$$\begin{aligned}
& + \int_0^{i+1} \left\{ \frac{1}{6} \sum_{k=1}^N q_{ik} \left(\frac{\partial u}{\partial n} \right)_k h(\xi) \left[\frac{(x_{i+1} - x)^3}{x_{i+1} - x_i} - (x - x_i)(x_{i+1} - x_i) \right] \left[1 + (\eta')^2 \right]^{1/2} d\xi + \right. \\
& + \int_0^{i+1} \left\{ \frac{1}{6} \sum_{k=1}^N q_{i+1,k} \left(\frac{\partial u}{\partial n} \right)_k h(\xi) \left[\frac{(x - x_i)^3}{x_{i+1} - x_i} - (x - x_i)(x_{i+1} - x_i) \right] \left[1 + (\eta')^2 \right]^{1/2} d\xi + \right. \\
& + \int_0^{i+1} \left(\frac{\partial u}{\partial n} \right)_i h(\xi) \frac{x_{i+1} - x}{x_{i+1} - x_i} \left[1 + (\eta')^2 \right]^{1/2} d\xi + \int_0^{i+1} \left(\frac{\partial u}{\partial n} \right)_{i+1} h(\xi) \frac{x - x_i}{x_{i+1} - x_i} \left[1 + (\eta')^2 \right]^{1/2} d\xi
\end{aligned} \tag{3.7.28}$$

Apar aici opt integrale în care variabila x trebuie înlocuită cu variabila ξ din sistemul local de coordonate, utilizând relația de transformare:

$$x = \xi \cos \alpha - \eta \sin \alpha + x_j$$

cu η dat de:

$$\eta(\xi) = \frac{\eta_i^*}{6} \left[\frac{(\xi_{i+1} - \xi)^3}{\xi_{i+1}} - \xi_{i+1}(\xi_{i+1} - \xi) \right] + \frac{\eta_{i+1}^*}{6} \left[\frac{\xi^3}{\xi_{i+1}} - \xi \xi_{i+1} \right] \tag{3.7.29}$$

În patru dintre integrale apare factorul $\ln \xi$, deci ele se rezolvă utilizând o cuadratură Gauss specială în care ponderile gaussiene și zerourile corespunzătoare sunt exprimate în cazul singularității logaritmice. Pentru celelalte patru integrale se folosește o cuadratură Gauss obișnuită cu 4, 8 sau 16 puncte.

3.7.3. Realizare program calculator

Așa-numita “problemă Kirsch” se ocupă cu cercetarea influenței pe care un orificiu circular de diametru $2a$ o are asupra distribuției tensiunilor din zona slăbită în cazul unei plăci dreptunghiulare solicitată la tracțiune de o tensiune uniform distribuită la infinit σ_0 .

S-a implementat un program care rezolvă probleme de acest gen cu metoda elementului de frontieră și utilizând funcții spline cubice ca funcții de formă la aproximarea conturului domeniului studiat. Schema bloc a programului este redată în Fig.3.7.4.

Programul principal este scurt, oferind un meniu de forma celui din Fig. 3.7.5. inițializând tablourile care conțin coordonatele punctelor și ponderile Gauss, și gestionând subrutinele evidențiate în Fig.3.7.4.

Subrutinele apelate corespund fiecare unei etape de implementare numerică a M.E.Fr., și sunt:

INTRO_DAT, are rolul de a citi, fie de la tastatură, fie din fișierul de date *Intrare_date.txt* datele referitoare la: titlul și tipul problemei, proprietățile materialului, noduri, puncte interioare, elemente și condiții impuse pe frontieră;

ASAMBL_SISTEM, care assemblează sistemul de ecuații algebrice liniare prin apelarea subrutinei EVAL_INTEGR, care face evaluarea integralelor pe frontieră și impunerea condițiilor pe frontieră;

EVAL_INTEGR, este cea mai importantă și cea mai utilizată subrutină din întregul program, având rolul de a efectua evaluarea numerică sau analitică a integralelor pe fiecare element al frontierei și de a calcula coeficienții de influență din submatricile [H] și [G] atât la formarea sistemului de ecuații algebrice liniare, cât și la calculul variabilelor în interiorul domeniului soluției. După cum s-a arătat în paragraful precedent, atunci când punctele j și i sunt

pe elemente diferite, sau aparțin aceluiași element dar nu se suprapun, se folosește formula standard de cuadratură Gauss, integralele nefiind singulare. Atunci însă când punctele i și j se suprapun se face o integrare analitică pentru coeficienții g_{ij} și se aplică un potențial constant sau o deplasare de solid rigid pentru calculul coeficienților h_{ij} .

REZOLV_SISTEM rezolvă sistemul de ecuații prin metoda eliminării Gauss;

IESIRE_DAT separă variabilele pe frontieră în vectorii corespunzători tipului analizei, face sumarea tensiunilor pe frontieră și salvează rezultatele în fișierul de ieșire *Iesire.txt*;

P_INT calculează și salvează în fișierul de ieșire valorile variabilelor din puncte interioare domeniului.

Algoritmul de realizare al programului este prezentat detaliat în paragraful următor, iar codul sursă este dat în întregime la anexe. Ceea ce diferă la această variantă de program față de cea prezentată în §3.8 este doar modul de implementare al funcțiilor de formă, care sunt funcții de interpolare spline cubice care intervin în integralele prezentate anterior în relațiile (3.7.28).

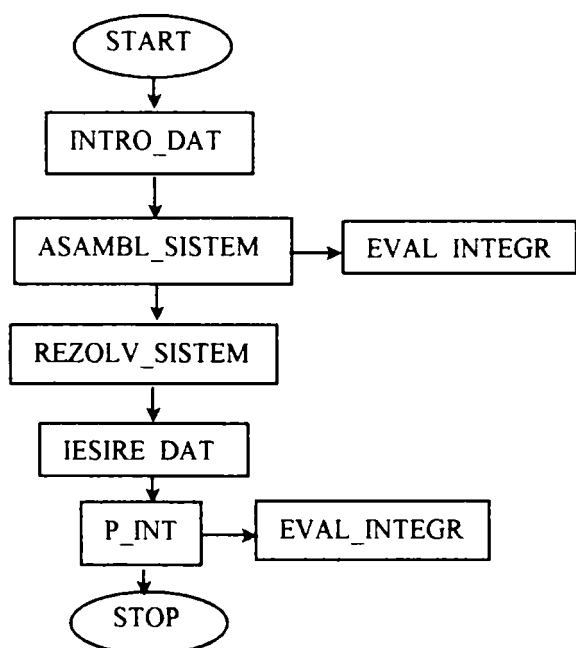


Fig. 3.7.4

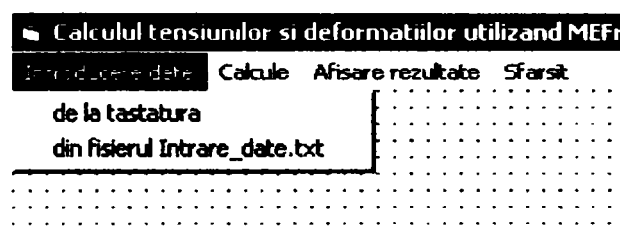


Fig. 3.7.5

§ 3.8. PROGRAM DE ELEMENT DE FRONTIERĂ PENTRU PROBLEME BIDIMENSIONALE

În acest paragraf este prezentat pe scurt programul realizat în limbajul Visual Basic destinat rezolvării problemelor de elastostatică plană folosind elemente de frontieră izoparametrice liniare, adică elemente cu variația liniară a geometriei și a variabilelor pe frontieră, în acest caz a deplasărilor și tensiunilor. Materialul pieselor analizate trebuie să fie omogen și izotrop. Programul permite soluționarea unor probleme pe domenii simplu sau multiplu conexe.

Schema bloc de ansamblu a programului este dată în Fig. 3.8.1.

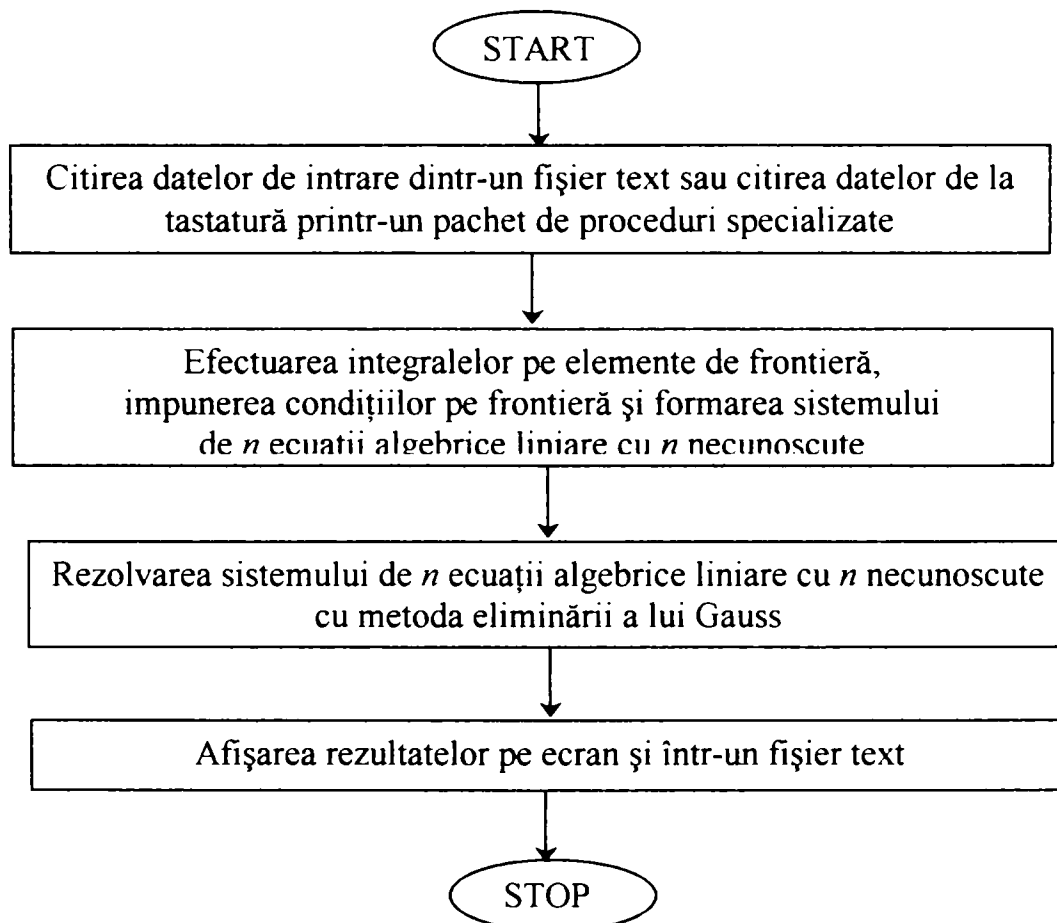


Fig. 3.8.1

Dacă piesa studiată are unul sau două plane de simetrie, perpendiculare pe axele sistemului global de coordonate, piesa poate fi studiată pe jumătate sau pe sfert, programul luând în considerare tipul simetriei piesei. Dacă simetria este luată în considerare nu este necesar să se discretizeze axele de simetrie rezultate din intersecția dintre planul de simetrie și domeniul soluției, astfel reducându-se semnificativ numărul datelor de intrare și dimensiunile matricei sistemului de ecuații algebrice liniare. Discretizarea pieselor simetrice și numerotarea nodurilor este prezentată în Fig. 3.8.2, respectiv în Fig. 3.8.3 este arătată discretizarea și numerotarea nodurilor pentru un domeniu multiplu conex.

Deoarece în Visual Basic este necesar să se declare dimensiunile maxime a tablourilor utilizate am stabilit ca dimensiunea maximă a matricei sistemului de ecuații să fie de (400x400), ceea ce implică utilizarea a maxim 200 de noduri în cazul analizei elastice, deoarece în fiecare nod vor exista două necunoscute, care sunt deplasări sau tensiuni. Oricum această limitare este ușor de modificat prin simpla setare a constantei MAXDIM declarată în modulul de cod cu o altă valoare (mai mare de 400!) dorită.

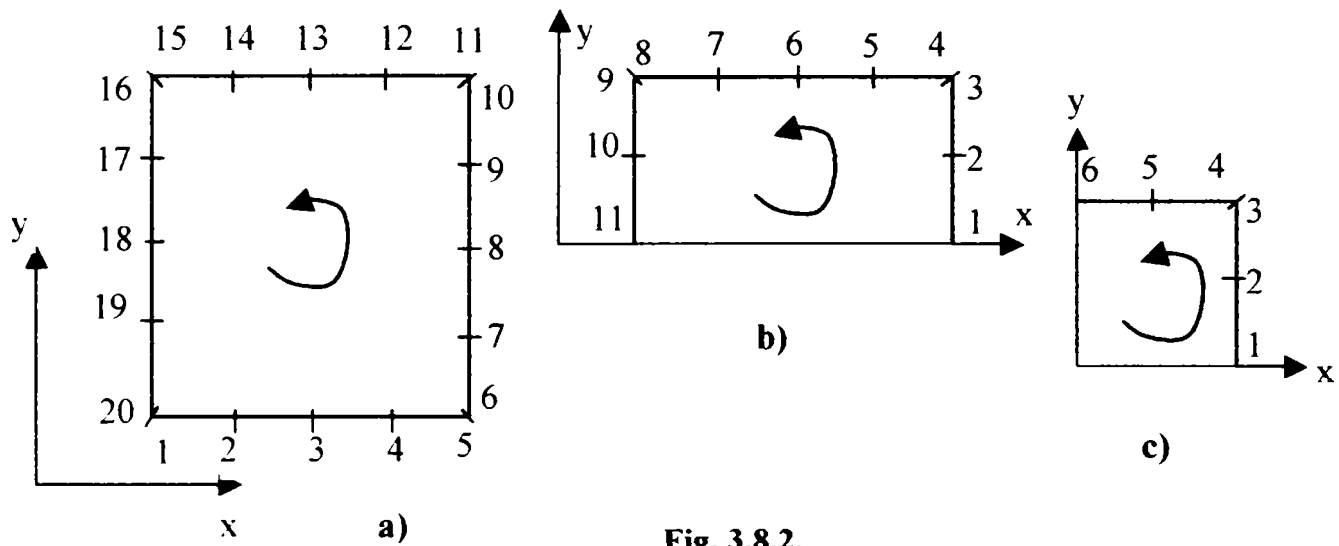


Fig. 3.8.2.

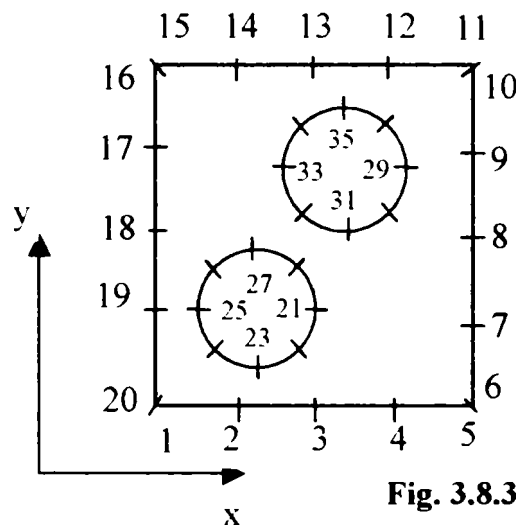


Fig. 3.8.3.

Nodurile duble fac posibilă modelarea colțurilor și a discontinuității condițiilor impuse pe frontieră. Singura limitare care se impune este să se prescrie în cele două noduri duble cel puțin o tensiune pe fiecare direcție a sistemului global de coordonate.

La pornire programul prezintă un meniu de forma:

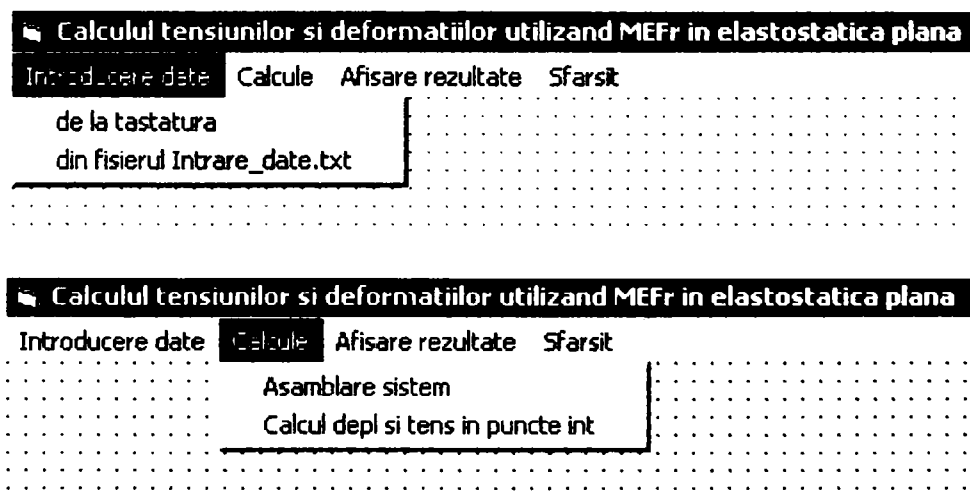


Fig. 3.8.4

Programul are în structură:

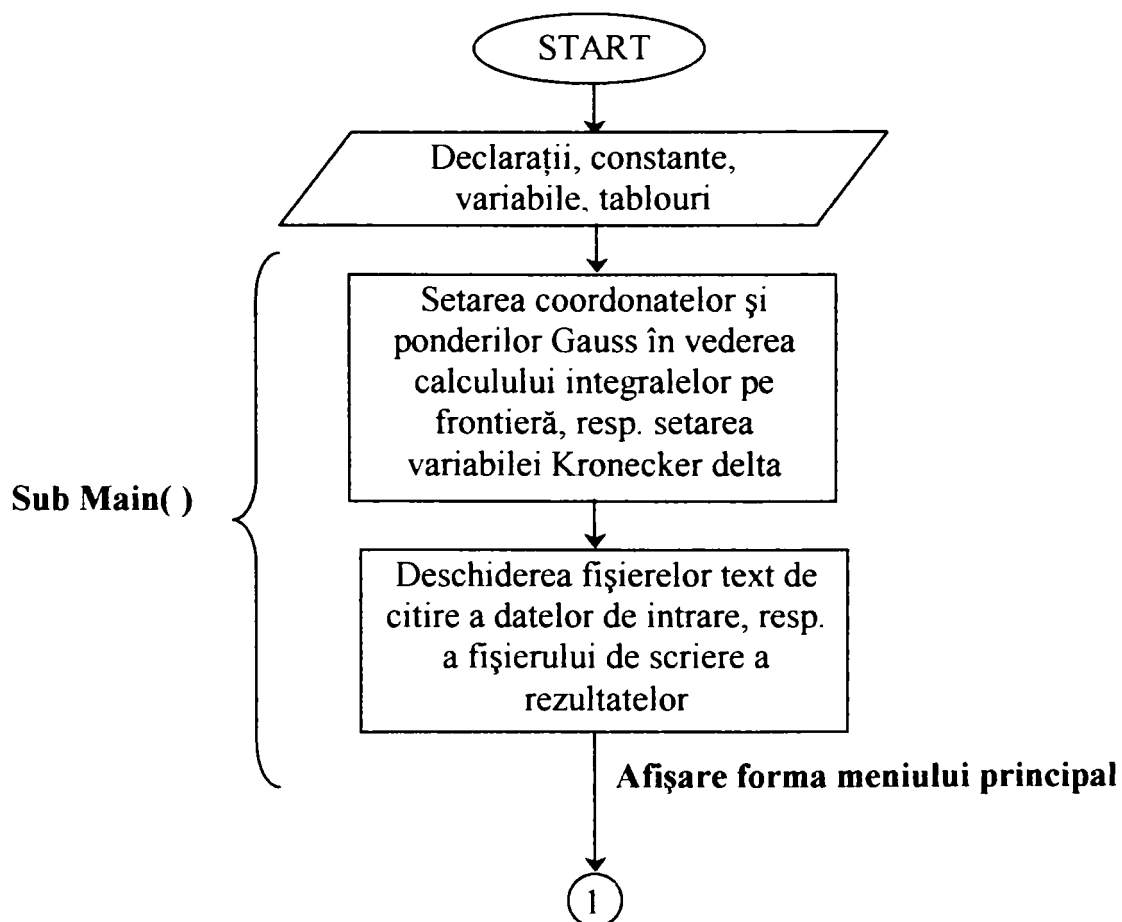
A) un modul de cod, care conține declararea variabilelor globale, un program principal de lansare în execuție **Sub main()** și două proceduri:

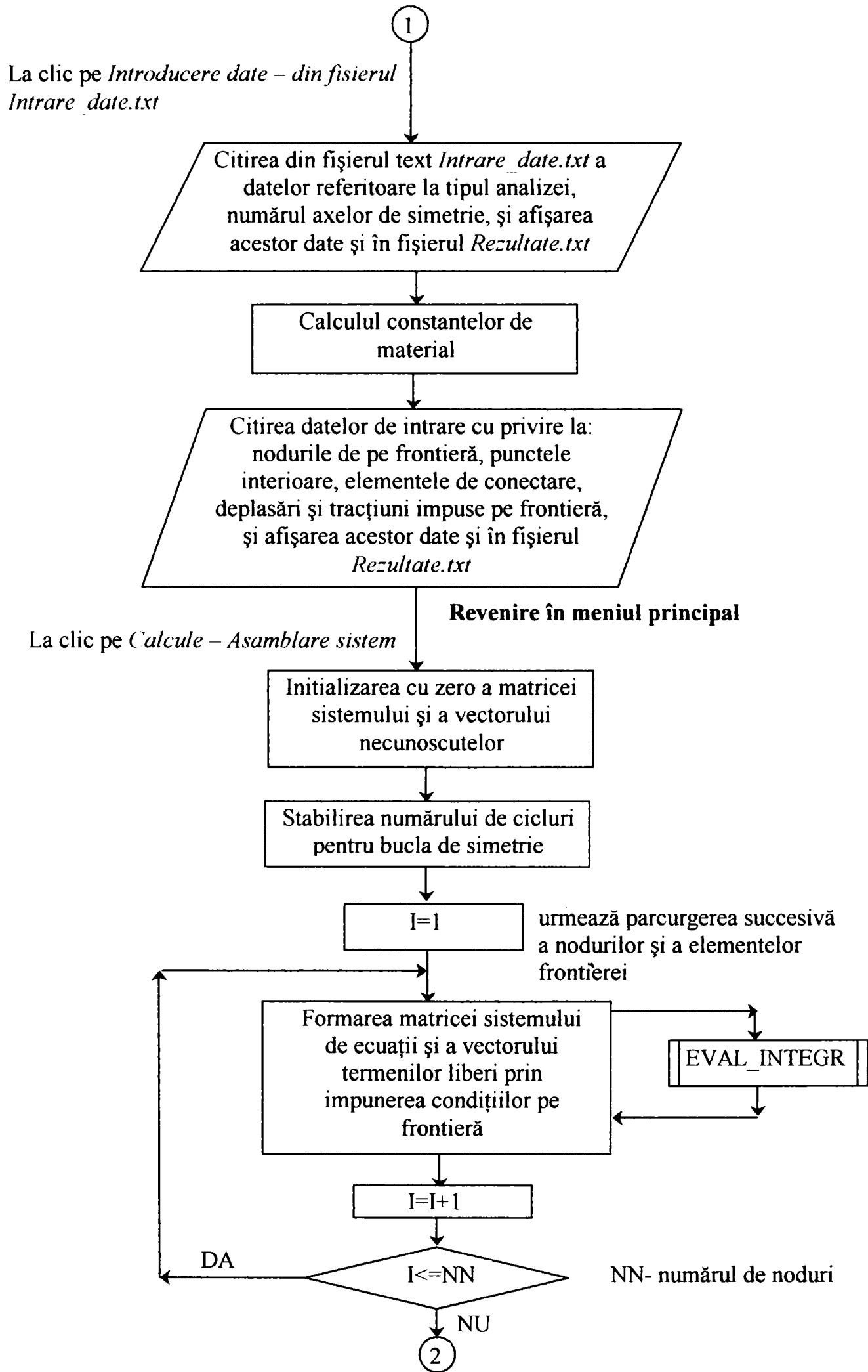
- **Eval_Integr**, care face evaluarea numerică sau analitică a integralelor pe fiecare element de frontieră, și
- **Rezolv_sistem**, care are rolul de a găsi soluțiile sistemului de ecuații algebrice liniare care conține necunoscutele nodale;

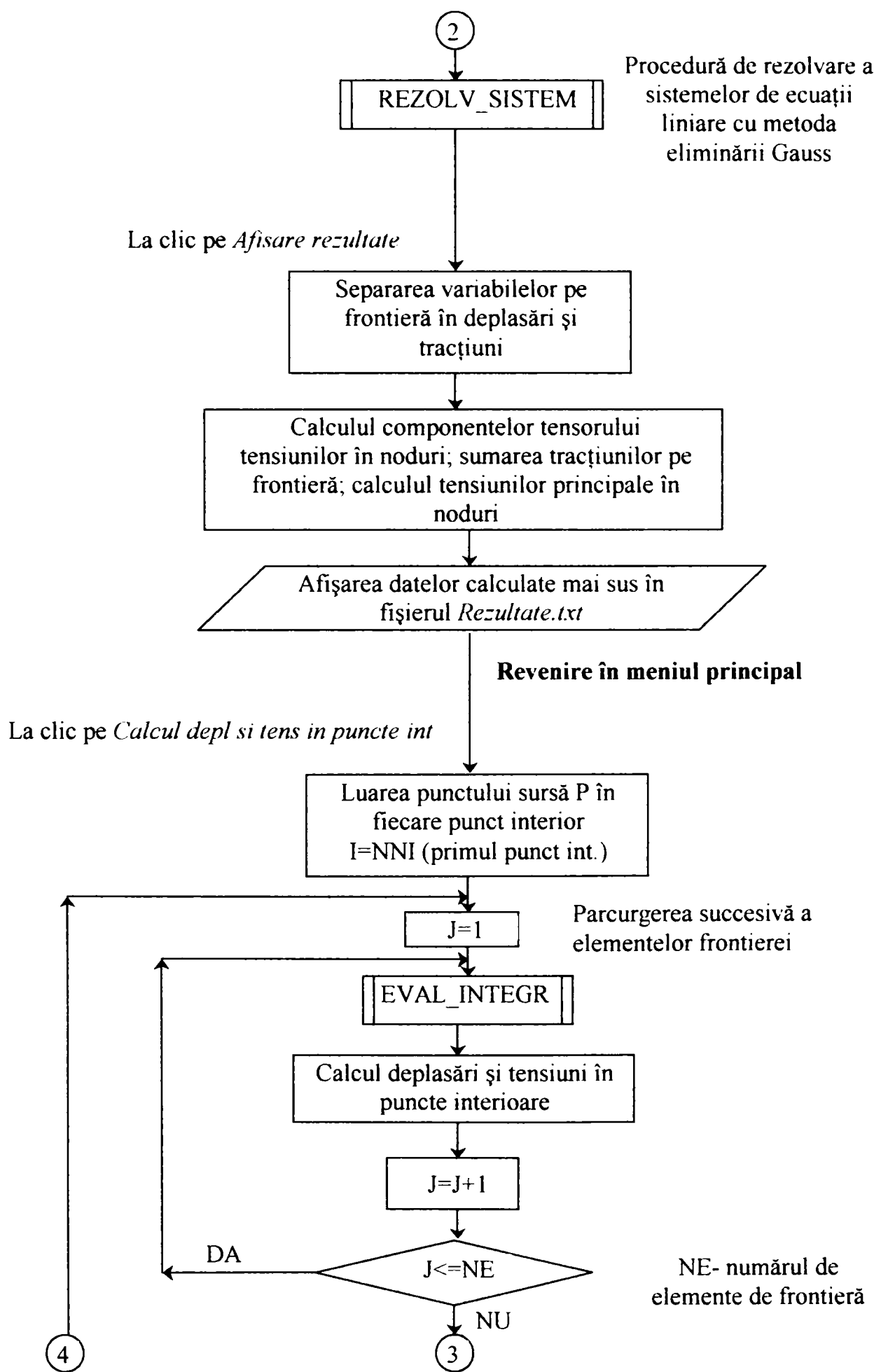
B) o formă cu meniul prezentat în Fig. 3.8.4, formă care conține la rândul ei câte o procedură pentru fiecare opțiune de meniu:

- **INTRO_DAT**, este procedura apelată la clic pe subopțiunea *din fișierul Intrare date.txt* a meniului *Introducere date*, și ea face citirea datelor din acest fișier text și calculul câtorva constante de material;
- **ASAMBL_SISTEM**, este procedura apelată la clic pe subopțiunea *Asamblare sistem* din meniul *Calcule*; ea are rolul de a calcula valorile coeficienților de influență din matricile **[H]** și **[G]** – v. ecuațiile (3.3.34, 3.3.49), și de a forma matricea **[A]** și vectorul termenilor liberi **[F]** (notat cu **[B]** în program) al sistemului de ecuații algebrice liniare (3.3.35).
- **P_INT**, se apelează la alegerea opțiunii *Calcul depl și tens în puncte int* a meniului *Calcule*, și ea face, așa cum spune și denumirea ei, calculul deplasărilor și tensiunilor în puncte interioare domeniului soluției.
- **IESIRE_DAT**, se apelează la alegerea opțiunii *Afisare rezultate* și ea face separarea variabilelor nodale în deplasări și tensiuni nodale, calculează componentele tensorului tensiunilor în nodurile frontierei, precum și tensiunile principale, direcțiile principale și tensiunile echivalente în nodurile frontierei, salvând totodată aceste rezultate în fișierul text de ieșire *Rezultate.txt*.

Schematic, algoritmul programului ar putea fi redat ca în Fig. 3.8.5.







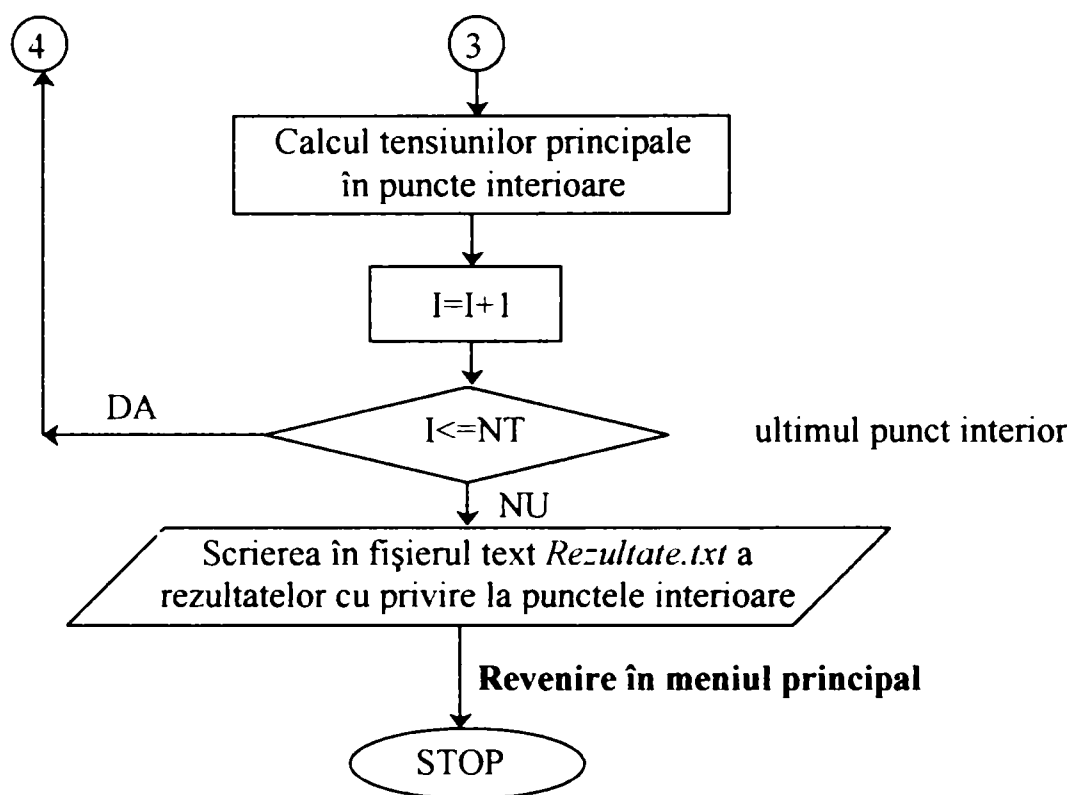


Fig. 3.8.5

Ca și exemplu numeric s-a considerat o placă plană, de formă pătrată solicitată la compresiune și fixată pe două suprafețe laterale între doi pereți considerați ca rigide nedeformabile (v. Fig. 3.8.6 a). Placa se află într-o stare plană de tensiune și prezintă simetrie geometrică și de încărcare. Din acest motiv s-a discretizat numai un sfert din frontiera plăcii (Fig.3.8.6. b). Dimensiunile acesteia sunt 200x200 mm iar grosimea unitară. Proprietățile elastice ale materialului sunt: modulul de elasticitate longitudinal $E=2000$ Mpa, iar coeficientul de contracție transversală $\nu=0.3$. S-a considerat că placa este supusă la o solicitare de compresiune uniformă cu tensiunea $\sigma_{xx} = 100$ Mpa. Frontiera piesei a fost împărțită în 4 elemente delimitate de 6 noduri, condițiile de frontieră fiind: tensiuni cunoscute în nodurile 1,2 și 3 iar în nodurile 4,5 și 6 s-a impus imposibilitatea deplasării acestor noduri pe direcția axei Oy.

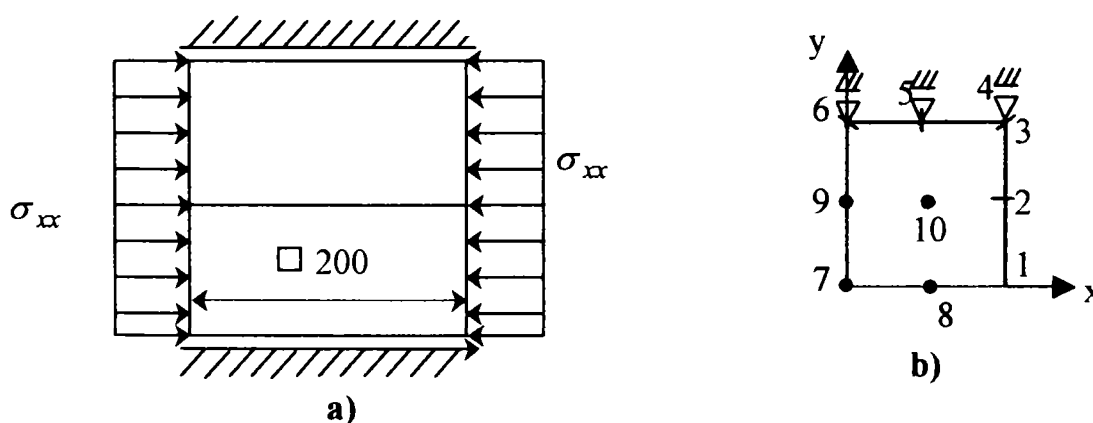


Fig. 3.8.6

Codul sursă al programului realizat în limbajul Visual Basic, resp. fișierele de intrare și de ieșire date sunt date în continuare:

Cod sursă al programului de element de frontieră pentru probleme bidimensionale**Module 1:**

```

Public Const MAXDIM = 400
Public X(0 To MAXDIM) As Single, Y(0 To MAXDIM) As Single, Idub(0 To MAXDIM) As Integer
Public Isim(1 To MAXDIM) As Integer, D(1 To 2, 1 To 2) As Single
Public Inc(1 To MAXDIM, 1 To 2) As Integer, Elung(1 To MAXDIM) As Single
Public CoG(1 To 6, 1 To 3) As Single, Pon(1 To 6, 1 To 3) As Single
Public ICFr(1 To MAXDIM) As Integer, Ct(1 To 12) As Single
Public Trac(1 To MAXDIM) As Single, Depl(1 To MAXDIM) As Single
Public Tip_problema As Integer, NREC As Integer
Public Coef_Poisson As Single, modul_E As Single, modul_G As Single
Public H(1 To 2, 1 To 4) As Single, G(1 To 2, 1 To 4) As Single
Public HP(1 To 3, 1 To 4) As Single, GP(1 To 3, 1 To 4) As Single
Public HT(1 To 2) As Single, GT(1 To 2) As Single
Public NN As Integer, NE As Integer, NT As Integer, ISym As Integer
Public A(1 To MAXDIM, 1 To MAXDIM) As Single, XNEC(1 To MAXDIM) As Single, B(1 To MAXDIM) As
Single
Public Ten(1 To MAXDIM / 2, 1 To 8) As Single
Public Den_Probl As String, PI As Single
Public J As Integer, ising As Integer, I As Integer, Xp As Single, Yp As Single, ksim As Integer, iinc As Integer, isf
As Integer
Public iend As Integer

```

Sub main()

```
PI = 4 * Atn(1)
```

'Coordonate si ponderi Gauss

```

CoG(1, 3) = -0.9324695142
CoG(2, 3) = -0.661209386466
CoG(3, 3) = -0.238619186083
CoG(4, 3) = -CoG(3, 3)
CoG(5, 3) = -CoG(2, 3)
CoG(6, 3) = -CoG(1, 3)
Pon(1, 3) = 0.171324492379
Pon(2, 3) = 0.360761573048
Pon(3, 3) = 0.467913934572
Pon(4, 3) = Pon(3, 3)
Pon(5, 3) = Pon(2, 3)
Pon(6, 3) = Pon(1, 3)
CoG(1, 2) = -0.861136311594
CoG(2, 2) = -0.339981043584
CoG(3, 2) = -CoG(2, 2)
CoG(4, 2) = -CoG(1, 2)
Pon(1, 2) = 0.347854845137
Pon(2, 2) = 0.652145154862
Pon(3, 2) = Pon(2, 2)
Pon(4, 2) = Pon(1, 2)
CoG(1, 1) = -0.577350269189
CoG(2, 1) = -CoG(1, 1)
Pon(1, 1) = 1
Pon(2, 1) = 1

```

'Valorile variabilei Kronecker delta

```
D(1, 1) = 1: D(2, 2) = 1: D(1, 2) = 0: D(2, 1) = 0
```

'Deschiderea fisierelor de intrare si de iesire

```

Open "D:\cornelia\coco\doctorat\programe\coco\mefr\Intr_date.txt" For Input As #2
Open "D:\cornelia\coco\doctorat\programe\coco\mefr\Rezultate.txt" For Output As #3
Form1.Show
End Sub

```

Sub Eval_Integr(JA As Integer, ising As Integer, IA As Integer, Xp As Single, Yp As Single, isime As Integer, iinc As Integer, isf As Integer)

'Evaluarea numerica sau analitica a integralelor pe elementele de frontiera

'Formarea submatricelor H si G a coeficientilor de influenta

Dim RNXY(1 To 2) As Single, DRXY(1 To 2) As Single

Dim UIJK(1 To 2, 1 To 2, 1 To 2) As Single, TIJK(1 To 2, 1 To 2, 1 To 2) As Single

Dim UIJ(1 To 2, 1 To 2) As Single, TIJ(1 To 2, 1 To 2) As Single

Dim FFor(1 To 2) As Single

Dim W As Integer

Dim V As Integer

'Initializarea matricilor H, G, HT, GT si HP, GP cu zero

For k = 1 To 2

HT(k) = 0

GT(k) = 0

For W = 1 To 4

H(k, W) = 0

G(k, W) = 0

Next W

Next k

For k = 1 To 3

For W = 1 To 4

HP(k, W) = 0

GP(k, W) = 0

Next W

Next k

ki = Inc(JA, 1)

kt = Inc(JA, 2)

difx = X(kt) - X(ki)

dify = Y(kt) - Y(ki)

'Stabilirea nodului in care se afla singularitatea

If ising <> 4 Then

If isime = 1 Or Isim(IA) = (isime - 1) Then

If IA = ki Or IA = Idub(ki) Then ising = 1

If IA = kt Or IA = Idub(kt) Then ising = 2

End If

End If

'Stabilirea numarului de puncte de integrare la 2, 4 sau 6

xyj = 0.5 * Sqr((2 * Xp - X(ki) - X(kt)) ^ 2 + (2 * Yp - Y(ki) - Y(kt)) ^ 2) / Elung(JA)

npi = 4

If xyj > 5.5 Then npi = 2

If xyj <= 1.5 Then npi = 6

inp = npi / 2

'Valorile cosinusurilor directe ale normalei la frontiera domeniului solutiei

RNXY(1) = dify / Elung(JA)

RNXY(2) = -difx / Elung(JA)

'Integrare numerica

For kk = 1 To npi

Xq = 0.5 * (1 + CoG(kk, inp)) * difx + X(ki) - Xp

Yq = 0.5 * (1 + CoG(kk, inp)) * dify + Y(ki) - Yp

r = Sqr(Xq ^ 2 + Yq ^ 2)

'Vectorul functiilor de forma pt. elemente liniare

FFor(1) = 0.25 * (1 - CoG(kk, inp)) * Elung(JA)

FFor(2) = 0.25 * (1 + CoG(kk, inp)) * Elung(JA)

DRXY(1) = Xq / r

```

DRXY(2) = Yq / r
drdn = DRXY(1) * RNXY(1) + DRXY(2) * RNXY(2)
For V = 1 To 2
  For W = 1 To 2
    UIJ(V, W) = -Ct(1) * (Ct(2) * Log(r) * D(V, W) - DRXY(V) * DRXY(W))
    TIJ(V, W) = -Ct(3) * ((Ct(4) * D(V, W) + 2 * DRXY(V) * DRXY(W)) * drdn + Ct(4) * (DRXY(W) *
RNXY(V) - DRXY(V) * RNXY(W))) / r
  Next W
Next V
For k = 1 To 2
  ic = 0
  For kj = 1 To 2
    For jj = 1 To 2
      ic = ic + 1
      If ising <> kj Then H(k, ic) = H(k, ic) + TIJ(k, jj) * FFor(kj) * Pon(kk, inp)
      G(k, ic) = G(k, ic) + UIJ(k, jj) * FFor(kj) * Pon(kk, inp)
    Next jj
  Next kj
Next k

```

'Integrare numerica - Deplasari si tensiuni in puncte interioare

```

If ising = 4 Then
  For k = 1 To 2
    For W = k To 2
      For V = 1 To 2
        UIJK(k, W, V) = Ct(3) * (Ct(4) * (DRXY(W) * D(V, k) + DRXY(k) * D(V, W) - DRXY(V) * D(k, W)) + 2 *
DRXY(k) * DRXY(W) * DRXY(V)) / r
        b1 = 2 * drdn * (Ct(4) * DRXY(V) * D(k, W) + Coef_Poisson * (DRXY(W) * D(k, V) + DRXY(k) * D(W,
V)) - 4 * DRXY(V) * DRXY(W) * DRXY(k))
        b2 = 2 * Coef_Poisson * (RNXY(k) * DRXY(W) * DRXY(V) + RNXY(W) * DRXY(V) * DRXY(k))
        b3 = Ct(4) * (2 * RNXY(V) * DRXY(k) * DRXY(W) + RNXY(W) * D(k, V) + RNXY(k) * D(W, V))
        TIJK(k, W, V) = Ct(6) * (b1 + b2 + b3 - Ct(7) * RNXY(V) * D(k, W)) / r ^ 2
      Next V
    Next W
  Next k
  IL = 0
  For k = 1 To 2
    For W = k To 2
      ic = 0
      IL = IL + 1
      For ik = 1 To 2
        For jk = 1 To 2
          ic = ic + 1
          HP(IL, ic) = HP(IL, ic) + TIJK(k, W, jk) * FFor(ik) * Pon(kk, inp)
          GP(IL, ic) = GP(IL, ic) + UIJK(k, W, jk) * FFor(ik) * Pon(kk, inp)
        Next jk
      Next ik
    Next W
  Next k
End If
Next kk
If ising <= 2 Then

```

'Integrare analitica

```

ctx = Ct(5) * difx * difx / Elung(JA)
cty = Ct(5) * dify * dify / Elung(JA)
ctxy = Ct(5) * difx * dify / Elung(JA)
cl1 = Ct(12) * Elung(JA) * (1.5 - Log(Elung(JA)))
cl2 = Ct(12) * Elung(JA) * (0.5 - Log(Elung(JA)))
G(1, 1) = ctx
G(1, 2) = ctxy
G(1, 3) = cty

```

```

G(1, 4) = ctxy
G(2, 1) = ctxy
G(2, 2) = cty
G(2, 3) = ctxy
G(2, 4) = cty
If ising = 1 Then
  G(1, 1) = G(1, 1) + cl1
  G(1, 3) = G(1, 3) + cl2
  G(2, 2) = G(2, 2) + cl1
  G(2, 4) = G(2, 4) + cl2
Else
  G(1, 1) = G(1, 1) + cl2
  G(1, 3) = G(1, 3) + cl1
  G(2, 2) = G(2, 2) + cl2
  G(2, 4) = G(2, 4) + cl1
End If
End If
If isime <> 1 Then
  For V = iinc To isf
    For W = 1 To 4
      H(V, W) = -H(V, W)
      G(V, W) = -G(V, W)
    Next W
  Next V
  If ising = 4 And isime <> 4 Then
    For W = 1 To 4
      HP(2, W) = -HP(2, W)
      GP(2, W) = -GP(2, W)
    Next W
  End If
End If
MsgBox ("s-a efectuat integrarea!!")
End Sub

```

Sub rezolv_sistem(NREC As Integer, A() As Single, B() As Single, XNEC() As Single, eroare As Integer)

```

n1 = NREC - 1
For I = 1 To n1
  i1 = I
  For i2 = I To NREC
    If Abs(A(i1, I)) < Abs(A(i2, I)) Then i1 = i2
  Next i2
  If A(i1, I) <> 0 Then
    If i1 <> 1 Then
      For J = 1 To NREC
        Z = A(I, J)
        A(I, J) = A(i1, J)
        A(i1, J) = Z
      Next J
      Z = B(I)
      B(I) = B(i1)
      B(i1) = Z
    End If
    Z = A(I, I)
    For J = 1 To NREC
      A(I, J) = A(I, J) / Z
    Next J
    B(I) = B(I) / Z
    i1 = I + 1
    For J = i1 To NREC
      If A(J, I) <> 0 Then
        Z = A(J, I)
        For k = I To NREC

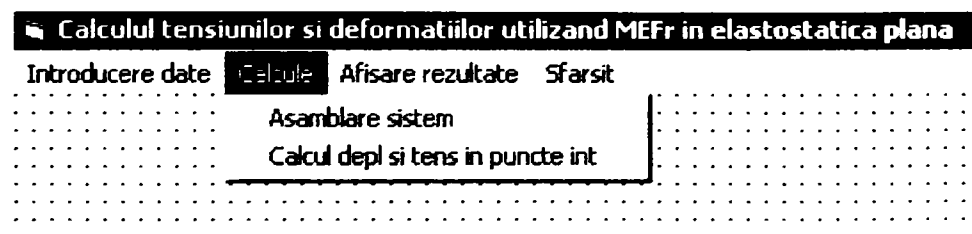
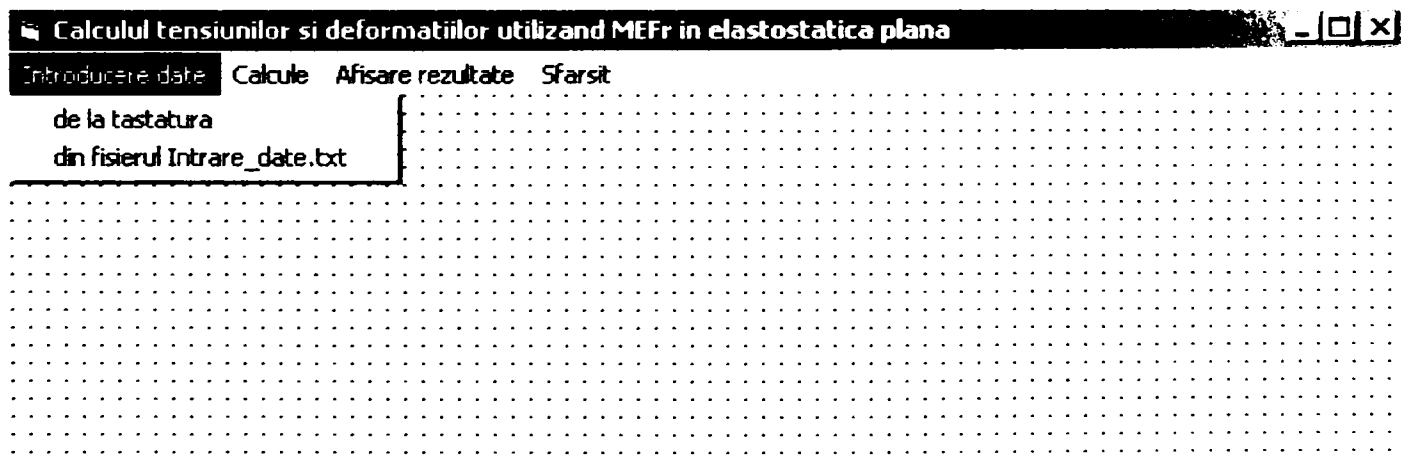
```

```

    A(J, k) = A(J, k) - Z * A(I, k)
  Next k
  B(J) = B(J) - B(I) * Z
End If
Next J
Else
  MsgBox ("Sistem incompatibil sau nedeterminat!")
  eroare = 1
  GoTo 200
End If
Next I
If A(NREC, NREC) <> 0 Then
  XNEC(NREC) = B(NREC) / A(NREC, NREC)
  For I = 1 To n1
    XNEC(NREC - I) = B(NREC - I)
    For k = 1 To I
      XNEC(NREC - I) = XNEC(NREC - I) - A(NREC - I, NREC - I + k) * XNEC(NREC - I + k)
    Next k
  Next I
  eroare = 0
Else
  eroare = NREC
  MsgBox ("Sistem incompatibil sau nedeterminat, matrice singulara in linia" & eroare)
  GoTo 200
End If
200 End Sub

```

Frmmeniu



Dim citire As String, eroare As Integer

```

Private Sub mnuafis_Click()
'Separarea variabilelor pe frontiera
nn2 = 2 * NN
For I = 1 To nn2
  If ICFr(I) <> 0 Then XNEC(I) = XNEC(I) * Ct(8)
Next I
For k = 1 To nn2
  If ICFr(k) = 0 Then

```



```

    Depl(k) = XNEC(k)
Else
    Depl(k) = Trac(k)
    Trac(k) = XNEC(k)
End If
Next k

```

'Salvarea datelor de iesire

```

Print #3, ""
Print #3, "Deplasari si sarcini in noduri"
Print #3, "*****"
Print #3, "Nod", "u", "v", "Tx", "Ty"
For ic = 1 To NN
    Print #3, ic, Depl(2 * ic - 1), Depl(2 * ic), Trac(2 * ic - 1), Trac(2 * ic)
Next ic
For k = 1 To NT
    For J = 1 To 8
        Ten(k, J) = 0
    Next J
Next k
Tx = 0
Ty = 0

```

'Calculul componentelor tensorului tensiunilor in noduri**'Sumarea tractiunilor pe frontiera**

```

For J = 1 To NE
    ki = Inc(J, 1)
    kt = Inc(J, 2)
    If ISym <> 2 Then
        Tx = Tx + (Trac(2 * ki - 1) + Trac(2 * kt - 1)) * Elung(J) / 2
        Ty = Ty + (Trac(2 * ki) + Trac(2 * kt)) * Elung(J) / 2
    End If
    rmx = (Y(kt) - Y(ki)) / Elung(J)
    rmy = (X(ki) - X(kt)) / Elung(J)
    For jn = 1 To 2
        ic = Inc(J, jn)
        fct = 2
        If Idub(ic) <> 0 Or Isim(ic) <> 0 Then fct = 1
        t12 = Trac(2 * ic) * rmx - Trac(2 * ic - 1) * rmy
        t22 = Trac(2 * ic - 1) * rmx + Trac(2 * ic) * rmy
        eps = (rmy * Depl(2 * ki - 1) - rmx * Depl(2 * ki) - rmy * Depl(2 * kt - 1) + rmx * Depl(2 * kt)) / Elung(J)
        tii = Ct(9) * t22 + Ct(8) * eps
        c1 = rmx ^ 2
        c2 = rmy ^ 2
        c3 = rmx * rmy
        Ten(ic, 1) = Ten(ic, 1) + (t11 * c2 + t22 * c1 - 2 * t12 * c3) / fct
        Ten(ic, 2) = Ten(ic, 2) + (t11 * c1 + t22 * c2 + 2 * t12 * c3) / fct
        Ten(ic, 3) = Ten(ic, 3) + ((t22 - t11) * c3 + t12 * (c1 - c2)) / fct
        Ten(ic, 4) = Ct(11) * (Ten(ic, 1) + Ten(ic, 2))
        If Isim(ic) <> 0 Then Ten(ic, 3) = 0
    Next jn

```

'Tensiuni principale in noduri

```

    c1 = 0.5 * (Ten(ic, 1) + Ten(ic, 2))
    c2 = 0.5 * Sqr((Ten(ic, 1) - Ten(ic, 2)) ^ 2 + 4 * Ten(ic, 3) ^ 2)
    Ten(ic, 5) = c1 + c2
    Ten(ic, 6) = c1 - c2
    Ten(ic, 7) = Sqr(0.5 * ((Ten(ic, 5) - Ten(ic, 6)) ^ 2 + (Ten(ic, 5) - Ten(ic, 4)) ^ 2 + (Ten(ic, 6) - Ten(ic, 4)) ^ 2))
    Ten(ic, 8) = 90
    If Abs(Ten(ic, 1) - Ten(ic, 2)) >= 0.0001 Then
        Ten(ic, 8) = 90 * Atn(2 * Ten(ic, 3) / (Ten(ic, 1) - Ten(ic, 2))) / PI
    End If
Next jn

```

```

Next J
If ISym <> 0 Then
  If ISym = 1 Then Ty = 0
End If
Print #3, "Suma traciunilor pe frontiera:"
Print #3, "Suma trac. Txx=", Tx, "Suma trac. Tyy=", Ty
Print #3, ""
Print #3, "Tensiuni in noduri"
Print #3, "*****"
Print #3, "Nod", "Sxx", "Syy", "Sxy", "Szz"
For I = 1 To NN
  Print #3, I,
  For J = 1 To 4
    Print #3, Ten(I, J),
  Next J
  Print #3,
Next I
Print #3,
Print #3, "Tensiuni principale in noduri"
Print #3, "*****"
Print #3, "Nod", "Sigma 1", "Sigma 2", "Sigma ech.", "Alfa"
For I = 1 To NN
  Print #3, I,
  For J = 5 To 8
    Print #3, Ten(I, J),
  Next J
  Print #3,
Next I
End Sub

```

Private Sub ASAMBL_SISTEM_Click()

'Parcurgerea succesiva a nodurilor si a elementelor frontierei

'Formarea matricei sistemului de ecuatii si a vectorului termenilor

'liberi prin impunerea conditiilor pe frontiera

Dim DIAGE(1 To 2, 1 To 2) As Single, J As Integer, I As Integer, ksim As Integer

NREC = 2 * NN

'Initializarea cu zero a matricei sistemului si a vectorului necunoscutelor

For k = 1 To NREC

 XNEC(k) = 0

 For J = 1 To NREC

 A(k, J) = 0

 Next J

Next k

'Stabilirea numarului de cicluri pt. bucla de simetrie

iend = 1

If ISym = 1 Then iend = 2

If ISym = 2 Then iend = 4

'Bucla de simetrie

For ksim = 1 To iend

 If ksim = 4 Then

 iinc = 1

 isf = 2

 Else

 If ksim = 2 Then

 iinc = 4 - ksim

 isf = iinc

 End If

 End If

'Luarea punctului sursa P in fiecare nod al frontierei

```

For I = 1 To NN
  Print "Simetrie:" & ksim, "nod:" & I
  Xp = X(I)
  Yp = Y(I)
  If ksim = 2 Or ksim = 4 Then Yp = -Yp
  If ksim > 3 Then Xp = -Xp

```

'Initializarea cu zero a elementelor diagonale

```

For ki = 1 To 2
  For kj = 1 To 2
    DIAGE(ki, kj) = 0
  Next kj
Next ki
For J = 1 To NE
  ising = 3

```

Eval_Integr J, ising. I, Xp, Yp, ksim, iinc, isf

```

For k = 1 To 2
  jj = 2 * (I - 1) + k
  inn = 0
  For IL = 1 To 2
    For ICOL = 1 To 2
      inn = inn + 1
      ic = 2 * Inc(J, IL) + ICOL - 2
      If ICFr(ic) <> 0 Then
        A(jj, ic) = A(jj, ic) - G(k, inn) * Ct(8)
        XNEC(jj) = XNEC(jj) - H(k, inn) * Trac(ic)
      Else
        A(jj, ic) = A(jj, ic) + H(k, inn)
        XNEC(jj) = XNEC(jj) + G(k, inn) * Trac(ic)
      End If
      If ksim = 2 And ICOL = 2 Then H(k, inn) = -H(k, inn)
      If ksim = 3 And ICOL = 1 Then H(k, inn) = -H(k, inn)
      If ksim = 4 Then H(k, inn) = -H(k, inn)
      DIAGE(k, ICOL) = DIAGE(k, ICOL) - H(k, inn)
    Next ICOL
  Next IL
Next k
Next J

```

'Coeficienti diagonali

```

jj = 2 * I - 1
If ICFr(jj) = 0 Then
  A(jj, jj) = A(jj, jj) + DIAGE(1, 1)
  A(jj + 1, jj) = A(jj + 1, jj) + DIAGE(2, 1)
Else
  XNEC(jj) = XNEC(jj) - DIAGE(1, 1) * Trac(jj)
  XNEC(jj + 1) = XNEC(jj + 1) - DIAGE(2, 1) * Trac(jj)
End If
jj = 2 * I
If ICFr(jj) = 0 Then
  A(jj - 1, jj) = A(jj - 1, jj) + DIAGE(1, 2)
  A(jj, jj) = A(jj, jj) + DIAGE(2, 2)
Else
  XNEC(jj - 1) = XNEC(jj - 1) - DIAGE(1, 2) * Trac(jj)
  XNEC(jj) = XNEC(jj) - DIAGE(2, 2) * Trac(jj)
End If
Next I
Next ksim
MsgBox ("sfarsit rutina sistem")
For I = 1 To NREC

```

```

B(I) = XNEC(I)
XNEC(I) = 0
Next I
MsgBox ("nrec=" & NREC)
rezolv_sistem NREC, A, B, XNEC, eroare
If eroare = 0 Then
  MsgBox ("S-a rezolvat sistemul de ecuatii algebrice prin metoda eliminarii a lui Gauss")
  For I = 1 To NREC
    MsgBox ("xnec" & I & "=" & XNEC(I))
  Next I
  MsgBox ("Dati click pe optiunea Afisare rezultate pentru a obtine fisierul de iesire Rezultate.txt!")
End If
End Sub

```

```

Private Sub INTRO_DAT_Click()
  Input #2, Den_Probl
  Print #3, Den_Probl
  Print #3, "=====

```

'Date referitoare la tipul analizei

```

NP = 0
NDE = 0
NTR = 0
Input #2, ISym, Tip_problema, Coef_Poisson, modul_E
maxnod = MAXDIM/2
maxele = MAXDIM/2
For I = 1 To maxnod
  Isim(2 * I - 1) = 0: Isim(2 * I) = 0
  ICFr(2 * I - 1) = 0: ICFr(2 * I) = 0
  Depl(2 * I - 1) = 0: Depl(2 * I) = 0
  Trac(2 * I - 1) = 0: Trac(2 * I) = 0
Next I
Print #3, "Numarul de axe de simetrie", "ISYM=" & ISym
Print #3, "Modul de elasticitate", "E=" & modul_E
Print #3, "Coeficientul lui Poisson", "P=" & Coef_Poisson
modul_G = modul_E / (2 * (1 + Coef_Poisson))
Ct(11) = Coef_Poisson
If Tip_problema = 1 Then
  Coef_Poisson = Coef_Poisson / (1 + Coef_Poisson)
  Ct(11) = 0
  Print #3, "Stare plana de tensiune"
Else
  Print #3, "Stare plana de deformatie"
End If

```

'Calculul constantelor de material

```

Ct(2) = 3 - 4 * Coef_Poisson
Ct(3) = 1 / (4 * PI * (1 - Coef_Poisson))
Ct(4) = 1 - 2 * Coef_Poisson
Ct(6) = 2 * Ct(3) * modul_G
Ct(7) = 1 - 4 * Coef_Poisson
Ct(1) = Ct(3) / 2 / modul_G
Ct(5) = Ct(1) / 2
Ct(8) = 2 * modul_G / (1 - Coef_Poisson)
Ct(9) = Coef_Poisson / (1 - Coef_Poisson)
Ct(10) = (2 - Coef_Poisson) / (1 - Coef_Poisson)
Ct(12) = Ct(5) * Ct(2)

```

'Citirea datelor de intrare

```

Do
  Input #2, citire
  Select Case UCase(citire)

```

```

Case "NODURI PE FRONTIERA"
  NN = 0
  For I = 1 To maxnod
    Input #2, k
    Input #2, X(k)
    Input #2, Y(k)
    Input #2, Idub(k)
    'Print #3, k, X(k), Y(k), Idub(k)
    If k = 0 Then Exit For
    NN = NN + 1
    If (X(k) = 0 And ISym = 2) Then Isim(k) = 2
    If (Y(k) = 0 And ISym > 0) Then Isim(k) = 1
  Next I
Case "PUNCTE INTERIOARE"
  NNI = NN + 1
  For I = NNI To MAXDIM
    Input #2, k
    Input #2, X(k)
    Input #2, Y(k)
    'Print #3, k, X(k), Y(k)
    If k = 0 Then Exit For
    If (X(k) = 0 And ISym = 2) Then Isim(k) = 2
    If (Y(k) = 0 And ISym > 0) Then Isim(k) = 1
    If ((X(k) = 0 And Y(k) = 0) And ISym = 2) Then Isim(k) = 3
    NP = NP + 1
  Next I
Case "ELEMENTE CONECTARE"
  NE = 0
  For I = 1 To maxele
    Input #2, ki, nod1, nod2
    If ki = 0 Then Exit For
    NE = NE + 1
    Inc(ki, 1) = nod1
    Inc(ki, 2) = nod2
    Elung(ki) = Sqr((X(nod2) - X(nod1)) ^ 2 + (Y(nod2) - Y(nod1)) ^ 2)
  Next I
Case "DEPLASARI IMPUSE PE FRONTIERA"
  For I = 1 To maxnod
    Input #2, inod, dxx, dyy, ix, iyy
    If inod = 0 Then Exit For
    NDE = NDE + 1
    Trac(2 * inod - 1) = dxx
    Trac(2 * inod) = dyy
    ICFr(2 * inod - 1) = ix
    ICFr(2 * inod) = iyy
  Next I
Case "TRACTIUNI IMPUSE PE FRONTIERA"
  For I = 1 To maxnod
    Input #2, inod, txx, tyy
    If inod = 0 Then Exit For
    NTR = NTR + 1
    Trac(2 * inod - 1) = txx
    Trac(2 * inod) = tyy
  Next I
End Select
Loop Until UCase(citire) = "END"

'Salvarea datelor de intrare in fisierul de iesire
Print #3, "Numarul de elemente", "NE=", NE
Print #3, "Numarul de noduri", "NN=", NN
Print #3, "Numarul de puncte", "NP=", NP
Print #3, "======"

```

```

Print #3, "Coordonatele nodurilor frontierei"
Print #3, "======"
Print #3, "Nod", "X", "Y", "Dublu simetrie"
For k = 1 To NN
  Print #3, k, X(k), Y(k), Idub(k), Isim(k)
Next k
NT = NN + NP
If NP > 0 Then
  Print #3, "======"
  Print #3, "Coordonatele punctelor interioare"
  Print #3, "======"
  Print #3, "Punct", "X", "Y", "Simetrie"
  For I = NNI To NT
    Print #3, I, X(I), Y(I), Isim(I)
  Next I
End If
Print #3, "======"
Print #3, "Conectarea elementelor"
Print #3, "======"
Print #3, "Element", "Inceput - Sfarsit", "Lungime"
For I = 1 To NE
  Print #3, I, Inc(I, 1), Inc(I, 2), Elung(I)
Next I
If NDE > 0 Then
  Print #3, "======"
  Print #3, "Se prescriu deplasari in nodurile:"
  Print #3, "======"
  Print #3, "Nod", "Uxx", "Uyy", "Cond_front.", "Cond_front."
  For I = 1 To NN
    If ICFr(2 * I - 1) <> 0 Or ICFr(2 * I) <> 0 Then
      Print #3, I, Trac(2 * I - 1), Trac(2 * I), ICFr(2 * I - 1), ICFr(2 * I)
    End If
  Next I
End If
If NTR > 0 Then
  Print #3, "======"
  Print #3, "Se prescriu sarcini in nodurile:"
  Print #3, "======"
  Print #3, "Nod", "Txx", "Tyy"
  For I = 1 To NN
    If ICFr(2 * I - 1) = 0 And ICFr(2 * I) = 0 Then
      If Trac(2 * I - 1) <> 0 Or Trac(2 * I) <> 0 Then
        Print #3, I, Trac(2 * I - 1), Trac(2 * I)
      End If
    End If
  Next I
End If
If NN > maxnod Then
  MsgBox ("Numar prea mare de noduri:" & NN & ">" & maxnod)
End If
If NT > MAXDIM Then
  MsgBox ("Numar de noduri si puncte mai mare de 400: NT=" & NT)
End If
eroare = 0
If NN > maxnod Or NE > maxele Or NT > MAXDIM Then
  MsgBox " Au aparut erori in fisierul de intrare!!!"
End
End If
MsgBox ("OK- Citirea datelor! Dati click pe optiunea Calcule pentru continuare!")
End Sub

```

```
Private Sub P_INT_Click()
```

```

Dim u(1 To 2)
ising = 4
nni = NN + 1
Print #3, "Deplasari si tensiuni in puncte interioare"
Print #3, "Punct", "Uy", "Ux", "Sxx", "Syy", "Sxy", "Szz"
For I = nni To NT
  u(1) = 0: u(2) = 0
  For J = 1 To 4
    Ten(I, J) = 0
  Next J
' Bucla de simetrie
For ksim = 1 To iend
  Xp = X(I)
  Yp = Y(I)
  If ksim = 2 Or ksim = 4 Then Yp = -Yp
  If ksim > 3 Then Xp = -Xp
  If ksim = 2 Or ksim = 3 Then
    iinc = 4 - ksim
    isf = iinc
  Else
    If ksim = 4 Then
      iinc = 1
      isf = 2
    End If
  End If
' Parcurgerea elementelor frontierei
For J = 1 To NE
  Eval_Integr J, ising, I, Xp, Yp, ksim, iinc, isf
  ' Deplasari si tensiuni in puncte interioare
  For k = 1 To 3
    ij = 0
    For kx = 1 To 2
      For kv = 1 To 2
        ij = ij + 1
        ic = 2 * Inc(J, kx) + kv - 2
        If k < 3 Then u(k) = u(k) - H(k, ij) * Depl(ic) + G(k, ij) * Trac(ic)
        Ten(I, k) = Ten(I, k) - HP(k, ij) * Depl(ic) + GP(k, ij) * Trac(ic)
      Next kv
    Next kx
  Next k
Next J
Next ksim
tx = Ten(1, 2)
Ten(1, 2) = Ten(1, 3)
Ten(1, 3) = tx
c1 = Ten(I, 1) + Ten(I, 2)
Ten(I, 4) = ci * Ct(11)
' Tensiuni principale in puncte interioare
c2 = Sqr((Ten(I, 1) - Ten(I, 2)) ^ 2 + 4 * Ten(I, 3) ^ 2)
Ten(I, 5) = 0.5 * (c1 + c2)
Ten(I, 6) = 0.5 * (c1 - c2)
Ten(I, 7) = Sqr(0.5 * ((Ten(I, 5) - Ten(I, 6)) ^ 2 + (Ten(I, 5) - Ten(I, 4)) ^ 2 + (Ten(I, 6) - Ten(I, 4)) ^ 2))
Ten(I, 8) = 90
If Abs(Ten(I, 1) - Ten(I, 2)) >= 0.001 Then Ten(I, 8) = 90 * Atn(2 * Ten(I, 3) / (Ten(I, 1) - Ten(I, 2))) / PI
Print #3, I, u(1), u(2), Ten(I, 1), Ten(I, 2), Ten(I, 3), Ten(I, 4)
Next I
' Salvarea datelor pentru puncte interioare
Print #3, "Tensiuni principale in puncte interioare"
Print #3, "Punct", "Sigma 1", "Sigma 2", "Sigma echiv.", "Alfa"
For I = nni To NT
  Print #3, I, Ten(I, 5), Ten(I, 6), Ten(I, 7), Ten(I, 8)
Next I

```


End Sub

Private Sub mnusf_Click()

Close #2

Close #3

End

End Sub

Fișierul de introducere a datelor "Intr_date.txt"

Placa plana- Elasticitate- Simetrie dubla

2, 1, 0.3, 2000

NODURI pe frontiera

1 100 0 0

2 100 50 0

3 100 100 4

4 100 100 3

5 50 100 0

6 0 100 0

0 0 0 0

PUNCTE interioare

7 0 0

8 50 0

9 0 50

10 50 50

0 0 0

ELEMENTE conectare

1 1 2

2 2 3

3 4 5

4 5 6

0 0 0

DEPLASARI impuse pe frontiera

4 0 0 0 1

5 0 0 0 1

6 0 0 0 1

0 0 0 0 0

TRACTIUNI impuse pe frontiera

1 -100 0

2 -100 0

3 -100 0

0 0 0

END

Fișierul de rezultate "Rezultate.txt"

Placa plana- Elasticitate- Simetrie dubla

=====

Numarul de axe de simetrie ISYM=2

Modul de elasticitate E=2000

Coeficientul lui Poisson P=0,3

Stare plana de tensiune

Numarul de elemente NE= 4

Numarul de noduri NN= 6

Numarul de puncte NP= 4

=====

Coordonatele nodurilor frontierei

=====

Nod	X	Y	Dublu simetrie	
1	100	0	0	1
2	100	50	0	0
3	100	100	4	0
4	100	100	3	0
5	50	100	0	0
6	0	100	0	2

=====

Coordonatele punctelor interioare

=====

Punct	X	Y	Simetrie
7	0	0	3
8	50	0	1
9	0	50	2
10	50	50	0

=====

Conectarea elementelor

```

=====
Element      Inceput - Sfarsit      Lungime
1            1         2           50
2            2         3           50
3            4         5           50
4            5         6           50
=====
Se prescriu deplasari in nodurile:
=====
Nod          Uxx          Uyy          Cond_front.  Cond_front.
4            0            0            0            1
5            0            0            0            1
6            0            0            0            1
=====
Se prescriu sarcini in nodurile:
=====
Nod          Txx          Tyy
1           -100         0
2           -100         0
3           -100         0

Deplasari si sarcini in noduri
*****
Nod          u            v            Tx            Ty
1           -4,55        0           -100           0
2           -4,55        0           -100           0
3           -4,55        0           -100           0
4           -4,55        0            0           -30
5           -2,275       0            0           -30
6            0            0            0           -30

Suma tractiunilor pe frontiera:
Suma trac. Txx=          0          Suma trac. Tyy=          0

Tensiuni in noduri
*****
Nod          Sxx          Syy          Sxy          Szz
1           -100         -30          0            0
2           -100         -30          0            0
3           -100         -30          0            0
4           -100,0001   -30          0            0
5           -100         -30          0            0
6           -100         -30          0            0

Tensiuni principale in noduri
*****
Nod          Sigma 1      Sigma 2      Sigma ech.    Alfa
1           -30         -100         88,882        0
2           -30         -100         88,8819       0
3           -30         -100         88,8819       0
4           -30         -100,0001   88,8820       0
5           -30         -100         88,8820       0
6           -30         -100         88,8820       0

```

CAPITOLUL 4

MECANICA PROBABILISTĂ A RUPERII. PROBLEME. PRINCIPII. MODELE. METODE. CONTRIBUȚII

§ 4.1. PLEDOARIE PENTRU „MECANICA PROBABILISTĂ A RUPERII”

4.1.1. Introducere

MECANICA SOLIDULUI DEFORMABIL (M.S.D.) reprezintă unul dintre cele mai moderne și mai explozive domenii de cercetare în profil mecanic; ea cuprinde două mari categorii de discipline științifice:

- **Discipline preponderent matematice** – teoria elasticității; teoria plasticității; termoelasticitatea; elastovâscoplasticitatea; termovâscoplasticitatea, atât pentru materiale omogene și izotrope cât și pentru materiale neomogene și anizotrope (materiale compozite). Toate acestea sunt domenii de știință fundamentale, care formulează și desăvârșesc bazele generale matematice ale ramurii considerate.
- **Discipline tehnice**, cu caracter ingineresc, aplicativ, cum ar fi: rezistența materialelor, oboseala materialelor, fluajul și relaxarea, stabilitatea echilibrului elastic, teoria solicitărilor de contact, statica și dinamica structurilor din bare și plăci, încercările de materiale, fiabilitatea și siguranța structurilor etc. Este adevărat că multe dintre acestea sunt astăzi ramuri de știință de-sine-stătătoare.

Cu toate rezultatele remarcabile acumulate în toate aceste domenii, încă de pe vremea lui Galileo Galilei și Robert Hooke, în tot secolul trecut (și chiar în zilele noastre) au avut loc o serie de „catastrofe celebre” [R26] care au surprins comunitatea oamenilor de știință și a inginerilor prin lipsa explicației și a suportului științific justificator. Au apărut astfel probleme noi care au cerut soluții noi, concepte de proiectare și de analiză a siguranței structurilor de rezistență de asemenea fundamental noi. Răspunzând la aceste cerințe a apărut o nouă disciplină, unanim recunoscută astăzi, denumită „MECANICA RUPERII” (M.R.). Considerăm că patru momente fundamentale au constituit începuturile acestei noi ramuri a (M.S.D.):

- Calculele efectuate de Kirsch în 1898 privind starea de tensiune dintr-o platbandă solicitată la tracțiune, având gaură circulară centrală; s-a demonstrat astfel analitic efectul de concentrare a tensiunilor în zona cu discontinuități geometrice acute, deși efectul nociv al concentratorilor era semnalat încă din 1843 de Rankine în legătură cu ruperea organelor de mașini rotative.
- Încercările lui August Wöhler, începute încă din 1847, care au condus la definirea conceptului de durabilitate în cazul tensiunilor variabile în timp prin intermediul celebrei „curbe Wöhler” (σ_{\max} -N) publicată prima oară în 1905;
- Încercările de reziliență pe epruvete tip Charpy V (sau U) legate de ruperea fragilă, care au pus în evidență temperatura de tranziție de la ruperea ductilă la cea fragilă.

În anul 2001 s-a sărbătorit cu mare fast în Franța, 100 de ani de la apariția epruvetei Charpy.

- În sfârșit, problemele de (M.R.) au intrat efectiv în atenția cercetătorilor începând cu anii 1920-25, odată cu binecunoscutele, astăzi, lucrări ale lui Griffith. El a introdus ideea că un material fragil conține o mulțime de fisuri care produc o concentrare de tensiuni suficient de mare ca în anumite zone să se atingă valoarea rezistenței la rupere.

Dar activitatea științifică masivă, susținută, orientată, începe după 1950, odată cu dezvoltarea noilor tehnici de vârf în domeniul nuclear, aerospațial, naval, chimic, petrolier etc. Până în perioada anilor 1970 s-au introdus mărimi și concepte noi: factorul de intensitate al tensiunilor (Westergard 1940, Irwin, Paris 1961), integrala J (Rice 1968) etc., s-au definitivat procedee noi de încercare și caracterizare a materialelor ținând cont de existența defectelor micro- sau macrostructurale (dislocații, vacanțe, incluziuni, goluri, fisuri etc.), de influența temperaturilor scăzute, de variația în timp a tensiunilor etc. Tot în acest timp s-au pus bazele matematice ale calculării câmpurilor de tensiuni și deformații în corpuri elastice cu defecte de tipul fisurilor, golurilor, incluziunilor. Dificultățile au fost mari datorită necesității adoptării și folosirii unui aparataj matematic foarte elevat: ecuații integrale singulare, funcții complexe și transformări conforme, teoria potențialului, metode variaționale funcționale etc. Din acest motiv foarte târziu s-au concretizat metodele de calcul și s-au obținut rezultate credibile și concludente, dar numai pentru defecte unice sau grupuri de defecte cu anumite simetrii și periodicități.

4.1.2. Mecanica probabilistă a ruperii

Realitatea industrială (tehnică), în special în cazul construcțiilor industriale mari cu zone de sudură importante, cu variații brusce de formă, în cazul pieselor turnate și laminate, arată existența unor zone cu defecte multiple care nu pot fi modelate de repartiții simetrice sau periodice și nici de forme geometrice regulate.

Din aceste motive în ultimii 20 de ani comunitatea științifică internațională s-a axat cu mult interes și perseverență pe utilizarea principiilor și metodelor probabilistice care să ia în calcul o serie întreagă de parametri statistici: distribuția defectelor în spațiu sau în plan (poziția centrelor geometrice, înclinația față de axe a unui sistem de axe propriu al defectului, dimensiunile reprezentative etc.), descrierea probabilistă a câmpului de tensiuni și deplasări, calculul probabilist al elementelor specifice de mecanica ruperii (K_{ij} ; J), caracterizarea statistică a proprietăților mecanice ale materialelor etc. În această accepțiune s-a recunoscut că analiza riscului, respectiv studiul fiabilității și siguranței structurilor se poate face numai pe baze statistice. A apărut astfel o nouă ramură de cercetare numită: „MECANICA PROBABILISTĂ A RUPERII” (M.P.R.) (PROBABILISTIC FRACTURE MECHANICS).

(M.P.R.) este astfel definită ca un domeniu al fiabilității structurale pentru care mecanismul de cedare este „ruperea”, luând în considerare existența obiectivă a defectelor și aspectele probabilistice legate de acestea.

De altfel, practica a impus faptul că cele mai posibile mecanisme de cedare a elementelor și structurilor de rezistență sunt:

- instabilitatea elastică (buckling)
- oboseala (fatigue)
- apariția deformațiilor elastice mari (jamming)
- deformații plastice mari (yielding)
- instabilitatea plastică (necking)
- ruperea (fracture)

În Fig 4.1.2.1 sunt ilustrate variatele aspecte ale analizei riscului pentru a fixa locul și problematica (M.P.R.).

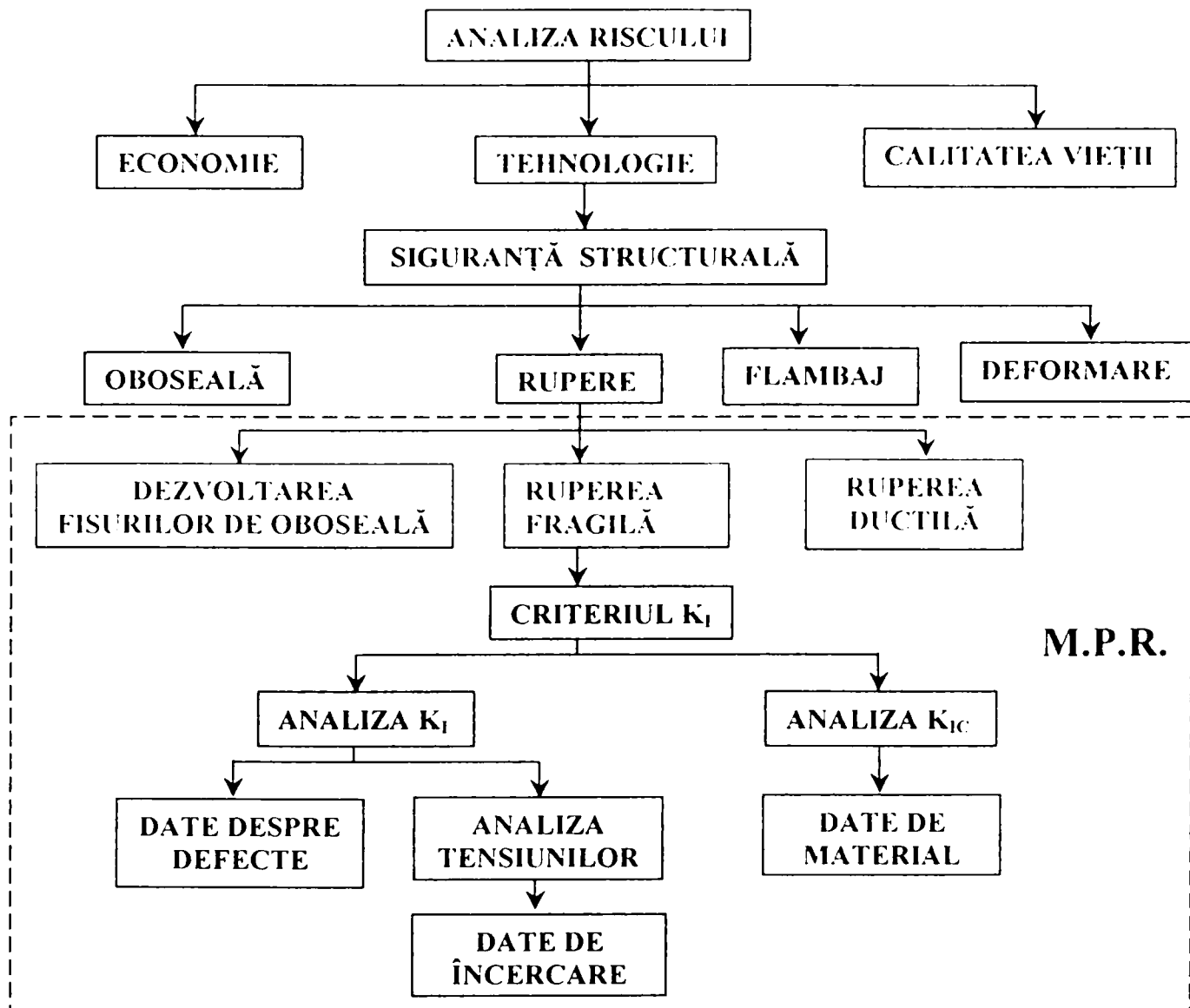


Fig. 4.1.2.1. Analiza riscului și locul și problematica (M.P.R.),
 (după J.M. Bloom, A. Ma. Dermott Company, Research and Development Division, Alliance, Ohio)

4.1.3. Organizarea activităților (M.P.R.)

În Statele Unite există de mulți ani comunități științifice care se ocupă, pe lângă altele, și cu standardizarea în (M.P.R.), există coduri ASME și programe de calculator bazate pe tehnicile și metodele de simulare Monte-Carlo, utilizând în general distribuțiile gamma și Weibull.

De exemplu comitetul ASTM Task Group E24.06.03, constituit în 1979, a avut printre alte sarcini și organizarea a două simpozioane și a unui lucrushop:

- „Program special cu privire la (M.P.R.)”, Pittsburgh, Pennsylvania, October 31, 1979
- „Metode probabiliste pentru proiectarea și mentenanța structurilor”, St.Louis, Missouri, October 19, 1981, (ASTM, STP798)
- „Aplicații ale statisticii în oboseală și rupere” (lucrushop) San Francisco, California, December 13, 1982.

Rezultă de aici că (M.P.R.) este un domeniu de vârf, de mare actualitate în cercetările de (M.R.) și în general de solid deformabil. Pentru a sublinia în plus această idee vom da câteva detalii legate de cercetarea fiabilității vaselor sub presiune foarte mare și a conductelor întâlnite frecvent în construcțiile nucleare, petroliere, chimice, navale, miniere etc. Prima lucrare importantă a apărut în 1976 în „Nuclear Engineering and Design” Nr.17 (P.E. Becher și A. Pedersen), care a făcut o evaluare a probabilității de cedare a unui vas sub presiune, considerând

K_I și K_{IC} ca **variabile statistice** calculul integralelor de distribuție fiind făcute cu metoda Monte Carlo, cu simularea pe calculator. Numărul lucrărilor dedicate acestui domeniu este impresionant și până acum 15-20 de ani erau considerate secrete. Mai cităm numai un studiu efectuat în Anglia în 1976, legat de programul său nuclear, în care s-a determinat probabilitatea de a exista fisuri de dimensiuni critice. D.O.Harrie în 1977 a arătat că din datele experimentale rezultă că distribuția mărimii defectelor este de tip gamma sau Weibull.

Comisia de reglementare nucleară (NRC) a dezvoltat un cod de calculator pentru a determina probabilitatea de apariție a unor defecte produse de procesul tranzitoriu de variație a presiunii în reactorii cu apă.

Mai subliniem apariția codurilor ASME elaborate de diferitele subcomisii ale Comitetului de Mecanica Probabilistă a Ruperii, dintre care cităm:

- NRC's OCTAVIA (1978) (W.E. Vesely; E.K. Lynn; F.F. Goldberg). Lucrează cu distribuția exponențială și simularea Monte-Carlo.
- Becher's PEP 706/ PFM683, distribuție Weibull și simulare Monte Carlo
- LLL's (Lawrence Livermore Laboratory) PRAISE („Analiza securității conductelor incluzând evenimente seismice”)
- NRC's NUREG-0778 Code (iunie 1981) – R.M. Gamble; J. Strosnider. Prezintă o schemă originală de eșantionare.
- ISPRA's (Joint Research Center of the European Committees) COVASTOL

Existența acestor programe care sunt deja coduri ASME ilustrează importanța deosebită care se acordă (M.P.R.), în special în domeniile de risc major din energetica nucleară.

4.1.4. Câteva repere bibliografice

Cele prezentate până acum s-au bazat pe lucrările* [1] [2] [3] (v. subsol), care sunt de fapt niște culegeri de articole dedicate acestei teme, reprezentând lucrările susținute la un anumit congres; ele constituie așa-numitele S.T.P. („Special Technical Publications”). De exemplu în [1] sunt prezentate lucrările congresului de la St. Louis din 1981 (amintit mai sus). Cartea conține 11 lucrări repartizate pe două teme:

- M.P.R. („Probabilistic Fracture Mechanics”) – 5 lucrări
- Aspecte statistice în oboseală („Statistical Aspects on Fatigue”) – 6 lucrări

A doua carte [2] conține lucrările conferinței „Pressure Vessel and Piping” (PVP Vol.92) care s-a desfășurat la San Antonio, Texas, 1984, și are 12 lucrări dedicate numai (M.P.R.)!

A treia carte [3] este tot un PVP Vol.58 publicat în 1982 și conține 17 lucrări de (M.P.R.) și de oboseală în condiții variabile de temperatură, fisuri, coroziune etc.

Deși cărțile amintite de noi sunt relativ vechi, ele ne prezintă demarajul fulminant și necesar în acest domeniu, schițând preocupările esențiale de (M.P.R.). Pentru a sublinia continuitatea activității în (M.P.R.) vom cita și câteva lucrări apărute în ultimii ani, deși numărul lor la ora actuală este impresionant de mare. Ele sunt orientate pe două tematici fundamentale:

1) Cele mai multe dintre lucrări se ocupă de **fenomenul de oboseală**, domeniu în care prelucrarea statistică și descrierea probabilistă a unor parametri specifici este destul de veche. Aici, dintre cercetările românești, vom cita – în mod cu totul subiectiv (datorită lipsei de informație) – lucrările [D20] [D25] (**I. DOBRE**) și [C46] (**D. CIOCLOV**), care propun noi criterii de cumulare a degradărilor în condițiile unor spectre de tensiuni descrise de procese stohastice. Cunoaștem lucrările d-lui Corneliu Biț, pe care însă nu le-am încadrat în acest

* 1. *** Probabilistic Fracture Mechanics and Fatigue Methods: Applications for Structural Design and Maintenance. ASTM-S.T.P.-798 / 1983

2. *** Advances in Probabilistic Fracture Mechanics. (ed. C. (RAJ) Sundararajan), ASTM - PVP Vol.92 / 1984

3. *** Aspects of Fracture Mechanics in Pressure Vessels and Piping. (ed. S.S. Palusamy, S.G.Sampath), ASTM-PVP Vol.58/1982

domeniu. O informație utilă se obține și din articolul de recenzii publicat în buletinul ARMR Nr. 3/1996. Vom prezenta numai câteva lucrări mai recente:

- **B. FEDELICH** [F4]/1998, prezintă o teorie cinetică a procesului de microfisurare prin oboseală care ține cont explicit de efectele coalescenței. Predicția coalescenței microdefectelor cere ca să se cunoască distribuțiile lor spațiale și dimensionale și mecanismul de coalescență. Datorită caracterului aleatoriu a nucleației microfisurilor, problema este în mod esențial de natură statistică. Ea utilizează distribuția Poisson și verificarea prin simulare Monte Carlo. De altfel lucrarea este foarte bine susținută de un aparat matematic elevat.
- **Y. LEI** (ș.a.) [L14]/1998. Se dezvoltă expresii analitice și semianalitice pentru tensiunea Weibull ca un parametru privind predicția degradării prin clivaj a unor corpuri cu fisuri. Expresiile au fost verificate utilizând tehnici de element finit.
- **P. SHI, S. MAHADEVAN** [S24]/1998. Lucrarea se ocupă de cercetarea procesului de degradare la oboseală în condițiile coroziunii de pitting. Se propune un model probabilistic de oboseală la coroziune prin pitting cu simulare Monte Carlo și implementarea unei metode analitice de fiabilitate de ordinul întâi. Se propune o metodă de predicție a limitei de oboseală la coroziune și se prezintă exemple numerice pe aliaje de aluminiu.
- **LEVON MINNETYAN** (ș.a.) [M40]/2002. Sunt discutate metode și coduri corespunzătoare de computer pentru evaluarea probabilistică a ruperii sub cicluri de oboseală a structurilor compozite (din grafit/epoxi). Cumularea degradărilor este simulată pe computer prin creșterea numărului de cicluri. Se introduce funcția de distribuție cumulativă (CDF) a răspunsului.
- **V.S. SERENSEN** (ș.a.) [SB1]. Determină apariția fisurii de rupere la solicitări oligociclice prin atingerea valorilor critice pentru degradarea prin oboseală însumată cu cea cvasistatică, produsă de mărirea deformației unilaterale cumulate care reflectă schimbarea anizotropă reversibilă. Se studiază de asemenea experimental viteza de propagare a fisurilor.
- **V.V. PANASIUK** (ș.a.) [SB2]/1977. Se studiază durabilitatea unui corp cvazifragil cu fisură de o configurație oarecare, diferite de cea circulară, considerând că sarcina exterioară variază sinusoidal. Se propune o metodă eficientă de aproximație analitică a vitezei de creștere a fisurii plane de oboseală; comparația fisurii necirculare cu cea circulară arată abateri în durabilitate în jur de 36%.

2) A doua direcție fundamentală este legată de exprimarea probabilistă a câmpului de tensiuni și deformații în solide elastice cu defecte multiple precum și a caracteristicilor de material, a factorului de scară, a geometriei defectelor, a parametrilor de mecanica ruperii etc. Rezultatele din acest domeniu trebuie să meargă până la elaborarea de programe adecvate combinate cu metode numerice, care să dea valori concrete pentru mărimile studiate. Această formă de raționament devine obligatorie și inevitabilă pentru materialele compozite și pentru structurile unde se previzionează existența defectelor multiple. Vom aminti și din acest domeniu numai câteva lucrări considerate de noi mai reprezentative. Astfel:

- **IVAN SPRUNG** [S54]/1998 demonstrează și verifică experimental pe plăci cu fisuri că există situații când calculele probabiliste indică o probabilitate foarte mare de deteriorare în timp ce calculele de mecanica ruperii arată o margine de siguranță adecvată!
- **A.M. HASOFER** [H13]/1988 combate modelele existente de rupere: „*modelul verigii celei mai slabe*” și *modelul lui Daniels* al „*fasciculelor de fibre*”. Prezintă o teorie stohastică nouă privind ruperea fragilă a oțelului utilizând o distribuție Pareto urmărind stabilirea efectului acumulării de fisuri asupra distribuției fisurilor și sarcinii de rupere. Pleacă de la distribuția tensiunii maxime de forma:

$$p(\sigma_{\max} < x) = 1 - \left(\frac{x}{\sigma_0} \right)^\theta$$

unde σ_0 este tensiunea minimă de nucleație a unei fisuri și θ un parametru care depinde de distribuția dimensiunilor fisurilor. Considerăm totuși modelul insuficient justificat.

- **MANS ISACSSON** [I10]/1998 pleacă de la ideea (cunoscută de altfel) că procesul creșterii fisurii este de natură aleatoare și depinde de condițiile microstructurale din vecinătatea vârfului fisurii. *Se adoptă modelul verigii celei mai slabe*, utilizând statistici Weibull și legi constitutive de tipul Gurson-Tvergaard. Mai presupune că ruperea se datorează unor „inițiatori” uniform distribuiți fără nici o dependență funcțională. Modelul probabilistic propus a luat în considerare și concentrația locală a tensiunilor datorită golurilor în creștere.
- **SULIN ZHANG, WEI YANG** [Z10]/1998 studiază extensia unei macrofisuri prin coalescența unor microfisuri distribuite statistic, calculând lungimea extinderii estimate a fisurii și deplasarea verticală a vârfului fisurii. Pentru a obține rezultate analitice pentru fisuri cu poziții și orientări arbitrare face un program de simulare în trei pași, asemănător soluției drumului aleator. El arată că lungimea preconizată a extensiei nu depinde numai de densitatea microfisurilor ci și de distribuția statistică a dimensiunilor de ligament.
- **JOHAN HELSING** [H23]/1999, profesor la Institutul Regal de Tehnologie din Stockholm – Suedia, a avut amabilitatea să ne dea aproape toate lucrările domniei sale publicate în domeniul (M.P.R.) - peste 30 de titluri. Lucrarea pe care o prezentăm elaborează un algoritm adaptiv pentru problema fisurilor multiple în domenii bidimensionale liniar elastice, bazat pe o ecuație integrală tip Fredholm de speța a doua, într-o formă stabilită de Helsing și Peters în 1999 [H21]. După discretizarea ecuațiilor integrale cu o *schemă Nyström* se obține un sistem de ecuații liniare rezolvat iterativ și accelerat cu metoda multipol rapidă; adaptivitatea este incorporată în algoritm după un procedeu Helsing [H19](1996). Este interesant că autorul prezintă un calcul numeric făcut pentru o placă ce conține 10000 de fisuri orientate aleator.
- **TOSHIHISA NISHIOKA, TETSUJI KATO** [N16]/1998. Soluția VNA din titlul lucrării înseamnă soluția analitică completă dată de Vijayakumar, Nishioka și Alturi în 1981 și 1983 pentru planul cu fisură eliptică supusă la tracțiuni arbitrare pe fețele fisurii. Pornind de aici, utilizând parametrul „densitate de fisuri” și ideea „modulelor elastice efective pentru corpuri cu fisuri”, ei au stabilit un algoritm pentru studierea câmpului de tensiuni și deformații în cazul unor microfisuri eliptice arbitrare distribuite.
- **N.B. RAO, S. RAHMAN** [R6]/2002. Este prezentată o metodă fără rețea de discretizare bazată pe procedeul Galerkin, pentru a previziona derivatele de ordinul întâi a factorilor de intensitate a tensiunilor în raport cu dimensiunea fisurii într-o structură liniar-elastică. Metoda implică o discretizare fără rețea care utilizează o aproximație mobilă prin cele mai mici pătrate a unei funcții din care se obțin funcțiile de formă pentru noduri plasate arbitrar.
- **T. YOKOBORI** (ș.a) [Y9]/1974. Prezintă o teorie stohastică privind ruperea solidelor conținând un număr mic de defecte macroscopice. Se stabilește că rezistența de rupere este foarte bine aproximată de funcția de distribuție Weibull ($n \geq 1-10$) sau de o distribuție gamma când lungimea fisurii are o distribuție exponențială. Se admite că materialul conține defecte de tip fisură sau neomogenități structurale cu diferite grade de concentrare a tensiunilor. Fiecare defect este tratat cu o fisură circulară echivalentă.

- **L. CIZELI**, (ș.a) [C51]/1994. Se aplică metoda reabilității de primul și al doilea ordin (FORM și SORM) la un tub cu pereți groși în care apar fisuri de coroziune. Se compară probabilitatea de rupere după aceste metode și prin simulare Monte Carlo. Cu o metodă numerică se analizează erorile relative.
- **W.J. STROUD, T. KRISHNAMURTHY** [S71]/2001. Se explică efectele incertitudinilor asupra rezistenței unei îmbinări singulare la forfecare prin suprapunere. Sunt utilizate metode probabiliste pentru a explica incertitudinile. În studii se utilizează analiza liniară și geometric neliniară cu elemente finite. Studiul arată că analiza liniară conduce la preziceri conservative pentru sarcinile de rupere.
- **M.P. MANAHAN, R.B. STONESIFER** [M7]. Această lucrare prezintă rezultate ale unei determinări probabiliste de mecanica ruperii la un reactor nuclear energetic moderat și răcit cu apă obișnuită în fierbere pentru acționarea reglajului de penetrare a tuburilor de racordare.
- **M.A. CESARE, R.H. SUES** [C14]/1999. ProfES este un sistem de analiză probabilist cu elemente finite care permite proiectanților să realizeze o analiză probabilistă cu element finit într-un mediu grafic 3D care este complet familiar și similar cu analiza deterministă modernă de element finit. ProfES permite inginerilor să utilizeze tehnici probabiliste puternice pentru a rezolva probleme spinoase, ca de exemplu analiza oboselii la cicluri înalte fără a fi nevoie de mult antrenament în ceea ce privește tehnicile în mecanica probabilistă. Parteneri industriali în dezvoltarea sistemului ProfES sunt: GE, Pratt&Whitney, Allison Engine, General Motors precum și furnizorii comerciali de analiză cu element finit ANSYS și MSC/NASTRA. Această lucrare descrie ProfES și prezintă trei probleme demonstrative executate cu ProfES.
- **D.N. MAVRIS, O. BANDTE** [M19]/1997. Se prezintă o metodă pentru proiectarea probabilistă, care se bazează pe o tehnică rapidă de integrare probabilistă. Lucrarea compară în mod critic metodologia combinată a „ecuației de suprafață răspuns”/simularea Monte Carlo cu metoda AMV (*valorii medii avansate*), care este una dintre tehnicile rapide de integrare probabiliste. Ambele metode sunt utilizate pentru a genera CDF (*funcții cumulative de distribuție*), care sunt comparate într-un studiu de caz exemplu. Din acest studiu rezultă că metoda AMV este mult mai economică în ceea ce privește necesarul de timp și conduce în general la distribuții mai precise ale CDF. Metoda ilustrează de asemenea modul în care utilizând metoda AMV pentru generarea distribuției pot fi obținute soluții robuste de proiectare la probleme supuse la condiții multidimensionale.
- **B. MORAN**, (ș.a) [M52]/2001. Obiectivul acestui proiect de cercetare a fost să se dezvolte o metodologie pentru fiabilitatea la oboseală și predicția duratei de viață a componentelor structurale metalice în cadrul unei mentenanțe bazate pe condiții. Astfel au fost dezvoltate noi metode pentru fiabilitatea la oboseală sau determinarea riscului stucturilor critice de siguranță și au fost dezvoltate noi tehnici computaționale pentru a modela creșterea fisurilor la oboseală.
- **C. ANNIES** [A29]/2002. Mulți ingineri abordează „predicția probabilistă a vieții” înlocuind constantele cu distribuțiile probabiliste și modelând cu grijă relațiile fizice dintre parametri. Din păcate legăturile *statistice* dintre „constante” sunt adesea poate chiar cu totul ignorate. Puțini recunosc faptul că în timp ce această simplă înlocuire a distribuțiilor pentru constante va produce într-adevăr un rezultat nedeterminist, „probabilitățile” corespunzătoare sunt adesea jalnic de imprecise. De fapt, chiar „tendința” poate fi greșită, astfel încât aceste studii nu pot fi utilizate nici măcar pentru studii de sensibilitate. Această lucrare explorează rata de creștere a fisurii care se leagă de ecuația familiară Paris și intensitatea tensiunii aplicate pentru a ilustra

multe realități statistice care sunt adesea ignorate de către unii ingineri de altfel foarte atenți.

- **N.P. O'DOWD, Y. LEI, E.P. BUSSO [O20]/2000.** Este examinată utilizarea tensiunii Weibull ca o măsură a probabilității de rupere a unui corp fisurat. Sunt prezentate expresii în formă închisă pentru tensiunea Weibull pentru materiale liniar elastice și cu legi exponențiale. Aceste expresii permit valorilor de tensiuni Weibull și probabilităților de rupere să fie estimate fără a fi necesară analiza cu element finit și oferă o viziune asupra utilizării tensiunii Weibull ca un parametru pentru predicția ruperii prin clivaj a corpurilor fisurate.

Cele prezentate până aici au constituit un articol publicat în Buletinul ARMUR (autori: I.DOBRE, C.MUNTEAN), și care avea următorul final:

4.1.5. Concluzii*

Articolul nostru are următoarele obiective:

- Să justifice și să propună înființarea în cadrul ARMUR a unei comisii specializate pe problemele de (M.P.R.). Problema nu este simplă deoarece membrii unei astfel de comisii trebuie să fie specialiști care au preocupări de teoria probabilităților și statistică matematică.
- În programul acestei comisii să intre și problemele de standardizare în domeniu, coroborate strâns cu problemele de (M.R.).
- Nu în ultimul rând să se înceapă o acțiune amplă de documentare, de informare, de specializare și în final de cercetare în acest domeniu fascinant care are acea notă exotica indusă de utilizarea metodelor Monte Carlo.
- Să desfășoare un amplu program de colaborare exterioară cu specialiști recunoscuți de la marile universități și centre de cercetare, care, din experiența noastră, sunt în general dispuși să colaboreze și să dea ajutor.

Supunem aceste idei discuției conducerii și membrilor ARMUR.

* Când lucrarea noastră a fost gata pentru expediat, am primit buletinul ARMUR Nr. 13 / 2002 în care există articolul regretatului prof. O. Rusu "Mecanica probabilistă și fiabilitatea structurilor. Note pe marginea unei conferințe" (p.22-25). Deoarece cele două lucrări nu se exclud ci se completează reciproc, ne-am permis să trimitem lucrarea noastră spre publicare, fără anumite modificări care poate ar fi fost necesare (notă prof. I. Dobre).

§4.2. CÂTEVA NOȚIUNI FUNDAMENTALE DIN TEORIA PROBABILITĂȚILOR ȘI STATISTICA MATEMATICĂ*

4.2.1. Eveniment. Câmpuri de evenimente

Noțiunea primară a teoriei probabilităților (T.P.) este aceea de **eveniment**, care este rezultatul unui anumit experiment. Dar sub aspect matematic, nu interesează natura fizică sau geometrică a evenimentului, ci numai producerea sau neproducerea lui. Deci “*eveniment*” este o noțiune abstractă care poate sau nu poate avea loc.

În (T.P.) se arată că mulțimea tuturor evenimentelor corespunzătoare unui experiment dat poate fi organizată ca o algebră Boole cu ajutorul operațiilor logice : “sau”, “și”, “non”, care se transpun în limbajul specific teoriei mulțimilor utilizând simbolurile operațiilor \cup, \cap, C . Pe această bază se construiește noțiunea de **câmp de evenimente** care este mulțimea Ω a evenimentelor elementare, înzestrată cu un corp borelian de evenimente K ; se va nota $\{\Omega, K\}$.

4.2.2. Probabilitate. Câmp de probabilitate

Noțiunea de probabilitate este strâns legată de aceea de **frecvență relativă**, cu deosebirea esențială că probabilitatea este dată a priori, iar frecvența relativă a posteriori. (T.P.) se poate aplica numai acelor fenomene care prezintă o anumită stabilitate a frecvențelor relative în jurul probabilității (așa numitele *fenomene omogene de masă*).

4.2.2.1. Definiția clasică a probabilității (definiția statistică)

Considerăm un grup de evenimente elementare $\bigcup_{i=1}^n A_i := \Omega$ cu $A_i \cap A_j = \emptyset (i \neq j)$; fie evenimentul $A = \bigcup_{k=1}^m A_k$. Dacă evenimentele A_i sunt *egal posibile*, probabilitatea evenimentului A este:

$$P(A) = \frac{m}{n} \Rightarrow 0 \leq P(A) \leq 1 \quad (4.2.2.1)$$

Deci prin definiție, dacă într-o operație de masă, evenimentul A se observă în medie de m ori într-un număr total de n operații individuale, probabilitatea rezultatului favorabil într-o operație individuală este raportul dintre numărul cazurilor favorabile observate și numărul total de cazuri care compun operația de masă respectivă (m/n).

Această definiție statistică este, pe bună dreptate, criticată. Astfel, ea nu poate fi aplicată când numărul cazurilor posibile este infinit și în condițiile în care cazurile nu sunt *egal posibile*. Pe de altă parte, cazuri egal posibile înseamnă de fapt cazuri egal probabile, adică ne folosim de noțiunea de probabilitate pe care urmează s-o definim. În sfârșit nu pune în evidență legătura cu practica, adică nu subliniază legătura dintre probabilitate și frecvență.

Această definiție este însă utilă dacă-i privim mai atent latura constructivă decât “defectul” ei strict logic, deoarece în grupuri formate cu un număr mare de probe, frecvențele reprezintă valorile experimentale ale *probabilității, care este o constantă obiectivă depinzând de*

* *Cuvinte specifice:* Cuvântul “**aleator**” are sens de “întâmplător” și provine de la latinescul “alea” care înseamnă “zar”. Cuvântul “**stochastic**” este împrumutat din limba greacă, unde $\sigma\tau\acute{o}\chi\omicron\pi$ înseamnă “scopul atins”; $\sigma\tau\acute{o}\chi\omicron\sigma\iota\pi$ înseamnă “presupunere”, “conjunctură”, “presupunere”: un $\sigma\tau\acute{o}\chi\omicron\sigma\tau\chi\eta\rho$ este o persoană capabilă de a prevedea un eveniment viitor (de a ghici). Sensul folosit în teoria probabilităților a fost dat de J. BERNOULLI, care în opera sa “Ars coniectandis” (1713) vorbește despre: “Ars coniectandis sive stochastice” adică “arta conjuncturii (presunerii) sau stochastice”. Cuvântul stochastic este aproape sinonimul cuvântului aleator, dar în matematică unii autori rezervă cuvântul de “stochastic” atunci când intervenția hazardului are un caracter dinamic.

natura fenomenului considerat și de sistemul de condiții. Deosebirea dintre probabilitate și frecvență relativă este mai ales de natură practică (statistică).

4.2.2.2. Definiția axiomatică a probabilității (după A.N. Kolmogorov / 1933)

Fie dat câmpul de evenimente $\{\Omega, K\}$. Se numește *probabilitate* pe câmpul de evenimente $\{\Omega, K\}$ o funcție P definită pe K cu valori în \mathbf{R}^+ ($P: K \rightarrow \mathbf{R}^+$) cu următoarele proprietăți:

$$\begin{aligned} P_1) \quad & P(A) \geq 0, \quad \text{pentru } \forall A \in K \\ P_2) \quad & P(\Omega) = 1 \\ P_3) \quad & P(A_1 \cup A_2) = P(A_1) + P(A_2), \quad \text{pentru } \forall A_1, A_2 \in K, A_1 \cap A_2 = \emptyset \end{aligned} \quad (4.2.2.2)$$

Proprietatea P_3 rămâne valabilă pentru orice familie finită de evenimente din K , incompatibile două câte două.

4.2.2.3. Câmp de probabilitate

1. Un câmp de evenimente $\{\Omega, K\}$ înzestrat cu o probabilitate P se numește **câmp de probabilitate** și se notează $\{\Omega, K, P\}$. Un câmp de probabilitate este alcătuit din tripletul $\{\Omega, K, P\}$ unde Ω este mulțimea evenimentelor elementare, K un corp de părți generat de familia de părți ale lui Ω , iar P o probabilitate pe K . Când Ω este finită, K este $P(\Omega)$.
2. Vom numi **probabilitate σ -aditivă** (sau **complet aditivă**) pe câmpul borelian de evenimente $\{\Omega, K\}$, o funcție definită pe K cu valori în \mathbf{R}^+ , cu proprietățile:

$$\begin{aligned} P_1) \quad & P(A) \geq 0, \quad \text{pentru } \forall A \in K \\ P_2) \quad & P(\Omega) = 1 \\ P_3) \quad & P\left(\bigcup_{i \in I} A_i\right) = \sum_{i \in I} P(A_i), \quad \text{pentru orice familie numărabilă de evenimente } (A_i)_{i \in I} \subset K; \\ & A_i \cap A_j = \emptyset, \quad i \neq j, \quad i, j \in I \end{aligned} \quad (4.2.2.3)$$

Aceasta este **axioma aditivității complete**.

4.2.2.4. Consecințe și proprietăți

1. $\forall A \in K \Rightarrow P(\bar{A}) = 1 - P(A)$
2. $P(\emptyset) = 0$
3. $A_1 \subset A_2 \Rightarrow P(A_1) \leq P(A_2)$
4. $\forall A \in K \Rightarrow 0 \leq P(A) \leq 1$
5. $\forall A_1, A_2 \in K \Rightarrow P(A_2 - A_1) = P(A_2) - P(A_1 \cap A_2)$
6. $A_1 \subset A_2 \Rightarrow P(A_2 - A_1) = P(A_2) - P(A_1)$
7. $\forall A_1, A_2 \in K \Rightarrow P(A_1 \Delta A_2) = P(A_1) - 2P(A_1 \cap A_2) + P(A_2)$
8. $\forall A_1, A_2 \in K \Rightarrow P(A_1 \cup A_2) = P(A_1) + P(A_2) - P(A_1 \cap A_2)$
9. $\forall (A_i)_{i \in I} \subset K \Rightarrow P\left(\bigcup_{i \in I} A_i\right) \leq \sum_{i \in I} P(A_i)$
10. Inegalitatea lui Boole. $\forall (A_i)_{i \in I} \subset K$ avem $P\left(\bigcap_{i \in I} A_i\right) \geq 1 - \sum_{i \in I} P(\bar{A}_i)$

Această inegalitate ne dă o margine inferioară pentru probabilitatea unei intersecții de n evenimente.

$$11. P\left(\bigcup_{i=1}^n A_i\right) = \sum_{i=1}^n P(A_i) - \sum_{i < j} P(A_i \cap A_j) + \sum_{i < j < l} P(A_i \cap A_j \cap A_l) - \dots + (-1)^{n-1} P\left(\bigcap_{i=1}^n A_i\right)$$

(Poincaré)

4.2.3. Probabilitați condiționate. Independența evenimentelor

Fie $\{\Omega, \mathcal{K}, P\}$ un câmp borelian de probabilitate și fie $A \in \mathcal{K}$ un eveniment arbitrar din \mathcal{K} cu $P(A) \neq 0$. Vom numi probabilitate a evenimentului B condiționată de evenimentul A , notată prin $P_A(B)$ raportul:

$$P_A(B) = \frac{P(A \cap B)}{P(A)} \quad (4.2.3.1)$$

Tripletul $\{\Omega, \mathcal{K}, P_A\}$ este un câmp borelian de probabilitate.

Independența evenimentelor

1. Se spune că evenimentele $A_1, A_2 \in \mathcal{K}$, sunt independente, dacă:

$$P(A_1 \cap A_2) = P(A_1) \cdot P(A_2) \quad (4.2.3.2)$$

Această relație ne dă regula de calcul a probabilității evenimentului produs de două evenimente independente. Această definiție este echivalentă cu relațiile $P(A_1 / A_2) = P(A_1)$; $P(A_2 / A_1) = P(A_2)$, fiind însă mai generală. Se poate arăta că dacă evenimentele $A_1, A_2 \in \mathcal{K}$, sunt independente, atunci și perechile de evenimente (A_1, C_{A_2}) , (C_{A_1}, A_2) , (C_{A_1}, C_{A_2}) sunt independente.

2. Definiția se poate generaliza la un șir finit de evenimente. Spunem că evenimentele $(A_i)_{1 \leq i \leq n} \subset \mathcal{K}$ sunt independente în totalitatea lor, sau pe scurt independente, dacă pentru orice subșir $1 \leq i_1 < i_2 < \dots < i_n \leq n$, avem:

$$P(A_{i_1} \cap A_{i_2} \dots \cap A_{i_n}) = P(A_{i_1}) \cdot P(A_{i_2}) \dots \cdot P(A_{i_n}) \quad (4.2.3.3)$$

4.2.4. Variabile aleatoare și legi de repartiție

Vom înțelege printr-o **variabilă aleatoare**, o mărime care în funcție de rezultatul unei experiențe, poate lua orice valoare dintr-o mulțime bine definită de valori (mulțimea valorilor posibile). Această valoare nu poate fi cunoscută înainte de efectuarea experienței, din cauza factorilor întâmplători care influențează rezultatul acestei experiențe. Vom nota variabilele aleatoare cu literele X, Y, \dots , iar valorile lor posibile în mod corespunzător cu $x_1, x_1, \dots, x_n; y_1, y_2, \dots, y_m$.

Pentru definirea unei **variabile aleatoare discrete** nu este suficient să enumerăm toate valorile ei posibile, ci trebuie să cunoaștem și probabilitățile acestora. Vom numi **repartiție** a unei variabile aleatoare discrete, enumerarea valorilor posibile și a probabilităților corespunzătoare acestora:

$$X: \begin{pmatrix} x_1 & x_2 & \dots & x_n \\ p_1 & p_2 & \dots & p_n \end{pmatrix} \Rightarrow X \begin{pmatrix} x_i \\ p_i \end{pmatrix}, 1 \leq i \leq n \quad (4.2.4.1)$$

Funcția de repartiție. Fie dat un câmp borelian de probabilitate $\{\Omega, \mathcal{K}, P\}$ și $X \in V$. Vom numi funcție de repartiție a variabilei aleatoare X , funcția $F: \mathbf{R} \rightarrow \mathbf{R}$ definită prin relația:

$$F(x) = P(A_x), x \in \mathbf{R} \text{ unde } A_x = \{\omega | X(\omega) < x\} \quad (4.2.4.2)$$

Pentru simplificarea scrierii vom face convenția de notație:

$$F(x) = P(X < x)$$

Rezultă imediat:

- 1) $F(x_1) \leq F(x_2)$ dacă $x_1 < x_2$
- 2) $F(x - 0) = F(x)$ pentru $\forall x \in \mathbb{R}$
- 3) $F(-\infty) = 0$
- 4) $F(+\infty) = 1$

În baza acestor proprietăți putem afirma că funcția de repartiție a unei variabile aleatoare este o funcție nedescrescătoare, continuă la stânga și ale cărei valori în $-\infty$ și $+\infty$ sunt respectiv 0 și 1.

Densitatea de probabilitate. O clasă de variabile aleatoare importante în aplicații, este aceea pentru care funcțiile de repartiție corespunzătoare variabilelor aleatoare se pot pune sub forma:

$$F(x) = \int_{-\infty}^x f(t) dt \quad (4.2.4.3)$$

unde f este o funcție definită pe \mathbb{R} măsurabilă Borel.

Din această relație rezultă că $f \geq 0$, $\int_{-\infty}^{\infty} f(t) dt = 1$. Atunci funcțiile de repartiție de această formă se numesc **funcții de repartiții de tip continuu**, iar variabilele aleatoare corespunzătoare se numesc **variabile aleatoare de tip continuu**. Funcția f se numește **densitate de repartiție** sau **densitate de probabilitate**.

4.2.5. Valori tipice ale variabilelor aleatoare

4.2.5.1. Tendința centrală de grupare.

1.) Valoarea medie

a) **Variabile aleatoare discrete.** Fie dată variabila aleatoare:

$$X \begin{pmatrix} x_1 & x_2 & \dots & x_n \\ p_1 & p_2 & \dots & p_n \end{pmatrix}, \sum_{i=1}^n p_i = 1; p_i \geq 0 \Rightarrow \quad (4.2.5.1)$$

$$M(X) = x_1 p_1 + x_2 p_2 + \dots + x_n p_n = \sum_{i=1}^n x_i p_i = \sum_{i=1}^n x_i f(x_i) \quad (4.2.5.2)$$

Valoarea medie numită și **speranță matematică** sau **așteptarea matematică**, reprezintă de fapt o medie ponderată a valorilor x_i cu ponderea p_i . Se subliniază că valoarea medie este o categorie cu care ne întâlnim în teoria probabilităților, și ea este aproximativ egală cu **media aritmetică** a valorilor observate ale lui x .

b) **Variabile aleatoare continue.** Fiind dată:

$$X \begin{pmatrix} x \\ f(x) \end{pmatrix}, x \in [a, b], \begin{cases} 1/ & f(x) \geq 0 \\ 2/ & \int_a^b f(x) dx = 1 \end{cases} \quad (4.2.5.3)$$

se definește valoarea medie:

$$M(X) = \int_a^b x f(x) dx. \quad (4.2.5.4)$$

În cazul când pentru valorile lui x se consideră drept domeniu de variație toată axa reală, valoarea medie devine:

$$M(X) = \int_{-\infty}^{\infty} x f(x) dx, \text{ cu condiția ca integrala singulară scrisă să fie absolut congruentă.}$$

2. Mediana

Se numește *mediana unei variabile aleatoare* X , acea valoare Me a argumentului x , pentru care probabilitatea ca variabila aleatoare să ia valori inferioare lui Me este egală cu probabilitatea ca să ia valori superioare lui Me .

$$P(X < Me) = P(X > Me) \quad (4.2.5.5)$$

$$F(x) = 1 - F(x); F(x) = \frac{1}{2}. \quad (4.2.5.6)$$

Soluția acestei ecuații este mediana Me .

3. Modul (sau valoarea cea mai probabilă)

Se numește *modul unei variabile aleatoare* X , acea valoare Mo a argumentului x , pentru care funcția densitate de probabilitate are valoarea maximă.

Între cele trei caracteristici ale tendinței centrale de grupare, nu există relații determinate. Pentru repartiții simetrice toate cele trei caracteristici sunt egale între ele; pentru repartițiile puțin asimetrice, mediana se găsește între valoarea medie și mod în situația $|Me - Mo| = 2|Me - M|$.

4. Quantile

Se numește *quantile de ordinul* n ale variabilei aleatoare X , rădăcinile reale ale ecuațiilor:

$$F(x) = \frac{i}{n}, \quad i = 1, 2, \dots, n-1 \quad (4.2.5.7)$$

n fiind un număr natural dat, iar $F(x)$ funcția de repartiție corespunzătoare. Pentru $n=2$ ($i=1$) → mediana; $n=4$ ($i=1,2,3$) → quartile; $n=10$ ($i=1,2,\dots,9$) → decile; $n=100$ ($i=1,2,\dots,99$) → centile.

Se arată că:

$$M\left(\sum_{k=1}^n X_k\right) = \sum_{k=1}^n M(X_k) \quad (4.2.5.8)$$

$$M\left(\prod_{k=1}^n X_k\right) = \prod_{k=1}^n M(X_k) \quad (4.2.5.9)$$

pentru variabile aleatoare independente.

5. Momente și medii de ordin superior

Se numește *moment de ordinul* r , al variabilei aleatoare X expresia:

$$M_r = \sum_{i=1}^n x_i^r f(x_i) \quad \text{pentru variabila aleatoare discretă} \quad (4.2.5.10)$$

$$M_r = \int_a^b x^r f(x) dx \quad \text{pentru variabila aleatoare continuă.} \quad (4.2.5.11)$$

Vom numi *medie de ordinul* r , a variabilei aleatoare X , expresia:

$$\mu_r = \sqrt[r]{\sum_{i=1}^n x_i^r f(x_i)} \quad \text{respectiv} \quad \mu_r = \sqrt[r]{\int_a^b x^r f(x) dx}. \quad (4.2.5.12)$$

Avem relațiile echivalente:

$$M_r = [\mu_r]^r = M[X^r]; \quad \mu_r = \sqrt[r]{M_r} \quad (4.2.5.13)$$

Pentru variabilele aleatoare continue, o extindere la întreaga axă:

$$\overline{f(x)} = \begin{cases} 0 & , x < a, x > b \\ f(x) & , x \in [a, b] \end{cases} \Rightarrow M_r = \int_{-\infty}^{\infty} x^r \overline{f(x)} dx = \int_{-\infty}^{\infty} x^r dF(x) \quad (\text{Stieltjes}) \quad (4.2.5.14)$$

Momentele M_r sunt ordonate în același sens cu valorile ordinului r , adică dacă α și β sunt valori ale lui r , care satisfac relația $\alpha < \beta$ atunci avem și $M_\alpha < M_\beta$.

4.2.5.2. Împrăștierea sau concentrația (Dispersia)

1. Extinderea sau intervalul de variație, se obține calculând diferența valorilor extreme ale argumentelor variabilelor, aceste argumente fiind considerate ordonate în ordinea mărimii lor naturale.

$$R = x_{\max} - x_{\min} \quad (4.2.5.15)$$

2. Intervale interquantile. Pentru a micșora influența valorilor extreme ale argumentului care apare în folosirea intervalului de variație R , se pot folosi și intervalele dintre quantile, adică diferența de forma:

$$\eta_{n-1} - \eta_1 ; \eta_{n-2} - \eta_2 ; \dots \quad (4.2.5.16)$$

Pentru repartițiile asimetrice se obișnuiește să se ia ca măsură a împrăștierii și media aritmetică:

$$\frac{(\overline{X} - \eta_1) + (\eta_3 - \overline{X})}{2} = \frac{\eta_3 - \eta_1}{2} \quad (4.2.5.17)$$

3. Abaterea și abaterea absolută medie. Se consideră variabila aleatoare $X \left(\begin{smallmatrix} x \\ f(x) \end{smallmatrix} \right)$; fie α o valoare oarecare din intervalul de variație. Vom numi abatere a variabilei X o nouă variabilă aleatoare ξ al cărui argument este dat de diferența dintre argumentul lui X și α , adică: $\xi \left(\begin{smallmatrix} x - \alpha \\ f(x) \end{smallmatrix} \right)$. În general dacă nu se specifică, abaterea se calculează față de valoarea medie, deci:

$$\xi = X - M(X) \Rightarrow M(\xi) = 0 \quad (4.2.5.18)$$

Dacă vom considera valorile absolute ale abaterilor, adică variabile de forma $\xi \left(\begin{smallmatrix} |x - \overline{X}| \\ f(x) \end{smallmatrix} \right)$, valoarea medie a abaterilor nu mai este zero. Această medie se numește **abatere absolută medie** și este $\int_{-\infty}^{\infty} (x - \overline{X}) f(x) dx$.

4. Dispersia. Abaterea medie pătratică. Vom asocia variabilei $\xi \left(\begin{smallmatrix} x - \overline{X} \\ f(x) \end{smallmatrix} \right)$ o nouă variabilă: $\xi^2 \left(\begin{smallmatrix} (x - \overline{X})^2 \\ f(x) \end{smallmatrix} \right)$. Prin definiție, valoarea medie a acestei variabile, adică expresia

$M(\xi^2)$ este numită **dispersia** variabilei aleatoare inițiale X . Cu alte cuvinte **dispersia** (numită și **variantă** sau **fluctuația variabilei**) este valoarea medie a pătratului abaterii sau momentul de ordinul doi al abaterii lui X :

$$\sigma_x^2 = D(X) = M(\xi^2) = M[(X - M(X))^2] = \int_{-\infty}^{\infty} (x - M(X))^2 f(x) dx \quad (4.2.5.19)$$

Valoarea medie de ordinul doi a abaterii, adică expresia:

$$\sigma_x = \sqrt{D(X)} = \sqrt{M(\xi^2)}, \tag{4.2.5.20}$$

se numește *abatere medie pătratică a variabilei X sau abaterea tip (standard)*.

5. Momente concentrate. Să considerăm variabila aleatoare $X \left(\begin{matrix} x \\ f(x) \end{matrix} \right)$ a cărei valoare medie este $M(x)=m$ și variabila aleatoare abatere corespunzătoare $\xi \left(\begin{matrix} x-m \\ f(x) \end{matrix} \right)$. Se observă că pe axa argumentelor Ox, abaterea $\xi = x - m$ realizează de fapt o *translație* a valorilor, *mutând originea argumentului în centrul de grupare m*. Se obișnuiește a se spune că *abaterea centrează variabila dată*. Variabila abatere $\xi = X - M(X)$ mai este numită și **variabila centrată**. Pe aceeași linie de nomenclură, momentele abaterii și valorile ei medii sunt numite momente centrate respectiv valori medii centrate ale variabilei date X.

Cu aceste denumiri putem spune că **dispersia și abaterea medie pătratică a unei variabile X sunt momentul centrat de ordinul doi**.

Vom numi moment centrat de ordinul r , mărimea:

$$m_r = \int_{-\infty}^{\infty} (x - m)^r f(x) dx \tag{4.2.5.21}$$

Folosind legătura cu momentele obișnuite se obține:

$$m_r = M_r - C_r^1 M_{r-1} M_1 + C_r^2 M_{r-2} M_1^2 + \dots + (-1)^{r-1} C_r^r M_1^r \tag{4.2.5.22}$$

Particularizând pe r:

$$r=1 \rightarrow m_1 = 0$$

$$r=2 \rightarrow m_2 = D(X) = \sigma_x^2 = M_2 - M_1^2 \therefore D(X) = M(X^2) - M^2(X)$$

$$r=3 \rightarrow m_3 = M_3 - 3M_2M_1 + 2M_1^3$$

$$r=4 \rightarrow m_4 = M_4 - 4M_3M_1 + 6M_2M_1^2 - 3M_1^4 \text{ etc.}$$

6. Proprietățile dispersiei.

1.) Pentru variabilele aleatoare independente:

$$D(X + Y) = D(X) + D(Y); D\left(\sum_{k=1}^n X_k\right) = \sum_{k=1}^n D(X_k) \tag{4.2.5.23}$$

Dacă variabilele sunt dependente:

$$D\left(\sum_{k=1}^n X_k\right) \geq \sum_{k=1}^n D(X_k) \tag{4.2.5.24}$$

2.) $D(C) = 0$; $C = \text{const.}$ (4.2.5.25)

3.) Orice translație aplicată unei variabile aleatoare nu schimbă dispersia:

$$D(X \cdot C) = D(X) \tag{4.2.5.26}$$

4.) $D(C \cdot X) = C^2 D(X)$ (4.2.5.27)

$$5.) D\left[\sum_{k=1}^n (a_k X_k + b_k)\right] = \sum_{k=1}^n a_k^2 D(X_k) \tag{4.2.5.28}$$

$$6.) D(X-Y) = D(X) + D(Y) \tag{4.2.5.29}$$

Din aceste proprietăți rezultă că *operatorul de medie* M este un operator liniar, pe când *operatorul dispersiei* D , nu este liniar.

7.) Dispersia mediei aritmetice a n variabile independente X , care urmează aceeași lege de repartiție, este egală cu dispersia uneia din variabile împărțită la numărul variabilelor:

$$D(X_i) = D(X)$$

$$D\left(\frac{\sum_{i=1}^n X_i}{n}\right) = \frac{D(X)}{n} \quad ; \quad \sigma_{\bar{x}} = \sqrt{D(\bar{X})} = \frac{\sigma_x}{\sqrt{n}} \quad (4.2.5.30)$$

Ultima relație ne arată că dacă într-o colectivitate oarecare facem o selecție de volum n , *împrăștierea variabilei aleatoare se micșorează atunci când mărim volumul selecției.*

7. Normarea variabilelor aleatoare

Numim *normarea variabilei aleatoare* X , transformarea definită de funcția: $Z = \frac{X - \bar{X}}{\sigma_x}$,

adică trecerea de la argumentul x la un argument z dat de raportul dintre abatere și abaterea medie pătratică corespunzătoare. Rezultă:

$$1.) M(Z) = 0 \quad (4.2.5.31)$$

$$2.) D(Z) = 1; \sigma_Z = 1 \quad (4.2.5.32)$$

8. Coeficient de împrăștiere

Se folosește pentru a elimina influența naturii variabilei studiate asupra măsurii împrăștierii și se obține făcând raportul dintre o valoare a împrăștierii studiată mai sus și o mărime de aceeași natură care în practică în general este o valoare tipică.

Un exemplu este coeficientul de variație:

$$V = \frac{\sigma_x}{M[X]}. \quad (4.2.5.33)$$

4.2.5.3. Caracteristici ale formei graficelor de repartiție

1. **Simetria și asimetria.** Considerăm o variabilă aleatoare $X \left(\begin{matrix} x \\ f(x) \end{matrix} \right)$. Repartiția acestei variabile este numită **simetrică** față de valoarea medie m , dacă:

$$f(m - \xi) = f(m + \xi) \quad , \quad \text{pentru } \forall \xi = x - m.$$

Caracterizăm proprietățile de asimetrie prin:

a) Coeficientul de asimetrie a lui Pearson $\alpha = \frac{M - M_0}{\sigma}$

b) Gradul de asimetrie: $\tilde{\alpha} = \frac{m_3}{\sigma^3}$

2. Boltirea și /sau turtirea

a) Coeficientul de boltire $\beta = \frac{m_4}{m_2^2}$ sau $\beta = \frac{m_4}{\sigma^4}$

b) Excesul $k = \beta - 3$

Se demonstrează că momentele centrate de ordin impar ale unei distribuții simetrice sunt nule, adică $m_{2r+1} = 0$.

4.2.6. Legi de repartiție clasice, discrete și continue

4.2.6.1. Legi de repartiție discrete

A. Repartiția binomială (Bernoulli). Are la bază schema urnei cu bile revenite. O variabilă aleatoare cu o repartiție binomială are forma:

$$X_{(n)} \left(\begin{array}{ccc} n & n-1 & x & 0 \\ p^n & np^{n-1}q & C_n^x p^x q^{n-x} & q^n \end{array} \right) \quad (4.2.6.1)$$

Deci repartiția binomială este o repartiție discretă în care punctelor $0, 1, 2, \dots, n$ li se atribuie corespunzător probabilitățile:

$$P_n(x) = C_n^x p^x q^{n-x}, \quad x = 0, 1, 2, \dots, n \quad (4.2.6.2)$$

Pentru a evidenția parametrul acestei distribuții se scrie:

$$f_n(x; p) = C_n^x p^x q^{n-x} \quad (4.2.6.3)$$

Aceasta este funcția de probabilitate (sau funcția de frecvență) a distribuției binomiale.

$$F(n; x) = P(X_i < x) = \sum_{i=0}^{[x]} C_n^i p^i q^{n-i} \quad (4.2.6.4)$$

Funcția de repartiție $F(n; x)$ este o funcție în trepte admițând discontinuități de speța întâia în punctele $0, 1, 2, \dots, [x]$.

Momentele:

$$M(X) = np \quad ; \quad np - q \leq M_0 \leq np + q$$

$$M_r = \sum x^r C_n^x p^x q^{n-x} \quad ; \quad M_2 = np(np + q) \quad ; \quad \mu_2 = \sqrt{np(np + q)}$$

$$M_3 = n^3 p^3 + 3n^2 p^2 q + npq(1 - 2p) \quad (4.2.6.5)$$

Momentele centrale:

$$m_1 = 0 \quad ; \quad m_2 = D(X) = npq \quad \Rightarrow \quad \sigma = \sqrt{npq}$$

$$m_3 = npq(q - p) \quad (4.2.6.6)$$

B. Repartiția hipergeometrică (Gauss). Se ajunge la această repartiție pe modelul schemei probabilistice a urnei cu bile nerevenite.

$$P(x; t, a, n) = \frac{C_a^x C_{t-a}^{n-x}}{C_t^n} \begin{cases} 0 \leq x \leq a \\ 0 \leq n-x \leq t-a \end{cases}$$

$$M(X) = \frac{an}{t}; \quad M_0(X) \approx np; \quad D(X) = npq \frac{t-n}{t-1} \quad (4.2.6.7)$$

$$g(t) = \sum_{x=0}^n t^x P(x; t, a, n)$$

C. **Repartiția Poisson.** Este repartiția unei variabile aleatoare discrete, a cărei funcție de probabilitate este:

$$f(x) = e^{-\lambda} \frac{\lambda^x}{x!}; \quad x = 0, 1, 2, \dots, n; \quad \lambda > 0 \quad (4.2.6.8)$$

$$M(X) = \lambda; \quad g(t) = e^{\lambda(e^t - 1)}; \quad C_x(t) = e^{\lambda(e^t - 1)} \quad (4.2.6.9)$$

$$M_2 = \left(\frac{d^2 g(t)}{dt^2} \right)_{t=0} = \lambda(1 + \lambda); \quad D(X) = M_2 - M_1^2 = \lambda \quad (4.2.6.10)$$

$$M_0 \in [\lambda - 1, \lambda]; \quad \alpha = \frac{m_3}{\sigma^3} = \frac{1}{\sqrt{\lambda}}; \quad \beta = \frac{m_4}{\sigma^4} = 3 + \frac{1}{\lambda} \quad (4.2.6.11)$$

$$F(x) = \sum_{x=0}^{|x|-1} P_{\infty, x}; \quad m_1 = 0; \quad m_2 = \lambda; \quad m_3 = \lambda; \quad m_4 = 3\lambda^2 + \lambda \quad (4.2.6.12)$$

4.2.6.2. Legi de repartiție continue

A. **Repartiția normală. (Gauss-Laplace-Moivre)** – este repartiția cu funcția de frecvență (densitatea de probabilitate):

$$f(x) = \frac{1}{\sigma_x \sqrt{2\pi}} e^{-\frac{(x-m_x)^2}{2\sigma_x^2}} = N(x; m_x, \sigma_x) \quad (4.2.6.13)$$

Constantele m_x și σ_x sunt **parametrii distribuției normale**; vom nota orice distribuție normală cu acești parametri $N(x; m_x, \sigma_x)$. Semnificația acestor parametri este imediată:

$$M(X) = \frac{1}{\sigma_x \sqrt{2\pi}} \int_{-\infty}^{\infty} x e^{-\frac{(x-m_x)^2}{2\sigma_x^2}} dx = m_x \quad (4.2.6.14)$$

$$D(X) = \frac{1}{\sigma_x \sqrt{2\pi}} \int_{-\infty}^{\infty} (x - m_x)^2 e^{-\frac{(x-m_x)^2}{2\sigma_x^2}} dx = \sigma_x^2 \quad (4.2.6.15)$$

Rezultă de aici că densitatea de probabilitate a variabilei aleatoare normale este perfect determinată de media și dispersia variabilei.

Repartiția centrată:

$$N(x; 0, \sigma_x) = \frac{1}{\sigma_x \sqrt{2\pi}} e^{-\frac{x^2}{2\sigma_x^2}} \quad (4.2.6.16)$$

Funcția de repartiție și normarea ei:

$$F(x) = P(X < x) = \int_{-\infty}^x \frac{1}{\sigma_x \sqrt{2\pi}} e^{-\frac{1}{2} \left(\frac{t-m_x}{\sigma_x} \right)^2} dt \quad (4.2.6.17)$$

Notând:

$$Z = \frac{t - m_x}{\sigma_x} \Rightarrow F(z) = P(Z < z) = \frac{1}{\sqrt{2\pi}} \int_{-\infty}^z e^{-\frac{t^2}{2}} dt. \quad (4.2.6.18)$$

Se poate arăta că funcția de repartiție se poate pune sub forma:

$$F(x) = \frac{1}{2} + \Phi\left(\frac{x - m_x}{\sigma_x}\right), \quad (4.2.6.19)$$

unde $\Phi(z)$ este funcția integrală a lui Laplace definită prin:

$$\Phi(z) = \frac{1}{\sqrt{2\pi}} \int_0^z e^{-\frac{t^2}{2}} dt \quad (4.2.6.20)$$

Momentele: -repartiție centrată: $m_{2r} = 1 \cdot 3 \cdot 5 \cdots (2r - 1) \sigma^{2r}$

-repartiția normată: $\nu_{2r} = 1 \cdot 3 \cdot 5 \cdots (2r - 1) = \frac{(2r)!}{2^r \cdot r!}$

Coeficienți de formă: $\alpha_1 = \frac{M_1 - M_1^0}{\sigma_x} = 0$; $\alpha_3 = \frac{m_3}{\sigma^3} = 0$; $\beta = \frac{m_4}{\sigma^4} = 3$

Funcția caracteristică pentru $N(x; 0, 1)$:

$$c(t) = \frac{1}{\sqrt{2\pi}} \int_{-\infty}^{\infty} e^{itx} e^{-\frac{x^2}{2}} dx = e^{-\frac{t^2}{2}} \quad (4.2.6.21)$$

Pentru $N(X; m_x, \sigma_x)$ avem:

$$c(t) = e^{im_x t - \frac{\sigma_x^2 t^2}{2}} \quad (4.2.6.22)$$

4.2.7. Șiruri și serii de variabile aleatoare. Noțiunile de limită și convergență în teoria probabilităților.

4.2.7.1. Convergența în probabilitate.

Fie $\{\Omega, K, P\}$ un câmp de probabilitate complet aditiv, și

$$X_0, X_1, \dots, X_n, \dots \quad (4.2.7.1)$$

un șir de variabile aleatoare și X o variabilă aleatoare. Vom spune că șirul (4.2.7.1) converge în probabilitate către X , dacă pentru $\forall \varepsilon > 0$ și $\eta > 0$, $\exists N(\varepsilon, \eta), \forall n \geq N(\varepsilon, \eta) \Rightarrow P(X_n - X \geq \varepsilon) \leq \eta$. Prin această notație vom înțelege evident $P(\{x \mid |x_n(x) - X(x)| \geq \varepsilon\})$.

Câteva propoziții importante:

- Dacă șirul $(X_n)_{0 \leq n < \infty}$, converge în probabilitate către X și către Y , atunci $P(X=Y)=1$.
- Fie $(X_n)_{0 \leq n < \infty}$ și $(Y_n)_{0 \leq n < \infty}$ două șiruri de variabile aleatoare. Dacă șirul $(X_n)_{0 \leq n < \infty}$ converge în probabilitate către variabila aleatoare X , iar șirul $(Y_n)_{0 \leq n < \infty}$ către variabila aleatoare Y , atunci șirul $(\alpha X_n + \beta Y_n)_{0 \leq n < \infty}$, unde $\alpha, \beta \in \mathbf{R}$ converge în probabilitate către $\alpha X + \beta Y$.
- Dacă șirul $(X_n)_{0 \leq n < \infty}$ converge în probabilitate către X și dacă Y este o variabilă aleatoare, atunci șirul $(X_n Y)_{0 \leq n < \infty}$ converge în probabilitate către XY .

Criterii de convergență.

Se acceptă **principiul momentelor**: o variabilă aleatoare se consideră determinată dacă îi sunt cunoscute momentele de orice ordin. Atunci, dacă $X \left(\begin{matrix} x \\ f(x) \end{matrix} \right)$, $a \left(\begin{matrix} a \\ 1 \end{matrix} \right)$, avem $|M_r(X - a)| < \varepsilon$,

$\forall \varepsilon > 0$, adică: o variabilă aleatoare X are ca limită o constantă a , dacă modulele momentelor de orice ordin ale abaterii față de constanta respectivă satisfac operația clasică de limită din analiză.

Un șir de variabile aleatoare $(X_n)_{0 \leq n < \infty}$ este un șir Cauchy în probabilitate, dacă pentru $\forall \varepsilon > 0, \eta > 0, \exists N(\varepsilon, \eta) \Rightarrow P(|X_n - X_m| \geq \varepsilon) \leq \eta; n, m \geq N(\varepsilon, \eta)$.

Teorema lui Slutski. Pentru ca un șir de variabile aleatoare $(X_n)_{0 \leq n < \infty}$, să convergă în probabilitate către o variabilă aleatoare, este necesar și suficient ca el să fie șir Cauchy.

4.2.7.2. Funcții de repartiție și convergență în probabilitate.

Să considerăm un șir de variabile aleatoare $(X_n)_{0 \leq n < \infty}$ și fie pentru $\forall n \in [0, \infty)$, $F_n(a) = P(X_n < a)$. Fie X o variabilă aleatoare și $F(a) = P(X < a)$. Este ușor de văzut că relația $\lim_{n \rightarrow \infty} F_n(a) = F(a)$ pentru $\forall a \in \mathbf{R}$, nu atrage convergența în probabilitate a șirului $(X_n)_{0 \leq n < \infty}$ către X . Un exemplu este construit în []. Se poate însă arăta că dacă $P(X_n = A) = 1$, unde A este o constantă, și dacă $\lim_{n \rightarrow \infty} F_n(x) = F(x)$ în orice punct x de continuitate ale funcției F , atunci șirul $(X_n)_{0 \leq n < \infty}$ converge în probabilitate către A , și reciproc: dacă șirul (X_n) converge în probabilitate către variabila aleatoare X , atunci $\lim_{n \rightarrow \infty} F_n(x) = F(x)$ în orice punct x de continuitate ale funcției de repartiție F .

4.2.7.3. Convergența tare (Cantelli). Convergența aproape sigură.

Fie $\{\Omega, K, P\}$ un câmp de probabilitate complet aditiv, și fie $(X_n)_{0 \leq n < \infty}$ și X respectiv un șir și o variabilă aleatoare. Vom spune că șirul $(X_n)_{0 \leq n < \infty}$ converge tare către X , dacă $\varepsilon > 0, \eta > 0$ fiind dați, $\exists N(\varepsilon, \eta)$ astfel încât: $P \bigcup_{n \geq N(\varepsilon, \eta)} \{x \mid |X_n(x) - X(x)| \geq \varepsilon\} \leq \eta$.

Șirul $(X_n)_{0 \leq n < \infty}$ converge aproape sigur către X , dacă:

$P \left(\left\{ x \mid \lim_{n \rightarrow \infty} X_n(x) \text{ există și este egală cu } X(x) \right\} \right) = 1$. Se arată că șirul (X_n) converge tare către X , dacă și numai dacă converge aproape sigur.

4.2.7.4. Convergența în medie pătratică.

Șirul de variabile aleatoare $X_1(x), \dots, X_n(x), \dots$ converge în medie pătratică către variabila aleatoare $X(x)$, dacă: $\lim_{n \rightarrow \infty} M \{X_n(x) - X(x)\}^2 = 0$. Acest lucru se scrie: $l.i.m X_n(x) = X(x)$ unde prin simbolul *l.i.m* se înțelege limită în medie pătratică. Se demonstrează o teoremă care permite să se cerceteze convergența în medie pătratică, prin cercetarea convergenței simple a trei șiruri de funcții nealeatoare: șirul speranțelor matematice și al funcțiilor de corelație.

4.2.8. Legea numerelor mari

Această lege care stă la baza statisticii matematice, a fost dovedită pentru prima dată de J. BERNOULLI în 1705 și publicată în 1713 (Arta conjuncturii). POISSON în 1837 a demonstrat o teoremă care generalizează teorema lui J. Bernoulli și a introdus denumirea de legea numerelor mari. CEBÎȘEV în 1867 dovedește teorema în toată generalitatea ei cu toată rigoarea matematică.

Teorema lui J. Bernoulli. Dacă se consideră un eveniment A , a cărui probabilitate de realizare este p , frecvența relativă f_n (numărul care indică de câte ori s-a realizat A în probe) tinde către p "în probabilitate", adică: $\lim_{n \rightarrow \infty} P(|f_n - p| < \varepsilon) = 1$.

Așadar diferența dintre frecvența relativă a unui eveniment, pe care o putem evalua în baza probelor făcute și probabilitatea evenimentului, care este un număr necunoscut, poate fi făcută oricât de mică, cu o probabilitate apropiată de 1, dacă numărul probelor crește.

4.2.9. Teoria selecției

4.2.9.1. Enunțul problemei

Fie o colectivitate Γ , discretă sau continuă, de volum mare, pentru care este imposibilă sau nepractică cunoașterea individuală a tuturor elementelor ce o constituie. Față de această colectivitate se cercetează sau o anumită proprietate sau fenomen care generează o variabilă aleatoare X (în particular aceasta putând fi și o constantă). De exemplu, în populația reprezentată de locuitorii unei țări putem cerceta repartiția lor după înălțime (variabila X).

În acest sens se consideră o subcolectivitate γ de volum n ($\gamma \subset \Gamma$) cercetându-se proprietatea sau fenomenul care definește variabila X în Γ prin intermediul valorilor ce le ia X în γ .

Fie X_1, X_2, \dots, X_n , sistemul de variabile aleatoare care determină valori ale variabilei X în subcolectivitatea γ . Cuvântul "selecție" este folosit curent cu diferite sensuri, însemnând:

- operația descrisă mai sus, adică constituirea subcolectivității γ și determinarea sistemului de valori X_j ;
- subcolectivitatea γ formată din elemente ale lui Γ luate la întâmplare;
- sistemul de variabile $X_j, j=1, 2, \dots, n$;

Sunt folosite de asemenea numirile:

- **Sondaj**, echivalent cu selecția ca operație sau subcolectivitatea γ . Acest cuvânt subliniază ideea că formarea subcolectivității γ se face luând la întâmplare elemente din Γ .
- **Eșantion**, pentru subcolectivitatea γ ; acest cuvânt subliniază ideea că γ este o parte de volum relativ mic, a colectivității Γ , de volum mare.

Relativ la variabilele $X_j, j=1, 2, \dots, n$, care reprezintă valorile variabilei X în eșantionul γ , observăm că în cazul când sondajul este efectuat la întâmplare, ele au aceeași șansă de a se realiza, de aceea ele determină următoarea variabilă aleatoare discretă, cu repartiție uniformă:

$$X^* \begin{pmatrix} X_1 & X_2 & X_j & X_n \\ \frac{1}{n} & \frac{1}{n} & \frac{1}{n} & \frac{1}{n} \end{pmatrix} \quad (4.2.9.1)$$

pe care o numim **variabilă de selecție**.

Într-o selecție de volum n , valorile observate: x_1, x_2, \dots, x_n ale caracteristicii X , pot fi privite ca valori respective ale unui șir de variabile aleatorii X_1, X_2, \dots, X_n pe câmpul de probabilitate $(\Omega^{(n)}, K^{(n)}, P_n)$. În cazul unei selecții repetate pentru care aceste variabile aleatoare sunt independente și au aceeași repartiție ca X , avem:

$$P_n = \underbrace{P \times P \times \dots \times P}_{\text{de } n \text{ ori}} \quad (4.2.9.2)$$

În cazul unei selecții repetate, variabilele X_1, X_2, \dots, X_n formează **un lanț de legături complete** și P_n are o expresie mai complicată.

Dacă volumul colectivității generale este suficient de mare, iar volumul selecției este suficient de mic, *deosebirea între cele două feluri de selecție este foarte mică și în aplicațiile practice, o selecție nerepetată poate fi considerată ca o selecție repetată.*

Pe scurt, obiectivul fundamental al selecției este de a da maximum de informații asupra populației întregi cu minimum de efort. Prin urmare trebuie să examinăm tipul informației pe care o primim și metodele prin care ea se obține. Cercetând selectiv o populație avem de obicei în vedere una sau mai multe dintre caracteristicile sale. Obiectivul nostru este de a deduce din eșantion care este **repartiția de frecvență** în întreaga populație – pentru caracteristica aleasă. **Ar fi ideal să exprimăm această repartiție într-o formă matematică, de exemplu cu o curbă Pearson.** Este posibil totuși ca populația să nu admită o astfel de reprezentare sau ca eșantionul să nu fie suficient de mare pentru a risca să-i acordăm încredere. În astfel de cazuri încercăm să găsim *estimații* ale unor valori tipice ale întregii populații. *Foarte adesea aceasta este tot ce se cere.* Din acest motiv o mare parte a teoriei selecției este consacrată găsirii -pe bază eșantionului- de estimații ale unor valori tipice ale întregii populații. Astfel de valori tipice sunt **media, dispersia (în general momentele) sau asimetria;** în populațiile multidimensionale avem de considerat **corelațiile** totale sau parțiale.

Despre estimații și testele de semnificație

În general există mai multe căi de estimare a unei valori tipice pe baza datelor eșantionului. Unele dintre aceste căi vor fi mai bune decât celelalte. Există atunci o **teorie a estimației** care se ocupă de aceste probleme și de altele adiacente lor. Ea caută să precizeze condițiile pe care trebuie să le îndeplinească estimația și să indice totodată care sunt cele mai bune estimații în circumstanțele date ca și măsura în care o estimație este mai bună în comparație cu alta.

Este evident că deducțiile pe bază de eșantion nu sunt categorice, cum sunt în mod obișnuit deducțiile matematice. Dacă avem 1000 de bile într-o urnă și extragem 999 din ele, **întâmplător toate negre, este totuși posibil** ca bila rămasă să fie de altă culoare. Lucrul acesta este atât de **improbabil** încât, în multe situații practice este pe deplin justificat să conchidem că toate bilele sunt negre. Dacă tragem o astfel de concluzie și acționăm pe baza ei, în fapt ne bazăm acțiunile *nu pe certitudine ci pe posibilitate.*

Al doilea scop al teoriei selecției este deci de a determina cât mai obiectiv cu putință care este **gradul de încredere** pe care-l putem acorda estimațiilor obținute. Acest lucru trebuie făcut pe cât posibil în termeni probabilistici; dacă nu putem face aceasta, va trebui să ne bazuim pe impresii intuitive, sau pe rezultatele unor experiențe efectuate mai înainte, deci pe elemente neexprimabile cantitativ. Cu alte cuvinte putem spune că obiectivul nostru este de a determina **precizia unei estimații.** Încercăm să facem aceasta stabilind limita pentru **abaterea posibilă** între estimația bazată pe eșantion și valoarea adevărată a cantității estimate, corespunzătoare întregii populații. *Precizia unei estimații va depinde de:*

- a) modul în care estimația este obținută pe baza eșantionului;
- b) modul în care a fost obținut eșantionul;

Considerarea lui **a)** ne conduce din nou la teoria estimației. Considerarea lui **b)** ne conduce la stadiul *tehnicii selecției și al planificării anchetelor selective.*

4.2.9.2. Calități ale estimațiilor

Selecția este considerată *corect efectuată* (și aceasta este situația pe care trebuie să o cercetăm în practică) atunci când caracteristicile variabilei X (numită în cele ce urmează **variabilă teoretică** sau **variabilă globală**) sunt egale cu **caracteristicile variabilei de selecție X' .** Aceasta se consideră că are loc dacă avem:

$$\begin{aligned} M_r(X^*) &= M_r(X), \quad r = 1, 2, 3, \dots \\ M_c(X^*) &= M_c(X) \\ M_o(X^*) &= M_o(X) \quad \text{etc.} \end{aligned} \quad (4.2.9.3)$$

Din punct de vedere statistic, relațiile de mai sus nu pot avea loc decât în conformitate cu legea numerelor mari, adică de fapt putem afirma că speranțele matematice ale caracteristicilor variabilei de selecție tind în probabilitate către valorile caracteristicilor teoretice, atunci când volumul selecției n crește suficient de mult.

Dat fiind că variabila teoretică este necunoscută, nu se poate ști a priori dacă relațiile (4.2.9.3) au sau nu au loc. Pentru acest motiv problema se inversează, în sensul că dispunând de variabila de selecție X^* , se determină caracteristicile ei, cercetându-se în ce condiții valorile obținute aproximează suficient caracteristicile corespunzătoare ale variabilei teoretice. Aproximarea respectivă având loc în sens probabilistic este numită *estimare*.

Estimarea unei caracteristici a variabilei teoretice prin caracteristica analoagă a variabilei de selecție, depinde în mod evident de selecția efectuată: **de reprezentativitatea acesteia, de volum, de modul de efectuare**, etc., precum și **de expresia statistică** care se construiește cu variabilele X_j , ceea ce face să avem estimări de precizii diferite și care este util a fi cunoscute.

Pentru formularea generală a problemei estimării să notăm valoarea caracteristicii studiate (care poate fi: media, mediana, modul, abaterea-tip, un parametru care intră în funcția de probabilitate, etc.) în modul următor:

$$\begin{cases} \lambda, & \text{când este raportată la variabila } X \text{ definită în } \Gamma \\ \lambda^*, & \text{când este raportată la variabila } X^* \text{ definită în } \gamma \end{cases}$$

Este foarte important să observăm că valoarea λ^* depinzând de selecția efectuată, din motivele arătate mai sus, constituie la rândul ei o variabilă aleatoare, pe când λ este o constantă.

Definiție: Spunem că λ^* este valoarea estimată a caracteristicii λ dacă λ^* converge în probabilitate către λ , atunci când volumul n al eșantionului γ tinde către volumul t al colectivității Γ (t putând fi un număr determinat sau infinit).

Această definiție se scrie astfel:

$$\lim_{n \rightarrow t(\infty)} P(|\lambda^* - \lambda| < \varepsilon) = 1 \quad (4.3.9.4)$$

A. Estimația corectă și estimația absolut corectă

Să cercetăm cum poate fi îndeplinită această condiție de convergență în probabilitate. Folosind convergența în medie pătratică, trebuie să avem:

$$\begin{cases} M(\lambda^* - \lambda) \rightarrow 0 \\ D(\lambda^* - \lambda) \rightarrow 0 \end{cases} \quad \text{când } n \rightarrow t(\infty) \quad (4.2.9.5)$$

Aceste condiții de convergență pot fi satisfăcute sub următoarele două forme:

1.) $M(\lambda^*) \rightarrow \lambda$; $D(\lambda^*) \rightarrow 0$, când $n \rightarrow t(\infty)$

În acest caz se spune că λ^* estimează corect pe λ .

2.) $M(\lambda^*) = \lambda$; $D(\lambda^*) \rightarrow 0$, când $n \rightarrow t(\infty)$

În acest caz se spune că λ^* estimează absolut corect pe λ .

Diferența $M(\lambda^*) - \lambda$ este numită **distorsiunea estimației λ** .

În cazul estimății absolut corecte distorsiunea estimăției este nulă. În cazul estimăției corecte, distorsiunea estimăției este un infinit mic $\epsilon(n)$, o dată cu $\frac{1}{n}$. Se observă că nu este suficientă calitatea de infinit mic pentru estimare, ci este necesară convergența în probabilitate care implică condiția ca $D(\lambda^*)$ să fie finită.

În cazul când distorsiunea estimării nu este un infinit mic având astfel ca limită un număr a , adică:

$$M(\lambda^*) - \lambda \rightarrow a, \text{ când } n \rightarrow t(\infty) \tag{4.2.9.6}$$

constanta a reprezintă o eroare sistematică. Dacă eroarea sistematică a este cunoscută, estimarea parametrului λ este dată de $\lambda^* - a$.

B. Precizia estimăției

Estimația λ^* a caracteristicii λ este efectuată prin intermediul variabilei de selecție X^* . Considerând efectuate selecții diferite în aceeași populație Γ , de exemplu, două selecții care conduc la variabilele de selecție X_1^* și X_2^* , se obțin două estimății λ_1^* și λ_2^* care, în cazul când sunt diferite, pun problema de a ști care dintre ele este mai precisă. (Estimațiile le vom presupune fără distorsiune).

Notând dispersiile respective cu: $D(\lambda_1^*) = \sigma_1^2$; $D(\lambda_2^*) = \sigma_2^2$, după inegalitatea Bienaymé-Cebîșev, putem scrie relațiile:

$$\begin{cases} P(|\lambda_1^* - \lambda| < k\sigma_1) > 1 - \frac{1}{k^2} = 1 - \delta = \alpha \\ P(|\lambda_2^* - \lambda| < k\sigma_2) > 1 - \frac{1}{k^2} = 1 - \delta = \alpha \end{cases} \tag{4.2.9.7}$$

α fiind indicele de încredere iar δ pragul de semnificație.

Aceste relații ne arată următorul fapt: corespunzător aceluiași prag de semnificație δ , intervalele de încredere sunt diferite având lungimi determinate de produsul $2k\sigma_i$. Evident, estimația este cu atât mai precisă cu cât valoarea λ_i^* este mai aproape de valoarea λ , cu alte cuvinte precizia estimăției este mai mare când intervalul de încredere este mai mic (Fig. 4.2.9.1).

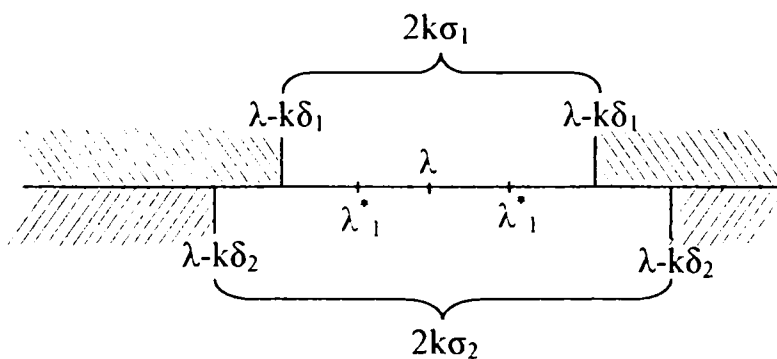


Fig. 4.2.9.1

Rezumând: dintre cele două estimății $\lambda_1^* \neq \lambda_2^*$ estimația mai precisă este aceea care are cea mai mică abatere standard sau, ceea ce este același lucru, cea mai mică dispersie.

4.2.9.3. Estimarea mediei teoretice. Media de selecție.

A. Media de selecție estimează absolut corect media teoretică

Considerând variabila de selecție

$$X^* \left(\begin{matrix} X_j \\ 1 \\ n \end{matrix} \right), j = 1, 2, \dots, n \quad (4.2.9.8)$$

media de selecție (numită și medie empirică), are expresia:

$$m^* = M(X^*) = \sum_{j=1}^n X_j \frac{1}{n} = \frac{\sum_{j=1}^n X_j}{n} \quad (4.2.9.9)$$

Mărimea m^* constituie la rândul său o variabilă aleatoare care conform legii numerelor mari, tinde în probabilitate către media teoretică $m=M(X)$ adică avem:

$$\lim_{n \rightarrow \infty} P(|m^* - m| < \varepsilon) = 1 \quad (4.2.9.10)$$

Practic se pune problema de a ști întrucât estimarea lui m prin m^* este sau nu corectă. În acest sens calculăm expresiile: $M(m^*)$ și $D(m^*)$ [„media mediei de selecție”].

Avem: $M(m^*) = M\left(\frac{\sum_{j=1}^n X_j}{n}\right) = \frac{\sum_{j=1}^n M(X_j)}{n}$. Dar cum pentru fiecare variabilă X_j avem

$M(X_j) = m$, rezultă: $M(m^*) = \frac{n \cdot m}{n} = m$ adică

$$\boxed{M(m^*) = M(X)} \quad (4.2.9.11)$$

Pentru calculul dispersiei mediei de selecție $D(m^*)$ să calculăm în prealabil momentul de ordinul doi al medie de selecție pe care-l notăm cu $\overline{M_2}$.

$$\begin{aligned} \overline{M_2} = M(m^{*2}) &= M\left[\left(\frac{\sum_{j=1}^n X_j}{n}\right)^2\right] = M\left[\frac{\sum_{j=1}^n X_j^2 + 2 \sum_{j,k=1, j \neq k}^n X_j X_k}{n^2}\right] = \\ &= \frac{1}{n^2} \sum_{j=1}^n M(X_j^2) + \frac{2}{n^2} \sum_{j,k=1, j \neq k}^n \underbrace{M(X_j)M(X_k)}_{\substack{\text{s-au considerat variabile} \\ \text{le } X_j, X_k \text{ independente}}} \end{aligned}$$

Cum avem : $M(X_j^2) = M_2$; $M(X_j) = M(X_k) = M_1$

Numărul termenilor din cele două sume sunt: $C_n^1 = n$ pentru prima sumă și $C_n^2 = \frac{n(n-1)}{2}$ pentru a doua sumă.

$$\overline{M_2} = \frac{1}{n^2} \cdot n \cdot M_2 + \frac{2}{n^2} \cdot \frac{n(n-1)}{2} \cdot M_1^2 = \frac{M_2}{n} + \frac{n-1}{n} M_1^2$$

Dar: $D(m^* = \overline{M_2} - \overline{M_1}^2) = \frac{M_2}{n} + \frac{n-1}{n} M_1^2 - M_1^2 = \frac{M_2}{n} - \frac{M_1^2}{n} = \frac{M_2 - M_1^2}{n}$

Dar cum pentru dispersia D a variabilei X avem: $D(X) = M_2 - M_1^2$

$$\Rightarrow \boxed{D(m^*) = \frac{D}{n}} \quad (4.2.9.12)$$

Rezultatele (4.2.9.11) și (4.2.9.12) ne arată că avem $M(m^*) = m$ și $D(m^*) = \frac{D}{n} \rightarrow 0$ când $n \rightarrow \infty$, adică estimarea caracteristicii $m = M(X)$ prin media de selecție $m^* = M(X^*)$ este o estimare absolut corectă.

B. Repartiția medie de selecție m^* , pentru n suficient de mare, este aproximată de repartiția normală cu parametrii $m, \frac{\sigma}{\sqrt{n}}$.

4.2.9.4. Estimarea dispersiei teoretice. Dispersia de selecție

Disponând de variabila aleatorie X^* , putem calcula dispersia respectivă pe care o numim dispersie de selecție sau dispersie empirică.

$$D^* = M[(X^* - m^*)^2] = \sum_{j=1}^n \frac{(X_j - m^*)^2}{n} = \frac{\sum_{j=1}^n (X_j - m^*)^2}{n} \quad (4.2.9.13)$$

Dispersia de selecție constituie la rândul ei o variabilă aleatoare. Conform legii numerelor mari ea tinde în probabilitate către dispersia teoretică $D = M[(X - m)^2]$ dacă avem:

$$\lim_{n \rightarrow \infty} P(|D^* - D| < \varepsilon) = 1.$$

Se demonstrează că:

$$M(D^*) = D - D(m^*) \quad (4.2.9.14)$$

adică, în orice tip de selecție media dispersiei de selecție este mai mică decât dispersia teoretică cu dispersia mediei de selecție.

Am arătat însă că $D(m^*) = \frac{D}{n}$ deci relația de mai sus (4.2.9.14) devine:

$$M(D^*) = D - \frac{D}{n} = \left(1 - \frac{1}{n}\right)D \quad ; \quad M(D^*) = \frac{n-1}{n}D \quad (4.2.9.15)$$

Rezultă:

$$M(D^*) - D = -\frac{1}{n}D \rightarrow 0 \text{ când } n \rightarrow \infty$$

adică, estimarea dispersiei teoretice prin dispersia de selecție D^* se face totdeauna cu o distorsiune de valoare $-\frac{D}{n}$ și ca atare nu este o estimare absolut corectă.

Pentru a estima absolut corect dispersia D cu ajutorul datelor de selecție, considerăm dispersia modificată \tilde{D} :

$$\tilde{D} = \frac{n}{n-1}D^* \text{ sau } \tilde{D} = \frac{n}{n-1} \sum_{j=1}^n \frac{(X_j - m^*)^2}{n} = \sum_{j=1}^n \frac{(X_j - m^*)^2}{n-1} \quad (4.2.9.16)$$

Pentru dispersia modificată avem:

$$M(\tilde{D}) = \frac{n}{n-1}M(D^*) \Rightarrow M(\tilde{D}) = \frac{n}{n-1} \cdot \frac{n-1}{n}D = D \quad (4.2.9.17)$$

Această relație ne arată că dispersia de selecție modificată \tilde{D} dată de ecuația (4.2.9.16), estimează absolut corect dispersia D . Cu alte cuvinte din punct de vedere practic dispersia teoretică D se estimează absolut corect printr-o sumă de tipul dispersiei de selecție în care însă n se înlocuiește prin $n-1$.

Evident pentru n suficient de mare, cele două estimări ale dispersiei teoretice, dispersia de selecție D^* și dispersia modificată \tilde{D} vor diferi neesențial, ambele măriri tinzând în probabilitate către D .

Calculând dispersia lui \tilde{D} (dispersia dispersiei modificate), se găsește expresia

$$D(\tilde{D}) = \frac{m_4}{n} - \frac{n-3}{n(n-1)} D^2 \quad (4.2.9.18)$$

pentru care se verifică și a doua condiție de convergență în media pătratică, adică din relațiile (4.2.9.17) și (4.2.9.18) rezultă:

$$\begin{cases} M(\tilde{D}) = D \\ D(\tilde{D}) \rightarrow 0 \quad \text{când } n \rightarrow \infty \end{cases}$$

ceea ce dovedește faptul că \tilde{D} estimează absolut corect pe D .

§ 4.3. METODA MONTE-CARLO

4.3.1. Acul lui BUFFON

Metoda Monte-Carlo (m.M.C.) este o metodă de analiză numerică foarte veche dar și deosebit de modernă. Este o metodă destul de „exotică” chiar și printre matematicieni, de aceea literatura specifică în limba română este deosebit de săracă. Eu nu am găsit decât două cărți: o traducere din limba rusă a cărții lui ERMACOV [E14] dedicată chiar (m.M.C.) dar foarte greu accesibilă și pe care nu am putut-o folosi, și cartea lui M STOKA și R.THEODORESCU [S69] de probabilități geometrice, care are un capitol privind (m.M.C.) excelent! Spre surprinderea mea nici una din cărțile de analiză numerică, românești sau traduse, nu se ocupă de (m.M.C.) deși toate articolele de (M.P.R) folosesc tensiuni și deplasări. Nu am găsit nici o definiție a (m.M.C.). În [E14] se spune că „este metoda modelării variabilelor aleatoare în scopul calculării repartițiilor lor”, efectuată de obicei cu ajutorul calculatoarelor electronice. În [S69] se zice că „este o metodă a experimentelor aleatoare care permite pentru o multitudine de probleme concrete, construirea unor algoritmi de rezolvare care pot fi ușor programați pe calculatoare”.

De altfel cred că metoda este dificil de înțeles în esența sa intimă: aplicarea ei urmează însă un mecanism foarte simplu. Dificultatea constă în a vedea legătura ce se poate stabili între niște fenomene profund deterministe și niște experimente aleatoare care aparent nu au nici o legătură cu problema pusă. Voi lămuri această idee, urmărind problema „acului lui BUFFON” pe care acesta a formulat-o în 1760 și care a fost rezolvată numai în 1860 de către E. BARBIER [S69].

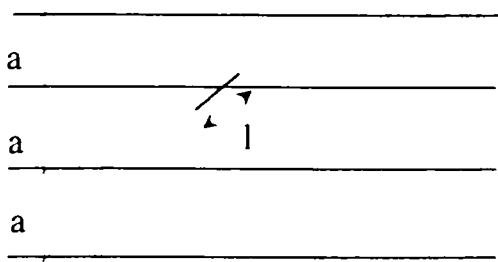


Fig. 4.3.1.1

Problema este următoarea: Să presupunem că avem dat un coroaiaj al unei suprafețe plane, format din drepte paralele și echidistante (a). Pe această suprafață aruncăm un ac de lungime $l < a$. Să stabilim care este probabilitatea ca acul să intersecteze una din dreptele coroaiajului. După un calcul destul de lung și dificil [S69] p.110, care acum nu ne interesează, se demonstrează că această probabilitate este:

$$P = \frac{2l}{\pi a} \quad (4.3.1.1)$$

Pe de altă parte, în mod surprinzător, acest experiment aleator simplu poate fi pus în legătură cu calculul aproximativ al numărului π . Pentru aceasta vom face efectiv această experiență: aruncând acul de n ori și constatând că acul intersectează o linie a coroaiajului de n' ori, frecvența relativă a fenomenului este $\frac{n'}{n}$; deci putem spune că $\frac{n'}{n} \approx \frac{2l}{\pi a} \Rightarrow \pi \cong \frac{n}{n'} \cdot \frac{2l}{a}$.

Am obținut un rezultat surprinzător, care leagă calculul numărului π , o problemă deterministă, cu o experiență aleatoare!

Au fost mulți cercetători care au făcut această experiență simplă pentru a verifica rezultatul. De exemplu LAZZERINI (1901) considerând $l/a=0.83$ și $n=3408$, $n'=1808 \Rightarrow \pi \cong 3,1415929$ sau GRIEDGEMAN (1960): $l/a=0.7857$, $n=2$, $n'=1 \Rightarrow \pi = 3,143$.

Să vedem acum care este modelul aleator asociat acestei probleme. Să presupunem că A este evenimentul care constă în aceea că acul intersectează una din liniile coroaiajului. Se demonstrează că evenimentul A se produce cu probabilitatea $P = \frac{2l}{\pi a}$. Problema care se pune este deci estimarea mărimii P . Dar în teoria estimăției (v. § 4.2.9.3.) se demonstrează că

frevența n'/n constituie o estimare consistentă nedepășită a mărimii P , sau altfel spus, variabila aleatoare n'/n converge în probabilitate către P când $n \rightarrow \infty$, iar $M\left(\frac{n'}{n}\right) = P$. Prin urmare suntem îndreptățiți să luăm ca valoare aproximativă pentru $P = 2l/\pi a$ valoarea n'/n . Ceea ce este propriu (m.M.C.) este faptul că observarea modelului (experimentului) construit și înregistrarea rezultatelor corespunzătoare se înlocuiesc cu rezultatele unor calcule efectuate cu *numere aleatoare*** și prin aceasta se dispensează de prelucrarea efectivă a experimentelor. În baza acestui raționament (m.M.C.) are trei părți:

- Modelarea variabilei aleatoare având o lege de repartiție dată;
- Construirea modelului probabilist al procesului (sistemului) real, analizat;
- Utilizarea teoriei statistice a estimăției.

Elaborarea limbajelor de programare automată a simplificat substanțial una din etapele acestei munci. Din această cauză, în prezent etapele cele mai complicate sunt următoarele: descrierea matematică a fenomenului studiat, simplificările necesare ale problemei, alegerea metodei numerice corespunzătoare, studiul erorilor și scrierea algoritmului. În cazul metodelor deterministe este necesar să se construiască un model probabilistic – să se randomizeze problema inițială – pentru a se putea folosi (m.M.C.)

Analizând **precizia metodei Monte-Carlo**, în lucrările menționate se arată că dacă introducem eroarea absolută $\delta = |\bar{x} - M(\xi)|$ vom obține:

$$\delta = |\bar{x} - M(\xi)| < \frac{D(\xi)}{\sqrt{n\varepsilon}} \quad (4.3.1.2)$$

ceea ce spune că eroarea (m.M.C.) este de ordinul $\frac{1}{\sqrt{n}}$, evident privită în sens probabilistic.

4.3.2. Numere aleatoare

Noțiunea de „*număr aleator*”, fundamentală în formularea (m.M.C) are o semnificație numai asociată cu un anumit experiment. Fie ξ o variabilă aleatoare reală, definită pe un anumit câmp de probabilitate; orice valoare x pe care o poate lua variabila aleatoare ξ se numește **număr aleator**. Rezultă că un șir de numere aleatoare nu este altceva decât o **selecție efectivă de volum finit** efectuată asupra variabilei aleatoare ξ . Deci (m.M.C.) caută să folosească aparatul statisticii matematice la rezolvarea unor probleme strict deterministe *prin intermediul conceptului fundamental de selecție*. Nu voi mai prezenta problemele legate de generarea numerelor aleatoare și pseudoaleatoare. Se găsesc în [S69]. Voi reda numai câteva idei privind *modelarea diferitelor experimente* care se desfășoară după o funcție de repartiție dată fără a mai efectua aceste experimente, ci înlocuindu-le cu niște calcule mult mai simple cu numere aleatoare uniform repartizate pe intervalul $[0,1]$. O variabilă aleatoare ξ se numește uniformă pe intervalul $[a,b]$ (sau uniform repartizată pe intervalul $[a,b]$, dacă densitatea sa de probabilitate este dată de funcția:

* (m.M.C.) s-a dezvoltat în mod sistematic începând cu cel de-al doilea război mondial, când a fost utilizată la producerea bombei atomice în legătură cu modelarea directă a problemelor probabiliste privind difuzia aleatoare a neutronilor dintr-un material fisionabil. Posibilitatea aplicării (m.M.C.) la probleme deterministe a fost semnalată de E. FERMI, J. von NEUMANN, S. ULAM și popularizată de ei imediat după cel de-al doilea război mondial. Această metodă, care și-a găsit ulterior numeroase aplicații, joacă un rol central în „Analiza numerică”.

** Primele tabele de **numere aleatoare** s-au alcătuit pe baza rezultatelor obținute la jocurile de ruletă și care la cazinoul din Monte-Carlo se afișează în mod regulat; de aici provine și denumirea de metoda Monte-Carlo dată procedeelor descrise mai sus, metodă introdusă de matematicienii americani N. METROPOLIS, S. ULAM în 1949.

$$p(x) = e_{[a,b]}(x) = \begin{cases} \frac{1}{b-a} & \text{dacă } x \in [a,b] \\ 0 & \text{dacă } x \notin [a,b] \end{cases} \quad (4.3.2.1)$$

În acest caz funcția de repartiție corespunzătoare este:

$$F(x) = \begin{cases} 0, & \text{dacă } x < 0 \\ x, & \text{dacă } a \leq x < b \\ 1, & \text{dacă } x \geq b \end{cases} \quad (4.3.2.2)$$

Voi sistematiza câteva proprietăți ale șirurilor de numere aleatoare.

1⁰) Să considerăm un șir de numere aleatoare $(x_n)_{n \in \mathbf{N}^*}$ uniform repartizat pe intervalul $[0,1]$ și fie $[a,b]$ un interval inclus în $[0,1]$: $[a,b] \subseteq [0,1]$. Vom nota cu $\nu_n = \nu_k(a,b)$ - numărul de elemente ale subșirului finit $(x_i)_{1 \leq i \leq n}$ care se găsesc în intervalul $[a,b]$. Atunci are loc relația:

$$\lim_{n \rightarrow \infty} \frac{\nu_n}{n} = b - a \quad (4.3.2.3)$$

adică frecvența relativă a unui șir de numere aleatoare $(x_n)_{n \in \mathbf{N}^*}$ uniform repartizate pe intervalul $[0,1]$ pentru fiecare subinterval $[a,b] \subset [0,1]$ este egală cu lungimea acestui subinterval.

2⁰) Dintr-un șir de numere aleatoare $(x_n)_{n \in \mathbf{N}^*}$ uniform repartizate pe intervalul $[0,1]$, obținem imediat un șir de numere aleatoare $(y_n)_{n \in \mathbf{N}^*}$ uniform repartizate pe un interval dat $[A,B]$; pentru aceasta e suficient să punem:

$$y_n = A + (B - A)x_n \quad n \in \mathbf{N}^*$$

3⁰) Deosebit de important este să stabilim ce relație există între șirurile de numere aleatoare uniform repartizate pe intervalul $[0,1]$ și șirurile de numere aleatoare cu o funcție de repartiție dată. Această legătură se bazează pe faptul că dacă variabila aleatoare η are densitatea de probabilitate $p(x)$, atunci variabila aleatoare

$$\xi = \int_{-\infty}^{\eta} p(u) du \quad (4.3.2.4)$$

este uniform repartizată pe intervalul $[0,1]$.

Pe baza acestui rezultat se poate da următoarea regulă: dacă $(x_n)_{n \in \mathbf{N}^*}$ este un șir de numere aleatoare uniform repartizate pe intervalul $[0,1]$, atunci pentru a obține un șir de numere aleatoare $(y_n)_{n \in \mathbf{N}^*}$ densitatea de repartiție $p(x)$ - respectiv cu funcția de distribuție $F(x)$, - vom rezolva ecuațiile în y_n :

$$x_n = \int_{-\infty}^{y_n} p(u) du, \quad n \in \mathbf{N}^* \quad (4.3.2.5)$$

sau, sub formă echivalentă, ecuațiile:

$$x_n = F(y_n), \quad n \in \mathbf{N}^* \quad (4.3.2.6)$$

unde $F(x)$ este funcția de repartiție corespunzătoare densității de probabilitate $p(x)$. Rezultă atunci că:

$$\lim_{n \rightarrow \infty} \frac{\tilde{v}_n}{n} \int_a^b p(u) du \quad n \in \mathbf{N}^* \quad (4.3.2.7)$$

unde \tilde{v}_n este numărul de elemente ale subșirului finit $(y_i)_{1 \leq i \leq n}$ care aparțin unui subinterval arbitrar $[a, b]$.

4.3.3. Calculul numeric aproximativ al integralelor

În „Analiza numerică” una dintre probele cele mai importante este calculul integralelor definite, datorită frecvenței ridicate cu care se întâlnesc acestea în probleme de cercetare. De aceea și există numeroase metode – să le spunem clasice – pentru calculul numeric al acestor integrale. Dar dacă se trece de la integralele simple la integralele multiple volumul calculului crește considerabil. În aceste situații (m.M.C.) rezolvă cu succes și relativ repede și simplu cele mai complicate probleme în care intervin integrale multiple, în special în acele cazuri în care nu se impun condiții prea severe asupra preciziei rezultatelor. Mai mult, precizia rezultatelor nu depinde de ordinul de multiplicitate a integralelor.

Pentru a înțelege principiul metodei ne propunem să calculăm integrala:

$$I = \int_a^b f(x) dx \quad (4.3.3.1)$$

care presupunem că există. De multe ori, la începutul problemei, această integrală pe $[a, b]$ se reduce mai întâi la o integrală pe $[0, 1]$ cu substituția $y = (x-a)/(b-a)$.

Voi prezenta două procedee:

I. Ideea metodei are la bază unul din rezultatele obținute în teoria selecției conform căruia „media de selecție estimează corect media teoretică”.

Fie ξ o variabilă aleatoare uniform repartizată pe intervalul $[a, b]$. Să formăm o nouă variabilă aleatoare $f(\xi)$; se vede legătura cu integrala (4.3.3.1) deoarece ne folosim de expresia analitică a funcției de sub semnul integral pentru a forma noua variabilă aleatoare $f(\xi)$. Acestei noi variabile aleatoare să-i calculăm valoarea medie (teoretică):

$$M(f(\xi)) = \int_a^b f(u) e_{[a,b]}(u) du = \frac{1}{b-a} \int_a^b f(u) du = \frac{1}{b-a} \cdot I \quad (4.3.3.2)$$

unde $e_{[a,b]}$ este densitatea de probabilitate uniformă pe $[a, b]$ (v. (4.3.2.1)).

Pe de altă parte să efectuăm asupra variabilei aleatoare ξ o selecție de volum n ; fie acesta x_1, x_2, \dots, x_n și să calculăm valorile de selecție pentru noua variabilă, $f(x_i)$, și să-i determinăm valoarea medie:

$$M(f(x_i)) = \frac{1}{n} \sum_{i=1}^n f(x_i)$$

Dar:

$$M(f(x_i)) \cong M(f(\xi)) \Leftrightarrow \frac{1}{n} \sum_{i=1}^n f(x_i) = \frac{1}{b-a} I \Rightarrow I \cong \frac{b-a}{n} \sum_{i=1}^n f(x_i) \quad (4.3.3.3)$$

Accentuăm faptul că x_i sunt n numere aleatoare uniform distribuite pe intervalul $[0, 1]$ care sunt în tabele sau pot fi generate de funcții specializate din anumite limbaje de programare a calculatorului. De exemplu, 10 astfel de numere sunt: 0.878; 0.260; 0.694; 0.922; 0.129; 0.359; 0.119; 0.877; 0.347; 0.081.

II. Un alt procedeu: Să considerăm, pentru simplitate, că $0 \leq f(x) \leq c, x \in [a, b]$

Fie (ξ, η) o variabilă aleatoare bidimensională uniform repartizată* în dreptunghiul:

$$D = \{(x, y): a \leq x \leq b, 0 \leq y \leq c\}$$

Asupra acestei variabile efectuăm o selecție de volum n descrisă prin mulțimea perechilor: $(x_1, y_1), (x_2, y_2), \dots, (x_n, y_n)$. Asemenea perechi de puncte uniform distribuite în pătratul unitate $[0,1] \times [0,1]$ (numere aleatoare bidimensionale uniform distribuite) sunt date în tabele sau sunt generate de calculator la apelarea anumitor funcții specializate.

Să notăm cu n' numărul acestor puncte din această selecție care se găsesc sub graficul funcției $f(x)$ (v. Fig.4.3.3.1), adică numărul punctelor pentru care $y_i < f(x_i)$. Atunci putem scrie:

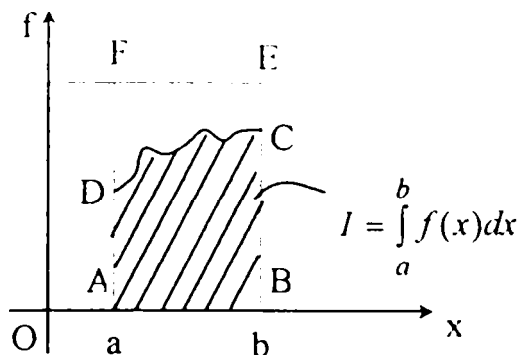


Fig. 4.3.3.1

$$\frac{\text{aria } ABCD}{\text{aria } ABEF} \cong \frac{n'}{n} \tag{4.3.3.4}$$

sau, în mod echivalent:

$$\frac{\int_a^b f(u) du}{c(b-a)} \cong \frac{n'}{n} \Rightarrow I \cong c(b-a) \frac{n'}{n} \tag{4.3.3.5}$$

Dăm în continuare *programul (realizat în limbajul Visual Basic) pentru calculul integralelor duble cu metoda Monte Carlo.*

Am considerat că se cere evaluarea integralei multiple de gradul doi de forma:

$$I = \iint_G f(x, y) dx dy \tag{4.3.3.6}$$

pe un domeniu G care se află în interiorul unui cub unitar bidimensional ($0 \leq x \leq 1, 0 \leq y \leq 1$). Dacă acest lucru nu se întâmplă în realitate, se poate face trecerea la această situație printr-o transformare de variabilă. Funcția $f(x, y)$ de sub semnul integral s-a considerat de forma:

$f(x, y) = ax^2 + by^2 + cxy + dx + ey + f$, unde coeficienții a, b, c, d, e, f se dau de către utilizator.

Vom alege n secvențe de numere aleatoare repartizate uniform pe intervalul $[0,1]$:

$$\begin{aligned} &M_1(x^{(1)}, y^{(1)}) \\ &M_2(x^{(2)}, y^{(2)}) \\ &M_3(x^{(3)}, y^{(3)}) \\ &\dots \\ &M_n(x^{(n)}, y^{(n)}) \end{aligned} \tag{4.3.3.7}$$

* Reamintim: O variabilă aleatoare r - dimensională ξ se numește uniformă pe domeniul D (sau **uniform repartizată** pe domeniul D) dacă densitatea sa de probabilitate este dată de funcția:

$$p(x_1, x_2, \dots, x_r) = e_D(x_1, \dots, x_r) = \begin{cases} \frac{1}{v(D)} & \text{dacă } (x_1, x_2, \dots, x_r) \in D \\ 0 & \text{dacă } (x_1, x_2, \dots, x_r) \notin D \end{cases} \text{ unde } v(D) \text{ este volumul } r\text{-dimensional al domeniului } D.$$

Atunci cele n secvențe $M_i(x^{(i)}, y^{(i)})$, $i = 1, n$ pot fi considerate ca puncte aleatoare uniform distribuite în cubul unitar bidimensional.

Fie ca din totalul n de numere aleatoare, n' puncte să fie localizate în domeniul G , iar restul de $n - n'$ să fie în afara lui. Atunci, pentru un număr n suficient de mare, calculul integralei I cu metoda Monte Carlo se va face cu următoarea formulă aproximativă:

$$I \approx \frac{n'}{n} \cdot \frac{\sum_{i=1}^{n'} f(M_i)}{n'} = \frac{\sum_{i=1}^{n'} f(M_i)}{n} \quad (4.3.3.8)$$

Algoritmul este simplu de implementat și nu necesită alte explicații. Dăm mai întâi codul sursă al programului, realizat în Visual Basic, și apoi câteva exemple de calcul a unor integrale simple, pe baza cărora s-a testat corectitudinea rezultatelor furnizate de program.

Desigur că pentru a ne asigura de o înaltă precizie numărul de puncte n trebuie să fie cât mai mare. Eroarea formulei (4.3.3.8) este invers proporțională cu rădăcina pătrată a numărului de puncte de test, adică, luând 25 de puncte de test eroarea poate fi până la $1/\sqrt{25}$, adică 0.2=20%. Deoarece însă formulele aproximative (4.3.3.6) s-ar putea scrie similar și pentru integrale de orice ordin de multiplicitate, rezultă că eroarea nu crește cu ordinul de multiplicitate al integralelor, și deci metoda Monte Carlo se pretează foarte bine și în cazul calculului integralelor de ordin mare.

Cod sursă al programului de calcul al integralelor multiple cu metoda Monte Carlo

Module 1:

```
Public a As Single, b As Single, c As Single, d As Single, e As Single, f As Single
Public nt As Integer, i As Integer, integr As Single, ValMax As Single
Public X() As Single, Y() As Single, Z() As Single, Z1() As Single, Eps() As Integer
```

Sub main()

```
MsgBox "Rezolvarea integralelor multiple cu metoda Monte Carlo"
Form1.Show
End Sub
```

Public Function FNF(i As Integer, a1 As Single, b1 As Single, c1 As Single, d1 As Single, e1 As Single, f1 As Single)

```
FNF = a1 * X(i) ^ 2 + b1 * Y(i) ^ 2 + c1 * X(i) * Y(i) + d1 * X(i) + e1 * Y(i) + f1
End Function
```

Form 1

Form1

Dati coeficientii a, b, c, d, e, f pozitivi ai functiei $ax^2+by^2+cxy+dx+ey+f$ de sub semnul integral

a= b= c= d= e= f=

OK Continuare pt. o precizie mai buna Sfarsit

Private Sub CmdOK_Click()

```

a = Val(Txta.Text)
b = Val(Txtb.Text)
c = Val(Txtc.Text)
d = Val(Txtd.Text)
e = Val(Txte.Text)
f = Val(Txtf.Text)
ValMax = a + b + c + d + e + f
Randomize Timer
nt = InputBox("Nr total de puncte=")
ReDim X(1 To nt), Y(1 To nt), Z(1 To nt), Z1(1 To nt), Eps(1 To nt)
For i = 1 To nt
    X(i) = Rnd
    Y(i) = Rnd
    Z(i) = Rnd
Next i
Cls
Print: Print: Print: Print: Print: Print: Print: Print
Print "_____ "
Print "X", "Y", "Z", "f(x,y)", "Eps"
Print "_____ "
n = 0
For i = 1 To nt
    Z1(i) = FNF(i, a, b, c, d, e, f) / ValMax
    If Z(i) <= Z1(i) Then
        Eps(i) = 1
        n = n + 1
    Else
        Eps(i) = 0
    End If
    Print Format(X(i), "##0.0000000"), Format(Y(i), "##0.0000000"), Format(Z(i), "##0.0000000"), Format(Z1(i),
"##0.0000000"), Eps(i)
Next i
Print "_____ "
Print "n=", n
integr = n / nt * ValMax
MsgBox ("Valoarea integralei I=" & integr)
Cmdrepet.Visible = True
cmds.Visible = True
End Sub

```

Private Sub Cmdrepet_Click()

```

nt = InputBox("Nr total de puncte=")
ReDim X(1 To nt), Y(1 To nt), Z(1 To nt), Z1(1 To nt), Eps(1 To nt)
For i = 1 To nt
    X(i) = Rnd
    Y(i) = Rnd
    Z(i) = Rnd
Next i
Cls
Print: Print: Print: Print: Print: Print: Print: Print
Print "_____ "
Print "X", "Y", "Z", "f(x,y)", "Eps"
Print "_____ "
n = 0
For i = 1 To nt
    Z1(i) = FNF(i, a, b, c, d, e, f) / ValMax
    If Z(i) <= Z1(i) Then
        Eps(i) = 1
        n = n + 1
    Else
        Eps(i) = 0
    End If

```

```

End If
Print Format(X(i), "##0.000000"), Format(Y(i), "##0.000000"), Format(Z(i), "##0.000000"), Format(Z1(i),
"##0.000000"), Eps(i)
Next i
Print "_____ "
Print "n=", n
integr = n / nt * ValMax
MsgBox ("Valoarea integralei I=" & integr)
End Sub

```

Private Sub cmdsf_Click()

```

End
End Sub

```

Private Sub Txta_Validate(Cancel As Boolean)

```

If Val(Txta.Text) < 0 Then
  MsgBox ("Coeficientii trebuie sa fie pozitivi!")
  Cancel = True
End If
End Sub

```

Private Sub Txtb_Validate(Cancel As Boolean)

```

If Val(Txtb.Text) < 0 Then
  MsgBox ("Coeficientii trebuie sa fie >=0!")
  Cancel = True
End If
End Sub

```

Private Sub Txtc_Validate(Cancel As Boolean)

```

If Val(Txtc.Text) < 0 Then
  MsgBox ("Coeficientii trebuie sa fie >=0!")
  Cancel = True
End If
End Sub

```

Private Sub Txtd_Validate(Cancel As Boolean)

```

If Val(Txtd.Text) < 0 Then
  MsgBox ("Coeficientii trebuie sa fie >=0!")
  Cancel = True
End If
End Sub

```

Private Sub Txte_Validate(Cancel As Boolean)

```

If Val(Txte.Text) < 0 Then
  MsgBox ("Coeficientii trebuie sa fie >=0!")
  Cancel = True
End If
End Sub

```

Private Sub Txtf_Validate(Cancel As Boolean)

```

If Val(Txtf.Text) < 0 Then
  MsgBox ("Coeficientii trebuie sa fie >=0!")
  Cancel = True
End If
End Sub

```

Exemple de calcul:

1) cazul $I = \iint x dx dy$

Form1

Dati coeficientii a, b, c, d, e, f pozitivi ai functiei $ax^2+by^2+cxy+dx+ey+f$ de sub semnul integral

a= b= c= d= e= f=

X	Y	Z	f(x,y)	Eps
0,5188090	0,6312371	0,1732863	0,5188090	1
0,3466384	0,1155834	0,8792442	0,3466384	0
0,5642748	0,0186434	0,8146564	0,5642748	0
0,8867613	0,4775146	0,7215512	0,8867613	1
0,6280522	0,9302167	0,1462207	0,6280522	1
0,5682158	0,7797086	0,6502963	0,5682158	0
0,7108353	0,9498117	0,6586027	0,7108353	1
0,1925691	0,7971516	0,8014584	0,1925691	0
0,0218756	0,5981117	0,3444398	0,0218756	0
0,1178458	0,4479575	0,4441336	0,1178458	0
0,6835714	0,7188592	0,0396926	0,6835714	1
0,7346021	0,8651446	0,2652042	0,7346021	1

n= 6

MCI X

Valoarea integralei I=0,5

Se observă că alegând doar 12 perechi de puncte (x,y) aleatoare s-a obținut soluția exactă a integralei, care este de 0.5.

Observație: În figurile care prezintă execuția programului, cu n l-am notat de fapt pe n', adică numărul cazurilor când punctele aleatoare alese sunt cuprinse în spațiul integralei.

2) cazul $I = \iint 2 dx dy$

Form1

Dati coeficientii a, b, c, d, e, f pozitivi ai functiei $ax^2+by^2+cxy+dx+ey+f$ de sub semnul integral

a= b= c= d= e= f=

X	Y	Z	f(x,y)	Eps
0,8878461	0,0879688	0,4865629	1,0000000	1
0,2313935	0,3625634	0,3095686	1,0000000	1
0,1345076	0,5993270	0,5734602	1,0000000	1
0,9827867	0,4471290	0,9146367	1,0000000	1
0,1180094	0,1277034	0,9266853	1,0000000	1

n= 5

MCI X

Valoarea integralei I=2

Pentru cazul funcției constante sub semnul integral valoarea calculată va fi de asemenea exactă, și aceasta oricât de mic ar fi numărul de puncte n ales.

3) cazul $I = \iint x^2 dx dy$

Form1

Dati coeficientii a, b, c, d, e, f pozitivi ai functiei $ax^2+by^2+cxy+dx+ey+f$ de sub semnul integral

a= b= c= d= e= f=

X	Y	Z	f(x,y)	Eps
0,8976360	0,7006888	0,2221333	0,8057504	1
0,8034908	0,8098457	0,9769990	0,6455974	0
0,6043844	0,2731928	0,8013745	0,3652804	0
0,0505085	0,4895689	0,5505005	0,0025511	0
0,4208673	0,0877821	0,9404921	0,1771293	0
0,7594985	0,3585706	0,8305802	0,5768380	0
0,2943732	0,2010289	0,7744578	0,0866556	0
0,6114833	0,1159706	0,4933170	0,3739119	0
0,8763533	0,6195173	0,4007065	0,7679951	1
0,9625956	0,7480586	0,4157784	0,9265903	1

n= 3

MCI

Valoarea integralei I=0,3

Valoarea exactă a integralei este $I=1/3$, și prin program s-a obținut, utilizând doar 10 puncte aleatoare, valoarea 0.3.

4) cazul $I = \iint (x^2 + y^2) dx dy$

Form1

Dati coeficientii a, b, c, d, e, f pozitivi ai functiei $ax^2+by^2+cxy+dx+ey+f$ de sub semnul integral

a= b= c= d= e= f=

X	Y	Z	f(x,y)	Eps
0,0642480	0,3252424	0,3503037	0,0549552	0
0,2884865	0,1213381	0,6180836	0,0489737	0
0,3294461	0,0280612	0,1216082	0,0546611	0
0,2102908	0,0237718	0,7822423	0,0223937	0
0,5975901	0,8167688	0,3510664	0,5121126	0
0,6101730	0,9343547	0,5948051	0,6226649	0
0,9019671	0,5524416	0,5726368	0,5593682	0
0,5346953	0,7680877	0,1467068	0,4379289	0
0,4619603	0,1003674	0,6201435	0,1117404	0
0,1933227	0,7637631	0,1200076	0,3103539	0
0,0360764	0,7709634	0,8045225	0,2978431	0
0,9266847	0,0791798	0,5022488	0,4325070	0
0,2788793	0,7489754	0,1262239	0,3193689	1
0,0693686	0,7027640	0,3515891	0,2493446	0
0,9455801	0,9797082	0,1165206	0,9269749	1
0,9259931	0,0253466	0,5814731	0,4290528	0
0,0380325	0,2310375	0,1514731	0,0274124	0
0,3293142	0,6658470	0,9835802	0,2759000	0
0,2358859	0,2999527	0,3323006	0,0728069	0
0,4991120	0,3946128	0,9578052	0,2024160	0

n= 6

MCI

Valoarea integralei I=0,6

Și în acest caz s-a obținut cu doar 20 de puncte valoarea $i=0.6$ în locul celei exacte de $2/3$.

În final doresc să indic că la **Anexa 14** este dat codul sursă al unei a doua variante de program pentru calculul integralelor în cazul plan cu metoda Monte Carlo. De asemenea la **Anexa 15** există un alt program care realizează calculul integralelor, de data aceasta cu formulele de cuadratură Gauss, program care s-a utilizat și în cadrul paragrafului următor, care prezintă un program Fortran mai complex pentru calculul plăcilor cu fisuri multiple.

§ 4.4. PROBLEMA FISURILOR MULTIPLE ORIENTATE ALEATOR ÎN ELASTOSTATICA LINIARĂ PLANĂ. O SOLUȚIE NUMERICĂ.

4.4.1. Introducere

Problema proiectării de algoritmi pentru calculul câmpurilor de tensiuni într-un material bidimensional liniar elastic, încărcat mecanic, cu fisuri și incluziuni multiple, a atras în ultimul timp foarte mult atenția cercetătorilor. Algoritmul tipic care se prezintă în general de către cercetători face parte din una dintre cele două categorii de algoritmi: *algoritmi de precizie moderată, bazați pe ecuații integrale singulare*, și *algoritmi aproximativi bazați tot pe ecuații integrale singulare*. Algoritmii de precizie moderată adesea nu pot lua în calcul mai mult de câteva fisuri sau incluziuni (vezi de exemplu [C35], [W10], [C16]). Algoritmii aproximativi pot lua în calcul mai multe fisuri, dar cu prețul unei precizii mai slabe, mai ales atunci când fisurile sunt foarte aproape unele de altele (vezi, de exemplu, [F22]).

Sunt, după părerea mai multor cercetători, trei motive principale care fac ca mulți algoritmi pentru probleme de fisuri multiple să atingă doar niște performanțe limitate:

- 1) *faptul că acești algoritmi sunt bazați pe ecuații integrale singulare*. Operatorii integrali singulari au adesea proprietăți spectrale, care conduc la algoritmi instabili. Precizia va scădea eventual datorită anulării numerice pe măsură ce rețeaua de discretizare este rafinată.
- 2) *Algoritmii au proprietăți adaptive slabe*. Adesea se cere o discretizare uniformă.
- 3) *Algoritmii sunt rezolvați cu metode care au o complexitate cubică*. Pe măsură ce numărul de puncte de discretizare este dublat, costul de calcul crește de opt ori. Metoda de eliminare Gauss pentru rezolvarea sistemelor de ecuații liniare este un exemplu de algoritm cu complexitate cubică.

În continuare voi prezenta în acest paragraf un algoritm inspirat în principal din lucrările [H23], [G33], [H21], [H29] pentru problema fisurilor multiple, un algoritm care este adaptiv și care are o complexitate liniară. Algoritmul se bazează pe o ecuație integrală Fredholm de speța a doua, derivată în [H21]. Ecuațiile integrale Fredholm de speța a doua sunt piese de construcție excelente a algoritmilor numerici stabili. Noutatea metodei constă în combinarea și implementarea de algoritmi, ecuații și idei care au fost prezentate în literatura de matematică aplicată în ultimii 15 ani.

4.4.2. Ecuația integrală Fredholm și modulele elastice efective

Să considerăm un material constând dintr-un mediu infinit cu modulele elastice bidimensionale K și G . Materialul este periodic. Într-o celulă unitate există un număr de N fisuri. Notăm fisurile în celula unitate cu Γ^j , $j = 1, 2, \dots, N$. Reuniunea tuturor fisurilor din plan este Γ . Punctul de pornire și punctul final al fisurii Γ^j , așa-numitele vârfuri ale fisurii, sunt notate cu γ_p^j și γ_f^j . Deformația medie în material este notată cu $\bar{\epsilon} = (\bar{\epsilon}_{xx}, \bar{\epsilon}_{yy}, \bar{\epsilon}_{xy})$, și tensiunea medie este notată cu $\bar{\sigma} = (\bar{\sigma}_{xx}, \bar{\sigma}_{yy}, \bar{\sigma}_{xy})$. Dorim să rezolvăm ecuația elastostatică în materialul supus la trei

deformații medii impuse diferite, și anume $\bar{\epsilon}_I = (1, 0, 0)$, $\bar{\epsilon}_{II} = (0, 1, 0)$ și $\bar{\epsilon}_{III} = (0, 0, 1)$. Vom începe cu o reprezentare a câmpului de tensiuni bazat pe potențialele cu majusculă Φ și Ψ (v. [M69]) sub forma următoare:

$$\Phi(z) = \frac{1}{2\pi i} \int_{\Gamma} \frac{\Omega(\tau)\rho(\tau) d\tau}{\tau - z} + \frac{\alpha}{2}, \quad (4.4.1)$$

$$\Psi(z) = -\frac{1}{2\pi i} \int_{\Gamma} \frac{\overline{\Omega(\tau)\rho(\tau)} d\bar{\tau}}{\tau - z} - \frac{1}{2\pi i} \int_{\Gamma} \frac{\bar{\tau} \Omega(\tau)\rho(\tau) d\tau}{(\tau - z)^2} + \beta \quad (4.4.2)$$

unde $\Omega(z)$ este o densitate necunoscută pe Γ și $\rho(z)$ este o funcție pondere care pe fisura Γ este dată de:

$$\rho(z) = \left((z - \gamma_p^j)(z - \gamma_f^i) \right)^{-\frac{1}{2}} \quad (4.4.3)$$

Potențialele cu majusculă Φ și Ψ din (4.4.1) și (4.4.2) sunt în relație cu funcția de tensiune a lui Airy prin intermediul expresiilor:

$$U = \text{Re} \left\{ \bar{z} \Phi + \chi \right\}, \quad \Phi = \phi', \quad \Psi = \chi''$$

Constantele α și β în (4.4.1) și (4.4.2) reprezintă termenii de forțare în formularea de față. Cele două constante iau valorile K și $-G$ pentru deformația $\bar{\epsilon}_I$, valorile K și G pentru deformația $\bar{\epsilon}_{II}$, și valorile 0 și $2iG$ pentru deformația $\bar{\epsilon}_{III}$.

S-a demonstrat într-un mod riguros de către autorii lucrării [H21] că, utilizând reprezentarea de mai sus, ecuația elastostatică parțial diferențială poate fi rescrisă ca fiind următoarea ecuație integrală Fredholm de speța a doua:

$$\left(I + M_4^* (M_1^0 - M_3) \right) \Omega(z) = M_4^* \left(\frac{\bar{n}}{n} \bar{\beta} - \alpha \right), \quad z \in \Gamma \quad (4.4.4)$$

Aici I reprezintă operatorul de identitate, M_4^* este un operator integral singular și limitat, M_1^0 și M_3 sunt operatori integrali compacți, și n este vectorul unitar normal (v. [H21] pentru detalii).

Câmpurile de tensiuni și deformații în material și factorii de intensitate a tensiunilor la vârfurile fisurii pot fi ușor evaluate după ce ecuația (4.4.4) este rezolvată pentru Ω . Așa-numitele *module elastice efective* sunt alte mărimi care pot fi ușor evaluate ca funcție de Ω . Modulele elastice efective sunt deosebit de simplu de definit și de calculat în cadrul unui material dublu periodic cu o celulă unitate pătrată de arie unitară. Modulele elastice efective a unui material pot fi definite prin următoarele relații între tensiuni medii și deformații medii:

$$\begin{Bmatrix} \bar{\sigma}_{xx} \\ \bar{\sigma}_{yy} \\ \sqrt{2} \bar{\sigma}_{xy} \end{Bmatrix} = \begin{bmatrix} c_{*1} & c_{*2} & c_{*3} \\ c_{*2} & c_{*4} & c_{*5} \\ c_{*3} & c_{*5} & c_{*6} \end{bmatrix} \begin{Bmatrix} \bar{\epsilon}_{xx} \\ \bar{\epsilon}_{yy} \\ \sqrt{2} \bar{\epsilon}_{xy} \end{Bmatrix} \quad (4.4.5)$$

4.4.3. Prezentarea algoritmului și codul sursă al programului Fortran

Am implementat ecuația (4.4.4) după modul recomandat în [H21], făcând însă două modificări importante:

- 1) *S-a modificat regula de cuadratură.* În [H21] s-a utilizat o cuadratură Gauss-Legendre pe paneluri de cuadratură interne și o cuadratură Gauss-Jacobi pe paneluri conținând vârfuri de fisuri. În implementarea algoritmului de față utilizăm tot cuadraturi Gauss-Legendre de ordinul 31 de precizie pentru panouri de cuadratură interne, dar folosim o integrare produs de ordinul 15 de precizie pe panourile ce conțin vârfuri de fisuri. Diferența în ceea

ce privește performanța s-a constatat a fi minoră. Avantajul integrării produs, în schimb, este că se poate utiliza aceeași spațiere relativă între punctele de cuadratură pe toate panourile. Acest fapt simplifică în mod considerabil programul.

- 2) S-a modificat modul de rezolvare iterativă a sistemului de ecuații liniare care rezultă după discretizarea (4.4.4). În [H21] s-au format explicit matricile corespunzătoare lui M_1^0 , M_3 și M_4^* . Această procedură a condus la un algoritm cu complexitate pătratică și astfel nu se puteau lua în calcul sisteme care implicau mai mult decât aproximativ 20 de fisuri și incluziuni. În metoda de față se exploatează avantajul metodei multipol rapide, care a fost adaptată la problemele de elasticitate liniară de către GREENGARD și HELSING [G34]

La rulare programul cere ca date de intrare:

- tipul încărcării;
- lungimea relativă a fisurilor (toate fisurile se vor considera de aceeași lungime, plasate uniform în punctele unei rețele matriceale de împărțire a domeniului pătrat unitar în care sunt plasate fisurile), unde 0 reprezintă faptul că fisurile sunt infinit de mici iar 1 reprezintă faptul că fisurile au lungimea egală cu distanța dintre două puncte ale rețelei matriceale;
- rădăcină pătrată din numărul de fisuri, cu alte cuvinte numărul de fisuri de pe marginea laturii pătratului care reprezintă domeniul analizat;
- modulele elastice bidimensionale K și G .

Orientările fisurilor sunt generate aleator prin program, prin atribuirea unor pante de înclinare a fisurilor cuprinse între 0 și π .

Un exemplu de calcul ar fi cel pentru matricea de 4×4 fisuri de lungimi relative egale cu 0.5 și orientări aleatoare, reprezentat în Fig. 4.4.1.

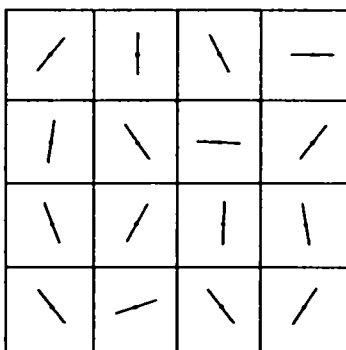


Fig. 4.4.1

Programul furnizează în urma calculelor modulele elastice efective c_{*1} , c_{*2} , c_{*3} , c_{*4} , c_{*5} și c_{*6} . Deoarece programul s-a prevăzut cu dimensiuni ale matricii și posibilități de calcul de până la 100×100 fisuri periodice distribuite în domeniul pătrat unitar, verificarea rezultatelor cu probleme “benchmark” de o asemenea complexitate este imposibilă. Totuși putem ști că rezultatele sunt corecte comparând rezultatele furnizate de acest program cu soluțiile analitice și numerice a unor probleme mai simple, efectuate de alți cercetători. Astfel de exemplu problema unei fisuri drepte

singulare și cea a unei fisuri sub formă de arc circular într-un mediu elastic infinit au soluții analitice (v.[M69]). Se pot utiliza valori calculate pentru factorii de intensitate a tensiunilor ca o măsură a corectitudinii, deoarece conceptul de proprietăți efective nu se aplică la acest tip de probleme “libere spațial”. Pentru diferite lungimi, unghiuri de deschidere și încărcări programul de față reproduce valorile analitice cunoscute pentru factorii de intensitate a tensiunilor cu o precizie de 10 poziții zecimale.

Două probleme mai puțin banale care implică două fisuri drepte bine separate sub tensiuni normale și de forfecare uniforme au fost prezentate de către Xueli și Tzuchiang, care obțin pentru K_1 și K_2 valorile:

$$K_1 = 0.9751386 \text{ la “vârful fisurii A” și } K_2 = 0.1793005 \text{ la “vârful fisurii C”}.$$

Programul de față se suprapune cu aceste rezultate, dând o precizie și mai mare, și anume:

$$K_1 = 0.9751386767 \text{ și } K_2 = 0.1793005636.$$

Dăm mai jos rezultatele obținute la rulare programului pentru 4 fisuri de lungimi relative egale cu 0.2 într-o celulă unitate de lungime unitară sub încărcare de tipul I, vezi (4.4.5):

$$c_{\bullet 1} = 9.5520368379; \quad c_{\bullet 2} = -3.7001953485; \quad c_{\bullet 3} = -2.4457665257$$

În cazul tipului II de încărcare se calculează $c_{\bullet 2}$, $c_{\bullet 4}$ și $c_{\bullet 5}$, iar în cazul tipului III de încărcare se calculează $c_{\bullet 3}$, $c_{\bullet 5}$ și $c_{\bullet 6}$. Formulele de calcul utilizate în program pentru modulele elastice efective, așa cum au fost ele deduse în lucrarea lui J. HELSING și G. PETERS [H21] sunt următoarele:

I. Dacă se impune deformația medie $\bar{\epsilon}_I$, modulele efective $c_{\bullet 1}$, $c_{\bullet 2}$, $c_{\bullet 3}$ pot fi calculate cu formulele:

$$\begin{aligned} c_{\bullet 1} &= K_1 - G_1 + \text{Im} \{a - b\} \\ c_{\bullet 2} &= K_1 + G_1 - \text{Im} \{a + b\} \\ c_{\bullet 5} &= -\sqrt{2} \text{Re} \{a\} \end{aligned} \quad (4.4.6)$$

II. Dacă se impune $\bar{\epsilon}_{II}$, modulele efective $c_{\bullet 2}$, $c_{\bullet 4}$, $c_{\bullet 5}$ pot fi calculate ca fiind:

$$\begin{aligned} c_{\bullet 2} &= K_1 - G_1 + \text{Im} \{a - b\} \\ c_{\bullet 4} &= K_1 + G_1 - \text{Im} \{a + b\} \\ c_{\bullet 5} &= -\sqrt{2} \text{Re} \{a\} \end{aligned} \quad (4.4.7)$$

III. Dacă se impune deformația medie $\bar{\epsilon}_{III}$, modulele efective $c_{\bullet 3}$, $c_{\bullet 5}$, $c_{\bullet 6}$ pot fi calculate ca fiind:

$$\begin{aligned} c_{\bullet 3} &= \text{Im} \{a - b\} / 2 \\ c_{\bullet 5} &= -\text{Im} \{a + b\} / 2 \\ c_{\bullet 6} &= 2G_1 - \text{Re} \{a\} \end{aligned} \quad (4.4.8)$$

unde a și b sunt mărimi calculate tot în [H21] cu formulele (63), (64), (65) și (66).

Programul implementat în limbajul FORTRAN, prezintă următorul cod sursă:

```
ccc *** np(k) este numărul de punte pe fisura/incluziunea k ***
ccc *** npcm(k) este numărul cumulativ de puncte la începutul fisurii/incluziunii k ***
ccc *** mxc trebuie setat la numărul de fisuri plus 1 ***
ccc *** nptot=puncte pe fisuri ***
IMPLICIT NONE
INTEGER nup, mxc, mxs
PARAMETER(nup=600000)
PARAMETER(mxc=10001)
PARAMETER(mxs=20)
REAL*8 pi, W(16), T(16), Td(16), ax, mag(mxs, mxc), mu1, kp1, rot(mxc)
REAL*8 diff(16, 16), dseg(mxs, mxc), Bi(16, 16), c(6), tol(7)
COMPLEX*16 z(nup), zp(nup), x(nup), znbn(nup), dt1(nup)
COMPLEX*16 dt2(nup), zsum2, zsum3, zlucru416(nup), a, b
COMPLEX*16 zim, zcent(mxc), zlucru44(nup)
COMPLEX*16 WW(16), W1lf(16), W1rg(16), W2lf(16), W2rg(16)
COMPLEX*16 pre1(nup), pre2(nup), tmp(nup), tmp2(nup), fvec(nup)
INTEGER iseg(mxc), k, m, n, Nrfisuri, nptot, iter, ifanion, npcm(mxc)
INTEGER np(mxc)
COMMON /vecs/ z, zp, znbn, dt1, pre1, pre2
COMMON /param/ zim, pi, zcent, ax, rot
COMMON /spec/ zlucru416, zlucru44, diff, kp1, mu1, Nrfisuri, iseg
pi=4.D0*DATAN(1.D0)
zim=DCMPLX(0.D0, 1.D0)
kp1=0.5D0
mu1=0.5D0
tol(1)=1.D-5
tol(2)=1.D-6
tol(3)=1.D-7
```

```

tol(4)=1.D-8
tol(5)=1.D-9
tol(6)=1.D-10
tol(7)=1.D-11
write(*,*) 'Dati tipul incarcarii (1,2,3)'
read(*,*) ifanion
CALL ponderiGauss(T,W)
DO m=1,16
  WW(m)=DCMPLX(W(m),0.D0)
ENDDO
CALL Winit(W1lf,W1rg,W2lf,W2rg)
CALL Biinit(Bi)
CALL diffinit(diff)
CALL zcentseginit(zcent,dseg,ax,rot,iseg,mxs,mxc,Nrfisuri,nup)
OPEN(27,FISIER='convmoduli.dat')
DO iter=1,7
  CALL zinit(z,zp,znbn,pre1,pre2,WW,dt1,dt2,T,Td,W1lf,W1rg,
&W2lf,W2rg,dseg,mxs,mxc,iseg,Nrfisuri,np,npcm,nptot,nup)
  CALL M4SinitSH(zlucru416,zlucru44,z,zp,dt2,dseg,iseg,Nrfisuri,
&mxs,mxc,np,npcm,nup)
  CALL cVeczero(tmp,nup)
  DO n=1,nptot
    IF (ifanion.EQ.0) THEN
      tmp(n)=-1.D0
    ELSEIF (ifanion.EQ.1) THEN
      tmp(n)=-kp1-znbn(n)*mu1
    ELSEIF (ifanion.EQ.2) THEN
      tmp(n)=-kp1+znbn(n)*mu1
    ELSEIF (ifanion.EQ.3) THEN
      tmp(n)=-znbn(n)*2*mu1*zim
    ENDIF
  ENDDO
  CALL cVeczero(fvec,nup)
  CALL Matvecff(tmp,fvec,z,pre2,tmp2,np,npcm,Nrfisuri,mxc,nup,nptot)
  CALL Matvecf16(zlucru416,zlucru44,tmp,fvec,diff,iseg,np,npcm,
&Nrfisuri,mxc,nup)
  CALL GMRES(x,fvec,tol(iter),mxc,np,npcm,nptot)
  zsum2=DCMPLX(0.D0,0.D0)
  zsum3=DCMPLX(0.D0,0.D0)
  DO k=1,Nrfisuri
    DO m=npcm(k)+1,npcm(k)+np(k)
      zsum2=zsum2+z(m)*x(m)*zp(m)*dt1(m)*pi
      zsum3=zsum3+DCONJG(z(m))*x(m)*zp(m)*dt1(m)*pi
    ENDDO
  ENDDO
  zsum2=-zsum2*(1+mu1/kp1)
  zsum3=-zsum3*(1+kp1/mu1)
  a=DCMPLX(0.D0,0.D0)
  b=DCMPLX(0.D0,0.D0)
  write(*,*) 'iter: ',iter
  write(27,*) 'iter: ',iter
  IF (ifanion.EQ.1) THEN
    c(1)=kp1+mu1+DIMAG(zsum2-zsum3+a-b)
    c(2)=kp1-mu1-DIMAG(zsum2+zsum3+a+b)
    c(3)=-DSQRT(2.D0)*DREAL(zsum2+a)
    write(*,*) 'c*1',c(1)
    write(*,*) 'c*2',c(2)
    write(*,*) 'c*3',c(3)
    write(*,*) 'masa1',(c(1)+c(2))/2.D0
    write(*,*) 'forfec1',(c(1)-c(2))/2.D0
    write(27,*) 'c*1',c(1)
    write(27,*) 'c*2',c(2)

```

```

write(27,*) 'c*3',c(3)
write(27,*) 'masal',(c(1)+c(2))/2.D0
write(27,*) 'forfec1',(c(1)-c(2))/2.D0
ELSEIF (ifanion.EQ.2) THEN
c(2)=kp1-mu1+DIMAG(zsum2-zsum3+a-b)
c(4)=kp1+mu1-DIMAG(zsum2+zsum3+a+b)
c(5)=-DSQRT(2.D0)*DREAL(zsum2+a)
write(*,*) 'c*2',c(2)
write(*,*) 'c*4',c(4)
write(*,*) 'c*5',c(5)
write(*,*) 'masal',(c(4)+c(2))/2.D0
write(*,*) 'forfec1',(c(4)-c(2))/2.D0
write(27,*) 'c*2',c(2)
write(27,*) 'c*4',c(4)
write(27,*) 'c*5',c(5)
write(27,*) 'masal',(c(4)+c(2))/2.D0
write(27,*) 'forfec1',(c(4)-c(2))/2.D0
ELSEIF (ifanion.EQ.3) THEN
c(3)= DIMAG(zsum2-zsum3+a-b)/DSQRT(2.D0)
c(5)=-DIMAG(zsum2+zsum3+a+b)/DSQRT(2.D0)
c(6)=2*mu1-DREAL(zsum2+a)
write(*,*) 'c*3',c(3)
write(*,*) 'c*5',c(5)
write(*,*) 'c*6',c(6)
write(*,*) 'forfec2',c(6)/2.D0
write(27,*) 'c*3',c(3)
write(27,*) 'c*5',c(5)
write(27,*) 'c*6',c(6)
write(27,*) 'forfec2',c(6)/2.D0
ENDIF
CALL FLUSH(27)
CALL magcalc(Bi,x,mag,dseg,iseg,nup,Nrfisuri,mxs,mcx)
CALL expand(x,dseg,mag,iseg,Nrfisuri,nup,mxs,mcx)
ENDDO
CLOSE(27)
STOP
END

SUBROUTINE magcalc(Bi,x,mag,dseg,iseg,nup,Nrfisuri,mxs,mcx)
IMPLICIT NONE
INTEGER mxs,mcx,i,iseg(mcx),nup,Nrfisuri,k,j
REAL*8 Bi(16,16),mag(mxs,mcx),coada,dseg(mxs,mcx)
COMPLEX*16 x(nup)
j=1
DO k=1,Nrfisuri
DO i=1,iseg(k)
mag(i,k)=(dseg(i+1,k)-dseg(i,k))*coada(Bi,x(j),16)
j=j+16
ENDDO
ENDDO
RETURN
END

SUBROUTINE expand(x,dseg,mag,iseg,Nrfisuri,nup,mxs,mcx)
IMPLICIT NONE
INTEGER i,nup,mxs,mcx,iseg(mcx),imax,kmax,Nrfisuri,m
REAL*8 mag(mxs,mcx),dseg(mxs,mcx),fmax
COMPLEX*16 x(nup)
DO m=1,Nrfisuri/16
CALL maxmag(mag,fmax,iseg,kmax,imax,mxs,mcx,Nrfisuri)
IF (m.EQ.1) THEN
write(*,*) 'Max error for',kmax,imax,fmax,iseg(kmax)+1

```

```

ELSEIF (m.EQ.Nrfisuri/16) THEN
  write(*,*) 'Eroare maxim pt.',kmax,imax,fmax,iseg(kmax)+1
ENDIF
IF ((imax.EQ.1).OR.(imax.EQ.iseg(kmax))) THEN
  iseg(kmax)=iseg(kmax)+2
  IF (iseg(kmax).GE.mxs) THEN
    write(*,*) 'mxs prea mic',m,kmax
    STOP
  ENDIF
  dseg(iseg(kmax)+1,kmax)=dseg(iseg(kmax)-1,kmax)
  DO i=iseg(kmax),imax+3,-1
    dseg(i,kmax)=dseg(i-2,kmax)
    mag(i,kmax)=mag(i-2,kmax)
  ENDDO
  dseg(imax+2,kmax)=(dseg(imax+1,kmax)+dseg(imax,kmax))/2
  dseg(imax+1,kmax)=(dseg(imax+1,kmax)+3*dseg(imax,kmax))/4
  mag(imax,kmax)=0.DO
  mag(imax+1,kmax)=0.DO
  mag(imax+2,kmax)=0.DO
ELSE
  iseg(kmax)=iseg(kmax)+1
  IF (iseg(kmax).GE.mxs) THEN
    write(*,*) 'mxs too low',m,kmax
    STOP
  ENDIF
  dseg(iseg(kmax)+1,kmax)=dseg(iseg(kmax),kmax)
  DO i=iseg(kmax),imax+2,-1
    dseg(i,kmax)=dseg(i-1,kmax)
    mag(i,kmax)=mag(i-1,kmax)
  ENDDO
  dseg(imax+1,kmax)=(dseg(imax+1,kmax)+dseg(imax,kmax))/2
  mag(imax,kmax)=0.DO
  mag(imax+1,kmax)=0.DO
ENDIF
ENDDO
write(*,*) 'expand done'
100 FORMAT(I10,F21.15)
RETURN
END

SUBROUTINE maxmag(mag,fmax,iseg,kmax,imax,mxs,msc,Nrfisuri)
IMPLICIT NONE
INTEGER mxs,msc,i,k,iseg(msc),kmax,imax,Nrfisuri
REAL*8 mag(mxs,msc),fmax
fmax=0.DO
DO k=1,Nrfisuri
  DO i=1,iseg(k)
    IF (mag(i,k).GT.fmax) THEN
      fmax=mag(i,k)
      kmax=k
      imax=i
    ENDIF
  ENDDO
ENDDO
RETURN
END

REAL*8 FUNCTION coada(Bi,vec,Ng)
IMPLICIT NONE
INTEGER i,j,Ng
REAL*8 Bi(Ng,Ng),dum1
COMPLEX*16 vec(Ng),dum2

```

```

dum1=0.D0
DO i=Ng-1,Ng
  dum2=DCMPLX(0.D0,0.D0)
  DO j=1,Ng
    dum2=dum2+Bi(i,j)*vec(j)
  ENDDO
  dum1=dum1+DSQRT(DREAL(dum2)**2+DIMAG(dum2)**2)
ENDDO
coada=dum1
RETURN
END

SUBROUTINE GMRES(x,bvec,tol,msc,np,npcm,nptot)
IMPLICIT NONE
INTEGER i,LL,LLp1,msc,np(msc),maxite,nptot,npcm(msc)
INTEGER nup,nhu,nhup1
PARAMETER (nup=600000)
PARAMETER (nhu=36)
PARAMETER (nhup1=37)
REAL*8 vnorm,cnorm,prod,rho,snormw,q(2*nhu),r02(nhup1)
REAL*8 coco(nhup1,nhu),tol
COMPLEX*16 x(nup),bvec(nup),v(nup,nhup1)
maxite=nhu
DO i=1,nptot
  v(i,1)=bvec(i)
ENDDO
vnorm=cnorm(v(1,1),nptot,nup)
CALL cscal2(v(1,1),1.D0/vnorm,nptot,nup)
CALL rMatzero(coco,nhup1,nhu)
prod=1.D0
DO LL=1,nhu
  LLp1=LL+1
  CALL MatvecMainff(v(1,LL),v(1,LLp1),tol,np,npcm,nptot)
  CALL dorth(v(1,LLp1),v,coco,LL,snormw,nhu,nhup1,nptot,nup)
  coco(LLp1,LL)=snormw
  CALL dheqr(coco,nhup1,LL,q,LL,nhu)
  prod=prod*q(2*LL)
  rho=ABS(prod)
  CALL cscal2(v(1,LLp1),1.D0/snormw,nptot,nup)
  write(*,*) 'residual',LL,rho
  IF ((rho.LE.tol).OR.(LL.EQ.maxite)) THEN
    CALL dVeczero(r02,nhup1)
    r02(1)=vnorm
    CALL autor(coco,nhup1,LL,Q,r02,nhu)
    CALL cVeczero(x,nup)
    DO i=1,LL
      CALL caxpy(r02(i),v(1,i),x,nptot,nup)
    ENDDO
    RETURN
  ENDF
ENDDO
100 FORMAT(I10,D23.15)
RETURN
END

SUBROUTINE autor(A,LDA,N,Q,B,nhu)
IMPLICIT NONE
INTEGER IQ,K,KB,KP1,nhu,LDA,N
REAL*8 A(LDA,nhu),B(LDA),q(2*nhu),C,S,T,T1,T2
DO K=1,N
  KP1=K+1
  IQ=2*(K-1)+1

```

```

C=q(IQ)
S=q(IQ+1)
T1=B(K)
T2=B(KP1)
B(K)=C*T1-S*T2
B(KP1)=S*T1+C*T2
ENDDO
DO KB=1,N
  K=N+1-KB
  B(K)=B(K)/A(K,K)
  T=-B(K)
  CALL daxpy(T,A(1,K),B,k-1,LDA)
ENDDO
RETURN
END

SUBROUTINE dorth(vnew,v,coco,LL,snormw,nhu,nhup1,n,nup)
IMPLICIT NONE
INTEGER n,LL,nup,i,nhu,nhup1
REAL*8 arg,sumdsq,tem,vnrm,cnorm,cdotp,coco(nhup1,nhu),snormw
COMPLEX*16 vnew(nup),v(nup,nhup1)
vnrm=cnorm(vnew,n,nup)
DO i=1,LL
  coco(i,LL)=cdotp(v(1,i),vnew,n,nup)
  tem=-coco(i,LL)
  CALL caxpy(tem,v(1,i),vnew,n,nup)
ENDDO
snormw=cnorm(vnew,n,nup)
IF (vnrm+0.001D0*snormw.NE.vnrm) RETURN
sumdsq=0.0D0
DO i=1,LL
  tem=-cdotp(v(1,i),vnew,n,nup)
  IF (coco(i,LL)+0.001D0*tem.NE.coco(i,LL)) THEN
    coco(i,LL)=coco(i,LL)-tem
    CALL caxpy(tem,v(1,i),vnew,n,nup)
    sumdsq=sumdsq+tem**2
  ENDIF
ENDDO
IF (sumdsq.NE.0.0D0) THEN
  arg=MAX(0.0D0,snormw**2-sumdsq)
  snormw=DSQRT(arg)
ENDIF
RETURN
END

SUBROUTINE dheqr(A,LDA,N,Q,IJOB,nhu)
IMPLICIT NONE
INTEGER LDA,N,IJOB,I,IQ,J,K,KM1,KP1,NM1,nhu
REAL*8 A(LDA,nhu),q(2*nhu),C,S,T,T1,T2
IF (IJOB.EQ.1) THEN
  DO K=1,N
    KM1=K-1
    KP1=K+1
    IF (KM1.GE.1) THEN
      DO J=1,KM1
        I=2*(J-1)+1
        T1=A(J,K)
        T2=A(J+1,K)
        C=q(I)
        S=q(I+1)
        A(J,K)=C*T1-S*T2
        A(J+1,K)=S*T1+C*T2
      ENDDO
    ENDIF
  ENDDO

```

```

      ENDDO
    ENDIF
    IQ=2*KM1+1
    T1=A(K,K)
    T2=A(KP1,K)
    IF(T2.EQ.0.0D0) THEN
      C=1.0D0
      S=0.0D0
    ELSEIF(ABS(T2).GE.ABS(T1)) THEN
      T=T1/T2
      S=-1.0D0/DSQRT(1.0D0+T*T)
      C=-S*T
    ELSE
      T=T2/T1
      C=1.0D0/DSQRT(1.0D0+T*T)
      S=-C*T
    ENDIF
    q(IQ)=C
    q(IQ+1)=S
    A(K,K)=C*T1-S*T2
  ENDDO
ELSE
  NM1=N-1
  DO K=1,NM1
    I=2*(K-1)+1
    T1=A(K,N)
    T2=A(K+1,N)
    C=q(I)
    S=q(I+1)
    A(K,N)=C*T1-S*T2
    A(K+1,N)=S*T1+C*T2
  ENDDO
  T1=A(N,N)
  T2=A(N+1,N)
  IF (T2.EQ.0.0D0) THEN
    C=1.0D0
    S=0.0D0
  ELSEIF( ABS(T2).GE.ABS(T1) ) THEN
    T=T1/T2
    S=-1.0D0/DSQRT(1.0D0+T*T)
    C=-S*T
  ELSE
    T=T2/T1
    C=1.0D0/DSQRT(1.0D0+T*T)
    S=-C*T
  ENDIF
  IQ=2*N-1
  q(IQ)=C
  q(IQ+1)=S
  A(N,N)=C*T1-S*T2
ENDIF
RETURN
END

```

```

SUBROUTINE rMatzero(M,nup1,nup2)
IMPLICIT NONE
INTEGER i,j,nup1,nup2
REAL*8 M(nup1,nup2)
DO i=1,nup1
  DO j=1,nup2
    M(i,j)=0.D0
  ENDDO

```



```

ENDDO
RETURN
END

```

```

SUBROUTINE dVeczero(v,Ng)
IMPLICIT NONE
INTEGER i,Ng
  REAL*8 v(Ng)
DO i=1,Ng
  v(i)=0.D0
ENDDO
RETURN
END

```

```

SUBROUTINE cVecadd(c,a,b1,b,np,nup)
IMPLICIT NONE
INTEGER np,nup,i
  REAL*8 b1
COMPLEX*16 a(nup),b(nup),c(nup)
DO i=1,np
  c(i)=a(i)+b1*b(i)
ENDDO
RETURN
END

```

```

SUBROUTINE caxpy(a,x,y,n,nup)
IMPLICIT NONE
INTEGER i,n,nup
  REAL*8 a
COMPLEX*16 x(nup),y(nup)
DO i=1,n
  y(i)=y(i)+a*x(i)
ENDDO
RETURN
END

```

```

SUBROUTINE daxpy(a,x,y,n,nup)
IMPLICIT NONE
INTEGER i,n,nup
  REAL*8 x(nup),y(nup),a
DO i=1,n
  y(i)=y(i)+a*x(i)
ENDDO
RETURN
END

```

```

SUBROUTINE cscal2(a,a1,np,nup)
IMPLICIT NONE
INTEGER np,nup,i
  REAL*8 a1
COMPLEX*16 a(nup)
DO i=1,np
  a(i)=a1*a(i)
ENDDO
RETURN
END

```

```

REAL*8 FUNCTION cdotp(a,b,np,nup)
IMPLICIT NONE
INTEGER np,nup,i
  COMPLEX*16 a(nup),b(nup)
cdotp=0.D0

```

```

DO i=1,np
  cdotp=cdotp+DREAL(a(i))*DREAL(b(i))+DIMAG(a(i))*DIMAG(b(i))
ENDDO
RETURN
END

REAL*8 FUNCTION cnorm(v,n,nup)
IMPLICIT NONE
INTEGER i,n,nup
  COMPLEX*16 v(nup)
  cnorm=0.D0
DO i=1,n
  cnorm=cnorm+DREAL(v(i))*DREAL(v(i))+DIMAG(v(i))*DIMAG(v(i))
ENDDO
cnorm=DSQRT(cnorm)
RETURN
END

SUBROUTINE MatvecMainff(x,b,tol,np,npcm,nptot)
ccc *** Inmultirea matricilor pt.rezolvarea ecuatiei principale ***
IMPLICIT NONE
INTEGER nup,mxs,msc,LENW,LENIW
PARAMETER(nup=600000)
PARAMETER(msc=10001)
PARAMETER(mxs=20)
PARAMETER(LENW=8000000)
PARAMETER(LENIW=2000000)
REAL*8 kp1,mu1,tol,diff(16,16)
COMPLEX*16 x(nup),dt1(nup),pre2(nup),pre1(nup),tmp(nup)
COMPLEX*16 b(nup),z(nup),zp(nup),CLUCRU(LENW),zbn(nup)
COMPLEX*16 zim,zlucru416(nup),b0(nup),b1(nup),b3(nup)
COMPLEX*16 zlucru44(nup)
INTEGER np(msc),npcm(msc),nptot,m,Nrfisuri,iseg(msc)
INTEGER INFORM(6),IER(5),ILUCRU(LENIW),LEVMAX
COMMON /vecs/ z,zp,zbn,dt1,pre1,pre2
COMMON /spec/ zlucru416,zlucru44,diff,kp1,mu1,Nrfisuri,iseg
zim=DCMPLX(0.D0,1.D0)
CALL cVeczero(b0,nup)
CALL Matvecf(x,b0,z,pre1,b1,np,npcm,Nrfisuri,msc,nup,nptot)
CALL cVeczero(b1,nup)
CALL cVeczero(b3,nup)
LEVMAX=8
write(*,*) 'calling...'
CALL ELASTCOMP(LEVMAX,z,zp,zbn,nptot,x,dt1,ILUCRU,LENIW,CLUCRU,
1      LENW,b1,b3,tol,INFORM,IER,kp1,mu1,nup)
write(*,*) 'done'
DO m=1,nptot
  tmp(m)=b1(m)-b0(m)-b3(m)/2.D0
  b(m)=x(m)
ENDDO
CALL Matvecf(tmp,b,z,pre2,b1,np,npcm,Nrfisuri,msc,nup,nptot)
CALL Matvecf16(zlucru416,zlucru44,tmp,b,diff,iseg,np,npcm,Nrfisuri,
&msc,nup)
RETURN
END

SUBROUTINE Matvecf(x,b,z,pre,pp,np,npcm,Nrfisuri,msc,nup,nptot)
IMPLICIT NONE
INTEGER msc,np(msc),nup,Nrfisuri,k,mm,nn,npcm(msc),nptot
  COMPLEX*16 x(nup),b(nup),pre(nup),z(nup),pp(nup)
DO mm=1,nptot
  pp(mm)=x(mm)*pre(mm)

```

```

ENDDO
DO k=1,Nrfisuri
  DO mm=npcm(k)+1,npcm(k)+np(k)
    DO nn=npcm(k)+1,mm-1
      b(mm)=b(mm)+pp(nn)/(z(nn)-z(mm))
    ENDDO
    DO nn=mm+1,npcm(k)+np(k)
      b(mm)=b(mm)+pp(nn)/(z(nn)-z(mm))
    ENDDO
  ENDDO
ENDDO
RETURN
END

```

```

SUBROUTINE Matvecf16(zlucru416,zlucru44,x,b,diff,iseg,np,npcm,
&Nrfisuri,msc,nup)
IMPLICIT NONE
INTEGER i,mn0,msc,np(msc),nup,Nrfisuri,k,mm,nn,npcm(msc),mj,nj
  REAL*8 diff(16,16)
COMPLEX*16 zlucru416(nup),x(nup),b(nup),zlucru44(nup),zdum
INTEGER iseg(msc)
DO k=1,Nrfisuri
  DO i=1,iseg(k)
    mn0=npcm(k)+(i-1)*16
    DO mj=1,16
      mm=mn0+mj
      zdum=DCMPLX(0.D0,0.D0)
      DO nj=1,16
        nn=mn0+nj
        zdum=zdum+diff(mj,nj)*x(nn)
      ENDDO
      b(mm)=b(mm)+zdum*zlucru416(mm)+zlucru44(mm)*x(mm)
    ENDDO
  ENDDO
ENDDO
RETURN
END

```

```

SUBROUTINE conjugate(x,xb,np,nup)
IMPLICIT NONE
INTEGER np,nup,i
  COMPLEX*16 x(nup),xb(nup)
  DO i=1,np
    xb(i)=DCONJG(x(i))
  ENDDO
RETURN
END

```

```

SUBROUTINE zinit(z,zp,zbn,pre1,pre2,WW,dt1,dt2,T,Td,W1lf,
&W1rg,W2lf,W2rg,dseg,msc,msc,iseg,Nrfisuri,np,npcm,nptot,nup)
IMPLICIT NONE
INTEGER nup,i,j,k,msc,np(msc),iseg(msc),msc,Nrfisuri,n0,nptot
  INTEGER ipup
PARAMETER(ipup=10000)
REAL*8 pi,T(16),Td(16),dseg(msc,msc),ph0(0:ipup)
REAL*8 parm,hweigh,hf1,hf2,ph(ipup)
COMPLEX*16 z(nup),zim,zp(nup),zbn(nup),dt1(nup)
COMPLEX*16 zfunc,zpfunc,zpfunc,wf1,pre1(nup),pre2(nup)
COMPLEX*16 dt2(nup),wf2,pondere1(ipup),pondere0(ipup)
COMPLEX*16 WW(16),W1lf(16),W1rg(16),W2lf(16),W2rg(16)

INTEGER npcm(msc),m0

```

```

pi=4.D0*DATAN(1.D0)
zim=DCMPLX(0.D0,1.D0)
DO j=1,16
  Td(j)=(T(j)+1.D0)/2
ENDDO
n0=0
npcm(1)=0
DO k=1,Nrfisuri
  IF (17*iseg(k)+1.GE.ipup) THEN
    write(*,*) 'dimensiune ph prea mica'
    STOP
  ENDIF
  m0=0
  DO i=1,iseg(k)
    DO j=1,16
      m0=m0+1
      ph(m0)=dseg(i,k)+(dseg(i+1,k)-dseg(i,k))*Td(j)
    ENDDO
  ENDDO
  CALL cornadd(ph,ph0,dseg,iseg,mxs,mxc,k,ipup)
  CALL ponderecalc(ph0,pondere0,k,iseg(k)*17,ipup)
  CALL cornsub(pondere0,pondere1,iseg,mxs,mxc,k,ipup)
  m0=0
  DO i=1,iseg(k)
    DO j=1,16
      n0=n0+1
      m0=m0+1
      IF (i.EQ.1) THEN
        dt1(n0)=W1lf(j)/2.D0/pi
        dt2(n0)=W2lf(j)/2.D0/pi
        hf1=hweigh(1,Td(j))
        hf2=1.D0/hweigh(1,Td(j))
      ELSEIF (i.EQ.iseg(k)) THEN
        dt1(n0)=W1rg(j)/2.D0/pi
        dt2(n0)=W2rg(j)/2.D0/pi
        hf1=hweigh(2,Td(j))
        hf2=1.D0/hweigh(2,Td(j))
      ELSE
        dt1(n0)=WW(j)/2.D0/pi
        dt2(n0)=dt1(n0)
        hf1=hweigh(3,Td(j))
        hf2=hf1
      ENDIF
      parm=ph(m0)
      z(n0)=zfunc(ph(m0),k,1)
      zp(n0)=zfunc(ph(m0),k,1)
      znbn(n0)=-zpbfunc(ph(m0),k,1)/zp(n0)
      wf1=pondere1(m0)
      wf2=1.D0/pondere1(m0)
      dt1(n0)=dt1(n0)*wf1/hf1*(dseg(i+1,k)-dseg(i,k))
      dt2(n0)=dt2(n0)*wf2/hf2*(dseg(i+1,k)-dseg(i,k))
      pre1(n0)=dt1(n0)*zp(n0)/zim
      pre2(n0)=dt2(n0)*zp(n0)/zim
    ENDDO
  ENDDO
  npc(k)=npcm(k+1)-npcm(k)
ENDDO
nptot=npcm(Nrfisuri+1)
write(*,*) 'points:',nptot,n0,nup
IF (nptot.GT.nup) THEN
  write(*,*) 'nup too small',nptot,nup

```

```

    STOP
  ENDIF
  write(*,*) 'points:',nptot,n0,nup
  RETURN
END

SUBROUTINE cornadd(phin,phout,dseg,iseg,mxs,mcx,k,ipup)
  IMPLICIT NONE
  INTEGER mxs,mcx,ipup,iseg(mcx),i,j,k,m,n
    REAL*8 dseg(mxs,mcx),phin(ipup),phout(0:ipup)
  m=0
  n=0
  phout(m)=dseg(1,k)
  DO i=1,iseg(k)
    DO j=1,16
      m=m+1
      n=n+1
      phout(m)=phin(n)
    ENDDO
    m=m+1
    phout(m)=dseg(i+1,k)
  ENDDO
  RETURN
END

SUBROUTINE cornsub(win,wout,iseg,mxs,mcx,k,ipup)
  IMPLICIT NONE
  INTEGER mxs,mcx,ipup,iseg(mcx),i,j,k,m,n
    COMPLEX*16 win(ipup),wout(ipup)
  m=0
  n=0
  DO i=1,iseg(k)
    DO j=1,16
      m=m+1
      n=n+1
      wout(n)=win(m)
    ENDDO
    m=m+1
  ENDDO
  RETURN
END

SUBROUTINE ponderecalc(t,pondere,k,ip,ipup)
  IMPLICIT NONE
  INTEGER i,ip,ipup,isignf,isign0,isign1,isign2,k
    REAL*8 t(0:ipup),dcarg
  COMPLEX*16 zfunc,zd1,zd2,pondere(ipup)
  IF (dcarg(zfunc(t(ip),k,1)-zfunc(t(0),k,1)).GT.0.D0) THEN
    isign0=1
  ELSE
    isign0=-1
  ENDIF
  isign1=isign0
  isign2=1
  DO i=1,ip-1
    isign1=isign1*isignf(t(i-1),t(i),t(0),k)
    isign2=isign2*isignf(t(i-1),t(i),t(ip),k)
    zd1=zfunc(t(i),k,1)-zfunc(t(0),k,1)
    zd2=zfunc(t(i),k,1)-zfunc(t(ip),k,1)
    pondere(i)=isign1*isign2*zd1**(-0.5D0)*zd2**(-0.5D0)
  ENDDO
  isign1=isign1*isignf(t(ip-1),t(ip),t(0),k)

```

```

IF (isign1*isign0.EQ.-1) THEN
  DO i=1,ip-1
    pondere(i)=-pondere(i)
  ENDDO
ENDIF
RETURN
END

REAL*8 function dcarg(a)
IMPLICIT NONE
COMPLEX*16 a
dcarg=DIMAG(CDLOG(a))
RETURN
END

INTEGER function isignf(t1,t2,s0,k)
IMPLICIT NONE
REAL*8 t1,t2,tav,s0,th,dth,pi,unghi,curba,dcarg,meas
COMPLEX*16 zfunc,zpfunc,zpbfunc,zppfunc
INTEGER k
pi=4.D0*DATAN(1.D0)
IF (t1.EQ.s0) THEN
  th=dcarg(zpfunc(s0,k,1))
ELSE
  th=dcarg(zfunc(t1,k,1)-zfunc(s0,k,1))
ENDIF
IF (t2.EQ.s0) THEN
  unghi=-((dcarg(zpfunc(s0,k,1))-th-3.D0*pi)/2.D0/pi)
  dth=-2.D0*pi*DMOD(unghi,1.D0)+pi
ELSE
  unghi=-((dcarg(zfunc(t2,k,1)-zfunc(s0,k,1))-th-3.D0*pi)/2.D0/pi)
  dth=-2.D0*pi*DMOD(unghi,1.D0)+pi
ENDIF
tav=(t1+t2)/2.D0
curba=DIMAG(zpbfunc(tav,k,1)*zppfunc(tav,k,1))/
&CDABS(zpfunc(tav,k,1))**2.D0
meas=curba*DABS(t2-t1)
IF (meas.GT.(pi-DABS(dth))) THEN
  write(*,*) t1,t2,s0,k
  write(*,*) 'se necesita recurenta',meas,pi-DABS(dth)
  STOP
ELSE
  IF (((dth+th).GT.pi).OR.((dth+th).LE.-pi)) THEN
    isignf=-1
  ELSE
    isignf=1
  ENDIF
ENDIF
RETURN
END

SUBROUTINE zcentseginit(zcent,dseg,ax,rot,iseg,mxs,mxc,
&Nrfisuri,nup)
IMPLICIT NONE
INTEGER i,j,k,n,mxc,iseg(mxc),Nrfisuri,Ns,nup,mxs
REAL*8 dseg(mxs,mxc),ax,rot(mxc),pi,dum,drand,x,y
COMPLEX*16 zcent(mxc),zim
zim=DCMPLX(0.D0,1.D0)
pi=4.D0*DATAN(1.D0)
write(*,*) 'Dati lungimea relativa a fisurii in intervalul (0,1)'
ccc write(*,*) '0 inseamna ca fisura este infinit de mica'
ccc write(*,*) '1 inseamna ca fisura e egala cu distanta '

```

```

ccc  write(*,*) dintre punctele rețelei de discretizare'
      read(*,*) ax
      IF (ax.GT.1.D0) THEN
        write(*,*) 'fisura prea lunga'
        STOP
      ENDIF
      IF (ax.LE.0.D0) THEN
        write(*,*) 'fisura prea scurta'
        STOP
      ENDIF
      ax=ax/2.D0
      write(*,*) 'Dati radacina patrata din numarul de fisuri'
      read(*,*) Nrfisuri
      IF (Nrfisuri.GT.100) THEN
        write(*,*) 'prea multe fisuri pt. memoria alocata'
        STOP
      ENDIF
      Ns=3
      IF (Ns.GE.mxs) THEN
        write(*,*) 'mxs prea mic'
        STOP
      ENDIF
      DO i=1,Nrfisuri
        DO j=1,Nrfisuri
          k=(i-1)*Nrfisuri+j
          x=-0.5D0+0.5D0/Nrfisuri+(i-1)*1.D0/Nrfisuri
          y=-0.5D0+0.5D0/Nrfisuri+(j-1)*1.D0/Nrfisuri
          zcent(k)=DCMPLX(x,y)
          iseg(k)=Ns
          DO n=1,iseg(k)+1
            dseg(n,k)=(n-1)*2.D0/iseg(k)-1.D0
          ENDDO
        ENDDO
      ENDDO
      ax=ax/Nrfisuri
      Nrfisuri=Nrfisuri*Nrfisuri
ccc  dum=drand(4.D0)
      dum=drand(6.D0)
      DO k=1,Nrfisuri
        rot(k)=pi*(2.D0*drand(0.D0)-1.D0)+pi/2
ccc  write(*,*) k,zcent(k),rot(k)
      ENDDO
      RETURN
      END

SUBROUTINE M4SinitSH(zlucru416,zlucru44,z,zp,dt2,dseg,iseg,
&Nrfisuri,mxs,mxc,np,npcm,nup)
IMPLICIT NONE
INTEGER nup,i,m,n,k,Nrfisuri,mxc,iseg(mxc),mxs,mj,np(mxc)
      REAL*8 dseg(mxs,mxc)
COMPLEX*16 zlucru44(nup),z(nup),zp(nup),dt2(nup),zim,zfunc
COMPLEX*16 zlucru416(nup)
INTEGER npcm(mxc),mm,nn
zim=DCMPLX(0.D0,1.D0)
CALL cVeczero(zlucru44,nup)
CALL cVeczero(zlucru416,nup)
DO k=1,Nrfisuri
  DO m=1,np(k)
    mm=npcm(k)+m
    DO n=1,np(k)
      nn=npcm(k)+n
      IF (mm.NE.nn) THEN

```



```

      zlcru44(mm)=zlcru44(mm)-dt2(nn)*zp(nn)/(z(nn)-z(mm))/zim
      ENDIF
    ENDDO
      zlcru44(mm)=zlcru44(mm)+(z(mm)-
& (zfunc(dseg(1,k),k,1)+zfunc(dseg(iseg(k)+1,k),k,1))/2.D0)
    ENDDO
  ENDDO
DO k=1,Nrfisuri
  DO i=1,iseg(k)
    DO nj=1,16
      m=(i-1)*16+nj
      mm=npcm(k)+m
      zlcru416(mm)=dt2(mm)*2.D0/(dseg(i+1,k)-dseg(i,k))/zim
    ENDDO
  ENDDO
ENDDO
write(*,*) 'M4SinitSH done'
RETURN
END

```

```

REAL*8 FUNCTION hweigh(i,x)
IMPLICIT NONE
REAL*8 x
INTEGER i
IF (i.EQ.1) THEN
  hweigh=1.D0/DSQRT(2.D0*x)
ELSEIF (i.EQ.2) THEN
  hweigh=1.D0/DSQRT(2.D0-2.D0*x)
ELSE
  hweigh=1.D0
ENDIF
RETURN
END

```

```

COMPLEX*16 FUNCTION zfunc(par,k,itpe)
IMPLICIT NONE
INTEGER mxc
PARAMETER(mxc=10001)
REAL*8 ax,par,pi,rot(mxc)
COMPLEX*16 zim,zcent(mxc)
INTEGER k,itpe
COMMON /param/ zim,pi,zcent,ax,rot
IF (itpe.EQ.1) THEN
  zfunc=zcent(k)+ax*par*CDEXP(zim*rot(k))
ELSE
  STOP
ENDIF
RETURN
END

```

```

COMPLEX*16 FUNCTION zpfunc(par,k,itpe)
IMPLICIT NONE
INTEGER mxc
PARAMETER(mxc=10001)
REAL*8 ax,par,pi,rot(mxc)
COMPLEX*16 zim,zcent(mxc)
INTEGER k,itpe
COMMON /param/ zim,pi,zcent,ax,rot
IF (itpe.EQ.1) THEN
  zpfunc=ax*CDEXP(zim*rot(k))
ELSE
  STOP

```

```

ENDIF
RETURN
END

```

```

COMPLEX*16 FUNCTION zppfunc(par,k,itYPE)
IMPLICIT NONE
INTEGER mxc
PARAMETER(mxc=10001)
REAL*8 ax,par,pi,rot(mxc)
COMPLEX*16 zim,zcent(mxc)
INTEGER k,itYPE
COMMON /param/ zim,pi,zcent,ax,rot
IF (itYPE.EQ.1) THEN
  zppfunc=DCMPLX(0.D0,0.D0)
ELSE
  STOP
ENDIF
RETURN
END

```

```

COMPLEX*16 FUNCTION zpbfunc(par,k,itYPE)
IMPLICIT NONE
INTEGER mxc
PARAMETER(mxc=10001)
REAL*8 ax,par,pi,rot(mxc)
COMPLEX*16 zim,zcent(mxc)
INTEGER k,itYPE
COMMON /param/ zim,pi,zcent,ax,rot
IF (itYPE.EQ.1) THEN
  zpbfunc=DCONJG(ax*CDEXP(zim*rot(k)))
ELSE
  STOP
ENDIF
RETURN
END

```

```

SUBROUTINE cVeczero(v,Ng)
IMPLICIT NONE
INTEGER i,Ng
  COMPLEX*16 v(Ng)
DO i=1,Ng
  v(i)=DCMPLX(0.D0,0.D0)
ENDDO
RETURN
END

```

```

SUBROUTINE cMatzero(M,nup1,nup2)
IMPLICIT NONE
INTEGER i,j,nup1,nup2
  COMPLEX*16 M(nup1,nup2)
DO i=1,nup1
  DO j=1,nup2
    M(i,j)=DCMPLX(0.D0,0.D0)
  ENDDO
ENDDO
RETURN
END

```

```

SUBROUTINE ELASTCOMP(LEVMAX,ZSRC,DZDT,znbn,NATOMI,DENS,H,ILUCRU,
1  LENIW,CLUCRU,LENW,M1,M3,TOL,INFORM,IER,KP1,MU1,nup)
IMPLICIT REAL*8 (A-H,O-Z)
INTEGER*4 NATOMI,LENIW,LENW,IER(1),INFORM(1),ILUCRU(1),nup

```

```

REAL*8 TOL,KP1,MUI
COMPLEX*16 ZSRC(1),DZDT(1),DENS(1),Z2PI,M1(1),M3(1),CLUCRU(1)
COMPLEX*16 znbn(1),H(1)
Z2PI = 1.0D0/(2*4*DATAN(1.0D0)*DCMPLX(0.0D0,1.0D0))
IER(1) = 0
NTERMENI = - NINT(dlog(TOL)/dlog(2.0D0))
INFORM(2) = NTERMENI
write(*,*) 'Numar de termeni',NTERMENI
write(*,*) 'Numar de atomi',NATOMI,nup
IF (NTERMENI .GT. 60) THEN
    IER(1) = 4
    IER(2) = NTERMENI
    RETURN
ENDIF
IQA = 1
IQB = IQA + NATOMI
IQC = IQB + NATOMI
IZSRC2 = IQC + NATOMI
IQA2 = IZSRC2 + NATOMI
IQB2 = IQA2 + NATOMI
IQC2 = IQB2 + NATOMI
ITOTP = IQC2 + NATOMI
IF ( ITOTP .GT. LENW) THEN
    IER(1) = 8
    IER(2) = ITOTP
    IER(3) = LENW
    write(6,*) 'spatiu de lucru insuficient'
    write(13,*) 'spatiu de lucru insuficient'
    write(*,*) IER(2),IER(3)
    RETURN
ELSE
    DO J = 1,NATOMI
        CLUCRU(IQA+J-1) = DENS(J)*H(J)*DZDT(J)/DCMPLX(0.D0,1.D0)
        CLUCRU(IQB+J-1) = DCONJG(CLUCRU(IQA+j-1))
        CLUCRU(IQC+J-1) = -DCONJG(ZSRC(J))*CLUCRU(IQA+J-1)
    ENDDO
ENDIF
CALL ZVECZERO(M1,NATOMI)
CALL ZVECZERO(M3,NATOMI)
DO 1000 ILEV = 0,LEVMAX
    INFORM(1) = ILEV
    NDIM = 2**ILEV
    NALLBX = NDIM*NDIM
    LICNT = NALLBX
    LICNT2 = NALLBX
    LLOC = NALLBX
    LTOFST = NALLBX+1
    LOFFST = NALLBX+1
    LATADR = NATOMI
    ICNT = 1
    ICNT2 = ICNT + LICNT
    IOFFST = ICNT2 + LICNT2
    ITOFST = IOFFST + LOFFST
    IBOX = ITOFST + LTOFST
    IATADR = IBOX + NATOMI
    ITRADR = IATADR + LATADR
    ILOC = ITRADR
    ITOT = ILOC + LLOC
    IF ( ITOT .GT. LENIW) THEN
        IER(1) = 8
        IER(4) = ITOT
        IER(5) = LENIW
    
```

```

        write(6,*)' spatiu de lucru insuficient'
        write(13,*)' spatiu de lucru insuficient'
        write(*,*) IER(4),IER(5)
        RETURN
    ENDIF
    CALL ASSIGN(ILEV,ZSRC,ILUCRU(IOFFST),ILUCRU(ibox),NATOMI,
1  ILUCRU(ICNT),ILUCRU(ICNT2),ILUCRU(IATADR),ILUCRU(ITRADR),
2  ILUCRU(ITOFST),ILUCRU(ILOC),NTBOX,NSMAX)
    LLOCXP = (NTERMENI+1)*NTBOX
    ILOCXP1 = ITOTP
    ILOCXP2 = ILOCXP1 + LLOCXP
    ITOTC = ILOCXP2 + LLOCXP
    IF ( ITOTC .GT. LENW) THEN
        IER(1) = 8
        IER(2) = ITOTC
        IER(3) = LENW
        write(6,*)' spatiu de lucru insuficient'
        write(13,*)' spatiu de lucru insuficient'
        write(*,*) IER(2),IER(3)
        RETURN
    ENDIF
    CALL DOINTOPER(ILEV,ZSRC,CLUCRU(IQA),CLUCRU(IQB),CLUCRU(IQC),
1  CLUCRU(IZSRC2),CLUCRU(IQA2),CLUCRU(IQB2),CLUCRU(IQC2),NATOMI,
2  CLUCRU(ILOCXP1),CLUCRU(ILOCXP2),NTERMENI,ILUCRU(IOFFST),
3  ILUCRU(ibox),ILUCRU(IATADR),ILUCRU(ITRADR),ILUCRU(ITOFST),
4  ILUCRU(ICNT),ILUCRU(ICNT2),ILUCRU(ILOC),NTBOX,M1,M3,znbn,KP1,MU1)
        IF ((ILEV.EQ.LEVMAX).OR.(NSMAX.LE.NTERMENI)) GOTO 1001
1000 CONTINUE
1001 CONTINUE
    write(*,*) 'spatiu de lucru COMPLEX',ILEV,ITOTC,LENW
    write(*,*) 'spatiu de lucru INTEGER ',ILEV,ITOT,LENIW
    write(*,*) 'Niveluri:',INFORM(1),LEVMAX
    CALL DONNOPER(ILEV,ZSRC,CLUCRU(IQA),CLUCRU(IQB),CLUCRU(IQC),
1  NATOMI,CLUCRU(IZSRC2),CLUCRU(IQA2),CLUCRU(IQB2),CLUCRU(IQC2),
2  ILUCRU(IOFFST),ILUCRU(ibox),ILUCRU(IATADR),M1,M3,znbn)
    RETURN
END

SUBROUTINE DOINTOPER(ILEV,ZSRC,QA,QB,QC,ZSRC2,QA2,QB2,QC2,
1  NATOMI,LOCEXP1,LOCEXP2,NTERMENI,IOFFST,IBOX,IATADR,
2  ITRADR,ITOFST,ICNT,ICNT2,ILOC,NTBOX,M1,M3,znbn,KP1,MU1)
    IMPLICIT REAL*8 (A-H,O-Z)
    INTEGER*4 NTERMENI,NATOMI,IOFFST(1),NTBOX,IATADR(1),INTACT(30)
    INTEGER*4 IBOX(1),ICNT(1),ICNT2(1),NSIDE,ILOC(1),IADRS(30)
    INTEGER*4 ITOFST(1),ITRADR(1)
    REAL*8 C(120,120),H,KP1,MU1
    COMPLEX*16 ZSRC(1),QA(1),QB(1),QC(1),ZOFF(30),ZTRANS
    COMPLEX*16 ZSRC2(1),QA2(1),QB2(1),QC2(1),M1(1),M3(1),znbn(1)
    COMPLEX*16 MPOLE1(60),MPOLE2(60),B1(0:60),B2(0:60),ZCENT,ZCENT2
    COMPLEX*16 MPOLECOR(60),LOCEXP1(0:NTERMENI,1),LOCEXP2(0:NTERMENI,1)
    C(1,1) = 1.0D0
    DO I=2,120
        C(1,I) = 0.0D0
        C(I,1) = 1.0D0
    ENDDO
    DO I=2,120
        DO J=2,1
            C(I,J)=C(I-1,J-1)+C(I-1,J)
        ENDDO
    ENDDO
    NSIDE = 2**(ILEV)
    NBOXES = NSIDE*NSIDE

```

```

H = 1.D0/NSIDE
DO I = 1,NTBOX
  DO J = 0,NTERMENI
    LOCEXP1(J,I) = DCMPLX(0.D0,0.D0)
    LOCEXP2(J,I) = DCMPLX(0.D0,0.D0)
  ENDDO
ENDDO
NINTAC = 27
DO 1000 I = 1,NBOXES
  IOFF = IOFFST(I)
  NINBOX = IOFFST(I+1) - IOFF
  DO K = 1,NINBOX
    ZSRC2(K) = ZSRC(IATADR(IOFF+K))
    QA2(K) = QA(IATADR(IOFF+K))
    QB2(K) = QB(IATADR(IOFF+K))
    QC2(K) = QC(IATADR(IOFF+K))
  ENDDO
  IF ( NINBOX .LE. 0 ) GOTO 1000
  ICOL = 1 + MOD(I-1,NSIDE)
  ILINIE = 1 + (I-1)/NSIDE
  XC = -0.5D0+ICOL*H-H/2
  YC = -0.5D0+ILINIE*H-H/2
  ZCENT = DCMPLX(XC, YC)
  CALL SRCMUL(ZCENT,ZSRC2,QA2,QB2,QC2,NINBOX,MPOLE1,MPOLE2,
1  NTERMENI)
  IF (ILEV.EQ.0) THEN
    CALL MULTAYPER(MPOLE1,MPOLE2,B1,B2,NTERMENI,C)
    DO K=1,NATOMI
      CALL TAYSRC(B1,B2,NTERMENI,ZCENT,ZSRC(K),M1(K),M3(K),znbn(K))
    ENDDO
    CALL DIPOLECORR(KP1,MU1,ZSRC,QA,NATOMI,M1,M3,znbn)
  ELSE
    CALL INTLIST(ILEV,I,IADRS)
    CALL TRANSL(ILEV,IADRS,INTACT,ZOFF,NINTAC)
    DO 800 J = 1,NINTAC
      IADR = INTACT(J)
      INOFF = IOFFST(IADR)
      NINNBR = IOFFST(IADR+1) - INOFF
      IF (NINNBR .LE. NTERMENI/2) THEN
        DO K = 1,NINNBR
          JT = IATADR(INOFF+K)
          ZTRANS = ZSRC(JT) + ZOFF(J)
          CALL MULSRC(MPOLE1,MPOLE2,ZCENT,NTERMENI,
1          ZTRANS,M1(JT),M3(JT),znbn(JT))
        ENDDO
      ELSE
        ICOL = 1 + MOD(IADR-1,NSIDE)
        ILINIE = 1 + (IADR-1)/NSIDE
        XC = -0.5D0+ICOL*H-H/2
        YC = -0.5D0+ILINIE*H-H/2
        ZCENT2 = DCMPLX(XC, YC)
        ZTRANS = ZCENT - ZOFF(J)
        IADLOC = ILOC(IADR)
        MPOLECOR(1) = MPOLE2(1)
        DO JJ = 2,NTERMENI
          MPOLECOR(JJ) = MPOLE2(JJ) -
1          (JJ-1)*DCONJG(ZOFF(J))*MPOLE1(JJ-1)
        ENDDO
        CALL MULTAY(MPOLE1,MPOLECOR,ZTRANS,NTERMENI,ZCENT2,
1          B1,B2,C)
        CALL ADDEXP(B1,B2,LOCEXP1(0,IADLOC),
1          LOCEXP2(0,IADLOC),NTERMENI)

```

```

      ENDIF
800   CONTINUE
      ENDIF
1000  CONTINUE
      DO I = 1,NBOXES
          INOFF = IOFFST(I)
          NINBOX = IOFFST(I+1) - INOFF
          IF (NINBOX .GT. NTERMENI/2) THEN
              ICOL = 1 + MOD(I-1,NSIDE)
              ILINIE = 1 + (I-1)/NSIDE
              XC = -0.5D0+ICOL*H-H/2
              YC = -0.5D0+ILINIE*H-H/2
              ZCENT = DCMPLX(XC, YC)
              JADR = ILOC(I)
              DO K = 1,NINBOX
                  JT = IATADR(INOFF+K)
                  CALL TAYSRC(LOCEXP1(0,JADR),LOCEXP2(0,JADR),
1                   NTERMENI,ZCENT,ZSRC(JT),M1(JT),M3(JT),zbn(JT))
              ENDDO
          ENDIF
      ENDDO
      RETURN
      END

SUBROUTINE ASSIGN(ILEV,ZSRC,IOFFST,IBOX,NATOMI,ICNT,ICNT2,
1   IATADR,ITRADR,ITOFST,ILOC,NTBOX,NSMAX)
IMPLICIT REAL*8 (A-H,O-Z)
INTEGER*4 NATOMI,NSIDE,IOFFST(1),IBOX(1),ILOC(1)
INTEGER*4 ICNT(1),ICNT2(1),ITRADR(1),ITOFST(1),IATADR(1)
COMPLEX*16 ZSRC(1)
REAL*8 X,Y,H
NSIDE = 2**ILEV
NBOXES = NSIDE*NSIDE
DO J = 1,NBOXES
    ICNT2(J) = 1
    ICNT(J) = 0
    ILOC(J) = 0
ENDDO
H = 1.D0/NSIDE
NTBOX = 0
NSMAX = 0
DO J = 1, NATOMI
    X = DREAL(ZSRC(J)) + 0.5D0
    Y = DIMAG(ZSRC(J)) + 0.5D0
    IXH = X/H
    IYH = Y/H
    IF (IXH .GE. NSIDE) IXH = NSIDE-1
    IF (IYH .GE. NSIDE) IYH = NSIDE-1
    IF (IXH .LT. 0) IXH = 0
    IF (IYH .LT. 0) IYH = 0
    ICOL = 1 + IXH
    ILINIE = 1 + IYH
    IADR = (ILINIE-1)*NSIDE + ICOL
    ICNT(IADR) = ICNT(IADR) + 1
    IBOX(J) = IADR
    IF (ICNT(IADR).GT.NSMAX) NSMAX = ICNT(IADR)
    IF (ILOC(IADR) .EQ. 0) THEN
        NTBOX = NTBOX+1
        ILOC(IADR) = NTBOX
    ENDIF
ENDDO
IOFFST(1) = 0

```

```

DO J = 2,NBOXES+1
  IOFFST(J) = IOFFST(J-1) + ICNT(J-1)
ENDDO
DO J = 1,NATOMI
  IADR = IBOX(J)
  INDX = IOFFST(IADR) + ICNT2(IADR)
  IATADR(INDX) = J
  ICNT2(IADR) = ICNT2(IADR)+1
ENDDO
DO J = 1,NBOXES+1
  ITOFST(J) = 0
ENDDO
RETURN
END

```

```

SUBROUTINE ZVECZERO(ZVEC,NTERMENI)
IMPLICIT NONE
INTEGER*4 NTERMENI,I
  COMPLEX*16 ZVEC(NTERMENI)

```

Programul implementat în limbajul FORTRAN, prezintă următorul cod sursă:

```

DO I=1,NTERMENI
  ZVEC(I)=DCMPLX(0.D0,0.D0)
ENDDO
RETURN
END

```

```

SUBROUTINE SRCMUL(ZCENT,ZSRC,QA,QB,QC,NINBOX,MPOLE1,MPOLE2,
1 NTERMENI)
IMPLICIT REAL*8 (A-H,O-Z)
INTEGER*4 NINBOX,NTERMENI
COMPLEX*16 ZCENT,ZSRC(NINBOX),ZSHIFT,ZACC,MPOLE1(NTERMENI)
COMPLEX*16 QA(NINBOX),QB(NINBOX),QC(NINBOX),MPOLE2(NTERMENI)
CALL ZVECZERO(MPOLE1,NTERMENI)
CALL ZVECZERO(MPOLE2,NTERMENI)
DO I = 1,NINBOX
  ZSHIFT = ZSRC(I) - ZCENT
  ZACC = DCMPLX(1.D0,0.D0)
  DO J = 1,NTERMENI
    MPOLE1(J) = MPOLE1(J) - QA(I)*ZACC
    MPOLE2(J) = MPOLE2(J) - QB(I)*ZACC
    ZACC = ZACC*ZSHIFT
  ENDDO
  ZACC = DCMPLX(1.D0,0.D0)
  DO J = 2,NTERMENI
    MPOLE2(J) = MPOLE2(J) + QC(I)*(J-1)*ZACC
    ZACC = ZACC*ZSHIFT
  ENDDO
ENDDO
RETURN
END

```

```

SUBROUTINE MULSRC(MPOLE1,MPOLE2,ZCENT,NTERMENI,ZTARG,M1,M3,zbn)
IMPLICIT REAL*8 (A-H,O-Z)
INTEGER*4 NTERMENI
COMPLEX*16 ZCENT,ZTARG,MPOLE1(NTERMENI),MPOLE2(NTERMENI)
COMPLEX*16 ZSHIFT,ZSINV,PHI,PSI,PHIPLOC,M1,M3,zbn
ZSHIFT = ZTARG - ZCENT
ZSINV = 1.0D0/ZSHIFT
PHI = MPOLE1(NTERMENI)*ZSINV
PHIPLOC = NTERMENI*MPOLE1(NTERMENI)*ZSINV

```



```

PSI = MPOLE2(NTERMENI)*ZSINV
DO J = NTERMENI-1,1,-1
    PHI = (PHI + MPOLE1(J))*ZSINV
    PSI = (PSI + MPOLE2(J))*ZSINV
    PHIPLOC = (PHIPLOC + J*MPOLE1(J))*ZSINV
ENDDO
PHIPLOC = -PHIPLOC*ZSINV
M1 = M1 + PHI
M3 = M3 + PHI - DCONJG(PHI)
& + ZTARG*DCONJG(PHIPLOC)*zbn + DCONJG(PSI)*zbn
RETURN
END

SUBROUTINE TAYSRC(LOCAL1,LOCAL2,NTERMENI,ZCENT,ZTARG,M1,M3,zbn)
IMPLICIT REAL*8 (A-H,O-Z)
INTEGER*4 NTERMENI
COMPLEX*16 ZCENT,ZTARG,ZSHIFT,PHI,PSI,PHIPLOC,M1,M3,zbn
COMPLEX*16 LOCAL1(0:NTERMENI),LOCAL2(0:NTERMENI)
ZSHIFT = ZTARG - ZCENT
PHI = 0.0D0
PHIPLOC = 0.0D0
PSI = 0.0D0
DO J = NTERMENI,0,-1
    PHI = LOCAL1(J) + ZSHIFT*PHI
    PSI = LOCAL2(J) + ZSHIFT*PSI
ENDDO
DO J = NTERMENI,1,-1
    PHIPLOC = J*LOCAL1(J) + ZSHIFT*PHIPLOC
ENDDO
M1 = M1 + PHI
M3 = M3 + PHI - DCONJG(PHI)
& + ZTARG*DCONJG(PHIPLOC)*zbn + DCONJG(PSI)*zbn
RETURN
END

SUBROUTINE MULTAY(MPOLE1,MPOLE2,ZCENT,N,ZCENT2,B1,B2,C)
IMPLICIT REAL*8 (A-H,O-Z)
INTEGER*4 N
COMPLEX*16 MPOLE1(*),MPOLE2(*),B1(0:60),B2(0:60)
COMPLEX*16 ZCENT,ZCENT2,Z0,Z0P(0:60),CD,CDD,M1(60),M3(60)
REAL*8 C(120,120)
Z0=ZCENT2-ZCENT
CD=1.0D0/Z0
CDD=CD
Z0P(0)=1.0
DO I=1,N
    Z0P(I)=CDD
    CDD=CDD*CD
ENDDO
DO I=1,N
    M1(I) = MPOLE1(I)*Z0P(I)
    M3(I) = MPOLE2(I)*Z0P(I)
    B1(I)=0.0D0
    B2(I)=0.0D0
ENDDO
B1(0) = 0.0D0
B2(0) = 0.0D0
DO M=0,N-1
    DO K=1,N
        B1(M)=B1(M)+ M1(K)*C(M+K,K)
        B2(M)=B2(M)+ M3(K)*C(M+K,K)
    ENDDO

```

```

ENDDO
DO M=0,N-1,2
  B1(M) = B1(M)*ZOP(M)
  B2(M) = B2(M)*ZOP(M)
ENDDO
DO M=1,N-1,2
  B1(M) = -B1(M)*ZOP(M)
  B2(M) = -B2(M)*ZOP(M)
ENDDO
RETURN
END

SUBROUTINE DONNOPER(ILEV,ZSRC,QA,QB,QC,NATOMI,ZSRC2,QA2,QB2,QC2,
2  IOFFST,IBOX,IATADR,M1,M3,zbn)
IMPLICIT REAL*8 (A-H,O-Z)
REAL*8 XOFF(30),YOFF(30)
COMPLEX*16 ZSRC(1),QA(1),QB(1),QC(1),ZSRC2(1),QA2(1)
COMPLEX*16 M1(1),M3(1),zbn(1),ZTRANS,QB2(1),QC2(1)
INTEGER*4 NATOMI,IOFFST(1),IATADR(1),IBOX(1),NSIDE
INTEGER*4 VECINI(30),NVECINI
NSIDE = 2**ILEV
NBOXES = NSIDE*NSIDE
DO 800 I = 1,NBOXES
  IOFF = IOFFST(I)
  NINBOX = IOFFST(I+1) - IOFF
  IF ( NINBOX .LE. 0 ) GOTO 800
  DO K = 1,NINBOX
    ZSRC2(K) = ZSRC(IATADR(IOFF+K))
    QA2(K) = QA(IATADR(IOFF+K))
    QB2(K) = QB(IATADR(IOFF+K))
    QC2(K) = QC(IATADR(IOFF+K))
  ENDDO
  CALL SRCSRC1(ZSRC2,IOFF,IATADR,NINBOX,QA2,QB2,QC2,M1,M3,zbn)
  CALL MKNBORPER(ILEV,I,VECINI,NVECINI,XOFF,YOFF)
  DO J = 2,NVECINI
    IADR = VECINI(J)
    INOFF = IOFFST(IADR)
    NINNBR = IOFFST(IADR+1) - INOFF
    DO K = 1,NINNBR
      JT = IADR(INOFF+K)
      ZTRANS = ZSRC(JT) + DCMPLEX(XOFF(J),YOFF(J))
      CALL SRCSRC2(ZTRANS,ZSRC2,NINBOX,QA2,QB2,QC2,
1      M1(JT),M3(JT),zbn(JT))
    ENDDO
  ENDDO
800 CONTINUE
RETURN
END

SUBROUTINE SRCSRC1(ZSRC,IOFF,IATADR,NATOMI,QA,QB,QC,M1,M3,zbn)
IMPLICIT REAL*8 (A-H,O-Z)
INTEGER*4 NATOMI,IATADR(*),IOFF
COMPLEX*16 QA(1),QB(1),QC(1),M1(1),M3(1),zbn(1),ZSRC(1)
COMPLEX*16 PHILOC,PSILOC,ZDIS,ZDIS2,PHIP
DO K = 1,NATOMI
  PHILOC = 0.0D0
  PHIP = 0.0D0
  PSILOC = 0.0D0
  KT = IATADR(IOFF+K)
  DO 30 J = 1,NATOMI
    IF (J.EQ.K) GOTO 30
    ZDIS = ZSRC(J) - ZSRC(K)

```

```

      ZDIS2 = ZDIS*ZDIS
      PHILOC = PHILOC + QA(J)/ZDIS
      PHIP = PHIP + QA(J)/ZDIS2
      PSILOC = PSILOC + QC(J)/ZDIS2 + QB(J)/ZDIS
30  CONTINUE
      M1(KT) = M1(KT) + PHILOC
      M3(KT) = M3(KT) + PHILOC - DCONJG(PHILOC)
& + ZSRC(K)*DCONJG(PHIP)*znbn(KT) + DCONJG(PSILOC)*znbn(KT)
      ENDDO
      RETURN
      END

SUBROUTINE SRCSRC2(ZTARG,ZSRC,NATOMI,QA,QB,QC,M1,M3,znbn)
IMPLICIT NONE
COMPLEX*16 ZTARG,ZSRC(1),QA(1),QB(1),QC(1),M1,M3,ZINV,ZINV2C
COMPLEX*16 znbn
INTEGER*4 J,NATOMI
DO J = 1,NATOMI
  ZINV = 1.0D0/(ZSRC(J) - ZTARG)
  ZINV2C = DCONJG(ZINV*ZINV)
  M1 = M1 + QA(J)*ZINV
  M3 = M3 + QA(J)*ZINV - DCONJG(QA(J)*ZINV)
  1 + DCONJG(QB(J)*ZINV)*znbn
  2 + (ZTARG*DCONJG(QA(J)) + DCONJG(QC(J)))*ZINV2C*znbn
ENDDO
RETURN
END

SUBROUTINE ADDEXP(B1,B2,LOCEXP1,LOCEXP2,NTERMENI)
INTEGER*4 NTERMENI
COMPLEX*16 B1(0:60),B2(0:60)
COMPLEX*16 LOCEXP1(0:NTERMENI),LOCEXP2(0:NTERMENI)
DO J = 0,NTERMENI
  LOCEXP1(J) = LOCEXP1(J) + B1(J)
  LOCEXP2(J) = LOCEXP2(J) + B2(J)
ENDDO
RETURN
END

SUBROUTINE MKNBORPER(ILEV,IBOX,VECINI,NVECINI,XOFF,YOFF)
REAL*8 XOFF(1),YOFF(1)
INTEGER*4 NSIDE,IBOX,VECINI(1),ILEV,NVECINI
NSIDE = 2**ILEV
NVECINI = 1
VECINI(NVECINI) = IBOX
XOFF(NVECINI) = 0.0D0
YOFF(NVECINI) = 0.0D0
ILINIEB = (IBOX-1)/NSIDE + 1
ICOLB = IBOX - (ILINIEB-1)*NSIDE
DO I = -1,1
  DO 1000 J = -1,1
    IF ((I*I + J*J).EQ.0) GOTO 1000
    NVECINI = NVECINI+1
    IF ( (ICOLB+I).LT. 1) THEN
      ICOMP = ICOLB+I+ NSIDE
      XOFF(NVECINI) = -1.D0
    ELSE IF ( (ICOLB+I).GT.NSIDE) THEN
      ICOMP = ICOLB+I- NSIDE
      XOFF(NVECINI) = 1.D0
    ELSE
      ICOMP = ICOLB+I
      XOFF(NVECINI) = 0.0D0
    
```

```

ENDIF
IF ( (ILINIEB+J).LT. 1) THEN
  JCOMP = ILINIEB+J+ NSIDE
  YOFF(NVECINI) = -1.D0
ELSE IF ( (ILINIEB+J).GT.NSIDE) THEN
  JCOMP = ILINIEB+J- NSIDE
  YOFF(NVECINI) = 1.D0
ELSE
  JCOMP = ILINIEB+J
  YOFF(NVECINI) = 0.0D0
ENDIF
  VECINI(NVECINI) = (JCOMP-1)*NSIDE + ICOMP
1000 CONTINUE
ENDDO
RETURN
END

SUBROUTINE INTLIST(LEV,IBOX,INTACT)
INTEGER*4 IBOX,INTACT(1),LEV
IDIM = 2**LEV
IMARE = 3*IDIM
ICOL = IDIM + 1 + MOD(IBOX-1,IDIM )
ILINIE = IDIM + 1 + (IBOX-1)/IDIM
NMARE = (ILINIE - 1)*IMARE + ICOL
INTACT(1) = NMARE + 2
INTACT(2) = NMARE + 2*IMARE
INTACT(3) = NMARE - 2
INTACT(4) = NMARE - 2*IMARE
INTACT(5) = NMARE + IMARE + 2
INTACT(6) = NMARE + 2*IMARE - 1
INTACT(7) = NMARE - IMARE - 2
INTACT(8) = NMARE - 2*IMARE + 1
INTACT(9) = NMARE + 2*IMARE + 2
INTACT(10) = NMARE + 2*IMARE - 2
INTACT(11) = NMARE - 2*IMARE - 2
INTACT(12) = NMARE - 2*IMARE + 2
INTACT(13) = NMARE + 2*IMARE + 1
INTACT(14) = NMARE + IMARE - 2
INTACT(15) = NMARE - 2*IMARE - 1
INTACT(16) = NMARE - IMARE + 2
IF ((MOD(ICOL,2).EQ.1).AND.(MOD(ILINIE,2).EQ.1)) THEN
  INTACT(17) = NMARE - 2*IMARE + 3
  INTACT(18) = NMARE + 3*IMARE + 2
  INTACT(19) = NMARE - IMARE + 3
  INTACT(20) = NMARE + 3*IMARE + 1
  INTACT(21) = NMARE + 3
  INTACT(22) = NMARE + 3*IMARE
  INTACT(23) = NMARE + IMARE + 3
  INTACT(24) = NMARE + 3*IMARE - 1
  INTACT(25) = NMARE + 2*IMARE + 3
  INTACT(26) = NMARE + 3*IMARE - 2
  INTACT(27) = NMARE + 3*IMARE + 3
ELSE IF ((MOD(ICOL,2).EQ.1).AND.(MOD(ILINIE,2).EQ.0)) THEN
  INTACT(17) = NMARE - 3*IMARE - 2
  INTACT(18) = NMARE - 2*IMARE + 3
  INTACT(19) = NMARE - 3*IMARE - 1
  INTACT(20) = NMARE - IMARE + 3
  INTACT(21) = NMARE - 3*IMARE
  INTACT(22) = NMARE + 3
  INTACT(23) = NMARE - 3*IMARE + 1
  INTACT(24) = NMARE + IMARE + 3
  INTACT(25) = NMARE - 3*IMARE + 2

```

```

      INTACT(26) = NMARE + 2*IMARE + 3
      INTACT(27) = NMARE - 3*IMARE + 3
      ELSE IF ((MOD(ICOL,2).EQ.0).AND.(MOD(ILINIE,2).EQ.0)) THEN
      INTACT(17) = NMARE + 2*IMARE - 3
      INTACT(18) = NMARE - 3*IMARE - 2
      INTACT(19) = NMARE + IMARE - 3
      INTACT(20) = NMARE - 3*IMARE - 1
      INTACT(21) = NMARE - 3
      INTACT(22) = NMARE - 3*IMARE
      INTACT(23) = NMARE - IMARE - 3
      INTACT(24) = NMARE - 3*IMARE + 1
      INTACT(25) = NMARE - 2*IMARE - 3
      INTACT(26) = NMARE - 3*IMARE + 2
      INTACT(27) = NMARE - 3*IMARE - 3
      ELSE IF ((MOD(ICOL,2).EQ.0).AND.(MOD(ILINIE,2).EQ.1)) THEN
      INTACT(17) = NMARE + 3*IMARE + 2
      INTACT(18) = NMARE + 2*IMARE - 3
      INTACT(19) = NMARE + 3*IMARE + 1
      INTACT(20) = NMARE + IMARE - 3
      INTACT(21) = NMARE + 3*IMARE
      INTACT(22) = NMARE -      3
      INTACT(23) = NMARE + 3*IMARE - 1
      INTACT(24) = NMARE - IMARE - 3
      INTACT(25) = NMARE + 3*IMARE - 2
      INTACT(26) = NMARE - 2*IMARE - 3
      INTACT(27) = NMARE + 3*IMARE - 3
      ENDIF
6000 FORMAT(10I5)
      RETURN
      END

```

```

SUBROUTINE TRANSL(NIVEL,NMARE,IADR,ZOFF,NN)
IMPLICIT NONE
COMPLEX*16 ZOFF(1)
INTEGER*4 NIVEL,NMARE(1),IADR(1),NN
INTEGER*4 IDIM, ICOL, ILINIE, IMARE, I, NB
REAL*8 XX,YY
IDIM = 2**NIVEL
IMARE = 3*IDIM
DO 100 I = 1,NN
  NB = NMARE(I)
  ICOL = 1 + MOD(NB-1,IDIM)
  ILINIE = 1 + (NB-1)/IMARE
  ILINIE = 1 + MOD(ILINIE-1,IDIM)
  IADR(I) = (ILINIE - 1)*IDIM + ICOL
  ICOL = 1 + MOD(NB-1,IMARE)
  ILINIE = 1 + (NB-1)/IMARE
  XX = ((ICOL-1)/IDIM - 1 )
  YY = ((ILINIE-1)/IDIM - 1 )
  ZOFF(I) = DCMPLEX(XX,YY)
100 CONTINUE
      RETURN
      END

```

```

SUBROUTINE ZPOWINIT(DZPOW,DZBPOW)
IMPLICIT NONE
REAL*8 DZPOW(25),DZBPOW(24)
DZPOW(1) = 0.151212002153897D+00
DZPOW(2) = 0.577303536518952D-02
.....
DZBPOW(24) = 0.126214477762726D-28
      RETURN

```

END

```

SUBROUTINE MULTAYPER(MPOLE1,MPOLE2,LOC1,LOC2,NTERMENI,C)
IMPLICIT NONE
COMPLEX*16 MPOLE1(60),MPOLE2(60),LOC2(0:60),LOC1(0:60)
REAL*8 C(120,120),DZPOW(25),DZBPOW(24)
INTEGER*4 NTERMENI,I,J
CALL ZPOWINIT(DZPOW,DZBPOW)
DO I=0,NTERMENI
  LOC1(I) = DCMPLX(0.D0,0.D0)
  LOC2(I) = DCMPLX(0.D0,0.D0)
  DO J=1,NTERMENI
    IF ( MOD(I+J,4) .EQ. 0) THEN
      LOC1(I) = LOC1(I) +
1    MPOLE1(J)*DZPOW((I+J)/4)*C(I+J,J)*(-1)**J
      LOC2(I) = LOC2(I) +
1    MPOLE2(J)*DZPOW((I+J)/4)*C(I+J,J)*(-1)**J
    ENDIF
    IF ( ((I+J).GT.4) .AND. (MOD(I+J,4).EQ.3) ) THEN
      LOC2(I) = LOC2(I) +
1    MPOLE1(J-1)*DZBPOW((I+J-3)/4)*C(I+J,J)*(-1)**J*(J-1)
    ENDIF
  ENDDO
ENDDO
RETURN
END

```

```

SUBROUTINE DIPOLECORR(KP1,MU1,ZSRC,QA,NATOMI,M1,M3,zbn)
IMPLICIT NONE
REAL*8 KP1,MU1,PI,S2,S2M3,T4,ST24
COMPLEX*16 ZSRC(1),M1(1),M3(1),MPOLE1(3),QA(1),zbn(1)
INTEGER*4 I,NATOMI
CALL ZVECZERO(MPOLE1,3)
DO I=1,NATOMI
  MPOLE1(1) = MPOLE1(1) - QA(I)
  MPOLE1(2) = MPOLE1(2) - QA(I)*ZSRC(I)
  MPOLE1(3) = MPOLE1(3) + QA(I)*DCONJG(ZSRC(I))
ENDDO
PI = 4.D0*DATAN(1.0D0)
S2 = PI*KP1/MU1
T4 = 4.07845116116140D0
S2M3 = (1.0D0 + 2*MU1/KP1)*PI
ST24 = 2.D0*T4-4.D0-PI
DO I = 1,NATOMI
  M1(I)=M1(I)+DREAL(S2*(MPOLE1(3)+MPOLE1(1)*DCONJG(ZSRC(I))))
  M3(I)=M3(I)-zbn(I)*S2M3*(MPOLE1(2)-MPOLE1(1)*ZSRC(I))
  M3(I)=M3(I)-zbn(I)*ST24*DCONJG(MPOLE1(2)-MPOLE1(1)*ZSRC(I))
ENDDO
RETURN
END

```

```

SUBROUTINE ponderi Gauss(T,W)
IMPLICIT NONE
REAL*8 T(16),W(16)
T( 1)=-0.98940093499164993259615417D+00
.....
T(16)= 0.98940093499164993259615417D+00
W( 1)= 0.27152459411754094851780572D-01
.....
W(16)= 0.27152459411754094851780572D-01
RETURN
END

```

```

SUBROUTINE Winit(W1lf,W1rg,W2lf,W2rg)
IMPLICIT NONE
COMPLEX*16 W1lf(16),W1rg(16),W2lf(16),W2rg(16)
W1lf( 1)=( 0.38765519596025710844615313D+00, 0.000000D+00)
.....
W1lf(16)=( 0.18522493335799527456531526D-01, 0.000000D+00)
W1rg( 1)=( 0.18522493335799527456531526D-01, 0.000000D+00)
.....
W1rg(16)=( 0.38765519596025710844615313D+00, 0.000000D+00)
W2lf( 1)=( 0.26586237667088595121474370D-02, 0.000000D+00)
.....
W2lf(16)=( 0.38298824416714774839445396D-01, 0.000000D+00)
W2rg( 1)=( 0.38298824416714774839445396D-01, 0.000000D+00)
.....
W2rg(16)=( 0.26586237667088595121474370D-02, 0.000000D+00)
RETURN
END

```

```

SUBROUTINE Biinit(Bi)
IMPLICIT NONE
REAL*8 Bi(16,16)
Bi( 1, 1)= 0.13576229705877047425890286D-01
.....

```

```

Bi(16,16)= 0.32781304863961739415597058D-01
RETURN
END

```

```

SUBROUTINE diffinit(diff)
IMPLICIT NONE
REAL*8 diff(16,16)
diff( 1, 1)=-0.46922640442193156429764101D+02
.....
diff(16,16)= 0.46922640442193156429764101D+02
RETURN
END

```


CAPITOLUL 5

CERCETĂRI, VERIFICĂRI ȘI VALIDĂRI EXPERIMENTALE

§ 5.1. ELEMENTE DE FOTOELASTICIMETRIE

Cercetarea experimentală a stărilor de tensiune și deformație în solide elastice solicitate este tot atât de veche ca și teoria, sau poate chiar mai veche. Astăzi sunt puse la punct numeroase metode, dintre care amintesc:

- **metode de măsurare electrice**, folosind:
 - traductori rezistivi (mărci tensometrice)
 - traductori inductivi
 - traductori capacitivi
 - traductori piezoelectrice, etc.
- **metode de măsurare mecanice**, utilizând tot felul de *extensometre* cu amplificare mecanică sau optică etc. Acestea se folosesc în special la așa-numitele „*încercări de materiale*” pentru determinarea caracteristicilor mecanice de rezistență, elasticitate și plasticitate ($E, G, \nu, \sigma_{10}, \sigma_{0,02}, \sigma_r, \delta_5, \delta_{10}, Z$, etc.)- v. STAS .

- **metode de modelare electrică, fotoelastică** etc.

Mă voi ocupa în continuare cu **metoda fotoelastică (m.f.) prin transparentă** și voi reda, foarte sumar, elementele definiției, pe baza unei bibliografii suficient de bogată. Voi aminti cărțile clasice de domeniu: N. IOSIPESCU [SB39], HETENYI M. [SB41], D.R.MOCANU [SB31], M.M. FROCHT [SB40], E. GHITA [G16], E.ALĂMOREANU [A10], și lucrările științifice: BUGA [SB25], [SB26], [SB27], N.ILIESCU [SB28], [SB29], [SB30], HAJDU I. [H6], DOBRE I. [D19], PĂSTRĂVI. [SB42].

Metoda fotoelastică se bazează pe observația fundamentală că starea de tensiune în cazul unei probleme plane de solicitare nu depinde de constantele elastice de material. Într-adevăr, dacă urmărim ecuațiile de echilibru de la starea plană (2.1.3.1) constatăm că în structura lor nu apar constante de material.

Pornind de la această observație s-a imaginat o metodă de investigație experimentală, care permite vizualizarea stării de tensiune reale pe un model construit dintr-un material optic activ care manifestă fenomenul de birefrință accidentală.

Ca metodă de lucru, fotoelasticitatea, se bazează pe determinarea unor efecte optice (a diferenței de drum optic) care se produc la trecerea luminii polarizate prin medii birefringente solicitate mecanic.

În dezvoltarea acestei teme există o serie de fenomene specifice cu denumiri mai puțin uzuale, pe care numai le voi aminti în continuare:

- **Fenomenul de birefrință** (dublă refracție). Raza de lumină, la trecerea prin anumite cristale transparente, suferă un fenomen de dublă refracție. Astfel, raza refractată are

două componente: una **ordinară**, care ascultă de legile clasice ale lui Snellius-Descartes ($\sin i / \sin r = n = \text{const.}$), și alta **extraordinară**, care nu mai ascultă de aceste legi.

- **Fenomenul de birefrință accidentală.** Sunt unele materiale transparente numite „*optic active*”, care manifestă proprietăți de birefrință *numai când sunt solicitate mecanic* (de aici denumirea de „*accidental*”) - Brewster 1816 -. Acestea fac parte din clasa rășinilor epoxidice. Exemplu: Araldit, Dinox, Romoxid, Plexiglas etc.
- **Polarizarea luminii.** Circumscriș teoriei ondulatorii a luminii ne putem imagina raza luminoasă ca o undă electromagnetică de înaltă frecvență în care vectorul intensitate al câmpului electric (numit și vectorul lumină) oscilează într-un plan perpendicular pe direcția de propagare, schimbându-și periodic mărimea și direcția.
- **Lumină polarizată plan** – se caracterizează prin faptul că vectorul lumină vibrează într-un singur plan care trece prin direcția de propagare a luminii și este perpendicular față de planul de polarizare (v. Fig.5.1.1).

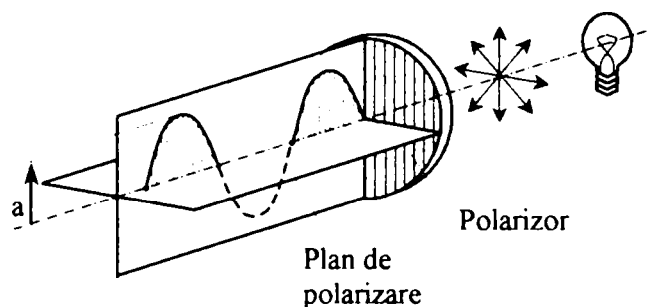


Fig. 5.1.1

- **Polariscopul** cu lumină polarizată plan este alcătuit dintr-o sursă de lumină albă sau monocromatică și două lame polarizante (sau polaroizi¹) având planele de polarizare orientate pe direcții perpendiculare (v. Fig. 5.1.2). Prima lamă așezată în apropierea sursei de lumină poartă numele de **polarizor**, iar cealaltă de **analizor**.

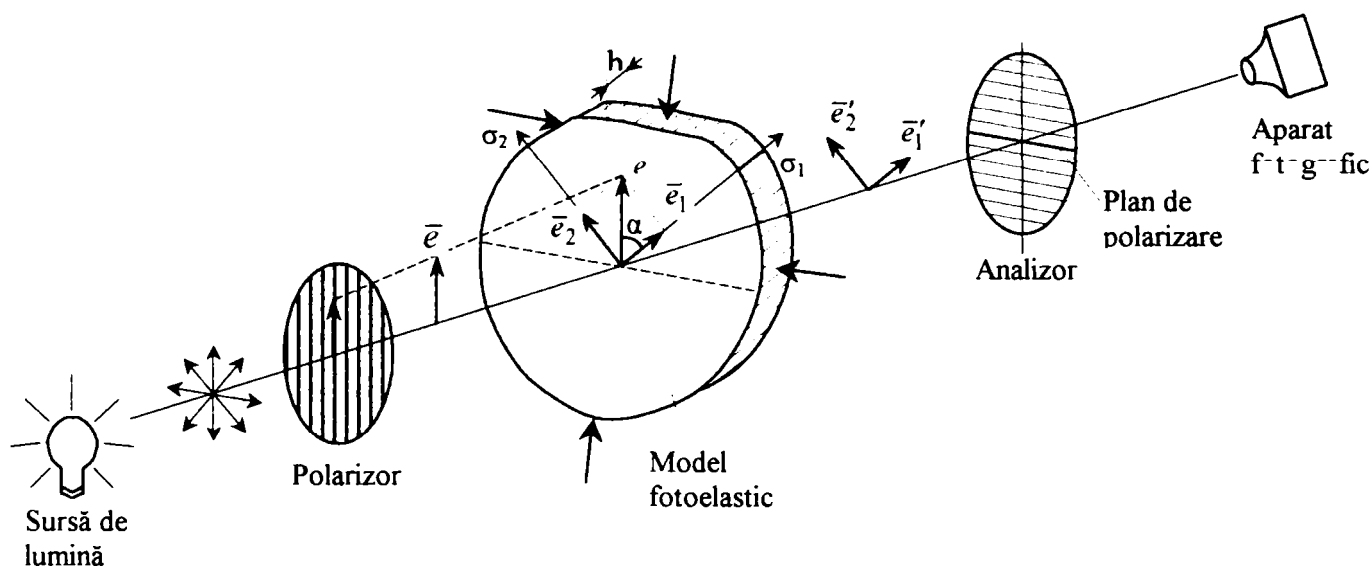


Fig. 5.1.2

- **Legile fotoelasticității.** S-au stabilit experimental două legi specifice.

I. Legea calitativă: axele de birefrință accidentală coincid cu direcțiile principale ale stării de tensiune din punctul considerat al modelului solicitat.

¹ Un polaroid este format dintr-un strat subțire de material plastic transparent, cum este nitroceluloza sau celulozidul impregnat cu cristale microscopice de hurapatită fixate într-un câmp electric intens care face ca axele lor optice să fie paralele.

II. Legea cantitativă (sau *legea efortului optic* formulată de Maxwell): diferența indicilor de refracție pe direcțiile principale este proporțională cu diferența tensiunilor normale principale:

$$n_1 - n_2 = D(\sigma_1 - \sigma_2) \quad (5.1.1)$$

Expresia precedentă se mai scrie:

$$\sigma_1 - \sigma_2 = N \cdot f_\sigma \quad (5.1.2)$$

unde f_σ se numește **constanta fotoelastică de efort a modelului**, se exprimă în MPa/franje și se determină experimental. În limbaj curent se mai numește „**valoarea benzii**”; $N = 0, 1, 2, 3, \dots$ se numește **ordinul de bandă** („**ordinul benzii**”).

- **Izocline și izocromate.** Dacă modelul nu este solicitat și este privit prin analizor când acesta are planul său de polarizare perpendicular pe planul de polarizare al primului polarizor, ecranul apare neluminat (stins, întunecat). În cazul când modelul este solicitat mecanic starea de tensiune a acestuia variază – în general – de la un punct la altul, ceea ce face ca și proprietățile optice ale materialului modelului să fie diferite în diferite puncte. În acest caz, privind modelul prin analizor, pe suprafața lui apar o serie de puncte și benzi întunecate, alternând cu benzi luminoase. Astfel, dacă într-un punct al modelului diferența tensiunilor normale principale este nulă, acolo nu apare birefringență, deci imaginea pe ecran a acestui punct va fi întunecată. De asemenea, pe suprafața modelului apare o familie de franje întunecate numite **izocromate**, care reprezintă locul geometric al punctelor în care diferența tensiunilor normale principale ($\sigma_1 - \sigma_2$) este constantă (și minimă). Folosind această familie de franje se determină valorile tensiunilor principale în orice punct de pe suprafața modelului.

Pe lângă izocromate, pe suprafața modelului mai apare însă o familie de franje întunecate care se numesc **izocline** și care reprezintă locul geometric al punctelor în care direcțiile tensiunilor normale principale σ_1 și σ_2 , coincid cu direcțiile de polarizare ale polarizorului, respectiv analizorului. Rotind simultan polarizorul și analizorul astfel încât planele lor de polarizare să rămână perpendiculare, se obțin familii de izocline de diferiți parametri unghiulari, cu care se determină direcțiile tensiunilor principale din orice punct de pe suprafața modelului.

Se observă că în cazul polariscopului cu lumină polarizată plan, pe suprafața modelului se suprapun cele două familii de franje, izoclinele și izocromatele. Uneori acestea sunt greu de identificat, și în asemenea cazuri, în locul luminii monocromatice se folosește lumina albă, care face ca izocromatele să apară colorate.

- **Eliminarea izoclinelor. Lumina polarizată circular**

Pentru stabilirea cât mai exactă a traseului franjelor izocromatice în scopul determinării diferențelor ($\sigma_1 - \sigma_2$), modelul fotoelastic este examinat într-un polariscop cu lumină polarizată circular, unde franjele izocline sunt eliminate prin efectele optice care au loc. Acest lucru se poate realiza introducând în plus două componente optice numite „**lame sfert de undă**”, care sunt formate din folii subțiri transparente dintr-un material cu birefringență permanentă. Ele sunt așezate ca în **Fig. 5.1.3**. Efectul de birefringență permanentă se obține printr-o pretensionare controlată astfel încât să rezulte o diferență de drum de $\lambda/4$. Se demonstrează că în felul acesta pe suprafața modelului apar numai izocromatele.

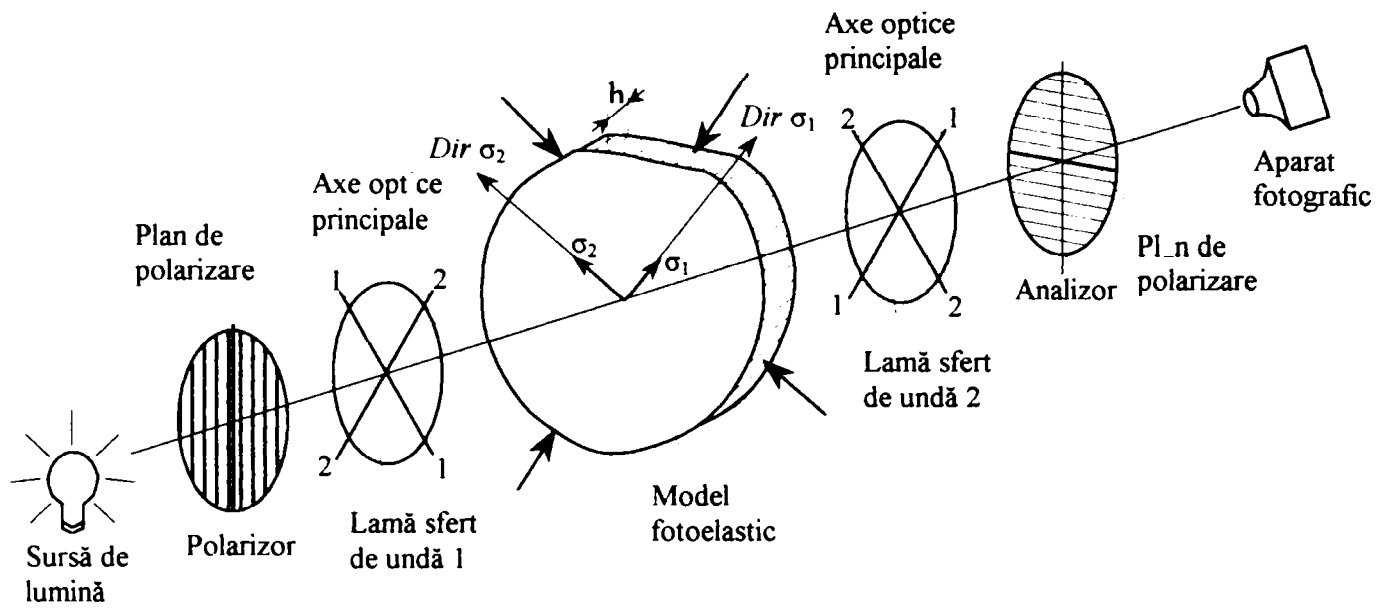


Fig. 5.1.2

§ 5.2. PRELUCRAREA DATELOR FOTOELASTICE

5.2.1. Etalonarea materialului fotoelastic. Ordinul și valoarea benzii

Într-o tehnică experimentală care la ora actuală este bine pusă la punct, problema esențială este legată de prelucrarea imaginilor fotoelastice în special în cazul problemelor din mecanica ruperilor când numărul franjelor de la vârful fisurii este mic.

Cercetarea experimentală se începe cu „*etalonarea (sau calibrarea) materialului fotoelastic utilizat*”, prin determinarea valorii benzii.

Eu am folosit o rășină DINOX 010P turnată în plăci 210x70 mm, cu grosimea de 6mm și ca întăritor trietilentetramina. Am folosit de asemenea ca substanță de bază și ROMPOXID.

Calcularea tensiunilor normale principale în diferite puncte ale modelului necesită determinarea în prealabil a creșterii de tensiune între două izocromate vecine:

$$f_{\sigma} = \Delta(\sigma_1 - \sigma_2) \quad (5.2.1)$$

Exprimând diferența de drum optic în funcție de lungimea de undă $\delta = k\lambda$, se obține:

$$k\lambda = d \cdot D(\sigma_1 - \sigma_2) \quad (5.2.2)$$

Se vede de aici că pe suprafața modelului vor fi întunecate acele puncte (izocromate) pentru care $k=0,1,2,3,\dots$. Zonele luminoase corespund la $k = \frac{1}{2}, \frac{3}{2}, \frac{5}{2}, \dots$

Valoarea întreagă a factorului k relativă la o anumită bandă întunecată, reprezintă **ordinul benzii**. Zonele întunecate cărora le aparține valoarea $k = 0$, în care deci $\sigma_1 - \sigma_2 = 0$, sunt de regulă zone punctiforme și se numesc **puncte izotrope**.

Mărimea

$$f_{\sigma} = \frac{\lambda}{dD} \quad (5.2.3)$$

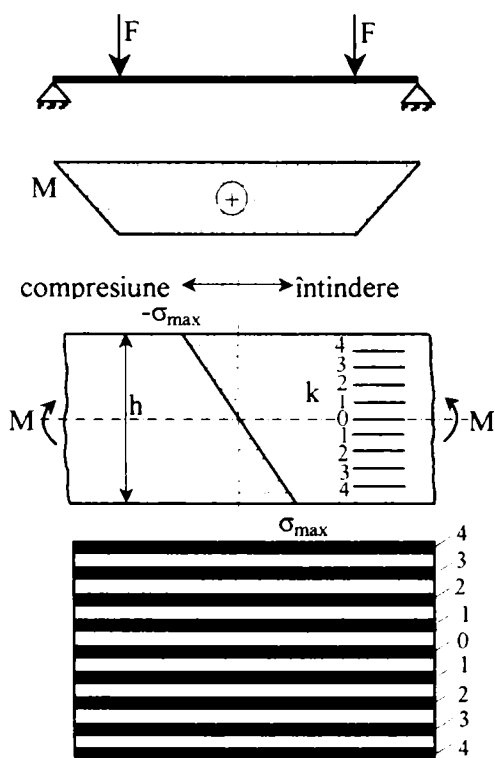


Fig. 5.2.1

egală cu variația diferenței $(\sigma_1 - \sigma_2)$ când ordinul benzii variază cu o unitate se numește **valoarea benzii**.

Cunoașterea valorii benzii este un element fundamental pentru acuratețea măsurătorilor fotoelastice. Ea se determină pe modele cu o stare de tensiune cunoscută. În laboratorul de Rezistența materialelor, se consideră drept model o grindă de acțiune dreptunghiulară sollicitată la încovoiere pură [H6].

Deoarece $\sigma_2 = 0$, rezultă că fiecare izocromată este locul geometric al punctelor cu $\sigma_1 = \text{const}$. În axa geometrică având $\sigma_1 = 0$, ordinal acestei izocromate este $k = 0$. Pornind de la această bandă izocromatele se numerotează spre fibrele extreme $k = 1, 2, 3$, etc. (v. Fig. 5.2.1). Dacă se cunosc momentul încovoietor M_i dimensiunile grinzii $h \times d$, avem:

$$\sigma_{\max} = \frac{M_i}{W_z} [MPa] \text{ unde } W_z = \frac{dh^2}{6} \quad (5.2.4)$$

Atunci, dacă în fibra extremă ordinul benzii este de $k = 4$, valoarea benzii va fi:

$$f_\sigma = \frac{\sigma_{\max}}{4} \quad (5.2.5)$$

Dacă modelul are o altă grosime decât epruveta de etalonare, valoarea benzii se modifică în raportul grosimilor:

$$f_\sigma^* = f_\sigma \cdot \frac{d^*}{d} \quad (5.2.6)$$

5.2.2. Calculul tensiunilor principale din imaginile fotoelastice

Din cele prezentate rezultă că din înregistrările făcute la încercarea modelelor transparente se pot determina direcțiile principale cu ajutorul izoclinelor și diferența tensiunilor principale $(\sigma_1 - \sigma_2)$ cu ajutorul izocromatelor. Dar cunoașterea stării de tensiune dintr-un punct al modelului înseamnă de fapt determinarea valorilor individuale σ_1 și σ_2 ale tensiunilor principale din acel punct. Cu excepția conturilor neîncărcate, în lungul cărora se pot determina tensiunile principale direct din determinările fotoelastice, *separarea tensiunilor principale* se face fie utilizând ecuațiile diferențiale de echilibru, fie alte metode auxiliare prin care se determină suma tensiunilor principale $(\sigma_1 + \sigma_2)$.

a) Calculul tensiunilor pe conturul neîncărcat al modelului

În general, tensiunile maxime apar în zonele din apropierea conturului, chiar în cazul pieselor cu concentratori. De aceea problema principală a metodei fotoelastice este determinarea tensiunilor în lungul conturului, respectiv trasarea curbei de variație a tensiunilor pe conturul neîncărcat; aceasta se rezolvă cu ușurință cu ajutorul izocromatelor.

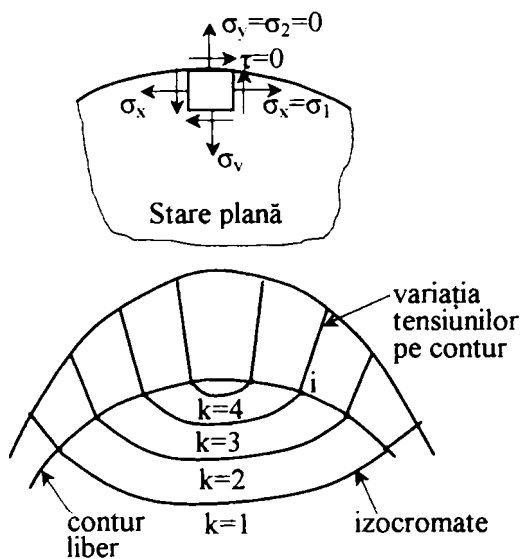


Fig. 5.2.2

Să considerăm o placă aflată într-o stare plană de tensiune și un element de volum care are una din fețe făcând parte din contur; pe această față tensiunile sunt nule $\sigma_y = \sigma_2 = 0$; $\tau_{xy} = \tau = 0$. Rezultă că fețele acestui element sunt plane principale, iar valoarea diferenței $(\sigma_1 - \sigma_2)$ corespunzătoare izocromatei care intersectează conturul în acel punct este chiar valoarea tensiunii principale σ_1 orientată după direcția tangentei la contur. De exemplu în punctul i (Fig. 5.2.2) în care conturul este intersectat de izocromata cu ordinul $k = 3$, tensiunea σ_1 din acele punct este:

$$(\sigma_1)_c = k \cdot f_\sigma = 3 \cdot f_\sigma \quad (5.2.7)$$

Problema **separării tensiunilor** este larg prezentată în literatură, în special prin lucrările d-lui prof. dr.ing. N. ILIESCU. Voi aminti numai câteva metode prezentate în [SB31] și [A10]:

- integrarea ecuațiilor diferențiale de echilibru [SB31] p.338;
- metoda incidenței oblice [A10] p.444;

- metoda diferenței tensiunilor tangențiale [SB1] p.339;
- metoda Frocht (numită și „RAPID”);
- metoda de integrare de-a lungul unei izostatice (FILON);
- metoda de integrare de-a lungul unei izostatice folosind unghiul dintre izocline și izostatice;
- a doua metodă de integrare în lungul unei izostatice;
- metode mixte: furnizarea unor informații suplimentare prin alte metode, cum ar fi:
 - metoda locurilor casante
 - metoda rețelelor
 - utilizarea extensometrelor laterale
 - metode numerice
 - analogia electrică
 - analogia electrooptică
 - metoda Moiré
 - interferometria holografică

§ 5.3. FOTOELASTICIMETRIA APLICATĂ ÎN MECANICA RUPERII

Folosind fotoelasticimetria în Mecanica ruperii se urmărește în special determinarea factorului de intensitate a tensiunilor, pe lângă cunoașterea câmpului de tensiuni și deplasări din vecinătatea fisurilor. Problema cea mai modernă este determinarea factorilor K *dintr-o singură izocromată* deoarece datorită gradientului mare de variație a tensiunilor în zona vârfului fisurii, numărul de izocromate este mic. O prezentare destul de completă a acestei probleme este făcută de L.MARȘAVINA în cartea [G17] (cap.V). Dintre lucrările moderne care nu se găsesc în sinteza din [G17] voi aminti o parte, de care mă voi ocupa în continuare.

- CHEN ZENGTAO [Z4] [Z5]/1995; CHEN FENG [C28]/1997; LI XIAN-FANG [L22]/1998.

După anii apariției se vede că acestea sunt printre ultimele publicații în domeniu.

După cum se afirmă în [G17], se pare că primele încercări experimentale fotoelastice pentru determinarea parametrilor de mecanica ruperii au fost făcute de POST și WELLS în 1950. Cele mai celebre lucrări sunt însă cele ale lui IRWIN [19], care lansează *metodele biparametrice*, despre care Chen Zengato [Z4] scrie: „*de la apariția faimoasei proceduri cu doi parametri a lui Irwin*”. Dar sunt de amintit și metoda BRADLEY-KOBAYASHI, metoda SCHROEDEL-SMITH, alte două metode ale lui C.W. SMITH. Voi prezenta pe scurt, pentru unitatea temei, prima parte după [G17].

5.3.1. Metoda biparametrică a lui IRWIN

Toate metodele pe care le voi prezenta în continuare pleacă de la expresiile tensiunilor, în coordonate polare (r, θ) , din zona vârfului fisurii, pentru încărcări monoaxiale.

$$\left. \begin{aligned} \sigma_{xx} &= \frac{K_I}{\sqrt{2\pi r}} \cos \frac{\theta}{2} \left(1 - \sin \frac{\theta}{2} \sin \frac{3\theta}{2} \right) \\ \sigma_{yy} &= \frac{K_I}{\sqrt{2\pi r}} \cos \frac{\theta}{2} \left(1 + \sin \frac{\theta}{2} \sin \frac{3\theta}{2} \right) \\ \tau_{xy} &= \frac{K_I}{\sqrt{2\pi r}} \sin \frac{\theta}{2} \cos \frac{\theta}{2} \cos \frac{3\theta}{2} \end{aligned} \right\} \quad (5.3.1.1)$$

Pe lângă parametrul necunoscut K_I , Irwin mai introduce în expresia σ_{xx} o tensiune nesingulară σ_{xx}^0 , care se constituie ca al doilea parametru necunoscut, astfel că prima relație din (5.3.1.1) se scrie:

$$\sigma_{xx} = \frac{K_I}{\sqrt{2\pi r}} \cos \frac{\theta}{2} \left(1 - \sin \frac{\theta}{2} \sin \frac{3\theta}{2} \right) - \sigma_{xx}^0 \quad (5.3.1.2)$$

Dar tensiunea tangențială minimă în starea plană este dată de relații bine cunoscute:

$$\tau_{\max} = \frac{\sigma_1 - \sigma_2}{2} = \frac{1}{2} \sqrt{(\sigma_{xx} - \sigma_{yy})^2 + 4\tau_{xy}^2} \quad (5.3.1.3)$$

Introducând (5.3.1.1), (5.3.1.2) în (5.3.1.3) obținem:

$$\tau_{\max}^2 = \frac{1}{4} \left[\frac{K_I^2}{2\pi r} \sin^2 \theta + \frac{2\sigma_{xx}^0 K_I}{\sqrt{2\pi r}} \sin \theta \sin \frac{3\theta}{2} + (\sigma_{xx}^0)^2 \right] \quad (5.3.1.4)$$

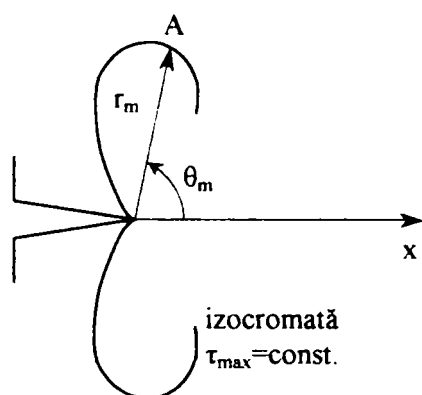


Fig. 5.3.1.1

... geo...e... zo...o...e... e po...te considera că există un punct A (Fig.5.3.1.1) în care franja are un extrem; poziția punctului A este dată de coordonatele r_m și θ_m , cu originea în vârful fisurii. Aceste mărimi le aproximăm prin măsurare directă pe franje – moment în care se înt...du...e...e. Pe de altă parte dacă punctul A este un punct de extrem trebuie ca:

$$\left. \frac{\partial \tau_{\max}}{\partial \theta} \right|_{(A)} = 0$$

Se obține:

$$e_{xx}^0 = \frac{K_I}{\sqrt{2\pi r_m}} \cdot \frac{\sin \theta_m \cos \theta_m}{\cos \theta_m \sin \frac{3\theta_m}{2} + \frac{3}{2} \sin \theta_m \cos \frac{3\theta_m}{2}} \quad (5.3.1.5)$$

Din ultimele două ecuații se determină parametrii necunoscuți:

$$e_{xx}^0 = - \frac{2\tau_{\max} \cos \theta_m}{\cos \frac{3\theta_m}{2} \left(\cos^2 \theta_m + \frac{9}{4} \sin^2 \theta_m \right)^{1/2}} \quad (5.3.1.6)$$

$$K_I = \frac{2\tau_{\max} \sqrt{2\pi r_m}}{\sin \theta_m} \left[1 + \left(\frac{2}{3 \operatorname{tg} \theta_m} \right)^2 \right]^{1/2} \left(1 + \frac{2 \operatorname{tg} \frac{3\theta_m}{2}}{3 \operatorname{tg} \theta_m} \right) \quad (5.3.1.7)$$

Pe de altă parte, din măsurătoare directă:

$$\tau_{\max} = \frac{\sigma_1 - \sigma_2}{2} = \frac{k f_{\sigma}}{2} \quad (5.3.1.8)$$

unde k – ordinul benzii

f_{σ} - constanta fotoelastică a materialului (valoarea benzii)

Comentarii și alte detalii în [G17].

5.3.2. Metoda BRADLEY-KOBAYASHI

În prima parte poate fi privită ca un caz particular al metodei IRWIN deoarece alege

$$\sigma_{xx}^o = \alpha \sigma^x = \alpha \frac{K_I}{\sqrt{\pi a}} \tag{5.3.2.1}$$

și ajunge la aceeași expresie pentru K_I (5.3.17).

În partea a doua cei doi autori propun folosirea a două franje izocromate. Scriind ecuația (5.3.1.4) în care am introdus (5.3.2.1) pentru fiecare franje și făcând diferența lor, se obține:

$$K_I = \frac{2\sqrt{2\pi}(\tau_{m1} - \tau_{m2})\sqrt{r_1 r_2}}{f_2\sqrt{r_1} - f_1\sqrt{r_2}}$$

unde

$$f_i = \left[\sin^2 \theta + 2\alpha \sqrt{\frac{2r_i}{a}} \sin \theta \sin \frac{3\theta}{2} + \frac{2r_i \alpha^2}{a} \right]^{1/2} \quad i = 1,2$$

Comparativ cu Irwin rezultatele sunt îmbunătățite.

5.3.3. Metoda SCHROEDEL-SMITH

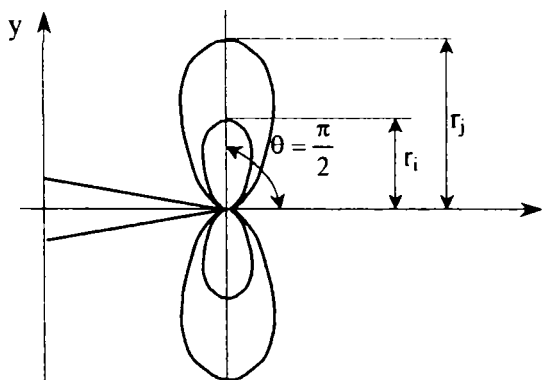


Fig. 5.3.3.1

Este tot o variantă biparametrică după Irwin, cu deosebirea că utilizează măsurătorile făcute pe o direcție perpendiculară pe linia cea fisurii, adică pentru $\theta = 90^\circ$ (v. Fig. 5.3.3.1). Atunci relația (5.3.1.4) se scrie:

$$\tau_{\max}^2 = \frac{1}{4} \left[\frac{K_I^2}{2\pi r} + \frac{K_I \sigma_{xx}^o}{\sqrt{\pi r}} + (\sigma_{xx}^o)^2 \right] \tag{5.3.3.1}$$

Privind această relație ca o ecuație de gradul II în K_I se obține (rădăcina pozitivă):

$$K_I = \sqrt{\pi r} \left\{ \left[8\tau_{\max}^2 - (\sigma_{xx}^o)^2 \right]^{1/2} - \sigma_{xx}^o \right\} \tag{5.3.3.2}$$

Dacă se neglijează $(\sigma_{xx}^o)^2$ față de $(8\tau_{\max}^2)$ - soluția Smith - se obține:

$$K_I = \sqrt{\pi r} (2\sqrt{2}\tau_{\max} - \sigma_{xx}^o)$$

De aici încolo se utilizează tehnica Bradley-Kobayashi a celor două izocromate; făcând determinări ale factorului de intensitate a tensiunii K_I pentru toate combinațiile posibile ale perechilor de izocromate care apar pe modele în urma solicitării, se obține un set de valori $K_{I(i,j)}$ care apoi este supus unei prelucrări statistice.

5.3.4. Un nou algoritm C.W. SMITH

Exprimă tensiunea tangențială maximă scrisă pentru $\theta = 90^\circ$ (5.3.3.1) sub forma:

$$\tau_{\max} = \frac{k}{\sqrt{8\pi r}} + \frac{\sigma_0}{\sqrt{8}} \quad (5.3.4.1)$$

unde $\sigma_0 / \sqrt{8}$ „factorul de influență al lui Smith” arată influența tensiunii nesingulare asupra tensiunii tangențiale maxime.

Autorul definește apoi un *factor de intensitate a tensiunilor aparent*

$$k_{ap} = \tau_{\max} \sqrt{8\pi r} \quad (5.3.4.2)$$

Ecuția (5.3.4.1) o transformă și devine:

$$\frac{k_{ap}}{\sigma \sqrt{\pi a}} = \frac{k}{\sigma \sqrt{\pi a}} + \frac{\sigma_0}{\sigma} \left(\frac{r}{a} \right)^{1/2} \quad (5.3.4.3)$$

unde:

σ - tensiunea efectivă de încărcare a modelului;

a - lungimea fisurii (pentru fisuri marginale) sau semilungimea fisurii (pentru fisuri înglobate în corp).

Reprezentând grafic relația (5.3.4.3): $k_{ap} / \sigma \sqrt{\pi a} \sim \sqrt{\frac{r}{a}}$ se obține o dreaptă cu panta

σ_0 / σ ; extrapolând această dreaptă pentru $\left(\frac{r}{a} \right)^{1/2} \rightarrow 0$ se obține K_I .

Alte comentarii în [G17] / p.132.

5.3.5. Metoda SMITH pentru modul mixt (I+II) de deplasare a flancurilor fisurii

Utilizând soluția aproximativă a lui Irwin pentru tensiunile nesingulare σ_{ij}^0 , expresia condensată a câmpului de tensiuni în vecinătatea vârfului fisurii, este după Smith:

$$\sigma_{ij} = \frac{K_I}{\sqrt{2\pi r}} f_{I,ij}(\theta) + \frac{K_{II}}{\sqrt{2\pi r}} f_{II,ij}(\theta) - \sigma_{ij}^0 \quad (i, j) = (x, y) \quad (5.3.5.1)$$

unde:

$f_{I,ij}(\theta), f_{II,ij}(\theta)$ - funcții de unghiul θ , date de soluția Irwin;

σ_{ij}^0 - componentele nesingulare ale câmpului de tensiune.

Calcululele sunt similare cu cele precedente și se exprimă:

$$\tau_{\max} = \frac{A}{\sqrt{r}} + B \quad (5.3.5.2)$$

unde:

$$A = \left\{ \frac{1}{8\pi} \left[(K_I \sin \theta + 2K_{II} \cos \theta)^2 + (K_{II} \sin \theta)^2 \right] \right\}^{1/2} \quad (5.3.5.3)$$

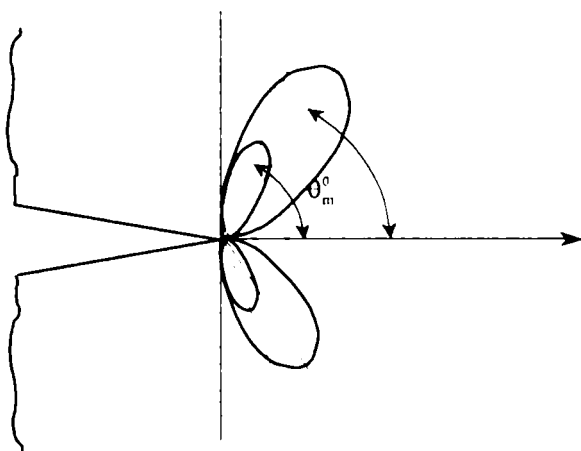


Fig. 5.3.5.1

$B = B(\sigma''_{ij})$ - un termen care ține cont de tensiunea nesingulară, care conduce atât la rotirea cât și la modificarea excentricității franjelor izocromate (v. Fig. 5.3.5.1). Încărcarea după modul II conduce la înclinarea axei izocromatei față de planul fisurii, iar împreună cu efectul tensiunii nesingulare σ''_{ij} conduc la obținerea unor izocromate care la același ordin de bandă k au dimensiuni diferite de o parte și de alta a planului fisurii. Detalii privind aplicarea acestei metode în [G17].

5.3.6. Metodele lui CHEN ZENGTAO și WANG DUO

5.3.6.1. Prima metodă CHEN ZENGTAO

În principiu, așa cum se va vedea la sfârșit, metodele nu sunt fundamental diferite între ele, deși autorii lor susțin contrariul (v. [Z4], [Z5])/1984, 1995.

Autorii pleacă de la ideea că în dezvoltarea în serie a câmpului de tensiuni la vârful fisurii, trebuie luați în considerare primii trei termeni, obținând astfel un domeniu mult mai consistent de date.

Utilizând ideile din lucrările lui WILLIAMS [W18], [W19], [W20], câmpul de tensiuni la vârful fisurii se poate scrie (în coordonate polare (r, θ)), sub forma:

$$\sigma_{ij} = \frac{1}{2} A_1 r^{-\frac{1}{2}} f_{ij}(\theta) + 4 A_2 \delta_{xj} + \frac{3}{2} A_3 r^{\frac{1}{2}} g_{ij}(\theta) + o(r) \quad (5.3.6.1)$$

unde:

σ_{ij} - tensorul tensiunilor;

δ_{xj} - simbolul Kronecker;

$f_{ij}(\theta); g_{ij}(\theta)$ - funcții cunoscute de θ .

Știm de asemenea că:

$$\tau_{\max}^2 = \left(\frac{\sigma_{xx} - \sigma_{yy}}{2} \right)^2 + \tau_{xy}^2 \quad (5.3.6.2)$$

Introducând (5.3.6.1) în (5.3.6.2) găsim:

$$\tau_{\max}^2 = \frac{1}{4} (f_1 \sin^2 \theta + f_2) \quad (5.3.6.3)$$

unde

$$f_1 = A_1^2 r^{-1} + 9 A_3^2 r - 6 A_1 A_3 \cos \theta \quad (5.3.6.4)$$

$$f_2 = 16 A_2^2 - 8 A_2 \sin \theta \left(A_1 r^{-\frac{1}{2}} \sin \frac{3\theta}{2} - 3 A_3 r^{\frac{1}{2}} \sin \frac{\theta}{2} \right) \quad (5.3.6.5)$$

Pe de altă parte, pe baza legii efortului optic avem:

$$\tau_{\max} = \frac{f\sigma \cdot k}{2d} \quad (5.3.6.6)$$

unde

- $f\sigma$ - valoarea benzii
- k - ordinul benzii
- d - grosimea plăcii de probă

Înlocuind ultimele relații în (5.3.6.3) obținem:

$$\sin^2 \theta \left(A_1^2 r^{-1} + 9A_3^2 r - 6A_1 A_3 \cos \theta \right) + 16A_2^2 - 8A_2 r^{-\frac{1}{2}} \sin \theta \left(A_1 \sin \frac{3\theta}{2} - 3A_3 \sin \frac{\theta}{2} \right) - \frac{k^2 f\sigma^2}{4d^2} = 0 \quad (5.3.6.7)$$

Sub formă implicită, ecuația (5.3.6.7) se scrie:

$$f_i(A_1, A_2, A_3) = 0, \quad i = 1, 2, 3 \quad (5.3.6.8)$$

Ecuația (5.3.6.7) este evident o ecuație neliniară în A_i ($i=1,2,3$). Vom selecta trei puncte pe o izocromată și vom înlocui coordonatele lor $(r_m, \theta_m)_i$ în (5.3.6.8) și vom obține un sistem neliniar din care putem determina necunoscutele A_1, A_2, A_3 . Rezultă atunci factorul de intensitate a tensiunilor:

$$K_I = \lim_{r \rightarrow 0} \sigma_{yy} \Big|_{\theta=0} \sqrt{2\pi r} = \sqrt{2\pi} A_1 \quad (5.3.6.9)$$

5.3.6.2. Prima metodă a lui CHEN ZENGTAO îmbunătățită

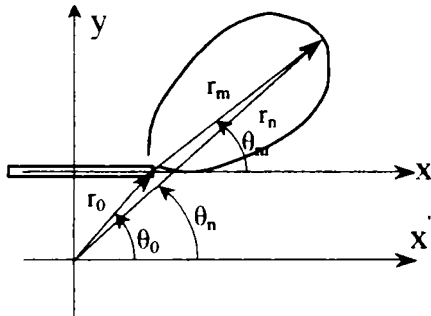


Fig. 5.3.6.1

Pornește de la ideea că în mod practic localizarea vârfului fisurii nu poate fi făcută cu eroare acceptabilă. De aceea se alege ca origine a sistemului de axe, în locul vârfului fisurii, ... (v. Fig. 5.3.6.1). Față de noul sistem de axe, coordonatele punctului de extrem de pe izocromă (r_m, θ_m) sunt:

$$r_m = \left[(r_n \cos \theta_n - r_0 \cos \theta_0)^2 + (r_n \sin \theta_n - r_0 \sin \theta_0)^2 \right]^{\frac{1}{2}} \quad (5.3.6.10)$$

$$\theta_m = \operatorname{tg}^{-1} \frac{r_n \sin \theta_n - r_0 \sin \theta_0}{r_n \cos \theta_n - r_0 \cos \theta_0} \quad (5.3.6.11)$$

Se iau coordonatele vârfului fisurii (r_0, θ_0) ca necunoscute și se dezvoltă funcțiile (5.3.6.8) în serie Taylor.

$$(f_i)_{j+1} = (f_i)_j + \left(\frac{\partial f_i}{\partial A_1} \right)_j (\Delta A_1)_j + \left(\frac{\partial f_i}{\partial A_2} \right)_j (\Delta A_2)_j + \left(\frac{\partial f_i}{\partial A_3} \right)_j (\Delta A_3)_j + \left(\frac{\partial f_i}{\partial r_0} \right)_j (\Delta r_0)_j + \left(\frac{\partial f_i}{\partial \theta_0} \right)_j (\Delta \theta_0)_j \quad (5.3.6.12)$$

Precizia este satisfăcută dacă $(f_i)_{j+1} = 0$, atunci din (5.3.6.12) se obține:

$$J \cdot \Delta X = -F \quad (5.3.6.13)$$

unde

$$J = \begin{bmatrix} \frac{\partial f_1}{\partial A_1} & \frac{\partial f_1}{\partial A_2} & \frac{\partial f_1}{\partial A_3} & \frac{\partial f_1}{\partial r_0} & \frac{\partial f_1}{\partial \theta_0} \\ \frac{\partial f_2}{\partial A_1} & \frac{\partial f_2}{\partial A_2} & \frac{\partial f_2}{\partial A_3} & \frac{\partial f_2}{\partial r_0} & \frac{\partial f_2}{\partial \theta_0} \\ \dots & \dots & \dots & \dots & \dots \\ \frac{\partial f_m}{\partial A_1} & \frac{\partial f_m}{\partial A_2} & \frac{\partial f_m}{\partial A_3} & \frac{\partial f_m}{\partial r_0} & \frac{\partial f_m}{\partial \theta_0} \end{bmatrix} \quad (5.3.6.14)$$

$$\Delta X = \{\Delta A_1 \quad \Delta A_2 \quad \Delta A_3 \quad \Delta r_0 \quad \Delta \theta_0\}^T \quad (5.3.6.15)$$

$$F = \{f_1 \quad f_2 \quad f_3 \dots f_m\}^T \quad (5.3.6.16)$$

Elementele matricii [J] sunt:

$$\frac{\partial f}{\partial A_1} = \sin^2 \theta_m \left(2A_1 r_m^{-1} - 6A_3 \cos \theta_m \right) - 8A_2 r_m^{-2} \sin \frac{\theta_m}{2} \sin \frac{3\theta_m}{2}$$

$$\frac{\partial f}{\partial A_2} = -8 \sin \theta_m \left(A_1 r_m^{-2} \sin \frac{3\theta_m}{2} - 3A_3 r_m^{\frac{1}{2}} \sin \theta_m \right) + 32A_2$$

ș.a.m.d. (v.[Z4])

5.3.6.3. A doua metodă a lui CHEN ZENGTAO [Z5]/1995

Autorul susține că în toate metodele prezentate până acum stabilirea coordonatelor vârfului fisurii este o operație care introduce erori mari. Pentru a evita această sursă de erori autorul prezintă metodologia de transformare a relațiilor fundamentale pe baza căruia determină factorul de intensitate a tensiunilor K_I din diametrul maxim al izocromatei din jurul vârfului fisurii care este simetrică față de linia fisurii (v. Fig. 5.3.6.2).

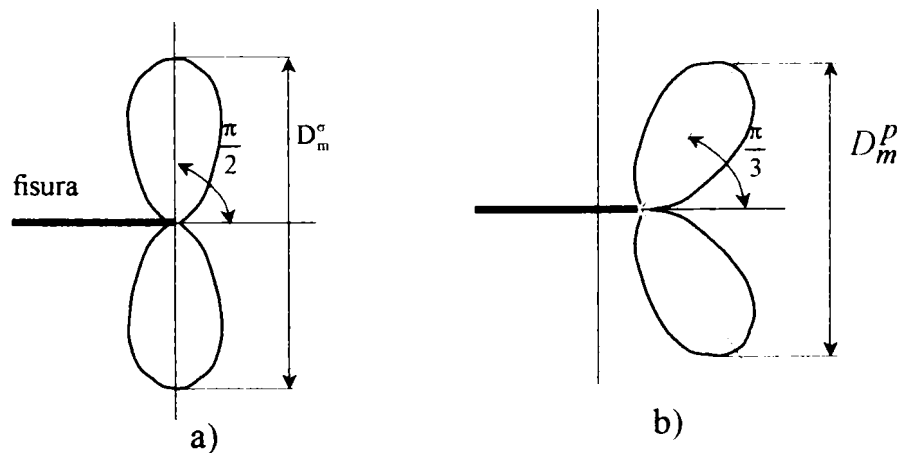


Fig. 5.3.6.2

Câmpul de tensiuni în apropierea vârfului fisurii, pentru modul I este cunoscut și a fost prelucrat la metoda lui Irwin, unde am stabilit:

$$\tau_{\max} = \frac{K_I}{\sqrt{2\pi r}} \cos \frac{\theta}{2} \sin \frac{\theta}{2} = \frac{k f_{\sigma}}{2} \quad (5.3.6.17)$$

De aici rezultă:

$$r = \frac{K_I^2 \sin^2 \theta}{2\pi k^2 f_\sigma^2} \quad (5.3.6.18)$$

În cazul modului I, izocromatele sunt distribuite simetric față de axa fisurii, astfel că diametrul buclei se poate scrie:

$$D_m^\sigma = 2y_{\max} \quad (5.3.6.19)$$

unde

y_{\max} - este ordonata maximă a punctelor buclei izocromatei; ea se poate determina din următorul sistem de ecuații:

$$\left. \begin{aligned} y = r \sin \theta = \frac{K_I^2 \sin^3 \theta}{2\pi k^2 f_\sigma^2} \\ \frac{\partial y}{\partial \theta} = 0; \quad \frac{\partial^2 y}{\partial \theta^2} < 0 \end{aligned} \right\} \quad (5.3.6.20)$$

Se obține:

$$D_m^\sigma = \frac{2K_I^2}{2\pi k^2 f_\sigma^2}$$

de unde

$$K_I = kf_\sigma \sqrt{\pi D_m^\sigma} \quad (5.3.6.21)$$

În felul acesta factorul de identitate a tensiunilor K_I poate fi determinat prin simpla măsurare a diametrului maxim al izocromatelor.

Prin tehnici de holografie autorul determină și suma tensiunilor normale principale (v. Fig.5.3.6.2b)).

5.3.7. Metoda CHEN FENG; SUN ZONQI; XU JICHENG [C28]/1997

Urmează aceiași cale ca și ultima metodă prezentată și scrie:

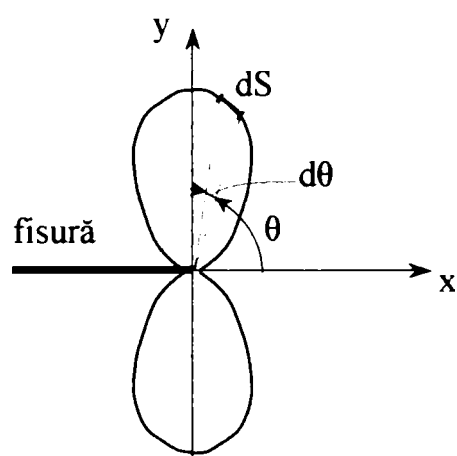


Fig. 5.3.7.1

$$\tau_{\max} = \frac{K_I \sin \theta}{\sqrt{2\pi r}} = kf_\sigma \quad (5.3.7.1)$$

$$\Rightarrow r = \frac{K_I^2 \sin^2 \theta}{2\pi (kf_\sigma)^2} \quad (5.3.7.2)$$

De aici începe o nouă prelucrare a rezultatelor obținute; se calculează lungimea unui arc infinitezimal de pe o izocromată (dS) – v. Fig. 5.3.7.1.

$$dS = (r + r')^{1/2} d\theta \quad (5.3.7.3)$$

Din conjuncția relațiilor precedente obținem:

$$dS = \frac{K_I^2}{2\pi (kf_\sigma)^2} = \sqrt{1 + 3 \cos^2 \theta} \cdot d \cos \theta \quad (5.3.7.4)$$

Integrând această relație pentru $\theta = 0$ până la $\theta = \pi$, vom avea:

$$S = \int_0^\pi dS = \frac{K_I^2}{\sqrt{3}\pi(kf_\sigma)^2} \left[\sqrt{3} + 0,5 \ln(\sqrt{3} + 2) \right] \quad (5.3.7.5)$$

De aici rezultă:

$$K_I^2 = \frac{\sqrt{3}\pi}{\sqrt{3} + 0,5 \ln(\sqrt{3} + 2)} (kf_\sigma)^2 \cdot S \quad (5.3.7.6)$$

Dacă vom nota:

$$\alpha = \left[\frac{\sqrt{3}\pi}{\sqrt{3} + 0,5 \ln(\sqrt{3} + 2)} \right]^{1/2} = 1,50872 \quad (5.3.7.7)$$

atunci expresia lui K_I este deosebit de simplă:

$$K_I = \alpha(kf_\sigma)\sqrt{S} \quad (5.3.7.8)$$

unde:

S – lungimea buclei izocromatei între $\theta = 0$ și $\theta = \pi$.

Tragem de aici concluzia că factorul de intensitate a tensiunilor K_I este direct proporțional cu \sqrt{S} - mărimea care se măsoară pe imaginea fotoelastică.

5.3.8. Metoda LI XIAN-FANG și FAN TIAN-YOU [L22]/1998

Autorii demonstrează că pentru a determina factorii de intensitate a tensiunilor pentru modul I și II singura informație de care am nevoie este aria buclei izocromatei de margine. Voi reda sumar această demonstrație după [L 22].

Se cunosc relațiile (v. Cap.2) (scrise cu greșeli în [L22]):

$$\begin{cases} \sigma_{xx} = \frac{K_I}{\sqrt{2\pi r}} \cos \frac{\theta}{2} \left(1 - \sin \frac{\theta}{2} \sin \frac{3\theta}{2} \right) - \frac{K_{II}}{\sqrt{2\pi r}} \sin \frac{\theta}{2} \left(2 + \cos \frac{\theta}{2} \cos \frac{3\theta}{2} \right) \\ \sigma_{yy} = \frac{K_I}{\sqrt{2\pi r}} \cos \frac{\theta}{2} \left(1 + \sin \frac{\theta}{2} \sin \frac{3\theta}{2} \right) + \frac{K_{II}}{\sqrt{2\pi r}} \sin \frac{\theta}{2} \cos \frac{\theta}{2} \cos \frac{3\theta}{2} \\ \tau_{xy} = \frac{K_I}{\sqrt{2\pi r}} \sin \frac{\theta}{2} \cos \frac{\theta}{2} \cos \frac{3\theta}{2} + \frac{K_{II}}{\sqrt{2\pi r}} \cos \frac{\theta}{2} \left(1 - \sin \frac{\theta}{2} \sin \frac{3\theta}{2} \right) \end{cases} \quad (5.3.8.1)$$

Dar:

$$\sigma_1 - \sigma_2 = \sqrt{(\sigma_{xx} - \sigma_{yy})^2 + 4\tau_{xy}^2} = \frac{\sqrt{(K_I \sin \theta + 2K_{II} \cos \theta)^2 + (K_{II} \sin \theta)^2}}{\sqrt{2\pi r}} = kf_\sigma \quad (5.3.8.2)$$

De aici :

$$r = \frac{(K_I \sin \theta + 2K_{II} \cos \theta)^2 + (K_{II} \sin \theta)^2}{2\pi(kf_\sigma)^2} \quad (5.3.8.3)$$

De aici putem calcula aria A_k din interiorul unei franje izocromate marginale de ordinul k :

$$A_k = \int_{-\pi/2}^{\pi/2} \frac{1}{2} r^2 d\theta = \frac{1}{32\pi} \left(\frac{1}{kf_\sigma} \right)^4 \left(3K_I^4 + 30K_I^2 K_{II}^2 + 59K_{II}^4 \right) \quad (5.3.8.4)$$

Pentru o fisură în modul I pur ($K_{II} = 0$) sau numai pentru modul II ($K_I = 0$) relația precedentă se poate scrie:

$$K_I(K_{II}) = \alpha_c \cdot k \cdot f_\sigma \quad \text{unde} \quad \alpha_c = \begin{cases} \sqrt[4]{32\pi/3} = 2,4060 \text{ (modul I)} \\ \sqrt[4]{32\pi/59} = 1,1425 \text{ (modul II)} \end{cases} \quad (5.3.8.5)$$

Pentru a elimina erorile introduse de stabilirea ordinului benzii k și de mărimea ariei A_k , se fac aceleași calcule pentru două franje diferite: k și $k+m$ și se obține:

$$\frac{K}{\sqrt[4]{A_{k+m}}} - \frac{K}{\sqrt[4]{A_k}} = m\alpha_c f_\sigma \quad (5.3.8.6)$$

de unde:

$$K = m\alpha_c f_\sigma \frac{\sqrt[4]{A_k \cdot A_{k+m}}}{\sqrt[4]{A_k} - \sqrt[4]{A_{k+m}}} \quad (5.3.8.7)$$

În particular pentru două izocromate alăturate ($m=1$) rezultă:

$$K = \alpha_c f_\sigma \frac{\sqrt[4]{A_k \cdot A_{k+1}}}{\sqrt[4]{A_k} - \sqrt[4]{A_{k+1}}} \quad (5.3.8.8)$$

Avantajul metodei este faptul că valorile K sunt destul de stabile și foarte apropiate de cele teoretice.

5.4. OBSERVAȚII ASUPRA PROBLEMEI TEST NR. 1. GOLUL CIRCULAR ÎNTR-O PLATBANDĂ DE DIMENSIUNI FINITE SOLICITATĂ LA TRACȚIUNE.

Problema golului circular în planul infinit, sau așa-numita problemă Kirsch, am tratat-o în Cap. 2, la problemele test. Dar, spre surprinderea mea, am întâlnit destul de frecvent ideea, chiar printre specialiști, că tensiunea maximă care apare într-o placă sau într-o platbandă cu gol circular, solicitată la tracțiune de tensiunea p , este $3p$. Nu am găsit în nici o carte de rezistența materialelor, de organe de mașini, sau de teoria elasticității, expusă situația platbenzii de dimensiuni finite cu gol circular. Numai în SAVIN [SB24] am găsit indicații în acest sens, arătând că tensiunea maximă depinde de raportul dintre diametrul orificiului și lățimea platbenzii; când acest raport este de 0.5, tensiunea maximă este de $4.32p$. Mă voi ocupa în continuare de această problemă.

Fie platbanda de lățime $2b$ cu gaura centrală de diametru $2a$ ($a < b$). Vom raporta toate dimensiunile la semilățimea benzii (b), introducând coordonatele adimensionale:

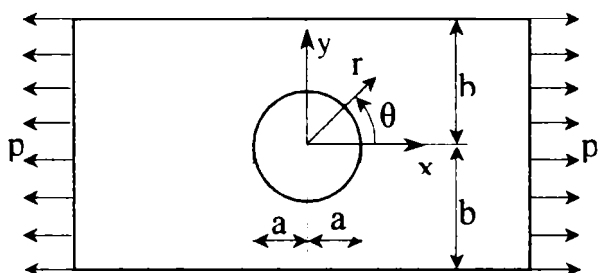


Fig. 5.4.1

$$\xi = \frac{x}{b}; \quad \eta = \frac{y}{b} \quad (5.4.1)$$

și vom nota $\lambda = \frac{a}{b}$.

În afară de coordonatele carteziene (ξ, η) vom folosi și coordonatele polare (ρ, θ) :

$$x = r \cos \theta; \quad y = r \sin \theta; \quad \rho = \frac{r}{b}$$

Așa cum se știe, problema constă în determinarea funcției biarmonice $U(x, y) \approx U(\xi, \eta)$ care satisface ecuația:

$$\nabla^4 U = 0 \Leftrightarrow \frac{\partial^4 U}{\partial x^4} + 2 \frac{\partial^4 U}{\partial x^2 \partial y^2} + \frac{\partial^4 U}{\partial y^4} = 0 \quad (5.4.2)$$

și condițiile la limită:

- pe conturul neîncărcat al benzii, adică la $y = \pm b$ (sau $\eta = \pm 1$) avem:

$$\begin{aligned} \sigma_y = 0 \\ \tau_{xy} = 0 \end{aligned} \Leftrightarrow \begin{cases} \sigma_y = \frac{1}{b^2} \frac{\partial^2 U}{\partial \xi^2} = 0 \\ \tau_{xy} = -\frac{1}{b^2} \frac{\partial^2 U}{\partial \xi \partial \eta} = 0 \end{cases} \quad (5.4.3)$$

- pe conturul orificiului la $r = a$ (adică la $\rho = \lambda$) avem:

$$\begin{aligned} \sigma_\rho = 0 \\ \tau_{\rho\theta} = 0 \end{aligned} \Leftrightarrow \begin{cases} \sigma_\rho = \frac{1}{b^2} \left(\frac{1}{\rho^2} \frac{\partial^2 U}{\partial \theta^2} + \frac{1}{\rho} \frac{\partial U}{\partial \rho} \right) = 0 \\ \tau_{\rho\theta} = -\frac{1}{b^2} \frac{\partial}{\partial \rho} \left(\frac{1}{\rho} \frac{\partial U}{\partial \theta} \right) = 0 \end{cases} \quad (5.4.4)$$

- dacă banda are lungime infinită, adică dacă $x = \xi b \rightarrow \infty$ avem:

$$\begin{cases} \sigma_x = p \\ \sigma_y = 0 \\ \tau_{xy} = 0 \end{cases} \Leftrightarrow \begin{cases} \sigma_x = \frac{1}{b^2} \frac{\partial^2 U}{\partial \eta^2} = p \\ \sigma_y = \frac{1}{b^2} \frac{\partial^2 U}{\partial \xi^2} = 0 \\ \tau_{xy} = -\frac{1}{b^2} \frac{\partial^2 U}{\partial \xi \partial \eta} = 0 \end{cases} \quad (5.4.5)$$

Vom considera pentru funcția $U(\xi, \eta)$ o dezvoltare în serie de forma:

$$U(\xi, \eta) = U_{0,1}(\xi, \eta) + U_0(\xi, \eta) + U_1(\xi, \eta) + U_2(\xi, \eta) + \dots \quad (5.4.6)$$

Termenii acestei serii sunt funcții biarmonice, care trebuie să satisfacă anumite condiții:

- funcția $U^0(\xi, \eta) = U_{0,1}(\xi, \eta) + U_0(\xi, \eta)$ (5.4.7)

trebuie să satisfacă condiția la infinit (5.4.5) și pe conturul orificiului (5.4.4), dar nu trebuie să satisfacă condiția pe marginea liberă a benzii. Altfel spus funcția $U^0(\xi, \eta)$ reprezintă soluția problemei planului infinit slăbit cu un orificiu rotund și solicitat la tracțiune de forțe uniforme distribuite p paralele cu axa Ox . Aceasta este soluția cunoscută de la problema test nr. I.

$$U^0(\rho, \theta) = \frac{b^2 p}{4} \left[\rho^2 - 2\lambda^2 \ln \rho + \left(2\lambda^2 - \frac{\lambda^4}{\rho^4} - \rho^2 \right) \cos 2\theta \right] \quad (5.4.8)$$

De obicei, pentru o utilizare mai comodă, se scrie:

$$U_{0,1} = \frac{b^2 p}{4} \rho^2 (1 - \cos 2\theta) \quad (5.4.9)$$

$$U_0 = \frac{b^2 p}{4} \left[\left(2\lambda^2 - \frac{\lambda^4}{\rho^4} \right) \cos 2\theta - 2\lambda^2 \ln \rho \right] \quad (5.4.10)$$

- funcțiile $U_k(\xi, \eta)$ $k = 1, 2, \dots$ se aleg astfel încât:

$$U_{2k} + U_{2k+1} \text{ să conducă la tensiune nulă pe frontiera liberă de sarcini } (\eta = \pm 1)$$

$$U_{2k-1} + U_{2k} \text{ să conducă la tensiune nulă pe conturul orificiului } (\rho = \lambda)$$

Deoarece condițiile la limită sunt date numai de tensiuni, R HOWLAND* (citad de SAVIN [SB24]) pornește de la o descompunere în serie de puteri a tensiunilor în coordonate polare de forma (pentru $\lambda \leq 0,5$):

$$\begin{aligned} \sigma_\rho = p \left\{ \frac{1}{2} (1 + \cos 2\theta) + 2A_0 - \frac{B_0}{\rho^2} + 2 \sum_{k=1}^{\infty} \left[\frac{k(2k+1)B_{2k}}{\rho^{2k+2}} + \frac{(k+1)(2k-1)C_{2k}}{\rho^{2k}} + \right. \right. \\ \left. \left. + 2k(2k-1)D_{2k}\rho^{2k-2} + (k-1)(2k+1)A_{2k}\rho^{2k} \right] \cos 2k\theta \right\} \quad (5.4.11) \end{aligned}$$

$$\sigma_{\theta} = p \left\{ \frac{1}{2}(1 - \cos 2\theta) + 2A_0 + \frac{B_0}{\rho^2} - 2 \sum_{k=1}^{\infty} \left[\frac{k(2k+1)B_{2k}}{\rho^{2k+2}} + \frac{(k-1)(2k-1)C_{2k}}{\rho^{2k}} + k(2k-1)D_{2k}\rho^{2k-2} + (k+1)(2k+1)A_{2k}\rho^{2k} \right] \cos 2k\theta \right\} \quad (5.4.12)$$

$$\tau_{\rho\theta} = -p \left\{ \frac{1}{2} \sin 2\theta + 2 \sum_{k=1}^{\infty} \left[k(2k-1) \left(D_{2k}\rho^{2k-2} - \frac{C_{2k}}{\rho^{2k}} \right) + k(2k+1) \left(A_{2k}\rho^{2k} - \frac{B_{2k}}{\rho^{2k+2}} \right) \right] \sin 2k\theta \right\} \quad (5.4.13)$$

Calculul într-o formă generală a coeficienților nedeterminați A_k, B_k, C_k, D_k este deosebit de dificil. De aceea vom considera un caz particular când $\lambda = 0,5$ ($b = 2a$) și vom considera numai puncte pe conturul orificiului pentru care $\rho = \lambda = 0,5$. Dacă ne vom limita la formulele (5.4.11)-(5.4.13) numai la primii 4 termeni ($k = 4$) vom găsi din condițiile la limită:

$$\begin{array}{l} A_0 = 1,40 \cdot 10^{-2} \\ A_2 = -3,62 \cdot 10^{-2} \\ A_4 = -1,75 \cdot 10^{-2} \\ A_6 = -6,47 \cdot 10^{-3} \\ A_8 = -2,08 \cdot 10^{-4} \end{array} \left| \begin{array}{l} B_0 = 1,32 \cdot 10^{-1} \\ B_2 = 2,33 \cdot 10^{-2} \\ B_4 = 3,14 \cdot 10^{-4} \\ B_6 = 7,51 \cdot 10^{-6} \\ B_8 = 1,45 \cdot 10^{-7} \end{array} \right. \begin{array}{l} C_2 = -1,80 \cdot 10^{-2} \\ C_4 = -1,7 \cdot 10^{-3} \\ C_6 = -3,64 \cdot 10^{-5} \\ C_8 = -6,7 \cdot 10^{-7} \end{array} \left| \begin{array}{l} D_2 = 1,40 \cdot 10^{-1} \\ D_4 = 3,27 \cdot 10^{-2} \\ D_6 = 8,09 \cdot 10^{-3} \\ D_8 = 1,95 \cdot 10^{-3} \end{array} \right.$$

Cu aceste valori vom calcula σ_{θ} / p , funcție de θ , pe conturul orificiului ($\lambda = \rho = 0,5$)

θ	0	15°	30°	45°	60°	76°	90°
σ_{θ} / p	-1,58	-1,32	-0,51	0,77	2,32	3,72	4,32

Rezultatele sunt reprezentate grafic în Fig. 5.4.2.

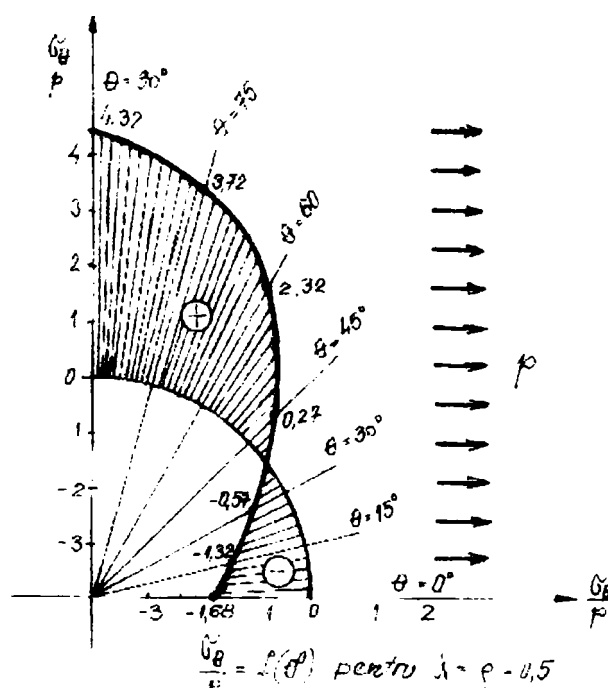


Fig. 5.4.2

Din acest studiu se desprind unele concluzii cu mare aplicabilitate:

1°) Pentru o lățime dată (fixă) a platbandei (b), coeficientul de concentrare a tensiunilor crește în mod semnificativ odată cu creșterea razei cercului (respectiv cu creșterea raportului $\lambda = a/b$). Știm că pentru $\lambda = 0$ (planul infinit, $b = \infty$) $\sigma_{\theta_{max}} = 3p$; pentru $\lambda = 0,1 \Rightarrow \sigma_{\theta} = 3,03p$, iar pentru $\lambda = 0,5 \Rightarrow \sigma_{\theta} = 4,32p$, deci o creștere de peste 45%. În proiectarea acestor elemente de rezistență este deci necesar un studiu amănunțit relativ la această situație.

2°) Soluția obținută pentru planul infinit se poate utiliza și pentru plăci de dimensiuni finite în limitele unei precizii de 5%, numai dacă $\lambda \leq 0,2$, (cu alte cuvinte lățimea benzii trebuie să fie cel puțin de cinci ori mai mare decât diametrul orificiului).

§ 5.5. PLANUL CU GOLURI CIRCULARE. O SOLUȚIE NOUĂ.

Ipoteze:

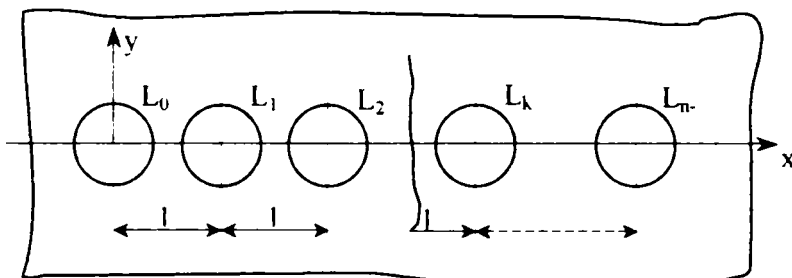


Fig. 5.5.1

- mediul este ocupat de planul xOy și prezintă un număr de n goluri circulare identice cu centrele pe axa Ox , cu distanța între centre l și raza $r = 1$ (ipoteza nu modifică generalitatea problemei).
- forțele concentrate autoechilibrate care acționează pe conturul găurilor sunt X_n și Y_n (și pot fi diferite de la un orificiu la altul) - v. Fig. 5.5.1.

- se va folosi teoria funcțiilor de variabilă complexă, în metodologia Kolosov-Mushelișvili, conform căreia se determină două funcții olomorfe de variabilă complexă $\varphi_1(z)$ și $\psi_1(z)$ cu satisfacerea condițiilor la limită cunoscute:

pentru prima problemă fundamentală:

$$\frac{\partial U}{\partial x} + i \frac{\partial U}{\partial y} = \varphi_1(z) + z \overline{\varphi_1'(z)} + \psi_1(z) = i \int_0^s (X_n + iY_n) ds + C = f_1 + if_2 + const \quad (5.5.1)$$

pentru a doua problemă fundamentală:

$$2G(u + iv) = \chi \varphi_1(z) - z \overline{\varphi_1'(z)} - \psi_1(z) = 2G(g_1 + ig_2) \quad (5.5.2)$$

unde:

$$U = \text{Re}[\overline{z} \varphi_1(z) + \chi_1(z)] \quad \text{iar} \quad \psi_1(z) = \frac{d\chi_1(z)}{dz} \quad (5.5.3)$$

Vom introduce funcția:

$$\psi(z) = \psi_1(z) + z \varphi_1'(z) \quad (5.5.4)$$

care este invariantă la translația originii sistemului de axe de-a lungul axei x , deoarece $\varphi(z) = \varphi_1(z)$. Cu această funcție, condițiile la limită (5.5.1) se scriu:

$$F(z, \overline{z}) = \varphi(z) + (z - \overline{z}) \overline{\varphi'(z)} + \psi(z) - (f_{1k} + if_{2k} + C_k) = 0 \quad k = 0, 1, 2, \dots, n-1 \quad (5.5.5)$$

Se aleg funcțiile olomorfe $\varphi(z)$ și $\psi(z)$ sub formă de serii infinite:

$$\varphi(z) = \sum_{k=0}^{n-1} \sum_{j=1}^{\infty} \frac{\alpha_j^{(k)}}{(z - kl)^j}; \quad \psi(z) = \sum_{k=0}^{n-1} \sum_{j=1}^{\infty} \frac{\beta_j^{(k)}}{(z - kl)^j} \quad (5.5.6)$$

Într-o aproximație de ordinul N , funcțiile $\varphi(z)$ și $\psi(z)$ le vom căuta sub forma unor serii trunchiate:

$$\varphi(z) = \sum_{k=0}^{n-1} \sum_{j=1}^N \frac{\alpha_j^{(k)}}{(z - kl)^j}; \quad \psi(z) = \sum_{k=0}^{n-1} \sum_{j=1}^{N+2} \frac{\beta_j^{(k)}}{(z - kl)^j} \quad (5.5.7)$$

În fiecare funcție avem $n \times N$ (respectiv $n \times (N + 2)$) coeficienți necunoscuți.

Să ne fixăm atenția asupra golului cu numărul l ($l = 0, 1, 2, \dots, n+1$) și să introducem relațiile (5.5.7) în condițiile de graniță (5.5.5). Se obține funcția $F(z, \bar{z}) = F(t)$ unde $t = e^{i\theta}$ este un punct pe conturul găurii l : impunem condiția ca această funcție să fie ortogonală la primele $N+4$ funcții ale sistemului complet de funcții $t^{(\pm k)}$ ($k = 0, 1, 2, 3, \dots$). În acest caz pentru determinarea coeficienților $\alpha_j^{(l)}$; $\beta_j^{(l)}$ obținem ecuația:

$$\int_{\gamma_l} F(t) t^{\pm k} dt = 0 \quad (5.5.8)$$

După integrarea ecuației (5.5.8) obținem un sistem finit de ecuații algebrice în care coeficienții $\alpha_j^{(l)}$ și $\beta_j^{(l)}$ sunt exprimați prin coeficienții $\alpha_j^{(k)}$ și $\beta_j^{(k)}$, $k \neq l$.

Efectuăm asemenea operații pentru fiecare contur; obținem un sistem algebric de ecuații din care vom determina toate constantele $\alpha_j^{(k)}$; $\beta_j^{(k)}$. După ce am determinat acești coeficienți din relațiile (5.5.7) stabilim expresiile funcțiilor $\varphi(z)$ și $\psi(z)$. Având aceste funcții putem calcula expresiile tensiunilor:

$$\begin{aligned} \sigma_x &= \sigma_x^0 + \operatorname{Re}[-(\bar{z} - z)\varphi''(z) + z\varphi'(z) - \psi'(z)] \\ \sigma_y &= \sigma_y^0 + \operatorname{Re}[(\bar{z} - z)\varphi''(z) + \varphi'(z) + \psi'(z)] \\ \tau_{xy} &= \tau_{xy}^0 + \operatorname{Im}[(\bar{z} - z)\varphi''(z) - \varphi'(z) + \psi'(z)] \end{aligned} \quad (5.5.9)$$

unde $\sigma_x^0, \sigma_y^0, \tau_{xy}^0$ sunt tensiunile produse în planul continuu (fără goluri) de forțele date la infinit.

În mod principal problema este rezolvată pe baza schemei generale de mai sus. Pentru a putea verifica rezultatele, atât numeric cât și experimental, voi considera trei cazuri particulare, prezentate în paragrafele următoare.

5.5.1. Cazul a două orificii circulare identice

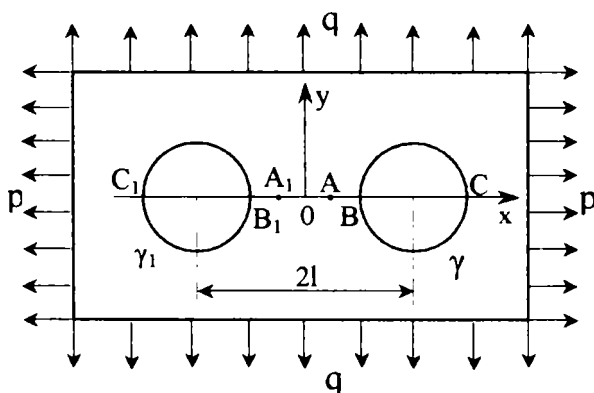


Fig. 5.5.2

Condițiile de simetrie impun să alegem sistemul de coordonate ca în Fig. 5.5.2, ceea ce induce niște modificări de notații. De exemplu, distanța dintre centrele celor două găuri va fi $2l$. Solicitățile sunt date: p după direcția x (axa centrelor) și q după o direcție perpendiculară pe prima.

Datorită simetriei geometrice și mecanice condițiile limită (5.5.8) trebuie satisfăcute numai pe conturul din dreapta.

Într-o aproximație de ordinul N , relațiile (5.5.7) se scriu pentru acest caz particular.

$$\varphi(z) = \sum_{j=1}^N \alpha_j \left[\frac{1}{(z-l)^j} + \frac{(-1)^{j+1}}{(z+l)^j} \right]; \quad \psi(z) = \sum_{j=1}^{N+2} \beta_j \left[\frac{1}{(z-l)^j} + \frac{(-1)^{j+1}}{(z+l)^j} \right]; \quad (5.5.10)$$

Atunci, dacă vom nota punctul curent de pe conturul γ : $t = z - l$, ecuația (5.5.8) se scrie:

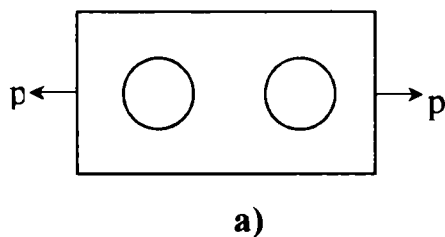
$$\int_{\gamma} \left[\varphi(t) + \left(t - \frac{1}{t} \right) \overline{\varphi}(t) - \overline{\psi}(t) - \frac{p-q}{2} \cdot \frac{1}{t} + \frac{p+q}{2} t + c \right] \frac{dt}{t^j} = 0 \quad (5.5.11)$$

De exemplu, într-o primă aproximație, dacă $N=1$, sistemul pentru determinarea constantelor căutate α_j și β_j va avea forma:

$$\begin{aligned} \alpha_1 (1 + 2m^2 - 8m^4 - 3m^8) &= \frac{p-q}{2} - m^2 \frac{p+q}{2} \\ \beta_1 &= \alpha_1 (1 - 2m^2) - \frac{p+q}{2} \\ \beta_2 &= -\alpha_1 m^3 \\ \beta_3 &= \alpha_1 (1 + m^4) \end{aligned} \quad (5.5.12)$$

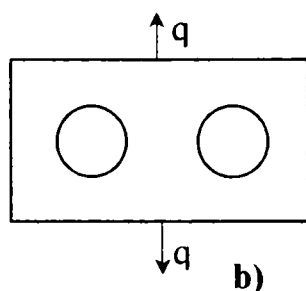
unde $m = \frac{1}{2l}$. De exemplu, pentru $m = \frac{2}{5} = 0,4$ $\left(\frac{r}{2l} = \frac{2}{5} \Rightarrow l = 1,25r \right)$

$$\begin{cases} \alpha_1 = 0,377p - 0,521q \\ \beta_1 = -0,24364p - 0,85428q \\ \beta_2 = 0,024128p - 0,032768q \\ \beta_3 = 0,38665p - 0,5251q \end{cases}$$



Dacă $q = 0$ (v. Fig. 5.5.3. a)) avem:

$$\begin{aligned} \alpha_1 &= 0,377p \\ \beta_1 &= -0,24364p \\ \beta_2 &= 0,024128p \\ \beta_3 &= 0,38665p \end{aligned}$$



Dacă $p = 0$ (v. Fig. 5.5.3. b)) avem:

$$\begin{aligned} \alpha'_1 &= -0,521q \\ \beta'_1 &= -0,85428q \\ \beta'_2 &= -0,032768q \\ \beta'_3 &= -0,5251q \end{aligned}$$

Fig. 5.5.3

Efectuând calculele pentru $m = 0.4$, vom găsi tensiunile în punctele O, A, B, C prezentate mai jos:

	O	A	B	C
σ_x/q	0.41	0.32	0.00	0.00
σ_y/q	3.26	3.43	4.03	3.26
σ_x/p	-0.06	-0.04	0.00	0.00
σ_y/p	-0.30	-0.32	-0.38	-0.90

$$m = \frac{r}{2l} = 0,4$$

$$l = \frac{r}{0,8} = \frac{5}{4}r = 1,25r$$

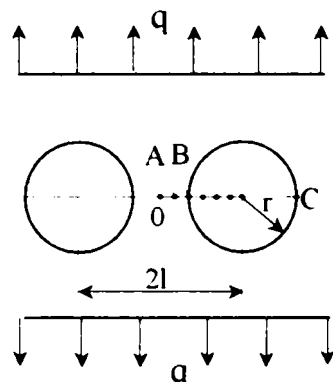


Fig. 5.5.4

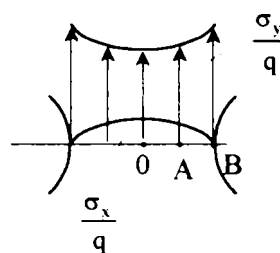


Fig. 5.5.5

5.5.2. Cazul a trei orificii circulare identice

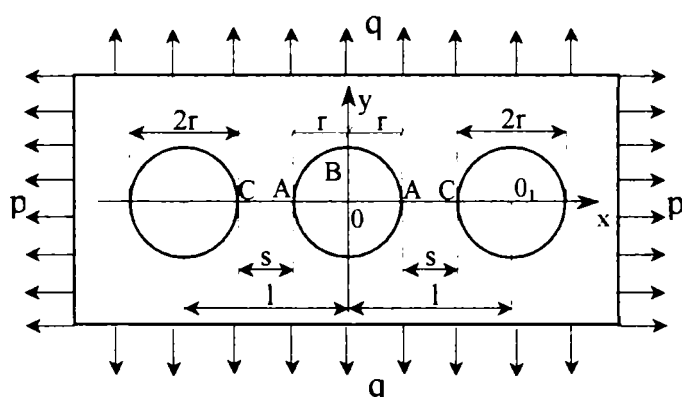


Fig. 5.5.6

Sistemul de axe este ales ca în Fig.5.5.6 și este impus de condițiile de simetrie geometrică și de încărcare. Sarcina p este orientată după direcția axei x , care coincide cu linia centrelor, iar sarcina q este normal la aceasta. Urmând raționamentul făcut până acum vom lua funcțiile $\varphi(z)$ și $\psi(z)$ sub forma seriilor:

$$\varphi(z) = \sum_{k=1}^{\infty} \left\{ \alpha_k \left[\frac{1}{(z-l)^k} + \frac{(-1)^{k+1}}{(z+l)^k} \right] + \frac{\alpha_k^0}{z^k} \right\} \quad (5.5.13)$$

$$\psi(z) = \sum_{k=1}^{\infty} \left\{ \beta_k \left[\frac{1}{(z-l)^k} + \frac{(-1)^{k+1}}{(z+l)^k} \right] + \frac{\beta_k^0}{z^k} \right\} \quad (5.5.14)$$

Pentru determinarea coeficienților necunoscuți din aceste serii vom impune condiții la limită numai pentru orificiul din mijloc și cel din dreapta, cu centrul în O_1 , deoarece pe conturul din stânga acestea sunt satisfăcute automat. Condițiile de frontieră exprimă faptul că orificiile sunt libere de sarcini. Se obține:

$$\alpha_k^0 - [1 + (-1)^{k+1}] \sum_{j=1}^{\infty} (-1)^j \{ j \alpha_j \varepsilon^{k+j} (C_{k+j}^k - \varepsilon^2 C_{k+j+2}^{k+1}) - \varepsilon^{k+j} C_{k-j-1}^k \beta_j^* \} = \omega_k \quad (5.5.15)$$

$$\beta_k^0 + 2\delta_k \sum_{j=1}^{\infty} (-1)^j j \alpha_j \varepsilon^{j+1} + [1 - (-1)^{k+1}] \sum_{j=1}^{\infty} (-1)^j \alpha_j \varepsilon^{k+j} C_{k+j-1}^k = t_k \quad (5.5.16)$$

$$\alpha_k + (-1)^k \sum_{j=1}^{\infty} \left\{ (-1)^j j \alpha_j \varepsilon_1^{k+j} (C_{k+j}^j - \varepsilon_1^2 C_{k+j+2}^{k+1}) - j \alpha_j^0 \varepsilon^{k+j} (C_{k+j}^k - \varepsilon^2 C_{k+j+2}^{k+1}) - \right. \\ \left. (-1)^j \beta_j^* \varepsilon_1^{k+j} C_{k+j-1}^k + \beta_j^0 \varepsilon^{k+j} C_{k+j-1}^k \right\} = \omega_k \quad (5.5.17)$$

$$\beta_k^* + \delta_k \sum_{j=1}^{\infty} (-1)^j j \alpha_j \varepsilon_1^{j+1} - \delta_k \sum_{j=1}^{\infty} j \alpha_j^0 \varepsilon^{j+1} - (-1)^j - (-1)^j \cdot \\ \cdot \sum_{j=1}^{\infty} \left\{ (-1)^j \alpha_j \varepsilon_1^{k+j} C_{k+j-1}^k - \alpha_j^0 \varepsilon^{k+j} C_{k+j-1}^k \right\} = t_k \quad (5.5.18)$$

unde:

$$\beta_k^* = \beta_k + k \alpha_k - (k-2) \alpha_{k-2} \quad (5.5.19)$$

$$\beta_k^{*0} = \beta_k^0 + k \alpha_k^0 - (k-2) \alpha_{k-2}^0 \quad (5.5.20)$$

$$\varepsilon = \frac{1}{l}; \quad \varepsilon_1 = \frac{1}{2l}; \quad \omega_1 = \frac{p-q}{2}; \quad t_1 = \frac{p+q}{2}; \quad \omega_k = t_k = 0 \quad \forall k \geq 2$$

$$C_m^n = \frac{m!}{n!(m-n)!} - \text{simbolul combinărilor.}$$

Ecuțiile precedente formează un sistem care este cvasiregulat, oricât ar fi de apropiate între ele orificiile examinate. Pentru stabilirea acestui fapt trebuie să adunăm la necunoscutele din sumele infinite, coeficienții α_k și β_k luați în mărime absolută și să ținem cont de faptul că suma acestor coeficienți tinde spre zero odată cu creșterea lui k . În felul acesta obținem:

$$A_{1k} = 2 \left\{ \left(\frac{\varepsilon}{1-\varepsilon} \right)^{k+1} \left[k+3 - (k+2) \left(\frac{\varepsilon}{1-\varepsilon} \right)^2 - (1-\varepsilon)^{k+1} \right] \right\}$$

$$A_{2k} = 2 \left(\frac{\varepsilon}{1-\varepsilon} \right)^{k+1} + 2 \delta_k \left(\frac{\varepsilon}{1-\varepsilon} \right)^2$$

$$A_{3k} = \frac{1}{2} \left(\frac{\varepsilon}{1-\varepsilon} \right)^{k+1} \left[(k+3) - (k+2) \left(\frac{\varepsilon}{1-\varepsilon} \right)^2 - (1-\varepsilon)^{k+1} \right] + \\ + \frac{1}{2} \left(\frac{\varepsilon}{1+\varepsilon} \right)^{k+1} \left[(k+3) - (k+2) \left(\frac{\varepsilon}{1-\varepsilon} \right)^2 - (1+\varepsilon)^{k+1} \right] + \\ + \left(\frac{\varepsilon_1}{1-\varepsilon_1} \right)^{k+1} \left[(k+3) - (k+2) \left(\frac{\varepsilon_1}{1-\varepsilon_1} \right)^2 - (1-\varepsilon_1)^{k+1} \right]$$

$$A_{4k} = \frac{1}{2} \left\{ \left(\frac{\varepsilon}{1-\varepsilon} \right)^{k+1} + \left(\frac{\varepsilon}{1+\varepsilon} \right)^{k+1} + \delta_k \left[\left(\frac{\varepsilon}{1+\varepsilon} \right)^2 + \left(\frac{\varepsilon}{1-\varepsilon} \right)^2 \right] \right\} + \left(\frac{\varepsilon_1}{1-\varepsilon_1} \right)^{k+1} + \delta_k \left(\frac{\varepsilon_1}{1-\varepsilon_1} \right)^2$$

Calcululele efectuate, într-o aproximație de ordinul doi, conduc la următoarele rezultate pentru tensiunea maximă:

- dacă acționează numai sarcina p (dacă $q = 0$), în punctul B, pentru diverse valori ale lui ε vom avea:

ε	1/4	1/3	2/5
$\left(\frac{\sigma_{\theta}}{p}\right)_{\theta=\frac{\pi}{2}}$	2,42	2,27	2,19

- dacă acționează numai sarcina q (deci $p = 0$), în punctul A, pentru aceleași valori ale lui ε , se obține:

ε	1/4	1/3	2/5
$\left(\frac{\sigma_{\theta}}{p}\right)_{\theta=0}$	3,10	3,46	4,44

Comparăm aceste rezultate cu cele date de Peterson [P33], vezi **Anexa 11**.

5.5.3. Cazul a două orificii de diametre diferite

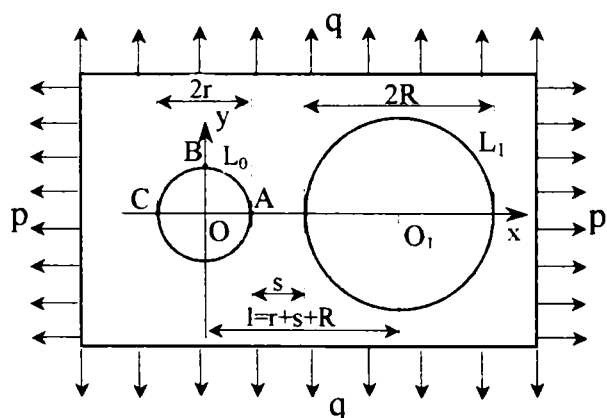


Fig. 5.5.7

Vom considera că planul elastic omogen și izotrop este slăbit cu două orificii circulare de raze diferite ($r = 1$ raza orificiului mic; $R > 1$ raza orificiului mare); planul este solicitat la infinit de sarcinile de tracțiune uniforme p, q . Alegem sistemul de axe ca în Fig.5.5.7 unde s este „puntea” dintre orificii iar l distanța centrelor.

Problema a obținut diferite soluții cu diferite metode, dar dacă găurile sunt situate aproape una de cealaltă, rezolvarea este deosebit de delicată.

Așa cum se arată în [SB24], dacă distanța dintre găuri depășește de două ori diametrul găurii mai mici ($s \geq 4r$) se pot obține rezultate suficient de exacte aplicând o metodă de aproximații succesive, destul de frecventă azi în literatură. Se consideră pentru început că planul are numai orificiul mare, problemă cunoscută și pe care o putem rezolva, de exemplu, cu metoda lui Mushelișvili; această soluționare produce pe conturul virtual al găurii mici (L_0), un sistem de eforturi pe elementele de arc $\overline{X}_n, \overline{Y}_n$ diferite de zero. Se consideră după aceea numai conturul mic (L_0) încărcat cu forțele exterioare $(-\overline{X}_n, -\overline{Y}_n)$, a cărei soluție este de asemenea cunoscută. Suprapunerea acestor două câmpuri de tensiuni conduce la soluția problemei într-o primă aproximație. Se vede ușor că în acest caz se satisfac condițiile la infinit și condițiile pe frontieră numai pe conturul orificiului mic L_0 . Eforturile necompensate care apar pe conturul L_1 prezintă o măsură a gradului de aproximație al soluției date.

Cazul I. : Sarcinile exterioare uniform distribuite ortogonale pe linia centrelor

Dacă asupra planului acționează numai forțele $q \neq 0$ și $p = 0$, ortogonale pe linia centrelor, tensiunile într-o vecinătate a orificiilor sunt date de următoarele ecuații ale lui Kolosov-Mushelișvili:

$$\sigma_x + \sigma_y = q + 2q \operatorname{Re} \left\{ \frac{R^2}{l^2} + \frac{1}{z^2} + \frac{R^2}{(z-l)^2} + \frac{R^2(1+zl-3z^2-lz^3)}{(1-zl)^3} + \frac{3R^4z^2}{(1-zl)^4} \right\} \quad (5.5.21)$$

$$\begin{aligned} \sigma_y - \sigma_x + 2i\tau_{xy} = q & \left\{ 1 + \frac{3R^4}{(z-l)^4} + \frac{R^2(z-2\bar{z}+l)}{(z-l)^3} + 2 \left(\frac{\bar{z}}{z} - \frac{1}{z} \right) \cdot \right. \\ & \cdot \left[-\frac{1}{z^3} + \frac{3R^4z(1+lz)}{(1-lz)^5} + \frac{R^2(2l-3z+l^2z)}{(1-lz)^4} \right] + \frac{1}{z^2} \cdot \\ & \cdot \left. \left[1 + \frac{2R^2}{l^2} + \frac{1}{z^2} + \frac{R^2(1+zl-3z^2+lz^3)}{(1-lz)^3} + \frac{3R^4z^2}{(1-lz)^4} \right] + \frac{R^2}{(1-lz)^2} \right\} \end{aligned} \quad (5.5.22)$$

Studiile experimentale au arătat că cea mai interesantă este tensiunea σ_θ care acționează pe conturul L_0 al orificiului mic, iar influența acestui orificiu asupra stării de tensiune din vecinătatea orificiului mare este neglijabilă. Tensiunile în punctele conturului L_0 sunt:

$$\sigma_\theta = q \left(1 + \frac{2R^2}{l^2} \right) + 2qR_e \left[\frac{1}{t^2} + \frac{R^2}{(t-l)^2} + \frac{R^2(1+tl-3t^2+lt^3)}{(1-lt)^4} + \frac{3R^4t^2}{(1-lt)^4} \right] \quad (5.5.23)$$

unde $t = e^{i\theta} = \cos\theta + i\sin\theta$.

Dacă formula (5.5.23) o vom dezvolta în serie după parametrul unic $\varepsilon = \frac{1}{l} \ll \frac{1}{2}$ și vom reține numai primele trei componente, vom putea calcula tensiunile în punctele $A(\theta = 0)$; $B(\theta = \frac{\pi}{2})$; $C(\theta = \pi)$, care vor fi:

$$(\sigma_\theta)_{\theta=0} = 2q \left[1.5 - R^2\varepsilon^2(2\varepsilon + 3\varepsilon^2 + 4\varepsilon^3 + 5\varepsilon^4) + 3R^4\varepsilon^4 \cdot (1 + 4\varepsilon + 10\varepsilon^2 + 20\varepsilon^3 + 35\varepsilon^4) \right] \quad (5.5.24)$$

$$(\sigma_\theta)_{\theta=\frac{\pi}{2}} = 2q \left[-1.5 + R^2\varepsilon^2(2\varepsilon - 15\varepsilon^2 + 45\varepsilon^4) - 3R^4\varepsilon^4 \cdot (1 - 10\varepsilon^2 + 35\varepsilon^4) \right] \quad (5.5.25)$$

$$(\sigma_\theta)_{\theta=\pi} = 2q \left[1.5 + R^2\varepsilon^2(2\varepsilon - 3\varepsilon^2 + 4\varepsilon^3 - 5\varepsilon^4) + 3R^4\varepsilon^4 \cdot (1 - 4\varepsilon + 10\varepsilon^2 - 20\varepsilon^3 + 35\varepsilon^4) \right] \quad (5.5.26)$$

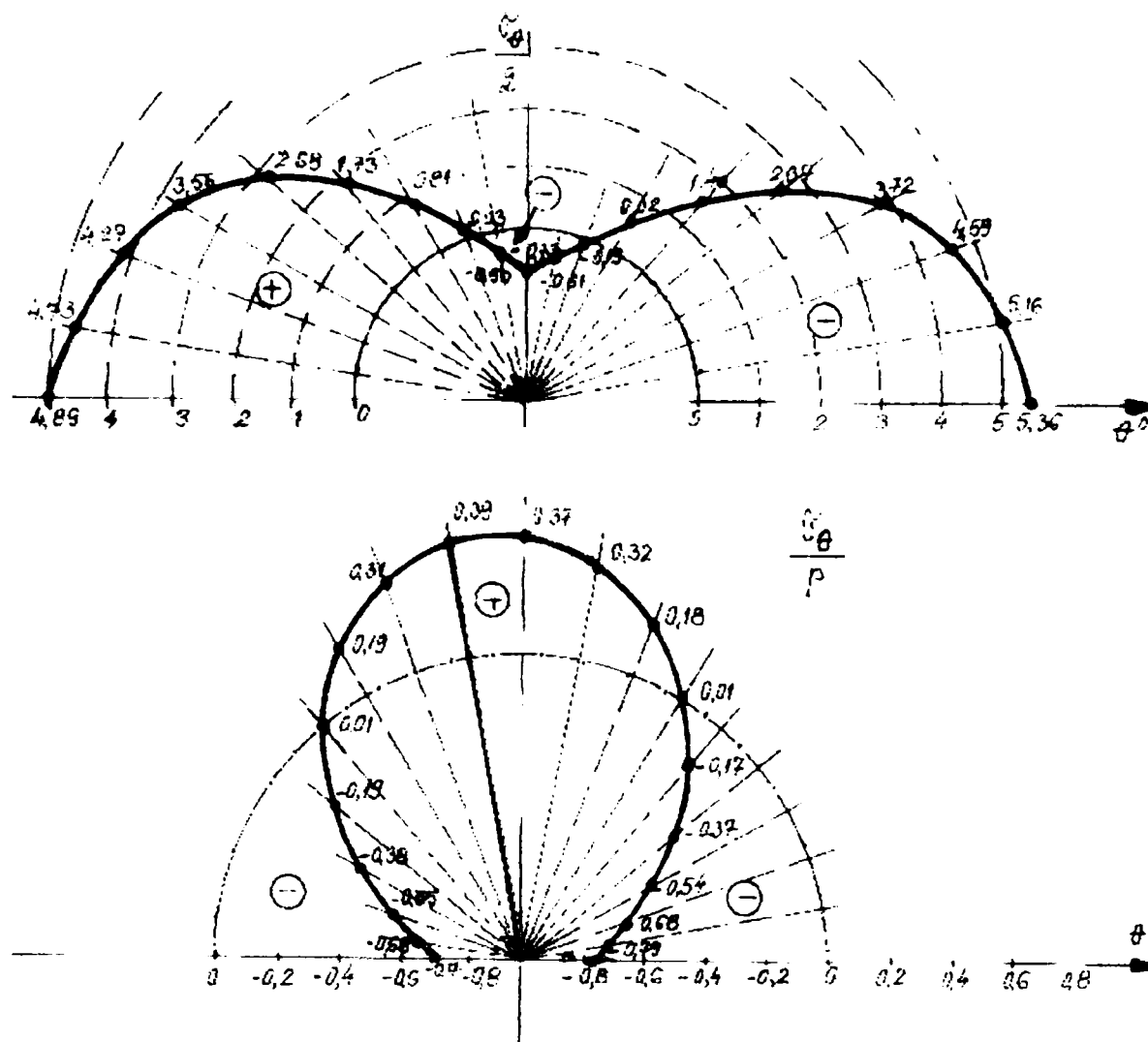


Fig. 5.5.8: Variația lui $\frac{\sigma_\theta}{q}$ respectiv a lui $\frac{\sigma_\theta}{p}$ pe conturul orificiului mic (L_0).

Cazul II. : Sarcinile exterioare uniforme distribuite orientate după direcția liniei centrelor

Dacă asupra planului acționează numai forțele $p \neq 0$ ($q = 0$), în lungul liniei centrelor, tensiunile rezultă din sistemul:

$$\sigma_x + \sigma_y = p - 2pRe \left\{ \frac{R^2}{l^2} + \frac{1}{z^2} + \frac{R^2}{(z-l)^2} - \frac{R^2(1-3lz+3z^2-lz^3)}{(1-lz)^3} + \frac{3R^4z^2}{(1-lz)^4} \right\} \quad (5.5.27)$$

$$\sigma_y - \sigma_x + 2i\tau_{xy} = p \left\{ -1 - \frac{3R^4}{(z-l)^4} + \frac{R^2(z-2\bar{z}-3l)}{(z-l)^3} + 2\left(\frac{\bar{z}}{z} - \frac{1}{z}\right) \cdot \left[\frac{1}{z^3} + \frac{3R^2z(1+l^2)}{(1-lz)^4} - \frac{3zR^4(1-lz)}{(1-lz)^5} \right] + \frac{1}{z^2} \cdot \left[1 - \frac{1}{z^2} - \frac{2R^2}{l^2} + \frac{R^2(1-3lz+3z^2+lz^3)}{(1-lz)^3} - \frac{3R^4z^2}{(1-lz)^4} \right] - \frac{R^2}{(1-lz)^2} \right\} \quad (5.5.28)$$

În punctele conturului L_0 vom avea:

$$\sigma_\theta = p \left(1 - \frac{2R^2}{l^2} \right) - 2pRe \left[\frac{1}{t^2} + \frac{R^2}{(t-l)^2} - \frac{R^2(1-3lt^2+3t^2-lt^3)}{(1-lt)^3} + \frac{3R^4t^2}{(1-lt)^4} \right] \quad (5.5.29)$$

De aici rezultă imediat:

$$(\sigma_\theta)_{\theta=0} = -2p \left[0.5 - R^2 \varepsilon^2 (2 + 6\varepsilon + 9\varepsilon^2 + 12\varepsilon^3 + 15\varepsilon^4) + 3R^4 \varepsilon^4 (1 + 4\varepsilon + 10\varepsilon^2 + 20\varepsilon^3 + 35\varepsilon^4) \right] \quad (5.5.30)$$

$$(\sigma_\theta)_{\theta=\frac{\pi}{2}} = p \left\{ 1 + 2 \left[1 - R^2 \varepsilon^2 (4 - 21\varepsilon^2 + 55\varepsilon^4) + 3R^4 \varepsilon^4 (1 - 10\varepsilon^2 + 35\varepsilon^4) \right] \right\} \quad (5.5.31)$$

$$(\sigma_\theta)_{\theta=\pi} = -2p \left[0.5 - R^2 \varepsilon^2 (2 - 6\varepsilon + 9\varepsilon^2 - 12\varepsilon^3 + 15\varepsilon^4) + 3R^4 \varepsilon^4 (1 - 4\varepsilon + 10\varepsilon^2 - 20\varepsilon^3 + 35\varepsilon^4) \right] \quad (5.5.32)$$

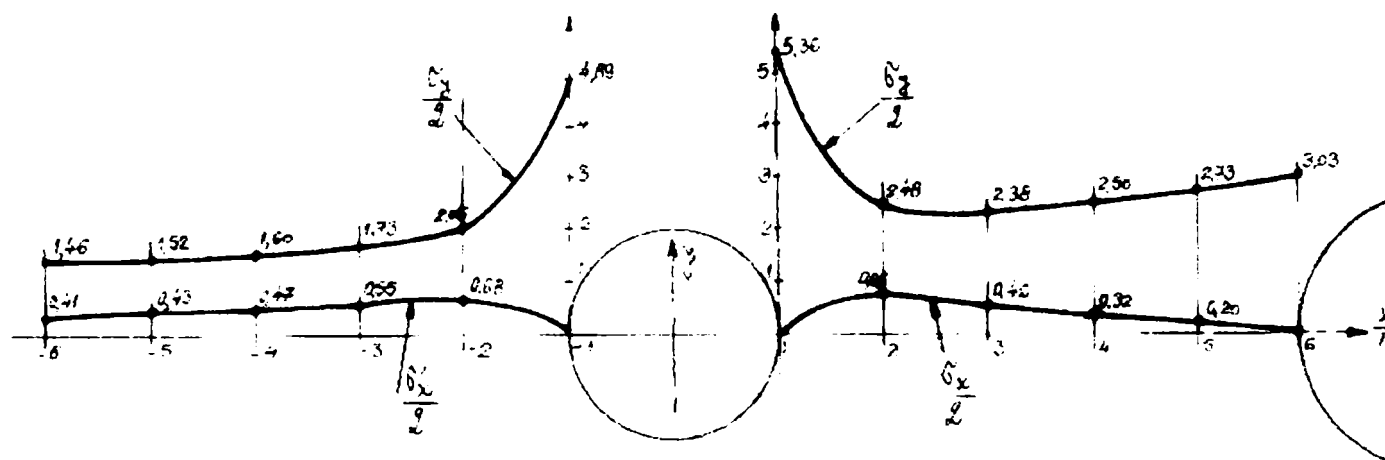


Fig. 5.5.9

Cazul III. Dacă planul este supus la infinit la o tracțiune uniformă după cele două direcții ($p=q$), tensiunile pe conturul L_0 sunt mult mai simple:

$$\sigma_\theta = 2p \left[1 + \operatorname{Re} \frac{R^2}{(1-lt)^2} \right] \quad (5.5.33)$$

$$(\sigma_\theta)_{\theta=0} = 2p \left[1 + \frac{2R^2}{(1-l)^2} \right] \quad (5.5.34)$$

$$(\sigma_\theta)_{\theta=\frac{\pi}{2}} = 2p \left[1 + \frac{2R^2(1-l^2)}{(1+l^2)^2} \right] \quad (5.5.35)$$

$$(\sigma_\theta)_{\theta=\pi} = 2p \left[1 + \frac{2R^2}{(1+l)^2} \right] \quad (5.5.36)$$

S-a luat în studiu cazul: $r = 10\text{mm}$ pentru diferite rapoarte R/r ($R/r = 2, 3, 4, 5, 8, 10, 13, 16, 20$) și s-a reprezentat grafic variația lui $\frac{\sigma_\theta}{q}$ funcție de raportul $\frac{s}{r}$, (unde s ia valori între 1 și

100 mm) pentru cele trei puncte A (la $\theta = 0$), B (la $\theta = \frac{\pi}{2}$) și C (la $\theta = \pi$) ale orificiului mic.

Utilizând formulele (5.5.24), (5.5.25) și (5.5.26) și programul de calcul tabelar Excel, s-au obținut următoarele grafice (Fig. 5.5.10, 5.5.11 și 5.5.12), pe care nu le-am întâlnit în literatura de specialitate cercetată.

În punctul A

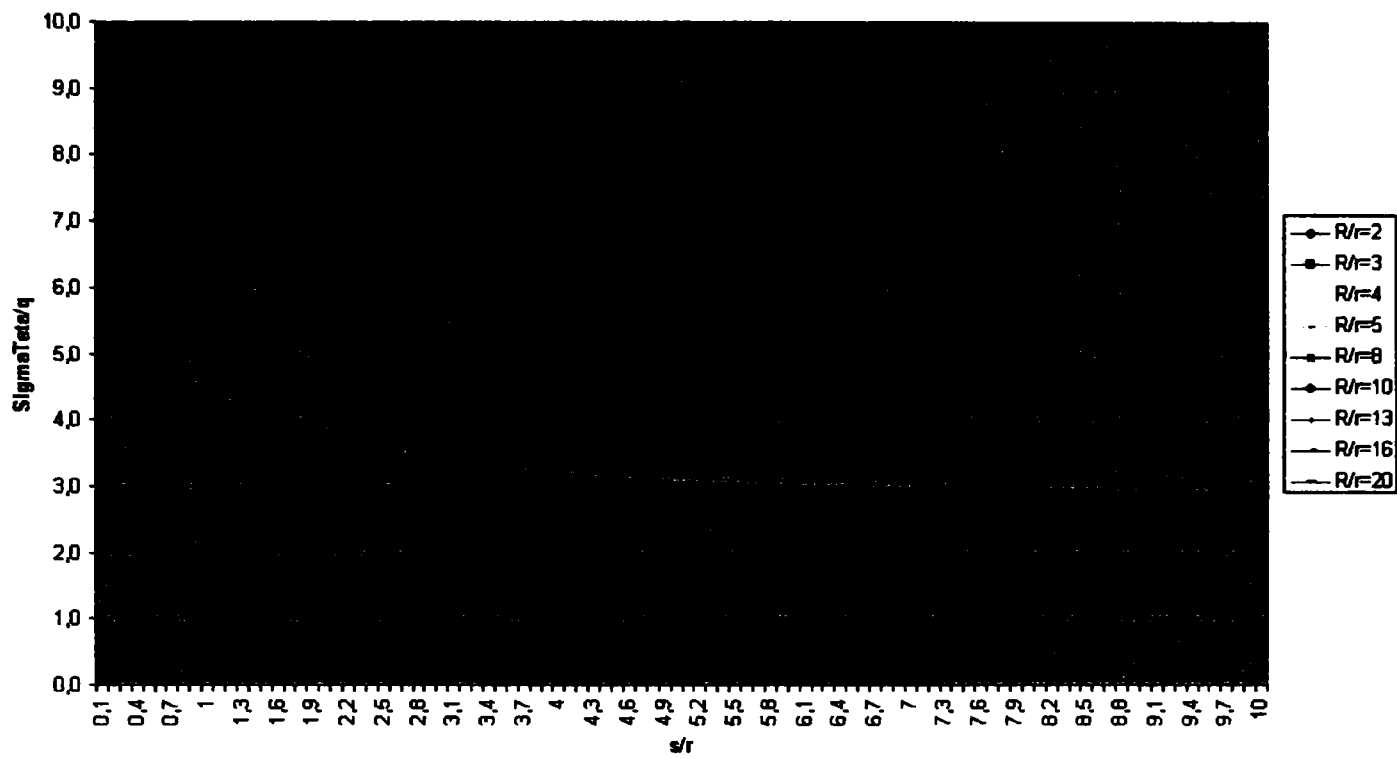


Fig.5.5.10

În punctul B

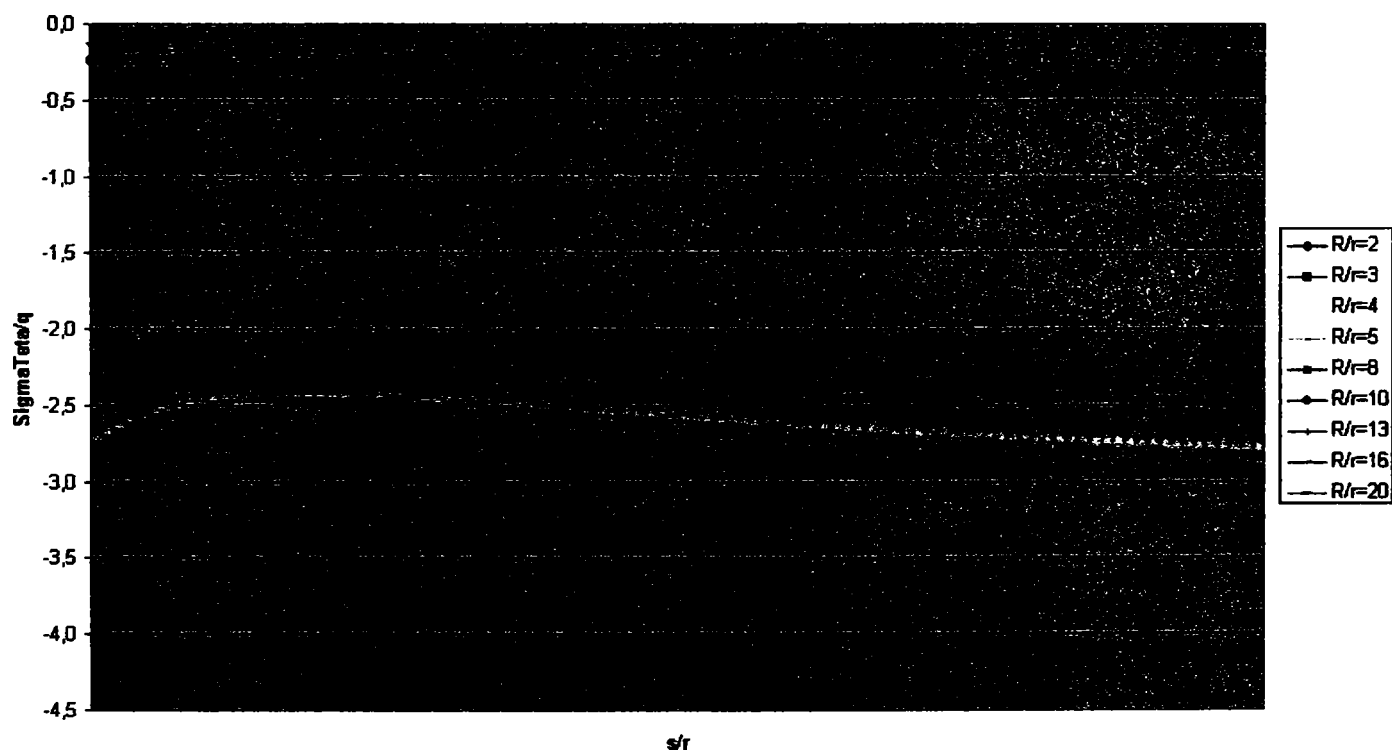


Fig. 5.5.11

În punctul C

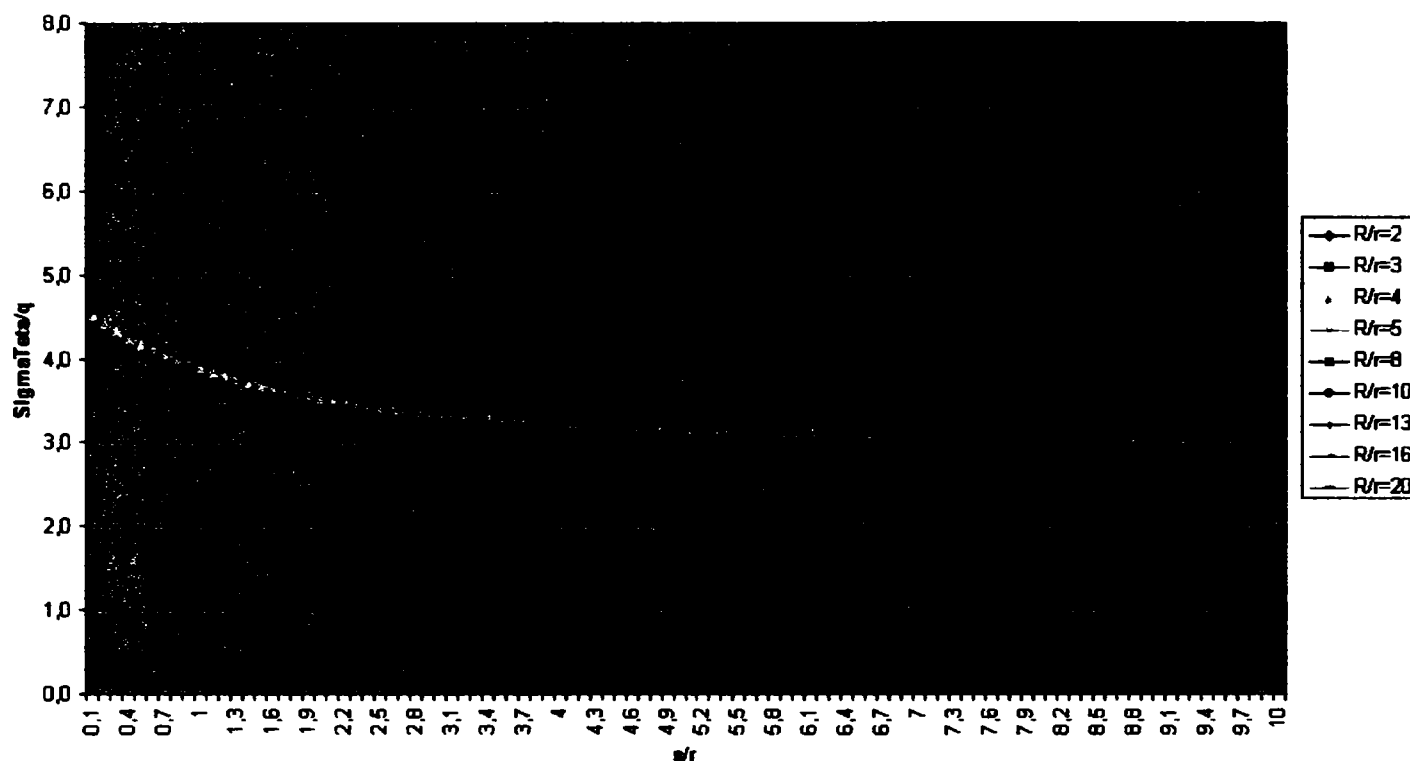


Fig. 5.5.12

Atrag atenția asupra faptului că afirmațiile făcute sunt valabile numai în condițiile acceptate pentru metoda aproximativă utilizată, deci pentru $\frac{s}{r} \geq 4$, ceea ce înseamnă că cele două orificii sunt destul de îndepărtate. Altfel, dacă urmărim imaginile fotoelastice (Fig. 5.6.26-5.6.29, respectiv 5.6.17-5.6.20), se constată că tensiunile maxime apar pe orificiul cu dimensiunile cele mai mici.

§ 5.6. ANALIZA REZULTATELOR EXPERIMENTALE

În cadrul acestui paragraf voi prezenta o serie de rezultate experimentale (de imagini fotoelastice) obținute pentru platbanda cu goluri, diverse orificii circulare și cu fisuri. Pentru cazul orificiilor circulare o serie de rezultate s-au obținut și teoretic, și sunt prezentate în cadrul capitolului 2, § 2.5. Tot în cadrul acestui paragraf am prezentat și o serie de rezultate noi pentru cazul platbenzii cu două fisuri, care sunt comparate cu rezultatele experimentale.

Urmând metodologia expusă pentru măsurătorile fotoelastice, am început cu etalonarea materialelor fotoelastice utilizate și am prezentat informațiile date de firma producătoare a polariscopului privind legătura dintre culori și ordinul franjei de interferență. Pentru a putea compara cu rezultatele existente în literatură am prezentat și câteva planșe preluate din PETERSON [P33] ediția rusească, așa cum se găsesc ele în carte. Sunt prezentate în **Anexa 11**.

5.6.1. Etalonare

Am efectuat o calibrare la întindere asupra unei probe dintr-o rășină DINOX 010P turnată într-o placă 155x37.7 mm, cu grosimea de 3.2mm, și ca întăritor trietilentetramina.

Am supus proba la întindere până când am observat apariția primei franje, de culoare roșu-purpuriu, corespunzătoare primului ordin de bandă. Am notat într-un tabel forța necesară pentru apariția acestei franje, citind numărul de diviziuni pe afișajul dinamometrului și înmulțind cu constanta de etalonare a dinamometrului, (cunoscută și egală cu 15,35 N/div.). Am supus proba în continuare la întindere până la apariția culorii albastru-spre-verde, corespunzătoare ordinului de bandă 1.22 (a se vedea **Fig. 5.6.1** – preluată din documentația polariscopului cu care am efectuat experiențele, și de asemenea **Tab. 5.6.1** corespondent, preluat din aceeași sursă, care indică ordinul benzilor funcție de culoarea franjelor). Apoi am continuat încărcarea, citind forțele de încărcare pentru apariția franjelor verde-spre-galben (având ordinul de bandă 1.39), orange (cu $k=1.63$), roz-spre-roșu (cu $k=1,82$) și din nou roșu purpuriu (pt. $k=2$, al doilea ordin întreg de bandă). Toate aceste date le-am prelucrat în Excel, în **Tab. 5.6.2**, obținând în final o valoare medie $\bar{\sigma}_0$, ca fiind valoarea benzii, măsurată în [MPa/franjă].

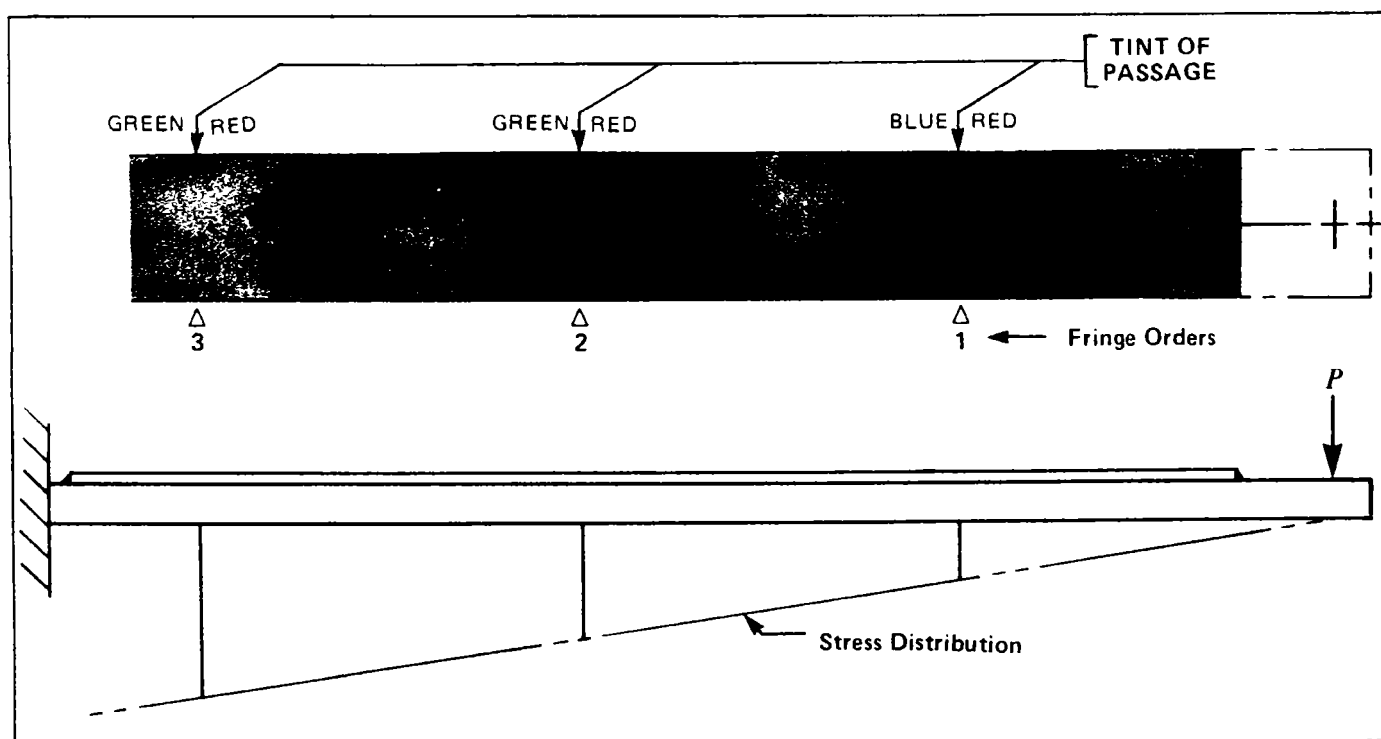


Fig. 5.6.1

Tab. 5.6.1 Ordinul benzilor funcție de culoarea franjelor – date preluate din documentația aparatului de fotoelasticimetrie

TABLE I
Isochromatic Fringe Characteristics

Color	Approximate Relative Retardation nm	Fringe Order N	Strain* $\mu\epsilon$
BLACK	0	0	0
GRAY	160	0.28	265
WHITE	260	0.45	425
PALE YELLOW	345	0.60	570
ORANGE	460	0.80	760
DULL RED	520	0.90	855
PURPLE (TINT OF PASSAGE)	575	1.00	950
DEEP BLUE	620	1.08	1025
BLUE-GREEN	700	1.22	1160
GREEN-YELLOW	800	1.39	1320
ORANGE	935	1.63	1550
ROSE RED	1050	1.82	1730
PURPLE (TINT OF PASSAGE)	1150	2.00	1900
GREEN	1350	2.35	2230
GREEN-YELLOW	1440	2.50	2380
RED	1520	2.65	2520
RED/GREEN TRANSITION	1730	3.00	2850
GREEN	1800	3.10	2950
PINK	2100	3.65	3470
PINK/GREEN TRANSITION	2300	4.00	3800
GREEN	2400	4.15	3940

*Type PS-1 Photoelastic Plastic, 0.080 in (2 mm) thick,
f = 950 $\mu\epsilon$ /fringe (reflection)

Coef. etalonare dinamometru	15,35	N/div.
Latime (2b)	37,7	mm
Grosime (h)	3,2	mm
Aria (A)	120,64	mm ²

Tab. 5.6.2

F		$\sigma_n = F/A$ [MPa]	k [franje]	$\sigma_0 = \sigma_n / k$ [MPa/franje]
[div]	[N]			
13	199,550	1,65409	1	1,65409
16	245,600	2,03581	1,22	1,66870
18	276,300	2,29029	1,39	1,64769
23,5	360,725	2,99009	1,82	1,64291
26	399,100	3,30819	2	1,65409
30,5	468,175	3,88076	2,35	1,65139

Valoarea medie $\bar{\sigma}_0$:	1,65314
-----------------------------------	---------

În toate calculele care urmează pentru diferitele experiențe efectuate, am considerat ordinul benzii $\bar{\sigma}_0 = 1.65$ MPa/franță. Constantele de material cu care se va lucra, în speță modulul de elasticitate E , respectiv coeficientul lui Poisson ν al materialului utilizat, (extrase din documentație) sunt: $E = 2850$ N/mm², respectiv $\nu = 0.33$.

5.6.2. Platăbanda cu un orificiu circular

Este solicitată la tracțiune epruveta din Fig. 5.6.2. Dimensiunile plăcuței și al orificiului se consideră cele din figură.

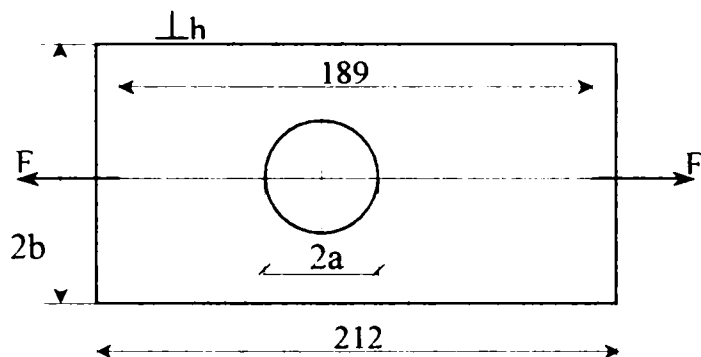


Fig. 5.6.2

Dimensiuni epruvetă		
Latime (2b)	70	mm
Grosime (h)	6	mm
Diametru orificiu (2a)	20	mm
Aria netă (A_n)	300	mm ²
Aria brută (A_b)	420	mm ²
$\lambda = a/b$	0,2857	
Coef. etalonare dinamometru	15,35	N/div.
Valoarea benzii ($\bar{\sigma}_0$)	1,65	MPa/franje

Se definesc doi coeficienți teoretici de concentrare a tensiunilor (v. PETERSON [P33]):

$$K_m = \frac{\sigma_{\max}}{\sigma_n}, \text{ unde } \sigma_n = \frac{F}{A_n} = \frac{F}{(2b - 2a)h} \tag{5.6.1}$$

$$K_{tg} = \frac{\sigma_{\max}}{p}, \text{ unde } p = \frac{F}{A_b} = \frac{F}{2bh} \tag{5.6.2}$$

unde s-a notat aria brută cu $A_b = 2bh$ și aria netă cu $A_n = (2b - 2a)h$.

Se vede că avem imediat:

$$K_m = K_{tg} \left(1 - \frac{a}{b} \right) = K_{tg} (1 - \lambda) \tag{5.6.3}$$

Mărimea $p = \frac{F}{A_b}$ are diverse notații: $\sigma_\infty, \sigma^\infty, \sigma$.

În cadrul experienței s-a încărcat proba cu o forță de tracțiune crescândă, citindu-se valoarea acesteia până la apariția primei, respectiv a celei de-a doua, a treia etc. franje de ordin întreg (sau eventual neîntreg). În urma măsurătorilor s-a completat tabelul Tab. 5.6.3.

Tab. 5.6.3

F		$\sigma_n = F/A_n$ [MPa]	k [franțe]	σ_{\max} [MPa]	$K_{tn} = \frac{\sigma_{\max}}{\sigma_n}$	p = F/A _b [MPa]	$K_{tg} = \frac{\sigma_{\max}}{p}$
[div]	[N]						
9,5	145,825	0,48608	1	1,65	3,39448	0,34720	4,75227
27	414,450	1,38150	2	3,3	2,38871	0,98679	3,34419
41	629,350	2,09783	3	4,95	2,35958	1,49845	3,30341
41,5	637,025	2,12342	3,2	5,28	2,48656	1,51673	3,48118

Valori medii		Valori medii excluzând prima citire	
K_{tn}	K_{tg}	K_{tn}	K_{tg}
2,65733	3,72026	2,41161	3,37626

Se observă că în urma calculelor, făcând o medie pentru coeficienții de concentrare a tensiunilor K_{tn} și K_{tg} , rezultă niște valori puțin cam mari față de cele date în literatură (v. PETERSON [P33], respectiv Anexa 11, de unde, conform Fig. 86 de la p.143 ar trebui să rezulte $K_{tn}=2,365$ și $K_{tg}=3,32$); dar atunci când excludem prima citire din această medie (prima citire fiind în general afectată de erori mari) valorile obținute sunt foarte aproape de cele așteptate.

În continuare prezint imaginile obținute cu un aparat foto digital pentru cele patru citiri din Tab. 5.6.3, respectiv pentru prima, a doua, a treia franjă și apariția culorii albastru-spre-verde din cea de-a patra franjă (v. Fig. 5.6.3, Fig. 5.6.4, Fig. 5.6.5 și Fig. 5.6.6).

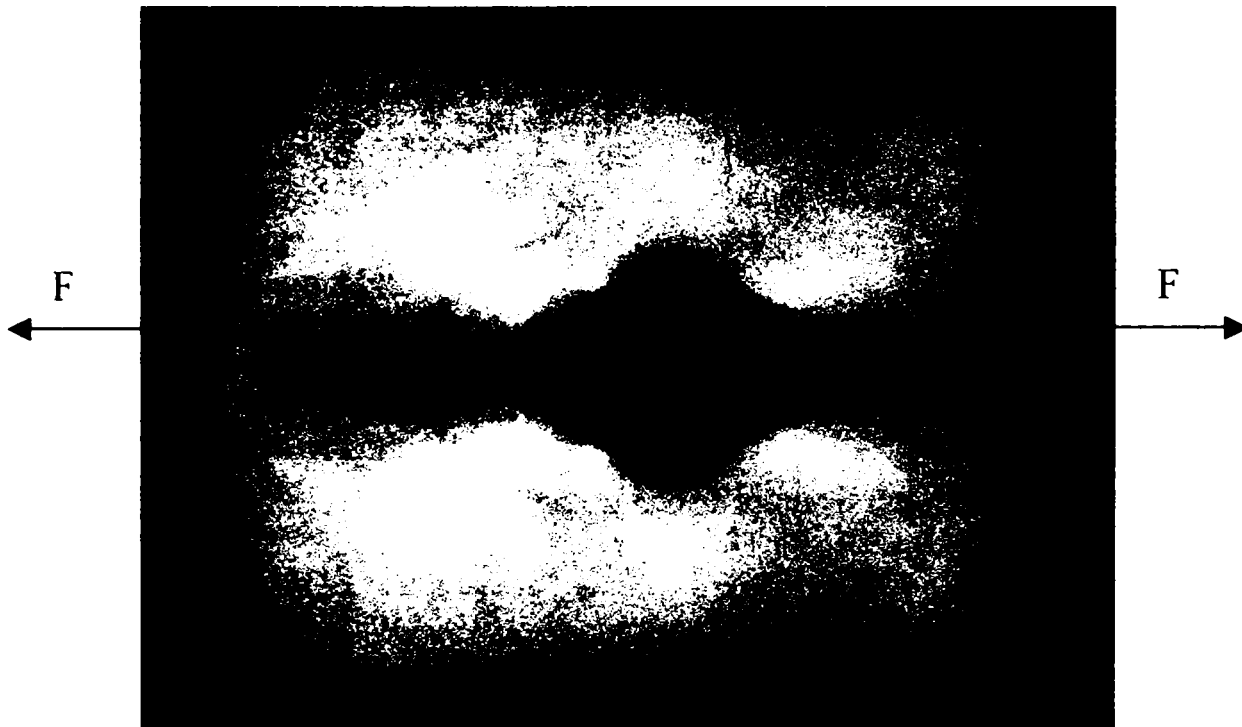


Fig. 5.6.3. Franja 1, la $F=9,5 \times 35N=145,825 N$ (9,5 diviziuni)



Fig. 5.6.4. Franja 2, la $F=27 \times 15.35N = 414.450 N$ (27 diviziuni)

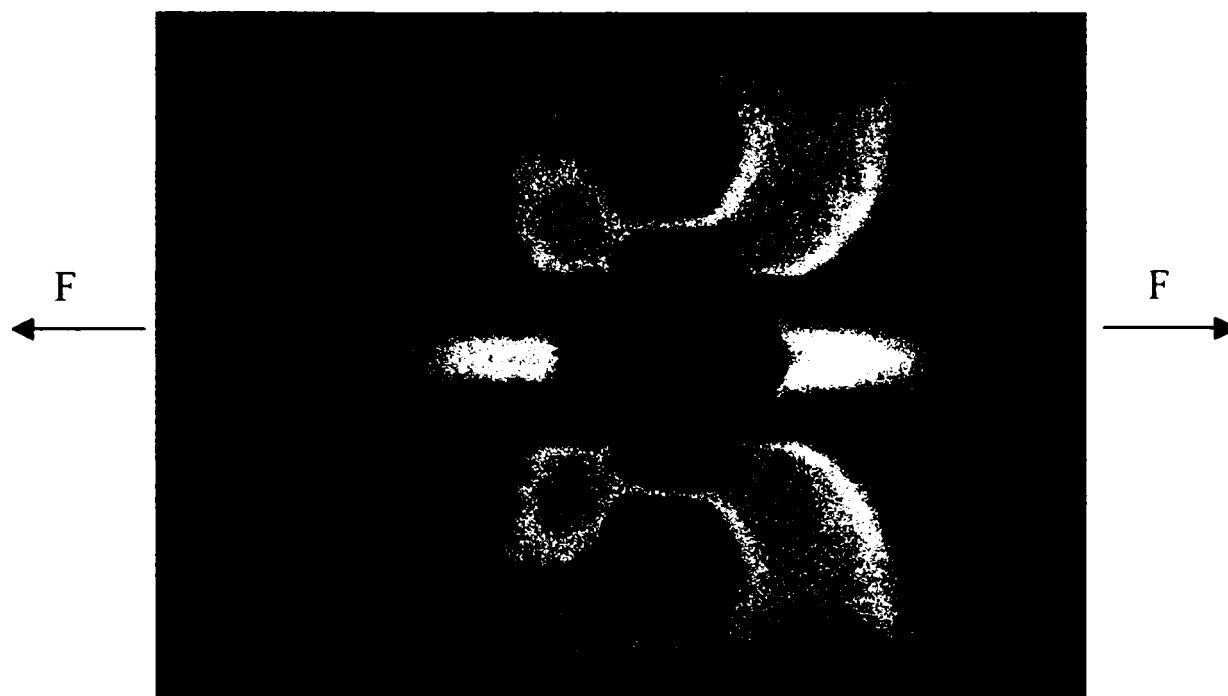


Fig. 5.6.5. Franja 3, la $F=41 \times 15.35 \text{ N} = 629,350 \text{ N}$ (41 diviziuni)

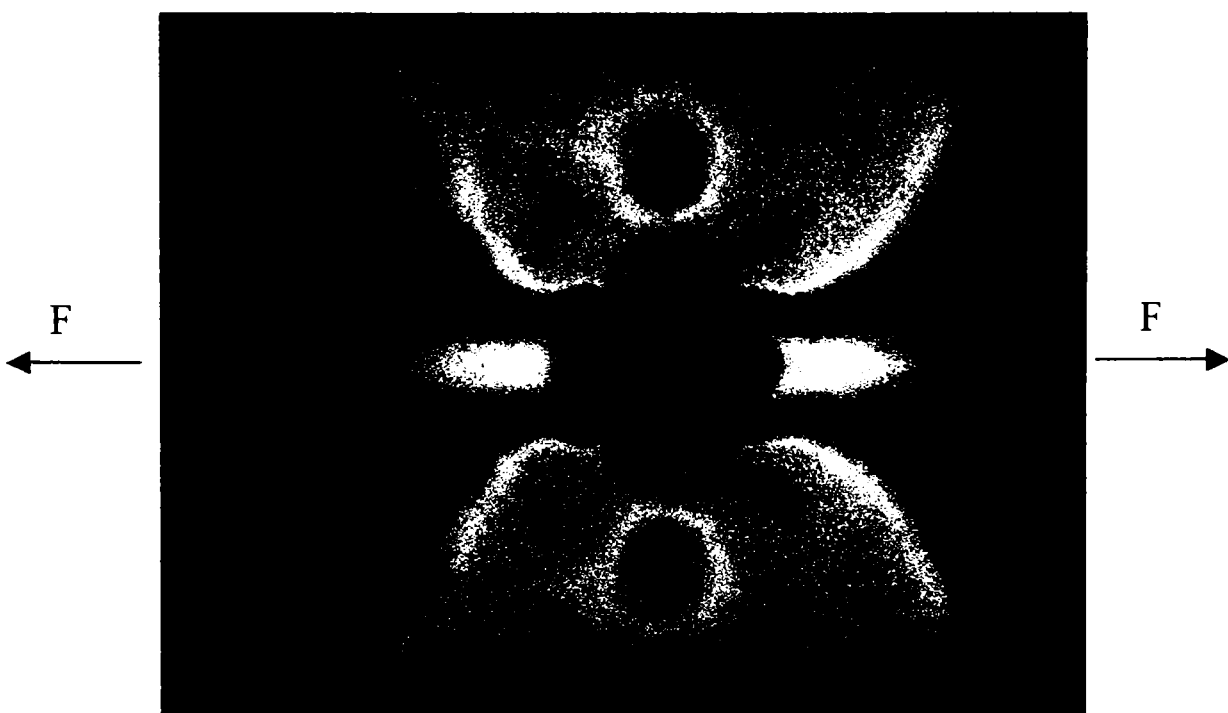


Fig. 5.6.6. Franja 3.2, la $F=41,5 \times 15.35 \text{ N} = 637,025 \text{ N}$ (41,5 diviziuni)

Pentru acest caz al unui singur orificiu circular, problemă dezbătută foarte mult în literatură, nu am mai prezentat nici o metodă numerică. Totuși, la capitolul 3, §3.3.4.4, s-a prezentat un model de rezolvare a acestei probleme în detaliu, cu programul de element de frontieră BEASY.

În continuare voi prezenta foarte pe scurt alte două experiențe fotoelastice, cazurile 2 și 3, cu plăcuțe având orificii circulare.

Cazul 2

Este vorba de exact aceeași plăcuță de mai sus, la care însă orificiul a fost mărit, astfel încât raportul $\lambda = a / b = 0.5$. Prezint mai jos schița, tabelele de calcul a coeficienților de concentrare a tensiunilor, respectiv imaginile fotoelastice obținute.

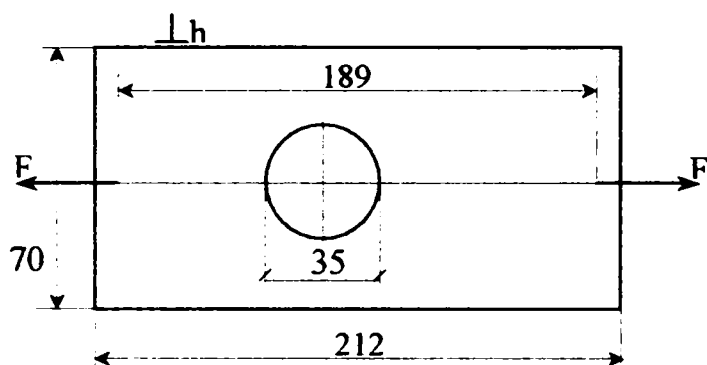


Fig. 5.6.7

Dimensiuni epruvetă		
Latime (2b)	70	mm
Grosime (h)	6	mm
Diametru orificiu (2a)	35	mm
Aria netă (A_n)	210	mm ²
Aria brută (A_b)	420	mm ²
$\lambda = a/b$	0,500	
Coef. etalonare dinamometru	15,35	N/div.
Valoarea benzii ($\bar{\sigma}_0$)	1,65	MPa/franje

Tab. 5.6.4

F		$\sigma_n = F/A_n$ [MPa]	k [franje]	σ_{max} [MPa]	$K_{tn} = \sigma_{max} / \sigma_n$	$p = F/A_b$ [MPa]	$K_{tg} = \sigma_{max} / p$
[div]	[N]						
7	107,450	0,51167	1	1,65	3,22476	0,25583	6,44951
21	322,350	1,53500	2	3,3	2,14984	0,76750	4,29967
30	460,500	2,19286	3	4,95	2,25733	1,09643	4,51466
41	629,350	2,99690	4	6,6	2,20227	1,49845	4,40454

Valori medii		Valori medii excluzând prima citire	
K_{tn}	K_{tg}	K_{tn}	K_{tg}
2,45855	4,91710	2,20315	4,40629

Rezultatele coincid din nou cu cele date de PETERSON [P33].

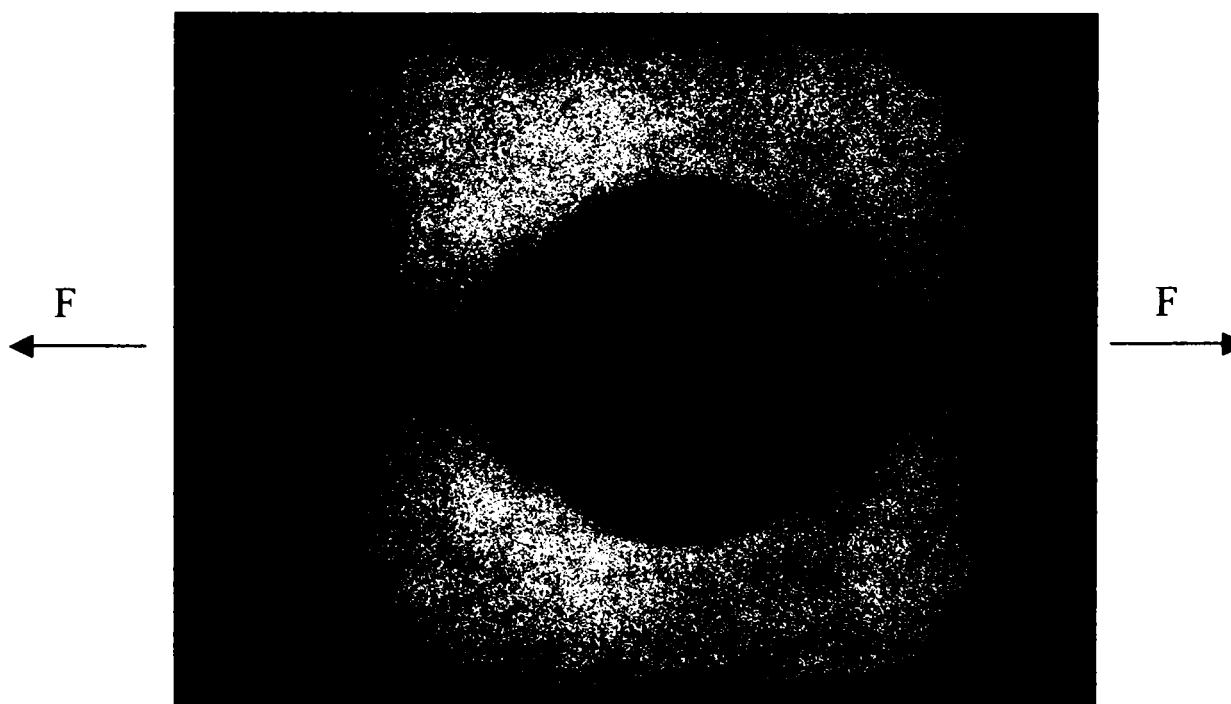


Fig. 5.6.8. Franja 1, la $F=7 \times 15.35N=107,450$ N (7 diviziuni)



Fig. 5.6.9. Franja 2, la $F=21 \times 15.35 \text{ N} = 322,350 \text{ N}$ (21 diviziuni)

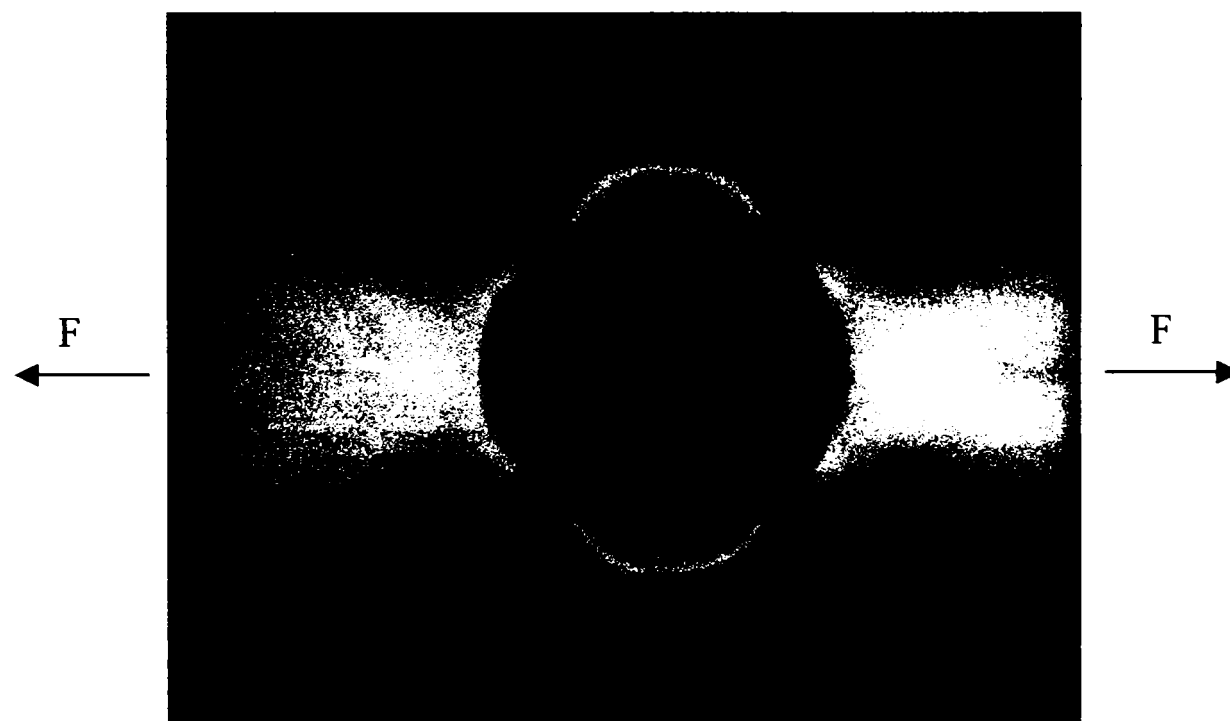


Fig. 5.6.10. Franja 3, la $F=30 \times 15.35 \text{ N} = 460,5 \text{ N}$ (30 diviziuni)

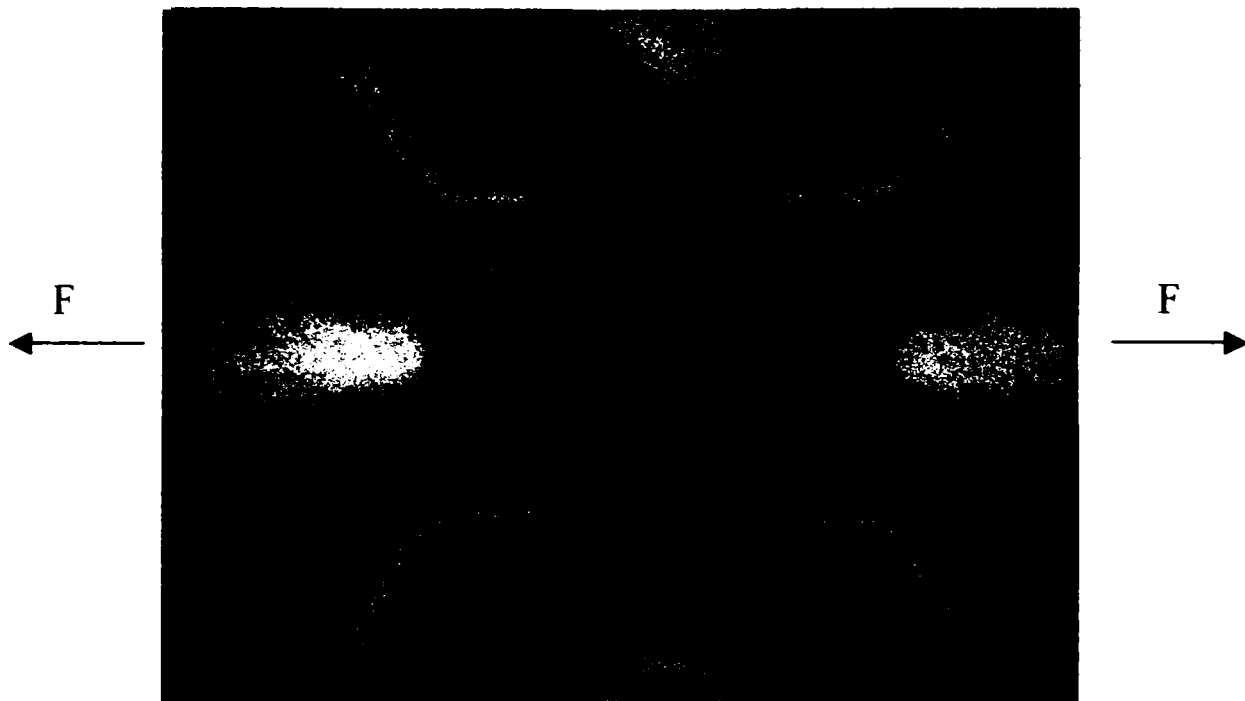


Fig. 5.6.11. Franja 4, la $F=41 \times 15.35 \text{ N} = 629,35 \text{ N}$ (41 diviziuni)

Cazul 3

Acest ultim caz studiat fotoelastic este cel al unei plăcuțe cu dimensiunile date în Fig. 5.6.12 și în tabelul alăturat, respectiv cu coeficienții de concentrare a tensiunilor calculați în Tab. 5.6.5 și cu imaginile fotoelastice din figurile 5.6.12, 5.6.13 și 5.6.14.

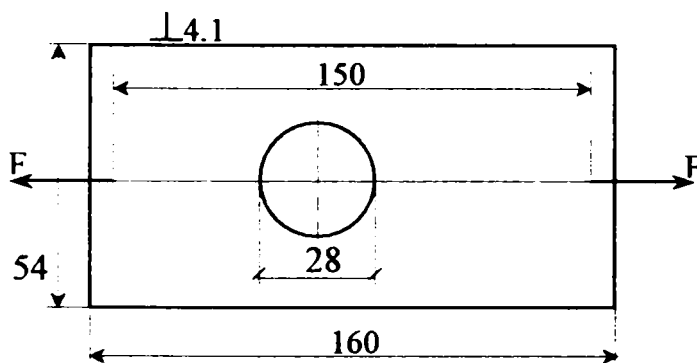


Fig. 5.6.12

Dimensiuni epruvetă		
Latime (2b)	54	mm
Grosime (h)	4,1	mm
Diametru orificiu (2a)	28	mm
Aria netă (A_n)	106,6	mm ²
Aria brută (A_b)	221,4	mm ²
$\lambda = a/b$	0,519	
Coef. etalonare dinamometru	15,35	N/div.
Valoarea benzii ($\bar{\sigma}_0$)	2,04	MPa/franje

Tab. 5.6.5

F		$\sigma_n = F/A_n$ [MPa]	k [franje]	σ_{max} [MPa]	$K_{tn} = \sigma_{max} / \sigma_n$	p=F/A _b [MPa]	$K_{tg} = \sigma_{max} / p$
[div]	[N]						
11	168,850	1,58396	1	2,04	1,28791	0,76265	2,67489
14	214,900	2,01595	2	4,08	2,02386	0,97064	4,20341
19	291,650	2,73593	3	6,12	2,23690	1,31730	4,64587

Valori medii		Valori medii excluzând prima citire	
K_{tn}	K_{tg}	K_{tn}	K_{tg}
1,84956	3,84139	2,13038	4,42464

Rezultatele coincid din nou cu cele date de PETERSON [P33].



Fig. 5.6.13 Franja 1, la $F=9 \times 15.35 \text{ N} = 138,150 \text{ N}$ (9 div.)

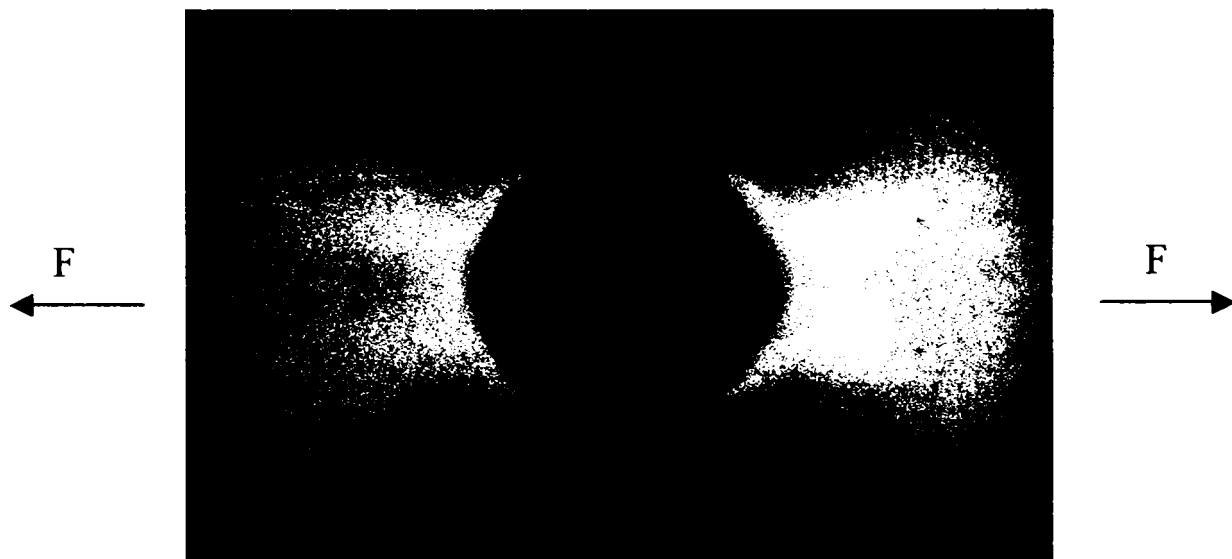


Fig. 2.6.14. Franja 2, la $F=12 \times 15.35 \text{ N} = 184,2 \text{ N}$ (12 div.)

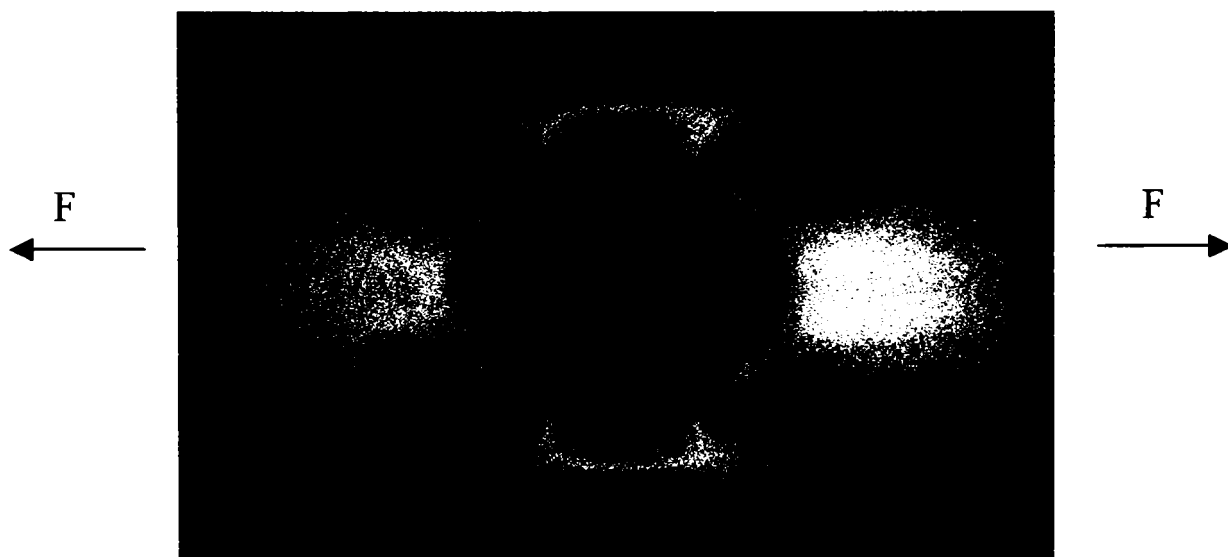


Fig. 2.6.15. Franja 3, la $F=16 \times 15.35 \text{ N} = 245,6 \text{ N}$ (16 div.)

5.6.3. Două orificii circulare inegale

În acest paragraf am studiat experimental și numeric platbanda cu două orificii circulare inegale solicitată la tracțiune de către o forță aplicată pe direcția centrelor celor două orificii. Am luat în considerare din nou două cazuri:

Cazul 1

Este vorba de proba de încercare reprezentată schematic în Fig. 5.6.16, cu dimensiunile date în tabelul alăturat și calculele efectuate în urma măsurătorilor fotoelastice sintetizate în Tab. 5.6.6.

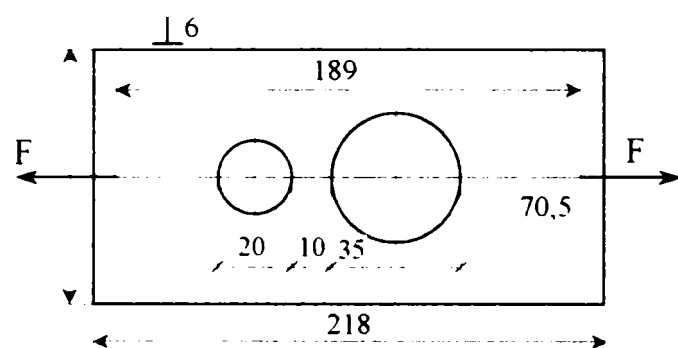


Fig. 5.6.16

Dimensiuni epruveta		
Latime (2b)	70	mm
Grosime (h)	6	mm
Diametru orificiu mare (2R)	35	mm
Diametru orificiu mic (2r)	20	mm
Distanța între marginile găurilor (s)	10	mm
R/r	1,75	
Aria brută (A _b)	420	mm ²
s/r	1,000	
Coef. etalonare dinamometru	15,35	N/div.
Valoarea benzii ($\bar{\sigma}_0$)	1,65	MPa/franje

Tab. 5.6.6

[div]	F	k [franje]	σ_{max} [MPa]	p=F/A _b [MPa]	K _{tg} = σ_{max} / p
	[N]				
20	307,000	1	1,65	0,73095	2,25733
35	537,250	2	3,3	1,27917	2,57980
55	844,250	3	4,95	2,01012	2,46254
70	1074,500	3,1	5,115	2,55833	1,99935

Valori medii	Valori medii excluzând prima citire
K _{tg}	K _{tg}
2,32476	2,34723

Ordinul franjelor k notat în Tab. 5.6.6 este cel corespunzător orificiului mare, deoarece acesta preia în cea mai mare parte tensiunea aplicată.

Comparând rezultatul obținut pentru coeficientul de concentrare al tensiunilor global K_{tg} cu cel dat în [P33] Fig 110, p.169, observăm o destul de bună corelare a rezultatelor.

Voi da în continuare imaginile fotoelastice obținute la încărcarea probei, în cele patru situații în care am citit forțele și ordinul benzii: Fig. 5.6.17, Fig. 5.6.18, Fig. 5.6.19 și Fig. 5.6.20.

Acest exemplu l-am modelat și cu programul de element de frontieră BEASY, cu care am reprezentat tensiunile σ_{xx} în toate punctele probei, σ_{xx} pe conturul orificiului mic și σ_{xx} pe conturul orificiului mare. S-a considerat cazul de încărcare cu F=737N, corespunzător ordinului de bandă k=2,5. Figurile 5.6.21 – 5.6.24 prezintă această simulare numerică, ce coincide aproximativ cu rezultatele experimentale.

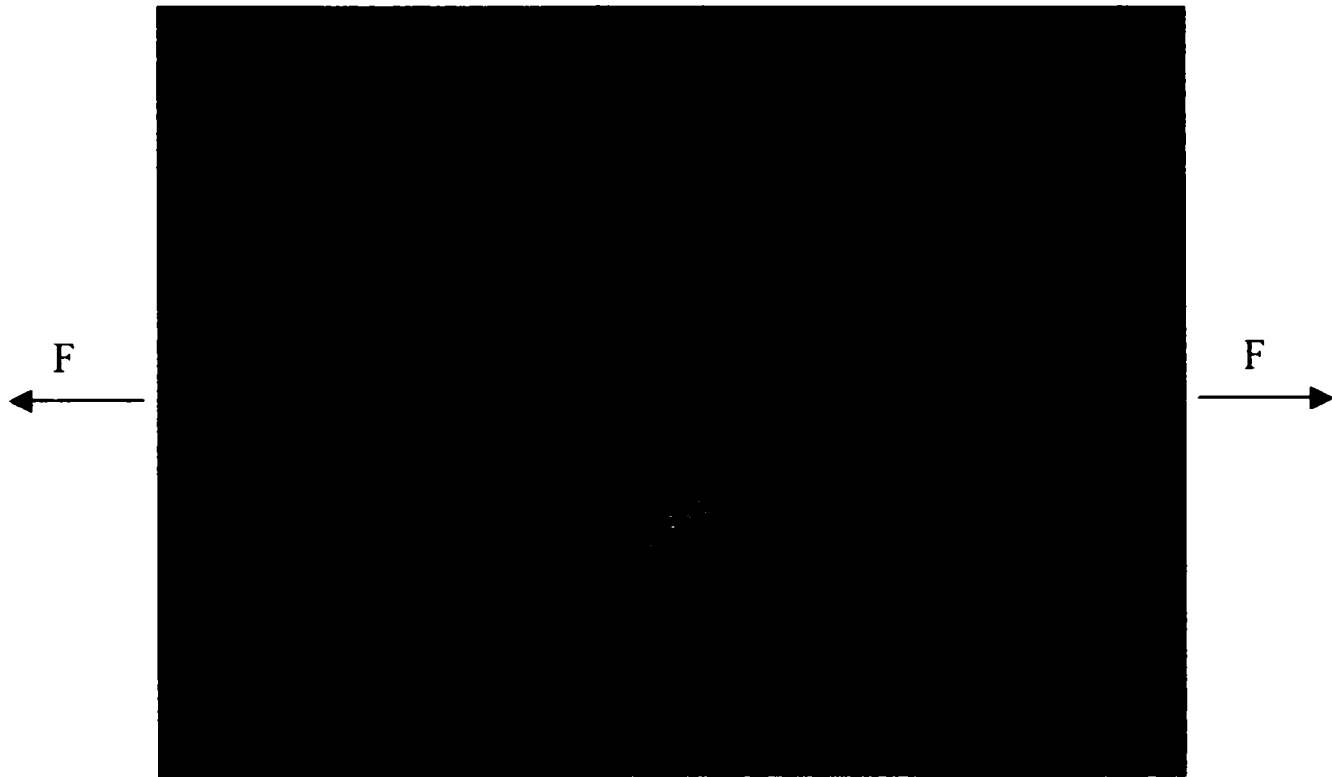


Fig. 5.6.17 Franja 1, la $F=20 \times 15.35\text{N}=307\text{N}$



Fig. 5.6.18 Franja 2, la $F=35 \times 15.35\text{N}=537.25\text{N}$

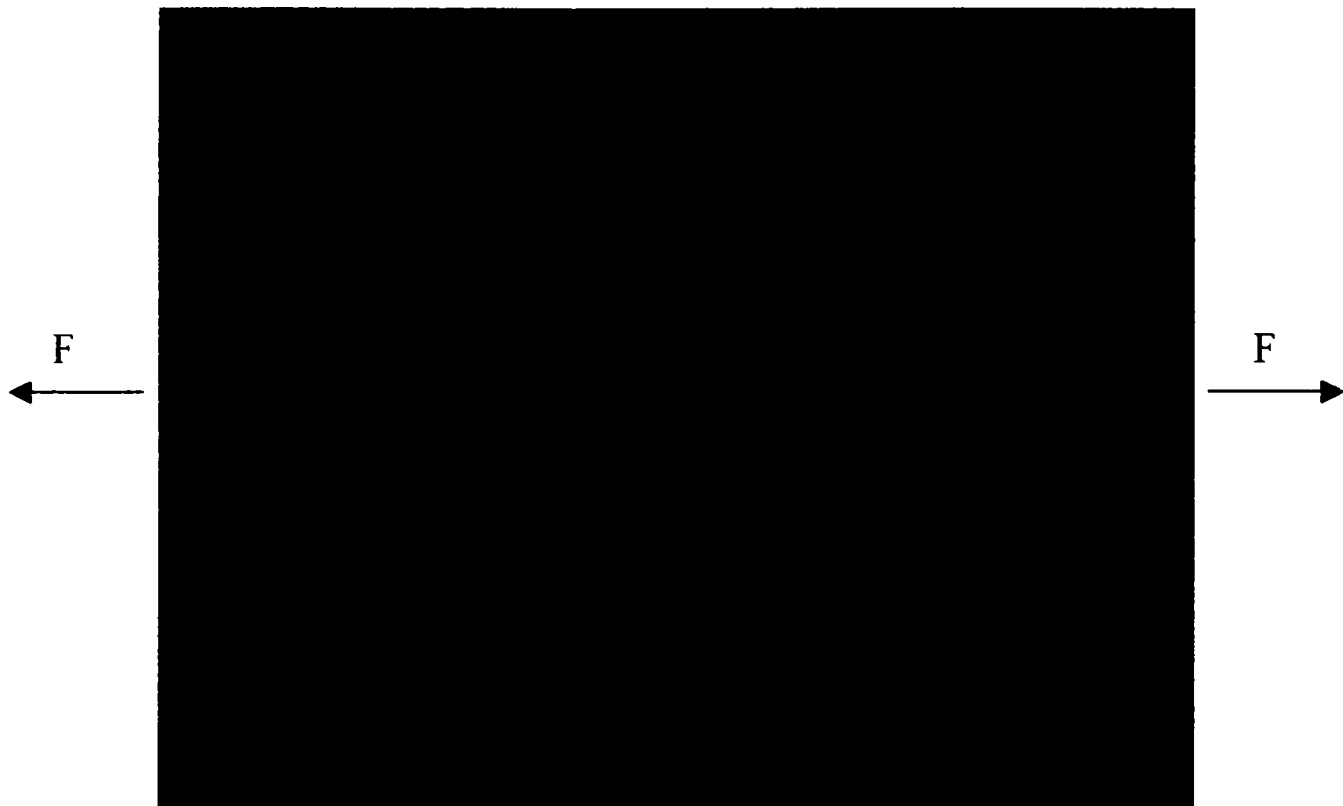


Fig. 5.6.19 Franja 3, la $F=55 \times 15.35\text{N}=844.25\text{N}$

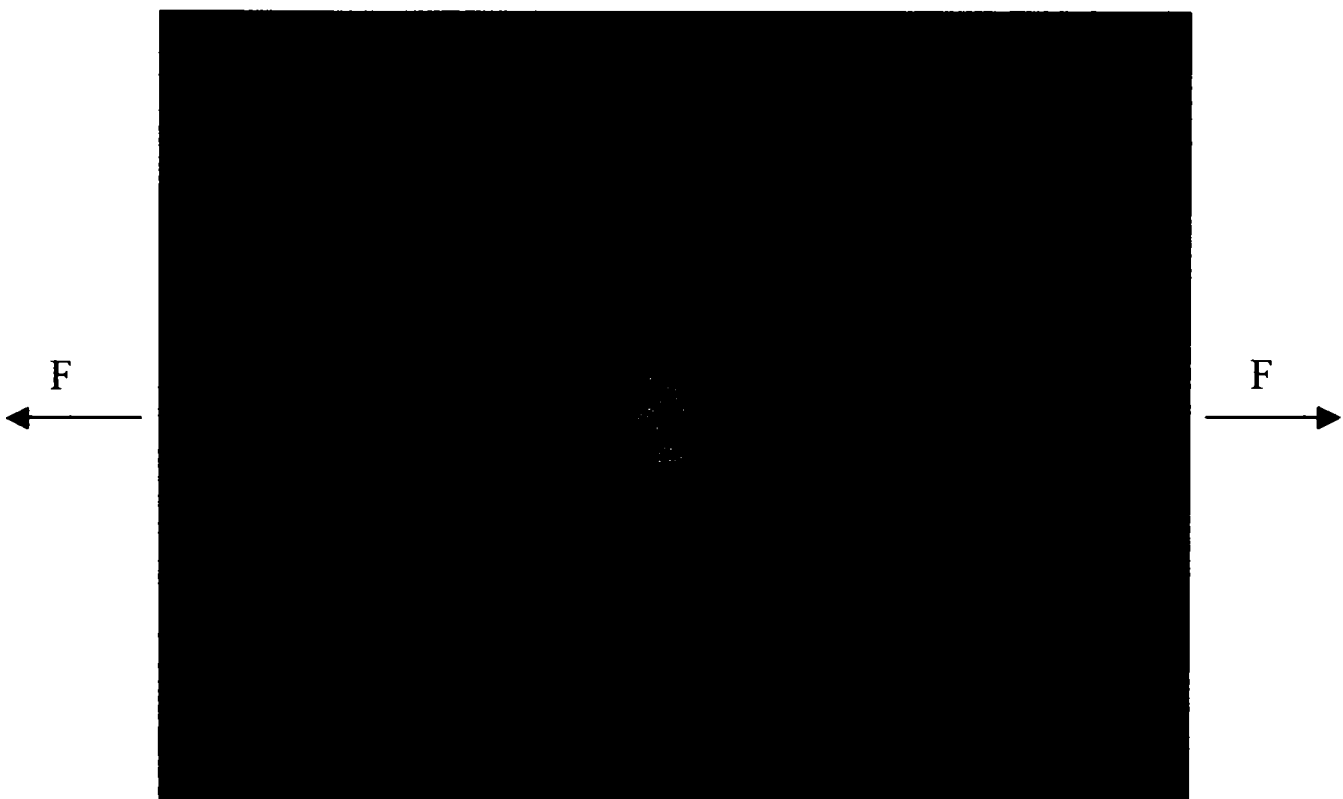


Fig. 5.6.20 Franja 3.1, la $F=70 \times 15.35\text{N}=1074.5\text{N}$

În acest context doresc să atrag atenția asupra faptului că cel puțin până la data elaborării acestui paragraf de teză nu am avut la dispoziție decât varianta demonstrativă a programului BEASY, varianta cu restricții, și care nu permitea utilizarea a mai mult de 30 de elemente de frontieră pentru un model. De aceea nici rezultatele obținute nu sunt de o precizie foarte bună – comparativ cu ceea ce poate acest program care are în Help exemple asemănătoare cu ale mele dar rezolvate cu de 7-10 ori mai multe elemente de frontieră decât am putut utiliza eu.

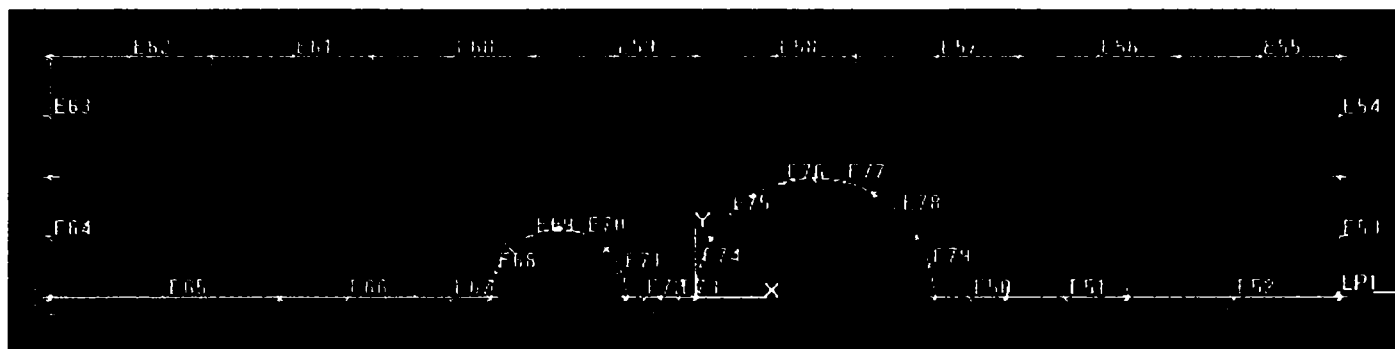


Fig. 5.6.21. Discretizarea frontierei

Cazul de încărcare $F=737N$, (corespunzător ordinului de bandă 2.5)

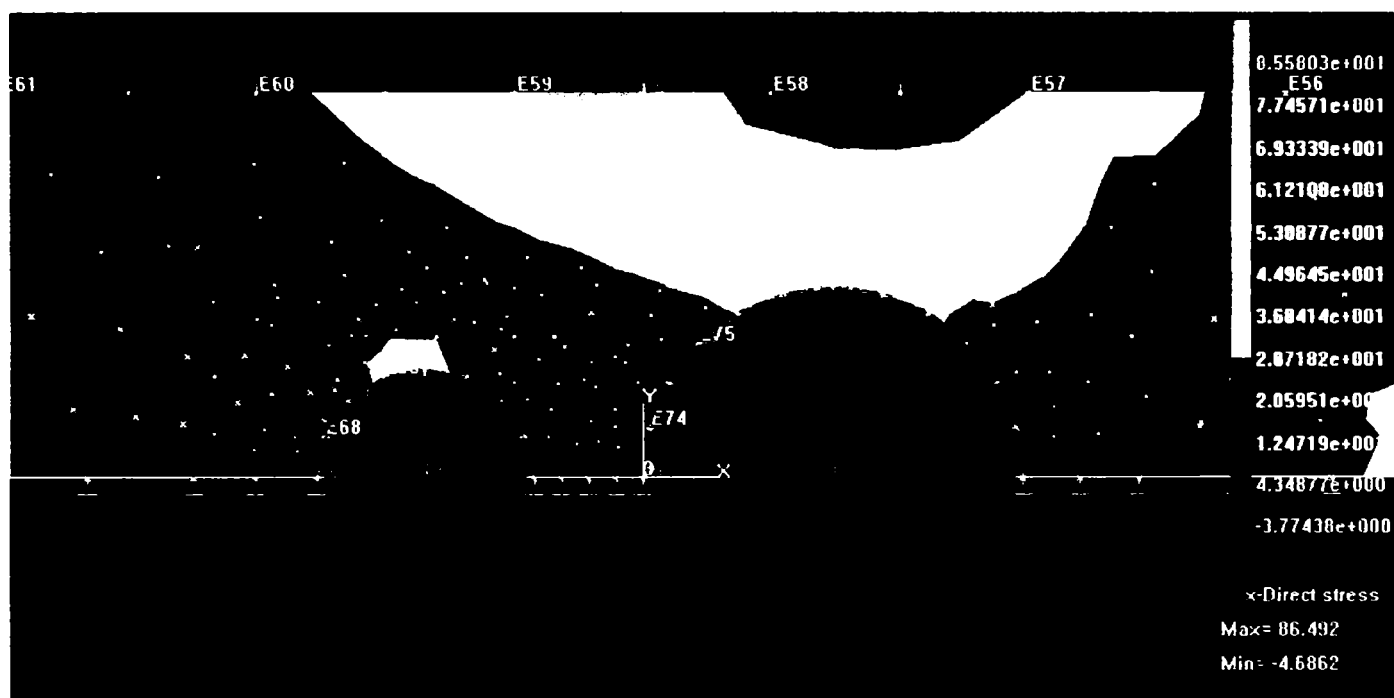


Fig. 5.6.22. Tensiunea σ_{xx} pe probă

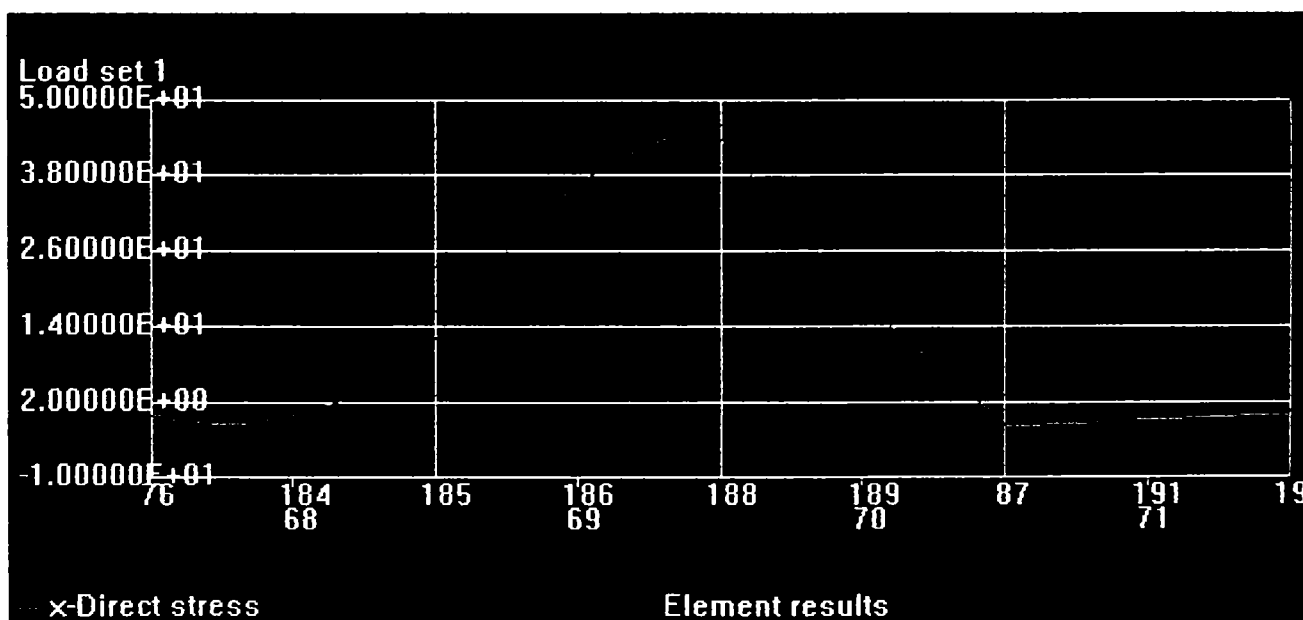


Fig. 5.6.23. Tensiunea σ_{xx} pe conturul orificiului mic

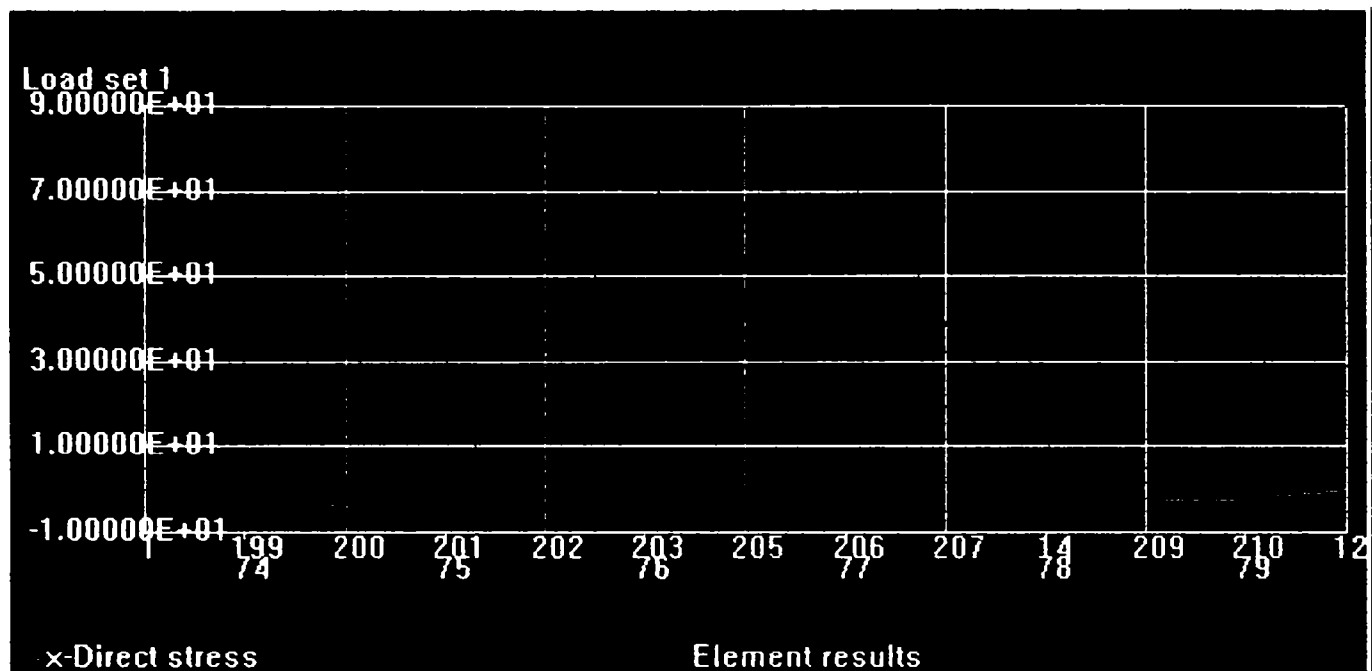


Fig. 5.6.24. Tensiunea σ_{xx} pe conturul orificiului mare

Cazul 2

S-a studiat, de data aceasta doar fotoelastic și făcând comparația cu datele din PETERSON, o a doua epruvetă cu două orificii circulare, având dimensiunile date în Fig. 5.6.25.

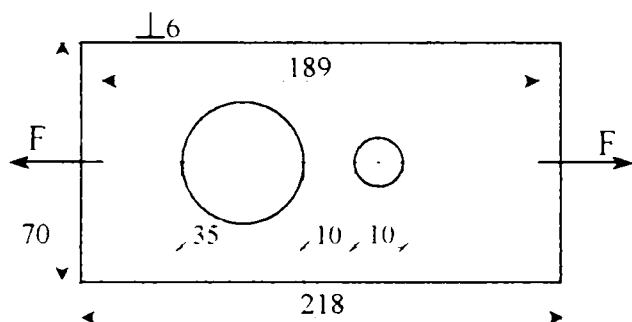


Fig. 5.6.25

Dimensiuni epruveta		
Latime (2b)	70	mm
Grosime (h)	6	mm
Diametru orificiu mare (2R)	35	mm
Diametru orificiu mic (2r)	10	mm
Distanța între marginile găurilor (s)	10	mm
R/r	3,5	
Aria netă (A_n)	210	mm ²
Aria brută (A_b)	420	mm ²
s/r	2,000	
Coef. etalonare dinamometru	15,35	N/div.
Valoarea benzii ($\bar{\sigma}_0$)	1,65	MPa/franje

În urma calculelor, efectuate în Excel, am obținut datele din Tab. 5.6.7, ce coincid cu cele din [P33] Fig.110, p.169.

Tab. 5.6.7

[div]	F	k [franje]	σ_{max} [MPa]	$p=F/A_b$ [MPa]	$K_{tg} = \sigma_{max} / p$
	[N]				
15	230,250	1	1,65	0,54821	3,00977
31	475,850	2	3,3	1,13298	2,91268
52	798,200	3	4,95	1,90048	2,60461
56	859,600	3,1	5,115	2,04667	2,49919

Valori medii	Valori medii excluzând prima citire
K_{tg}	K_{tg}
2,75656	2,67216

Imaginile fotoelastice obținute sunt redată în figurile Fig. 5.6.26 – 5.6.29. Studiind franjele de interferență apărute în acest caz se poate observa, mult mai pregnant decât în cazul anterior, cum orificiul de diametru mai mare preia toată tensiunea aplicată, iar orificiul mic aproape că nu este afectat și nu afectează starea de tensiune (fiind și relativ aproape situat de orificiul mare).

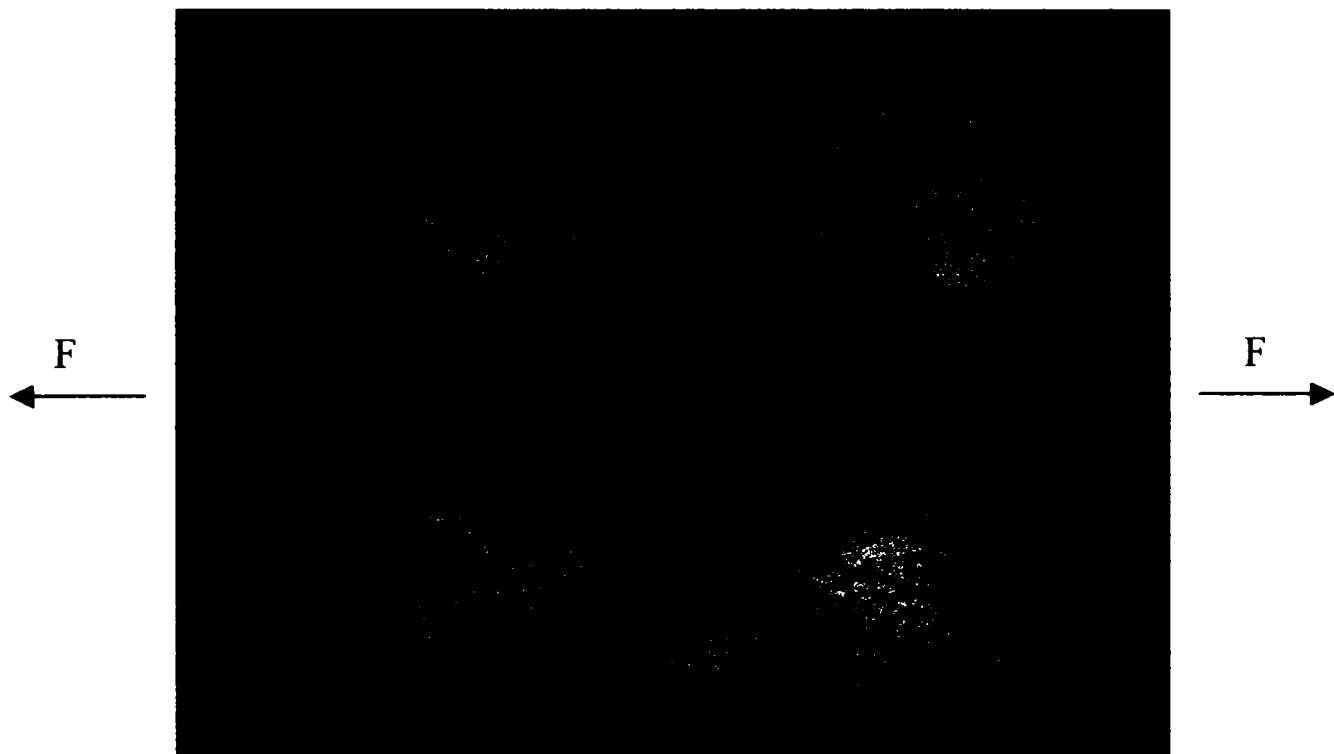


Fig. 5.6.26 Franja 1, la $F=15 \times 15.35\text{N}=230.25\text{N}$



Fig. 5.6.27, Franja 2 la $F=31 \times 15.35\text{N}=475.85\text{N}$



Fig. 5.6.28 , Franja 3 la $F=52 \times 15.35 \text{N} = 798.2 \text{N}$



Fig. 5.6.29, Franja 3,1 la $F=56 \times 15.35 \text{N} = 859.6 \text{N}$

5.6.4. Trei orificii circulare egale

În acest paragraf se va studia, experimental și numeric, platbanda slăbită de trei orificii circulare egale supusă la tracțiune. Se vor lua în considerare două cazuri:

Cazul 1: când orificiile au axa centrelor pe direcția de aplicare a forței;

Cazul 2: când orificiile au axa centrelor perpendiculară pe direcția de aplicare a forței;

Cazul 1

Se consideră o plăcuță cu trei orificii circulare egale, cu axa centrelor pe direcția de aplicare a forței (v. Fig. 5.6.30). Urmând aceeași metodologie ca și până acum se obțin rezultatele din Tab. 5.6.8.

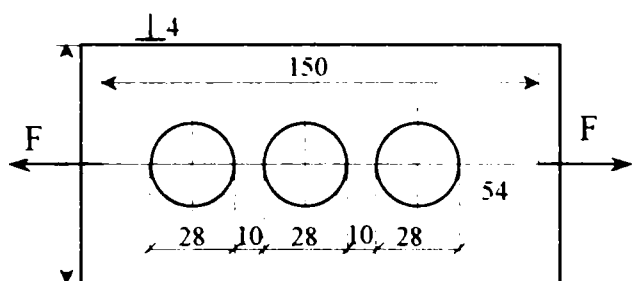


Fig. 5.6.30

Dimensiuni epruveta		
Latime (2b)	54	mm
Grosime (h)	4,1	mm
Diametru orificii (2a)	28	mm
Aria netă (A _n)	106,6	mm ²
Aria brută (A _b)	221,4	mm ²
$\lambda = a/b$	0,519	
Coef. etalonare dinamometru	15,35	N/div
Valoarea benzii ($\bar{\sigma}_0$)	1,65	MPa/franje
Distanța între centrele a 2 găuri (d)	38	mm
d/2a	1,3571	

Tab. 5.6.8

F		$\sigma_n = F/A_n$ [MPa]	k [franje]	σ_{max} [MPa]	$K_{tn} = \sigma_{max} / \sigma_n$	p=F/A _b [MPa]	$K_{tg} = \sigma_{max} / p$
[div]	[N]						
5	76,750	0,71998	1	1,65	2,29173	0,34666	4,75974
12	184,200	1,72795	2	3,3	1,90977	0,83198	3,96645
16	245,600	2,30394	3	4,95	2,14849	1,10930	4,46226

Valori medii		Valori medii excluzând prima citire	
K_{tn}	K_{tg}	K_{tn}	K_{tg}
2,11666	4,39615	2,02913	4,21435

Comparând cu [P33] Fig. 113, p.172, rezultă din nou o bună concordanță, pentru coeficientul de concentrare a tensiunilor net K_{tn} , pentru cel global însă (K_{tg}) rezultatele în PETERSON lipsesc.

Imaginile fotoelastice obținute sunt date în Fig. 5.6.31, 5.6.32 și 5.6.33. Orificiile marginale sunt trunchiate pe figură deoarece imaginea franjelor proiectată pe ecran de către polariscop era limitată, și nu aș fi avut altă soluție decât să fac câte două poze pentru fiecare figură, pe care apoi să le assemblez – metodologie pe care am și aplicat-o în cazul unei alte probe cu trei orificii circulare inegale, care nu puteau fi altfel fotografiate (v. §5.6.5, cazul 2).

Pentru acest caz se dă și soluția numerică, obținută de data aceasta cu programul de element finit COSMOS/M.

Fig. 5.6.34 prezintă variația tensiunii σ_{xx} pe probă, iar următoarele figuri (Fig. 5.6.35-5.6.38) variația lui σ_{xx} pe conturul orificiului central, respectiv a celor marginale în cele două cazuri de încărcare: F=568N, respectiv F=844N.



Fig. 5.6.31 Franja 1, la $F=5 \times 15.35\text{N}=76.75\text{N}$



Fig. 5.6.32 Franja 2, la $F=12 \times 15.35\text{N}=184.2\text{N}$



Fig. 5.6.33 Franja 3, la $F=16 \times 15.35\text{N}=245.6\text{N}$

Utilizând programul COSMOS am obținut:



Fig. 5.5.34. Variația tensiunii σ_{xx} pe probă (datorită simetriei am reprezentat 1/2 din probă)

Cazul de încărcare $F=568N$

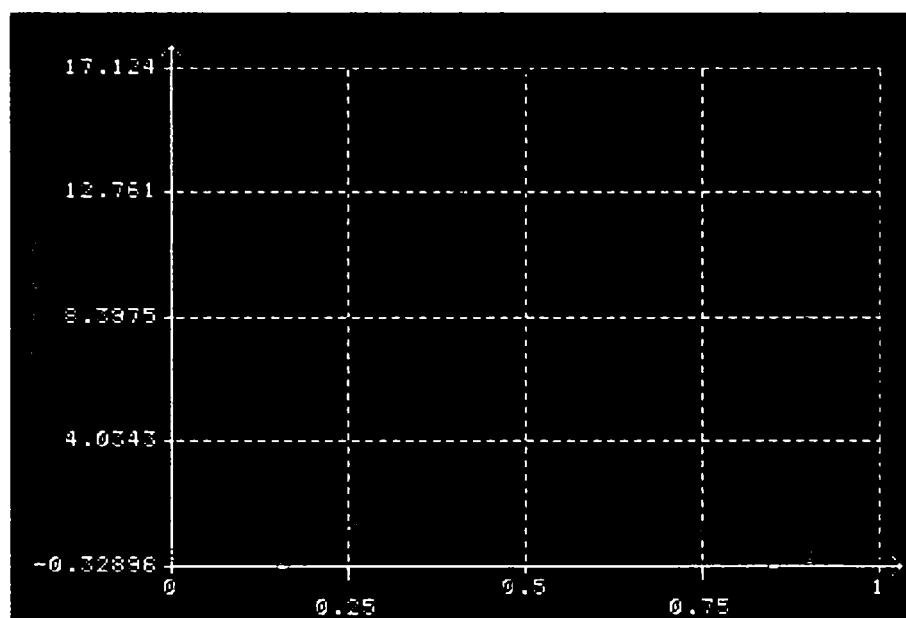


Fig. 5.6.35, σ_{xx} pe conturul orificiului central

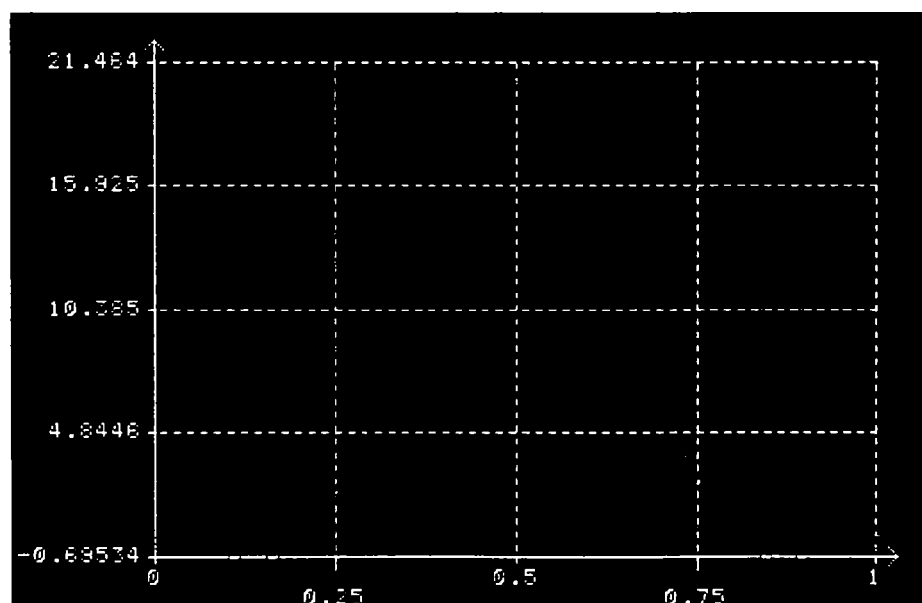


Fig. 5.6.36, σ_{xx} pe conturul orificiului marginal

Din Fig. 5.6.35 rezultă și faptul că valoarea maximă a lui σ_{xx} nu se obține exact în punctul situat pe diametrul orificiului perpendicular pe direcția axelor, ci decalat corespunzător unui unghi de aproximativ 87° . De asemenea rezultă faptul că orificiile marginale sunt mai solicitate decât orificiul central (valoarea maximă de 21.464 MPa pe orificiile marginale depășește cu aproape 25% pe cea de 17.127 MPa pe orificiul central).

Calculând pentru $F= 568\text{N}$, valoarea lui $p=F/A_n$, rezultă $p=5,32 \text{ N/mm}^2$ și obținem un coeficient de concentrare a tensiunilor pe orificiul central egal cu $17.124/5.3=3.23$ și un coeficient de concentrare a tensiunilor pe orificiile marginale egal cu $21.464/5.3=4.04$.

Cazul de încărcare $F=844\text{N}$

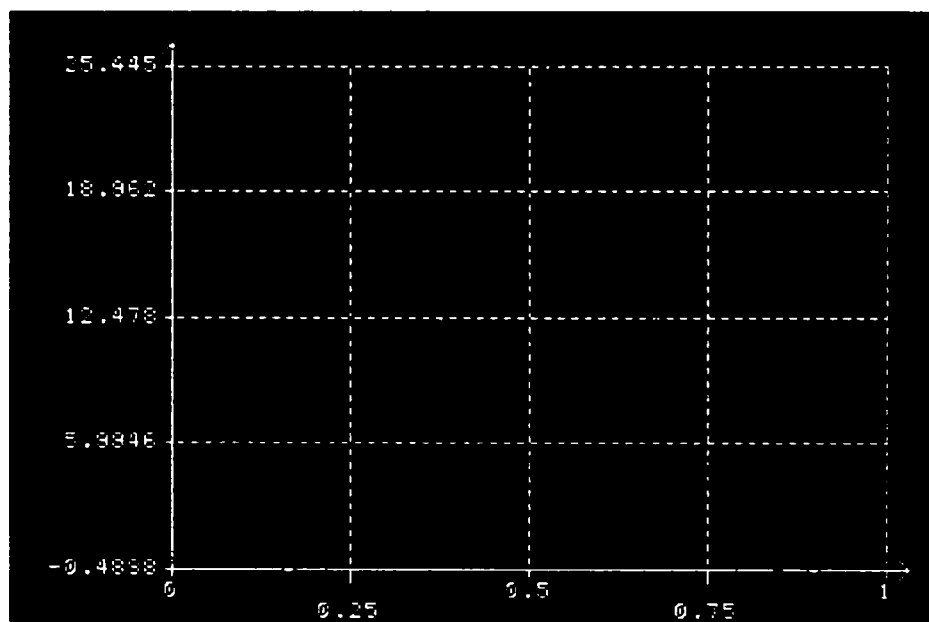


Fig. 5.6.37 σ_{xx} pe conturul orificiului central

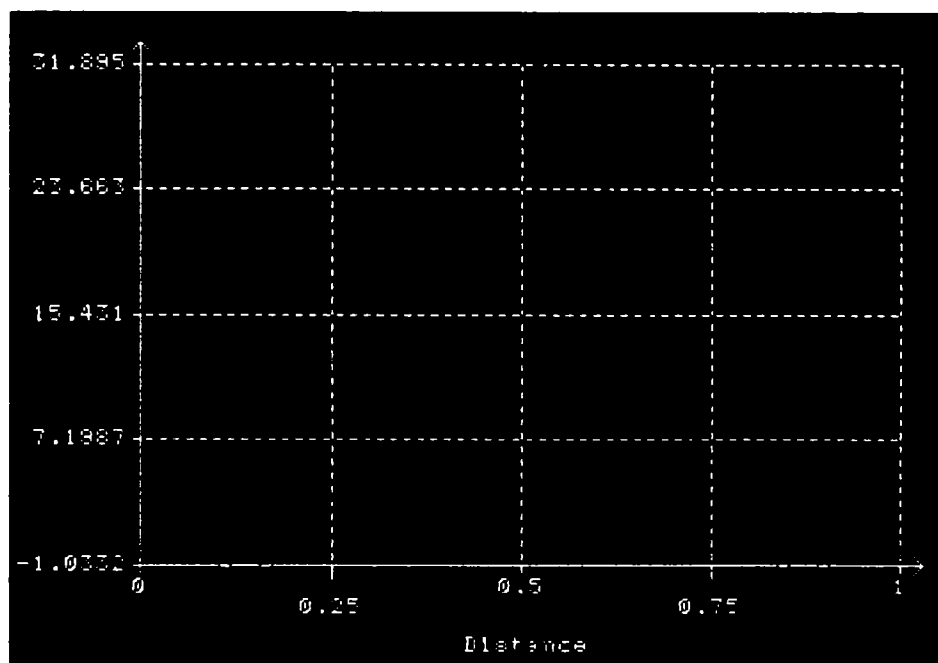


Fig. 5.6.38 σ_{xx} pe conturul orificiului marginal

Calculând ca și în cazul anterior coeficienții de concentrare a tensiunilor, pentru orificiul central rezultă o valoare de 3.21, iar pentru orificiile marginale rezultă o valoare de 4.02 – evident din nou mai mare decât cea pentru orificiul central.

Cazul 2

Se consideră o plăcuță cu trei orificii circulare egale, cu axa centrelor perpendiculară pe direcția de aplicare a forței (v. Fig. 5.6.39). Urmând aceeași metodologie ca și până acum se obțin rezultatele din Tab. 5.6.9.

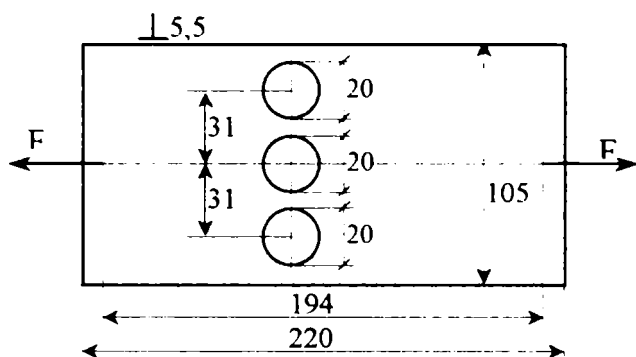


Fig. 5.6.39

Dimensiuni proprii		
Latime (2b)	105	mm
Grosime (h)	5,5	mm
Diametru orificii (2a)	20	mm
Aria netă (A _n)	247,5	mm ²
Aria brută (A _b)	577,5	mm ²
$\lambda = a/b$	0,190	
Coef. etalonare dinamometru	15,35	N/div
Valoarea benzii ($\bar{\sigma}_0$)	1,65	MPa/franje
Distanța între centrele a 2 orificii (d)	31	mm
2a/d	0,6452	

Tab. 5.6.9

F		$\sigma_n = F/A_n$ [MPa]	k [franje]	σ_{max} [MPa]	$K_m =$ σ_{max} / σ_n	$p = F/A_b$ [MPa]	$K_{tg} =$ σ_{max} / p
[div]	[N]						
33	506,550	2,04667	1	1,65	0,80619	0,87714	1,88111
40	614,000	2,48081	2	3,3	1,33021	1,06320	3,10383
50	767,500	3,10101	3	4,95	1,59625	1,32900	3,72459

Valori medii		Valori medii excluzând prima citire	
K_m	K_{tg}	K_m	K_{tg}
1,24422	2,90318	1,46323	3,41421

Comparând cu [P33] Fig. 112, p.171, rezultă o diferență acceptabilă, adică: pentru coeficientul de concentrare a tensiunilor net K_m eu am obținut 1.46323 față de 1.35, iar pentru K_{tg} eu am obținut 3.41 față de 3.70 în PETERSON.

Imaginile fotoelastice obținute sunt date în Fig. 5.6.40, 5.6.41 și 5.6.42.

Voi da apoi și pentru acest caz soluția numerică, obținută tot cu programul de element finit COSMOS.

Fig. 5.6.43 prezintă variația tensiunii σ_{yy} pe probă, iar următoarele figuri (Fig. 5.6.44-5.6.46) variația lui σ_{yy} pe conturul orificiului central, și pe jumătatea interioară de contur a orificiului marginal, respectiv pe cea exterioară a orificiului marginal. S-a considerat cazul de încărcare $F=737N$ (respectiv apariția celei de-a treia franje).



Fig. 5.6.40 Franja 1, la $F=33 \times 15.35\text{N}=506.55\text{N}$

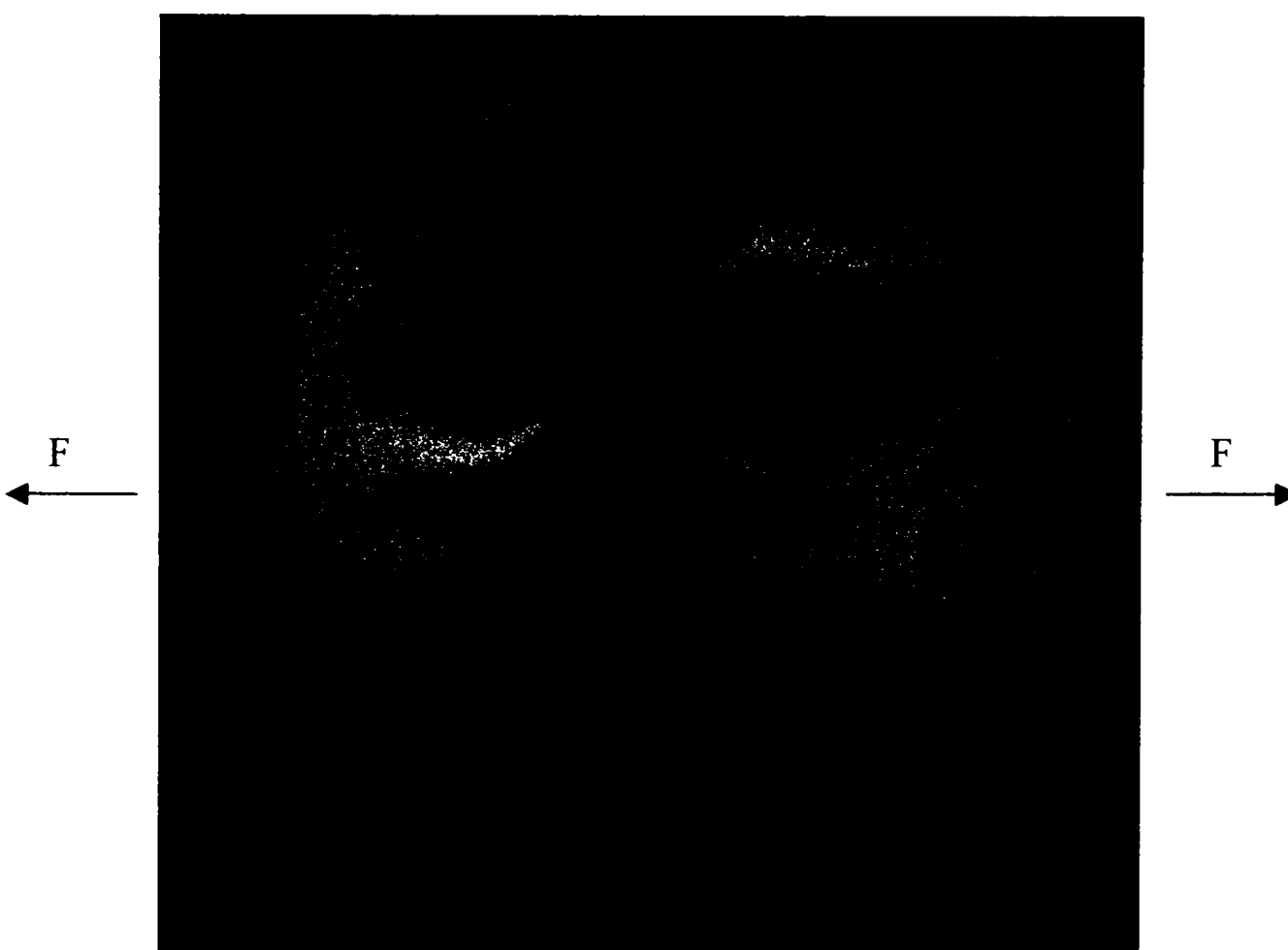


Fig. 5.6.41 Franja 2, la $F=40 \times 15.35\text{N}=614\text{N}$

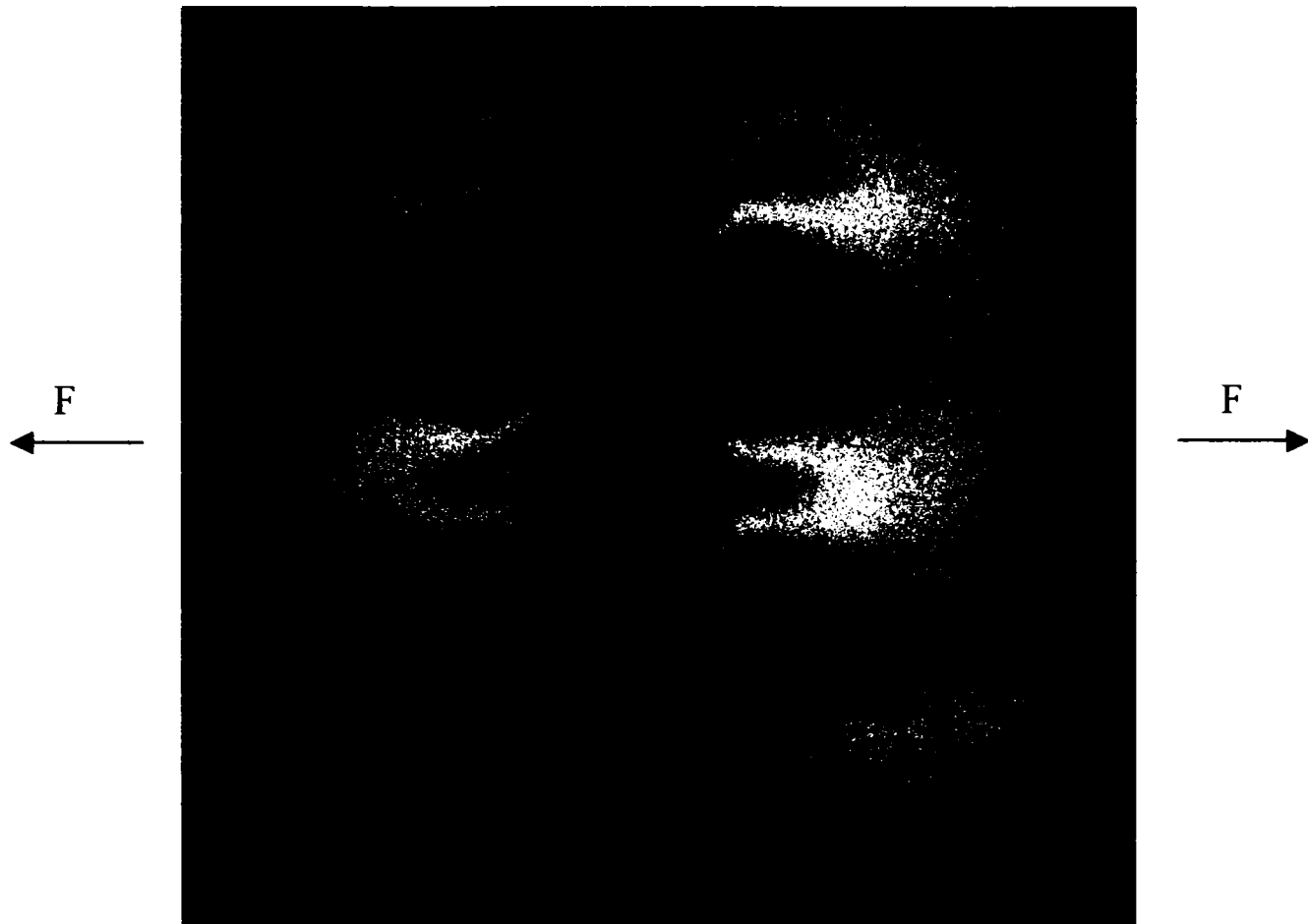


Fig. 5.6.42 Franja 3, la $F=50 \times 15.35 \text{N} = 767.5 \text{N}$

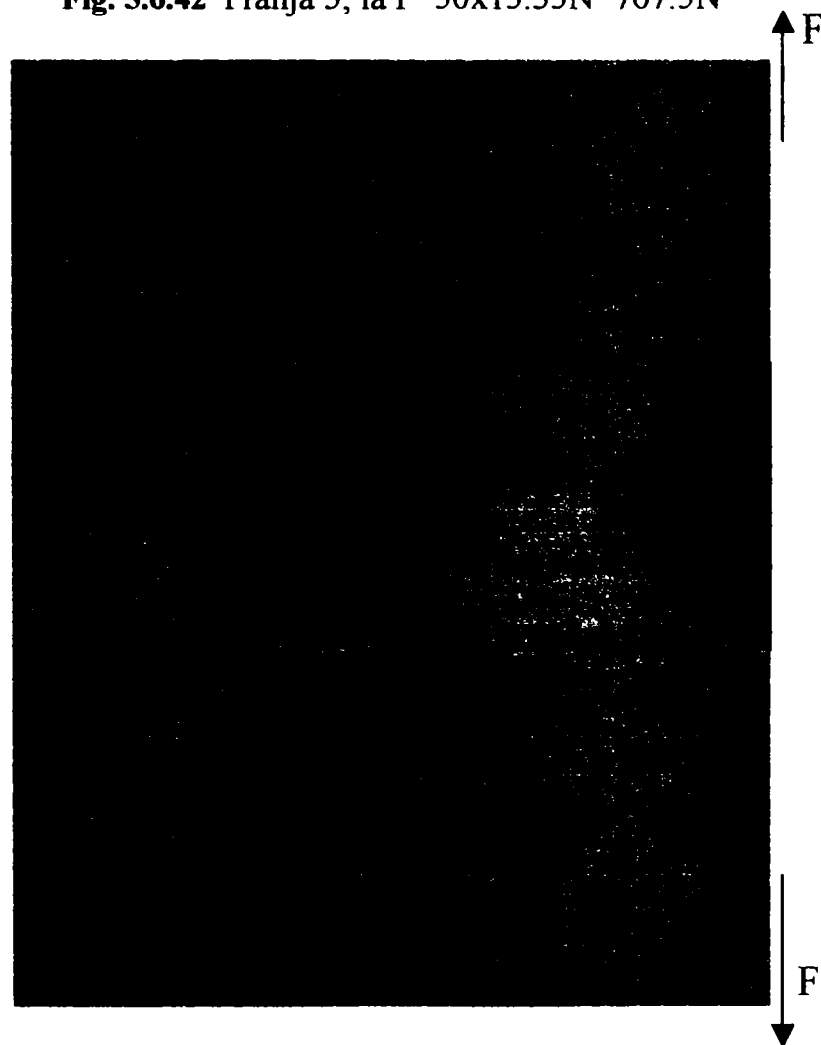


Fig. 5.6.43, σ_{yy} pe probă (datorită simetriei am reprezentat $\frac{1}{2}$ din probă)

Cazul de încărcare $F=737\text{N}$ (franja a 2-a)

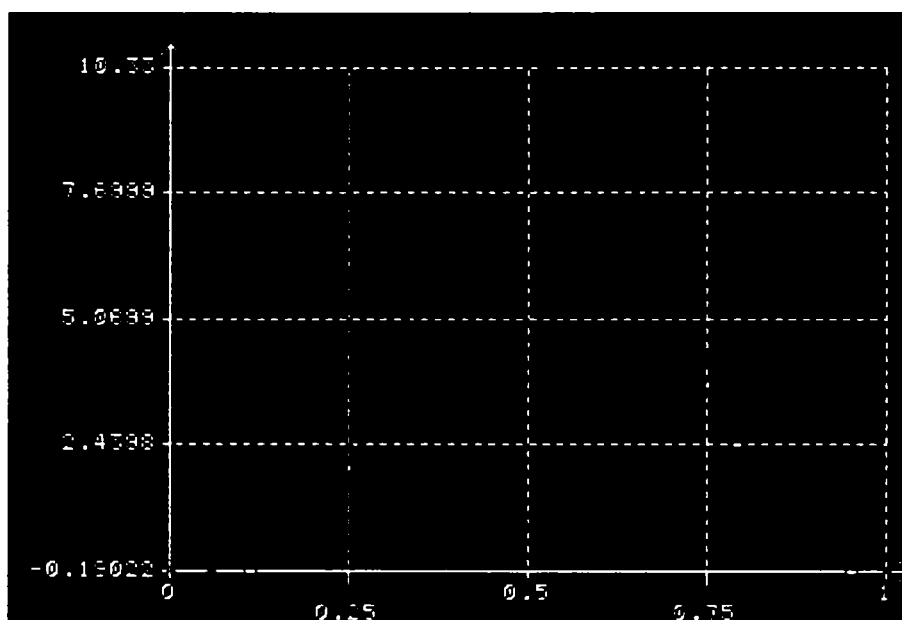


Fig. 5.6.44. σ_{yy} pe conturul orificiului central

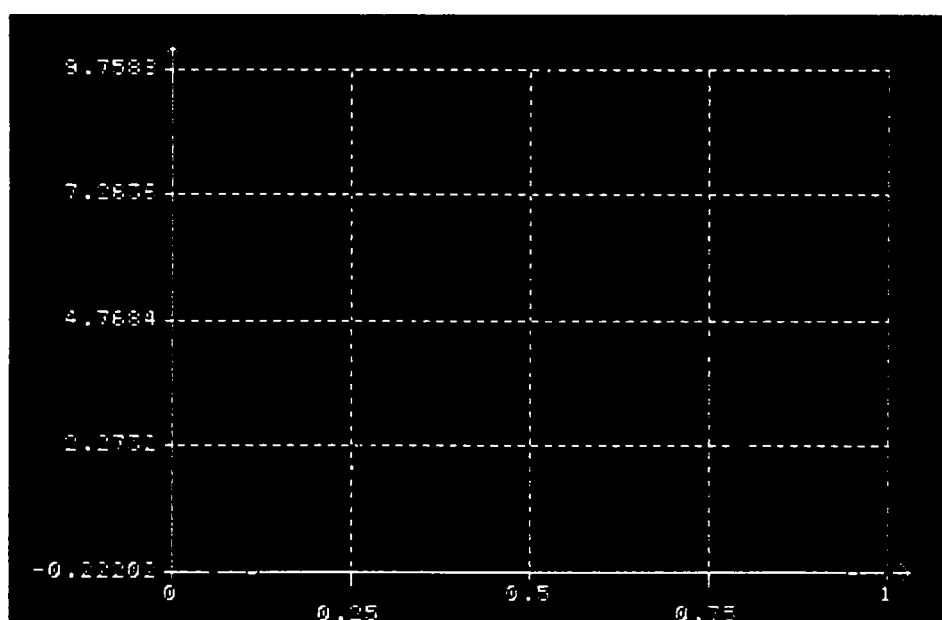


Fig. 5.6.45. σ_{yy} pe jumătatea interioară de contur al orificiilor marginale

Din citirea valorilor maxime ale tensiunii σ_{yy} , de pe contururile orificiilor rezultă o variație foarte mică a lui σ_{yy} maxim funcție de faptul că este vorba de un orificiu central sau de margine. Valoarea maximă σ_{yy} se obține însă, cum era și firesc, pentru punctele situate pe diametrul perpendicular pe direcția de aplicare a forței de tracțiune.

Calculând $p=F/A_n$, rezultă $p=737/247.5=2.977 \text{ N/mm}^2$, și de aici rezultă următoarele valori pentru coeficienții de concentrare a tensiunilor în cele trei cazuri:

- pentru orificiul central $K=10.33/2.977=3.47$
- pentru partea interioară a orificiului marginal $K=9.75/2.977=3.275$
- pentru partea exterioară a orificiului marginal $K=10.307/2.977=3.46$.

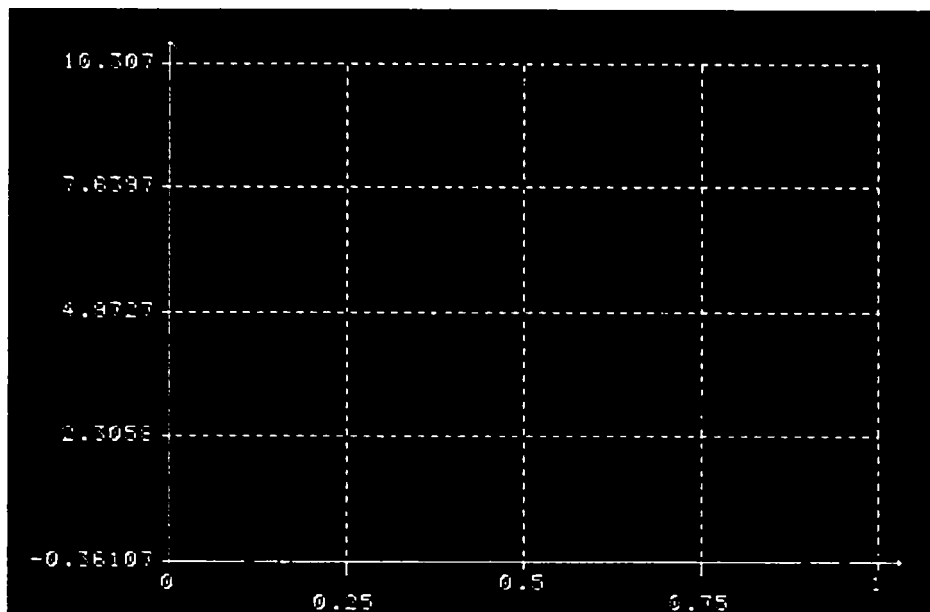


Fig. 5.6.46. σ_{yy} pe jumătatea exterioară de contur al orificiilor marginale

5.6.5. Trei orificii circulare inegale

În acest paragraf se va studia, experimental și numeric, platbanda slăbită de trei orificii circulare inegale cu axa centrelor pe direcția de aplicare a forțelor de tracțiune la care este supusă proba. Se vor lua în considerare două cazuri:

Cazul 1: când orificiile au diametre descrescătoare;

Cazul 2: când orificiul cel mai mic este situat între celelalte două;

Cazul 1

Se consideră o plăcuță cu trei orificii circulare cu diametre descrescătoare, cu axa centrelor pe direcția de aplicare a forței (v. Fig. 5.6.47). Urmând aceeași metodologie ca și până acum se obțin rezultatele pentru coeficientul de concentrare al tensiunilor globale K_{lg} dat în Tab. 5.6.10. Acest caz nu l-am regăsit în PETERSON, și de aceea pentru verificare am efectuat și o modelare numerică, utilizând programul COSMOS.

Imaginile fotoelastice obținute sunt prezentate în continuare, în figurile Fig. 5.6.48 – 5.6.51.

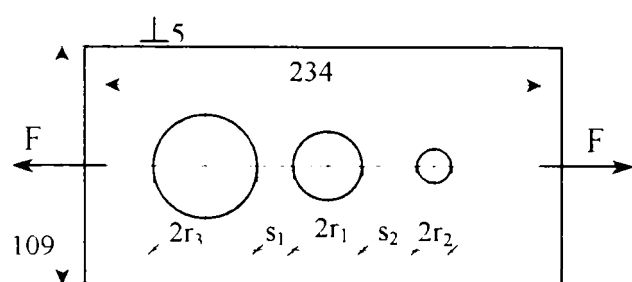


Fig. 5.6.47

Dimensiuni epruveta	
Latime (2b)	109 mm
Grosime (h)	5 mm
Diametru orificiu mare ($2r_3$)	30 mm
Diametru orificiu mijlociu ($2r_1$)	20 mm
Diametru orificiu mic ($2r_2$)	10 mm
Distanța între marginile orificiului 1 și 2 (s_1)	10 mm
Distanța între marginile orificiului 1 și 2 (s_2)	15 mm
s_1/r_1	1
s_2/r_2	3
Aria brută (A_b)	545 mm ²
Coef. etalonare dinamometru	15,35 N/div.
Valoarea benzii ($\bar{\sigma}_0$)	1,65 MPa/franje

Tab. 5.6.10

	F	k	σ_{\max}	$p=F/A_b$	$K_{tg} =$
[div]	[N]	[franje]	[MPa]	[MPa]	σ_{\max} / p
27	414,450	1	1,65	0,76046	2,16974
46	706,100	2	3,3	1,29560	2,54709
57	874,950	2,5	4,95	1,60541	3,08332
72	1105,200	3	6,6	2,02789	3,25461

Valori medii	Valori medii excluzând prima citire
K_{tg}	K_{tg}
2,76369	2,96167

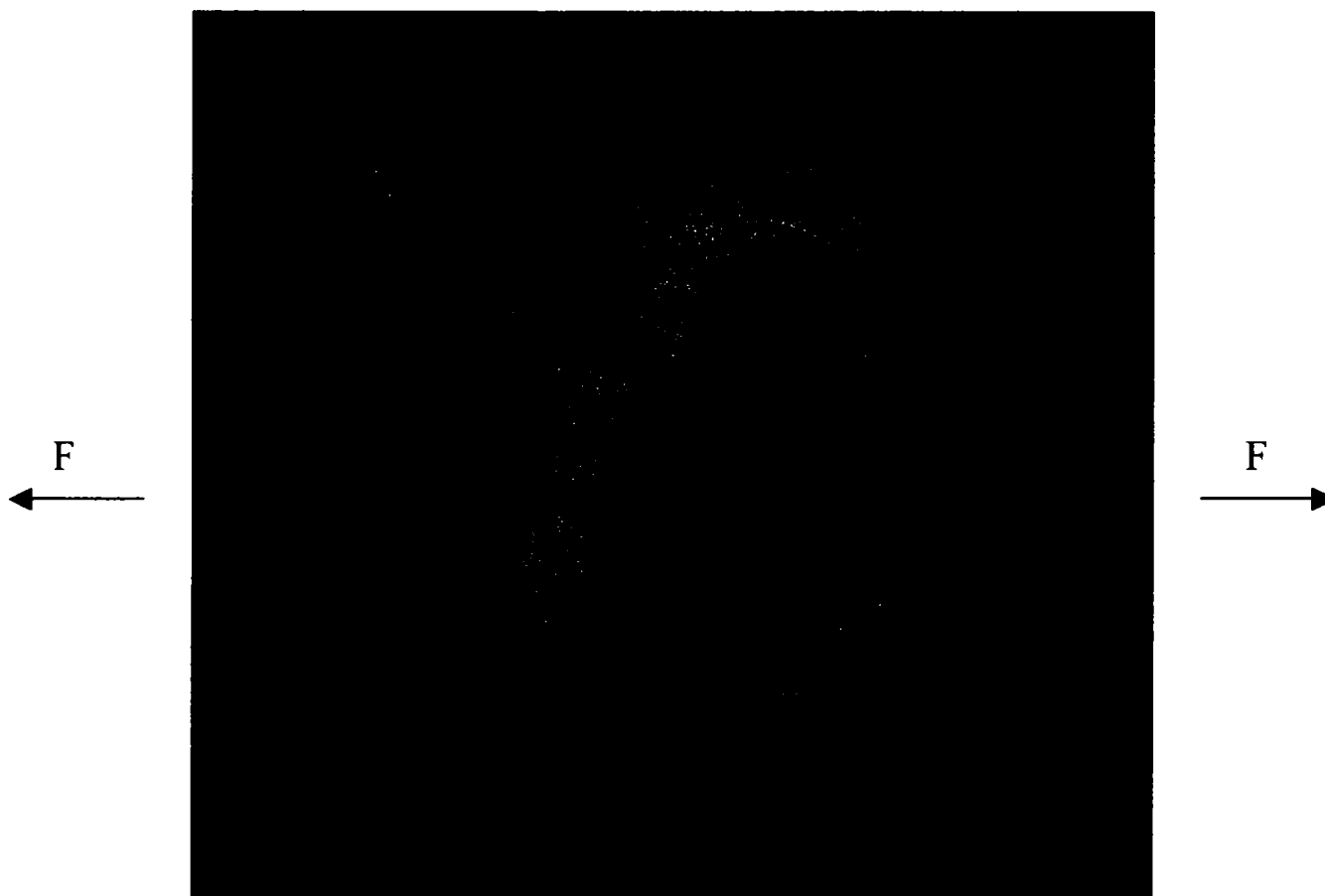
Fig. 5.6.48, Franja 1, la $F=27 \times 15.35 \text{ N} = 414.45 \text{ N}$



Fig. 5.6.49, Franja 2, la $F=46 \times 15.35\text{N}=706.1\text{N}$

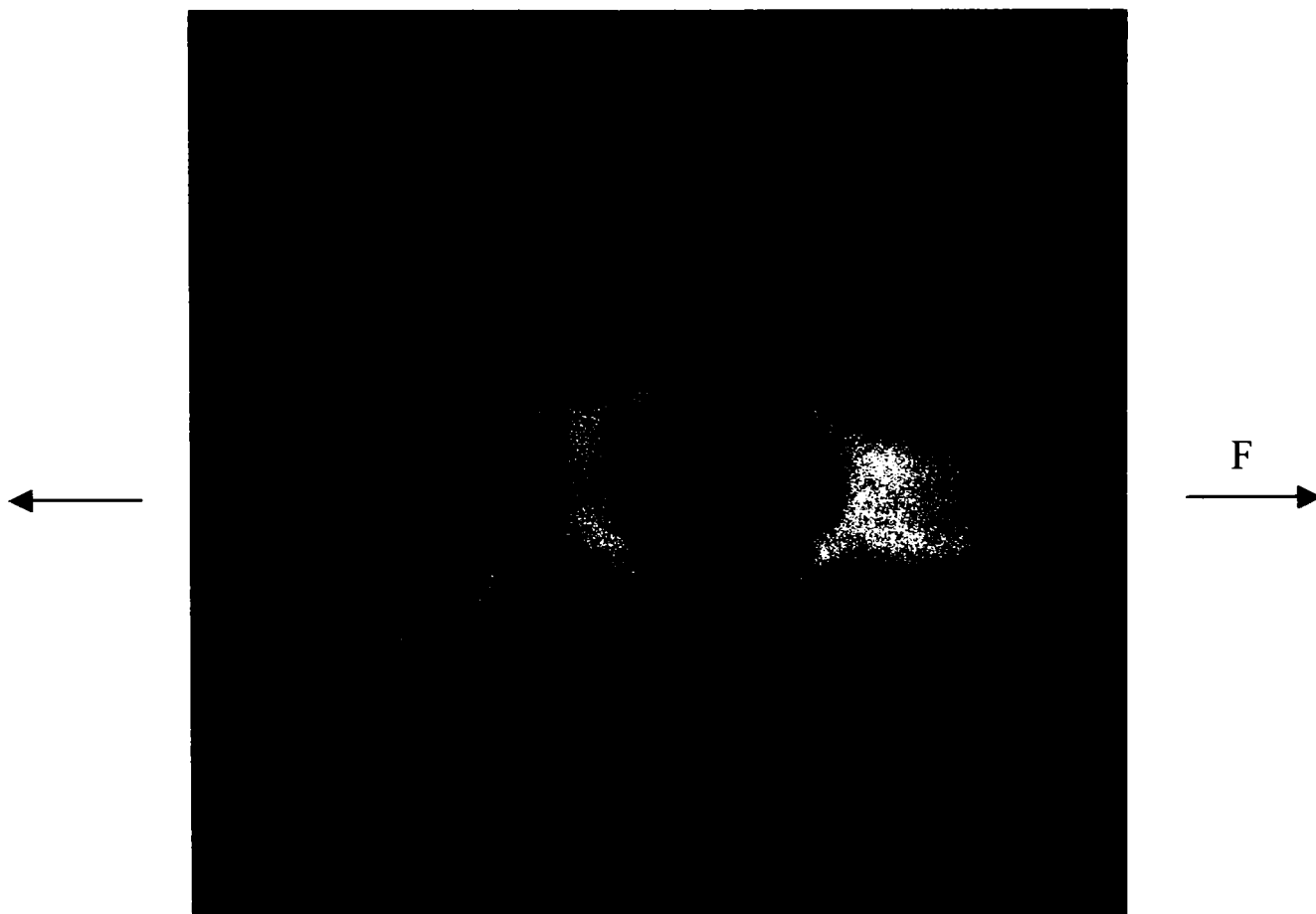


Fig. 5.6.50, Franja 2,5 la $F=57 \times 15.35\text{N}=874.95\text{N}$

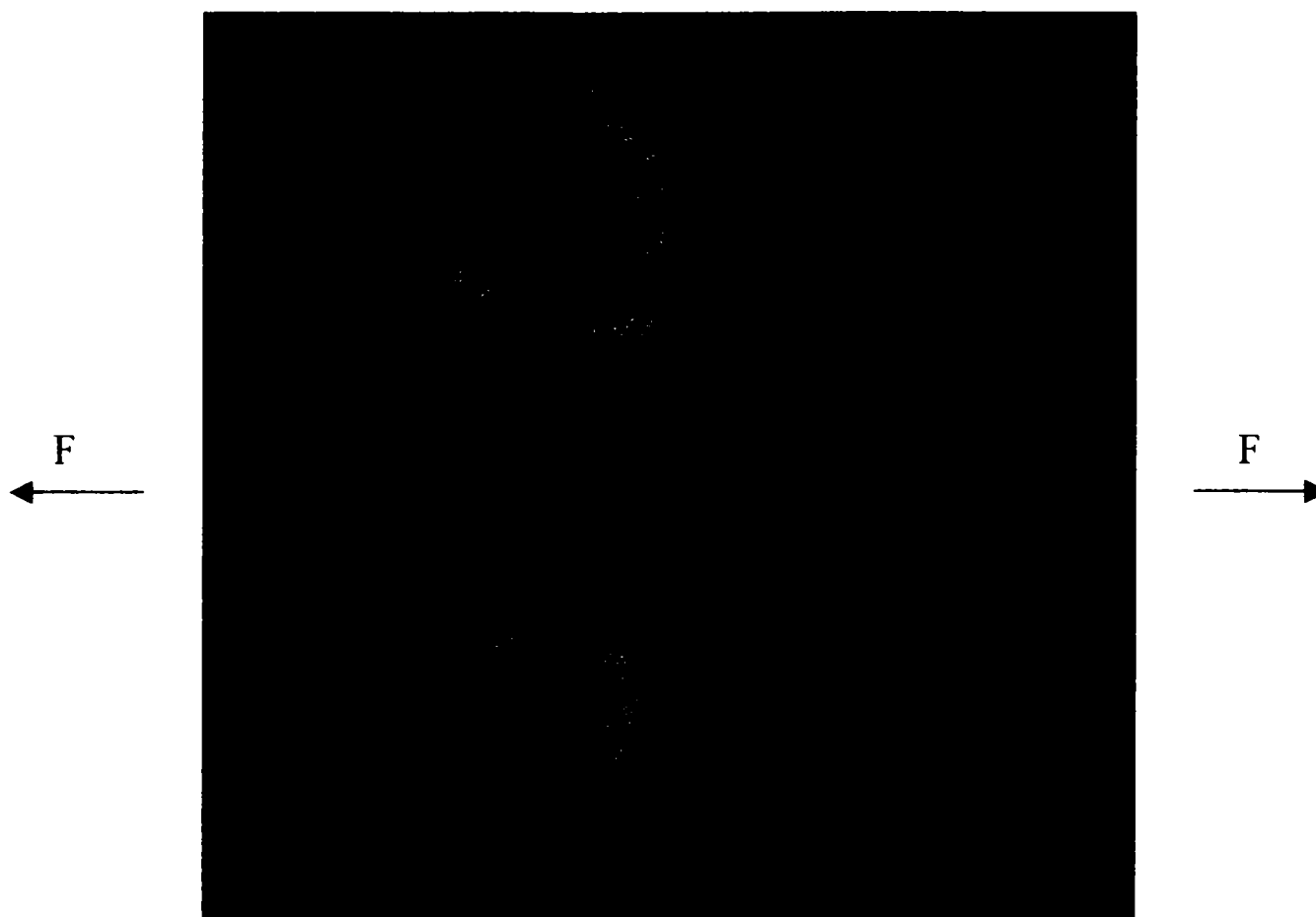


Fig. 5.6.51, Franja 3, la $F=72 \times 15.35\text{N}=1105.2\text{N}$

Cu programul COSMOS am obținut următoarele rezultate pentru variația tensiunii σ_{xx} în primele două cazuri de încărcare, adică pentru $F=414\text{N}$ (corespunzător apariției primei franje), respectiv pentru $F=706\text{N}$ (corespunzător apariției celei de-a doua franje):

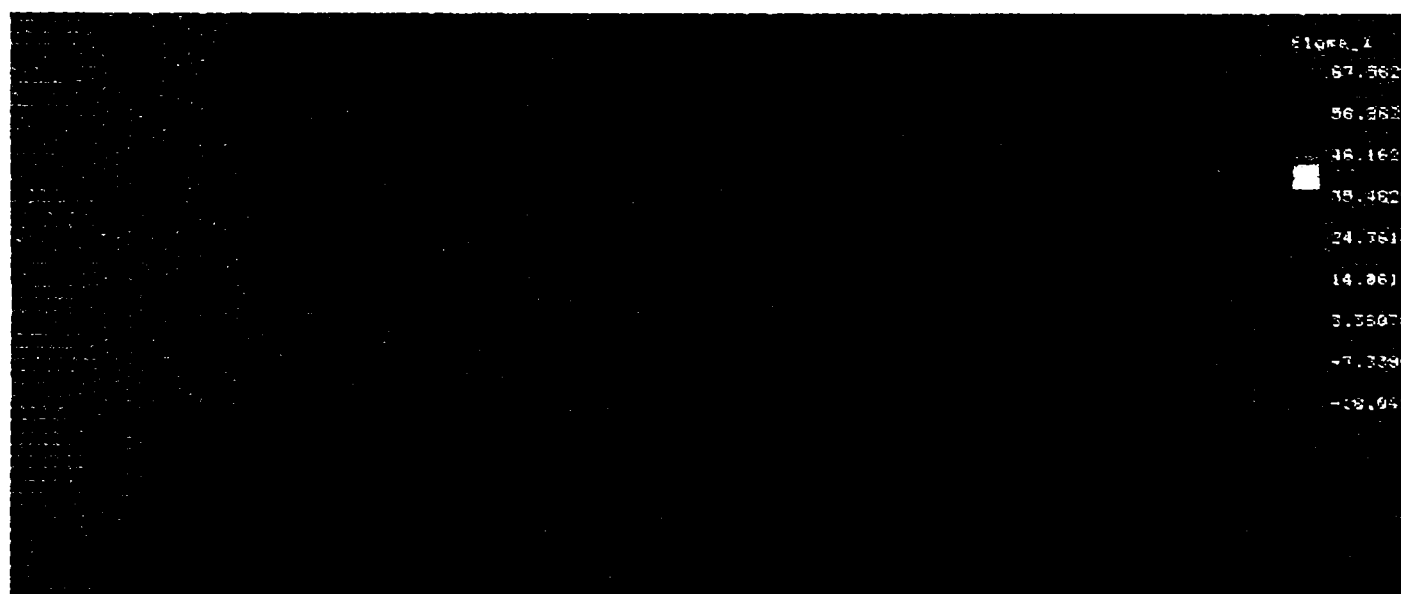


Fig. 5.6.52, tensiunea σ_{xx} pe probă în cazul încărcării cu $F=414\text{N}$
(datorită simetriei am reprezentat $\frac{1}{2}$ din probă)

Voi studia în continuare variația tensiunii σ_{xx} pe conturul tuturor celor trei orificii în cele două cazuri de încărcare enunțate mai sus.

Cazul de încărcare $F=414\text{N}$ (franja 1-a)

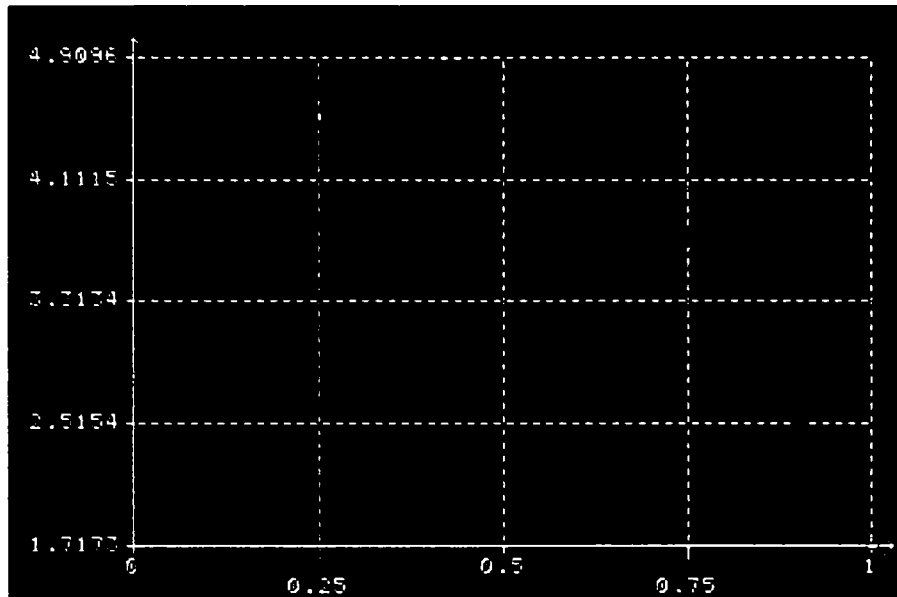


Fig. 5.6.53. σ_{xx} pe conturul orificiului mare

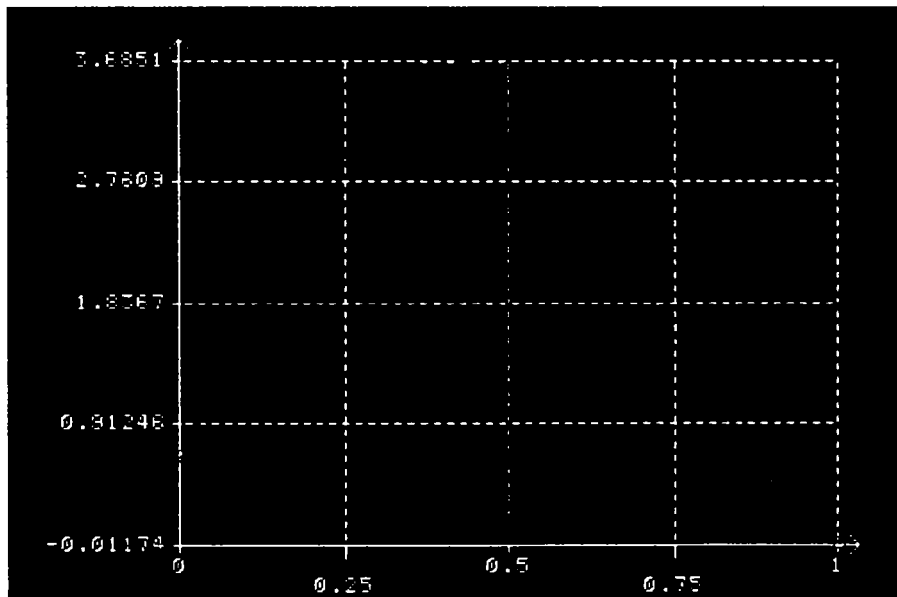


Fig. 5.6.54. σ_{xx} pe conturul orificiului mijlociu

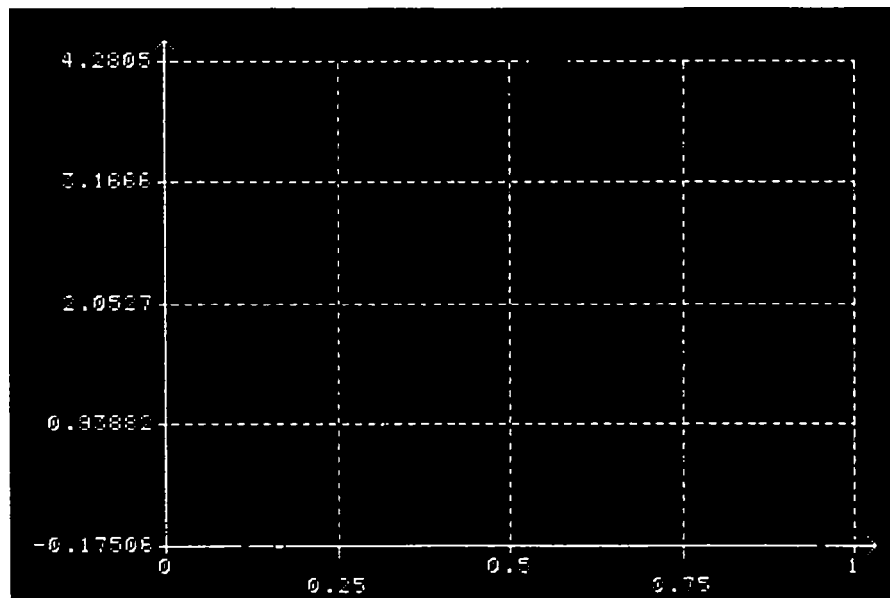


Fig. 5.6.55, σ_{xx} pe conturul orificiului mic

Cazul de încărcare $F=706\text{N}$ (franja a 2-a)

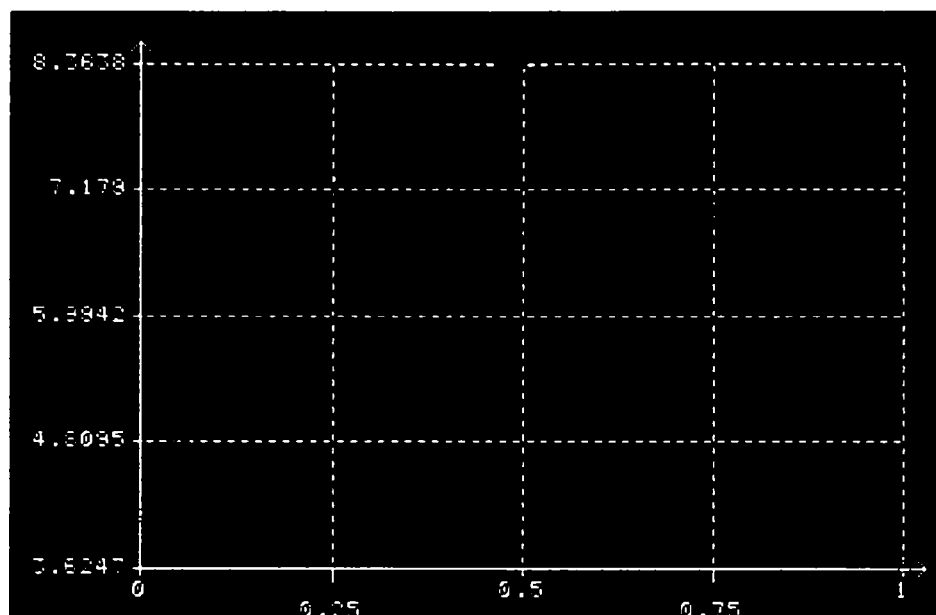


Fig. 5.6.56. σ_{xx} pe conturul orificiului mare

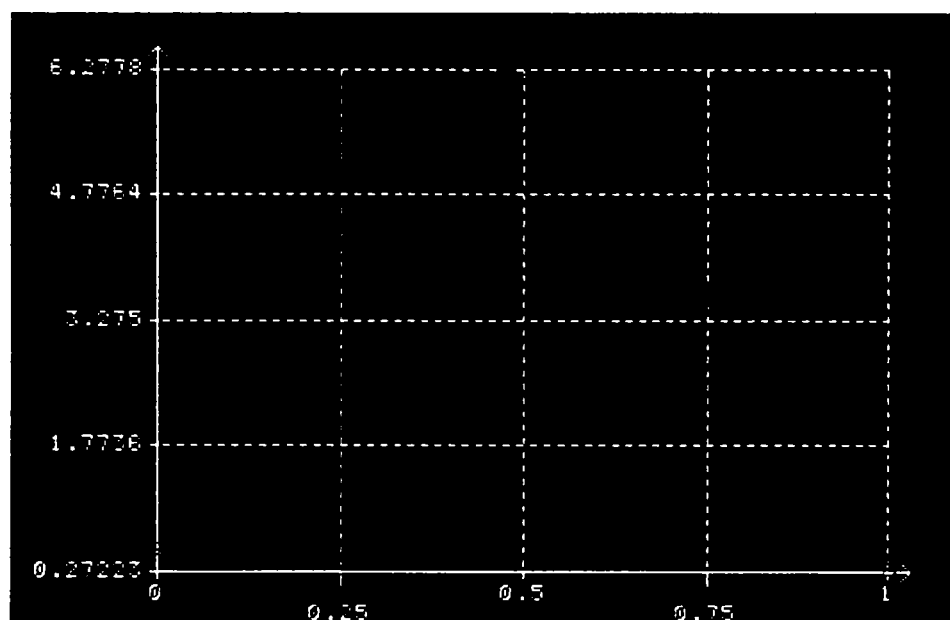


Fig. 5.6.57. σ_{xx} pe conturul orificiului mijlociu

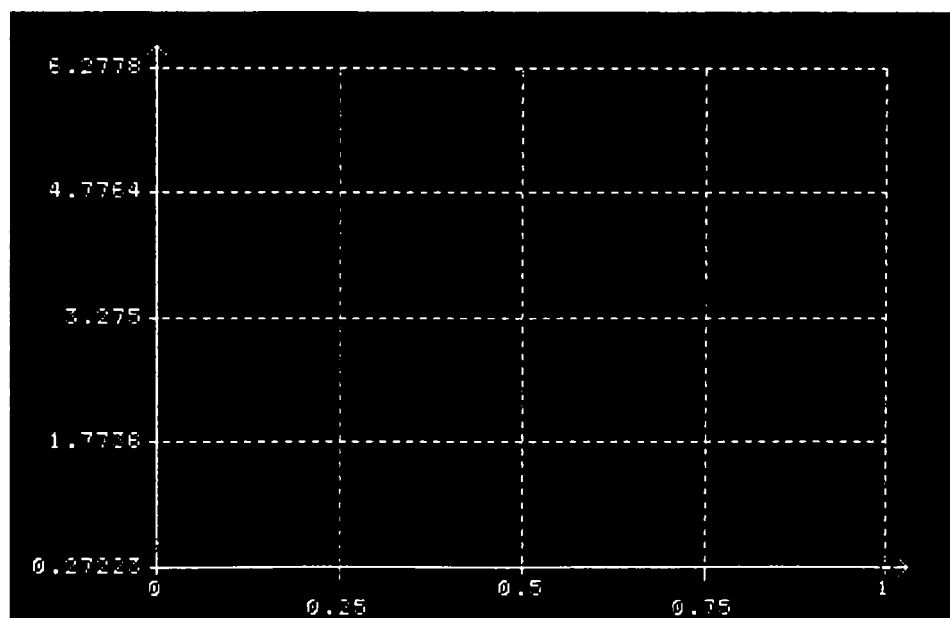


Fig. 5.6.58. σ_{xx} pe conturul orificiului mic

Cazul 2

Se consideră o plăcuță cu trei orificii circulare inegale, cu axa centrelor pe direcția de aplicare a forței (v. Fig. 5.6.59). Urmând aceeași metodologie ca și până acum se obțin rezultatele pentru coeficientul de concentrare al tensiunilor global K_{tg} dat în Tab. 5.6.11.

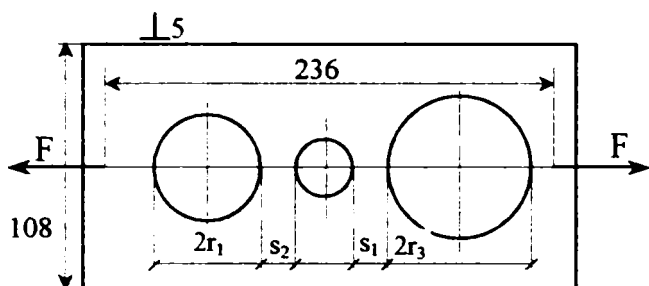


Fig. 5.6.59

mens un epruveta		
Latime (2b)	108	mm
Grosime (h)	5	mm
Diametru orificiu mare ($2r_3$)	50	mm
Diametru orificiu mijlociu ($2r_1$)	40	mm
Diametru orificiu mic ($2r_2$)	20	mm
Distanța între marginile găurii 3 și 2 (s_1)	10	mm
Distanța între marginile găurii 1 și 2 (s_2)	10	mm
s_1/r_1	0,5	
s_2/r_2	1	
Aria brută (A_b)	540	mm ²
Coef. etalonare dinamometru	15,35	N/div
Valoarea benzii ($\bar{\sigma}_0$)	1,65	MPa/franje

Tab. 5.6.10

[div]	F	k [franje]	σ_{max} [MPa]	$p=F/A_b$ [MPa]	$K_{tg} = \sigma_{max} / p$
	[N]				
35	537,250	1,5	2,475	0,99491	2,48767
52	798,200	2,5	4,125	1,47815	2,79065
62	951,700	3,5	5,775	1,76241	3,27677

Valori medii	Valori medii excluzând prima citire
K_{tg}	K_{tg}
2,85170	3,03371

Imaginile fotoelastice obținute sunt prezentate în continuare, în figurile Fig. 5.6.60 – 5.6.62. Ele au fost fotografiate pe bucăți deoarece nu a încăput întreaga zonă care m-a interesat în spațiul proiectat de către aparat pe ecran. De aceea am fost nevoită să asamblez pozele parțiale, ceea ce nu arată perfect, dar nu am avut altă soluție.

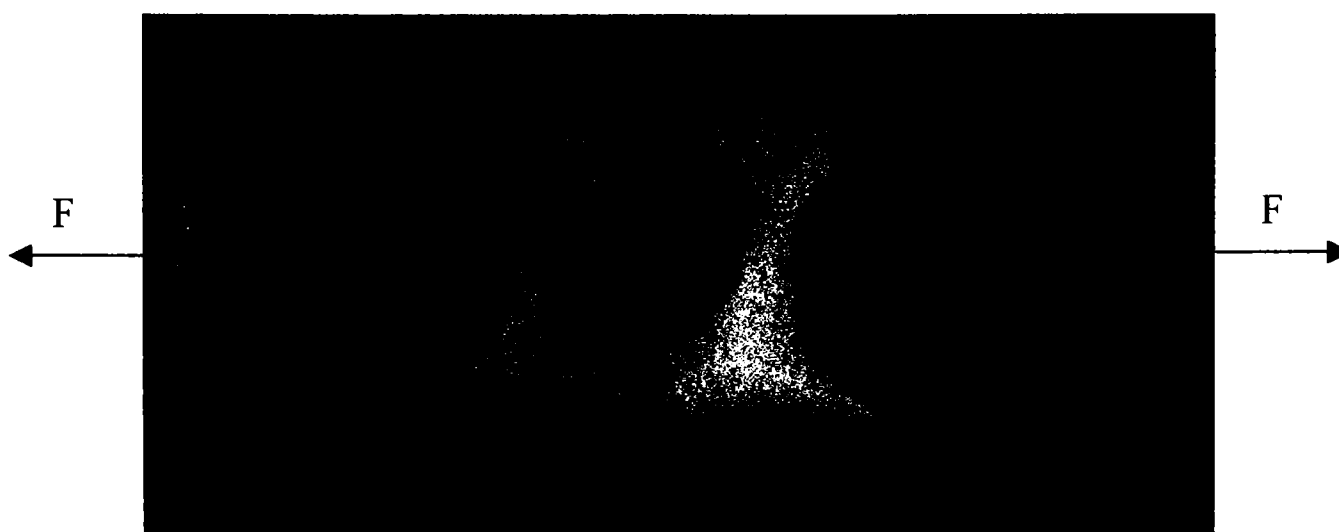


Fig. 5.6.60, Franja 1.5, la $F=35 \times 15.35N=537.25N$



Fig. 5.6.61, Franja 2.5, la $F=52 \times 15.35\text{N}=798.2\text{N}$

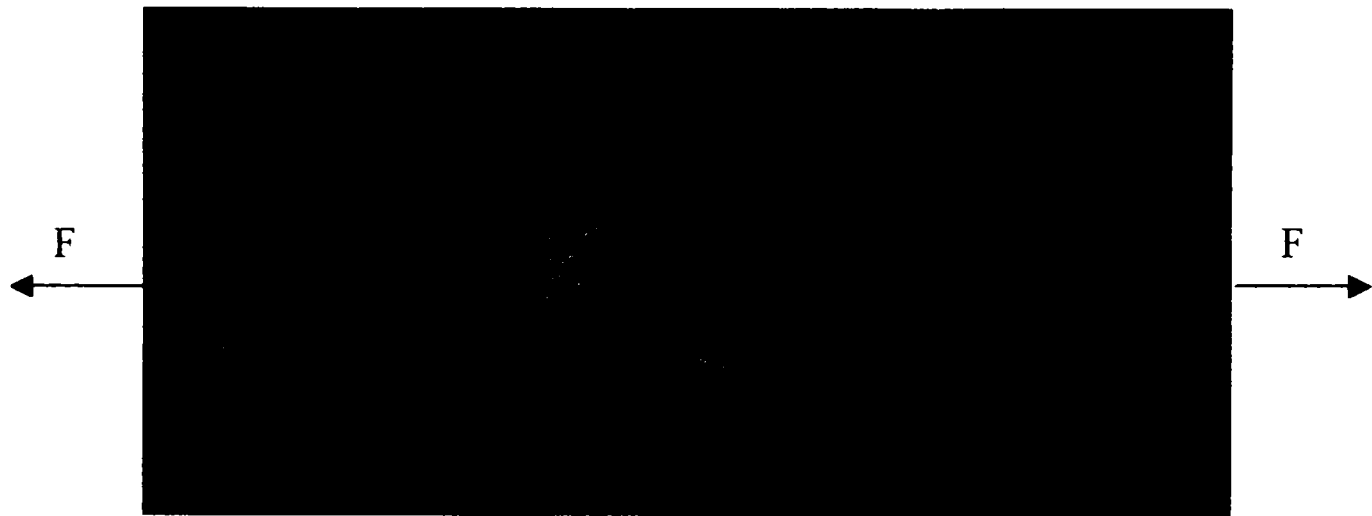


Fig. 5.6.62, Franja 3.5, la $F=62 \times 15.35\text{N}=951.7\text{N}$

5.6.6. Platbanda cu două fisuri coliniare egale

Problema platbenzii cu două fisuri coliniare egale a fost prezentată în detaliu în § 2.5.3.4., în care am dat o soluție nouă, obținută prin suprapunere de efecte și am reprezentat grafic, cu ajutorul programului „Mathematica”, variația tensiunilor pentru un caz concret. Reiau această problemă, pe care o voi cerceta în continuare fotoelastic.

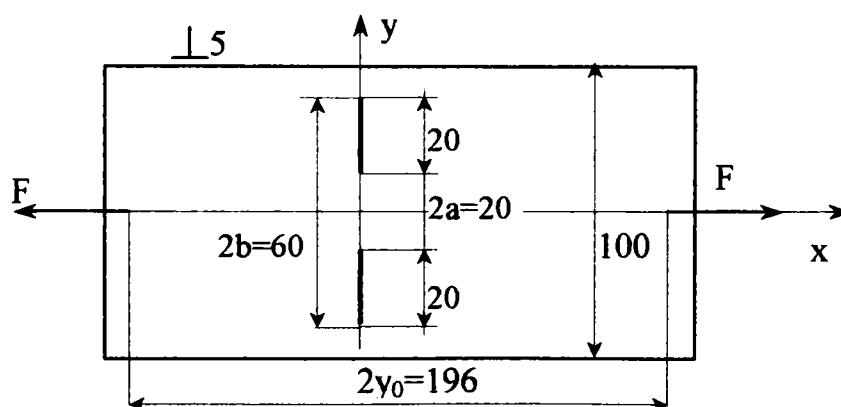


Fig. 5.6.63

Proba analizată fotoelastic a fost plăcuța cu cele două fisuri reprezentată schematic în Fig. 2.6.63.

Imaginile fotoelastice obținute sunt cele redate în Fig. 5.6.64, Fig. 5.6.65 și Fig. 5.6.66.

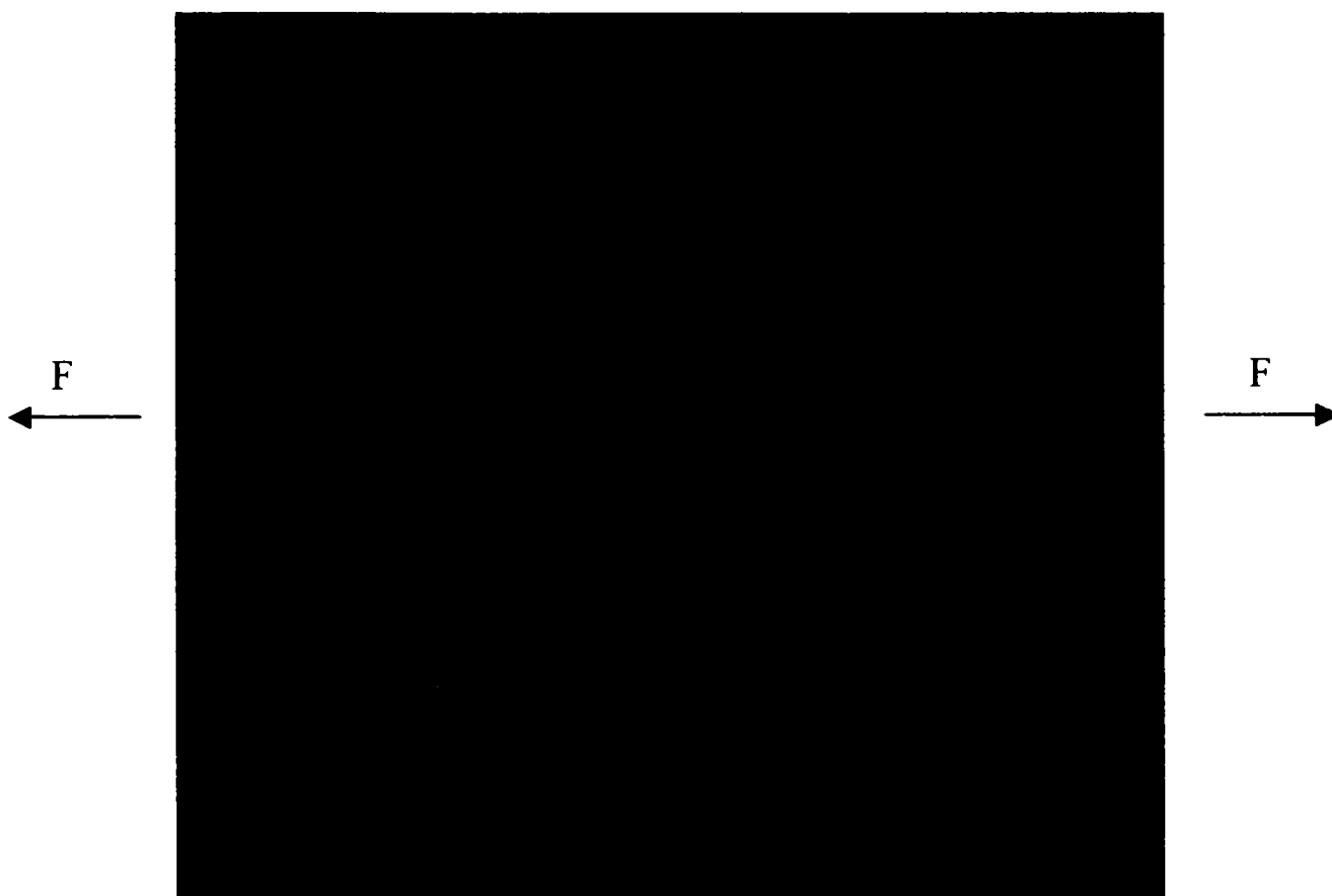


Fig. 5.6.64 Franja 1, la $F=30 \times 15.35\text{N}=460.5\text{N}$



Fig. 5.6.65 Franja 2, la $47 \times 15.35\text{N}=721.45\text{N}$

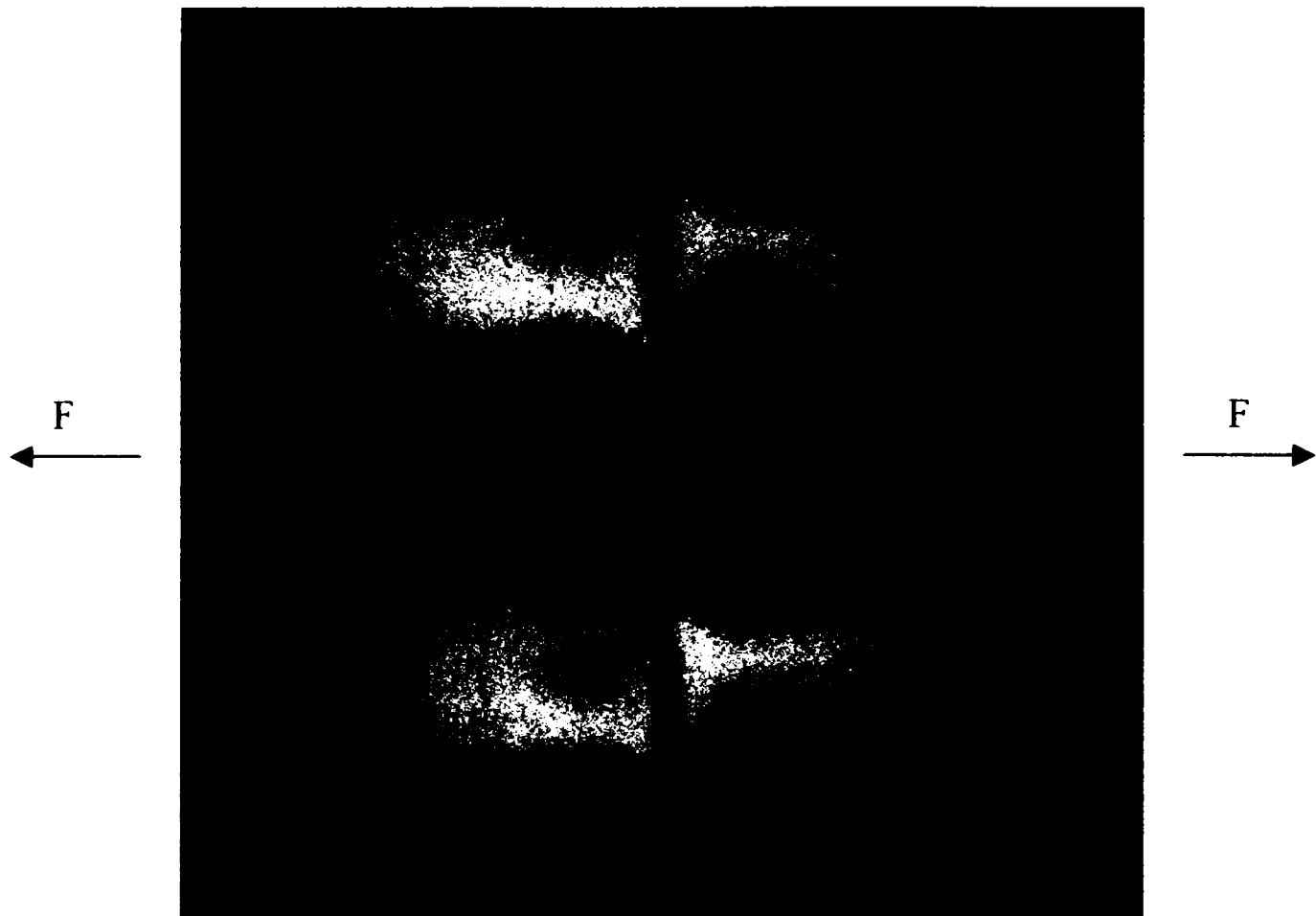


Fig. 5.6.66, Franja 3, la $F=65 \times 15.35 \text{N}=997.75 \text{N}$

Înainte de a interpreta imaginile fotoelastice, voi calcula factorul de intensitate a tensiunilor, care pe baza relațiilor din § 2.5.3.4 se reduce la relația:

$$K_I = p \sqrt{\frac{\pi}{a}} \cdot \frac{b^2 \mathbf{E}(k) - a^2 \mathbf{K}(k)}{\mathbf{K}(k) \sqrt{b^2 - a^2}} \quad (5.6.4)$$

în care $k^2 = 1 - \frac{a^2}{b^2} = 1 - \left(\frac{10}{30}\right)^2 = \frac{8}{9}$;

$$p = \frac{F}{A_b} = \frac{F}{100 \cdot 5} = \frac{997.75}{500} = 1.99 \text{ N/mm}^2; \quad (\text{s-a considerat forța corespunzătoare}$$

aparității celei de-a treia franje);

$$a=10 \text{mm}; b=30 \text{ mm}^2;$$

$$\mathbf{K}(k)=2,52863 \text{ (integrala eliptică de speța I-a);}$$

$$\mathbf{E}(k)=1.11374 \text{ (integrala eliptică de speța II-a);}$$

În urma calculelor rezultă: $K_I = 11.747$.

Pentru interpretarea imaginilor fotoelastice vom folosi a doua metodă a lui CHEN ZENGTAO [Z5], conform căreia :

$$K_I = k \bar{\sigma}_0 \sqrt{\pi D_m^\sigma} \quad (5.6.5)$$

(v. relația (5.3.6.21) și Fig. 5.3.6.2 a)) unde k este ordinul benzii, $\bar{\sigma}_0$ este valoarea benzii și D_m^σ este diametrul maxim al izocromatei de ordin k din jurul vârfului fisurii, conform schiței din Fig. 5.3.6.2. a).

Deoarece însă în acest caz imaginile fotoelastice ale franjelor arată o înclinare de 60° față de axa fisurilor, deci o situație analoagă cazului din **Fig. 5.3.6.2 b)**, am extras din lucrarea lui CHEN ZENGTAO [Z5] formula de calcul a factorului de intensitate a tensiunilor corespunzătoare acestui caz:

$$K_I = \left[\frac{C_p(N_p) \cdot D_m^p}{1.5\sqrt{3}} \right] \tag{5.6.6}$$

unde:

$$C_p(N_p) = \frac{\pi\bar{\sigma}_0^2}{h^2} k^2 \tag{5.6.7}$$

Aici h reprezintă grosimea probei și D_m^p diametrul maxim al izocromatei de ordin k din jurul vârfului fisurii, conform schiței din **Fig. 5.3.6.2. b)**. Efectuând măsurătoarea lui D_m^p pentru $k=3$ de pe **Fig. 5.6.66**, (rezultă $D_m^p=20\text{mm}$) și înlocuind toate datele cunoscute în relațiile (5.6.7) și (5.6.6) obținem: $K_I=10,5$, un rezultat apropiat de cel analitic dedus anterior.

Pentru cazul platbenzii cu două fisuri coliniare egale am efectuat și o modelare cu programul de element de frontieră BEASY, obținând repartiția tensiunilor σ_{yy} (v. **Fig. 6.6.69**) pe o succesiune de puncte interioare amplasate foarte aproape de linia fisurilor, și anume pe dreapta $x=0,1$ (v. **Fig. 6.6.68**).

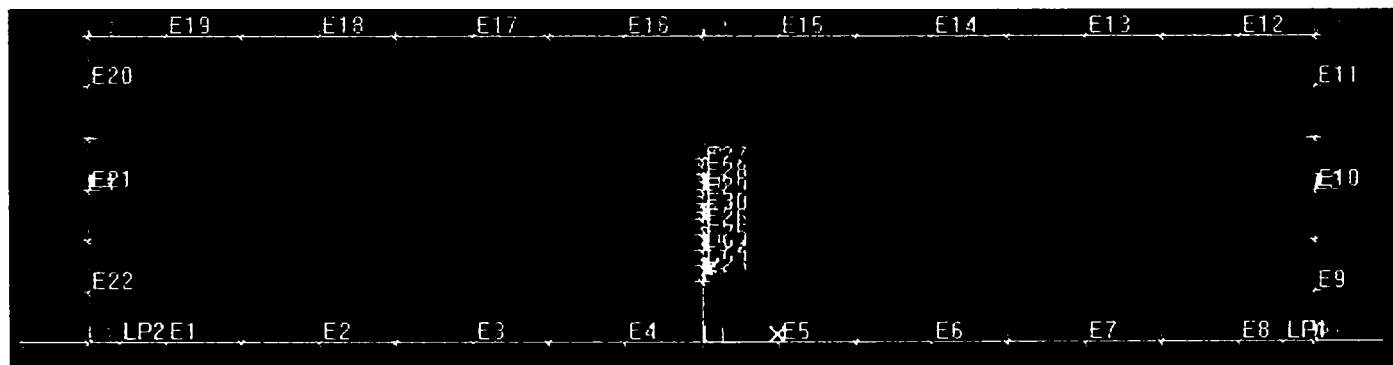


Fig. 5.6.67 Proiectarea modelului și amplasarea elementelor pe frontieră
(din motive de simetrie s-a reprezentat doar 1/2 din probă)

Se observă că pe graficul din **Fig. 5.6.69** fisura se află între punctele interne 5 și 15, iar variația lui σ_{yy} obținută este foarte asemănătoare cu cea obținută la § 2.5.3.4. cu programul Mathematica (v. **Fig. 2.5.3.16**)

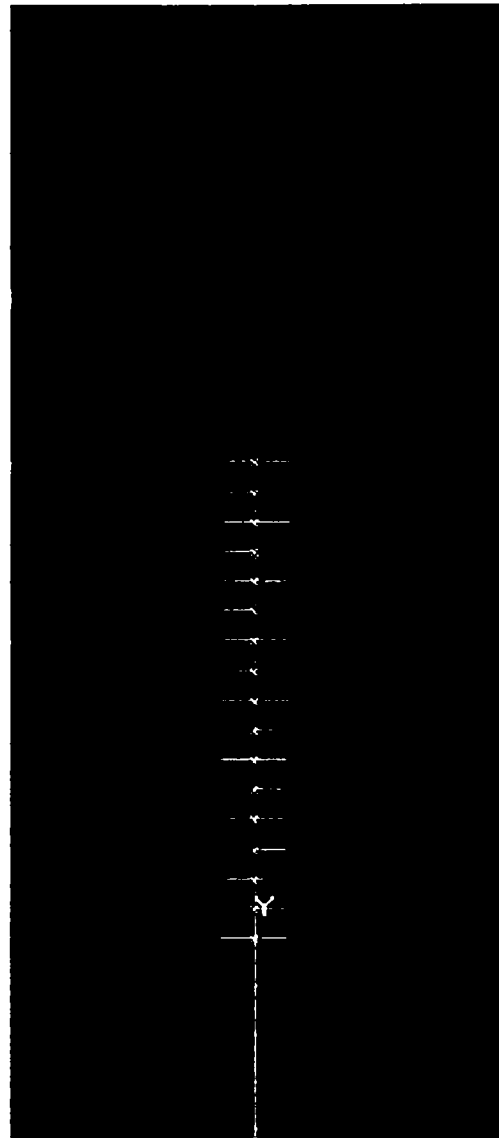


Fig. 5.6.68. Amplasarea punctelor interioare pe o linie foarte apropiată de axa Oy, și anume pe dreapta cu $x=0.1$, puncte în care am vizualizat apoi tensiunile σ_{yy} .

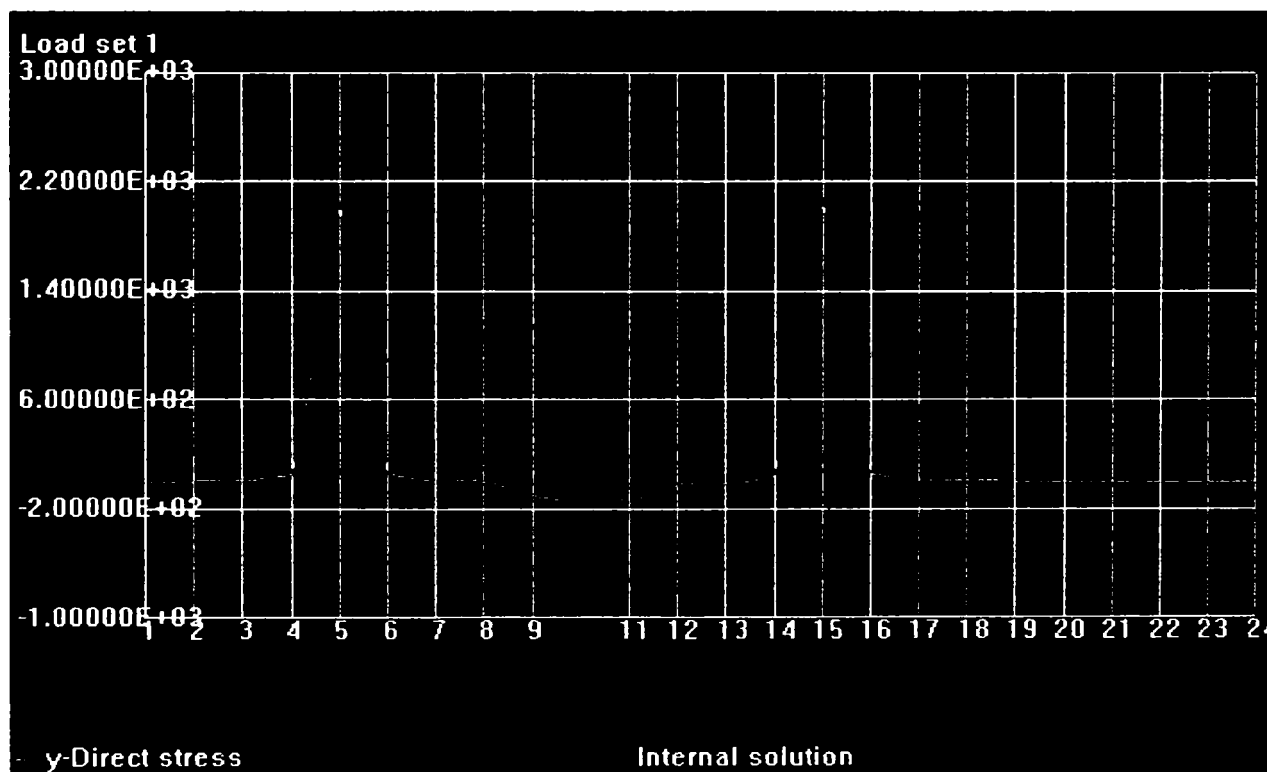


Fig. 5.6.69, Variația tensiunii σ_{yy} , pe dreapta $x=0.1$

5.6.7. Platbanda cu o creștătură laterală

S-a luat în studiu platbanda cu o creștătură laterală, care a constituit obiectul paragrafului 2.4.4, a semispațiului cu creștătură laterală – soluția WILLIAMS.

Cazul I.: Creștătura laterală în V, cu o deschizătură de 30°, reprezentată schematic în Fig. 5.6.70.

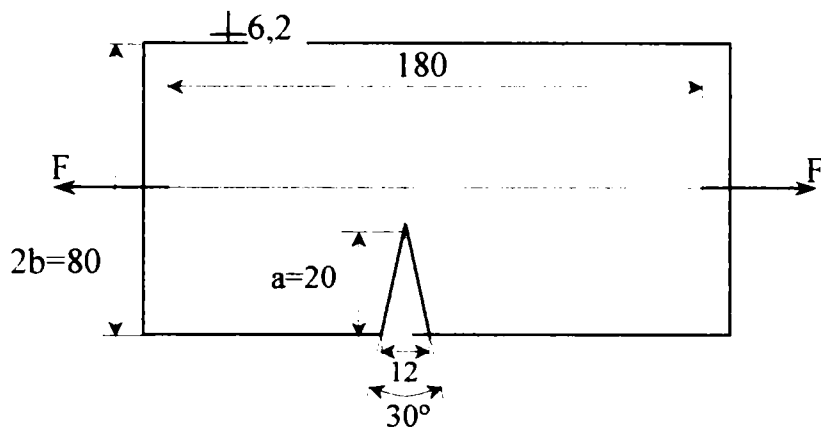


Fig. 5.6.70

Pentru acest caz, conform [C10], avem:

$$K_I = p\sqrt{\pi a} \xi\left(\frac{a}{b}\right) \tag{5.6.8}$$

unde $p = \frac{F}{A_b} = \frac{767.5}{80 \cdot 6.2} = 1.54 \frac{N}{mm^2}$ (considerându-se forța $F=50\text{div.} \times 15.35\text{N/div.}$, corespunzătoare apariției celei de-a patra franje – v. Fig.5.6.74), iar valorile funcției $\xi\left(\frac{a}{b}\right)$ sunt date în Tab.5.6.11 (preluat de asemenea din [C10]).

Tab. 5.6.11

a/b	0	0.1	0.2	0.3	0.4	0.5	0.6	0.7	0.8	0.9	1.0
$\xi(a,b)$	1.12	1.14	1.19	1.29	1.37	1.50	1.66	1.87	2.12	2.44	2.82

În acest caz $a/b=20/40=0.5$, deci $\xi(a,b)=1.5$. Rezultă $K_I=19.09$.

Imaginile fotoelastice obținute sunt redate în Fig. 5.6.71-Fig.5.6.74. Aplicând de asemenea cea de-a doua metodă a lui CHEN ZENGTAO (respectiv formulele (5.6.6) și (5.6.7), după ce am măsurat D_m^P corespunzător celei de a 4-a franje ca fiind 24mm) am obținut: $K_I=18.28$, rezultat destul de apropiat de cel calculat anterior.



Fig. 5.6.71 Franja 1, la $F=13 \times 15,35\text{N}=199,55\text{N}$

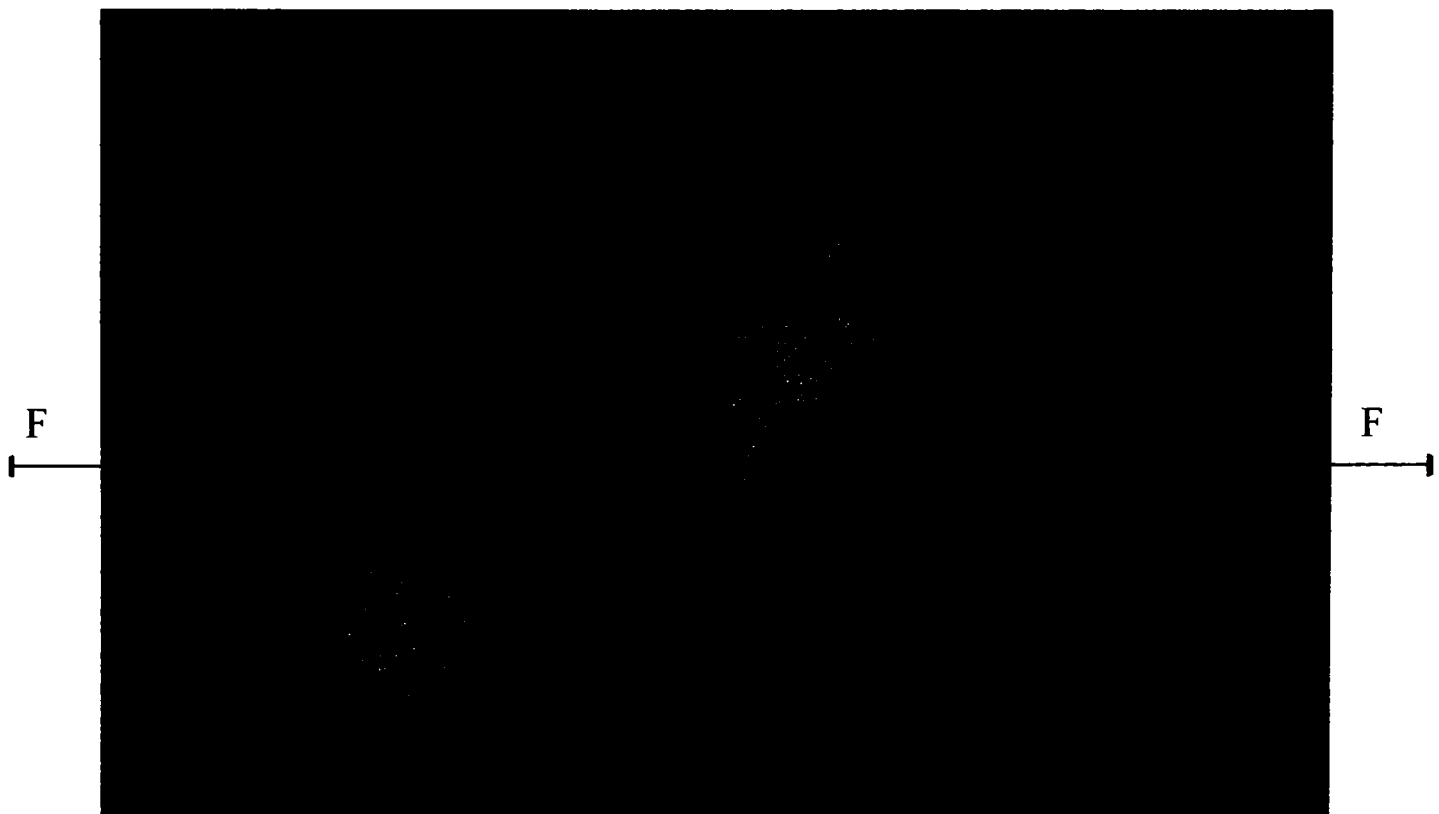


Fig. 5.6.72 Franja 2, la $F=22 \times 15,35\text{N}=337,7\text{N}$

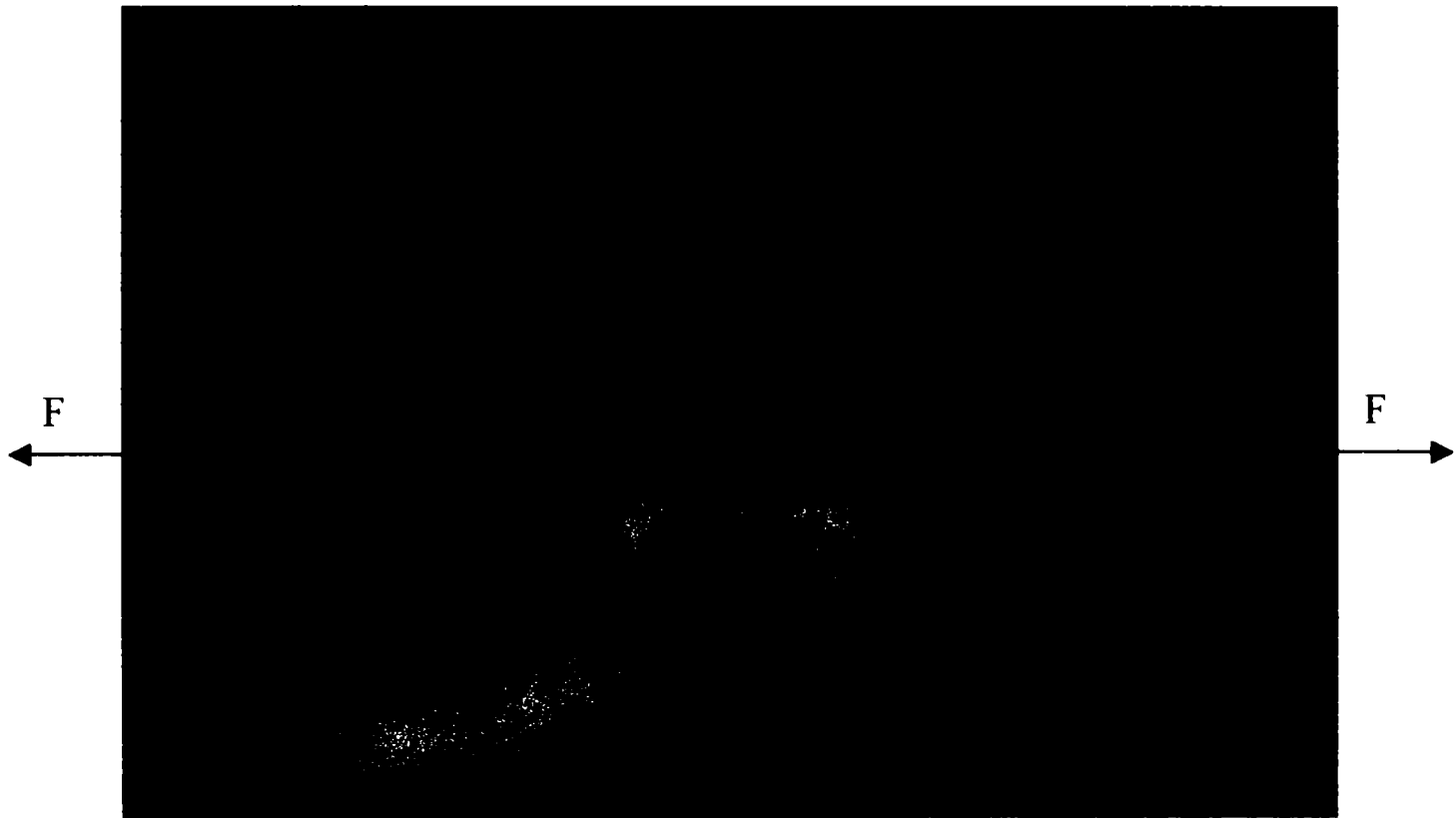


Fig. 5.6.73 Franja 3, la $F=33 \times 15,35\text{N}=506.55\text{N}$



Fig. 5.6.74 Franja 4, la $F=50 \times 15.35\text{N}=767.5\text{N}$

Cazul II.: O fisură laterală, conform schiței din Fig. 5.6.75.

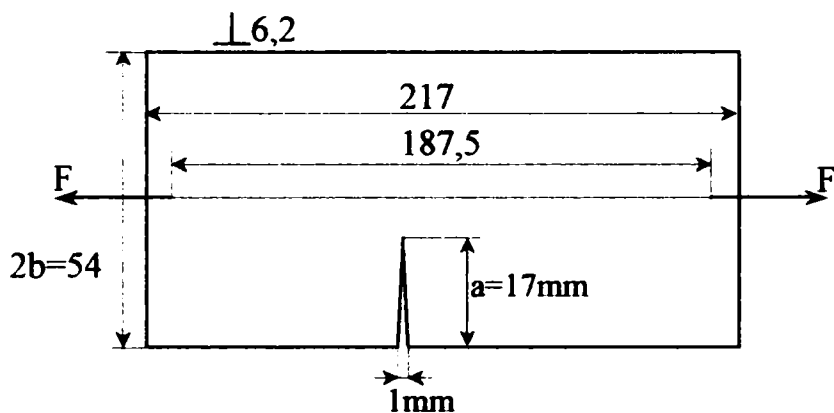


Fig. 5.6.75

Acest caz l-am calculat absolut analog cu cel anterior. Astfel $a/b=17/27=0,629$, de unde conform Tab.6.6.11 rezultă $\xi(a,b) \cong 1,7$ și $p = \frac{F}{A_b} = \frac{475.85}{54 \cdot 6.2} = 1.42 \frac{N}{mm^2}$ (considerându-se forța $F=31 \text{ div.} \times 15.35 \text{ N/div.} = 475.85 \text{ N}$, corespunzătoare apariției celei de-a patra franje – v. Fig.5.6.79). Astfel, înlocuind în formula (5.6.8) rezultă: $K_I=17,64$.

Imaginile fotoelastice obținute sunt cele reprezentate în Fig. 5.6.76 - Fig.5.6.80. Aplicând de asemenea cea de-a doua metodă a lui CHEN ZENGTAO (respectiv formulele (5.6.6) și (5.6.7), după ce am măsurat D_m^P corespunzător celei de a 4-a franje ca fiind 20 mm) am obținut: $K_I=16.19$, rezultat destul de apropiat de cel calculat anterior.

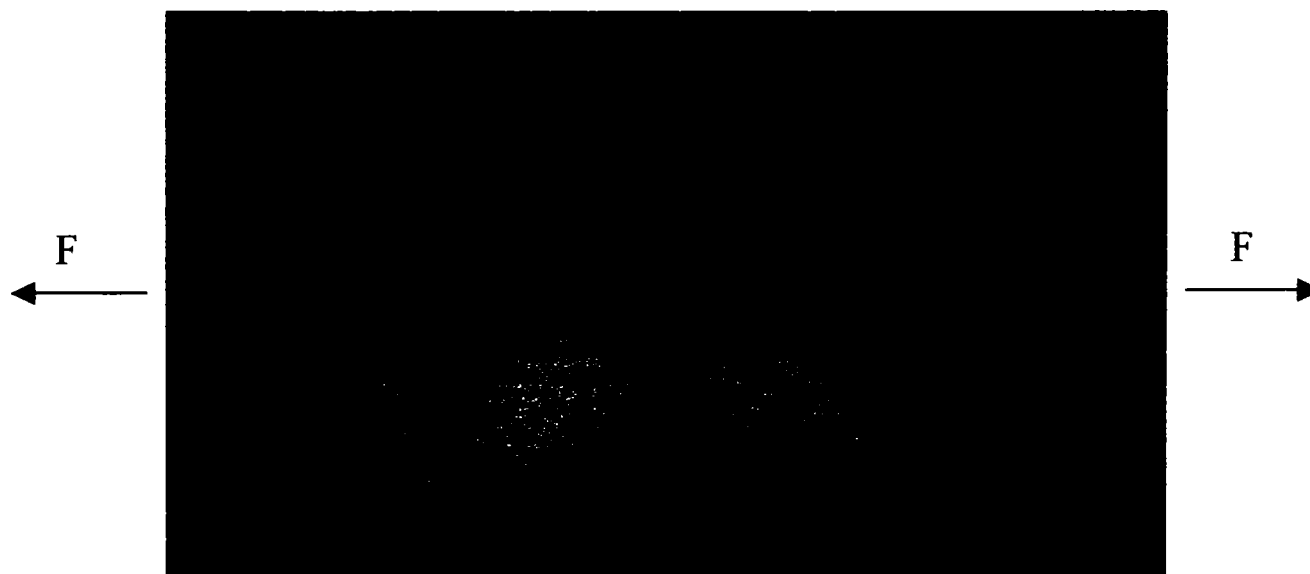


Fig. 5.6.76 Franja 1, la $F=5 \times 15.35 \text{ N} = 76.75 \text{ N}$

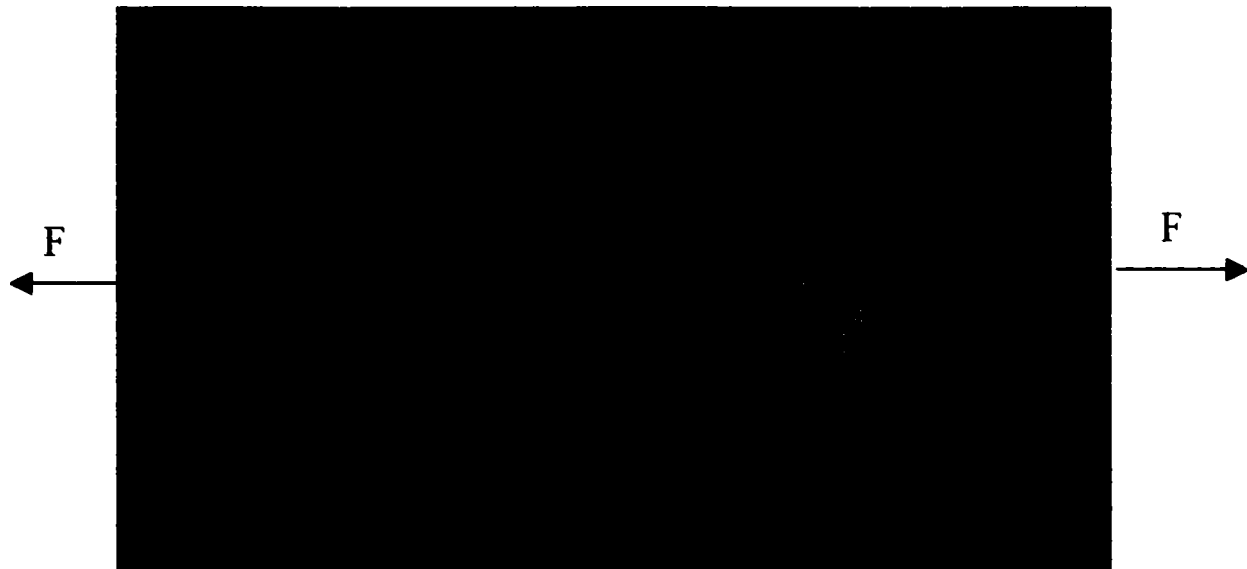


Fig. 5.6.77 Franja 2, la $F=10 \times 15.35\text{N}=153.5\text{N}$



Fig. 5.6.78 Franja 3, la $F=20 \times 15.35\text{N}=307\text{N}$

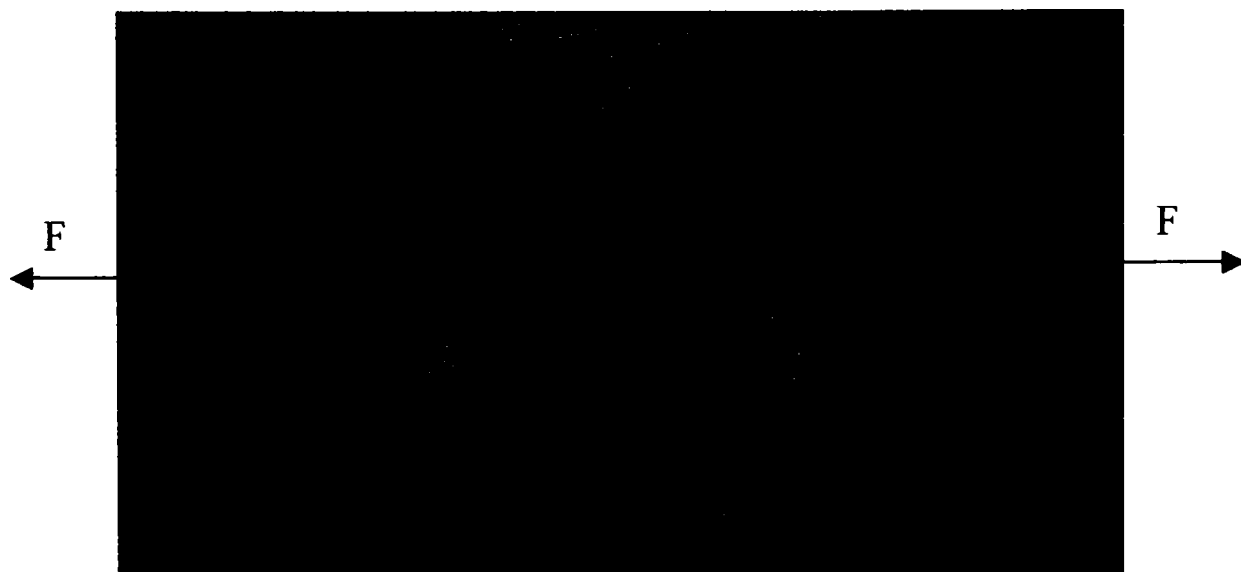


Fig. 5.6.79 Franja 4, la $F=31 \times 15.35\text{N}=475.85\text{N}$



Fig. 5.6.80 Franja 4,5 la $F=42 \times 15.35N=644.7N$

Cazul III.: Aceeași fisură laterală de la cazul II, dar mărită cu 10 mm, conform schiței din Fig. 5.6.81.

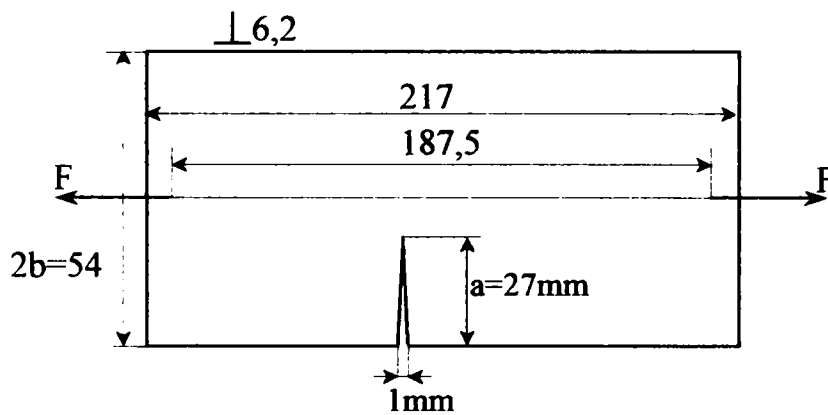


Fig. 5.6.81

De data aceasta $a/b=27/27=1$, de unde conform Tab.6.6.11 rezultă $\xi(a,b)=2,82$ și $p = \frac{F}{A_b} = \frac{337.7}{54 \cdot 6.2} = 1.008 \frac{N}{mm^2}$ (considerându-se forța $F=22 \text{ div.} \times 15.35N/\text{div.}=337.7N$, corespunzătoare apariției celei de-a patra franje – v. Fig.5.6.85). Astfel, înlocuind în formula (5.6.8) rezultă: $K_I=26.17$. (Se observă că factorul de concentrare a tensiunilor a crescut odată cu creșterea fisurii).

Imaginile fotoelastice obținute sunt cele reprezentate în Fig. 5.6.82 - Fig.5.6.86. Aplicând de asemenea cea de-a doua metodă a lui CHEN ZENGTAO (respectiv formulele (5.6.6) și (5.6.7), după ce am măsurat D_m^P corespunzător celei de a 4-a franje ca fiind 28 mm) am obținut: $K_I=25.08$, rezultat destul de apropiat de cel calculat anterior.

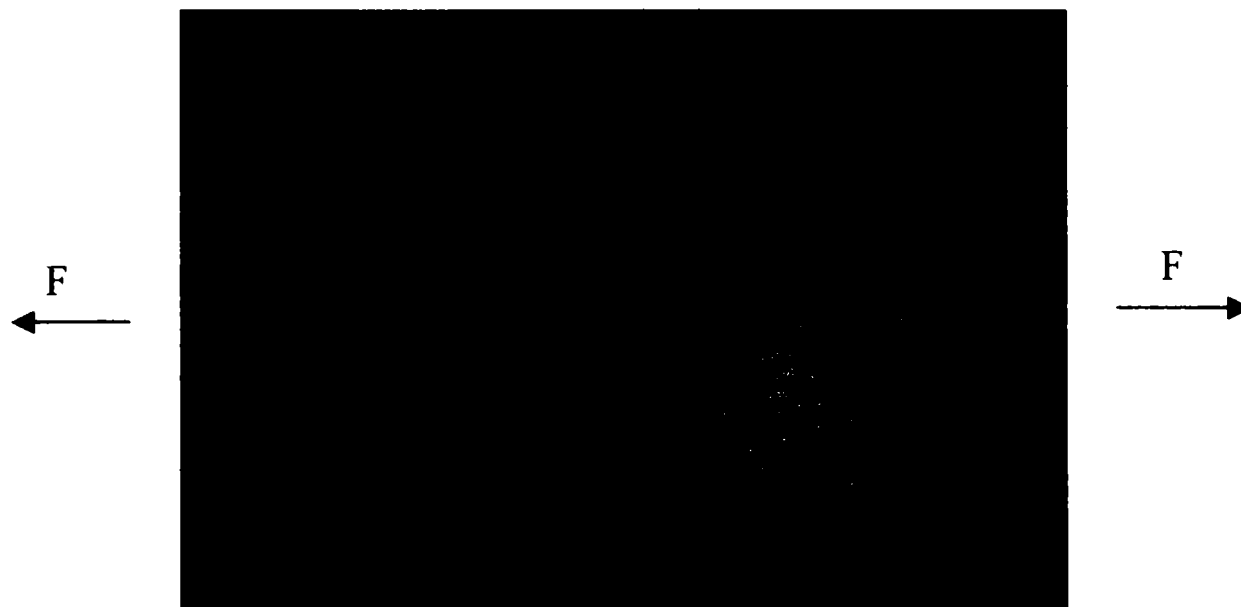


Fig. 5.6.82 Franja 1, la $F=7 \times 15.35\text{N}=107,45\text{N}$



Fig. 5.6.83 Franja 2, la $F=11 \times 15.35\text{N}=168,85\text{N}$

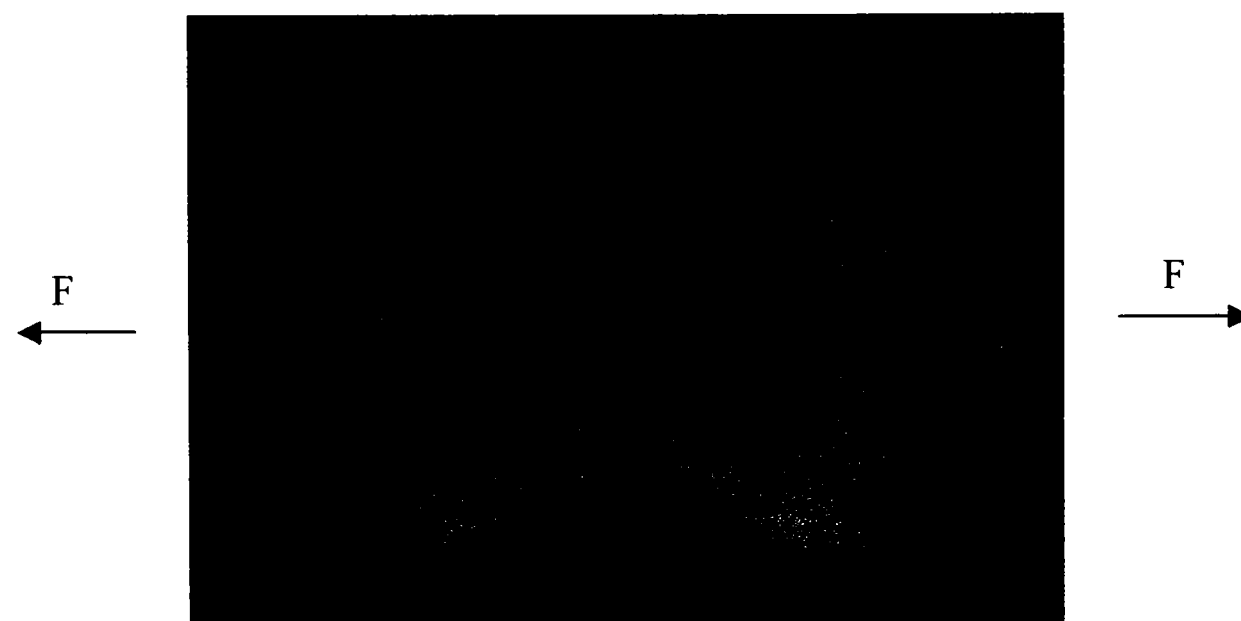


Fig. 5.6.84 Franja 3, la $F=18 \times 15.35\text{N}=276.3\text{N}$

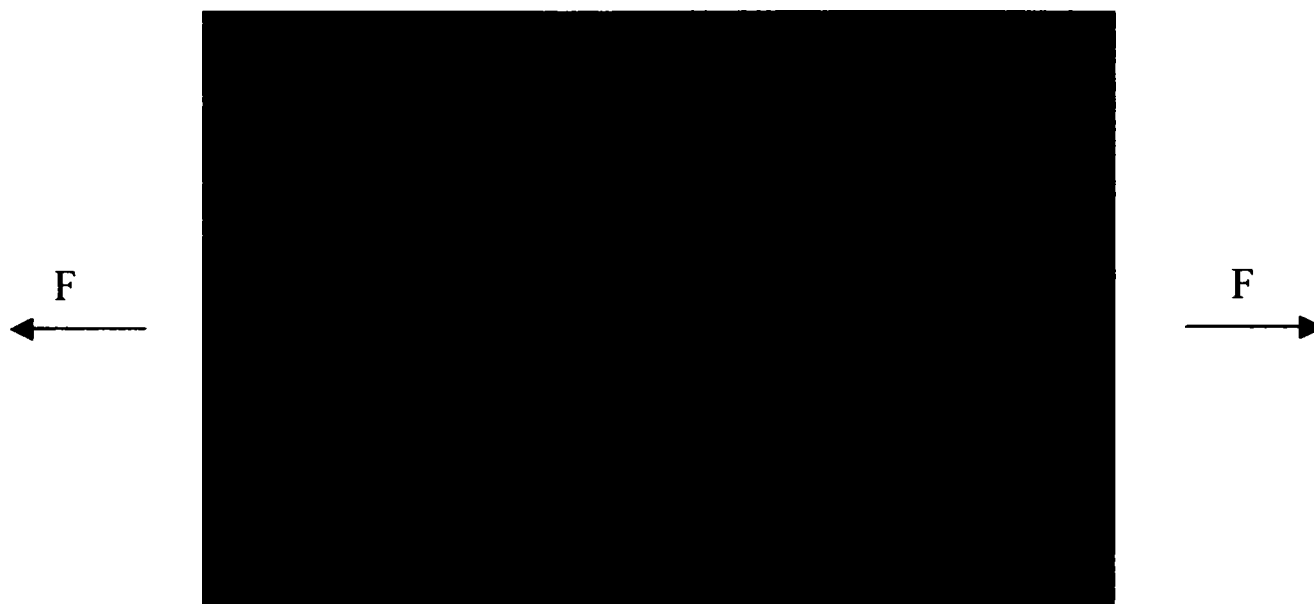


Fig. 5.6.85 Franja 4, la $F=22 \times 15.35\text{N}=337.7\text{N}$

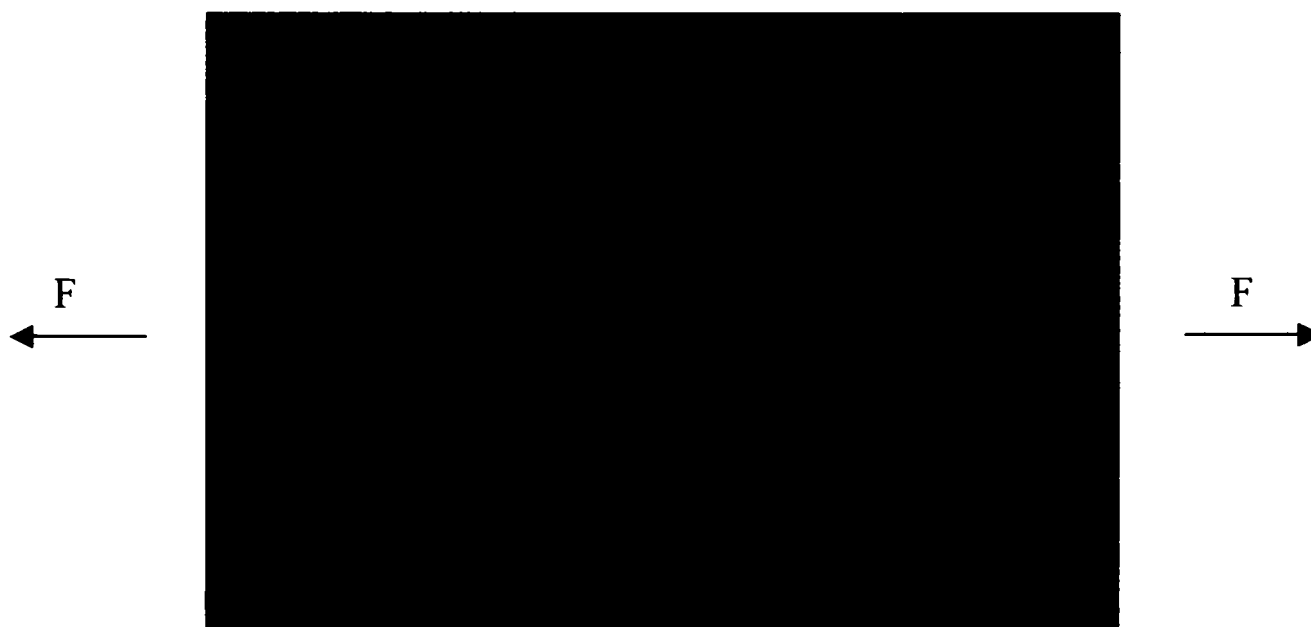


Fig. 5.6.86 Franja 5, la $F=31 \times 15.35\text{N}=475.85\text{N}$

CAPITOLUL 6

PRIVIRE DE SINTEZĂ. CONCLUZII. CONTRIBUȚII

Așa cum se vede din dezvoltarea tezei până la acest capitol, am urmărit, în esență, să rezolv unele probleme ale planului elastic omogen și izotrop, sollicitat la tracțiune mono- sau biaxială, prezentând numai anumite categorii de defecte: fie goluri circulare sau eliptice, fie fisuri drepte, fie creștături laterale în cazul semiplanului. După multe luni de zile de documentare, am ajuns la concluzia că nu există o temă majoră neabordată de care să te ocupi și s-o rezolvi de la început până la sfârșit sau, dacă există, este covârșitor de complicată. În general, aproape toate problemele care se pot pune în acest domeniu care face legătura între teoria aplicată a elasticității și mecanica ruperii, au fost abordate și rezolvate parțial sau total de către cercetători și profesori străluciți sau chiar de către institute de cercetare. Am constatat însă că există, în general vorbind, o ruptură informațională la trecerea de la concentratorii de tensiune de tipul găurilor, rezolvabili cu metodele matematice ale teoriei clasice a elasticității, la defectele de tipul fisurilor, crăpăturilor, tăieturilor, abordate în mod esențial de mecanica ruperii, caracterizate prin factorul de intensitate a tensiunilor și cărora li se aplică metode matematice mult mai pretențioase.

În aceste condiții informaționale și circumstanțe de lucru, am abordat diverse probleme, în care am considerat că se mai poate obține un rezultat nou, fie o soluție nouă, un comentariu pertinent pe soluțiile existente, sau un program de calcul adecvat problemei. Acesta a fost și motivul pentru care titlul tezei mele este: *„Studii și cercetări privind analiza câmpurilor de tensiuni și deplasări în solide elastice cu defecte”*.

Cred că în final am reușit să demonstrez că opțiunea mea este justificată: multe din problemele clasice considerate închise au totuși aspecte neelucidate, iar problemele moderne pe care eu le-am considerat că aparțin *„Mecanicii probabiliste a ruperii”* sunt relativ noi și au un grad ridicat de dificultate.

Teza este organizată conform unei metodologii firești: teorie → investigație și validare numerică → verificare experimentală.

În continuare voi expune pe scurt conținutul capitolelor și voi sublinia principalele rezultate obținute în cadrul tezei, care aduc elemente de noutate și se constituie drept contribuții originale.

CAPITOLUL 1:

STADIUL ACTUAL AL CERCETĂRILOR PRIVIND CALCULUL CÂMPURILOR DE TENSIUNI, DEFORMAȚII ȘI DEPLASĂRI ÎN SOLIDE ELASTICE CU DEFECTE

Se ocupă cu analiza bibliografică a problematicei abordate, respectiv cu încadrarea preocupărilor și rezultatelor obținute în vastitatea preocupărilor și rezultatelor similare ale cercetărilor din întreaga lume. Desigur că afirmația mea este pretențioasă fiindcă acest domeniu este deosebit de prolific, dar strădania mea a fost orientată în acest sens.

- De aceea îmi permit să consider ca o contribuție acest amplu studiu bibliografic bazat pe un număr de peste 1000 de titluri, conținând – în principal – lucrări apărute în ultimii zece ani, în marile reviste de specialitate și în lucrările unor congrese mondiale dedicate în exclusivitate problemelor de mecanica ruperii. Din prima parte a capitolului se vede că nu am făcut o simplă inventariere de titluri și de rezultate; am făcut o analiză comparativă și uneori critică, ceea ce mi-a permis să desprind principalele direcții de cercetare și problemele care necesită încă investigații teoretice și experimentale. Așa am sesizat marea actualitate a Mecanicii probabiliste a ruperii și am propus Asociației Române de Mecanica Ruperii (ARMR) înființarea unei comisii de specialitate care să monitorizeze acest domeniu. Am sesizat tendința mondială de implementare în rezolvarea problemelor de defecte multiple, a „*exoticei*” metode Monte Carlo, legată strâns de aplicațiile de mecanica ruperii materialelor compozite. Tot așa am constatat orientarea actuală în domeniul calculului numeric spre metoda elementului de frontieră. Am enunțat astfel două domenii relativ puțin investigate în cercetarea științifică românească, ceea ce confirmă eficiența cercetării bibliografice efectuate.

CAPITOLUL 2:

FORMULĂRI TEORETICE ȘI SOLUȚII ANALITICE. CONTRIBUȚII.

Acestui capitol i-am dedicat cel mai mult timp din cei șase ani cât a durat elaborarea acestei teze. A fost evident și o perioadă de inițiere și aprofundare prin examene și referate, dar și o lungă perioadă de investigații personale, multe dintre ele soldate cu insuccese, dar unele

încheiate cu rezultate care conțin acel mic „ ϵ ” de noutate și originalitate necesar în orice activitate științifică.

În primul paragraf am prezentat o sinteză a principalelor formule din teoria clasică a elasticității cu referire în special la problemele plane – absolut necesară pentru dezvoltarea în ansamblu a lucrării.

În paragraful următor am dat unele definiții din Analiza funcțională foarte utilizate în articolele de specialitate dar puțin folosite de ingineri (din lipsă de cunoaștere).

Paragraful 2.3. prezintă într-o manieră aparte elementele fundamentale ale mecanicii ruperii. Este pentru prima dată din literatura studiată de mine când se prezintă modul firesc de definire a stării de tensiune la vârful unei fisuri și factorul de intensitate a tensiunilor, deși evident că nu am avut lucrările fundamentale ale lui GRIFFITH, IRWIN și OROWAN. În felul acesta a apărut clar existența singularităților în tensiuni la vârful unei fisuri și rolul funcțiilor complexe în definirea câmpurilor de tensiuni în vecinătatea fisurii.

Începând cu § 2.4. apar și contribuțiile subsemnatei. Problemele test, care fac subiectul acestui paragraf, erau necesare pentru a putea valida anumite metodologii de calcul și pentru a putea compara unele rezultate noi. De aceea ele se vor regăsi pe tot parcursul tezei, și la partea numerică și la partea experimentală. Am făcut preluarea acestor probleme din literatură în mod critic nu ca o simplă copiere a unor soluții devenite clasice. Problemele analizate sunt:

- planul elastic cu gol circular și cu gol eliptic
- banda elastică cu fisură centrală
- semiplanul cu creștătură în V pe o muchie
- semiplanul alcătuit din două materiale diferite, cu fisură de interfață.

În rezolvarea acestor probleme consider că am următoarele contribuții:

- Chiar în cazul problemei golului circular, evidențierea faptului că prin trecerea de la planul infinit la placa finită coeficientul de concentrare a tensiunilor este mult diferit față de valoarea maximă $3p$ obținută de KIRSCH, fiind de exemplu pentru $\lambda = 0,5$ ($\lambda =$ diametrul orificiului/lățimea plăcii) egal cu $4,32p$. De altfel această valoare depinde și de modul de definire a coeficientului de concentrare a tensiunilor. Pentru a putea face comparația cu rezultatele teoretice obținute pe planul infinit, trebuie să raportăm vârful de tensiuni la mărimea p , reprezentând tensiunea uniformă de tracțiune de la infinit; transpus în cazul plăcii finite, această tensiune se obține împărțind forța de tracțiune la secțiunea transversală brută, ceea ce duce la definirea unui *coeficient de concentrare global* cert diferit de coeficientul teoretic obținut prin raportarea la aria netă din zona slăbită. Acest

rezultat nu este sesizat, demonstrat sau comentat în nici un manual de rezistența materialelor sau teoria elasticității din cele cercetate de subsemnata (v. Bibliografie).

- Verificarea și validarea acestor rezultate atât teoretic, printr-o descompunere în serie a funcției de tensiune a lui Airy, cât și numeric, prin metoda elementelor finite și metoda elementelor de frontieră, cât și experimental, prin fotoelasticimetrie.
- O prezentare nouă, amănunțită a ecuațiilor Kolosov-Mushelișvili (expusă însă în **Anexa 3**) aplicate la rezolvarea, prin transformare conformă, a spațiului cu gol eliptic, pentru care se dă soluția completă a primei probleme fundamentale. În legătură cu această problemă, sesizarea faptului că în literatura de specialitate circulă încă soluțiile lui KASSIR și SIH care sunt greșite; în locul lor trebuie introduse soluțiile lui FABRIKANT susținute și de MARK KACHANOV.
- Analiza amănunțită a semiplanului care prezintă o creștătură în V pe o muchie; creștătura are margini libere. În legătură cu soluția lui WILLIAMS (1957) preluată de PARTON, KALANDIYA și TIMOSHENKO, am atras atenția asupra ecuației valorilor proprii $\sin 2\lambda\alpha = \lambda \sin 2\alpha$, care, deși aparent simplă, nu a putut fi rezolvată de nici un program matematic: *Matlab* sau *Mathematica*. Am dat o soluție aproximativă (care se află la **Anexa 12**) prin dezvoltarea în serie a funcției $\sin 2\lambda\alpha$, soluție în care nu am prea mare încredere. Aceasta o consider, din punctul meu de vedere, încă o problemă deschisă.
- Am generalizat soluția dată de ZAK și WILLIAMS pentru cazul semiplanului alcătuit din două materiale diferite, care prezintă o fisură în lungul interfeței. Generalizarea pleacă de la ideea că cele două materiale au o comportare vâscoelastică; sub aspect matematic aceasta se traduce prin faptul că mărimile mecanice specifice: tensiuni, deformații, constante elastice, sunt funcții de timp. Am folosit o nouă formă de lege constitutivă, reprezentată cu ajutorul unei integrale Stieltjes, deoarece diferența dintre formulele fundamentale care descriu comportarea solidului elastic clasic și a solidului vâscoelastic este dată numai de legea constitutivă. Pentru a elimina factorul timp am utilizat transformata Laplace, și folosind principiul corespondenței sau principiul lui Volterra, am rezolvat problema în domeniul imaginii Laplace. Valorile proprii se găsesc ca soluții ale unei ecuații caracteristice de forma unui determinant de tip (8×8) care dezvoltat ne conduce la o imagine Laplace de forma unei funcții raționale dată de raportul a două polinoame de gradul patru. Am arătat astfel că în final calculul nu se poate realiza decât numeric (v. § 2.4.7.).

Ultimul paragraf al acestui capitol (§ 2.5.) se ocupă de utilizarea funcțiilor de variabilă complexă, în particular a ecuațiilor Kolosov-Mushelișvili, pentru calculul câmpului de tensiuni în cazul planului elastic omogen și izotrop, cu defecte multiple. Acesta ar fi cazul cel mai general posibil când planul are un număr arbitrar de goluri, fisuri, incluziuni, de diferite forme și dimensiuni. Evident că astfel formulată problema nu are încă o soluție închisă, dar prin suprapunere de efecte ea a fost în general rezolvată. Deoarece funcțiile potențial Kolosov-Mushelișvili de multe ori se exprimă cu ajutorul integralelor de tip Cauchy, iar soluțiile finale se dau sub forma unor ecuații integrale de obicei de tip Fredholm de speța a doua, am început acest paragraf cu niște „*pitule*” despre integralele de tip Cauchy și teoria ecuațiilor integrale.

În cadrul acestui paragraf consider că am avut contribuții privind o serie întreagă de aspecte legate de planul cu goluri și fisuri:

- Urmărind metodologia lui Mushelișvili, considerând că funcțiile de potențial sunt funcții liniare, am reușit să găsim aceste funcții pentru cazul planului cu două fisuri arbitrare, considerând că se cunosc salturile tensiunilor și deplasărilor la vârful fisurii în sistemul local de coordonate (§ 2.5.3.3).
- Am realizat studiul în detaliu a planului cu două fisuri rectilinii egale (§ 2.5.3.4), considerat ca un caz particular al soluțiilor obținute pentru fisuri arbitrare, prezentând din literatură și soluțiile finite date de SHIH (1914), ERDOGAN (1962), BARENBLATT (1962) (centralizate în TADA și PARIS). Din lucrările actuale am prezentat soluțiile date de Y.Z. CHEN [C35] – 1997 și de Y. KONISHI [K50] – 1972; după aceste metode am prezentat o soluție nouă bazată pe ideea suprapunerii efectelor, considerând planul solicitat și fără fisură suprapus cu planul nesolicitat, dar cu fisuri încărcate cu tensiunii pe margini (pag.169).
- Pentru metodologia propusă am întocmit un program de calcul și pentru cazul concret studiat numeric și experimental, prin care am obținut graficul variației tensiunilor $\sigma_y(x,0)$ în zona fisurilor.

CAPITOLUL 3:

CONTRIBUȚII PRIVIND FORMULAREA ȘI APLICAREA METODELOR NUMERICE

Capitolul începe cu o sumară prezentare – absolut necesară pentru elaborarea unor algoritmi adaptivi și înțelegerea proceselor de discretizare – a celor două metode numerice reprezentative: metoda elementelor finite (§ 3.2.) și metoda elementelor de frontieră (§ 3.3.). Ambele metode au fost folosite pe larg în cuprinsul tezei cu observația că pentru metoda

elementelor finite s-a folosit programul COSMOS/M 2.5, program intrat de mulți ani în practica curentă a inginerilor utilizatori și asupra căreia nu m-am oprit în mod special. Am demonstrat însă documentat că, la ora actuală se afirmă puternic, în special în problemele de mecanica ruperii, metoda elementului de frontieră. De aceea întregul capitol este axat în special pe fundamentarea acestei metode care transformă problemele de domeniu în probleme de contur guvernate de ecuații integrale singulare, a căror rezolvare am făcut-o în capitolul următor cu metoda Monte Carlo. Tot în legătură cu această metodă, am făcut o prezentare a programului de element de frontieră BEASY 8.0, după cunoștința mea utilizat pentru prima dată la noi în țară. Deoarece (M.E.Fr.) necesită o descriere de mare acuratețe a frontierei domeniului am utilizat pentru aceasta funcțiile spline cubice, elaborând și un program pentru interpolarea cu aceste funcții. M-am ocupat după aceea și cu implementarea acestor funcții în (M.E.Fr) utilizând un algoritm adaptiv și am studiat erorile care apar în acest caz, și în final am întocmit un program de element de frontieră pentru probleme bidimensionale de potențial.

Din cuprinsul acestui capitol se desprind următoarele elemente de noutate, care reprezintă contribuții ale autoarei:

- Calculul funcțiilor de formă, în coordonate adimensionale, pentru un element de frontieră cu 5 noduri, descris prin polinoame de gradul patru, descompuse în funcții de gradul întâi. Este polinomul de gradul cel mai mare în care funcția de modelare este dată de produsul unor funcții liniare, cu o formă simplă, elegantă.
- O prezentare documentată a exploziei metodelor de element de frontieră și aplicarea programului de element de frontieră BEASY 8.0 pentru probleme de mecanica ruperii – după cunoștința mea pentru prima oară în literatura științifică din țara noastră.
- Introducerea funcțiilor spline cubice – în trei variante analitice – în aproximarea frontierelor domeniilor bidimensionale – și elaborarea unor programe de interpolare cu astfel de funcții, în limbajul Visual Basic.
- Prezentarea algoritmilor adaptivi și elaborarea unui program pentru interpolarea cu funcții spline cubice.
- O nouă metodă de definire și analiză a erorilor în rezolvarea cu M.E.Fr. a problemelor de câmp.
- Prezentarea în detaliu a modului de implementare a funcțiilor spline în M.E.Fr.
- Elaborarea pe baza rezultatelor amintite, a unui program de element de frontieră pentru rezolvarea problemelor de câmp bidimensionale, în limbajul Visual Basic.

- Analiza teoretică, numerică și experimentală (fotoelastică) a plăcii plane de dimensiuni finite cu două sau trei goluri circulare, ocazie cu care s-a evidențiat variația poziției punctului de pe contur în care apare tensiunea maximă.

Notă: Volumul mare de pagini al capitolului 3 se datorează în special programelor pe care le-am întocmit și pentru care am dat și explicații complete! Ele se întind pe 130 de pagini.

CAPITOLUL 4:

MECANICA PROBABILISTĂ A RUPERII.

PROBLEME. PRINCIPII. MODELE. METODE. CONTRIBUȚII

Este un capitol cu totul nou în literatura științifică românească, încercând să implementeze metodele de calcul și interpretare probabilistică în problemele de mecanica ruperii, constituindu-se ca o pledoarie pentru un nou segment de cercetare numit Mecanica Probabilistă a Ruperii (M.P.R.). Capitolul este strâns legat de celelalte două anterioare, și cuprinde atât elemente de calcul teoretic, cât și aspecte de analiză numerică.

El începe cu un paragraf intitulat: „Pledoarie pentru Mecanica probabilistă a ruperii” (Probabilistic Fracture Mechanics) care s-a constituit ca un articol aflat în curs de publicare în Buletinul ARMUR (autori: I. DOBRE, C.MUNTEAN). De altfel lucrările analizate în acest paragraf arată importanța pe care comunitatea științifică internațională o acordă conceptelor probabilistice și descrierilor statistice a majorității parametrilor care intervin într-o problemă de M.R. Astfel se pleacă de la caracterizarea statistică a proprietăților mecanice și a geometriei și distribuției defectelor și se ajunge la descrierea probabilistă a câmpului de tensiuni și deplasări și la calculul probabilist al elementelor specifice de mecanica ruperii (K_{ij}, J). În multe țări avansate d.p.d.v. tehnologic, ca de exemplu SUA, s-a ajuns în faza de standardizare, există coduri ASME și programe de calculator bazate pe tehnicile și metodele de simulare Monte Carlo, utilizând în general distribuțiile gamma și Weibull. Aceasta înseamnă ajungerea la maturitate a domeniului.

În paragraful 4.2. se prezintă câteva elemente de sinteză din teoria probabilităților și statistica matematică. Extragerea elementelor reprezentative și a noțiunilor necesare calculelor ulterioare, a reprezentat un efort deosebit, deoarece în acest domeniu s-au scris zeci de volume remarcabile în cadrul școlii românești de „Statistică și probabilitate” – creată și condusă de academicienii Octav ONICESCU și Gh. MIHOC. A trebuit să scot în evidență legătura dintre probabilitate (ca mărime a priori) și cea de frecvență relativă (ca mărime a posteriori) stabilită de convergența în probabilitate. A trebuit să dau câteva noțiuni din teoria selecției și estimației

arătând că media de selecție estimează absolut corect media teoretică, deoarece aceste rezultate stau la baza formulării metodei Monte Carlo.

În condițiile unei totale lipse de documentație, cred că am reușit să dau în cadrul § 4.3. o prezentare a metodei Monte Carlo care să explice utilizarea experiențelor aleatoare în calcularea unor mărimi deterministe, cum sunt de exemplu integralele.

Din cele prezentate mai sus, cred că se desprind ca și contribuții ale autoarei următoarele:

- Formularea aspectelor fundamentale ale unui capitol nou al mecanicii ruperii intitulat „Mecanica probabilistă a ruperii” și argumentarea necesității implementării acestei problematice în activitatea colectivelor de cercetare, standardizare, expertizare și proiectare: în acest sens am făcut propuneri concrete către ARMR.
- Realizarea unei sinteze echilibrate a elementelor necesare din teoria probabilităților și statistica matematică pentru descrierea în limbaj probabilist a mărimilor specifice de mecanica ruperii;
- O prezentare conceptuală coerentă și explicită a metodei Monte Carlo încheiată cu *elaborarea unui program de calcul a integralelor multiple cu metoda Monte Carlo în limbajul Visual Basic*;
- În final, *elaborarea unui program Fortran pentru calculul modulelor elastice efective în cazul plăcilor cu fisuri având orientări arbitrare și amplasate într-o rețea periodică*.

CAPITOLUL 5:

CERCETĂRI, VERIFICĂRI ȘI VALIDĂRI EXPERIMENTALE

Se ocupă cu validarea experimentală prin fotoelasticimetrie a unora din problemele cercetate până în acest capitol, sau cu măsurarea numerică a câmpurilor de tensiuni în cazul unor probleme noi, complicate, pentru care nu am reușit să dau soluție teoretică.

În § 5.1. și § 5.2. am prezentat în mod sumar câteva cunoștințe de fotoelasticimetrie.

Paragraful 5.3. se ocupă în mod special de prelucrarea imaginilor fotoelastice în cazul corpurilor cu fisuri, specifice mecanicii ruperii. În acest caz problema cea mai modernă este determinarea factorilor K dintr-o singură izocromată. Pe lângă metodele prezentate de L. MARȘAVINA în [G17], am prezentat o serie de lucrări noi: CHEN ZENGTAO [Z4] [Z5]/1995; CHEN FENG [C28]/1997; LI XIAN-FANG [L22]/1998.

În paragraful 5.4. am reluat problema test nr.1. privind platbanda cu un gol circular, căreia i-am dat o altă soluție teoretică prin descompunerea în serie de puteri a tensiunilor în coordonate polare.

În paragraful 5.5. am studiat cazul platbenzilor cu două și trei orificii egale și inegale, pentru care am stabilit și variația tensiunilor normale circumferențiale, precum și a tensiunilor σ_x și σ_y în punctele extreme ale orificiului de dimensiuni mai mici. În cazul platbenzii cu două orificii inegale pentru prima dată în literatură se prezintă grafice care dau variația raportului $\frac{\sigma_\theta}{q}$ în funcție de raportul razelor R/r , pentru cele două puncte caracteristice de pe conturul orificiului mic. Acestea au fost realizate utilizând programul Excel.

În paragraful 5.6. se prezintă imaginile fotoelastice obținute și prelucrarea acestora, precum și comparația rezultatelor mele cu cele date de PETERSON [P33] (acolo unde au existat date pentru aceasta).

În cadrul acestui capitol consider ca și contribuții ale subsemnatei următoarele:

- Analiza pertinentă a metodelor moderne de determinare a factorului de intensitate a tensiunilor prin prelucrarea unei singure izocromate;
- O nouă analiză a stării de tensiune în cazul platbenzii de dimensiuni finite solicitată la tracțiune, având un gol circular; această prelucrare se bazează pe o dezvoltare în serie a funcției de tensiune a lui Airy, și pe baza ei, o descompunere în serie de puteri a tensiunilor în coordonate polare. Rezultatele sunt prezentate în graficul din **Fig. 5.4.2.**
- Am studiat în detaliu, teoretic, numeric și experimental platbanda elastică cu două orificii inegale, pentru care am dat graficele de variație a lui σ_θ/q în funcție de raportul R/r pentru punctele caracteristice de pe conturul L_0 al orificiului cu dimensiunile cele mai mici. Aceste grafice sunt o noutate absolută în literatura consacrată acestui domeniu.
- Am obținut o serie de rezultate fotoelastice pentru cazuri particulare de platbenzi cu goluri și/sau fisuri, pentru care nu am reușit însă să dau soluții analitice, dar care sunt o noutate în baza de date a mecanicii ruperii.

ANEXE

ARGUMENTAȚIE

Deoarece problemele de care m-am ocupat în teză sunt prezentate în literatura de specialitate cu ajutorul unui aparataj matematic deosebit de elevat și sofisticat, care de obicei nu se află la îndemâna inginerului, indiferent de profil, în ultimii cinci ani am făcut eforturi deosebite pentru a-mi completa pregătirea în următoarele domenii mari:

I. BAZE MATEMATICE, cuprinzând în special:

- Teoria ecuațiilor integrale (cu precădere singulare)
- Teoria și practica transformărilor integrale
- Funcții de variabilă complexă. Integrale de tip Cauchy
- Elemente de teoria potențialului
- Calculul tensorial
- Metoda Monte Carlo

II. BAZELE MECANICII SOLIDULUI DEFORMABIL

- Teoria elasticității și elemente de teoria plasticității
- Teoria solidului deformabil cu defecte: goluri, incluziuni, fisuri
- Mecanica ruperii materialelor

III. BAZELE CALCULULUI NUMERIC

- Metoda elementului finit
- Programul „COSMOS”
- Metoda elementelor de frontieră și programul „BEASY”

IV. METODE EXPERIMENTALE

- Tensometrie electrică rezistivă
- Fotoelasticimetrie

Aceste volum deosebit de muncă a fost posibil în special datorită programului impus de conducătorul tezei, care mi-a cuprins majoritatea materialului citat mai sus în referatele și examenele obligatorii.

De aceea, pentru a nu repeta în cadrul tezei o serie de noțiuni fundamentale pe care le-am utilizat și pe care le-am presupus cunoscute apriori, mi-am permis să le prezint sumar în anexele care urmează. Am avut astfel și posibilitatea unui comentariu pertinent al bibliografiei studiate. În felul acesta în materialul cuprins în teza propriu-zisă am prezentat sinteze și rezultate originale.

Mai există încă o explicație și justificare legată de faptul că, datorită importanței deosebite – științifică și aplicativă – a domeniului, numărul lucrărilor științifice publicate este impresionant și dezarmant, iar nivelul matematic foarte ridicat.

Țin să precizez că temele prezentate în „Anexe” nu sunt simple rezumate din cărțile de specialitate; ele reprezintă o sinteză personală a domeniului temei, pe care am încercat să o reformulez într-o manieră cât mai clară posibil, renunțând uneori la sofisticate și condensate subtilități matematice, care de altfel au puțină utilitate aplicativă.

* * *

CÂTEVA ELEMENTE DIN „TEORIA POTENȚIALULUI”.

FORMULELE LUI GREEN*

§1. Potențialul newtonian sau potențialul de volum

(I.) În spațiul euclidian E_3 raportat la sistemul $xOyz$, considerăm două puncte: $Q(\xi, \eta, \zeta)$ și $P(x, y, z)$. În aceste două puncte se află două particule materiale m și M (Fig. 1). Știm că între aceste două particule se exercită acțiuni reciproce pe care le reprezentăm prin forțe și pe care le-am numit *forțe de atracție universală* sau *forțe newtoniene*; intensitatea acestor forțe este direct proporțională cu masele m și M și invers proporțională cu pătratul distanței dintre cele două puncte.

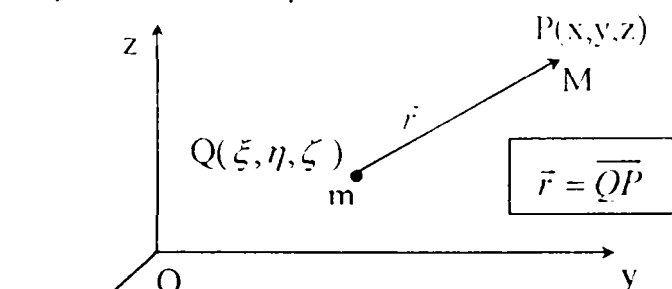


Fig. 1

Considerăm Q fix și P variabil în E_3 și notăm $\vec{r} = \overrightarrow{QP}$. Forța de atracție newtoniană pe care o exercită m asupra lui M este dată de următoarea formulă analitică:

$$\vec{F} = -f \frac{M \cdot m}{r^2} \cdot \frac{\vec{r}}{r} \quad \text{cu proiecțiile} \rightarrow \begin{cases} F_x = -f \frac{Mm}{r^2} \cdot \frac{x - \xi}{r} \\ F_y = -f \frac{Mm}{r^2} \cdot \frac{x - \eta}{r} \\ F_z = -f \frac{Mm}{r^2} \cdot \frac{x - \zeta}{r} \end{cases} \quad (1.1)$$

Alegând sistemul de unități astfel încât constanta universală $f=1$ și presupunând că în P se găsește o masă egală cu unitatea $M=1$, vom avea:

$$\vec{F} = -\frac{m}{r^2} \cdot \frac{\vec{r}}{r} \quad \Rightarrow \quad \begin{cases} F_x = -\frac{m}{r^2} \cdot \frac{x - \xi}{r} \\ F_y = -\frac{m}{r^2} \cdot \frac{x - \eta}{r} \\ F_z = -\frac{m}{r^2} \cdot \frac{x - \zeta}{r} \end{cases} \quad (1.2)$$

Se definește astfel un *câmp vectorial* $\vec{F}: E_3 \setminus \{Q\} \rightarrow V_3$ care se numește *câmpul atracțiilor newtoniene* datorită masei m situată în punctul Q .

Mai știm că dacă există o funcție de punct $U(x, y, z) = U(P)$ continuă și derivabilă pe un anumit domeniu, astfel încât forța \vec{F} să se exprime prin:

$$\vec{F} = \text{grad}U = \frac{\partial U}{\partial x} \vec{i} + \frac{\partial U}{\partial y} \vec{j} + \frac{\partial U}{\partial z} \vec{k} \quad (1.3)$$

vom zice că \vec{F} este o forță conservativă care derivă din funcția U .

$$F_x = \frac{\partial U}{\partial x}; \quad F_y = \frac{\partial U}{\partial y}; \quad F_z = \frac{\partial U}{\partial z} \quad (1.4)$$

În locul lui U se poate lua funcția:

$$V(P) = -U(P) \quad (1.5)$$

* Această anexă reprezintă o prelucrare originală a autoarei a unui material vast răspândit în cele mai diverse tratate de matematică. Deoarece se află la baza teoriei „elementelor de frontieră” am făcut de multe ori și demonstrația afirmațiilor enunțate

care se numește *potențialul forțelor*.

În cazul nostru potențialul forțelor este de forma:

$$V(P) = \frac{m}{r} \quad \Leftrightarrow \quad U(P) = -\frac{m}{r} \quad (1.6)$$

care se numește *potențialul newtonian* creat de particula materială m plasată în Q într-un alt punct $P \neq Q$.

(II.) **Cazul unei distribuții discrete de sarcini.** Considerăm un sistem de particule materiale distribuite în punctele $Q_i(\xi_i, \eta_i, \rho_i)$ de mase m_i . Fie punctul $P(x, y, z)$ în care există o masă $M=1$. Atunci, masa m_i acționează asupra masei M cu forța:

$$\vec{F}_i = \frac{m_i}{r_i^2} \cdot \vec{r}_i \quad \Rightarrow \quad \vec{F} = -\sum_{i=1}^n \frac{m_i}{r_i^2} \cdot \vec{r}_i \quad (1.7)$$

Potențialul creat în punctul P în cele n particule cu masa m_i , va fi

$$V(P) = \sum_{i=1}^n \frac{m_i}{r_i} \quad \text{unde} \quad r_i = \sqrt{(x - \xi_i)^2 + (y - \eta_i)^2 + (z - \zeta_i)^2} \quad (1.8)$$

(III.) **Cazul unei distribuții continue.** Într-un domeniu Ω din spațiu presupunem că avem o distribuție continuă a masei. Această distribuție continuă în fiecare punct $Q \in \Omega$ ne este dată de funcția:

$$\rho(Q) = \rho(\xi, \eta, \zeta)$$

care se numește *densitatea de distribuție a masei* în punctul Q .

Împărțim domeniul Ω în domenii elementare $\Delta\omega_i$ de masă Δm_i ; putem scrie $\Delta m_i = \rho \Delta\omega_i$. Prin procedeele obișnuite de trecere de la discret la continuu, de la sume finite la integrale, potențialul newtonian datorit unei distribuții continue în Ω , cu densitatea ρ se scrie:

$$V(P) = \int_{\Omega} \frac{\rho(\xi, \eta, \zeta) d\xi d\eta d\zeta}{\sqrt{(x - \xi)^2 + (y - \eta)^2 + (z - \zeta)^2}} = \int_{\Omega} \frac{\rho(Q)}{r_{PQ}} d\omega_Q = \int_{\Omega} \frac{\rho(Q)}{r} d\omega \quad (1.9)$$

Potențialul definit prin formula (1.9) se numește *potențial de volum*. Se presupune că $\rho(Q)$ este o funcție mărginită și integrabilă pe Ω .

Notă: Pentru generalitate, deoarece forța dintre sarcinile electrice sau dintre polii magneților are același caracter ca și cea gravitațională, la aplicarea problemelor de potențial în metoda elementelor de frontieră, vom vorbi de **surse** și nu de **mase**; vom presupune că sursa noastră unitară produce în punctul de coordonată x un potențial de tip newtonian $\frac{1}{r(\xi, x)}$ care este o funcție continuă indefinit diferentiabilă, cu excepția punctului ξ unde se află sursa.

§2. Potențialul de simplu strat și de dublu strat

Se poate întâmpla ca potențialele noastre de masă m , să fie situate pe o suprafață Σ și să aibă pe această suprafață o distribuție continuă, cu densitatea superficială μ . Potențialul creat în punctul $P(x, y, z)$ se exprimă printr-o integrală de forma:

$$V(P) = \int_{\Sigma} \frac{\mu(Q)}{r} d\sigma_Q = \int_{\Sigma} \frac{\mu(\xi, \eta, \zeta)}{\sqrt{(x - \xi)^2 + (y - \eta)^2 + (z - \zeta)^2}} d\sigma_Q \quad (2.1)$$

Potențialul newtonian definit de formula (2.1) se numește *potențial de simplu strat*. Dacă μ este continuă iar Σ este o suprafață cu normala continuă, integrala are sens și pentru $P \in \Sigma$, deci potențialul de simplu strat este definit pe E_3 (sau R_3).

Câmpul newtonian datorat acestei distribuții se poate obține pentru $\forall M \in E_3 \setminus \Sigma$, derivând sub semnul de integrare:

$$\vec{V}(P) = -\text{grad}U(P) = \int \mu(Q) \frac{\vec{r}}{r^3} d\sigma_Q, \quad \vec{r} = \overrightarrow{QP} \quad (2.2)$$

În punctele P de pe suprafața Σ , funcția de sub semnul integral prezintă, în general, o discontinuitate de aceeași natură cu cea a factorului $1/r^2$ pentru $r = 0$, ceea ce face ca integrala de suprafață să fie divergentă. Deci în general formula (2.2) definește un câmp newtonian pe $E_3 \setminus \Sigma$.

Potențialul de dublu strat. În teoria potențialului se mai folosește și noțiunea de potențial de strat dublu, întâlnită în electrostatică și în multe probleme de ecuații cu derivate parțiale de ordinul 2, aplicabilă în M.E.Fr. – în formularea indirectă.

Considerăm o suprafață Σ pe care o presupunem de clasă C^1 (aceasta înseamnă că suprafața este reprezentată analitic printr-o funcție de clasă C^1 : continuă, și cu derivate parțiale continue) Să considerăm un punct Q pe Σ și normala la suprafața Σ în Q , de vector unitar \vec{n} (v. Fig. 2); $|\vec{n}| = 1$

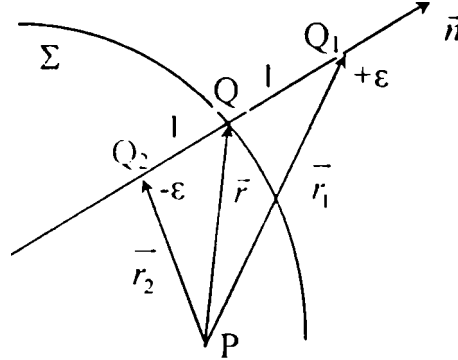


Fig. 2

De o parte și de alta consider punctele Q_1 și Q_2 situate la distanța l de Q ; presupunem că în Q_1 se află o sarcină $+\varepsilon$ și în Q_2 o sarcină $-\varepsilon$. Potențialul creat de aceste două sarcini într-un punct $P(x,y,z)$ se obține simplu:

$$\text{sarcina } +\varepsilon \rightarrow \text{crează potențialul } \frac{\varepsilon}{r_1}; \quad \text{sarcina } -\varepsilon \rightarrow \text{crează potențialul } -\frac{\varepsilon}{r_2}$$

Potențialul total este:

$$V(P) = \frac{\varepsilon}{r_1} - \frac{\varepsilon}{r_2} = \varepsilon \left(\frac{1}{r_1} - \frac{1}{r_2} \right) = 2l\varepsilon \frac{\partial}{\partial n} \left(\frac{1}{r} \right)_{Q=Q^*} \quad (2.3)$$

într-un punct Q^* convenabil ales pe direcția \vec{n} . Relația s-a obținut aplicând formula creșterilor finite.

Fie $2l$ distanța dintre punctele Q_2 și Q_1 și \vec{n} versorul vectorului $\overrightarrow{Q_2Q_1} \Rightarrow \overrightarrow{Q_2Q_1} = 2l\vec{n}$. Când $l \rightarrow 0$ cu \vec{n} constant vom accepta că produsul $2l\varepsilon$ are o limită finită: $2l\varepsilon = \mu$; se obține o nouă configurație care se numește **sursă dublă**, **dublet** sau **dipol**. Această configurație este complet determinată de vectorul $\vec{\mu} = \mu \cdot \vec{n}$, care se numește **momentul dipolului**.

Atunci potențialul dipolului în punctul P se deduce din (3) aplicând formula creșterilor finite:

$$V(P) = \mu \frac{\partial}{\partial n} \left(\frac{1}{r} \right) \quad (2.4)$$

Dacă vom presupune că dipolii de pe Σ au o distribuție continuă dată de funcția $\mu(Q)$, atunci potențialul în punctul P este:

$$W(P) = \int_{\Sigma} \mu(Q) \frac{\partial}{\partial n} \left(\frac{1}{r} \right) d\sigma_Q \quad (2.5)$$

care se numește **potențial de dublu strat**.

§3. Integrale improprii

Se observă că în cazul potențialelor cercetate intervin integrale de următoarea formă:

$$I = \int_{\Omega} \frac{f(Q)}{r^\alpha} d\omega \quad \alpha > 0 \quad (3.1)$$

unde $f(Q)$ este o funcție mărginită și integrabilă pe Ω , r reprezentând distanța dintre două puncte, $Q(\xi, \eta, \zeta)$ și

$$P(x, y, z), \text{ adică } r = \sqrt{(x - \xi)^2 + (y - \eta)^2 + (z - \zeta)^2}$$

Dacă amândouă punctele P și $Q \in \Omega$, atunci funcția $1/r$ are un punct singular în $P=Q$, adică are o discontinuitate de natură polară; această funcție este definită peste tot în E_3 cu excepția punctului $P=Q$.

Știm că dacă în domeniul de integrare, funcția are o astfel de discontinuitate polară, integrala nu se mai poate defini ca o sumă; în acest caz ea se definește ca o așa-numită *integrală improprie*.

Problema care se pune este de a stabili când are sens integrala improprie de această formă (3.1). În acest scop vom demonstra următoarea teoremă:

T. Integrala improprie (3.1), când $P, Q \in \Omega$, are sens dacă $\alpha < 3$.

Demonstrație:

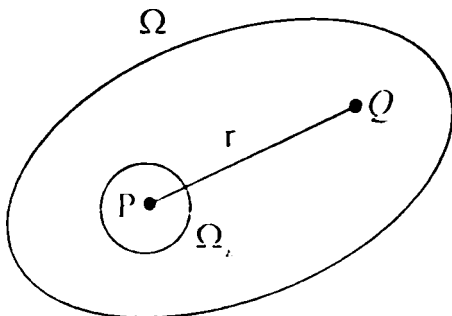


Fig.3

Fie domeniul nostru Ω cu punctele $P(x,y,z)$, și $Q(\xi, \eta, \zeta)$. În punctul $P=Q$ (deci când $r \rightarrow 0$), funcția $1/r$ este discontinuă. Presupun că punctul P este fix, și-l exclud împreună cu o vecinătate a sa de formă sferică de rază ε (v. Fig. 3).

$$I = \int_{\Omega - \Omega_\varepsilon} \frac{f(Q)}{r^\alpha} d\omega + \int_{\Omega_\varepsilon} \frac{f(Q)}{r^\alpha} d\omega \quad (3.2)$$

Prima integrală din (3.2) are sens deoarece $\frac{1}{r^\alpha}$ are sens.

Notez:
$$I_\varepsilon = \int_{\Omega_\varepsilon} \frac{f(Q)}{r^\alpha} d\omega$$

Avem majorările succesive evidente:

$$|I_\varepsilon| \leq \int_{\Omega_\varepsilon} \frac{|f(Q)|}{r^\alpha} d\omega \leq M \int_{\Omega_\varepsilon} \frac{d\omega}{r^\alpha}$$

unde am notat cu M marginea superioară a lui $f(Q)$. Știm însă, de la sistemele de coordonate sferice că:

- elementul de volum $d\omega = r^2 \sin \varphi dr d\varphi d\theta$
- elementul de suprafață pe o sferă de rază R : $d\sigma = R^2 \sin \varphi d\varphi d\theta$

Pe sfera de rază unitară ($R=1$) elementul de suprafață va fi: $d\tilde{\omega} = \sin \varphi d\varphi d\theta$ și deci $d\omega = r^2 dr d\tilde{\omega}$.

Rezultă:

$$|I_\varepsilon| \leq M \int_{\Omega_\varepsilon} \frac{d\omega}{r^\alpha} = M \int_0^\varepsilon r^{2-\alpha} dr \int_{\Sigma_\varepsilon} d\tilde{\omega} = M \left| \frac{r^{3-\alpha}}{3-\alpha} \right|_0^\varepsilon \cdot 4\pi \cdot 1^3 = M \cdot \frac{4\pi}{3-\alpha} \cdot \varepsilon^{3-\alpha}$$

Se vede că numai dacă $\alpha < 3$ când $\varepsilon \rightarrow 0 \Rightarrow |I_\varepsilon| \rightarrow 0$, c.c.t.d. \square

§4. Câteva formule integrale uzuale. Formulele lui Green

Considerăm formula integrală a divergenței, cunoscută sub numele de Gauss-Ostrogradski:

$$\int_{\Omega} \operatorname{div} \vec{F} d\omega = \int_{\Sigma} \vec{F} \cdot \vec{n} d\sigma \quad (4.1)$$

integrală de volum integrală de suprafață

Această formulă (4.1) este valabilă pentru fiecare câmp vectorial $\vec{F}(P)$ de clasă C^0 în $\overline{\Omega}$ (închiderea lui Ω), de clasă C^1 în Ω , Σ fiind frontiera lui Ω ($\overline{\Omega} = \Omega \cup \Sigma$).

Cu ajutorul acestei formule putem deduce alte două formule, considerând câmpul vectorial de forma:

$$\vec{F}(P) = \varphi(P) \cdot \operatorname{grad} \psi(P) = \varphi \cdot \operatorname{grad} \psi \quad (4.2)$$

unde: $\begin{cases} - \varphi(P) \text{ este un câmp scalar definit pe } \overline{\Omega}, \text{ de clasă } C^0 \text{ pe } \overline{\Omega}, \text{ și de clasă } C^1 \text{ în } \Omega \\ - \psi(P) \text{ este de asemenea un câmp scalar definit pe } \overline{\Omega}, \text{ de clasă } C^1 \text{ pe } \overline{\Omega}, \text{ și de clasă } C^2 \text{ în } \Omega. \end{cases}$

Înlocuim în (4.1) și rezultă:

$$\int_{\Omega} \operatorname{div}(\varphi \operatorname{grad} \psi) d\omega = \int_{\Sigma} \varphi \operatorname{grad} \psi \cdot \vec{n} d\sigma \quad (4.3)$$

Dar știm că:

$$\operatorname{div}(\varphi \operatorname{grad} \psi) = \nabla(\varphi \nabla \psi) = \nabla \varphi \cdot \nabla \psi + \varphi \nabla \nabla \psi$$

unde

$$\nabla = \vec{i} \frac{\partial}{\partial x} + \vec{j} \frac{\partial}{\partial y} + \vec{k} \frac{\partial}{\partial z} \quad (\text{operatorul „nabla”}).$$

$$\text{Dar } \nabla \nabla = \nabla^2 = \Delta = \frac{\partial^2}{\partial x^2} + \frac{\partial^2}{\partial y^2} + \frac{\partial^2}{\partial z^2} \quad (\text{laplacianul sau operatorul lui Laplace}).$$

$$\text{Deci: } \operatorname{div}(\varphi \operatorname{grad} \psi) = \operatorname{grad} \varphi \cdot \operatorname{grad} \psi + \varphi \Delta \psi$$

Mai știm că:

$$\operatorname{grad} \psi \cdot \vec{n} = \frac{\partial \psi}{\partial n} \quad (\text{derivata funcției } \psi \text{ după normală, în punctul } P)$$

Relația (4.3) devine:

$$\int_{\Omega} \varphi \cdot \Delta \psi \cdot d\omega + \int_{\Omega} \operatorname{grad} \varphi \cdot \operatorname{grad} \psi \cdot d\omega = \int_{\Sigma} \varphi \frac{\partial \psi}{\partial n} d\sigma \quad (1)$$

Am obținut *prima formulă a lui Green*.

Formula a doua a lui Green. Lărgim ipotezele de mai sus și considerăm:

$$\begin{cases} \varphi(P) \rightarrow \text{definit în } \overline{\Omega}, \text{ de clasă } C^1 \text{ în } \overline{\Omega} \text{ și de clasă } C^2 \text{ în } \Omega \\ \psi(P) \rightarrow \text{definit în } \overline{\Omega}, \text{ de clasă } C^1 \text{ în } \overline{\Omega} \text{ și de clasă } C^2 \text{ în } \Omega \end{cases}$$

În acest caz în formula (1) putem schimba rolul lui φ cu ψ :

$$\int_{\Omega} \psi \cdot \Delta \varphi \cdot d\omega + \int_{\Omega} \operatorname{grad} \psi \cdot \operatorname{grad} \varphi \cdot d\omega = \int_{\Sigma} \psi \frac{\partial \varphi}{\partial n} d\sigma \quad (4.4)$$

Scădem ultima relație (4.4) din (1) și obținem:

$$\int_{\Omega} (\varphi \Delta \psi - \psi \Delta \varphi) = \int_{\Sigma} \left(\varphi \frac{\partial \psi}{\partial n} - \psi \frac{\partial \varphi}{\partial n} \right) d\sigma \quad (II)$$

Am obținut astfel *a doua formulă a lui Green*.

Cazuri particulare:

a) $\varphi = \psi$; din (1) rezultă:

$$\int_{\Omega} \varphi \Delta \varphi d\omega + \int_{\Omega} (\operatorname{grad} \varphi)^2 d\omega = \int_{\Sigma} \varphi \frac{\partial \varphi}{\partial n} d\sigma \quad (III)$$

b) $\varphi = 1$; în acest caz $\vec{F}(P) = \operatorname{grad} \psi(P)$; din (1) rezultă:

$$\int_{\Omega} \Delta \psi d\omega = \int_{\Sigma} \frac{\partial \psi}{\partial n} d\sigma \quad (IV)$$

§5. Reprezentarea câmpurilor scalare de clasă C^1 în Ω prin potențiali

Vom presupune că avem un câmp scalar $\varphi(P)$: $\overline{\Omega}$, de clasă C^0 pe $\overline{\Omega}$ și de clasă C^1 în Ω . Să arătăm că în aceste condiții funcția noastră $\vec{F}(P)$ se poate reprezenta prin potențiali.

Pentru aceasta vom demonstra următoarea teoremă:

T. Câmpul scalar $\varphi(P)$ definit în condițiile de mai sus, de clasă C^0 pe $\overline{\Omega}$ și de clasă C^1 pe Ω , se poate reprezenta prin formula:

$$p\varphi(P) = \int_{\Omega} \text{grad}\varphi(Q) \cdot \text{grad}_Q \left(\frac{1}{r} \right) d\omega - \int_{\Sigma} \varphi(Q) \frac{\partial}{\partial n} \left(\frac{1}{r} \right) d\sigma_Q \quad (V)$$

unde:

$$p = \begin{cases} 4\pi, & \text{daca } P \in \Omega \\ 2\pi, & \text{daca } P \in \Sigma = \text{frontiera lui } \Omega \\ 0, & \text{daca } P \notin \bar{\Omega} \text{ (exterior domeniului } \bar{\Omega}) \end{cases}$$

Demonstrație.

a) **Cazul în care** $P \notin \bar{\Omega}$, deci $p=0$. (Să observăm că în notația noastră Q este punctul variabil, iar $P(x,y,z)$ este privit ca parametru.

Folosim (I) deoarece P este exterior lui $\bar{\Omega}$, deci integralele de volum care apar au sens fiindcă $Q \in \Omega$; fac $\psi(Q) = \frac{1}{r}$, care nu are singularitate în acest caz ($r = |PQ|$)

$$\int_{\Omega} \varphi(Q) \Delta_Q \left(\frac{1}{r} \right) d\omega_Q + \int_{\Omega} \text{grad}\varphi(Q) \cdot \text{grad}_Q \left(\frac{1}{r} \right) d\omega_Q = \int_{\Sigma} \varphi \frac{\partial}{\partial n} \left(\frac{1}{r} \right) d\sigma_Q$$

sau:

$$\int_{\Omega} \text{grad}\varphi(Q) \cdot \text{grad}_Q \left(\frac{1}{r} \right) d\omega_Q - \int_{\Sigma} \varphi \frac{\partial}{\partial n} \left(\frac{1}{r} \right) d\sigma_Q = - \int_{\Omega} \varphi(Q) \Delta_Q \left(\frac{1}{r} \right) d\omega_Q \quad (*)$$

Să arătăm că membrul drept este nul! Pentru aceasta este suficient să arătăm că: $\Delta_Q \left(\frac{1}{r} \right) = 0$, adică funcția

$1/r$ este o soluție a ecuației lui Laplace; aceasta se numește și **soluția elementară**, iar în metoda reziduurilor ponderate se numește soluție fundamentală.

$$\text{Dar } \frac{1}{r} = \frac{1}{\sqrt{(x-\xi)^2 + (y-\eta)^2 + (z-\zeta)^2}}$$

Știm că:

$$\text{grad}_P \left(\frac{1}{r} \right) = \vec{i} \frac{\partial}{\partial x} \left(\frac{1}{r} \right) + \vec{j} \frac{\partial}{\partial y} \left(\frac{1}{r} \right) + \vec{k} \frac{\partial}{\partial z} \left(\frac{1}{r} \right), \text{ acesta reprezentând gradientul lui } 1/r \text{ în raport cu}$$

coordonatele punctului P (sau în punctul P).

$$\Delta_P \left(\frac{1}{r} \right) = \frac{\partial^2}{\partial x^2} \left(\frac{1}{r} \right) + \frac{\partial^2}{\partial y^2} \left(\frac{1}{r} \right) + \frac{\partial^2}{\partial z^2} \left(\frac{1}{r} \right)$$

$$\frac{\partial}{\partial x} \left(\frac{1}{r} \right) = \frac{\partial}{\partial r} \left(\frac{1}{r} \right) \frac{\partial r}{\partial x} = -\frac{1}{r^2} \cdot \frac{2(x-\xi)}{2r} = -\frac{x-\xi}{r^3}$$

$$\frac{\partial^2}{\partial x^2} \left(\frac{1}{r} \right) = \frac{\partial}{\partial x} \left[-\frac{x-\xi}{r^3} \right] = -\frac{1 \cdot r^3 - (x-\xi) \cdot 3r^2 \frac{x-\xi}{r}}{r^6} = -\frac{r^3 - 3r(x-\xi)^2}{r^6}$$

Analog găsim:

$$\frac{\partial^2}{\partial y^2} \left(\frac{1}{r} \right) = -\frac{r^3 - 3r(y-\eta)^2}{r^6}; \quad \frac{\partial^2}{\partial z^2} \left(\frac{1}{r} \right) = -\frac{r^3 - 3r(z-\zeta)^2}{r^6}$$

deci:

$$\Delta_P \left(\frac{1}{r} \right) = -\frac{3r^3 - 3r[(x-\xi)^2 + (y-\eta)^2 + (z-\zeta)^2]}{r^6} = -\frac{3r^3 - 3r^3}{r^6} = 0$$

Dar

$$\Delta_Q \left(\frac{1}{r} \right) = -\Delta_P \left(\frac{1}{r} \right) = 0, \text{ c.c.t.d.}$$

Formula (*) este analogă cu (V) și fiindcă am pornit de la (I) este adevărată.

- b) Cazul când $P \in \Omega$. Acum P și $Q \in \Omega$ deci în $P=Q$ avem o singularitate. Exclud punctul P din Ω cu ajutorul unei sfere de rază ε , notată cu Ω_ε (v. Fig. 4). Aplicăm formula (I) domeniului $\Omega - \Omega_\varepsilon$.

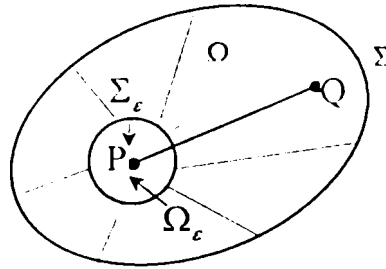


Fig. 4

$$\int_{\Omega - \Omega_\varepsilon} \varphi \Delta_Q \left(\frac{1}{r} \right) d\omega + \int_{\Omega - \Omega_\varepsilon} \text{grad} \varphi(Q) \cdot \text{grad}_Q \left(\frac{1}{r} \right) d\omega = \int_{\Sigma + \Sigma_\varepsilon} \varphi \frac{\partial}{\partial n} \left(\frac{1}{r} \right) d\sigma_Q$$

Pe suprafața Σ_ε normala exterioară este dirijată către P , deci $\frac{\partial}{\partial n} = -\frac{\partial}{\partial r}$. Avem astfel:

$$\int_{\Sigma_\varepsilon} \varphi(Q) \frac{\partial}{\partial n} \left(\frac{1}{r} \right) d\sigma_Q = - \int_{\Sigma_\varepsilon} \varphi(Q) \frac{d}{dr} \left(\frac{1}{r} \right) d\sigma_Q = \int_{\Sigma_\varepsilon} \varphi(Q) \frac{1}{r^2} d\sigma_Q = \int_{\Sigma_\varepsilon} \varphi(Q) d\tilde{\omega} = 4\pi\varphi(Q^*)$$

Dar $d\sigma_Q = r^2 d\tilde{\omega}$ unde $d\tilde{\omega}$ este elementul de suprafață pe sfera de rază $\varepsilon = 1$.

Ultimul rezultat se obține pe baza unor teoreme de medie pentru integralele de suprafață.

$Q^* \in \Sigma_\varepsilon$ este un punct situat pe suprafața sferei de rază ε . Atunci:

$$\int_{\Omega - \Omega_\varepsilon} \text{grad} \varphi \cdot \text{grad}_Q \left(\frac{1}{r} \right) d\omega - \int_{\Sigma} \varphi \frac{\partial}{\partial n} \left(\frac{1}{r} \right) d\sigma_Q = 4\pi\varphi(Q^*)$$

$$\text{grad} \left(\frac{1}{r} \right) = -\frac{1}{r^2} \cdot \vec{r} \quad \text{unde} \quad \left| \frac{\vec{r}}{r} \right| = 1; \quad \text{avem aici } \alpha = 2 < 3, \text{ deci prima integrală are sens.}$$

Când $\varepsilon \rightarrow 0 \Rightarrow \varphi(Q^*) \rightarrow \varphi(P)$, și rezultă:

$$\boxed{\int_{\Omega} \text{grad} \varphi \cdot \text{grad}_Q \left(\frac{1}{r} \right) d\omega - \int_{\Sigma} \varphi \frac{\partial}{\partial n} \left(\frac{1}{r} \right) d\sigma = 4\pi\varphi(P)}, \text{ c.c.t.d.}$$

- c) Cazul când $P \in \text{fr.} \Omega$ (v. Fig. 5), atunci în loc de o sferă voi lua o semisferă și deci apare factorul 2π .

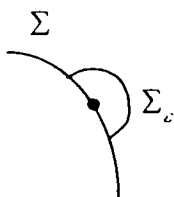


Fig. 5

După ce am demonstrat această teoremă adun formulele (I) și (V):

$$p\varphi(P) = \int_{\Omega} \text{grad} \varphi \cdot \text{grad}_Q \left[\psi(Q) + \frac{1}{r} \right] d\omega - \int_{\Sigma} \varphi \frac{\partial}{\partial n} \left[\psi(Q) + \frac{1}{r} \right] d\sigma + \int_{\Omega} \varphi \Delta \psi d\omega$$

Dacă vom nota: $H(P, Q) = \psi(Q) + \frac{1}{r}$ rezultă:

$$p\varphi(P) = \int_{\Omega} \text{grad} \varphi \cdot \text{grad} H(P, Q) d\omega_Q - \int_{\Sigma} \varphi \frac{\partial H(P, Q)}{\partial n} d\sigma_Q + \int_{\Omega} \varphi \Delta \psi d\omega \quad (\text{VI})$$

§6. Reprezentarea câmpurilor $\varphi(P)$ de clasă C^2 prin potențiale

Teoremă. Dacă funcția $\varphi(P)$ este definită în $\overline{\Omega}$, de clasă C^1 în $\overline{\Omega}$ și de clasă în C^2 în Ω , atunci ea se poate reprezenta printr-o formulă de următoarea formă:

$$p\varphi(P) = \int_{\Sigma} \frac{1}{r} \frac{\partial}{\partial n} [\varphi(Q)] d\sigma - \int_{\Sigma} \varphi(Q) \frac{\partial}{\partial n} \left(\frac{1}{r} \right) d\sigma - \int_{\Omega} \frac{1}{r} \Delta_Q \varphi(Q) d\omega \quad (\text{VII})$$

unde:

$$p = \begin{cases} 4\pi & \text{daca } P \in \Omega \\ 2\pi & \text{daca } P \in \Sigma \\ 0 & \text{daca } P \notin \overline{\Omega} \end{cases}$$

Justificarea acestei formule se poate face folosind tot prima formulă a lui Green în care înlocuim pe φ cu ψ și luăm $\varphi(Q) = \frac{1}{r}$. Vom obține:

$$\int_{\Omega} \frac{1}{r} \Delta_Q \psi(Q) d\omega + \int_{\Omega} \text{grad}_Q \varphi(Q) \text{grad} \left(\frac{1}{r} \right) d\omega - \int_{\Sigma} \frac{1}{r} \frac{\partial}{\partial n} [\varphi(Q)] d\sigma = 0 \quad (\text{a})$$

Între formulele (V) și (a) eliminăm a doua integrală:

$$\int_{\Omega} \text{grad} \varphi \text{grad} \left(\frac{1}{r} \right) d\omega = p\varphi(P) + \int_{\Sigma} \varphi \frac{\partial}{\partial n} \left(\frac{1}{r} \right) d\sigma$$

Formula (VIII). Stabilim formula de reprezentare. Luăm formula (VII) și formula a II-a a lui Green:

$$\begin{cases} p\varphi(P) = \int_{\Sigma} \frac{1}{r} \frac{\partial}{\partial n} [\varphi(Q)] d\sigma - \int_{\Sigma} \varphi(Q) \frac{\partial}{\partial n} \left(\frac{1}{r} \right) d\sigma - \int_{\Omega} \frac{1}{r} \Delta_Q \varphi(Q) d\omega \\ 0 = \int_{\Omega} (\varphi \Delta \psi - \psi \Delta \varphi) d\omega - \int_{\Sigma} \left(\varphi \frac{\partial \psi}{\partial n} - \psi \frac{\partial \varphi}{\partial n} \right) d\sigma \end{cases}$$

Însumăm:

$$p\varphi(P) = \int_{\Omega} \varphi \Delta \psi - \int_{\Omega} \left[\psi(Q) + \frac{1}{r} \right] \Delta_Q \varphi(Q) d\omega_Q - \int_{\Sigma} \varphi(Q) \frac{\partial}{\partial n} \left[\psi(Q) + \frac{1}{r} \right] d\sigma + \int_{\Sigma} \left[\psi(Q) + \frac{1}{r} \right] \frac{\partial}{\partial n} [\varphi(Q)] d\sigma$$

Notez $H(P, Q) = \psi(Q) + \frac{1}{r}$ și rezultă:

$$p\varphi(P) = \int_{\Omega} \varphi \Delta \psi d\omega_Q - \int_{\Omega} H(P, Q) \Delta_Q \varphi(Q) d\omega_Q - \int_{\Sigma} \varphi(Q) \frac{\partial H(P, Q)}{\partial n} d\sigma_Q + \int_{\Sigma} H(P, Q) \frac{\partial}{\partial n} [\varphi(Q)] d\sigma_Q \quad (\text{VIII})$$

§7. Alte probleme legate de potențialul newtonian

Am văzut că potențialul newtonian creat de o distribuție continuă într-un punct P este:

$$V(P) = \int_{\Omega} \frac{\rho(Q)}{r} d\omega_Q \quad (7.1)$$

sau pentru cazul celor două mase (v. Fig. 6):

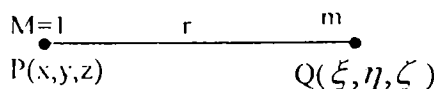


Fig. 6

$$V(P) = \frac{m}{r} \Rightarrow \vec{F} = \text{grad } V(P)$$

Problema se poate pune și în cazul unei distribuții oarecare pe un volum oarecare din spațiu.

Teoremă. Dacă distribuția $\rho(Q)$ este mărginită și integrabilă în Ω , atunci potențialul newtonian (7.1) este de clasă C^1 în tot spațiul euclidian E_3 .

Demonstrație.

Vom arăta mai întâi că $V(P)$ este o funcție continuă în tot spațiul și apoi că are derivate continue de ordinul 1 în raport cu x, y, z , coordonatele punctului P .

Vom arăta că integrala (7.1) are sens ca integrală improprie deoarece suntem în cazul $\alpha = 1 < 3$.

Pentru demonstrație vom considera o funcție auxiliară definită astfel:

$$f_\varepsilon(r) = \begin{cases} \frac{1}{r} & \text{dacă } \varepsilon > r \\ \frac{1}{2\varepsilon} \left(3 - \frac{r^2}{\varepsilon^2} \right) & \text{dacă } \varepsilon \leq r \end{cases} \quad (7.2)$$

unde ε este raza unei sfere cu centrul în P conținută în întregime în Ω . (Se vede imediat că $f_\varepsilon(r) \in C^2$ și este mărginită în tot spațiul.) Vom nota cu:

$$V_\varepsilon(P) = \int_{\Omega} \rho(Q) f_\varepsilon(r) d\omega_Q \quad (7.3)$$

Vom evalua diferența:

$$|V(P) - V_\varepsilon(P)| = \left| \int_{\Omega} \frac{\rho(Q)}{r} d\omega_Q - \int_{\Omega} \rho(Q) f_\varepsilon(r) d\omega_Q \right| \quad (7.4)$$

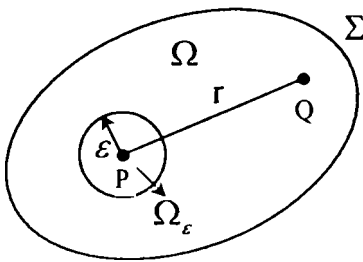


Fig. 7

Vom descompune domeniul Ω în două subdomenii: $\Omega - \Omega_\varepsilon$ și Ω_ε (v. Fig.7): $\Omega = (\Omega - \Omega_\varepsilon) \cup \Omega_\varepsilon$

Să observăm că diferența celor două integrale pe domeniul $\Omega - \Omega_\varepsilon$ este nulă, deoarece $\varepsilon > r$ și $f_\varepsilon(r) \equiv \frac{1}{r}$. Deci, diferența (7.4) devine:

$$|V(P) - V_\varepsilon(P)| = \left| \int_{\Omega_\varepsilon} \rho(Q) \left[\frac{1}{r} - f_\varepsilon(r) \right] d\omega_Q \right| \leq \int_{\Omega_\varepsilon} |\rho(Q)| \left[\frac{1}{r} + f_\varepsilon(r) \right] d\omega_Q$$

Notăm cu $M = \sup |\rho(Q)|$. (Știm că $\rho(Q)$ e mărginită!)

$$|V(P) - V_\varepsilon(P)| \leq M \int_{\Omega_\varepsilon} \left[\frac{1}{r} + f_\varepsilon(r) \right] d\omega_Q$$

Trec la coordonate sferice; știm că $d\omega_Q = r^2 dr d\tilde{\omega}$, unde $d\tilde{\omega}$ este elementul de arie pe sfera de rază $\varepsilon = 1$.

Deci:

$$\begin{aligned} \int_{\Omega_\varepsilon} \left(\frac{1}{r} + f_\varepsilon(r) \right) d\omega_Q &= \int_{\Sigma_{\varepsilon-1}} d\tilde{\omega} \int_0^\varepsilon \left(\frac{1}{r} + f_\varepsilon(r) \right) r^2 dr = 4\pi \int_0^\varepsilon \left[\frac{1}{r} + \frac{1}{2\varepsilon} \left(3 - \frac{r^2}{\varepsilon^2} \right) \right] r^2 dr = \\ &= 4\pi \left(\frac{\varepsilon^2}{2} + \frac{\varepsilon^2}{2} + \frac{\varepsilon^2}{10} \right) = \frac{18}{5} \pi \varepsilon^2 \end{aligned}$$

$$\text{Deci: } |V(P) - V_\varepsilon(P)| \leq \frac{18}{5} \pi \varepsilon^2$$

De aici rezultă: Când $\varepsilon \rightarrow 0$ șirul de funcții $\{V_\varepsilon(P)\} \rightarrow V(P)$. Însă cum $V_\varepsilon(P)$ sunt funcții continue de clasă C^0 în E_3 rezultă că potențialul $V(P)$ este și el de clasă C^0 în E_3 .

Să mai arătăm în plus că, în aceste condiții, $V(P)$ are și derivate parțiale continue (deci este de clasă C^1).

Să observăm că:

$V_\varepsilon(P) = \int_{\Omega} \rho(Q) f_\varepsilon(r) d\omega_Q$ este mărginită și de clasă C^2 în E_3 , deci pot deriva direct sub semnul integrală, în raport cu x, y, z .

$$\text{grad}_P V_\varepsilon(P) = \int_{\Omega} \rho(Q) \text{grad}_P f_\varepsilon(r) d\omega_Q \quad (**)$$

Considerăm acum o funcție vectorială de punct $\vec{V}_1(P) = \int_{\Omega} \rho(Q) \text{grad}_P \left(\frac{1}{r} \right) d\omega_Q = \text{grad}_P V(P)$

Facem diferența:

$$\left| \text{grad}_P V_\varepsilon(P) - \vec{V}_1(P) \right| = \left| \int_{\Omega} \rho(Q) \text{grad}_P f_\varepsilon(r) d\omega_Q - \int_{\Omega} \rho(Q) \text{grad}_P \left(\frac{1}{r} \right) d\omega_Q \right|$$

$$\text{grad}_P f_\varepsilon(r) = \vec{i} \frac{\partial f_\varepsilon}{\partial r} \frac{\partial r}{\partial x} + \vec{j} \frac{\partial f_\varepsilon}{\partial r} \frac{\partial r}{\partial y} + \vec{k} \frac{\partial f_\varepsilon}{\partial r} \frac{\partial r}{\partial z}$$

$$\frac{\partial r}{\partial x} = \frac{x - \xi}{r}, \quad \frac{\partial r}{\partial y} = \frac{y - \eta}{r}, \quad \frac{\partial r}{\partial z} = \frac{z - \zeta}{r}$$

$$\text{grad}_P f_\varepsilon(r) = \frac{\partial f_\varepsilon}{\partial r} \vec{r} \Rightarrow \text{grad}_P \left(\frac{1}{r} \right) = \frac{\partial \left(\frac{1}{r} \right)}{\partial r} \vec{r} = -\frac{1}{r^2} \vec{r}$$

$$\left| \text{grad}_P V_\varepsilon(P) - \vec{V}_1(P) \right| = \left| \int_{\Omega_\varepsilon} \rho(Q) \left[\frac{\partial f_\varepsilon}{\partial r} + \frac{1}{r^2} \right] \vec{r} d\omega_Q \right| \leq \int_{\Omega_\varepsilon} |\rho(Q)| \left(\left| \frac{\partial f_\varepsilon}{\partial r} \right| + \frac{1}{r^2} \right) |\vec{r}| d\omega_Q \leq M \int_{\Omega_\varepsilon} \left(\left| \frac{\partial f_\varepsilon}{\partial r} \right| + \frac{1}{r^2} \right) d\omega_Q$$

Iau pentru coordonatele sferice: $d\omega_Q = r^2 dr d\tilde{\omega}$

$$\int_{\Omega_\varepsilon} \left(\left| \frac{\partial f_\varepsilon}{\partial r} \right| + \frac{1}{r^2} \right) d\omega_Q = \int_{\Sigma_{\varepsilon+1}} d\tilde{\omega} \int_0^\varepsilon \left(\left| \frac{\partial f_\varepsilon}{\partial r} \right| + \frac{1}{r^2} \right) r^2 dr = 4\pi \int_0^\varepsilon \left(\frac{r}{\varepsilon^3} + \frac{1}{r^2} \right) r^2 dr = 4\pi \left(\frac{\varepsilon}{4} + \varepsilon \right) = 5\pi\varepsilon$$

În final deci:

$$\left| \text{grad}_P V_\varepsilon(P) - \vec{V}_1(P) \right| \leq 5\pi M \varepsilon$$

De aici se vede că dacă $\varepsilon \rightarrow 0$, atunci șirul de funcții $\{\text{grad}_P V_\varepsilon(P)\} \rightarrow \vec{V}_1(P)$ (converge uniform în tot spațiul).

Însă cum $\text{grad}_P V_\varepsilon(P)$ sunt funcții continue de P rezultă că și $\vec{V}_1(P)$ este o funcție continuă de P . Deci, dacă $\rho(Q)$ este mărginită și integrabilă pe Ω , atunci $V(P)$ este o funcție de clasă C^1 în tot spațiul E_3 . Rezultă deci că avem:

$$\vec{V}_1(P) = \text{grad} V(P) = \int_{\Omega} \rho(Q) \text{grad}_P \left(\frac{1}{r} \right) d\omega_Q$$

adică funcția $V(P)$ se poate deriva direct sub semnul integral:

$$\begin{cases} \frac{\partial V(x, y, z)}{\partial x} = \int_{\Omega} \rho(Q) \frac{\partial \left(\frac{1}{r} \right)}{\partial x} d\omega_Q = F_x \\ \frac{\partial V(x, y, z)}{\partial y} = \int_{\Omega} \rho(Q) \frac{\partial \left(\frac{1}{r} \right)}{\partial y} d\omega_Q = F_y \\ \frac{\partial V(x, y, z)}{\partial z} = \int_{\Omega} \rho(Q) \frac{\partial \left(\frac{1}{r} \right)}{\partial z} d\omega_Q = F_z \end{cases}$$

oricare ar fi poziția punctului P .

Teoremă. Dacă distribuția de masă sau densitatea de sarcină $\rho(Q)$ este continuă în Ω , atunci există derivatele de ordinul doi ale potențialului de volum $V(P)$ care sunt și funcții continue în tot spațiul E_3 .

Demonstrație. Ne folosim de următoarea observație:

$$\operatorname{grad}_P \left(\frac{1}{r} \right) = -\operatorname{grad}_Q \left(\frac{1}{r} \right) \Leftrightarrow \operatorname{grad}_P V(P) = -\operatorname{grad}_Q V(P)$$

$$\text{Deci } \operatorname{grad}_P V(P) = \int_{\Omega} \rho(Q) \operatorname{grad}_P \left(\frac{1}{r} \right) d\omega_Q = -\int_{\Omega} \rho(Q) \operatorname{grad}_Q \left(\frac{1}{r} \right) d\omega_Q$$

$$\text{Însă } \int_{\Omega} \rho(Q) \operatorname{grad}_Q \left(\frac{1}{r} \right) d\omega_Q = \int_{\Omega} \operatorname{grad}_Q \left[\frac{\rho(Q)}{r} \right] d\omega_Q - \int_{\Omega} \frac{1}{r} \operatorname{grad}_Q \rho(Q) d\omega_Q$$

$$\operatorname{grad}_P V(P) = \int_{\Omega} \frac{1}{r} \operatorname{grad}_Q \rho(Q) d\omega_Q - \int_{\Omega} \operatorname{grad}_Q \left[\frac{\rho(Q)}{r} \right] d\omega_Q$$

Vom aplica ultimei integrale, pentru domeniul $\Omega - \Omega_{\varepsilon}$, formula integrală a gradientului, care în general este de forma:

$$\int_{\Omega} \operatorname{grad} \varphi(Q) d\omega = \int_{\Sigma} \varphi(Q) \vec{n} d\sigma \quad (***)$$

$$\int_{\Omega - \Omega_{\varepsilon}} \operatorname{grad}_Q \left[\frac{\rho(Q)}{r} \right] d\omega_Q = \int_{\Sigma} \frac{\rho(Q)}{r} \vec{n} d\sigma - \int_{\Sigma_{\varepsilon}} \frac{\rho(Q)}{\varepsilon} \vec{n} \varepsilon^2 d\tilde{\omega} \quad (***)$$

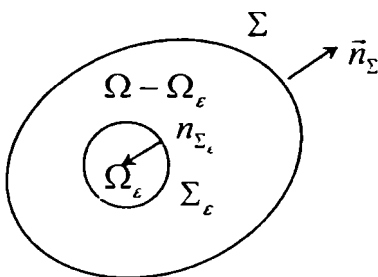


Fig.8

Observăm că norma exterioră a Σ (\vec{n}_{Σ}) este de sens contrar cu normala la Σ_{ε} ($\vec{n}_{\Sigma_{\varepsilon}}$) (v. Fig. 8).

Rezultă că:

$$\varepsilon \int_{\Sigma_{\varepsilon}} \rho(Q) \vec{n} d\tilde{\omega} \xrightarrow{\varepsilon \rightarrow 0} 0$$

Dacă în egalitatea (****) trec la limită făcând $\varepsilon \rightarrow 0$, vom obține:

$$\int_{\Omega} \operatorname{grad}_Q \left[\frac{\rho(Q)}{r} \right] d\omega_Q = \int_{\Sigma} \frac{\rho(Q)}{r} \vec{n} d\sigma_Q \quad (7.5)$$

În final:

$$\operatorname{grad}_P V(P) = \int_{\Omega} \frac{1}{r} \operatorname{grad}_Q \rho(Q) d\omega_Q - \int_{\Sigma} \frac{\rho(Q)}{r} \vec{n} d\sigma_Q \quad (7.6)$$

Să arătăm că dacă distribuția $\rho(Q)$ este de clasă C^n , atunci $V(P)$ admite derivate de ordinul doi.

Într-adevăr, prima integrală poate fi considerată ca un potențial cu distribuția de sarcină $\mu(Q) = \operatorname{grad}_Q \rho(Q)$. Ce-a de-a doua integrală este indefinit derivabilă în raport cu (x, y, z) dacă punctul P nu se află pe suprafața Σ . În concluzie dacă P se află în interiorul sau exteriorul lui Ω , rezultă că $V(P)$ admite derivate de ordinul doi.

Consecința 1. Dacă P este exterior domeniului Ω , atunci potențialul newtonian $V(P)$ verifică ecuația lui Laplace:

$$\Delta_P V(P) = 0 \quad (1)$$

* Pentru densitatea $\rho(Q)$ nu există date în literatură exemple de legi analitice.

Demonstrație.

$$V(P) = \int_{\Omega} \frac{\rho(Q)}{r} d\omega_Q$$

Cum $P \neq Q$ rezultă că nu avem singularități, integrandul este o funcție infinit derivabilă, deci $V(P)$ este cel puțin de clasă C^2 .

Derivez direct sub semnul integrală:

$$\Delta_p V(P) = \int_{\Omega} \Delta_p \left[\frac{\rho(Q)}{r} \right] d\omega_Q = \int_{\Omega} \rho(Q) \Delta_p \left(\frac{1}{r} \right) d\omega_Q = 0$$

deoarece se știe că $\Delta_p \left(\frac{1}{r} \right) = 0$

Consecința 2. Potențialul newtonian verifică în interiorul lui Ω ecuația lui Poisson:

$$\Delta_p V(P) = -4\pi\varphi(P) \quad (II)$$

Demonstrație. Știm că

$$\Delta_p V(P) = \operatorname{div}_p \operatorname{grad}_p V(P) \quad (II.1)$$

Aplic operatorul **div** integralei (7.6), care este o funcție vectorială:

$$\Delta_p V(P) = \int_{\Omega} \operatorname{div}_p \left[\frac{1}{r} \operatorname{grad}_Q \rho(Q) \right] d\omega_Q - \int_{\Sigma} \operatorname{div}_p \left[\frac{\rho(Q)}{r} \vec{n} \right] d\sigma_Q \quad (II.2)$$

Folosim identitatea:

$$\operatorname{div}(\lambda \vec{F}) = \vec{F} \operatorname{grad} \lambda + \lambda \operatorname{div} \vec{F} \quad (*)$$

și rezultă:

$$\begin{aligned} \Delta_p V(P) = & \int_{\Omega} \operatorname{grad}_p \left(\frac{1}{r} \right) \operatorname{grad}_Q \rho(Q) d\omega_Q + \int_{\Omega} \frac{1}{r} \operatorname{div}_p [\operatorname{grad}_Q \rho(Q)] d\omega_Q - \\ & \int_{\Sigma} \operatorname{grad}_p \left(\frac{1}{r} \right) \rho(Q) \vec{n} d\sigma - \int_{\Sigma} \frac{1}{r} \operatorname{div}_p [\rho(Q) \vec{n}] d\sigma \end{aligned}$$

Dar:

$$\begin{cases} \operatorname{div}_p [\operatorname{grad}_Q \rho(Q)] = 0 \\ \operatorname{div}_p [\rho(Q) \vec{n}] = 0 \end{cases} \Rightarrow$$

$$\Rightarrow \Delta_p V(P) = \int_{\Omega} \operatorname{grad}_p \left(\frac{1}{r} \right) \operatorname{grad}_Q \rho(Q) d\omega_Q - \int_{\Sigma} \operatorname{grad}_p \left(\frac{1}{r} \right) \rho(Q) \vec{n} d\sigma$$

Dacă folosim și egalitatea: $\operatorname{grad}_p \left(\frac{1}{r} \right) = -\operatorname{grad}_Q \left(\frac{1}{r} \right)$, avem:

$$\Delta_p V(P) = \int_{\Sigma} \rho(Q) \operatorname{grad}_Q \left(\frac{1}{r} \right) \vec{n} d\sigma - \int_{\Omega} \operatorname{grad}_Q \left(\frac{1}{r} \right) \operatorname{grad}_Q \rho(Q) d\omega_Q \quad (II.3)$$

Pe de altă parte, deoarece P se află în interiorul lui Ω , putem folosi relația:

$$4\pi\rho(P) = \int_{\Omega} \operatorname{grad}_Q \left(\frac{1}{r} \right) \operatorname{grad}_Q \rho(Q) d\omega_Q - \int_{\Sigma} \rho(Q) \frac{\partial}{\partial n} \left(\frac{1}{r} \right) d\sigma$$

$\Delta_p V(P) = -4\pi\rho(P) + \int_{\Sigma} \rho(Q) \operatorname{grad}_Q \left(\frac{1}{r} \right) \vec{n} d\sigma - \int_{\Sigma} \rho(Q) \frac{\partial}{\partial n} \left(\frac{1}{r} \right) d\sigma$, relație în care ultimele două integrale

se anulează deoarece $\operatorname{grad}_Q \left(\frac{1}{r} \right) \vec{n} = \frac{\partial}{\partial n} \left(\frac{1}{r} \right)$. Rezultă că $\Delta_p V(P) = -4\pi\rho(P)$, c.c.t.d.

§8. Expresia asimptotică a potențialului de volum

Considerăm domeniul Ω în care avem dată o distribuție continuă $\rho(Q)$; fie punctul O originea sistemului de axe. Vom presupune că domeniul Ω , este mărginit, deci \exists o sferă cu centrul în O de rază R care conține în interiorul său domeniul Ω (v. Fig. 9). Fie $Q(\xi, \eta, \zeta)$ în Ω și $P(x, y, z)$ exterior sferei de rază R .

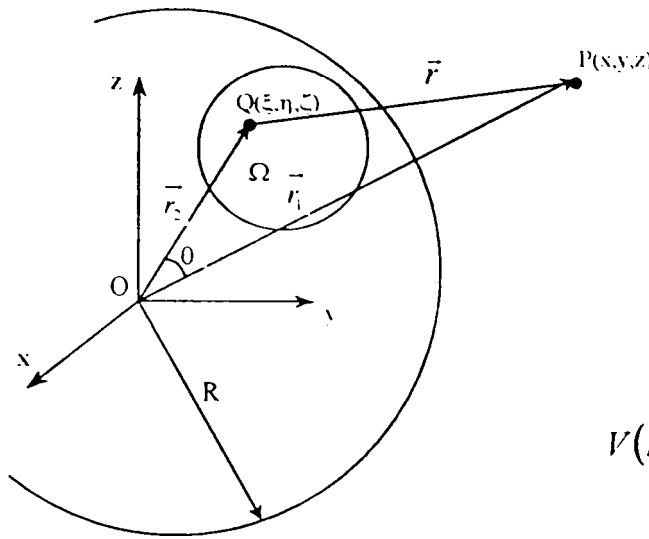


Fig.9

În ΔOQP aplic teorema lui Pitagora generalizată:

$$r^2 = r_1^2 - 2r_1r_2 \cos \theta + r_2^2$$

$$\Rightarrow \frac{1}{r} = \frac{1}{\sqrt{r_1^2 - 2r_1r_2 \cos \theta + r_2^2}}$$

Potențialul creat de acest corp (Ω) în punctul P al spațiului este:

$$V(P) = \int_{\Omega} \frac{\rho(Q)}{r} d\omega_Q = \int_{\Omega} \frac{\rho(Q)}{\sqrt{r_1^2 - 2r_1r_2 \cos \theta + r_2^2}} d\omega_Q$$

$$\text{Deoarece } r_1 > r_2 \Rightarrow \frac{r_2}{r_1} < 1 \quad \Rightarrow \quad \frac{1}{r} = \frac{1}{r_1 \sqrt{1 - 2 \frac{r_2}{r_1} \cos \theta + \left(\frac{r_2}{r_1}\right)^2}};$$

Se notează de obicei $\frac{r_2}{r_1} = t$; $\cos \theta = x$

$$\Rightarrow \frac{1}{r} = g(t, x) = \frac{1}{\sqrt{1 - 2tx + t^2}} \quad \text{unde } |t| < 1$$

Rezultă că $g(t, x)$ se poate dezvolta într-o serie de puteri după puterile pozitive ale lui t :

$$g(t, x) = [1 - 2tx + t^2]^{-\frac{1}{2}} = [1 - t(2x - t)]^{-\frac{1}{2}} = \sum_{n=0}^{\infty} t^n P_n(x)$$

Notez: $t(2x - t) = u \Rightarrow g(t, x) = (1 - u)^{-\frac{1}{2}}$

Știm că: $(1 - z)^\lambda = 1 - \frac{\lambda}{1!} z + \frac{\lambda(\lambda - 1)}{2!} z^2 - \dots + (-1)^n \frac{\lambda(\lambda - 1) \dots (\lambda - n + 1)}{n!} z^n + \dots$

Dar cum $z = u$ și $\lambda = -\frac{1}{2}$, avem: $(1 - u)^{-\frac{1}{2}} = 1 + \frac{1}{2} u + \frac{1 \cdot 3}{2^2 \cdot 2!} u^2 + \dots + \frac{1 \cdot 3 \cdot \dots \cdot (2n - 1)}{2^n \cdot n!} u^n + \dots$

Ne interesează coeficientul lui t^n . Ultimul termen care-l conține pe t^n va fi:

$$u^n = t^n (2x - t)^n = \dots A(2x)^n t^n$$

$$u^{n-k} = t^{n-k} (2x - t)^{n-k} = \dots \quad \text{Aici coeficientul lui } t^n \text{ va fi: } (-1)^k \cdot C_{n-k}^k (2x)^{n-2k} t^n$$

Deci coeficientul căutat al lui t^n va fi: $P_n(x) = \sum_{k=0}^{\lfloor \frac{n}{2} \rfloor} (-1)^k C_{n-k}^k \frac{1 \cdot 3 \cdot \dots \cdot (2n - 2k - 1)}{2^{n-k} (n-k)!} (2x)^{n-2k}$

unde $\left[\frac{n}{2} \right]$ este partea întreagă a numărului.

$$P_n(x) = \sum_{k=0}^{\left[\frac{n}{2} \right]} (-1)^k C_{n-k}^k \frac{1 \cdot 3 \cdot \dots \cdot (2n-2k-1)}{2^k (n-k)!} x^{n-2k} \quad (8.1)$$

Aceste expresii se numesc *polinoamele Legendre* (sau funcțiile Legendre de prima speță).

$$\text{Dar: } C_{n-k}^k = \frac{(n-k)!}{k!(n-2k)!}$$

Deci:

$$P_n(x) = \sum_{k=0}^{\left[\frac{n}{2} \right]} (-1)^k \frac{1 \cdot 3 \cdot \dots \cdot (2n-2k-1)}{2^k \cdot k!(n-2k)!} x^{n-2k}, \text{ amplific cu: } 2^n (n-k)!$$

$$\Rightarrow \frac{1 \cdot 3 \cdot \dots \cdot (2n-2k-1)}{2^k \cdot k!(n-2k)!} \cdot \frac{2^n (n-k)!}{2^n (n-k)!} = \frac{1 \cdot 3 \cdot \dots \cdot (2n-2k-1) \cdot 2^{n-k} \cdot (n-k)!}{2^n \cdot k!(n-k)!(n-2k)!}$$

$$\text{Dar } 2^{n-k} (n-k)! = \underbrace{2 \cdot 2 \cdot \dots \cdot 2}_{(n-k) \text{ factori}} \cdot 1 \cdot 2 \cdot 3 \cdot \dots \cdot (n-k) = 2 \cdot 4 \cdot 6 \cdot \dots \cdot (2n-2k)$$

$$P_n(x) \Rightarrow \frac{1 \cdot 2 \cdot 3 \cdot 4 \cdot 5 \cdot 6 \cdot \dots \cdot (2n-2k-1) \cdot (2n-2k)}{2^n \cdot k!(n-k)!(n-2k)!} = \frac{(2n-2k)!}{2^n \cdot k!(n-k)!(n-2k)!}$$

$$P_n(x) = \sum_{k=0}^{\left[\frac{n}{2} \right]} (-1)^k \frac{(2n-2k)!}{2^n \cdot k!(n-k)!(n-2k)!} \cdot x^{n-2k}$$

$$\begin{aligned} \text{Pentru } n=0 & \Rightarrow P_0(x) = 1 \\ n=1 & \Rightarrow P_1(x) = \dots \\ n=2 & \Rightarrow P_2(x) = \dots \end{aligned}$$

Se poate demonstra însă că mai putem scrie:

$$P_n(x) = \frac{1}{2^n \cdot n!} \frac{d^n}{dx^n} (x^2 - 1)^n \quad \text{relație cunoscută sub numele de } \textit{formula lui Rodrigues}.$$

De aici rezultă mult mai ușor:

$$P_1(x) = x$$

$$P_2(x) = \frac{1}{2}(3x^2 - 1)$$

$$\frac{1}{2^2 \cdot 2!} \frac{d^2}{dx^2} [(x^2 - 1)^2] = \frac{1}{8} \frac{d}{dx} [2(x^2 - 1) \cdot 2x] = \frac{1}{2}(3x^2 - 1), \text{ etc.}$$

Revenim la notațiile din problema noastră inițială:

$$\frac{1}{r} = \frac{1}{r_1} \sum_{n=0}^{\infty} \left(\frac{r_2}{r_1} \right)^n P_n(\cos \theta)$$

$$V(P) = \int_{\Omega} \rho(Q) \frac{1}{r} d\omega_Q = \frac{1}{r_1} \sum_{n=0}^{\infty} \int_{\Omega} \rho(Q) \left(\frac{r_2}{r_1} \right)^n P_n(\cos \theta) d\omega_Q = \frac{1}{r_1} \sum_{n=0}^{\infty} \frac{1}{r_1^n} \int_{\Omega} \rho(Q) r_2^n P_n(\cos \theta) d\omega_Q$$

Se notează:

$$V_n(P) = \frac{1}{r_1^n} \int_{\Omega} \rho(Q) r_2^n P_n(\cos \theta) d\omega_Q$$

$$\Rightarrow V(P) = \frac{1}{r_1} \sum_{n=0}^{\infty} V_n(P) \quad (8.2)$$

Această scriere se numește *formula asimptotică a potențialului de volum*.

Calculăm mai întâi *aproximația de ordinul zero*.

$$n=0 \Rightarrow V_0(P) = \frac{1}{r_1^0} \int_{\Omega} \rho(Q) r_2^0 P_0(\cos \theta) d\omega_Q = \int_{\Omega} \rho(Q) d\omega_Q = m$$

unde m reprezintă masa totală a corpului nostru Ω .

Calculăm *aproximația de ordinul 1*

$$n=1 \Rightarrow V_1(P) = \frac{1}{r_1} \int_{\Omega} \rho(Q) r_2 \cos \theta d\omega_Q$$

$$\text{dar: } \cos \theta = \frac{\vec{r}_1 \cdot \vec{r}_2}{r_1 r_2}$$

$$\text{Cum: } \begin{cases} \vec{r}_1 = \vec{i}x + \vec{j}y + \vec{k}z \\ \vec{r}_2 = \vec{i}\xi + \vec{j}\eta + \vec{k}\zeta \end{cases} \Rightarrow \cos \theta = \frac{x\xi + y\eta + z\zeta}{r_1 r_2}$$

$$V_1(P) = \frac{1}{r_1^2} \int_{\Omega} \rho(Q) [x\xi + y\eta + z\zeta] d\omega_Q \quad (8.3)$$

$$\text{Dar, vectorul care ne dă poziția centrului de masă este: } \vec{C}(\bar{x}, \bar{y}, \bar{z}) = \frac{\int_{\Omega} \vec{r}_2(\xi, \eta, \zeta) \rho(\xi, \eta, \zeta) d\xi d\eta d\zeta}{m = \int_{\Omega} \rho(\xi, \eta, \zeta) d\xi d\eta d\zeta}$$

Notez de asemenea:

$$m\bar{x} = \int_{\Omega} \xi \rho(\xi, \eta, \zeta) d\xi d\eta d\zeta = M_1$$

$$m\bar{y} = \int_{\Omega} \eta \rho(\xi, \eta, \zeta) d\xi d\eta d\zeta = M_2$$

$$m\bar{z} = \int_{\Omega} \zeta \rho(\xi, \eta, \zeta) d\xi d\eta d\zeta = M_3$$

$$\Rightarrow V_1(P) = \frac{1}{r_1} [xM_1 + yM_2 + zM_3] \quad (8.4)$$

Calculăm *aproximația de ordinul 2*:

$$n=2 \Rightarrow V_2(P) = \frac{1}{r_1^2} \int_{\Omega} \rho(Q) r_2^2 \frac{(3 \cos^2 \theta - 1)}{2} d\omega_Q$$

$$V_2(P) = \frac{1}{2r_1^2} \int_{\Omega} \rho(Q) r_2^2 \frac{[3(x\xi + y\eta + z\zeta)^2 - r_1^2 r_2^2]}{r_1^2 r_2^2} d\omega_Q =$$

$$= \frac{1}{2r_1^4} \int_{\Omega} \rho(Q) \{3(x\xi + y\eta + z\zeta)^2 - [(x^2 + y^2 + z^2)(\xi^2 + \eta^2 + \zeta^2)]\} d\omega_Q =$$

$$= \frac{1}{2r_1^4} \int_{\Omega} \rho(Q) \{3(x^2 \xi^2 + y^2 \eta^2 + z^2 \zeta^2 + 2xy\xi\eta + 2xz\xi\zeta + 2yz\eta\zeta) - (x^2 + y^2 + z^2)(\xi^2 + \eta^2 + \zeta^2)\} d\omega_Q$$

Dacă notez: $x_1 = \xi; \quad x_2 = \eta; \quad x_3 = \zeta$
 și $M_{ik} = \int_{\Omega} \rho(\xi, \eta, \zeta) x_i x_k d\xi d\eta d\zeta$

$$\Rightarrow V_2(P) = \frac{1}{2r_1^4} \left\{ x^2 [3M_{11} - (M_{11} + M_{22} + M_{33})] + y^2 [3M_{22} - (M_{11} + M_{22} + M_{33})] + \right. \\ \left. + z^2 [3M_{33} - (M_{11} + M_{22} + M_{33})] + 6xyM_{12} + 6xzM_{13} + 6yzM_{23} \right\}$$

$$V_2(P) = \frac{1}{2r_1^4} \left[x^2(M_{11} - M_{22}) + x^2(M_{11} - M_{33}) + y^2(M_{22} - M_{11}) + y^2(M_{22} - M_{33}) + \right. \\ \left. + z^2(M_{33} - M_{11}) + z^2(M_{33} - M_{22}) + 6xyM_{12} + 6xzM_{13} + 6yzM_{23} \right]$$

$$V_2(P) = \frac{1}{2r_1^4} \left[(M_{11} - M_{22})(x^2 - y^2) + (M_{11} - M_{33})(x^2 - z^2) + (M_{22} - M_{33})(y^2 - z^2) + \right. \\ \left. + 6xyM_{12} + 6xzM_{13} + 6yzM_{23} \right] \quad (8.5)$$

Observăm că pentru corpul nostru care ocupă domeniul Ω , avem momentele de inerție (notate cu A, B, C):

$$J_{xx} = A = \int_{\Omega} \rho(Q)(x_2^2 + x_3^2) d\omega_Q = M_{22} + M_{33}$$

$$J_{yy} = B = \int_{\Omega} \rho(Q)(x_1^2 + x_3^2) d\omega_Q = M_{11} + M_{33}$$

$$J_{zz} = C = \int_{\Omega} \rho(Q)(x_1^2 + x_2^2) d\omega_Q = M_{11} + M_{22}$$

Atunci:

$$V_2(Q) = \frac{1}{2r_1^4} \left[(B - A)(x^2 - y^2) + (C - A)(x^2 - z^2) + (C - B)(y^2 - z^2) + \right. \\ \left. + 6xyM_{12} + 6xzM_{13} + 6yzM_{23} \right]$$

Deci, în general:

$$V(P) = \frac{m}{r_1} + \frac{1}{r_1^3} [xM_1 + yM_2 + zM_3] + \quad (8.6) \\ + \frac{1}{2r_1^5} \left[(B - A)(x^2 - y^2) + (C - A)(x^2 - z^2) + (C - B)(y^2 - z^2) + 6xyM_{12} + 6xzM_{13} + 6yzM_{23} \right] + \dots$$

Dacă alegem originea O astfel încât să coincidă cu centrul de masă, de coordonate $\bar{x}, \bar{y}, \bar{z}$, atunci $\bar{x} = \bar{y} = \bar{z} = 0$ și relația precedentă se simplifică mult.

* * *

DESPRE FUNCȚIA LUI GREEN

Să considerăm ecuația diferențială a lui Laplace:

$$\frac{\partial^2 u}{\partial x^2} + \frac{\partial^2 u}{\partial y^2} + \frac{\partial^2 u}{\partial z^2} = 0 \quad \Rightarrow \quad \Delta u = 0 \quad (1)$$

unde Δ este cunoscutul operator al lui Laplace; știm că soluțiile acestei ecuații se numesc *funcții armonice*, iar ecuația se întâlnește în teoria potențialului* (v. Anexa 1).

Rezolvarea acestei ecuații se face întotdeauna căutând niște soluții (unice!) care să satisfacă anumite condiții la limită, care în general sunt de forma:

$$\alpha u + \beta \frac{\partial u}{\partial n} = \gamma \quad (2)$$

unde α și β sunt niște constante date sau niște funcții cunoscute pe frontieră, iar γ de asemenea o funcție dată pe frontieră; $\frac{\partial u}{\partial n}$, este derivata normală.

În privința acestor condiții la limită deosebim două cazuri particulare importante:

a) $\alpha = 1$; $\beta = 0$, adică $u = \gamma$ pe frontieră; aceasta este numită *problema interioară a lui Dirichlet*.

b) $\alpha = 0$; $\beta = 1$, adică $\frac{\partial u}{\partial n} = \gamma$ pe frontieră; aceasta este numită *problema lui Neumann*.

Vom folosi o soluție particulară a ecuației lui Laplace (2) cu simetrie sferică, presupunând că u este funcție numai de distanța $r = (x^2 + y^2 + z^2)^{1/2}$ dintre două puncte ale domeniului de definiție; atunci, din relația (***) deoarece $\frac{\partial u}{\partial \theta} = 0$ și $\frac{\partial u}{\partial \varphi} = 0$, ecuația lui Laplace se scrie sub forma:

$$\frac{1}{r^2} \frac{d}{dr} \left(r^2 \frac{du}{dr} \right) = 0 \quad (3)$$

care după simplificare cu r^2 ne dă: $\frac{d}{dr} \left(r^2 \frac{du}{dr} \right) = 0 \Rightarrow r^2 \frac{du}{dr} = a \Rightarrow \frac{du}{dr} = \frac{a}{r^2}$.

Integrând încă o dată rezultă:

$$u = -\frac{a}{r} + b \quad (4)$$

* Se găsește demonstrată în literatură expresia operatorului lui Laplace în diverse sisteme de coordonate:

- în coordonate curbilini (ortogonale)

$$\Delta u = \frac{1}{h_1 h_2 h_3} \left[\frac{\partial}{\partial q_1} \left(\frac{h_2 h_3}{h_1} \frac{\partial u}{\partial q_1} \right) + \frac{\partial}{\partial q_2} \left(\frac{h_3 h_1}{h_2} \frac{\partial u}{\partial q_2} \right) + \frac{\partial}{\partial q_3} \left(\frac{h_1 h_2}{h_3} \frac{\partial u}{\partial q_3} \right) \right] \quad (*)$$

- în coordonate polare în spațiu (coordonate sferice):

$$\Delta u = \frac{1}{r^2 \sin \theta} \left[\frac{\partial}{\partial r} \left(r^2 \sin \theta \frac{\partial u}{\partial r} \right) + \frac{\partial}{\partial \theta} \left(\sin \theta \frac{\partial u}{\partial \theta} \right) + \frac{\partial}{\partial \varphi} \left(\frac{1}{\sin \theta} \frac{\partial u}{\partial \varphi} \right) \right] \quad (**)$$

$$\text{sau } \Delta u = \frac{1}{r^2} \left[\frac{\partial}{\partial r} \left(r^2 \frac{\partial u}{\partial r} \right) + \frac{1}{\sin \theta} \frac{\partial}{\partial \theta} \left(\sin \theta \frac{\partial u}{\partial \theta} \right) + \frac{1}{\sin^2 \theta} \frac{\partial^2 u}{\partial \varphi^2} \right] \quad (***)$$

- în coordonate cilindrice:

$$\Delta u = \frac{1}{r} \frac{\partial}{\partial r} \left(r \frac{\partial u}{\partial r} \right) + \frac{1}{r^2} \frac{\partial^2 u}{\partial \varphi^2} + \frac{\partial^2 u}{\partial z^2} \quad (****)$$

Aici a și b sunt constante arbitrare de integrare; să facem în particular $a = -1$; $b = 0$. Obținem:

$$u = \frac{1}{r} = \frac{1}{\sqrt{x^2 + y^2 + z^2}} \quad (5)$$

Această funcție este evident o **soluție particulară a ecuației lui Laplace, care însă devine infinită în punctul $r=0$.**

Să considerăm acum un domeniu \mathcal{D} (spațial) mărginit de o suprafață S . Fie un punct P în interiorul domeniului \mathcal{D} și un punct Q care poate parcurge suprafața S . Să considerăm încă niște soluții ale ecuației (2) notate:

$$V = \frac{1}{r_{PQ}} \quad (6)$$

Evident V este o funcție armonică în \mathcal{D} discontinuă în P .

u este o funcție armonică și regulată în \mathcal{D} (adică funcția și derivatele ei de ordinul întâi și al doilea neavând discontinuități în \mathcal{D}).

Avem evident:

$$\Delta V = 0 \quad ; \quad \Delta u = 0 \quad (7)$$

Ne folosim acum de una din formulele integrale a lui Green^{*}, (b), în care facem: $\psi = u$; $\varphi = v$, în acest caz integrala spațială este nulă (vezi (7)) și ne rămâne:

$$\iint_{\Sigma} \left(u \frac{\partial v}{\partial n} - v \frac{\partial u}{\partial n} \right) dS = 0 \quad (8)$$

Vom lua normala dirijată spre interiorul domeniului. Înconjurăm punctul de discontinuitate P cu o sferă K de rază foarte mică ε și extindem integrala de suprafață și la această sferă. Rezultă:

$$\iint_S \left[u \frac{\partial}{\partial n} \left(\frac{1}{r_{PQ}} \right) - \frac{1}{r_{PQ}} \frac{\partial u}{\partial n} \right] dS + \iint_K \left[u \frac{\partial}{\partial n} \left(\frac{1}{r_{PQ}} \right) - \frac{1}{r_{PQ}} \frac{\partial u}{\partial n} \right] d\Sigma = 0 \quad (9)$$

unde $d\Sigma$ este elementul de arie al sferei K :

$$d\Sigma = \varepsilon^2 d\Omega = \varepsilon^2 \sin \theta d\theta d\varphi \quad (10)$$

Să observăm însă că sfera K are raza foarte mică, iar versorul normalei \vec{n} este dirijat spre exteriorul sferei K , adică spre interiorul domeniului \mathcal{D} ; atunci a doua integrală (9) o putem pune:

$$\frac{1}{r_{PQ}} = \frac{1}{\varepsilon} \quad ; \quad \frac{\partial}{\partial n} \left(\frac{1}{r_{PQ}} \right) = \frac{\partial}{\partial r_{PQ}} \left(\frac{1}{r_{PQ}} \right) = -\frac{1}{\varepsilon^2} \quad (11)$$

Egalitatea (9) devine:

$$\iint_S \left[u \frac{\partial}{\partial n} \left(\frac{1}{r_{PQ}} \right) - \frac{1}{r_{PQ}} \frac{\partial u}{\partial n} \right] dS = \iint_K \left(\frac{1}{\varepsilon^2} u + \frac{1}{\varepsilon} \frac{\partial u}{\partial r_{PQ}} \right) \varepsilon^2 d\Omega \quad (12)$$

Dacă vom nota cu \bar{u} și $\overline{\partial u / \partial r_{PQ}}$ valorile medii pe suprafața sferei K ale funcției u și ale derivatei sale (să nu uităm că ε este foarte mic), putem scrie (deoarece \bar{u} și $\overline{\partial u / \partial r_{PQ}}$ sunt constante și ies de sub integrală):

* Formulele lui Green (v. Anexa 1):

- prima formulă a lui Green (numită și prima teoremă a lui Green-Gauss):

$$\iiint_D (\psi \Delta \varphi + \text{grad} \psi \text{grad} \varphi) d\tau = \iint_{\Sigma} \psi \frac{\partial \varphi}{\partial n} dS \quad (a)$$

- a doua formulă a lui Green:

$$\iiint_D (\psi \Delta \varphi - \varphi \Delta \psi) d\tau = \iint_{\Sigma} \left(\psi \frac{\partial \varphi}{\partial n} - \varphi \frac{\partial \psi}{\partial n} \right) dS \quad (b)$$

$$\begin{cases} \iint_K u d\Omega = \iint_K u \sin \theta d\theta dy = 4\pi\bar{u} \\ \iint_K \frac{\partial u}{\partial r_{PQ}} d\Omega = 4\pi \left(\overline{\frac{\partial u}{\partial r_{PQ}}} \right) \end{cases} \quad (13)$$

Atunci ecuația (12) devine:

$$\iint_S \left[u \frac{\partial}{\partial n} \left(\frac{1}{r_{PQ}} \right) - \frac{1}{r_{PQ}} \frac{\partial u}{\partial n} \right] dS = 4\pi\bar{u} + 4\pi \left(\overline{\frac{\partial u}{\partial r_{PQ}}} \right) \cdot \varepsilon \quad (14)$$

Dacă facem ca $\varepsilon \rightarrow 0$, observăm că atunci $\bar{u} \rightarrow u_p$ și obținem:

$$u_p = \frac{1}{4\pi} \iint_S \left[u \frac{\partial}{\partial n} \left(\frac{1}{r_{PQ}} \right) - \frac{1}{r_{PQ}} \frac{\partial u}{\partial n} \right] dS \quad (15)$$

Această formulă ne permite să calculăm soluția într-un punct oarecare P al domeniului \mathcal{D} când cunoaștem valorile lui u și ale derivatei sale normale pe frontiera domeniului. Așa se leagă metoda elementelor de frontieră de punctele din interiorul domeniului.

Ne vom mărgini numai la problema lui Dirichlet. Dacă pe frontiera domeniului este dată numai funcția u este convenabil ca în relația de mai sus să se elimine din membrul al doilea derivata normală $\partial u / \partial n$. Aceasta se face în felul următor: Să considerăm o nouă funcție armonică H regulată în întregul domeniu \mathcal{D} , adică astfel încât să avem:

$$\Delta H = 0 \quad (16)$$

Funcția H nu are puncte de discontinuitate în \mathcal{D} , atunci din formula lui Green (b) în care facem $\psi = u$, $\varphi = H$, dacă luăm normala pozitivă spre interior, obținem:

$$0 = \iint_S \left(u \frac{\partial H}{\partial n} - H \frac{\partial u}{\partial n} \right) dS \quad (17)$$

Adunând (15) cu (17) obținem:

$$u_p = \frac{1}{4\pi} \iint_S \left[u \frac{\partial}{\partial n} \left(H + \frac{1}{r_{PQ}} \right) - \left(H + \frac{1}{r_{PQ}} \right) \frac{\partial u}{\partial n} \right] dS \quad (18)$$

Dacă impunem o condiție ca funcția H să fie astfel încât pe frontiera S a domeniului să avem:

$$H + \frac{1}{r_{PQ}} = 0 \quad (19)$$

egalitatea (18) devine:

$$u_p = \frac{1}{4\pi} \iint_S u \left[\frac{\partial}{\partial n} \left(H + \frac{1}{r_{PQ}} \right) \right] dS \quad (20)$$

Notăm cu (x, y, z) coordonatele punctului P și cu (ξ, η, ζ) coordonatele punctului Q de pe frontieră. Rezultă:

$$u(x, y, z) = \frac{1}{4\pi} \iint_S u(\xi, \eta, \zeta) \left[\frac{\partial}{\partial n} \left(H + \frac{1}{r_{PQ}} \right) \right] dS \quad (21)$$

Să observăm că în ultimele relații nu mai apare derivata normală a funcției u . Atunci funcția:

$$\boxed{G(x, y, z / \xi, \eta, \zeta) = \frac{1}{4\pi} \left(H + \frac{1}{r_{PQ}} \right)}$$

(22)

se numește *funcția lui Green*.

Cu această notație relația (21) se scrie:

$$u(x, y, z) = \iint_S u(\xi, \eta, \zeta) \frac{\partial}{\partial n} G(x, y, z / \xi, \eta, \zeta) dS \quad (23)$$

Am redus astfel rezolvarea problemei lui Dirichlet la determinarea unei funcții a lui Green, cu următoarele proprietăți:

- $$\left\{ \begin{array}{l} \text{a) } G \text{ este armonică în întreg domeniul } D. \\ \text{b) } G \text{ este regulată în acest domeniu cu excepția punctului } P \text{ unde devine infinită, comportându-se ca } H + \frac{1}{r_{PQ}}. \\ \text{c) } G \text{ este nulă pe frontiera } S \text{ a domeniului } \mathcal{D}. \end{array} \right.$$

Problema exterioară a lui Dirichlet

Se poate pune și problema determinării unei funcții armonice într-un domeniu D exterior suprafeței S, regulată la infinit și luând pe suprafața S o serie continuă de valori date. Aceasta se numește problema exterioară a lui Dirichlet.

Ea se poate reduce la problema interioară printr-o transformare prin raze reciproce relativă la un punct O din interiorul suprafeței S; astfel domeniul D exterior suprafeței S este înlocuit cu un domeniu D' interior unei alte suprafețe S'. Transformarea prin raze reciproce este de forma:

$$x = \frac{x'}{r'^2}, \quad y = \frac{y'}{r'^2}, \quad z = \frac{z'}{r'^2} \quad (24)$$

unde $r'^2 = x'^2 + y'^2 + z'^2$ și transformă soluția $u(x, y, z)$ a ecuației (1) în soluția:

$$U(x', y', z') = \frac{1}{\sqrt{x'^2 + y'^2 + z'^2}} u\left(\frac{x'}{x'^2 + y'^2 + z'^2}, \frac{y'}{x'^2 + y'^2 + z'^2}, \frac{z'}{x'^2 + y'^2 + z'^2}\right) \quad (25)$$

Ecuația Poisson

Prin același procedeu ca mai sus se poate deduce și o soluție a ecuației lui Poisson:

$$\Delta U = \varphi(x, y, z) \quad (26)$$

unde $\varphi(x, y, z)$ este o funcție cunoscută.

Pornim tot de la formula lui Green (b), unde schimbăm orientarea normalei orientând-o spre interior, înlocuind pe ΔU prin $\varphi(x, y, z)$ și introducând pe v , soluție a ecuației $\Delta v = 0$. Obținem:

$$\iiint_D \varphi \cdot v \cdot d\tau = \iint_S \left[u \frac{\partial v}{\partial n} - v \frac{\partial u}{\partial n} \right] dS \quad (27)$$

Alegând $v = \frac{1}{r_{PQ}}$, ca și mai sus, avem:

$$u_p = \frac{1}{4\pi} \iint_S \left[u \frac{\partial}{\partial n} \left(\frac{1}{r_{PQ}} \right) - \frac{1}{r_{PQ}} \frac{\partial u}{\partial n} \right] dS - \frac{1}{4\pi} \iiint_D \varphi \frac{1}{r_{PQ}} d\tau \quad (28)$$

Dacă punem: $v=H$, H fiind o funcție armonică regulată în \mathcal{D} , avem:

$$0 = \frac{1}{4\pi} \iint_S \left(u \frac{\partial H}{\partial n} - H \frac{\partial u}{\partial n} \right) dS - \frac{1}{4\pi} \iiint_D \varphi H d\tau \quad (29)$$

Adunând egalitățile (28) și (29) și substituind funcția lui Green (22) se obține soluția ecuației lui Poisson (26).

$$u(x, y, z) = \iint_S \left[u(\xi, \eta, \zeta) \frac{\partial}{\partial n} G(x, y, z / \xi, \eta, \zeta) \right] dS + f(x, y, z) \quad (30)$$

unde am pus:

$$f(x, y, z) = -\iiint_D \varphi(\xi, \eta, \zeta) G(x, y, z / \xi, \eta, \zeta) d\xi d\eta d\zeta \quad (31)$$

deoarece $d\tau = d\xi d\eta d\zeta$.

Aplicatie Să arătăm cum se poate transforma o ecuație diferențială de forma $\Delta u + \lambda u = 0$ într-o ecuație integrală, cu ajutorul funcției Green.

$$\Delta u + \lambda u = 0 \quad (I)$$

Fie u o soluție a ecuației (I) - într-un domeniu (spațial) \mathcal{D} mărginit de suprafața S - care satisface condiția la limită:

$$u = 0 \text{ pe frontiera } S \quad (II)$$

Transformarea ecuației diferențiale (I) într-o ecuație integrală pe S , se poate face în mai multe moduri; vom arăta aici cum se poate face acest lucru cu ajutorul funcției lui Green definită mai sus:

$$G(x, y, z / \xi, \eta, \zeta) = \frac{1}{4\pi} \left(H + \frac{1}{r_{PQ}} \right) \quad (III)$$

$$\text{Deoarece } \Delta H = 0, \Delta \left(\frac{1}{r_{PQ}} \right) = 0 \Rightarrow \Delta G = 0 \quad (IV)$$

După cum a fost definită, funcția G este nulă pe frontieră, deci:

$$G = 0 \text{ pe frontiera } S \quad (V)$$

Să aplicăm funcțiilor G și u formulele lui Green (b) unde vom lua versorul normalei \vec{n} spre interiorul domeniului \mathcal{D} . Avem:

$$\iiint_D (G\Delta u - u\Delta G) d\tau = -\iint_S \left(G \frac{\partial u}{\partial n} - u \frac{\partial G}{\partial n} \right) dS \quad (VI)$$

Înconjurăm punctul de discontinuitate P printr-o sferă de rază foarte mică ($\epsilon \rightarrow 0$) și extindem integrala de suprafață și la această sferă; vom scrie ținând cont de ecuația (III):

$$\iiint_D (G\Delta u - u\Delta G) d\tau = -\iint_S \left(G \frac{\partial u}{\partial n} - u \frac{\partial G}{\partial n} \right) dS - \underbrace{\frac{1}{4\pi} \iint_K \left(H \frac{\partial u}{\partial n} - u \frac{\partial H}{\partial n} \right) dS}_{=0} - \underbrace{\frac{1}{4\pi} \iint_K \left[\frac{1}{r_{PQ}} \frac{\partial u}{\partial n} - u \frac{\partial}{\partial n} \left(\frac{1}{r_{PQ}} \right) \right] dS}_{=-u_p} \quad (VII)$$

Cum am arătat la început ultima integrală este tocmai $-u_p$, penultima este 0, deci:

$$u_p = \iiint_D (G\Delta u - u\Delta G) d\tau + \iint_S \left(G \frac{\partial u}{\partial n} - u \frac{\partial G}{\partial n} \right) dS \quad (VIII)$$

Dar, u și G sunt nule pe frontiera S , $\Delta G = 0$, $\Delta u = -k^2 u$ (am notat $\lambda = k^2$); obținem ecuația integrală:

$$u(x, y, z) = -k^2 \iiint_D G(x, y, z / \xi, \eta, \zeta) u(\xi, \eta, \zeta) d\xi d\eta d\zeta \quad (IX)$$

Analog transformăm și ecuația

$$\Delta u + k^2 u = \varphi \quad (X)$$

unde $\varphi = \varphi(x, y, z)$ este o funcție cunoscută și $u=0$ pe S .

Se pune $\Delta u = -k^2 u + \varphi$ și se obține ecuația integrală:

$$u(x, y, z) = -k^2 \iiint_D G(x, y, z / \xi, \eta, \zeta) u(\xi, \eta, \zeta) d\xi d\eta d\zeta + f(x, y, z) \quad (XI)$$

unde:

$$f(x, y, z) = \iiint_D G(x, y, z / \xi, \eta, \zeta) \varphi(\xi, \eta, \zeta) d\xi d\eta d\zeta \quad (XII)$$

**UTILIZAREA FUNCȚIILOR DE VARIABILĂ COMPLEXĂ ÎN REZOLVAREA
PROBLEMELOR PLANE DE TEORIA ELASTICITĂȚII.
REPREZENTAREA LUI GOURSAT.
ECUAȚIILE LUI KOLOSOV-MUSHELISHVILI**

§1. Introducere

În studiul stării plane de tensiune sau deformație se demonstrează că toate mărimile mecanice care intervin (tensiuni, deformații specifice, deplasări) – figurând ca necunoscute în problema generală a teoriei elasticității – sunt funcții biarmonice.

Se numește *funcție biarmonică* o funcție $f(x, y) \in C^4$, definită pe domeniul $D \subset R^2$ care satisface o ecuație diferențială de tipul

$$\Delta \Delta f(x, y) = 0 \Leftrightarrow \frac{\partial^4 f}{\partial x^4} + 2 \frac{\partial^4 f}{\partial x^2 \partial y^2} + \frac{\partial^4 f}{\partial y^4} = 0 \quad (1)$$

numită *ecuație biarmonică*.

Este necesar să observăm că orice funcție armonică este și biarmonică; astfel, dacă $\varphi(x, y) \in C^2$ este o funcție armonică, ceea ce înseamnă că este soluție a ecuației lui Laplace, $\Delta \varphi = 0$, atunci:

$$\Delta[\Delta \varphi] = 0 \Rightarrow \Delta \Delta \varphi = 0 \Rightarrow \varphi \text{ este o funcție biarmonică.}$$

§2. Operatorul lui Laplace în variabile complexe

În literatură se arată că teoria funcțiilor armonice este strâns legată de teoria funcțiilor analitice de variabilă complexă. Trecerea din domeniul real în domeniul complex are marele avantaj că poate să soluționeze probleme cu singularități, de exemplu cele întâlnite în teoria fisurilor.

Problema a fost începută de Goursat (1893), a primit o soluție interesantă în 1903 dată de Faylon, dezvoltată de Kolosov (1909) și în sfârșit adusă sub forma unei teorii complete de către Mushelișvili în perioada 1933-1953. De aceea în literatură se vorbește de metoda Kolosov-Mushelișvili.

Fie $f(x, y): D \subset R^2 \rightarrow R$ o funcție armonică, având derivate parțiale de ordinul doi, continue în domeniul D ; această funcție verifică evident ecuația lui Laplace:

$$\Delta f(x, y) = \frac{\partial^2 f}{\partial x^2} + \frac{\partial^2 f}{\partial y^2} = 0 \quad (1)$$

Să înlocuim variabilele independente x, y prin două variabile complex conjugate (facem o schimbare de variabile):

$$\begin{cases} z = x + iy \\ \bar{z} = x - iy \end{cases} \Rightarrow \begin{cases} x = \frac{z + \bar{z}}{2} = \operatorname{Re} z \\ y = \frac{z - \bar{z}}{2i} = \operatorname{Im} z \end{cases} \quad (T) \quad (2)$$

Prin transformarea (T) funcția $f(x, y)$ devine o funcție de variabilele z, \bar{z} :

$$f(x, y) \xrightarrow{(T)} f\left(\frac{z + \bar{z}}{2}, \frac{z - \bar{z}}{2i}\right) = f(z, \bar{z}) \quad (3)$$

Prin urmare este convenabil ca orice funcție (reală sau complexă) de punct $f(x, y)$ să fie pusă sub forma:

$$f(x, y) \equiv f(z, \bar{z}) \quad (3')$$

unde membrul al doilea poate fi întotdeauna scris efectiv cu ajutorul unei formule, dacă membrul întâi este dat printr-o formulă.

Să remarcăm că am făcut de fapt un abuz de notație, deoarece am păstrat simbolul funcțional f indiferent de faptul că avem de-a face cu variabilele (x, y) sau (z, \bar{z}) . Putem explica necesitatea acestui "abuz" dacă vom observa că \bar{z} este în fapt o funcție – chiar funcție continuă – de z . Se demonstrează însă că aceasta nu este o funcție derivabilă deoarece raportul $\frac{\partial \bar{z}}{\partial z}$ nu posedă o limită unic determinată pentru $\delta z \rightarrow 0$ ([S24]). Din acest motiv nu este convenabil să privim funcția f ca funcție de o singură variabilă complexă z .

Dacă derivăm expresiile (2) în raport cu x și y găsim:

$$\frac{\partial z}{\partial x} = 1 \quad ; \quad \frac{\partial z}{\partial y} = i \quad ; \quad \frac{\partial \bar{z}}{\partial x} = 1 \quad ; \quad \frac{\partial \bar{z}}{\partial y} = -i \quad (4)$$

Să căutăm derivatele parțiale de ordinul întâi ale funcției f în raport cu x și y , considerată însă ca o funcție compusă de z și \bar{z} :

$$\begin{cases} \frac{\partial f}{\partial x} = \frac{\partial f}{\partial z} \cdot \frac{\partial z}{\partial x} + \frac{\partial f}{\partial \bar{z}} \cdot \frac{\partial \bar{z}}{\partial x} = \frac{\partial f}{\partial z} + \frac{\partial f}{\partial \bar{z}} \\ \frac{\partial f}{\partial y} = \frac{\partial f}{\partial z} \cdot \frac{\partial z}{\partial y} + \frac{\partial f}{\partial \bar{z}} \cdot \frac{\partial \bar{z}}{\partial y} = i \left(\frac{\partial f}{\partial z} - \frac{\partial f}{\partial \bar{z}} \right) \end{cases} \quad (5)$$

De aici rezultă imediat:

$$\frac{\partial f}{\partial x} + i \frac{\partial f}{\partial y} = 2 \frac{\partial f}{\partial z} \quad ; \quad \frac{\partial f}{\partial x} - i \frac{\partial f}{\partial y} = 2 \frac{\partial f}{\partial \bar{z}} \quad (6)$$

În mod analog căutăm derivatele parțiale de ordinul doi ale funcției f :

$$\frac{\partial^2 f}{\partial x^2} = \frac{\partial}{\partial x} \left(\frac{\partial f}{\partial x} \right) = \frac{\partial}{\partial x} \left(\frac{\partial f}{\partial z} + \frac{\partial f}{\partial \bar{z}} \right) = \frac{\partial^2 f}{\partial z^2} + 2 \frac{\partial^2 f}{\partial z \partial \bar{z}} + \frac{\partial^2 f}{\partial \bar{z}^2} \quad (7)$$

$$\frac{\partial^2 f}{\partial y^2} = \frac{\partial}{\partial y} \left(\frac{\partial f}{\partial y} \right) = i \frac{\partial}{\partial y} \left(\frac{\partial f}{\partial z} - \frac{\partial f}{\partial \bar{z}} \right) = -\frac{\partial^2 f}{\partial z^2} + 2 \frac{\partial^2 f}{\partial z \partial \bar{z}} - \frac{\partial^2 f}{\partial \bar{z}^2} \quad (8)$$

Adunând aceste două relații termen cu termen obținem formula de transformare a operatorului lui Laplace funcție de noile variabile complexe z și \bar{z} , sau, cum se mai numește, *forma complexă a operatorului lui Laplace*:

$$\Delta f = \nabla^2 f = \frac{\partial^2 f}{\partial x^2} + \frac{\partial^2 f}{\partial y^2} = 4 \frac{\partial^2 f}{\partial z \partial \bar{z}} \quad (9)$$

Deci ecuația lui Laplace $\nabla^2 f = 0$, în noile variabile complexe z și \bar{z} are forma:

$$\frac{\partial^2 f(z, \bar{z})}{\partial z \partial \bar{z}} = 0 \quad (10)$$

Acest rezultat deosebit are marele avantaj că soluția generală este imediată și are forma sumei a două funcții analitice arbitrare de variabilele z și \bar{z} , adică:

$$f(z, \bar{z}) = F_1(z) + F_2(\bar{z}) \quad (11)$$

Justificarea este imediată: din (10) rezultă

$$\frac{\partial f}{\partial z} = f_1(z) \quad ; \quad \frac{\partial f}{\partial \bar{z}} = f_2(\bar{z})$$

iar diferența totală a funcției $f(z, \bar{z})$ se poate pune sub forma:

$$df = \frac{\partial f}{\partial z} dz + \frac{\partial f}{\partial \bar{z}} d\bar{z} = f_1(z) dz + f_2(\bar{z}) d\bar{z} \quad (*)$$

Fie $F_1(z)$ și $F_2(\bar{z})$ primitivele funcțiilor de variabilă complexă $f_1(z)$ și $f_2(\bar{z})$; atunci din (*) rezultă prin integrare expresia (11):

$$f(z, \bar{z}) = F_1(z) + F_2(\bar{z})$$

În concluzie:

- 1) Orice funcție armonică în baza relației (10) poate fi reprezentată ca suma a două funcții analitice arbitrare de variabilele complexe z și \bar{z} .
- 2) Funcția biarmonică este partea reală a unei expresii alcătuită cu două funcții olomorfe.

§3. Reprezentarea complexă a lui Goursat pentru funcții biarmonice. Cazul funcției potențial de tensiune a lui Airy^{*1}

Să revenim acum la funcția și ecuația biarmonică. Fie $U(x, y)$ o funcție continuă cu derivate continue, definită în domeniul D finit și simplu conex cu valori reale, și care satisface în acest domeniu o ecuație de tipul:

$$\nabla^2 \cdot \nabla^2 U(x, y) = 0 \Leftrightarrow \frac{\partial^4 U}{\partial x^4} + 2 \frac{\partial^4 U}{\partial x^2 \partial y^2} + \frac{\partial^4 U}{\partial y^4} = 0 \quad (12)$$

deci o *funcție de potențial de tip Airy*. Se vede atunci cu ușurință că funcția:

$$\nabla^2 U = p(x, y) \quad (13)$$

este o funcție armonică, deoarece

$$\nabla^2(\nabla^2 U) = \nabla^2 p(x, y) = 0 \Rightarrow p(x, y) \text{ funcție armonică} \quad (14)$$

În consecință putem construi o funcție biarmonică de variabilă complexă z , dacă vom căuta o funcție $q(x, y)$ *conjugată armonic* cu $p(x, y)$.

Fie:

$$f(z) = p(x, y) + iq(x, y) \quad (15)$$

unde funcțiile $p(x, y)$ și $q(x, y)$ satisfac condițiile de monogeneitate Cauchy-Riemann.

Reamintim că înțelegem prin funcție conjugată armonic cu $p(x, y)$ funcția care, dacă se cunoaște $p(x, y)$ se poate determina pe baza relațiilor de olomorfism ale lui Cauchy-Riemann:

$$\frac{\partial p}{\partial x} = \frac{\partial q}{\partial y} \quad ; \quad \frac{\partial p}{\partial y} = -\frac{\partial q}{\partial x} \quad (16)$$

Construim acum o nouă funcție analitică pe care o definim astfel:

$$\varphi(z) = \frac{1}{4} \int f(z) dz = r(x, y) + is(x, y) \quad (17)$$

Deoarece $f(z)$ este o funcție analitică formată din suma a două funcții armonice, $p(x, y)$ și $q(x, y)$, rezultă că și $r(x, y)$ și $s(x, y)$ sunt funcții armonice, deci:

$$\nabla^2 r(x, y) = 0 \quad \text{și} \quad \nabla^2 s(x, y) = 0 \quad (18)$$

Deoarece $\varphi(z)$ este o funcție analitică, din relația (17) \Rightarrow

$$\varphi'(z) = \frac{\partial r}{\partial x} + i \frac{\partial s}{\partial x} = \frac{1}{4} f(z) = \frac{1}{4} (p + iq) \quad (19)$$

* Reamintim: Derivata unei funcții complexe este $f'(z) = \lim_{\Delta z \rightarrow 0} \frac{f(z + \Delta z) - f(z)}{\Delta z}$ oricare ar fi modul în care creșterea complexă Δz tinde la zero.

De aceea dacă facem ca deplasarea să aibă loc după axa x : $\Delta y = 0 \Rightarrow \Delta z = \Delta x \Rightarrow f'(z) = \lim_{\Delta x \rightarrow 0} \left[\frac{u(x + \Delta x, y) - u(x, y)}{\Delta x} + i \frac{v(x + \Delta x, y) - v(x, y)}{\Delta x} \right]$

sau dacă facem ca deplasarea să aibă loc după axa y : $\Delta x = 0 \Rightarrow \Delta z = i \Delta y \Rightarrow f'(z) = \lim_{i \Delta y \rightarrow 0} \left[\frac{u(x, y + \Delta y) - u(x, y)}{i \Delta y} + i \frac{v(x, y + \Delta y) - v(x, y)}{i \Delta y} \right]$

Rezultă deci: $f'(z) = \frac{\partial u(x, y)}{\partial x} + i \frac{\partial v(x, y)}{\partial x}$ sau $f'(z) = \frac{\partial v(x, y)}{\partial y} - i \frac{\partial u(x, y)}{\partial y}$. Pentru ca aceste două forme ale derivatei să fie identice este

necesar ca: $\frac{\partial u}{\partial x} = \frac{\partial v}{\partial y}$; $\frac{\partial u}{\partial y} = -\frac{\partial v}{\partial x}$. Acestea sunt cunoscutele **condiții de monogeneitate ale lui Cauchy-Riemann**.

Dar funcțiile r și s trebuie să satisfacă la rândul lor condițiile Cauchy-Riemann:

$$\begin{cases} \frac{\partial r}{\partial x} = \frac{\partial s}{\partial y} \\ \frac{\partial r}{\partial y} = -\frac{\partial s}{\partial x} \end{cases} \Rightarrow \begin{cases} \frac{\partial r}{\partial x} = \frac{1}{4}p = \frac{1}{4}\operatorname{Re}[f(z)] \\ \frac{\partial r}{\partial y} = -\frac{1}{4}q = -\frac{1}{4}\operatorname{Im}[f(z)] \end{cases} \quad (20)$$

Vom considera acum o altă funcție de forma:

$$p_1(x, y) = U(x, y) - [xr(x, y) + ys(x, y)] \quad (21)$$

căreia să-i aplicăm operatorul lui Laplace. Aplicăm operatorul ∇^2 la relația (21):

$$\nabla^2 p_1(x, y) = \nabla^2 U - \nabla^2(xr + ys) = p - \nabla^2(xr + ys) \quad (21')$$

$$\text{Calculăm } \nabla^2(xr + ys) = \frac{\partial^2}{\partial x^2}(xr + ys) + \frac{\partial^2}{\partial y^2}(xr + ys)$$

Pornim de la :

$$\begin{cases} \frac{\partial}{\partial x}(xr + ys) = r + x\frac{\partial r}{\partial x} + y\frac{\partial s}{\partial x} \\ \frac{\partial}{\partial y}(xr + ys) = x\frac{\partial r}{\partial y} + s + y\frac{\partial s}{\partial y} \end{cases} \Rightarrow \begin{cases} \frac{\partial^2}{\partial x^2}(xr + ys) = \frac{\partial}{\partial x}(r + x\frac{\partial r}{\partial x} + y\frac{\partial s}{\partial x}) = 2\frac{\partial r}{\partial x} + x\frac{\partial^2 r}{\partial x^2} + y\frac{\partial^2 s}{\partial x^2} \\ \frac{\partial^2}{\partial y^2}(xr + ys) = \frac{\partial}{\partial y}(x\frac{\partial r}{\partial y} + s + y\frac{\partial s}{\partial y}) = x\frac{\partial^2 r}{\partial y^2} + 2\frac{\partial s}{\partial y} + y\frac{\partial^2 s}{\partial y^2} \end{cases}$$

Adunând ecuațiile de mai sus \Rightarrow

$$\nabla^2(xr + ys) = 2\frac{\partial r}{\partial x} + 2\frac{\partial s}{\partial y} + x\left(\frac{\partial^2 r}{\partial x^2} + \frac{\partial^2 r}{\partial y^2}\right) + y\left(\frac{\partial^2 s}{\partial x^2} + \frac{\partial^2 s}{\partial y^2}\right)$$

$$r \text{ și } s \text{ fiind armonice } \Rightarrow \nabla^2(xr + ys) = 2\frac{\partial r}{\partial x} + 2\frac{\partial s}{\partial y}$$

$$\text{Înlocuind în ecuația (21')} \Rightarrow \nabla^2 p_1(x, y) = p - 2\frac{\partial r}{\partial x} - 2\frac{\partial s}{\partial y}$$

$$\text{Ținând cont de relațiile (20)} \Rightarrow \nabla^2 p_1(x, y) = p - 2 \cdot \frac{1}{4}p - 2 \cdot \frac{1}{4}p \Rightarrow$$

$$\Rightarrow \nabla^2 p_1(x, y) = 0 \Rightarrow p_1(x, y) \text{ - funcție armonică}$$

Tragem de aici concluzia că membrul drept din expresia (21) este o funcție armonică, pe care o vom nota cu $p_1(x, y)$. Acestei funcții îi vom căuta imediat funcția conjugată armonic $q_1(x, y)$ în sensul de mai sus (20) pe baza condițiilor Cauchy-Riemann, și introducem atunci o nouă funcție de variabilă complexă:

$$\psi(z) = p_1(x, y) + iq_1(x, y), \quad (22)$$

astfel încât putem scrie (din (21)):

$$U = (xr + ys) + p_1 = \operatorname{Re}[(x - iy)(r + is)] + p \quad (23)$$

Această formă de scriere se verifică imediat:

$$(x - iy)(r + is) = xr + ixs - iyr + ys = (xr + ys) + i(xs - yr) \Rightarrow \operatorname{Re}[(x - iy)(r + is)] = xr + ys$$

sau scris altfel:

$$U = \operatorname{Re}[\bar{z}\varphi(z) + \psi(z)] \quad (24)$$

Această formulă se numește de obicei *reprezentarea lui Goursat* și ea ne spune că orice funcție biarmonică se exprimă cu ajutorul a două funcții analitice de variabilă complexă utilizând relația (24). Se poate ușor demonstra că și invers, oricare ar fi funcțiile analitice $\varphi(z)$ și $\psi(z)$ formula (24) ne dă o funcție biarmonică, adică formula (24) care conține două funcții analitice arbitrare, ne dă *expresia generală în complex a funcțiilor biarmonice*.

Observații:

1) În alte manuale (v. Mushelishvili) relația (24) se scrie sub forma:

$$2U = \bar{z}\varphi(z) + z\bar{\varphi}(z) + \psi(z) + \bar{\psi}(z), \quad (25)$$

formă sub care a dat-o Goursat printr-o demonstrație rapidă. Să arătăm că relația precedentă este adevărată, adică membrul drept al relației (25) ne dă expresia lui U .

$$\begin{aligned} \bar{z}\varphi(z) + z\bar{\varphi}(z) + \psi(z) + \bar{\psi}(z) &= (x - iy)(r + is) + (x + iy)(r - is) + p_1 + iq_1 + p_1 - iq_1 = \\ &= xr - iyr + isx + ys + xr + iry - isx + ys + 2p_1 = \\ &= 2(xr + ys + p_1) = 2U, \quad c.c.t.d. \end{aligned}$$

Această formă de scriere (25') are următoarea justificare: Membrul drept al ecuației este în general o funcție de variabilele complexe z și \bar{z} , însă, datorită aspectului fizic al problemei, el trebuie să fie real, și în forma (25) se vede imediat că părțile imaginare se reduc

2) Atunci când este dată o funcție biarmonică U , funcțiile $\varphi(z)$ și $\psi(z)$ care intră în formula (24) nu sunt complet determinate, ci conțin niște constante arbitrare complexe. De exemplu, încă de la început când determinăm funcția $q(x,y)$ din relațiile Cauchy-Riemann (16) apare automat la integrare o constantă aditivă, deci funcția $f(z)$ (15) este determinată cu aproximația unei constante aditive pur imaginare. După aceea, la determinarea funcției $\varphi(z)$ cu ajutorul formulei (17) mai apare o constantă arbitrară complexă. Astfel funcția $\varphi(z)$ va conține în definitiv elemente arbitrare sub forma unui termen $C + iaz$, unde " C " este o constantă arbitrară complexă, iar " a " o constantă arbitrară reală. Determinarea acestor constante arbitrare se poate face impunând niște condiții suplimentare, care pot fi de forma: $\varphi(0) = 0$ sau $\operatorname{Im}[\varphi'(0)] = 0$

3) O situație similară apare și la determinarea funcției $\psi(z)$ (22) când se obține un termen arbitrar sub forma unei constante pur imaginare

§4. Problema "la limită" fundamentală a funcțiilor biarmonice

Enunț: Să se găsească o funcție biarmonică $U(x,y): D \rightarrow \mathbb{R}$ în interiorul unui contur închis L (Fig.1) atunci când sunt date pe acest contur valorile funcției și ale derivatei sale normale:

$$U = \omega_1(s); \quad \frac{\partial U}{\partial n} = \omega_2(s) \text{ pe conturul } L. \quad (26)$$

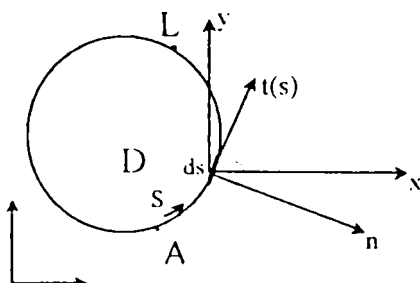


Fig.1.

Deoarece avem de rezolvat o ecuație de tip Laplace, $\Delta U = 0$, când se dau atât valorile pe contur ale lui U (problemă Dirichlet), cât și valorile derivatei normale $\frac{\partial U}{\partial n}$ (problemă Neumann), înseamnă că avem de rezolvat o problemă de tip mixt.

Pentru început să arătăm că din aceste condiții limită putem determina și valorile limită ale derivatei obișnuite ale funcției U în raport cu coordonatele x și y .

* Problema găsirii unei funcții biarmonice după valorile date ale derivatelor sale parțiale $\frac{\partial U}{\partial x}, \frac{\partial U}{\partial y}$ pe frontieră este numită: **problema biarmonică fundamentală**. Această problemă a constituit obiectul a numeroase cercetări începând din 1907, când a fost declarată obiect al unui premiu de către Academia de Științe din Paris. Premiul a fost obținut de Hadamard, Lauricella, Korn și Boggio, iar mai nou a fost rezolvată într-un cadru foarte general de Sobolev ([M]).

În adevăr, avem:

$$\begin{cases} \frac{\partial U}{\partial x} = \frac{\partial U}{\partial s} \cos(s, x) + \frac{\partial U}{\partial n} \cos(n, x) \\ \frac{\partial U}{\partial y} = \frac{\partial U}{\partial s} \cos(s, y) + \frac{\partial U}{\partial n} \cos(n, y) \end{cases} \quad (27)$$

unde s este direcția tangentei la conturul L . Deci condițiile la limită date sub forma (26) se pot pune sub forma:

$$\begin{cases} \frac{\partial U}{\partial x} = \omega_1' \cos(s, x) + \omega_2 \cos(n, x) = \omega_3(s) \\ \frac{\partial U}{\partial y} = \omega_1' \cos(s, y) + \omega_2 \cos(n, y) = \omega_4(s) \end{cases} \quad (28)$$

Trebuie să observăm că, în condițiile din urmă, funcțiile $\omega_3(s)$ și $\omega_4(s)$ nu le putem alege oricum, deoarece trebuie să fie satisfăcută condiția:

$$\oint_L \left(\frac{\partial U}{\partial x} dx + \frac{\partial U}{\partial y} dy \right) = 0,$$

adică integrala curbilinie de mai sus, care ne dă creșterea funcției de-a lungul conturului închis L trebuie să fie nulă deoarece funcția U trebuie să fie uniformă. Aceasta înseamnă că funcțiile $\omega_3(s)$ și $\omega_4(s)$ trebuie să îndeplinească o condiție suplimentară:

$$\begin{aligned} \oint \left(\frac{\partial U}{\partial x} dx + \frac{\partial U}{\partial y} dy \right) &= 0 \\ \Leftrightarrow \oint (\omega_3 dx + \omega_4 dy) \frac{ds}{ds} &= \oint (\omega_3 \frac{dx}{ds} + \omega_4 \frac{dy}{ds}) ds = 0 \\ \Leftrightarrow \oint (\omega_3 \cos(s, x) + \omega_4 \cos(s, y)) ds &= 0 \end{aligned} \quad (29)$$

În alte privințe funcțiile $\omega_3(s)$ și $\omega_4(s)$ pot fi luate arbitrar.

Vom căuta acum funcția biarmonică $U(x, y)$ care să răspundă la problema pusă pornind de la reprezentarea lui Goursat pentru funcții biarmonice:

$$U = \operatorname{Re}[\bar{z}\varphi(z) + \psi(z)]$$

Derivăm funcția U în raport cu x și y prin intermediul lui z și \bar{z} și vom avea:

$$\Rightarrow \begin{cases} \frac{\partial U}{\partial x} = \operatorname{Re} \left[\frac{\partial \bar{z}}{\partial x} \cdot \frac{\partial z}{\partial x} \varphi(z) + \bar{z} \frac{\partial \varphi}{\partial z} \cdot \frac{\partial z}{\partial x} + \frac{\partial \psi}{\partial z} \frac{\partial z}{\partial x} \right] = \operatorname{Re}[\varphi(z) + \bar{z}\varphi'(z) + \psi'(z)] \\ \frac{\partial U}{\partial y} = \operatorname{Re} \left[\frac{\partial \bar{z}}{\partial y} \cdot \frac{\partial z}{\partial y} \varphi(z) + \bar{z} \frac{\partial \varphi}{\partial z} \frac{\partial z}{\partial y} + \frac{\partial \psi}{\partial z} \frac{\partial z}{\partial y} \right] = \operatorname{Re}[-i\varphi(z) + i\bar{z}\varphi'(z) + i\psi'(z)] \end{cases} \quad (30)$$

$$\text{Ținând cont că: } \begin{cases} \varphi(z) = r + is \\ \psi(z) = p_1 + iq_1 \end{cases}$$

$$\begin{aligned} \Rightarrow \frac{\partial U}{\partial x} &= \operatorname{Re} \left[r + is + (x - iy)(r' + is') + p_1' + iq_1' \right] = r + xr' + ys' + p_1' \\ \frac{\partial U}{\partial y} &= \operatorname{Re} \left[-i(r + is) + i(x - iy)(r' + is') + i(p_1' + iq_1') \right] = s + yr' - xs' - q_1' \end{aligned}$$

De aici obținem două egalități pe care trebuie să le îndeplinească funcțiile căutate $\varphi(z)$ și $\psi(z)$ pe conturul L :

$$\frac{\partial U}{\partial x} - i \frac{\partial U}{\partial y} = r + xr' + ys' + p_1' - is - iyr' + ixs' + iq_1' =$$

$$\begin{aligned}
&= (r - is) + r'(x - iy) + is'(x - iy) + p_1 + iq_1 = \\
&= \bar{\varphi}(z) + \bar{z}\varphi'(z) + \psi(z) \\
\frac{\partial U}{\partial x} + i \frac{\partial U}{\partial y} &= r + xr' + ys' + p_1' + is + iyr' - ixs' - iq_1' = \\
&= (r + is) + r'(x - iy) + is'(x - iy) + p_1 + iq_1 = \\
&= \varphi(z) + z\bar{\varphi}'(z) + \bar{\psi}'(z)
\end{aligned}$$

Am obținut următoarele relații:

$$\begin{cases} \frac{\partial U}{\partial x} - i \frac{\partial U}{\partial y} = \bar{\varphi}(z) + \bar{z}\varphi'(z) + \psi(z) = \omega_3 - i\omega_4 \\ \frac{\partial U}{\partial x} + i \frac{\partial U}{\partial y} = \varphi(z) + z\bar{\varphi}'(z) + \bar{\psi}'(z) = \omega_3 + i\omega_4 \end{cases} \quad (31)$$

Calculăm în continuare $\frac{\partial^2 U}{\partial x^2}$ și $\frac{\partial^2 U}{\partial y^2}$ pentru a verifica dacă funcția $U(x,y)$ este armonică, respectiv biarmonică.

Din (30) \Rightarrow

$$\begin{aligned}
\frac{\partial U}{\partial x} &= \operatorname{Re}[\varphi(z) + \bar{z}\varphi'(z) + \psi'(z)] \\
\frac{\partial U}{\partial y} &= \operatorname{Re}[-i\varphi(z) + i\bar{z}\varphi'(z) + i\psi'(z)] \\
\Rightarrow \frac{\partial^2 U}{\partial x^2} &= \operatorname{Re}\left[\frac{\partial\varphi}{\partial z} \cdot \frac{\partial z}{\partial x} + \frac{\partial\bar{z}}{\partial x} \cdot \varphi'(z) + \bar{z} \frac{\partial\varphi'(z)}{\partial z} \cdot \frac{\partial z}{\partial x} + \frac{\partial\psi'(z)}{\partial z} \cdot \frac{\partial z}{\partial x}\right] \\
\frac{\partial^2 U}{\partial y^2} &= \operatorname{Re}\left[-i \frac{\partial\varphi}{\partial z} \cdot \frac{\partial z}{\partial y} + i \frac{\partial\bar{z}}{\partial y} \cdot \varphi'(z) + i\bar{z} \frac{\partial\varphi'(z)}{\partial z} \cdot \frac{\partial z}{\partial y} + i \frac{\partial\psi'(z)}{\partial z} \cdot \frac{\partial z}{\partial y}\right] \\
\Rightarrow &\begin{cases} \frac{\partial^2 U}{\partial x^2} = \operatorname{Re}[2\varphi'(z) + \bar{z}\varphi''(z) + \psi''(z)] \\ \frac{\partial^2 U}{\partial y^2} = \operatorname{Re}[2\varphi'(z) - \bar{z}\varphi''(z) - \psi''(z)] \end{cases}
\end{aligned}$$

Înlocuim în ecuația lui Laplace:

$$\nabla^2 U = \frac{\partial^2 U}{\partial x^2} + \frac{\partial^2 U}{\partial y^2} = 4 \operatorname{Re}[\varphi'(z)] = 2[\varphi'(z) + \bar{\varphi}'(z)] \quad (32)$$

Rezultă, deoarece $\varphi(z)$ este armonică, faptul că și funcția $\nabla^2 U$ va fi armonică, deci că:

$$\nabla^2(\nabla^2 U) = 0 \quad \Rightarrow \quad \nabla^4 U = 0 \quad \Rightarrow \quad U - \text{biarmonică}$$

Relația (32) ne mai arată că, dacă ne dăm expresia lui $\nabla^2 U$, atunci partea reală a lui $\varphi'(z)$ este pe deplin determinată.

§5. Reprezentarea în complex a tensiunilor și deplasărilor

Vom reprezenta componentele tensiunilor normale și tangențiale cu ajutorul aceluiași funcții $\varphi(z)$ și $\psi(z)$. În acest scop pornim de la expresiile condițiilor la limită în tensiuni pentru starea plană, sau a tensiunilor pe o suprafață înclinată, care sunt de forma:

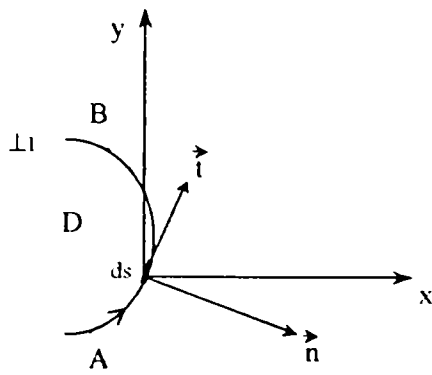


Fig.2.

$$\begin{cases} p_{nx} = \sigma_x \cos(\bar{n}, \bar{x}) + \tau_{xy} \cos(\bar{n}, \bar{y}) \\ p_{ny} = \tau_{xy} \cos(\bar{n}, \bar{x}) + \sigma_y \cos(\bar{n}, \bar{y}) \end{cases}$$

Aceste tensiuni acționează pe un element de suprafață ds , care este reprezentat în planul xOy de arc ds și care are grosimea perpendiculară pe planul figurii egală cu unitatea.

Alegem în planul xOy un arc oarecare AB și ne fixăm un sens pozitiv de deplasare (de la A la B), și trasăm normala \bar{n} spre dreapta în raport cu un observator care se mișcă în sensul pozitiv ales (v. Fig.2).

Știm că în absența forțelor de masă avem:

$$\sigma_x = \frac{\partial^2 U}{\partial y^2}; \quad \sigma_y = \frac{\partial^2 U}{\partial x^2}; \quad \tau_{xy} = -\frac{\partial^2 U}{\partial x \partial y}$$

unde U este funcția de tensiune a lui Airy.

Notând cu q forțele superficiale care lucrează pe marginea conturului, vom avea:

$$\begin{cases} q_{nx} = \frac{\partial^2 U}{\partial y^2} \cos(\bar{n}, \bar{x}) - \frac{\partial^2 U}{\partial x \partial y} \cos(\bar{n}, \bar{y}) \\ q_{ny} = -\frac{\partial^2 U}{\partial x \partial y} \cos(\bar{n}, \bar{x}) + \frac{\partial^2 U}{\partial x^2} \cos(\bar{n}, \bar{y}) \end{cases}$$

Se vede cu ușurință că avem:

$$\begin{cases} \cos(\bar{n}, \bar{x}) = \cos(\bar{t}, \bar{y}) \frac{dy}{ds} \\ \cos(\bar{n}, \bar{y}) = -\cos(\bar{t}, \bar{x}) \frac{dx}{ds} \end{cases}$$

Astfel relațiile precedente devin:

$$\begin{cases} q_{nx} = \frac{\partial^2 U}{\partial y^2} \frac{\partial y}{\partial s} + \frac{\partial^2 U}{\partial x \partial y} \frac{\partial x}{\partial s} = \frac{d}{ds} \left(\frac{\partial U}{\partial y} \right) \\ q_{ny} = -\frac{\partial^2 U}{\partial x \partial y} \frac{\partial y}{\partial s} - \frac{\partial^2 U}{\partial x^2} \frac{\partial x}{\partial s} = -\frac{d}{ds} \left(\frac{\partial U}{\partial x} \right) \end{cases}$$

Deci:

$$\begin{aligned} q_{nx} + iq_{ny} &= \frac{d}{ds} \left(\frac{\partial U}{\partial y} - i \frac{\partial U}{\partial x} \right) = -i \frac{d}{ds} \left(\frac{\partial U}{\partial x} + i \frac{\partial U}{\partial y} \right) \Rightarrow \\ q_{nx} + iq_{ny} &= -i \frac{d}{ds} (\varphi(z) + \bar{z} \bar{\varphi}'(\bar{z}) + \bar{\psi}'(\bar{z})) \end{aligned} \quad (*)$$

Caz I.

Particularizăm, atribuind elementului ds direcția axei Oy (Fig. 3.):

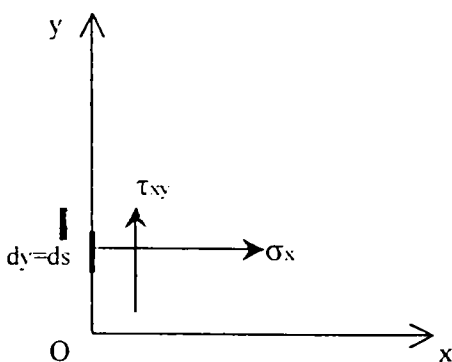


Fig.3.

$$\Rightarrow \begin{cases} dx = 0 \\ ds = dy \end{cases} \Rightarrow \begin{cases} dz = dy \Rightarrow \frac{dz}{dy} = i \\ d\bar{z} = -idy \Rightarrow \frac{d\bar{z}}{dy} = -i \end{cases}$$

Înlocuind în (*) q_{nx} cu σ_x și q_{ny} cu $\tau_{xy} \Rightarrow$

$$\sigma_x + i\tau_{xy} = -i \frac{d}{dy} (\varphi + z\bar{\varphi}' + \bar{\psi}') = -i \left(\frac{d\varphi}{dz} \cdot \frac{dz}{dy} + \frac{dz}{dz} \cdot \frac{dz}{dy} \bar{\varphi}' + z \frac{d\bar{\varphi}'}{d\bar{z}} \cdot \frac{d\bar{z}}{dy} + \frac{d\bar{\psi}'}{d\bar{z}} \cdot \frac{d\bar{z}}{dy} \right) \Rightarrow$$

$$\boxed{\sigma_x + i\tau_{xy} = \varphi'(z) + \bar{\varphi}'(z) - z\bar{\varphi}''(z) - \bar{\psi}''(z)}$$

Caz II. Particularizăm acum, atribuind elementului ds direcția axei Ox . Atunci:

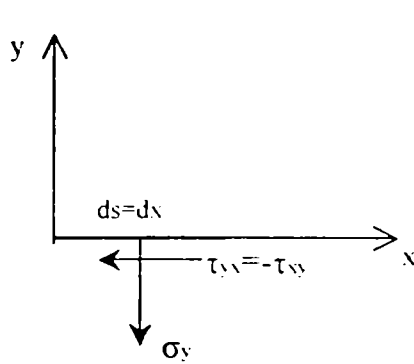


Fig.4.

$$\Rightarrow \begin{cases} dy = 0 \\ ds = dx \end{cases} \Rightarrow \begin{cases} dz = dx \Rightarrow \frac{dz}{dx} = 1 \\ d\bar{z} = dx \Rightarrow \frac{d\bar{z}}{dx} = 1 \end{cases}$$

Expresia (*) o vom amplifica cu i și vom înlocui q_{nx} cu $-\tau_{xy}$ și

q_{ny} cu $-\sigma_y$:

$$\Rightarrow iq_{nx} - q_{ny} = \frac{d}{ds} (\varphi + z\bar{\varphi}' + \bar{\psi}')$$

$$\Rightarrow \sigma_y - i\tau_{yx} = \frac{d}{dx} (\varphi + z\bar{\varphi}' + \bar{\psi}') = \frac{d\varphi}{dz} \cdot \frac{dz}{dx} + \frac{dz}{dz} \cdot \frac{dz}{dx} \bar{\varphi}' + z \frac{d\bar{\varphi}'}{d\bar{z}} \cdot \frac{d\bar{z}}{dx} + \frac{d\bar{\psi}'}{d\bar{z}} \cdot \frac{d\bar{z}}{dx} \Rightarrow$$

$$\boxed{\sigma_y - i\tau_{yx} = \varphi'(z) + \bar{\varphi}'(z) + z\bar{\varphi}''(z) + \bar{\psi}''(z)}$$

Cele două formule încadrate de mai sus ne dau expresiile căutate ale tensiunilor. Ele se înlocuiesc de obicei cu altele mai simple, puse sub forma care urmează:

- adunăm cele două relații:

$$\boxed{\Rightarrow \sigma_x + \sigma_y = 2[\varphi'(z) + \bar{\varphi}'(z)] = 4\text{Re}[\varphi'(z)]}$$

- înmulțim prima relație cu (-1) și o adunăm cu a doua:

$$\boxed{\Rightarrow \sigma_y - \sigma_x - 2i\tau_{xy} = 2[z\bar{\varphi}''(z) + \bar{\psi}''(z)]}$$

Aceste relații le vom numi *formulele lui Kolosov-Mushelishvili*:

$$\boxed{\begin{aligned} \sigma_x + \sigma_y &= 2[\varphi'(z) + \bar{\varphi}'(z)] = 4\text{Re}[\varphi'(z)] \\ \sigma_y - \sigma_x - 2i\tau_{xy} &= 2[z\bar{\varphi}''(z) + \bar{\psi}''(z)] \end{aligned}} \quad (33)$$

Să căutăm expresii anologice și pentru deplasări.

Pentru a găsi expresiile deplasărilor în complex se pleacă de la legea lui Hooke generalizată pentru starea plană:

$$\begin{cases} \sigma_x = \lambda\varepsilon_v + 2G\varepsilon_x = \lambda\varepsilon_v + 2G \frac{\partial u}{\partial x} \\ \sigma_y = \lambda\varepsilon_v + 2G\varepsilon_y = \lambda\varepsilon_v + 2G \frac{\partial v}{\partial y} \\ \tau_{xy} = G\gamma_{xy} = G \left(\frac{\partial v}{\partial x} + \frac{\partial u}{\partial y} \right) \end{cases}$$

Reamintim că dacă U este funcția biarmonică de tensiune a lui Airy, atunci în absența forțelor masice:

$$\sigma_x = \frac{\partial^2 U}{\partial y^2} \quad ; \quad \sigma_y = \frac{\partial^2 U}{\partial x^2} \quad ; \quad \tau_{xy} = -\frac{\partial^2 U}{\partial x \partial y}$$

Să considerăm că ni se dă funcția biarmonică de tensiune $U(x, y) : D \subset \mathbb{R}^2$ (D simplu conex). Ne propunem să găsim deplasările u și v din ecuațiile:

$$\begin{cases} \lambda \varepsilon_x + 2G \frac{\partial u}{\partial x} = \frac{\partial^2 U}{\partial y^2} \\ \lambda \varepsilon_y + 2G \frac{\partial v}{\partial y} = \frac{\partial^2 U}{\partial x^2} \\ G \cdot \left(\frac{\partial v}{\partial x} + \frac{\partial u}{\partial y} \right) = -\frac{\partial^2 U}{\partial x \partial y} \end{cases} \quad \text{unde} \quad \begin{cases} \varepsilon_x = \frac{\partial u}{\partial x} + \frac{\partial v}{\partial y} \\ \nabla^2 U = \frac{\partial^2 U}{\partial x^2} + \frac{\partial^2 U}{\partial y^2} \end{cases}$$

Primele două ecuații le rezolvăm în raport cu $\frac{\partial u}{\partial x}$ și $\frac{\partial v}{\partial y}$. Dacă le adunăm obținem:

$$2\lambda \varepsilon_r + 2G \varepsilon_r = \nabla^2 U \quad \Rightarrow \quad \varepsilon_r = \frac{1}{2(\lambda + G)} \nabla^2 U \quad \text{și deci:}$$

$$\begin{cases} 2G \frac{\partial u}{\partial x} = \frac{\partial^2 U}{\partial y^2} - \frac{\lambda}{2(\lambda + G)} \cdot \nabla^2 U \\ 2G \frac{\partial v}{\partial y} = \frac{\partial^2 U}{\partial x^2} - \frac{\lambda}{2(\lambda + G)} \cdot \nabla^2 U \end{cases}$$

Dacă notăm $\nabla^2 U = p(x, y)$, am arătat că aceasta este o funcție armonică și putem înlocui

$$\frac{\partial^2 U}{\partial y^2} = p - \frac{\partial^2 U}{\partial x^2}$$

Rezultă:

$$\begin{cases} 2G \frac{\partial u}{\partial x} = -\frac{\partial^2 U}{\partial x^2} + \frac{\lambda + 2G}{2(\lambda + G)} p \\ 2G \frac{\partial v}{\partial y} = -\frac{\partial^2 U}{\partial y^2} + \frac{\lambda + 2G}{2(\lambda + G)} p \end{cases} \quad (**)$$

Să considerăm funcția $q(x, y)$ armonic conjugată cu $p(x, y)$, adică satisfăcând condițiile Cauchy-Riemann:

$$\frac{\partial p}{\partial x} = \frac{\partial q}{\partial y} \quad ; \quad \frac{\partial p}{\partial y} = -\frac{\partial q}{\partial x}$$

Din aceste relații pentru p dat se determină q abstracție făcând de o constantă arbitrară. Atunci expresia $f(z) = p(x, y) + iq(x, y)$ va fi o funcție de variabilă complexă $z = x + iy$, olomorfa în domeniul S ocupat de corp. Am introdus de asemenea funcția $\varphi(z)$ cu relația:

$$\varphi(z) = \frac{1}{4} \int f(z) dz = r(x, y) + is(x, y)$$

Deoarece $f(z)$ este o funcție analitică formată din suma a două funcții armonice, p și q , rezultă că și r și s sunt funcții armonice conjugate, și deci vor satisface condițiile de olomorfism.

Rezultă:

$$\begin{aligned}\varphi'(z) &= \frac{\partial r}{\partial x} + i \frac{\partial s}{\partial x} = \frac{1}{4}(p + iq) = \frac{1}{4}p + \frac{1}{4}iq \\ &\Rightarrow \begin{cases} \frac{\partial r}{\partial x} = \frac{\partial s}{\partial y} = \frac{1}{4}p \\ \frac{\partial r}{\partial y} = -\frac{\partial s}{\partial x} = -\frac{1}{4}q \end{cases} \\ &\Rightarrow p = 4 \frac{\partial r}{\partial x} = 4 \frac{\partial s}{\partial y}\end{aligned}$$

Relațiile (***) devin:

$$\begin{cases} 2G \frac{\partial u}{\partial x} = -\frac{\partial^2 U}{\partial x^2} + \frac{2(\lambda + 2G)}{\lambda + G} \frac{\partial r}{\partial x} \\ 2G \frac{\partial v}{\partial y} = -\frac{\partial^2 U}{\partial y^2} + \frac{2(\lambda + 2G)}{\lambda + G} \frac{\partial s}{\partial y} \end{cases}$$

Dacă integrăm aceste relații obținem:

$$\begin{cases} 2Gu = -\frac{\partial U}{\partial x} + \frac{2(\lambda + 2G)}{\lambda + G} r + f_1(y) \\ 2Gv = -\frac{\partial U}{\partial y} + \frac{2(\lambda + 2G)}{\lambda + G} s + f_2(x) \end{cases}$$

unde f_1 este o funcție numai de y (derivata în raport cu x trebuie să fie nulă) iar f_2 este o funcție numai de x (derivata în raport cu y trebuie să fie nulă).

Aceste valori ale lui u și v le introducem în cea de-a treia ecuație a legii lui Hooke. Pentru aceasta trebuie să derivăm relațiile de mai sus:

$$\begin{cases} 2G \frac{\partial u}{\partial y} = -\frac{\partial^2 U}{\partial x \partial y} + \frac{2(\lambda + 2G)}{\lambda + G} \frac{\partial r}{\partial y} + f_1'(y) \\ 2G \frac{\partial v}{\partial x} = -\frac{\partial^2 U}{\partial x \partial y} + \frac{2(\lambda + 2G)}{\lambda + G} \frac{\partial s}{\partial x} + f_2'(x) \end{cases}$$

Adunăm cele două relații și ținem cont că:

$$\begin{aligned}2G \left(\frac{\partial u}{\partial y} + \frac{\partial v}{\partial x} \right) &= -2 \frac{\partial^2 U}{\partial x \partial y} \quad \text{și} \quad \frac{\partial r}{\partial y} + \frac{\partial s}{\partial x} = 0 \quad \Rightarrow \\ \Rightarrow 2G \left(\frac{\partial u}{\partial y} + \frac{\partial v}{\partial x} \right) &= -2 \frac{\partial^2 U}{\partial x \partial y} + \frac{2(\lambda + 2G)}{\lambda + G} \left(\frac{\partial r}{\partial y} + \frac{\partial s}{\partial x} \right) + f_1'(y) + f_2'(x) \\ \Rightarrow f_1'(y) + f_2'(x) &= 0\end{aligned}$$

De aici rezultă că funcțiile $f_1(y)$ și $f_2(x)$ sunt de forma:

$$\begin{cases} f_1 = 2G(-ay + b) \\ f_2 = 2G(ax + c) \end{cases}$$

în care a , b , c sunt constante arbitrare, iar factorul $2G$ s-a introdus pentru omogenizarea ecuației.

Aceste expresii ale lui f_1 și f_2 fiind însă niște funcții liniare (de gradul I), ne dau de fapt numai o deplasare de solid rigid, și de aceea ele pot fi neglijate. În cazul acesta se obțin relațiile următoare, cunoscute sub numele de *formulele lui Löve*:

$$\begin{cases} 2Gu = -\frac{\partial U}{\partial x} + \frac{2(\lambda + 2G)}{\lambda + G}r \\ 2Giv = -\frac{\partial U}{\partial y} + \frac{2(\lambda + 2G)}{\lambda + G}s \end{cases} \quad (34)$$

Deoarece funcția $\varphi(z)$ introdusă mai sus este olomorvă în domeniul D simplu conex, rezultă că u și v sunt niște funcții uniforme în acel domeniu.

De obicei, relațiile (34) se transformă înmulțind a doua relație cu i și adunându-le:

$$2G(u + iv) = -\left(\frac{\partial U}{\partial x} + i\frac{\partial U}{\partial y}\right) + 2\frac{\lambda + 2G}{\lambda + G}(r + is)$$

Înlocuind cele două paranteze din membrul drept cu ceea ce cunoaștem din relațiile (31), respectiv (17), rezultă:

$$\begin{aligned} 2G(u + iv) &= -\varphi - z\bar{\varphi}' - \bar{\psi}' + 2\frac{\lambda + 2G}{\lambda + G}\varphi \\ \Rightarrow 2G(u + iv) &= \varphi\left(2\frac{\lambda + 2G}{\lambda + G} - 1\right) - z\bar{\varphi}' - \bar{\psi}' \end{aligned}$$

Facem următoarea notație:

$$\wp = 2\frac{\lambda + 2G}{\lambda + G} - 1 = \frac{2\lambda + 4G - \lambda - G}{\lambda + G} = \frac{\lambda + 3G}{\lambda + G}$$

Ținând cont că: $\lambda = \frac{2\mu G}{1 - 2\mu}$ rezultă că:

$$\wp = \frac{\lambda + 3G}{\lambda + G} = 3 - 4\mu$$

Cu notația de mai sus ecuațiile (34) s-au transformat în:

$$2G(u + iv) = \wp\varphi - z\bar{\varphi}' + \bar{\psi}' \quad (35)$$

Atașând la sistemul (33) ecuația (35) rezultă un sistem de ecuații care dă soluția problemei plane în complex, sistem cunoscut sub numele de *ecuațiile lui Kolosov-Mushelishvili*:

$$\begin{cases} \sigma_x + \sigma_y = 2[\varphi'(z) + \bar{\varphi}'(z)] = 4\operatorname{Re}[\varphi'(z)] \\ \sigma_y - \sigma_x - 2i\tau_{xy} = 2[z\bar{\varphi}''(z) + \bar{\psi}''(z)] \\ 2G(u + iv) = \wp\varphi - z\bar{\varphi}' + \bar{\psi}' \end{cases} \quad (36)$$

* * *

COORDONATE CURBILINII

CAZUL A: Coordonate curbilinii ortogonale

1. Suprafețe și curbe de coordonate

Există numeroase probleme teoretice și practice când este mult mai convenabil ca în locul coordonatelor carteziene obișnuite Ox, Oy, Oz , să folosim alte sisteme de referință care să corespundă mai bine condițiilor firești ale problemei^{*1}. Într-un mod foarte general un sistem de referință se poate defini prin trei familii de suprafețe care se intersectează între ele după niște curbe care reprezintă axele sistemului de referință curbiliniu. Să presupunem deci că în loc de coordonatele carteziene x, y, z , se introduc trei noi variabile q_1, q_2, q_3 definite astfel:

$$f_1(x, y, z) = q_1; \quad f_2(x, y, z) = q_2; \quad f_3(x, y, z) = q_3 \quad (1)$$

Știm că în sistemul x, y, z , o relație de forma de mai sus $f_1(x, y, z) = q_1$ este ecuația intrinsecă a unei suprafețe, iar două asemenea suprafețe se întretaie după o curbă. Pentru fiecare valoare dată parametrilor q_1, q_2, q_3 se obține câte o suprafață determinată din fiecare familie. Aceste trei suprafețe se intersectează într-un punct determinat P de coordonate carteziene x, y, z . Astfel, atribuind noilor variabile q_1, q_2, q_3 valorile constante A, B, C obținem trei familii de suprafețe de coordonate. Ecuațiile acestor noi suprafețe de coordonate, în coordonatele x, y, z , vor fi:

$$\begin{cases} f_1(x, y, z) = A & (I) \\ f_2(x, y, z) = B & (II) \\ f_3(x, y, z) = C & (III) \end{cases} \quad (2)$$

Să luăm două suprafețe de coordonate oarecare din familii diferite, de exemplu din familiile II și III. Ele se intersectează de-a lungul unei linii ale cărei ecuații vor fi:

$$\begin{cases} f_2(x, y, z) = B_0 \\ f_3(x, y, z) = C_0 \end{cases}$$

unde B_0 și C_0 sunt constante determinate.

De-a lungul acestei „linii” variază numai q_1 și putem numi această curbă „linia de coordonată q_1 ”. Analog se obțin liniile de coordonate q_2 și q_3 (v. Fig. 1).

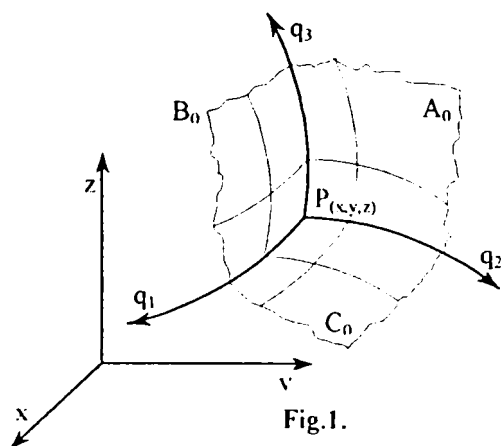


Fig.1.

Vom considera că aceste trei suprafețe de coordonate curbilinii ortogonale, adică cele trei familii de suprafețe se taie ortogonal în orice punct al spațiului; aceasta presupune că tangentele din orice punct P din spațiu, la axele curbilinii care trec prin P , formează un triedru tridreptunghic.

Vom mai presupune că sistemul de ecuații (1) este rezolvabil în raport cu x, y, z , ceea ce înseamnă că funcțiile f_1, f_2, f_3 sunt continue, au derivate parțiale continue, iar determinantul funcțional (sau jacobianul transformării) este diferit de zero:

$$\frac{D(f_1, f_2, f_3)}{D(x, y, z)} = \begin{vmatrix} \frac{\partial f_1}{\partial x} & \frac{\partial f_1}{\partial y} & \frac{\partial f_1}{\partial z} \\ \frac{\partial f_2}{\partial x} & \frac{\partial f_2}{\partial y} & \frac{\partial f_2}{\partial z} \\ \frac{\partial f_3}{\partial x} & \frac{\partial f_3}{\partial y} & \frac{\partial f_3}{\partial z} \end{vmatrix} \neq 0 \quad (3)$$

*1 Asemenea situații se întâlnesc mai ales în formularea și rezolvarea problemelor de limită

Deci vechile coordonate x, y, z , sunt legate de noile coordonate q_1, q_2, q_3 prin relațiile:

$$\begin{cases} x = \varphi_1(q_1, q_2, q_3) \\ y = \varphi_2(q_1, q_2, q_3) \\ z = \varphi_3(q_1, q_2, q_3) \end{cases} \quad (4)$$

obținute prin rezolvarea sistemului (1).

Putem ilustra cu multă ușurință asemenea tipuri de relații care să ne lămurească despre ce este vorba. Fie de exemplu așa numitele coordonate sferice, cunoscute din „Geometria analitică”, asupra cărora vom reveni. Se știe că în acest caz poziția unui punct în spațiu poate fi definită prin trei numere reale (sau trei parametri reali) r, φ, θ legate de coordonatele obișnuite (x, y, z) prin relațiile:

$$\begin{cases} x = r \cos \varphi \sin \theta = \varphi_1(r, \varphi, \theta) \text{ cu } q_1 = r \\ y = r \sin \varphi \sin \theta = \varphi_2(r, \varphi, \theta) \text{ cu } q_2 = \theta \\ z = r \cos \theta = \varphi_3(r, \varphi, \theta) \text{ cu } q_3 = \varphi \end{cases}$$

Suprafețele de coordonate sunt sfere, conuri de rotație și plane.

2. Elementul de lungime

Este important pentru noi să stabilim forma analitică pe care pătratul elementului de arc (elementul de lungime- într-o denumire generică) o are în diverse sisteme de coordonate. În coordonate carteziene elementul de lungime are forma binecunoscută:

$$ds^2 = dx^2 + dy^2 + dz^2 \quad (5)$$

Aici coeficienții diferențialelor coordonatelor sunt constanți și egali cu unitatea, ceea ce vom arăta în continuare- nu se mai întâmplă în cazul general al coordonatelor curbilini. Astfel, din (4) avem:

$$\begin{cases} dx = \frac{\partial \varphi_1}{\partial q_1} dq_1 + \frac{\partial \varphi_1}{\partial q_2} dq_2 + \frac{\partial \varphi_1}{\partial q_3} dq_3 \\ dy = \frac{\partial \varphi_2}{\partial q_1} dq_1 + \frac{\partial \varphi_2}{\partial q_2} dq_2 + \frac{\partial \varphi_2}{\partial q_3} dq_3 \\ dz = \frac{\partial \varphi_3}{\partial q_1} dq_1 + \frac{\partial \varphi_3}{\partial q_2} dq_2 + \frac{\partial \varphi_3}{\partial q_3} dq_3 \end{cases} \quad (6)$$

Ridicând la pătrat și înlocuind în (5) vom obține:

$$\begin{aligned} ds^2 &= \left[\left(\frac{\partial \varphi_1}{\partial q_1} \right)^2 + \left(\frac{\partial \varphi_2}{\partial q_1} \right)^2 + \left(\frac{\partial \varphi_3}{\partial q_1} \right)^2 \right] dq_1^2 + \left[\left(\frac{\partial \varphi_1}{\partial q_2} \right)^2 + \left(\frac{\partial \varphi_2}{\partial q_2} \right)^2 + \left(\frac{\partial \varphi_3}{\partial q_2} \right)^2 \right] dq_2^2 + \left[\left(\frac{\partial \varphi_1}{\partial q_3} \right)^2 + \left(\frac{\partial \varphi_2}{\partial q_3} \right)^2 + \left(\frac{\partial \varphi_3}{\partial q_3} \right)^2 \right] \\ &+ 2 \left[\frac{\partial \varphi_1}{\partial q_1} \cdot \frac{\partial \varphi_1}{\partial q_2} + \frac{\partial \varphi_2}{\partial q_1} \cdot \frac{\partial \varphi_2}{\partial q_2} + \frac{\partial \varphi_3}{\partial q_1} \cdot \frac{\partial \varphi_3}{\partial q_2} \right] \cdot dq_1 dq_2 + 2 \left[\frac{\partial \varphi_1}{\partial q_2} \cdot \frac{\partial \varphi_1}{\partial q_3} + \frac{\partial \varphi_2}{\partial q_2} \cdot \frac{\partial \varphi_2}{\partial q_3} + \frac{\partial \varphi_3}{\partial q_2} \cdot \frac{\partial \varphi_3}{\partial q_3} \right] dq_2 dq_3 + \\ &+ 2 \left[\frac{\partial \varphi_1}{\partial q_3} \cdot \frac{\partial \varphi_1}{\partial q_1} + \frac{\partial \varphi_2}{\partial q_3} \cdot \frac{\partial \varphi_2}{\partial q_1} + \frac{\partial \varphi_3}{\partial q_3} \cdot \frac{\partial \varphi_3}{\partial q_1} \right] dq_3 dq_1 \end{aligned} \quad (7)$$

Am obținut astfel un polinom omogen de gradul al doilea în dq_1, dq_2, dq_3 . Să stabilim condițiile în care acest polinom nu conține termenii cu produse de diferențiale diferite $dq_i \cdot dq_j$ ($i, j=1, 2, 3$), și să arătăm că acestea sunt tocmai condițiile de ortogonalitate.

În relația (7) să ne fixăm atenția -de exemplu- asupra termenului care conține produsul $dq_1 dq_2$. Coeficientul acestui termen va fi:

$$2 \left(\frac{\partial \varphi_1}{\partial q_1} \cdot \frac{\partial \varphi_1}{\partial q_2} + \frac{\partial \varphi_2}{\partial q_1} \cdot \frac{\partial \varphi_2}{\partial q_2} + \frac{\partial \varphi_3}{\partial q_1} \cdot \frac{\partial \varphi_3}{\partial q_2} \right) \quad (8)$$

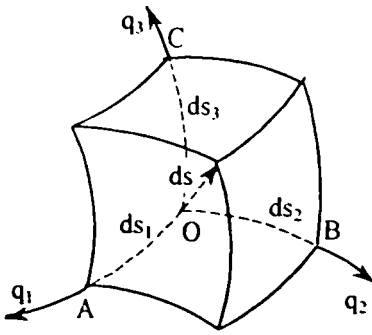


Fig.2.

Să analizăm un element de volum în noile coordonate curbilinii (Fig. 2). Din punctul O pleacă trei muchii OA, OB, OC, de-a lungul lui OA variază numai q_1 , de-a lungul OB numai q_2 și de-a lungul OC numai q_3 .

Pe prima muchie, funcțiile (4) depind numai de q_1 , deci:

$$ds_1^2 = \left[\left(\frac{\partial \varphi_1}{\partial q_1} \right)^2 + \left(\frac{\partial \varphi_2}{\partial q_1} \right)^2 + \left(\frac{\partial \varphi_3}{\partial q_1} \right)^2 \right] dq_1^2 = H_1^2 dq_1^2 \quad (9)$$

unde am notat:

$$H_1^2 = \left(\frac{\partial \varphi_1}{\partial q_1} \right)^2 + \left(\frac{\partial \varphi_2}{\partial q_1} \right)^2 + \left(\frac{\partial \varphi_3}{\partial q_1} \right)^2 \quad (10)$$

Pe de altă parte cosinușii directori ai tangentei la această muchie sunt proporționali cu:

$$\frac{\partial \varphi_1}{\partial q_1}, \frac{\partial \varphi_2}{\partial q_1}, \frac{\partial \varphi_3}{\partial q_1}.$$

Pe baza unui raționament identic, pe cea de-a doua muchie OB variază numai coordonata q_2 , deci funcțiile (4) depind numai de q_2 și vom avea:

$$ds_2^2 = \left[\left(\frac{\partial \varphi_1}{\partial q_2} \right)^2 + \left(\frac{\partial \varphi_2}{\partial q_2} \right)^2 + \left(\frac{\partial \varphi_3}{\partial q_2} \right)^2 \right] dq_2^2 = H_2^2 dq_2^2 \quad (11)$$

unde am notat:

$$H_2^2 = \left(\frac{\partial \varphi_1}{\partial q_2} \right)^2 + \left(\frac{\partial \varphi_2}{\partial q_2} \right)^2 + \left(\frac{\partial \varphi_3}{\partial q_2} \right)^2 \quad (12)$$

Cosinușii directori ai tangentei la această muchie (OB) sunt proporționali cu:

$$\frac{\partial \varphi_1}{\partial q_2}, \frac{\partial \varphi_2}{\partial q_2}, \frac{\partial \varphi_3}{\partial q_2}.$$

Dar din geometria analitică se știe că o egalitate de forma:

$$aa_1 + bb_1 + cc_1 = 0$$

este condiția de ortogonalitate a două direcții ai căror cosinuși directori sunt proporționali cu a, b, c respectiv a_1, b_1, c_1 .

Transpusă în cazul nostru, condiția de ortogonalitate a curbelor OA și OB revine la:

$$\frac{\partial \varphi_1}{\partial q_1} \cdot \frac{\partial \varphi_1}{\partial q_2} + \frac{\partial \varphi_2}{\partial q_1} \cdot \frac{\partial \varphi_2}{\partial q_2} + \frac{\partial \varphi_3}{\partial q_1} \cdot \frac{\partial \varphi_3}{\partial q_2} = 0 \quad (13)$$

Egalarea cu zero a expresiei (8), este, prin urmare, echivalentă cu condiția ca cele două muchii considerate să fie perpendiculare între ele. Punând condiția ca în expresia (7) și coeficienții lui $dq_2 dq_3$ și $dq_3 dq_1$ să fie nuli, aceasta ar reveni la a cere ca cele trei muchii să fie perpendiculare două câte două. În concluzie, condiția necesară și suficientă pentru ca sistemul de coordonate curbilinii să fie ortogonal este ca expresia lui ds^2 să nu conțină decât

termeni cu pătrate de diferențiale, adică termeni în dq_1^2, dq_2^2, dq_3^2 . În aceste condiții obținem pentru ds^2 o expresie de forma:

$$ds^2 = H_1^2 dq_1^2 + H_2^2 dq_2^2 + H_3^2 dq_3^2 \quad (14)$$

unde:

$$\begin{aligned} H_1^2 &= \left(\frac{\partial \varphi_1}{\partial q_1} \right)^2 + \left(\frac{\partial \varphi_2}{\partial q_1} \right)^2 + \left(\frac{\partial \varphi_3}{\partial q_1} \right)^2 \\ H_2^2 &= \left(\frac{\partial \varphi_1}{\partial q_2} \right)^2 + \left(\frac{\partial \varphi_2}{\partial q_2} \right)^2 + \left(\frac{\partial \varphi_3}{\partial q_2} \right)^2 \\ H_3^2 &= \left(\frac{\partial \varphi_1}{\partial q_3} \right)^2 + \left(\frac{\partial \varphi_2}{\partial q_3} \right)^2 + \left(\frac{\partial \varphi_3}{\partial q_3} \right)^2 \end{aligned} \quad (15)$$

mărimi care se numesc coeficienții diferențiali ai lui Lamé sau unități locale de lungime, iar condițiile de ortogonalitate numite și condiții de substituție ortogonală sunt:

$$\begin{cases} \frac{\partial \varphi_1}{\partial q_1} \cdot \frac{\partial \varphi_1}{\partial q_2} + \frac{\partial \varphi_2}{\partial q_1} \cdot \frac{\partial \varphi_2}{\partial q_2} + \frac{\partial \varphi_3}{\partial q_1} \cdot \frac{\partial \varphi_3}{\partial q_2} = 0 \\ \frac{\partial \varphi_1}{\partial q_2} \cdot \frac{\partial \varphi_1}{\partial q_3} + \frac{\partial \varphi_2}{\partial q_2} \cdot \frac{\partial \varphi_2}{\partial q_3} + \frac{\partial \varphi_3}{\partial q_2} \cdot \frac{\partial \varphi_3}{\partial q_3} = 0 \\ \frac{\partial \varphi_1}{\partial q_3} \cdot \frac{\partial \varphi_1}{\partial q_1} + \frac{\partial \varphi_2}{\partial q_3} \cdot \frac{\partial \varphi_2}{\partial q_1} + \frac{\partial \varphi_3}{\partial q_3} \cdot \frac{\partial \varphi_3}{\partial q_1} = 0 \end{cases} \quad (16)$$

Ținând seama de faptul că de-a lungul fiecărei muchii a volumului elementar nu variază decât una din variabile, obținem conform (14) lungimile acestor muchii:

$$ds_1 = H_1 dq_1; \quad ds_2 = H_2 dq_2; \quad ds_3 = H_3 dq_3 \quad (17)$$

Elementul de volum în noile coordonate va fi:

$$dV = ds_1 ds_2 ds_3 = H_1 H_2 H_3 dq_1 dq_2 dq_3 \quad (18)$$

3. Operatori diferențiali în coordonate curbilinii ortogonale

Fără a mai da definiții sau a mai face demonstrații, care pot fi găsite în [], [], [], redăm în continuare doar rezultatele.

- Gradientul câmpului scalar $U(x,y,z)$:

$$\begin{cases} grad_{q_1} U = \frac{dU}{ds_1} = \frac{1}{H_1} \cdot \frac{\partial U}{\partial q_1} \\ grad_{q_2} U = \frac{dU}{ds_2} = \frac{1}{H_2} \cdot \frac{\partial U}{\partial q_2} \\ grad_{q_3} U = \frac{dU}{ds_3} = \frac{1}{H_3} \cdot \frac{\partial U}{\partial q_3} \end{cases} \quad (19)$$

- Divergența câmpului vectorial \vec{A} :

$$div \vec{A} = \frac{1}{H_1 H_2 H_3} \left[\frac{\partial (H_2 H_3 A_{q_1})}{\partial q_1} + \frac{\partial (H_3 H_1 A_{q_2})}{\partial q_2} + \frac{\partial (H_1 H_2 A_{q_3})}{\partial q_3} \right] \quad (20)$$

- Operatorul lui Laplace:

$$\Delta U = \operatorname{div} \operatorname{grad} U = \frac{1}{H_1 H_2 H_3} \left[\frac{\partial}{\partial q_1} \left(\frac{H_2 H_3}{H_1} \frac{\partial U}{\partial q_1} \right) + \frac{\partial}{\partial q_2} \left(\frac{H_3 H_1}{H_2} \frac{\partial U}{\partial q_2} \right) + \frac{\partial}{\partial q_3} \left(\frac{H_1 H_2}{H_3} \frac{\partial U}{\partial q_3} \right) \right]$$

- **Ecuatia lui Laplace:** $\Delta U = 0$

$$\frac{\partial}{\partial q_1} \left(\frac{H_2 H_3}{H_1} \frac{\partial U}{\partial q_1} \right) + \frac{\partial}{\partial q_2} \left(\frac{H_3 H_1}{H_2} \frac{\partial U}{\partial q_2} \right) + \frac{\partial}{\partial q_3} \left(\frac{H_1 H_2}{H_3} \frac{\partial U}{\partial q_3} \right) = 0$$

- **Rotorul câmpului vectorial \vec{A} :**

$$\operatorname{rot}_{q_1} \vec{A} = \frac{1}{H_2 H_3} \left[\frac{\partial}{\partial q_2} (H_3 A_{q_3}) - \frac{\partial}{\partial q_3} (H_2 A_{q_2}) \right]$$

$$\operatorname{rot}_{q_2} \vec{A} = \frac{1}{H_3 H_1} \left[\frac{\partial}{\partial q_3} (H_1 A_{q_1}) - \frac{\partial}{\partial q_1} (H_3 A_{q_3}) \right]$$

$$\operatorname{rot}_{q_3} \vec{A} = \frac{1}{H_1 H_2} \left[\frac{\partial}{\partial q_1} (H_2 A_{q_2}) - \frac{\partial}{\partial q_2} (H_1 A_{q_1}) \right]$$

4. Sisteme particulare de coordonate curbilini ortogonale

I. Coordonate sferice (sau coordonate polare în spațiu).

Să considerăm un sistem de axe carteziene x, y, z . Poziția unui punct P în spațiu poate fi definită și prin următoarele trei numere:

- **distanța r** de la originea O până la punctul P , numită și **rază vectorie**.
- **unghiul φ** pe care-l face proiecția P' a punctului P pe planul xOy cu axa Ox , numit și **azimut** $[\]$ sau **longitudine** $[\]$.
- **unghiul θ** pe care-l face raza vectorie cu r cu axa Oz , numit și **colatitudine** $[\]$.

Aceste trei numere reale r, φ, θ reprezintă așa numitele **coordonațe sferice** sau **coordonațe polare în spațiu**. Suprafețele de coordonate sunt sfere cu centrul în O și cu raza r ; conuri de rotație cu vârful în O și axa Oz și cu semiunghiul la vârf θ , plane care trec prin raza Oz și fac cu planul xOz unghiul φ . Aceste suprafețe sunt ortogonale două câte două; unghiul φ este măsurat în sens direct, unghiul θ de la axa Oz către r (Fig. 3).

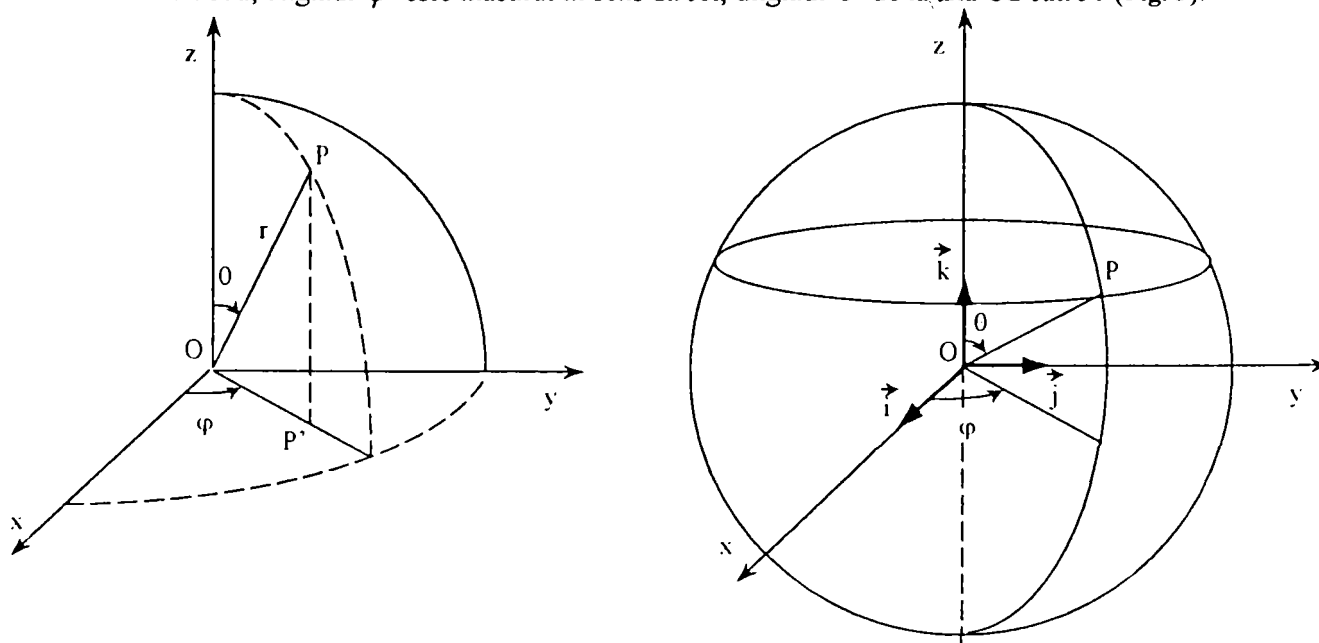


Fig.3.

Noile coordonate r, φ, θ sunt legate de vechile coordonate x, y, z , prin relațiile evidente (observăm că $\overline{OP'} = r \sin \theta$).

$$\begin{cases} x = r \cos \varphi \sin \theta \\ y = r \sin \varphi \sin \theta \\ z = r \cos \theta \end{cases} \quad (21)$$

Utilizând notațiile generale (4) identificăm:

$$q_1 = r; \quad q_2 = \theta; \quad q_3 = \varphi$$

În sistemele cartezian și sferic, suprafețele de coordonate au respectiv ecuațiile:

$$\begin{cases} x^2 + y^2 + z^2 - r^2 = 0 \\ x^2 + y^2 - z^2 \operatorname{tg}^2 \theta = 0 \\ \frac{y}{x} = \operatorname{tg} \varphi \end{cases} \quad \begin{cases} r = \text{const.} \\ \theta = \text{const.} \\ \varphi = \text{const.} \end{cases} \quad (22)$$

Din relațiile (21) găsim:

$$\begin{cases} dx = \cos \varphi \sin \theta dr - r \sin \varphi \sin \theta d\varphi + r \cos \varphi \cos \theta d\theta \\ dy = \sin \varphi \sin \theta dr + r \cos \varphi \sin \theta d\varphi + r \sin \varphi \cos \theta d\theta \\ dz = \cos \theta dr - r \sin \theta d\theta \end{cases}$$

Ridicăm la pătrat și adunăm; obținem expresia elementului de lungime:

$$ds^2 = dx^2 + dy^2 + dz^2 = dr^2 + r^2 d\theta^2 + r^2 \sin^2 \theta d\varphi^2$$

Comparând cu formula (14) deducem:

$$H_1 = 1; \quad H_2 = r; \quad H_3 = r \sin \theta$$

deoarece $0 \leq \theta \leq \pi \Rightarrow H_3 \geq 0$

Ecuția lui Laplace în coordonate sferice va fi:

$$\frac{\partial}{\partial r} \left(r^2 \sin \theta \frac{\partial U}{\partial r} \right) + \frac{\partial}{\partial \theta} \left(\sin \theta \frac{\partial U}{\partial \theta} \right) + \frac{\partial}{\partial \varphi} \left(\frac{1}{\sin \theta} \frac{\partial U}{\partial \varphi} \right) = 0$$

sau

$$\frac{\partial}{\partial r} \left(r^2 \frac{\partial U}{\partial r} \right) + \frac{1}{\sin \theta} \frac{\partial}{\partial \theta} \left(\sin \theta \frac{\partial U}{\partial \theta} \right) + \frac{1}{\sin^2 \theta} \frac{\partial^2 U}{\partial \varphi^2} = 0 \quad (23)$$

Ca un caz particular, să găsim de exemplu soluția acestei ecuații care să depindă numai de raza vectorială r . În acest caz trebuie considerat:

$$\frac{\partial U}{\partial \theta} = \frac{\partial U}{\partial \varphi} = 0 \quad \text{și prin urmare ecuația lui Laplace are forma:}$$

$$\frac{\partial}{\partial r} \left(r^2 \frac{\partial U}{\partial r} \right) = 0$$

de unde:

$$r^2 \frac{\partial U}{\partial r} = -c_1 \Rightarrow \frac{\partial U}{\partial r} = -\frac{c_1}{r^2} \Rightarrow U = \frac{c_1}{r} + c_2$$

unde c_1 și c_2 sunt constante arbitrare. În particular pentru $c_1=1$ și $c_2=0$ obținem soluția $\frac{1}{r}$, întâlnită în teoria potențialului [1], [2]. Operatorii diferențiali amintiți mai sus vor fi:

$$\text{grad}_r U = \frac{\partial U}{\partial r}; \quad \text{grad}_\theta U = \frac{1}{r} \frac{\partial U}{\partial \theta}; \quad \text{grad}_\varphi U = \frac{1}{r \sin \theta} \frac{\partial U}{\partial \varphi}$$

$$\text{div} \vec{A} = \frac{2}{r} A_r + \frac{\partial A_r}{\partial r} + \frac{1}{r \sin \theta} A_\theta + \frac{1}{r} \frac{\partial A_\theta}{\partial \theta} + \frac{1}{r \sin \theta} \frac{\partial A_\varphi}{\partial \varphi}$$

$$\text{rot}_r \vec{A} = \frac{1}{r \sin \theta} A_\varphi + \frac{1}{r} \frac{\partial A_\varphi}{\partial \theta} - \frac{1}{r \sin \theta} \frac{\partial A_\theta}{\partial \varphi}$$

$$\text{rot}_\theta \vec{A} = \frac{1}{r \sin \theta} \frac{\partial A_r}{\partial \varphi} - \frac{1}{r} A_\varphi - \frac{\partial A_\varphi}{\partial r}$$

$$\text{rot}_\varphi \vec{A} = \frac{1}{r} A_\theta + \frac{\partial A_\theta}{\partial r} - \frac{1}{r} \frac{\partial A_r}{\partial \theta}$$

II. Coordonate cilindrice

Poziția punctului $P(x,y,z)$ din spațiu poate fi determinată și în modul următor:

Proiectăm punctul P în P' pe planul xOy și notăm cu r raza vectorie a punctului P' în planul xOy . Notăm cu φ

unghiul pe care-l face această rază vectorie $\vec{r} = \overrightarrow{OP'}$ cu axa Ox (Fig. 4a). Atunci poziția punctului P' în planul xOy este determinată prin parametrii r și φ ; în final pentru a cunoaște poziția punctului P mai trebuie să cunoaștem și cota z . Aceste trei mărimi, (r, φ, z) reprezintă așa-numitele **coordonațe cilindrice** sau **semipolare** ale punctului P . Acest sistem de coordonate curbilini este format din următoarele trei familii de suprafețe ortogonale, două câte două:

- $r = \text{const.}$ care sunt niște cilindri de revoluție în jurul axei z ;
- $\varphi = \text{const.}$ care sunt niște plane care trec prin axa z și sunt perpendiculare pe planul xOy și, în sfârșit,
- $z = \text{const.}$ care sunt niște plane perpendiculare pe axa z respectiv paralele cu axa xOy (Fig. 4b).

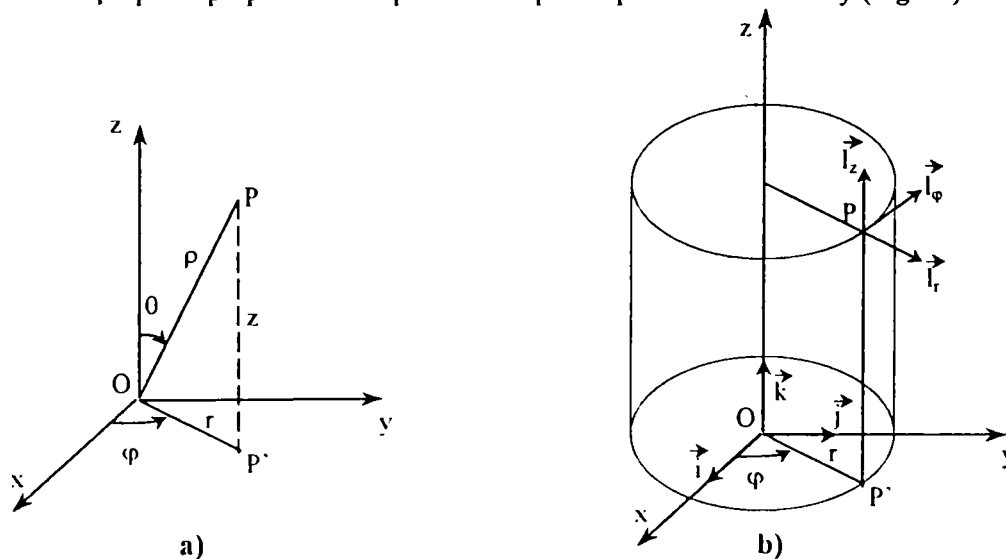


Fig.4.

Cele trei coordonate cilindrice r, φ, z sunt legate de coordonatele x, y, z prin relațiile evidente:

$$\begin{cases} x = r \cos \varphi \\ y = r \sin \varphi \\ z = z \end{cases}$$

iar prin comparație cu (14) avem:

$$q_1 = r, \quad q_2 = \varphi, \quad q_3 = z$$

În cele două sisteme de coordonate, cartezian și cilindric, suprafețele de coordonate au respectiv ecuațiile:

$$x^2 + y^2 = r^2 \quad r = \text{const.}$$

$$\frac{y}{x} = \text{tg} \varphi \quad \varphi = \text{const.}$$

$$z = z \quad z = z$$

Elementul de lungime va fi:

$$\begin{cases} dx = \cos \varphi dr - r \sin \varphi d\varphi \\ dy = \sin \varphi dr + r \cos \varphi d\varphi \\ dz = dz \end{cases}$$

$$\Rightarrow ds^2 = dx^2 + dy^2 + dz^2 = dr^2 + r^2 d\varphi^2 + dz^2$$

De aici deducem unitățile de lungime locale: $H_1=1$; $H_2=r$, $H_3=1$

Ecuția lui Laplace în coordonate cilindrice va fi:

$$\frac{\partial}{\partial r} \left(r \frac{\partial U}{\partial r} \right) + \frac{\partial}{\partial \varphi} \left(\frac{1}{r} \frac{\partial U}{\partial \varphi} \right) + \frac{\partial}{\partial z} \left(r \frac{\partial U}{\partial z} \right) = 0$$

sau

$$\begin{aligned} \frac{\partial}{\partial r} \left(r \frac{\partial U}{\partial r} \right) + \frac{1}{r} \frac{\partial^2 U}{\partial \varphi^2} + r \frac{\partial^2 U}{\partial z^2} &= 0 \Rightarrow \\ \Rightarrow \Delta U = \frac{1}{r} \frac{\partial U}{\partial r} + \frac{\partial^2 U}{\partial r^2} + \frac{1}{r^2} \frac{\partial^2 U}{\partial \varphi^2} + \frac{\partial^2 U}{\partial z^2} &= 0 \end{aligned}$$

Soluția acestei ecuații, care nu depinde decât de distanța r a punctului până la axa Oz , este:

$$\frac{\partial}{\partial r} \left(r \frac{\partial U}{\partial r} \right) = 0 \Rightarrow r \frac{\partial U}{\partial r} = C_1 \Rightarrow \frac{\partial U}{\partial r} = \frac{C_1}{r} \Rightarrow U = C_1 \ln r + C_2$$

Presupunem că valorile lui U nu depind de z , adică U are valori identice în toate planele paralele cu axa xOy . În acest caz avem de fapt o problemă și ecuația lui Laplace are formele:

$$\frac{\partial^2 U}{\partial x^2} + \frac{\partial^2 U}{\partial y^2} = 0 \Leftrightarrow \frac{\partial}{\partial r} \left(r \frac{\partial U}{\partial r} \right) + \frac{1}{r} \frac{\partial^2 U}{\partial \varphi^2} = 0$$

Se vede că în cazul plan, $\ln r$ va fi o soluție a ecuației lui Laplace, sau chiar $\ln \frac{1}{r} = -\ln r$.

Alți operatori au expresiile:

$$\text{grad}_r U = \frac{\partial U}{\partial r}; \quad \text{grad}_\varphi U = \frac{1}{r} \frac{\partial U}{\partial \varphi}; \quad \text{grad}_z U = \frac{\partial U}{\partial z}$$

$$\text{div} \vec{A} = \frac{1}{r} A_r + \frac{\partial A_r}{\partial r} + \frac{1}{r} \frac{\partial A_\varphi}{\partial \varphi} + \frac{\partial A_z}{\partial z}$$

$$\text{rot}_r \vec{A} = \frac{1}{r} \frac{\partial A_z}{\partial \varphi} - \frac{\partial A_\varphi}{\partial z}$$

$$\text{rot}_\varphi \vec{A} = \frac{\partial A_r}{\partial z} - \frac{\partial A_z}{\partial r}$$

$$\operatorname{rot}_z \vec{A} = \frac{1}{r} A_\varphi + \frac{\partial A_\varphi}{\partial r} - \frac{1}{r} \frac{\partial A_r}{\partial \varphi}$$

Notă: Trebuie să observăm atent că schimbările r și θ au o semnificație diferită în cazul coordonatelor sferice și cilindrice, ca urmare și versorii \vec{e}_r și \vec{e}_θ sunt diferiți în cele două sisteme de coordonate.

5. Formularea indicială

Evident că dacă vom folosi un sistem de coordonate cu o notație mai generală, vom putea utiliza o scriere indicială mult mai condensată și mai maniabilă.

Fie deci \mathfrak{R}_3 un spațiu euclidian cu trei dimensiuni, în care se dau funcțiile:

$$x_i = x_i(q_1, q_2, q_3) \quad i = 1, 2, 3 \quad (24)$$

sau

$$x_i = x_i(q_k) \quad i, k = 1, 2, 3$$

unde x_1, x_2, x_3 sunt coordonatele carteziene rectangulare ale unui punct oarecare N , iar q_1, q_2, q_3 un sistem de trei parametri independenți (Fig. 5).

Vom presupune că funcțiile $x_i(q_k)$ admit derivate parțiale continue până la ordinul necesar; în cazul de față vom presupune că ele sunt de clasă C^1 într-un domeniu $D \subset \mathfrak{R}_3$ și astfel încât determinantul funcțional (jacobianul) transformării (1) este nenul în D :

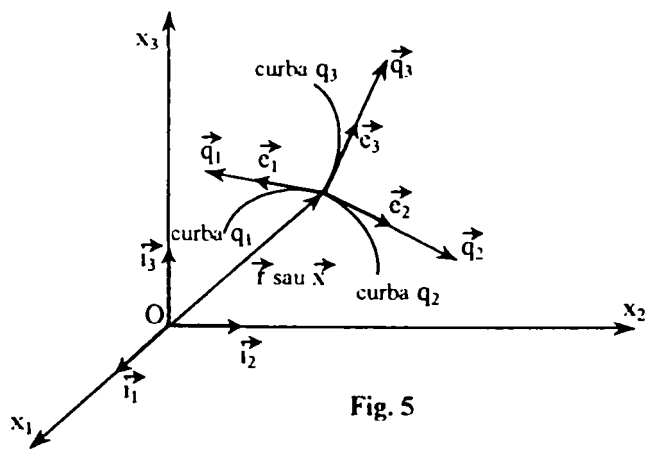


Fig. 5

$$J = \frac{D(x_1, x_2, x_3)}{D(q_1, q_2, q_3)} = \begin{vmatrix} \frac{\partial x_1}{\partial q_1} & \frac{\partial x_1}{\partial q_2} & \frac{\partial x_1}{\partial q_3} \\ \frac{\partial x_2}{\partial q_1} & \frac{\partial x_2}{\partial q_2} & \frac{\partial x_2}{\partial q_3} \\ \frac{\partial x_3}{\partial q_1} & \frac{\partial x_3}{\partial q_2} & \frac{\partial x_3}{\partial q_3} \end{vmatrix} \neq 0 \quad (25)$$

Această condiție este necesară pentru a putea rezolva sistemul de funcții implicite (1), astfel încât:

$$q_i = q_i(x_1, x_2, x_3) \quad i = 1, 2, 3 \sim q_i = q_i(x_k) \quad i, k = 1, 2, 3 \quad (26)$$

Între punctele N din spațiul \mathfrak{R}_3 și sistemul de numere q_i avem o corespondență biunivocă; când parametrii q_i iau valori într-un domeniu D' atunci punctele N din spațiu descriu un domeniu $D \subset \mathfrak{R}^3$, imaginea domeniului D' .

Poziția unui punct precizat N_0 din \mathfrak{R}_3 este dată de intersecția a trei suprafețe având ecuațiile:

$$\begin{cases} q_1^0 = q_1(x_1, x_2, x_3) \\ q_2^0 = q_2(x_1, x_2, x_3) \sim q_i^0 = q_i(x_k) \quad i, k = 1, 2, 3 \\ q_3^0 = q_3(x_1, x_2, x_3) \end{cases}$$

Intersectând aceste suprafețe două câte două, obținem în punctul N_0 trei curbe, de-a lungul cărora variază numai câte o coordonată q_i :

$$\begin{cases} q_2^0 = q_2(x_1, x_2, x_3) \cap q_3^0 = q_3(x_1, x_2, x_3) \Rightarrow (C_1) \xrightarrow{\text{variaza}} \text{numai } q_1 \\ q_1^0 = q_1(x_1, x_2, x_3) \cap q_3^0 = q_3(x_1, x_2, x_3) \Rightarrow (C_2) \xrightarrow{\text{variaza}} \text{numai } q_2 \\ q_1^0 = q_1(x_1, x_2, x_3) \cap q_2^0 = q_2(x_1, x_2, x_3) \Rightarrow (C_3) \xrightarrow{\text{variaza}} \text{numai } q_3 \end{cases}$$

Din acest motiv curbele (C_1) , (C_2) , (C_3) , le numim **curbe de coordonate**, iar parametrii (q_1, q_2, q_3) se numesc **coordonate curbilinii** și vom zice că spațiul \mathfrak{R}_3 a fost raportat, în domeniul D , la un sistem de coordonate curbilinii. Coordonatele curbilinii q_1, q_2, q_3 se numesc **ortogonale** dacă curbele coordonate se intersectează două câte două sub unghiuri drepte, oricare ar fi $N \in D$.

Se vede astfel că s-au realizat o serie de corespondențe biunivoce între tripletele ordonate de coordonate curbilinii (q_1, q_2, q_3) , tripletele ordonate de coordonate carteziene (x_1, x_2, x_3) , punctele corespunzătoare N aparținând unui domeniu D al spațiului euclidian tridimensional \mathfrak{R}_3 și vectorii de poziție ale acestor puncte în sistemul cartezian ortogonal (O, \vec{i}_k) .

$$\vec{r} = ON = x_1 \vec{i}_1 + x_2 \vec{i}_2 + x_3 \vec{i}_3 \quad (27)$$

Baze

Din (24) și (27) avem:

a) Baza naturală

$$\begin{aligned} \vec{r}(q_1, q_2, q_3) &= x_1(q_1, q_2, q_3) \vec{i}_1 + x_2(q_1, q_2, q_3) \vec{i}_2 + x_3(q_1, q_2, q_3) \vec{i}_3 \\ \vec{r} &= x_k(q_i) \vec{i}_k \quad k, i = 1, 2, 3 \end{aligned} \quad (28)$$

unde \vec{r} este o funcție continuă cu derivate parțiale continue în \mathfrak{R}_3 de același ordin ca și x_i .

Pornind de la relațiile (28) vom introduce vectorii $\vec{g}_i = (q_1, q_2, q_3)$ definiți astfel:

$$\vec{g}_i = \frac{\partial \vec{r}}{\partial q_i} = \frac{\partial x_k}{\partial q_i} \vec{i}_k \quad i = 1, 2, 3 \quad (29)$$

Să evidențiem câteva proprietăți ale vectorilor \vec{g}_i :

- Pentru fiecare $i=1,2,3$ vectorul \vec{g}_i este dirijat după tangenta la curba coordonată q_i ce trece prin punctul N considerat, în care sunt calculate derivatele parțiale (8), întrucât de-a lungul acestei curbe variază numai parametrul q_i .
- În orice punct $N \in D$, vectorii $\vec{g}_1, \vec{g}_2, \vec{g}_3$ sunt liniar independenți deoarece determinantul lor este tocmai determinantul funcțional $J(2)$ *

* Putem demonstra și direct această afirmație făcând produsul mixt al celor trei vectori $\vec{g}_1 \cdot (\vec{g}_2 \times \vec{g}_3) = J \neq 0$

$$i = 1 \Rightarrow \vec{g}_1 = \frac{\partial x_1}{\partial q_1} \vec{i}_1 + \frac{\partial x_2}{\partial q_1} \vec{i}_2 + \frac{\partial x_3}{\partial q_1} \vec{i}_3$$

$$i = 2 \Rightarrow \vec{g}_2 = \frac{\partial x_1}{\partial q_2} \vec{i}_1 + \frac{\partial x_2}{\partial q_2} \vec{i}_2 + \frac{\partial x_3}{\partial q_2} \vec{i}_3 \Rightarrow \vec{g}_1 \cdot (\vec{g}_2 \times \vec{g}_3) = \begin{vmatrix} \vec{g}_1 & \vec{g}_2 & \vec{g}_3 \end{vmatrix} = J \neq 0$$

$$i = 3 \Rightarrow \vec{g}_3 = \frac{\partial x_1}{\partial q_3} \vec{i}_1 + \frac{\partial x_2}{\partial q_3} \vec{i}_2 + \frac{\partial x_3}{\partial q_3} \vec{i}_3$$

Rezultă că vectorii: $\vec{g}_1(N)$, $\vec{g}_2(N)$, $\vec{g}_3(N)$ formează o bază în N , $\forall N \in D$, numită **bază naturală** în punctul N , corespunzătoare sistemului de coordonate curbilinii q_1, q_2, q_3 .

b) **Bază fizică** – este reprezentată de versorii sau vectorii unitari corepsunzători bazei \vec{g}_i , definiți astfel:

$$\vec{e}_i = \frac{\vec{g}_i}{\|\vec{g}_i\|} = \frac{\vec{g}_i}{H_i} \quad i = 1, 2, 3 \quad \text{fara sumare}$$

unde

$$H_i = \|\vec{g}_i\| = \left(\frac{\partial x_1}{\partial q_i} \right)^2 + \left(\frac{\partial x_2}{\partial q_i} \right)^2 + \left(\frac{\partial x_3}{\partial q_i} \right)^2 \quad i = 1, 2, 3$$

sunt mărimile vectorilor \vec{g}_i numite **coeficienții lui Lamé**.

Considerând coordonate curbilinii ortogonale, baza fizică introdusă mai sus $\{\vec{e}_i(N)\}$ este o bază ortonormată în orice punct $N \in D$, lucru care se scrie astfel:

$$\vec{e}_i(N) \cdot \vec{e}_k(N) = \delta_{ik} \quad i, k = 1, 2, 3$$

Vom mai presupune că vectorii $\vec{e}_1, \vec{e}_2, \vec{e}_3$ formează un triedru drept. Deosebirea esențială între cele două baze $\{\vec{e}_i\}$ și $\{\vec{g}_i\}$ este dată de faptul că direcțiile vectorilor bazei $\{\vec{e}_i\}$ se schimbă de la un punct la altul al spațiului. Mai trebuie să precizăm că trecerea de la baza fizică, numită baza locală din N sau reperul local din N , este necesară deoarece baza naturală prezintă dezavantajul că dacă coordonatele q_1, q_2, q_3 au dimensiuni fizice diferite, atunci și coordonatele vectorilor în această bază au dimensiuni fizice diferite. De aceea, păstrând avantajele utilizării coordonatelor curbilinii adecvate condițiilor de simetrie specifice problemei de rezolvat, s-a introdus ca bază locală sistemul versorilor tangenți în fiecare punct la liniile de coordonate. De aceea, componentele vectorilor și tensorilor în bazele reprezentate de versorii ortogonali $\vec{e}_1, \vec{e}_2, \vec{e}_3$ se numesc componente fizice, întrucât au aceleași dimensiuni fizice cu ale vectorilor și tensorilor respectivi.

Legătura dintre componentele fizice și cele carteziene se stabilește prin formulele de transformare, care leagă între ele două baze ortonormate.

$$\vec{e}_k \cdot \vec{e}_m = \delta_{km}; \quad \vec{e}'_r \cdot \vec{e}'_s = \delta_{rs}$$

Exprimăm fiecare vector al unei baze ca o combinație liniară a valorilor celeilalte baze:

$$\vec{e}_r = \alpha_{kr} \cdot \vec{e}_k; \quad \vec{e}_k = \alpha'_{rk} \vec{e}'_r$$

unde cele două matrice ale cosinuşilor directori $[\alpha_{kr}]$ și $[\alpha'_{rk}]$ sunt matrici inverse iar

$$\alpha_{kr} = \vec{e}_k \cdot \vec{e}'_r = \cos(\vec{e}_k, \vec{e}'_r)$$

Referindu-ne la cele două baze cu care lucrăm $\{0, \vec{i}_k\}$ și $\{N, \vec{e}_i\}$ putem scrie:

$$\vec{e}_i = \alpha_{ki} \cdot \vec{i}_k \quad \vec{i}_k = \alpha_{ki} \vec{e}_i$$

unde $\alpha_{ki} = \vec{i}_k \cdot \vec{e}_i$. Deoarece aceste baze sunt ortonormate rezultă:

$$\alpha_{ki} \alpha_{kj} = \delta_{ij}; \quad \alpha_{ki} \alpha_{ji} = \delta_{kj}$$

Pe de altă parte din relațiile de mai sus obținem:

$$\alpha_{ki} = \frac{1}{H_i} \frac{\partial x_k}{\partial q_i} \quad (\text{fără sumare})$$

SPAȚIUL LINIAR EUCLIDIAN*

§1. Produs scalar

Presupunem că într-un spațiu liniar \mathcal{L} este posibil să se introducă o operație algebrică care să asocieze la doi vectori arbitrari din \mathcal{L} un număr real (sau un scalar din corpul \mathcal{K}) pe care-l vom nota $\vec{x} \cdot \vec{y}$ (sau $\langle \vec{x}, \vec{y} \rangle$) și-l vom numi **produs scalar**, cu următoarele proprietăți:

$$\forall \vec{x}, \vec{y}, \vec{z} \in \mathcal{L}, \quad \forall \alpha \in \mathcal{K} \Rightarrow$$

- a) $\vec{x} \cdot \vec{y} = \vec{y} \cdot \vec{x}$ (produsul scalar este comutativ)
- b) $(\alpha \vec{x}) \cdot \vec{y} = \vec{x} \cdot (\alpha \vec{y}) = \alpha (\vec{x} \cdot \vec{y})$ (produsul scalar este asociativ față de amplificarea cu un scalar)
- c) $\vec{x} \cdot (\vec{y} + \vec{z}) = \vec{x} \cdot \vec{y} + \vec{x} \cdot \vec{z}$ (distributivitatea față de adunarea vectorială)
- d) $\vec{x} \cdot \vec{y} = 0$ pentru \vec{x} arbitrar $\Rightarrow \vec{y} = \vec{0}$.

Deci, dacă într-un spațiu liniar se poate introduce o asemenea operație vom zice că în acest spațiu am definit un produs scalar.

Un spațiu liniar \mathcal{L} dotat cu un produs scalar îl vom numi **spațiu liniar euclidian** și-l vom nota cu E . Este deci un spațiu liniar particular în care mai apare o operație în plus. Dacă este vorba de un spațiu liniar n -dimensional, \mathcal{L}_n , spațiul euclidian corespunzător îl notăm cu E_n .

Să vedem ce consecințe are definirea produsului scalar într-un spațiu liniar euclidian n -dimensional E_n .

Să considerăm că ne dăm o bază \vec{e}_i și pentru doi vectori arbitrari vom avea:

$$\vec{x} = x^i \vec{e}_i ; \quad \vec{y} = y^j \vec{e}_j$$

Atunci:

$$\vec{x} \cdot \vec{y} = \left(x^i \vec{e}_i \right) \cdot \left(y^j \vec{e}_j \right) = x^i y^j \left(\vec{e}_i \cdot \vec{e}_j \right)$$

Deci într-un spațiu euclidian E_n pentru a calcula produsul scalar a doi vectori este suficient să cunoșc produsele scalare ale vectorilor bazei $\left(\vec{e}_i \cdot \vec{e}_j \right)$. Se obișnuiește să se noteze acest produs:

$$\vec{e}_i \cdot \vec{e}_j = g_{ij} = g_{ji}$$

și deci:

$$\vec{x} \cdot \vec{y} = g_{ij} x^i y^j$$

Tragem concluzia că expresia analitică a produsului scalar este o formă biliniară simetrică în coordonatele vectorilor factori. Mai mult, să presupunem că $g_{ij} \cdot x^i \cdot y^j = 0$. Pentru x^i arbitrar rezultă $g_{ij} \cdot y^j = 0$, care are loc pentru $y^j = 0$. Sistemul admite numai soluția banală, deci $|g_{ij}| \neq 0$. Înseamnă că forma biliniară simetrică a produsului scalar este o **formă nedegenerată**.

Vom arăta că prin intermediul produsului scalar se pot asocia spațiului euclidian anumite elemente specifice: **norma**, **modulul** și **unghiul** a doi vectori.

* după A. Liehnerovics ([L. 1])

§2. Norma, modulul și unghiul a doi vectori

a) **Norma unui vector** (notată $N\vec{x}$). Vom înțelege prin norma unui vector \vec{x} produsul scalar al vectorului \vec{x} prin el însuși:

$$N\vec{x} = \vec{x} \cdot \vec{x} = \vec{x}^2 \Leftrightarrow N\vec{x} = g_{ij} x^i x^j > 0$$

Este deci o formă pătratică nedegenerată în componentele vectorului. Dacă forma este **pozitiv definită** spațiul se numește **spațiu euclidian propriu**.

Un vector pentru care $N\vec{x} = 1$ se numește **vector normat sau unitar (versor)**.

b) **Modulul (sau mărimea) unui vector** (notat $|\vec{x}|$ sau $\text{mod } \vec{x}$)

Prin definiție modulul unui vector este:

$$|\vec{x}| = \sqrt{N\vec{x}} = \sqrt{g_{ij} \cdot x^i \cdot x^j}$$

Se observă că aceasta are loc numai într-un spațiu euclidian propriu; într-un asemenea spațiu norma este zero numai pentru vectorul nul ($N\vec{x} = 0 \Rightarrow \vec{x} = \vec{0}$).

c) **Unghiul a doi vectori. Inegalitatea lui Schwarz**

Pentru oricare doi vectori arbitrari din E_n are loc relația:

$$|\vec{x} \cdot \vec{y}| \leq |\vec{x}| \cdot |\vec{y}|, \text{ numită inegalitatea lui Schwarz}$$

(Valoarea absolută a produsului scalar a doi vectori este mai mică sau egală cu produsul modulelor celor doi vectori).

Demonstrație. Pornim de la vectorul $\lambda\vec{x} + \vec{y}$ căruia îi calculăm norma.

$$N(\lambda\vec{x} + \vec{y}) = \lambda^2 N\vec{x} + 2\lambda \vec{x} \cdot \vec{y} + N\vec{y} > 0$$

Pentru ca această expresie să fie pozitivă pentru orice $\lambda \in \mathbb{K}$ trebuie ca discriminantul expresiei privită ca o funcție de gradul doi în λ să fie negativ:

$$\Delta_\lambda \leq 0 \Rightarrow \left(\vec{x} \cdot \vec{y} \right)^2 - N\vec{x} \cdot N\vec{y} \leq 0$$

Aceasta are evident loc dacă:

$$\frac{|\vec{x} \cdot \vec{y}|}{|\vec{x}| \cdot |\vec{y}|} \leq 1 \Leftrightarrow -1 \leq \frac{\vec{x} \cdot \vec{y}}{|\vec{x}| \cdot |\vec{y}|} \leq 1$$

Dar noi știm că există două funcții trigonometrice care se bucură de această proprietate, de aceea întotdeauna acestei expresii pot să-i asociem funcția:

$$\cos \varphi = \frac{\vec{x} \cdot \vec{y}}{|\vec{x}| \cdot |\vec{y}|}$$

prin care definim unghiul φ , numit „unghiul” vectorilor \vec{x} și \vec{y} . De aici rezultă imediat că dacă $\vec{x} \cdot \vec{y} = 0$ fără ca

\vec{x} sau \vec{y} să fie nuli, rezultă $\varphi = \frac{\pi}{2}$. Vom spune deci că **doi vectori sunt ortogonali dacă produsul lor scalar este nul**.

§3. Sistem ortonormat de vectori

Să presupunem că într-un spațiu euclidian propriu E_n avem un sistem de r vectori cu următoarele proprietăți:

- fiecare vector al sistemului este normat $\left(N \vec{a}_i = 1 \right)$
- fiecare pereche de vectori este ortogonală $\left(\vec{a}_i \cdot \vec{a}_j = 0 \right)$

Un astfel de sistem de vectori $(\vec{a}_1, \dots, \vec{a}_r)$ care satisface condițiile de mai sus se numește **ortonormat**.

Vom pune în evidență două proprietăți importante ale sistemelor ortonormate de vectori:

1) Produsul scalar este:

$$\vec{a}_i \cdot \vec{a}_j = \delta_{ij} = \begin{cases} 1, & i = j \\ 0, & i \neq j \end{cases},$$

unde δ_{ij} este simbolul lui Kronecker.

2) Un sistem ortonormat este întotdeauna un sistem de vectori liniar independenți.

Într-adevăr dacă scriem relația de dependență liniară:

$$\begin{aligned} \lambda^i \vec{a}_i = 0 & \quad \left\{ \vec{a}_j \quad (i = 1, 2, \dots, r) \right. & (*) \\ \Rightarrow \lambda^i \vec{a}_j \cdot \vec{a}_j = \lambda^i \delta_{ij} = 0 & \Rightarrow \lambda^i = 0 \end{aligned}$$

Deci relația (*) are loc numai pentru $\lambda^i = 0$, adică vectorii sunt liniar independenți. Numărul r al oricărui sistem de vectori ortonormat este \leq dimensiunea n a spațiului. Dacă $r=n$ sistemul poate forma o bază a spațiului care se numește **bază ortonormată**. În legătură cu aceasta se poate demonstra o teoremă fundamentală: „În orice spațiu E_n există cel puțin o bază ortonormată”.

Spațiul E_n este la rândul lui un spațiu liniar \mathcal{L}_n , deci el are o bază $\vec{e}_1, \vec{e}_2, \dots, \vec{e}_n$. Problema se pune de a arăta că din această bază se poate deduce totdeauna una ortonormată. Rezolvarea problemei se face cu ajutorul **metodei de ortogonalizare a lui Schmidt** ([] []). Să mai precizăm că existând o bază ortonormată există de fapt o infinitate de baze ortonormate.

§4. Componente contravariante și componente covariante într-un spațiu E_n

Fie $\vec{x} \in E_n$ un vector arbitrar din E_n și $\vec{e}_1, \vec{e}_2, \dots, \vec{e}_n$ o bază oarecare a spațiului. Am văzut că putem scrie:

$$\vec{x} = x^i \vec{e}_i \quad (4.1)$$

(s-a aplicat convenția de semne a lui Einstein), unde x^i sunt componentele vectorului \vec{x} , care la o schimbare de bază se schimbă după o **lege de contravarianță**. Amplificăm relația (1) cu un vector oarecare \vec{e}_j al bazei:

$$\vec{x} \cdot \vec{e}_j = x^i \cdot \vec{e}_i \cdot \vec{e}_j = x^i g_{ij}$$

Notăm cu un indice jos produsul scalar de mai sus:

$$x_j = \vec{x} \cdot \vec{e}_j = g_{ij} x^i \quad (4.2)$$

Relațiile (4.2) ne pun astfel în evidență n numere x_1, x_2, \dots, x_n asociate în mod unic vectorului \vec{x} și, reciproc, dacă ne dăm n numere (x_j) , prin relația (4.2) pot întotdeauna determina coordonatele (x^1, x^2, \dots, x^n) ale vectorului \vec{x} . Asta înseamnă că ansamblul ordonat de numere (x_1, x_2, \dots, x_n) definesc vectorul \vec{x} tot așa de bine ca și componentele inițiale (x^1, x^2, \dots, x^n) . Pe primele (x^i) le vom numi **componentele contravariante** ale vectorului \vec{x} , iar pe ultimele (x_j) le vom numi **componentele covariante**. Putem arăta cu ușurință că într-adevăr la o schimbare a bazei $(\vec{e}_i \rightarrow \vec{e}'_i)$ aceste componente (x_j) se schimbă după o lege de covarianță.

Fie $\vec{e}'_i = \alpha_i^j \vec{e}_j$ relația care ne dă schimbarea bazei.

Notez x_i componentele covariante în noua bază. Prin definiție:

$$x'_i = \vec{x} \cdot \vec{e}'_i$$

Dar \vec{x} nu depinde de baza aleasă, este un obiect al spațiului, adică:

$$x'_i = \vec{x} \cdot \vec{e}'_i = \vec{x} \cdot \alpha_i^j \cdot \vec{e}_j = \alpha_i^j \left(\vec{x} \cdot \vec{e}_j \right) = \alpha_i^j \cdot x_j, \quad \text{c.c.t.d.}$$

Cu ajutorul acestor componente produsul scalar obține o formă foarte simetrică. Fie doi vectori arbitrari $\vec{x}(x^i)$ și $\vec{y}(y^j)$ ($y_i = g_{ij} y^j$ - vezi relația (4.2)). Atunci:

$$\begin{aligned} \vec{x} \cdot \vec{y} &= x^i \cdot g_{ij} y^j = g_{ij} x^i y^j = x^i y_i = x_j y^j \\ \vec{x} \cdot \vec{y} &= x^i y_i = x_j y^j \end{aligned} \quad (4.3)$$

Tot așa de simplu se poate scrie și norma și unghiul a doi vectori:

$$N\vec{x} = x^i x_i; \quad \cos \varphi = \frac{x_i y^i}{|\vec{x}| |\vec{y}|} = \frac{x_i y^i}{\sqrt{x^i x_i} \sqrt{y^j y_j}} \quad (4.4)$$

§5. Baze reciproce

Am văzut că pentru un vector arbitrar \vec{x} din E_n , în baza (\vec{e}_i) putem scrie:

$$\vec{x} = x^i \cdot \vec{e}_i \quad (5.1)$$

unde x^i sunt componentele contravariante pe care le presupun cunoscute. Introducând produsul scalar am definit componentele covariante cu relația:

$$x_j = g_{ij} x^i \quad (5.2)$$

Să presupunem că ne dăm vectorul \vec{x} și componentele sale covariante $\vec{x}(x_1, x_2, \dots, x_n)$. Există deci o bază în raport cu care aceste numere să fie componentele lui \vec{x} . Mă întreb cum arată această bază. Voi nota vectorii acestei baze necunoscute cu \vec{e}^i , astfel încât să avem:

$$\vec{x} = x_i \cdot \vec{e}^i \quad (5.3)$$

Voi introduce de asemenea așa-numiții **cofactori normalizați** $g^{ij} = g^{ji}$ ai elementelor g_{ij} care satisfac următoarele condiții:

$$g_{ij} \cdot g^{ik} = \delta_j^k = \begin{cases} 1 & , \quad j = k \\ 0 & , \quad j \neq k \end{cases} \quad (5.4)$$

În aceste condiții formulele (5.2) se pot rezolva amplificând cu g^{ik} și voi avea:

$$g^{ik} x_j = g^{ik} g_{ij} x^i = \delta_j^k x^i$$

Pentru $j = k \Rightarrow \delta_j^k = 1 \Rightarrow$

$$x^i = g^{ik} x_k \quad (5.5)$$

Deci:

$$\vec{x} = x^i \vec{e}_i = g^{ik} x_k \vec{e}_i = x_k \left(g^{ik} \vec{e}_i \right)$$

dar:
$$\vec{x} = x_i \vec{e}_i$$

Comparând ultimele două relații avem:

$$\vec{e}^i = g^{ik} \vec{e}_k \quad (5.6)$$

și invers, amplificând cu g_{ij} avem:

$$\vec{e}_j = g_{ij} \vec{e}^i \quad (5.7)$$

Formulele (5.6) și (5.7) ne dau posibilitatea să trecem de la baza inițială la baza componentelor covariante și invers. Aceste baze se numesc **baze reciproce** ale spațiului E_n datorită faptului că una se deduce din cealaltă folosind determinanții reciproci $|g_{ij}|$ sau $|g^{ij}|$. Este de observat că matricea trecerii de la o bază la baza reciprocă

este tocmai matricea $g_{ij} = \vec{e}_i \cdot \vec{e}_j$ a produselor scalare formate cu vectorii bazei inițiale date.

Să încheiem punând în evidență legea după care se transformă vectorii bazei reciproce la o schimbare a bazei inițiale.

Am văzut că la o schimbare de axe baza inițială se schimbă după o lege de covarianță:

$$\vec{e}'_i = \alpha_j^i \cdot \vec{e}_j \quad (5.8)$$

Să arătăm că în acest caz vectorii bazei reciproce se schimbă după o lege de contravarianță de forma:

$$\vec{e}''^i = \tilde{\alpha}_j^i \vec{e}^j \quad (5.9)$$

Pornim de la relații cunoscute:

$$g'_{ij} = \vec{e}'_i \cdot \vec{e}'_j = \alpha_i^k \vec{e}_k \cdot \alpha_j^h \vec{e}_h = \alpha_i^k \alpha_j^h g_{kh}$$

Deci g_{ij} se transformă după o lege dublă de covarianță. Dar ținând cont de relațiile (5.4) trebuie să avem:

$$g'^{kh} = \tilde{\alpha}_i^k \cdot \tilde{\alpha}_j^h \cdot g^{ij}$$

Atunci, din (5.6) rezultă

$$\vec{e}''^i = g'^{ij} \vec{e}'_j = \tilde{\alpha}_r^i \tilde{\alpha}_s^j g^{rs} \cdot \alpha_j^t \vec{e}_t = \tilde{\alpha}_r^i \cdot \delta_s^t g^{rs} \vec{e}_t$$

Voi însuma după t și rămânem numai cu situațiile în care $t=s$, deci:

$$\vec{e}''^i = \alpha_r^i g^{rs} \vec{e}_s = \tilde{\alpha}_r^i \vec{e}^r, \quad \text{c.c.t.d.}$$

* * *

FUNCTIA δ A LUI DIRAC

1. Prin funcția δ se înțelege o funcție nulă în întreg domeniul în care este definită cu excepția unui singur punct în care devine infinită. Ea a fost introdusă și utilizată pentru prima dată în mecanica cuantică de către Dirac pentru a descrie „surse punctiforme cu debit finit”, și face parte din clasa așa-numitelor *funcții impulsive*. Funcția δ se prezintă de obicei *normală*, adică integrala ei pe întreg domeniul de definiție să fie egală cu unitatea, iar în afara acestui domeniu să ia valoarea zero. Fie deci intervalul (a,b) în interiorul căruia definim funcția $\delta(x-x_0)$ unde x este punctul curent din intervalul (a,b) , iar x_0 punctul de discontinuitate al funcției δ (v. Fig.1). Sub formă analitică, cele spuse mai sus se transcriu astfel:

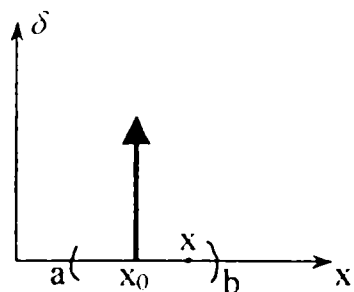


Fig.1.

$$\begin{cases} \delta(x-x_0) = 0, & \forall x \in (a,b), \quad x \neq x_0 \\ \delta(x-x_0) = \infty, & \text{pentru } x = x_0 \\ \int_a^b \delta(x-x_0) dx = \begin{cases} 1, & \text{pentru } a < x_0 < b \\ 0, & \text{pentru } x_0 < a \text{ sau } x_0 > b \end{cases} \end{cases} \quad (1)$$

2. Funcția δ posedă proprietatea remarcabilă numită **proprietatea filtrantă**. Acest lucru înseamnă că \forall ar fi $f(x): (a,b) \rightarrow \mathbb{R}$, continuă și mărginită pe (a,b) , vom avea:

$$\int_a^b f(x) \delta(x-x_0) dx = \begin{cases} f(x_0) & \text{daca } x_0 \in (a,b) \\ 0 & \text{daca } x_0 \notin (a,b) \end{cases} \quad (2)$$

3. Funcția δ poate fi pusă și în legătură cu dezvoltarea în serie Fourier. În acest sens să considerăm un sistem închis de funcții ortonormate $\varphi_n(x)$ definite pe (a,b) . Dacă notăm cu $\overline{\varphi_k(x)}$ conjugata complexă a lui $\varphi_k(x)$, atunci se știe că între aceste funcții avem relația:

$$\int_a^b \varphi_n(x) \cdot \overline{\varphi_k(x)} dx = \delta_{nk} \quad (3)$$

unde δ_{nk} este simbolul lui Kronecker.

Să considerăm dată o funcție periodică $f(x)$ cu intervalul de periodicitate (a,b) . Se știe că $f(x)$ poate fi dezvoltată în serie Fourier cu ajutorul funcțiilor $\varphi_n(x)$ dacă îndeplinește condițiile lui Dirichlet.

În acest caz:

$$f(x) = \sum_n a_n \varphi_n(x) \quad (4)$$

unde coeficienții Fourier a_n sunt:

$$a_n = \int_a^b f(x) \overline{\varphi_n(x)} dx \quad (5)$$

Din (5) și (4) rezultă:

$$f(x) = \sum_n \int_a^b f(z) \overline{\varphi_n(z)} \varphi_n(x) dz \quad (6)$$

Utilizând proprietatea filtrantă a frontierei δ putem scrie:

$$f(x) = \int_a^b f(z)\delta(z-x)dz \quad (7)$$

Din comparația expresiilor (7) și (6) rezultă relația formală:

$$\delta(z-x) = \sum_n \overline{\varphi_n(z)}\rho_n(x) \quad (8)$$

Această formulă este valabilă pentru un sistem de valori discrete date indicelui n , adică pentru un spectru discret al funcțiilor ortogonale.

Prin trecerea la limită se obține valoarea funcției δ și pentru un spectru continuu. Înlocuind funcțiile $\varphi_n(x)$ cu funcțiile $\varphi(x, n)$ unde n este un parametru continuu, obținem:

$$\delta(z-x) = \lim_{N \rightarrow \infty} \int_{-N}^N \overline{\varphi(z, n)}\rho(x, n)dn \quad (9)$$

4. Funcția δ și funcția lui Green

Funcția δ poate fi pusă în legătură și cu funcția lui Green. Considerăm operatorul diferențial:

$$D = a_0 + a_1 \frac{\partial}{\partial x_1} + a_k \frac{\partial^2}{\partial x_1 \partial x_k} + \dots \quad (10)$$

și ecuația diferențială neomogenă:

$$D = \varphi(x_i) = -\rho(x_i) \quad (11)$$

Aici cu x_i se notează atât ansamblul coordonatelor spațiale cât și timpul. Soluția ecuației (11) se obține aplicând operatorul diferențial invers D^{-1} .

$$\varphi(x_i) = -D^{-1}\rho(x_i) \quad (12)$$

Dar, pe baza proprietății filtrante a funcției δ avem:

$$\rho(x_i) = \int_{\Omega} \rho(z_i)\delta(z_i - x_i)d\Omega_z \quad (13)$$

Trebuie precizat că operatorii introduși D și D^{-1} se referă la variabilele x_i și nu la variabilele z_i și de aceea ei pot fi trecuți sub semnul integralei care se referă la variabilele z_i . Atunci introducând (13) în (12) obținem:

$$\varphi(x_i) = - \int_{\Omega} \rho(z_i)D^{-1}\delta(z_i - x_i)d\Omega_z \quad (14)$$

Pe de altă parte, funcția lui Green $G(z_i, x_i)$ referitoare la ecuația omogenă $D\varphi(x_i) = 0$ conduce direct la soluția ecuației neomogene (11) sub forma:

$$\varphi(x_i) = \int_{\Omega} \rho(z_i)G(z_i, x_i)d\Omega_z \quad (15)$$

Comparând (15) cu (14) rezultă:

$$\boxed{G(z_i, x_i) = -D^{-1}\delta(z_i - x_i)} \quad (16)$$

Aceasta este o relație fundamentală care stabilește legătura dintre funcția lui Green și funcția δ , corespunzătoare ecuației diferențiale (11).

5. Despre operatorul D^{-1}

În relația (16) aplicăm operatorul D la stânga și obținem:

$$DG(z_i, x_i) = -\delta(z_i - x_i) \quad (17)$$

relație care ne arată că funcția G nu poate fi determinată decât cu aproximația unei funcții G_0 , soluție a ecuației omogene $DG_0=0$.

Revenim la ecuația (16), înmulțim ambii membrii cu o funcție continuă $f(z_i)$ și integrăm în domeniul Ω în raport cu variabilele z_i . Obținem:

$$\int_{\Omega} G(z_i, x_i) f(z_i) d\Omega_z = -D^{-1} \int_{\Omega} f(z_i) \delta(z_i - x_i) d\Omega_z \quad (18)$$

Scoaterea lui D^{-1} în afara integralei e admisibilă deoarece - așa cum am mai menționat - operatorii D și D^{-1} se aplică numai variabilelor x_i care nu sunt supuse interpretării.

Dar integrala din membrul drept al relației (18) este tocmai integrala filtrantă, deci:

$$D^{-1} f(x_i) = - \int_{\Omega} f(z_i) G(z_i, x_i) d\Omega_z$$

(19)

În concluzie, din această relație vedem că D^{-1} este un operator integral liniar având ca nucleu funcția lui Green cu semn schimbat.

6. În cartea lui R.D.STUART ([S]) funcția δ , numită și impulsul unitate, este definită pornind de la impulsul rectangular. Acest impuls reprezentat în Fig.2, este definit astfel:

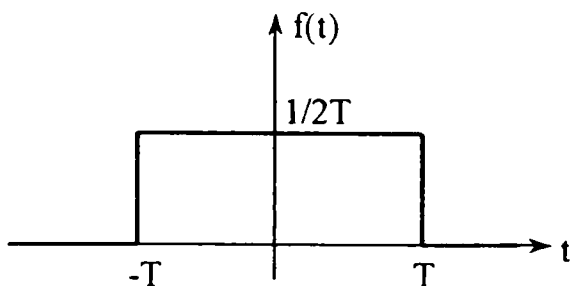


Fig.2

$$f(t) = \begin{cases} \frac{1}{2T} & \text{daca } t \in (-T, T) \\ 0 & \text{daca } t \notin (-T, T) \end{cases} \quad (20)$$

Se observă cu ușurință că această definiție determină un impuls de arie egală cu unitatea. Impulsul unitate se obține luând limita $T \rightarrow 0$. În acest caz amplitudinea funcției devine infinită în origine, dar aria rămâne egală cu unitatea.

OPERATORI DIFERENȚIALI UZUALI

Amintim câțiva dintre operatorii diferențiali cei mai utilizați în teoria elasticității:

1. **NABLA** (simbolizat ∇) – operator diferențial liniar de ordinul întâi, definit în coordonate carteziene prin:

$$\nabla = \vec{i} \frac{\partial}{\partial x} + \vec{j} \frac{\partial}{\partial y} + \vec{k} \frac{\partial}{\partial z}$$

Aplicat unei funcții scalare, el dă gradientul, iar aplicat vectorilor dă divergența sau rotorul.

Noțiunea a fost introdusă de W. Hamilton (1853), iar simbolul de O. Heaviside (1892). Se mai numește **operatorul lui Hamilton**.

2. **LAPLACIAN** (simbolizat ∇^2 sau Δ) operator diferențial liniar de ordinul doi, definit formal în spațiul funcțiilor de clasă C^2 prin produsul scalar al operatorului nabla cu el însuși.

$$\nabla \cdot \nabla = \nabla^2 = \Delta = \text{div grad},$$

adică, într-un sistem de referință cartezian:

$$\Delta = \frac{\partial^2}{\partial x^2} + \frac{\partial^2}{\partial y^2} + \frac{\partial^2}{\partial z^2}$$

În coordonate sferice (r, θ, φ), unde $r^2 = x^2 + y^2 + z^2$:

$$\Delta = \frac{1}{r^2} \frac{\partial}{\partial r} \left(r^2 \frac{\partial}{\partial r} \right) + \frac{1}{r^2 \sin \theta} \frac{\partial}{\partial \theta} \left(\sin \theta \frac{\partial}{\partial \theta} \right) + \frac{1}{r^2 \sin^2 \theta} \frac{\partial^2}{\partial \varphi^2}$$

iar în coordonate cilindrice, unde $r^2 = x^2 + y^2$:

$$\Delta = \frac{1}{r} \frac{\partial}{\partial r} \left(r \frac{\partial}{\partial r} \right) + \frac{1}{r^2} \frac{\partial^2}{\partial \varphi^2} + \frac{\partial^2}{\partial z^2}$$

Este singurul operator diferențial de ordinul doi invariant la o transformare ortogonală de coordonate.

Ecuția $\Delta U = 0$ se numește **ecuația lui Laplace** și joacă un rol important în mecanică, fizică, matematică, teoria elasticității și plasticității. Soluția acestei ecuații, funcția „U”, se numește **funcție armonică**.

3. **DALAMBERTIAN**, operatorul lui D'Alembert (simbolizat \square), numit și operator ondulatoriu – este un operator diferențial de ordinul doi, care în coordonate carteziene are forma:

$$\square u \equiv \Delta u - \frac{1}{C^2} \frac{\partial^2 u}{\partial t^2}$$

unde Δ - operatorul lui Laplace iar C – constantă.

În coordonate sferice are forma:

$$\square u = \frac{1}{r^2} \frac{\partial}{\partial r} \left(r^2 \frac{\partial u}{\partial r} \right) + \frac{1}{r^2 \sin \theta} \frac{\partial}{\partial \theta} \left(\sin \theta \frac{\partial u}{\partial \theta} \right) + \frac{1}{r^2 \sin^2 \theta} \frac{\partial^2 u}{\partial \varphi^2} - \frac{1}{C^2} \frac{\partial^2 u}{\partial t^2}$$

iar în coordonate cilindrice:

$$\square u \equiv \frac{1}{r} \frac{\partial}{\partial r} \left(r \frac{\partial u}{\partial r} \right) + \frac{1}{r^2} \frac{\partial^2 u}{\partial \varphi^2} + \frac{\partial^2 u}{\partial z^2} - \frac{1}{C^2} \frac{\partial^2 u}{\partial t^2}$$

În coordonate curbilini generalizate:

$$\square u \equiv \frac{1}{\sqrt{-g}} \frac{\partial}{\partial x_\nu} \left(\sqrt{-g} g^{\mu\nu} \frac{\partial u}{\partial x_\mu} \right)$$

unde g – determinantul matricei $\|g_{\mu\nu}\|$, compusă din coeficienții matricei tensorului $g_{\mu\nu}$.

Operatorul poartă numele lui J. D'Alembert (1747) care l-a folosit în forma sa simplă la rezolvarea ecuației ondulatorii unidimensionale.

PROBLEMA KELVIN. FORȚĂ CONCENTRATĂ ÎNTR-UN MEDIU INFINIT
(HÜTTE p.E99)

O forță concentrată F acționând într-un punct O pe direcția z , într-un mediu elastic infinit în toate direcțiile (Fig.1), produce următoarele câmpuri de tensiuni și deplasări (Se consideră coordonate cilindrice: ρ, φ, z ;

$$r = \sqrt{\rho^2 + z^2} \text{)};$$

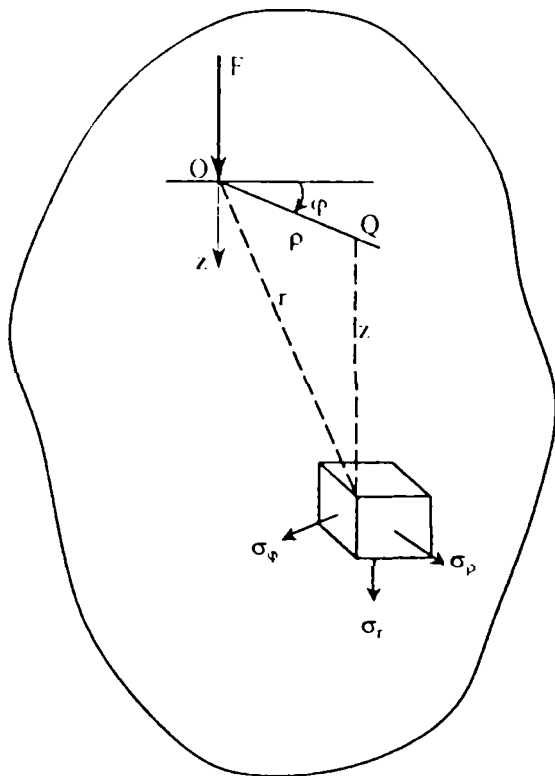


Fig. 1.

Tensiuni:

$$\sigma_{\rho} = \frac{F}{8\pi(1-\nu)r^2} \left[(1-2\nu)\frac{z}{r} - \frac{3\rho^2 z}{r^3} \right]$$

$$\sigma_{\varphi} = \frac{F}{8\pi(1-\nu)r^2} (1-2\nu)\frac{z}{r}$$

$$\sigma_z = -\frac{F}{8\pi(1-\nu)r^2} \left[(1-2\nu)\frac{z}{r} + \frac{3z^3}{r^3} \right]$$

$$\tau_{\rho\varphi} = \tau_{\varphi z} \equiv 0$$

Deplasări :

$$u_{\varphi} \equiv 0$$

$$u_{\rho} = \frac{F}{16\pi(1-\nu)Gr} \cdot \frac{\rho z}{r^2}$$

$$u_z = \frac{F}{16\pi(1-\nu)Gr} \left(3 - 4\nu + \frac{z^2}{\rho^2} \right)$$

* * *

CÂTEVA SOLUȚII FUNDAMENTALE UTILIZATE ÎN M.E.Fr.

Se știe că una din dificultățile majore în aplicarea Metodei Elementelor de Frontieră este necesitatea de a utiliza ca funcție pondere o soluție a ecuației omogene sau o soluție fundamentală. Actualmente există însă o „*bază de date*”, adică tabele cu soluții fundamentale (numite și soluții elementare). Notăm aceste soluții cu un asterisc pentru a sublinia particularitatea lor.

Redau în această anexă, principalele cazuri de ecuații diferențiale și soluții fundamentale întâlnite în aplicațiile tehnice.

I. Ecuația lui LAPLACE

- Probleme unidimensionale: $\frac{d^2 u^*}{dx^2} + \delta_0 = 0 \Rightarrow u^* = \frac{1}{2}r, \quad r = |x|$
- Probleme bidimensionale: $\frac{\partial^2 u^*}{\partial x^2} + \frac{\partial^2 u^*}{\partial y^2} + \delta_0 = 0 \Rightarrow u^* = \frac{1}{2\pi} \ln \frac{1}{r}$
- Probleme tridimensionale: $\frac{\partial^2 u^*}{\partial x_1^2} + \frac{\partial^2 u^*}{\partial x_2^2} + \frac{\partial^2 u^*}{\partial x_3^2} + \delta_0 = 0 \Rightarrow u^* = \frac{1}{4\pi r}$

II. Ecuația lui HELMHOLTZ

- Probleme unidimensionale: $\frac{d^2 u^*}{dx^2} + \lambda^2 u^* + \delta_0 = 0 \Rightarrow u^* = -\frac{1}{2\lambda} \sin \lambda r$
- Probleme bidimensionale: $\frac{\partial^2 u^*}{\partial x_1^2} + \frac{\partial^2 u^*}{\partial x_2^2} + \lambda^2 u^* + \delta_0 = 0 \Rightarrow u^* = \frac{1}{4i} H_0^{(2)}(\lambda r)$
unde H_0 - funcția HANKEL
- Probleme tridimensionale: $\frac{\partial^2 u^*}{\partial x_1^2} + \frac{\partial^2 u^*}{\partial x_2^2} + \frac{\partial^2 u^*}{\partial x_3^2} + \lambda^2 u^* + \delta_0 = 0 \Rightarrow u^* = \frac{1}{4\pi r} e^{-i\lambda r}$

III. Ecuația undelor

- Probleme unidimensionale: $c^2 \frac{\partial^2 u^*}{\partial x^2} - \frac{\partial^2 u^*}{\partial t^2} + \delta_0 \delta(t) = 0 \Rightarrow u^* = \frac{1}{2c} H(ct - r)$
unde H - funcția treaptă Heaveside
- Probleme bidimensionale: $c^2 \left(\frac{\partial^2 u^*}{\partial x_1^2} + \frac{\partial^2 u^*}{\partial x_2^2} \right) - \frac{\partial^2 u^*}{\partial t^2} + \delta_0 \delta(t) = 0 \Rightarrow u^* = -\frac{H(ct - r)}{2\pi c(c^2 t^2 - r^2)}$
- Probleme tridimensionale: $c^2 \nabla^2 u^* - \frac{\partial^2 u^*}{\partial t^2} + \delta_0 \delta(t) = 0 \Rightarrow u^* = \frac{\delta\left(t - \frac{r}{c}\right)}{4\pi r}$

PROBLEME UNIDIMENSIONALE

I. Bare drepte de rigiditate constantă, solicitate la încovoiere

Ecuția diferențială: $EI \frac{d^4 u^*}{dx^4} = \delta(x, \rho)$

Soluția fundamentală:
$$u^*(r) = \frac{L^3}{12EI} \left[2 + \left(\frac{r}{L} \right) - 3 \left| \frac{r}{L} \right|^2 \right]$$

II. Vibrațiile barelor drepte de rigiditate constantă solocitate la încovoiere

a) Vibrații libere

Ecuția diferențială:
$$\frac{d^4 u^*}{dx^4} - \lambda^4 u^* = \frac{1}{EI} \delta(x, \xi) \quad \text{unde} \quad \lambda^4 = \frac{m\omega^2}{EI}$$

Soluția fundamentală:
$$u^*(x, \xi) = \frac{1}{4\lambda^3 EI} \left[\sec \lambda l \cdot \sin \lambda(l - |r|) - \operatorname{sech} \lambda l \operatorname{sh} \lambda(l - |r|) \right]$$

b) Vibrații forțate (acționează o sarcină transversală $q(x, t) = Q(x) \sin \omega t$ și o forță axială P).

Ecuția diferențială:
$$\frac{d^4 u^*}{dx^4} - \mu^4 u^* - 2\alpha^2 \frac{d^2 u^*}{dx^2} = \frac{1}{EI} \delta(x, \xi)$$

unde $\mu^4 = \frac{mk^2}{EI}$; $\alpha^2 = \frac{P}{2EI}$; $k = \omega i$

Soluția fundamentală:

$$u^*(x, \xi) = \frac{1}{2\alpha(\alpha^2 + \beta^2)EI} \sec \alpha l \sin \alpha(l - |r|) - \frac{1}{2\beta(\alpha^2 + \beta^2)EI} \operatorname{sech} \beta l \operatorname{sh} \beta(l - |r|)$$

unde $|r| = |x - \xi|$; $\beta = \left[\alpha^2 + (\alpha^4 - \mu^8)^{1/2} \right]^{1/2}$

III. Flambajul barelor drepte de secțiune constantă

Ecuția diferențială:
$$EI = \frac{d^4 u^*}{dx^4} + P \frac{d^2 u^*}{dx^2} = \delta(x, \xi)$$

Soluția fundamentală:
$$u^*(r) = \frac{1}{2k} P \left[-\sin k|r| + \operatorname{tg} kL \cos k|r| + k(|r| - L) \right] \quad \text{cu} \quad k^2 = \frac{P}{EI}$$

PROBLEME BIDIMENSIONALE

Ecuția diferențială a unei plăci plane subțiri elastice încărcată transversal cu o forță uniform distribuită p este:

$$D\Delta\Delta w = D \left(\frac{\partial^4 w}{\partial x_1^4} + 2 \frac{\partial^4 w}{\partial x_1^2 \partial x_2^2} + \frac{\partial^4 w}{\partial x_2^4} \right) = p$$

Vom avea:

I. Plăci plane circulare încărcate cu o forță concentrată în centru

Ecuția diferențială:
$$D\nabla^4 w^* = \delta \quad \text{unde} \quad D = \frac{Eh^3}{12(1-\nu^2)}$$

Soluția fundamentală:
$$w^*(r) = \frac{1}{16\pi D} (r^2 \ln r^2 - r^2)$$

II. Flambajul plăcilor circulare subțiri,

încărcate cu o forță de compresiune radială perimetrală în planul plăcii notată N .

Ecuția diferențială:
$$D\nabla^4 w^* = N\nabla^2 w^* = \delta$$

Soluția fundamentală:
$$w^*(r) = \frac{D}{2\pi N} \left(\ln r + k_0 \sqrt{Nr^2/D} \right)$$

III. Flambajul plăcilor subțiri de formă arbitrară

Ecuția diferențială: $D\nabla^4 w^* / \lambda \nabla^2 w^* = \delta$

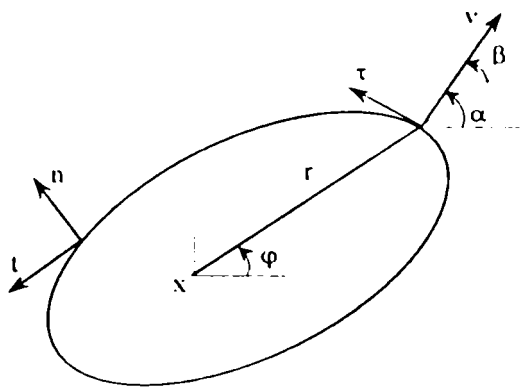


Fig. 1.

Soluția fundamentală: $w^* = a(\ln r + k_0)$

$$\theta^* = \frac{\partial w^*}{\partial n} = a \left(\frac{1}{r} - \lambda k_1 \right) \cos \beta$$

$$\text{unde } a = \frac{1}{2\pi} \frac{N}{D}; \quad \lambda = \left(\frac{N}{D} \right)^{1/2}$$

Deplasarea pe contur în punctul y când forța concentrată unitară acționează în punctul sursă x (v. Fig.1).

$$w^*(y, x) = \frac{1}{8\pi l} r^2 \ln r$$

$$\frac{\partial w^*}{\partial n} = \frac{1}{8\pi D} r \frac{dr}{dv} (1 + 2 \ln r)$$

IV. Ecuția lui NAVIER (soluția KELVIN)

Ecuția diferențială: $\frac{\partial \tau_{jk}^*}{\partial x_j} + \delta_l = 0$

Cazul a: forță concentrată unitară în direcția l. $u_k^* = \frac{1}{8\pi G(1-\nu)} \left[(3-4\nu) \ln \frac{1}{r} \delta_{kl} + r_{,k} r_{,l} \right] e_l$

Cazul b: tracțiune în direcția k $p_k^* = -\frac{1}{r} \left\{ \frac{dr}{dn} \left[(1-2\nu) \delta_{lk} + 2r_{,l} r_{,k} \right] - (1-2\nu) (n_l r_{,k} - n_k r_{,l}) \right\} \frac{e_l}{4\pi(1-\nu)}$

V. Ecuția lui DARCY (cazul ortotrop)

Ecuția diferențială: $k_1 \frac{\partial^2 u^*}{\partial x_1^2} + k_2 \frac{\partial^2 u^*}{\partial x_2^2} + \delta_0 = 0$

Soluția fundamentală: $u^* = \frac{1}{\sqrt{k_1 k_2}} \frac{1}{2\pi} \ln \frac{1}{r_0}, \quad r_0 = \left(\frac{x_1^2}{k_1} + \frac{x_2^2}{k_2} \right)^{1/2}$

PROBLEME TRIDIMENSIONALE

I. Ecuția lui DARCY

Ecuția diferențială: $k_1 \frac{\partial^2 u^*}{\partial x_1^2} + k_2 \frac{\partial^2 u^*}{\partial x_2^2} + k_3 \frac{\partial^2 u^*}{\partial x_3^2} + \delta_0 = 0$

Soluția fundamentală: $u^* = \frac{1}{\sqrt{k_1 k_2 k_3}} \cdot \frac{1}{4\pi r_0}, \quad r_0 = \left(\frac{x_1^2}{k_1} + \frac{x_2^2}{k_2} + \frac{x_3^2}{k_3} \right)^{1/2}$

II. Ecuția lui NAVIER (soluția KELVIN)

Ecuția diferențială: $\frac{\partial \sigma_{jk}^*}{\partial x_j} + \delta_0 = 0$

Soluția fundamentală (deplasarea după direcția k): $u_k^* = \frac{-1}{16\pi G(1-\nu)} \left(\frac{3-4\nu}{r} \delta_{lk} + \frac{\partial r}{\partial x_l} \cdot \frac{\partial r}{\partial x_k} \right)$

$$p_j^* = p_{ij}^* e_i = \frac{-1}{8\pi(1-\nu^2)} \left\{ \left(\frac{\partial r}{\partial n} \right) \left[(1-2\nu) \delta_{ij} + 3r_{,i} r_{,j} \right] + (1-2\nu) (n_j r_{,i} - n_i r_{,j}) \right\} \cdot e_j; \quad p_i^* = p_{ji}^* e_j$$

CÂMPURI SCALARE ȘI CÂMPURI VECTORIALE. CÂTEVA FORMULE UTILE

- Dacă fiecărui punct P al unui domeniu D îi corespunde cantitatea scalară unică $\varphi(P)$, spunem că φ este o *funcție scalară uniformă* definită pe D , iar mulțimea valorilor lui φ se numește *câmp scalar uniform*. Suprafețele $\varphi = \text{const.}$ se numesc suprafețe de nivel.
- Dacă fiecărui punct P din D îi corespunde o cantitate vectorială unică $V(P)$, spunem că V este o *funcție vectorială uniformă* definită pe D , iar mulțimea tuturor valorilor lui V se numește *câmp vectorial uniform*.
- Curba C din D care are proprietatea că, în fiecare punct $P \in C$, tangenta la curbă este paralelă cu $V(P)$, se numește *linie de câmp*. Se numește *suprafață de câmp* a câmpului vectorial $V(P)$, o suprafață S la care, în fiecare punct P , vectorul $V(P)$ este tangent.
- Linii de câmp ale câmpului vectorial $V=V_1i + V_2j + V_3k$ sunt soluții ale sistemului sub formă simetrică

$$\frac{dx}{V_1} = \frac{dy}{V_2} = \frac{dz}{V_3} \quad (1)$$

sau ale ecuației vectoriale

$$V \times dr = 0, \quad (2)$$

unde r este vectorul de poziție.

- Ecuația $F(x,y,z)=0$, reprezintă o suprafață de câmp a câmpului vectorial $V=V_1i+V_2j+V_3k$, dacă și numai dacă F este soluție a ecuației cu derivate parțiale de ordinul întâi.

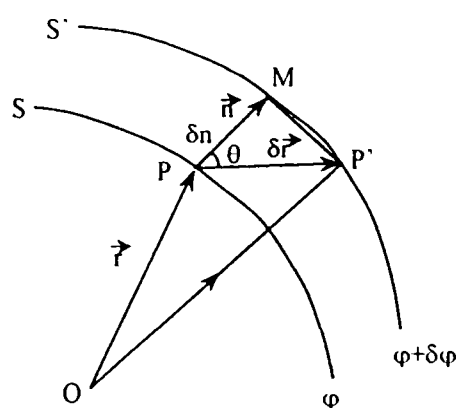


Fig.1.

$$V_1 \frac{\partial F}{\partial x_1} + V_2 \frac{\partial F}{\partial x_2} + V_3 \frac{\partial F}{\partial x_3} = 0 \quad (3)$$

Considerăm $\varphi(P)$ o funcție scalară uniformă în domeniul D și fie S o suprafață de nivel a lui φ prin punctul $P(x, y, z) \in D$ și S' o altă suprafață de nivel prin punctul vecin $P'(x + \delta x, y + \delta y, z + \delta z)$ - v. Fig.1.

- Se numește derivata câmpului φ după direcția s (versorul vectorului determinat de punctele P și P') în punctul P , următoarea limită:

$$\lim_{\delta s \rightarrow 0} \frac{\delta \varphi}{\delta s} = \frac{\partial \varphi}{\partial s} \quad (4)$$

- Dacă $\varphi = \varphi(x, y, z)$ este un câmp scalar uniform diferențiable și $s = \alpha i + \beta j + \gamma k$ unde α, β, γ sunt cosinusurile directoare ale vectorului s atunci

$$\frac{\partial \varphi}{\partial s} = \alpha \frac{\partial \varphi}{\partial x} + \beta \frac{\partial \varphi}{\partial y} + \gamma \frac{\partial \varphi}{\partial z} \quad (5)$$

- Dintre toate direcțiile s care pleacă din punctul P al unei suprafețe de nivel a câmpului φ , derivata este maximă în direcția normalei și are loc formula

$$\frac{\partial \varphi}{\partial s} = \frac{\partial \varphi}{\partial n} \cos \theta \quad (6)$$

- Se numește *gradientul* câmpului φ în punctul P , vectorul

$$\text{grad} \varphi(P) = \left(\frac{\partial \varphi}{\partial n} \right)_{,P} \quad (7)$$

- Dacă $\varphi = \varphi(x, y, z)$ este un câmp uniform diferențial, atunci $\text{grad } \varphi(P)$ este dat prin:

$$\text{grad}\varphi(P) = \left(\frac{\partial\varphi}{\partial x} i + \frac{\partial\varphi}{\partial y} j + \frac{\partial\varphi}{\partial z} k \right)_{,P} \quad (8)$$

- Operatorul vectorial-diferențial

$$\nabla = i \frac{\partial}{\partial x} + j \frac{\partial}{\partial y} + k \frac{\partial}{\partial z},$$

se numește operatorul *nabla* al lui Hamilton. Dacă $V = V_1 i + V_2 j + V_3 k$ este un câmp vectorial, atunci operatorul $V \nabla$ se definește prin:

$$V \nabla = V_1 \frac{\partial}{\partial x} + V_2 \frac{\partial}{\partial y} + V_3 \frac{\partial}{\partial z},$$

și se poate aplica unui câmp scalar sau unui câmp vectorial. Astfel,

$$(V \nabla)\varphi = V_1 \frac{\partial\varphi}{\partial x} + V_2 \frac{\partial\varphi}{\partial y} + V_3 \frac{\partial\varphi}{\partial z},$$

$$(V \nabla)U = V_1 \frac{\partial U}{\partial x} + V_2 \frac{\partial U}{\partial y} + V_3 \frac{\partial U}{\partial z},$$

Cu ajutorul operatorului nabla putem scrie $\text{grad}\varphi = \nabla\varphi$.

- Fluxul vectorului V prin suprafața S este definit de integrala de suprafață.

$$\Phi = \int_S V \cdot n dS, \quad \text{unde } n \text{ este versorul normalei la } S.$$

În jurul punctului P considerăm o suprafață închisă S care conține volumul elementar v . Fie n versorul normalei exterioare la S .

- Se numește *divergența* vectorului V în punctul P , scalarul dat prin:

$$\text{div}V(P) = \lim_{v \rightarrow 0} \frac{\Phi}{v} = \lim_{v \rightarrow 0} \frac{\int_S V \cdot n dS}{v} \quad (10)$$

Dacă $V = V_1 i + V_2 j + V_3 k$ este un câmp vectorial uniform diferențiabil, atunci divergența lui V (P) în punctul P este dată de formula:

$$\text{div}V(P) = \left(\frac{\partial V_1}{\partial x} + \frac{\partial V_2}{\partial y} + \frac{\partial V_3}{\partial z} \right)_{,P}, \quad (11)$$

sau de formula

$$\text{div}V(P) = \nabla \cdot V(P) = \left(i \cdot \frac{\partial V}{\partial x} + j \cdot \frac{\partial V}{\partial y} + k \cdot \frac{\partial V}{\partial z} \right)_{,P} \quad (12)$$

- Se numește *circulația* vectorului V de-a lungul curbei C integrala curbilinie:

$$\Gamma = \int_C V \cdot dr \quad (13)$$

Fie C o curbă plană închisă în \mathbb{R}^3 care delimitează o arie elementară ΔS și $P(x, y, z)$ un punct interior curbei C . Fie n versorul normalei în P la planul curbei C .

- Se numește *rotorul vectorului* V în punctul P , vectorul notat $\text{rot } V(P)$, dat prin formula

$$n \cdot \text{rot}V(P) = \lim_{\Delta S \rightarrow 0} \frac{\Gamma}{\Delta S} = \lim_{\Delta S \rightarrow 0} \frac{\int_C V \cdot dr}{\Delta S} \quad (14)$$

- Dacă V este un câmp vectorial uniform diferențiabil, atunci rotorul se calculează cu formulele:

$$\text{rot}V = \left(\frac{\partial V_3}{\partial y} - \frac{\partial V_2}{\partial z} \right) i + \left(\frac{\partial V_1}{\partial z} - \frac{\partial V_3}{\partial x} \right) j + \left(\frac{\partial V_2}{\partial x} - \frac{\partial V_1}{\partial y} \right) k = \begin{vmatrix} i & j & k \\ \frac{\partial}{\partial x} & \frac{\partial}{\partial y} & \frac{\partial}{\partial z} \\ V_1 & V_2 & V_3 \end{vmatrix} \quad (15)$$

$$\operatorname{rot} V = \nabla \times V = i \times \frac{\partial V}{\partial x} + j \times \frac{\partial V}{\partial y} + k \times \frac{\partial V}{\partial z} \quad (16)$$

Aplicând operatorul nabra unor sume și produse obținem formulele:

- 1). $\operatorname{grad}(\varphi + \psi) = \operatorname{grad}\varphi + \operatorname{grad}\psi$,
- 2). $\operatorname{div}(U + V) = \operatorname{div}U + \operatorname{div}V$
- 3). $\operatorname{rot}(U + V) = \operatorname{rot}U + \operatorname{rot}V$
- 4). $\operatorname{grad}(\varphi\psi) = \varphi\operatorname{grad}\psi + \psi\operatorname{grad}\varphi$
- 5). $\operatorname{div}(\varphi V) = V\operatorname{grad}\varphi + \varphi\operatorname{div}V$
- 6). $\operatorname{rot}(\varphi V) = \varphi\operatorname{rot}V - V \times \operatorname{grad}\varphi$
- 7). $\operatorname{div}(U \times V) = V \cdot \operatorname{rot}U - U \cdot \operatorname{rot}V$
- 8). $\operatorname{rot}(U \times V) = (U \cdot \nabla)V - V \operatorname{div}U + U \operatorname{div}V - (U \cdot \nabla)V$,
- 9). $\operatorname{grad}(U \cdot V) = V \times \operatorname{rot}U + (U \cdot \nabla)V + U \times \operatorname{rot}V + (U \cdot \nabla)V$.

În cazul aplicării repetate a operatorului nabra obținem:

- 1). $\operatorname{div} \operatorname{grad}\varphi = \Delta\varphi$
- 2). $\operatorname{rot} \operatorname{grad}\varphi = 0$
- 3). $\operatorname{div} \operatorname{rot}V = 0$
- 4). $\operatorname{rot} \operatorname{rot}V = \operatorname{grad} \operatorname{div}V - \Delta V$,

unde operatorul Δ , numit *laplacian*, este dat prin:

$$\Delta = \nabla^2 = \frac{\partial^2}{\partial x^2} + \frac{\partial^2}{\partial y^2} + \frac{\partial^2}{\partial z^2} \quad (17)$$

Între unele integrale curbilini, de suprafață și de volum, există relațiile următoare:

$$\int_S n \cdot V dS = \int_V \operatorname{div}V dV \quad (\text{formula divergenței a lui Gauss-Ostrogradski}) \quad (18)$$

$$\int_S n \varphi dS = \int_V \operatorname{grad}\varphi dV \quad (\text{formula gradientului}) \quad (19)$$

$$\int_S n \times V dS = \int_V \operatorname{rot}V dV \quad (\text{formula rotorului}) \quad (20)$$

$$\int_S \varphi \frac{\partial \psi}{\partial n} dS = \int_V (\operatorname{grad}\varphi \cdot \operatorname{grad}\psi + \varphi \Delta\psi) dV \quad (\text{prima formulă a lui Green}) \quad (21)$$

$$\int_S \left(\varphi \frac{\partial \psi}{\partial n} + \psi \frac{\partial \varphi}{\partial n} \right) dS = \int_V (\varphi \Delta\psi - \psi \Delta\varphi) dV \quad (\text{a doua formulă a lui Green}) \quad (22)$$

unde S este o suprafață închisă care delimitează un volum V și

$$\int_C V \cdot dr = \int_S n \cdot \operatorname{rot}V dS \quad (23)$$

unde C este o curbă închisă ce delimitează o suprafață S .

- Dacă x, y, z sunt coordonatele carteziene ale unui punct P , atunci variabilele x_1, x_2, x_3 definite prin relațiile:

$$\begin{cases} x = x(x_1, x_2, x_3) \\ y = y(x_1, x_2, x_3) \\ z = z(x_1, x_2, x_3) \end{cases} \quad (24)$$

cu determinantul funcțional nenul, se numesc *coordoanate curbilini*. Fie P^0 punctul de coordonate curbilini x_1^0, x_2^0, x_3^0 . Suprafețele $x_1(x, y, z) = x_1^0$, $x_2(x, y, z) = x_2^0$, $x_3(x, y, z) = x_3^0$, se numesc *suprafețe de coordonate*, iar curbele

$$\begin{aligned} (C_1) \quad & x_2(x, y, z) = x_2^0, \quad x_3(x, y, z) = x_3^0 \\ (C_2) \quad & x_1(x, y, z) = x_1^0, \quad x_3(x, y, z) = x_3^0 \\ (C_3) \quad & x_1(x, y, z) = x_1^0, \quad x_2(x, y, z) = x_2^0 \end{aligned}$$

se numesc *curbe de coordonate*.

Pe curba (C_1) variază numai x_1 , iar sensul crescător al acestei variabile va fi indicat prin versorul u_1 , tangent în P^0 la această curbă. Analog se definesc versorii u_2, u_3 .

- Versorii u_1, u_2, u_3 formează un triedru nedegenerat (sunt necoplanari), numit *reper local*.
- Dacă $V = V_1 u_1 + V_2 u_2 + V_3 u_3$, este un câmp vectorial, atunci liniile sale de câmp sunt soluții ale sistemului

$$\frac{h_1 dx_1}{V_1(x_1, x_2, x_3)} = \frac{h_2 dx_2}{V_2(x_1, x_2, x_3)} = \frac{h_3 dx_3}{V_3(x_1, x_2, x_3)} \quad (25)$$

unde $h_i = \left| \frac{\partial r}{\partial x_i} \right|, i = 1, 2, 3$ se numesc *parametrii lui Lamé*.

- Dacă $F(x_1, x_2, x_3)$ este un câmp scalar uniform diferentiabil, atunci în coordonate curbilini ortogonale avem

$$\text{grad} F = \nabla F = \frac{1}{h_1} \frac{\partial F}{\partial x_1} u_1 + \frac{1}{h_2} \frac{\partial F}{\partial x_2} u_2 + \frac{1}{h_3} \frac{\partial F}{\partial x_3} u_3 \quad (26)$$

- Dacă V este un câmp vectorial uniform diferentiabil, atunci în coordonate curbilini ortogonale au loc formulele:

$$\text{rot} V = \frac{1}{h_1 h_2 h_3} \begin{vmatrix} h_1 u_1 & h_2 u_2 & h_3 u_3 \\ \frac{\partial}{\partial x_1} & \frac{\partial}{\partial x_2} & \frac{\partial}{\partial x_3} \\ h_1 V_1 & h_2 V_2 & h_3 V_3 \end{vmatrix}, \quad (27)$$

$$\text{div} V = \frac{1}{h_1 h_2 h_3} \left[\frac{\partial (V_1 h_2 h_3)}{\partial x_1} + \frac{\partial (V_2 h_1 h_3)}{\partial x_2} + \frac{\partial (V_3 h_1 h_2)}{\partial x_3} \right], \quad (28)$$

$$\Delta F = \frac{1}{h_1 h_2 h_3} \left[\frac{\partial \left(\frac{h_2 h_3}{h_1} \frac{\partial F}{\partial x_1} \right)}{\partial x_1} + \frac{\partial \left(\frac{h_3 h_1}{h_2} \frac{\partial F}{\partial x_2} \right)}{\partial x_2} + \frac{\partial \left(\frac{h_1 h_2}{h_3} \frac{\partial F}{\partial x_3} \right)}{\partial x_3} \right] \quad (29)$$

Linii de forță. Funcții de forță. Forțe conservative. Energie potențială.

Fie $F=F(x, y, z, t)$ un câmp de forțe (câmp vectorial) definit într-un anumit domeniu $D \times (0, \infty)$. Liniile de câmp ale acestui câmp vectorial se mai numesc *linii de forță* și sunt soluții ale sistemului (1).

Lucrul mecanic efectuat de forța F între două momente t_0 și t_1 este:

$$L = \int_{t_0}^{t_1} F \cdot dr = \int_C F_1 dx + F_2 dy + F_3 dz \quad (30)$$

care este o integrală curbilinie de-a lungul arcului de traiectorie C de la punctul M_0 (corespunzător timpului t_0) la punctul M_1 (corespunzător timpului t_1). De fapt, L reprezintă circulația câmpului F de-a lungul curbei C (13).

Presupunem că integrandul din relația (30) este o diferențială totală exactă a unei funcții $U \in C^1$, definită într-un domeniu care să conțină punctele traiectoriilor ce unesc M_0 cu M_1 . În acest caz are loc relația:

$$F \cdot dr = dU \quad (31)$$

Condiția necesară și suficientă pentru ca o astfel de funcție U să existe, este ca vectorul F să fie *irotațional*, adică $\text{rot} F=0$. O dată găsită o astfel de funcție, avem:

$$F = \text{grad} U \quad (32)$$

și vom spune că U este *funcția de forță* a câmpului vectorial F . Se mai spune că acest câmp vectorial derivă din funcția de forță U . Funcția $U+c$, oricare ar fi constanta c , este de asemenea funcție de forță pentru F .

Dacă F este un câmp vectorial ce derivă dintr-o funcție de forță, atunci el se numește *conservativ*. Pentru un câmp de forțe, ce derivă din funcția de forță U , rezultă:

$$L = \int_C F \cdot dr = \int_C dU = U(M) - U(M_0), \quad (33)$$

funcția U fiind presupusă uniformă (câmp scalar uniform).

Se consideră familia de suprafețe de nivel a câmpului U , date prin $U(x,y,z)+c$, c fiind o constantă arbitrară. Fie M_0 un punct din domeniul de definiție al funcției U . Deoarece U este determinată până la o constantă aditivă, putem alege acea constantă astfel ca $U(M_0)=0$.

Prin această determinare a constantei c , suprafața care trece prin M_0 este luată ca suprafață de referință pentru suprafețele de nivel și o vom numi *suprafață de nivel zero*. Este clar că orice suprafață de nivel poate fi aleasă ca suprafață de referință.

Integrala din formula (33) are, în acest caz, valoarea $U(M)$ și ne dă lucrul mecanic efectuat de forța F de-a lungul unui drum ce unește un punct M de pe o anumită suprafață de nivel cu un punct de pe suprafața de referință. Mărima $V(M)$ dată prin $V(M) = -U(M)$, se numește *energie potențială (câmp potențial)* a punctului material. Astfel, suprafața de nivel zero se mai numește *suprafață de energie potențială zero*.

Energia potențială a punctului material rămâne neschimbată la deplasări pe o aceeași suprafață de nivel ($dU=0$). Energia potențială variază când trecem de la o anumită suprafață de nivel la o altă suprafață de nivel; crește sau scade după cum lucrul mecanic al forței F , ce derivă din funcția de forță U , este negativ sau pozitiv. Energia potențială are aceeași dimensiune ca și lucrul mecanic.

Dacă în domeniul considerat, câmpul vectorial F este *solenoidal*, adică $\text{div } F=0$, atunci există un câmp vectorial W astfel ca:

$$F = \text{rot } W \quad (34)$$

Vectorul W se numește *potențial vector* al câmpului vectorial F .

Exemplul 1. Să se afle liniile de forță ale câmpului vectorial:

$$F = a \times (br+r), \quad (a, b, c) \neq 0$$

unde a, b sunt vectori constanți, r este vectorul de poziție al unui punct oarecare și $r = |r|$.

Rezolvare. Ecuația (31) devine:

$$-a(r b dr + r dr) + b r (a dr) + r (a dr) = 0$$

Vectorii a, b, r fiind liniar independenți, rezultă ecuațiile diferențiale

$$r b dr + r dr = 0, \quad a dr = 0$$

care dau imediat $b r + r = C_1$, $a r = C_2$. Liniile de forță sunt deci curbe situate la intersecția suprafețelor de rotație $b r + r = C_1$ cu planele paralele $a r = C_2$.

Exemplul 2. Fie câmpul vectorial:

$$F(M) = [(b+c)r]a + [(c+a)r]b + [(a+b)r]c,$$

unde a, b, c sunt constanți, iar r este vectorul de poziție a punctului M .

I. Să se arate că $F(M)$ este iracional și să se determine funcția de forță $U(M)$.

II. În cazul când a, b, c formează un triedru dreptunghic, $U(M)$ este o funcție armonică, iar $F(M)$, admite un potențial vector de forma:

$$W(M) = \lambda \{[(b+c)r](a \times r) + [(c+a)r](b \times r) + [(a+b)r](c \times r)\},$$

unde λ este o constantă ce va fi determinată.

Rezolvare. Scalarul $F dr = (c r)(b dr) + (b r)(c dr) + \dots$ este diferențiala funcției:

$$U(M) = (b r)(c r) + (c r)(a r) + (a r)(b r)$$

II. Deoarece a, b, c sunt ortogonali rezultă $\text{div } F = 0$. Deci $\text{div grad } U(M) = \Delta U = 0$. În continuare,

$$\text{rot } W(M) = \lambda \{[(b+c)r] 2a + (b+c) \times (a \times r) + [(c+a)r] 2b + (c+a) \times (b \times r) + [(a+b)r] 2c +$$

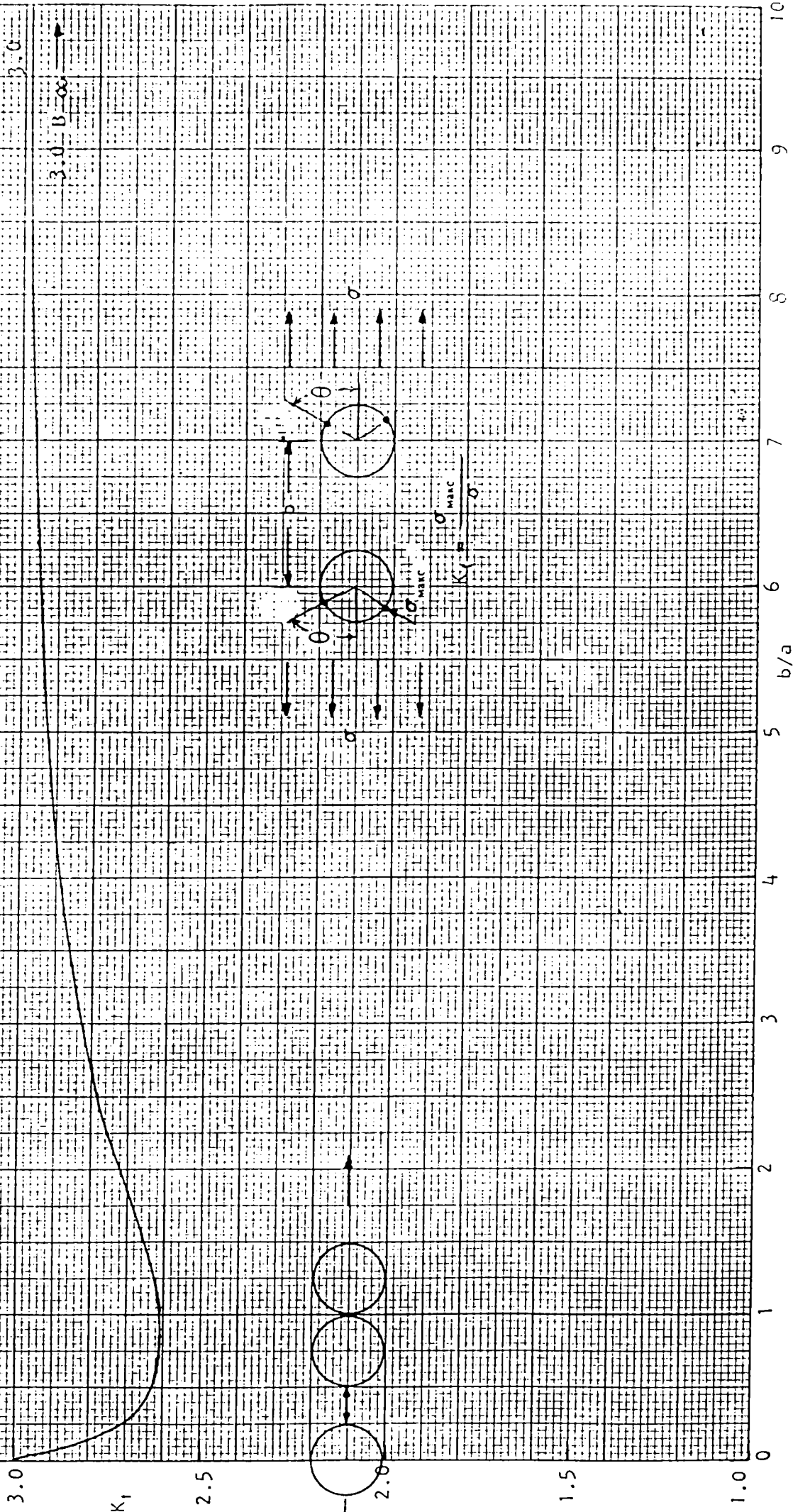
$$(a+b) \times (c \times a)\} = 3V,$$

de unde $\lambda = 1/3$.

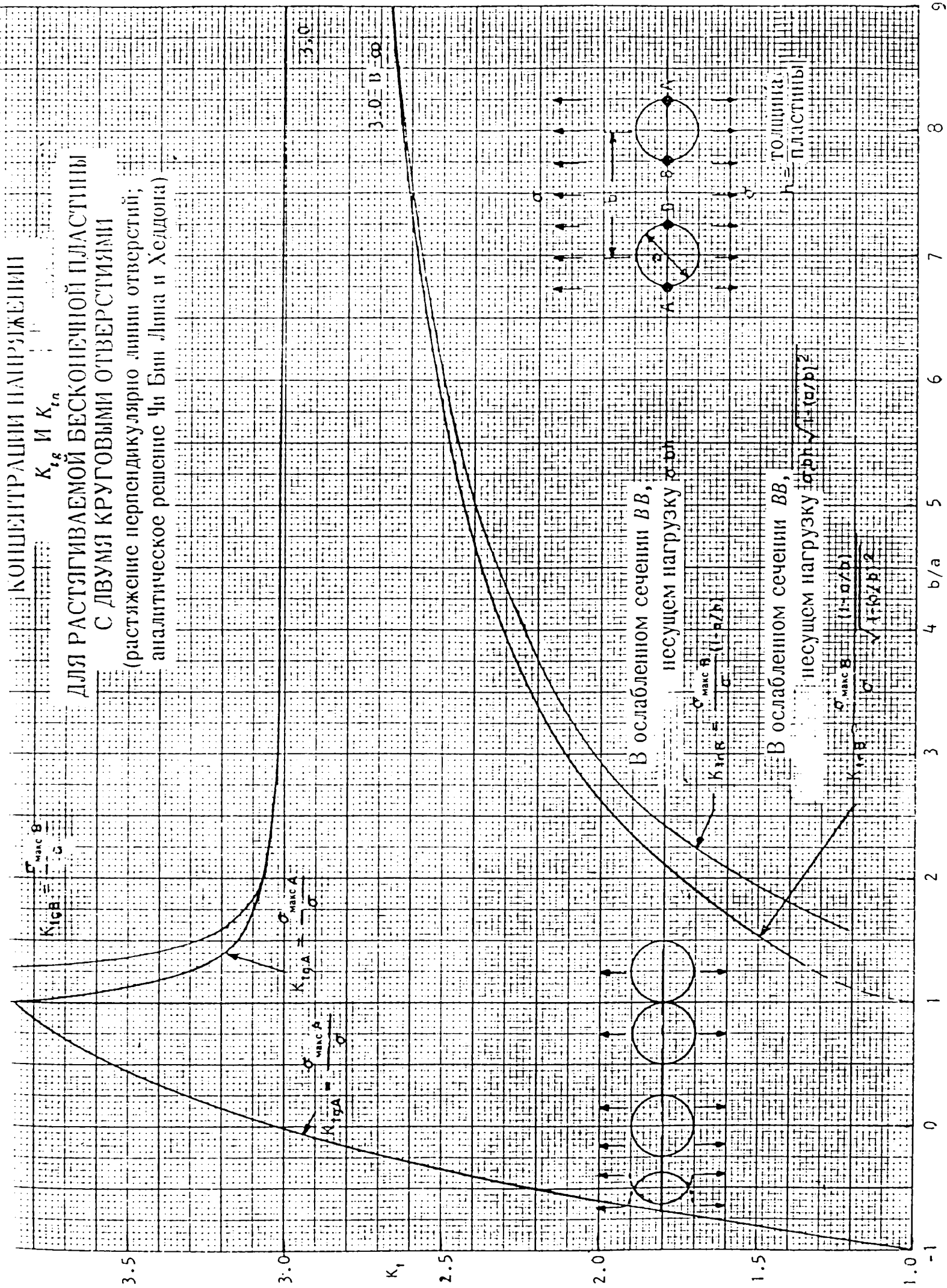
* * *

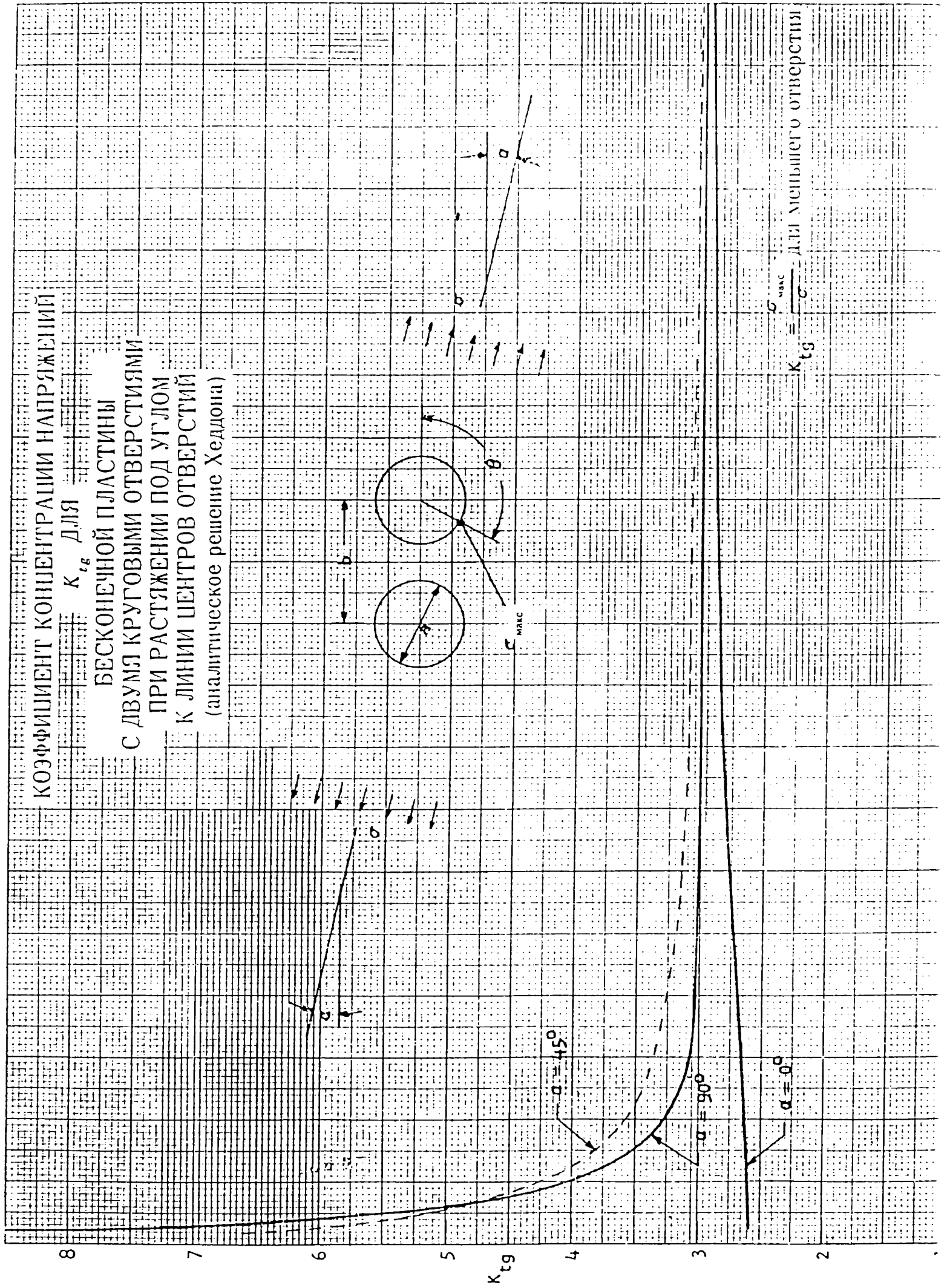
КОэффициент КОНЦЕНТРАЦИИ НАПРЯЖЕНИЙ K_1
 ДЛЯ РАСТЯГИВАЕМОЙ БЕСКОНЕЧНОЙ
 ПЛАСТИНЫ
 С ДВУМЯ КРУГОВЫМИ ОТВЕРСТИЯМИ

(аналитическое решение Чэн Бин Лиана
 и Хеддона)

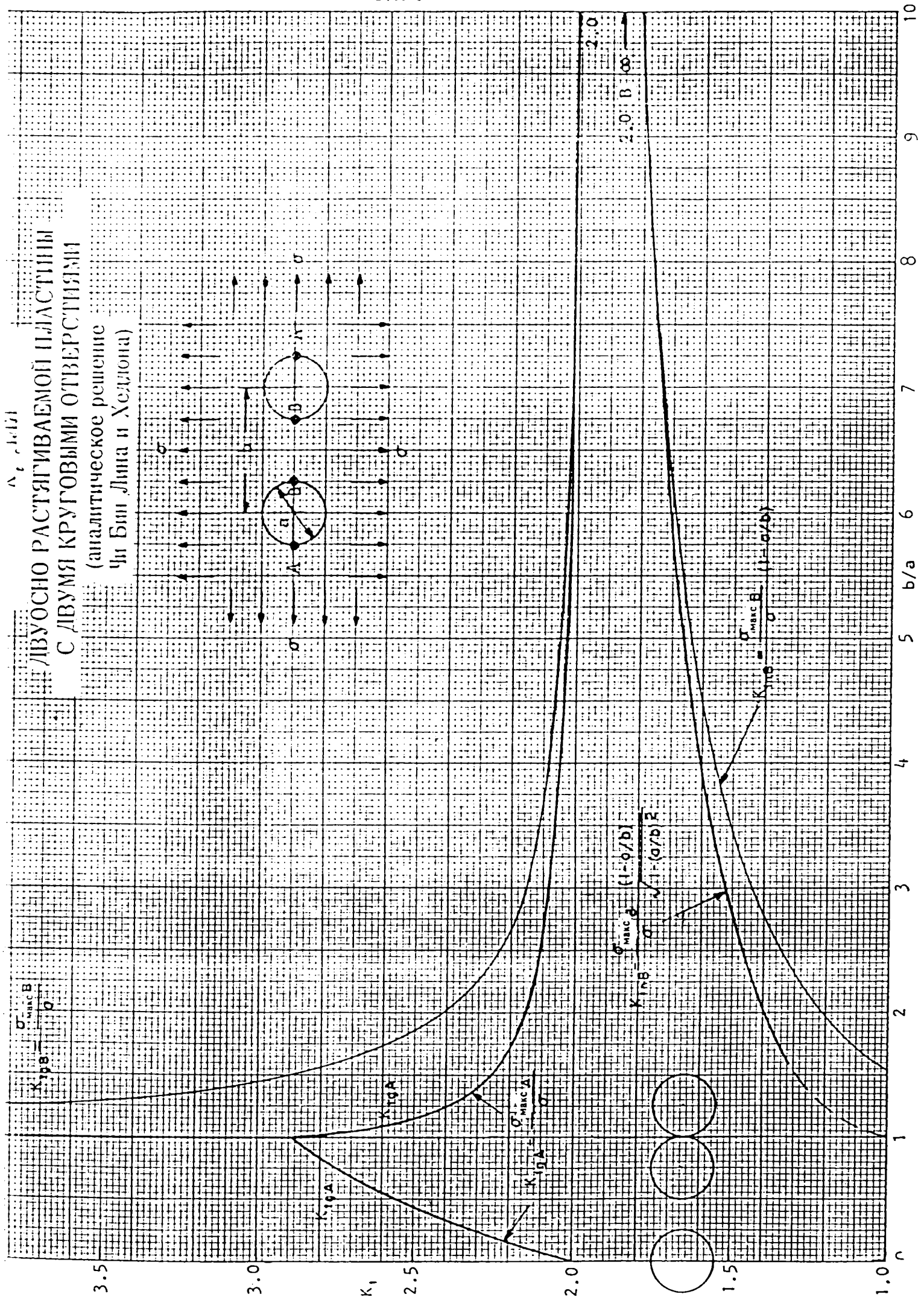


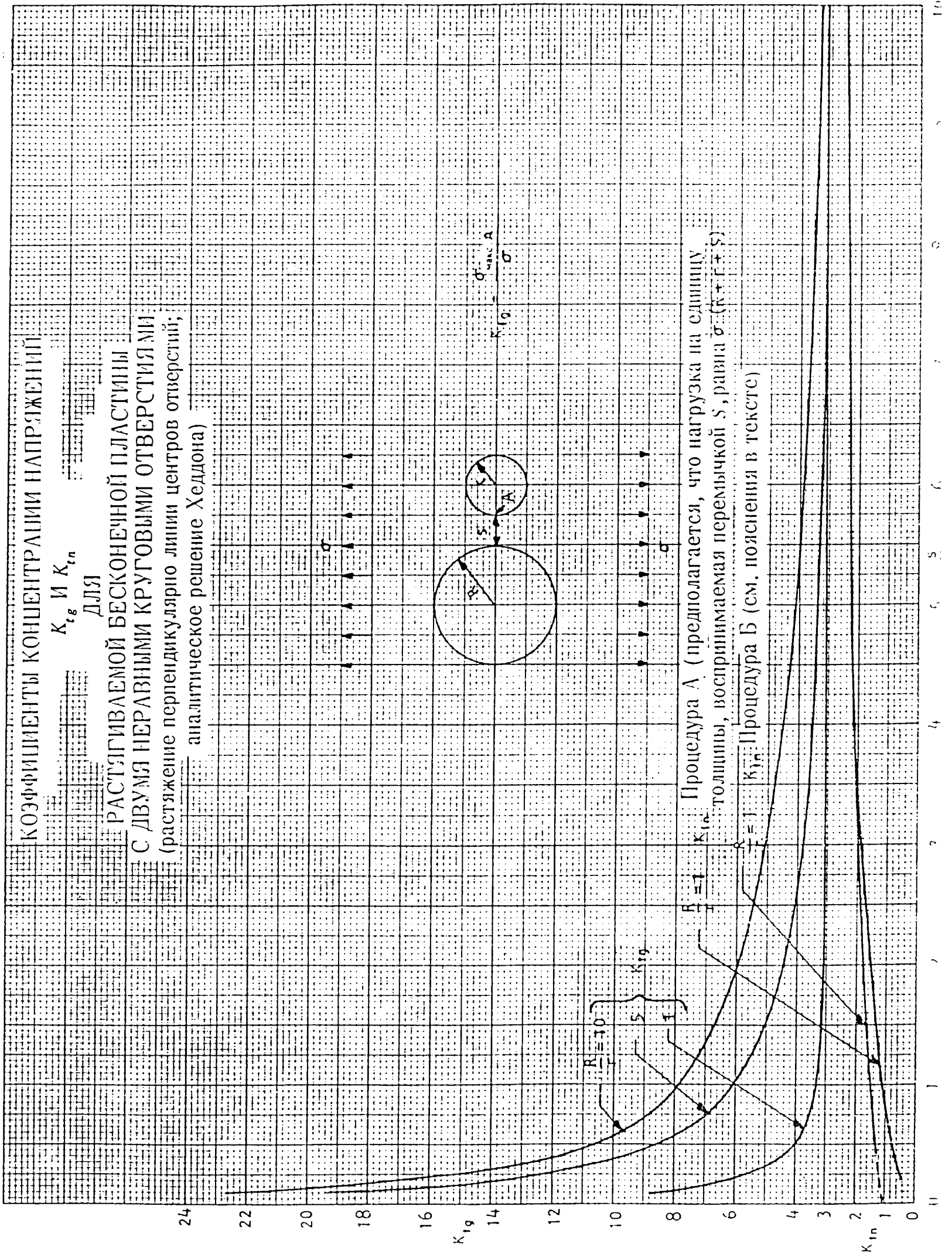
КОНЦЕНТРАЦИИ НАПРЯЖЕНИЙ
 K_{tg} И K_{σ}
 ДЛЯ РАСТЯГИВАЕМОЙ БЕСКОНЕЧНОЙ ПЛАСТИНЫ
 С ДВУМЯ КРУГОВЫМИ ОТВЕРСТИЯМИ
 (растяжение перпендикулярно линии отверстий;
 аналитическое решение Чэн Бин Лиша и Хеддона)

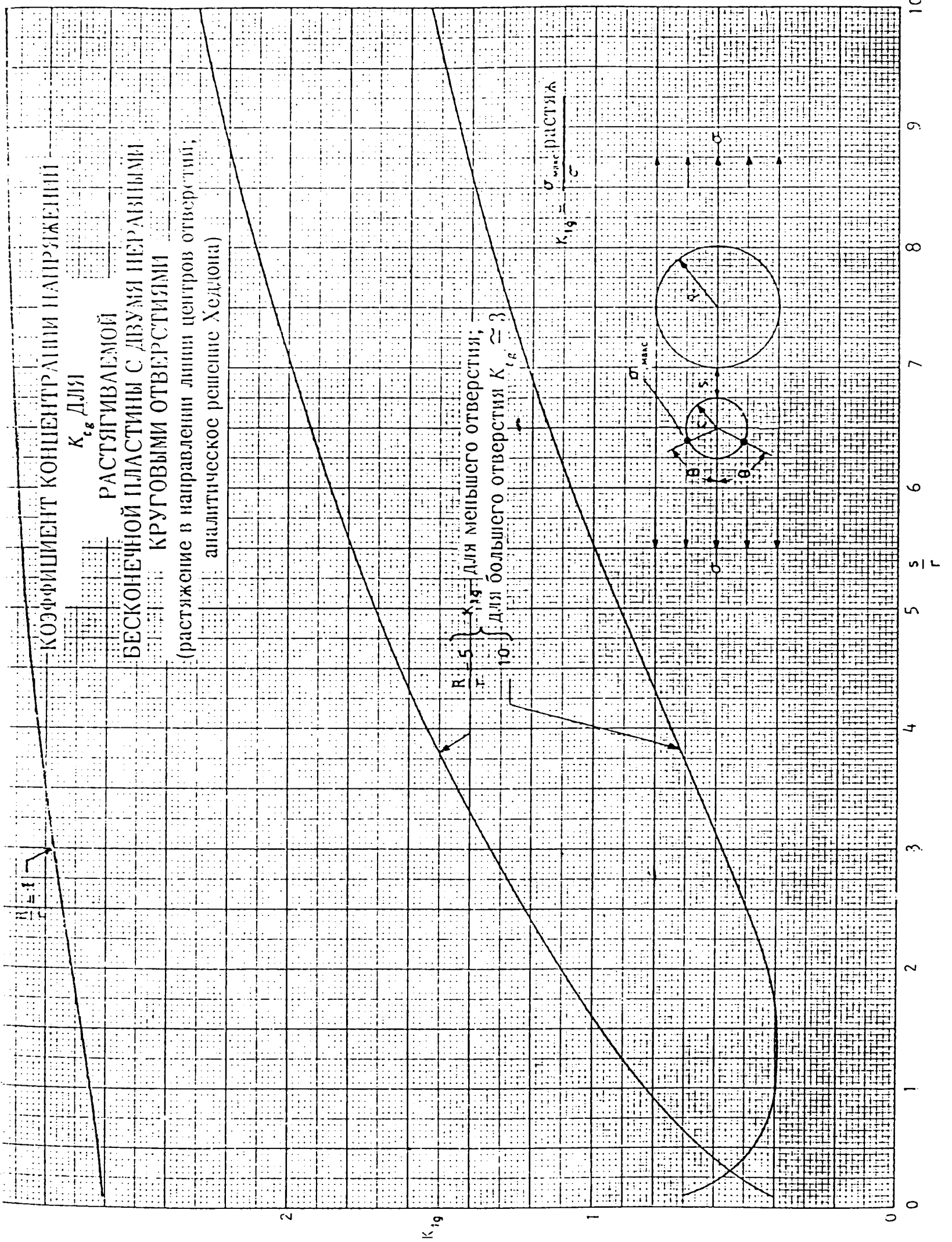


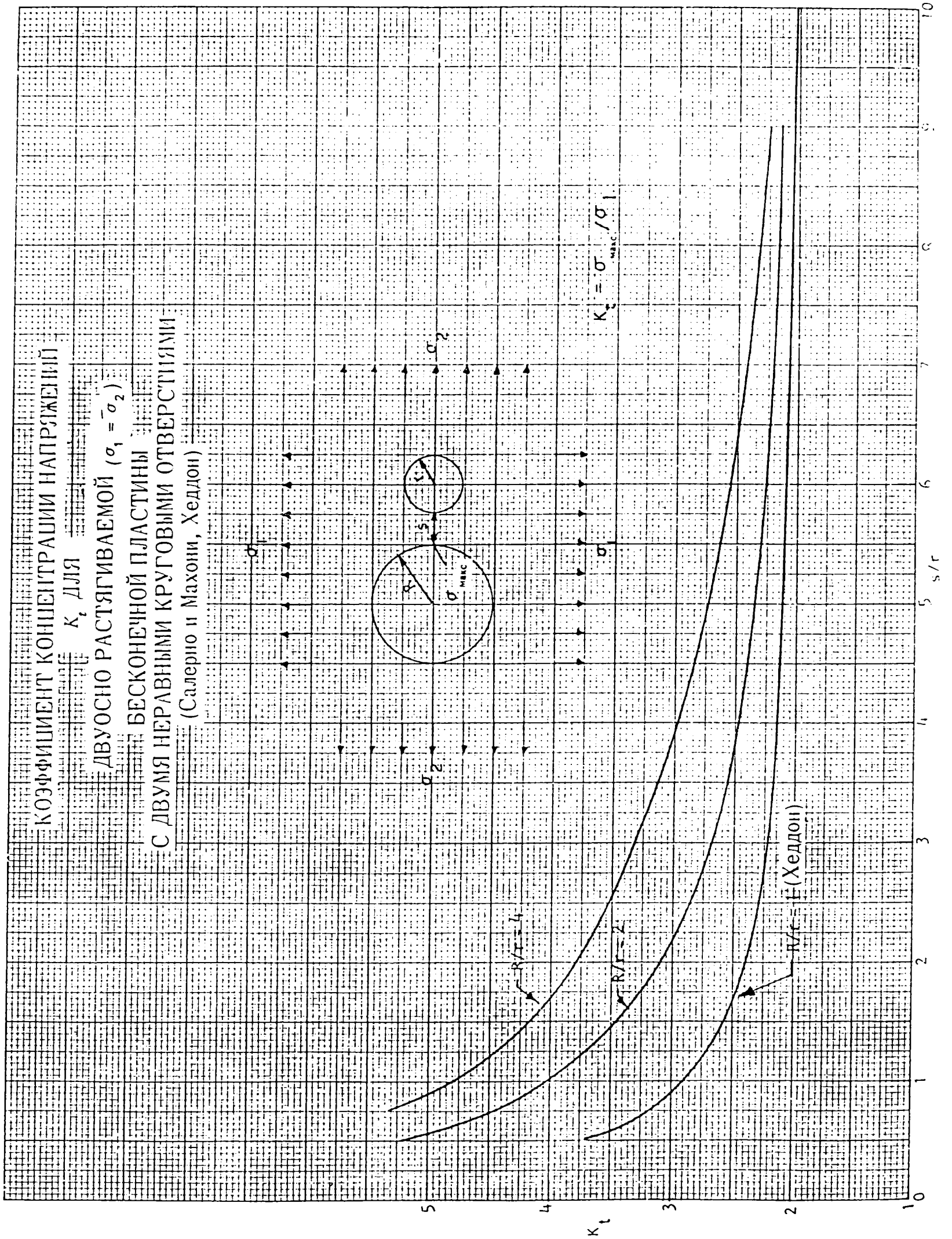


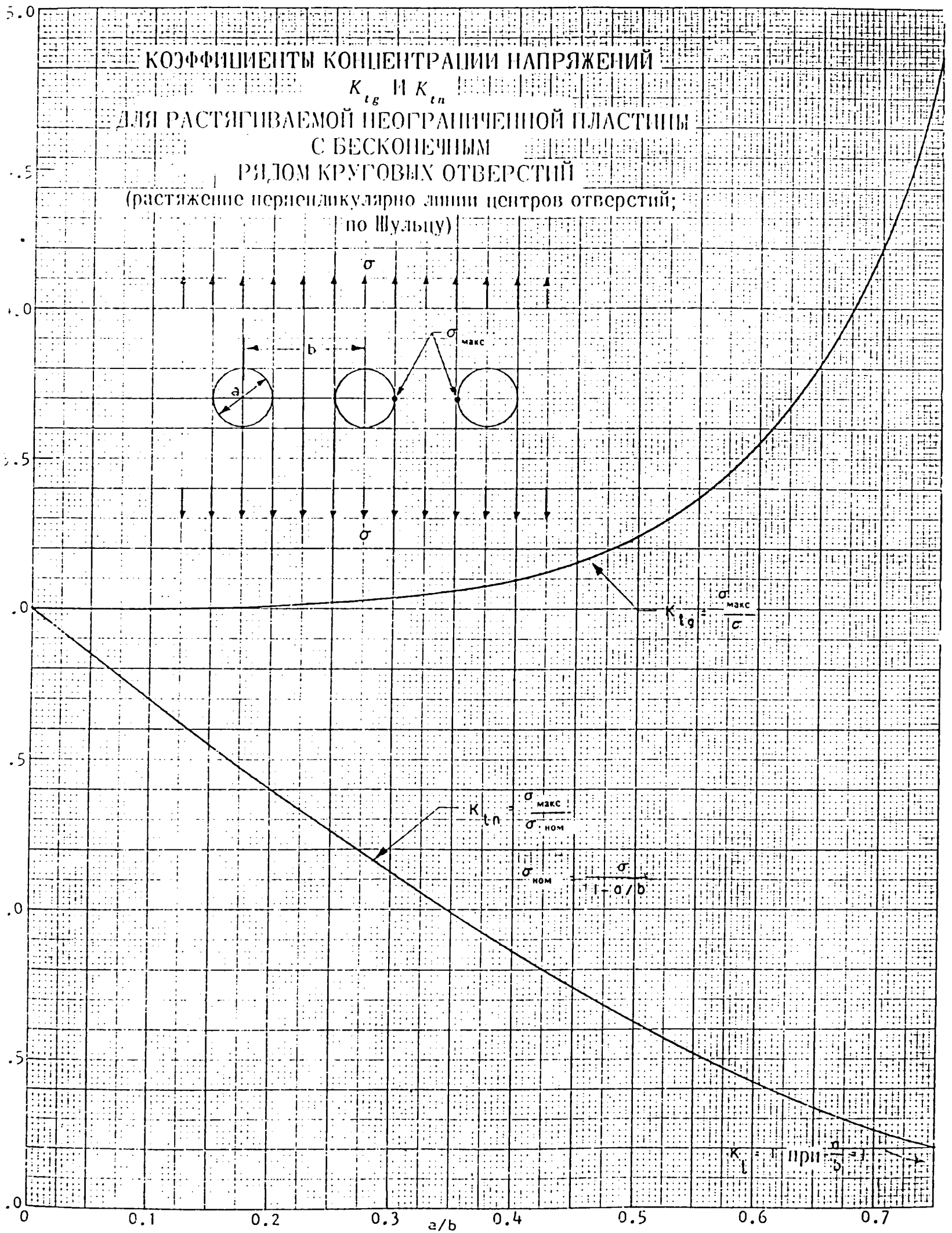
ДВУОСНО РАСТЯГИВАЕМОЙ ПЛАСТИНЫ
С ДВУМЯ КРУГОВЫМИ ОТВЕРСТИЯМИ
(аналитическое решение
Члн Биля Липа и Хедлона)





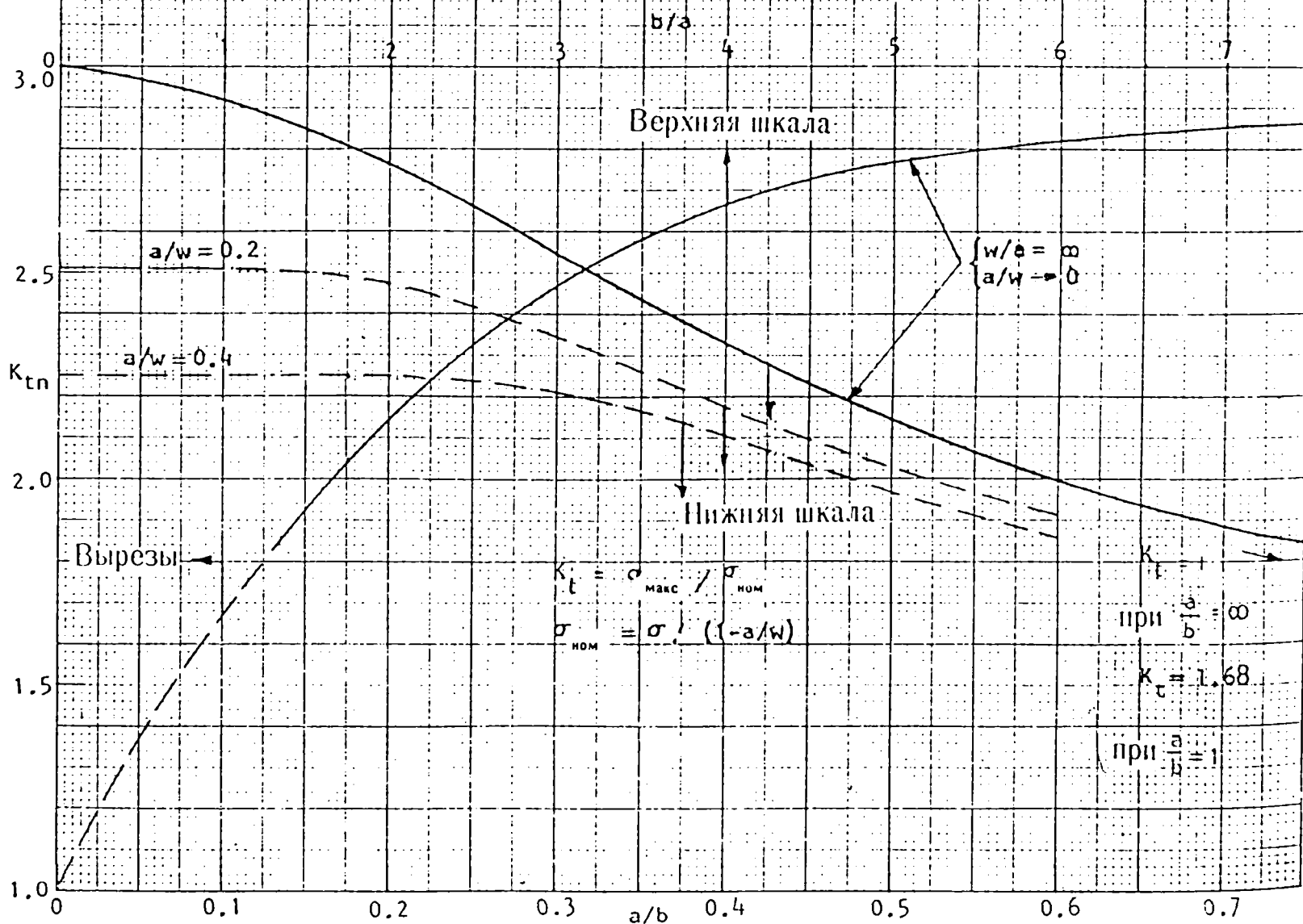
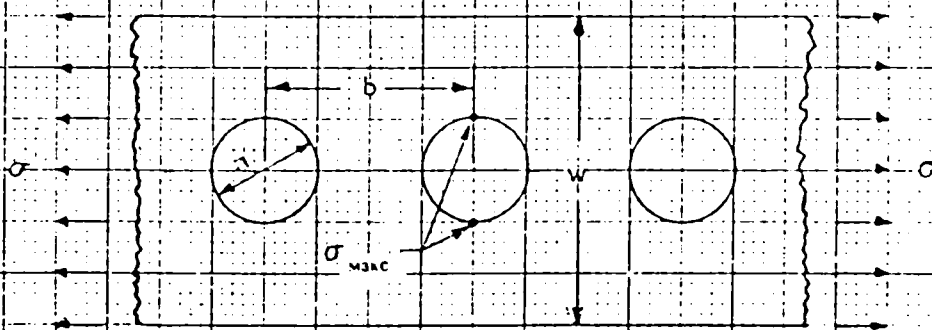






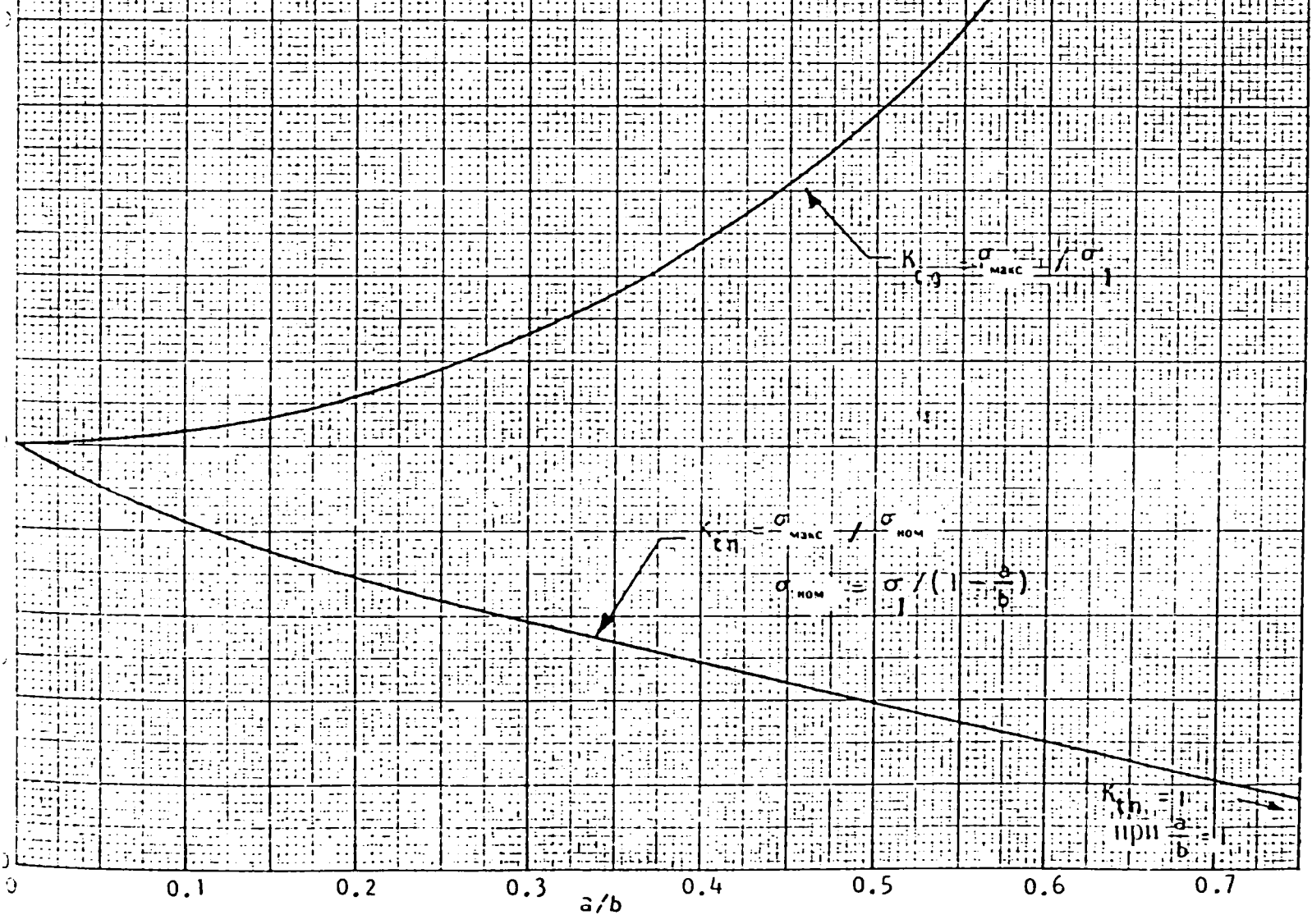
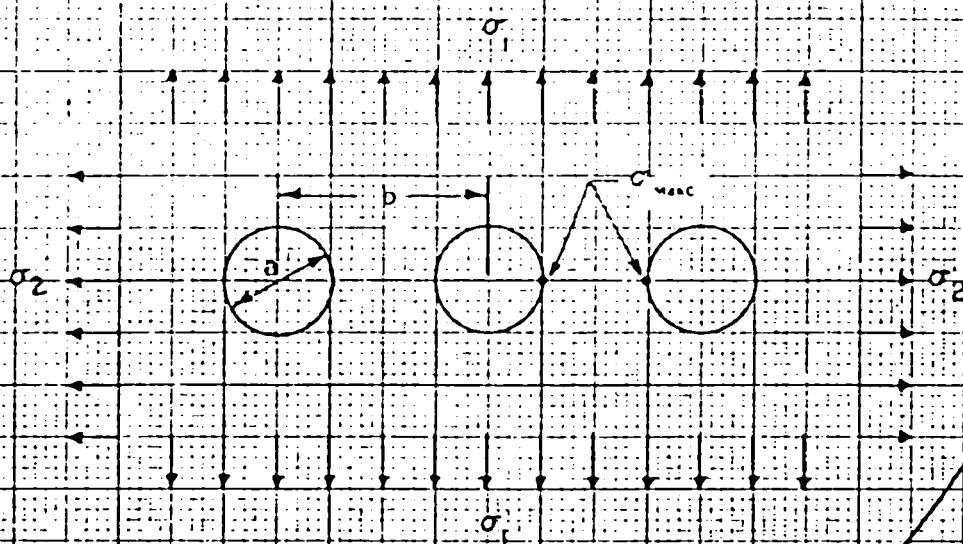
КОЭФФИЦИЕНТ КОНЦЕНТРАЦИИ НАПРЯЖЕНИЙ
 K_{tn}
 ДЛЯ ПЛАСТИНЫ ОГРАНИЧЕННОЙ ШИРИНЫ
 С БЕСКОНЕЧНЫМ
 РЯДОМ КРУГОВЫХ ОТВЕРСТИЙ

(растяжение в направлении линии центров отверстий;
 по Шульцу)

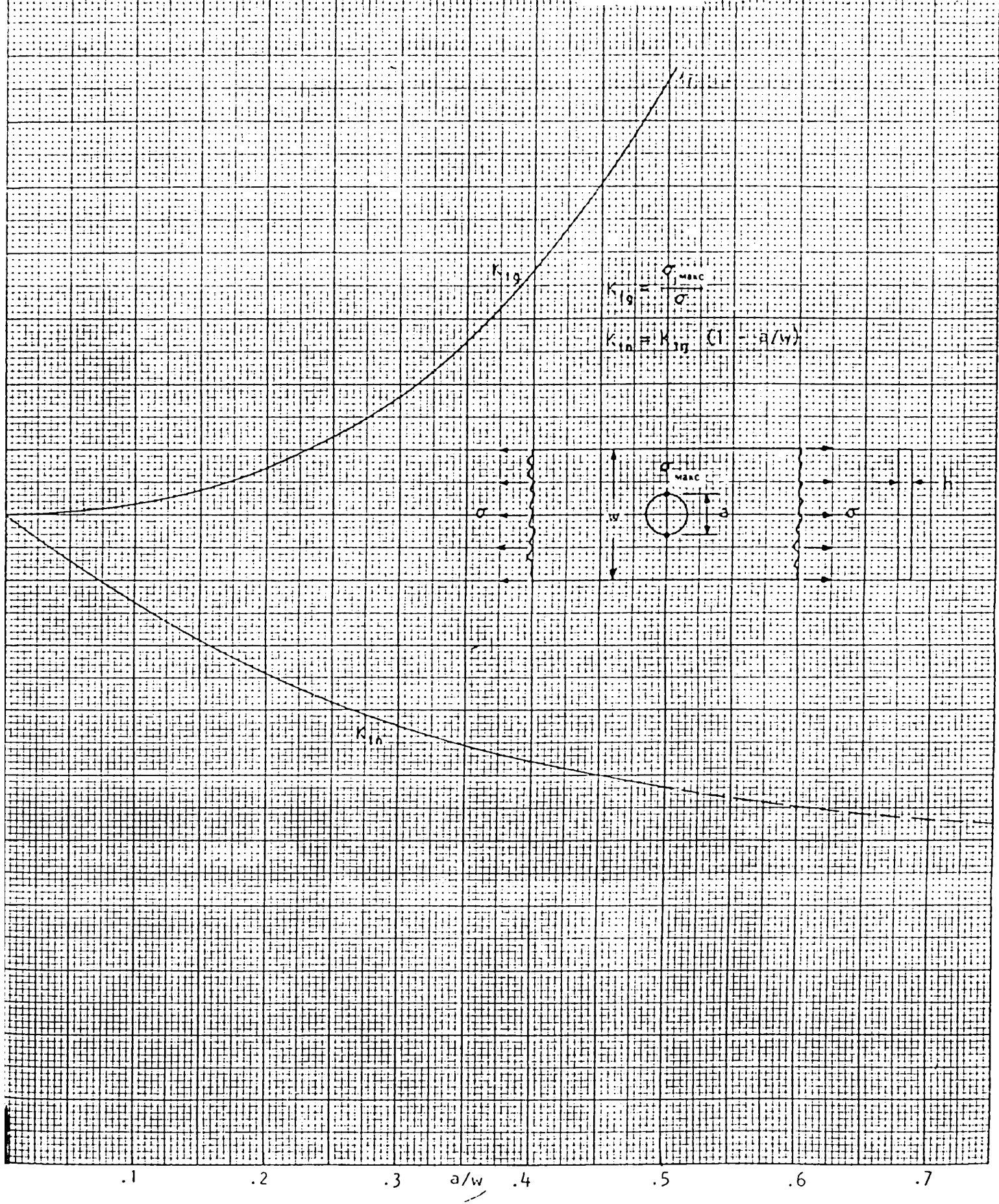


КОЭФФИЦИЕНТЫ КОНЦЕНТРАЦИИ НАПРЯЖЕНИЙ
 K_{tg} и K_{tn}
 ДЛЯ ДВУОСНО РАСТЯГИВАЕМОЙ НЕОГРАНИЧЕННОЙ
 ПЛ. С...
 С БЕСКОНЕЧНЫМ РЯДОМ КРУГОВЫХ ОТВЕРСТИЙ
 (по Хюттеру)

$\sigma_1 = \sigma_2$



КОЭФФИЦИЕНТЫ КОНЦЕНТРАЦИИ НАПРЯЖЕНИЙ K_{tg} И K_{th}
 ДЛЯ РАСТЯЖЕНИЯ ПЛАСТИНЫ
 КОНЕЧНОЙ ШИРИНЫ С КРУГОВЫМ ОТВЕРСТИЕМ
 (Хоулэнд)



In[1]:= **expr = a⁹/362880 x⁸ - a⁷/5040 x⁶ + a⁵/120 x⁴ - a³/6 x² + a - Sin[a]**

Out[1]= $\frac{x^8 a^9}{362880} - \frac{x^6 a^7}{5040} + \frac{x^4 a^5}{120} - \frac{x^2 a^3}{6} + a - \sin(a)$

In[2]:= **a = Pi/12**

Out[2]= $\frac{\pi}{12}$

In[3]:= **Solve[expr == 0, x] // N**

Out[3]= {{x → -1.}, {x → 1.}, {x → -22.5678}, {x → 22.5678}, {x → -20.9328 + 12.9648 i}, {x → 20.9328 - 12.9648 i},
{x → -20.9328 - 12.9648 i}, {x → 20.9328 + 12.9648 i}}

In[4]:= **a = Pi/6**

Out[4]= $\frac{\pi}{6}$

In[5]:= **Solve[expr == 0, x] // N**

Out[5]= {{x → -1.}, {x → 1.}, {x → -11.2492}, {x → 11.2492}, {x → -10.4593 + 6.46975 i}, {x → 10.4593 - 6.46975 i},
{x → -10.4593 - 6.46975 i}, {x → 10.4593 + 6.46975 i}}

In[6]:= **a = Pi/4**

Out[6]= $\frac{\pi}{4}$

In[7]:= **Solve[expr == 0, x] // N**

Out[7]= {{x → -6.96515 - 4.29924 i}, {x → 6.96515 + 4.29924 i}, {x → -7.46071 + 9.52379 × 10⁻¹⁶ i},
{x → 7.46071 - 9.52379 × 10⁻¹⁶ i}, {x → -1. - 1.06581 × 10⁻¹⁴ i}, {x → 1. + 1.06581 × 10⁻¹⁴ i},
{x → -6.96515 + 4.29924 i}, {x → 6.96515 - 4.29924 i}}

In[8]:= **a = Pi/3**

Out[8]= $\frac{\pi}{3}$

In[9]:= **Solve[expr == 0, x] // N**

Out[9]= {{x → -5.21591 - 3.21003 i}, {x → 5.21591 + 3.21003 i}, {x → -5.55457 + 6.39602 × 10⁻¹⁶ i},
{x → 5.55457 - 6.39602 × 10⁻¹⁶ i}, {x → -1. - 3.55271 × 10⁻¹⁵ i}, {x → 1. + 3.55271 × 10⁻¹⁵ i},
{x → -5.21591 + 3.21003 i}, {x → 5.21591 - 3.21003 i}}

In[10]:= **a = Pi/2**

Out[10]= $\frac{\pi}{2}$

In[11]:= **Solve[expr == 0, x] // N**

Out[11]= {{x → -1.}, {x → 1.}, {x → -3.62383}, {x → 3.62383}, {x → -3.46292 + 2.11367 i}, {x → 3.46292 - 2.11367 i},
{x → -3.46292 - 2.11367 i}, {x → 3.46292 + 2.11367 i}}

In[12]:= **a = 2 Pi/3**

Out[12]= $\frac{2\pi}{3}$

In[13]:= Solve[expr == 0, x] // N

Out[13]= {{x → -2.58362 - 1.55974 i}, {x → 2.58362 + 1.55974 i}, {x → -2.63236 + 3.37408 × 10⁻¹⁶ i},
 {x → 2.63236 - 3.37408 × 10⁻¹⁶ i}, {x → -1.00004 - 4.4407 × 10⁻¹⁶ i}, {x → 1.00004 + 4.4407 × 10⁻¹⁶ i},
 {x → -2.58362 + 1.55974 i}, {x → 2.58362 - 1.55974 i}}

In[14]:= a = 3 Pi / 4

Out[14]= $\frac{3\pi}{4}$

In[15]:= Solve[expr == 0, x] // N

Out[15]= {{x → -1.00013}, {x → 1.00013}, {x → -2.29247}, {x → 2.29247}, {x → -2.29003 + 1.37386 i},
 {x → 2.29003 - 1.37386 i}, {x → -2.29003 - 1.37386 i}, {x → 2.29003 + 1.37386 i}}

In[16]:= a = 5 Pi / 6

Out[16]= $\frac{5\pi}{6}$

In[17]:= Solve[expr == 0, x] // N

Out[17]= {{x → -1.00034}, {x → 1.00034}, {x → -2.01443}, {x → 2.01443}, {x → -2.05511 + 1.22487 i},
 {x → 2.05511 - 1.22487 i}, {x → -2.05511 - 1.22487 i}, {x → 2.05511 + 1.22487 i}}

In[18]:= a = 11 Pi / 12

Out[18]= $\frac{11\pi}{12}$

In[19]:= Solve[expr == 0, x] // N

Out[19]= {{x → -1.00089}, {x → 1.00089}, {x → -1.78086}, {x → 1.78086}, {x → -1.86307 + 1.10307 i},
 {x → 1.86307 - 1.10307 i}, {x → -1.86307 - 1.10307 i}, {x → 1.86307 + 1.10307 i}}

In[20]:= a = Pi

Out[20]= π

In[21]:= Solve[expr == 0, x] // N

Out[21]= {{x → -1.00226}, {x → 1.00226}, {x → -1.57982}, {x → 1.57982}, {x → -1.70339 + 1.00207 i},
 {x → 1.70339 - 1.00207 i}, {x → -1.70339 - 1.00207 i}, {x → 1.70339 + 1.00207 i}}

In[22]:= a = Pi / 60

Out[22]= $\frac{\pi}{60}$

In[23]:= Solve[expr == 0, x] // N

Out[23]= {{x → -1.}, {x → 1.}, {x → -112.95}, {x → 112.95}, {x → -104.687 + 64.865 i}, {x → 104.687 - 64.865 i},
 {x → -104.687 - 64.865 i}, {x → 104.687 + 64.865 i}}

In[24]:= a = 0

Out[24]= 0

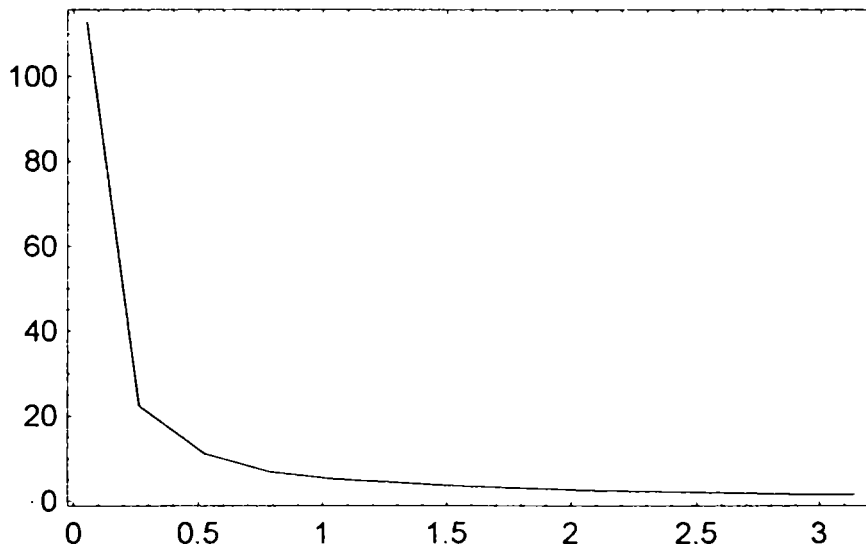
In[25]:= Solve[expr == 0, x] // N

Out[25]= {}

In[26]:= puncte = {(Pi/60, 112.95), (Pi/12, 22.56), (Pi/6, 11.25), (Pi/4, 6.96), (Pi/3, 5.21), (Pi/2, 3.62),
(2 Pi/3, 2.58), (3 Pi/4, 2.29), (5 Pi/6, 2.01), (11 Pi/12, 1.78), (Pi, 1.58)}

Out[26]=
$$\left(\begin{array}{ll} \frac{\pi}{60} & 112.95 \\ \frac{\pi}{12} & 22.56 \\ \frac{\pi}{6} & 11.25 \\ \frac{\pi}{4} & 6.96 \\ \frac{\pi}{3} & 5.21 \\ \frac{\pi}{2} & 3.62 \\ \frac{2\pi}{3} & 2.58 \\ \frac{3\pi}{4} & 2.29 \\ \frac{5\pi}{6} & 2.01 \\ \frac{11\pi}{12} & 1.78 \\ \pi & 1.58 \end{array} \right)$$

In[27]:= Show[Graphics[{Hue[0], Line[puncte], GrayLevel[0]}, Frame -> True], PlotRange -> All]



Out[27]= -Graphics-

**SCURTĂ PREZENTARE A ACTIVITĂȚII DIDACTICE ȘI ȘTIINȚIFICE
A PROFESORULUI JOHAN HELSING - SUECIA**



LUND
UNIVERSITY

Johan Helsing

Numerical Analysis

Center for Mathematical Sciences

Lund University

Address: Box 118, SE-221 00 Lund, SWEDEN

Phone: +46-(0)46 222 33 72

Visitors address: Sölvetagan 18, Rum 129

e-mail: helsing@maths.lth.se

Doamna șef de lucrări ing. Cornelia Muntean, în pregătirea tezei de doctorat privind „Analiza câmpurilor de tensiuni și deformații în solide elastice cu defecte multiple”, a apelat pentru documentare la domnul profesor Johan Helsing. Acesta, cu o amabilitate ieșită din comun, i-a pus la dispoziție aproape toate lucrările sale.

Văzând bogata și deosebit de valoroasa activitate științifică a domniei sale, i-am propus să-i facem o prezentare în Buletinul ARMR și a fost de acord. Sunt convins că în viitor îl vom face membru al ARMR și vom obține colaborarea sa directă, care ne poate fi utilă.

Pe baza datelor furnizate de domnul profesor Johan Helsing este prezentată în continuare o scurtă analiză a activității sale profesionale și științifice.

(Prof. Dr. Ing. Ionel DOBRE)

Date personale

- Născut în Stockholm, Suedia, în Decembrie 1961
- Licențiat (Master) în Fizică aplicată, la Institutul Regal de Tehnologie din Stockholm (abreviat KTH), 1986
- Jurnalist științific, la Institutul Suedez de Matematici Aplicate 1986
- Manager de proiect, la Compania de Cercetări și Inovații Electrolux, 1987-1988
- Doctorat în Fizică teoretică, KTH, 1992
- Post-doctorat, la Courant Institute of Mathematical Sciences, 1992-1993
- Docent în Fizică teoretică, la Institutul Regal de Tehnologie din Stockholm (KTH), 1994
- Lector de Matematică invitat la Universitatea din Utah, 1994-1995
- Lector de Matematică, Rensselaer Polytechnic Institute, 1995-1996
- Conferențiar în Utilizarea sistemelor de calcul, Universitatea Uppsala, 1997-1998
- Cercetător principal în Mecanica solidelor, KTH, 1997-2001
- Conferențiar în Analiză numerică, NADA, KTH, 1999-2001
- Docent în Analiză numerică, KTH, 1999
- Profesor de Tehnici de calcul numeric, Institutul de Tehnologie din Lund, 2001-

Conferințe, activitate de referent științific, administrație

- 1997 Conferințe la KTH, Universitatea Uppsala, Universitatea Luleå, și la Conferința SIAM „Mathematical aspects of materials science” în Philadelphia. Referent științific pentru *J. Comput. Phys.*, *J. Mech. Phys. Solids*, *Appl. Phys. Lett.*, și *J. Appl. Phys.*. Membru în comisia de evaluare a certificării ca docent a lui Nils Svanstedt în Matematici la Universitatea Luleå.
- 1998 Conferințe la Universitățile Yale și Uppsala. Referent științific pentru *Proc. R. Soc. Lond. A*, *J. Mech. Phys. Solids*, *J. Phys.*, și *J. Phys. A*.
- 1999 Conferințe la Universitatea Luleå, la întâlnirea din Oberwolfach „Numerik von Mikrostrukturen”, și la simpozionul SES99 „Fast solution strategies for integral equations” (Strategii de soluții rapide pentru ecuații integrale) în Austin. Membru al comitetului în discuțiile conduse de Ivo Babuska. Referent științific pentru *J. Mech. Phys. Solids*, *J. Phys. A*, și *Proc. R. Soc. Lond. A*.
- 2000 Evaluator extern pentru Consiliul de Granturi de cercetare din Hong Kong. Invitat să scrie un articol de analiză cu privire la „Effective conductivity of continuum composites” (Conductivitatea efectivă a compozitelor continue) dintr-un punct de vedere numeric pentru *Journal of Physics*. Referent științific pentru *SIAM J. Appl. Math.*, *Appl. Mech. Rev.*, și *Compos. Engng.*
- 2001 Evaluator extern pentru Fundația Suedeză pentru Cooperare Internațională în Cercetare și Învățământ Superior. Conferință la Centrul de Element Finit Chalmers. Invitat să scrie o lucrare despre „Fast boundary integral equation solvers” (Rezolvitori rapizi de ecuații integrale de frontieră) pentru o ediție specială a *Engineering Analysis with Boundary Elements*. Referent științific pentru *Philosophical Magazine A.*, *ASME J. Appl. Mech.*, și *Int. J. Num Meth. Engng.*
- 2002 Discurs la al treilea workshop China-Suedia de matematici computaționale de la Chalmers. Membru al grupului de investigare a nemulțumirilor la Centrul de Științe Matematice din Lund. Invitat să scrie o lucrare despre „Recent advances in micromechanics of composite materials” (Realizări recente în micromecanica materialelor compozite) pentru o ediție specială a *Journal of Multiscale Computational Engineering*. Referent științific pentru *Engng. Anal. Bound. Elem.*, *J. Mech.*, *Phys. Solids*, și *Int. J. Solids Structures*.

Activități didactice, proiecte pedagogice, și conducere de proiecte, doctorate

- 1984-1992 Asistent și lector la treisprezece cursuri universitare pentru ingineri la KTH incluzând Mecanică, Analiză vectorială și Mecanică statistică.
- 1994-1996 Șef de lucrări la trei cursuri ODE pentru ingineri la Universitatea din Utah. Conferențiar la două cursuri de Sisteme de calcul și variabile complexe la Rensselaer Polytechnic Institute.
- 1997-2001 Conferențiar și profesor la patru cursuri intermediare de analiză numerică și conducător a două proiecte de diplomă în Utilizarea sistemelor de calcul la Universitatea Uppsala. Conferențiar și profesor la trei cursuri intermediare de Analiză numerică la NADA, KTH. Conferențiar invitat la curs postuniversitar de Metode multinivel. A realizat un material didactic pentru cursul de Metoda Elementului Finit ținut și dat pentru firma SCANIA (producător de vagoane și autocamioane) de către Departamentul de Mecanica Solidului.

- 2001- Conferențiar la un curs intermediar de analiză numerică la LTH. Ținut un curs postuniversitar de „Stable Numerical Methods for Boundary Value Problems” (Metode numerice stabile pentru probleme de valori de frontieră).
- 1997- Lucrat la elaborarea unei colecții de probleme contemporane, cu soluții, pentru studenții de anul doi la disciplina Utilizarea sistemelor de calcul. Vezi <http://www.maths.lth.se/~na/staff/helsing/gproblems.ps>
- 2000-2001 Conducător la master al masterandului Jonas Englund, Utilizarea sistemelor de calcul, Universitatea Uppsala. Teza „Fast, Accurate and Stable Algorithm for the Stress Field around a Zig-Zag-Shaped Crack” (Algorim rapid, de precizie și stabil pentru câmpul de tensiuni din jurul unei fisuri în formă de zig-zag) aprobată în aprilie 2001.
- 1994-1997 Conducător de doctorat al doctorandului Henrik Christiansson în Fizică teoretică, KTH. Dizertația „High-Order Accurate Calculations and Bounds on Effective Properties of Composites” (Calculații de precizie de ordin mare și limitări a proprietăților efective ale compozitelor) susținută în iunie 1997. Henrik este acum la FOI (Agenția Suedeză de Cercetare pentru Apărare).
- 1999-2002 Conducător de doctorat al doctorandului Anders Jonsson, Mecanica Solidului, KTH. Dizertația „Integral equation methods for Fracture Mechanics and Micro-Mechanical Problems” (Metode de ecuații integrale pentru Mecanica Ruperii și probleme micro-mecanice) susținută în mai 2002. Anders este acum la SCANIA.

Rezultate majore ale cercetării științifice

- Noi estimări a proprietăților fizice a cementitei (Fe_3C) prin rezolvarea unei probleme inverse [5]. Estimările aplanează mai vechile extrapolări care variau puternic.
- Limitări ale conductivității unor policristale aleatoare. Am îmbunătățit limitele Hashin-Shtrikman (1963) utilizând metode variaționale și aproximații Pade [9,10,11].
- Parametrii structurali: acești parametri sunt utilizați pentru a estima proprietățile omogenizate de materiale ale căror geometrii sunt fie parțial necunoscute fie atât de complexe încât a rezolva o ecuație PDE din ele este considerat a fi prea dificil. Algoritmii autorilor au în vedere primul calcul pe colecții de obiecte 3D care nu sunt elipsoide [13] și pentru calcule 2D implicând până la 60 000 de obiecte [15]. Algoritmii autorilor îmbunătățesc pe cei ai investigatorilor anteriori cu câteva ordine de mărime. Publicarea lor pare a fi „ucis” acest domeniu de cercetare.
- Algoritmi stabili pentru probleme fundamentale de incluziuni în electrostatica izotropă și anizotropă [18,20,21] și în elastostatică [19,24]. Rezultatele numerice cu o precizie neegalată incluzând mari îmbunătățiri asupra calculelor anterioare făcute pe supercomputere [19].
- Infirmarea teoremelor de punct fix sugerate pentru diagramele coeficienților Poisson [22].
- Evaluare adaptivă rapidă a potențialelor de strat în apropierea sursei lor: Această lucrare [23] dl. J. Helsing o consideră ca una din cele mai importante lucrări ale domniei sale și ea este utilizată ca fundament crucial în lucrările sale ulterioare [25], [26] și [35], care tratează suspensii dense.
- Sisteme aleatoare mari: Algoritmii de uz general [25] pentru problema incluziunii în elastostatica liniară plană este bazat pe o ecuație integrală discutată de către Sherman în 1959, rezultatele în [23], și o versiune biarmonică a metodei multipol rapide. Autorii rezolvă tensiunile și deformațiile în materiale complicate cu mai multe mii de incluziuni pe o stație de lucru obișnuită. Această lucrare ar trebui să aibe un impact semnificativ în

comunitatea mecanicii computaționale, unde așa-numitele „programe BEM”, bazate pe formulări de ecuații integrale mai puțin eficiente, sunt în vogă. Lucrarea [26] cu privire la un algoritm automatizat de uz general pentru ecuația PDE electrostatică pe domenii 2D mari cu geometrii complicate introduce o nouă noțiune de precizie și viteză într-un domeniu în care au fost standard până acum măsurătorile experimentale și metodele statistice încet convergente.

- Probleme fundamentale de fisuri în elastostatica plană: Practica ce guvernează, când sunt implicate fisuri, este de a rescrie ecuația PDE elastostatică ca o ecuație integrală Fredholm de prima speță. Această metodă conduce la instabilități. Autorii au formulat o ecuație integrală Fredholm de speța a doua și au obținut o îmbunătățire enormă a stabilității [28]. Rezultate de precizie pentru sisteme care implică 10000 de fisuri și condiții periodice de frontieră au fost obținute pe o stație de lucru obișnuită [31]. Investigatorii anteriori au putut trata, cu precizie, geometrii care implicau două sau trei fisuri în spațiul liber. Lucrările [28] și [31] au fost bine primite și foarte apreciate la *SIAM J. Appl. Math.* și *Int. J. Fracture* - „... o contribuție importantă la mecanica ruperii și matematici aplicate ... exemplele alese sunt noi și nu pot fi rezolvate cu metodele obișnuite” – „... o lucrare convingătoare, și care făgăduiește să aducă unele instrumente foarte puternice care să suporte problemele de mecanica ruperii ... ”.
- Fisuri de interfață: Câmpul de tensiuni prezintă oscilații rapide precum și singularități puternice în apropierea vârfurilor fisurii. Metodele bazate pe ecuații integrale au fost disponibile, până în prezent, doar pentru fisuri de formă dreaptă sau de forma unui arc eliptic. Metodele de element finit ating o precizie slabă în apropierea vârfurilor fisurii, care reprezintă regiunea de interes maxim. Algoritmul stabil al autorului [29] este bazat pe o ecuație integrală Fredholm de speța a doua și este aplicabil fisurilor de forme diferite.
- Probleme neliniare de contact în mecanica ruperii: Când un material fisurat este supus la o sarcină externă se poate întâmpla, în formularea liniară a acestei probleme, ca părți a unor fisuri să prezinte deplasări de deschidere a fisurii negative. Într-o formulare neliniară zone de contact a priori necunoscute trebuie să fie determinate. Aceasta a fost considerată ca o problemă numerică formidabilă. Utilizând teoria funcțiilor analitice care, în conformitate cu referențul științific al *SIAM J. Appl. Math.*, este de „... o extrem de înaltă calitate ...” autorii au găsit un algoritm stabil [33]. Aceasta este în opinia domnului Johan Helsing lucrarea sa cea mai avansată.
- Fisuri plate 3D: Un câmp larg deschis. În afară de soluțiile analitice pentru fisuri eliptice în literatură sunt rezultate de precizia doar a unei singure cifre semnificative. Autorii au îmbunătățit situația [36].
- Probleme eliptice pe domenii poligonale: Acestea sunt probleme clasice a căror dificultate constă în a rezolva singularitățile de colț. Metodele standard sunt rafinamentul adaptiv de discretizare și metodele hibride ce implică aplicații Dirichlet-spre-Neumann. Performanța lor nu este întotdeauna așa de impresionantă, nici măcar pentru probleme care au soluții analitice. Probleme de colț și creștătură care sunt departe de a fi banale sunt rezolvate utilizând funcții de bază speciale în [32, 38, 41].
- Probleme de tensiuni exterioare și interioare: Chiar și în cadrul clasei de formulări ale ecuației integrale Fredholm de speța a doua, există adesea multe opțiuni pentru o problemă dată [34, 35, 39]. În [39] autorii rezolvă problema deosebită (Muskhelishvili) de a găsi o ecuație, liberă de operatori singulari, pentru domenii multiplu conexe cu găuri. Mărimea necunoscută este limita unei funcții analitice, care simplifică formarea unei cvadraturi stabile. Reprezentarea potențială a câmpului de tensiuni în [39] este practic același ca în [25] și în [28]. De aceea autorii sunt într-o poziție în care pot rezolva, cu

precizie, câmpuri de tensiuni într-un număr mare de domenii complexe și topologic diferite utilizând un set mic de ecuații înrudite. O comparație cu „benchmark”-uri de ordinul 50 produse de investigatorii anteriori arată faptul că algoritmi mai eficienți sunt de maximă necesitate [38, 39, 40, 42].

Publicații

1. J. Helsing, J. Axell, and G. Grimvall (1989) *Conduction in inhomogeneous materials: Hot and high-field spots* Phys. Rev. B **39**(13), 9231-9235.
2. J. Helsing and G. Grimvall (1990) *Conductance in random inductance-capacitance networks* Phys. Rev. B **41**(16), 11364-11367.
3. J. Axell and J. Helsing (1990) *Conductance fluctuations in weakly inhomogeneous finite-size random media* Phys. Rev. B **42**(7), 4471-4476.
4. J. Helsing and A. Helte (1991) *Effective conductivity of aggregates of anisotropic grains* J. Appl. Phys. **69**(6), 3583-3588.
5. J. Helsing and G. Grimvall (1991) *Thermal conductivity of cast iron: Models and analysis of experiments* J. Appl. Phys. **70**(3), 1198-1206.
6. J. Helsing, G. Grimvall, and K. D. Bao (1991) *Conduction in a two-phase plane with diamond shaped tiling* J. Math. Phys. **32**(7), 1958-1960.
7. J. Helsing (1991) *Transport properties of two-dimensional tilings with corners* Phys. Rev. B **44**(21), 11677-11682.
8. J. Helsing (1993) *Bounds to the conductivity of some two-component composites* J. Appl. Phys. **73**(3), 1240-1245.
9. J. Helsing (1993) *Improved bounds on the conductivity of composites by translation in a variational principle* J. Appl. Phys. **74**(8), 5061-5063.
10. J. Helsing (1993) *Higher-order bounds on the conductivity of composites from symmetry considerations* Proc. R. Soc. (London) A **443**(1918), 451-455.
11. J. Helsing (1994) *Improved bounds on the conductivity of composites by interpolation* Proc. R. Soc. (London) A **444**(1921), 363-374.
12. J. Helsing (1994) *Fast and accurate calculations of structural parameters for suspensions* Proc. R. Soc. (London) A. **445**(1923), 127-140.
13. J. Helsing (1994) *Third-order bounds on the conductivity of a random stacking of cubes* J. Math. Phys. **35**(4), 1688-1692.
14. J. Helsing (1994) *Bounds on the shear modulus of composites by interface integral methods* J. Mech. Phys. Solids **42**(7), 1123-1138.
15. L. Greengard and J. Helsing (1995) *A numerical study of the zeta2 parameter for random suspensions of disks* J. Appl. Phys. **77**(5), 2015-2019.
16. H. Christiansson and J. Helsing (1995) *A numerical study of the zeta2 and eta2 parameters for a class of fiber reinforced composites* J. Appl. Phys. **77**(9), 4734-4738.
17. J. Helsing (1995) *Estimating effective properties of composites from cross-sectional photographs* J. Comput. Phys. **117**(2), 281-288.
18. J. Helsing (1995) *An integral equation method for electrostatics of anisotropic composites* Proc. R. Soc. (London) A **450**(1939), 343-350.
19. J. Helsing (1995) *An integral equation method for elastostatics of periodic composites* J. Mech. Phys. Solids **43**(6), 815-828.
20. J. Helsing (1995) *A Nystrom algorithm for electrostatics of an anisotropic composite* J. Math. Phys. **36**(6), 2941-2950.
21. J. Helsing and K. Samuelsson (1995) *Electrostatics of anisotropic inclusions in anisotropic media* J. Appl. Phys. **78**(4), 2498-2503.
22. H. Christiansson and J. Helsing (1996) *Poisson's ratio of fiber-reinforced composites* J. Appl. Phys. **79**(10), 7582-7585.
23. * J. Helsing (1996) *Thin bridges in isotropic electrostatics* J. Comp. Phys. **127**(1), 142-151.

24. J. Helsing, G. W. Milton, and A. Movchan (1997) *Duality relations, correspondences, and numerical results for planar elastic composites* J. Mech. Phys. Solids **45**(4), 565-590.
25. * L. Greengard and J. Helsing (1998) *On the numerical evaluation of elastostatic fields in locally isotropic two-dimensional composites*. J. Mech. Phys. Solids **46**(8), 1441-1462.
26. * J. Helsing (1998) *A high-order accurate algorithm for electrostatics of overlapping disks*. J. Stat. Phys. **90**(5-6), 1461-1473.
27. H. Mandyam, M.E. Glicksman, J. Helsing, and S.P. Marsh (1998) *Statistical simulation of diffusional coarsening in finite clusters* Phys. Rev. E **58**(2), 2119-2130.
28. * J. Helsing and G. Peters (1999) *Integral equation methods and numerical solutions of crack and inclusion problems in planar elastostatics* SIAM J. Appl. Math. **59**(3), 965-982.
29. J. Helsing (1999) *On the numerical evaluation of stress intensity factors for an interface crack of a general shape*. Int. J. Numer. Meth. Engng **44**(5), 729-741.
30. J. Helsing (1999) *Stress intensity factors for a crack in front of an inclusion*. Engn Fracture Mech. **64**(2), 245-253.
31. J. Helsing (1999) *Fast and accurate numerical solution to an elastostatic problem involving ten thousand randomly oriented cracks*. Int. J. Fracture **100**(4), 321-327.
32. J. Helsing (2000) *Corner singularities for elliptic problems: special basis functions versus "brute force"*. Comm. Num. Meth. Engn **16**(1), 37-46.
33. * J. Helsing and G. Peters (2000) *An efficient numerical algorithm for cracks partly in frictionless contact* SIAM J. Appl. Math. **61**(2), 551-566.
34. J. Helsing (2000) *On the interior stress problem for elastic bodies* ASME J. Appl. Mech. **67**(4), 658-662.
35. J. Helsing and A. Jonsson (2001) *Complex variable boundary integral equations for perforated infinite planes* Engng Anal. Boundary Elem. **25**(3), 191-202.
36. J. Helsing, A. Jonsson, and G. Peters (2001) *Evaluation of stress intensity factors for a square crack in 3D* Engn Fracture Mech. **68**(5), 605-612.
37. J. Byström, J. Helsing, and A. Meidell (2001) *Some computational aspects of iterated structures* Composites Part B. **32**(6), 485-490.
38. J. Helsing and A. Jonsson (2002) *On the computation of stress fields on polygonal domains with V-notches* Int. J. Numer. Meth. Engng **53**(2), 433-454.
39. * J. Helsing and A. Jonsson (2002) *Stress Calculations on Multiply Connected Domains* J. Comput. Phys. **176**(2), 456-482.
40. J. Helsing and A. Jonsson (2002) *On the accuracy of benchmark tables and graphical results in the applied mechanics literature* ASME J. Appl. Mech. **69**(1), 88-90.
41. J. Englund and J. Helsing (2003) *Stress computations on perforated polygonal domains*, Engng. Anal. Boundary Elem. (in press).
42. J. Helsing and A. Jonsson *A seventh order accurate and stable algorithm for the computation of stress inside cracked rectangular domains*, J. Multiscale Comput. Engng. (submitted)

Legendă: Cele mai bune lucrări în opinia domnului Johan Helsing sunt marcate cu simbolul *.

Lucrări ale unor conferințe

- J. Helsing (1996) *Electrostatics of thin bridges*, in Mathematics is for solving problems, A volume in honour of Julian D. Cole on his 70th birthday (Ed.: L. Pamela Cook, Victor Roytburd, and Marshall Tulin), SIAM, Philadelphia.
- J. Helsing, L.E. Persson and P. Wall (1997) *Numerical and mathematical methods for calculation of effective properties of multiphase materials*, Proceedings of the International Conference on Composite Engineering, ICCE/4 (Ed: David Hui), Hawaii, 1031-1032.

Cod sursă al programului de calcul al integralelor duble cu metoda Monte Carlo**Module 1:**

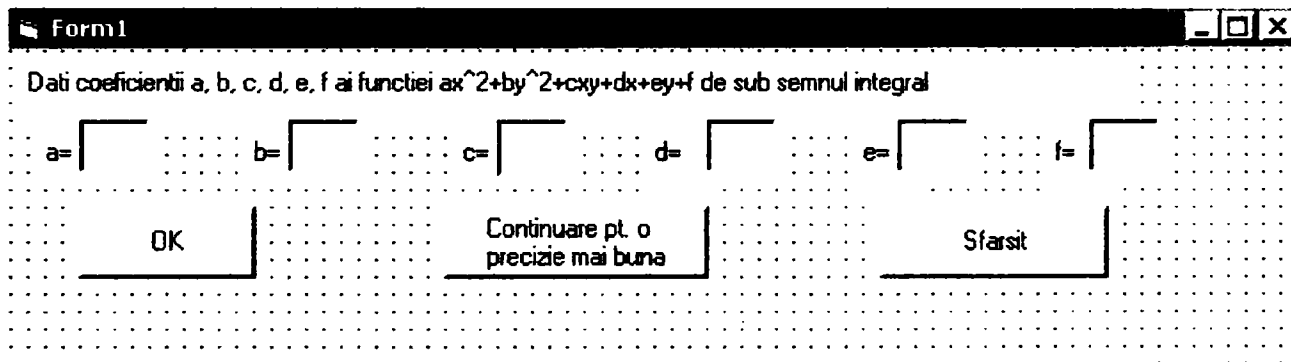
```
Public a As Single, b As Single, c As Single, d As Single, e As Single, f As Single
Public nt As Integer, i As Integer, integr As Single, ValMax As Single
Public X() As Single, Y() As Single, Z1() As Single, Eps() As Integer
```

Sub main()

```
MsgBox "Rezolvarea integralelor duble (in domeniul 0<=x<=1 si 0<=y<=1) cu metoda Monte Carlo"
Form1.Show
End Sub
```

Public Function FNF(i As Integer, a1 As Single, b1 As Single, c1 As Single, d1 As Single, e1 As Single, f1 As Single)

```
FNF = a1 * X(i) ^ 2 + b1 * Y(i) ^ 2 + c1 * X(i) * Y(i) + d1 * X(i) + e1 * Y(i) + f1
End Function
```

Form 1**Private Sub CmdOK_Click()**

```
a = Val(Txta.Text)
b = Val(Txtb.Text)
c = Val(Txte.Text)
d = Val(Txtd.Text)
e = Val(Txte.Text)
f = Val(Txtf.Text)
Randomize Timer
nt = InputBox("Nr total de puncte=")
ReDim X(1 To nt), Y(1 To nt), Z(1 To nt), Z1(1 To nt), Eps(1 To nt)
For i = 1 To nt
    X(i) = Rnd
    Y(i) = Rnd
Next i
Cls
Print: Print: Print: Print: Print: Print: Print: Print
Print "_____ "
Print "X", "Y", "f(x,y)", "Eps"
Print "_____ "
suma = 0
For i = 1 To nt
    Z1(i) = FNF(i, a, b, c, d, e, f)
    Eps(i) = 1
```

```

    suma = suma + Z1(i)
    Print Format(X(i), "##0.0000000"), Format(Y(i), "##0.0000000"), Format(Z1(i), "##0.0000000"), Eps(i)
Next i
Print "_____ "
media = suma / nt
MsgBox ("Valoarea integralei I=" & media)
Cmdrepet.Visible = True
cmdsfs.Visible = True
End Sub

Private Sub Cmdrepet_Click()
nt = InputBox("Nr total de puncte=")
ReDim X(1 To nt), Y(1 To nt), Z1(1 To nt), Eps(1 To nt)
For i = 1 To nt
    X(i) = Rnd
    Y(i) = Rnd
Next i
Cls
Print: Print: Print: Print: Print: Print: Print: Print
Print "_____ "
Print "X", "Y", "f(x,y)", "Eps"
Print "_____ "
suma = 0
For i = 1 To nt
    Z1(i) = FNF(i, a, b, c, d, e, f)
    suma = suma + Z1(i)
    Eps(i) = 1
    Print Format(X(i), "##0.0000000"), Format(Y(i), "##0.0000000"), Format(Z1(i), "##0.0000000"), Eps(i)
Next i
Print "_____ "
media = suma / nt
MsgBox ("Valoarea integralei I=" & media)
End Sub

Private Sub cmdsfs_Click()
End
End Sub

```

Cod sursă al programului de calcul al integralelor cu metoda de cuadratură Gauss**Module 1:**

```
Public a As Single, b As Single
Public integr As Single, i As Integer
Public Ai(1 To 5) As Single, Ti(1 To 5) As Single, x(1 To 5) As Single, f(1 To 5) As Single
```

Sub Main()

```
MsgBox "Rezolvarea integralelor cu metoda de cuadratura Gauss"
Ti(1) = -0.906179846
Ti(2) = -0.53846931
Ti(3) = 0
Ti(4) = 0.53846931
Ti(5) = 0.906179846
Ai(1) = 0.236926885
Ai(2) = 0.47862867
Ai(3) = 0.568888889
Ai(4) = 0.47862867
Ai(5) = 0.236926885
Form1.Show
End Sub
```

Public Function FNF(i As Integer, x1 As Single)

```
FNF = 1 / (1 + x1 ^ 2)
End Function
```

Form 1
Private Sub cmdcont_Click()

```
Cls
Txta.Text = ""
Txtb.Text = ""
Txta.SetFocus
a = Val(Txta.Text)
b = Val(Txtb.Text)
Print: Print: Print: Print: Print: Print: Print: Print
Print "_____ "
Print "i", "Ti", "f(i)", "Ai"
Print "_____ "
integr = 0
```

```

For i = 1 To 5
  x(i) = (b + a) / 2 + (b - a) / 2 * Ti(i)
  f(i) = (b - a) / 2 * FNF(i, x(i))
  Print i, Format(Ti(i), "##0.0000000"), Format(f(i), "##0.0000000"), Format(Ai(i), "##0.0000000")
  integr = integr + Ai(i) * f(i)
Next i
Print "_____ "
Print "Valoarea integralei I=", Format(integr, "###0.000000000000")
End Sub

```

Private Sub CmdOK_Click()

```

a = Val(Txta.Text)
b = Val(Txtb.Text)
Cls
Print: Print: Print: Print: Print: Print: Print: Print
Print "_____ "
Print "i", "Ti", "f(i)", "Ai"
Print "_____ "
integr = 0
For i = 1 To 5
  x(i) = (b + a) / 2 + (b - a) / 2 * Ti(i)
  f(i) = (b - a) / 2 * FNF(i, x(i))
  Print i, Format(Ti(i), "##0.0000000"), Format(f(i), "##0.0000000"), Format(Ai(i), "##0.0000000")
  integr = integr + Ai(i) * f(i)
Next i
Print "_____ "
a = Val(Txta.Text)
b = Val(Txtb.Text)
Cls
Print: Print: Print: Print: Print: Print: Print: Print
Print "_____ "
Print "i", "Ti", "f(i)", "Ai"
Print "_____ "
integr = 0
For i = 1 To 5
  x(i) = (b + a) / 2 + (b - a) / 2 * Ti(i)
  f(i) = (b - a) / 2 * FNF(i, x(i))
  Print i, Format(Ti(i), "##0.0000000"), Format(f(i), "##0.0000000"), Format(Ai(i), "##0.0000000")
  integr = integr + Ai(i) * f(i)
Next i
Print "_____ "
Print "Valoarea integralei I=", Format(integr, "###0.000000000000")
cmdcont.Visible = True
cmdsf.Visible = True
End Sub

```

Private Sub cmdsf_Click()

```

End
End Sub

```

Private Sub Form_Activate()

```

Txta.SetFocus
End Sub

```


BIBLIOGRAFIE

A

1. ABOVSKII P.N. (i.d.), *Cislennie metodî v teorii uprugosti teorii obolecek*, Izd. Krasnoiaraskovo Univ., Krasnoiarask, 1986
2. ABOVSKII P.N., ANDREEV P.N., DERUGA P.A., *Variationie principî teorii uprugosti i teorii obolecek*, Moskva Nauka", 1978
3. ACZEL U., BOZAN C., *Dislocațiile și frecarea internă la metale*, Editura Facla, Timișoara, 1974
4. ACHENBACH J.D., *Brittle and ductile extension of a finite crack by a horizontally polarized shearwave*, I.J.E.S. Vol.8, 1970, p.947-966
5. ADDA-BEDIA M., ARIAS R., *Brittle fracture dynamics with arbitrary paths I. Kinking of a dynamic crack in general antiplane loading*
6. AFFIANA.B., PAUKŠTO U.M., *O metode konformnih otobrajenii v yadaciah teorii uprugosti dlia lomanih treščin*, I.U.P. Nr.15, 1986, p. 7-12
7. AGAREV A.V., *Metod nacialnih funcții dlia dvuhmernih kraevih zadaci teorii uprugosti*, Akad. Nauk Ukranskoï SSR, Kiev, 1963
8. AHMAD S., BANERJEE K.P., *Inelastic transient dynamic analysis of three- dimensional problems by BEM*, I.J.N.M.E. Vol. 29, 1990, p.371-390
9. AIT HOCINE N., NAIT ABDELAZIZ, G. MESMACQUE, *Experimental and Numerical Analysis on Single Specimen Methods of Determination of J in Rubber Materials*, I.J.F. 94: 321-338, 1998
10. ALĂMOREANU E., BUZDUGAN GH., ILIESCU M., MINCĂ I., SANDU M., *Îndrumător de calcul in ingineria mecanică*, Editura Tehnică, București, 1996
11. ALBLAS J.B., KUIPERS M., *The contact problem of a rigid cylinder rolling on a thin viscoelastic layer*, I.J.E.S. Vol.8, 1970, p.363-380
12. ALEKSANDROV A.Ia., KOSENIUK V.K., *Ob adnom tipe podkrepnenia kontura otverstii v plastinkah*, P.M.,Nr.10,T.15,1979
13. ALEKSANDROV A.Ia., SOLOVIEV I.U.I., *Prostranstvennie zadaci teorii uprugosti-Primenie metodov teorii funkții kompleksnogo peremennogo*. Moskva "Nauka", 1978
14. ALEKSANDROV V.M., *Asimptoticeskie metodî v smeščianih zadaciah teorii uprugosti dlia neklasesceskih oblastei*, K.N/v.2, p.14-24
15. ALEKSANDROV V.M., SMETANIN V.I., *Ravnovesnaia treščina v sloe maloi toščini*, P.M.M., Vol.4, 1965
16. ALEKSANDROV V.M., KOVALENKO E.V., *Metod ortogonalnih funkții v smeščianih zaducic mehaniki splošnih sred*, P.M., Tom XIII, Nr.12, 1977
17. ALEKSEEV G.V., ȘALĂGHIN V.N., *Mehanizm razrušenii polimera soderjacego makrodefecti*, P.M.Tom XIII, Nr.11, 1977
18. ALESHIN N.P., ALTPETER I., DOBMANN G., ș.a., *NDT – Techiques for Life Time Assessment of Components In Service - An International Cooperative Approach*, National Seminar of ISNT Chennai, 5 - 7.12.2002, www.nde2002.org
19. ALESSANDRINI G., MORASSI A., ROSSET E., *Detecting an Inclusion in an Elastic Body by Boundary Measurements*
20. ALEXANDROV S.E., GOLDSTEIN R.V., *Distributions of Stress and Plastic Strain in Notched Tensile Bars*, I.J.F. 91: 1-11,1998
21. ALIABADI M.H., *A new generation of boundary element methods in fracture mechanics*, I.J.F. 86: 91-125,1997
22. AMBARTŪMIAN S.A., *Roznomodulinaia teoriiia uprugosti*, Moskva "Nauka", 1982
23. AMESTOY M., LEBLOND J.B., *Crack paths in plane situations – II. Detailed form of the expansion of the stress intensity factors*, I.J.S.S., Vol.29, Nr.4, 1992, p.465-501
24. AMMONS A.B., MADHUKAR VABLE, *Boundary element Analysis of cracks*, I.J.S.S. Vol. 33, Nr.13, 1996
25. ANDERSON L.T., *Fracture Mechanics. Fundamentals and Applications*, CRC Press, Inc. Boston, 1991
26. ANDREEV V.A., *Kriterii procinosti dlia zon končetratii napriajenii*, Moskva, Masinostroenie, 1985
27. ANDRUET H.RAUL, *Special 2-D and 3-D Geometrically Nonlinear Finite Elements for Analysis of Adhesively Bonded Joints*
Dissertation submitted to the Faculty of the Virginia Polytechnic Institute, 1998
28. ANNIGERI S.B., TSENG K., *Boundary Element Methods in Engineering*, Proceedings of the International Symposium on Boundary Element Methods: Advances in Solid and Fluid Mechanics, U.S.A., 1989
29. ANNIS CHARLES, *Probabilistic Life Prediction Isn't as Easy as It Looks*, ASTM STP-1450, p.1-13
30. ARATA J.J.M., NEEDLEMAN A., *The effect of plasticity on dynamic crack growth across an interface*, I.J.F. 9/1998, p.383-399
31. ARAVAS N., *On the Numerical Integration of a Class of Pressure-Dependent Plasticity Models*, I.J.N.M.E., Vol. 24, 1987, p.1395-1416
32. ARKULIS E.G., *Sovmestnaia plasticeskaia deformația raznih metallov*, Izd. Metallurghia, Moskva, 1964
33. ARNOLD N. DOUGLAS, FALK S.RICHARD, *A New Mixed Formulation for Elasticity*, Math. Model.&Numeric Anal.19,1985
34. ARSENIAN V.A., ș.a., *O rešenii integralnih uravnenii ploskoi teorii uprugosti metodom posledovatelinih priblyenii*, M.T.T. Nr.1/1982, p.79-83
35. ARTHUR P.F., BLACKBURN W.S., *Growth of a crack in antiplane strain in an elastic-plastic material*, I.J.E.S. Vol. 8, 1970, p.747-752
36. ARTHUR P.F., BLACKBURN W.S., *Anti-plane strain around two equal collinear cracks and a crack containing dislocations in a nonwork hardening elastic-plastic material loaded uniformly at infinity*, I.J.E.S. Vol.8, 1970, p.975-988
37. ARUN ROY Y., R. NARASIMHAN, *J-Dominance in Mixed Mode Ductile Fracture Specimens*, I.J.F. 88, 1997, p.259-279
38. ATKINS G.A., *Scaling Laws for Elastoplastic Fracture*, I.J.F. 95, 1999, p.51-65
39. ATKINSON C., *The interaction between a crack and an inclusion*, I.J.E.S. Vol. 16, 1972, p.127-136
40. ATKINSON C., *Some ribbon-like inclusion problems*, I.J.E.S. Vol.11, 1973, p.243-266
41. ATKINSON C., BOURNE P.J., *Stress singularities in angular sectors of viscoelastic media*, I.J.E.S., Vol. 28, Nr.7, 1990, p. 615-630
42. ATKINSON C., LIST R.D., *A moving crack problem in a viscoelastic solid*, I.J.E.S. Vol 10, 1972, p.309-322

43. ATUMI A., ș.a., *Reports of the Research Institute for Strength and Fracture of Materials*, Tohoku University Sendai, Japan, Vol.15, Nr.2, 1980
 44. AVRAM C., BOB C., FRIEDRICH R., STOIAN V., *Structuri din beton armat. Metoda elementelor finite. Teoria echivalențelor*, Editura Academiei R.S.R., București, 1984
 45. AWAJI H., *The Griffith Criterion for Mode II Fracture*, I.J.F. 89, 1998, L3-L7
 46. AWAJI H., KATO T., HONDA S., NISHIKAWA T., *Criterion for combined mode I-II of brittle fracture J.C.S.J.* 107, 1999, p. 918-924
 47. AWAJI H., SATO S., *Combined mode fracture toughness measurement by the disk test*, J.E.M.T. Vol.100, April 1978, p.175-182
 48. AWAJI H., KATO T., *Criterion for combined mode I-II of brittle fracture*, Materials Transactions, JIM, Vol. 40, Nr. 9, 1999, p. 972-979
 49. AWAJI H., KATO T., *Griffith criterion for mode II fracture of ceramics*, Experimental Mechanics, Allison (ed.), 1998, Balkema, Rotterdam, Brookfield
 50. AYATOLLAHI M.R., PAVIER M.J., SMITH D.J., *Determination of T-Stress from Finite Element Analysis for Mode I and Mixed Mode I/II Loading*, I.J.F. 91, 1998, p.283-298
 51. AZHDARI ABBAS, SIA NEMAT-NASSER, *Hoop stress intensity factor and crack-kinking in anisotropic brittle solids*, I.J.S.S. Vol. 33, Nr.14, 1996
- B**
1. BEBEȘKO A.V., *Ob odnom asimptoticeskom metode pri renenii integralinikuravnenii teorii uprugosti i matematicekoi fizichi*, P.M.M., Tom XXX, 1966, p.732-741
 2. BAKHVALOV N., *Methodes numeriques*, Editura MIR, Moskva, 1976
 3. BALANKIN A., ș.a., *Mechanics of Self-Affine Cracks in Carton*, I.J.F. 90, 1998, L57-L62
 4. BALARINI R., MULLEN L.R., HEUER H.A., *The Effects of Heterogeneity and Anisotropy on the Size Effect in Cracked Polycrystalline films*, I.J.F. 95, 1999, p.19-39
 5. BALKEY K.R., FURCHI E.L., *Probabilistic Fracture Mechanics Sensitivity Study for Plant Specific Evaluations of Reactor Vessel Pressurized Thermal Shock*, ASME, PVP Vol.92, 1984, p.71-87
 6. BANERJEE P.K., BUTTERFIELD R., *Boundary Element Methods in Engineering Science*, McGraw-Hill Book Company, London, 1981
 7. BANICHUK N.V., ș.a., *Mesh refinement for shape optimization*, „Structural Optimization” 9, 1995, p.46-51
 8. BAO WEIZHU, HAN HOUDE, HUANG ZHONGYI, *Numerical simulations of fracture problems by coupling the FEM and the direct method of lines*, Computer methods in applied mechanics and engineering, 190, 2001, p.4831-4846
 9. BARENBLATT G.I., CEREPANOV G.N., *O hrupkih treščinah prodolinogo cadviga*, P.M.M., Tom XXV, 1961
 10. BARENBLATT G.I., CEREPANOV G.N., *O konecinosti napriajenii na kraiu proizvolinoi treščini*, P.M.M., Tom 28, Nr.5, 1963
 11. BARENBLATT G.I., CEREPANOV G.N., *O rasklinivanii hrupkih tel.*, P.M.M., Tom XXIV, 1960
 12. BARENBLATT G.I., CEREPANOV G.N., *O ravnovesii i rasprostranenii trescin i anizotropnoi srede*, P.M.M., Tom 15, 1961
 13. BARENBLATT G.I., CERNÏI G.G., *O momentih sootnașeniiah na pavernostnih razrîva i dissipatiwnih sredah*, P.M.M., Tom XVII, 1963
 14. BARENBLATT G.I., *O nektorih obșchih predstavleniih matematicekoi teorii hrupkogo razrușeniia*, P.M.M., Tom 28, 1964
 15. BARENBLATT G.I., *O ravnovesnih trescinah obrazuiușchisia pri hrupkom razrușenii priamolineinîe trescini v ploskih plastinah*, P.M.M., Tom XXIII, 1959
 16. BARENBLATT G.I., *O ravnovesnih trescinah obrazuiușchisia pri hrupkom razrușenii ustoicivoisti izolirovannih trescin sviazi s energeticeskimi teoriianii*, P.M.M., Tom XXIII, 1959
 17. BARENBLATT G.I., *O ravnovesnih trescinah. obrazuiușchisia pri hrupkom razrușenie obscie predstavleniia i ghipotezi osesimetricinîe trescini*, P.M.M., Tom XXIII, 1959
 18. BARENBLATT G.I., ș.a., *O neustanovvșemsîia rasprostranenii trescin*, P.M.M., Tom XXVI, 1962
 19. BARUT A., GUVEN I., MADENCI E., *Analysis of singular stress fields at junctions of multiple dissimilar materials under mechanical and thermal loading*
 20. BASU S., NARASIMAN S., *Finite element simulation of mode I dynamic, ductile fracture initiation*, I.J.S.S., Vol.33, Nr.8, 1996
 21. BATHE K.-J., WILSON L.E., *Numerical methods in finite element analysis*, (ed. limba rusă), Moskva, 1982
 22. BATOZ J.L., DHATT G., *Modélisation des structures par éléments finis*, Hermes, Paris, 1990
 23. BÉDA GY., *Possible constitutive equations of a dynamically loaded continuum taking into account small deformations*, Periodica Polytechnica, Budapest, 1989
 24. BÉDA GY., *Intrinsic variables of constitutive equation*, Periodica Polytechnica, Budapest, 1989
 25. BÉDA GY., *Pon differential forms of the constitutive equations for elasto-plastic solids*, Periodica Polytechnica, Budapest, 1989
 26. BEJU I., SOÓS E., TEODORESCU P.P., *Tehnici de calcul vectorial cu aplicații*, Editura Teh., Buc., 1976
 27. BEJU I., SOÓS E., TEODORESCU P.P., *Tehnici de calcul tensorial euclidian cu aplicații*, Ed.Teh., Buc., 1977
 28. BEJU I., SOÓS E., TEODORESCU P.P., *Tehnici de calcul spinorial și tensorial neeuclidian cu aplicații*, Ed.Teh., Buc., 1979
 29. BELOKOPÏTOVA N.L., ș.a., *Sosredotocennaia sila ili zapiad v piezokeramiceskoi plastine s trescinoi*, I.U.P. Nr.15/1986, p.12-20
 30. BEOM H.G., Y.Y. EARMME, *Complex Variable Method for Problems of a Laminate Composed of Multiple Isotropic Layers*, I.J.F. 92, 1998, p.305-324
 31. BERBENTE C., MITRAN S., ZANCU S., *Metode numerice*, Editura Tehnică, București, 1997
 32. BEREJNÏTKII L.T., ș.a., *Izghib anizotropnoi plastini s trescinoi*, P.M., Tom XIV, Nr.11, 1978
 33. BEREJNÏTKII L.T., DELIAVSKII V.M., PANASIUK V.V., *Izghib tonkih plastin s defectami tipa trescin*, Kiev, “Naukova Dumka”, 1979
 34. BEREMS A.P., HOVEY P.W., *Statistical Methods for Estimating Crack Detection Probabilities*, ASTM, STP798, 1983, p.79-94
 35. BEREZIN A.V., *Deformirovanie defektnih materialov*, M.T.T. Nr.6/1982, p.124-130
 36. BESKOS E.D., *Boundary Element Analysis of Plates and Shells*, Springer Verlag, 1991

37. BESKOS E.D., *Boundary Element Methods in Mechanics*, Vol. 3 in Computational Methods in Mechanics, Elsevier Science Publishers B.V., Amsterdam, 1991
 38. BESKOS E.D., *Boundary element methods in dynamic analysis*, A.M.R. Vol. 40, Nr.1, 1987
 39. BEUTH J.L. Jr, *Cracking of thin bonded films in residual tension*, I.J.S.S. Vol. 29, Nr.13, 1992, p.1657-1675
 40. BEZUHOV N.I., *Teoria elasticității și plasticității*, Editura Tehnică, București, 1957 (traducere din limba rusă)
 41. BEZUHOV N.I., *Primeri i zadaci po teorii uprugosti, plasticnosti i polzucesti*, Izd. "Višiaia Škola", Moskva, 1965
 42. BHARGAVA R.D., BHARGAVA R.R., *Elastic circular inclusion in an infinite plane containing two cracks*, I.J.E.S. Vol. 11, 1973, p.437-449
 43. BIA C., ILLE V., SOARE M.V., *Rezistența materialelor și teoria elasticității*, Editura Didactică și Pedagogică, Buc., 1983
 44. BIRGER I.A., MAVLIUTOV R.R., *Soprotivlenie materialov*, Moskva "Nauka", 1986
 45. BIȚ CORNELIU, *Propunere pentru o lege de propagare a fisurilor de oboseală în domeniul linar elastic (LEFM)*, Buletinul ARMN Nr.5, 1998, p.13-18
 46. BIȚENO B.K., GRAMMEL R., *Tehničkaia dinamika. Vol.1. Gasudarstvennoe izdatelstvo tehniko-teoreticeskoi literaturi*, Leningrad-Moskva, 1950
 47. BI-TRONG CHEN, C.T.HU, SANBOH LEE, *Edge Dislocations Near a Cracked Sliding Interface*, I.J.F. 91, 1998, p.131-147
 48. BI-TRONG CHEN, C.T.HU, SANBOH LEE, *Comparison of Elastic Interaction of a Dislocation and a Crack for Four Bonding Conditions of the Crack Plane*, I.J.F. 91, 1998, p.149-164
 49. BLANCO C., ș.a., *Analysis of Sharp Angular Notches in Anisotropic Materials*, I.J.F. 93, 1998, p.373-386
 50. BLANCO C., ș.a., *Kinked Cracks in Anisotropic Elastic Materials*, I.J.F. 93, 1998, p.387-407
 51. BLOOM J.M., *Probabilistic Fracture Mechanics – A State-of-the-Art Review*, ASME, PVP Vol.92, 1984, p.1-19
 52. BLOOM J.M., EKVAL J.C. (editors), *Probabilistic Fracture Mechanics and Fatigue Methods: Applications for Structural Design and Maintenance*, ASTM Special Technical Publication 798, ASTM STP-798
 53. BLUMENAUER H., PUSCH G., *Bruchmechanik. Grundlagen, Prüfmethoden, Anwendungsgebiete*, VEB Deutscher Verlag für Grundstoffindustrie, Leipzig, 1973
 54. BLUMENFELD M., *Introducere în metoda elementelor finite*, Editura Tehnică, București, 1995
 55. BOBET A., ș.a., *Numerical modeling of fracture coalescence in a model rock material*, I.J.F. 92, 1998, p.221-252
 56. BOIARȘINOV S.V., *Osnovi stroitelnoi mehaniki mašin*, Moskva, "Mašinstroenie", 1973
 57. BOLEANȚU L., DOBRE I., *Aplicații ale mecanicii solidului deformabil în construcția de mașini*, Ed. Facla, Timișoara, 1978
 58. BOLEANȚU L., DOBRE I., *Analiza propagării fisurilor de oboseală la șocuri repetate de încovoiere*, ICEFIZ-81, Timișoara, secț. XI, p.27-29
 59. BOLEANȚU L., DOBRE I., *Die Wahrscheinlichkeitsberechnung des Masstabfaktors in der Untersuchung der statischen Festigkeitswerte von Stählen*, Lucrările Sesiunii științifice jubiliare ale Școlii superioare tehnice din Brno – R.S.C., iunie 1975
 60. BOLOTIN V.N., *Nekotoraie vaprosi teorii hrupkovo razrušeniia*, Rascioti na pocinosti, Vıpusk 8, Moskva, 1962
 61. BONENBERGER R.J., DALLY J.W., *On improvements in measuring crack-arrest toughness*, I.J.S.S., 1994, p.897-909
 62. BONNET MARC, *Équations intégrales et éléments de frontière en Mécanique des Solides: Theorie, mise en oeuvre, applications*, Laboratoire de Mécanique des Solides, Ecole Polytechnique, Palaiseau, 1993
 63. BONORA N., *On the Effect of Triaxial State of Stress on Ductility Using Nonlinear CDM Model*, I.J.F. 88, 1997, p.359-371
 64. BORȘ C.I., *Teoria elasticității corpurilor anizotrope*, Editura Academiei R.S.R., București, 1970
 65. BORODICH M.F., *Fractals and Fractal Scaling in Fracture Mechanics*, I.J.F. 95, 1999, p.239-259
 66. BOSAKOV S.V., *Rasciot zaglublennih ankernih plit konecinoi jestkosti*, P.M., Tom XVI, nr.3, 1980
 67. BOTHE K.-J., WILSON L.E., *Numerical methods in finite element analysis*, Moscova, 1982
 68. BOWER A.F., *Advanced Mechanics of Solids*, Lecture Notes, Brown University, 1998
 69. BOWER A.F., *Introductory Mechanics of Solids*, Lecture Notes, Brown University, 1998
 70. BOWER A.F., *Linear Elasticity*, Lecture Notes, Fall 1997-98., Brown University
 71. BRĂȚIANU CONSTANTIN, *Metode cu elemente finite în dinamica fluidelor*, Ed. Academiei R.S.R., Buc., 1983
 72. BREBBIA A.C., ORSAG A.S. (editori), *Lecture Notes in Engineering*, Nr. 62, Z.ZHAO, *Shape Design Sensitivity Analysis and Optimisation using the Boundary Element Method*, Springer Verlag, Berlin, 1991
 73. BRELOT M., *Éléments de la théorie classique du potentiel*, Paris, 1962
 74. BRUCKNER A., ș.a., *Scatter of Fracture Toughness in Plates of the Aluminium Alloy 7475-T 7351*, ASME, PVP Vol. 92, 1984, p.113-133
 75. BRUCKNER A.I., MUNZ D., *Scatter of Fracture Toughness in the Brittle-Ductile Transition Region of a Ferritic Steel*, ASME, PVP Vol. 92, 1984, p.105-113
 76. BUCUR M.C., *Metode numerice*, Editura Facla, Timișoara, 1973
 77. BUELL J., KAGIWADA H., KALABA R., *Solution of a system of dual integral equations*, I.J.E.S. Vol. 10, 1972, p.503-510
 78. BUGAKOV I.I., *Issledovanie procinosti obrazțov s uglavimi vırezami*, I.U.P. Nr.15/1986, p. 20-26
 79. BUGAKOV I.I., *Kvazihrupkoe razrušenie obrazțov s vırezom v vide lunki*, M.T.T. Nr.6/1982, p.177-180
 80. BULANOV G.S., *Rastiajenie tolstoi plastini s inorodnim tilindriceskim vkluceniem*, P.M., Tom XIII, Nr.8, 1977
 81. BULLOCK G., SMITH E., *Effects of grain size and temperature on flat fracture propagation and arrest in mild steel*. -- In: *Fast Fracture and Crack Arrest*, ASTM STP 627 (G.T. Hahn, M.F. Kanninen, eds.), 1977, p. 286-300
 82. BURCZYNSKI T., *Stochastic Boundary Element Methods*
 83. BYSTRÖM J., HELSING J., MEIDELL A., *Some computational aspects of iterated structures*, Composites Part B. 32(6), 2001, p.485-490
- C**
1. CARACOSTEA D. ANDREI (redactor), *Manual pentru calculul construcțiilor*, Editura Tehnică, București, 1959
 2. CARSTENSEN C., DOLZMAN G., FUNKEN S.A., HELM D.S., *Locking-free Adaptive Mixed Finite Element Method in Linear Elasticity*, Comput Methods Appl. Mech. Engineering, 190, 2000, p.1701-1718

3. CAZACU ANDREIAN, CABIRLA (coordonator), *Analiza complexă. Aspecte clasice și moderne*, Ed.Șt. și Encicl., Buc., 1988
4. CEGOB A.U., *Введение в механику сплошной среды*. Уэг-бо "Физмашруз", 1962
5. CEREPANOV G.I., *Nekotore zadaci teorii treščin v gidrodinamiceskoi postanovke*, P.M.M., Tom XXI, Nr.6, 1963
6. CEREPANOV G.N., *O svazihrupkom razrušenii*, P.M.M., Tom XXXII, 1968
7. CEREPANOV G.N., *O rasprostranerii treščin v splošnoi srede*, P.M.M., Tom XXXI, 1967
8. CEREPANOV G.N., *Obratnaia uprugo plasticeskaia zadacia v usloviiah artiploskoi deformatii*, P.M.M., Nr.4, 1967
9. CEREPANOV G.P., KOCIAROV R.S., *Razvitie skoljenia v polikristallicescom metalle i v treščinovatih skalinih porodah*, P.P., Nr. 1, 1977, p.107-120
10. CEREPANOV G.P., *Mehanika hrupkovo razrušenii*, Izd. "Nauka", Moskva, 1974
11. CEREPANOV G.P., *O razvitii treščin v sjaatih telah*, P.M.M., Tom XXX, 1966
12. CEREPANOV G.P., *O razvitii polostoi v viazkih telah*, P.M.M., Nr.3, 1969, p.544-547
13. CEREPANOV G.P., *Uprugo plasticeskaia zadacia v usloviiah antiplloskoi deformatii*, P.M.M., Tom XXVI, 1962
14. CESARE A.M., SUES H.R., *Profes Probabilistic Finite Element System – Bringing Probabilistic Mechanics to the Desktop*, American Institute of Aeronautics and Astronautics, AIAA 99-1607
15. CHAKRABARTI ALOKNATH, *On some mixed boundary value problems of plane elasticity associated with a wedge*, I.J.E.S., Vol.7, 1969, p.81-91
16. CHANG C., MEAR M.E., *A boundary element method for two dimensional linear elastic fracture analysis*, I.J.F. 74, 1995, p.219-251
17. CHANG P.T., *Dynamic Finite Element Analysis of a Beam on Random Foundation*, Composites and Structures, Vol. 48, Nr.4, 1993, p.583-589
18. CHAO K.C., SHEN H.M., *Solutions of thermoelastic crack problems in bonded dissimilar media or half-plane medium*, I.J.S.S., Vol. 32, Nr.24, 1995, p.3537-3554
19. CHATTERJEE S.N., PRASAD S.N., *Series solution of the three-dimensional elasticity problem of a layer*, I.J.E.S., Vol.10, 1972, p.813-839
20. CHATTERJEE S.N., PRASAD S.N., *On the problem of two non-coplanar parallel cracks in a strip*, I.J.E.S., Vol.11, 1973, p.353-368
21. CHATTERJEE S.N., PRASAD S.N., *On Papkovitch-Fadle solutions of crack problems relating to an elastic strip*, I.J.E.S., Vol.11, 1973, p.1079-1101
22. CHAU K.T., WANG Y.B., *Singularity analysis and boundary integral equation method for frictional crack problems in two dimensional elasticity*, I.J.F. 90, 1998, p.251-274
23. CHAU K.T., WANG Y.B., *Sanew boundary integral formulation for plane elastic bodies containing cracks and holes*, I.J.S.S. 36, 1999, p.2041-2074
24. CHEN B., LARDNER J.T., *Two-dimensional cracks at an angle to an interface*, I.J.S.S., Vol. 30, Nr.13, 1993
25. CHEN C., FLECK N.A., LU T.J., *The Mode I Crack Growth Resistance of Metallic Foams*, J.M.P.S. 49, 2001, p.231-259
26. CHEN C., LU T.J., FLECK N.A., *Effect of Inclusions and Holes on the Stiffness and Strength of Honeycomb*, I.J.M.S. 43, 2001, p.487-504
27. CHEN D.H., NISITANI H., *Body force method*, I.J.F. 86, 1997, p.161-189
28. CHEN FENG, ș.a., *An easy method for calculation of mode I stress intensity factor using isochromatic fringe patterns*, I.J.F. 87, 1997, p.L51-L55
29. CHEN J.T., HONG H.K., *Review of Dual Integral Representations with Emphasis on Hipersingularity and Divergent Series*, Fifth International Colloquium on Numerical Analysis, Plovdiv, Bulgaria, 1996
30. CHEN T., *The rotation of a rigid ellipsoidal inclusion embeded in an anisotropic piezoelectric medium*, I.J.S.S. 30, Nr.15, 1993
31. CHEN WEN-HWA, SHEN CHIH-MING, *A finite element alternating approach to the bending of thin plates containing mixed mode cracks*, I.J.S.S., Vol. 30, Nr.16, 1993
32. CHEN YI-HENG, HASEBE N., *Interaction between a mai-crack and a parallel micro-crack in an orthotropic plane elastic solid*, I.J.S.S. Vol.31, Nr.14, 1994, p.1877-1890
33. CHEN YI-HENG, ZUO HONG, *Investigation of macrocrack-microcrack interaction problems in anisotropic elastic solids. Part I: General solution to the problem and application of the J-integral*, I.J.F. 91, 1998, p.61-82
34. CHEN Y.Z., *Complex Potentials and Singular Integral Equation for Curve Crack Problem in Antiplane Elasticity*, I.J.E.S. 38, 2000, p.565-574
35. CHEN Y.Z., *Numerical solution of multiple crack problem by using hypersingular integral equation*, I.J.F. 88: L9-L14, 1997
36. CHENG Z.-Q., BATRA C.R., *Exact Eshelby tensor for dynamic circular cylindrical inclusion*, J.A.M. Vol.66, 1999, p.563-569
37. CHENGALVA M.K., KENNER V.H., POPELAR C.H., *An evaluation of a free volume representation for viscoelastic properties*, I.J.S.S., Vol.32, Nr.6/7, 1995, p.847-856
38. CHIORESCU GH., *Matematici speciale. Culegere de aplicații in mecanică*, Editura "Gh. Asachi", Iași, 1995
39. CHIRICĂ I., *Elasticitate. Fundamente. Exemple. Aplicații*, Editura Tehnică, București, 1997
40. CHIU W.C., ș.a., *An Analysis in Chipping in Brittle Materials*, I.J.F. 90, 1998, p.287-298
41. CHUNG T.J., *Continuum Mechanics*, Prentice-Hall International Inc., 1988
42. CHUNG-YUEN HUI, ș.a., *Williams Meets von Karman: Mode Coupling and Nonlinearity in the Fracture of Thin Plates*, I.J.F. 93, 1998, p.409-429
43. CIARLET G.P., *Mathematical Elasticity vol I: Three-Dimensional Elasticity*, North-Holland C, 1988
44. CIOBANU GH., CONSTANTINESCU C., *Fizica stării solide*, Editura Tehnică, București, 1982
45. CIOCLOV D., *Mecanica ruperii materialelor*, Editura Academici R.S.R., București, 1977
46. CIOCLOV D., *Rezistență și fiabilitate la solicitări variabile*, Editura Facla, Timișoara, 1975
47. CISILINO P.A., ALIABADI H.M., *BEM implementation of the energy domain integral for the elastoplastic analysis of 3D fracture problems*, I.J.F. 96, 1999, p.229-245

48. CIUCU G., CRAIU V., *Introducere în teoria probabilităților și statistică matematică*, Ed. Did. și Ped., Buc., 1971
 49. CIUCU G., TUDOR C., *Probabilități și procese stocastice*, Vol. I, II, Editura Academiei R.S.R., București, 1979
 50. CIUDNOVSKII I.A., *O razrušenii makrotel*, "Isledovaniia po uprugosti i plasticinosti", Sbornik 9, 1973
 51. CIZELJ L., MAVKO B., RIESCH-OPPERMAN II., *Application of first and second order reliability methods in the safety assessment of cracked steam generator tubing*, Nuclear Engineering and Design, 147, 2002
 52. CLOUSTON P.L., LAM F., *Computational Modeling of Strand-Based Wood Composites*, Journal of Engineering Mechanics, Vol.127, Nr.8, August 2001,
 53. COLOJOARĂ I., *Elemente de teorie spectrală*, Editura Academiei R.S.R., București, 1968
 54. CONGLETON J., DENTON B.K., *Measurement of fast crack growth in metals and nonmetals*. In: Fast Fracture and Crack Arrest, ASTM STP 627 (G.T. Hahn, M.F. Kanninen, eds.), 1977, p. 336-358
 55. COOK F.R., SUO Z., *Mechanisms Active during Fracture under Constraint*, MRS Bulletin, January 2002
 56. COOK T.S., ERDOGAN F., *Stresses in bonded materials with a crack perpendicular to the interface*, I.J.E.S., Vol. 10, 1972, p.677-697
 57. CONSTANTINESCU I.N., TACU T., *Calcul de rezistență pentru utilaje tehnologice*, Editura Tehnică, București, 1979
 58. CONSTANTINESCU I.N., DĂNEȚ V.G., *Metode noi pentru calcul de rezistență*, Editura Tehnică, București, 1989
 59. CONSTANTINESCU M.D., *Criterii de inițiere la propagarea bidimensională a fisurii în moduri mixte*, Buletinul ARMN Nr.13, 2002, p.8-21
 60. CONSTANTINESCU M.D., *Soluții analitice fundamentale utilizate în mecanica ruperii liniar elastice*, Buletinul ARMN Nr.5, 1998, p.2-7
 61. CORTÉS R., *The growth of microvoids under intense dynamic loading*, I.J.S.S., Vol. 29, Nr.11, 1992
 62. CORTÉS R., *Dynamic growth of microvoids under combined hydrostatic and deviatoric stresses*, I.J.S.S., Vol. 29, Nr.13, 1992
 63. CORTÉS R., *The growth of microvoids under intense dynamic loading*, I.J.S.S., Vol. 29, Nr.11, 1992
 64. COSTANZO FRANCESCO, WALTON R.J., *Numerical Simulations of a Dynamically Propagating Crack With a Nonlinear Cohesive Zone*, I.J.F. 91, 1998, p.373-389
 65. COSTIN L.S., DUFFY J., FREUND L.B., *Fracture initiation in metals under stress wave loading conditions*. - In: Fast Fracture and Crack Arrest, ASTM STP 627 (G.T. Hahn, M.F. Kanninen, eds.), 1977, p. 301-318
 66. COSTINESCU OLGA, *Elemente de topologie generală*, Editura Tehnică, Buc., 1969
 67. COTTRELL B., *On the Nature of Moving Cracks*, J.A.M., March, 1964
 68. COURBON J., *Rezistance des materiaux*, Vol. I, II, Dunod, Paris, 1964-1965
 69. COWAN A., KIRBY N., *The Application of C.O.D. Measurements to Large Scale Test Behaviour*, In: "Proceedings of the Symposium on Fracture Concepts for Weldable Structural Steel", Risley, Apr. 1969, Edit.: M.O. DOBSON
 70. CRĂCIUN E.M., SOÓS E., *Interaction of Two Unequal Cracks in a Prestressed Fiber Reinforced Composite*, I.J.F. 94, 1998, p.137-159
 71. CRAIU M., ROȘCULEȚ N.M., *Ecuatii diferențiale*, Editura Didactică și Pedagogică, București, 1971
 72. CRAIU V., *Verificarea ipotezelor statistice*, Editura Didactică și Pedagogică, București, 1973
 73. CRAIU V., ENACHE R., BĂSCĂ O., *Teste de concordanță cu programe în FORTRAN*, Ed. Științ. și Enciclopedică, Buc., 1986
 74. CREANGĂ I., LUCHIAN T., *Introducere în calculul tensorial*, Editura Didactică și Pedagogică, Buc., 1963
 75. CRISTESCU N., *Dynamic Plasticity*, North Holland Publ. Co., Amsterdam, 1967
 76. CRISTESCU N., *Probleme dinamice în teoria plasticității*, Editura Tehnică, București, 1958
 77. CRISTESCU N., SULICIU I., *Viscoplasticitate*, Editura Tehnică, București, 1976
 78. CRISTESCU R., *Spații liniare ordonate*, Editura Academiei R.S.R., București, 1959
 79. CRISTESCU R., *Analiză funcțională*, Editura Didactică și Pedagogică, București, 1965
 80. CRISTESCU R., *Elemente de analiză funcțională și introducere în teoria distribuțiilor*, Ed. Tehn. București, 1966
 81. CROSLY P.B., RIPLING E.J., *Characteristics of a run-arrest segment of crack extension*. - In: Fast Fracture and Crack Arrest, ASTM STP 627 (G.T. Hahn, M.F. Kanninen, eds.), 1977, p. 203-227
 82. CROSLY P.B., RIPLING E.J., *Towards development of a standard test for measuring K_{Ic}* . - In: Fast Fracture and Crack Arrest, ASTM STP 627 (G.T. Hahn, M.F. Kanninen, eds.), 1977, p. 372-391
 83. CRUSE A.T., *Numerical Solutions in three Dimensional Elastostatics*, I.J.S.S., Vol. 5, 1969, p.1259-1274
 84. CUCULESCU I., *Analiza numerică*, Editura Tehnică, București, 1967
- D**
1. DAI-HENG CHEN, *Plane Elastic Problem of a Crack Normal to and Terminating at Bimaterial Interface of Isotropic and Orthotropic Half Plates*, I.J.F. 88, 1997, p.393-406
 2. DALI I. M., *O forme poteri ustoicivosti rastianustoi priamogolnoi plastinā s trescinoi*, P.M., Tom XVII, Nr.7, 1981
 3. DANGLA P., *Éléments finis, équations intégrales en élastodynamique et interaction sol-structure*, Laboratoire central des ponts et chaussées, Rapports des laboratoires MA-4, 1990
 4. DAS RANJAN BIKAS, *A note on thermal stresses in a long circular cylinder containing a penny-shaped crack*, I.J.E.S., Vol.7, 1969, p.667-676
 5. DAS S., PATRA B., DEBNATH L., *Stress Intensity Factors for Two Coplanar Griffith Cracks in an Orthotropic Layer Sandwiched between Two Identical Orthotropic Half Planes*, I.J.E.S. 38, 2000, p.121-133
 6. DAUTRAY R., LIONS J.-L., *Mathematical Analysis and Numerical Methods for Science and Technology*, Vol.4: Integral Equations and Numerical Methods, Springer Verlag, Berlin, 1990
 7. DAUX C., MOES N., SUKUMAR N., BELYTSCHKO T., *Arbitrary branched and intersecting crack with the extended finite element method*, I.J.N.M.E., 48, 2000, p.1741-1760
 8. DEMIR ISMAIL, H.M.ZBIB, M. KHALEEL, *Microscopic Analysis of Crack Propagation in the Case of Multiple Cracks, Inclusions and Voids*, School of Mechanical and Materials Engineering, Washington State University, CMM Report 2001-10
 9. DENG X., *Plane strain near-tip fields for elastic plastic interface cracks*, I.J.S.S. Vol.32, Nr.12, 1995, p.1727-1741

10. DENG X., *Plane Stress Crack Tip Field Around a Rapidly Growing Ductile/Rigid Interface Crack*, I.J.F. 90, 1998, p. 325-340
 11. DIETER E.G., *Meturgie mecanică*, (traducere din limba engleză), Editura Tehnică, București, 1970
 12. DIMILLO M., OSTOJA-STARZEWSKI M., *Paper Strength: Statistics and correlation structure*, I.J.F., 90, 1998, L33-L38
 13. DIMO P., *Programarea în Fortran*, Ed did. și ped. Buc., 1971
 14. DINCĂ G., *Metode variaționale și aplicații*, Editura Tehnică, București, 1980
 15. DINCĂ G., *Operatori monotoni în teoria plasticității*, Editura Academiei R.S.R., București, 1972
 16. DÎSELI M.Ș., *Ob ustoičivosti tonkoi rastianutoi plastini s treščinoi*, P.M., Tom XIV, Nr.11, 1978
 17. DÎSELI M.Ș., *Razrušenie plastin s treščinami pri rastiajenii posle poteri ustoičivosti*, P.M., Tom XVII, Nr.4, 1981
 18. DLUGACI M.I., ș.a., *Teoreticeskoie i experimentalnoe issledovanie napriajenno-deformirovannovo sostoianii rebrištih obolock s boljšimi priamougolinimi otverstiiami*, Institut mehaniki, AN USSR, Kiev, 1976
 19. DOBRE I., *Curs de rezistența materialelor*, Litografia I.P. Timișoara, Vol.I (1978) : *Solicitări fundamentale. Probleme clasice*, Vol.II (1980) : *Bazele mecanicii solidului deformabil*, Vol.III (1981) : *Chestiuni speciale*
 20. DOBRE I., *Untersuchungen über die Dauerhaltbarkeit von dünnwandigen geschweissten Rohren aus Weichstahl*, Lucrările Sesiunii științifice jubiliare ale Școlii superioare tehnice din Brno – R.S.C., iunie 1975
 21. DOBRE I., *Caracteristici statistice ale răspunsurilor sistemelor oscilante la excitații aleatoare*, Conferința internațională "Vibrații în construcția de mașini", Timișoara, 1975, Vol.II, p.147-156
 22. DOBRE I., *New elements concerning the response of oscillatory systems subjected to random excitations in the correlation theory*, Bul. Șt. și Tehnic al I.P.T., Timișoara, Seria Matematică-Mecanică, Tom 22(36), fasc.1, 1977, p.63-65
 23. DOBRE I., *Les calcul des contraintes et des déplacements au pic d'une fissure dans un milieu anisotrope*, Lucrările Simpozionului jubiliar: "70 de ani de la înființarea Laboratorului de Rezistența materialelor", oct.1993, p.99-106
 24. DOBRE I., CHELU P., *Digital analysis of stress and strain state in a steel strip forced to traction and having two cracks*, 10th Congress on Material Testing, Budapesta, 1991, p.325-334
 25. DOBRE I., DOBRE S., *Wahrscheinlichkeitsanalyse betreffend die Überschreitungen der Bezugsniveaus bei aleatorischen Beanspruchungen*, Lucrările Sesiunii științifice jubiliare ale Școlii superioare tehnice din Brno – R.S.C., iunie 1975
 26. DOBRE I., MOȚICA A., *Rezistența materialelor. Elasticitate. Plasticitate. Vol. I: Solicitări fundamentale*, Editura de Vest, Timișoara, 1997
 27. DOBRE I., MOȚICA A., *Rezultate noi privind vibrațiile aleatoare ale unui sistem elastic liniar*, Proceedings of the Scientific Communications Meeting of "Aurel Vlaicu" University, Third Edition, Arad, Mai 1996, Vol.5, partea exp., p.163-169
 28. DOBRE I., MOTIȘAN M., TRIPA P., *Analiza stării de tensiune dintr-o platbandă cu fisuri*, Lucrările sesiunii jubiliare de comunicări științifice, Inst. Politehnic Iași, 1988, Vol.IX, p.41-45
 29. DOBRE I., MOTIȘAN M., TRIPA P., *Researches on stress variation in a steel strip strained to traction and having two parallel cracks*, A VI-a Conferință de "Vibrații mecanice", Timișoara, 1988, p.239-244
 30. DOBRE I., MUNTEAN C., *Fisură la interfața dintre două materiale diferite. Soluția în tensiuni*, Bul. Asociației Române de Mecanica Ruperii (în curs de publicare)
 31. DOBRE I., MUNTEAN C., NEGRU R., *Semispațiul din două materiale diferite, liniar vâscoelastice, cu fisură marginală în zona joncțiunii*, A XXVII-a Conf. naț. de Mecanica Solidelor, 2003, Bul. Șt. al Univ. din Pitești (în curs de publicare)
 32. DOBRE I., POPESCU D., *The Study of the Stress Concentration About the Fatigue Behavior of a Unidirectional Laminate Composite*, 5-th International Conference on Boundary and Finite Element, ELFIN 5, Univ. din Oradea, mai 2000, p.171-177
 33. DODESCU GH., *Metode numerice în algebră*, Editura Tehnică, București, 1979
 34. DOLBY R.E., EGAN G.R., DAWES M.G., SAUNDERS G.G., ARCHER G.L., *Brittle Fracture Initiation in Welded Low Strength Steels*, In: "Proceedings of the Symposium on Fracture Concepts for Weldable Structural Steel", Risley, April 1969, Editor: M.O. DOBSON
 35. DRĂGANU M., *Introducere matematică în fizica teoretică modernă. Vol.I,II*, Editura Tehnică, București, 1958
 36. DRAGOȘ L., *Principiile mecanicii analitice*, Editura Tehnică, București, 1976
 37. DRAGOȘ L., *Principiile mecanicii mediilor continue*, Editura Tehnică, București, 1983
 38. DUDNIKOV A.V., *Oženka velicin razrušiušcei nagruzki v neomentnoi zadace Griffith*, I.U.P. Nr.15/1986,p.29-32
 39. DUFFY S.F., BAKER E.H., *Weibull Parameter Estimation. Theory and Background – Information*, Connecticut Reserve Technologies, LLC, Cleaveland Ohio 44114
 40. DUGDALE S.D., *Determinarea teoretică a deplasării la deschiderea vârfului fisurii*, Buletinul ARMR Nr.6, 1998, p.4-10
 41. DUMITRU I., MARȘAVINA L., *Introducere în mecanica ruperii*, Editura Mirton, Timișoara, 2001
- E**
1. EHRlich ROBERT, *Monte Carlo Evaluation of definite integrals*, Project PHYSNET *Physics Bldg* Michigan State Univ.
 2. EKLÖF MATIAS, *Exercises on Numerical and Monte Carlo integration*, Course in Computer intensive methods in Econometrics, Uppsala University, Fall 2001
 3. EPIFANOV V.P., FAUSTOV M.A., *Izmenenie effektivnogo secenii treščin pri deformirovanii lida*, M.T.T. Nr.6/1982,p.171-186
 4. ERDOGAN F., ARIN K., *Penny-shaped interface crack between an elastic layer and a half spac*, I.J.E.S. Vol.10, 1972,p.115-125
 5. ERDOGAN F., BIRICIKOGLU V., *Two bonded half planes with a crack going through the interface*, I.J.E.S., Vol.11, 1973, p.745-766
 6. ERIKSSON K., *On the Point-Wise J-Value of Axisymmetric Plane Cracks*, I.J.F. 91, L31-L36, 1998
 7. ERIKSSON K., *The crack extension force of a curved crack derived from the principle of virtual work*, I.J.F. 102, 2000, p. 15-20.
 8. ERIKSSON K., LORENTZON M., *A path independent integral for the crack extension force of the circular arc crack*, E.F.M. 66, 2000, p.423-439.
 9. ERIKSSON K., *A domain independent integral expression for the crack extension force of a curved crack in three dimensions*, J.M.P.S. 50, 2002, p. 381-403.
 10. ERIKSSON K., *A general expression for an area integral of a point-wise J for a curved crack front*, I.J.F. 106, 2000, p. 65-80.
 11. ERIKSSON K., *Energy release rates for the penny-shaped crack in a linear piezoelectric solid*

12. ERJANOV J.S., KARIMBAEV T.D., BAITELIEV T.B., *Dvuhmernie volni napriajeni v odnorodnih i strukturno neodnorodnih sredah*, Izd. "Nauka" Kazanskoi SSR, ALMA-ATA, 1933
 13. ERJANOV J.S., TUSUPOV T.M., *K rešeniu dvoiakoperiodiceskoi teorii uprugosti*, K.N.Iv.2, p. 59-66
 14. ERMAKOV M.S., *Metoda Monte Carlo și probleme înrudite*, (traducere din limba rusă), Editura Tehnică, București, 1976
 15. EROFEEV V.I., IABLONKO V. IA., *Vlianie jeskosti ispatatelnoi mașini na kinetiku maloțiklovoi treșcini*, P.P., Nr.1, 1977
 16. ERȘON L.V., IVLEV D.D., *Ob usloviyah cvazihrupkogo razrușeniia*, P.M.M. 3,1967
- F**
1. FABRIKANT I.V., *Complete solution to the problem of an transversely isotropic body subjected to arbitrary shear loading*, I.J.S.S., Vol. 33, Nr.2, 1996
 2. FABRIKANT I.V., *External circular crack under concentrated antisymmetric loading*, I.J.S.S., Vol. 27, Nr.3, 1991, p.343-354
 3. FAUR N., *Elemente finite. Fundamente*, Editura Politehnica, Timișoara, 2002
 4. FAUR N., MUNTEAN C., NEGRU R., *Verificarea unui program de element de frontieră pe câteva probleme test clasice*, Simp. Internaț. ELFIN 6, organizat de SIAC, 2003
 5. FEDELICH B., *A stochastic theory for the problem of multiple surface crack coalescence*, I.J.F. 91,1998, p.23-45
 6. FENG J., *Statistical Assessment of Fatigue Life for TF Coil Case*, Plasma Science and Fusion Center / RR-98-6, 1998
 7. FETT T., *Mode II Weight Function for Circular Disks with Internal Radial Crack and Application to the Brazilian Disk Test*, I.J.F. 89, 1998, L9-L13
 8. FETT T., MUNZ D., *Comments on "SIF Expressions for Center Cracked Strip Loaded by Uniformly"*, I.J.F. 89, 1998, L15-L18
 9. FETZER J., KURZ S., LEHNER G., *Comparison of analytical and numerical integration techniques for the boundary integrals in the BEM-FEM coupling considering TEAM workshop problem no.13*, IEEE T.M. Vol.33, Nr.2, March 1997, p.1227-1230
 10. FICHERA G., *Existence Theorems in Elasticity*, Springer Verlag, Berlin, 1972
 11. FICHTHORN A. KRISTEN, *Theoretical foundations of dynamical Monte Carlo simulations*, J. Chem. Phys. 95 (2) July 1991, p.1090-1096
 12. FIHTENHOLT G.M., *Curs de calcul diferențial și integral*, Vol. I,II,III, (trad. Din lb. Rusă), Ed. Teh., Buc., 1965
 13. FILICIAKOVA V.P., *Konformnie otobrajenii oblasti spețialnogo tipa*, Izd. "Naukova Dumka", Kiev, 1972
 14. FILIMON I., SOARE M.V., *Ecuatii diferențiale cu aplicații în mecanica construcțiilor*, Editura Tehn., Buc.,1983
 15. FILIN A.P., *Prikladnaia mehanika tvordovo deformiruemovo tela*, Tom I, II, III, Izd. "Nauka", Moskva, 1975
 16. FILIPESCU D., TRANDAFIR R., ZORILESCU D., *Probabilități geometrice și aplicații*, Editura Dacia, Cuj-Napoca, 1981
 17. FILIPOV A.P., KOHMANIUK S.S., JANIUTIN E.G., *Deformirovanie elementov konstrukții pod deistviem udarnih i impulsnih nagruzok*, Kiev, "Naukova Dumka", 1978
 18. FILONENKO-BORODICI M.M., *Teoria elasticității*, (traducere din limba rusă), Editura Tehnică, Buc., 1952
 19. FINLAYSON F.E., *Stress Intensity Factor Distributions in Bimaterial Systems – A Three-Dimensional Photoelastic Investigation*, Thesis submitted to the Faculty of the Virginia Polytechnic Institute
 20. FLETCHER J.A.C., *Computational Galerkin Methods*, Springer Verlag, 1984
 21. FORRAY M.J., *Calculul variațional în știință și tehnică*, (trad. Din limba engleză), Editura Tehnică, Buc.,1975
 22. FREIJ-AYOUB R., DYSKINA.V., GALYBIN N., *The dislocation approximation for calculating crack interaction*, I.J.F. 86, L57-L62, 1997
 23. FRENCIKO S.I., TKACI L.M., *Antiplaskaia deformația tela s tonkim dugoobraznim vkluzeniem*, F.M.P.D.S. 1978, p.81-84
 24. FRIEDMAN A., *Variacionnie prințipi i zadaci so svobodnimi granijami*, (Perevod s angliskovo), Moskva "Nauka", 1990
 25. FRYBA L., ș.a., *Stochastic finite elements for beam on a random foundation with uncertain damping under a moving force*, J.S.V., 1993, 163 (1), p.31-45
 26. FUH-KUO CHEN, YI-CHE LEE, *Plastic Deformation and Finite Element Analysis of Perforated Sheet with Circular Holes*, ECCOMAS, Barcelona, Sept. 2000
 27. FU W.S., KEER L.M., *Coplanar circular cracks under shear loading*, I.J.E.S. Vol.7, 1969, p.361-372
- G**
1. GAFIȚEANU M., POTERAȘU F.V., MIHALACHE N., *Elemente finite și de frontieră cu aplicații la calculul organelor de mașini*, Editura Tehnică, București, 1987
 2. GALIN L.A.(redactor), *Razvitie teorii kontaktnih zadaci v S.S.S.R.*, Izd "Nauka", Moskva, 1976
 3. GALLAGHER H.R., *Finite Element Analysis. Fundamentals*, Prentice-Hall, 1975
 4. GAO C.Y., BUI D.H., *Damage field near a stationary crack tip*, I.J.S.S., Vol.32, Nr.14, 1995, p.1979-1995
 5. GAO X., RUGGIERI C., DODDS H.R., *Calibration of Weibull stress parameters using fracture toughness data*, I.J.F. 92, 1998, p.175-200
 6. GÂRBEA DAN, *Analiză cu elemente finite*, Editura Tehnică, București, 1990
 7. GAȘPAR D., SUCIU N., *Analiză matematică. Introducere în analiza complexă*, Editura Univ. din Timișoara,1989
 8. GATES R.S., *Some Aspects of Elastic-Plastic Probabilistic Fracture Mechanics*, ASME, PVP Vol. 92, 1984, p.177-197
 9. GATEWOOD B.E., *Thermal Stresses With Applications to Airplanes, Missiles, Turbines and Nuclear Reactors*, New York,1957
 10. GELFAND I.M., VILENKIN N.I., *Funcții generalizate. Aplicații ale analizei armonice* (traducere din limba rusă), Editura Științifică și Enciclopedică., București, 1985
 11. GERȚRIKEN S.D., ș.a., *Fiziceskie osnovi procinosti i plasticinosti metallov*, Metalurghizdat, Moskva, 1963
 12. GERU N., *Teoria structurală a proprietăților metalelor*, Editura Didactică și Pedagogică, București, 1980
 13. GHELFOND A.O., *Calculul cu diferențe finite* (traducere din limba rusă), Editura Tehnică, București, 1956
 14. GHIHMAN I.J., SKUROHOD A.V., *Teoria sluciainih professov*, Tom I, II, III, Izd. "Nauka", Moskva, 1975
 15. GHICA A., *Analiza funcțională*, Editura Academiei R.S.R., București, 1967
 16. GHITA E., MARȘAVINA L., *Fotoelasticimetria. Metodă modernă în analiza experimentală a tensiunilor*, Editura "Eurostampa", Timișoara, 2002
 17. GLADWELL L.M.G., *On contact problems for a medium with rigid flat inclusions of arbitrary shape*, I.J.S.S. 32,1995,p.383-389

18. GIOVANOLA H.J., KIRKPATRICK W. ST., *Using the Local Approach to Evaluate Scaling Effects in Ductile Fracture*, I.J.F. 92, 1998, p. 101-110
 19. GODUNOV S.K., *Elementi mehaniki splošnoi sredi*, Izd. "Nauka", Moskva, 1978
 20. GOLDENBLAT I.I., *Nekotore voprosi mehaniki deformiruemih sred*, Gostehizdat, 1955
 21. GOLDENBLAT I.I., *Nelineinie problemi teorii uprugosti*, Moskva "Nauka", 1969
 22. GOLDSTEIN R.V., KAPŤOV A.V., *Formirovanie struktur razrušeniia slabo vzaimodeistvuiuščih trešcin*, M.T.T. Nr.4/1982, p.173-182
 23. GOLOGAN R.N., *Aplicații ale teoriei ergodice*, Editura Tehnică, București, 1989
 24. GOLOVCIAN V.T., NIKITIUK N.I., *K rešeniu zadaci o schvige voloknistoï kompozitnoi sredi*, P.M., Tom XVII, Nr.2, 1981
 25. GÓMEZ J.B., ș.a., *Bounds for the time to failure of hierarchical systems of fracture*, Physical Review E, Third Series, Vol.59, Nr.2, Part A, Feb.1999, R1287-R1290
 26. GORDUNOV S.K., *Elementi mehaniki splošnoi sredi*, Izd. "Nauka", Moskva, 1978
 27. GORDUNOV S.K., REABENKI V.S., *Scheme de calcul cu diferențe finite*, Editura Tehnică, București, 1977
 28. GOSPODINOV G., *A boundary element linear solution applied to reinforced concrete*, Journal of theoretical and applied mechanics, Sofia 2000, Vol.30, No. 3, p.66-73
 29. GRAHAM G.A.C., SABIN G.C.W., *The correspondence principle of linear viscoelasticity for problems that involve time-dependent regions*, I.J.E.S. Vol.11, 1973, p.123-140
 30. GRANINO A. KORN, *Simularea și măsurarea proceselor aleatoare*, (trad. Din lb. Engl.), Ed. Tehn., Buc., 1969
 31. GRAY L.J., ș.a., *Improved quarter-point crack tip element*, Engineering Fracture Mechanics, 70, 2003, p.269-283
 32. GREEN A.E., ZERNA W., *Theoretical Elasticity*, Clarendon Press, Oxford, 1954
 33. GREENGARD L., HELSING J., *On the numerical evaluation of elastostatic fields in locally isotropic two-dimensional composites*, J. Mech. Phys. Solids 46 (8), 1998, p.1441-1462
 34. GRINDEI I., *Termoelasticitate*, Editura Didactică și Pedagogică, București, 1967
 35. GRUBIN N.A., *Nelineinie zadaci koncentrații napriajenii v detaliah mašin*, Izd. "Mašinstrocnie", Leningrad, 1972
 36. GUIGGIANI M., ș.a., *A General Algorithm for the Numerical Solution of Hypersingular Boundary Integral Equations*, Transactions of the ASME, Vol.59, 1992
 37. GUIGGIANI M., GIGANTE A., *A General Algorithm for Multidimensional Cauchy Principal Value Integrals in the Boundary Element Method*, Transactions of the ASME, Vol.57, 1990
 38. GULIK B.I., ERMAKOV B.E., *Deistvie cososimetricnoi nagruzki na polosu so svobodâm i podkrepnim otverstiem*, P.M., Tom XVI, Nr.2, 1980
 39. GULIK B.I., ERMAKOV B.E., *Deistvie momentov nabezkonecinuiu mnogoviaznuiu polosu*, P.M., Tom XVI, Nr.3, 1980
 40. GULIK B.I., KOSMODAMIANSKII A.S., *Cistai sdvig poluprostranstva s cilindreskoi polostiu*, P.M., Tom XV, Nr.5, 1979, p.27-32
 41. GULLERUD ARNE S., ș.a., *Simulation of Ductile Crack Growth Using Computational Cells: Numerical Aspects*, Engineering Fracture Mechanics, Nr. 66, 2000, p.65-92
 42. GUTIERREZ A.M., *Formulation of a Path-Following Constraint with Application to Monte-Carlo Simulations of failure in Quasi-Brittle Solids*, 15th ASCE Engineering Mechanics Conference, June 2-5, 2002, Columbia University, New York (EM2002)
 43. GUZI A.N. (redactor), *Prostranstvennie zadaci teorii uprugosti i plasticnosti*, Vol.V: GOLOVCIAN V.T., KUBENKO V.D., ȘULIGA N.A., GUZI A.N., GRINCENKO V.T., *Dinamika uprugih tel*, Kiev "Naukova Dumka", 1986
 44. GUZI A.N. (redactor), *Prostranstvennie zadaci teorii uprugosti i plasticnosti*, Vol.IV: GUZI A.N., BABICI I.I., *Triohmernaia teoriia ustoicivosti deformiruenih tel*, Kiev "Naukova Dumka", 1985
 45. GUZI A.N. (redactor), *Prostranstvennie zadaci teorii uprugosti i plasticnosti*, Vol.III: GRINCENKO V.T., ULITKO A.F., *Ravnovesie uprugih tel kanoniceskoi formi*, Kiev "Naukova Dumka", 1985
 46. GUZI A.N. (redactor), *Prostranstvennie zadaci teorii uprugosti i plasticnosti*, Vol.II: GUZI A.N., NEMIȘI Iu.N., *Statika uprugih tel nekanoniceskoi formi*, Kiev "Naukova Dumka", 1984
 47. GUZI A.N., *Teoriia trešcin v uprugih telah s naciolinimi napriajeniami (viskoelastice materialii)*, P.M., Tom 17, Nr.2, 1981
 48. GUZI A.N., BABICI I.I., *Triohmernaia teoriia ustoicivosti sterjnei plastin i obolocek*, Kiev Golovnie Izd., 1980
 49. GUZI A.N., CERNIȘENKO I.S., CEHOV V.N., ș.a., *Metodi rasciota obolocek*, Vol. I: *Teoria tonkih obolocek oslabcennih otverstiami*, "Naukova Dumka", Kiev, 1980
 50. GUZI A.N., ș.a., *Razrušenie i ustoicivosti tonkih tel s trešcinami*, "Naukova Dumka", Kiev, 1981
- H**
1. HAGGAG F.M., NANSTAD R.K., *Estimating Fracture Toughness Using Tension or Ball Indentation Tests and a Modified Critical Strain Method*, „The American Society of Mechanical Engineers”, PVP Vol. 170, 1989
 2. HAHN G.T., ROSENFELD A.R., ș.a., *Crack arrest concepts and applications*. – X Symposium on Naval Structural Mechanics, 1978, Fracture Mechanics, University Press of Virginia
 3. HAI V.M., DAUȘNIK P.I., *O vyaimodeistvii periodiceskoi sistemi diskoobraznih trešcin*, F.M.P.D.S. 1978, p.65-73
 4. HAIMOVICI ADOLF, *Ecuatiile fizicii matematice și elemente de calcul variațional*, Ed. Didact. Și Pedagogică, București, 1966
 5. HAIMOVICI M., *Teoria elasticității*, Editura Didactică și Pedagogică, Buc., 1969
 6. HAJDU I., *Lucrări de laborator de Rezistența materialelor*, Ediția a 2-a, IPT, 1970
 7. HALLSTRÖM S., GRENESTEDT J.L., *Mixed Model Fracture of Cracks and Wedge Shaped Notches in Expanded PVC Foam*, I.J.F. 88, 1997
 8. HANAUSKA J., KRADINOV V., MADENCI E., *A composite double-lap joint with staggered bolts: an experimental and analytical investigation*, C.S. 54, 2001, p.3-15
 9. HARIK M.V., CAIRNCROSS A.R., *Evolution of Interfacial Voids Around a Cylindrical Inclusion*, Trans. ASME, Vol.66, 1999
 10. HARRIS D.O., LIM E.Y., *Applications of a Probabilistic Fracture Mechanics Model to the Influence of In-Service Inspection on Structural Reliability*, ASTM, STP 798 p.19-41, 1983

11. HASEGAWA H., YOSHIE K., *Tension of Elastic Solid with Elastic Circular-Cylindrical Inclusion*, JSME Int. Journal, Series A, Vol.39, Nr.2, 1996
 12. HASHIN ZVI, *The inelastic inclusion problem*, I.J.E.S., Vol.7, 1969, p.11-36
 13. HASOFER A.M., *A Statistical Theory of the Brittle Fracture of Steel*, I.J.F.M., Vol.4, Nr.4, 1968
 14. HATIAŞVILI G.M., *Zadaci Almanzi-Micella dlia odnorodnih i sostavnih tel*, Izd. „Mečnicreba”, Tbilisi, 1983
 15. HAUCH A.J., MARDER P.M., *Energy Balance in Dynamic Fracture, Investigated by a Potential Drop Technique*, I.J.F. 90, 1998, p.133-151
 16. HAZANOV I.I., POLITOV V.A., *Veroiatnostnaia modeli ustalostnoi dolgoveci-nosti v svete predstavlenii lineinoi mehaniki razruşeniia*, P.P., Nr.2, 1977
 17. HEITZER M., STAAT M., *Direct FEM limit and shakedown analysis with uncertain data*, ECCOMAS 2000, Barcelona
 18. HELMS E.L.K., ALLEN H.D., HURTADO D.L., *A Model for Predicting Grain Boundary Cracking in Polycrystalline Viscoplastic Materials Including Scale Effects*, I.J.F. 95, 1999, p.175-194
 19. HELSING J., *An integral equation method for electrostatics of periodic composites*, J.Mech.Phys.Solids 43(6),1995
 20. HELSING J., MILTON G.W., MOVCHAN A., *Duality relations, correspondences and numerical results for planar elastic composites*, J. Mech. Phys. Solids 45 (4), 1997, p.565-590
 21. HELSING J., PETERS G., *Integral equation methods and numerical solutions of crack and inclusion problems in planar elastostatics*, SIAM J. Appl. Math. 59(3), 1999, p.965-982
 22. HELSING J., *On the numerical evaluation of stress intensity factors for an interface crack of a general shape*, I.J.N.M.E. 44(5), 1999, p.729-741
 23. HELSING J., *Fast and accurate numerical solution to an elastostatic problem involving ten thousand randomly oriented cracks*, I.J.F. 100(4), 1999, p.321-327.
 24. HELSING J., *Stress Intensity Factors for a Crack in Front of an Inclusion*, Engn. Fracture Mech. 64(2), 1999, p.245-253
 25. HELSING J., *Corner singularities for elliptic problems: special basis functions versus “brute force”*, Comm. Num. Meth. Engn. 16(1), 2000, p.37-46
 26. HELSING J., PETERS G., *An efficient numerical algorithm for cracks partly in frictionless contact*, SIAM J. Appl. Math. 61(2), 2000, p.551-566
 27. HELSING J., *On the interior stress problem for elastic bodies*, ASME J.A.M. 67(4), 2000, p.658-662
 28. HELSING J., JONSSON A., PETERS G., *Evaluation of stress intensity factors for a square crack in 3D*, Engn. Fracture Mech. 68(5), 2001, p.605-612
 29. HELSING J., JONSSON A., *Complex variable boundary integral equations for perforated infinite planes*, Engng. Anal. Boundary Elem. 25(3), 2001, p.191-202
 30. HELSING J., JONSSON A., *On the accuracy of benchmark tables and graphical results in the applied mechanics literature*, ASME J.A.M. 69(1), 2002, p.88-90
 31. HELSING J., JONSSON A., *On the computation of stress fields on polygonal domains with V-notches*, I.J.N.M.E. 53(2), 2002, p.433-454
 32. HELSING J., JONSSON A., *Stress Calculations on Multiply Connected Domains*, J. Comput. Phys. 176(2), 2002, p.456-482
 33. HOAGLAND R.G., ROSENFELD A.R., GEHLEN P.C., HAHN G.T., *A crack arrest measuring procedure for K_{Im} , K_{ID} and K_{Ia} properties*. – In: Fast Fracture and Crack Arrest, ASTM STP 627 (G.T. Hahn, M.F. Kanninen, eds.), 1977, p. 177-202
 34. HOMENTOVSKI D., *Funcții complexe cu aplicații în știință și tehnică*, Editura Tehnică, București, 1986
 35. HONG S.Y., YEATHER M.L., *A Sensitivity Study of PWR Primary Coolant Piping Leak Failures Using Probabilistic Fracture Mechanics*, ASME, PVP Vol.92, 1984, p.133-153
 36. HOROŞUN P.L., *Koncentrația napriajenii v stohasticeski armirovannih telah*, K.N.I.v.2, p. 232-240
 37. HU X.K., CHANDRA A., HUANG Y., *Multiple void-crack interaction*, I.J.S.S., Vol.30, Nr.11, 1993
 38. HUANG R., PRÉVOST J.H., SUO Z., *Loss of constraint on fracture in thin film structures due to creep*, Acta Materialia 50 (2002), p.4137-4138
 39. HUANG Y., LIU C., ROSAKIS J.A., *Transonic crack growth along a bimaterial interface: an investigation of the asymptotic structure of near-tip fields*, I.J.S.S. Vol.33, Nr.18, 1996
 40. HUANG Y., ş.a., *The numerical calculation of two-dimensional effective moduli for microcracked solids*, I.J.S.S. 33, Nr.11, 1996
 41. HURTADO J.A., *Elastic Plastic Mode III Crack under Internal Shear*, I.J.F. 91, 1998, p.205-216
 42. HWU C., *Polygonal holes in anisotropic media*, I.J.S.S. Vol.29, Nr.19, 1992, p.2369-2384
 43. HWU C., WEN J. YEN, *Green's functions of two-dimensional anisotropic plates containing an elliptic hole*, I.J.S.S. Vol.27, Nr.13, 1991
 44. HYUNG JIP CHOI, KANG YONG LEE, TAE EUN JIN, *Collinear Cracks in a Layered Half-Plane with a Graded Nonhomogeneous Interfacial Zone. Part I: Mechanical Response. Part II: Thermal Shock Response*, I.J.F. 94, 1998, p.103-122; 123-135
- I**
1. IACOB C., CRĂCIUNESCU A., CRISTEA C., DRAGOŞ L., GHEORGHÎȚA ŞT, TRANDAFIR R., *Matematici clasice și moderne*. Vol. I (1978). Vol. II (1979), Vol. III / Vol. IV (1984), Ed. Tehn., București
 2. IEŞAN D., *Teoria termoelasticității*, Editura Academiei R.S.R., București, 1979
 3. IFTIMIE V., *Operatori pseudo-diferențiali și integrali Fourier*, Litografia Univ. București, Fac. De Mat.-Mecanică, Buc., 1978
 4. ILIUŞIN A.A., *Plasticinosti. Osnovi obşcei matematiceskoi teorii*, Izd. Akad. Nauk SSSR, Moskva, 1963
 5. ILIUŞIN A.A., LOMAKIN V.A., ŞMAKOV A.P., *Zadaci i uprajeniiie po mehanike sploşnoi sredī*, Izd. Moskovskovo Universiteta, 1973
 6. IN LEE, *Finite Element Methods in Structural Dynamics*, Department of Aerospace Engineering, KAIST, 2002
 7. IONOV V.N., OGHIBALOV P.M., *Procinosti prostranstvennih elementov konstrukcii. Osnovi mehaniki sploşnoi sredī*, Moskva, 1972; 1979

8. IOSIFESCU M., GRIGORESCU S., OPRİŞAN GH., POPESCU GH., *Elemente de modelare stohastică*, Ed.Tch., Buc., 1984
9. IRWIN G.R., *Comments on dynamic fracturing*. – In: Fast Fracture and Crack Arrest, ASTM STP 627 (G.T. Hahn, M.F. Kanninen, eds.), 1977, p. 7-18
10. ISACSSON MÅNS, ş.a., *Probabilistic Cell Modeling of Cleavage Fracture*, I.J.F. 92, 1998, p.359-372
11. ISAEV R.G., *O filtrații v glubokozalegaiuščik anizotropnih trescinovatih plastah s obscim harakterom nelineinoi nasledstvennosti*, P.M. Tom XIII, Nr.11, 1977
12. ISRAIL M.S.A., BANERJEE K.P., *Advanced development of boundary element method for two-dimensional dynamic elasto-plasticity*, I.J.S.S., Vol.29, Nr.11, 1992, p.1433-1451
13. ISTRĂTESCU VASILE, *Introducere în teoria operatorilor liniari*, Editura Academiei R.S.R., București, 1975
14. ITOU SHOUETSU, *The effect of couple-stresses on the dynamic stress concentration around a crack*, I.J.E.S. 10, 1972, p.393-400
15. IVAN MARIN, *Teoria elasticității*, Lito. Inst. Polit. „Traian Vuia”, Timișoara, 1983
16. IVLEV D.D., ERŞOV L.V., *Metod vozmuščenii v teorii uprugoplasticeskovo tela*, Moskva „Nauka”, 1978

J

1. JADUL B., *Étude de la plasticité et application aux métaux*, Dunod, Paris, 1965
2. JARDAK M., SU C.H., KARNIADAKIS G.E., *Spectral Polynomial Chaos Solutions of the Stochastic Advection Equation*, Division of Applied Mathematics, Brown University, October 29, 2001
3. JASIUK IWONA, *Cavities vis-a-vis rigid inclusions: elastic moduli of materials with poligonal inclusions*, I.J.S.S. Vol.32, 1995, p.407-422
4. JEKOV N.D., *Ravnovesie priamougolinovo tela s naklonoi treščinoi sdviga*, Moskovski Aviaionnii Institut, 1977
5. JEON SANG-PYO, TANIGAWA Y., *Axisymmetrical Elastic Behavior and stress intensity factor for a nonhomogeneous medium with a penny-shaped crack*, JSME Int. Journal, series A, Vol.41, No.4, 1998
6. JHA M., CHARALAMBIDES G.P., *A finite element analzsis of fracture initiation in ductile/brittle periodically layered composites*, I.J.F. 90, 1998, p.299-323
7. JIA L., *A Dugdale-Barenblatt model for a plane stress semi-infinite crack under mixed mode concentrated forces*, I.J.F. 88, 1997, p. 153-166
8. JIAN N., MAO S., *Analysis of Asymmetric Kinked Cracks of Arbitrary Size, Location and Orientation, Part I: Remote Compression. Part II: Remote tension*, I.J.F. 89, 1998, p.19-57; 59-84
9. JIANG Q.Z., CHANDRA A., HUANG Y., *A hybrid micro-macro BEM with micro-scale inclusion-crack interactions*, I.J.S.S. Vol.33, Nr.16, 1996
10. JILKIN V.A., POPOV A.M., *Opredelenie trioh komponent tenzora deformații po dannim toliko odnogo deformirovannogo rastra*, P.P., Nr.5, 1977
11. JITNIAIA G.V., KOSMODAMIANSKII C.A., *Deistvie sosredotocennoi sili priloennoi k konturu krugovo otverstia. oslabliauščego poluploskosti*, K.N.Jv.2, p. 67-73
12. JOHNSON W., MELLOR P.B., *Teoriia plasticinosti dlia inženerov*, (trad. Din lb. Engl.), Moskva „Masinostroenie”, 1979
13. JOHNSTON G.O., *Statistical Scatter in Fracture Toughness and Fatigue Crack Growth Rate Data*, ASTM STP798, 1983, p.42-66
14. JONES I.S., *A Wide Range Weight Function for a Single Edge Cracked Geometry with Clamped Ends*, I.J.F. 89, 1998, p.1-18
15. JOO HO CHOI, BYUNG MAN KWAK, *Boundary integral equation method for shape optimization of elastic structures*, I.J.N.M.E., Vol.26, 1988, p.1579-1595
16. JOURIS G.M., *Probabilistic Evaluation of Conservatisms Used in Section III, Appendix G of the ASME Code*, ASTM, STP 798, 1983, p.7-18
17. JU W.J., SUN Z.L., *A Novel Formulation for the Exterior-Point ESHELBY's Tensor of an Ellipsoidal Inclusion*, Transactions of the ASME, Vol.66, 1999
18. JUBAEV N.J., *Odnomernie uprugoplasticeskie volni pri slojnom nagruženii*, Izd. “Nauka” Kazanskoi SSR, Alma-Ata, 1979

K

1. KABULOV K.V., *Integralnie uravneniia tipa balansa*, Izd. Akad. NAUK Uzbekskoi SSR Taškent, 1961
2. KACHANOV M., *Solids with cracks and non-spherical pores: proper parameters of defect density and effective elastic properties*, I.J.F. 97, 1999, p.1-32
3. KACHANOV M., TSUKROV I., SHAFIRO B., *Effective moduli of solids with cavities of various shapes*, A.M.R. vol. 47, no.1, part. 2, January 1994
4. KACHANOV M., *Elastic solid with many cracks and related problems*, Advan. in Appl.Mech., Vol.30, Acad.Press, 1993, p.259-445
5. KACHANOV M., SEVOSTIANOV I., *Explicit cross-property correlations for anisotropic two-phase composite materials*, J.M.P.S., vol.50, 2002, p. 253-282
6. KACIANOV L.M., *K kinetike rosta treščin*, P.M.M., Tom 25, Nr.8, 1961
7. KACIANOV L.M., *Osnovi mehaniki razrušenii*, Izd. “MIR”, Moskva, 1974
8. KACPRZYNSKI G.J., MAYNARD K., *Enhancement of Physics-of-Failure Prognostic Models with System Level Features*, papers/icce2002/PhysicsofFailure_ver1.doc
9. KADAŞEVICI I.Iu., MIHAILOV N.A., *Uciot microrazrušenje v teorii plasticinosti i palzucesti*, I.U.P. Nr.15, 1986, p.46-52
10. KATCHANOV L., *Éléments de la théorie de la plasticité*, Ed. MIR, Moscou, 1975
11. KASSEM MOHAMMED A., *Zur Bruchzähigkeit und deren Bestimmung*, 1974, 16, Nr.7, p.197-202
12. KALANDIYA A.I., *Mathematical Methods of Two-Dimensional Elasticity*, Moscow, Mir Publishers, 1975
13. KALANDIYA A.I., *Zamečaniia ob osobennosti uprugih vblizi uglov*, P.M.M., 1969, Vipusk 1, 1969, p.132-135
14. KALTHOFF J.F., BEINERT J., WINKLER S., *Measurements of dynamic stress intensity factors for fast running and arresting cracks in double-cantilever-beam specimens*. In: Fast Fracture and Crack Arrest, ASTM STP 627 (G.T. Hahn, M.F. Kanninen, eds.), 1977, p. 161-176
15. KAMEI A., YOKOBORI T., *Some Results on Stress Intensity Factors of the Cracks and or Slip Bonds System*, Reports of the Research Institute for Strength and Fracture Materials, Tohoku University, Sendai, Japan, 1974. Vol.10, p.29-93

16. KAMENŢEVA P.Z., ş.a., *Izmenenie fragmentaĭii v probleme plasticnosti: rezruĭeniia metallov*, I.U.P. Nr.15/ 1986, p.52-64
17. KAMINSKI M., *Symbolic computations for random fields using second order perturbation method*, Numerical Methods in Continuum Mechanics 2000, Liptovsky Ján, Slovak Republic
18. KAMINSKII A.A., GORELIK A.V., *Issledovanie kinetiki razvitiia treĭĭciny v viazko-uprugom voloknistom kompozitsionnom materiale*, P.M. Tom XVII, Nr.11, p.75-81
19. KAMINSKII A.A., *Ob odnom pribliĭennom metode reĭeniia uravneniia treĭĭciny v viazko-uprugoi srede*, P.M., Tom 13, Nr.8, 1977
20. KAMIYA N., KITA E., *Structural Optimization by an Adaptive Boundary Element Method*, Proceedings of the First Joint Japan/ U.S. Symposium on Boundary Element Methods, University Tokyo, Japan, 3-6 Oct. 1988
21. KANAUN S.K., *O modeli tociecinyh defectov v mehanike uprugoi neodnorodnoi sredi*, M.T.T. Nr.4/1982, p.109-118
22. KANNINEN M.F., *A solution for a dugdale crack subjected to a linearly varying tensile loading*, I.J.E.S. Vol.8, 1970, p.85-95
23. KANTOROVICI L.V., AKILOV G.P., *Analiză funcĭională*, (traducere din limba rusă), Ed. Şt. Şi Enciclopedică, Buc., 1986
24. KARABALIS D., *Formulation of 3D dynamic SSI analysis involving contact nonlinearities by time domain BEM-FEM*, Engineering Analysis with Boundary Elements, Nr.11, 1993, p.277-284
25. KARAPETIAN E., KACHANOV M., *On Calculation of SIF's for Circular and Moderately Non-Circular Cracks*, I.J.F. 92,1998, L21-L26
26. KARAPETIAN E., KACHANOV M., *Three-dimensional interactions of a circular crack with dipoles, centers of dilatation and moments*, I.J.S.S. Vol. 33, Nr.27, 1996, p.3951-3967
27. KARAPETIAN N.E., HANSON T.M., *Crack opening displacements and stress intensity factors caused by a concentrated load outside a circular crack*, I.J.S.S. Vol.31, Nr.15, 1994, p.2035-2052
28. KARIHALOO L.B., *Size Effect in Shallow and Deep Notched Quasi-Brittle Structures*, I.J.F. 95, 1999, p.379-390
29. KARIHALOO L.B., HUANG X., *Asymptotics of three-dimensional macrocrack-microcrack interaction*, I.J.S.S., Vol.32, Nr.11, 1995, p.1495-1500
30. KARPOV N.I., *Ob odnom podhode k reĭeniia kraevih zadaci matematicheskoj fiziki i ego primenenii v teorii plastin i sterjnei*, P.M., Tom XVII, Nr.7, 1981
31. KASSIR M.K., *On the distribution of thermal stresses around an elliptical crack in an infinite solid*, I.J.E.S. Vol.7, 1969, p.769-784
32. KAY N., BARUT A., MADENCI E., *Singular stresses in a finite region of two dissimilar viscoelastic materials with traction-free edges*, C.M.A.M.E. 191, 2002, p.1221-1244
33. KAYMAZ I., McMAHON C.A., *An approach to reliability analysis using the response surface method and Monte Carlo Simulation*, Proceedings of DETC '99, Sept.12-15, 1999, Las Vegas, Nevada
34. KEAT W., ş.a., *Inverse method of identification for three-dimensional subsurface cracks in a half-space*, I.J.F. 92, 1998, p.253-270
35. KECS W., *Complemente de matematici cu aplicaĭii în tehnică*, Editura Tehnică, Bucureşti, 1981
36. KECS W., *Elasticitate şi vâscoelasticitate*, Editura Tehnică, Bucureşti, 1986
37. KECS W., *Produsul de convoluĭie şi aplicaĭii*, Editura Academici R.S.R., Buc., 1978
38. KEER L.M., FREEDMAN J.M., *Tensile strip with edge cracks*, I.J.E.S., Vol.11, 1973, p.1265-1275
39. KHALED ABDEL-TAWAB, GREGORY J. RODIN, *Fracture Size Effects and Polycrystalline Inhomogeneity*, I.J.F. 93, 1998, p.247-259
40. KIKUCHI M., ş.a., *Fracture Analysis of Metal-Matrix Composite Materials*, Annual Report of ADVENTURE Project ADV-99-1, 1999, Science University of Tokyo
41. KILCEVSKI N.A., *Elemente de calcul tensorial şi aplicaĭiile lui în mecanică*, Editura Tehnică, Bucureşti, 1956
42. KIM A.S., BESSON J., PINEAU A., *Global and local approaches to fracture normal to interfaces*, I.J.S.S. 36, 1999, p.1845-1864
43. KISELEV V.A., *Ploskaia zadacia teorii uprugosti*, Moskva, "Viĭaia ŭkola", 1976
44. KIT G.S., *Obŭcii metod reĭeniia prostranstvennih zadaci teploprovodnosti i termouprugosti dlia tela s diskoobraznimi treĭĭcinami*, P.M., Tom XIII, Nr.12, 1977
45. KIT G.S., HAI V.M., *Prodolnii sdvig sloia s sistemoi priamolineinik treĭĭcin*, F.M.P.D.S., 1978, p.77-81
46. KPBAYASHI T., DALLY J.W., *Relation between crack velocity and stress intensity factor in birefringent polymers*. - In: Fast Fracture and Crack Arrest, ASTM STP 627 (G.T. Hahn, M.F. Kanninen, eds.), 1977, p. 257-273
47. KOCIN N.E., *Calculul vectorial şi introducerea în calculul tensorial*, Editura Tehnică, Bucureşti, 1954
48. KOGAN L., HUI Y.C., MOLKOV V., *Stress and induction field of a spheroidal inclusion or a penny-shaped crack in a transversely isotropic piezoelectric material*, I.J.S.S. Vol.33, Nr.19, 1996, p.2719-2737
49. KOITER V.T., *Obŭcnie teoremi teorii uprugoplasticeskih sred*, Moskva "I.L.", 1961
50. KONISHI Y., *On two coplanar cracks in an infinite transversely isotropic medium*, I.J.E.S., Vol.10, 1972, p.917-923
51. KONISHI Y., ATSUMI A., *Crack problem of transversely isotropic strip*, I.J.E.S., Vol.11, 1973, p.9-20
52. KOSMODAMIANSKII A.S., *Izghib anizotropnih plit s krivolineinimi otverstiiami*, P.M., Tom XVII, Nr.2, 1981
53. KOSMODAMIANSKII A.S., CERNIC V.I., *Napriajennoe sostoianie plastinki, oslabennoi dnumia ellipticeskimi otverstiiami s paralelinimi osiami*, P.M., Tom XVII, Nr.6, 1981
54. KOSTROV B.V., *Automodelinĭe zadaci o rasprostraneniia treĭĭcin kasatelinovo razrĭva*, P.M.M., Tom XXVIII, 1964
55. KOSTROV B.V., *Neustanovivŭŭesia rasprostraneniie treĭĭciny prodolnogo sdviga*, P.M.M., Tom XXX, 1966, p.1042-1049
56. KOSTROV B.V., *Osesimetricinaia zadaci o rasprostraneniia treĭĭciny normalnovo razrĭva*, P.M.M., Tom 28, 1964
57. KRISHNAMURTY A.V., NAGAMANI A., *Studies on Elastic Coupling Parameters of Fracture Modes in Orthotropic Materials*, I.J.F. 94, 1998
58. KRIVŨUN M., *Termouprugue sostoianie ploskosti s treĭĭcinoi vdoli gladkovo kontura*, P.M., Tom XIV, Nr.11, 1978
59. KRUTKOV Iu.A., *Tenzor funkĭii napriajenii i obŭcnie reĭeniia v statike teorii uprugosti*, Izd. Akad., Nauk SSSR, Moskva, 1949
60. KULIEV G.G., *K teorii ustoiĭivosti tel s treĭĭcinoi v sluĭiae ploskoi deformatii*, P.M., Tom XIII, Nr.12, 1977
61. KULIEV G.G., *Vliianie vida vneĭnih nagruzok na lokalnuiu poteriu ustoiĭivosti sostoiianiia ravnovesna polupostranstva vozle ŭentralnoi verticalnoi treĭĭciny*, Ukrainskoj Akademii, Kiev, 1978

62. KUMASAKA H., HIRASHIMA K., *Stress Distributions around Circular Inclusion in Infinite Plane for Nonlocal Elasticity. (Matrix and Circular Inclusion have the sSame Nonlocal Coefficients)*, JSME Int. Journal, Series A, Vol.39, Nr.2, 1996
63. KÜNTZ M., LAVALLEE P., MARESCIAL J.C., *Steady-state flow experiments to visualize the stress field and potential crack trajectories in 2D elastic brittle cracked media in uniaxial compression*, I.J.F. 92, 1998, p.349-357
64. KUSHCH I.V., *Elastic equilibrium of a medium containing a finite number of aligned spheroidal inclusions*, I.J.S.S. 33, Nr.8, 1996
1. LAKES, R.S., *Design Considerations for Negative Poisson's Ratio Materials*, ASME Journal of Mechanical Design 115, p. 696-700, 1993
2. LANDAU L., LIFCHITZ E., *Théorie de l'élasticité*, Edition MIR, Moscou, 1967
3. LAUŞNIC I.P., HAI M.V., *Triohmernaia zodacia termouprugosti dlia tela s periodiceskoi sistemoi disceobraznik treşcin*, P.M., Tom XVI, Nr.4, 1980
4. LAVRENTIEV A.M., LIUSTERNIK A.I., *Curs de calcul variaţional*, (trad. din lb. rusă), Ed. Tehn., Bucureşti, 1955
5. LAVŞNIK P.I., *Vzaimodeistvie proizvolino raspolojennih diskoobraznih treşcin nagrujennih kasatelinimi usiliiami*, FMPDS, 1978, p.58-65
6. LAZĂR I., *Metoda elementelor de frontieră în inginerie*, Presa Universitară Clujeană, Cluj-Napoca, 1997
7. LAZZARIN P., TOVO R., FILIPPI S., *Elastic Stress Distributions in Finite Size Plates with Edge Notches*, I.J.F. 91, 1998, p.269-282
8. LEBEDEV D.V., ş.a., *Otenka viazkosti razruşeniia konstrukcionnih stalei metodom kriticeskogo rascritiia treşcini*, P.P.Nr.11/1977
9. LEE DOO-SUNG, *Stress analysis of a stretched slab having a spherical cavity under unidirectional tension*, I.J.S.S. Vol.30, Nr.19, 1993
10. LEE JIN, HUAJIAN GAO, *A generalized Comninou contact model for interface cracks in anisotropic elastic solids*, I.J.F. 67, 1994, p.53-68
11. LEE JONGHEE, ş.a., *Dynamic Ductile Fracture of Aluminium SEN Specimens , an Experimental – Numerical Analysis*, I.J.F. 93, 1998, p.39-50
12. LEGUILLON D., *A Criterion for Crack Nucleation in Homogeneous Materials*, C.R.Acad.Sci.Paris, T.329, sér.IIb, p.97-102, 2001
13. LEHNITKII S.G., *Teoriia uprugosti anizotropnovo tela*, Moskva, 1950
14. LEI Y, O'DOWD N.P., *Weibull stress solutions for 2D cracks in elastic and elastic-plastic materials*, I.J.F. 89, 1998, p.245-268
15. LEMIDOVA I.I., *O primenenie metod fotouprugosti k issledovaniuu ostatocinik napriajenii v sostavnik telah*, I.U.P. Nr.15/1986, p.26-29
16. LEÓN S., PARIS F., *Analysis of thin plates on elastic foundations with boundary element methods*, Engineering Analysis with Boundary Elements, 1989, Vol.6, Nr.4, p.192-196
17. LESAIN P., RAVIART A.P., *Finite Element Collocation Methods for First Order Systems*, Mathematics of Computation Vol.33, Nr.147, July 1979, p.891-918
18. LEUNG A.Y.T., R.K.L. SU, *Eigenfunction expansion for penny-shaped and circumferential cracks*, I.J.F. 89, 1998, p. 205-222
19. LEUNG L.K., ZAVAREH B.P., BESKOS E.D., *2-D elastostatic analysis by a symmetric BEM/FEM scheme*, Engineering Analysis with Boundary Elements, Nr.15, 1995, p.67-78
20. L'HERMITE R.L., *Résistance des matériaux théorique et expérimentale*, Vol.I, Dunod, Paris, 1954
21. LI J., *Elastic-plastic study of a mixed mode semi-infinite crack by using the DUGDALE model*, I.J.F. 90, 1998, L27-L31
22. LI XIAN-FANG, FAN TIAN-YOU, *A new photoelastic approach to determine stress intensity factors*, I.J.F. 91, 1998, L3-L8
23. LI XIAN-FANG, FAN TIAN-YOU, *Stress Intensity Factors for a Planar Crack by the Self-Similar Crack Extension Method*, I.J.F. 90, 1998, L69-L74
24. LI X., KEER M.L., *A direct method for solving crack growth problems*, I – I.J.S.S. Vol. 29, Nr.22, 1992, p.2735-2747, II- Shear mode problems : I.J.S.S. Vol. 29, Nr.22, 1992, p.2749-2760
25. LI X., KEER M.L., *The growth of pressurized planar cracks between barriers*, I.J.S.S. Vol. 29, Nr.1, 1992
26. LIAH Y.U., *O hrupkom razruşenii gazonasişcernogo gornovo massivo*, P.M., Tom XVII, Nr.4, 1981
27. LIEBOWITZ H., JONES D.L., *Nekatorie nelineinieh efektov mehaniki razruşeniia*
28. LIEBOWITZ (redactor), *Fracture, an Advanced Treatise*, 1972, Academic Press, New-York, Vol.7: *Fracture of nonmetals and composites*, Cap.6. H.T. KORTEW: *Mehanika razruşeniia kompozitov*, p.367-471
29. LIEBETRAU A.M., SIMONEN F.A., *The Effect of Input Distributions on the Probabilistic Fracture Mechanics Analysis of Reactor Pressure Vessels*, ASME, PVP Vol. 92, 1984, p.35-55
30. LI-GUO ZHAO, YI-HENG CHEN, *T-stress of an Interface Macrocrack Induced by Near Tip Subinterface Microcracks*, I.J.F. 90, 1998, p.275-285
31. LIN G., MENG G.X., ş.a., *The effect of strength mis-match on mechanical performance og weld joints*, I.J.F. 96, 1999, p.37-54
32. LIN GUOYU, YUN-JAE KIM, ş.a., *Numerical Analysis of Ductile Failure of Undermatched Interleaf in Tension*, International Journal of Fatigue 91, 1998, p.323-347
33. LINKOV A.M., *O koncentraţii napriajenii v plaste*, Issledovaniia po uprugosti i plasticinosti, Sbornic 9, 1971, p.133-135
34. LINKOV A.M., KOSHELEV V.F., *Tip, Corner and Wedge Elements: A Regular Way to Increase Accuracy of the BEM*, IABEM 2002, International Association for Boundary Element Methods, Austin, USA, May 2002
35. LINNIK Iu. V., OSTRAOVSKII I. V., *Razlojenia sluciainih velicin i vector*, Izd. "Nauka", Moskva, 1972
36. LIU C., (ş.a.), *A study of the fracture behavior of unidirectional fiber-reinforced composites using Coherent Gradient Sensing (CGS) interferometry*, I.J.F. 90, 1998, p.355-382
37. LIU C., KNAUSS G.W., ROSAKIS J.A., *Loading Rates and the Dynamic Initiation Toughness in Brittle Solids*, I.J.F. 90, 1998, p.103-118
38. LIU D., FLECK A.N., *Scale Effects in the Initiation of Cracking of a Scarf Joint*, I.J.F. 95, 1999, p. 67-88
39. LIU T.C., SMITH W.C., WANG L., *Three-dimensional effects on stress intensity factors distributions and crack growth in motor gram models*, I.J.S.S. Vol.33, Nr.3, 1996

40. LOBODA V.V., SHEVELEVA E.A., *On the quasi-invariant phenomena in the axisymmetrical interface crack problem and its application to fixed and cylinder investigation*, I.J.S.S. Vol.32, Nr.1, 1999, p.117-125
 41. LOCKETT F.J., STAFFORD R.O., *On special constitutive relations in nonlinear viscoelasticity*, I.J.E.S. Vol.7, 1969, p.917-930
 42. LOMAKIN A.V., *O teorii deformirovanisa mikroneodnorodnih tel i ee svyazi s momentonoi teoriei uprugosti*, P.M.M. Tom XXX, Nr.5, 1966, p.875-881
 43. LORET B., BONNET M., *Méthodes d'équations intégrales régulières et singulières pour les structures géotechniques soumises à des sollicitations dynamiques*. Congrès : "Tendances actuelles en calcul des structures", Bastia, 1985 (Pluralis)
 44. LOUAT N., *Circular cracks in tension and torsion*, I.J.E.S., Vol.10, 1972, p.665-676
 45. LOUNIS Z., MARTIN-PEREZ B., HUNAIDI A.O., *Decision support tools for life prediction and rehabilitation of concrete bridge decks*, APWA International Public Works Congress, Philadelphia, Sep. 2001, www.nrc.ca/irc/uir/apwa
 46. LOWENGRUB M., *Stress distribution due to a Griffith crack at the interface of an elastic half plane and a rigid foundation*, I.J.E.S., Vol.11, 1973, p.477-488
 47. LOWENGRUB M., SNEDDON I.N., *The stress field near a Griffith crack at the interface of two bonded dissimilar elastic half-planes*, I.J.E.S., Vol.11, 1973, p.1025-1034
 48. LOWENGRUB M., SNEDDON I.N., *The effect of shear on a penny-shaped crack at the interface of an elastic half-space and a rigid foundation*, I.J.E.S., Vol.10, 1972, p.899-913
 49. LU JIAN-KE, *Complex Variable Methods in Plane Elasticity*, World Scientific, Singapore, 1995
 50. LU H., LARDNER J.T., *Mechanics of subinterface cracks in layered material*, I.J.S.S. Vol.29, Nr.6, 1992
 51. LUGOYOI P.Z., *O vlianii ortotropii na raspredelenie napriajenii vozle otverstii v koniceskoi obolocike*, P.M., 1978, Nr. 2
 52. LUND F., *Elastic forces that do no work and the dynamics of fast cracks*
 53. LUNGU DAN, GHIOCEL DAN, *Metode probabilistice în calculul construcțiilor*, Editura Tehnică, Buc., 1982
 54. LUO A.H., WANG Q., *Stress Concentrations in an Intermingled Hybrid Composite*, Trans. ASME, Vol.4, 1997
 55. LURIE A.I., *Teoriia uprugosti*, Izd. „Nauka”, Moskva, 1970
 56. LURIE V.M., *Primenenie variacionogo printipa dlia issledovanii razrăvov v spoynoi srede*, P.M.M. Tom XXX, vip.4, 1966, p.747-753
 57. LURIE M.V., *Ispolizovanie variacionnogo printipa dlia izuceniia rasprostrneniia novernostei razrăva v spleşnoi srede*, P.M.M. Tom XXXIII, 1969
 58. LURIE M.V., *Primenenie variotionnogo printipa dlia isledovanii razrăvovi spleşnoi srede*, P.M.M. Vîpusk 4, 1966
- M**
1. MADENCI E., SERGEEV B., SHKARAYEV S., *Boundary collocation method for multiple defect interactions in an anisotropic finite region*, I.J.F.94, 1998, p.339-355
 2. MADENCI E., BARUT A., NEMETH M.P., *A complex potential-variational method for stress analysis of unsymmetric laminates with an elliptical cutout*, J.A.M. 68, 2001, p. 731-739.
 3. MADENCI E., SERGEEV B., SHKARAYEV S., OPLINGER D.W., SHYPRYKEVICH P., *Analysis of composite laminates with multiple fasteners*, I.J.S.S. vol.35, no. 15, 1998, p. 1793-1811
 4. MAL A.K., *Interaction of elastic waves with a penny-shaped crack*, I.J.E.S. Vol.8, 1970, p.381-388
 5. MAL A.K., *Interaction of elastic waves with a Griffith crack*, I.J.E.S. Vol.8, 1970, p.763-776
 6. MALVERN E.L., *Introduction to the Mechanics of a Continuous Medium*, Prentice-Hall Inc., Englewood Cliffs, New Jersey, 1969
 7. MANAHAN M.P., STONESIFER R.B., *Probabilistic Fracture Mechanics Assessment of BWR Control Rod Drive Penetrations*
 8. MANOLIS G., BESKOS D.E., *Boundary element methods in elastodynamics*, London, 1988, ed. Unwin Hyman
 9. MARCHOUK G., *Methodes de calcul numerique*, (trad. din lb. rusă), Edition MIR, Moscou 1980
 10. MAREK P., KREJSA M., *Performance Based Structural Reliability Assessment Using SBRA as a Tool*, 8th ASCE Speciality Conference on Probabilistic Mechanics and Structural Reliability, PMC2000-088
 11. MARINESCU G., *Analiză numerică*, Editura Academiei R.S.R., Bucureşti, 1974
 12. MARINESCU G., *Tratat de analiză funcţională*, Editura Academiei R.S.R., Bucureşti, Vol.I-1970; Vol.II-1972
 13. MARRIOTT D.L., *Evaluation of the Limitations of Probabilistic Fracture Mechanics in Risk Assessment*, ASME, PVP Vol.92, 1984, p.197-209
 14. MARSDEN E. JERROLD, HUGHES J.R. THOMAS, *Mathematical Foundations of Elasticity*, Prentice-Hall, New Jersey, 1983
 15. MARŞAVINA L., *Metode numerice în mecanica ruperii*, Ed. Mirton, Timişoara, 1998
 16. MARŞAVINA L., *Factorul de intensitate a tensiunii pentru platbanda cu orificiu circular din care se dezvoltă o fisură*, Buletinul ARMN Nr.7, 1999, p.5-9
 17. MATEHIN A.N., *Integralniie uravneniia v napriajeniiah dlia ploskoi deformații*, I.U.P. Nr.15/1986, p.79-82
 18. MATYSIAK J.S., PAUK J.V., *On crack problem in an elastic ponderable layer*, I.J.F. 96, 1999, p.371-380
 19. MAVRIS N.D., BANDTE D., *Comparison of two probabilistic techniques for the assessment of economic uncertainty*, 19th annual conference of the International Society of Parametric Analysis in New Orleans, May 1997
 20. MAVRIS N.D., BANDTE D., *A probabilistic Approach to Multivariate Constrained Robust Design Simulation*, 1997, Society of Automotive Engineers
 21. MAY G.B., KOBAYASHI A.S., *Plane stress stable crack growth and J-integral-HRR field*, I.J.S.S., Vol.32, Nr.6/7, 1995, p.857-881
 22. MAYER OCTAV, *Teoria funcțiilor de o variabilă complexă*, Editura Academiei R.S.R., Bucureşti, 1981
 23. MAZILU P., SBURLAN S.F., *Metode funcționale în rezolvarea ecuațiilor Teoriei elasticității*, Editura Academiei R.S.R., Bucureşti, 1973
 24. McFEE S., WEBB J.P., *Computational Analysis and Design Laboratory*, IEEE T.M. Vol.29, Nr.2, March 1993, p.1894-1897
 25. MEDA G., MESSNER T.W., SINCLAIR G.B., SOLECKI J.S., *Path Independent H-Integrals for Three-Dimensional Fracture Mechanics*, I.J.F. 94, 1998, p.217-234
 26. MEGUID S.A., WANG X.D., *The dynamic interaction of a microcrack with a main crack under antiplane loading*, I.J.S.S., Vol. 31, Nr.8, 1994

27. MEGUID S.A., WANG X.D., *Dynamic Antiplane Behaviour of Interacting Cracks in a Piezoelectric Medium*, I.J.F. 91, 1998, p.391-403
 28. MEHTA S., CHAUDHRY H.R., *Thermoelastic stresses in rotation of a circular cylinder in finite deformation theory*, I.J.E.S. Vol.7, 1969, p.747-755
 29. MEISNER M.J., KOURIS D.A., *Interaction of two elliptic inclusions*, I.J.S.S., Vol.32, Nr.3/4, 1995, p.451-466
 30. MERKULOV U.A., *Izhib plastin s periodiceskoi sistemoi razrezov*, M.T.T., Nr.4, 1982, p.187
 31. MICULA Gh., *Funcții spline și aplicații*, Editura Tehnică, București, 1978
 32. MIHAILOV I.A., *Hrubkoe razrušenje elementov stalnih konstrukcii*, Moskva, Stroizdat, 1986
 33. MIHLIN G.S., *Variationnie metodi v matematicheskoj fizike*, Moskva, 1957
 34. MILLER O., *Modeling and simulation of dynamic fragmentation in brittle materials*, I.J.F. 96, 1999, p.101-125
 35. MILNE-THOMSON L.M., *Plane Elastic System*, Springer Verlag, 1960
 36. MILNE-THOMSON L.M., *Antiplane Elastic System*, Springer Verlag, 1962
 37. MILOVANOV D.B., DIȘELI M.Ș., *Ustoicivosti tonkih plastin s naklonno raspolojennim razrezom pri rastiajenii*, P.M., Tom XVI Nr.4, 1980
 38. MÎNDRU GH., RĂDULESCU M.M., *Analiza numerică a câmpului electromagnetic*, Ed. Dacia, Cluj, 1986
 39. MING YUAN HE, EVANS G.A., HUTCHINSON W.J., *Crack deflection at an interface between dissimilar elastic materials: role of residual stresses*, I.J.S.S. Vol.31, Nr.34, 1994
 40. MINNETYAN L., HUANG D., CHAMIS C.C., *Probabilistic fatigue life evaluation of composite structures*
 41. MIRONENKO N.I., *Napriajennoe sostoianie polosi s odnim ili dvumia uprugonodkreplennimi krugovimi otverstiami*, M.T.T., Nr.6, 1982, p.73-80
 42. MIRSALIMOV V.M., *Reșenie zadaci termo uprugosti dlia izotropnoi sredi, oslabennoi periodiceskoi sistemoi kruglih otverstii i priamolineinâmi treșcinami*, P.M., Tom XVII, Nr.1, 1981
 43. MIȘICU M., *Mecanica mediilor deformabile. Fundamentele elasticității structurale*, Ed. Acad.R.S.R., Buc., 1967
 44. MIȘICU M., TEODOSIU C., *Reșenie pri pomoșci teorii funcții kompleksnogo peremennogo staticeski ploskoi zadaci teorii uprugosti dlia neodnorodnih izotropnih tel*, P.M.M., Vol. 2, 1966
 45. MIȘURIS S.G., *Ploskaia zadacia teorii uprugosti dlia sloistoi sredi s polubeskonecinoi treșcimoi, perpendikuliarnoi granițe razdela sloev*, I.U.P. Nr.15/1986, p. 82-96
 46. MOCANU D.R. (colectiv), *Analiza experimentală a tensiunilor*, Vol. I,II, Editura Tehnică, Buc., 1977
 47. MOCANU GH., *Introducere în teoria funcțiilor complexe*, Vol. I, II, Editura Universității din București, 1996
 48. MOCANU GH., STOIAN GH., VIȘINESCU E., *Teoria funcțiilor de o variabilă complexă. Culegere de probleme*, Editura Didactică și Pedagogică, Buc., 1970
 49. MOGILEVSKAYA S.G., *Numerical modeling of 2-D smooth crack growth*, I.J.F. 87, 1997, p.389-405
 50. MOGILEVSKAYA S.G., CROUCH S.L., WANG J., *A Galerkin Boundary Integral Method for an Elastic Plane with Multiple Inclusions, Holes and Cracks*, University of Minnesota, U.S.A., 2002
 51. MOLINARIA A., ELMOUDEN M., *The problem of elastic inclusions at finite concentration*, I.J.S.S. Vol. 33, Nr. 20-22, 1996, p.3131-3150
 52. MOON H.J., EARMME Y.Y., *Calculation of Elastic T-Stresses Near Interface Crack Tip under In-Plane and Anti-Plane Loading*, I.J.F. 91, 1998, p.179-195
 53. MORAN BRIAN, SUKUMAR N., *Failure prediction methodology/ Fatigue reliability*
 54. MOROZOV E.M., *Energeticeskoe uslovie rosta treșcin v uprugo-plasticesnih telah*, Dokladi Akademii Nauk SSSR, Tom 187, Nr.1, 1969
 55. MORRIE D.H., G. DE VRIES, *An introduction to finite element analysis*, London, 1978
 56. MOSAKOVSKII V.I., RABKA M.T., *Obobșcenie kriteriia Griffitsa-Sneddona na slucaii neodnorodnovo tela*, P.M.M., T.28, 1964
 57. MOSLER J., MESCHKE G., *3D FE Analysis of Cracks by Means of the Strong Discontinuity Approach*, European Congress on Computational Methods in Applied Sciences and Engineering ECCOMAS 2000, Barcelona, Sept. 2000
 58. MOSZYNSKI K., *Metode numerice de rezolvare e ecuațiilor diferențiale ordinare*, Editura Tehnică, Buc., 1973
 59. MÜLLER H.W., ș.a., *A semi-infinite crack in front of a circular, thermally mismatched heterogeneity*, I.J.S.S. Vol.33, Nr.5, 1996
 60. MUNTEAN C., *Utilizarea funcțiilor complexe în studiul stării plane*, Referat doctorat Nr.1, 1999
 61. MUNTEAN C., *Teoria concentratorilor de tensiune*, Referat doctorat Nr.2, 2001
 62. MUNTEAN C., *Metode numerice aplicate în studiul concentratorilor de tensiune*, Referat doctorat Nr.3, 2001
 63. MUNTEAN C., *Implementarea funcțiilor de modelare de tip spline în metoda elementelor de frontieră*, A XXVII-a Conf. Naț. De Mecanica Solidelor, 2003, Bul. Șt. Al Univ. din Pitești (în curs de publicare)
 64. MUNTEAN C., *Rezultate noi privind rezolvarea unei ecuații Laplace cu metoda elementelor de frontieră utilizând un procedeu adaptiv*, Bul. Șt. al Univ. Politehnica Timișoara, Seria Mecanică, Tom 48 (62), 2003
 65. MUNTEAN C., *Un algoritm adaptiv pentru aproximarea spline a curbelor plane din metoda elementelor de frontieră*, Simp. Internaț. ELFIN 6, organizat de SIAC, 2003
 66. MUNTEANU GH. M., *Aplicarea pe calculator a metodei elementului finit*, Lito. Universitatea din Brașov, 1979
 67. MUR G., *Edge elements, their advantages and their disadvantages*, IEEE T.M. Vol.30, Nr.5, September 1994, p.3552-3555
 68. MURA T., SHODJA M.H., HIROSE Y., *Inclusion problems*, A.M.R., Vol.49, Nr.10, Part 2, 1996
 69. MUSHELISHVILI N.I., *Nekotorie osnovie zadaci matematicheskoj teorii uprugosti*, Izd.“Nauka”, Moskva, 1966
 70. MUSHELISHVILI N.I., *Singular Integral Equations*, Wolters-Noordhoff Publ., Groningen, Netherlands, 1972
1. NADAI A., *Theory of Flow and Fracture of Solids*, Izd. “MIR, Moskva, 1969, Tom 2
 2. NAHTA R., MORAN B., *Domain integrals for axisymmetric interface crack problems*, I.J.S.S., Vol.30, Nr.15, 1993
 3. NAITO K., FUJII T., *Fatigue-fractured surfaces of epoxy adhesives and fructals under mode i cyclic loading*, J.S.M.E., Int Journal. Series A. Vol.41, Nr.3, 1998

4. NAKAMURA T., PARKS M.D., *Determination of elastic T-stress along three-dimensional crack fronts using an interaction integral*, I.J.S.S., Vol.29, Nr.13, 1992
 5. NAKAMURA T., SAITO K., ARAKI S., *Effect of a Microdefect ahead of a Main Crack on Strength of Solids, (Exact Solution of the Main Crack-Microdefect Interaction Model)*, JSME International Journal, Series A, Vol.39, Nr.2, 1996
 6. NAZAROV A.S., SEMENOV N.B., *Asimptotica rešenja zadaci mehaniki trescin v momentnoi postanovke*, I.U.P. Nr.15/1986, p.118-135
 7. NEMIROVSKII I.U.V., MIRENKOV V.E., *Ob issledovanii napriajenovo sostoiania v plastinke vipuklim poligonalnim otverstiem*, P.M. Tom 14, Nr.1, 1978
 8. NEMIŞ V.N., *K obosnovaniiu metoda vozmušcentiia triohmernih zadaciuh mehaniki deformiruemih sred*, P.M., Tom 13, Nr.12, 1977
 9. NEMIŞ V.N., *Raspredelenie napriajenii okolo zamknutih osesimetricinih polostei i vklucenii pri krucenii*, P.M., Tom XIII. Nr.11, 1977
 10. NEUBER H., *Kerbspannungslehre*, Springer Verlag, Berlin, 1985
 11. NICHOLS R.W., BURDEKIN F.M., COWAN A., ELLIOTT D., INGHAM T., *The Use of Critical Crack Opening Displacement Techniques for the Selection of Fracture Resistant Materials*, In: "Proceedings of the Symposium on Fracture Concepts for Weldable Structural Steel", Risley, April 1969, Editor: M.O. DOBSON
 12. NICOLESCU L.J., STOKA M.I., *Matematici pentru ingineri*, Vol. I, II, Editura Tehnică, Bucureşti, 1971
 13. NINGSHENG Z., PAUL F.J., *A Nonlinear Finit Element Eigenanalysis of Singular Plane Stress Fields in Bimaterial Wedges Including Complex Eigenvalues*, I.J.F. 90, 1998, p.175-207
 14. NISHIOKA T., *Computational dynamic fracture mechanics*, I.J.F. 86, 1997, p.127-159
 15. NISHIOKA T., *Concepte de bază și dezvoltări recente în mecanica ruperii dinamice*, Mecanica Ruperii – Bul. ARMR, part.I: Nr.8/2000, p.4-11, part.II: Nr.9/2000, p.2-7
 16. NISHIOKA T., KATO T., *An alternating method based on the VNA solution for analysis of damaged solid containing arbitrarily distributed elliptical microcracks*, I.J.F. 89, 1998, p.159-192
 17. NOBLE B., HUSSAIN M.A., *Exact solution of certain dual series for indentation and inclusion problems*, I.J.E.S. Vol.7, 1969, p.1149-1161
 18. NODA N., ASHIDA F., *Thermal shock in a transversely isotropic cylinder containing an annular crack*, I.J.S.S., Vol. 30, Nr.3, 1993, p.427-440
 19. NODA N., JIN ZHI-HE, *Thermal stress intensity factors for a crack in a strip of a functionally gradient material*, I.J.S.S., Vol. 30, Nr.8, 1993, p.1039-1056
 20. NODA N., WANG Q, (ș.a.), *Singular Integral Equation Method in the Analysis of Interaction between Rectangular Inclusions*, JSME Int. J., Series A, 40, Nr.3, 1998
 21. NORRIE H.D., G deVRIES, *An introduction to finite element analysis*, London, 1978
 22. NOVIJLOV V.V., *K osnovom teorii ravnovesnih trescin v uprugih telah*, P.M.M., Tom XXXIII, 1969
 23. NOVIJLOV V.V., *O neobhodimom i dostatocinom kriterii hrupkoi procinosti*, P.M.M., Tom XXXIII, 1969
 24. NOVIJLOV V.V., *O plasticeskom razrihnenii*, P.M.M., Tom XXIX, 1965
 25. NOVIJLOV V.V., *Teoriia uprugosti*, Sudpromgiz, Leningrad, 1957
 26. NOWAK J.A., BREBBIA A.C., *The Multiple-Reciprocity Method. A New Approach for Transforming BEM Domain Integrals to the Boundary*, Engineering Analysis with Boundary Elements, 1989, Vol.6, Nr.3
 27. NULLER B., KARAPETIAN E., KACHANOV M., *On the Stress Intensity Factor for The Elliptical Crack*, I.J.F. 92, 1998, L17-L20
- O**
1. OCHI M., HATO S., ABE T., *Numerical analysis of deformation of rubber composite material (Tensile deformation under plane strain)*, JSME Int. Journal, Series I, Vol.35, Nr.4, 1992
 2. OCHIAI YOSHIHIRO, *Generation method of distributed data for FEM analysis*, JSME Int. J., Series A, Vol.39, Nr.1, 1996
 3. OLARIU V., PREPELIŢĂ V., *Teoria distribuțiilor, funcții complexe și aplicații*, Editura Științifică și Encicl., Buc., 1986
 4. OLESIAK Z., SNEDDON I.N., *The distribution of surface stress necessary to produce a penny-shaped crack of prescribed shape*, I.J.E.S. Vol.7, 1969, p.863-873
 5. OLSZAK WACLAW, PIOTR PERZYNA, ANTON SAWCZUK, *Teoria plasticității*, Editura Tehnică, Bucureşti, 1970
 6. OLTEANU N.Gh., PÂRVU E.A., *Metode de discretizare a continuului în vederea rezolvării diferitelor tipuri de probleme de mecanică*, Vol.II. Metoda elementelor finite, I.N.I.D., Bucureşti, 1972
 7. ONICESCU O., *Principiile teoriei probabilităților*, Editura Academiei R.S.R., Bucureşti, 1969
 8. ONICESCU O., *Probabilități și procese aleatoare*, Editura Științifică și Enciclopedică, Bucureşti, 1977
 9. ONUKI T., WAKO S., *Novel boundary element formulation in hybrid FE-BE method for electromagnetic field computations*, IEEE T.M., Vol.28, Nr.2, March 1992, p.1162-1165
 10. ONUKI T., WAKO S., HATTORI T., *Hybrid finite and boundary element method applied to nonlinear magnetic field analysis*, IEEE T.M. Vol.30, Nr.5, September 1994, p.2908-2911
 11. OSADCIUK A.V., *Sistema prodolinih trescin razlicinoi dlini v pologoi tilindricheskoj obolocike*, FMPDS, 1978, p.45-51
 12. OSADCIUK A.V., *Uprugoe ravnovenii zamknutoi obolociki s sistemoi raspolojennih paralelinih trescin*, FMPDS, 1978, p.51-58
 13. OSADCIUK V.A., ș.a., *Napriajennoe sostoianie neodnorodnoi pologoi sfericeskoj obolociki s trescinoi*, P.M., Tom 13, Nr.6, 1977
 14. OSMOLOVSKII G.V., *Variacionaia zadacia ob ustoiçivosti trescinii*, I.U.P. Nr.15/1986, p.135-146
 15. OWEN M.D., ș.a., *Experimental Determination of Dynamic Crack Initiation and Propagation Fracture Toughness in Thin Aluminium Sheets*, I.J.F. 90, 1998, p.153-174
 16. OZTURK M., ERDOGAN F., *Axisymmetric crack problem in bonded materials with a graded interfacial region*, I.J.S.S. Vol. 33, Nr.2, 1996
 17. O'DOWD N.P. and BUDDEN P.J., *The effects of mismatch on J and C* for interfacial cracks in plane and cylindrical geometries*, din *Mis-Matching of Interfaces and Welds*, editat de SCHWALBE K.H. & KOÇAK, 1997, p.221-232.

18. O'DOWD N.P., BUDDEN P.J. and GRIFFITHS E.R.J. *Finite element analysis of a bi-material specimen under elastic-plastic loading*.
 19. O'DOWD N.P., *Applications of two parameter approaches in elastic-plastic fracture mechanics* E.F.M. 52, Nr.3, 1995, p.445-465
 20. O'DOWD N.P., LEI Y., BUSO E.P., *Prediction of cleavage failure probabilities using the Weibull stress*. E.F.M. Vol. 67, 2000, p.87-100.
 21. O'DOWD N.P., KOLEDNIK O., NAUMENKO V.P., *Elastic-Plastic analysis of biaxially loaded center-cracked plates*, I.J.S.S. 36, 1999, P. 5639-5661
 22. O'DOWD N.P., LEI Y., WEBSTER G.A., *Fracture Mechanics analysis of a crack in a residual stress field*
 23. O'DOWD N.P., LEI Y., WEBSTER G.A., *The effect of residual stresses on the fracture behaviour of a ferritic steel*
 24. O'DOWD N.P., LEI Y., WEBSTER G.A., *Estimation and defect assessment for combined residual stress and mechanical loading*
- P**
1. PACOSTE C., STOIAN V., DUBINĂ D., *Metode moderne în mecanica structurilor*, Ed. Științifică și Enciclopedică, Buc., 1988
 2. PALAZZO V., ROSATI L., VALOROSO N., *Computational Issues of General Isotropic Elastoplastic Models*, European Congress on Computational Methods in Applied Sciences and Engineering, ECCOMAS 2000, Barcelona, Sept.2000
 3. PAN E., *A general boundary element analysis of 2-D linear elastic fracture mechanics*, I.J.F. 88: 41-59, 1997
 4. PAN J., SHIH F.C., *Elastic-plastic analysis of combined mode I, II and III crack-tip fields under small-scale yielding conditions*, I.J.S.S., Vol.29, Nr.22, 1992, p.2795-2814
 5. PANĂ T., *Aplicații ingineresti ale mecanicii ruperilor*, Editura Tehnică, Buc., 1974
 6. PANĂ T., *Mecanica ruperii materialelor*, Editura T.Pană et Co. SNC, Buc., 1992
 7. PANASIUK V.V., *Predelinoe ravnovesie hrupkih tel s treščinami*, Izd. "Naukova Dumka", Kiev, 1968
 8. PANASIUK V.V., ș.a., *Osesimetricinaia uprugaa zadacia dlia poluprostranstra s tonkim vkluceniem*, M.T.T. Nr.2/1982, p.65-69
 9. PANASIUK V.V., ANDREIKIV A.E., *K teorii opredelenia kriticeskovo raskritia treščini*, Izd. An. SSSR, Mchanika i mašinstroicnic, Nr.1, 1959
 10. PANASIUK V.V., ANDREIKIV A.E., STADNIK M.M., *Dolgovcemosti kvasihrupkogo tela s vnutrennoi treščinnoi blizkoi v plane k krugovoi pri tkliceskoi nagruženii*, P.P., Nr.5, 1977
 11. PANASIUK V.V., SAVRUK M.P., DAȚIȘIN A.P., *Dvoiakoperiodiceskaia zadacia teorii treščin*, P.P., Nr.12, 1976, p.63-68
 12. PANASIUK V.V., SAVRUK M.P., DAȚIȘIN A.P., *Raspredelenie napriajenii okolo treščin v plastinah i obolocikah*, Kiev, "Naukova Dumka", 1976
 13. PANASIUK V.V., SAVRUK M.P., SOLTIS I.F., *Periodiceskaia zadacia termouprugosti dlia tela s termoizolirovannimi treščinami*, P.P., Nr.7, 1976
 14. PANASIUK V.V., STADHUK M.M., SILOVANIUC V.P., *Koncentrația napriajenii v trohmersih telah c tonkimi vkluceniiami*, Kiev, "Naukova Dumka", 1986
 15. PANASIUK V.V., VITVIŢKII P.M., KUTENI S.I., *Uprugo-plasticeskoe ravnovesie plastinki s prikraevoi treščinnoi*, P.M., T.15/1
 16. PARIHAR S.K., RAO KRISHNA S.V.J., *Axisymmetric stress distribution in the vicinity of an external crack under general surface loadings*, I.J.S.S. 30, Nr.18, 1993
 17. PARIS PAUL, *Concepts in Fracture Mechanics*, Course Notes from TV Course, St. Louis, 1985
 18. PARK Y.G., JUNG H., HAHN S., *An adaptive boundary element method for 3-D eddy current computation using local error estimation*, IEEE T.M. Vol.30, Nr.5, September 1994, 3543-3546
 19. PARTON V., PERLINE P., *Équations intégrales de la théorie de l'élasticité*, Izd., "MIR", Moscow, 1977
 20. PARTON V., PERLINE P., *Méthodes de la théorie mathématique de l'élasticité*, Vol. I, II, Izd., "MIR", Moscou, 1983
 21. PASCARIU I., *Elemente finite. Concepții-Aplicații*. Editura Militară, București, 1985
 22. PASTRAMĂ D.Ș., *Contribuții la studiul tensiunilor și al factorului de intensitate al tensiunii la învelișuri cu fisuri de suprafață*, Teză de doctorat, 1997, Univ. Polit., Buc.
 23. PASTRAMĂ D.Ș., *O nouă abordare a metodei funcției de pondere în mecanica ruperii*, Bulctinul ARMN Nr.5, 1998, p.8-12
 24. PAULINO H.G., SAIF A.T.M., MUKHERJEE S., *A finite elastic body with a curved crack loaded in anti-plane shear*, I.J.S.S., Vol.30, Nr.8, 1993, p.1015-1037
 25. PAVEL PARASCHIVA RUS A.I., *Ecuatii diferențiale și integrale*. Editura Didactică și Pedagogică, Buc., 1975
 26. PELEH B.L., *Koncentrația napriajenii okolo otverstii pri izghibe transversalno izotropnih plastin*, Kiev "Naukova Dumka", 1977
 27. PELEH B.L., LAZIKO V.A., MAHNIŢKII R.N., *Koncentrația napriajenii vozle krugovo otverstia v ortotropnih plastinkah s uciotom deformații sdviga*, P.M., Tom XII, Nr.6, 1979, p.62-86
 28. PELEH B.L., LAZIKO V.A., POLEVOI B.N., *Procinosti transversalno-izotropnoi plastinki s ellipticeskim virezom v staționarnem temperaturnom pole*, P.P., Nr.5, 1977, p.17-18
 29. PELEH B.L., POLEVOI B.N., *Razrešaiușcie uravnennia termouprugosti transversalno izotropnih obolocek v complexnoi forme i ih priloenia v zadaciuh koncentrații napriajenii*, P.M., Tom XIII, Nr.7, 1977
 30. PELEH B.L., SIASKII A.A., *Raspredelenie napriajenii vozle otverstii v podatlivih na sdvig anizotropnih obolocikah*, Izd. "Naukova Dumka", Kiev, 1975
 31. PENG SHOUKANG, HAO PAN, *Reinvestigation of Elastic-Plastic Growth of Mode III Cracks in POWER Law Hardening Materials*, I.J.F. 88, 1997
 32. PETCU V., SOARE M., SVASTA C., *Automatizarea calculului de rezistență în construcții. Programe BASIC*, Ed.Tch.,Buc.,1989
 33. PETERSON R.E., *Stress concentration factors*, John Wiley & Sons, New-York, 1974
 34. PETRILA TITUS, GHEORGHIU I.C., *Metode element finit și aplicații*, Editura Academiei R.S.R., Buc., 1987
 35. PETROV V. Iu., *Ob opredelenii formi ravnoprocinih koņov tonkovo vireza v usloviiah kruceniia*, I.U.P. Nr.15, 1986, p.158-163
 36. PICU R.C., *Stress singularities at vertices of conical inclusions with freely sliding interfaces*, I.J.S.S. Vol.33, Nr.17, 1996
 37. PISARENKO G.S., NAUMENKO V.P., VOLKOV G.S., *K apredeleniiu koeffi- fienta intensivnosti napriajenii v obraze s bokovimi pazami*, P.P., Nr.10, 1977

38. PISARENKO G.S., NAUMENKO V.P., VOLKOV G.S., *Vlianie stesnennosti deformatii na viazkosti razryuenia plasticinih stalei*, P.P., Nr.11, 1977, p.45-50
 39. PISSARENKO G., YAKOVLEV A., MATVEEV V., *Aide mémoire des matériaux*, Editions "MIR", Moscou, 1979
 40. POBEDRIA B.E., ŞEŞENIN S.V., HOLMATOV T., *Zadacia v napriajenii*, Taşkent, Izd. "FAN", Uzbeckskei SSR, 1988
 41. PODGORNÏ A.N., GUZI I.S., MILEŞKIN M.B., *Issledovanie zakonornosti razvitiia i tormojeniia bîstrîh treşcin pri razryuenii sloistah metallicheskih materialov*, P.P., Nr.1, 1977, p.9-13
 42. PODGORNÏ A.N., MARCENKO G.A., PUSTÏNNIKOV V.I., *Osnovi i metodi prikladnoi teorii uprugosti*, Kiev, "Vişia Şkola", 1981
 43. PODILCIUK Iu.N., KOBZARI IU.M., *O konţentracii napriajenii v transversalino izotropnoi srede voze ghiperboloidalnoi vitociki*, P.M., Tom XVII, Nr.11
 44. PODILCIUK Iu.N., *O napriajenom sostoionii s jestkim ellipsoidalinîm vkluceniem*, P.M., Tom XV, Nr.10, 1979
 45. POKLUDA JAROSLAV, *Tortuous Cracks under Remote Mode I: The Statistical LEFM Approach*, Zeszyty Naukowe Politechniki Opolskiej, Seria: Mechanika z.67, Nr. Kol. 264, 2001
 46. POLOJII G.N., *Teoriia i primenenie p-analiticeskih i(p,q)-analiticeskih funkţii*, Kiev, "Naukova Dumka", 1973
 47. PONOMARIOV S.D., ş.a., *Calculul de rezistenţă în construcţia de maşini*, (traducere din limba rusă), Editura Tehnică, Bucureşti, Vol.I-1960, Vol.II-1963, Vol.III-1964
 48. POSEA N., *Rezistenţa materialelor*, Editura Didactică şi Pedagogică, Bucureşti, 1979
 49. POVSTENKO IU. Z., *Raspredelenie napriajenii i konţentracii primesei v pripoverhnostnom sloe na graniţe tvordogo tela. obuslovlennoe skacikoobraznîm izmeneniem povernostnoi energii*, P.M., Tom XVII, Nr.4, 1981
 50. POTERAŞU F.V., MIHALACHE N., *Elemente de contur. Aplicaţii*, Editura Militară, Bucureşti, 1992
 51. POVSTENKO V. Iu., *Uprugoe vzaimodeistvie tocecinoĝo defekta s treşcinoi*, FMPDS, 1978, p.73-77
 52. POUYA AHMAD, *Une transformation du probleme de l'élasticité linéaire en vue d'application au problème de l'inclusion et aux fonctions de Green*, C. R. Acad. Sci., Paris. T.328, Série lib, p.437-443, 2000
 53. PRASAD V.N.N., ALIABADI H.M., *The dual boundary element method for transient thermoelastic crack problems*, I.J.S.S. Vol.33, Nr.19, 1996
 54. PRECUPANU T., *Spaţii liniare, topologice şi elemente de analiză complexă*, Ed. Acad. Române, Bucureşti, 1992
 55. PROŢENKO A.M., *Teoriia uprugo-idealoplasticesohih ħrobab*, Izd. "Nauka", Moskva, 1982
- Q**
1. QIN QING-HUA, *Thermoelectroelastic Green's Function for a Piezoelectric Plate Containing an Elliptical Hole*, Mechanics of Materials 30, 1998, p.21-29
 2. QIN QING-HUA, *Thermoelectroelastic Green's Function for a Thermal Load Inside or on the Boundary of an Elliptic Inclusion*, Mechanics of Materials 31, 1999, p.611-626
 3. QIN QING-HUA, *Thermoelectroelastic solution for elliptic inclusions and application to crack-inclusion problems*, Applied Mathematical Modelling 25, 2000, p.1-23
 4. QIN Q-H, *GREEN function and its application for a piezoelectric plate with various openings*, Archive of Applied Mechanics 69, 1999, p.133-144
 5. QIN Q-H, *Thermopiezoelectric interaction of macro- and micro-cracks in piezoelectric medium*, Theoretical and Applied Fracture Mechanics 32, 1999, p.129-135
 6. QIN Q-H, *General solutions for thermopiezoelectrics with various holes under thermal loading*, I.J.S.S. 37, 2000, p.5561-5578
 7. QIN Q-H, YU S.W., *Fracture and damage analysis of a cracked body by a new boundary element model*, Communications in Numerical Methods in Engineering, Vol. 13, 1997, p.327-336
 8. QIN Q-H, YU S.W., *Effective moduli of piezoelectric material with microcavities*, I.J.S.S. 35, Nr.36, 1998, p.5085
 9. QIN Q-H, MAI Y-W, *A closed crack tip model for interface cracks in thermopiezoelectric materials*, I.J.S.S. Vol. 36, 1999, p.2463-2479
 10. QIN Q-H, MAI Y-W, YU S.W., *Some problems in plane thermopiezoelectric materials with holes*, I.J.S.S. 36, 1999, p.427-439
 11. QU X., VENKATARAMANS., HAFTKA R.T., JOHNSON T.F., *Deterministic and Reliability-based Optimization of Composite Laminates for Cryogenic Environments*, Published by the American Institute of Aeronautics and Astronautics
- R**
1. RABOTNOV I.N., *Mehanika deformiruenovo tvordovo tela*, Moskva "Nauka", 1979
 2. RACOVEANU N., DODESCU GH., MINCU T., *Metode numerice pentru ecuatii cu derivate parţiale de tip probabilistic*, Editura Tehnică, Bucureşti, 1976
 3. RAHMAN M., *Some Problems of a Rigid Elliptical Disk-Inclusion Bonded Inside a Transversely Isotropic Space: Part I, II*, Transactions of the ASME, Vol.66, 1999
 4. RANESTAD O, ş.a., *Two-Parameter (J-M) Description of Crack Tip Stress-Field for an Idealized Weldment in Small Scale Yielding*, I.J.F. 88, 1997
 5. RAO B.N., RAHMAN S., *Mesh-Free Analysis of Cracks in Isotropic Functionally Graded Materials*, Eng. Fract. Mec., April 2002
 6. RAO B.N., RAHMAN S., *Probabilistic fracture mechanics by Galerkin meshless methods. Part I: Rates of stress intensity factors. Computational Mechanics 28 (2002), p.351-364, Part II: Reliability analysis, Computational Mechanics 28 (2002), p.365-374*
 7. RAU I.S., *On fatigue-crack propagation under stationary random loading*, I.J.E.S. Vol. 8, 1970, p.175-189
 8. RAVEENDRA T.S., BANERJEE K.P., *Boundary element analysis of cracks in thermally stressed planar structures*, I.J.S.S., Vol.29, Nr.18, 1992
 9. REKACI V.G., *Rukovostvo k reşeniiu zadacii po teorii uprugosti*, Izd. "Vişia Şkola", Moskva, 1966
 10. REKTORYS K., *Variacionnie metodî v matematiceskoi fizike i tehnikе*, Moskva, "MIR", 1985
 11. RÏJIK M.I., GRADSTEIN S.I., *Tabliţi integralov, sum riadov; proizvedeni*, Gosthteorizdat Moskva, 1951
 12. RITTEL D., *Thermomechanical aspects of dynamic crack initiation*, I.J.F. 99, 1999, p.199-209
 13. RIZZOLI I., *Introducere în teoria funcţiilor de o variabilă complexă*, Editura Universităţii din Bucureşti, 1999

14. RODIN J.G., *The overall elastic response of materials containing inhomogeneities*, I.J.S.S. Vol.30, Nr.14, 1993, p.1849-1863
 15. RODIN J.G., HWANG YUH-LONG, *On the problem of linear elasticity for an infinite region containing a finite number of non-intersecting spherical inhomogeneities*, I.J.S.S. Vol.27, Nr.2, 1991, p.145-159
 16. ROMANIN N.O., *Viazkosti razrušeniia konstruktsionnih stalei*, Moskva "Metalurghia", 1979
 17. ROOKE D.P., SNEDDON I.N., *The crack energy and the stress intensity factor for a cruciform crack deformed by internal pressure*, I.J.E.S. Vol.7, 1969, p.1079-1089
 18. ROOKE D.P., TWEED J., *The stress intensity factors of a radial crack in a finite rotating elastic disc*, I.J.E.S. Vol.10, 1972, p.709-714
 19. ROOKE D.P., TWEED J., *The stress intensity factor of an edge crack in a finite rotating elastic disc*, I.J.E.S., Vol.11, 1973, p.279-283
 20. ROOKE D.P., TWEED J., *The stress intensity factors of a radial crack in a point loaded disc*, I.J.E.S., 1973, Vol.11, p.285-290
 21. ROY A., CHATTERJEE M., *Interaction between coplanar elliptic cracks. I. Normal loading*, I.J.S.S. 31, Nr.1, 1994, p.127-144
 22. ROZENBLIUM J.V., *K teoreme o razgruzke*, Issledovaniia po uprugosti i plasticinosti, Sbornic 9, 1971, p.121-128
 23. ROZIN L.A., *Variatsionnie postunovki zadaci dlia uprugih \square robab*, Izd. Leningradskovo Universiteta, 1978
 24. RU Q.C., *Analytic Solution for ESHELBY's Problem of an Inclusion of Arbitrary Shape in a Plane or Half-Plane*, J.A.M. 66, 1999
 25. RUBINSTEIN A.A., *Remarks on macrocrack-microcrack interaction and related problems*, I.J.F. 96, 1999, L9-L14
 26. RUSU OLIVIU, *Noțiunile fundamentale ale mecanicii ruperii*, Buletinul Asociației Române de Mecanica Ruperii (ARMR) Nr.1, 1996, p.5-9; Nr.2/1996, p.2-10
 27. RUSU OLIVIU, *Metode probabilistice în analiza integrității structurilor*, Buletinul ARMN Nr.6, 1998, p.11-16, Buletinul ARMN Nr.7, 1999, p.13-18
 28. RUSU OLIVIU, *Mecanica probabilistă și fiabilitatea structurilor. Note pe marginea unei conferințe*, Buletinul ARMN Nr.13, 2002, p.22-25
 29. RUSU OLIVIU, GALL TRAIAN, *Probleme moderne ale rezistenței materialelor*, Editura Tehnică, Buc., 1970
 30. RUSU O., TEODORESCU M., LAȘCU-SIMION N., *Oboseala materialelor. Vol.I: Baza de calcul, Vol.II: Aplicații ingineresti*, Editura Tehnică, București, 1992
 31. RYSZARD E. W., *Dynamic Growth of a Spherical Inclusion in Thermoelastic Medium*, Mater. Phys. Mech., Nr.3, 2001, p.52-56
 32. RYVKIN M., *A mode I crack parallel to the interfaces in a periodically layered medium*, I.J.F. 99, 1999, p.171-186
- S**
1. ȘABAC I.GH., *Matematici speciale*, Vol.II, Editura Didactică și Pedagogică, București, 1965, 1981
 2. SALGANIK R.L., *O hrupkom razrušeniia skleenih tel*, P.M.M., Tom 28, Nr.5, 1963
 3. SANTHANAM S., *Infinite periodic array of cracks in axisymmetric disk*, I.J.S.S., Vol.30, Nr.6, 1993, p.739-749
 4. SAOUMA E.V., *Lecture Notes in Fracture Mechanics*, University of Colorado, 1997
 5. SAVIN N.G., *Osnovnie zadaci ploskoi momentnoi teorii uprugosti*, K.N.Jv.2, p. 145-
 6. SAVRUK M.P., *Dvumernaia zadaci uprugosti dlia tel s treščinami*, Kiev, "Naukova Dumka", 1981
 7. SBORNIK, *Uprugosti i neuprugosti metallov*, Izd. "I.L." Moskva, 1954
 8. SCHAPERY A.R., *Nonlinear viscoelastic and viscoplastic constitutive equations with growing damage*, I.J.F. Vol. 97, 1999, p.33-66
 9. SCHIOP I.A., *Metode numerice pentru rezolvarea ecuațiilor diferențiale*, Ed. Academici R.S.R., București, 1975
 10. SCHULTHEISZ R.C., ș.a., *An Experimental Analytical comparison of Three-Dimensional Deformations of the Tip of a Crack in a Plastically Deforming Plate*,
I-/Optical Interferometry and Experimental Preliminaries, I.J.F. 90, 1998, p.1-25
II-/Material Characterization and Finite Element Analysis, I.J.F. 90, 1998, p.27-46
III-/Comparison of Numerical and Experimental Results, I.J.F. 90, 1998, p.47-81
 11. SEDOV L., *Mecanique des milieux continus*, (Tom I, II), Ed. MIR, Moskva, 1975
 12. SEDOV L.I. (redactor), *Mehanike tverdyh deformiruemyh tel*, Tom 8, Moskva, 1975
 13. SELVARATHINAM S.A., *Fracture in Off-Axis Unidirectionally Reinforced Ceramic Composites*, I.J.F. 90, 1998, p.209-234
 14. SERGEEV B., MADENCI E., AMBUR D.R., *Stress intensity factor for an arbitrarily oriented crack near a hole in longeron web*, T.A.F.M. 31, 1999, p. 213-222
 15. SERGEEV B., MADENCI E., AMBUR D.R., *Influence of bolt spacing and degree of anisotropy in single-lap joints*, Computers and Structures 76, 2000, p. 89-103
 16. SERGIESCU V., *Introducere în fizica solidului*, Editura Tehnică, București, 1956
 17. SEVCENKO I.U.H., *Cislenie metodi rešeniiia prikladnih zadaci*, Vol. VI din (redactor) GUZI N.A., *Prostranstvennie zadaci teorii uprugosti i plasticinosti*, Kiev, "Naukova Dumka", 1986
 18. ȘEVLIAKOV I.U.A., *Matricinie algoritmi v teorii uprugosti neodnorodnih sred*, Kiev, "Vișiaia Școla", 1997
 19. SEVOSTIANOV T., KACHANOV M., *Compliance tensors of ellipsoidal inclusions*, I.J.F. 96, 1999, L3-L7
 20. SHABAKHTY N., van GELDER P., BOONSTRA H., *Reliability analysis of jack-up platforms based on fatigue degradation*, Proceedings of OMAE 2002-28360
 21. SHAVLAKADZE N., *On Some Contact Problems for Bodies with Elastic Inclusions*, Georgian Mathematical Journal, Vol.5, Nr.3, 1998, p.285-3000
 22. SHI JUN PING, LIU XIE HUI, CHEN YI HENG, *A complex variable boundary element method for solving interface crack problems*, I.J.F. 96, 1999, p.167-178
 23. SHI P.J., CHEN Y.H., ZHAO L.G., *T-stress for an interfacial crack in a finite bimaterial plate*, I.J.F. 87, 1997, p. L21-L26
 24. SHI P., MAHADEVAN S., *Probabilistic Corrosion Fatigue Life Prediction*, 8th ASCE Speciality Conference Probabilistic Mechanics and Structural Reliability
 25. SHIFRIN E.I., BRANK B., SURACE G., *Analytical-numerical solution of elliptical interface crack problems*, I.J.F. 94, 1998, p.201-215

26. SHILANG XU, HANS W. REINHARDT, *Determination of double-K criterion for crack propagation in quasi-brittle fracture, Part I: Experimental investigation of crack propagation, Part II: Analytical evaluating and practical measuring methods for three-point bending notched beams*, I.J.F.98, 1999, p.111- 149,151-177,179-193
27. SHINDO Y., WATANABE K., NARITA F., *Electroelastic Analysis of Piezoelectric Ceramic Strip with a Central Crack*, I.J.E.S. 38, 2000, p.1-19
28. SHOCKEY D.A., SEAMAN L., CURRAN D.R., *Computation of crack propagation and arrest by simulating microfracturing at the crack tip*. – In: Fast Fracture and Crack Arrest, ASTM STP 627 (G.T. Hahn, M.F. Kanninen, eds.), 1977, p. 274-285
29. SHUH-HUEI LI, ș.a., *Micromechanical analysis of multiple fracture and evaluation of debonding behaviour for fiber-reinforced composites*, I.J.S.S., Vol. 30, Nr.11, 1993, p.1429-1459
30. SIASKII A.A., IAREMA D.I., *Neravnomernoe podkrepnenie krugovogo otverstia v sfericeskoi obolocike*, Institut mehaniki An. SSSR, Kiev, 1976
31. ȘIFRIN E.I., *Ploskaia treșcina normalnovo otriva pri nalicii lineinih sviazei meĵdu eio poverhnostiami*, M.T.T.Nr.3/1982,p.80-86
32. SILVESTER P., *High-order polynomial triangular finite elements for potential problems*, I.J.E.S., Vol. 7, 1969
33. SIMONS W. JEFFREY, ș.a., *Methods for Modeling Damage in Finite Element Calculations*, Osaka Univ., Japan, 1999, p.79-86
34. SINGER I., *Cea mai bună aproximare în spații vectoriale normate prin elemente de subspații vectoriale*, Editura Academiei R.S.R., București, 1967
35. ȘIȘKIN V.P., *Cislennoe reșenie nekotarih ploskih kraevih zadaci teorii uprugosti metodom potentsiala*, M.T.T.Nr.5/1982,p.173-175
36. SLEPIAN L.I., *Antiploskaia zadacia o treșcine v rešetke*, M.T.T., Nr.5, 1982, p.101-115
37. SLIVKER V.I., *Metod RITZ zadaciiah teorii uprugosti osnovannih na posledovatelnoi minimizații dvuh funktsionalov*, M.T.T. Nr.2/1982, p.57-64
38. SMIRNOV V.I., *Curs de matematici superioare*, (5 volume – trad. din limba rusă), Editura Tehnică, București, 1955
39. SMITH E., *Size effect relations associated with cohesive zone type fracture at a blunt stress concentration*, I.J.F. 95, 1999, p.41-50
40. SMITH E., *The extension of circular-arc cracks in anti-plane strain deformation*, I.J.E.S. , Vol.7, 1969, p.973-991
41. SMITH D.J., AYATOLLAHI M.R., DAVENPORT J.V.W., SWANKIE T.D., *Mixed Mode Brittle and Ductile Fracture of a High Strength Rotor Steel at Room Temperature*, I.J.F. 94, 1998, p.235-250
42. SNEDDON I.N., *The distribution of surface stress necessary to produce a Griffith crack of prescribed shape*, I.J.E.S. Vol.7, 1969, p.875-882
43. SNEDDON I.N., LOWENGRUB M., *Crack Problems in The Classical Theory of Elasticity*, John Wiley & Sons, New York, 1969
44. SNEDDON I.N., BERRY D.S., *Klassiceskaia teoriia uprugosti*, Moskva, 1961
45. SOARE V. M., *Elemente de teoria elasticității, teoria plăcilor plane și teoria plăcilor curbe subțiri. Curs și aplicații*, Lito., Inst. de Construcții, București, 1972
46. SOARE V. M., *Metode de discretizare a continuului în vederea rezolvării diferitelor tipuri de probleme de mecanică*, Vol.I: *Metoda diferențelor finite*, Sinteză documentară, I.D.T., București, 1972
47. SOARE V. M., *Structuri discrete și structuri continue în mecanica construcțiilor*, Ed. Academiei R.S.R., Buc., 1986
48. SOKOLNIKOFF I.S., *Mathematical Theory of Elasticity*, New York, 1956
49. SOKOLOVSKI V.V., *Teoria plasticității*, Editura Tehnică, București, 1953
50. SOLOMON L., *Elasticitate liniară. Introducere matematică în statica solidului elastic*, Editura Academiei R.S.R., Buc., 1969
51. SONGSHAN LI, MARK E. MEAR, *Singularity-Reduced Integral Equations for Displacement Discontinuities in Three-Dimensional Linear Elastic Media*, I.J.F. 93, 1998, p.87-114
52. SØRENSEN J.D., FABER M.H., *Codified Risk Based Inspection Planning*
53. SOÓS E., TEODOSIU C., *Calculul tensorial cu aplicații în mecanica solidelor*, Ed. Științifică și Enciclopedică, Buc., 1983
54. SPRUNG I., *Probability of failure in fracture mechanics applications*, I.J.F. 89, 1998, L19-L24
55. SRAWLEY J.E., *Linear Elastic Fracture Mechanics – A Review of Principles and Methods*, In: "Proceedings of the Symposium on Fracture Concepts for Weldable Structural Steel", Risley, April 1969, Editor: M.O. DOBSON
56. SRIVASTAV R.P., LEE D., *Axisymmetric external crack problems for media with cavities*, I.J.E.S.10/1972,p.217-232
57. SRIVASTAVA K.N., KRIPAL SINGH, *The effect of penny-shaped crack on the distribution of stress in a semi-infinite solid*, I.J.E.S. Vol.7, 1969, p.469-490
58. SRIVASTAVA K.N., PALAIYA R.M., *The distribution of thermal stress in a semi-infinite elastic solid containing a penny-shaped crack*, I.J.E.S. Vol.7, 1969, p.641-666
59. STADNIK M.M., GORBACEVSKII I.Iu., *Predelinee ravnovesie tela s ploskoi treugolnoi treșcinoi*, P.M., Tom 17, Nr.7, 1981
60. ȘTAIERMAN I.Ia., *Kontaktnaia zadacia teorii uprugosti*, Moskva, 1949
61. STALLYBRASS M.P., *A cruciform crack deformed by an arbitrary internal pressure*, I.J.E.S. Vol.7, 1969, p.1103
62. STALLYBRASS M.P., *A crack perpendicular to an elastic half-plane*, I.J.E.S. Vol.8, 1970, p.351-362
63. STASIUK K.G., OSIV I.N., *Zadacia o napriajenno-deformirovannom sostoianii kusocino-odnovodnoi plastini s razrezami na eelipticeskoi linii razdela materialov*, P.M., Tom XV, Nr.9, 1979
64. STEMATIU D., *Calculul structurilor hidrotehnice prin metoda elementelor finite*, Editura Tehnică, București, 1988
65. STOICA L., *Elemente de varietăți diferențiabile*, Geometry Balkan Press, Buc., 1998
66. STOICESCU L., *Rezistența materialelor*, Vol. I, Univ. din Galați, 1986, (curs lito)
67. STOILOW S., *Teoria funcțiilor de variabilă complexă*, Editura Academiei R.P.R., Buc., Vol.I- 1954, Vol.II- 1958
68. STOKA M., *Funcții de variabile reale și funcții de variabilă complexă*, Ed. Did. și Ped., București, 1964
69. STOKA M., THEODORESCU R., *Probabilitate și geometrie*, Editura Științifică, București, 1966
70. STRANG G., FIX J.G., *An analysis of the finite element method*, Prentice-Hall, 1973
71. STROUD W.J., ș.a., *Probabilistic and Possibilistic Analysis of the Strength of a Bonded Joint*, 42nd AIAA/ASME/ASCE/AHS/ASC Structures, Structural Dynamics and Materials Conference, April 2001, Seattle, WA
72. STUART D.R., *Introducere în analiza Fourier cu aplicații în tehnică*, (trad. din lb engleză), Editura Tehnică, București, 1971

73. SUDAK L.J., RU C.Q., SCHIAVONE P., MIODUCHOVSKI A., *A Circular Inclusion with Circumferentially Inhomogeneous Non-Slip Interface in Plane Elasticity*, Q.J.Mech. Appl. Math., 54(3), p.449-468, 2001
 74. SUKUMAR N., ș.a., *Modeling Holes and Inclusions by Level Sets in the Extended Finite Element Method*, Computer Methods in Applied Mechanics and Engineering, 190, 2001, p. 6183-6200
 75. SUKUMAR N., *The extended finite element method*.
 76. SUKUMAR N., *The natural element method in solid mechanics*, I.J.N.M.E, 43, 1998, p.839-887
 77. SUKUMAR N., BELYTSCHKO T., MOES N., MORAN B., *Extended finite element method for three-dimensional crack modeling*, I.J.N.M.E., 48, 2000, p. 1549-1570,
 78. SUKUMAR N., CHOPP D.L., MORAN B., *Extended finite element method and fast marching method for three-dimensional fatigue crack propagation*, E.F.M. 70, 2003, p. 29-48.
 79. SULIM G.T., *Koncentrația napriajenii voze tonkostennih lineinih vklucenii*, P.M., Tom XVII, Nr.11, p.82-89
 80. SUN C.T., QIAN W., *A Treatment of Interfacial Cracks in the Presence of Friction*, I.J.F. 94, 1998, p.371-382
 81. SUNCELEEV Ia.R., *Uprughoe ravnovesie neogranicennovo transversalino-izotropnovo tela, oslablennovo vnutrennim ploskim kpygovim razrezom*, P.M.M. Tom 30, Vol.3, 1966, p.579-583
 82. SUNDARARAJAN (RAJ) C. (editor), *Advance in Probabilistic Fracture Mechanics*, ASME, PVP Vol. 92, 1984
- T**
1. TADA H., PARIS P., IRWIN G., *The Stress Analysis of Crack Handbook*, Paris Productions Incorporated (and Del Research Corporation), St. Louis, Missouri, 1973, 1985
 2. TANAKA MASATAKA, *Some Recent Advances in Boundary Element Methods*, A.M.R. Vol.36, Nr.5, 1983
 3. TAN L.C., GAO L.Y., AFAGH F.F., *Boundary element analysis of interface cracks between dissimilar anisotropic materials*, I.J.S.S. Vol.29, Nr.24, 1992, p.3201-3220
 4. TAN M.A., MEGUID S.A., *Analysis of Bimaterial Wedges Using a New Singular Finite Element*, I.J.F. 88, 1997, p.373-391
 5. TARASIEV S.G., ȚURPAL A.I., *Analiz variantov kvadraticinih približenii v nelineinuh zadaciuh o konzentrații napriajenii*, K.N/v.2, p. 167-179
 6. TÂRCOLEA C., FILIPOIU A., BONTAȘ S., *Tehnici actuale în teoria fiabilității*, Editura Științifică și Enciclopedică, București, 1989
 7. TEMAM R., *Metode numerice de rezolvare a ecuațiilor funcționale*, (trad. din lb. franceză), Editura Tehnică, București, 1973
 8. TENG HONG, *Effective longitudinal shear modulus of a unidirectional fiber composite containing interfacial cracks*, I.J.S.S. Vol.29, Nr.12, 1992, p.1589-1595
 9. TEODORESCU N., *Metode vectoriale în fizica matematică*, (Vol. I, II), Editura Tehnică, București, 1954
 10. TEODORESCU N., OLARIU V., *Ecuații diferențiale și cu derivate parțiale*, Editura Tehnică, București, Vol.I-1978, Vol.II-1979, Vol.III-1980
 11. TEODORESCU N., OLARIU V., *Ecuațiile fizicii matematice*, Editura Didactică și Pedagogică, București, 1975
 12. TEODORESCU P.P., ILLE V., *Teoria elasticității și introducerea în mecanica solidelor deformabile*, Editura „Dacia”, Cluj-Napoca, Vol.I-1976, Vol. II-1979, Vol.III-1981
 13. TEODORESCU P.P., *Probleme plane în teoria elasticității*, Ed. Acad. R.S.R., București, Vol.I-1961, Vol.II-1962
 14. TEODORESCU P.P., *Probleme spațiale în teoria elasticității*, Editura Academiei R.S.R., București, 1970
 15. TEZUKA AKIRA, *2D Mesh Generation Scheme for Adaptive Remeshing Process in Finite Element Method*, JSME Int. Journal, Series A, Vol.39, Nr.2, 1996
 16. THEOCARIS S.P., ș.a., *Negative Poisson's Ratios in Composites with Star-Shaped Inclusions: A Numerical Homogenisation Approach*, Archive of Applied Mechanics 67, 1997, p.276-286
 17. THEOCARIS S.P., DEMAKOS B.C., *The strain-hardening effect in HRR plane fields according to T-criterion*, I.J.F. 67, 1994, p.117-132
 18. THOMAS T.Y., *Fatigue fracture of brittle solids*, I.J.E.S. Vol.8, 1970, p.113-136
 19. TIMOSHENKO S., *Strength of Materials*, Third Edition, D. van Nostrand Company, Inc. New York, 1956
 20. TIMOSHENKO S.P., GOODIER J.N., *Theory of Elasticity*, Third Edition, McGraw-Hill Book Company, 1970
 21. TIRON M., *Analiza preciziei de estimare a funcțiilor aleatoare*, Ed. Teh., Buc., 1981
 22. TOSHIMITSU OTSU, WEN-XUE WANG, TAKAO Y., *Asymmetrical Cracks Parallel to an Interface between Dissimilar Materials*, I.J.F. 96, 1999, p.75-100
 23. TRACY Y. THOMAS, *Plastic Flow and Fracture in Solids*, (limba rusă), Izd. „MIR”, Moskva, 1964
 24. TRÄDEGÅRD A., NILSSON F., ÖSTLUND S., *J-Q Characterization of Propagating Cracks*, I.J.F. 94, 1998, p.357-369
 25. TRANDAFIR R., *Matematici pentru ingineri. Culegere de probleme*, Editura Tehnică, București, 1969
 26. TRANTINA G.G., JOHNSON C.A., *Probabilistic Defect Size Analysis Using Fatigue and Cyclic Crack Growth Rate Data*, ASTM, STP 798, 1983, p.67-78
 27. TRAVKIN I.U.I., *O sisteme parnih trigonometriceskikh riadov i eio primenenii k smeščennim zadaciom teorii uprugosti*, P.M., Tom XIII, Nr.6, 1977
 28. TRIPA P., *Mecanica rupeii cu aplicații la conducte*, Ed. Mirton, Timișoara, 1998
 29. TRLEP M., ŠKERGET L., KREČA B., HRIBERNIK B., *Hybrid finite element – boundary element method for nonlinear electromagnetic problems*, IEEE T.M., Vol.31, Nr.3, May 1995, p.1380
 30. TRUESDELL C., *A First Course in Rotational Continuum Mechanics*, The Johns Hopkins Univ., Maryland, 1972
 31. TRUSDELL K., *The Elements of Continuum Mechanics*, Springer Verlag, Berlin, 1966
 32. TSUKROV I., KACHANOV M., *Anisotropic Material with Arbitrarily Oriented Cracks and Elliptical Holes: Effective Elastic Moduli*, I.J.F. 92, 1998, L9-L14
 33. TUDOSIE C., *Probleme de ecuații diferențiale*, Editura Dacia, Cluj-Napoca, 1990
 34. ȚURPAL A.I., *Nekotore zadaci konzentrații napriajenii okolo otverstii i polostei s uciotom fiziceskoi nelineinosti materiale*, K.N/v.2, p. 241-253

35. TVERGAARD V., HUTCHINSON W.J., *Effect of T-stress on mode I crack growth resistance in a ductile solid*, I.J.S.S., Vol.31, Nr.6, 1994
36. TWEED J., *The determination of the stress intensity factor of a partially closed Griffith crack*, I.J.E.S. Vol.8, 1970, p.793-803
37. TWEED J., *The distribution of stress in the vicinity of a penny-shaped crack in an elastic solid under the action of symmetric body forces*, I.J.E.S. Vol.7, 1969, p.723-735
38. TWEED J., *The distribution of stress in the vicinity of a Griffith crack in an elastic solid in which body forces are acting*, I.J.E.S. Vol.7, 1969, p.815-842
39. TWEED J., DAS C.S., *The stress intensity factor of a radial crack in a finite elastic disc*, I.J.E.S., 1972, Vol.10, p.323-335
40. TWEED J., ROOKE D.P., *The distribution of stress near the tip of a radial crack at the edge of a circular hole*, I.J.E.S., Vol.11, 1973, p.1185-1195
41. TWEED J., ROOKE D.P., *The torsion of a circular cylinder containing a symmetric array of edge cracks*, I.J.E.S. Vol.10, 1972, p.801-812
42. TWEED J., ROOKE D.P., *The stress intensity factor of an edge crack in a finite elastic disc*, I.J.E.S., 1973, Vol.11, p.65-73
- U**
1. UFLIAND, IA. S., *Integralnie preobrazovania v zadaciach teorii uprugosti*, Izd. „Nauka”, Leningrad, 1968
2. UGODCHIKOV G.A., *K rezheniu kraevih zadaci s pomošcin konformnih otobraženii*, K.N./v.2, p. 191-200
3. ULITKO Ф.А., *Rastiajenie uprugogo prostranstva oslablennogo dvumnia krugovimi trescinami ležašcimi v odnoi ploskosti*, K.N./v.2, p. 201-208
4. UWADIEGWU B.C., O. EJIKE, *The plane circular crack problem in the linearized couple-stress theory*, I.J.E.S. Vol.7, 1969, p.947-961
5. UWADIEGWU B.C., O. EJIKE, *Edge crack in a strip of an elastic solid*, I.J.E.S. Vol.11, 1973, p.109-121
- V**
6. VĂDUVA I., *Modele de simulare cu calculatorul*, Editura Tehnică, București, 1977
7. VAINBERG V.D., *Kontentratia napriajenii v plastinah okobo otverstii i vikrujek*, Izd. “Tehnika”, Kiev, 1969
8. VAINBERG V.D., GULIAEV I.V., *Konformnoe otobraženie i raznostei metod v zadaciach o kontentratii napriajenii*, K.N./v.2, p. 25-34
9. VAINŠTOK V.A., *Sravnenie dvuh cilennih metodov rasciota koefšientov intensivnosti napriajenii*, P.P., Nr.9, 1977, p.80-82
10. VALOV V.P., ș.a., *O vlianii vnutrennih mikronapriajenii na skorosti dvijenii trescinii pri tigliceskoi deformatii*, Problemi procinosti, Nr.12, 1976
11. VANIN G.A., *Prodolnie sdvig mnogokomponentoi voloknistoi sredi s defectami*, P.M., Tom XIII, Nr.8, 1977
12. VASIDZU K., *Variaciiionnie metodi v teorii uprugosti i plasticinosti*, Moskva, Izd. “MIR”, 1987
13. VASILIEVA B.A., BUTUZOV F.V., *Singuliarno vozmušcennie uravnenii v criticeskih slučiniah*, Izd. Moskoskovo Univ., 1978
14. VECUA P.N., *Sistemii singuliarnih integralnih uravnenii i nekotorie zadaci*, Izd. “Nauka”, Moskva, 1970
15. VENTSEL H., *Theorie des Probabilities*, Editions MIR, Moscou, 1973
16. VIGDERGAUZ S.B., *Ravnoprocinoe otverstie v poluplaskosti*, M.T.T. Nr.1/1982, p.94-98
17. VINOKUROV L.P., *Teoriia uprugostii i plasticinosti*, Izd. Harikovskovo Universiteta, Harkov, 1965
18. VLADIMIROV V.S., *Ecuatiile fizicii matematice*, (trad. Din lb. Rusă), Ed. Științifică și Enciclopedică, Buc., 1980
19. VLADISLAV T., RAȘA I., *Analiză numerică. Elemente introductive*, Editura Tehnică, București, 1997
20. VOINEA P. RADU, *Elasticity and Plasticity*, Lito, Univ. Politehnica București, 1993
21. VOINEA P., VOICULESCU D., SIMION F., *Introducere în mecanica solidului cu aplicații în inginerie*, Editura Academiei R.S.R., București, 1989
22. VOLKOV S.D., *Statisticeskaia teoriia procinosti*, Mașghiz, Moskva 1960
23. VOLKOV A.E., *Cislennii metodi*, Moskva “Nauka” 1982
24. VOLKOV N.I., FILȘTINSKII L.A., *O napriajenom sostoianii vraščiaiușcegosia orebrennogo diska slojnoi konfiguracii pri nalicii otverstii i trescin*, M.T.T., Nr.5, 1982, p.124-129
25. VORODACEV A.N., *Opređenje koefšicientov intensivnosti temperaturnih napriajenii dlia ploskoi elipticeskoi trescinii v neogranicennom uprugom tele*, P.M., Tom XVII, Nr.2, 1981
26. VOROVICI I.I., *Nekotorie problemi kontentratii napriajenii*, K.N./v.2, p. 45-53
27. VOROVICI I.I., ALEKSANDROV V.M., BABEȘKOV V.A., *Neklassiceskie smeșcennie zadaci teorii uprugosti*, Izd. “Nauka”, Moskva, 1974
- W**
1. WACLAW OLSZAK, PIOTR PERZYNA, ANTON SAWCZUK, *Teoria plasticității*, (tr. din lb. pol.), Ed. Tehn., Buc., 1970
2. WALKER E.K., *Exploratory Study of Crack-Growth Based Inspection Rationale*, ASTM, STP 798, 1983, p.116-130
3. WANG C.C., TRUESDELL C., *Introduction to Rational Elasticity*, Noordhoff Intern. Publ. Leyden, 1973
4. WANG C., *Applied Elasticity*, Mc Grow-Hill Publ. Co., 1953
5. WANG H.C., *On the Fracture of Constrained Layers*, I.J.F. 93, 1998, p. 227-246
6. WANG J., MOGILEVSKAYA S.G., CROUCH S.L., *A numerical procedure for multiple circular inclusions and holes in a finite domain with a circular boundary*, IABEM 2002, International Association for BEM, UT Austin, TX USA, May 2002
7. WANG J., MOGILEVSKAYA S.G., CROUCH S.L., *Numerical implementation of a Galerkin boundary integral method for elastic materials with circular inclusions and holes*, Electronic J. of Boundary Elements Vol.BETEQ 2001, Nr.1, p.85-93.2002
8. WANG M.X., GAO S., CHEN H.Y., *Further investigation for the macro-microcrack interaction I in the infinite isotropic body*, I.J.S.S. Vol.33, Nr.27, 1996, p.4051-4063
9. WANG T.C., SHIH F.C. SUO Z., *Crack extension and kinking in laminates and bicrystals*, I.J.S.S. Vol.29, Nr.3, 1992
10. WANG Y.B., CHAU K.T., *A new boundary element for plane elastic problems involving cracks and holes*, I.J.F.87, 1997, p.1-20
11. WANG Y.B., CHAU K.T., *A new boundary element method for mixed boundary value problems involving cracks and holes Interactions between rigid inclusions and cracks*, I.J.F. 110, 2001, p.387-406

12. WANG Y.C., *Two-dimensional elastostatic GREEN's function for general anisotropic solids and generalization of STROH's formalism*, I.J.S.S Vol. 31, Nr.19, 1994, p.2591-2597
 13. WÄPPLING D., ș.a., *Crack Growth Across a Strength Mismatched Bimaterial Interface*, I.J.F. 89, 1998, p.223-243
 14. WATANABE K., ATSUMI A., *Long circular cylinder having an infinite row of penny-shaped cracks*, I.J.E.S. Vol.10, 1972, p.159-171
 15. WEBB D., ATKINSON C., *A note on a penny-shaped crack expanding under a uniform internal pressure*, I.J.E.S. Vol.7, 1969, p.525-530
 16. WERT A.C., THOMSON M.R., *Physics of solids*, McGraw-Hill Book Company, New-York, 1964
 17. WIENER U., ISAC-MANIU A., VODĂ V., *Aplicații ale rețelelor probabiliste în tehnică*, Editura Tehnică, București, 1983
 18. WILLIAMS M.L., *Stress singularities resulting from various loading conditions in angular corners of plates in extension*, ASME J.A.M. 19 (1952), p.526-528
 19. WILLIAMS M.L., *On the stress distribution at the base of a stationary crack*, ASME J.A.M. 24 (1952), p.109-114
 20. WILLIAMS M.L., *The bending stress distribution at the base of a stationary crack*, ASME J.A.M. 28 (1961), p.78-82
 21. WITT F. J., *Development and Applications of Probabilistic Fracture Mechanics for Critical Nuclear Reactor Components*, ASME, PVP Vol. 92, 1984, p. 55-71
 22. WRIGHT T.W., *A Note of Frictional Release in Microcracks*, I.J.F.91, 1998, L37-42
 23. WU SHU-TING, PAO Y.C., CHIU Y.P., *Analysis of a finite elastic layer containing a Griffith crack*, I.J.E.S. 8, 1970, p.578-582
- X**
1. XIAOHUA ZHAO, HUICAI XIE, *Elastodynamic Stress Intensity Factors for a Semi-Infinite Crack Due to Three-Dimensional Concentrated Shear Loading on the Crack Faces*, I.J.F. 94,1998, p.1-16
 2. XU G., BOWER F.A., ORTIZ M., *An analysis of non-planar crack growth under mixed mode loading*, I.J.S.S. Vol.31, Nr.16, 1994, p.2167-2193
- Y**
3. XU YANJIANG, BLUME A.J., *Crack interaction and propagation stability in a thin film/ substrate system*, I.J.S.S 30, Nr.19,1993
- Y**
1. YAHAYA N., *Risk-based Maintenance Management of Corroded Pipelines*
 2. YAMADA T., *An application of the dual reciprocity boundary element method to magnetic field and eddy current problems*, IEEE T.M. Vol.30, Nr.5, September 1994, p.3566-3569
 3. YAMAJI S., *Development of p-Version Adaptive Boundary Element Analysis System*, JSME International Journal, Series A, Vol.41, Nr.2, 1998
 4. YANG B., K. RAVI-CHANDAR, *A Single-Domain Dual-Boundary-Element Formulation Incorporating a Cohesive Zone Model for Elastostatic Cracks*, I.J.F. 93, 1998, p.115-144
 5. YAN CHENG, YIU-WING MAI, *Numerical Investigation on Stable Crack Growth in Plane Stress*, I.J.F. 91, 1998, p.117-130
 6. YANG QING-SHENG, QIN Q.H., *Numerical simulation of cracking processes in dissimilar media*, Composites Structures 53, 2001, p.403-407
 7. YAOWU SHI, ș.a., *Effects of Weld Strength Undermatch on Fracture Toughness of HAZ Notched Weldments in a HSLA Steel*, I.J.F. 91, 1998, p.349-358
 8. YE T., SUO Z., EVANS G.A., *Thin film cracking and the roles of substrate and interface*, I.J.S.S. Vol.29, Nr.21, 1992
 9. YOKOBORI T., ICHIKAWA M., FUJITA F., *A Stochastic Theory of Fracture of Solids Containing a Small Number of Macroscopic Defects*, Rep. Res. Inst. Strength and Fracture of Materials, Tohoku Univ., 1974, Vol.10, p.19-27
 10. YOKOBORI T., YOKOBORI T.A., KAMEI A., *Computer simulation of dislocation emission from a stressed source*, Philosophical Magazine, Vol.30, Nr.2, 1974
 11. YONG-LI WU, ZHI-FA DONG, GUO-CHEN U., *Asymptotic Analysis for a Crack on Interface of Damaged Materials*, I.J.F. 91, 1998, p.47-60
 12. YONG LI XU, *GREEN's function for general disk-crack problems*, I.J.S.S. Vol.32, Nr.1, 1995, p.63-77
 13. ZONG LI XU, *Stress intensity factors of a radial crack in a compound disk subjected to point loads*, I.J.S.S., Vol. 30, Nr.4, 1993, p.499-511
 14. YONG ZHOU, HANSON T.M., *Stress intensity factors for annular cracks in inhomogeneous isotropic materials*, I.J.S.S Vol. 29, Nr.8, 1992, p.1033-1050
 15. YOON C., ALLEN H.D., *Damage dependent constitutive behavior and energy release rate for a cohesive zone in a thermoviscoelastic solid*, I.J.F. 96, 1999, p.55-74
 16. YOUNGDAHL C.K., *On the completeness of a set of stress functions appropriate to the solution of elasticity problems in general cylindrical coordinates*, I.J.E.S. Vol.7, 1969, p. 61-79
 17. YU QIAO, YOUSHI HONG, *Singularity characteristics for a lip-shaped crack subjected to remote biaxial loading*, I.J.F. 96, 1999, p.203-214
 18. YUEGUANG WEI, HUTCHINSON W.J., *Models of Interface Separation Accompanied by Plastic Dissipation at Multiple Scales*, I.J.F. 95, 1999, p.1-17
 19. YUH J. CHAO, YHU X.K., *J-A2 Characterization of Crack-Tip Fields: Extent of J-A2 Dominance and Size Requirements*, I.J.F. 89, 1998, p.285-307
- Z**
1. ZARGARIAN S.S., *Integralnie uravneniia ploskoi zadaci teorii uprugosti dlia mnogosviaznih oblastei s uglami*, M.T.T. Nr.3/1982, p.87-97
 2. ZEINALOV N.K., *Vipucivanie neogranicennoi tonkoi plastinki s krugovim otverstiem pri dvuhosnom rastiajenii*. P.M., Tom. XIII, Nr. 42, 1977
 3. ZENGTAO CHEN, ș.a., *A Griffith Crack Moving Along the Interface of Two Dissimilar Piezoelectric Materials*, I.J.F. 91, 1998, p.197-203
 4. ZENGTAO CHEN, *A new photoelastic procedure to determine SIF of mode I crack*, I.J.F. 69, 1995

5. ZENGTAO C., D. WANG, *An over-deterministic photoelastic procedure for mode I crack problems*, I.J.F. 67, 1994, R93-R98
6. ZERVOS A., PAPANASTASIOU P., ș.a., *A Finite Element Displacement Formulation for Gradient Elastoplasticity*
7. ZHANG L., ș.a., *The Mode III Full-Field Solution in Elastic Materials with Strain Gradient Effects*, I.J.F. 92, 1998, p.325-348
8. ZHANG NINGSHENG, PAUL F. JOSEPH, *A Nonlinear Finite Element Eigenanalysis of Singular Plane Stress Fields in Bimaterial Wedges Including Complex Eigenvalues*, I.J.F. 90, 1998, p.175-207
9. ZHANG NINGSHENG, PAUL F. JOSEPH, *A Nonlinear Finite Element Eigenanalysis of Singular Stress Fields in Bimaterial Wedges for Plane Strain*, I.J.F. 94, 1998, p.299-319
10. ZHANG SULIN, WEI ZANG, *Macrocrack Extension by Connecting Statistically Distributed Microcracks*, I.J.F. 90, 1998, p.341-353
11. ZHOU ZHENGONG, WANG B., SHANYI DU, *Investigation of the Scattering of Harmonic Elastic Antiplane Shear Waves by a Finite Crack Using the Non-Local Theory*, I.J.F. 91, 1998, p.13-22
12. ZHU Y.Y., CESCOTTO S., *A fully coupled elasto-visco-plastic damage theory for anisotropic materials*, I.J.S.S., Vol.32, Nr.11, 1995, p.1607-16415
13. ZIENKIEWICS O.C., *The Finite Element Method*, Third Edition, McGraw-Hill Book Company, London, 1977

ST	
1.	*** <i>Dicționar de matematici generale</i> , Editura Științifică și Enciclopedică, București, 1974
2.	*** Hütte, <i>Manualul inginerului. Fundamente</i> , (traducere din limba germană după ediția a 29-a), Editura Tehnică, Buc., 1995
3.	*** <i>Sbornik po cislennim metodam v mehanike tvordovo deformiruemovo tela</i> , Akademiia Nauk SSSR, Moskva, 1978
4.	*** <i>Proceedings of the 6th National Japanese Conference on Boundary Element Methods</i> , Tokyo, Japan, December, 1989, J.A.M.
5.	*** STAS 1963-81: <i>Rezistența materialelor. Terminologie și simboluri</i>
6.	*** STAS 9760-84: <i>Determinarea tenacității la rupere în condițiile stării plane de deformare. Metoda K_{IC}</i>
7.	*** STAS E 12803-90: <i>Determinarea deplasării la deschidere a fisurii</i>
8.	*** ASTM E 616-89: <i>Standard Terminology relating to Fracture Testing</i>
9.	*** ASTM E 813-87: <i>Standard Test Method for J_{IC} a Measure of Fracture Toughness</i>
10.	*** ASTM E 1290-89: <i>Standard Test Method for Crack-Tip Opening Displacement (CTOD) Fracture Toughness Measurement</i>

REVISTE ȘI CULEGERI DE LUCRĂRI STUDIAȚE

Nr. crt.	Abrevieri în lista bibliografică	Denumirea revistei
1.	A.M.R.	Applied Mechanics Review
2.	C.M.A.M.E.	Computer Methods in Applied Mechanics and Engineering
3.	C.S.	Composite Structures
4.	E.F.M.	Engineering Fracture Mechanics
5.	FMPDS	Sbornik: Fiziko-mehaničeskie polia v deformiruemih sredah: Akademiia Nauk Ukrainskoi SSR, Kiev „Naukova Dumka”, 1978
6.	I.J.E.S.	International Journal of Engineering Science
7.	IEEE T.M.	IEEE Transactions on Magnetism
8.	I.J.F.	International Journal of Fracture
9.	I.J.M.S.	International Journal of Mechanical Sciences
10.	I.J.N.M.E.	International Journal for Numerical Methods in Engineering
11.	I.J.S.S.	International Journal of Solids and Structures
12.	I.U.P. Nr.15/1986	Issledovaniia po uprugosti i plasticnosti (limba rusă). Problemi teorii treșcin i mehanika razrușeniia
13.	J.A.M.	Journal of Applied Mechanics
14.	J.C.S.J.	Journal of Ceramic Society of Japan
15.	J.E.M.T.	Journal of Engineering Materials and Technology
16.	J.M.P.S.	Journal of the Mechanics and Physics of Solids
17.	J.S.V.	Journal of Sound and Vibration
18.	K.N./v.2	Akademiia Nauk Ukrainskoi S.S.R. Institut mehaniki, „Kontentrațiia napriajeniia”, Vpusk 2, Naukova Dumka, Kiev, 1968
19.	M.T.T.	Mehanika Tvordogo Tela
20.	P.M.	Prikladnaia mehanika (limba rusă) (Прикладная механика)
21.	P.M.M.	Prikladnaia matematika i mehanika (limba rusă) (Прикладная математика и механика)
22.	P.P.	Problemi procnosti (limba rusă) (Проблемы прочности)
23.	T.A.F.M.	Theoretical and Applied Fracture Mechanics

CULEGERI DE LUCRĂRI

CL	
1.	*** European Congress on Computational Methods in Applied Sciences and Engineering ECCOMAS 2000, Barcelona, 2000
2.	*** Novie metodî razrušeniia i mehanika gornih porod. Sbornik naucinîh trudov. Akademiia Nauk Ukrainskoi SSR Institut geotekhniceskoi mehaniki, Kiev „Naukova Dumka”, 1981, (Новые методы разрушения и механика горных пород)
3.	*** Voprosi mehaniki realinogo tvjordogo tela, Akademiia Nauk Ukrainskoi SSR, Institut mašिनovedeniia i avtomatiki, Kiev „Naukova Dumka”, 1964, (Вопросы механики реального твёрдого тела)
4.	*** Probabilistic Fracture Mechanics and Fatigue Methods: Applications for Structural Design and Maintenance, ASTM-S.T.P.-798 / 1983
5.	*** Advances in Probabilistic Fracture Mechanics. (ed. C. (RAJ) Sundararajan), ASTM - PVP Vol.92 / 1984
6.	*** Aspects of Fracture Mechanics in Pressure Vessels and Piping, (ed. S.S.Palusamy, S.G.Sampath),ASTM-PVP Vol.58/1982

SUPPLEMENT BIBLIOGRAFIC

După ce în anul 2002 am considerat încheiată bibliografia și i-am dat o formă finală, am mai găsit o serie de lucrări pe care am considerat necesar să le semnalez. Pentru a scăpa de o muncă de sisif în vederea introducerii în lucrare a unei noi numerotări a bibliografiei, am adăugat acest supliment bibliografic. Mă voi referi la lucrările cuprinse în acest supliment cu abrevierea [SB...].

- SERENSEN V.S., MAHUTOV A.M., *Uslovia inițierovaniia I rasprostraneniia treșcin malotiklovorazrušeniia v zonah kontentrații napriajenii*. "Mašinovedanie", Nr.5, 1972
- PANASIUK V.V., ANDREIKIV E.A., STADNIK M.M., *Dolgovecinosti kvazihrupkovo tela s vnutrenii treșcinoi, blizkoi v plane k krugovoi, pri tikliceskom n ajrujenii*, P.P. Nr.5, 1977, p.19-22
- MADENCI E., SERGEEV B., SHSKRAYEV S., *Boundary collocation method for multiple defect interaction in an anisotropic finite region*, I.J.F., 94, 1998, p.339-355
- LEE S.S., *Free-edge stress singularity in a two-dimensional unidirectional viscoelastic laminate model*, J.A.M., Vol.64 (1997), p.408-414
- ESHELBY J.D., *The determination of the elastic field of an ellipsoidal inclusion, and related problems*, Proceedings of the Physical Society, London, A241, 1957, p.276-303
- SHERMAN D.I., *On the problem of plane strain in non-homogeneous media*, Nonhomogeneity in Elasticity and Plasticity, ed. WOLSZAK, Pergamon Press, p.3-20
- NEMAT-NASSER S., *Averaging theorems in finite deformation plasticity*, Mechanics of Materials 31, 1999, p.493-523
- NEWMAN J.C. Jr., *Analysis of fatigue and fatigue-crack growth under constant and variable-amplitude loading*
- MOGILEVSKAYA S.G., CROUCH S.L., *A Galerkin boundary integral method for multiple circular elastic inclusions with homogeneously imperfect interfaces*, I.J.S.S. 39, 2002, p. 4723-4746
- MOGILEVSKAYA S.G., CROUCH S.L., *A Galerkin boundary integral method for multiple circular elastic inclusions*, I.J.N.M.E., Vol.52, 2001, p.1069-1106
- MICHELITSCH TH., LEVIN V.M., *Inclusion and Inhomogeneity Problems in the Hexagonal Electroelastic Medium*, Phys. Stat. Sol. (b) 215, R13, 1999
- OLLER S., SALOMÓN O., OÑATE E., *Thermo-mechanical fatigue analysis using generalised continuum damage mechanics and the finite element method*, I.J.N.M.E., 2001
- NARAYAN S.H., BEUTH J.L., *Designation of mode mix in orthotropic composite delamination problems*, I.J.F. 90, 1998, p.383-400
- TOSHIMITSU OTSU, WEN-XUE WANG, YOSHIHIRO TAKAO, *Asymmetrical cracks parallel to an interface between dissimilar materials*, I.J.F., 96, 1999, p.75-100
- CARSTENSEN C., DOLZMANN G., FUNKEN S.A., HELM D.S., *Locking-free adaptive mixed finite element methods in linear elasticity*, C.M.A.M.E. 190, 2000, p.1701-1718
- ZHOU CHENG-TI, *Phenomenological theory of failure criterion for composite materials*, Applied Mathematics and Mechanics, English Edition, Vol.5, Nr.2, Apr. 1984, p. 1143-1150
- RICE J.R., *Recapitulation of important facts about tensors*, Course Notes for ES 120, Febr. 2001
- RITTEL D., *Thermomechanical aspects of dynamic crack initiation*. I.J.F. 99, 1999, p.199-209

19. REDDY Y.S.N., DAKSHINA MOORTHY C.M., REDDY J.N., *Non-linear progressive failure analysis of laminated composite plates*, Int. J. Non-Linear Mechanics, Vol.30, Nr.5, 1995, p. 629-649
20. PETERS J.O., BOYCE B.L. ș.a., *On the application of the Kitagawa-Takahashi diagram to foreign-object damage and high-cycle fatigue*, E.F.M. 69, 2002, p.1425-1446
21. PODILCIUK N.Iu., *Triohmernie zadaci teorii uprugosti*, Kiev, „Naukova Dumka”, 1979
22. RUSINKO N.K., *Ob usloviah voynikoveniia polos plasticnosti pri rastiienii plastinki s priamo lineinoi șceliui*, Culegeri de lucrări rândul 3
23. ONĂȘKO V.L., *O vliianie zakona raspredeleniia sil vzaimodeistviia meĵdu povernostiami mikrotreșcin na uslovuia razrușeniia hrupkovo tela*, Culegeri de lucrări rândul 1
24. SAVIN N.G., *Raspredelenie napriajenii okolon otverstii*, Izd. „Naukova Dumka”, Kiev, 1968
25. BUGA M., ILIESCU N., *Considerații privind evaluarea stării de tensiune în unele probleme de contact cu ajutorul fotoelasticității*, Simpozion Științific, Succava, 1985
26. BUGA M., ILIESCU N., ATANASIU C., TUDOSE T., TIPERCIUC Gh., *A Photoelastic Invesigation on Pressure Distribution in Contact Area between Tire and Ground*, V.D.J. Berichte nr.313, 1978
27. BUGA M., ILIESCU N., PERIDE N., *On the Szress State in the Work Rolls of a Quarto Rolling Mill*, Proc. Of the 9th Int. Conf. On Exp. Mech., Copenhaga, 1990
28. ILIESCU N., CONSTANTINESCUD.M., JIGA G., PASTRAMĂ Șt., *Photoelastic Determination of the Mode I Stress Intensity Factor*, „Politehnica” Scientific Bulletin, 1994
29. ILIESCU N., NĂSTĂSESCU V., *Contribuții privind determinarea factorului de intensitate a tensiunilor la vârful fisurii unei plăci cu creștătură*, Simpozionul național de Mecanica Ruperii, Midia, 1996, p.85-100
30. ILIESCU N., CONSTANTINESCUD.M., PASTRAMĂ Șt., *Cercetări privind estimarea factorului de intensitate a tensiunilor la vârful unei fisuri centrale străpunse*, „Politehnica” Scientific Bulletin, 1994
31. MOCANU D.R. (coord.), *Analiza experimentală a tensiunilor*, Vol.I-II. Cap.4 (Vol.I) ILIESCU N., BOLEANȚU L., PĂSTRAV I., p.298-433, Ed. Tehnică, București, 1977
32. *** Vishay Measurements Group, Tech. Note TN-701, *Calibration of Photoelastic Coatings*
33. *** Vishay Measurements Group, Tech. Note TN-704, *How to Select Photoelastic Coatings*
34. *** Vishay Measurements Group, Tech. Note TN-706, *Corrections to Photoelastic Coating Fringe-Order Measurements*
35. *** Vishay Measurements Group, Tech. Note TN-708, *Principal Stress Separation in Photo-Stress Measurements*
36. NADEAV C.J., *Eshelby Tensors*
37. BERRYMAN G.J., *Generalization of Eshelby's formula for a Single Ellipsoidal Elastic Inclusion to Poroelasticity and Thermoelasticity*, Lawrence Livermore National Laboratory, 1997
38. MURA TOSHIO, *Micromechanics of Defects in Solids*, Kluwer, Dordrecht, second revised edition, 1987
39. IOSIPESCU N., *Introducere in fotoelasticitate*, Vol. I (1958), Vol. II (1960), Ed. Tehnică, București
40. FROCHT M.M., *Phototoelasticity*, Vol.I, II, John Wiley and Sons, 1948, 1949
41. HETENYI M., *Handbook of Experimental Stress Analysis*, John Wiley and Sons, Inc. New York, London 1950
42. PĂSTRAV I., *Analogia electro-optică – metodă auxiliară în fotoelasticimetrie. Studii și cercetări de mecanică aplicată*, București, 1974, 33, nr.3, p.563-568
43. BOLDEA M., MUNTEAN C., *Culegere de probleme rezolvate în Turbo Pascal*, Editura Mirton, Timișoara, 1994
44. BANDU I., MUNTEAN C., *Aplicații rezolvate în Foxpro 2.0*, Editura Mirton, Timișoara, 1995
45. MUNTEAN C., *Die Arbeit mit relationalen Database Dateien bei der Benutzung eingebauter FoxPro Generatoren*, Analele Universității de Vest, Timișoara, 1995
46. MUNTEAN C., *Data Exchange Between Visual FoxPro and other W indows-based Applications*, Analele Universității de Vest, Timișoara, 1999